

**DNA-Array-Technologie**  
**für transkriptionelle Untersuchungen des Genoms**  
**der Hefe *Saccharomyces cerevisiae***

Von der Fakultät Geo- und Biowissenschaften der Universität Stuttgart  
zur Erlangung der Würde eines Doktors der Naturwissenschaften (Dr. rer. nat.)  
genehmigte Abhandlung

vorgelegt von

**Nicole Hauser**  
aus Horb/Neckar

Hauptberichter: Prof. Dr. D. H. Wolf  
Mitberichter: Prof. Dr. W. Seufert  
Tag der mündlichen Prüfung: 11. April 2001

Institut für Biochemie der Universität Stuttgart

2001



Diese Arbeit wurde von mir selbständig und nur mit den angegebenen Hilfsmitteln und Ratschlägen von jeweils namentlich aufgeführten Personen verfasst.

Heidelberg, im Dezember 2000



## Inhaltsverzeichnis

<b>Inhaltsverzeichnis .....</b>	<b>5</b>
<b>Abkürzungsverzeichnis.....</b>	<b>9</b>
<b>Zusammenfassung.....</b>	<b>11</b>
<b>Englische Zusammenfassung (Abstract) .....</b>	<b>12</b>
<b>1 Einleitung.....</b>	<b>21</b>
1.1 <i>Saccharomyces cerevisiae</i> ist ein idealer Modellorganismus für die funktionelle Genomanalyse .....	21
1.2 DNA-Array-Technologie .....	25
1.3 Aufgabenstellung.....	27
<b>2 Materialien und Methoden .....</b>	<b>28</b>
2.1 Enzyme, Chemikalien, Primer, Plasmide, Bakterien- und Hefestämme .....	28
2.1.1 Enzyme.....	28
2.1.2 Chemikalien .....	28
2.1.3 Primer .....	28
2.1.4 Plasmide .....	30
2.1.5 Bakterienstämme .....	32
2.1.6 Hefestämme .....	32
2.2 Medien und Kulturbedingungen.....	32
2.2.1 Medien für Hefekulturen.....	32
2.2.2 Medien für Bakterienkulturen.....	33
2.2.3 Wachstumsbedingungen für Flüssigkulturen.....	33
2.3 Isolierung chromosomaler DNA aus Hefezellen.....	33
2.4 Isolierung von Gesamt-RNA aus Hefezellen .....	34
2.4.1 Zellernte und -aufschluß .....	34
2.4.1.1 <i>Mechanische Disruption</i> .....	34
2.4.1.2 <i>Enzymatische Lyse</i> .....	34
2.4.2 Extraktion von Gesamt-RNA .....	35
2.5 Herstellung der Plasmide mit heterologer DNA.....	35

2.6	<i>In vitro</i> -Transkription.....	37
2.7	PCR Amplifikation.....	37
2.8	Herstellung von DNA-Arrays.....	38
2.9	Radioaktive Markierung von DNA zur Hybridisierung .....	40
2.9.1	Markierung von Oligonukleotiden .....	40
2.9.2	Markierung von DNA .....	40
2.9.3	Herstellung von komplexen Proben durch cDNA-Erststrangsynthese .....	40
2.10	Hybridisierung .....	41
2.11	Auswertung.....	42
2.12	Experimenteller Aufbau.....	43
<b>3</b>	<b>Ergebnisse.....</b>	<b>44</b>
3.1	Herstellung geordneter hochdichter DNA-Raster .....	44
3.1.1	Amplifikation der offenen Leserahmen .....	44
3.1.2	Herstellen der DNA-Arrays und Qualitätsprüfung.....	45
3.1.3	Wiederverwendbarkeit .....	46
3.1.4	Reproduzierbarkeit .....	48
3.1.5	Erzeugung komplexer cDNA-Proben .....	49
3.1.6	Heterologe Kontroll-DNA .....	49
3.1.7	Konzentrationsabhängigkeit der Hybridisierung.....	51
3.2	Prozessierung und Präsentation der Daten .....	54
3.2.1	Normalisierung .....	54
3.2.2	Datenfilterung .....	56
3.2.2.1	<i>Intensitätsschwellenwert</i> .....	57
3.2.2.2	<i>Stringenzkriterium (Min/Max-Separation, Standardabweichung-Separation)</i> .....	58
3.2.2.3	<i>Relative Änderungen bezüglich der Kontrolle: Induktions- bzw. Repressionsfaktor</i> .....	59
3.2.3	Gruppierung von Genen und Wachstumsbedingungen mittels Korrespondenzanalyse.....	61
3.3	Transkriptionelle Untersuchungen .....	64
3.3.1	Vergleich einer industriell genutzten Weinhefe mit einem Laborstamm .....	64
3.3.1.1	<i>Verwendung von S288c DNA-Arrays für die Untersuchung von Weinstämmen</i> .....	65

3.3.1.2	<i>Transkriptioneller Unterschiede zwischen MCY730 und T73.....</i>	65
3.3.1.3	<i>Stamm-Charakterisierung durch den Vergleich Genom – Transkriptom</i>	
	69	
3.3.2	tRNA-Export-Faktor Los1p.....	71
3.3.2.1	<i>Korrespondenzanalyse .....</i>	72
3.3.2.2	<i>Transkriptionelle Änderungen in der los1-Mutante.....</i>	74
3.3.2.3	<i>Die LOS1-Disruptionsmutante zeigt keine typische Hitzestress-Antwort</i>	
	75	
3.3.3	Hitzestress .....	77
3.3.3.1	<i>Korrespondenzanalyse .....</i>	77
3.3.3.2	<i>Die Adaptation an geänderte Wachstumstemperaturen ist zeitlich reguliert.....</i>	79
3.3.4	Hyperosmotischer Stress.....	81
3.3.4.1	<i>Korrespondenzanalyse .....</i>	82
3.3.4.2	<i>Massive transkriptionelle Änderungen nach Adaptation an Hochsalz-Bedingungen .....</i>	82
3.3.5	Kooperationsprojekte .....	89
<b>4</b>	<b>Diskussion.....</b>	<b>90</b>
4.1	Technische, methodische Aspekte .....	90
4.1.1	Trägermaterial.....	90
4.1.2	Hybridisierung .....	91
4.1.3	Detektion und Sensitivität.....	92
4.2	Datenanalyse.....	94
4.2.1	Normalisierung .....	94
4.2.2	Qualität der Datenpunkte, Signifikanz .....	97
4.2.3	Clustern, Klassifizierung, Projektion .....	97
4.2.4	Korrespondenzanalyse .....	98
4.2.5	Datenbank .....	99
4.2.6	Standardisierung .....	100
4.3	Genexpressionsuntersuchungen .....	101
4.3.1	Quantifizierung .....	101
4.3.2	Kontrollen .....	102
4.3.3	Spezifität.....	102

4.3.4	Transkriptionelle Untersuchungen .....	103
4.3.4.1	<i>Vergleich einer Weinhefe mit einem Laborstamm.....</i>	<i>103</i>
4.3.4.2	<i>tRNA Export-Faktor Los1p.....</i>	<i>104</i>
4.3.4.3	<i>Zellulärer Stress durch erhöhte Temperatur bzw. veränderte Osmolarität</i> <i>104</i>	
4.3.5	Korrelation Transkript - Protein .....	105
<b>5</b>	<b>Literaturverzeichnis.....</b>	<b>106</b>
<b>6</b>	<b>Anhang.....</b>	<b>112</b>
6.1.	Vollständige Listen der transkriptionellen Änderungen .....	112
6.1.1.	Vergleich einer industriell genutzten Weinhefe mit einem Laborhefestamm ....	112
6.1.2.	tRNA Export-Faktor Los1p.....	154
6.1.3.	Hitzestress.....	186
6.1.4.	Osmotischer Stress.....	228
6.2.	Ergebnisse der PCR .....	327
	<b>Lebenslauf .....</b>	<b>368</b>
	<b>Veröffentlichungen.....</b>	<b>369</b>
	<b>Danksagung.....</b>	<b>370</b>



---

## Abkürzungsverzeichnis

°C	Grad Celsius
μ~	Mikro
Abb.	Abbildung
ATP	Adenosin-5'-triphosphat
bp	Basenpaare
BSA	Rinderserumalbumin („bovine serum albumine“)
cDNA	revers transkribierte mRNA („copy or complementary DNA“)
Ci	Curie
Cpm	gemessene Zerfälle pro Minute („counts per minute“)
CTP	Cytidin-5'-triphosphat
dATP	2'-Desoxyadenosin-5'-triphosphat
dCTP	2'-Desoxycytidin-5'-triphosphat
ddH <sub>2</sub> O	doppelt destilliertes Wasser
dGTP	2'-Desoxyguanosin-5'-triphosphat
DNA	Desoxyribonukleinsäure
dNTP	2'-Desoxyribonukleosid-5'-triphosphat
dTTP	2'-Desoxythymidin-5'-triphosphat
EDC	N'-Ethylcarbodiimidhydrochlorid
EDTA	Ethylendiamintetraessigsäure
EST	ansequenziertes cDNA-Fragment („expressed sequence tag“)
f~	Femto
GTP	Guanosin-5'-triphosphat
h	Stunde
HCl	Chlorwasserstoff, Salzsäure
IPTG	Isopropyl-β-D-thiogalactopyranosid
kb	Kilobasenpaare
KCl	Kaliumchlorid
l	Liter
M	Molar
m~	Milli~
Mbp	Megabasenpaare

MgCl <sub>2</sub>	Magnesiumchlorid
min	Minute
mRNA	kodierende RNA („messenger RNA“)
NaCl	Natriumchlorid
NaOH	Natriumhydroxid
NMI	1-Methylimidazol
OD	Optische Dichte
p~	Piko
PCR	Polymerasekettenreaktion („polymerase chain reaction“)
RNA	Ribonukleinsäure
rpm	Umdrehungen pro Minute („rounds per minute“)
RT	Raumtemperatur
SDS	Natriumdodecylsulfat
sec	Sekunde
Tris	Trishydroxymethyl-aminomethan
tRNA	transfer RNA
U	Unit
UTP	Uridin-5'-triphosphat
UV	ultraviolett
X-Gal	5-Bromo-4-Chloro-3-Indolyl-β-D-Galactopyranosi

## Zusammenfassung

DNA-Array-Technologie ermöglicht die hoch-parallele Untersuchung transkriptioneller Aktivität. Sie wurde am vollständigen Gensatz von *Saccharomyces cerevisiae* methodisch etabliert und angewendet. Hierfür wurden 6116 offene Leserahmen der Hefe mittels PCR isoliert und auf Membranen aufgebracht. Auf diese wurden revers transkribierte Proben hybridisiert, die die Gesamt-mRNA aus Hefezellen repräsentierten. Die Signalintensität an jeder Belegposition des Rasters dient als Maß für die relative Häufigkeit des entsprechenden Transkripts. Die Methodik wurde bezüglich ihrer Aussagekraft bewertet und kontinuierlich technisch weiter entwickelt. Systematische Variation der Hybridisierungsparameter, speziell für die immobilisierte und freie DNA, schuf die Grundlage für eine Quantifizierung der absoluten Transkripthäufigkeiten. Die gewonnenen Rohdaten wurden mit Hilfe mathematischer Routinen prozessiert und neue Visualisierungs- und Analyseverfahren wurden auf die nach Signifikanz und anderen Kriterien gefilterten Datensätze angewendet, um eine biologische Interpretation zu unterstützen.

Aus eigenen Experimenten und zahlreichen Kooperationen wurden beispielhaft die Ergebnisse aus vier experimentellen Ansätzen vorgestellt: (1) der Vergleich einer industriell genutzten Weinhefe mit einem Laborstamm wurde sowohl auf transkriptioneller als auch genomischer Ebene durchgeführt. Bereits unter Laborbedingungen konnte differentielle Expression beobachtet werden, deren Ursache zum Teil in veränderten Promotoren liegt. (2) Die Untersuchungen einer Disruptionsmutante im Gen des tRNA-Export-Faktors *Los1p* zeigten erhöhte Transkriptraten für zwei andere Export-Faktoren und zahlreiche, in diesem Zusammenhang bisher nicht beschriebene Gene. (3) Nach Erhöhung der Wachstumstemperatur auf 37°C konnte die Regulation transkriptioneller Veränderungen in Phasen verfolgt werden. (4) Die Adaptation von Hefezellen an hohe externe Salzkonzentration ist mit einer massiven transkriptionellen Antwort verbunden. Mehr als 50 % der dabei induzierten Gene sind bisher funktionell nicht charakterisiert; die größte, funktionell zuzuordnende Gruppe bilden Gene, die im Zusammenhang mit Kohlenhydrat- bzw. Energie-Stoffwechsel beschrieben sind.

## **Englische Zusammenfassung (Abstract)**

Only recently, the DNA sequences of complete genomes became available and technologies were developed to analyse on a global scale the cellular effects and functional consequences of the DNA-encoded information. Among these techniques, the DNA-array technology represents a major tool. The procedure takes advantage of a common feature of nucleic acids: single-stranded molecules of complementary sequence form duplex structures in a highly specific manner. The selectivity of this hybridisation process allows for complex analysis procedures even on a genomic scale.

DNA-array technology can be used to investigate transcriptional activity in a highly parallel manner. In this work this methodology was set-up and performed to monitor transcript levels of virtually all genes of *Saccharomyces cerevisiae*. 6116 open reading frames (ORF) of yeast were PCR-amplified and arrayed onto membranes in duplicate and at high densities. Total RNA from yeast cells of different genotypes or grown under different conditions was isolated. From this, a labelled target was produced by reverse transcription and incorporation of radioactive nucleotide and hybridised to the arrays. Signal intensities at each position were quantified and relative changes in transcript levels were determined. Significant effort was made on a solid quality assessment and performance. Based on this, the technology has been improved continuously. Raw data were processed by mathematical routines and filtered for significance and other criteria. New procedures for the analysis and visualisation were applied to these data in order to support biological interpretation. By systematic variation of hybridisation parameters, particularly so for the immobilised and free DNA, fundamental tools towards the absolute quantification of transcript levels were developed. The technology was applied to a wide range of experimental conditions in experiments designed in-house and in numerous co-operations. The results of four experimental set-ups are presented.

### ***Array production***

In April 1996 the complete genomic sequence of the yeast *Saccharomyces cerevisiae* was published. About 6200 genes have been annotated and made accessible by public databases. For PCR-amplification of 6116 open reading frames, a commercially available primer set was used. The reactions were carried out individually in microtitre dishes using as template genomic DNA of the yeast strain FY1679. Each product was checked by agarose gel electrophoreses and the results were documented in a database. Overall success rate after two different experimental PCR-conditions was 97 %. Fragments of up to 11 kb length could be

amplified. Using a robotic device equipped with a 384-pin tool, the PCR-products were arrayed on membranes at high densities, each fragment being present twice. The quality of the arrays was checked by hybridisation. During PCR, two common tag-sequences of 20 and 22 nucleotides were attached to the 5'-end of each strand, forward and reverse respectively. Using the labelled oligonucleotides of these common sequences for hybridisation, each PCR-product could be checked for its presence on the array. Simultaneously the total amount of DNA-spots was determined by this procedure. The over-all quality of the arrays was assessed by hybridisation of complex DNA-samples made from genomic yeast-DNA. Only arrays of high quality were used for transcriptional analysis. Initially, commercially available nylon membranes were used as support medium. However, they were later replaced by aminated polypropylene membranes because of their superior performance. Due to more distinct spot boundaries, higher signal intensities and increased signal/noise ratios, data quality could be improved enormously. DNA-arrays on both support materials, nylon and polypropylene respectively, can be regenerated and re-probed. It was demonstrated, that they could be used up to at least 10 times in successive hybridisations without significant loss of performance. Reproducibility of repeated hybridisations was assessed by scatterplotting and calculation of the linear correlation coefficient ( $r$ ). Signal intensities on duplicate spots on the very same array were very close ( $r \sim 0.99$ ), and results of successive hybridisation of either the short, primer-specific oligonucleotides or the complex cDNA samples derived from total RNA were highly reproducible ( $r \sim 0.95-0.99$ ).

### ***Data generation***

Yeast cultures grown under various experimental conditions were harvested and total RNA was isolated. The methods used for cell lyses and RNA isolation were found to be critical for the success of the analysis. To avoid transcriptional changes during harvesting, cells were instantly shock-frozen. The selected RNA isolation method gave reproducible results in cDNA synthesis. Sample preparation was done by reverse transcription in the presence of radioactively labelled nucleotides. First-stand cDNA with a 30 % to 100 % incorporation rate of the radioactive label was used for hybridisations to the whole-genome DNA-arrays. Signal intensities at each position were quantified using a phosphor imaging device.

### *Quantification*

The hybridisation process can be described as an equilibrium process that involves the formation of DNA duplex structures from single-stranded molecules present immobilised on the array and free in solution. To assess the quantitative aspect of the hybridisation process, correlation between DNA-concentration and related signal intensities was investigated in a systematic way. While hybridisation parameters like temperature and salt concentration were kept constant, the concentration of the DNA was varied. 16 DNA-fragments of different length were PCR amplified, purified and the amount of DNA determined by fluorescence measurements. The arrays were designed to have rows of 20 positions of known and increasing DNA content. Such arrays, made on nylon and polypropylene for comparison, were hybridised with a labelled oligonucleotide complementary to the 5'-end of each fragment. Successive hybridisations on same membranes were carried out with DNA-concentrations increasing from 0.02 pM up to 2 nM. Signal intensities of 4 different arrays were averaged and correlated with both the amount of immobilised DNA and the concentration of free DNA in solution. The shape of the resulting graph were similar in both cases: starting with a linear dependency, signal intensity did not increase further with increasing DNA concentration after the point of inflection. However, the meaning and consequences are different for both cases. For the immobilised DNA, this saturation is desired. Above the point of inflection, signal intensity is independent of the amount of DNA present at the array position, representing solely the concentration of DNA in solution. For the free DNA, a linear relationship between detected signal intensity and the concentration of DNA in solution is necessary for quantification. It has been shown that on the array DNA should be present in a concentration of at least at 3.5 fmol/mm<sup>2</sup>. The linear range of detection for the labelled oligonucleotid stretched across 2-3 orders of magnitude between 0.002 nM and 1 nM.

In order to assess the range of quantification for the *Saccharomyces cerevisiae* arrays, a standard whole-genome membrane was used within each series of successive hybridisations and the results were compared with those from the proper arrays. Assuming an average fragment length of 1.4 kb, the DNA-content at the spot positions was estimated to range from 10 to 600 fmol/mm<sup>2</sup>, being well above the minimum of 3.5 fmol/mm<sup>2</sup>.

Approximately 30 OD-units of yeast cells, that is about  $3 \times 10^8$  cells, were used for the preparation of a complex cDNA sample. Assuming 15,000 mRNA molecules per cell, there are  $4.5 \times 10^{12}$  (about 7.5 pmol) transcripts per cDNA sample. The abundance of the actin transcript was estimated by other means to represent about 0.4 % of the total mRNA-

population. Thus, hybridising a complex cDNA sample in a total volume of 5 ml, the concentration of the actin transcript is about 0.006 nM.

The range to detect transcripts using DNA-arrays was estimated to range from 0.8 up to 200 pMol, e. g. the lower limit of detection represents 2.4 copies per cell with a theoretical upper threshold of linear detection of 600 copies per cell.

The comprehensive analysis of the data has demonstrated, that the signal intensities can be described as a function of the DNA-content at each position, the two parameter of the function describing the slope of the linear part and the plateau when saturation occurred. In a similar way, signal intensities can be described as a function of the DNA-concentration in solution, again with two parameters for the slope and the plateau. Moreover, the two dependencies can be shown in a 3-dimensional graph and described by one function. Thus, 3 to 4 hybridisations with the common sequence in known concentrations, would be sufficient to define the equation of the function. Using this function, the actual content of immobilised DNA at each position of the array could be determined. For each subsequent hybridisation, using DNA-samples of unknown concentration, the actual concentration could be determined. This allows for the absolute quantification of transcripts rather than relative values measured so far.

### ***Data processing and analysis***

#### *Normalisation:*

Each experiment comprises several conditions, usually one control condition and one or more specific conditions of interest. Moreover, hybridisations with samples of the same condition have to be repeated for improved data. Therefore, several data sets exist per experimental condition and even more within an entire experiment. Due to different specific activities of the radioactive label, different incorporation rates in first strand cDNA-synthesis or different exposure times, measured signal intensities are not at the same level. In order to make these data comparable, they have to be normalised. In principle, there are three methods for normalisation:

*External control spots:* Heterologous DNA is positioned on the array and corresponding artificial poly-(A)-plus RNA-molecules are added to the biological sample. Signal intensities produced by these spike molecules should be identical in all experiments and can thus be used for an adjustment of the real signal intensities. However, this method has some drawbacks: only those hybridisations done on arrays with same set of spiked probes can be compared. Also, only aliquots from the very same spiking batch can be used for addition to

the cDNA synthesis, since otherwise differences might be too high to be useful for normalisation. Also degradation and limited life-time of RNA-molecules are a natural problem for this normalisation method.

*Housekeeping genes:* Signal intensities of a set of genes, which are known to be constitutively transcribed, could be used for normalisation. However, many genes known or expected to be transcribed similarly under various conditions, have shown to be differentially transcribed under certain conditions. Thus, a suitable set of genes would have to be defined and confirmed for each experimental setting. Additionally, most housekeeping genes rather belong to the group of mid- and low-transcribed genes and do not span the complete range of signal intensities. Therefore, the correction line calculated from such measurements could be rather incorrect.

*Majority of all signal intensities:* Genome wide transcriptional analyses have shown that usually only a relatively small number of genes are differentially transcribed, while the vast majority do not change significantly. Because of this fact, all grey scale values can be used for normalisation. Algorithms have been applied to exclude data points positioned too far from most of the detected values.

The three described methods for normalisation can be used alternatively and in parallel. In this work, data sets have only been normalised by using the majority of all values, since it can be applied generally and has proven to be the most robust.

No matter which data points were recruited for normalisation, the mathematical process was done by either linear or logarithmic regression. In scatterplots, the median values of the control condition were plotted on the x-axis. Each individual data set, including individual data sets of the control condition itself, was then plotted on the y-axis and adjusted to a slope of one.

*Quality assessment:*

To assess the significance of the results experiments were repeated. The repetition was done on the level of cDNA synthesis, i. e. the same RNA sample was reverse transcribed and labelled successively and hybridised onto DNA-arrays. Due to the double spotting, two values were gathered per hybridisation. Thus, two hybridisations resulted in four data sets, three in six and so on. The redundant data were not averaged but treated as individual results. To assess data quality, the normalised signal intensities originating from two experimental conditions were compared. To match the quality criteria, all redundant values of the two conditions had to be clearly separated. Two methods of different stringency were applied:



---

*min/max separation*: the highest value of the lower data set is subtracted from the lowest value of the set with higher intensities. The result has to be positive. This method is very stringent and does not accept any outlying data points. It was applied to filter for genes which are clearly differentially transcribed. The more repetitions are done the higher the statistical probability becomes to have some outlying results within a series; at the same time, however, the overall significance of the results increases. The less stringent *standard deviation separation* procedure takes this fact into account. It is calculated from the distances of the mean value of either data set minus one standard deviation. If identical numbers of data are used, the *min/max separation* is a more stringent selection procedure, while both methods are valid in terms of statistical significance.

#### *Relative factor of induction or repression*

The individual data sets were compared to the median of all control data sets and the relative changes were calculated. The median values of the relative factors of induction or repression were presented in a table. The numbers were labelled according to their quality: data which passed the *standard deviation separation* criteria were marked yellow in case of induction or light blue for repression; if they passed the *min/max separation* criteria, they were marked red or blue, respectively.

#### *Filtering:*

The massive amount of data generated on DNA-arrays is even more increased by repeating experiments. However, this is a prerequisite for assessment. The analysis has shown, that the majority of the open reading frames did not vary its transcript level under a wide range of experimental conditions. Thus, automated algorithms were applied in order to filter out genes with significant changes. These criteria were used for mere filtering as well as setting an minimum intensity threshold. This was especially important if correspondence analysis was to be applied to the data.

### *Correspondence Analysis:*

The correspondence analysis is a descriptive and explorative method to analyse and present large amounts of data and to find out and group elements with similar features. This algorithm was adapted to the analysis of gene expression data generated by DNA-array hybridisation. The normalised grey-level data can be written into a table containing  $n$  rows for  $n$  genes and  $m$  columns for  $m$  conditions. Each condition can be described by the  $n$  genes as a vector in the  $n$ -dimensional space. *Vice versa*, each gene can be described by the  $m$  conditions as a vector in a  $m$ -dimensional space. Using multi-dimensional scaling algorithms, both spaces are reduced to two dimensions ensuring a minimum loss of information. The correspondence analysis combines the two planes. This projection allows the exploration of interdependencies among the investigated elements, i. e. genes and hybridisations. The closer two elements are localised, the more similar are their features. Thus, genes with the same transcriptional profile are clustered. But also hybridisations with similar features, as for instance repetitive hybridisations made from the same cell sample, do cluster. This permits to check for reproducibility on a global level. However, due to the correspondence of the two planes, this projection not only explores interdependencies among genes or among hybridisation but also among genes *and* hybridisations. Genes that do not change in either of the conditions are located in the centroid of the biplot. Since more than 80 % of the genes usually belong to this group, they should be filtered out. Although they are not of interest to the analysis, they nevertheless have a strong impact on the projection solely due to their mass. For a better orientation within the graph, lines are drawn to stress the location of genes with the most prominent profiles, in particular genes which are highly transcribed at one condition but completely off at all the others.

This algorithm has been proven to be a helpful tool to support interpretation of the data. It was used to check for reproducibility of repetitive hybridisation, to globally assess the interdependencies of the investigated conditions and to find clusters of genes with similar transcriptional activity.

## ***Transcriptional Analysis***

### *Comparison of a commercial wine yeast strain and a standard laboratory strain*

*Saccharomyces cerevisiae* strains frequently exhibit rather specific phenotypic features needed for adaptation to a special environment. Wine yeast strains are able to ferment musts, for example, while other industrial or laboratory strains fail to do so. The genetic differences that characterise wine yeast strains are poorly understood, however. In order to determine differentially expressed genes in comparison to the standard laboratory background in S288c, DNA-array analyses were performed on the typical wine yeast strain T73. Both strains were grown to mid-logarithmic growth-phase in YPD medium. It was shown that even under normal conditions, logarithmic growth in YPD medium, both strains have expression patterns that differ significantly in more than 40 genes. Some of the differences found, such as *URA* or *ADE* genes, can serve as an internal control of data quality. They were expected to be differently expressed because of known genetic alterations.

All of the Ty1 and Ty2 elements present on the array showed higher transcript levels in the laboratory strain compared to the wine strain T73. Much higher differences were observed in Ty1B ORFs compared to Ty1A ORFs. Moreover, not only relative transcriptional changes were higher for Ty1B, but also normalised signal intensities. Since the differences in transcript level were more pronounced than the genomic ones, it is possible that Ty transcription levels are either higher in each copy of Ty1 or that some Ty1 copies are silent in the wine strain.

Two of the genes shown to be differentially transcribed seemed to be particularly interesting: *SSU1* encodes for a plasma membrane protein involved in sulphite resistance and *YHB1* encodes a flavohemoglobin involved in respiration. The promoter sequence analysis revealed in both cases small changes which could explain the differences in expression level.

Blotting copy numbers versus transcript levels produced patterns, which were specific for the individual strains and could be used for a characterisation of unknown samples.

### *tRNA-export factor Los1p*

Los1p has been described to actively mediate the transport of tRNA from the nucleus to the cytoplasm. While the process of exporting tRNA into the cytoplasm is essential, a *los1*-disruption mutant is viable and does not show any phenotype. Therefore, alternative factors or even pathways should exist and might be revealed by increased transcription rates of the genes involved. For this analysis, a *los1*-disruption mutant as well as the respective wildtype strain were compared. They were grown to mid-logarithmic phase and shifted to 37°C for one hour.

By performing a correspondence analysis on the normalised DNA-array data, it could be demonstrated that the mutant strain did not exhibit the typical heat stress response as shown by two other strains being wildtype with respect to *LOS1*. Among the genes being significantly up-regulated in the *los1*-mutant, there were two other, already known export factors: SRM1/PRP20 and NUP159.

*Cellular stress (heat, osmotic)*

In living cells rescuing programmes are induced upon stress and the synthesis of proteins is activated, which protect from cellular damages and enable the cells to regenerate. Two stress conditions were applied to yeast cultures and the respective transcriptional changes were followed:

An exponentially growing yeast culture was shifted from 30 °C to 37 °C. Samples were taken after 10, 20 and 30 min and used for DNA-array hybridisation. Normalised data were subjected to correspondence analysis. The adaptation to the increased temperature could be followed in phases. Among the genes with the most significant changes after increasing temperature, there were 8 genes that had been described in the context of protein folding and degradation; 13 other ones have not been functionally annotated yet.

In their natural habitat, yeast cell are subjected to rather different and extreme levels of osmolarity. Therefore, there exist excellent mechanisms to adapt to extreme external salt concentrations. In the experiment, a logarithmic growing yeast culture was shifted to 1.5 M NaCl. They immediately stop growing, since they were dehydrated by pure osmosis. After about three days, however, cells re-started growing. Samples were taken after 10, 20 and 30 min, 16 h and 5 days. At these harsh external conditions, transcriptional changes could only be noticed after several hours. Differences in the transcriptome after the initial 30 min rather reflect different RNA stabilities than transcriptional activity. Massively changed transcription rates were observed after 5 days. 200 genes with the most significant changes were categorised by functions. More than 50 % of the induced genes are not yet functionally annotated. Moreover, the largest group of genes about which some functional information exists, belong to the group of carbohydrate and energy metabolism.

# 1 Einleitung

Im Vordergrund der angewandten Genomforschung steht zur Zeit noch die Bestimmung der Nukleinsäuresequenz. Deren Entschlüsselung legt die Grundlage für weitergehende Untersuchungen zur biologischen Funktion der vorhergesagten Gene. So sind derzeit bereits die Genome von mehr als 30 Mikroorganismen komplett sequenziert und öffentlich zugänglich, weitere 120 werden zur Zeit weltweit bearbeitet<sup>1</sup>. Mit der Fertigstellung der Sequenzanalyse höherer Eukaryoten wie dem Nematoden *Caenorhabditis elegans* (Consortium, 1998) und der Fliege *Drosophila melanogaster* (Adams *et al.*, 2000) wurden Meilensteine in der Genomforschung gesetzt. Die Bekanntgabe der vollständigen Sequenz des menschlichen Genoms wird ebenfalls in Kürze erwartet (Hattori *et al.*, 2000). Parallel dazu verläuft die rasante Weiterentwicklung von Methoden zur genom-weiten systematischen Analyse, mit dem Ziel die komplexen Zusammenhänge biologischer Vorgänge auf molekularer Ebene zu verstehen.

## 1.1 *Saccharomyces cerevisiae* ist ein idealer Modellorganismus für die funktionelle Genomanalyse

Die Bäcker- oder Bierhefe *Saccharomyces cerevisiae* ist der wohl am besten untersuchte eukaryotische Modellorganismus. Das kleine Genom von 13,5 Mbp, verteilt auf 16 lineare Chromosomen, wenig repetitive Sequenzen und eine geringe Anzahl an Introns machten diese Hefe zu einem exzellenten Objekt für eine systematische Sequenzanalyse. Im April 1996 wurde ihre DNA-Sequenz als erste vollständige Sequenzanalyse eines eukaryontischen Genoms bekanntgegeben (Goffeau *et al.*, 1997; Williams, 1996). Durch diese systematische Untersuchung wurden rund 6200 mögliche Gene entdeckt, von denen 5885 für Proteine kodieren. Weiterhin enthält das Genom 140 Gene für ribosomale RNA, 40 Gene kleiner Kern-RNAs (snRNAs) und 275 tRNA-Gene (Goffeau *et al.*, 1996). 3550 Proteine konnten bislang genetisch oder biochemisch charakterisiert werden, weitere 719 haben Homologien zu charakterisierten Proteinen; für 1880 vorhergesagte offene Leserahmen ist jedoch bisher keinerlei Funktion bekannt (Costanzo *et al.*, 2000). Die meisten grundlegenden zellulären Prozesse sind in diesem Einzeller hoch konserviert und in Verbindung mit den sehr gut etablierten, genetischen und molekularbiologischen Methoden erwies sich die Hefe deshalb als idealer Organismus für ein Pilotprojekt zur systematischen Untersuchung der Funktion

---

<sup>1</sup><http://www.tigr.org/tdb/mdb/mdb.html>

neuer Gene (Dujon, 1998; Oliver *et al.*, 1998). Das europäische Funktionsanalyse-Netzwerk (EUROFAN), eine Verbindung von 134 verschiedenen Arbeitsgruppen aus Universitäten, Forschungseinrichtungen und Firmen, verfolgte in der Anfangsphase die vollständige Deletion von 1000 bis dahin nicht weiter charakterisierten ORFs und erarbeitete Testverfahren zur systematischen Analyse einer großen Anzahl von Deletionsmutanten nach phänotypischen Merkmalen<sup>1</sup>. Ein Konsortium aus 5 Arbeitsgruppen beschäftigte sich beispielsweise mit der Quantifizierung der Transkripte der 1000 ORFs mittels Northern Blot-Technik unter drei verschiedenen Wachstumsbedingungen (Planta, 1997). Dabei zeigte sich, dass besonders Übergangszustände die größte Information bezüglich einer möglichen Genregulation liefern (S. Oliver, persönliche Mitteilung). Hierfür wären umfangreiche Untersuchungen, z. B. innerhalb einer Zeitreihe nötig, wobei jedoch die Northern Hybridisierung für Reihenuntersuchungen keine geeignete Methode darstellt. Im Gegensatz dazu wurden in den letzten Jahren Techniken entwickelt bzw. weiter entwickelt, die für systematische Studien transkriptioneller Unterschiede geeignet sind, wie z. B. die DNA-Array-Technologie (siehe nächstes Kapitel) oder SAGE („serial analysis of gene expression“). Unter SAGE versteht man die Sequenzanalyse einer cDNA-Population unter dem Aspekt, die Anzahl der untersuchten cDNA-Sequenzen zu maximieren bei gleichzeitiger Minimierung der Zahl der Sequenzierreaktionen. Dazu werden cDNA-Moleküle sequenzspezifisch fragmentiert, über ein Linker-System ligiert und diese Konkatemere in einen Vektor kloniert. Die Konkatemere werden anschließend sequenziert und die 10-14 bp Fragmente über Datenbankvergleiche einem Transkript zugeordnet (Velculescu *et al.*, 1995). Die Abundanz eines Transkripts ist dabei direkt korreliert mit der Häufigkeit des korrespondierenden Sequenzabschnitts in den Konkatemeren. In einer SAGE-Untersuchung des Hefe-Transkriptoms wurden mit der Sequenzanalyse von knapp 60.000 Fragmenten, das entspricht einer 4-fachen Redundanz unter der Annahme von 15.000 mRNA Molekülen pro Zelle, 4665 verschiedene Gene gefunden mit einer berechneten Häufigkeit von 0,3 bis 200 Kopien pro Zelle (Velculescu *et al.*, 1997). Obwohl diese Methode eine absolute Quantifizierung der mRNA ermöglicht, wird sie wohl auf eine relativ kleine Anzahl an Untersuchungen begrenzt bleiben, da trotz verbesserter Sequenziergeräte der Arbeits- und Kostenaufwand sehr groß ist.

Die Herstellung von Deletionsmutanten zur systematischen phänotypischen Untersuchung wurde in einem europäisch/US-amerikanischen Gemeinschaftsprojekt auf das gesamte *Saccharomyces cerevisiae*-Genom erweitert. Es wurden nahezu alle vorhergesagten Gene der

---

<sup>1</sup> <http://www.mips.biochem.mpg.de/proj/eurofan/index.html>

Hefe deletiert und die kodierende Sequenz durch zwei eindeutige 20-bp-Oligomersequenzen, eine Art Strichkode, ersetzt. Diese dienen als molekulare Marker zur Identifizierung der Mutantenstämme und erlauben es, die Deletionsmutanten zu vereinen und parallel in einem kompetitiven Wachstumstest zu untersuchen. Nach mehreren Generationen werden Proben entnommen, die 20-bp-Sequenzen amplifiziert und die Überlebensraten der Mutantenstämme durch quantitative Hybridisierung auf Oligonukleotid-Chips, die die komplementären Sequenzen der Strichkodes tragen, ermittelt (Shoemaker *et al.*, 1996; Winzeler *et al.*, 1999). Diese Methode des „Überlebens des Tüchtigsten“ ermöglicht z. B. das Durchtesten einer großen Anzahl pharmakologisch wirksamer Substanzen nach möglichen Zielgenen und könnte damit schließlich auch Hinweise auf deren mögliche Funktionen geben.

Zum Verständnis der Regulation der Genexpression und damit zur weiteren Aufschlüsselung der Funktion einzelner Gene oder Gengruppen wird sicherlich die parallele Betrachtung von Transkriptom und Proteom (siehe Tabelle 1.1) wesentlich beitragen. Bedingt durch die vielfältigen Strukturen und Eigenschaften von Proteinen sind die Methoden zu deren globaler Analyse, im Gegensatz zu den auf Nukleinsäure basierenden, noch weitgehend in der Entwicklung. Jedoch wurden auch hier die Methoden bereits wesentlich verbessert und so ist die Auflösung von über 10.000 Proteinen aus einem komplexen Extrakt mittels zweidimensionaler Gelelektrophorese bereits möglich (Übersichtsartikel: Dutt und Lee, 2000).

Tabelle 1.1: Verschiedene Ebenen der funktionellen Genomanalyse, Beschreibungen im Text, modifiziert nach Oliver (2000).

<b>Ebene der Analyse</b>	<b>Definition</b>	<b>Status</b>	<b>Methoden</b>	<b>Referenz</b>
Genom	Komplettes Set aller Gene eines Organismus oder seiner Organellen	Kontext unabhängig	Systematische DNA-Sequenzierung	(Goffeau <i>et al.</i> , 1997)
Transkriptom	Komplettes Set aller mRNA-Moleküle in einer Zelle, einem Gewebe oder Organ	Kontext abhängig	DNA-Array-Technologie SAGE Hochdurchsatz Northern-Analyse	(DeRisi <i>et al.</i> , 1997) (Velculescu <i>et al.</i> , 1997) (Planta, 1997)
Proteom	Komplettes Set aller Proteine einer Zelle, eines Gewebes oder eines Organs	Kontext abhängig	Zweidimensionale Gelelektrophorese 2-Hybrid-Analyse „biochemische Genomforschung“	(Shevchenko <i>et al.</i> , 1996) (Uetz <i>et al.</i> , 2000) (Martzen <i>et al.</i> , 1999)

Eine andere Möglichkeit der Untersuchung von Genprodukten besteht in der Suche nach möglichen Interaktionspartnern, denn Proteine, die assoziiert sind, haben oft gleiche oder verwandte zelluläre Funktionen. In der Hefegenetik gibt es dafür ein sehr elegantes System, das „2-Hybrid-System“ (Fields und Song, 1989). Dabei bedient man sich eines transkriptionellen Aktivators, dessen beide Domänen getrennt mit den zu untersuchenden Proteinen fusioniert werden. Können die beiden Proteine interagieren, werden die Fragmente des Aktivators wieder zusammengebracht, wodurch ein Reporterprotein exprimiert wird. Die Expression des Reporterproteins kann leicht durch eine Farbänderung der Hefezellen erkannt werden. Die Zugänglichkeit der gesamten genomischen Sequenz ermöglicht es nun, dieses System auszuweiten und alle knapp 6000 vorhergesagten Proteine auf mögliche paarweise Interaktionen zu testen. Bei zwei unterschiedlichen Ansätzen konnten 192 bzw. 957 Interaktionen beobachtet werden (Uetz *et al.*, 2000), wodurch viele bislang nicht charakterisierte Proteine in einen möglichen biologischen Zusammenhang gesetzt werden können.

Eine weitere Annäherung ist die Verknüpfung des Gens mit seiner biochemischen Aktivität. Um dies genom-weit durchführen zu können (Stichwort „Biochemische Genomforschung“), wurden alle offenen Leserahmen (ORF) der Hefe mit der Glutathion-S-Transferase (GST) fusioniert und diese Fusionsproteine in individuellen Hefestämmen exprimiert. Die ORF-GST-Fusionsproteine können einfach aufgereinigt und dann individuell oder in Pools für rascheren Durchsatz einem biochemischen Testverfahren unterzogen werden (Martzen *et al.*, 1999). Die Methode ist schnell und sensitiv, hat jedoch ebenso wie die meisten globalen Testverfahren noch zahlreiche Limitierungen. Das Fusionsprotein wird nicht in allen Fällen funktionell sein. Weiterhin wird die Aufreinigung und Ausbeute der Proteine unterschiedlich effizient verlaufen, da sie eine unterschiedlicher Löslichkeit besitzen oder die Überexpression des GST-ORF-Fusionsproteins toxisch für die Zelle ist. Oder ein für die Aktivität des Proteins benötigter Cofaktor könnte bei der Aufreinigung abgetrennt worden sein. Schließlich muss deutlich gemacht werden, dass eine *in vitro* Aktivität nicht unmittelbar gleich zu setzen ist mit der Aktivität *in vivo* und dass zusätzliche genetische oder biochemische Analysen erforderlich sind, um die Funktion eines Proteins zu bestätigen.



## 1.2 DNA-Array-Technologie

Unter DNA-Array-Technologie versteht man die Immobilisierung oder *in situ*-Synthese von Nukleinsäuren in hoher Dichte auf einem festen Trägermaterial. Durch die Positionierung bekannter Moleküle in einem definierten Raster entsteht eine Sonden-Matrix, mit deren Hilfe sich aus dem Pool einer komplexen Probe durch hochspezifische Hybridisierung genau das Gegenstück finden und detektieren lässt. Basierend auf diesem grundlegenden Prinzip sind viele Variationen und damit Anwendungen möglich.

Anfänglich wurden cDNA-Bibliotheken zur Positionierung auf Oberflächen verwendet (Gress *et al.*, 1992). Mit der Fertigstellung und öffentlichen Zugänglichkeit der genomischen Sequenz ganzer Organismen konnten vorhergesagte ORFs spezifisch amplifiziert und positioniert (DeRisi *et al.*, 1997; Hauser *et al.*, 1998) bzw. kurze Sequenzbereiche ausgewählt und synthetisiert werden (Wodicka *et al.*, 1997). Als Trägermaterialien eignen sich Membranen aus Nylon oder Polypropylen, zur Fluoreszenz-Detektion und Miniaturisierung werden meist Glaträger verwendet.

Durch das hohe Potential zur Automatisierung sowohl bei der Herstellung als auch in der Anwendung prognostiziert man den *DNA-Chips* auch eine wirtschaftlich wichtige Bedeutung (Ullrich *et al.*, 1999). In der pharmazeutischen Industrie hat diese Technologie vor allem auf die Erforschung und Entwicklung therapeutisch wirksamer Substanzen einen starken Einfluß (Übersichtsartikel: (Braxton und Bedilion, 1998; Debouck und Goodfellow, 1999)). DNA-Arrays sind geeignet, um die molekularen Wirkungsmechanismen ganzer Bibliotheken chemischer Verbindungen zu untersuchen. Zum Beispiel wurde, wiederum in der Hefe als Modellsystem, der Einfluß möglicher Kinase-Inhibitoren untersucht, indem die genom-weiten transkriptionellen Veränderungen vor und nach der Behandlung mit Inhibitoren gemessen wurden (Gray *et al.*, 1998). Weitere Anwendungsfelder ergeben sich in der molekular-genetischen Diagnostik zum Nachweis genetisch bedingter Krankheiten und Krankheitsdispositionen (Dobrowolski *et al.*, 1999). In Verbindung mit neuen Detektionsmethoden wie z. B. MALDI-MS („matrix-assisted laser desorption ionization mass spectrometry“) werden DNA-Chips zur Identifizierung genetischer Variation z. B. SNPs („single nucleotide polymorphisms“) (Tang *et al.*, 1999) eingesetzt. Oder sie dienen zur molekularen Tumor-Klassifizierung basierend auf einer globalen Genexpressionsanalyse (Golub *et al.*, 1999).

Die wohl häufigste Anwendung dieser Methode ist die Messung von Transkripthäufigkeiten zur Bestimmung von Genaktivität für ganz unterschiedliche Fragestellungen. Durch den

hohen Grad an Parallelität können Tausende von Genen in nur einem Experiment gemessen und sehr viele solcher Experimente, zum Beispiel eine Zeitreihe, durchgeführt werden. Die eigentliche Aufgabe und wirkliche Herausforderung besteht nun darin, in diese immens großen Datenmengen Sinn zu bringen. Für einfache Experimente, bei denen nur zwei Bedingungen verglichen werden, genügt die tabellarische Anordnung der Gene mit dem Grad der Induktion bzw. Repression und eine graphischen Darstellung im XY-Diagramm. Experimente jedoch mit komplexem Aufbau, wie z. B. Zeitverläufe, erfordern intelligentere Auswertungsroutinen und Darstellungsformen. Deren grundlegendes Ziel besteht darin, Gene mit ähnlichem Transkriptionsmuster zu identifizieren und zu gruppieren. Neuere Entwicklungen entsprechender Algorithmen zur Analyse und Organisation umfangreicher Expressionsdaten sind in einem Übersichtsartikel beschrieben (Sherlock, 2000).

Trotz der noch zahlreich vorhandenen Limitierungen der Methoden in der genom-weiten Anwendung ermöglichen sie doch eine neue, globale Betrachtungsweise im Gegensatz zu den konventionellen Methoden. In Verbindung mit intelligenten Auswertungsroutinen und durch die Einbettung in Datenbank-Netze funktioneller und struktureller Kategorien werden sie Interpretationen ermöglichen und komplexe Zusammenhänge herstellen können.

### 1.3 Aufgabenstellung

Mit der Fertigstellung der Sequenzierung der Hefe *Saccharomyces cerevisiae* wurde im Rahmen eines zunächst deutschen, später europäischen Netzwerkes ein Gemeinschaftsprojekt zur systematischen Analyse der Funktion unbekannter Gene initiiert (SCDEGEN, 1994-97 bzw. EUROFAN I und II, 1996-2000). Als Teil dieser Projekte sollte die Technologie zur Untersuchung transkriptioneller Unterschiede mittels globaler DNA-Arrays entwickelt und etabliert werden. Ein weiteres Ziel dieser Arbeiten war, die Quantifizierbarkeit dieser Analysen einzuschätzen und zu verbessern und damit die Grundlagen zur Vergleichbarkeit der unterschiedlichen Systeme (Nylon-, Polypropylene-Membranen, Glas/radioaktive Markierung, Fluoreszenzmarkierung) zu legen.

In eigenen Experimenten und in Kooperationsprojekten sollte die neue Methode angewendet und darüber hinaus den Mitgliedern des Verbundprojektes zugänglich gemacht werden.

Parallel dazu erfolgte die Entwicklung von Programmen zur Auswertung der generierten Daten als auch der Aufbau einer Datenbank-Struktur in der Arbeitsgruppe „Theoretische Bioinformatik“, DKFZ Heidelberg, durch einen Bioinformatiker. In enger Zusammenarbeit sollten die entstehenden Programme und Algorithmen validiert wie auch die Annotationen der Experimente den Erfordernissen einer Datenbank und der Analyse der darin gespeicherten Datensätze angepaßt werden.

## 2 Materialien und Methoden

### 2.1 Enzyme, Chemikalien, Primer, Plasmide, Bakterien- und Hefestämme

#### 2.1.1 Enzyme

DNA-modifizierende Enzyme und Restriktionsendonukleasen wurden von Stratagene (Heidelberg), MBI Fermentas (St. Leon-Roth), Boehringer Mannheim (Mannheim), Life Technologies (Eggenstein), Promega (Heidelberg), QIAGEN (Hilden) und New England Biolabs (Schwalbach) bezogen. *Taq* DNA-Polymerase wurde aus dem überproduzierenden Stamm DH5 $\alpha$ /pTP4 (L. Schalkwyk, ICRF, London) nach dem Protokoll von (Pluthero, 1993) isoliert.

#### 2.1.2 Chemikalien

Alle verwendeten Chemikalien wurden in der höchstmöglichen Reinheit von Merck (Darmstadt), Sigma (Deisenhofen), Serva (Heidelberg), Fluka (Neu-Ulm) oder Roth (Karlsruhe) bezogen.

#### 2.1.3 Primer

Für die Amplifikation der *Saccharomyces cerevisiae* ORFs wurden kommerziell erhältliche Primerpaare der Firma Research Genetics (USA) verwendet. Die vollständige Liste kann bei Research Genetics eingesehen werden<sup>1</sup>.

Tabelle 2.1: Sonstige verwendete Primer

---

Name	Sequenz
YGUF	GGAATTCCAGCTGACCACCATG
YGUR	GATCCCCGGGAATTGCCATG
T3	AATTAACCCTCACTAAAGGG
T7	GTAATACGACTCACTATAGGGC

---

---

<sup>1</sup> [ftp.resgen.com/pub/genepairs/yeast\\_genpairs/](ftp.resgen.com/pub/genepairs/yeast_genpairs/)

Tabelle 2.2: Für die Amplifikation und Klonierung der Lambda-Kontrollklone verwendete Primer

Name	Sequenz Forward-Primer	Sequenz Reverse-Primer
L02- F/R	AATTGCCAGTATTCTCGACGG	GCTCAACGTGGGTTTTTCATA
L03- F/R	CAAAAAGCACCGGGATAACA	ACGAAAACCAGAGAATGCCA
L04- F/R	TTCACATCTGGACAGCGTACA	TAGACGGATGCCCCTTTAAT
L05- F/R	TTACCGAAATCGGTACGGAT	ACACGGAAGTGGCCGTAAA
L06- F/R	ATGTATGAAAACGCCACCA	TGACCATCCGGAAGTGTGT
L07- F/R	GCATCAGCAACCCGAACAA	TTATCCGTATCCTGAGCCGT
L08- F/R	GGTGTCTCGTATGAGCAGCTT	ATTACGCAGCTCTGCTGTCA
L10- F/R	ATTTACAGCGGCAGCCATAA	TGTTCTTCGCGTCCGTGA
L11- F/R	CAGCACCACAGAGTGCACA	TAAAAAAGCCGCACAGGC
L12- F/R	GCGGCAAATGAGCAGAAATT	ATATCGTCGGTCGGGTCATA
L13- F/R	TCATCGTGTTCGATCCGAAA	ACGGGCAATCAGTTCATCTT
L14- F/R	AAGAAGAACTGGCGCTCCGT	CCTGTCCGGCATAGCTGATAT
L15- F/R	TGACCATCGGTGAGGAAAAT	AATAAACGCGCCGGGAATA
L16- F/R	TTGATGTGGTGAAAATCCCG	AGATCGGCTGAACTCCACAA
L17- F/R	TACCAAATCCTACAATGCCG	TTTACCACCGAGGTGCT
L18- F/R	AACCGACAAGAGCTTTCGTG	TCAGCATGAGAAATTGCCTCC
L19- F/R	AGCCTGTTTCTGCGGAAA	CCAGACTCAAATCAACGACCA
L21- F/R	ACAAGGTCGCTGAAGCCTT	TCTGCTGCTGCGCATTTTT
L22- F/R	AGACGCCGCTGGAGAAATATA	ATCAATGGCGGCCCGTTT
L23- F/R	AAGACCAGCTTCGCGGGAA	ATAACCGCCGGTGGCATA
L24- F/R	TGTGGTGATTAACAACGACGG	TTCATTCAGTGTTCCTGCC
L25- F/R	GGTCGGTGGAGAACGTTATT	TTGGCTGGTCATATTCATCC
L26- F/R	AATAACGTCGGCAACTTTGG	ATAGAGATTCTGGCCGTTACG
L27- F/R	ATGTGCTGCTGTGCTGTTTT	TCCGGCGGTAAAGAATGAT
L28- F/R	TTCTCTCGGTGCCAGTATGGT	TGTTGGTATTCCCCTCAGTGT
L29- F/R	TGCTGGGTACGGAAGTGAAAT	TTTAAACGTTCCGTCCCAGA
L30- F/R	AACAACATGGCCTGGTGTCT	TGGTACAGCCAAAGGCATC
L31- F/R	AAACGCAGACCGTGGATTT	AGTGACTTCTGCGGTCAGGT
L32- F/R	GTGGTGAAGGGCGTGAGTTT	AATCCAGGTAACCTTCCGCAT
L33- F/R	AGCTGCTGGAAAAAGTCGA	GCTCGCCGCCTTTACAAT
L34- F/R	AGGTACCCGTAAGTGCACCGT	AAAATAGCCCACCGTAAACG
L35- F/R	TACCGGTGTGAGTCATCTGAA	AAAAAAGCCCACCGGTTT
L36- F/R	TGAAAGACGGCACAGGAAAA	TTTGCTGATGCCGCTTCT
L37- F/R	GCGGAAAACGTCAGAAACGAA	TGAGCTGCACTATCCCCTTT

Die Forward-Primer tragen am 5'-Ende die universelle Sequenz YGUF und die Restriktionsschnittstelle des Enzyms *Xba*I, d. h. sie beginnen alle mit der Sequenz GGAATTCCAGCTGACCACCATG-TCTAGA. Analog dazu tragen die Reverse-Primer am 5'-Ende die universelle Sequenz YGUR und die Erkennungsstelle für *Eco*RI, GATCCCCGGGAATTGCCATG-GAATTC.

## 2.1.4 Plasmide

Tabelle 2.3: Für Klonierungen verwendete Plasmide

<b>Name</b>	<b>Herkunft bzw. Referenz</b>
pBluescript II SK(+)	Stratagene ( <a href="http://www.stratagene.com">http://www.stratagene.com</a> )
pMS283	M. Scheideler (DKFZ, Heidelberg)

Tabelle 2.4: Plasmide mit *Arabidopsis thaliana*-Inserts

<b>Name</b>	<b>EST-ID des Inserts</b>	<b>Herkunft bzw. Referenz</b>
pSWA03	P_21261	vorl. Arbeit
pSWA05	P_21270	vorl. Arbeit
pSWA06	P_21265	vorl. Arbeit
pSWA07	P_21275	vorl. Arbeit
pSWA08	P_21277	vorl. Arbeit
pSWA09	P_20661	vorl. Arbeit
pSWA10	P_20662	vorl. Arbeit
pSWA11	P_20663	vorl. Arbeit
pSWA12	P_20669	vorl. Arbeit
pSWA13	P_20670	vorl. Arbeit
pSWA14	P_20671	vorl. Arbeit
pSWA15	P_20672	vorl. Arbeit
pSWA16	P_20673	vorl. Arbeit
pSWA17	P_20664	vorl. Arbeit
pSWA18	P_20665	vorl. Arbeit
pSWA19	P_20666	vorl. Arbeit
pSWA20	P_20667	vorl. Arbeit
pSWA21	P_20927	vorl. Arbeit
pSWA22	P_20928	vorl. Arbeit
pSWA23	P_20931	vorl. Arbeit
pSWA24	P_20677	vorl. Arbeit
pSWA25	P_20684	vorl. Arbeit
pSWA26	P_20686	vorl. Arbeit
pSWA27	P_20682	vorl. Arbeit
pSWA28	P_20935	vorl. Arbeit
pSWA29	P_20936	vorl. Arbeit
pSWA30	P_20937	vorl. Arbeit

Die Sequenz der klonierten *Arabidopsis thaliana* -Sequenzen kann mit Hilfe der EST-ID bei TIGR (The Institute of Genome Research; [www.tigr.org/tdb/ath1/htmls/index.html](http://www.tigr.org/tdb/ath1/htmls/index.html)) eingesehen werden.

Tabelle 2.5: Plasmide mit Insert-Sequenzen des Bakteriophagen  $\lambda$ 

<b>Name</b>	<b>Herkunft bzw. Referenz</b>
pSBL02	vorl. Arbeit
pSBL03	vorl. Arbeit
pSBL04	vorl. Arbeit
pSBL05	vorl. Arbeit
pSBL06	vorl. Arbeit
pSBL07	vorl. Arbeit
pSBL08	vorl. Arbeit
PSBL10	vorl. Arbeit
pSBL11	vorl. Arbeit
pSBL12	vorl. Arbeit
pSBL13	vorl. Arbeit
pSBL14	vorl. Arbeit
pSBL15	vorl. Arbeit
pSBL16	vorl. Arbeit
pSBL17	vorl. Arbeit
pSBL18	vorl. Arbeit
pSBL19	vorl. Arbeit
pSBL21	vorl. Arbeit
pSBL22	vorl. Arbeit
pSBL23	vorl. Arbeit
pSBL24	vorl. Arbeit
pSBL25	vorl. Arbeit
pSBL26	vorl. Arbeit
pSBL27	vorl. Arbeit
pSBL28	vorl. Arbeit
pSBL29	vorl. Arbeit
pSBL30	vorl. Arbeit
pSBL31	vorl. Arbeit
pSBL32	vorl. Arbeit
pSBL33	vorl. Arbeit
pSBL34	vorl. Arbeit
pSBL35	vorl. Arbeit
pSBL36	vorl. Arbeit
pSBL37	vorl. Arbeit

Die Sequenz der klonierten Fragmente ist determiniert durch die Sequenzen der entsprechenden Primer aus Tabelle 2.2.

## 2.1.5 Bakterienstämme

Tabelle 2.4: Für Transformationen verwendeter Bakterienstamm

Name	Genotyp	Herkunft bzw. Referenz
DH5 $\alpha$	F <sup>-</sup> $\phi$ 80dlacZ $\Delta$ M15 $\Delta$ (lacZYA-argF)U169 <i>deoR recA1 endA1 hsdR17</i> (r <sub>K</sub> <sup>-</sup> , m <sub>K</sub> <sup>+</sup> ) <i>phoA supE44 <math>\lambda</math><sup>-</sup> thi-1 gyrA96 relA1</i>	Life technologies (www.lifetechnologies.com)

## 2.1.6 Hefestämme

Tabelle 2.5: Verwendete Hefestämme

Stamm	Genotyp	Herkunft bzw. Referenz
FY1679	<i>MATa/MATa ura3-52/ura3-52 trpD63/TRP1 leu2D1/LEU2 his3D200/HIS3 GAL2/GAL2</i>	EUROFAN, (Entian und Kötter, 1998)
CEN.PK2	<i>MATa/MATa ura3-52/ura3-52 trp1-289/trp1-289 leu2-3,112/leu2-3,112 his3D1/his3D1 MAL2-8<sup>c</sup>/MAL2-8<sup>c</sup> SUC2/SUC2</i>	(Entian und Kötter, 1998)
RS453	<i>MATa/MATa ade2/ade2 his3/his3 leu2/leu2 trp1/trp1 ura3/ura3</i>	(Hellmuth <i>et al.</i> , 1998)
Y547	<i>MATa ade2 his3 leu2 trp1 ura3 los1::HIS3</i>	(Hellmuth <i>et al.</i> , 1998)
MCY730	<i>Mat a ura3-52 lys2-801 ade2-101 trp1-D1 his3D200</i>	J.E. Perez (Valencia, Spanien)
T73	Aus spanischem Wein isolierter diploider Wildtypstamm dessen Genotyp nicht bekannt ist.	Lallemand Inc. (Montreal, Kanada)

## 2.2 Medien und Kulturbedingungen

Sämtliche Medien wurden mit deionisiertem Wasser angesetzt und 20 min bei 121 °C im Autoklaven sterilisiert. Zur Herstellung von Agarplatten enthielten die Medien zusätzlich 2 % Agar.

### 2.2.1 Medien für Hefekulturen

- Vollmedium (YPD)
  - 1 % Bacto<sup>®</sup> Yeast Extract (Dianova, Hamburg)
  - 2 % Bacto<sup>®</sup> Peptone (Dianova, Hamburg)
  - 2 % D-Glukose



## 2.2.2 Medien für Bakterienkulturen

### 2YT-Medium (Vollmedium)

1,6	%	Bacto <sup>®</sup> Tryptone (Dianova, Hamburg)
1	%	Bacto <sup>®</sup> Yeast Extract (Dianova, Hamburg)
0,5	%	NaCl

## 2.2.3 Wachstumsbedingungen für Flüssigkulturen

Zur Anzucht von Hefekulturen wurden in einem Reagenzglas 3-5 ml Nährmedium mit Hefezellen von Agarplatten beimpft und bis zum Erreichen der stationären Wachstumsphase (16-24 h) bei 30 °C geschüttelt. Hauptkulturen wurden stets mit flüssigen Vorkulturen angeimpft und in Erlenmeyerkolben, die das 4-5-fache Volumen der Nährflüssigkeit hatten, auf einem Rundschüttler bei 200 rpm und 30 °C inkubiert. Die Zelldichte wurde photometrisch durch Messung der optischen Dichte bei 600 nm ( $OD_{600}$ ) bestimmt. Dabei entspricht eine gemessene optische Dichte von  $OD_{600}=1$  ca.  $3 \times 10^7$  Zellen pro ml.

Bakterienkulturen wurden aus einer Einzelkolonie von Agarplatten angeimpft und über Nacht bei 37 °C und 220 rpm geschüttelt.

## 2.3 Isolierung chromosomaler DNA aus Hefezellen

Eine 100-200 ml Übernachtkultur ( $OD_{600}$  ca. 3-5) wurde geerntet und im gleichen Volumen mit ddH<sub>2</sub>O gewaschen (3 min, 3000 rpm, RT). Die Zellen wurden in 5 ml Aufschlußpuffer (10 mM Tris/HCl pH=8,0; 1 mM EDTA pH=8,0; 100 mM NaCl; 2 % Triton X-100; 1 % SDS) resuspendiert, mit 5 ml Phenol/Chloroform/Isoamylalkohol (25:24:1) und 5 ml säuregewaschenen Glasperlen (0,45-0,55 mm, Braun, Melsungen) versetzt und durch kräftiges Vortexen für 3-5 min aufgeschlossen. Die Phasen wurden durch Zentrifugation (5 min, 4500 rpm, RT) getrennt und die obere, wässrige Phase in ein neues Gefäß überführt. Diese Phenol/Chloroform-Extraktion wurde wiederholt und anschließend die Nukleinsäuren durch Zugabe von 800 µl 5 M NaCl und 2 Volumenanteilen Ethanol bei -20 °C für 10 min ausgefällt. Das Präzipitat wurde pelletiert (30 min, 10000 rpm, 4 °C), getrocknet und in 2 ml TE-Puffer (10 mM Tris/HCl pH=8,0; 1 mM EDTA pH=8,0) resuspendiert. Nach Zugabe von 20 µl DNase-freier RNase (10 mg/ml) wurde die enthaltene RNA für 40-50 min bei Raumtemperatur hydrolysiert. Um das Enzym zu entfernen wurde die Lösung anschließend wieder mit einem Volumenanteil Phenol/Chloroform ausgeschüttelt, gefolgt von zwei Chloroform-

extraktionen um Reste von Phenol zu entfernen. Die DNA wurde erneut aus der wässrigen Phase ausgefällt und in 100 µl ddH<sub>2</sub>O aufgenommen. Die Konzentration und Reinheit wurden photometrisch bestimmt und die DNA auf einem Agarosegel auf Degradation überprüft, aliquotiert und bei -20 °C gelagert. Mit dieser Methode konnten bis zu mehreren mg DNA isoliert werden.

## 2.4 Isolierung von Gesamt-RNA aus Hefezellen

### 2.4.1 Zellernte und -aufschluß

#### 2.4.1.1 *Mechanische Disruption*

Die Zellen wurden bis zur gewünschten Wachstumsphase kultiviert, kurz sedimentiert (3000 rpm, 2 min, RT) und in einem minimalen Restvolumen Medium resuspendiert. Diese Zellsuspension wurde sofort mit einer Pipette in flüssigen Stickstoff getropft, so daß individuelle Zellkugeln entstanden. Für den Aufschluß wurde ein 5 ml Teflongefäß bestückt mit einer 7 mm Wolframcarbidkugel in flüssigem Stickstoff vorgekühlt, Zellkugeln entsprechend ca. 30 OD<sub>600</sub>-Einheiten Zellen zugefügt und diese mechanisch in einem Mikro-Dismembrator (Braun, Melsungen) aufbrochen (2 min, 2600 rpm). Das noch tiefgefrorene Zellpulver wurde sofort weiter verarbeitet.

#### 2.4.1.2 *Enzymatische Lyse*

Für den enzymatischen Verdau der Zellwand sollten Zellkulturen aus der logarithmischen Wachstumsphase verwendet werden. Stationär wachsende Zellen bilden meist eine dickere Zellwand aus, die sich nur unvollständig abdauen lässt

Die Zellen wurden sedimentiert, zweimal in ddH<sub>2</sub>O und einmal in 1 M Sorbitol gewaschen (3000 rpm, 2 min, RT). Je 10 OD<sub>600</sub>-Einheiten Zellen wurden in 2 ml Lysepuffer (1 M Sorbitol, 100 mM EDTA pH=8,0, 14 mM β-Mercaptoethanol) resuspendiert und mit 1 mg/ml Novozym (Sigma, Deisenhofen) versetzt. Diese Zellsuspension wurde bei 30 °C und vorsichtigem Schütteln solange inkubiert, bis die Mehrzahl der Zellen sphäroplastiert waren (10-60 min). Die Protoplastenbildung konnte mikroskopisch oder durch Platzen in ddH<sub>2</sub>O beobachtet werden.

## 2.4.2 Extraktion von Gesamt-RNA

Gesamt-RNA wurde entweder mit einem monophasischen Reagens mit Guanidin-Thiocyanat und Phenol (z. B. TRIzol, Life Technologies, Eggenstein; RNA-clean, AGS, Heidelberg) oder durch selektive Bindung an Silikagel-Säulen (RNeasy, QIAGEN, Hilden) extrahiert. Das Zellpulver bzw. die Sphäroplasten wurden in dem jeweiligen Reagens des Kits aufgenommen und durch kräftiges Vortexen für 3-5 min homogenisiert. Die Extraktion erfolgte dann gemäß den Angaben des Herstellers. Um eventuelle DNA-Kontaminationen zu entfernen und die isolierte RNA aufzukonzentrieren, wurde anschließend eine Lithiumchlorid-Fällung durchgeführt. Dazu wurde die RNA-Lösung mit einem Volumenäquivalent Lithiumchlorid-Puffer (4 M LiCl; 20 mM Tris/HCl pH=7,5; 10 mM EDTA pH=8,0) versetzt, mindestens 1 h bei -20 °C gefällt und anschließend zentrifugiert. Das RNA-Pellet wurde zweimal mit 70 % Ethanol gewaschen, kurz getrocknet und in ddH<sub>2</sub>O aufgenommen. Konzentration und Reinheit wurden photometrisch bestimmt. Vereinzelt wurde die RNA im 1 %igen Agarosegel elektrophoretisch aufgetrennt und auf Degradation überprüft. Die RNA wurde bei -80 °C als Ethanolpräzipitat aufbewahrt.

## 2.5 Herstellung der Plasmide mit heterologer DNA

Aus der Sequenz des Bakteriophagen Lambda wurden 35 Bereiche zwischen 481 und 530 bp Länge mit gleichem GC-Gehalt ausgewählt und über die Restriktionsschnittstellen BamHI und *EcoRI* in den Vektor pMS283 kloniert (Abb. 2.1). Dieser Vektor war durch Einfügen eines 50 bp langen Poly-A-Sequenzbereichs (*EcoRI*, *HindIII*) aus dem kommerziellen Vektor pBluescript II SK(+) entstanden und wurde freundlicherweise von Herrn M. Scheideler zur Verfügung gestellt. Die zur PCR-Amplifikation benötigten spezifischen Sequenzen wurden ausgewählt und mit den Restriktionsschnittstellen der Enzyme *XbaI* und *EcoRI* sowie den universellen Sequenzen YGUF und YGUR versehen (Tabelle 2.2). Die PCR erfolgte im 100 µl Ansatz [10 mM Tris/HCl pH=8,8; 50 mM KCl; 1,5 mM MgCl<sub>2</sub>; je 0,2 mM der vier Nukleotidtriphosphate; 250 ng Lambda-DNA (Life Technologies, Eggenstein); 2,5 U *Taq*-Polymerase und 20 µl Q-Solution (QIAGEN, Hilden)] nach folgendem Programm: 3 min 94°C gefolgt von 30 Zyklen eine min 94°C, eine min 65°C, eine min 72°C. Die Fragmente wurden aufgereinigt (PCR Purification Kit, QIAGEN, Hilden), quantifiziert und je ca. 0,5 pmol im 20 µl Ansatz [2 µl 10-fach Puffer, 0,1 mg/ml BSA, je 10 U *XbaI* und *EcoRI*, (New England Biolabs, Schwalbach)] für 2,5 h bei 37 °C verdaut. Vom Vektor pMS283 wurden ca.

2 pmol im gleichen Reaktionsansatz mit je 40 U der Enzyme verdaut. Die beiden Vektorarme wurden gelelektrophoretisch aufgetrennt, das gewünschte Fragment aus der Agarose eluiert (Gel-Extraction-Kit, QIAGEN, Hilden) und anschließend dephosphoryliert. Vektor- und Lambda-Fragment wurden im Ligationsansatz (T4 Ligase, Life Technologies, Eggenstein) im Verhältnis 1:3 vermischt und die Ligation bei 16 °C für 4 h durchgeführt. Vom Ligationsansatz wurde 1/8 Volumen zur Elektroporation in kompetente DH5 $\alpha$ -Zellen (Stratagene, Heidelberg) verwendet. Die Zellen wurden auf 2YT-Agarplatten mit Ampicillin (100  $\mu$ g/ml), versetzt mit 40  $\mu$ l 2 % Xgal und 4  $\mu$ l 20 % IPTG, ausplattiert und über Nacht bei 37 °C inkubiert. Weiße Klone wurden gepickt, in 2YT-Medium mit Ampicillin über Nacht angezogen und direkt zur PCR mit den Primern T3/T7 eingesetzt. Aus Klonen welche ein PCR-Fragment lieferten, wurde das Plasmid isoliert (Plasmid-MiniPrep, QIAGEN, Hilden) und durch Restriktionsverdau mit geeigneten Enzymen das korrekte Insertionsereignis bestätigt. Von den positiven Klonen wurde eine Übernachtskultur angezogen, mit sterilem Glycerin versetzt (15 % Endkonzentration) und bei -80 °C gelagert.

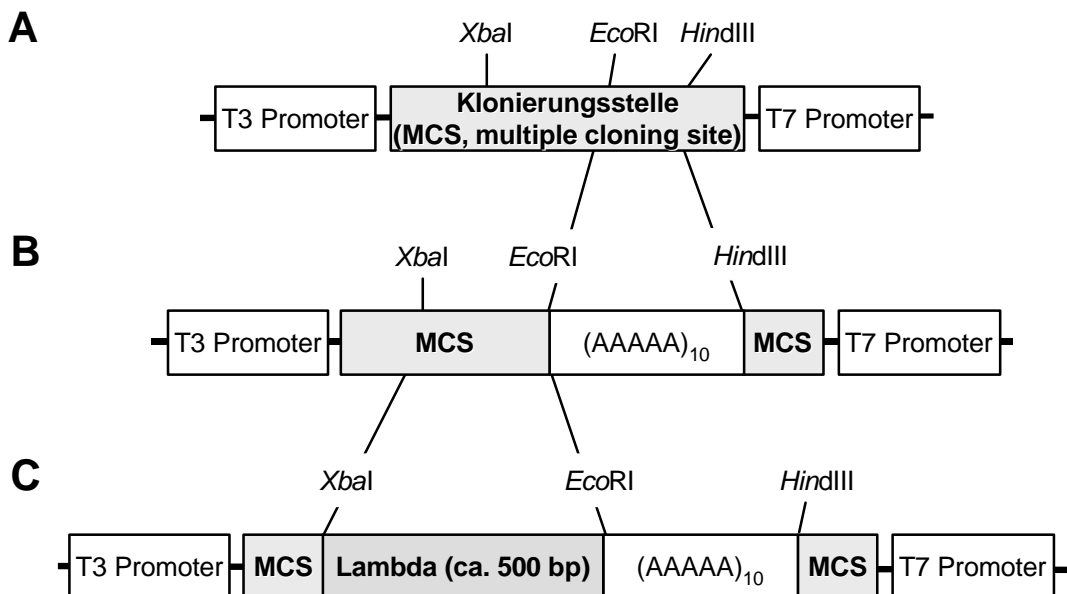


Abb. 2.1: Konstruktion der heterologen Kontrollplasmide. Der Vektor pMS283 (B) war durch Einfügen einer Poly-A-Sequenz in die Klonierungsstelle (MCS) des kommerziellen Vektors pBluescript II SK(+) (A) entstanden. Die aus dem Lambda-Genom ausgewählten Bereiche wurden durch PCR an Lambda-DNA amplifiziert, dabei mit den Restriktionsschnittstellen *Xba*I und *Eco*RI versehen und in den Vektor pMS283 kloniert (C).

## 2.6 *In vitro*-Transkription

Für die *in vitro*-Transkription wurden die Plasmide linearisiert oder die Inserts durch PCR mit dem T3/T7 Primer-Paar amplifiziert und je ca. 1 µg als Matrize eingesetzt. Die Reaktion erfolgte in einem Gesamtvolumen von 50 µl mit 5-fach Transkriptionspuffer, je 2 mM der Nukleosidtriphosphate (ATP, CTP, GTP, UTP) und 350 U T3 RNA-Polymerase (MBI Fermentas, St. Leon-Roth) für 2 h bei 37 °C. Die Transkripte wurden aufgereinigt (Oligo(dT)25-Dynabeads, Dynal) und bei –80 °C gelagert.

## 2.7 PCR Amplifikation

Unter Verwendung von 12 232 spezifischen Oligonukleotiden wurden an genomischer DNA 6116 PCR-Amplifikationen durchgeführt. Die Primermoleküle (Research Genetics, USA) waren so gewählt, daß mit ihnen die gesamte kodierende Region vervielfältigt wurde. Das 5'-Ende aller Hin-Primer beginnt mit der Sequenz GGAATTCCAGCTGACCACCATG (YGUF) gefolgt von den ersten ca. 25 Basen jedes offenen Leserahmens (ORF); das 5'-Ende der Rück-Primer beginnt mit der Sequenz GATCCCCGGGAATTGCCATG (YGUR) gefolgt von der revers-komplementären Sequenz der ca. 25 letzten Basen des ORF. Der Reaktionsansatz [10 mM Tris/HCl pH=8,8; 50 mM KCl; 1,5 mM MgCl<sub>2</sub>; je 0,2 mM der vier Nukleotidtriphosphate; 25 ng chromosomale Hefe-DNA (FY1679); 1 U *Taq*-Polymerase und 0,25 U *Pfu*-Polymerase (Stratagene, Heidelberg)] wurde vorgelegt und mit je 20 pmol beider Primer versetzt. Einem ersten Denaturierungsschritt von 3 min bei 95 °C folgten 35 Zyklen von 1 min bei 95 °C, 45 sec bei 50 °C und 3,5 min bei 72 °C und schließlich eine Nachbehandlung zum Auffüllen der DNA-Stränge bei 72 °C für 8 min. Die Reaktionen wurden in einem Gesamtvolumen von 100 µl in Mikrotiterplatten in einem Thermozykler (PTC-200, MJ Research, USA) durchgeführt. Die Amplikons wurden mittels Agarosegelelektrophorese auf Ausbeute und korrekte Größe überprüft und die Ergebnisse in einer Datenbank festgehalten. Dabei wurden folgende Fälle unterschieden:

- + PCR Produkt korrekter Größe
- kein Produkt
- m mehrere Fragmente unterschiedlicher Größe
- s Schmier

Die Reaktionen, die dabei kein Produkt ergaben, wurden mit einem Enzym-Mix von Boehringer Mannheim (Expand<sup>TM</sup> High-fidelity System) wiederholt. Der Reaktionsansatz wurde den Herstellerangaben entsprechend vorbereitet und folgendem Programm unterzogen: nach 2 min Denaturierung bei 95 °C erfolgten 10 Zyklen mit 15 sec bei 95 °C, 30 sec bei 50 °C und 4 min bei 68 °C. Anschließend erfolgten 25 weitere solcher Zyklen, bei denen jedoch die Extensionszeit bei 68 °C in jedem Zyklus um 20 sec verlängert wurde. Auch hier wurde der Ansatz schließlich noch für 7 min bei 72 °C inkubiert, um unvollständige Stränge zu verlängern.

Mit Hilfe der universellen Sequenzen am jeweiligen 5'-Ende der PCR-Produkte (YGUF, YGUR) ließen sich die Amplikons als Matrize einsetzen und vereinfacht re-amplifizieren. Der Reaktionsansatz wurde analog der Standardreaktion gewählt, jedoch ohne genomische DNA und mit je 10 pmol der beiden universellen Primer (YGUF, YGUR). In die vorgelegte Lösung wurde dann mit einem 96-fach Metallreplikator (Übertragungsvolumen ca. 1 µl) das Template aus der Mikrotiterplatte übertragen. Die Reaktionszeiten waren entsprechend dem Standardansatz.

## **2.8 Herstellung von DNA-Arrays**

Die PCR-Produkte wurden mit Hilfe eines Roboters (BioGridder, Biorobotics, UK) in einem hochdichten Raster auf positiv geladene Nylonmembranen (Pall Biodyne B, DuPont, USA) aufgebracht. Die Membranen wurden dafür auf mehreren Lagen mit Denaturierungslösung (0,5 M NaOH; 1,5 M NaCl) getränktem Whatman-3MM Filterpapier positioniert. Der Transfer der DNA-Fragmente erfolgte mit 384er Metallnadelreplikatoren mit 0,7 mm Durchmesser. Um ausreichende Mengen an DNA zu akkumulieren, wurde die gleiche Position mehrfach hintereinander (bis zu 15 Mal) angefahren. Anschließend wurden die Membranen auf ein mit Neutralisierungspuffer (1,5 M NaCl; 0,5 M Tris/HCl pH=7,5; 1 mM EDTA) getränktes Whatman-3MM Filterpapier gelegt und für eine min neutralisiert, dann über Nacht getrocknet. Die DNA wurde durch UV-Strahlung ( $1200 \times 100 \mu\text{J}/\text{cm}^2$ , CrossLinker, Stratagene, Heidelberg) auf der Nylonmembran immobilisiert.

Wegen starker Qualitätsschwankungen der kommerziell erhältlichen Nylonmembranen wurden diese später durch Polypropylene-Membranen ersetzt. Diese zeigen eine bessere Beladungskapazität und damit verbunden verbesserte Signalintensitäten (Beier und Hoheisel, 1999). Während der Übertragung der DNA lagen die Polypropylen-Membranen (Pall, USA) auf Filterpapieren, die mit frisch hergestellter Aktivierungslösung (28 mM EDC in ddH<sub>2</sub>O,

versetzt mit 44 µl NMI pro 100 ml Lösung) getränkt worden waren. Nach dem Aufbringen der DNA wurden die Membranen für 2 h bei 65 °C in einem verschlossenen Gefäß inkubiert und anschließend getrocknet.

Zur Kontrolle der Übertragung der Lösung auf das Trägermaterial wurden einige Vertiefungen der Mikrotiterplatten mit Bromphenolblaulösung versetzt.

Die Membranen hatten die Größe 11 x 22 cm und waren in drei Felder, entsprechend der Größe einer MTP, unterteilt. Jedes Feld enthielt 384 Blöcke mit je 16 Positionen ( $3 \times 384 \times 16 = 18.432$ ), in denen jedes DNA-Fragment doppelt in einem definierten Raster aufgebracht wurde (Abb. 2.2).

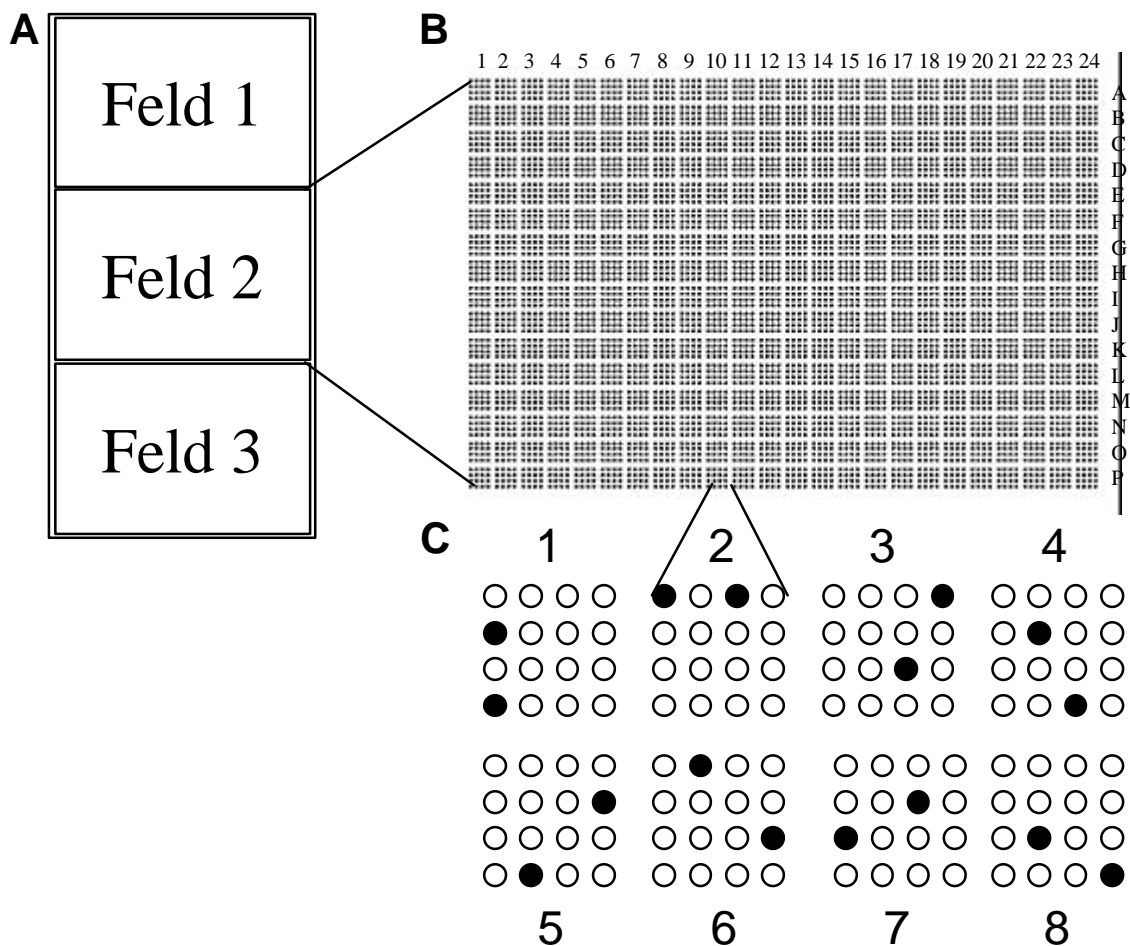


Abb. 2.2: Anordnung der Positionen im Raster. Die Membranen der Größe 11x22 cm sind in 3 Felder eingeteilt (A). Jedes Feld enthält 384 Blöcke mit den Koordinaten A1 bis P24 (B). In jedem Block liegen 16 Positionen an denen die DNA-Fragmente in einem definierten Muster doppelt aufgebracht sind (C).

## 2.9 Radioaktive Markierung von DNA zur Hybridisierung

### 2.9.1 Markierung von Oligonukleotiden

Oligonukleotide wurden durch Phosphorylierung des 5'-Hydroxylendes mit [ $\gamma$ - $^{33}\text{P}$ ]ATP radioaktiv markiert. Dazu wurden 20 pmol Oligonukleotide mit 1  $\mu\text{l}$  10-fach PNK-Puffer, 10  $\mu\text{Ci}$  [ $\gamma$ - $^{33}\text{P}$ ]ATP (>2500 Ci/mmol, Amersham-Pharmacia biotech, Freiburg) und 10 U T4-Polynukleotidkinase (Biolabs, New England) in einem Volumen von 10  $\mu\text{l}$  für 30 min bei 37 °C inkubiert. Das Enzym wurde 10 min bei 70 °C inaktiviert und der Reaktionsansatz direkt für Hybridisierungen eingesetzt.

### 2.9.2 Markierung von DNA

Längere DNA-Moleküle wurden durch Replikation mit zufälligen Hexameren als Startpunkt (random hexamer priming) und dem gleichzeitigen Einbau von [ $\alpha$ - $^{33}\text{P}$ ]dCTP markiert. Hierzu wurde die DNA in ddH<sub>2</sub>O 5 min im kochenden Wasserbad denaturiert und kurz auf Eis gekühlt. Die DNA-Lösung wurde anschließend mit 18  $\mu\text{l}$  Reaktionsmix [125 mM Tris/HCl pH=8,0; 12 mM MgCl<sub>2</sub>; 25 mM  $\beta$ -Mercaptoethanol; 0,5 M Hepes pH=6,6; 7 A<sub>260</sub>-Units Hexamer-Primergemisch (MBI, St. Leon-Roth)], 1,5  $\mu\text{l}$  BSA (10 mg/ml), 1  $\mu\text{l}$  dAGT-Mix (je 0,5 mM dATP, dGTP, dTTP) 10-30  $\mu\text{Ci}$  [ $\alpha$ - $^{33}\text{P}$ ]dCTP (>2500 Ci/mmol, Amersham-Pharmacia biotech, Freiburg) und 5 U Klenow-Fragment (MBI Fermentas, St. Leon-Roth) versetzt und in einem Gesamtvolumen von 40  $\mu\text{l}$  für 2-3 h bei 37 °C inkubiert. Zur Markierung einzelner PCR-Fragmente wurden 20-500 ng DNA mit 10  $\mu\text{Ci}$ , für komplexe genomische DNA 4-5  $\mu\text{g}$  DNA mit 30  $\mu\text{Ci}$  [ $\alpha$ - $^{33}\text{P}$ ]dCTP markiert. Die Reaktion wurde durch Zugabe von 4  $\mu\text{l}$  0,5 M EDTA pH=8 abgestoppt und nicht eingebaute radioaktive Nukleotide durch Fällung mit Isopropanol abgetrennt. Dazu wurde der Ansatz mit 2  $\mu\text{l}$  tRNA (10 mg/ml), 10  $\mu\text{l}$  3 M Na-Acetat pH=5,2 und 60  $\mu\text{l}$  Isopropanol versetzt, 30 min bei -20 °C inkubiert, 30 min zentrifugiert und der Niederschlag in 50  $\mu\text{l}$  ddH<sub>2</sub>O aufgenommen.

### 2.9.3 Herstellung von komplexen Proben durch cDNA-Erststrangsynthese

Aus Hefezellen isolierte RNA wurde durch reverse Transkription in cDNA umgeschrieben und durch den gleichzeitigen Einbau von [ $\alpha$ - $^{33}\text{P}$ ]dCTP radioaktiv markiert. Dazu wurden 20-30  $\mu\text{g}$  Gesamt-RNA in 12,5  $\mu\text{l}$  ddH<sub>2</sub>O mit 1  $\mu\text{l}$  Anker-Oligo dT<sub>15</sub> (500 ng) versetzt und



10 min bei 70 °C erhitzt, anschließend kurz auf Eis gekühlt und bei 43 °C vorinkubiert. Der ebenfalls temperierte Reaktionsmix (6 µl 5-fach Puffer, 3 µl DTT, 1,5 µl Nukleotid-Mix (je 16 mM dAGT, dGTP, dTTP, 100 µM dCTP) sowie 50 µCi [ $\alpha$ -<sup>33</sup>P]dCTP (>2500 Ci/mmol, Amersham-Pharmacia biotech, Freiburg) und 200 U Reverse Transkriptase (SuperScriptII, Life Technologies, Eggenstein) wurden zugegeben und der Reaktionsansatz für 1 h bei 43 °C inkubiert. Die Reaktion wurde mit 1 µl 0,5 M EDTA abgestoppt und die RNA durch Zugabe von 3 µl 3 M NaOH und 1 µl 1 % SDS für 30 min bei 65 °C hydrolysiert. Nach weiteren 15 min bei RT wurde die Lösung mit 3 µl 2 M HCl und 10 µl Tris/HCl pH=8,0 neutralisiert. Die cDNA wurde anschließend durch Zugabe von 5 µl tRNA (10 mg/ml), 5 µl Na-Acetat pH=5,3 und 60 µl Isopropanol für 30 min bei -20 °C gefällt, um nicht eingebaute Nukleotide zu entfernen. Der Niederschlag wurde pelletiert, getrocknet und in 50 µl ddH<sub>2</sub>O aufgenommen.

Zur Bestimmung der Effizienz der Reaktion wurde die Einbaurate der markierten Nukleotide bestimmt. Dazu wurde vor der Isopropanolfällung ein Aliquot entnommen, in einem Fällungsmix (7 µl ddH<sub>2</sub>O; 7 µl 0,05 M EDTA pH=8,0; 5 µl 10 mg/ml tRNA) aufgenommen und je zu Hälfte auf zwei Glasfibrfiltern (Ø 1 cm, GF/C, whatman) aufgebracht. Ein Filter wurde dreimal 5 min in eiskalter TCA-Lösung (10 % TCA, 1 % Na-Pyrophosphat) gewaschen, kurz mit EtOH abgespült und getrocknet. Beide Filter wurden mit 5 ml Scintillationscocktail (Lumasafe Plus, Lumac LSC) versetzt und die Zerfälle in einem Scintillationszähler (LS 1801, Beckman) bestimmt. Aus dem Verhältnis der Säure fällbaren zu den Gesamt-Zerfällen ergibt sich die Einbaurate. Ab 30 % konnten die Proben für Hybridisierungen verwendet werden.

Die Größenverteilung der cDNA-Probe konnte durch Auftrennung mittels Gelelektrophorese unter alkalischen Bedingungen bestimmt werden. Ein Aliquot der radioaktiven Probe wurde dazu im 1,4 %igen Agarosegel (50 mM NaOH, 1 mM EDTA) bei maximal 70 Volt aufgetrennt, das Gel anschließend zwischen Filterpapier gepresst und die cDNA durch phosphorimaging sichtbar gemacht.

## 2.10 Hybridisierung

Alle Hybridisierungen wurden in 300 ml Glasröhren (Biometra, Göttingen) im Rotationsofen ausgeführt. Die Membranen lagen dabei an der Glasgefäßwand an und wurden im Falle von Überlappungen durch Nylonnetze (Biometra, Göttingen) voneinander getrennt. Hybridisierungen erfolgten in einem Volumen von 5 ml, alle Waschschrte in 20-30 ml.

Komplexe und doppelsträngige Proben wurden unmittelbar vor der Hybridisierung denaturiert (5 min, 100 °C, oder 1/10 Volumen 3 M NaOH) und sofort zur Hybridisierlösung gegeben.

Die Membranen wurden für 1 h bei 65 °C mit dem Hybridisierungspuffer (0,5 M Na-Phosphat pH=7,2; 7 % SDS; 1 mM EDTA pH=8,0) vorinkubiert. Die Hybridisierungen mit komplexen Proben erfolgten für 16 h bei 65 °C, markierte Oligonukleotide wurden bei 40 °C für 5 h hybridisiert. Anschließend wurde kurz mit Waschpuffer (40 mM Na-Phosphat pH=7,2; 0,1 % SDS) geschwenkt, dann zweimal 30 min bei der Hybridisierungstemperatur gewaschen. Die Membranen wurden kurz angetrocknet, in Haushaltsfolie (saran wrap, Sigma, Deisenhofen) luftblasenfrei eingepackt und auf Bildplatten (ImagingPlate, Fuji, Japan oder Molecular-Dynamics, USA) für 1-3 Tage exponiert.

## 2.11 Auswertung

Die radioaktiven Signale wurden mit einem Phosphorimager System (Storm 860, Molecular Dynamics oder FLA3000, Fuji) als Graustufenbild mit 16bit Farbtiefe, d. h. 65536 Graustufen, gespeichert. Die Quantifizierung und eindeutige Zuordnung der Positionen erfolgte mit dem Modul ArrayVision des kommerziell erhältlichen Bildanalyseprogrammepakets AIS<sup>TM</sup> (Analytical Imaging Station, Imaging Research Inc., Kanada). Dabei wird zunächst ein ideales Raster erstellt, welches dann sowohl automatisch als auch manuell an das Bild angepaßt werden kann, um jede Position korrekt zuzuordnen. Der durchschnittliche Grauwert innerhalb jedes Rasterelementes wird berechnet und in einer Tabelle zusammen mit der eindeutigen Zuordnung ausgegeben. Weitere Analysen wurden mit einem eigens für diesen Zweck entwickelten Programm (MChips, Fellenberg *et al.*, persönliche Mitteilung) durchgeführt.

## 2.12 Experimenteller Aufbau

Jedes Experiment besteht aus einer Kontrollbedingung (z. B. Wildtypstamm, Zeitpunkt 0 einer Zeitreihe, Medium ohne Zusatz) und einer oder mehreren Bedingungen, deren Änderungen relativ zur Kontrollbedingung von Interesse sind (Mutantenstamm, Zeitpunkte nach einer Behandlung, Medium mit Zusatz). Von jeder RNA-Probe einer Wachstumsbedingung wurden mehrere unabhängige komplexe Proben hergestellt und hybridisiert. Jedes Gen ist durch sein PCR-Fragment auf dem Raster als Duplikat (Primär- und Sekundärposition) vorhanden (Abb. 2.3). Jede dieser Positionen liefert einen Messpunkt und deren Gesamtheit bildet einen Datensatz. Die einzelnen Datensätze werden separat behandelt und berechnet.

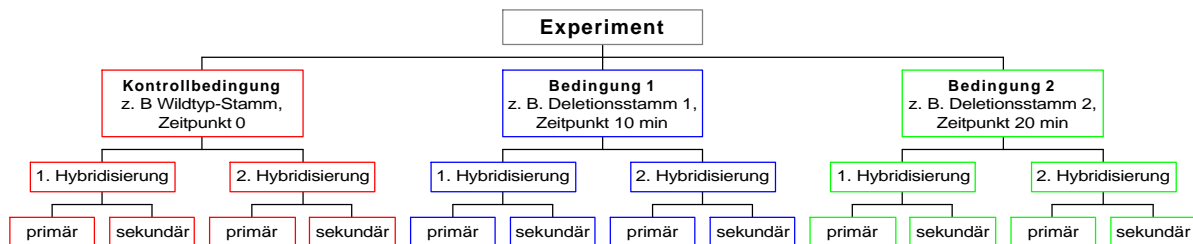


Abb. 2.3: Verschiedene Ebenen bei der Datengenerierung und deren begriffliche Definition: ein Experiment enthält Bedingungen, eine Bedingung enthält Hybridisierungen, eine Hybridisierung enthält Duplikate (Primär- und Sekundärposition), Duplikate bilden Datensätze.

## 3 Ergebnisse

### 3.1 Herstellung geordneter hochdichter DNA-Raster

#### 3.1.1 Amplifikation der offenen Leserahmen

Für die Amplifikation von 6116 offenen Leserahmen (ORF) wurde ein kommerziell erhältliches Primer-Set (Research Genetics, USA) verwendet. Die Reaktionen wurden individuell in Vertiefungen von Mikrotiterplatten durchgeführt und jedes PCR-Produkt mit Hilfe einer Agarose-Gelelektrophorese (Abb. 3.1) auf Menge, Qualität und korrekte Größe überprüft. Mit dem vom Hersteller empfohlenen Ansatz konnten in 90 % der Reaktionen mindestens 10 µg DNA mit Fragmentlängen bis zu 6 kb amplifiziert werden.

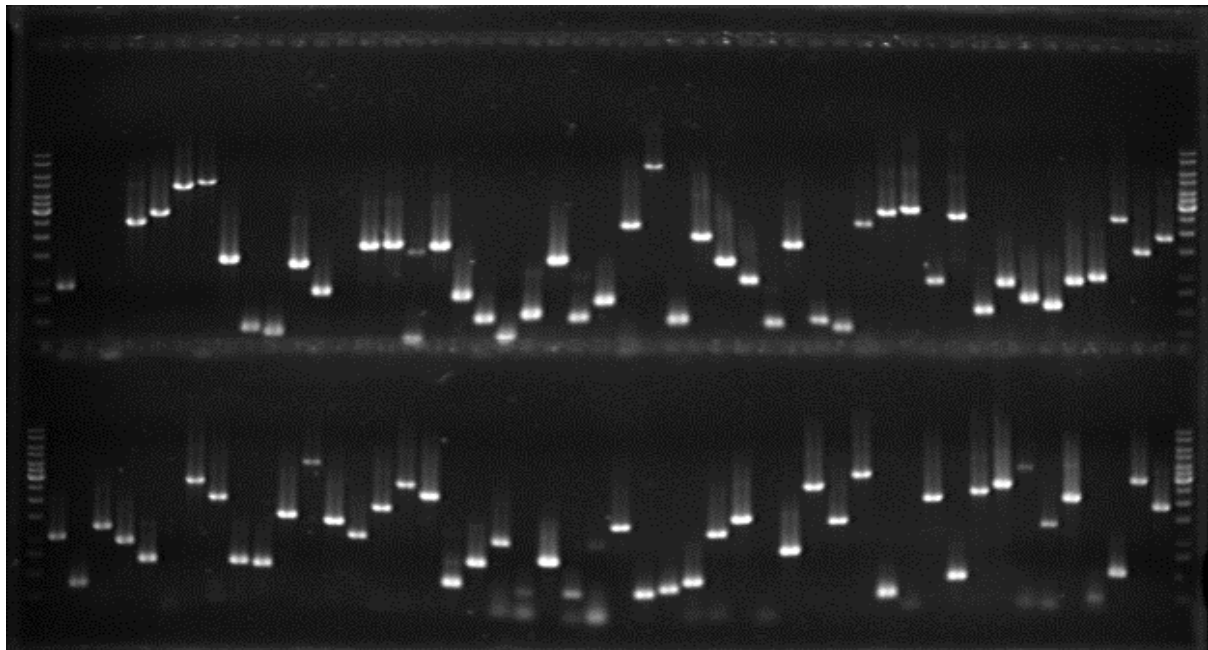


Abb. 3.1: Agarose-Gelelektrophorese exemplarisch gezeigt für 96 PCR-Produkte. Alle 6116 PCR-Produkte wurden mittels Agarose-Gelelektrophorese überprüft und nach folgenden Kriterien ausgewertet: eindeutiges Fragment, Länge stimmt mit dem Datenbankeintrag<sup>1</sup> überein; kein sichtbares Produkt; mehrere Banden im Gel; keine eindeutige Fragmentlänge, Schmier; (n bp) abgeschätzte Fragmentlänge n in bp, wenn abweichend von Datenbankeintrag.

<sup>1</sup>[http:// www.mips.biochem.mpg.de/](http://www.mips.biochem.mpg.de/)

Von den zunächst negativen Proben konnten weitere 66 % mit Hilfe eines kommerziellen Enzymgemisches gewonnen werden. Die Gesamt-Erfolgsrate lag somit bei 97 %. Dabei wurden Fragmente bis zu 11 kb amplifiziert (vollständige Liste der Ergebnisse siehe Anhang, Tabelle 6.5). Die verbleibenden 3 % nicht amplifizierte ORFs haben eine durchschnittliche Länge von 1,7 kb und liegen damit nur geringfügig über der durchschnittlichen ORF-Länge des *Saccharomyces cerevisiae*-Genoms von 1,4 kb. Es konnte keine Korrelation zwischen Fragmentlänge oder Sequenz und dem Ergebnis der PCR gefunden werden.

### 3.1.2 Herstellen der DNA-Arrays und Qualitätsprüfung

Die PCR-Produkte wurden mit einem Roboter (BioGrid, BioRobotics, GB) unter Verwendung eines 384-Metallnadel-Replikators in einem geordneten hochdichten Raster auf Membranen aufgebracht. Die Qualität der erstellten Arrays wurde durch Hybridisierungen überprüft.

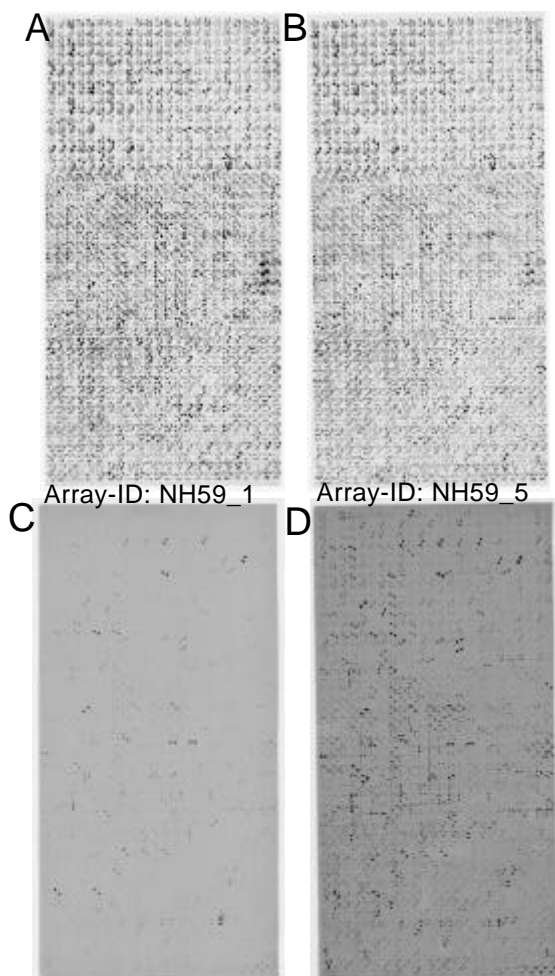


Abb. 3.2: Qualitätsunterschiede bei kommerziellen Nylon-Membranen. Zwei Nylon-Membranen (NH59\_1 und NH59\_5) aus der selben Charge wurden während des selben Roboterlauf mit DNA bestückt. Zunächst wurde mit dem radioaktiv markierten Oligonukleotid YGUR hybridisiert (A, B). Anschließend erfolgte eine Hybridisierung mit komplexer Probe (C, D). Während die Anzahl der detektierbaren Positionen nach der Oligonukleotid-hybridisierung bei beiden Membranen gleich war, zeigte sich bei der Hybridisierung mit der komplexen Probe ein deutlicher Unterschied. Die Hybridisierungen erfolgten mit identischen Proben für beide Membranen.

Bei der PCR wurde mit den Primern eine universelle Sequenz am jeweiligen 5'-Ende eingeführt (Yeast Genome Universal Forward, YGUR bzw. Yeast Genome Universal Reverse, YGUR). Durch Hybridisierung mit dem markierten Oligonukleotid, das dieser Sequenz entsprach, war es möglich, alle PCR-Produkte zu detektieren und damit die Anzahl der Positionen im Raster zu bestimmen (Abb. 3.2 A, B). Dagegen lässt sich bei Hybridisierung mit einer komplexen DNA-Probe die Qualität einschätzen (Abb. 3.2 C, D). Nach dem Aufbringen der DNA wurde die Qualität jeder Membran durch diese Hybridisierungen überprüft und nur solche von angemessener Qualität verwendet.

Wegen sehr starker Qualitätsschwankungen, auch innerhalb gleicher Herstellerchargen und des selben Roboter-Laufs, wurden kommerziell erhältliche Nylonmembranen später gegen aminierte Polypropylen-Membranen mit aktivierter Oberflächenstruktur (Beier und Hoheisel, 1999) ausgetauscht. Ein Vergleich der Signalintensitäten auf Nylon und Polypropylen zeigt die Abbildung 3.3. Dabei zeigen die Polypropylenmembranen bei konsistenter Qualität sowohl schärfer abgegrenzte DNA-Positionen als auch höhere Signalintensitäten (Abb. 3.3 A und B) und ein verbessertes Signal-Hintergrund-Verhältnis (Abb. 3.3 C).

### 3.1.3 Wiederverwendbarkeit

Die DNA-Raster auf Nylon- bzw. Polypropylene-Membranen wurden wiederholt mit der gleichen Probe hybridisiert und regeneriert, die Signalintensitäten an den einzelnen Positionen quantifiziert und verglichen. Dabei zeigte sich, dass die Signalstärken nach der ersten Hybridisierung und Regeneration sowohl bei Nylon als auch bei Polypropylene leicht ansteigt (Abb. 3.4). Die gemittelte Signalintensität blieb dann über mindestens 10 aufeinander folgende Hybridisierungen mit dem 20-mer-Oligonukleotid YGUR konstant (Abb. 3.4). Routinemäßig wurde die erste Hybridisierung nur simuliert und die Membranen nach der ersten Regeneration verwendet.

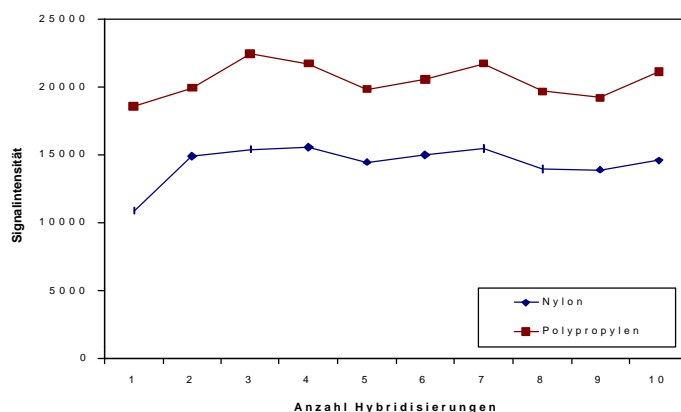


Abb. 3.4: Wiederverwendbarkeit nach wiederholter Regeneration und Hybridisierung. Nylon- und Polypropylene-Membranen wurden 10 Mal mit einem markierten Oligonukleotid hybridisiert und regeneriert. Dargestellt sind die gemittelten Signalintensitäten von 40 Positionen, auf welche unterschiedliche DNA-Mengen aufgebracht worden waren.

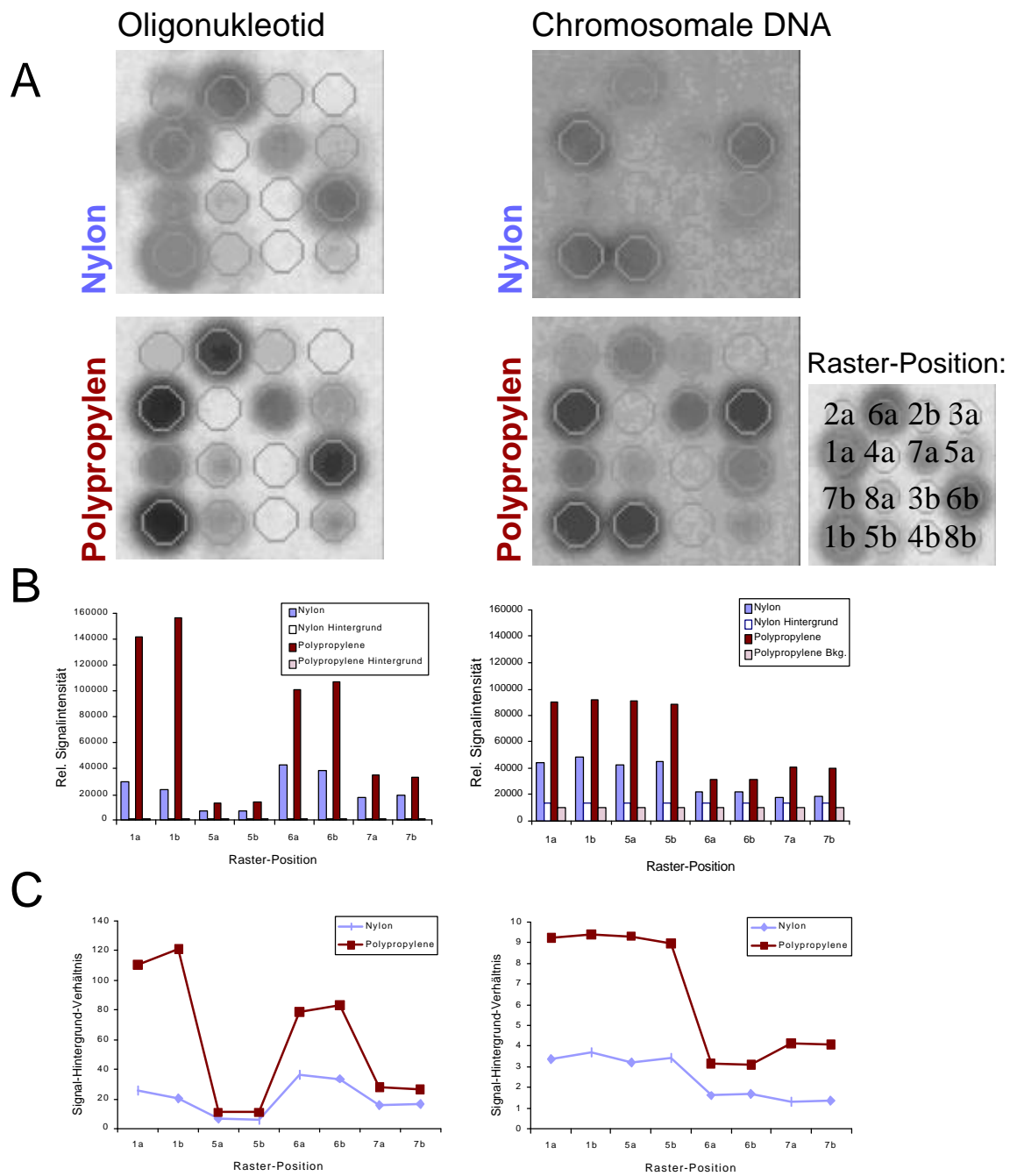


Abb. 3.3: Vergleich von Nylon und Polypropylen als Trägermaterial. Auf Nylon- (Pall Biotec B, DuPont, USA) und aminierte Polypropylen-Membranen (Pall, DuPont, USA) wurden identische PCR Produkte aufgebracht und fixiert. Die beiden Membranen wurden zunächst mit radioaktiv markiertem Oligonukleotid (linke Seite) und anschließend chromosomaler DNA (rechte Seite) hybridisiert. (A) Exemplarisch ist ein 4x4-Block gezeigt. Auf Polypropylen sind die Positionen deutlicher vom Hintergrund abgegrenzt. (B) Die quantitative Auswertung zeigt, dass sowohl bei der Oligonukleotid- als auch bei der komplexen Hybridisierung auf den Polypropylen-Membranen deutlich höhere Signalintensitäten gegenüber Nylon erzielt wurden. (C) Auch das Signal-Hintergrund-Verhältnis ist deutlich verbessert. Es wurden nur Positionen mit Signalintensitäten über dem Hintergrund-Grauwert quantifiziert und dargestellt.

### 3.1.4 Reproduzierbarkeit

Weiterhin konnte durch wiederholte Hybridisierung mit der gleichen Probe die Reproduzierbarkeit der erhaltenen Signalstärken überprüft werden.

Im Raster ist jedes PCR-Produkt in einem definierten Muster doppelt aufgebracht (Abb. 2.2). Diese Doppel-Positionierung dient einerseits der internen Kontrolle, da bei jeder Hybridisierung zwei Werte für jeden Genrepräsentanten generiert werden und erleichtert andererseits die automatische Spotzuordnung durch Mustererkennung. Die Intensitäten der korrespondierenden Positionen wurden in einem XY-Punktdiagramm aufgetragen und der lineare Korrelationskoeffizient berechnet. Die Intensitäten der Doppel-Positionierung korrelierten sehr gut und haben Korrelationskoeffizienten um 0,99 (Abb. 3.5 A). Desweiteren wurde in getrennten Experimenten das markierte Oligonukleotid YGUR der universellen 5'-Sequenz auf die selbe Membran hybridisiert. Die Signalintensitäten an jeder Position des Rasters wurden quantifiziert, die sich entsprechenden Werte aus beiden Hybridisierungen in einem XY-Punktdiagramm gegeneinander aufgetragen (Abb. 3.5 B) und der lineare Korrelationskoeffizient bestimmt. Die errechneten Korrelationskoeffizienten liegen zwischen 0,95 und 0,99. Für die Untersuchung, ob auch komplexe Proben reproduzierbare Ergebnisse liefern, wurden aus der selben Gesamt-RNA unabhängige cDNA-Proben hergestellt und in

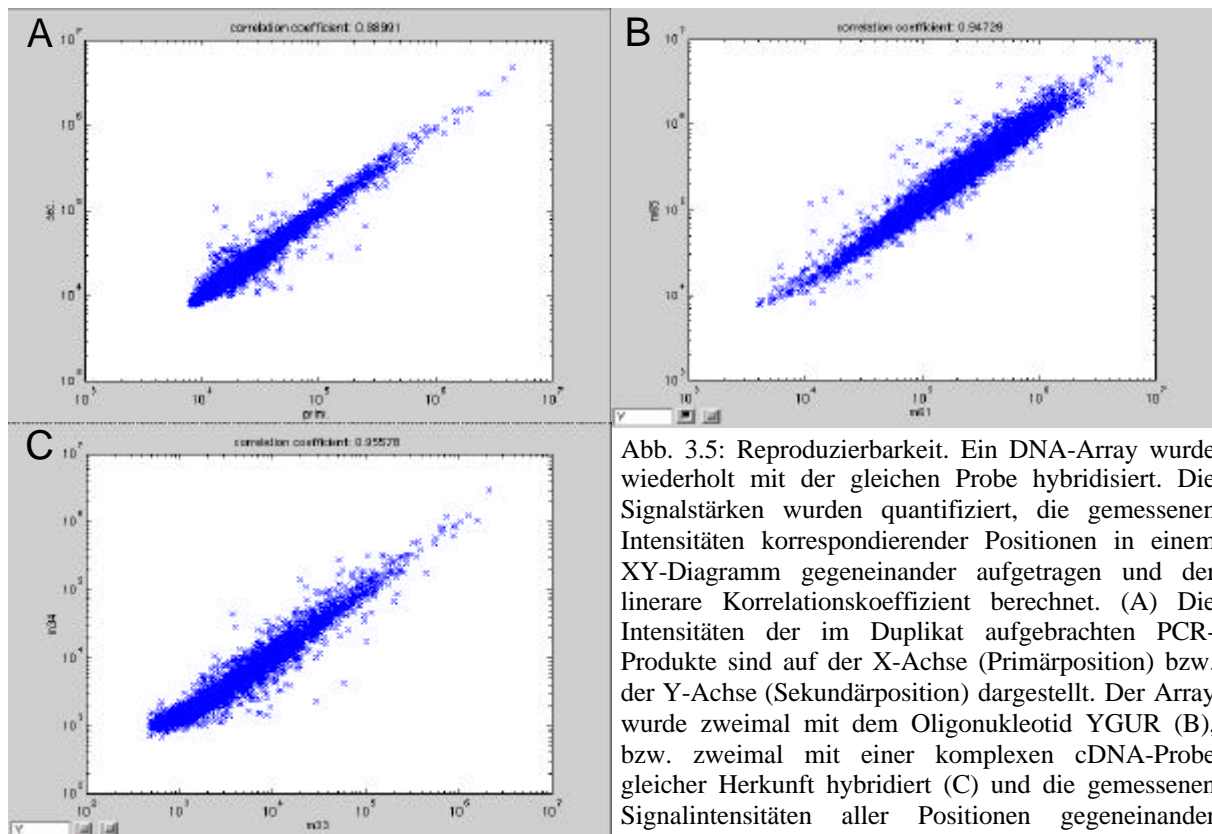


Abb. 3.5: Reproduzierbarkeit. Ein DNA-Array wurde wiederholt mit der gleichen Probe hybridisiert. Die Signalstärken wurden quantifiziert, die gemessenen Intensitäten korrespondierender Positionen in einem XY-Diagramm gegeneinander aufgetragen und der lineare Korrelationskoeffizient berechnet. (A) Die Intensitäten der im Duplikat aufbrachten PCR-Produkte sind auf der X-Achse (Primärposition) bzw. der Y-Achse (Sekundärposition) dargestellt. Der Array wurde zweimal mit dem Oligonukleotid YGUR (B), bzw. zweimal mit einer komplexen cDNA-Probe gleicher Herkunft hybridisiert (C) und die gemessenen Signalintensitäten aller Positionen gegeneinander aufgetragen.



aufeinander folgenden Experimenten auf die gleiche Membran hybridisiert. Die Signale wurden quantifiziert und wie beschrieben gegeneinander aufgetragen (Abb. 3.5 C). Der errechnete Korrelationskoeffizient liegt ebenfalls zwischen 0,95 und 0,99. Die Hybridisierungen sind also sehr gut reproduzierbar. Eine weitere Möglichkeit die Reproduzierbarkeit von Hybridisierungen zu überprüfen bietet die Korrespondenzanalyse (siehe Kapitel 3.2.3)

### 3.1.5 Erzeugung komplexer cDNA-Proben

Die Isolierungsmethode von Gesamt-RNA erwies sich als kritischer Schritt bei der Herstellung von cDNA-Proben. RNA-Präparationen verschiedener Herkunft lieferten sehr unterschiedliche cDNA-Ausbeuten, obwohl deren Qualität, bemessen an der Absorption bei 260 und 280 nm und durch Agarose-Gelelektrophorese, vergleichbar war. Die anfänglich angewandte Methode, bei der die Zellwände enzymatisch verdaut und anschließend die RNA aus den entstandenen Protoplasten mit einem Reagenz aus Phenol und Guanidin-Isothiocyant isoliert wurde, lieferte zwar für die cDNA-Erststrangsynthese geeignete RNA, doch verursachte der relativ lange andauernde Prozeß des Verdaus intrazellulären Stress und damit eine Veränderung der Transkription (Braley und Chaffin, 1999; Hauser *et al.*, 1998). Insbesondere bei Zeitverläufen mit rasch aufeinander folgender Probenahme ist es wichtig, die Zellen sofort Schock zu gefrieren. Die tiefgefrorenen Zellen wurden mit Hilfe eines Mikro-Dismembrators mechanisch aufgeschlossen und das entstandene Zellpulver erst beim Homogenisieren in dem organischen Lösungsmittel aufgetaut. Die daraus isolierte Gesamt-RNA konnte für reproduzierbare Synthesen von Erststrang-cDNA zwischen 0,9 und 4 kbp Länge verwendet werden. Die Einbauraten des radioaktiven Nukleotids lagen zwischen 30 und 100 %.

### 3.1.6 Heterologe Kontroll-DNA

Durch Positionierung von Fremd-DNA-Sequenzen im Raster und der Zugabe der entsprechenden *in vitro*-Transkripte bei der Probengenerierung entstehen relative Bezugspunkte, die zur relativen Anpassung von Datensätzen verschiedener Herkunft verwendet werden können.

Aus dem Genom des Bakteriophagen  $\lambda$  wurden 35 Sequenzbereiche annähernd gleicher Länge und gleichen GC-Gehalts ausgewählt und mit Hilfe des Programmpakets HUSAR<sup>1</sup> auf

---

<sup>1</sup> <http://genome.dkfz-heidelberg.de/>

Übereinstimmungen mit dem Genom von *Saccharomyces cerevisiae* getestet. Die BLAST-Analyse („basic local alignment search tool“) ergab keine größeren Sequenzähnlichkeiten und auch die Hybridisierung der Sequenzen mit genomischer Hefe-DNA ergab keine Kreuzhybridisierungen. Durch die Kombination der spezifischen Lambda-Sequenzen mit 50 bp Poly-A entstehen nach der *in vitro*-Transkription artifizielle Poly(A+)-RNA-Moleküle, die dem komplexen RNA-Gemisch kontrolliert beigefügt, ebenfalls in cDNA umgeschrieben und dabei markiert werden können. Ursprünglich waren 48 Klone einer *Arabidopsis thaliana*-cDNA-Bibliothek, die keine Kreuzhybridisierungen mit chromosomaler DNA von *Saccharomyces cerevisiae* zeigten, ausgewählt und in den beschriebenen Vektor kloniert worden. Durch Restriktionsverdau konnten 27 Klone mit unterschiedlichen Inserts identifiziert werden. Zum Aufbringen auf die DNA-Arrays wurden die Sequenzen mit spezifischen Primern amplifiziert. Bei dieser PCR wurden, ebenso wie bei den Hefe-ORFs, die universellen Sequenzen YGUF und YGUR eingefügt. Die amplifizierten Fragmente wurden an verschiedenen Positionen des Arrays in unterschiedlichen Konzentrationen aufgebracht. Die artifiziellen Poly-A(+)-Transkripte wurden einzeln und in definierter Zusammensetzung kombiniert, in cDNA umgeschrieben und auf die Arrays hybridisiert. Die reverse Transkription erfolgte für 0,005; 0,05; 0,5, 5 und 50 ng *in vitro*-Transkript, das entspricht ca. 0,001 bis 10 % der mRNA bei der Herstellung einer komplexen Probe. Die über alle Positionen gemittelten Signalintensitäten korrelierten sehr gut mit den aufgebrachten DNA-Mengen, jedoch zeigten die individuellen Fragmente sehr starke Kreuzhybridisierungen untereinander. Die Sequenzierung von 18 Inserts zeigte, dass diese zwar unterschiedlich waren, einige jedoch über größere Bereiche nahezu identische Sequenzen hatten. Die sequenzierten Inserts ließen sich in 7 Cluster mit unabhängiger Sequenz einteilen. Die Signalintensitäten aller Positionen eines Sequenz-Clusters müssen daher als Mittelwert aus allen Klonen betrachtet werden. Die gemittelten Werte können dann zur Normalisierung (vgl. Kapitel 3.2.1) verwendet werden, wobei jedoch die Korrekturgerade aus nur 7 Werten berechnet und damit sehr ungenau wird. In einem weiteren Ansatz wurden daher 35 Plasmide mit heterologer DNA aus dem Genom des Bakteriophagen  $\lambda$  hergestellt. Lambda wurde gewählt, da die Sequenz vollständig bekannt und daher bereits *in silico* auf mögliche Überlappungen und Ähnlichkeiten mit dem ebenfalls vollständig bekannten *Saccharomyces cerevisiae*-Genom geprüft werden konnte. Weiterhin ist die DNA einfach zugänglich, da kommerziell erhältlich und durch die geringe Sequenzähnlichkeit mit dem eukaryotischen Genom sind diese Sequenzen auch als Kontrollen für DNA-Arrays anderer Eukaryoten geeignet.

### 3.1.7 Konzentrationsabhängigkeit der Hybridisierung

Die Hybridisierung lässt sich als Gleichgewichtsreaktion beschreiben mit der immobilisierten DNA auf dem Träger und der freien DNA in Lösung auf der einen Seite und dem Hybrid auf der anderen Seite, welche miteinander assoziieren und dissoziieren. Die Lage des Gleichgewichts wird neben den Reaktionsbedingungen wie z. B. Salzgehalt und Temperatur vor allem durch die Konzentration der Reaktionspartner beeinflusst. Es sollte untersucht werden, welcher Zusammenhang zwischen der gemessenen Signalintensität, der Konzentration der immobilisierten DNA und der Konzentration der Oligonukleotide in Lösung besteht. Für diese systematische Untersuchung wurden 16 DNA-Fragmente zwischen 350 und 3000 bp Länge mittels PCR amplifiziert, aufgereinigt und quantifiziert. Alle 16 Fragmente wurden auf die gleiche molare Konzentration eingestellt und in 20 Stufen von 0,001 bis 50 fmol auf Nylon- und Polypropylene-Membranen pipettiert und fixiert. Es wurden jeweils 5 gleiche Raster auf Nylon und Polypropylene hergestellt. Je 4 der Membranen wurden mit ansteigenden Konzentrationen (0,02 pM bis 2 nM) des radioaktiv markierten Oligonukleotids der Sequenz YGUR, welche jedes der PCR-Produkte am 5'-Ende trägt, hybridisiert. Die Markierung des Oligonukleotids erfolgte in einem Ansatz, der anschließend für die einzelnen Hybridisierungen aufgeteilt wurde. Die Bedingungen für Hybridisierung und Exposition wurden für alle Raster identisch gehalten, so dass die nicht normalisierten Messdaten, ausschließlich korrigiert für den Zerfall des radioaktiven Isotops, verwendet werden konnten. Die Signalintensitäten korrespondierender Positionen nach Hybridisierung mit der gleichen Oligo-Menge auf dem gleichen Trägermaterial wurden gemittelt. Betrachtet man zunächst die Signalintensitäten in Abhängigkeit der Menge an immobilisierter DNA, exemplarisch gezeigt für ein DNA-Fragment in Abbildung 3.6A, zeigt sich, dass bis etwa 30 fmol (entspricht ca.  $3,5 \text{ fmol/mm}^2$ ) eine lineare Beziehung besteht zwischen gemessener Intensität und fixierter DNA-Menge. Darüber hinaus tritt eine Sättigung ein, das heißt, das gemessene Signal ist unabhängig von der an der Position gebundenen DNA-Menge. Weiterhin lassen sich die Signalintensitäten in Abhängigkeit der freien DNA-Menge darstellen (Abb. 3.6 B). Auch diese Kurven steigen linear an und erreichen schließlich eine Sättigung. Die Kurvenanpassung ergibt wiederum zwei Parameter für die Steilheit und das Endplateau, wobei die Steilheit bei allen Kurven gleich ist.

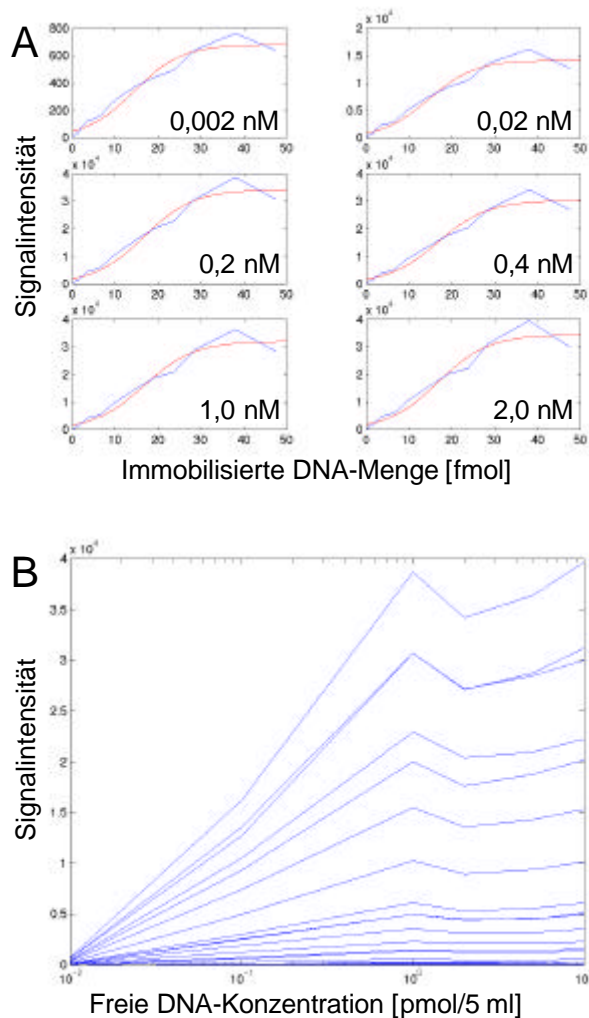


Abb. 3.6: Abhängigkeit der Signalintensität von der immobilisierten DNA-Menge und der Konzentration an freier DNA. Die Membranen wurden mit 6 verschiedenen Konzentrationen freier DNA in Lösung (0,002 bis 2 nM) hybridisiert und die Signalintensitäten an 20 Positionen unterschiedlicher immobilisierter DNA-Menge (0,001 bis 50 fmol) gemessen. (A) Die gemessenen Signalintensitäten wurden als Funktion der immobilisierten DNA-Menge dargestellt (blaue Kurve). An die experimentellen Werte wurde eine Kurve angepaßt (rote Linie). In (B) wurden die Signalintensitäten als Funktion der Konzentration freier DNA in Lösung dargestellt.

In einem XYZ-Diagramm lassen sich die Signalintensitäten sowohl in Abhängigkeit der freien DNA-Konzentration als auch der immobilisierten DNA-Menge an einer Position beschreiben (Abb. 3.7). Die durch die Messpunkte aufgespannte Fläche lässt sich ebenfalls durch eine Gleichung beschreiben (B. Brors und M. Vingron, pers. Mitteilung).

Zur Kontrolle und zur Bestimmung der Reduktion der Signalintensität durch wiederholtes Hybridisieren und Regenerieren wurde jeweils eine der Membranen aus Nylon bzw. Polypropylene immer mit der gleichen Konzentration hybridisiert (1 nM). Die über alle Positionen gemessenen Intensitäten wurden gemittelt, die Ergebnisse zeigt Abbildung 3.8. Die Hybridisierungen 1-7 und 8-15 wurden mit zwei verschiedenen Ansätzen durchgeführt, so dass nur innerhalb dieser Hybridisierungsserien direkt verglichen werden kann. Relativ betrachtet zeigen die verwendeten Raster über 15 Hybridisierungen keine signifikante Reduktion der gemittelten Signalintensität.

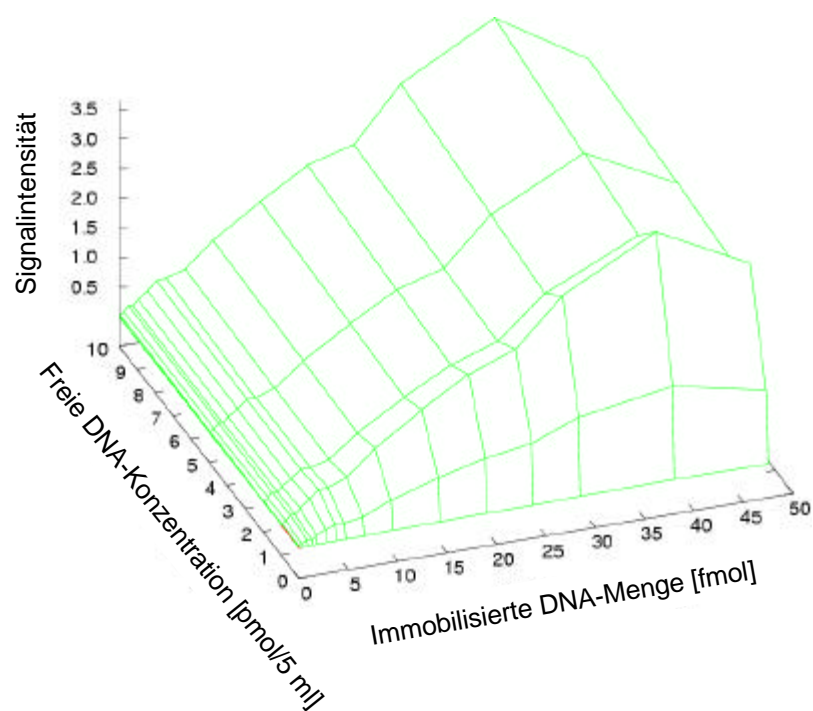


Abb. 3.7: 3-dimensionale Darstellung der Abhängigkeit der Signalintensität. Die Messwerte wurden in Abhängigkeit der immobilisierten DNA-Menge (X-Achse) und in Abhängigkeit der DNA-Konzentration in Lösung (Y-Achse) dargestellt.

Diese Messreihe zeigt, dass zur Quantifizierung an jeder Position eine minimale DNA-Menge vorhanden sein muss. Dieser Schwellenwert liegt bei  $3,5 \text{ fmol/mm}^2$ . Ab diesem Minimum ist die Signalintensität nur noch von der Konzentration an freier DNA in Lösung abhängig. Die Detektionsgrenze des Oligonukleotids in Lösung liegt bei  $0,002 \text{ nM}$  und ab  $1 \text{ nM}$  tritt eine Sättigung der immobilisierten DNA ein. Das heißt, die DNA-Positionen sind ab einer Konzentration von ca.  $1 \text{ nM}$  abgesättigt. Der lineare Detektionsbereich erstreckt sich damit für ein 20-mer Oligonukleotid über 2-3 Größenordnungen.

Die beschriebene Hybridisierungsreihe wurde außerdem mit einem *Saccharomyces cerevisiae* Genom-Filter durchgeführt. Der Vergleich mit den quantifizierten Rastern ergab, unter der Annahme einer durchschnittlichen Fragmentlänge von  $1,4 \text{ kb}$ , eine DNA-Menge an den Positionen zwischen  $10$  und  $600 \text{ fmol/mm}^2$ .

Für die Herstellung einer komplexen cDNA-Probe zur Hybridisierung auf die gesamtgenomischen DNA-Arrays wurden ca.  $30$  OD-Einheiten Zellen verwendet, das entspricht ca.  $3 \times 10^8$  Zellen. Bei geschätzten  $15.000$  mRNA-Molekülen pro Zelle (Hereford und Rosbash, 1977) enthält eine komplexe Probe somit  $4,5 \times 10^{12}$ , d. h.  $7,5 \text{ pmol}$  Transkripte. Die Abundanz des Aktin (ACT1)-Transkripts in logarithmisch wachsenden Zellen in Glukose-Vollmedium

wurde aufgrund einer SAGE-Untersuchung mit 54 Kopien pro Zelle berechnet, das entspricht 0,4 % der gesamten mRNA-Population (Velculescu *et al.*, 1997). Bei der Hybridisierung der cDNA in 5 ml Gesamt-Volumen liegt somit die Konzentration des ACT1-Transkripts bei ca. 0,006 nM. Die auf den DNA-Arrays durch Hybridisierung mit einem 5'-endmarkierten Oligonukleotid gerade noch messbare Konzentration liegt bei 0,002 nM. Diese Begrenzung des unteren Bereich wird verursacht durch die detektierbare Menge des radioaktiven Isotops. Bei der Herstellung der komplexen Probe durch reverse Transkription werden durchschnittlich 2,5 Markierungen pro cDNA eingebaut, so dass Transkript-Konzentrationen zwischen 0,8 und 200 pM linear detektiert werden können. Die untere Grenze der Detektierbarkeit liegt damit bei 2,4 Kopien und überspannt einen linearen Messbereich bis 600 Kopien pro Zelle.

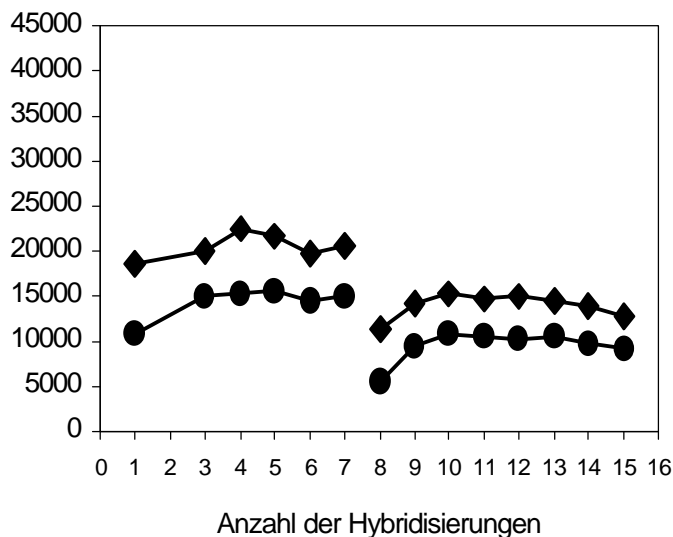


Abb. 3.8: Signalverlauf über 15 Hybridisierungen. Nylon (●)- und Polypropylene (◆)-Membranen wurden in zwei Ansätzen (Hybridisierung 1-7 bzw. 8-15) wiederholt mit dem radioaktiv markierten 20-mer YGUR (1 nM) hybridisiert. Die gemessenen Signalintensitäten wurden ausschließlich für die Zerfallsrate des Radioisotops korrigiert. Die Intensitäten aller 144 Positionen wurden gemittelt.

## 3.2 Prozessierung und Präsentation der Daten

### 3.2.1 Normalisierung

Um die auf den Rastern durch Hybridisierung mit komplexen cDNA-Proben generierten Signalintensitäten miteinander vergleichen zu können, müssen diese relativ zueinander angepasst, d. h. normalisiert werden. Durch diese Normalisierung werden Unterschiede in den absoluten Messwerten, die z. B. durch unterschiedliche spezifische Aktivitäten, Expositionszeiten oder Einbauraten bei der cDNA-Erststrangsynthese entstehen, ausgeglichen.

Als Bezugspunkt für die Normalisierung dient der Median  $x$  aus allen Signalintensitäten der Datensätze der Kontrollbedingung. Dieser lässt sich beschreiben als Vektor der Signal-

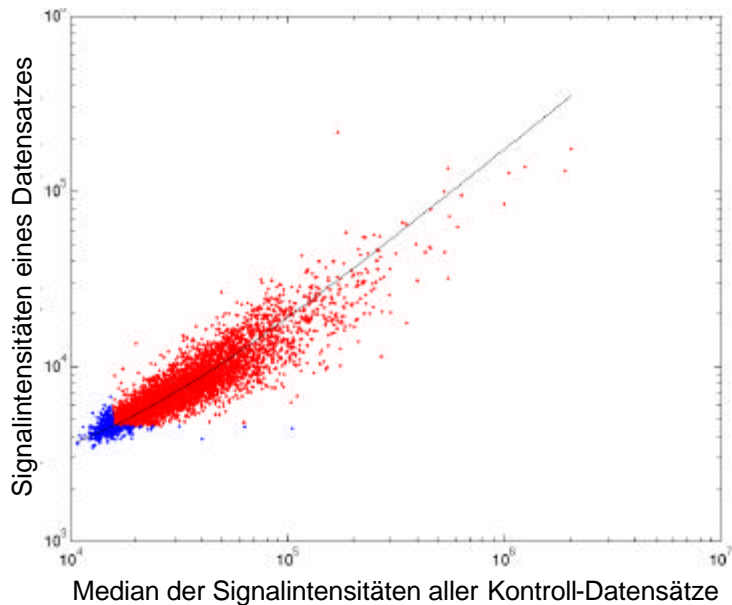


Abb. 3.9: Normalisierung der Datensätze durch lineare Regression. Alle Datensätze der Kontrollbedingung werden zusammengefaßt, der Median bestimmt und auf der X-Achse aufgetragen. Jeder individuelle Datensatz wird auf der Y-Achse aufgetragen und die Geradengleichung berechnet (schwarze Linie). Durch die Korrektur wird der Y-Achsenabschnitt angeglichen (additive Korrektur) sowie die Steigung auf 1 gebracht (multiplikative Korrektur). Jeder Punkt im Diagramm repräsentiert einen ORF. Die blauen Datenpunkte wurden für die Berechnung nicht berücksichtigt, da deren Signalintensitäten unterhalb des Schwellenwertes oder zu weit von der Korrekturlinie entfernt lagen.

intensitäten  $x_i$  für jeden Genrepräsentanten  $i$  im Raster. Ebenso lässt sich jeder individuelle Datensatz  $y$  beschreiben und die Intensitäten  $x_i$  gegen  $y_i$  in einem XY-Punktdiagramm darstellen (Abb. 3.9). Die Normalisierung erfolgt durch Anpassen der Regressionsgeraden  $y_i = mx_i + b$  im Punktdiagramm und anschließender Berechnung des normalisierten Datensatzes  $f$  mit  $f_i = (y_i - b) / m$ . Diese Anpassung erfolgt für jeden individuellen Datensatz. Die Daten werden dabei auf das gleiche Niveau angehoben und dadurch vergleichbar gemacht (Abb. 3.10).

Neben der Möglichkeit für die Berechnung der Ausgleichsgeraden zweier Datensätze alle Intensitäten im Raster zugrunde zu legen, bieten sich auch alternative Verfahren, bei denen nur eine Auswahl Datenpunkte verwendet werden. Zum Einen können durch die Positionierung von Fremd-DNA im Raster und der Zugabe der dazugehörigen artifiziellen Poly-A(+)-Moleküle zur Probengenerierung externe Bezugspunkte geschaffen werden. Zum Anderen kann die Ausgleichsgerade nur für eine Auswahl an Genen berechnet werden, von denen man weiß bzw. annimmt, dass sie sich unter den untersuchten Bedingungen nicht ändern, sog. konstitutiv exprimierte Haushaltsgene.

Die Berechnung der Regressionsgeraden erfolgt wie oben beschrieben, jedoch werden ausschließlich die ausgewählten Datenpunkte berücksichtigt.

Alle drei Methoden können alternativ zur Normalisierung herangezogen werden. Die Berechnung der Regressionsgeraden über die Mehrzahl aller Gene hat sich bei den vorgestellten

Datensätzen als am robustesten erwiesen und wurde in den gezeigten Beispielen ausschließlich angewendet.

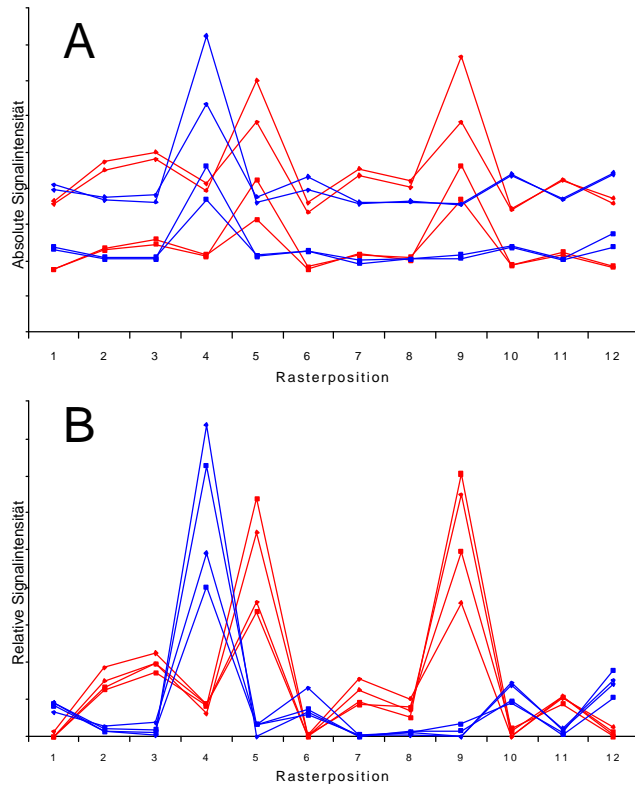


Abb. 3.10: Ergebnis der Normalisierung von Datensätzen. Es wurden je zwei Hybridisierungen für zwei verschiedene Bedingungen (rot, blau) durchgeführt und quantifiziert. Dargestellt sind exemplarisch die Signalintensitäten an 12 Rasterpositionen. (A) Die zu einer Bedingung gehörenden Datenpunkte bilden im Profil die gleiche Form, jedoch auf unterschiedlichem Intensitätsniveau. Dabei liegen die Werte der Primär- und Sekundärpositionen sehr nah zusammen. (B) Nach der Normalisierung befinden sich alle Datenpunkte einer Bedingung auf dem gleichen Intensitätsniveau

### 3.2.2 Datenfilterung

Große Datenmengen erfordern zur Auswertung automatisierte Methoden. Durch die Wiederholung von Experimenten scheint die Datenfülle zunächst vervielfacht und damit die Analyse erschwert zu werden, doch erlaubt erst die redundante Information eine statistische Einschätzung der Ergebnisse und das Erkennen und automatisierte Herausfiltern von Rauschen. Ziel dieser Filtermethoden ist es, aus der Datenfülle solche Gene zu extrahieren, die eine signifikante Änderung zeigen. Auswahl- und Stringenzkriterien auf verschiedenem Niveau ermöglichen, die Auswertung zunächst auf wenige Gene, z. B. solche sehr hoher Signifikanz zu begrenzen. Für die Gruppierung von Genen ähnlicher Transkriptionsprofile mit Hilfe der Korrespondenzanalyse (siehe Abschnitt 3.2.3) hat sich das Herausfiltern der Gene als besonders wichtig erwiesen. Die sich nicht signifikant ändernden Gene bilden die größte Gruppe und erfahren alleine dadurch eine starke Gewichtung. Die Gesamtanordnung der untersuchten Bedingungen ändert sich in der Regel nicht, doch wird die Darstellung von



Profilrichtungen und Gengruppierungen erleichtert. Die alternativ und kombiniert zu verwendenden Filter zeigen überlappende Resultate. Beispielsweise werden durch einen sehr stringenten Qualitätsfilter auch viele Gene mit geringen Intensitätswerten ausgefiltert, da bei diesen meist die Qualitätskriterien nicht erfüllt sind.

### 3.2.2.1 Intensitätsschwellenwert

Die Graustufenverteilung auf dem ganz-genomischen Array nach einer Hybridisierung mit einer komplexen Probe ist in Abbildung 3.11 dargestellt. Bei einer logarithmischen Skalierung folgen die Grauwerte im unteren Intensitätsbereich einer Normalverteilung und beinhalten mehr als 50 % aller Grauwerte. Dies lässt sich interpretieren als Population von Genen, die kein Komplement in der Probe haben bzw. deren Häufigkeit unterhalb der Detektionsgrenze von ca. 5 Kopien pro Zelle liegt. Diese Beobachtung ist konform mit der SAGE Untersuchung des *Saccharomyces cerevisiae* Transkriptoms, nach der 45 % der mRNA in nur ca. 2,5 Kopien pro Zelle vorkommt (Velculescu *et al.*, 1997). Dieser untere Intensitätsbereich spiegelt einen Hintergrund, verursacht durch unspezifische Kreuzhybridisierung, wieder. Die verbleibenden, höheren Intensitätswerte bilden eine zweite Gruppe außerhalb der Gauß-Kurve und werden interpretiert als Repräsentanten von Genen mit detektierbarer Transkripthäufigkeit. Mit Hilfe der berechneten Normalverteilungsfunktion kann der Intensitätsschwellenwert bestimmt werden. Erfahrungsgemäß liegt dieser Wert beim ca. 2-fachen des globalen Hintergrunds.

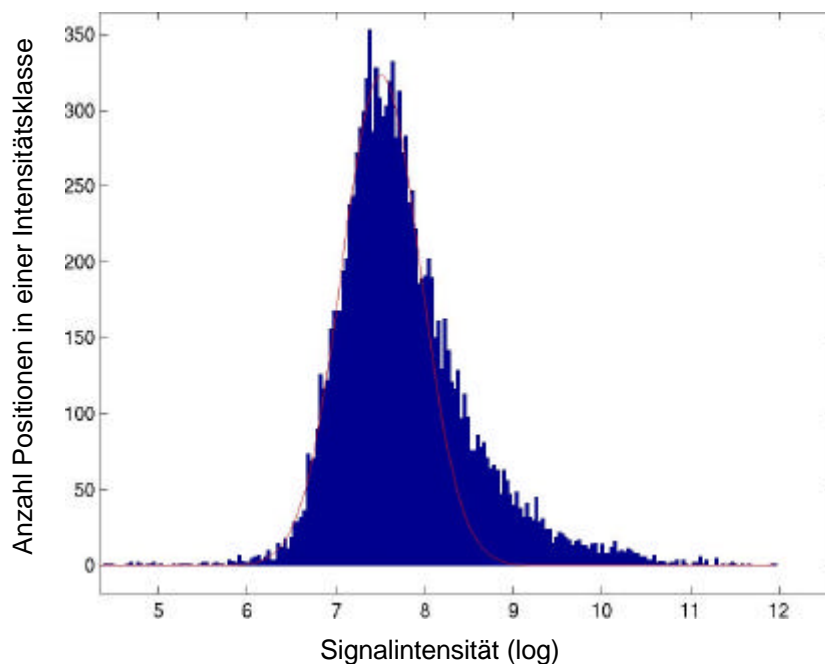


Abb. 3.11: Histogramm der Graustufenverteilung von 12.200 Positionen auf dem ganz-genomischen DNA-Array. Die nach Hybridisierung mit einer komplexen cDNA-Probe detektierten Grauwerte wurden in 300 Intensitätsklassen gleicher Größe eingeteilt. Jeder blaue Balken repräsentiert die Anzahl Positionen in seiner Intensitätsklasse. An die Messwerte wurde eine Gauß-Normalverteilung angepasst (rote Linie).

### 3.2.2.2 Stringenzkriterium (*Min/Max-Separation, Standardabweichung-Separation*)

Zur Abschätzung der Signifikanz der erhaltenen Daten ist es notwendig, ein Experiment zu wiederholen. Dabei gibt es unterschiedliche Ebenen auf denen redundante Information erzeugt werden kann. Die unterste Ebene ergibt sich, indem jedes DNA-Fragment im Raster als Duplikat vorhanden ist. Größere Abweichungen der Dupletten entstehen meist durch Fehler bei der Bildanalyse, z. B. falsche Zuordnungen, falsch positive Signale oder Überlappungen mit sehr starken, benachbarten Signalen. Um den Informationsgehalt zu erhalten, werden die korrespondierenden Intensitäten nicht gemittelt, vielmehr bilden diese individuelle Datensätze (Abb. 2.3). Auf der nächsten Ebene werden aus der gleichen RNA-Probe in zwei unabhängigen Ansätzen komplexe cDNAs generiert, die dann aufeinanderfolgend zur Hybridisierung verwendet werden. Durch die Wiederholung des Experiments auf dieser Ebene erhält man durch die Doppelpositionierung bereits 4 unabhängige Datensätze. Die größt mögliche Varianz erzielt man, wenn komplette Experimente wiederholt, d. h. die Zellen neu kultiviert und geerntet werden. Dabei sind die experimentellen Schwankungen meist sehr groß, da es schwierig ist, Wachstumsbedingungen identisch zu reproduzieren. Für die Untersuchung transkriptioneller Aktivität kann die zelluläre Situation bei nur wenigen Minuten Differenz schon große Unterschiede aufweisen. Daher wurden in dieser Arbeit Wiederholung ganzer Experimente nicht als redundante Datensätze behandelt, sondern als weitere experimentelle Bedingung betrachtet. Für die Untersuchungen wurden mindestens zwei und bis zu 5 Replikate einer Hybridisierung angefertigt. Daraus ergeben sich 4 bis 10 Intensitätswerte für jeden ORF-Repräsentanten.

Ein Maß für Qualität ist die eindeutige Trennung der Signale, d. h. alle Intensitätswerte der einen Bedingung müssen deutlich von denen der anderen getrennt sein. Die „Min-Max Separation“ (Abb. 3.12 A) berechnet sich aus der Differenz des geringsten Wertes aller Datenpunkte mit der höheren Intensität [ $\text{Min}(x)$ ] und des höchsten Wertes aller Datenpunkte der geringeren Intensität [ $\text{Max}(o)$ ]. Dieses Kriterium ist sehr stringent und damit anfällig für Ausreißer. Ein weniger strenges Kriterium stellt die Methode der „Standardabweichung-Separation“ (Abb. 3.12 B) dar, die definiert ist als Differenz aus dem Mittelwert des Datensatzes mit der höheren Intensität verringert um eine Standardabweichung [ $\text{Mittelwert}(x) - \sigma(x)$ ] und dem Mittelwert des Datensatzes mit der geringeren Intensität erhöht um eine Standardabweichung [ $\text{Mittelwert}(o) + \sigma(o)$ ]. Diesen unterschiedlichen Stringenzkriterien wird in einer Farbkodierung Rechnung getragen: Gene mit relativer Änderung werden beim mittleren Stringenzkriterium gelb bzw. hellblau, beim hohen Stringenzkriterium rot bzw. blau

unterlegt bei Induktion bzw. Repression bezüglich der gewählten Kontrollbedingung (siehe z. B. Tabelle 3.3).

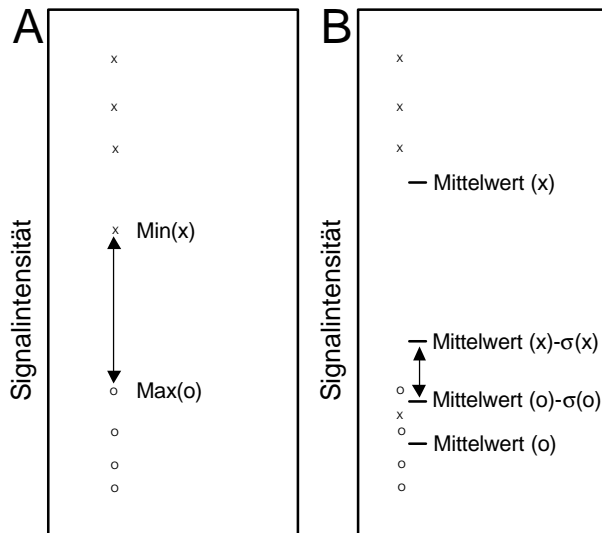


Abb. 3.12: Schema zur Berechnung der Qualitätsmaße Min/Max-Separation (A) bzw. Standardabweichung-Separation (B). Erklärungen im Text.

### 3.2.2.3 Relative Änderungen bezüglich der Kontrolle: Induktions- bzw. Repressionsfaktor

Zur Bestimmung von Induktions- bzw. Repressionsfaktoren werden die normalisierten Intensitätswerte der individuellen Datensätze zum Median aus allen Wiederholungen der Kontrollbedingung ins Verhältnis gesetzt. Für die individuellen Datensätze der Kontrollen streut dieser Wert um eins, d. h. sie zeigen keine Änderung relativ zu ihrem Median. Zur besseren Darstellung werden diese Verhältnisse umgerechnet in Faktoren der Hochregulation (+) bzw. Herunterregulation (-) und in der Tabelle mit der beschriebenen Farbkodierung (siehe 3.2.2.2) dargestellt. Einen guten Überblick über die Einzel- und gemittelten Ergebnisse verschafft die graphische Darstellung in einem Parallelkoordinaten-Diagramm (Abb. 3.13).

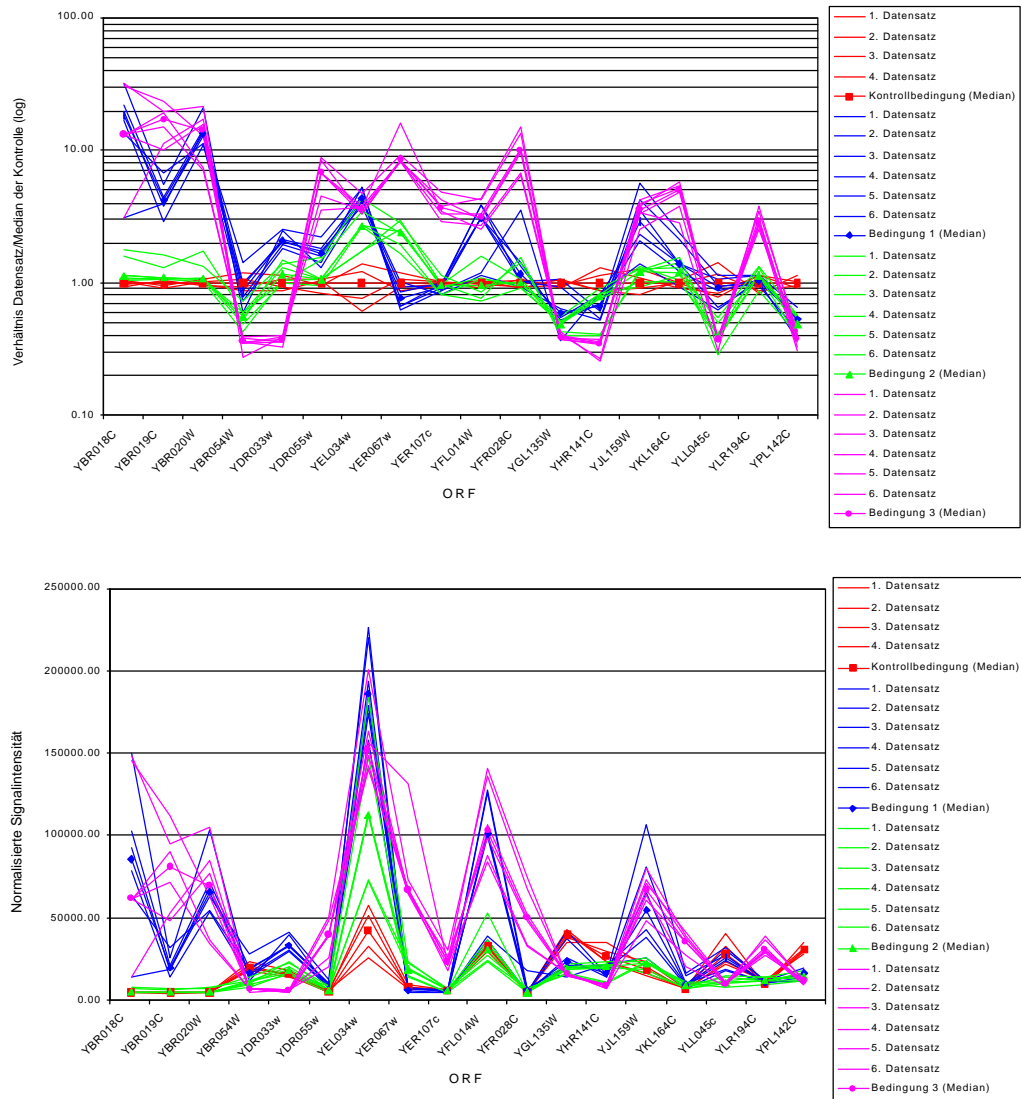


Abb. 3.13: Genprofil relativer Änderungen (A) und normalisierter Signalintensitäten (B). Gezeigt sind die Werte von 18 ORFs mit signifikanten Änderungen aus einem Experiment bestehend aus einer Kontroll- und drei weiteren Bedingungen mit jeweils 4 bis 6 Datensätzen. Es sind sowohl die Werte der einzelnen Datensätze (dünne Linien) als auch die daraus resultierenden Mediane (farbige Symbole) dargestellt. Die Verbindungslinien zwischen den Werten der ORFs dienen ausschließlich der Übersichtlichkeit.

### 3.2.3 Gruppierung von Genen und Wachstumsbedingungen mittels Korrespondenzanalyse

Die Korrespondenzanalyse ist eine deskriptive und explorative Methode zur Analyse und Darstellung sich gleich verhaltender Merkmale innerhalb großer Datenmengen (Greenacre und Blasius, 1993). Dieser ursprünglich in der Soziologie verwendete Algorithmus wurde für die Untersuchung von Genexpressions-Daten aus DNA-Array Hybridisierungen angepaßt. In einer sog. *Kontingenztafel* werden die Daten in Form einer Matrize zusammengestellt, exemplarisch dargestellt für ein fiktives Experiment in Abbildung 3.14 B. Jedes der 17 Gene lässt sich als Vektor im 3-dimensionalen Raum, gebildet aus den Intensitätswerten unter den drei Wachstumsbedingungen, darstellen (Spalten). Ebenso lässt sich jede Wachstumsbedingung durch die Intensitätswerte der 17 Gene als Vektor im 17-dimensionalen Raum eindeutig beschreiben (Zeilen). Mittels der Korrespondenz-Analyse werden diese 3- bzw. 17-dimensionalen Räume anschließend mit *minimalem* Informationsverlust auf zwei Dimensionen projiziert und die beiden Ebenen kombiniert (Greenacre, 1984). Aufgrund der Position eines Genes in dieser Darstellung kann sein Transkriptionsprofil, d. h. Induktion bzw. Repression unter der jeweiligen Wachstumsbedingung abgelesen werden. Gene die im Zentrum lokalisiert sind, zeigen unter keiner der Bedingungen eine Änderung (Abb. 3.14 A, B, Gene 16 und 17). Für die Untersuchung eines Experimentes mit drei Wachstumsbedingungen lassen sich 6 charakteristische Profile beschreiben (Abb. 3.14 C). Diese können durch hypothetische *Extrem-Gene* (Standard-Koordinaten), die sich dadurch auszeichnen, dass deren gesamte Gewichtung auf einer Wachstumsbedingung liegt, d. h. deren Intensitätswert bei allen anderen gleich Null ist (Gene 1, 2, 3), beschrieben werden. In der Korrespondenzanalyse-Grafik sind Hilfslinien eingezeichnet, deren Lage durch den Ursprung und jeweils eine Standard-Koordinate definiert ist. Je näher sich ein Gen an dieser Hilfslinie befindet, desto mehr entspricht sein Transkriptionsprofil dem entsprechenden Schema.

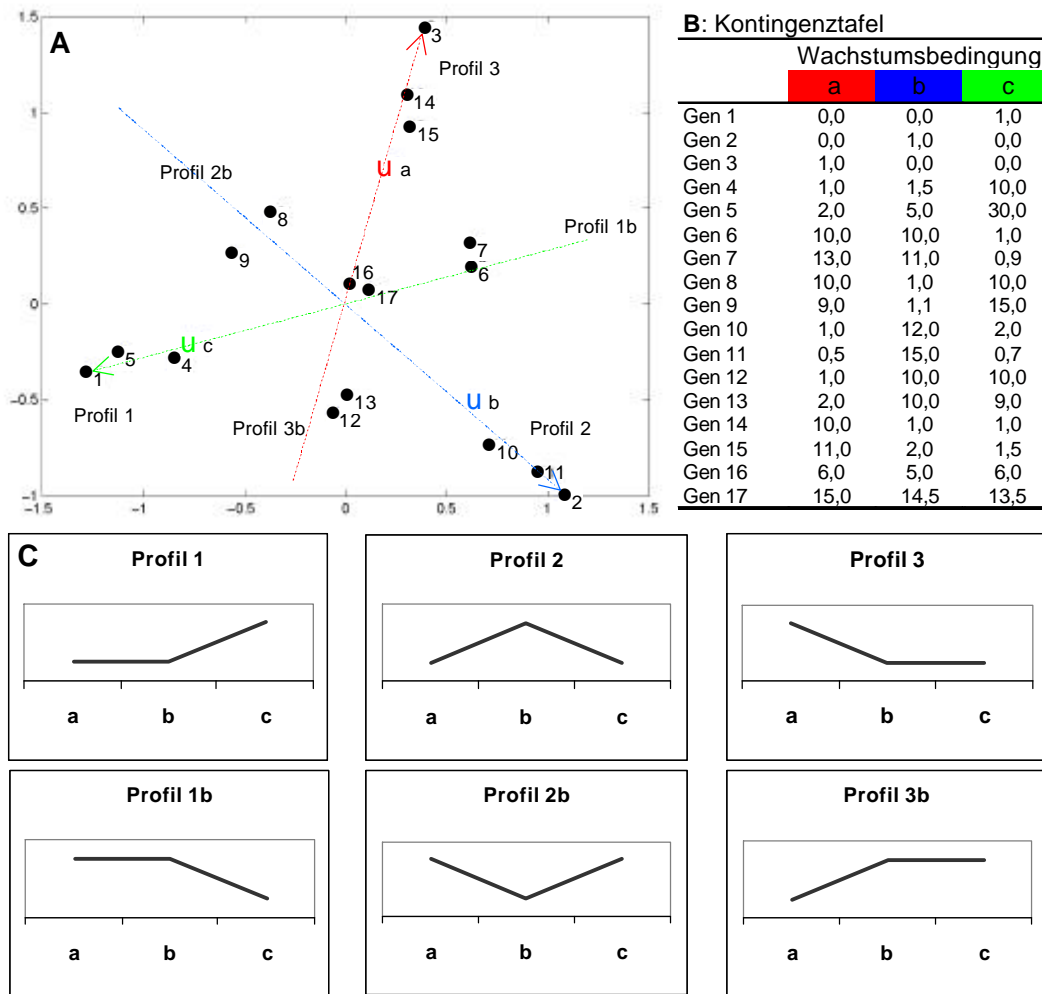


Abb. 3.14: Korrespondenzanalyse mit Kontingenztabelle und schematischen Profilen. Die Intensitätswerte aus einem fiktiven Experiment mit 17 Genen unter 3 Wachstumsbedingungen wurden einer Korrespondenzanalyse unterworfen (A). Die Intensitätswerte sind in der Kontingenztabelle aufgelistet (B). In der Korrespondenzanalyse-Grafik sind die Wachstumsbedingungen farblich (a, rot; b, blau; c, grün) und die Gene als schwarze Punkte mit der jeweiligen Gen-Nummer dargestellt. Vom Ursprung des Koordinatensystems sind farbige Linien gezeichnet, die die charakteristischen Profile beschreiben. Je näher ein Gen an der Profillinie lokalisiert ist, desto mehr entspricht sein Profil dem entsprechenden Schema. Die relativen Intensitäten (Y-Achse) sind über die drei Wachstumsbedingungen (a, b, c; X-Achse) aufgetragen und beschreiben die Profile (C). Weitere Erklärungen im Text.

Übertragen auf die komplexe Analyse eines realen Experimentes heißt das, dass jedes Gen im n-dimensionalen Datensatz-Raum und jeder Datensatz im m-dimensionalen Genraum dargestellt werden kann. Durch die Kombination der Projektionen auf die Ebene ergibt sich die relative Anordnung von Genen und Datensätzen in einer Grafik. Die zur gleichen Wachstumsbedingung gehörenden, redundanten Datensätze sind in der gleichen Farbe dargestellt, sie sollten bei guter Reproduzierbarkeit sehr nah beieinander lokalisiert sein. Dies

---

dient zusätzlich zur Einschätzung der Qualität der Datensätze. Auch für die Gene, dargestellt als schwarze Punkte, gilt, je näher sie beieinander liegen, desto ähnlicher ist das untersuchte Merkmal, d. h. ihr Transkriptionsprofil. Neben den charakteristischen Profilen findet man Gene an allen Positionen der Korrespondenzanalyse-Grafik (siehe z. B. Abb. 3.17), d. h. die Gene zeigen viele mögliche Übergangprofile. Die sich nicht ändernden Gene im Zentrum des Koordinatensystems werden vor der Analyse in der Regel ausgefiltert, da sie nicht von Interesse sind und die Darstellung unübersichtlich gestalten bzw. stören. Bei der Interpretation der Abstände der Gene und Wachstumsbedingungen in der 2-dimensionalen Darstellung muss berücksichtigt werden, dass der Informationsverlust durch Reduktion von der 3. auf die 2. Dimension sehr groß sein kann. Für jede Korrespondenzanalyse wird daher berechnet, wieviel Prozent der Varianz in den einzelnen Dimensionen dargestellt wird. Mit der 1. und 2. Dimension werden in der Regel 60-80 % der Varianz erklärt. Trägt die 3. Dimension mehr als 20 %, sollte für eine bessere Interpretation die 3-dimensionale Darstellung mit berücksichtigt werden.

### 3.3 Transkriptionelle Untersuchungen

#### 3.3.1 Vergleich einer industriell genutzten Weinhefe mit einem Laborstamm

*Saccharomyces cerevisiae*-Stämme werden seit Tausenden von Jahren zur Herstellung von Wein genutzt, wodurch die Evolution spezieller Eigenschaften gezielt vorangetrieben wurde. So zeichnen sich Weinhefen vor allem durch eine hohe Alkoholausbeute und –toleranz, Resistenz gegenüber Sulfit und die Produktion von Aromastoffen aus (Querol und Ramón, 1996). Im Vergleich zu Laborstämmen zeigen Weinhefen eine größere Vielfalt bezüglich Chromosomengröße und –anzahl. Sie sind aneuploid (Bakalinsky und Snow, 1990) mit Disomien und Trisomien, in einigen Fällen sind sie diploid oder triploid. Aneuploidien sind in diesen Genomen so weit verbreitet, dass die Aufrechterhaltung eines unausgeglichene Chromosomensatzes mit einem Wachstumsvorteil in Verbindung gebracht wird (Adams *et al.*, 1992; Codon *et al.*, 1998). Die genomischen Variationen beinhalten die Verdoppelung oder den Verlust ganzer Chromosomen, Deletionen (30-50 kb), Hybrid-Chromosomen (Rachidi *et al.*, 1999), oder, wie in den meisten Fällen, Duplikationen (30-390 kb). Es wird diskutiert, dass diese Variationen durch Rekombination subtelomerer Wiederholungs-Regionen und durch transposable Elemente (Ty-Elemente) erfolgten (Rachidi *et al.*, 1999). Aber auch kleine Unterschiede wie beispielsweise Punktmutationen können für phänotypische Merkmale verantwortlich sein, wenn sie innerhalb eines offenen Leserahmens oder eines regulatorischen Bereichs erfolgen. Über die genetischen Ursachen der diese Hefen auszeichnenden charakteristischen Eigenschaften ist bislang jedoch nur wenig bekannt.

Zu Weinhefen sind nur wenig Sequenzdaten über Datenbanken öffentlich zugänglich (Goto-Yamamoto *et al.*, 1998; Masneuf *et al.*, 1998) doch wird die Sequenzhomologie zum sequenzierten Laborhefestamm S288c auf über 99 % geschätzt (Masneuf *et al.*, 1998). Diese Tatsache erlaubt das Design von Sonden und Primern für Weinhefen auf der Basis der S288c Sequenz (Puig und Perez-Ortin, 2000).

Zur Bestimmung der Unterschiede transkriptioneller Aktivität wurde eine typische Weinhefe, der Industrie-Weinstamm T73 der Firma Lallemand Inc. (Montreal, Kanada; (Querol *et al.*, 1992)), und der Stamm MCY730, ein Derivat des Standard-Laborstammes S288c, unter Laborbedingungen angezüchtet. Für genomische Untersuchungen wurde zusätzlich der diploide Laborstamm FY1679 herangezogen. Die logarithmisch wachsenden Zellkulturen der



Stämme wurden geerntet, in flüssigen Stickstoff eingefroren und anschließend genomische DNA oder Gesamt-RNA isoliert.

### 3.3.1.1 Verwendung von S288c DNA-Arrays für die Untersuchung von Weinstämmen

Auf verschiedenen Arrays wurden stringente Hybridisierungen mit markierter genomischer DNA beider Stämme durchgeführt. Innerhalb der experimentellen Schwankung war die Gesamt-Menge der detektierbaren Positionen gleich. Es bestehen also keine gravierenden Unterschiede zwischen der Weinhefe T73 und dem S288c-Stammhintergrund, so dass die DNA-Arrays, basierend auf dem genetischen Hintergrund des Laborstammes S288c, auch für die Untersuchung eines Weinhefestammes geeignet sind.

### 3.3.1.2 Transkriptioneller Unterschiede zwischen MCY730 und T73

Für jeden Stamm wurden drei Hybridisierungen durchgeführt und die Daten prozessiert wie beschrieben. Eine Liste aller Gene mit den farbkodierten Faktoren der relativen Änderung befindet sich im Anhang (Tabelle 6.1), einen Überblick über die Transkriptlevel beider Stämme gibt Abbildung 3.15. Mit ca. 2000 verbliebenen Datenpunkten nach Intensitäts- und Qualitätsfilter wurde eine Korrespondenzanalyse durchgeführt. Die Datensätze beider Stämme sind deutlich getrennt und signifikant geänderte Gene bilden zwei Cluster, hoch- bzw. herunterreguliert im Weinstamm im Vergleich zum Laborstamm (nicht gezeigt). Aus der Gesamtliste wurden 42 Gene mit den signifikantesten Änderungen extrahiert (Tabelle 3.2), Ty-ORFs wurden getrennt aufgelistet (Tabelle 3.1).

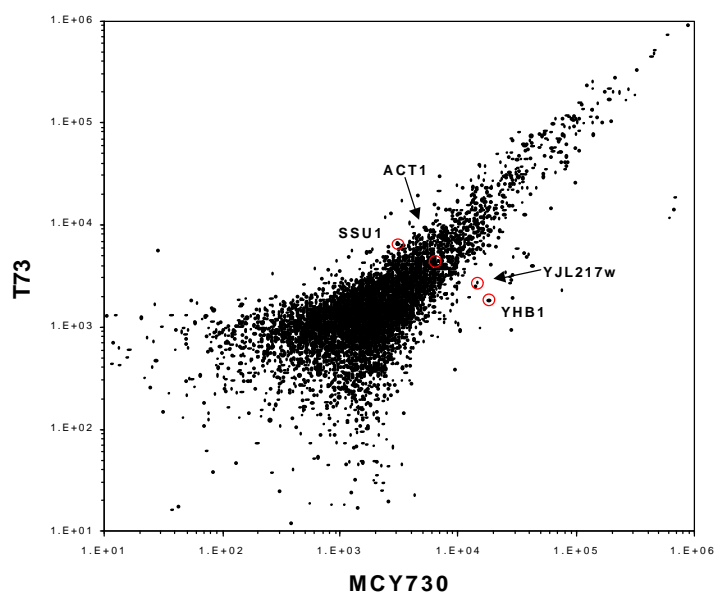


Abb. 3.15: Vergleich der Transkriptlevel der Stämme T73 und MCY730 im XY-Diagramm. Der Median der normalisierten Signalintensitäten beider Stämme ist gegeneinander aufgetragen, dabei repräsentiert jeder Datenpunkt ein Gen. Die hervorgehobenen Gene wurden mit Northern Hybridisierungen verglichen und bestätigt (Hauser, N.C., Fellenberg, K., Gil, R., Bastuck, S., Hoheisel, J.D. und Pérez-Ortín, J.E., eingereicht zur Veröffentlichung).

Tabelle 3.1: Genomische und transkriptionelle Unterschiede der transposablen Ty-Elemente. Normalisierte Signalintensitäten und relative Änderungen des Weinstammes bezüglich des Laborstammes wurden berechnet.

ORF ID		transkriptionell			genomisch		
		rel. Änderungen	MCY730	T73	rel. Änderungen	MCY730	T73
YAR010C	TY1A	+4.1	313.60	1279.92	--	1.00	1.00
YBR012W	TY1A	-4.2	60896.57	14639.46	-5.9	3531.87	597.64
YJR026W	TY1A	-5.4	31505.17	5844.67	-4.6	1137.12	246.45
YJR028W	TY1A	-7.9	37679.33	4763.72	-3.9	948.76	246.35
YML040W	TY1A	-9.1	29162.14	3211.06	-4.6	1279.28	275.28
YML045W	TY1A	-15.8	15256.40	967.27	-7.5	1121.14	148.89
YMR051C	TY1A	-8.9	27453.21	3090.89	-7	1302.26	185.71
YPL257W	TY1A	-1.5	1896.05	1262.17	--	7.75	4.92
YAR009C	TY1B	-4.2	3176.27	747.52	--	1.00	1.00
YBR012W	TY1B	-47.7	674050.91	14138.34	-6.1	1067.34	175.97
YER160c	TY1B	-33.8	76458.40	2260.74	-3.1	3.05	1.00
YJR027W	TY1B	-70.4	1103063.60	15674.86	-5.9	4093.76	697.73
YJR029W	TY1B	-38	695252.05	18295.82	-6	5125.86	859.73
YCL020W	TY2A	--	1436.97	1990.48	-2.4	526.74	223.59
YCL019W	TY2B	-2.3	4991.73	2174.92	-2.3	748.76	332.11
YIL082W	TY3	-3	2695.01	883.91	-92.7	92.65	1.00
YJL114W	TY4A	--	1538.25	1721.00	-50.2	66.36	1.32
YJL113W	TY4B	+1.5	580.72	895.95	--	1.00	1.00
YCL074W	TY5	--	3016.66	3975.58	+2.3	10.57	23.97
YCL075W	TY5	+2.2	751.79	1647.94	+2.8	2.62	7.33
YCL076W	TY5	+4.2	493.33	2053.22	+12.1	1.28	15.42

Transkriptionelle Änderungen mit hoher Signifikanz sind farbig unterlegt, blau bzw. rot bei hoher Signifikanz einer Herunter- bzw. Hoch-Regulation; hellblau bzw. gelb bei Herunter- bzw. Hoch-Regulation mittlerer Signifikanz.

Die größten transkriptionellen Unterschiede zwischen den beiden untersuchten Stämmen zeigen Ty1-Elemente. Sie kodieren für zwei Typen, TyA und TyB. Da die DNA-Sequenzen der Transposons einer Klasse sehr ähnlich sind, finden in hohem Maße Kreuzhybridisierungen statt. Deshalb sollten die gemessenen Intensitäten nicht einzeln, sondern vielmehr als Durchschnitt aller betrachtet werden. Ty1B-Transposons zeigen dabei die größten Unterschiede und sind mehr als 40-fach stärker im Laborstamm transkribiert als im Weinstamm. Darüber hinaus sind auch die normalisierten Signalintensitäten sehr hoch. Ty1A-Elemente sind im Mittel 9,5-fach stärker transkribiert, wobei hier die Signalintensitäten auf einem niederen Niveau gemessen wurden (YAR010c und YPL257w wurden nicht berück-

sichtigt, da beide Werte unterhalb des Intensitätsschwellenwert lagen). Die Signalintensitäten und relativen Änderungen der transkriptionellen als auch genomischen Untersuchung aller im Raster vertretenen Ty-ORFs sind in Tabelle 3.1 zusammengefasst, die Ty-Elemente Ty2, Ty3, Ty4 und Ty5 zeigen keine signifikante Änderung.

Weitere Änderungen wurden bei Genen die in die Biosynthese von Uracil involviert sind detektiert. Der verwendete Laborstamm MCY730 ist durch eine Mutation nicht in der Lage, Uracil selbst zu synthetisieren (*ura3<sup>-</sup>*). Durch die Insertion eines Transposons im *URA3*-Gen wurde die Synthese des funktionellen Proteins gestört, die Transkription jedoch nicht blockiert (Brachmann *et al.*, 1998). Der Mangel des funktionellen Enzyms verursacht vermutlich die Hochregulation der Transkription, wodurch eine höhere Transkriptmenge im Laborstamm im Vergleich zum Weinstamm gemessen wurde. Die im Biosyntheseweg vorgeschalteten Enzyme *URA4*, *URA1* und *URA10* sind ebenfalls im *URA3*-defizienten Laborstamm stärker transkribiert. Geänderte Transkriptraten zeigen sich auch bei Proteinen des Lysin- und Adenin- bzw. Purin-Biosynthesewegs sowie der Pheromonantwort. MCY730 ist *lys2<sup>-</sup>*, *ade2<sup>-</sup>* und haploid (*Mata*), T73 dagegen ein diploider Wildtypstamm ohne bekannte Mutationen.

Von den signifikant differentiell transkribierten Genen wurden zwei weiter untersucht, *SSU1* und *YHB1*. *SSU1* kodiert für ein Plasmamembran-Protein, das an der Sulfid-Resistenz beteiligt ist (Avram und Bakalinsky, 1997). Es wurde bereits als differentiell exprimiert in Weinhefen im Vergleich zu anderen *Saccharomyces cerevisiae*-Stämmen detektiert (Goto-Yamamoto *et al.*, 1998). *YHB1* kodiert für ein Flavohämoglobin (Zhu und Riggs, 1992). Es gibt verschiedene Erklärungsmöglichkeiten für die differentielle Expression von Genen in verschiedenen Stämmen. Neben Mutationen im kodierenden Bereich von Genen, welche im oben beschriebenen Fall zur differentiellen Expression von Genen des Uracil, Adenin und Lysin-Biosynthesewegs führen, können auch Veränderungen in regulatorischen Bereichen verantwortlich sein. Die Analyse der Promoter-Sequenzen der beiden Gene ergab eine 8 bp-Deletion innerhalb einer AT-Wiederholungssequenz 100 bp in 5'-Richtung vom Startcodon entfernt, welche für die verringerte Expression von *YHB1* im Weinstamm verantwortlich sein könnte (J.E. Pérez-Ortín, persönliche Mitteilung). Die Sequenzierung des *SSU1*-Promoters zeigte eine umfassende Veränderung, welche im Detail weiter untersucht wurde (J. E. Pérez-Ortín und S. Puig, in Vorbereitung).

Tabelle 3.2: Differenziell transkribierte Gene in MCY730 und T73 mit hoher Signifikanz

ORF	Gen	Rel. Änderung	Normalisierte Signalintensität	
		T73 bezügl. MCY730	MCY730	T73
YAR015W	ADE1	+4.3	4548.86	19391.96
YAR068W		+3	1870.86	5657.85
YBL113C		-2.9	36597.81	12579.81
YBR248C	HIS7	+2.1	1555.90	3284.87
YDL131w	LYS21	-2.7	8683.12	3205.54
YDL182w	LYS20	-3.8	98160.50	25736.71
YDR019C	GCV1	+2.5	1447.18	3666.34
YDR461W	MFA1	-4.1	5301.49	1281.43
YDR513W	TTR1	+1.6	2523.61	4087.85
YDR529C	QCR7	+1.7	6684.11	11074.15
YEL021w	URA3	-30.3	28135.68	929.76
YER034w		-9.4	9980.29	1059.17
YFL068W		-2.4	7875.51	3257.85
YGL255W	ZRT1	+3.5	930.60	3215.45
YGR234W	YHB1	-10.1	18264.74	1800.72
YHR018C	ARG4	-3.6	7829.88	2147.50
YHR053C	CUP1A	-7	36367.39	5209.97
YHR055C	CUP1B	-7.8	39818.48	5096.25
YHR215W	PHO12	-4.4	4740.23	1076.09
YIL051C	MMD1	-2.9	21835.35	7473.31
YJL157C	FAR1	-6.1	29549.83	4851.35
YJL200C		-3.1	3843.52	1248.25
YJL217W		-5.4	14572.10	2686.68
YJR025C	BNA1	-5.9	6979.81	1174.78
YKL030W		+1.7	13559.74	23406.02
YKL156W	RPS27A	+1.7	7951.90	13838.09
YKL216W	URA1	-3.7	7684.74	2057.15
YKR080W	MTD1	+5.1	3345.43	17042.01
YLR076C		+2.6	15113.76	38891.64
YLR303W	MET25	-4.7	18881.59	4018.66
YLR359W	ADE13	+6.1	608.98	3729.68
YMR173W	DDR48	-6.9	7572.92	1099.53
YMR236W	TAF17	-2.4	9708.86	4077.88
YNL055C	POR1	-10.3	27585.02	2673.43
YNL145W	MFA2	-11.4	10438.20	912.46
YNL306W	MRPS18	-2.1	4481.84	2114.68

ORF	Gen	Rel. Änderung	Normalisierte Signalintensität	
		T73 bezügl. MCY730	MCY730	T73
YNR050C	LYS9	-10.7	42463.49	3959.85
YOL106W		-24.9	9345.55	375.94
YOL126C	MDH2	-7	3063.58	437.37
YOL143C	RIB4	-9.8	27917.32	2838.84
YPL092W	SSU1	+2.1	3074.89	6452.89
YPR203W		-3.2	3797.44	1185.21

Transkriptionelle Änderungen mit hoher Signifikanz sind farbig unterlegt, blau bzw. rot bei hoher Signifikanz einer Herunter- bzw. Hoch-Regulation; hellblau bzw. gelb bei Herunter- bzw. Hoch-Regulation mittlerer Signifikanz.

### 3.3.1.3 Stamm-Charakterisierung durch den Vergleich Genom – Transkriptom

Ein weiterer Vergleich der Stämme erfolgte im XY-Diagramm, wobei die gemessenen Intensitäten genomischer DNA (Genom) gegen RNA (Transkriptom) aufgetragen wurden (Abb. 3.16). Hierbei wurde der Weinstamm mit dem diploiden Laborstamm FY1679 verglichen. Um experimentelle Einflüsse so gering wie möglich zu halten, wurden Ergebnisse aufeinander folgender Hybridisierungen identischer Membranen verglichen. Datenpunkte im oberen linken Bereich repräsentieren Gene die hoch exprimiert sind, jedoch nur in geringer Kopienzahl (1-2 Kopien pro haploidem Genom) vorkommen, wie beispielsweise ribosomale Proteine oder Enzyme der Glykolyse. Im unteren rechten Bereich finden sich Gene, die bei der genomischen Hybridisierung hohe Werte ergaben, jedoch nur gering exprimiert werden. In Abb. 3.16 wurden in diesem Bereich die Datenpunkte einer subtelomer kodierten Genfamilie mit hoher Sequenzähnlichkeit hervorgehoben. Gene in der rechten oberen Ecke des Diagramms haben sowohl eine hohe Kopienzahl als auch stark abundante Transkripte.

Die beiden untersuchten Stämme zeigen in dieser Darstellung ein charakteristisches Muster, besonders deutlich unterscheiden sich dabei die Gene der Ty1-Familie: im Gegensatz zum Weinstamm T73 sind beim Laborstamm FY1679 die meisten Datenpunkte im oberen rechten Bereich zu finden. Dies bestätigt die Ergebnisse des Vergleichs zwischen den Stämmen MCY730 und T73.

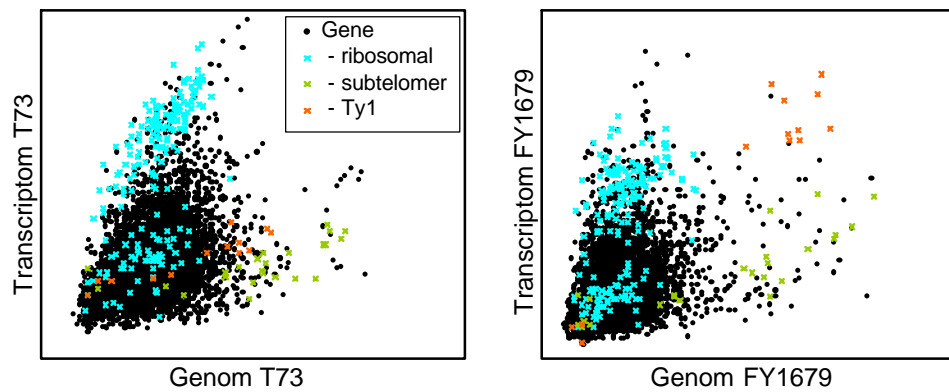


Abb.3.16: Vergleich Genom - Transkriptom. Die gemessenen Intensitäten nach Hybridisierung mit random-Hexamer markierter, genomischer DNA (Abszisse) sind gegen die Intensitäten nach Hybridisierung mit markierter cDNA (Ordinate), hergestellt aus einer logarithmisch wachsenden Kultur, aufgetragen. Jeder Punkt in der Grafik repräsentiert ein Gen bzw. einen ORF. Gene für ribosomale Proteine, TY1-Elemente und eine Familie subtelomer kodierter Proteine sind farblich hervorgehoben (siehe Legende). Als Vergleich zum Weinstamm (T73) wurde der diploide Laborstamm FY1679 untersucht.

### 3.3.2 tRNA-Export-Faktor Los1p

In eukaryotischen Zellen erfolgt der Transport von Makromolekülen zwischen Cytoplasma und dem Inneren des Zellkerns durch den Kernporenkomplex (Übersichtsartikel: Doye und Hurt, 1997)). Proteine, die für den Nukleus bestimmt sind (z. B. DNA-Polymerasen, Transkriptionsfaktoren, Splicing-Komponenten), tragen eine spezifische Erkennungssequenz (nukleäre Lokalisations-Sequenz, NLS), die von NLS-Rezeptoren, den sog. Importinen, im Cytoplasma erkannt und gebunden wird. Dieser Komplex wird dann durch die Kernpore in den Kern transferiert, dort wird die Import-Fracht freigesetzt, der Rezeptor recycelt und in das Cytoplasma zurück transportiert (Übersichtsartikel: Corbett und Silver, 1997). Entsprechend dieses Prinzips des durch Importine vermittelten aktiven Transports von Proteinen in den Kern wurde ein Mechanismus zum Export von Proteinen und RNA aus dem Nukleus, vermittelt durch Exportine, postuliert (Ullman *et al.*, 1997). Los1p, ursprünglich identifiziert im Zusammenhang mit tRNA-Suppressor-Aktivität (Hopper *et al.*, 1980), wurde als ein solcher nukleärer Export-Faktor für tRNA beschrieben (Hellmuth *et al.*, 1998).

Die Motivation für diese Untersuchung entstand aus der Beobachtung, dass die *los1*-Disruptionsmutante keinen Wachstumsdefekt zeigt, Los1p also für das Wachstum nicht erforderlich ist. Da der Export von tRNA aus dem Zellkern in das Cytosol, dem Ort der Proteinbiosynthese, für die Zelle essentiell ist, bedeutet dies, dass redundante Mechanismen in der Zelle existieren müssen, um den tRNA-Export-Defekt in der *los1*-Mutante zu kompensieren. Los1p wurde aufgrund eines GTPase-Bindungsmotifs in eine Proteinfamilie eingeordnet, deren Mitglieder mittlerweile fast ausschließlich als nukleäre Transportfaktoren charakterisiert wurden und daher möglicherweise mit der Funktion von Los1p überlappen (Ohno *et al.*, 1998). Aufgrund dieser Feststellung kann man die Hypothese aufstellen, dass in der *los1*-Disruptionsmutante ein anderes, möglicherweise zu Los1p sequenzverwandtes Protein dessen Rolle im tRNA-Export übernehmen kann, was sich durch eine Erhöhung der Transkriptionsrate dieses noch nicht identifizierten Proteins bemerkbar machen könnte. Transkriptionsuntersuchungen in einer *los1*-Disruptionsmutante sollten es also ermöglichen, neue nukleäre tRNA-Exporttrouten aufzuspüren.

Um diesen Fragen nachzugehen wurden die transkriptionellen Aktivitäten einer *los1*-Disruptionsmutante mit denen des Wildtyps verglichen. Die beiden Stämme wurden in der spät-logarithmischen Wachstumsphase bei 30 °C in YPD als auch nach 60 min Hitzestress bei

37 °C geerntet. Von den 4 Bedingungen wurde Gesamt-RNA isoliert, radioaktiv markierte, komplexe Proben hergestellt und auf DNA-Arrays hybridisiert.

### 3.3.2.1 Korrespondenzanalyse

Die Daten wurden prozessiert wie beschrieben. Mit den Datensätzen der 4 Bedingungen und solchen ORFs mit signifikanter Änderung gegenüber der Kontrolle unter mindestens einer der Bedingungen wurde eine Korrespondenzanalyse durchgeführt. Das Ergebnis zeigt Abb. 3.17 A, es können folgende Beobachtungen gemacht werden: die zur selben Bedingung gehörenden, redundanten Datensätze liegen nah zusammen und zeigen damit gute Reproduzierbarkeit; die Datensätze der 4 Bedingungen bilden drei Cluster, a) die Kontrollbedingung (Wildtyp, 30 °C; rot), b) der Wildtypstamm bei 37 °C (blau) und c) die Mutante sowohl bei 30 °C (grün) als auch bei 37 °C (violett). Der Wildtyp zeigt somit eine deutliche Veränderung bei Hitzestress gegenüber einem Wachstum bei 30 °C, ebenso ist die Mutante deutlich vom Wildtyp zu unterscheiden. Die Änderungen bei der Mutante hingegen sind unter Hitzestress gegenüber dem Wachstum bei 30 °C eher gering (Abstand der grünen zur violetten Gruppe). Die Gene lassen sich vereinfacht nach 4 schematische Transkriptionsprofilen einteilen (Abb 3.17 B). Gene mit einer Position entlang der blauen Linie (Profil 1) werden beim Wildtyp unter Hitzestress induziert, bzw. in Richtung der Verlängerung durch den Ursprung (Profil 2) reprimiert. Gene mit einer Änderung ausschließlich bzw. überwiegend bei der Disruptionsmutante sind durch das Profil 3 (Induktion) bzw. 4 (Repression) beschrieben. ORFs mit signifikanten Änderungen in Profilgruppe 3 wurden genauer betrachtet, sie sind in Tabelle 3.3 aufgelistet. Die vollständige Liste befindet sich im Anhang (Tabelle 6.2).



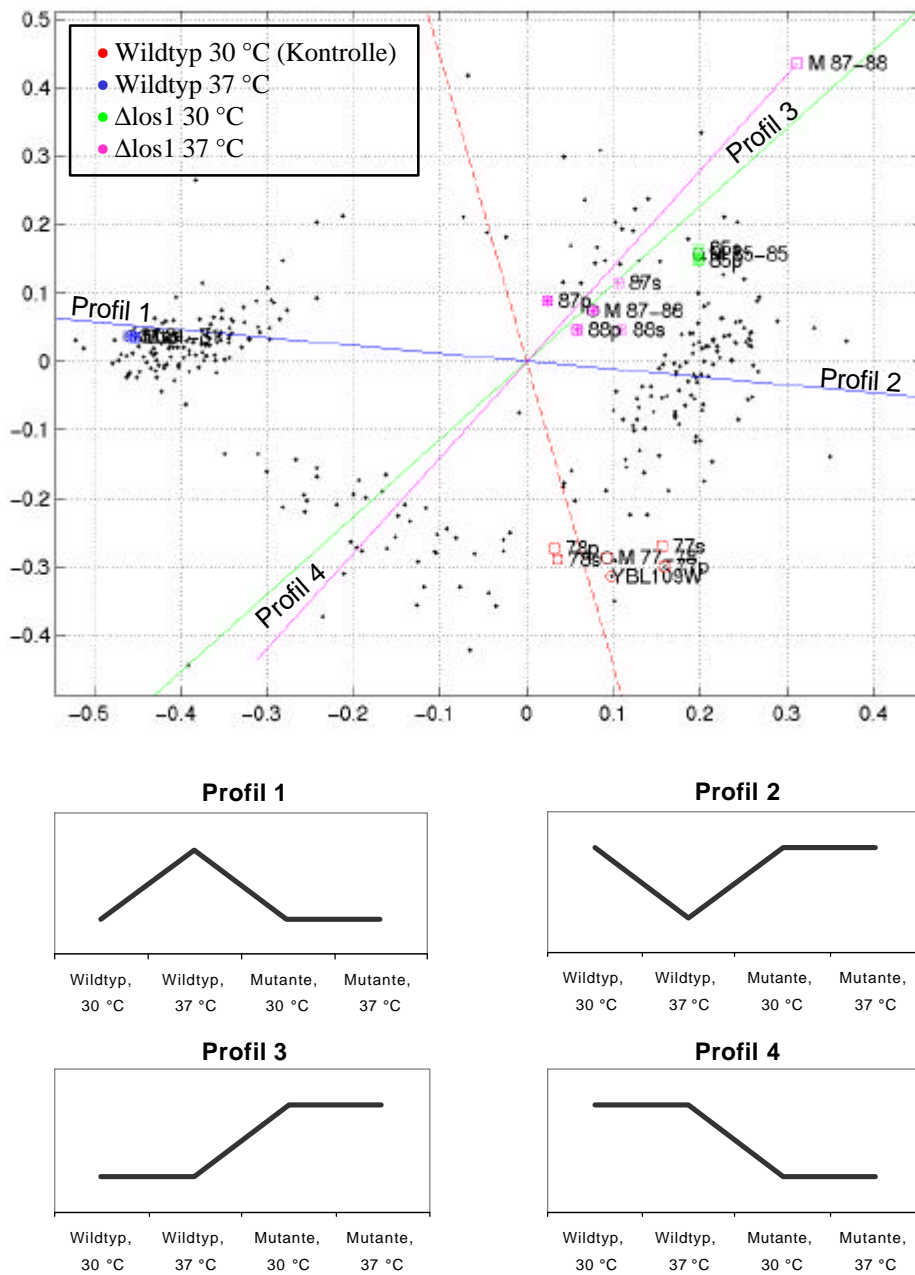


Abb. 3.17: Korrespondenzanalyse und schematische Profile der Datensätze zur *LOS1*-Disruption. A) Die 16 Datensätze aus 4 Wachstumsbedingungen mit ca. 1000 nach Qualität gefilterten Datenpunkten wurden untersucht. Die Datensätze sind als farbige Punkte (zur Zuordnung siehe Legende) mit der jeweiligen Tabellennummer in der Datenbank und die Datenpunkte der Gene als schwarze Punkte dargestellt. Vom Zentrum verlaufen farbige Linien, die die Lage der Standard-Koordinaten anzeigen, mit alleiniger Gewichtung in der jeweiligen Bedingung. Den schematischen Verlauf der in der Korrespondenzanalyse-Grafik bezeichneten Profile zeigt (B). Je näher ein Gen, d. h. der dazugehörige Datenpunkt, an der Profil-Linie liegt, desto mehr entspricht dessen transkriptionelle Aktivität dem jeweiligen schematischen Profil.

### 3.3.2.2 Transkriptionelle Änderungen in der *los1*-Mutante

Tabelle 3.3 zeigt 22 ORFs die Transkriptionsprofil 3 (Abb. 3.17 B) zugeordnet wurden. Darunter befinden sich 5 mit bislang unbekannter Funktion, 4 ORFs zeigen Sequenzähnlichkeiten zu bekannten Proteinen, 3 sind beschrieben als subtelomer kodierte Proteine unbekannter Funktion und 11 sind funktionell beschrieben. *HIS3* ist in der Disruptionsmutante etwa 3-fach höher transkribiert als im Wildtyp. Der Wildtypstamm RS453 ist auxotroph für Histidin und trägt das Allel *his3-11,15*. In der Mutante wurde die für *Los1* kodierende Region durch die Insertion des *HIS3*-Markergens unterbrochen (K. Hellmuth, persönl. Mitteilung). Bei dem *HIS3*-Allel im Wildtypstamm könnte es sich um eine Punktmutation handeln, die die Transkription nicht unterbindet, so dass ein Transkript an der entsprechenden Position detektiert wird. Durch die Insertion eines zusätzlichen Allels ist in der Disruptionsmutante die Transkriptmenge erhöht.

Es konnten zwei bereits bekannte nukleäre Exportfaktoren, *SRM1/PRP20* (YGL097w) und *NUP159* (YIL115c), mit einer erhöhten Transkriptionsrate in der Mutante identifiziert werden.

Die Proteine unbekannter Funktion wurden mit *Los1p* verglichen, jedoch konnte allein durch Sequenzvergleiche kein potentieller alternativer tRNA-Exportfaktor identifiziert werden.

Tabelle 3.3: Gene entsprechend Transkriptionsprofil 3 aus Abb. 3.17. und einer relativen Änderung um mindestens den Faktor 1,7

ORF	Gen	Rel. Änderungen bez. Kontrolle			Normalisierte Signalintensitäten			
		wt37	mut30	mut37	Kontrolle (wt30)	wt37	mut30	mut37
YDR168W	CDC37	--	+2.7	+3.2	158896.69	272332.03	431494.14	503730.49
YER190w	YRF1-2	--	+2	+1.9	154903.37	164617.86	311823.79	287564.91
YFR019W	FAB1	--	--	+1.9	32595.74	31408.82	50127.04	62835.87
YGL097W	SRM1	--	+2.2	--	23180.96	38411.44	50081.31	37096.37
YHL041W		--	+1.8	--	31261.73	26910.19	56380.16	40782.71
YIL115C	NUP159	--	+2	--	42077.04	33171.88	84324.43	56813.58
YIL177C		--	+2.2	+1.8	147622.49	155493.12	324629.37	265099.74
YKL023W		--	+2.3	+1.9	55222.35	57941.18	126847.10	104984.31
YKL142W	MRP8	--	+2	--	78956.18	80436.52	161700.77	120309.33
YKR001C	VPS1	--	+2.1	--	43336.41	42453.43	89593.23	61509.14
YLL013C		--	+1.8	+1.8	24747.69	27643.86	44044.66	43454.66
YLL034C		--	+3.2	+3	47262.03	55768.78	149409.48	143632.94
YLL066C		--	+2.3	+1.8	154922.61	198567.44	360777.72	273923.86
YLR217W		--	+1.8	+2.1	48497.91	72224.17	87294.46	100804.70
YOL037C		--	+1.9	--	28714.62	29479.82	53616.05	41737.38
YOR124C	UBP2	--	+1.8	--	41750.79	37728.67	73835.71	54948.57
YOR148C	SPP2	--	+1.8	--	32680.76	31356.35	59978.17	39680.78
YOR199W		--	+2.1	+1.9	72152.20	52341.18	149088.43	137581.03
YOR202W	HIS3	--	+2.9	+2.7	25043.68	39014.16	73330.25	68518.94
YOR329C	SCD5	--	+2.1	+1.8	42926.11	29000.86	88129.31	75614.98
YOR336W	KRE5	--	+1.8	--	66010.30	52492.12	116574.08	92565.15
YPL240C	HSP82	--	+2.1	--	73622.40	100164.14	154218.82	78357.61

Transkriptionelle Änderungen mit hoher Signifikanz sind farbig unterlegt, blau bzw. rot bei hoher Signifikanz einer Herunter- bzw. Hoch-Regulation; hellblau bzw. gelb bei Herunter- bzw. Hoch-Regulation mittlerer Signifikanz.

### 3.3.2.3 Die *LOS1*-Disruptionsmutante zeigt keine typische Hitzestress-Antwort

Die Mutation im *LOS1*-Gen war im Stamm RS453 erfolgt, so dass für den Vergleich von Wildtyp und Mutante der selbe Stammhintergrund verwendet wurde. Zusätzlich wurde ein weiterer Stamm (FY1679), ebenfalls Wildtyp bezüglich des *LOS1*-Gens, unter den gleichen Wachstumsbedingungen, d. h. bei 30 und 37 °C kultiviert und in die Analyse einbezogen. Es wurde eine Korrespondenzanalyse durchgeführt (Abb. 3.18) und folgende Beobachtungen gemacht: die Datensätze der neu hinzu gekommenen Bedingungen sind in Gruppen jeweils

nah zusammen lokalisiert und damit ebenfalls gut reproduzierbar; die Anordnung der bereits untersuchten Bedingungen hat sich im Wesentlichen nicht verändert (vgl. Abb. 3.17); zu den drei beschriebenen Clustern ist lediglich ein weiterer hinzugekommen, gebildet aus den Datensätzen des Stammes FY1679 bei 30 °C (hellblau); die Datensätze des Stammes bei 37 °C fallen mit denen des Stammes RS453 bei der gleichen Wachstumstemperatur zusammen (blau und gelb). Die beiden „Wildtypstämme“, RS453 und FY1679 haben einen unterschiedlichen Genotyp (Tabelle 2.5) und auch ihre transkriptionelle Aktivität unter Standard-Wachstumsbedingungen ist deutlich unterschiedlich (Abstand des roten zum hellblauen Datensatz-Cluster). Werden die beiden Stämme der selben Stress-Bedingung, d. h. dem Wachstum bei 37 °C, ausgesetzt, bilden sie einen gemeinsamen Cluster, d. h. sie zeigen die selbe transkriptionelle Stressantwort. Die genauere Betrachtung der in diesem Bereich gruppierten Gene ergab, dass es sich um die selben Gene handelt. Im Gegensatz dazu zeigt die *losI*-Disruptionsmutante diese typische Stressantwort nicht.

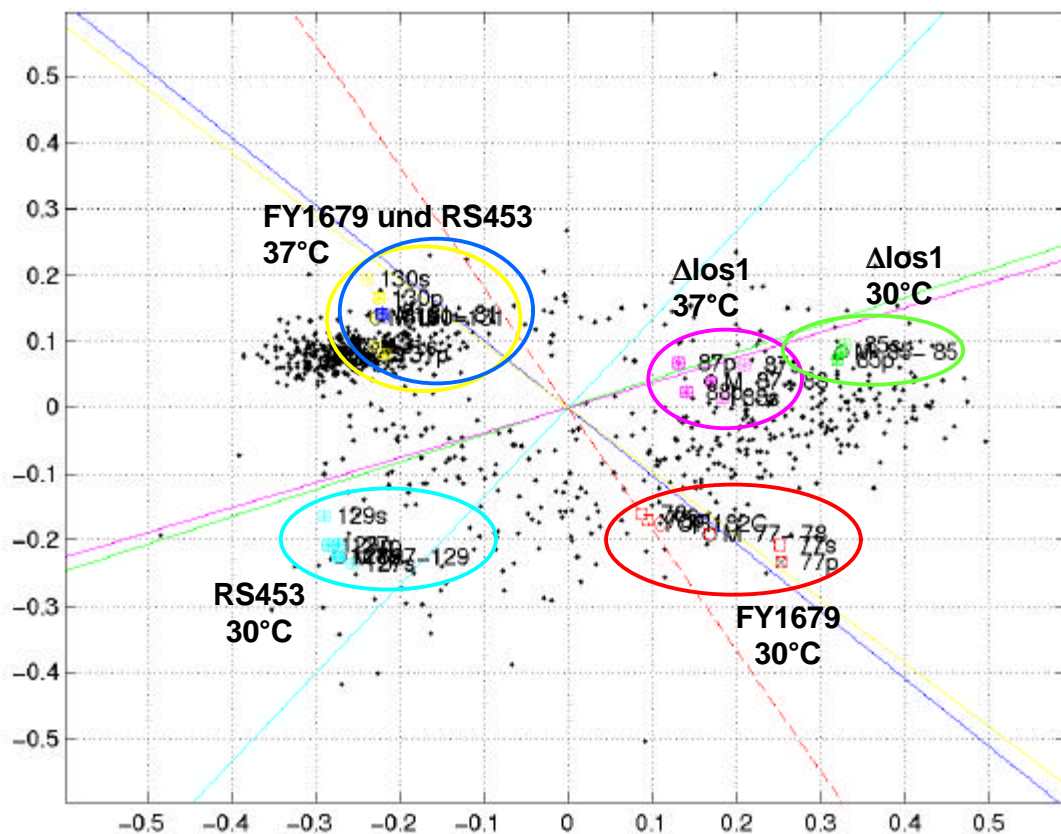


Abb. 3.18: Korrespondenzanalyse der Datensätze verschiedener Stämme nach Hitzestress. Drei Stämme, Wildtyp (RS453 und FY1679) bzw. Disruptionsmutante (*ΔlosI*) bezüglich des *LOS1*-Gens wurden bei 30 °C kultiviert und nach Temperaturerhöhung auf 37 °C für weitere 60 min inkubiert. Mit den gefilterten Datensätzen wurde eine Korrespondenzanalyse durchgeführt. Die beiden Wildtypstämme zeigen die selben transkriptionellen Änderungen nach Hitzestress, die Mutante zeigt diese Aktivität jedoch nicht.

### 3.3.3 Hitzestress

Alle Organismen reagieren auf Temperaturerhöhung mit der Synthese von Proteinen, die vor einer Zellschädigung schützen und die Regeneration ermöglichen sollen. Viele dieser Gene produkte sind evolutionär sehr stark konserviert und werden klassisch als Hitzeschockproteine (HSP) bezeichnet. Zur Gruppe der HSPs gehören z. B. molekulare Chaperone, deren Funktion darin besteht, neu entstehende Proteine bei der korrekten Faltung zu unterstützen. Eine Schlüsselrolle kommt ihnen bei der Stressantwort zu, da sie beschädigte Proteine renaturieren oder irreparabel geschädigte zur Degradation markieren. Darüber hinaus finden, besonders bei moderaten Stressbedingungen, zelluläre Veränderungen statt, die nicht unmittelbar zur Synthese von Schutzproteinen führt, sondern eine generelle Anpassung an die veränderte Wachstumssituation bewirken.

Eine bei 30 °C exponentiell wachsende Zellkultur (FY1679) in Vollmedium wurde mit auf 37 °C vorgewärmtem Medium versetzt und dadurch Hitze gestresst. Durch die Zugabe des Mediums erfolgt die Temperaturerhöhung sehr schnell, außerdem wird die Kultur verdünnt, so dass die Zellen weiterhin logarithmisch wachsen können. Durch die Temperaturerhöhung wuchsen die Zellen mit nur wenig verringerter Verdoppelungszeit weiter. Nach 10, 20 und 30 min wurden Zellen geerntet, Gesamt-RNA isoliert und zwei bis 6 Hybridisierungen mit komplexen Proben auf verschiedenen DNA-Arrays durchgeführt. Die Datensätze wurden prozessiert wie beschrieben, die kompletten Daten befinden sich im Anhang (Tabelle 6.3).

#### 3.3.3.1 Korrespondenzanalyse

Die Datensätze wurden nach signifikant geänderte Genen gefiltert und mit dieser Auswahl eine Korrespondenzanalyse durchgeführt. Das Ergebnis zeigt Abb. 3.19, es können folgende Beobachtungen gemacht werden: die zur selben Wachstumsbedingung gehörenden, redundanten Datensätze liegen zusammen; sie bilden drei Cluster, a) die deutlich von allen anderen getrennten Datensätze der Kontroll-Wachstumsbedingung (30 °C, rot), b) die Datensätze nach 10 min Hitzestress (blau) und c) die Datensätze nach 20 und 30 min Hitzestress (grün und violett), die nah beieinander liegen und gemeinsam die 3. Gruppe bilden. Trotz der Separation der blauen Datensatz-Gruppe lassen sich die Gene in zwei grobe Gruppen einteilen, Induktion bzw. Repression. Gene mit durch Hitze erhöhter Aktivität haben alle einen etwa gleich großen Abstand zur roten Gruppe, ausschließlich deren Abstände zueinander sind unterschiedlich und damit das Ausmaß der Induktion zu den verschiedenen Zeitpunkten.

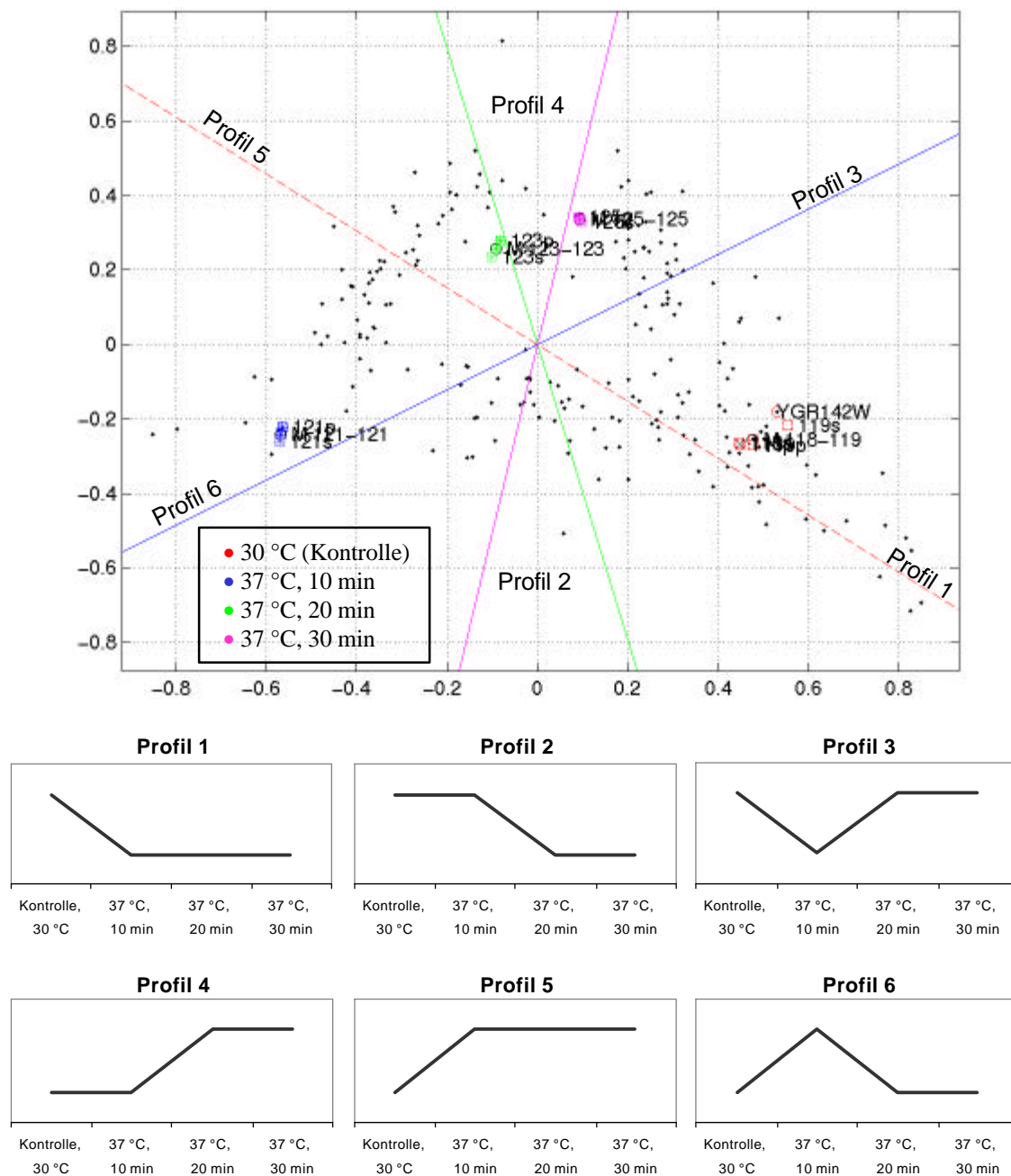


Abb. 3.19: Korrespondenzanalyse der Datensätze nach Hitzestress und schematische Transkriptionsprofile. Transkriptionelle Änderungen nach Temperaturerhöhung. Eine bei 30 °C logarithmisch wachsende Hefekultur wurde auf 37°C gebracht und nach verschiedenen Zeiten Proben genommen. Von den daraus generierten Datensätzen wurde eine Korrespondenzanalyse durchgeführt. Schwarze Punkte repräsentieren Gene, die zur selben Wachstumsbedingung gehörenden Datensätze sind farbig, gemäß der Legende gezeichnet. Hilfslinien weisen vom Zentrum zu den Standard-Koordinaten der Bedingungen. Das Transkriptionsprofil der in deren Nähe lokalisierten Genpunkte ist in (B) schematisch skizziert.

### 3.3.3.2 Die Adaptation an geänderte Wachstumstemperaturen ist zeitlich reguliert

Die Gruppierung der Datensätze zeigt deutlich, dass die transkriptionelle Aktivität als Reaktion auf Hitzestress zeitlich reguliert ist. Dies ist konform mit der Beobachtung der Aktivität regulatorischer Hitzeschock-Elemente, die in Phasen beschrieben werden kann (Bonner *et al.*, 2000). Die akute Phase tritt innerhalb weniger Minuten nach Temperatur-Erhöhung ein. Dieser folgt die Adaptations-Phase in der sich die Zellen an die neue Temperatur anpassen und viele Gene wieder herunter reguliert werden. Übertragen auf die Korrespondenzanalyse bedeutet dies, dass Gene, die in der akuten Phase sehr stark induziert, in der Adaptations-Phase jedoch wieder etwas herunterreguliert werden, zwischen den Profillinien 5 und 6 liegen. Abweichend vom schematischen Profil 6 behalten sie eine erhöhte Aktivität auch in der Adaptationsphase bei, jedoch nicht auf dem hohen Niveau wie in Profil 5. Zu dieser Gruppe gehören z. B. HSP70-Chaperone (z. B. *SSA3*, *SSA4* und *YDJI*). Gene die nahe der Profillinie 5 liegen zeigen über den gesamten Zeitraum eine erhöhte Aktivität (Tabelle 3.4). Dazu gehören u.a. 8 Proteine die im Zusammenhang mit Proteinfaltung und -degradation beschrieben sind, weitere 13 sind bisher funktionell nicht beschrieben. Gene mit erhöhter Aktivität in der Adaptationsphase liegen nahe der grünen und violetten Linie und zeigen das Aktivitätsprofil 4.

Tabelle 3.4: Gene deren Aktivität dem Transkriptionsprofil 5 aus Abb. 3.19 folgen.

ORF	Gen	Funktions-Kategorie <sup>1</sup>	Rel. Änderungen bez. Kontrolle			Normalisierte Signalintensitäten			
			37 °C	37 °C	37 °C	Kontrolle	37 °C	37 °C	37 °C
			10 min	20 min	30 min	30 °C	10 min	20 min	30 min
YLR438W	CAR2	Aminosäure-Metabolismus	+6.4	+7	+5.3	12,49	80,46	86,96	66,54
YOR064C		Chromatinstruktur	+1.7	+2.4	+1.7	8,54	14,29	20,56	14,58
YML058W		DNA Replikation	+2.4	+2.5	+1.9	18,16	43,15	45,71	34,05
YBR082C	UBC4	Proteindegradation	+2.2	+2.3	+1.6	24,17	53,28	54,38	39,47
YNL186W		Proteindegradation	+2.3	+1.6	+1.7	11,56	26,05	18,66	19,89
YLR216C	CPR6	Proteinfaltung	+3.4	+2.7	+2.4	31,14	105,07	85,45	74,62
YLR259C	HSP60	Proteinfaltung	+3.9	+3.3	+3	51,37	202,37	169,27	152,59
YML078W	CPR3	Proteinfaltung	+2.1	+2	+2.1	46,52	97,78	91,90	97,96
YOR020C	HSP10	Proteinfaltung	+4	+4	+4.9	56,34	227,12	227,54	276,75

<sup>1</sup><http://genome-www.Stanford.edu/Saccharomyces/>



ORF	Gen	Funktions-Kategorie <sup>1</sup>	Rel. Änderungen bez. Kontrolle			Normalisierte Signalintensitäten			
			37 °C	37 °C	37 °C	Kontrolle	37 °C	37 °C	37 °C
			10 min	20 min	30 min	30 °C	10 min	20 min	30 min
YOR027W	STI1	Proteinfaltung	+3.3	+2.4	+2.2	56,90	186,49	134,47	125,99
YJL191W	CRY2	Proteinsynthese	+1.8	+2.3	+1.6	49,09	90,43	110,91	79,75
YOR025W	HST3	Silencing	+2.5	+2.2	+1.9	7,26	18,00	16,14	13,62
YFL021W	GAT1	Stickstoff Metabolismus	+1.8	+2.2	+1.6	5,76	10,26	12,60	9,23
YNL281W		Stressantwort	+3.2	+3.1	+1.6	23,52	76,02	73,20	36,48
YLR304C	ACO1	TCA-Zyklus	+3.2	+3.6	+3.6	29,95	94,76	108,56	106,96
YGR055W	MUP1	Transport	+2.8	+2.7	+2.2	9,64	27,13	25,72	21,51
YKR093W	PTR2	Transport	+3.4	+2.8	+2.3	10,58	35,50	29,70	24,86
YLL052C		Transport	+1.8	+2.4	+1.8	98,02	172,85	232,66	172,00
YGR108W	CLB1	Zellzyklus	+2.7	+2.5	+2.2	6,93	18,66	17,30	15,34
YCL036W		unbekannt	+2.2	+2.7	+1.9	4,99	10,80	13,63	9,58
YDR154C		unbekannt	+2.1	+3.5	+1.9	311,25	659,28	1101,62	606,43
YEL033w		unbekannt	+2.2	+2.8	+2.2	39,00	84,59	107,53	86,54
YER038c		unbekannt	+2.2	+2.8	+1.9	5,64	12,67	15,75	10,80
YGL072C		unbekannt	+1.7	+2.4	+1.7	5,92	10,34	14,06	9,79
YGR079W		unbekannt	+2.9	+2.6	+2.5	4,44	12,92	11,70	11,23
YHR104W		unbekannt	+2.4	+1.6	+1.9	19,54	46,11	30,49	37,22
YLR217W		unbekannt	+2.8	+1.9	+1.8	10,06	28,19	19,04	18,23
YMR002W		unbekannt	+2.6	+2.7	+2.1	30,42	77,66	81,66	63,50
YNR053C		unbekannt	+2.2	+1.7	+2.2	13,16	29,37	21,90	28,68
YOR009W		unbekannt	+1.8	+2.1	+2	11,88	21,32	24,65	24,07
YPL017C		unbekannt	+2.5	+1.8	+1.9	6,58	16,76	11,91	12,27
YPL080C		unbekannt	+3	+2.8	+2.3	5,50	16,63	15,46	12,77
YPL135W		unbekannt	+2.7	+2.8	+1.8	17,60	48,21	49,32	31,84

Transkriptionelle Änderungen mit hoher Signifikanz sind farbig unterlegt, blau bzw. rot bei hoher Signifikanz einer Herunter- bzw. Hoch-Regulation; hellblau bzw. gelb bei Herunter- bzw. Hoch-Regulation mittlerer Signifikanz



### 3.3.4 Hyperosmotischer Stress

In einer wachsenden Hefezelle ist die interne Osmolarität gegenüber der externen höher reguliert, was zu einem Gradienten über die Plasmamembran und damit zum Eintritt von Wasser führt. Die Zelle kann sich dadurch ausdehnen und Turgor aufbauen. Eine Erhöhung der externen Osmolarität verursacht Stress, wogegen jedoch Resistenzmechanismen existieren, denn auch unter ‚natürlichen‘ Bedingungen ist die Hefe oft hyperosmotischen Bedingungen ausgesetzt wie z. B. der sehr hohen Zuckerkonzentration am Beginn der Fermentation. Auch Natriumchlorid ist in natürlicher Umgebung in variablen Konzentrationen vorhanden und die Zelle ist in der Lage, sich diesen unterschiedlichen Salzkonzentrationen anzupassen. Gibt man zu einer wachsenden Hefekultur große Mengen Zucker oder Salz, stellen die Zellen sofort ihr Wachstum ein, denn sie werden durch reine Osmose sofort dehydriert. Um überleben und wachsen zu können, müssen die Zellen Turgor und/oder Volumen wieder aufbauen. Ist die Konzentration nicht lethal, beginnen die Zellen nach einer Adaptationsphase, deren Dauer neben der Konzentration auch vom Stamm und der Wachstumsphase abhängt (Blomberg, 1997), wieder zu wachsen. Die maximale Natriumchlorid-Konzentration, bei der noch ein Wachstum zu beobachten war, liegt bei 2,5 M (Blomberg, 1997). Die Anpassungsfähigkeit besteht darin, dass eine stressinduzierte Signalübertragung stattfindet, wodurch die Expression von Proteinen erfolgt, die vor toxischen Effekten schützen, das Überleben sichern und eventuell sogar ein Wachstum unter den neuen Bedingungen ermöglichen. Der ‚high osmolarity glycerol-pathway‘ (HOG-pathway) spielt bei der Adaptation an hyperosmotischen Stress eine zentrale Rolle. Hog1p ist ein starker Transkriptionsaktivator der über komplexe Regulationsmechanismen die Expression von Zielgenen induziert. Viele dieser Zielgene sind bekannt, doch ist die Analyse nicht komplett und viele Fragen zur Regulation und Adaptation sind noch offen (Gustin *et al.*, 1998).

Zur Untersuchung der Genexpression osmotisch bzw. Salz gestresster Zellen wurde eine in Vollmedium logarithmisch wachsende Kultur in Vollmedium mit 1,5 M NaCl transferiert, das Wachstum durch Messung der optischen Dichte beobachtet und nach verschiedenen Zeiten Proben entnommen. Die Zellen stellten ihr Wachstum zunächst ein und begannen nach ca. 3 Tagen mit einer Generationszeit von 1 Tag wieder zu wachsen. Nach 4 Zellteilungen und einer  $OD_{600} = 5$  stellten sie das Wachstum wiederum ein. Nach 10, 20 und 30 min, 16 h und 5 Tagen wurden Zellen geerntet und Gesamt-RNA isoliert. Für jeden Zeitwert wurden zwei unabhängige komplexe Proben hergestellt und Hybridisierungen durchgeführt. Die Daten

wurden prozessiert wie beschrieben, die vollständige Liste befindet sich im Anhang (Tabelle 6.4)

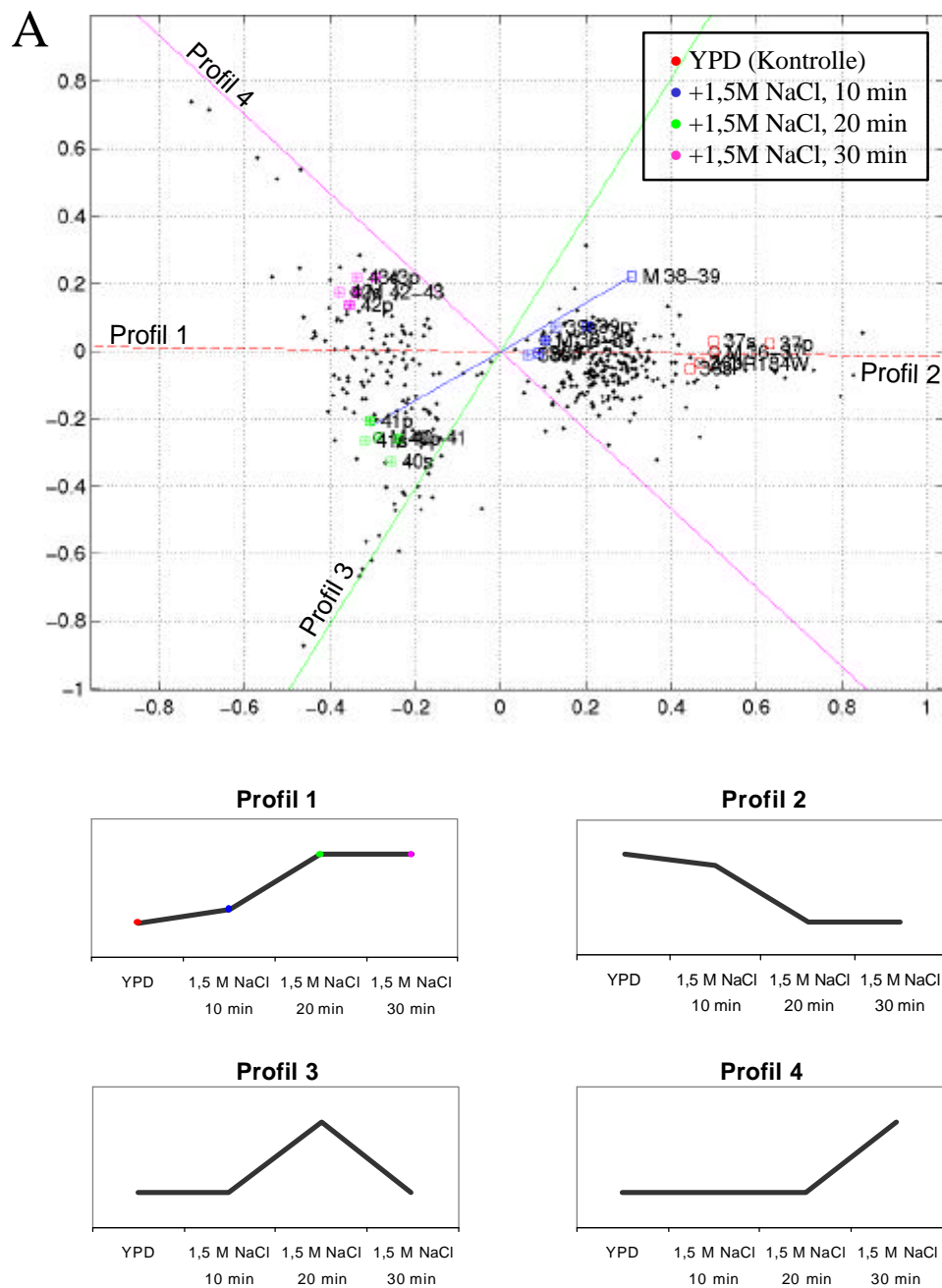
#### 3.3.4.1 *Korrespondenzanalyse*

Die Datensätze wurden nach Signifikanz gefiltert und anschließend eine Korrespondenzanalyse durchgeführt. Zunächst sollen die Datensätze nach 10, 20 und 30 min gesondert betrachtet werden, das Ergebnis zeigt Abbildung 3.20 A. Die redundanten Datensätze zu denselben Bedingungen liegen eng zusammen und zeigen die gute Reproduzierbarkeit wiederholter Hybridisierungen. Die 4 Datensätze bilden 4 Cluster, wobei das Cluster der roten Datensätze (Kontrolle in YPD) in der gleichen Richtung mit der blauen Gruppe liegt. Die blaue Hilfslinie der Standard-Koordinate und eine zusätzliche Betrachtung der 3-dimensionalen Darstellung (nicht gezeigt) machte jedoch deutlich, dass die rote und blaue Gruppe deutlich getrennt sind mit einem ähnlich großen Abstand zur grünen (20 min) und violett ((30 min) Gruppe. Die grüne und violette Gruppe sind ebenfalls deutlich getrennt mit einem ähnlich großen Abstand zur roten und einem etwas kleineren zur blauen Gruppe. Für eine erweiterte Analyse wurden zusätzlich die Datensätze nach 16 h und 5 Tagen einbezogen, das Ergebnis zeigt Abbildung 3.20 B. In dieser erweiterten Korrespondenzanalyse bilden die 6 Bedingungen nunmehr nur drei Cluster, a) die Datensätze nach 10, 20 und 30 min bilden zusammen mit der Kontrolle eine Gruppierung, b) die Datensätze nach 16 Stunden (hellblau) und c) nach 5 Tagen (gelb).

#### 3.3.4.2 *Massive transkriptionelle Änderungen nach Adaptation an Hochsalz-Bedingungen*

Die getrennte Betrachtung der Datensätze zeigt, dass die dehydrierten Zellen nach 10, 20 und 30 min ein deutlich verändertes Transkriptom besitzen im Vergleich zur Kontrollkultur unter physiologischen Salzbedingungen. Werden jedoch alle Datensätze, d. h., auch die nach 16 h und 5 Tagen mit einbezogen, sind die anfänglichen Änderungen verhältnismäßig gering und können nicht mehr aufgelöst werden. In dieser Betrachtung werden die massiven Veränderungen der transkriptionellen Aktivität nach Adaptation der Zellen an die sehr hohen externen Salzkonzentrationen deutlich. Die 100 Gene mit den signifikantesten Änderungen in den adaptierten Zellen zeigt Tabelle 3.5 Weiterhin wurden 200 Gene mit den signifikantesten Änderungen in Funktionskategorien eingeteilt, dargestellt in Abbildung 3.21. Die größte Gruppe bilden Gene mit bisher nicht beschriebener Funktion. Dabei ist der Anteil mit fast 60 % sehr viel größer als erwartet, da für das gesamte Genom weniger als 30 % funktionell

nicht charakterisiert sind. Für solche beschriebener Funktion bilden die Gene im Zusammenhang mit Kohlenhydrat- bzw. Energiestoffwechsel die größte Gruppe, gefolgt von Stressgenen. Funktionsgruppen mit nur einer Belegung wurden unter ‚sonstige‘ zusammengefasst.



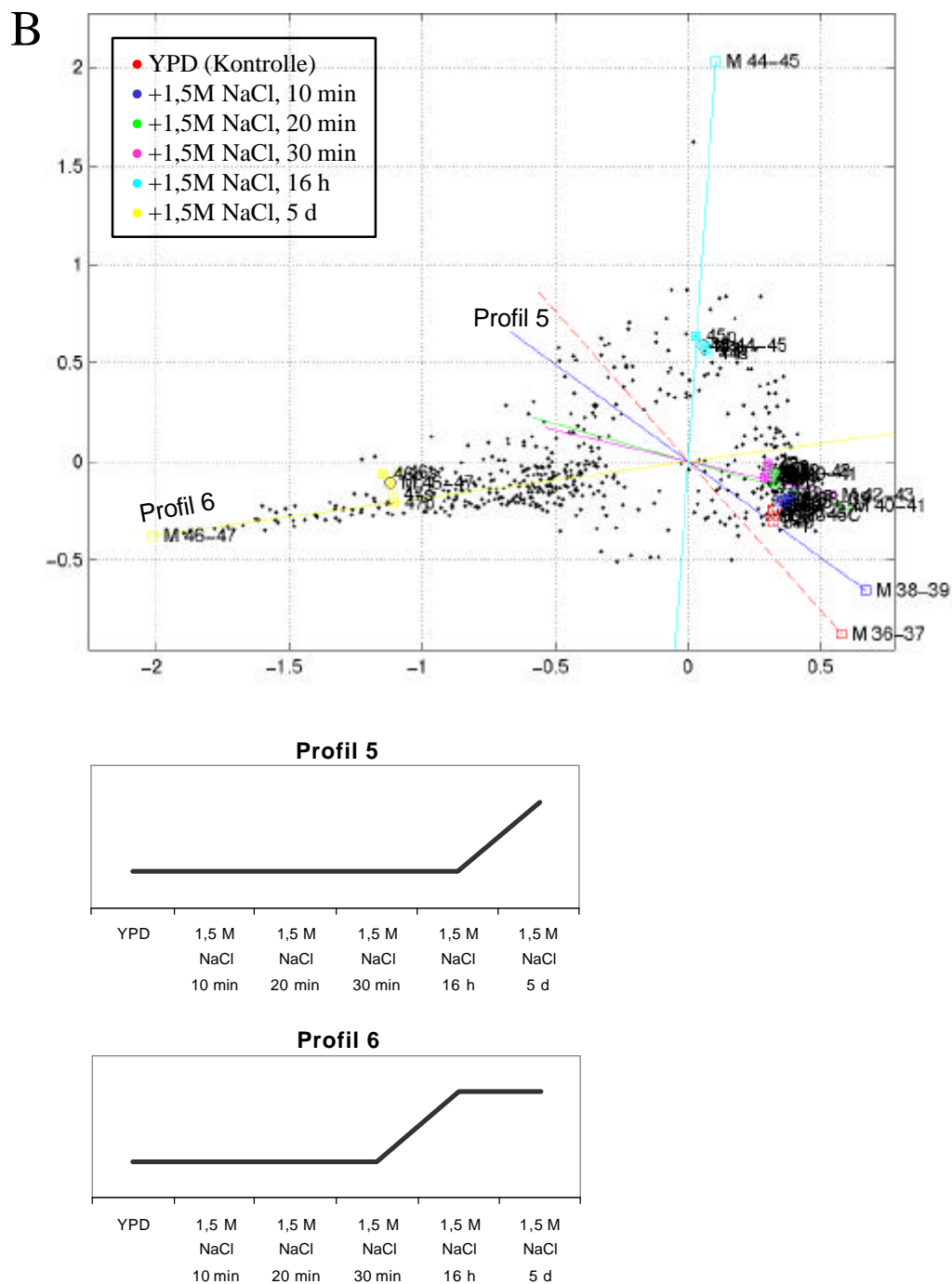


Abb. 3.20: Adaptation von Hefezellen an Hochsalz-Bedingungen. Eine logarithmisch wachsende Kultur wurde in Hochsalz-Medium mit 1,5 M NaCl transferiert. Nach verschiedenen Zeiten wurden Proben genommen und komplexe Hybridisierungen auf DNA-Arrays durchgeführt. Mit den gefilterten Datensätzen wurde eine Korrespondenzanalyse durchgeführt. Schwarze Punkte repräsentieren Gene, die jeweiligen Datensätzen zu den Bedingungen sind farblich, entsprechend der Legende dargestellt. Farbige Hilfslinien der Standard-Koordinaten zeigen die Richtung der schematisch skizzierten Profile der dort lokalisierten Genpunkte an. (A) Der mRNA-Status der Zellen nach 10, 20 und 30 min nach dem Transfer ist deutlich von der der Kontrolle getrennt. (B) Massive transkriptionelle Veränderungen zeigen sich nach 16 h und 5 Tagen.

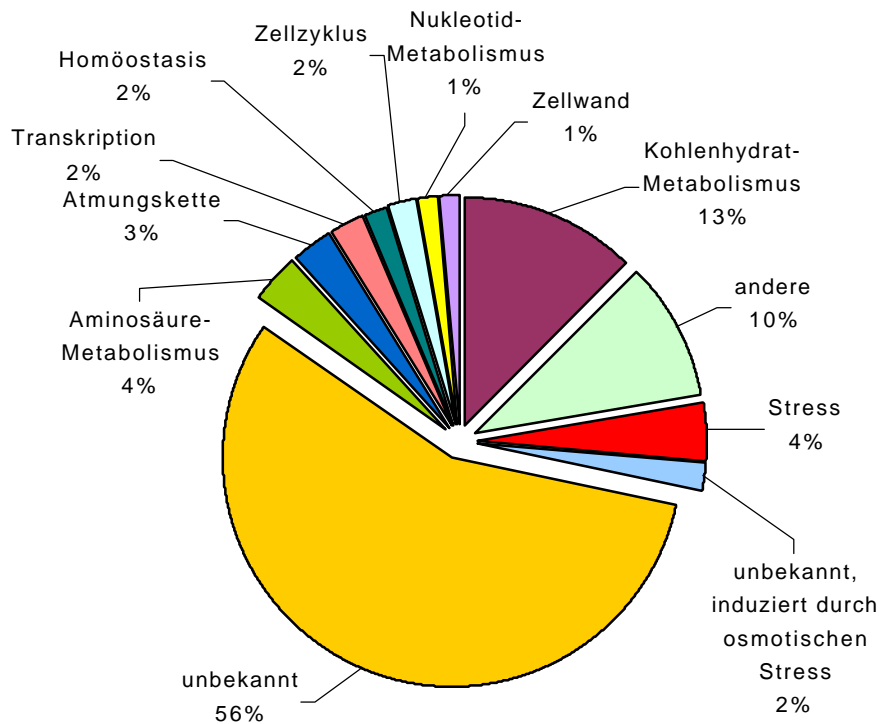


Abb. 3.21: 200 Gene mit signifikanter Induktion nach Adaptation an Hochsalz (Profil 6 aus Abb. 3.20) wurden in Funktionskategorien entsprechend dem Datenbank-Eintrag MIPS<sup>1</sup> eingeteilt. Funktionsgruppen mit mehr als zwei Geneinträgen sind explizit gezeigt, weitere wurden in der Gruppe „andere“ zusammengefaßt.

<sup>1</sup> [http:// www.mips.biochem.mpg.de/](http://www.mips.biochem.mpg.de/)

Tabelle 3.5: 100 Gene mit den signifikantesten Änderungen im Transkriptionsprofil 6 aus Abb. 3.21

ORF	Gen	Rel. Änderung bez. der Kontrolle					Funktion
		10 min	20 min	30 min	16 h	5d	
YGR236C		--	--	--	--	+116.8	unbekannt
YPL223C	GRE1	--	--	--	--	+92.7	unbekannt, induziert durch osmotischen Stress
YOL053C		--	--	--	--	+53.3	unbekannt
YBR116C		--	--	--	--	+49.1	unbekannt
YOR031W	CRS5	--	--	--	--	+29.2	Methallothionin
YBL075C	SSA3	--	--	--	--	+28.8	Cytosolisches HSP70
YHR096C	HXT5	--	--	--	+1.7	+23	Hexose Permease
YML128C		--	--	--	--	+17.8	unbekannt
YDR070c		--	--	--	-1.9	+26.7	unbekannt
YIL136W	OM45	--	--	-1.6	--	+24.6	Protein der äußeren Mitochondrienmembran
YDL218w		--	--	--	--	+16.1	unbekannt
YLR327C		--	--	--	-1.5	+18.2	unbekannt
YBR230C		--	--	--	--	+14.6	unbekannt
YPL222W		--	--	--	--	+14.5	unbekannt
YPL128C	TBF1	--	--	--	--	+21.7	Telomer Repeat-Bindungsfaktor
YGR256W	GND2	--	--	--	--	+12.6	6-Phosphogluconat-Dehydrogenase
YHR053C	CUP1-1	-2.1	-1.8	--	--	+15.3	Methallothionin
YMR170C	ALD2	--	--	--	--	+13.7	Aldehyddehydrogenase
YCL040w	GLK1	-2.3	-2.5	-2.1	+1.6	+19	Glucokinase
YHR055C	CUP1-2	-1.6	-1.9	--	--	+17.3	Metallothionine
YAL062W	GDH3	--	--	--	+1.8	+26.9	NADP-Glutamat-Dehydrogenase
YJR155W	AAD10	--	--	--	--	+12.2	Aryl-Alkohol-Dehydrogenase
YHR139C	SPS100	--	--	--	--	+19.1	Protein der Sporenwand
YFR017C		--	--	--	--	+12.5	unbekannt
YOR348C	PUT4	--	+2.2	--	+2.5	+10.1	proline und g-Aminobutyrat Permease
YNL117W	MLS1	--	--	-1.6	--	+11.5	Malat-Synthase
YGR087C	PDC6	--	--	--	--	+11.7	Pyruvat-Decarboxylase 3
YHR097C		--	--	-1.5	--	+8.8	unbekannt
YGR248W	SOL4	--	--	--	--	+10.3	unbekannt
YIR016W		--	--	--	--	+17.1	unbekannt
YOR121C		--	--	--	--	+9.5	unbekannt
YER067w		--	--	--	+1.6	+11	unbekannt
YOR032C	HMS1	--	--	--	--	+10	unbekannt
YGL121C		--	-1.8	--	+2.1	+7.3	unbekannt
YOL150C		--	--	--	--	+9.6	unbekannt

ORF	Gen	Rel. Änderung bez. der Kontrolle					Funktion
		10 min	20 min	30 min	16 h	5d	
YHR087W		-3	-3.3	-3.4	--	+7.7	unbekannt
YML004C	GLO1	--	-1.7	--	--	+7.7	Glyoxylase I
YKL090W		-1.6	--	--	--	+7.2	unbekannt
YDR077W	SED1	--	-1.8	--	+3	+10.9	unbekannt
YDL169C	UGX2	--	--	--	--	+8.9	unbekannt
YDL222c		--	--	--	--	+7.3	unbekannt
YDR536W	STL1	--	--	--	+2.5	+6.7	Hexose Transporter
YIL151C		--	--	+2.2	+2.6	+7.4	unbekannt
YDL204w		--	--	--	--	+6.4	unbekannt
YGR088W	CTT1	--	--	-1.6	--	+13.9	Catalase T
YMR262W		--	--	--	--	+11.1	unbekannt
YPR127W		--	--	--	--	+8.3	unbekannt
YCR047C		--	--	--	+2.1	+8.5	unbekannt
YKL163W	PIR3	--	--	--	--	+7.5	unbekannt
YNR001C	CIT1	-1.6	--	-1.5	-1.6	+6.5	Citrat-Synthase
YMR090W		--	--	--	--	+7.1	unbekannt
YGR201C		--	--	--	--	+6.7	unbekannt
YBR054W	YRO2	-2.6	-2.2	-2.1	+2.5	+9.6	unbekannt
YKR097W	PCK1	--	--	--	+1.6	+9.3	Phosphoenolpyruvat-Carboxykinase
YGR008C	STF2	-1.7	--	--	--	+5.5	ATPase Stabilisierungs-Faktor
YAL061W		--	--	--	+1.7	+7.4	unbekannt
YIR014W		--	--	--	--	+6.9	unbekannt
YHR008C	SOD2	--	-1.5	-2	--	+5.9	Mangan-Superoxid-Dismutase
YKL050C		--	--	+1.5	--	+6.1	unbekannt
YOR054C		--	--	--	--	+6	unbekannt
YLR023C		--	--	--	+1.7	+6.2	unbekannt
YKL085W	MDH1	--	-1.7	-2.6	+1.7	+5.8	Malat-Dehydrogenase
YNL025C	SSN8	--	--	--	--	+5.7	RNA-Polymerase II Mediator-Untereinheit
YNL331C	AAD14	--	--	--	--	+5.8	unbekannt
YEL059w		--	--	--	+1.6	+5.2	unbekannt
YFL030W		--	--	--	--	+6.3	unbekannt
YIL077C		--	--	--	--	+6.2	unbekannt
YLR174W	IDP2	--	--	--	+1.5	+4.6	Isocitrat-Dehydrogenase
YPR098C		--	--	--	--	+7.4	unbekannt
YPR150W		--	--	--	--	+5.3	unbekannt
YIL055C		--	--	--	+1.6	+4.6	unbekannt
YML005W		--	--	--	--	+5.2	unbekannt

ORF	Gen	Rel. Änderung bez. der Kontrolle					Funktion
		10 min	20 min	30 min	16 h	5d	
YOR161C		--	--	--	--	+6	unbekannt
YJL066C		-1.7	--	-1.6	--	+4.2	unbekannt
YER065c	ICL1	--	--	--	--	+5.5	Isocitrat-Lyase
YGR182C		--	--	+2.1	+1.8	+5.3	unbekannt
YGL037C	PNC1	-2.5	-3.1	-2.6	--	+7	Nicotinamidase
YHR138C		--	--	--	--	+8.8	unbekannt
YKL026C	GPX1	--	--	--	--	+5.6	Glutathion-Peroxidase
YDR262w		--	--	--	--	+6.2	unbekannt
YMR118C		--	--	--	--	+4.9	unbekannt
YPL225W		--	+1.6	--	--	+4.9	unbekannt
YBL001C	ECM15	--	--	--	--	+5.5	unbekannt
YMR173W	DDR48	--	--	--	--	+5.8	unbekannt
YPL134C	ODC1	--	--	--	--	+5.4	unbekannt
YPL230W	USV1	--	-1.5	--	--	+5.6	unbekannt
YHR033W		--	--	--	--	+4.4	unbekannt
YDR092W	UBC13	--	--	--	--	+5.3	E2 Ubiquitin-konjugierendes Enzym
YJR031C	GEA1	--	--	--	--	+4.1	GDP/GTP Austauschfaktor für ARF
YJL067W		--	--	--	--	+4.4	unbekannt
YBR214W	SDS24	--	-2	-1.6	+1.6	+4.8	unbekannt
YJR150C	DAN1	-1.5	-1.6	--	+1.6	+4.4	unbekannt
YJR096W		--	+1.6	--	--	+3.8	unbekannt
YLR158C	ASP3-3	--	-1.7	--	--	+5.1	L-Asparaginase II
YGR183C	QCR9	--	--	--	+1.9	+5	Ubiquinol Cytochrome-c Reduktase Untereinheit 9
YGL191W	COX13	--	--	--	--	+3.9	Cytochrome-c Oxidase Untereinheit VIa
YIR041W		+1.6	--	--	--	+5.6	unbekannt
YHR095W		--	--	--	+1.7	+3.9	unbekannt
YDR171W	HSP42	-2.5	-2.4	-2.7	--	+5.3	HSP
YLR155C	ASP3-1	--	--	--	+1.7	+4.3	L-Asparaginase II

Transkriptionelle Änderungen mit hoher Signifikanz sind farbig unterlegt, blau bzw. rot bei hoher Signifikanz einer Herunter- bzw. Hoch-Regulation; hellblau bzw. gelb bei Herunter- bzw. Hoch-Regulation mittlerer Signifikanz



Die vollständigen Listen aller Gene der Experimente aus den Kapiteln 3.3.1-3.3.4 befinden sich im Anhang (Band 2, Tabellen 6.1-6.4). Weiterhin sind sie über das Internet zugänglich.

### 3.3.5 Kooperationsprojekte

Die in den vorangegangenen Kapiteln beschriebene Technologie wurde in zahlreichen Kooperationen innerhalb des europäischen Netzwerks EUROFAN und darüber hinaus umgesetzt. Es wurden 256 Arrays zur Verwendung weitergegeben bzw. in den Kooperationen verwendet. Die in enger Kollaboration durchgeführten Experimente zeigt Tabelle 3.6.

Tabelle 3.6: Kooperationsprojekte

<b>Kurzbeschreibung</b>	<b>Kooperationspartner</b>
Kohlenstoff-Mangel	A. Hayes, S. Oliver, Manchester, GB
Stickstoff-Mangel	A. Hayes, S. Oliver, Manchester, GB
Zellwand-Biosynthese	A. Lagorce, J.M. Francois, Toulouse, Frankreich
Ceramid-Synthese	A. Meijer, R. Planta, Amsterdam, Niederlande
Überexpression von Cdc14p	A. Neutzner, W. Seufert, Stuttgart
Oxidativer Stress	B. Krems, K.-D. Entian, Frankfurt
Circadiane Rhythmen	F. Kippert, Edinbough, GB
Pseudohyphales Wachstum	H. Tournu, A. Brown, Aberdeen, GB
Isoamylalcohol-Response	H. Tournu, A. Brown, Aberdeen, GB
Untersuchung einer Weinhefe	J.E. Perez-Ortín, Valencia, Spanien
t-RNA Export	K. Hellmuth, Heidelberg
Kalzium-Stress/-Mangel	L. Lombardia, E. Cerdan, La Coruna, Spanien
Temperatur-Stress (Hitze und Kälte)	L. Lombardia, E. Cerdan, La Coruna, Spanien
Hypo-osmotischer Stress	M. Becerra, E. Cerdan, La Coruna, Spanien
PKC Pathway	M. Becerra, E. Cerdan, La Coruna, Spanien
Aerob-hypoxid Regulation	M. Becerra, E. Cerdan, La Coruna, Spanien
Zellalterung	P. Laun, M. Breitenbach, Salzburg, Österreich

## 4 Diskussion

Die Möglichkeiten zur Untersuchung ganzer Genome, verbunden mit der Entwicklung neuer Methoden, ist dabei die biologisch/medizinische Forschung zu revolutionieren und neue Sichtweisen und Interpretationen zu erlauben. Obwohl die eigentliche Technik der Hybridisierung auf DNA-Raster schon sehr früh beschrieben wurde (Gillespie und Spiegelman, 1965), haben erst die Sequenzierprojekte und damit der öffentliche Zugriff auf Sequenzen ganzer Genome die volle Bandbreite an Möglichkeiten aufgezeigt (The Chipping Forecast, 1999).

Die DNA-Array-Technologie ermöglicht die Untersuchung transkriptioneller Aktivität in hoher Parallelität, denn mit nur *einem* Experiment kann die Aktivität *aller* Gene eines Organismus gemessen werden. In dieser Arbeit wurde diese Technik etabliert und auf das gesamte Genom des Modellorganismus *Saccharomyces cerevisiae* angewendet. Weiterführend wurden verschiedene technische Aspekte untersucht, die für die fundierte Durchführung komplexer Studien und eine sinnvolle Interpretation der Daten von Relevanz sind. Routinen für eine mathematisch, statistische Auswertung und Einschätzung der Messdaten wurden ausgearbeitet und validiert. Für zahlreiche experimentelle Bedingungen, d. h. verschiedene physiologische und genetische Zustände der Hefe, wurde die transkriptionelle Aktivität durch DNA-Arrays bestimmt. Anhand einiger Beispiele wurden typischen Ergebnisse vorgestellt und beschrieben.

### 4.1 Technische, methodische Aspekte

#### 4.1.1 Trägermaterial

Die grundlegende Methode der transkriptionellen Untersuchung auf DNA-Arrays beruht auf der Duplex-Bildung zweier komplementärer Nukleinsäure-Sequenzen. Somit hat jeder Faktor, der Einfluss auf die Kinetik und die Thermodynamik ausübt, substantielle Konsequenzen.

Einer dieser Faktoren ist das zur Fixierung der Sondenmoleküle verwendete Trägermaterial und dessen Oberflächenbeschaffenheit. Die überwiegend verwendeten Materialien können in zwei Gruppen eingeteilt werden: poröse, flexible Membranen und undurchlässige, starre Träger überwiegend aus Glas.

In dieser Arbeit wurden Membranen, zunächst aus Nylon später aus Polypropylen, verwendet. Für diese Wahl waren verschiedene Gesichtspunkte entscheidend. Glas eignet sich aufgrund der starren Struktur nur in kleinen Abmessungen für Hybridisierungen. Bei der Verwendung von Radioaktivität kann es bei starken Signalen zur Überstrahlung benachbarter Positionen kommen, weshalb die Raster nicht in maximaler Dichte erstellt werden sollten. Die Positionierung der über 6000 DNA-Sonden war dadurch auf Glaträgern handhabbarer Größe nicht möglich. Die zu dieser Zeit für alternative Markierungen wie z. B. Fluoreszenz zugänglichen Detektionssysteme, waren aufgrund geringer Sensitivität und Auflösung nicht geeignet.

Weiterhin entscheidend für Membranen als Trägermaterial war der Verbundcharakter des Projektes. Die zu entwickelnde Technologie sollte Kooperationspartnern zugänglich gemacht werden und deshalb keine spezielle Ausrüstung, wie beispielsweise einen Laserscanner zur Fluoreszenzdetektion, erfordern.

Für das verwendete System Membranen/Radioaktivität wurden intensive Untersuchungen zur Einschätzung der Sensitivität und Quantifizierbarkeit durchgeführt (siehe Kapitel 3.1). Diese sollen hier mit publizierten Ergebnissen anderer Arbeitsgruppen im alternativen System Glas/Fluoreszenz verglichen werden.

#### **4.1.2 Hybridisierung**

Durch die poröse Netzstruktur der Membranen aus Nylon oder Polypropylen wird eine Oberflächenvergrößerung und damit verbunden eine höhere Kopplungsdichte erreicht. Die maximale Kopplungsdichte von Oligonukleotiden auf Glas beträgt  $0,1 \text{ pmol pro mm}^2$  im Gegensatz zu  $10 \text{ pmol}$  auf aminiertem Polypropylen (Southern *et al.*, 1999). Die poröse Struktur ermöglicht das Eindringen von Flüssigkeit, so dass die freien DNA-Moleküle auch in die Poren diffundieren können. Auf Glas können DNA-Moleküle nur in geringer Dichte gebunden werden, doch sind die Sequenzen aufgrund der undurchlässigen, planaren Struktur besser zugänglich, was wiederum die Kinetik der Hybridisierung verbessert. Die Hybridisierungsrate hängt jedoch auch stark von einer guten Durchmischung der freien DNA in Lösung ab. Die Hybridisierung der flexiblen Membranen erfolgt in rotierenden Glasröhren in einem Volumen von mehreren Millilitern. Glaträger hingegen werden in Hybridisierungskammern oder unter Deckgläsern mit einem Hybridisiervolumen von  $10 \text{ }\mu\text{l}$  bis einigen  $100 \text{ }\mu\text{l}$  ohne Bewegung durchgeführt. Durch den geringen Pufferaustausch müssen hier die Konzentrationen um mehrere Größenordnungen größer gehalten werden.

Die für Hybridisierungen auf Glas eingesetzte Probenmenge beträgt 2 µg mRNA für PCR-Fragment-Arrays (Chu *et al.*, 1998) und 10 µg mRNA für Oligonukleotide-Arrays (Lockhart *et al.*, 1996). Im Gegensatz dazu wurden 25 µg Gesamt-RNA für die Hybridisierung auf Nylon- und Polypropylene-Membranen verwendet. Die Konzentration der Probe bei der Hybridisierung liegt damit bei 200 bzw. 50 mg/ml bei Glas-Microarrays gegenüber 0,05 mg/ml auf Membranen. Die Anzahl detektierbarer Transkripte (siehe Kapitel 3.1.7) ist dabei vergleichbar und bezogen auf die Ausgangsmenge an Zellen ist somit die Sensitivität sogar um eine Größenordnung höher (Bertucci *et al.*, 1999).

Durch die Oberflächenbeschaffenheit von Glas können die Positionen dort in sehr viel höherer Dichte als auf Membranen platziert werden. Aufgebrachte Tropfen behalten aufgrund der Oberflächenspannung ihre Form bei und die meist sehr geringen Flüssigkeitsmengen im Bereich weniger Nanoliter verdunsten rasch. Bei Membranen dagegen wird die aufgebrachte Flüssigkeit aufgesaugt und breitet sich aus, wodurch Abgrenzungen verschwimmen können. Durch die Übertragung sehr kleiner Volumina wird diese räumliche Ausdehnung jedoch minimiert und durch wiederholtes Anfahren der gleichen Position kann Probenmaterial akkumuliert werden. Die in dieser Arbeit vorgestellten Arrays auf Nylon- und Polypropylene-Membranen wurden mit Metallnadeln konischer Spitze mit einem Durchmesser von 0,7 mm hergestellt. Bei jeder Übertragung werden dabei theoretisch 60 nl transferiert (C. Reynolds, persönliche Mitteilung). Der Durchmesser der Positionen nach radioaktiver Detektion beträgt 0,8 mm; damit hat sich die Fläche von 0,4 auf 0,5 mm<sup>2</sup>, also um 25 % erhöht. Die Positioniergenauigkeit des Roboters erlaubt es, dieselbe Position beliebig oft anzusteuern, ohne die Fläche zu vergrößern. Durch das wiederholte Aufbringen sehr kleiner Volumina wird eine gleichmäßige Verteilung der dabei transferierten DNA erreicht und ringförmige Strukturen mit lokal unterschiedlichen DNA-Mengen vermieden. Während des DNA-Transfers sind die Membranen in einer Aktivierungslösung getränkt. Diese verbessert die Bindung der DNA an das Trägermaterial, gleichzeitig liegen die Membranen glatt auf und die Mehrfachpositionierung auf identische Stellen ist gewährleistet. Eine schärfere Umgrenzung der Positionen konnte zusätzlich durch die Verwendung von Polypropylene-Membranen mit Dentrimer-Strukturen erreicht werden (siehe Abb. 3.3).

#### **4.1.3 Detektion und Sensitivität**

Zur Detektion der Hybridisierung werden überwiegend Fluoreszenz oder Radioaktivität verwendet. Sehr gute optische Eigenschaften machen Glas zum idealen Medium für die Detek-

tion mittels Fluoreszenz. Durch die Verwendung zweier Fluorophore unterschiedlicher Emissions-Wellenlängen können zwei verschieden markierte Proben vereint hybridisiert, jedoch getrennt detektiert werden (DeRisi *et al.*, 1996). Dadurch können experimentelle Varianzen bei der Hybridisierung z. B. durch die Verwendung nicht identischer Arrays minimiert werden. Bei Membranen hingegen können, da sie sich mehrfach wiederverwenden lassen, ganze Reihen von Hybridisierungen auf ein und dem selben Array sukzessive durchgeführt werden (Abb. 3.4), wodurch die nicht unwesentliche Varianz zwischen den Arrays vermieden wird. Außerdem wird dadurch eine Kontrollhybridisierung zur quantitativen Qualitätseinschätzung für jede einzelne Membran ermöglicht (siehe Kapitel 3.1.2). Glasträger werden in der Regel einmal verwendet und die Qualität nur chargenweise überprüft (DeRisi *et al.*, 1996).

Weiterhin zeigte der Vergleich verschiedener Hybridisierungen aus identischem Ausgangsmaterial, dass sich die größten Varianzen nicht bei der Hybridisierung, sondern durch getrennt generierte Proben ergeben (nicht gezeigt).

Zur Fluoreszenzdetektion werden überwiegend die Farbstoffe Cy3<sup>TM</sup> und Cy5<sup>TM</sup> (Mujumdar, 1993) verwendet. Die Absorptions- und Fluoreszenzspektren sind wenig überlappend, die Emissionsmaxima liegen bei 570 bzw. 670 nm. Durch die Überlappungen kann es jedoch zu Energieübertragungen zwischen den Fluorophoren und damit zu sog. Quenching-Effekten kommen. Außerdem sind die Moleküle sehr groß und die damit gekoppelten Nukleotide werden nur zu einem geringen Anteil bei der enzymatischen Polymerisation eingebaut. Cy3 bzw. Cy5 markierte Nukleotide werden im Vergleich zu radioaktiv markierten nur zu 2-3 % bei der reversen Transkription eingebaut.

Eine Alternative zur kompetitiven Hybridisierung verschieden fluoreszenzmarkierter Proben bietet die Verwendung der Radioisotope <sup>33</sup>P und <sup>3</sup>H. Diese werden mit sehr guter Effizienz enzymatisch eingebaut und können bei höherer Sensitivität gegenüber Fluoreszenz, getrennt detektiert werden (F. Diehl, persönliche Mitteilung).

Die herausragende DNA-Bindungsfähigkeit von Nylon-Membranen verursacht auch die unspezifische Bindung freier DNA während der Hybridisierung, wodurch ein starker Hintergrund entsteht. Geringste Mengen Radioaktivität können zwar detektiert, auf den Membranen jedoch nicht mehr vor dem unspezifischen Hintergrund aufgelöst werden. Durch die Verwendung derivatisierter Polypropylene-Membranen konnte das Signal/Hintergrund-Verhältnis um den Faktor 3-5 gegenüber Nylon verbessert werden (siehe Abb. 3.3).

Die maximal noch aufzulösende Dichte auf Membranen liegt bei ca. 250 Positionen pro  $\text{cm}^2$ . Diese Limitierung wird verursacht durch die Membranstruktur. Weiterhin erfordert die radioaktive Detektion einen größeren Abstand zwischen den einzelnen Positionen, da sonst bei Überstrahlung durch intensive benachbarte Positionen die Signale nicht getrennt aufgelöst werden können. Dagegen scheint der maximalen Dichte auf Glas in Verbindung mit Fluoreszenz kaum eine Grenze gesetzt (Wilding and Kricka, 1999). Der Vorteil der Erhöhung der Dichte liegt in der einfacheren Handhabbarkeit, jedoch bringt die Miniaturisierung neue Probleme bei der Auswertung der Arrays und der Analyse mit sich.

Allgemein lässt sich sagen, dass beide Systeme sowohl Vor- als auch Nachteile haben, welche je nach Anwendung abgeschätzt werden müssen. Vereinfachte Handhabbarkeit und Automatisierung sowohl bei der Hybridisierung als auch bei der Auslesung und Auswertung werden in der klinischen Diagnostik und der zunehmenden Verfügbarkeit auch großer Genome eine starke Favorisierung miniaturisierter Raster auf Glaträgern mit sich bringen. Durch die hohe Kopplungsdichte von DNA auf Membranen verbunden mit der radioaktiven Detektion ergibt sich ein sehr großer dynamischer Messbereich auf Membranen. Diese größere Sensitivität erlaubt es, auch aus kleinsten Mengen Probenmaterial ohne Amplifizierungsschritte Transkriptionsprofile auf DNA-Arrays zu erstellen (Bertucci *et al.*, 1999). Dieser Aspekt macht die Verwendung von Membranen, insbesondere der verbesserten Polypropylene-Membranen, zur wichtigen Alternative in der Grundlagen- und klinischen Forschung.

## **4.2 Datenanalyse**

Ein Experiment besteht aus zahlreichen Hybridisierungen auf DNA-Arrays mit Tausenden von Positionen, so dass in einer einzigen Studie Millionen von Datenpunkten erzeugt werden können. Diese umfangreichen Datenmengen können nicht mehr nur durch einfache Tabellen oder Grafiken analysiert werden, sondern erfordern intelligente bioinformatische Hilfen bei der Auswertung und Visualisierung.

### **4.2.1 Normalisierung**

Die durch Hybridisierung und anschließender Detektion der Schwärzungsgrade an jeder Position generierten Rohdaten müssen zunächst aufeinander angepasst werden, um sie untereinander vergleichbar zu machen. Diese Normalisierung korrigiert für additive Unterschiede,

verursacht z. B. durch unterschiedliche Hintergrund-Werte, sowie für multiplikative Faktoren, z. B. durch verschiedene Ausgangsmengen an mRNA oder Einbauraten bei der Markierung.

Für eine statistische Bewertung der Datensätze ist es notwendig, Experimente auf verschiedenen Ebenen zu wiederholen (siehe Kapitel 3.2.1). Die experimentellen Schwankungen können dabei so groß sein, dass selbst identische Ausgangsmaterialien differentiell transkribierte Gene liefern. Die Ursachen für solche Artefakte können sehr vielfältig sein, von Fehlern bei der Auswertung durch falsche Spotzuordnung, über unterschiedliche Array-Chargen bis hin zur Verwechslung von Proben oder verschiedene Experimentatoren. Auch sehr unterschiedliche Effizienzen bei der cDNA-Erststrangsynthese können, vor allem im Bereich der schwachen Transkripte, zu solchen Artefakten führen. Diese Fehlerquellen gibt es für jede Art Experiment, auf globaler Ebene bedarf es jedoch entsprechender Routinen, um sie erkennen und eliminieren zu können. Der erste Prozessierungsschritt, die Normalisierung, wird durch paarweise Korrelation von Datensätzen und deren Darstellung im XY-Diagramm (siehe Abb. 3.9) visuell kontrolliert. Dadurch können beispielsweise eine unkorrekte Hintergrundbereinigung oder gesättigte Signalintensitäten erkannt werden. Auch kann so individuell für jeden Datensatz die beste Normalisierungsmethode gewählt werden.

Drei prinzipielle Methoden zur Normalisierung unterscheiden sich in der Wahl der Datenpunkte, die für die Berechnung herangezogen werden: (1) alle Grauwerte in Array, (2) interne oder (3) externe Bezugspunkte.

(1) Bei der genomweiten Untersuchung transkriptioneller Aktivitäten zeigte sich, insbesondere bei einzelligen Organismen, dass nur eine relativ geringe Anzahl von Genen eine signifikante Änderung ihrer transkriptionellen Aktivität zeigt, die Mehrzahl sich jedoch innerhalb eines breiten experimentellen Spektrums nicht ändert bzw. überhaupt keine detektierbare Aktivität hat. Aufgrund dieser Beobachtung konnte die Normalisierung über die Mehrzahl aller Signalintensitäten erfolgen.

(2) Als interne Bezugspunkte dienen die Intensitäten von Genen, deren transkriptionelle Aktivität über alle Bedingungen eines Experimentes keine Änderung zeigt, sog. Haushaltsgene. Dabei zeigte sich, dass diese Auswahl für jeden experimentellen Ansatz neu bestimmt werden musste. Weiterhin liegt die Transkriptabundanz der meisten Haushaltsgene im unteren Drittel der Transkriptverteilung. Damit überspannen diese Datenpunkte nur einen kleinen Bereich der Datenpunktwolke im XY-Diagramm, was die Berechnung der Steigung der Ausgleichsgeraden sehr ungenau macht.

(3) Externe Bezugspunkte werden durch heterologe DNA geschaffen, die mit der genomischen Sequenz der Hefe keine Kreuzhybridisierung zeigt. Diese werden in definierter Menge sowohl im Array platziert, als auch der komplexen Probe zugegeben. Die Konzentrationen werden so gewählt, dass die gemessenen Intensitäten den gesamten Intensitätsbereich der komplexen Probe abdecken. Da es sich um verhältnismäßig wenig Datenpunkte handelt, wird die Geradengleichung durch einzelne experimentelle Pipetier- und Messungenauigkeiten stark beeinflusst. Weiterhin können nach dieser Methode nur solche Hybridisierungen angepasst und verglichen werden, die mit einem Aliquot der selben Charge generiert wurden. Eine weitere Schwäche stellt die begrenzte Haltbarkeit von RNA dar. Innerhalb einer Charge jedoch liefert diese Methode der externen Kontroll-Positionen eine sehr gute Korrektur und ist vor allem bei Experimenten mit starken transkriptionellen Varianzen, z. B. beim Vergleich unterschiedlicher Gewebe höherer Eukaryoten (M. Scheideler, pers. Mitteilung), überlegen.

Die Normalisierung erfolgte in den gezeigten Beispielen ausschließlich über die Mehrzahl aller Gene, da sich dieses Verfahren generell anwenden ließ und als äußerst robust erwies.

Unabhängig davon, welche Methode verwendet, d. h. welche Datenpunkte zur Normalisierung berücksichtigt wurden, sind darüber hinaus zwei verschiedene mathematische Regressionen möglich. Bei der linearen Regression werden starke Signalintensitäten überproportional bewertet, da in die Berechnung das Quadrat des Abstandes zur Regressionsgeraden eingeht. Bei der logarithmischen Regression hingegen ist der Bereich mit der größten Gesamtzahl an Datenpunkten dominierend. Alternativ wurde ein Verfahren entwickelt, welches für die Berechnung der Regression nur solche Datenpunkte auswählt, die nah der Regressionslinie liegen (Fellenberg *et al.*, in Vorbereitung). Somit werden nach objektiven, mathematischen Gesichtspunkten interne Bezugspunkte bestimmt.

Bei der Normalisierung von Datensätze wurden alle drei Verfahren durchgeführt und verglichen. Es wurde jeweils die Berechnungsart mit der besten Anpassung gewählt. Somit ist dieser Prozessierungsschritt nur halbautomatisch, da für jeden Einzelfall individuell entschieden werden muss. Da die Normalisierung und die daraus resultierenden Daten die Basis für alle weiterführenden Analysen und Interpretationen bilden, wurde bei der Entwicklung der Software ein Schwerpunkt in diesem Bereich gesetzt. Durch die parallele Anwendung der verschiedenen Verfahren, verbunden mit der Visualisierung des jeweiligen Ergebnisses konnte somit für jeden Datensatz die beste Anpassung getroffen werden.



#### 4.2.2 Qualität der Datenpunkte, Signifikanz

Durch die paarweise Korrelation lassen sich Datensätze als Gesamtheit einschätzen. Auf der nächsten Ebene kann darüber hinaus die Qualitäts-Einschätzung für jeden einzelnen Datenpunkt erfolgen. Hierfür wurden in dieser Arbeit zwei Methoden vorgestellt: die ‚Min/Max-Separation‘ und die ‚Standardabweichung-Separation‘. Die sehr stringente Methode der Min/Max-Separation erlaubt keine Ausreißer und filtert damit nach äußerst signifikanten Daten. Sie sollte als Qualitäts-Filter verwendet werden, wenn nur wenig redundante Datensätze zur Verfügung stehen oder die prominentesten Datenpunkte ausgewählt werden sollen, beispielsweise für weiterführende Untersuchungen biochemischer oder genetischer Art. Mit zunehmender Anzahl durchgeführter Wiederholungen steigt, rein statistisch betrachtet, die Wahrscheinlichkeit für einen Daten-Ausreißer. Bei umfangreicher Redundanz von Datensätzen sollte daher die Standardabweichung-Separation angewendet werden. Hierbei werden Ausreißer als solche erkannt und biologisch wichtige Informationen gehen für weitere Interpretationsansätze wie zum Beispiel die Korrespondenzanalyse nicht verloren. Eine visuelle Einschätzung der Reproduzierbarkeit bzw. Streuung einzelner Datenpunkte erfolgt im Parallelkoordinaten-Diagramm (Abb. 3.13 und 3.15). Um dieses Qualitätskriterium schnell erfassbar zu machen, wurde es in eine Farbkodierung übersetzt und mit den relativen Änderungen für jeden einzelnen ORF kombiniert (siehe z. B. Tabelle 3.2). Diese farbkodierten Tabellen sind über das Internet frei zugänglich<sup>1</sup> und erlauben so jedem Interessierten, ohne aufwendige Programme eine Einschätzung für einzelne ORFs zu treffen.

#### 4.2.3 Clustern, Klassifizierung, Projektion

Die steigende Anzahl globaler Genexpressionsanalysen führt zu vermehrter Entwicklung von Algorithmen und Werkzeugen zu deren Analyse und Organisation. Die Mehrzahl der Methoden kann, je nach Art des Ergebnisses, in drei Gruppierungen eingeteilt werden: Clustern, Klassifizierung und Projektion.

Beim hierarchischen Clustern werden einzelne Transkriptionsprofile sukzessive verglichen und bei Ähnlichkeit zu Knoten verbunden. Diese wiederum werden ebenfalls zu Knoten zusammengebracht, bis alle Profile und Knoten in einem einzelnen hierarchischen Baum zusammengefasst sind. Das hierarchische Clustern hat den Vorteil, dass es einfach anzuwenden und das Ergebnis gut visualisiert werden kann (Eisen *et al.*, 1998). Allerdings kann es zu Ar-

---

<sup>1</sup><http://www.dkfz-heidelberg.de/abth0800/>

tefakten kommen, wenn Cluster sehr groß werden. In einem solch großen Cluster kann es vorkommen, dass das repräsentative Profil, welches der Durchschnitt aus allen Profilen des Clusters ist, nicht mehr auch nur ein einziges der darin enthaltenen Profile wiedergibt. Das bedeutet, je weiter oben im Baum man sich befindet, desto weniger ähnlich sind sich Gene im gleichen Cluster. Außerdem ist die Methode starr, da eine einmal getroffene Entscheidung beim Aufbau des Baums nicht mehr korrigiert werden kann. Die Algorithmen zur Berechnung von Kohonen-Karten (Tamayo *et al.*, 1999) und K-means-Clustern (Tavazoie *et al.*, 1999) sind prinzipiell sehr unterschiedlich; gemeinsam ist beiden, dass die Anzahl Cluster vorgegeben werden muss, in die durch iterative Verfahren Gene mit ähnlichen Transkriptionsprofilen eingeteilt werden. Klassifizierungs-Methoden wie ‚support vector machines‘ (SVM) erfordern die Vorgabe eines Training-Sets, auf dessen Grundlage dann die Vorhersage weiterer Daten basiert (Brown *et al.*, 2000). Beispielsweise wird die Gruppe „Ribosomale Proteine“ vorgegeben und alle Gene werden dahingehend untersucht, ob sie in dieses Schema passen oder nicht. All diesen Methoden ist gemeinsam, dass sie die Einstellung von Parametern erfordern und dadurch Einfluss auf das Ergebnis ausüben. Es werden aber auch Algorithmen verwendet, die darin resultieren, dass die hoch-dimensionalen Daten in einen darstellbaren 2- oder 3-dimensionalen Raum projiziert werden können; dazu zählen ‚multi-dimensional scaling‘, Hauptkomponenten-Analyse (PCA, „principal component analysis“) oder die in dieser Arbeit beschriebene Korrespondenzanalyse. Während die beiden ersten Methoden ihre sinnvolle Anwendung bei der Analyse und Visualisierung von Genen *oder* Datensätzen bewiesen haben (Hilsenbeck *et al.*, 1999), liegt der Vorteil der Korrespondenzanalyse in der Möglichkeit, Assoziationen zwischen Genen oder zwischen Datensätzen zu untersuchen, aber auch zwischen Genen *und* Datensätzen.

#### **4.2.4 Korrespondenzanalyse**

Die Korrespondenzanalyse zeigt direkt Verbindungen zwischen Genen und den experimentellen Bedingungen unter denen sie betrachtet wurden. Dabei dominieren vorherrschende Varianzen gegenüber geringfügigen Veränderungen. Die Korrespondenzanalyse ist eine deskriptive Methode zur Projektion hoch-dimensionaler Datenreihen und visualisiert dabei deren zugrunde liegenden Strukturen. Dabei sind keine Vorinformationen notwendig, denn im Gegensatz zu den meisten anderen Algorithmen ist für die Korrespondenzanalyse keine Einstellung von Parametern erforderlich. Durch die Projektion werden Elemente mit großer Ähnlichkeit in räumliche Nähe gebracht. Im Falle der Gene heißt das, dass sie ein ähnliches

Transkriptionsprofil besitzen. Dabei sind die Abgrenzungen der einzelnen Gen-Gruppierungen und damit die Anzahl unterschiedlicher Profile vom Anwender frei zu wählen. Im Falle der Datensätze heißt die räumliche Nähe, dass sich die Mehrzahl der Gene, aus denen sich die Datensätze zusammensetzen, gleich verhalten. So kann die Reproduzierbarkeit wiederholter Hybridisierungen geprüft werden, aber es werden auch Artefakte oder Verwechslungen aufgedeckt. Mit Hilfe der Korrespondenzanalyse konnte gezeigt werden, dass zwei Stämme, die sich unter normalen Wachstumsbedingungen sehr unterschiedlich verhalten, bei Stress die gleiche transkriptionelle Antwort geben (siehe Abb. 3.18). Oder dass eine Knock-out-Mutante zwar phänotypisch eine Wachstums-Retardierung zeigt, die typische Stressantwort des Wildtypstammes auf molekularer Ebene jedoch ausbleibt (siehe Abb. 3.17). Mit dieser explorativen Technik werden Zusammenhänge aufgezeigt, wodurch neue Fragestellungen und Hypothesen aufgestellt werden können, die es anschließend durch statistische oder andere Tests zu beweisen gilt. Mit diesen Ansätzen steht man jedoch erst am Beginn der Möglichkeiten. Ebenso wie hier Verbindungen zwischen Genen und experimentellen Bedingungen dargestellt wurden, müssen weitere Elementgruppen in die Projektion einbezogen werden, wie beispielsweise Gen-Annotation mit Sequenzinformationen, regulatorische Motive, funktionelle Kategorien und experimentelle Annotationen.

#### **4.2.5 Datenbank**

Für die hier näher beschriebenen Experimente sowie weitere in Kooperation mit Mitgliedern des Funktionsanalyse-Netzwerks und darüber hinaus entstandenen Datensätze (siehe Tabelle 3.6.) wurde eine Datenbank eingerichtet, die über das Internet für Mitglieder zugänglich ist<sup>1</sup>. Zusammen mit den numerischen Daten wurde die Beschreibung der experimentellen Durchführung in der Datenbank abgelegt. Eintragungen in dieses Annotationsformular bilden die Grundlage für datenbankweite Suchen nach z. B. bereits durchgeführten experimentellen Bedingungen und Gemeinsamkeiten oder Unterschiede gruppierter Datensätze. Durch die Verbindung der Korrespondenzanalyse mit den experimentellen Annotationen konnte beispielsweise die Inkonsistenz innerhalb wiederholter Datensätzen unmittelbar aufgeklärt werden, deren einziger Unterschied in der Array-Charge bzw. dem Experimentator lag (Daten nicht gezeigt). Die Datenbank ist so aufgebaut, dass sie rasch an das von 5 Arbeitsgruppen ausge-

---

<sup>1</sup><http://www.dkfz.de/tbi/sesame/expro/pushex.html>

arbeitete internationale Standardformat für DNA-Array Daten angepasst werden kann (siehe Kapitel 4.2.6).

Mit der steigenden Zahl öffentlich zugänglicher Datenbanken werden mehr und mehr komplexe Algorithmen entwickelt, um ein Netzwerk aus den unterschiedlichsten Informationsquellen aufzubauen (Brown *et al.*, 2000; Marcotte *et al.*, 1999; Tavazoie *et al.*, 1999). Allein durch die sinnvolle Verknüpfung der vorhandenen Informationen soll es möglich werden, die Funktion von Proteinen vorherzusagen.

#### 4.2.6 Standardisierung

Die in den Datenbanken befindlichen und öffentlich zugänglichen Daten stammen aus zum Teil sehr unterschiedlichen experimentellen Systemen und sind daher meist nur bedingt miteinander vergleichbar. Kompatibilität ist jedoch Voraussetzung für die Anwendung intelligenter Algorithmen zu deren Vernetzung und Interpretation. Zur Realisierung einer Standardisierung von DNA-Array-Daten erarbeiten 5 Arbeitsgruppen unter der Leitung europäischer bzw. US-amerikanischer Fachleute verbindliche Standards bezüglich deren Präsentation und Annotation<sup>1</sup>. Dies beinhaltet: (1) ein einheitliches Format zum Austausch von Daten (XML), (2) die Ontologie zur Beschreibung der Proben, (3) Normalisierungen, (4) Qualitätskontrolle und Vergleichbarkeit über die verschiedenen Plattformen hinaus und (5) eine einheitliche Sprache zur Datenbank-Suche und Ansätze zur Analyse und Interpretation (Brazma *et al.*, 2000). Einige der in dieser Arbeit vorgeschlagenen und bearbeiteten Ansätze dienen als Grundlage für die Arbeitsgruppen (M. Vingron, A. Brazma, pers. Mitteilung). In einer Kooperation zwischen dem Deutschen Krebsforschungszentrum und dem Europäischen Bioinformatikinstitut (EBI, Hinxton) wurde eine Genexpressions-Datenbank entwickelt, die den Empfehlungen der Arbeitsgruppen nachkommt<sup>2</sup>.

---

<sup>1</sup><http://www.ebi.ac.uk/microarray/>

<sup>2</sup><http://www.ebi.ac.uk/arrayexpress/>

## 4.3 Genexpressionsuntersuchungen

### 4.3.1 Quantifizierung

Ein Hauptproblem bei der Standardisierung der Messdaten stellt die Ungenauigkeit der Messung dar, denn es werden für jedes Gen nur relative Änderungen bezüglich einer per Definition als Standard gesetzten Bedingung bestimmt. Sowohl bei der kompetitiven als auch bei der sukzessiven Hybridisierung müssen die zu vergleichenden Datensätze miteinander vergleichbar gemacht werden. Mit Hilfe interner und heterologer Kontrollen können durch mathematische Normalisierungs-Prozesse systematische und zufällige Fluktuationen eingeschätzt und eliminiert bzw. minimiert werden (siehe Abschnitt 3.2.1, Eickhoff *et al.*, 1999; Schuchhardt *et al.*, 2000).

Systematische Messungen mit verschiedenen Verdünnungen definierter Proben sowohl auf dem Array als auch als freies Zielmolekül haben gezeigt, dass beide Größen Einfluss auf das Ergebnis haben. Während die Menge an gebundenem Probenmaterial auf dem Array einen Sättigungsbereich erreichen sollte, um quantifiziert werden zu können, ist eine Sättigung der Sonde durch zu hohe Konzentrationen des Zielmoleküls in der Lösung zu vermeiden. Durch den Vergleich und eine Einschätzung konnten beide Ereignisse für die verwendeten gesamten genomischen DNA-Arrays ausgeschlossen werden.

Diese umfangreichen Messungen zeigten außerdem, dass die Signalintensität als Funktion der immobilisierten DNA-Menge *und* der Konzentration der DNA in Lösung beschrieben und in einem dreidimensionalen Diagramm dargestellt werden kann. Durch ca. 3-4 Hybridisierungen mit einem universell bindenden Oligonukleotid in bekannten Konzentrationen kann für jede individuelle Position im Raster diese Funktionsgleichung aufgestellt und die tatsächliche Menge immobilisierter Sonden-DNA bestimmt werden (B. Brors, M. Vingron, pers. Mitteilung). Dies bedeutet, dass sich durch Vorversuche eine unbekannte Größe, die Menge an DNA an jeder Position, bestimmen lässt. In darauffolgenden Hybridisierungen mit komplexen Proben kann dann mit Hilfe der aufgestellten Funktion und der gemessenen Signalintensität die Konzentration der Moleküle in Lösung bestimmt werden. Damit ist es möglich, Transkripthäufigkeiten direkt zu quantifizieren.

Diese Quantifizierung setzt jedoch eine gute Wiederverwendbarkeit voraus, da die Arrays erst nach den Vorversuchen für komplexe Proben verwendet werden können, wie sie beispielsweise für die hier verwendeten Membranen beschrieben wurde. Diese Untersuchungen

wurden außerdem auf Glaträgern durchgeführt. Die beschriebenen Kurvenanpassungen sind dabei prinzipiell gleich, jedoch liegen die Detektions- und Sättigungsgrenzen in einem anderen Größenordnungsbereich (nicht gezeigt). Außerdem war die Qualität der verwendeten Glaträger sehr unterschiedlich und eine Wiederverwendbarkeit bei gleichbleibender Qualität nur in Einzelfällen möglich.

### **4.3.2 Kontrollen**

Die Bestätigung der durch die Hybridisierung auf DNA-Arrays gemessenen Transkripthäufigkeiten erfolgte in Einzelfällen durch Northern Blot-Analysen (nicht gezeigt). Dabei wurden in der Regel dieselben Tendenzen, d. h. Induktion- bzw. Repression, gemessen. Die absoluten Faktoren sind jedoch oft unterschiedlich mit meist höherer Änderung bei der Northern-Hybridisierung. Bei der Hybridisierung auf DNA-Arrays, anfänglich oft als revers-Northern bezeichnet, ist die Komplexität bei der Hybridisierung größer. Außerdem kann es bei sehr hoch abundanten Transkripten doch zu den beschriebenen Sättigungseffekten kommen.

Prinzipiell basieren beide Analysen auf derselben Technik, nämlich der Duplexbildung komplementärer DNA-Stränge, wobei einer der Partner auf einen Träger immobilisiert wurde. Dadurch unterliegen beide Techniken den gleichen experimentellen Gesetzmäßigkeiten und Problemen, wie sie beispielsweise in Kapitel 3.1.7 beschrieben wurden. Deshalb ist die Kontrolle einer Methode durch die jeweils andere zumindest hinsichtlich ihres Kontrollcharakters mit Vorsicht zu betrachten.

### **4.3.3 Spezifität**

Obwohl die Duplexbildung von Nukleinsäuresträngen unter stringenten Bedingungen hochspezifisch ist, nimmt die Sensitivität gegenüber Basenfehlpaarungen mit zunehmender Länge ab. Im Falle der hier verwendeten DNA-Arrays mit langen PCR-Fragmenten kann zwischen Genen mit hoher Sequenzähnlichkeit nicht diskriminiert werden, da es in hohem Maße zu Kreuzhybridisierungen kommen kann. Im Falle der Hefe sind diese Sequenzähnlichkeiten innerhalb von z. B. Genfamilien jedoch bekannt und können bei der Interpretation berücksichtigt werden (vgl. Kapitel 3.3.1 und 3.3.2).

### 4.3.4 Transkriptionelle Untersuchungen

#### 4.3.4.1 Vergleich einer Weinhefe mit einem Laborstamm

Diese Untersuchungen ergaben, dass die transposablen Elemente der Klasse Ty1 die größten transkriptionellen Unterschiede zeigen. Die Hauptursache für die beobachteten Unterschiede der Ty1 transposablen Elemente scheint die Tatsache, dass der genetischen Hintergrund des Laborstammes mehr Ty1 Kopien hat als der Weinstamm. Dieses Ergebnis bestätigt frühere Beobachtungen, dass in Wein- und Bierhefen sehr viel weniger Ty1- und Ty2-Elemente vorkommen als in Laborstämmen, insbesondere in Bäckerhefen (Codon *et al.*, 1998). Weiterhin ist dies konform mit der Theorie, dass die Transposition der Ty-Elemente erst sehr spät stattfand und bestimmte Wachstumsbedingungen, wie beispielsweise die Weinfermentation, einen Selektionsdruck gegen die Akkumulation von Ty-Elementen darstellten (Jordan und McDonald, 1999). Für die größeren Unterschiede auf Transkriptionsebene im Vergleich zur genomischen Kopienzahl gibt es zwei Erklärungen: entweder wird jede Kopie im Laborstamm stärker transkribiert oder aber im Weinstamm sind einige Kopien stumm (Boeke und Sandmeyer, 1991). Eine Ursache für die sehr viel höhere Signalstärke der Ty1B Transkripte im Vergleich zu Ty1A könnte in der Synthese der cDNA vom 3'-Ende der mRNA her liegen. Ty A und B ORFs werden als Tandem-Transkripte mit einer Länge von 6-7 kbp synthetisiert und möglicherweise reichen die Retro-Transkripte nicht bis zum 5'-Ende der mRNA, so dass der Anteil markierter B ORFs größer ist. Bestätigt wird diese Theorie durch den Vergleich genomischer Kopienzahlen, die solche Unterschiede nicht zeigen (Tabelle 3.1). Allerdings erklärt dies nur die Ergebnisse für MCY nicht jedoch diese des Weinstammes, wo TyA und TyB keine signifikant unterschiedlichen Signalintensitäten zeigten. Es wird deshalb angenommen, dass in Weinhefen die Transkription von Ty-Elementen Defekte aufweist, die zur Produktion unvollständiger mRNA-Moleküle führt und dadurch geringere Transkript-Level, insbesondere im 3'-Anteil (TyB), detektiert werden.

Die Präsentation eines Stammes als Korrelation seiner genomischer Kopienzahl mit der transkriptionellen Aktivität einer bestimmten Wachstumsbedingung (Abb. 3.16) ergibt ein für jeden Stamm charakteristisches Bild und kann als eine Art Fingerabdruck betrachtet werden. Insbesondere die Information zu Ty-Elementen und großen Genfamilien könnte als molekulares Werkzeug zur Identifizierung von Industriestämmen genutzt werden.

#### 4.3.4.2 *tRNA Export-Faktor Los1p*

Bei dieser Untersuchung wurden zwei bereits bekannte nukleäre Exportfaktoren mit erhöhter Transkriptionsrate in der *los1*-Mutante identifiziert. Prp20p ist der Guaninnukleotid-Austauschfaktor für die kleine GTPase Gsp1p in Hefe. Untersuchungen zeigten, dass Gsp1p in der GTP-gebundenen Form an nukleäre Exportsubstrate bindet und zusammen mit seinem Bindungspartner den Zellkern verlässt (Izaurrealde *et al.*, 1997). Durch Katalyse des Nukleotidumtauschs an Gsp1p ( $\text{Gsp1p-GDP} \rightarrow \text{Gsp1p-GTP}$ ) ermöglicht Prp20p die Bildung von nukleären Exportkomplexen, also auch den von Los1p mit Gsp1p-GTP und tRNA (Hellmuth, 1999). Bei Abwesenheit von Los1p könnte ein zu Los1p redundanter tRNA-Exportfaktor dessen Rolle übernehmen. Eine ansonsten geringere Affinität für tRNA im Vergleich zu Los1p könnte durch eine erhöhte Konzentration an Gsp1p-GTP im Zellkern, verursacht durch die höhere Expression von PRP20, verbessert sein.

Nup159p ist an der zytoplasmatischen Seite der Kernpore lokalisiert, besitzt Phenylalanin-Glycin-Sequenzwiederholungen (FG-Repeats) und spielt eine entscheidende Rolle bei der Bildung von Export-Intermediaten (Floer und Blobel, 1999). FG-Repeats, wie sie in NUP159 vorkommen, können nukleäre Transportfaktoren *in vitro* binden und sollen so als Andockstellen für Exportkomplexe dienen (Rexach und Blobel, 1995). Durch eine höhere Expression von NUP159, wie sie in der *los1*-Mutante beobachtet wird, könnten verstärkt FG-Repeats für einen alternativen nukleären tRNA-Exportfaktor, der ebenfalls solche Sequenzwiederholungen bindet, zur Verfügung gestellt werden. Auf diese Weise könnten Hefezellen den Verlust von Los1p und den damit verbundenen Ausfall einer tRNA-Exportroute kompensieren (K. Hellmuth, persönl. Mitteilung).

#### 4.3.4.3 *Zellulärer Stress durch erhöhte Temperatur bzw. veränderte Osmolarität*

Diese Untersuchungen zeigten die transkriptionellen Änderungen bei Adaptation von Hefezellen an veränderte äußere Bedingungen. Die Erhöhung der Temperatur von 30 °C auf 37 °C stellt dabei eine moderate Stressbedingung dar und die Adaptation erfolgt sehr rasch. Die Induktion von Stressproteinen, vor allem im Zusammenhang mit Proteinfaltung und Degradation, konnte beobachtet werden. Es bleibt die weiterführende Analyse zahlreicher Gene mit bislang unbekannter Funktion, welche in einen neuen funktionellen Zusammenhang gebracht wurden

Unter den sehr harten Stress-Bedingungen durch 1,5 M Salz werden transkriptionelle Veränderungen erst nach mehreren Stunden beobachtet. Die Unterschiede im Transkriptom in



den ersten 30 Minuten spiegeln vermutlich unterschiedliche RNA-Stabilität und weniger transkriptionelle Aktivität wieder. Massive Änderungen in ihrer transkriptionellen Aktivität zeigten die adaptierten und wachsenden Zellen nach 5 Tagen. Dabei wurden vor allem Gene induziert, nur wenige reprimiert. Die bereits bekannte, durch Salz induzierte Expression vieler Gene konnte bestätigt werden, wie beispielsweise für die ATPase *Ena1p* oder Glycerol-3-Phosphat-Dehydrogenase (*GDP1*), das Schlüsselenzym der Glycerin-Produktion in Hefe. Ebenfalls ist bekannt, dass bei der Adaptation an Salz das Disaccharid Trehalose akkumuliert wird und auch hier konnte die Induktion beteiligter Enzyme bestätigt werden (z. B. *TPS1*, *PGM2*). Weiterhin konnte gezeigt werden, dass eine Vielzahl der Gene des Tricarbonsäure-Zyklus und Glyoxylat-Zyklus unter Salz-Stress induziert werden. Dies wird vermutlich durch den erhöhten Energiebedarf verursacht. Die Mehrzahl der induzierten Gene wurde bislang jedoch funktionell nicht charakterisiert und kann nun in einen physiologischen Zusammenhang gebracht werden.

#### 4.3.5 Korrelation Transkript - Protein

Mit der DNA-Array-Technologie lassen sich Transkripthäufigkeiten messen und damit die Aktivität aller Gene zu einem gegebenen Zeitpunkt bestimmen. Jedoch erfolgt die Regulation der Genexpression auf verschiedenen Ebenen, so dass für ein globales Bild ebenfalls Proteinhäufigkeiten bestimmt werden müssten. Da die auf Nukleinsäuren basierenden Methoden sehr viel einfacher zu automatisieren und globalisieren sind, wäre die Vorhersage von Proteinhäufigkeiten über die Messung von Transkripten eine sehr elegante Methode. Zwei Studien kamen dabei zu ganz unterschiedlichen Ergebnissen, während Gygi *et al.* (1999) keine Korrelation zwischen Protein- und Transkriptmengen sahen, postulierten Futcher *et al.* (1999), dass pro translatiertem mRNA-Molekül 4000 Proteine vorhanden sind.

Zumindest jedoch bei induktiven Vorgängen kann global betrachtet in erster Näherung von einer Korrelation zwischen transkriptionellen Änderungen und der tatsächlichen Proteinexpression ausgegangen werden, wobei dies im jeweiligen Einzelfall für entsprechend wichtige Gene experimentell überprüft werden muss. Doch selbst für andere Studien ist die Kenntnis der Veränderungen in den Transkriptmengen eine Voraussetzung zum Gesamtverständnis des Zusammenspiels der zellulären Regulationsmechanismen.

## 5 Literaturverzeichnis

- Adams, J., Puskas-Rozsa, S., Simlar, J. und Wilke, C.M. (1992) Adaptation and major chromosomal changes in populations of *Saccharomyces cerevisiae*. *Curr Genet*, 22, 13-9.
- Adams, M.D., Celniker, S.E., Holt, R.A., Evans, C.A., Gocayne, J.D., Amanatides, P.G., Scherer, S.E., Li, P.W., Hoskins, R.A., Galle, R.F., George, R.A., Lewis, S.E., Richards, S., Ashburner, M., Henderson, S.N., Sutton, G.G., Wortman, J.R., Yandell, M.D., Zhang, Q., Chen, L.X., Brandon, R.C., Rogers, Y.H., Blazej, R.G., Champe, M., Pfeiffer, B.D., Wan, K.H., Doyle, C., Baxter, E.G., Helt, G., Nelson, C.R., Gabor Miklos, G.L., Abril, J.F., Agbayani, A., An, H.J., Andrews-Pfannkoch, C., Baldwin, D., Ballew, R.M., Basu, A., Baxendale, J., Bayraktaroglu, L., Beasley, E.M., Beeson, K.Y., Benos, P.V., Berman, B.P., Bhandari, D., Bolshakov, S., Borkova, D., Botchan, M.R., Bouck, J., Brokstein, P., Brottier, P., Burtis, K.C., Busam, D.A., Butler, H., Cadieu, E., Center, A., Chandra, I., Cherry, J.M., Cawley, S., Dahlke, C., Davenport, L.B., Davies, P., de Pablos, B., Delcher, A., Deng, Z., Mays, A.D., Dew, I., Dietz, S.M., Dodson, K., Doup, L.E., Downes, M., Dugan-Rocha, S., Dunkov, B.C., Dunn, P., Durbin, K.J., Evangelista, C.C., Ferraz, C., Ferriera, S., Fleischmann, W., Fosler, C., Gabrielian, A.E., Garg, N.S., Gelbart, W.M., Glasser, K., Glodek, A., Gong, F., Gorrell, J.H., Gu, Z., Guan, P., Harris, M., Harris, N.L., Harvey, D., Heiman, T.J., Hernandez, J.R., Houck, J., Hostin, D., Houston, K.A., Howland, T.J., Wei, M.H., Ibegwam, C., et al. (2000) The genome sequence of *Drosophila melanogaster*. *Science*, 287, 2185-95.
- Avram, D. und Bakalinsky, A.T. (1997) SSU1 encodes a plasma membrane protein with a central role in a network of proteins conferring sulfite tolerance in *Saccharomyces cerevisiae*. *J Bacteriol*, 179, 5971-4.
- Bakalinsky, A.T. und Snow, R. (1990) The chromosomal constitution of wine strains of *Saccharomyces cerevisiae*. *Yeast*, 6, 367-82.
- Beier, M. und Hoheisel, J.D. (1999) Versatile derivatisation of solid support media for covalent bonding on DNA-microchips. *Nucleic Acids Res*, 27, 1970-7.
- Bertucci, F., Bernard, K., Loriod, B., Chang, Y.C., Granjeaud, S., Birnbaum, D., Nguyen, C., Peck, K. und Jordan, B.R. (1999) Sensitivity issues in DNA array-based expression measurements and performance of nylon microarrays for small. *Hum Mol Genet*, 8, 1715-22.
- Blomberg, A. (1997) The osmotic hypersensitivity of the yeast *Saccharomyces cerevisiae* is strain and growth media dependent: quantitative aspects of the phenomenon. *Yeast*, 13, 529-39.
- Boeke, J.D. und Sandmeyer, S.B. (1991) Yeast transposable elements. In Broach, J.R., Pringle, J.R. und Jones, E.W. (eds.), *The Molecular Biology of the Yeast Saccharomyces*. Cold Spring Harbor Laboratory Press, Cold Spring Harbor, N.Y., Vol. 1, pp. 193-261.
- Bonner, J.J., Carlson, T., Fackenthal, D.L., Paddock, D., Storey, K. und Lea, K. (2000) Complex regulation of the yeast heat shock transcription factor. *Mol Biol Cell*, 11, 1739-51.
- Brachmann, C.B., Davies, A., Cost, G.J., Caputo, E., Li, J., Hieter, P. und Boeke, J.D. (1998) Designer deletion strains derived from *Saccharomyces cerevisiae* S288C: a useful set of strains and plasmids for PCR-mediated gene disruption and other applications. *Yeast*, 14, 115-32.

- Braley, R. und Chaffin, W.L. (1999) Variations in mRNA transcript levels of cell wall-associated genes of *Saccharomyces cerevisiae* following spheroplasting. *FEMS Microbiol Lett*, 181, 177-85.
- Braxton, S. und Bedilion, T. (1998) The integration of microarray information in the drug development process. *Curr Opin Biotechnol*, 9, 643-9.
- Brazma, A., Robinson, A., Cameron, G. und Ashburner, M. (2000) One-stop shop for microarray data. *Nature*, 403, 699-700.
- Brown, M.P., Grundy, W.N., Lin, D., Cristianini, N., Sugnet, C.W., Furey, T.S., Ares, M., Jr. und Haussler, D. (2000) Knowledge-based analysis of microarray gene expression data by using support vector machines. *Proc Natl Acad Sci U S A*, 97, 262-7.
- Chu, S., DeRisi, J., Eisen, M., Mulholland, J., Botstein, D., Brown, P.O. und Herskowitz, I. (1998) The transcriptional program of sporulation in budding yeast. *Science*, 282, 699-705.
- Codon, A.C., Benitez, T. und Korhola, M. (1998) Chromosomal polymorphism and adaptation to specific industrial environments of *Saccharomyces* strains. *Appl Microbiol Biotechnol*, 49, 154-63.
- Consortium, T.C.e.S. (1998) Genome sequence of the nematode *C. elegans*: a platform for investigating biology. The *C. elegans* Sequencing Consortium. *Science*, 282, 2012-8.
- Corbett, A.H. und Silver, P.A. (1997) Nucleocytoplasmic transport of macromolecules. *Microbiol Mol Biol Rev*, 61, 193-211.
- Costanzo, M.C., Hogan, J.D., Cusick, M.E., Davis, B.P., Fancher, A.M., Hodges, P.E., Kondu, P., Lengieza, C., Lew-Smith, J.E., Lingner, C., Roberg-Perez, K.J., Tillberg, M., Brooks, J.E. und Garrels, J.I. (2000) The yeast proteome database (YPD) and *Caenorhabditis elegans* proteome database (WormPD): comprehensive resources for the organization and comparison of model organism protein information. *Nucleic Acids Res*, 28, 73-6.
- Debouck, C. und Goodfellow, P.N. (1999) DNA microarrays in drug discovery and development. *Nat Genet*, 21, 48-50.
- DeRisi, J., Penland, L., Brown, P.O., Bittner, M.L., Meltzer, P.S., Ray, M., Chen, Y., Su, Y.A. und Trent, J.M. (1996) Use of a cDNA microarray to analyse gene expression patterns in human cancer. *Nat Genet*, 14, 457-60.
- DeRisi, J.L., Iyer, V.R. und Brown, P.O. (1997) Exploring the metabolic and genetic control of gene expression on a genomic scale. *Science*, 278, 680-6.
- Dobrowolski, S.F., Banas, R.A., Naylor, E.W., Powdrill, T. und Thakkar, D. (1999) DNA microarray technology for neonatal screening. *Acta Paediatr Suppl*, 88, 61-4.
- Doye, V. und Hurt, E. (1997) From nucleoporins to nuclear pore complexes. *Curr Opin Cell Biol*, 9, 401-11.
- Dujon, B. (1998) European Functional Analysis Network (EUROFAN) and the functional analysis of the *Saccharomyces cerevisiae* genome. *Electrophoresis*, 19, 617-24.
- Dutt, M.J. und Lee, K.H. (2000) Proteomic analysis. *Curr Opin Biotechnol*, 11, 176-9.
- Eickhoff, B., Korn, B., Schick, M., Poustka, A. und van der Bosch, J. (1999) Normalization of array hybridization experiments in differential gene expression analysis. *Nucleic Acids Res*, 27, e33.

- Eisen, M.B., Spellman, P.T., Brown, P.O. und Botstein, D. (1998) Cluster analysis and display of genome-wide expression patterns. *Proc Natl Acad Sci U S A*, 95, 14863-8.
- Entian, K. und Kötter, P. (1998) Yeast mutants and plasmid collections. In Brown, A.J.P. and Tuite, M.F. (eds.), *Yeast gene analysis*. Academic Press, London, Vol. 26, pp. 431-449.
- Fields, S. und Song, O. (1989) A novel genetic system to detect protein-protein interactions. *Nature*, 340, 245-6.
- Floer, M. und Blobel, G. (1999) Putative reaction intermediates in Crm1-mediated nuclear protein export. *J Biol Chem*, 274, 16279-86.
- Futcher, B., Latter, G.I., Monardo, P., McLaughlin, C.S. und Garrels, J.I. (1999) A sampling of the yeast proteome. *Mol Cell Biol*, 19, 7357-68.
- Gillespie, D. und Spiegelman, S. (1965) A quantitative assay for DNA-RNA hybrids with DNA immobilised on a membrane. *J. Mol. Biol.*, 12, 829-842.
- Goffeau, A., Aert, R., Agostini-Carbone, M.L., Ahmed, A., Aigle, M., Alberghina, L., Albermann, K. und ... (1997) The Yeast Genome Directory. *nature*, 387.
- Goffeau, A., Barrell, B.G., Bussey, H., Davis, R.W., Dujon, B., Feldmann, H., Galibert, F., Hoheisel, J.D., Jacq, C., Johnston, M., Louis, E.J., Mewes, H.W., Murakami, Y., Philippsen, P., Tettelin, H. und Oliver, S.G. (1996) Life with 6000 genes. *Science*, 274, 546, 563-7.
- Golub, T.R., Slonim, D.K., Tamayo, P., Huard, C., Gaasenbeek, M., Mesirov, J.P., Coller, H., Loh, M.L., Downing, J.R., Caligiuri, M.A., Bloomfield, C.D. und Lander, E.S. (1999) Molecular classification of cancer: class discovery and class prediction by gene expression monitoring. *Science*, 286, 531-7.
- Goto-Yamamoto, N., Kitano, K., Shiki, K., Yoshida, Y., Suzuki, T., Iwata, T., Yamane, Y. und Hara, S. (1998) *SSUI-R*, a sulfite resistance gene of wine yeast, is an allele of *SSUI* with a different upstream sequence. *J. Ferm. Bioengineer*, 86, 427-33.
- Gray, N.S., Wodicka, L., Thunnissen, A.M., Norman, T.C., Kwon, S., Espinoza, F.H., Morgan, D.O., Barnes, G., LeClerc, S., Meijer, L., Kim, S.H., Lockhart, D.J. und Schultz, P.G. (1998) Exploiting chemical libraries, structure, and genomics in the search for kinase inhibitors. *Science*, 281, 533-8.
- Greenacre, M.J. (1984) *Theory and Applications of Correspondence Analysis*. Academic Press, New York.
- Greenacre, M.J. und Blasius, J. (1993) *Correspondence analysis in the social sciences: recent developments and applications*. Academic Press, London.
- Gress, T.M., Hoheisel, J.D., Lennon, G.G., Zehetner, G. und Lehrach, H. (1992) Hybridization fingerprinting of high-density cDNA-library arrays with cDNA pools derived from whole tissues. *Mamm Genome*, 3, 609-19.
- Gustin, M.C., Albertyn, J., Alexander, M. und Davenport, K. (1998) MAP kinase pathways in the yeast *Saccharomyces cerevisiae*. *Microbiol Mol Biol Rev*, 62, 1264-300.
- Gygi, S.P., Rochon, Y., Franza, B.R. und Aebersold, R. (1999) Correlation between protein and mRNA abundance in yeast. *Mol Cell Biol*, 19, 1720-30.
- Hattori, M., Fujiyama, A., Taylor, T.D., Watanabe, H., Yada, T., Park, H.S., Toyoda, A., Ishii, K., Totoki, Y., Choi, D.K., Soeda, E., Ohki, M., Takagi, T., Sakaki, Y., Taudien, S., Blechschmidt, K., Polley, A., Menzel, U., Delabar, J., Kumpf, K., Lehmann, R., Patterson, D., Reichwald, K., Rump, A., Schillhabel, M. und Schudy, A. (2000) The

- DNA sequence of human chromosome 21. The chromosome 21 mapping and sequencing consortium. *Nature*, 405, 311-9.
- Hauser, N.C., Vingron, M., Scheideler, M., Krems, B., Hellmuth, K., Entian, K.D. und Hoheisel, J.D. (1998) Transcriptional profiling on all open reading frames of *Saccharomyces cerevisiae*. *Yeast*, 14, 1209-21.
- Hellmuth, K. (1999) Los1p ist ein nukleärer tRNA-Exportfaktor in Hefe. *Dissertationen, Biochemie-Zentrum Heidelberg*. Universität Heidelberg.
- Hellmuth, K., Lau, D.M., Bischoff, F.R., Kunzler, M., Hurt, E. und Simos, G. (1998) Yeast Los1p has properties of an exportin-like nucleocytoplasmic transport factor for tRNA. *Mol Cell Biol*, 18, 6374-86.
- Hereford, L.M. und Rosbash, M. (1977) Number and distribution of polyadenylated RNA sequences in yeast. *Cell*, 10, 453-62.
- Hilsenbeck, S.G., Friedrichs, W.E., Schiff, R., O'Connell, P., Hansen, R.K., Osborne, C.K. und Fuqua, S.A. (1999) Statistical analysis of array expression data as applied to the problem of tamoxifen resistance. *J Natl Cancer Inst*, 91, 453-9.
- Hopper, A.K., Schultz, L.D. und Shapiro, R.A. (1980) Processing of intervening sequences: a new yeast mutant which fails to excise intervening sequences from precursor tRNAs. *Cell*, 19, 741-51.
- Izaurrealde, E., Kutay, U., von Kobbe, C., Mattaj, I.W. und Gorlich, D. (1997) The asymmetric distribution of the constituents of the Ran system is essential for transport into and out of the nucleus. *Embo J*, 16, 6535-47.
- Jordan, I.K. und McDonald, J.F. (1999) Tempo und mode of Ty element evolution in *Saccharomyces cerevisiae*. *Genetics*, 151, 1341-51.
- Lockhart, D.J., Dong, H., Byrne, M.C., Follettie, M.T., Gallo, M.V., Chee, M.S., Mittmann, M., Wang, C., Kobayashi, M., Horton, H. und Brown, E.L. (1996) Expression monitoring by hybridization to high-density oligonucleotide arrays. *Nat Biotechnol*, 14, 1675-80.
- Marcotte, E.M., Pellegrini, M., Thompson, M.J., Yeates, T.O. und Eisenberg, D. (1999) A combined algorithm for genome-wide prediction of protein function. *Nature*, 402, 83-6.
- Martzen, M.R., McCraith, S.M., Spinelli, S.L., Torres, F.M., Fields, S., Grayhack, E.J. und Phizicky, E.M. (1999) A biochemical genomics approach for identifying genes by the activity of their products. *Science*, 286, 1153-5.
- Masneuf, I., Hansen, J., Groth, C., Piskur, J. und Dubourdieu, D. (1998) New hybrids between *Saccharomyces sensu stricto* yeast species found among wine and cider production strains. *Appl. Environm. Microbiol.*, 64, 3887-3892.
- Mujumdar, R.B. (1993) Cyanine Dye Labeling Reagents: Sulfoindocyanine Succinimidyl Esters. *Bioconjugate Chemistry*, 4, 105-111.
- Ohno, M., Fornerod, M. und Mattaj, I.W. (1998) Nucleocytoplasmic transport: the last 200 nanometers. *Cell*, 92, 327-36.
- Oliver, S. (2000) Guilt-by-association goes global. *Nature*, 403, 601-3.
- Oliver, S.G., Winson, M.K., Kell, D.B. und Baganz, F. (1998) Systematic functional analysis of the yeast genome. *Trends Biotechnol*, 16, 373-8.
- Planta, R.J. (1997) Transcriptional analysis of novel yeast genes. *yeast*, 13, S15.

- Pluthero, F.G. (1993) Rapid purification of high-activity Taq DNA polymerase. *Nucleic Acids Res*, 21, 4850-1.
- Puig, S. und Perez-Ortin, J.E. (2000) Stress response and expression patterns in wine fermentations of yeast genes induced at the diauxic shift. *Yeast*, 16, 139-48.
- Querol, A., Huerta, T., Barrio, E. und Ramón, D. (1992) Dry yeast strain for use in fermentation of Alicante wines: selection and DNA patterns. *J. Food Sci.*, 57, 183-185.
- Querol, A. und Ramón, D. (1996) The application of molecular techniques in wine microbiology. *Trends Food Sci. Technol.*, 7, 73-78.
- Rachidi, N., Barre, P. und Blondin, B. (1999) Multiple Ty-mediated chromosomal translocations lead to karyotype changes in a wine strain of *Saccharomyces cerevisiae*. *Mol Gen Genet*, 261, 841-50.
- Rexach, M. und Blobel, G. (1995) Protein import into nuclei: association and dissociation reactions involving transport substrate, transport factors, and nucleoporins. *Cell*, 83, 683-92.
- Schuchhardt, J., Beule, D., Malik, A., Wolski, E., Eickhoff, H., Lehrach, H. und Herzel, H. (2000) Normalization strategies for cDNA microarrays. *Nucleic Acids Res*, 28, E47.
- Sherlock, G. (2000) Analysis of large-scale gene expression data. *Curr Opin Immunol*, 12, 201-5.
- Shevchenko, A., Jensen, O.N., Podtelejnikov, A.V., Sagliocco, F., Wilm, M., Vorm, O., Mortensen, P., Boucherie, H. und Mann, M. (1996) Linking genome and proteome by mass spectrometry: large-scale identification of yeast proteins from two dimensional gels. *Proc Natl Acad Sci U S A*, 93, 14440-5.
- Shoemaker, D.D., Lashkari, D.A., Morris, D., Mittmann, M. und Davis, R.W. (1996) Quantitative phenotypic analysis of yeast deletion mutants using a highly parallel molecular bar-coding strategy. *Nat Genet*, 14, 450-6.
- Southern, E., Mir, K. und Shchepinov, M. (1999) Molecular interactions on microarrays. *Nat Genet*, 21, 5-9.
- Tamayo, P., Slonim, D., Mesirov, J., Zhu, Q., Kitareewan, S., Dmitrovsky, E., Lander, E.S. und Golub, T.R. (1999) Interpreting patterns of gene expression with self-organizing maps: methods and application to hematopoietic differentiation. *Proc Natl Acad Sci U S A*, 96, 2907-12.
- Tang, K., Fu, D.J., Julien, D., Braun, A., Cantor, C.R. und Koster, H. (1999) Chip-based genotyping by mass spectrometry. *Proc Natl Acad Sci U S A*, 96, 10016-20.
- Tavazoie, S., Hughes, J.D., Campbell, M.J., Cho, R.J. und Church, G.M. (1999) Systematic determination of genetic network architecture. *Nat Genet*, 22, 281-5.
- TheChippingForecast. (1999) *Nature Genet.*, 21.
- Uetz, P., Giot, L., Cagney, G., Mansfield, T.A., Judson, R.S., Knight, J.R., Lockshon, D., Narayan, V., Srinivasan, M., Pochart, P., Qureshi-Emili, A., Li, Y., Godwin, B., Conover, D., Kalbfleisch, T., Vijayadamodar, G., Yang, M., Johnston, M., Fields, S. und Rothberg, J.M. (2000) A comprehensive analysis of protein-protein interactions in *Saccharomyces cerevisiae*. *Nature*, 403, 623-7.
- Ullman, K.S., Powers, M.A. und Forbes, D.J. (1997) Nuclear export receptors: from importin to exportin. *Cell*, 90, 967-70.

- 
- Ullrich, K., Hinnen, A. und Saluz, H.-P. (1999) Bedeutung der Biochips für den Weltmarkt. *Nachr. Chem. Tech. Lab.*, 47, 780-781.
- Velculescu, V.E., Zhang, L., Vogelstein, B. und Kinzler, K.W. (1995) Serial analysis of gene expression. *Science*, 270, 484-7.
- Velculescu, V.E., Zhang, L., Zhou, W., Vogelstein, J., Basrai, M.A., Bassett, D.E., Jr., Hieter, P., Vogelstein, B. und Kinzler, K.W. (1997) Characterization of the yeast transcriptome. *Cell*, 88, 243-51.
- Wilding, P. und Kricka, L.J. (1999) Micro-microchips: just how small can we go?. *Trends Biotechnol.*, 17, 465-8.
- Williams, N. (1996) Yeast genome sequence ferments new research. *Science*, 272, 481.
- Winzeler, E.A., Shoemaker, D.D., Astromoff, A., Liang, H., Anderson, K., Andre, B., Bangham, R., Benito, R., Boeke, J.D., Bussey, H., Chu, A.M., Connelly, C., Davis, K., Dietrich, F., Dow, S.W., El Bakkoury, M., Foury, F., Friend, S.H., Gentalen, E., Giaever, G., Hegemann, J.H., Jones, T., Laub, M., Liao, H., und Davis, R.W. (1999) Functional characterization of the *S. cerevisiae* genome by gene deletion and parallel analysis. *Science*, 285, 901-6.
- Wodicka, L., Dong, H., Mittmann, M., Ho, M.H. und Lockhart, D.J. (1997) Genome-wide expression monitoring in *Saccharomyces cerevisiae*. *Nat Biotechnol.*, 15, 1359-67.
- Zhu, H. und Riggs, A.F. (1992) Yeast flavohemoglobin is an ancient protein related to globins and a reductase family. *Proc Natl Acad Sci U S A*, 89, 5015-9.

## 6. Anhang

### 6.1. Vollständige Listen der transkriptionellen Änderungen

#### 6.1.1. Vergleich einer industriell genutzten Weinhefe mit einem Laborhefestamm

**Tabelle 6.1:** Vergleich einer Weinhefe (T73) mit einem Laborhefestamm (MCY730). Die ORF-Namen sind in alphabetischer Reihenfolge sortiert. Relative Änderungen der Transkriptionsrate im Weinstamm (T73) gegenüber dem Laborstamm (MCY730) sind gezeigt, wenn der Faktor größer/gleich 1,5 war. Bei guter Qualität sind die Änderungsfaktoren farblich markiert: ■ Induktion mit hoher Qualität, ■ Induktion mit mittlerer Qualität, ■ Repression mit hoher Qualität, ■ Repression mit mittlerer Qualität. Weiterhin enthält die Tabelle die normalisierten Signalintensitäten (Median) beider Stämme.

ORF	Faktor +/-		Norm. Signalintensität		ORF	Faktor +/-		Norm. Signalintensität	
	T73/MCY730	MCY730	T73			T73/MCY730	MCY730	T73	
YAL001C	-1,5	2250,59	1495,14		YAL054C	--	520,02	708,99	
YAL002W	--	2757,09	3268,68		YAL055W	--	1546,31	1689,19	
YAL003W	--	19783,91	26821,19		YAL056W	--	921,14	1211,15	
YAL004W	--	632,82	924,51		YAL058W	--	1600,54	1082,70	
YAL005C	+1,7	2808,47	4894,84		YAL059W	--	2268,71	1897,34	
YAL007C	--	4237,03	5702,48		YAL060W	+2,1	3034,41	6470,25	
YAL008W	-2,4	2100,58	884,09		YAL061W	--	508,00	731,90	
YAL009W	--	1043,94	1070,76		YAL062W	+2,4	458,23	1106,44	
YAL010C	--	888,75	1013,49		YAL063C	--	3551,94	2742,18	
YAL011W	+2,7	673,73	1813,76		YAL064W	+2,2	741,14	1604,76	
YAL012W	--	6752,14	6240,81		YAL065C	--	1475,00	1251,65	
YAL013W	-1,7	1796,84	1052,23		YAL066W	--	683,71	682,71	
YAL014C	--	3201,24	2140,96		YAL067C	-1,7	1047,24	600,19	
YAL015C	--	796,21	825,15		YAR002A	--	1072,01	848,65	
YAL016W	--	988,98	1367,23		YAR002W	+1,7	1081,78	1883,46	
YAL017W	--	5879,24	5224,29		YAR003W	--	1131,49	766,02	
YAL018C	--	529,63	680,80		YAR007C	--	1290,14	1094,39	
YAL019W	--	1789,02	1671,56		YAR008W	+2,4	547,25	1298,77	
YAL020C	--	1382,60	1759,39		YAR009C	-4,2	3176,27	747,52	
YAL021C	+2,9	525,73	1507,37		YAR010C	+4,1	313,60	1279,92	
YAL022C	--	906,90	631,44		YAR014C	+9,1	111,04	1010,06	
YAL023C	--	473,92	605,79		YAR015W	+4,3	4548,86	19391,96	
YAL024C	--	767,98	691,26		YAR018C	+1,8	628,64	1137,17	
YAL025C	--	2060,22	2986,63		YAR019C	--	2148,19	2349,78	
YAL026C	-1,8	3321,13	1883,27		YAR020C	--	1000,50	986,54	
YAL027W	--	668,62	740,78		YAR023C	+2,6	465,66	1210,77	
YAL028A	--	816,63	990,30		YAR027W	--	2138,74	1805,94	
YAL028W	--	528,13	561,89		YAR028W	+2,2	552,05	1206,85	
YAL029C	--	3399,90	3746,14		YAR029W	+500,4	15,66	500,38	
YAL030W	--	2921,74	3169,07		YAR030C	+4,8	333,65	1602,10	
YAL031C	--	922,10	1290,34		YAR031W	--	1185,17	954,09	
YAL032C	--	1587,34	2024,17		YAR033W	--	963,25	1308,94	
YAL033W	--	2622,85	3220,45		YAR035W	+2,8	285,34	789,26	
YAL034A	--	1864,74	2031,33		YAR037W	+1,9	459,43	872,62	
YAL034C	--	1342,56	1159,06		YAR040C	+4	221,16	893,26	
YAL035W	--	2512,85	2500,86		YAR042W	+1,9	501,27	930,36	
YAL036C	--	4694,72	4486,62		YAR043C	--	512,29	740,01	
YAL037W	+1,8	386,75	695,61		YAR044W	--	4511,31	5992,38	
YAL038W	--	41171,95	44476,01		YAR047C	+2	734,64	1442,63	
YAL039C	--	3543,83	3312,24		YAR050W	-32,1	1432,43	44,68	
YAL040C	--	2694,19	3553,87		YAR052C	-4	3192,51	790,18	
YAL041W	--	964,11	1279,42		YAR053W	-1,6	1176,45	718,44	
YAL042W	--	3390,57	2788,39		YAR060C	-2,4	1520,83	641,66	
YAL043C	--	616,27	862,41		YAR061W	-3,2	1862,47	582,02	
YAL044C	--	16750,83	16740,00		YAR062W	-2	6165,94	3154,77	
YAL045C	--	3898,54	2608,86		YAR064W	--	1291,31	1117,32	
YAL046C	-1,9	3749,82	2017,88		YAR068W	+3	1870,86	5657,85	
YAL047C	+2,6	598,08	1530,63		YAR069C	-1,9	1518,08	813,13	
YAL048C	+4,9	238,02	1167,42		YAR070C	-1,8	1326,40	756,56	
YAL049C	--	3258,16	4867,74		YAR071W	-2	2474,04	1249,37	
YAL051W	+2,2	119,78	245,10		YAR073W	--	5474,24	5676,07	
YAL053W	+2,8	618,95	1755,01		YAR074C	+1,5	1763,96	2676,75	



ORF	Faktor +/-	Norm. Signalintensität		ORF	Faktor +/-	Norm. Signalintensität	
	T73/MCY730	MCY730	T73		T73/MCY730	MCY730	T73
YBL001C	--	4448,70	4199,48	YBL073W	+1,7	737,23	1254,36
YBL002W	--	14044,33	15865,15	YBL074C	+2,2	458,57	993,29
YBL003C	--	22825,01	26940,28	YBL075C	+1,7	616,48	1065,13
YBL004W	-2,2	552,83	253,47	YBL076C	+2,4	891,74	2157,19
YBL005W	-2,7	1463,55	544,44	YBL077W	--	10114,91	10876,76
YBL005W	-1,8	1245,68	692,74	YBL078C	+2	273,13	550,17
YBL005W	-7,4	25236,81	3393,50	YBL079W	--	5210,80	6092,17
YBL006C	--	2169,15	2053,45	YBL080C	+4,6	316,84	1443,22
YBL007C	+2,2	640,71	1433,55	YBL081W	+1,8	4257,00	7753,12
YBL008W	+1054	1,00	1053,98	YBL082C	+1,6	1819,23	2993,04
YBL009W	+12	135,61	1021,97	YBL083C	--	1041,32	878,83
YBL010C	--	1796,78	1595,60	YBL084C	+2,3	578,03	1356,67
YBL011W	--	988,73	947,25	YBL085W	+1,6	1080,05	1711,99
YBL012C	+2	506,57	1036,37	YBL086C	+1,6	1339,99	2128,46
YBL013W	--	512,88	391,53	YBL087C	+1,6	36614,60	58847,69
YBL014C	+220,9	35,15	220,93	YBL088C	+11,7	91,75	1071,51
YBL015W	--	442,78	614,66	YBL089W	+2,1	593,32	1242,94
YBL016W	--	1321,54	912,93	YBL090W	+1,9	1416,61	2691,88
YBL017C	--	2799,53	2930,05	YBL091C	--	2441,93	2860,54
YBL018C	--	1164,22	1388,49	YBL092W	--	14039,49	20903,66
YBL019W	--	167,51	142,20	YBL093C	+5,2	332,14	1737,75
YBL020W	+2,2	150,88	334,06	YBL094C	--	1741,28	1972,05
YBL021C	+1,6	2032,22	3207,23	YBL095W	--	3176,07	2853,25
YBL022C	--	1867,48	2252,32	YBL096C	-1,9	2246,56	1191,77
YBL023C	-2,2	1363,93	618,68	YBL097W	-2	6194,28	3063,68
YBL024W	--	1926,33	2833,71	YBL098W	+2,6	1616,05	4205,65
YBL025W	+1,8	829,40	1468,30	YBL099W	+4,2	6953,44	29419,62
YBL026W	--	634,06	597,27	YBL100C	--	2376,20	2040,68
YBL027W	+1,5	63585,60	97165,90	YBL101C	--	3274,80	2394,08
YBL028C	--	1439,48	2082,07	YBL101W	-6,5	12452,37	1927,36
YBL029W	--	887,85	1288,77	YBL101W	-3,5	21039,05	6031,28
YBL030C	--	5233,78	3726,81	YBL102W	-1,8	10048,17	5719,58
YBL031W	--	1053,52	818,37	YBL103C	+2,1	464,71	970,70
YBL032W	--	2100,02	2285,44	YBL104C	+2	661,77	1334,34
YBL033C	--	1851,55	1847,82	YBL105C	--	1872,45	1305,02
YBL034C	--	2658,28	2409,67	YBL106C	--	1323,03	1461,09
YBL035C	+1,6	490,39	773,36	YBL107C	--	4689,19	5288,92
YBL036C	--	1634,43	1804,93	YBL108W	+1,5	228,56	189,24
YBL037W	-1,6	684,58	417,06	YBL109W	+1,5	9130,53	13773,63
YBL038W	--	712,99	655,92	YBL110C	--	2754,27	2294,51
YBL039C	--	1151,66	1058,19	YBL111C	--	4106,11	3423,18
YBL040C	--	1391,93	1050,02	YBL112C	--	3522,79	3035,43
YBL041W	--	5126,71	5988,48	YBL113C	-2,9	36597,81	12579,81
YBL042C	--	1603,88	2079,22	YBR001C	--	2348,59	1938,37
YBL043W	--	807,95	643,79	YBR002C	+1,8	3260,63	5965,24
YBL044W	--	1118,53	1244,12	YBR003W	--	2532,78	3245,57
YBL045C	+1,6	5374,40	8863,71	YBR004C	-1,5	3563,45	2339,44
YBL046W	--	2681,73	1882,69	YBR005W	-2,3	9935,70	4263,99
YBL047C	-29	543,85	18,73	YBR006W	--	4801,15	5223,26
YBL048W	+705,5	80,34	705,50	YBR007C	-1,9	2907,63	1532,28
YBL049W	+1,7	518,24	876,30	YBR008C	--	4004,19	3507,75
YBL050W	+1,8	1616,61	2894,41	YBR009C	--	23074,92	32430,04
YBL051C	+2	1141,46	2318,29	YBR010W	+1,5	54678,36	82183,30
YBL052C	--	876,52	766,09	YBR011C	--	54460,36	77875,96
YBL053W	--	2415,91	2247,70	YBR012C	--	756,87	739,37
YBL054W	+1,8	466,23	861,91	YBR012W	-47,7	674050,91	14138,34
YBL055C	--	1552,79	1225,53	YBR012W	-4,2	60896,57	14639,46
YBL056W	--	2098,99	1663,74	YBR013C	--	1175,98	887,90
YBL057C	--	2393,19	2191,86	YBR014C	--	4272,36	4320,74
YBL058W	--	3213,73	3372,52	YBR015C	--	5994,76	5535,90
YBL059W	--	2252,02	1952,02	YBR016W	--	13367,51	16965,56
YBL060W	--	671,98	974,06	YBR017C	--	13715,36	13651,56
YBL061C	--	1159,07	1379,30	YBR018C	--	2113,35	1594,08
YBL062W	--	2247,28	2462,73	YBR019C	-1,6	2548,29	1622,26
YBL063W	+4,7	206,83	975,43	YBR020W	--	2927,26	2496,92
YBL064C	--	1968,93	2429,42	YBR021W	+2,4	490,68	1200,91
YBL065W	+7,1	120,43	860,78	YBR022W	--	3202,41	3068,25
YBL066C	--	575,53	385,44	YBR023C	--	3685,56	3391,96
YBL067C	--	1008,03	1060,48	YBR024W	--	2694,24	3196,45
YBL068W	--	997,56	1045,72	YBR025C	+2,3	21245,44	48980,98
YBL069W	--	1820,43	2040,63	YBR026C	--	1697,46	1485,87
YBL070C	--	1119,12	1511,20	YBR027C	--	2479,21	2292,28
YBL071C	--	1364,38	1727,14	YBR028C	--	4381,25	4285,56
YBL072C	--	91701,16	107866,85	YBR029C	--	3424,53	3290,09

ORF	Faktor +/-	Norm. Signalintensität		ORF	Faktor +/-	Norm. Signalintensität	
	T73/MCY730	MCY730	T73		T73/MCY730	MCY730	T73
YBR030W	--	1674,55	2330,70	YBR102C	+1,7	1129,32	1926,62
YBR031W	+1,8	138313,54	249905,14	YBR103W	--	1378,44	1970,67
YBR032W	--	2968,26	2767,77	YBR104W	--	3116,12	4601,66
YBR033W	--	5531,19	3962,06	YBR105C	-2,2	3412,08	1569,05
YBR034C	+1,9	6552,45	12361,50	YBR106W	+1,7	26732,30	46058,31
YBR035C	--	7974,65	7404,74	YBR107C	--	2544,23	2426,59
YBR036C	+1,5	4568,37	6923,23	YBR108W	--	1578,08	1505,09
YBR037C	--	3620,80	3112,21	YBR109C	--	9876,60	12443,61
YBR038W	-9,2	1501,43	162,56	YBR110W	--	661,96	990,51
YBR039W	+2,5	6282,21	15808,88	YBR111C	--	9851,58	10777,62
YBR040W	--	1614,58	1850,61	YBR112C	--	5641,13	7678,81
YBR041W	+2,8	447,01	1237,12	YBR113W	--	13853,41	18537,01
YBR042C	--	2527,71	3628,56	YBR114W	--	475,55	712,75
YBR043C	+2,1	851,93	1821,61	YBR115C	--	20894,86	15629,20
YBR044C	--	2050,75	2573,23	YBR116C	-1,5	1229,36	817,81
YBR045C	+3,2	273,93	873,99	YBR117C	--	910,57	1109,54
YBR046C	--	932,18	1273,33	YBR118W	--	594752,37	711557,65
YBR047W	--	696,36	715,85	YBR119W	--	1850,61	2146,00
YBR048W	+1,6	137014,92	214560,89	YBR120C	--	1805,34	1856,16
YBR049C	--	5925,15	8424,71	YBR121C	--	2565,30	2016,27
YBR050C	--	2154,01	2887,17	YBR122C	+1,5	3542,28	5462,60
YBR051W	--	3743,65	3144,93	YBR123C	--	2718,36	2787,61
YBR052C	-1,7	9665,03	5593,11	YBR124W	--	2283,96	1990,36
YBR053C	--	4253,28	3743,77	YBR125C	+2,1	2327,31	4826,74
YBR054W	-1,8	7384,01	4155,94	YBR126C	--	5553,21	6381,72
YBR055C	--	2567,93	2762,21	YBR127C	--	10332,42	10228,72
YBR056W	--	5037,72	4632,42	YBR128C	--	1619,37	1436,40
YBR057C	+1,5	2689,90	4040,84	YBR129C	--	1988,03	1866,44
YBR058C	--	3735,62	4423,68	YBR130C	--	2414,76	2215,26
YBR059C	+1,7	3748,84	6256,03	YBR131W	--	628,58	453,54
YBR060C	+1,7	4004,45	6779,69	YBR132C	--	785,78	1015,00
YBR061C	--	5938,49	5674,60	YBR133C	--	633,32	737,74
YBR062C	--	1439,25	1373,54	YBR134W	-1,6	1697,71	1060,92
YBR063C	--	2215,60	3126,17	YBR135W	+1,5	14280,06	22122,63
YBR064W	--	6935,80	7701,54	YBR136W	+883,6	1,00	883,56
YBR065C	-1,5	3548,79	2358,45	YBR137W	+2,4	596,79	1433,25
YBR066C	+2,4	431,58	1034,89	YBR138C	--	584,38	602,91
YBR067C	+1,8	1479,30	2649,84	YBR139W	--	1950,17	1750,02
YBR068C	+6,6	228,87	1510,02	YBR140C	--	956,84	1210,54
YBR069C	-2,2	4985,14	2264,02	YBR141C	+1,7	1330,77	2320,12
YBR070C	--	4317,34	4122,22	YBR142W	+2,2	604,51	1331,06
YBR071W	--	7149,49	6195,86	YBR143C	-1,6	1342,10	823,93
YBR072W	+46	36,77	1299,71	YBR144C	-1,5	1062,29	685,50
YBR073W	--	4785,78	3351,92	YBR145W	--	2514,30	2208,25
YBR074W	--	1186,12	1255,28	YBR146W	+3,7	419,43	1539,85
YBR075W	+1,8	1519,13	2709,36	YBR147W	+2,2	879,08	1954,63
YBR076W	-1,8	684,63	380,63	YBR148W	+1,9	978,31	1863,12
YBR077C	+1,9	627,22	1214,99	YBR149W	--	6885,83	6755,30
YBR078W	--	1636,09	2363,36	YBR150C	--	1781,16	2064,98
YBR079C	--	13517,77	19799,25	YBR151W	+10,2	85,53	872,48
YBR080C	-1,8	1667,59	937,16	YBR152W	--	1407,81	1354,25
YBR081C	+1,7	3372,73	5784,42	YBR153W	--	2698,80	3774,80
YBR082C	+1,7	6431,24	10870,75	YBR154C	--	3162,97	4018,65
YBR083W	-3,1	1255,34	405,47	YBR155W	--	3448,55	4712,28
YBR084C	--	104294,71	155124,50	YBR156C	+2,4	661,44	1566,21
YBR084W	--	2252,96	2480,23	YBR157C	+1,7	1248,25	2071,42
YBR085W	-1,5	2079,24	1371,58	YBR158W	-2,2	5203,19	2317,90
YBR086C	--	2141,45	1989,28	YBR159W	+2,7	910,16	2451,57
YBR087W	+1,5	1133,99	1705,96	YBR160W	--	4178,23	5072,32
YBR088C	+2	1300,10	2570,02	YBR161W	+1,8	1149,57	2067,21
YBR089W	+4,4	1258,73	5537,18	YBR162C	--	2294,30	2134,64
YBR090C	--	8073,64	8649,24	YBR162W	--	8840,56	9525,80
YBR090C	--	6234,20	4698,06	YBR163W	+2	508,24	1014,44
YBR091C	+1,6	403,18	645,81	YBR164C	+1,9	2713,90	5158,92
YBR092C	-2	1618,55	800,25	YBR165W	--	1729,10	2000,27
YBR093C	-2,2	4536,48	2107,44	YBR166C	-1,8	2473,91	1350,74
YBR094W	+2,9	714,57	2106,37	YBR167C	--	1420,08	1827,16
YBR095C	--	1861,84	2359,70	YBR168W	--	389,50	313,05
YBR096W	--	2968,69	2343,03	YBR169C	--	1928,65	2787,34
YBR097W	+1,8	512,95	925,50	YBR170C	+3,1	191,86	354,59
YBR098W	--	599,29	440,94	YBR171W	--	1499,34	2103,38
YBR099C	--	545,07	730,65	YBR172C	--	2088,21	1441,11
YBR100W	--	2053,39	2135,06	YBR173C	+1,6	1738,43	2706,76
YBR101C	--	5792,15	8473,54	YBR174C	+1,8	970,70	1748,34

ORF	Faktor +/-	Norm. Signalintensität		ORF	Faktor +/-	Norm. Signalintensität	
	T73/MCY730	MCY730	T73		T73/MCY730	MCY730	T73
YBR175W	+1,6	799,98	1296,30	YBR249C	+1,5	4757,56	7188,54
YBR176W	+2,8	306,23	836,30	YBR250W	--	836,27	927,57
YBR177C	--	1691,58	2169,10	YBR251W	+1,7	1501,19	2608,82
YBR178W	-2,3	2463,19	1067,43	YBR252W	+2,1	2572,94	5419,69
YBR179C	--	890,89	883,00	YBR253W	--	3106,24	2277,26
YBR180W	+4,4	155,23	683,82	YBR254C	+1,5	1270,15	1905,70
YBR181C	--	76978,60	110008,15	YBR255W	--	1701,73	2270,04
YBR182C	+32,1	107,11	593,63	YBR256C	+2,3	954,24	2207,06
YBR183W	--	575,09	750,88	YBR257W	+6	202,14	1218,21
YBR184W	+1,5	966,61	1472,32	YBR258C	+2,7	243,64	654,12
YBR185C	+2	878,46	1789,58	YBR259W	+2,7	312,07	840,57
YBR186W	-1,8	505,63	282,29	YBR260C	--	966,90	1413,44
YBR187W	--	715,10	832,48	YBR261C	--	2812,39	3272,27
YBR188C	--	1433,28	1378,32	YBR262C	--	2174,34	1661,88
YBR189W	+2,5	9742,59	24181,12	YBR263W	--	1003,97	925,79
YBR190W	-1,9	2555,36	1328,95	YBR264C	-3,3	1523,65	466,39
YBR191W	--	37218,92	43920,99	YBR265W	+1,9	275,72	536,40
YBR192W	--	698,66	1042,20	YBR266C	--	1126,11	1420,80
YBR193C	+2	386,39	771,24	YBR267W	--	1797,06	2672,02
YBR194W	-1,6	1222,29	761,70	YBR268W	--	4548,83	3516,40
YBR195C	--	1003,81	1045,20	YBR269C	--	934,87	1008,81
YBR196C	--	7055,89	7751,31	YBR270C	+3,3	306,72	998,43
YBR197C	-1,9	1605,49	860,78	YBR271W	+456,8	1,00	456,80
YBR198C	-1,9	1218,98	626,89	YBR272C	+6,4	188,91	1211,89
YBR199W	--	1063,61	1148,15	YBR273C	--	1346,96	1374,90
YBR200W	--	1546,48	1302,10	YBR274W	-5,5	1173,75	215,20
YBR201W	--	1106,36	955,69	YBR275C	--	1107,68	1240,57
YBR202W	-2,6	2241,85	852,69	YBR276C	+2,4	236,24	558,49
YBR203W	+1,8	382,26	599,76	YBR277C	+2,4	238,18	562,33
YBR204C	+1,6	540,05	840,25	YBR278W	+1,7	450,10	749,11
YBR205W	--	1467,82	1796,13	YBR279W	--	1008,00	1164,72
YBR206W	--	2752,78	2975,35	YBR280C	+1,7	710,75	1224,38
YBR207W	--	875,09	715,59	YBR281C	+4,9	194,89	962,80
YBR208C	-5,1	3459,45	676,53	YBR282W	--	899,07	825,19
YBR209W	+6,4	233,43	1484,15	YBR283C	--	1247,39	1584,41
YBR210W	+2	370,70	750,36	YBR284W	+3,8	411,41	1549,03
YBR211C	+3	291,42	887,64	YBR285W	--	1859,29	1741,63
YBR212W	--	1741,14	2120,34	YBR286W	--	2684,10	2250,52
YBR213W	--	1289,52	1505,48	YBR287W	+12,4	268,17	3321,68
YBR214W	-1,5	3094,25	2027,23	YBR288C	+1,8	670,23	1176,60
YBR215W	+1,8	361,77	662,94	YBR289W	--	1129,38	1622,46
YBR216C	+3,9	356,18	1383,97	YBR290W	--	1090,99	1058,83
YBR217W	--	1187,95	1076,77	YBR291C	+1,7	731,02	1218,22
YBR218C	--	806,92	1109,51	YBR292C	+2,4	977,69	2300,83
YBR219C	+2	775,37	1536,68	YBR293W	--	1048,01	937,68
YBR220C	--	778,99	997,39	YBR294W	--	628,70	479,83
YBR221C	--	3577,10	3330,45	YBR295W	--	428,70	592,04
YBR222C	--	340,92	353,32	YBR296C	--	1110,20	1516,27
YBR223C	--	1078,72	1139,88	YBR297W	--	1325,03	1228,24
YBR224W	--	1086,98	953,42	YBR298C	-2	674,48	343,67
YBR225W	--	953,48	955,36	YBR299W	+7	127,27	893,23
YBR226C	-3,7	1529,80	408,49	YBR300C	--	332,83	317,29
YBR227C	--	674,73	894,45	YBR301W	--	638,74	786,69
YBR228W	+1,9	658,37	1243,59	YBR302C	--	1245,99	1441,53
YBR229C	+2,4	241,44	585,56	YCL001w	--	993,36	692,96
YBR230C	--	1682,65	1219,45	YCL002C	--	861,24	668,26
YBR231C	--	1447,59	2111,80	YCL003w	-2,7	197,40	71,98
YBR232C	+5,6	185,23	1035,18	YCL004w	+340	1,00	339,95
YBR233W	--	1022,11	1102,82	YCL005W	--	1000,19	1294,83
YBR234C	-1,7	1177,42	702,88	YCL006C	--	1936,90	2197,34
YBR235W	--	853,75	578,98	YCL007c	--	1350,71	1176,11
YBR236C	--	1751,87	1552,24	YCL008C	-2,1	1596,77	768,56
YBR237W	+2,2	658,36	1450,86	YCL009C	--	2030,01	2285,75
YBR238C	-1,8	1966,02	1108,80	YCL010C	--	191,52	247,84
YBR239C	+1,8	812,76	1497,05	YCL011c	+1,8	1246,28	2289,34
YBR240C	+3	262,51	778,21	YCL012W	-2,8	1585,65	570,70
YBR241C	--	881,19	1134,71	YCL013W	--	404,68	491,81
YBR242W	+1,8	1170,76	2115,54	YCL014w	--	407,27	599,34
YBR243C	+2	615,28	1230,16	YCL016C	+2	470,50	949,25
YBR244W	+2,2	1038,38	2333,77	YCL017c	+2,3	478,34	1070,82
YBR245C	--	1966,26	2223,33	YCL018w	+1,8	751,72	1348,46
YBR246W	+3,5	215,15	762,41	YCL019W	-2,3	4991,73	2174,92
YBR247C	+1,8	699,22	1247,23	YCL020W	--	1436,97	1990,48
YBR248C	+2,1	1555,90	3284,87	YCL021W	-3,6	2624,07	739,10

ORF	Faktor +/-	Norm. Signalintensität		ORF	Faktor +/-	Norm. Signalintensität	
	T73/MCY730	MCY730	T73		T73/MCY730	MCY730	T73
YCL022C	-2,2	957,95	426,23	YCR011c	+2,3	566,07	1318,47
YCL023C	+2,6	288,75	754,23	YCR012w	--	5652,62	7405,04
YCL024W	--	352,60	480,10	YCR013C	+1,7	8384,12	13992,41
YCL025C	-2,1	2457,77	1175,94	YCR014c	-56,2	56,23	1,00
YCL026C	--	668,64	688,32	YCR015C	+126,5	1,00	126,47
YCL027w	+2	706,63	1425,09	YCR016W	+2,3	472,87	1073,16
YCL028W	--	1499,91	1526,08	YCR017C	--	1352,01	983,50
YCL029c	--	1514,80	1731,88	YCR018c	--	746,05	1018,47
YCL030c	--	1558,91	1455,22	YCR019w	--	1014,30	982,00
YCL031C	+2,1	1535,38	3298,31	YCR020C	--	512,94	737,92
YCL032w	+2,2	2030,94	4470,02	YCR020c	--	234,45	222,93
YCL033C	--	860,22	963,79	YCR021c	--	2042,79	2644,26
YCL034W	-1,7	3987,58	2342,91	YCR022C	--	1640,80	1632,66
YCL035C	-4	9809,80	2464,36	YCR023C	-4,5	1118,67	248,37
YCL036W	--	1776,08	1656,48	YCR024c	+2,4	593,63	1451,32
YCL037c	-2,8	2780,98	1004,57	YCR024C	+1,8	658,33	1213,50
YCL038C	+743,8	1,00	743,75	YCR025C	-1,5	539,03	354,96
YCL039W	+1,6	508,13	794,87	YCR026C	+3,3	344,85	1150,56
YCL040w	-2,3	3078,21	1364,69	YCR027C	+2,7	476,27	1303,24
YCL041C	--	2966,24	2088,63	YCR028C	+1,5	1022,93	1581,15
YCL042W	+1,7	873,92	1480,37	YCR029C	+2,8	282,35	793,27
YCL043c	+2,1	718,70	1488,90	YCR029c	--	1007,67	1200,45
YCL044C	+2,2	567,19	1261,36	YCR030C	--	714,00	505,37
YCL045C	+412,6	26,50	1644,93	YCR031c	--	5610,05	4703,25
YCL046W	+2,7	595,29	1593,49	YCR032W	+1,7	957,95	1650,38
YCL047C	--	1151,96	1150,39	YCR033W	-1,5	1193,10	781,08
YCL048W	--	1043,34	1556,88	YCR034w	+1,7	672,55	1132,55
YCL049C	-3	2077,29	697,99	YCR035C	--	585,37	658,18
YCL050c	--	1720,62	2501,83	YCR036w	+2,3	275,21	633,85
YCL051W	+3,9	386,90	1511,98	YCR037c	-1,7	1238,54	739,79
YCL052c	+1,6	500,70	778,75	YCR038c	+1,5	1075,83	1640,98
YCL053C	--	1553,90	2254,65	YCR039c	+3,8	844,33	3236,40
YCL054W	+1,7	2773,24	4725,86	YCR040w	+1,6	543,21	845,26
YCL055W	--	714,72	1003,18	YCR041W	--	844,72	781,24
YCL056C	+2,3	412,71	956,65	YCR042c	--	1077,74	801,28
YCL057w	--	2203,54	2617,61	YCR043C	--	1577,32	1454,16
YCL058C	--	1511,20	1260,69	YCR044C	--	1944,73	1568,25
YCL059C	--	2552,01	2965,47	YCR045C	-3	1058,65	350,73
YCL060C	+1,9	717,09	1396,42	YCR046C	--	2468,82	2087,87
YCL061C	-1,8	2086,67	1184,00	YCR047C	--	1208,58	1327,10
YCL062W	+2,5	456,10	1154,58	YCR048w	--	655,31	548,74
YCL063W	+1,7	611,28	1067,53	YCR049C	+2	387,93	788,23
YCL064c	-1,7	1388,95	804,44	YCR050C	+1,7	472,61	794,51
YCL065W	+1,7	529,02	915,30	YCR051W	--	2097,73	2176,17
YCL066w	+4,8	267,29	947,18	YCR052w	+2,9	370,38	1074,55
YCL067c	+4,5	400,50	1795,99	YCR053w	+3,2	330,10	1052,73
YCL068C	+4,4	261,52	1154,83	YCR054C	--	722,15	1069,91
YCL069W	+665,9	132,38	665,87	YCR055C	--	1148,74	947,28
YCL070/	--	839,75	811,66	YCR056W	+1,8	3423,28	6209,47
YCL074W	--	3016,66	3975,58	YCR057c	-2,7	936,54	351,88
YCL075W	+2,2	751,79	1647,94	YCR058C	+630,2	13,25	630,23
YCL076W	+4,2	493,33	2053,22	YCR059C	--	1436,82	1778,57
YCLX01W	--	1290,29	1681,46	YCR060W	--	1115,06	796,29
YCLX02C	+6,4	197,62	1259,55	YCR061W	+2,4	529,72	1266,04
YCLX03C	-1,7	1041,54	604,19	YCR062W	+4	276,45	1119,08
YCLX04W	--	1135,79	1402,73	YCR063W	+5,4	206,18	1122,36
YCLX05C	+6,9	146,91	1012,52	YCR064C	+3,7	262,48	851,60
YCLX06C	+1,6	1240,00	1955,73	YCR065w	-1,5	956,34	637,38
YCLX07W	+1079,7	1,00	1079,71	YCR066w	-1,8	1549,46	861,73
YCLX08C	+808,9	1,00	808,87	YCR067c	--	1509,20	1352,80
YCLX09W	--	841,04	895,40	YCR068W	--	1466,01	1205,54
YCLX10C	+6,4	256,18	1631,03	YCR069w	+2,6	532,13	1359,91
YCLX11W	+1,6	1257,70	1961,24	YCR070w	+1,9	742,11	1446,51
YCLX12W	-2,9	1610,56	549,00	YCR071C	--	934,16	1274,28
YCR001W	+1,8	854,33	1548,02	YCR072C	--	1041,33	1509,59
YCR002c	+3,4	912,91	3143,73	YCR073C	+2,4	593,07	1407,21
YCR003w	--	1681,64	1326,68	YCR074C	+4,4	322,57	1412,52
YCR004C	--	2009,23	2323,03	YCR075c	--	669,95	536,12
YCR005c	+3,5	659,24	2329,17	YCR076C	--	1012,97	847,57
YCR006C	+17,3	67,54	1169,15	YCR077C	+3,3	178,31	480,14
YCR007C	+1,6	324,27	525,89	YCR079W	+697,2	11,93	697,24
YCR008W	+4,5	399,49	1813,57	YCR080W	+4,1	301,76	1236,59
YCR009c	+2,4	536,11	1309,49	YCR081w	+4,8	88,67	422,87
YCR010C	+2,1	438,23	940,35	YCR082W	--	644,38	569,77

ORF	Faktor +/-	Norm. Signalintensität		ORF	Faktor +/-	Norm. Signalintensität	
	T73/MCY730	MCY730	T73		T73/MCY730	MCY730	T73
YCR083W	+760,7	1,00	760,66	YDL028C	--	535,24	421,54
YCR084c	+1,9	982,95	1874,63	YDL029W	--	2720,98	2035,61
YCR085W	+3,1	631,86	1974,38	YDL030W	+1,5	846,67	1293,88
YCR086W	+2,9	480,95	1379,48	YDL031w	+2,1	648,20	1389,64
YCR087W	+813,3	1,00	813,25	YDL032w	--	1092,03	1217,41
YCR088w	--	1150,59	963,94	YDL033c	--	819,35	610,22
YCR089W	--	3178,39	3042,71	YDL034w	+2,1	1020,45	2100,04
YCR090C	+2,9	481,30	1397,34	YDL035c	--	2584,35	2221,30
YCR091w	+1,5	1080,45	1648,96	YDL036c	--	1411,93	1651,62
YCR092c	+796,4	1,00	796,44	YDL037c	--	980,26	999,71
YCR093w	+2,9	320,50	936,35	YDL038c	+2,8	301,85	847,72
YCR094W	+3,1	465,11	1436,18	YDL039c	+1,6	1444,48	2251,87
YCR095C	+1,7	620,93	1053,43	YDL040C	--	441,38	654,94
YCR096c	+1,8	651,37	1160,26	YDL041w	-1,8	957,71	535,34
YCR097w	+3,9	375,11	1474,51	YDL042C	--	613,87	664,86
YCR097w	+2,1	440,88	918,21	YDL043C	--	947,86	1306,93
YCR098c	+2,9	197,05	569,30	YDL044c	+2,3	806,40	1817,27
YCR099C	--	501,43	568,13	YDL045C	--	875,68	1069,27
YCR100C	+5,3	226,28	1195,40	YDL046w	--	1374,70	1390,36
YCR101C	+2,7	555,62	1474,24	YDL047W	--	1292,23	1819,55
YCR102C	+2,5	544,27	1359,06	YDL048c	--	2472,40	2459,57
YCR103C	-1,7	2127,76	1288,98	YDL049C	-1,6	725,75	460,40
YCR104w	--	973,61	1029,26	YDL050c	<b>+2,7</b>	3874,33	10385,23
YCR105W	-2,9	884,07	299,88	YDL051W	--	2792,34	3834,17
YCR106W	-1,6	212,42	133,04	YDL052C	+2	426,40	860,60
YCR107W	+4	142,35	372,34	YDL053c	--	1293,96	1839,58
YCRX01W	+1,6	743,42	1219,02	YDL054c	+1,6	728,53	1150,79
YCRX02C	--	1419,84	1139,13	YDL055C	--	10520,18	8603,76
YCRX03C	--	1471,84	1251,60	YDL056W	+1,7	426,74	706,67
YCRX04W	+2	892,26	1752,45	YDL057w	--	1191,29	1326,14
YCRX05W	+1,6	1115,14	1790,41	YDL058W	--	9706,61	7307,40
YCRX06W	+1044,8	1,00	1044,84	YDL059C	--	757,18	925,98
YCRX07W	+3,1	312,66	970,42	YDL060w	--	1935,88	1617,16
YCRX08W	-2,8	1883,03	672,27	YDL061C	--	23359,59	28173,72
YCRX09C	+1,8	643,97	1150,15	YDL062w	--	798,86	758,87
YCRX10W	+1,9	778,53	1468,26	YDL063c	+2,5	199,95	499,37
YCRX11W	+2,2	738,32	1659,32	YDL064w	--	1863,60	2746,85
YCRX12W	+1,6	515,61	811,42	YDL065c	+1,7	903,39	1563,74
YCRX13w	--	938,00	1364,37	YDL066W	--	1870,42	2623,39
YCRX14W	--	1342,91	1229,80	YDL067C	--	1879,94	2689,04
YCRX15W	+1,9	660,07	1223,63	YDL068w	-2,1	468,80	224,22
YCRX16C	--	2320,10	2433,90	YDL069C	--	1165,17	1090,44
YCRX17W	--	4037,19	2752,70	YDL070w	--	1420,16	1401,34
YCRX18C	-1,6	656,70	416,11	YDL071c	--	1092,40	1330,29
YCRX19W	--	1013,78	1330,43	YDL072c	--	3406,86	2427,03
YCRX20C	-1,9	1438,54	749,01	YDL073w	-1,9	701,56	372,44
YCRX21C	--	606,76	684,73	YDL074c	--	1268,05	1648,74
YDL001W	--	1895,76	1618,80	YDL075W	--	1194,86	1762,20
YDL002C	--	1164,37	1493,75	YDL076c	+1,6	768,37	1249,72
YDL003W	--	1622,89	1315,41	YDL077c	+2	550,82	1105,56
YDL004W	--	1713,68	1743,07	YDL078C	--	1404,05	2072,25
YDL005c	-2,1	2759,82	1341,50	YDL079C	+1,7	1446,46	2461,73
YDL006W	--	1446,63	1539,65	YDL080c	+263,1	13,44	423,15
YDL007W	-1,6	2612,11	1589,66	YDL081C	<b>+1,5</b>	15937,19	24037,17
YDL008w	--	1371,95	1658,15	YDL082w	--	7257,92	9320,71
YDL009c	+1,8	638,29	1168,16	YDL083C	--	7900,71	9140,61
YDL010w	+1381,4	1,00	1381,43	YDL084w	--	1782,21	2390,55
YDL011c	+3,9	250,19	971,91	YDL085w	+547,8	1,00	547,77
YDL012c	--	2055,11	1780,93	YDL086w	--	3604,30	3572,00
YDL013W	--	752,26	601,62	YDL087c	+2	607,50	1187,46
YDL014W	--	5094,48	6530,60	YDL088C	--	1119,04	1601,53
YDL015c	+1,8	531,40	963,80	YDL089w	+1,8	1277,37	2252,76
YDL016c	+1,8	417,04	762,08	YDL090C	+2,9	446,99	1299,01
YDL017W	+2,5	105,76	269,11	YDL091c	+5,7	229,54	1318,30
YDL018c	--	1061,34	1454,81	YDL092W	--	3308,34	4120,67
YDL019c	--	5995,25	4038,74	YDL093W	+605,4	1,00	605,39
YDL020C	--	1077,88	1224,89	YDL094c	+2,1	777,11	1656,86
YDL021W	+1,7	134,01	225,23	YDL095W	+3,4	570,02	1913,46
YDL022w	--	582,18	594,39	YDL096c	--	1165,09	1218,03
YDL023c	+1,9	1024,93	1979,71	YDL097c	--	5506,39	6036,36
YDL024c	--	1902,63	1627,26	YDL098c	--	1200,03	1510,68
YDL025c	-2,1	1208,33	588,45	YDL099w	--	4871,81	5887,44
YDL026w	+4,2	235,54	978,42	YDL100c	--	2169,50	2822,53
YDL027c	+1,5	626,47	961,40	YDL101C	+2,1	560,56	1149,58



ORF	Faktor +/-		Norm. Signalintensität		ORF	Faktor +/-		Norm. Signalintensität	
	T73/MCY730	MCY730	T73			T73/MCY730	MCY730	T73	
YDL102W	--	872,72	846,78		YDL176w	+1,7	531,03	913,16	
YDL103C	--	1469,30	1398,00		YDL177c	+2,3	509,88	1192,88	
YDL104C	-1,6	1802,97	1092,87		YDL178W	+1,6	1017,94	1662,94	
YDL105W	-2,3	1544,65	666,83		YDL179w	-1,9	912,09	480,37	
YDL106C	-1,6	813,42	500,24		YDL180w	--	3329,67	3975,64	
YDL107W	+2,5	242,46	598,86		YDL181W	+3	1774,15	5384,28	
YDL108W	--	1633,92	1831,36		YDL182w	-3,8	98160,50	25736,71	
YDL109c	-2,9	2675,54	913,12		YDL183c	--	1068,66	936,82	
YDL110c	--	251,97	173,17		YDL184C	+1,6	37681,07	61291,34	
YDL111c	--	2316,76	2614,82		YDL185W	--	2270,69	2773,17	
YDL112w	-1,6	561,17	342,21		YDL186w	+1,7	831,71	1406,18	
YDL113c	--	959,31	1181,29		YDL187c	+2,3	439,37	996,64	
YDL114w	+2,3	352,37	823,10		YDL188C	+3,3	448,62	1473,10	
YDL115c	--	1952,06	2390,95		YDL189w	+2,4	557,32	1326,80	
YDL116W	+4,4	303,30	1322,79		YDL190C	+3,5	330,49	1150,73	
YDL117w	-1,8	965,32	542,90		YDL191W	+2,5	28054,04	70298,88	
YDL118w	--	738,70	522,70		YDL192W	+2,1	12824,07	27496,13	
YDL119c	--	1341,64	1427,81		YDL193w	--	496,28	695,41	
YDL120w	--	3276,89	2907,83		YDL194W	+354,2	1,00	354,21	
YDL121c	--	1945,40	1325,83		YDL195W	+4,3	122,68	524,29	
YDL122W	--	791,60	864,17		YDL196w	--	3540,15	2765,46	
YDL123w	--	2342,61	2064,13		YDL197C	--	1137,39	862,48	
YDL124w	-2	2971,27	1489,65		YDL198C	--	1639,97	1226,87	
YDL125c	--	11664,67	10909,32		YDL199c	--	474,10	606,34	
YDL126C	--	5215,09	4225,52		YDL200C	-3	497,48	165,93	
YDL127w	--	2508,97	3423,08		YDL201w	--	4252,68	3386,66	
YDL128W	+1,8	2831,04	4977,95		YDL202w	--	1804,42	1905,87	
YDL129w	--	668,50	693,85		YDL203c	-3,5	1276,81	364,16	
YDL130W	--	37262,48	52933,68		YDL204w	+5,7	117,62	673,87	
YDL131w	-2,7	8683,12	3205,54		YDL205C	--	815,43	1071,95	
YDL132w	-1,8	2825,35	1592,35		YDL206w	+291,1	151,94	291,05	
YDL133w	+1,5	1831,48	2810,42		YDL207w	+1,5	548,43	841,39	
YDL134C	--	5917,06	6412,93		YDL208W	--	9085,71	11330,66	
YDL135C	+1,5	2210,90	3320,55		YDL209c	--	773,41	1026,93	
YDL136w	+2,3	4080,75	9436,13		YDL210W	--	619,43	916,04	
YDL137W	--	10548,58	11463,70		YDL211c	--	785,80	535,22	
YDL138w	+2,3	751,79	1695,50		YDL212W	--	1870,42	2350,44	
YDL139c	+1,9	774,91	1495,43		YDL213c	--	7529,75	8523,27	
YDL140C	+1,9	632,78	1209,22		YDL214c	--	2256,38	2483,98	
YDL141W	--	1565,27	1124,89		YDL215C	--	2256,84	1870,66	
YDL142c	--	1264,96	1734,84		YDL216c	+636,6	1,00	636,64	
YDL143W	--	6300,14	8456,86		YDL217c	--	1480,35	1915,52	
YDL144c	--	21856,53	24510,02		YDL218w	--	672,60	637,81	
YDL145C	--	14125,74	14264,68		YDL219w	--	2377,27	2154,90	
YDL146w	--	1508,26	2003,58		YDL220C	--	1900,23	2222,03	
YDL147w	+1,6	2447,28	3984,18		YDL221w	--	2090,99	2406,63	
YDL148c	+2,3	2579,63	6039,78		YDL222c	--	679,14	829,48	
YDL149w	+2,1	586,42	1213,12		YDL223c	--	726,57	946,17	
YDL150W	--	2485,66	3204,09		YDL224c	--	863,54	798,22	
YDL151c	--	1837,85	1953,30		YDL225w	--	2140,80	1852,55	
YDL152w	--	1620,53	1340,06		YDL226C	--	2322,70	1962,11	
YDL153c	--	3355,44	3836,04		YDL227C	--	716,02	787,96	
YDL154W	--	1228,22	1121,44		YDL228c	+1,6	831,88	1326,76	
YDL155W	--	2374,59	2060,48		YDL229W	+1,7	447,91	747,58	
YDL156w	+1,7	811,34	1359,44		YDL230W	--	467,63	672,72	
YDL157c	--	1330,72	1655,73		YDL231c	--	853,76	802,09	
YDL158c	--	545,75	552,25		YDL232W	+1,8	891,72	1606,63	
YDL159W	+1,6	563,15	899,61		YDL233w	--	1055,43	1547,48	
YDL160C	+3,5	468,24	1619,30		YDL234C	--	668,47	959,75	
YDL161w	--	2547,87	3131,56		YDL235c	--	984,69	1465,60	
YDL162c	--	1188,25	1182,01		YDL236W	--	2173,62	1710,29	
YDL163w	--	614,02	764,29		YDL237w	--	1472,07	1604,93	
YDL164C	--	950,04	1008,89		YDL238c	--	18357,31	14812,35	
YDL165W	+2	2430,22	4946,30		YDL239c	--	825,92	990,91	
YDL166c	--	2338,59	2886,77		YDL240W	+9,2	94,51	865,79	
YDL167C	--	2317,73	2619,33		YDL241w	--	1552,30	1465,19	
YDL168W	+1,6	1911,76	3093,12		YDL242w	--	759,20	544,85	
YDL169C	+2,4	589,73	1434,73		YDL243c	+1,7	658,24	1087,25	
YDL170W	--	1325,31	1045,91		YDL244w	+2,1	596,00	1272,99	
YDL171c	--	6564,90	6550,95		YDL245C	+2,3	550,25	1268,71	
YDL172c	--	2158,89	2547,68		YDL246c	--	1110,87	1091,99	
YDL173w	--	2498,92	2577,63		YDL247w	--	1272,45	1090,26	
YDL174C	--	5969,98	4917,01		YDL248w	--	1860,31	1462,50	
YDL175c	+2,6	484,26	1254,96		YDR001C	--	1270,54	1336,67	

ORF	Faktor +/-	Norm. Signalintensität		ORF	Faktor +/-	Norm. Signalintensität	
	T73/MCY730	MCY730	T73		T73/MCY730	MCY730	T73
YDR002W	--	4471,42	4538,22	YDR076W	+1,7	702,66	1173,46
YDR003W	--	1131,57	1632,75	YDR077W	--	33499,01	25214,69
YDR004W	--	807,74	869,87	YDR078c	--	1117,67	936,87
YDR005C	+1,9	473,50	909,38	YDR079w	--	1808,09	1508,36
YDR006C	--	740,35	777,17	YDR080w	+1,9	675,69	1307,25
YDR007W	+2,4	724,34	1733,59	YDR081C	--	1717,24	1869,57
YDR008C	+3,4	797,15	2733,73	YDR082w	--	1709,48	1771,76
YDR009W	--	750,30	1055,12	YDR083w	--	4355,70	4086,93
YDR010c	--	758,89	818,75	YDR084c	--	2507,42	2138,93
YDR011W	--	2019,19	2370,93	YDR085C	-2,2	2101,36	939,85
YDR012W	--	4755,15	5763,41	YDR086C	--	4320,23	3409,46
YDR013w	+4,4	213,47	941,79	YDR087c	--	3569,90	4137,75
YDR014w	+2,2	626,05	1373,61	YDR088C	--	1295,07	1189,61
YDR015c	-3	688,37	233,20	YDR089w	--	406,21	477,81
YDR016c	--	2323,89	2413,20	YDR090C	+2,6	522,07	1347,62
YDR017C	--	2246,15	1705,73	YDR091C	+1,8	550,79	1018,18
YDR018c	+4,1	266,44	1095,28	YDR092W	--	3493,85	3970,82
YDR019C	+2,5	1447,18	3666,34	YDR093W	--	12171,72	13045,63
YDR020c	+2,2	769,11	1726,78	YDR094W	--	4742,93	4116,69
YDR021w	+1,8	614,14	1113,30	YDR095C	--	1619,52	1251,81
YDR022c	+60,8	23,02	770,69	YDR096W	+1,5	571,90	859,10
YDR023W	+2	1517,85	3106,69	YDR097C	-2,7	1283,43	470,93
YDR024w	+9	108,44	978,27	YDR098C	--	6126,45	5121,10
YDR025W	--	27529,99	30579,05	YDR099W	--	12979,88	13933,42
YDR026c	--	1111,78	1515,79	YDR100W	+2,1	1101,37	2292,27
YDR027c	--	2741,12	2895,46	YDR101C	+1,6	1559,04	2563,30
YDR028C	+3,1	494,10	1509,78	YDR102C	--	711,11	704,68
YDR029w	--	858,82	1007,84	YDR103W	-2	665,90	335,26
YDR030c	--	1727,46	1726,85	YDR104C	--	1576,63	1159,80
YDR031w	--	1087,26	1457,22	YDR105C	--	1524,77	1133,79
YDR032c	--	12775,80	16120,37	YDR106W	+2,3	666,96	1530,09
YDR033w	-3,2	3932,73	1225,01	YDR107C	--	1220,14	1154,16
YDR034C	+3,4	308,67	1051,29	YDR108W	--	895,81	783,66
YDR035W	--	2202,68	2586,15	YDR109C	--	752,75	1080,14
YDR036c	--	1671,68	2122,62	YDR110W	--	914,88	872,89
YDR037W	--	15313,28	13534,65	YDR111C	+3,1	516,97	1601,32
YDR038C	--	1066,04	1251,19	YDR112W	+3,3	246,66	804,76
YDR039C	-3	1074,84	352,80	YDR113C	+1,8	1086,70	1942,18
YDR040C	--	748,58	808,69	YDR114C	+1,7	584,56	1017,91
YDR041W	+2,3	339,88	793,81	YDR115W	--	1239,32	1267,59
YDR042C	--	1314,03	1371,51	YDR116C	--	1404,73	1319,17
YDR043C	-4,5	1598,73	353,37	YDR117C	--	745,31	1076,28
YDR044W	--	1645,13	2393,34	YDR118W	+3,4	396,23	1336,43
YDR045C	+1,8	1529,38	2823,11	YDR119W	+1,8	1298,58	2319,80
YDR046C	+2,6	1093,90	2799,35	YDR120C	--	1103,55	1373,92
YDR047W	+2,2	898,68	2007,87	YDR121W	--	2298,21	2252,46
YDR048C	+1269,5	10,49	1269,48	YDR122W	--	751,07	627,13
YDR049W	-1,7	2589,40	1552,63	YDR123C	--	823,76	1205,87
YDR050C	--	110822,71	147984,96	YDR124W	+2,2	458,83	1029,58
YDR051c	--	1141,78	1566,17	YDR125C	+959,2	1,00	959,18
YDR052C	--	1151,20	1299,97	YDR126W	+2,4	422,84	1003,74
YDR053w	--	358,37	528,03	YDR127W	--	4607,99	5089,98
YDR054c	--	1410,56	1998,32	YDR128W	--	2905,61	2583,37
YDR055w	-1,5	2260,69	1490,89	YDR129C	+1,5	928,77	1426,18
YDR056c	--	4272,78	3437,93	YDR130C	--	1526,31	1920,79
YDR057w	-2,2	898,67	406,72	YDR131C	--	1261,10	1141,46
YDR058c	--	492,72	380,42	YDR132C	--	1519,66	1439,99
YDR059C	--	1433,33	1094,70	YDR133C	--	5223,68	3533,99
YDR060w	+2,5	990,15	2518,62	YDR134C	--	7507,34	9005,93
YDR061w	--	1601,22	1416,65	YDR135C	+3,2	525,60	1657,85
YDR062W	--	2789,53	3423,57	YDR136C	--	1376,99	1092,41
YDR063w	--	2485,37	3119,60	YDR137W	-1,6	1534,94	957,63
YDR064W	+1,7	2588,46	4495,35	YDR138W	--	1582,05	2192,47
YDR065w	+2,1	482,08	990,45	YDR139C	--	928,08	1176,73
YDR066c	+1,6	871,88	1379,07	YDR140W	+2,5	457,29	1160,96
YDR067c	+1,9	1819,08	3450,10	YDR141C	+9,3	192,54	1475,52
YDR068W	+1,6	2840,43	4403,83	YDR142C	--	1699,60	1536,58
YDR069C	--	1226,87	1375,08	YDR143C	--	570,59	812,78
YDR070c	--	785,08	1104,83	YDR144C	+2,5	260,38	641,32
YDR071c	--	3458,14	2754,49	YDR145W	--	2473,55	2796,09
YDR072c	--	6203,75	4576,16	YDR146C	+16,1	37,25	16,06
YDR073W	--	3792,87	2941,42	YDR147W	+2,5	257,33	552,07
YDR074W	+1,6	1324,48	2086,94	YDR148C	--	461,33	625,80
YDR075W	+1,7	500,29	846,37	YDR149C	--	753,27	861,64

ORF	Faktor +/-		Norm. Signalintensität		ORF	Faktor +/-		Norm. Signalintensität	
	T73/MCY730	MCY730	T73			T73/MCY730	MCY730	T73	
YDR150W	--	526,84	515,34		YDR224C	--	6239,20	7913,15	
YDR151C	+2,4	123,38	294,95		YDR225W	+1,6	8595,65	13982,63	
YDR152W	--	2752,79	2965,06		YDR226W	--	5318,08	5392,18	
YDR153C	+4	466,73	1867,10		YDR227W	--	2208,11	2946,10	
YDR154C	--	9294,78	9001,53		YDR228C	--	1188,41	833,28	
YDR155C	+1,6	3163,16	4923,35		YDR229W	+1,8	823,93	1448,37	
YDR156W	--	892,69	1224,55		YDR230W	+1,9	370,97	722,73	
YDR157W	+2,3	719,71	1637,14		YDR231C	+3,8	575,71	2041,30	
YDR158W	--	2041,59	1503,80		YDR232W	-2,3	1867,27	828,77	
YDR159W	--	3169,24	4305,28		YDR233C	--	4893,52	4483,72	
YDR160W	--	602,42	603,53		YDR234W	+16,1	25,51	404,75	
YDR161W	--	1189,14	1474,05		YDR249C	--	2018,37	2169,12	
YDR162C	--	1291,77	1363,16		YDR250C	+2,3	1165,20	2632,45	
YDR163W	-1,8	1127,12	634,54		YDR251W	+2,1	1205,98	2479,58	
YDR164C	-1,7	677,22	406,23		YDR252W	--	526,74	518,61	
YDR165W	+2,3	644,10	1493,44		YDR253C	-2,1	4096,07	1918,90	
YDR166C	--	1087,73	1305,28		YDR254W	-6,5	7671,35	1184,17	
YDR167W	--	1168,52	1210,80		YDR255C	--	1834,73	1605,52	
YDR168W	+2,6	244,42	639,61		YDR256C	-3,7	1978,81	530,40	
YDR169C	+2,2	222,27	461,26		YDR257C	--	648,24	803,95	
YDR170C	--	1582,81	1699,22		YDR258C	--	1981,29	1852,44	
YDR171W	--	1969,79	2734,42		YDR259C	--	557,32	779,49	
YDR172W	--	643,05	957,97		YDR260C	+1,9	359,99	687,17	
YDR173C	--	1408,68	1404,94		YDR261C	+3,2	355,65	1122,51	
YDR174W	--	2160,15	1939,61		YDR262w	--	1402,97	969,71	
YDR175C	+5,9	240,63	1419,38		YDR263C	+2,5	615,52	1537,15	
YDR176W	--	1609,30	1488,80		YDR264C	-3,5	2067,27	590,99	
YDR177W	--	1475,12	1090,53		YDR265W	--	809,91	816,81	
YDR178W	+3,2	291,56	924,71		YDR266C	+3,4	396,11	1351,71	
YDR179C	--	517,66	553,71		YDR267C	+1,7	398,56	684,60	
YDR180W	+2,9	528,10	1526,29		YDR268W	+1,6	685,21	1107,11	
YDR181C	--	589,79	694,27		YDR269C	+4	410,34	1643,00	
YDR182W	--	572,11	659,18		YDR270W	+1,7	427,31	706,26	
YDR183W	+1,7	378,78	649,52		YDR271C	--	1844,62	2138,34	
YDR184C	+1,9	515,87	969,30		YDR272W	--	1336,78	1030,74	
YDR185C	+2,6	334,08	870,27		YDR273W	--	1944,64	1601,51	
YDR186C	-2,2	1252,93	564,25		YDR274C	--	1084,39	1217,96	
YDR187C	--	1368,39	1496,95		YDR275W	--	1451,51	1237,06	
YDR188W	--	4435,06	3730,96		YDR276C	--	4270,08	2976,76	
YDR189W	+3,7	318,39	1166,96		YDR277C	+4,1	395,49	1605,61	
YDR190C	--	703,50	895,05		YDR278C	--	589,94	696,10	
YDR191W	--	723,96	498,44		YDR279W	--	900,68	1015,17	
YDR192C	+1,6	592,43	953,74		YDR280W	+1,8	983,02	1773,02	
YDR193W	+59,8	20,56	1230,27		YDR281C	+3,1	512,07	1565,22	
YDR194C	+5,8	158,23	909,97		YDR282C	+2,9	381,08	1113,33	
YDR195W	--	713,87	693,36		YDR283C	--	3669,57	2798,21	
YDR196C	+1,6	1155,45	1830,44		YDR284C	--	583,39	835,86	
YDR197W	--	956,92	854,49		YDR285W	--	1318,73	1174,11	
YDR198C	--	1089,34	1258,44		YDR286C	+3,7	514,20	1915,51	
YDR199W	--	1709,80	1200,63		YDR287W	+2,1	847,94	1797,06	
YDR200C	-3,2	1352,44	423,74		YDR288W	+3,4	637,59	1982,03	
YDR201W	--	1912,48	1726,66		YDR289C	--	617,66	728,27	
YDR202C	+6,3	199,14	1253,80		YDR290W	--	1167,59	1378,12	
YDR203W	+3,9	291,91	1140,12		YDR291W	+1,8	632,75	1113,86	
YDR204W	+2	744,36	1523,26		YDR292C	--	2088,50	2528,05	
YDR205W	+7,6	155,59	1177,30		YDR293C	+5	218,51	1082,96	
YDR206W	+5	326,99	1624,15		YDR294C	+1,7	1186,35	2008,85	
YDR207C	+587,5	81,07	587,46		YDR295C	+13,5	82,62	1118,20	
YDR208W	+1,8	700,49	1283,36		YDR296W	--	7078,93	5784,23	
YDR209C	--	1018,32	1098,60		YDR297W	+3,5	258,64	897,99	
YDR210W	--	2183,67	3253,69		YDR298C	+3,7	273,75	1014,69	
YDR211W	+1,8	754,43	1359,32		YDR299W	--	1055,01	1411,81	
YDR212W	+2,5	679,41	1665,40		YDR300C	--	1276,81	878,62	
YDR213W	+7,5	162,60	1224,37		YDR301W	-1,7	11995,28	7183,40	
YDR214W	+815,4	1,00	815,42		YDR302W	+3,4	546,24	1851,79	
YDR215C	+9,5	83,86	796,57		YDR303C	--	1942,09	1829,07	
YDR216W	+3,2	319,63	1038,62		YDR304C	--	14612,15	13148,54	
YDR217C	+3,2	714,45	2312,45		YDR305C	+13,5	156,01	1893,41	
YDR218C	+2,1	651,04	1390,29		YDR306C	+3,8	335,98	1260,59	
YDR219C	--	1679,07	1600,43		YDR307W	+10,3	88,81	913,05	
YDR220C	--	679,94	794,51		YDR308C	+2,6	712,88	1824,99	
YDR221W	-1,6	636,96	388,59		YDR309C	--	4847,30	3505,24	
YDR222W	+2,1	662,37	1387,62		YDR310C	+1,7	1413,65	2358,71	
YDR223W	+1,5	70,85	106,61		YDR311W	+1,7	908,31	1516,81	



ORF	Norm. Signalintensität		ORF	Norm. Signalintensität			
	Faktor +/-	T73/MCY730		Faktor +/-	T73/MCY730		
YDR312W	--	1260,07	1261,09	YDR386W	+1001	31,16	1001,00
YDR313C	+2,1	674,79	1411,10	YDR387C	+500,6	1,00	500,63
YDR314C	+147,3	31,32	147,30	YDR388W	--	1408,99	1333,74
YDR315C	+589,5	79,15	589,51	YDR389W	+2,2	367,36	806,26
YDR316W	+503,6	6,79	503,65	YDR390C	--	1334,02	1884,48
YDR317W	--	572,23	690,56	YDR391C	--	1333,28	1676,01
YDR318W	--	303,97	411,68	YDR392W	+2,3	372,54	850,38
YDR319C	--	26,62	1,00	YDR393W	+7	157,20	1094,09
YDR320C	--	1990,03	2721,15	YDR394W	--	1108,01	1537,87
YDR321W	--	1108,51	1405,78	YDR395W	--	2066,11	2728,32
YDR322W	-1,6	1409,10	904,88	YDR396W	+1,9	2355,93	4407,97
YDR323C	+53,2	77,07	962,37	YDR397C	--	2894,77	3631,18
YDR324C	+2,8	264,48	733,32	YDR398W	+2,4	406,96	985,45
YDR325W	+593,5	39,57	593,47	YDR399W	+3,8	516,94	1988,81
YDR326C	+1,7	3872,93	6539,73	YDR400W	+2,9	345,28	1010,91
YDR327W	--	2023,32	2389,73	YDR401W	+3,8	260,94	993,27
YDR328C	--	3070,68	2745,92	YDR402C	+4,1	364,61	1509,31
YDR329C	+2,2	526,02	1152,50	YDR403W	--	976,80	1290,93
YDR330W	-1,7	986,53	567,33	YDR404C	-1,8	3304,87	1796,50
YDR331W	+4,9	144,91	626,83	YDR405W	+1,6	1739,10	2837,32
YDR332W	--	1573,42	2143,54	YDR406W	-2,7	514,46	192,67
YDR333C	--	1095,90	1197,18	YDR407C	--	2156,90	2595,35
YDR334W	--	1024,76	1532,67	YDR408C	--	1581,43	2206,33
YDR335W	--	1132,67	1414,30	YDR409W	--	2492,16	2575,09
YDR336W	--	989,90	1126,34	YDR410C	-1,8	1307,79	738,66
YDR337W	--	689,43	692,18	YDR411C	--	1710,07	1410,04
YDR338C	--	725,34	770,93	YDR412W	--	1575,11	2173,75
YDR339C	+1,6	1197,51	1931,16	YDR413C	+1,7	1065,95	1852,17
YDR340W	-2,5	4259,56	1717,83	YDR414C	+10,1	104,54	829,27
YDR341C	+1,6	1370,82	2138,05	YDR415C	--	3967,28	2728,88
YDR342C	--	869,60	1203,29	YDR416W	-1,8	1680,27	918,60
YDR343C	--	979,78	1131,53	YDR417C	--	18964,64	23242,13
YDR344C	--	1846,60	1829,57	YDR418W	+1,8	28404,20	50291,92
YDR345C	--	2484,35	2572,61	YDR419W	--	1420,41	1414,05
YDR346C	--	925,07	1312,83	YDR420W	--	1176,73	1202,01
YDR347W	--	1018,16	1318,02	YDR421W	+2,2	240,40	526,21
YDR348C	--	448,03	449,53	YDR422C	+2,4	602,74	1436,36
YDR349C	--	449,99	465,60	YDR423C	--	1088,65	1445,40
YDR350C	+3,2	241,25	777,52	YDR424C	--	1254,54	1037,66
YDR351W	+4,4	191,71	848,02	YDR425W	-13,6	1923,53	141,55
YDR352W	--	986,90	1323,39	YDR426C	-2,4	948,90	399,52
YDR353W	+2,1	717,11	1484,16	YDR427W	--	1421,38	1490,20
YDR354W	--	789,74	1113,61	YDR428C	--	1547,60	1155,70
YDR355C	--	999,11	1189,77	YDR429C	--	4543,48	5717,66
YDR356W	--	1580,41	1269,66	YDR430C	--	1728,81	1406,04
YDR357C	--	3122,34	3139,86	YDR431W	--	311,48	369,24
YDR358W	-3	791,85	266,58	YDR432W	+1,6	2583,55	4079,49
YDR359C	--	1056,09	1224,11	YDR433W	+1,7	3862,37	6753,26
YDR360W	--	680,45	668,32	YDR434W	--	885,94	1101,34
YDR361C	--	904,02	828,23	YDR435C	--	940,64	1039,02
YDR362C	+2	387,18	765,94	YDR436W	--	987,09	1040,78
YDR363W	+2	585,18	1141,33	YDR437W	+1,8	902,97	1587,92
YDR364C	+1,7	486,05	816,85	YDR438W	--	2042,81	2710,13
YDR365C	+1,7	697,23	1185,29	YDR439W	--	1120,39	1019,44
YDR366C	-1,6	1868,13	1155,83	YDR440W	-2	2751,81	1348,54
YDR367W	--	2527,21	3456,41	YDR441C	--	519,31	600,04
YDR368W	--	408,79	276,16	YDR442W	+2,9	315,92	926,19
YDR369C	--	280,92	349,36	YDR443C	--	757,83	974,82
YDR370C	+2,3	392,89	897,10	YDR444W	--	675,26	916,46
YDR371W	--	624,95	704,28	YDR445C	--	1388,15	1435,56
YDR372C	+3,3	569,02	1897,69	YDR446W	-5,4	9008,55	1680,19
YDR373W	--	570,40	779,19	YDR447C	--	13640,59	19312,30
YDR374C	+3,3	379,35	1252,55	YDR448W	+2,5	466,07	1160,90
YDR375C	--	437,78	415,86	YDR449C	+1,9	646,46	1243,89
YDR376W	--	868,87	770,82	YDR450W	--	11017,32	9183,67
YDR377W	+1,8	842,67	1547,48	YDR451C	--	1262,52	1471,16
YDR378C	+1,9	628,50	1204,20	YDR452W	--	2832,87	2262,43
YDR379W	+1,9	773,65	1471,52	YDR453C	--	967,37	1186,18
YDR380W	+328,5	1,00	328,49	YDR454C	+1,6	1860,11	2909,54
YDR381W	--	3468,32	3715,59	YDR455C	--	680,48	633,66
YDR382W	--	18825,53	18946,68	YDR456W	--	404,79	424,93
YDR383C	+2	537,77	1070,70	YDR457W	+590,7	3,71	590,72
YDR384C	+2	635,46	1252,31	YDR458C	+2,1	367,54	766,69
YDR385W	--	2925,47	3855,43	YDR459C	+2,1	670,68	1432,02

ORF	Faktor +/-	Norm. Signalintensität		ORF	Faktor +/-	Norm. Signalintensität	
	T73/MCY730	MCY730	T73		T73/MCY730	MCY730	T73
YDR460W	+3,7	224,94	829,21	YDR534C	--	1069,43	1242,06
YDR461W	-4,1	5301,49	1281,43	YDR535C	-1,7	1767,41	1025,03
YDR462W	--	1876,25	1560,85	YDR536W	-1,8	1034,02	573,19
YDR463W	--	1052,97	1017,42	YDR537C	+1,7	482,27	826,69
YDR464W	--	2597,86	2205,46	YDR538W	--	626,18	725,88
YDR465C	--	1023,94	1396,37	YDR539W	--	1139,72	963,05
YDR466W	+7,5	149,43	1118,58	YDR540C	-2,6	2911,77	1124,87
YDR467C	--	693,04	576,37	YDR541C	--	1329,31	1016,86
YDR468C	-1,7	1257,94	754,68	YDR542W	--	1155,72	1162,82
YDR469W	+1,6	1174,62	1861,59	YDR543C	+2,8	712,31	2015,92
YDR470C	+6,6	162,03	1067,52	YDR544C	--	3494,85	3086,56
YDR471W	-1,8	27171,90	15286,04	YDR545w	-1,8	1994,87	1119,26
YDR472W	-1,5	1563,11	1024,07	YEL001c	--	8931,69	7129,33
YDR473C	--	881,79	1287,04	YEL002c	+1,6	457,07	718,56
YDR474C	--	1235,77	1349,41	YEL003w	+1,8	1842,23	3255,74
YDR475C	+1,6	1060,55	1731,09	YEL004w	--	516,33	491,99
YDR476C	-1,9	2325,65	1253,29	YEL005c	+2,9	216,06	632,84
YDR477W	-1,7	803,89	466,14	YEL006w	--	1191,91	1364,41
YDR478W	--	836,74	1237,41	YEL007w	+1,7	497,39	826,15
YDR479C	--	876,58	1189,38	YEL008w	--	1253,77	1156,35
YDR480W	+2,4	718,17	1689,60	YEL009c	--	8961,06	12202,92
YDR481C	+1,6	899,80	1459,19	YEL010w	--	1177,12	1686,90
YDR482C	+1,6	2303,83	3782,48	YEL011w	-2,4	42,16	17,24
YDR483W	--	1953,04	2474,85	YEL012w	--	1121,14	1510,37
YDR484W	+102,4	7,91	696,50	YEL013w	--	2579,52	1862,31
YDR485C	+2	363,31	733,37	YEL014c	--	1355,86	1855,96
YDR486C	--	4645,48	4123,14	YEL015w	--	2133,84	2135,51
YDR487C	--	2021,01	2665,24	YEL016c	+1,7	674,96	1131,29
YDR488C	--	1395,09	1683,99	YEL0171	+1,8	3132,69	5703,00
YDR489W	+6,2	113,75	695,06	YEL017w	+1,6	984,55	1622,08
YDR490C	+4	435,72	1748,43	YEL018w	--	2162,95	2527,53
YDR491C	--	1065,31	1237,19	YEL019c	+1,6	740,82	1184,78
YDR492W	+2,6	426,39	1104,21	YEL020c	--	882,94	804,38
YDR493W	+1,7	674,36	1120,97	YEL021w	-30,3	28135,68	929,76
YDR494W	+2,2	980,92	2113,35	YEL022w	-2	1281,19	645,78
YDR495C	--	4617,14	3537,37	YEL023c	+4	158,87	632,76
YDR496C	+2,3	538,64	1236,98	YEL024w	--	4891,63	4164,35
YDR497C	--	4383,17	5292,51	YEL025c	--	852,92	684,84
YDR498C	+1,8	639,47	1133,25	YEL026w	+1,9	25887,17	50282,36
YDR499W	--	3703,62	3656,29	YEL027w	--	11697,40	8814,60
YDR500C	--	7516,49	9820,47	YEL028w	--	966,15	888,50
YDR501W	--	824,24	663,47	YEL029c	--	1758,52	1483,70
YDR502C	--	2798,06	2652,61	YEL030w	--	2453,72	2865,95
YDR503C	--	1326,03	1758,20	YEL031w	--	4608,95	3963,48
YDR504C	-1,8	1565,93	861,50	YEL032w	--	490,85	456,46
YDR505C	-4,2	914,80	215,36	YEL033w	--	11068,33	8210,70
YDR506C	-2,8	1393,48	491,72	YEL034w	-2	107280,86	53408,93
YDR507C	--	8800,87	6652,14	YEL035c	--	1645,83	1655,31
YDR508C	+2,5	570,38	1430,42	YEL036c	--	9748,70	6646,91
YDR509W	+2,5	1050,66	2629,24	YEL037c	--	4197,02	4135,04
YDR510W	--	3042,37	3848,02	YEL038w	-1,5	3262,10	2120,00
YDR511W	--	1112,89	1420,58	YEL039c	--	1237,50	1352,42
YDR512C	--	3486,25	3353,22	YEL040w	-2	10156,19	5055,12
YDR513W	+1,6	2523,61	4087,85	YEL041w	+2,5	250,49	622,83
YDR514C	--	634,04	786,96	YEL042w	--	1175,44	1716,82
YDR515W	+2,2	361,50	813,27	YEL043w	+1,7	519,84	895,55
YDR516C	+1,6	465,09	734,74	YEL044w	+1,6	1834,98	2861,28
YDR517W	--	4912,35	4852,87	YEL045c	--	1354,02	1790,62
YDR518W	--	1090,23	1178,19	YEL046c	--	4496,81	5122,66
YDR519W	--	1716,90	1779,22	YEL047c	+1,6	1646,37	2654,31
YDR520C	-8,2	886,67	108,54	YEL048c	-2,2	2806,07	1254,17
YDR521W	--	212,91	154,46	YEL049w	--	817,09	1080,25
YDR522C	+2,8	764,24	2128,65	YEL050c	--	3123,58	4386,16
YDR523C	--	1418,42	1798,88	YEL051w	--	11736,23	11056,98
YDR524C	-1,8	911,18	494,62	YEL052w	--	1487,89	1016,66
YDR525W	+3,8	276,30	1059,08	YEL053c	+2,7	1565,25	4230,14
YDR526C	--	2313,47	2733,18	YEL054c	--	68305,58	70050,11
YDR527W	--	3577,80	4980,19	YEL055c	+7,6	148,72	1125,17
YDR528W	--	1386,40	1492,36	YEL056w	--	1365,74	2034,31
YDR529C	+1,7	6684,11	11074,15	YEL057c	-1,5	1603,37	1057,24
YDR530C	--	1188,00	1373,79	YEL058w	-1,6	3584,15	2281,45
YDR531W	--	1163,64	1101,27	YEL059w	-1,6	2829,98	1779,45
YDR532C	--	1015,54	688,44	YEL060c	--	1369,07	1649,39
YDR533C	+1,5	1180,30	1783,54	YEL061c	--	3597,90	3788,13

ORF	Faktor +/-	Norm. Signalintensität		ORF	Faktor +/-	Norm. Signalintensität	
	T73/MCY730	MCY730	T73		T73/MCY730	MCY730	T73
YEL062w	--	312,90	453,57	YER056c	-2	8722,81	4395,63
YEL063c	+1,6	611,41	973,44	YER057c	--	3358,24	3112,06
YEL064c	+20,3	84,54	1459,50	YER058w	--	1046,21	1165,76
YEL065w	+2,2	487,18	1071,45	YER059w	--	1036,22	1355,19
YEL066w	--	6207,61	4736,55	YER060w	+1,6	561,51	882,74
YEL067c	--	1432,46	1027,35	YER061c	+2,9	576,53	1693,22
YEL068c	-1,7	1207,38	700,97	YER062c	+1,6	1493,96	2450,99
YEL069c	+4,7	927,94	4379,65	YER063w	--	2217,11	2099,81
YEL070w	+1,5	1243,74	1923,24	YER064c	--	1742,71	1261,07
YEL071w	--	3313,36	3594,96	YER065c	--	1097,98	1077,06
YEL072w	+3,1	558,65	1723,33	YER066w	--	1378,77	1162,63
YEL073c	--	989,12	1313,80	YER067w	+1,7	1166,61	1942,33
YEL074w	--	1443,08	1750,82	YER068w	+5,8	157,59	917,27
YEL075c	--	1466,47	2008,61	YER069w	--	1330,09	1831,52
YEL076c	--	1414,95	1740,30	YER070w	+4,5	436,20	1945,30
YEL077c	--	1692,02	1705,85	YER071c	+2,4	568,90	1346,84
YER001w	+2,5	524,49	1289,96	YER072w	-5,7	14122,20	2486,89
YER002w	+3,1	546,08	1685,18	YER073w	-1,6	1809,75	1104,09
YER003c	+1,8	1241,91	2207,99	YER074w	--	4719,17	5939,72
YER004w	--	1797,85	2421,60	YER075c	--	2892,97	2529,32
YER005w	-2,5	1893,20	753,73	YER076c	--	913,12	1252,82
YER006w	+2,3	1238,86	2867,77	YER077c	+771,6	1,00	771,59
YER007w	--	980,54	1389,88	YER078c	--	1046,83	858,20
YER008c	--	5529,62	5083,15	YER079w	--	943,76	1350,70
YER009w	--	11707,49	11262,97	YER080w	+1,9	841,16	1606,88
YER010c	+1,9	775,31	1453,41	YER081w	+4,1	700,73	2902,21
YER011w	--	1754,80	2176,92	YER082c	+3,1	547,45	1698,94
YER012w	--	3499,76	4140,88	YER083c	--	1882,37	2573,06
YER013w	--	3146,29	2991,28	YER084w	+4,5	157,80	707,89
YER014w	+6,8	285,90	1943,52	YER085c	--	700,37	956,17
YER015w	+3,5	313,34	1101,57	YER086w	+2,7	424,75	1128,21
YER016w	--	587,73	678,12	YER0871	+2,7	1014,40	2725,65
YER017c	-2,7	11,52	4,24	YER087w	--	1350,07	1892,37
YER018c	+254,9	24,42	254,92	YER088c	-1,6	1048,12	637,69
YER0191	--	3352,19	2607,93	YER089c	+1,8	4196,54	7480,09
YER019w	--	5348,27	5272,39	YER090w	--	2045,77	2273,48
YER020w	--	8015,71	6417,07	YER091c	+1,7	1313,02	2175,85
YER021W	--	3299,09	4103,86	YER092w	--	1536,20	1719,13
YER022w	--	1062,56	1056,48	YER093c	--	7960,13	8708,03
YER023w	+1,7	1237,81	2063,99	YER094c	--	1877,85	2547,43
YER024w	+1,5	1071,18	1643,38	YER095w	+1,6	817,52	1341,35
YER025w	--	8457,16	6838,09	YER096w	+2,3	431,27	973,63
YER026c	--	2485,77	2830,75	YER097w	+4,7	274,12	1291,91
YER027c	+3,7	433,27	1616,43	YER098w	+3,4	614,10	2089,64
YER028c	+2,3	264,47	609,89	YER099c	-2,5	2422,37	968,51
YER029c	+1,7	1808,42	3056,72	YER100w	--	4201,62	4691,31
YER030w	--	3309,85	3948,63	YER101c	-2,1	524,75	250,26
YER031c	--	3487,66	4119,48	YER102w	--	79961,89	92456,54
YER032w	+1,9	560,51	1041,87	YER103w	+2,7	392,10	1077,19
YER033c	--	608,97	642,65	YER104w	+1,5	1044,21	1593,26
YER034w	-9,4	9980,29	1059,17	YER105c	--	1763,32	1352,55
YER035w	--	2529,83	2960,30	YER106w	--	1153,29	1479,91
YER036c	--	1404,10	1639,67	YER107c	--	1231,01	1389,97
YER037w	--	1510,99	1973,34	YER108c	+1,7	392,60	679,71
YER038c	+2,3	635,52	1432,88	YER109c	+2,4	644,75	1556,16
YER039c	--	1434,72	1495,77	YER110c	--	854,81	957,25
YER040w	-2,1	1390,49	654,06	YER111c	-1,9	3009,12	1618,05
YER041w	+2,1	885,00	1832,18	YER112w	+1,7	1734,80	2963,84
YER042w	+4,5	793,58	3599,74	YER113c	+4,2	220,15	815,80
YER043c	--	4540,33	4318,38	YER114c	--	1454,99	1616,61
YER0441	--	2081,68	2522,38	YER115c	+1,9	1002,52	1902,40
YER044c	--	563,75	798,43	YER116c	+3,3	216,87	716,75
YER045c	--	1452,39	1267,67	YER117w	+1,9	17052,13	31555,70
YER046w	--	2226,35	2433,16	YER118c	--	1161,12	1581,86
YER047c	+4,1	287,85	1189,94	YER119c	--	1432,29	1398,04
YER048c	--	4277,89	3638,66	YER120w	--	5555,15	4793,80
YER049w	--	1142,70	1168,85	YER121w	--	980,07	1223,62
YER050c	--	895,61	985,72	YER122c	--	2570,14	2270,51
YER051w	+2,4	378,54	915,73	YER123w	--	1748,50	2336,49
YER052c	--	1947,51	2503,84	YER124c	+1,5	1310,83	1979,94
YER053c	--	1024,68	1474,66	YER125w	+2,4	435,84	1065,17
YER054c	+2,5	409,33	1019,51	YER126c	-1,6	2521,56	1534,27
YER055c	--	2490,72	2341,35	YER127w	--	2394,79	2596,20
YER0561	--	25547,56	28855,67	YER128w	--	1351,34	1619,90

ORF	Faktor +/-	Norm. Signalintensität		ORF	Faktor +/-	Norm. Signalintensität	
	T73/MCY730	MCY730	T73		T73/MCY730	MCY730	T73
YER129w	--	2775,53	3162,64	YFL012W	+1,8	241,32	438,23
YER130c	-1,6	1067,34	685,53	YFL013C	--	466,91	610,11
YER131w	--	61666,81	79964,17	YFL014W	--	1505,49	1391,10
YER132c	--	2676,14	2369,81	YFL015C	--	1456,14	1254,25
YER133w	--	2188,83	1844,45	YFL016C	--	848,05	1065,04
YER134c	-3,5	1653,52	466,63	YFL017C	-1,5	1290,61	839,70
YER135c	--	1067,62	1286,13	YFL018C	--	2440,00	2232,56
YER136w	--	2174,11	2575,08	YFL019C	--	939,77	972,88
YER137c	--	1341,29	1015,21	YFL020C	+1,7	927,02	1548,58
YER138c	-53,2	617406,16	11598,16	YFL021W	-1,6	1773,20	1088,95
YER139c	+3,6	743,99	2672,14	YFL022C	--	1395,87	1285,16
YER140w	+1,9	479,90	895,00	YFL023W	+2,5	347,87	870,92
YER141w	--	923,13	1212,05	YFL024C	+1,6	1461,82	2324,23
YER142c	--	1551,58	1512,69	YFL025C	--	919,97	749,48
YER143w	--	1733,73	2011,50	YFL026W	--	936,38	626,50
YER144c	-3,9	1929,66	497,31	YFL027C	--	1339,87	1794,90
YER145c	--	2343,72	2945,05	YFL028C	--	1869,59	2577,90
YER146w	--	3144,34	4644,81	YFL029C	--	2748,18	2394,34
YER147c	--	504,70	708,53	YFL030W	--	856,78	761,94
YER148w	+1,6	3803,70	6060,91	YFL031W	+1,8	509,59	914,45
YER149c	+2	657,47	1311,50	YFL032W	--	3141,37	2359,09
YER150w	--	594,23	456,34	YFL033C	-1,7	15038,35	9018,67
YER151c	--	963,43	1246,05	YFL034W	--	859,26	766,49
YER152c	-1,6	1310,58	820,69	YFL035C	+2	546,56	1074,71
YER153c	--	807,98	893,77	YFL036W	--	718,55	842,56
YER154w	--	2753,16	1854,53	YFL037W	--	2195,11	2606,41
YER155c	+1,6	567,39	899,37	YFL038C	-1,9	4797,75	2483,43
YER156c	--	8046,54	8512,58	YFL039C	--	6312,39	4403,39
YER157w	+1,7	312,59	533,60	YFL040W	-1,8	577,43	328,16
YER158c	--	1224,77	1193,92	YFL041W	+4,2	223,44	928,12
YER159c	+1,5	4475,16	6789,86	YFL042C	+1,7	578,14	972,29
YER160c	-33,8	76458,40	2260,74	YFL043C	--	1395,80	1494,96
YER161c	--	1530,22	1623,45	YFL044C	--	1041,45	800,98
YER162c	--	867,38	1028,54	YFL045C	+1,9	4243,04	8269,17
YER163c	--	2180,20	2814,92	YFL046W	+1,7	1481,69	2503,12
YER164w	--	930,65	804,89	YFL047W	+3,3	182,17	594,60
YER165w	--	5986,23	6509,25	YFL048C	--	1520,19	1784,86
YER166w	+1,7	1923,43	3245,72	YFL049W	-1,6	955,61	608,39
YER167w	--	1482,53	1775,54	YFL050C	--	1105,24	1047,98
YER168c	+1,6	1388,10	2243,62	YFL051C	--	2189,15	1901,89
YER169w	+1,9	706,31	1329,01	YFL052W	-1,5	1307,16	846,85
YER170w	--	932,82	1197,86	YFL053W	--	1146,78	1297,87
YER171w	+3,1	205,46	639,56	YFL054C	--	452,22	547,37
YER172c	--	689,04	859,04	YFL055W	-2,1	1198,20	578,93
YER173W	+2,9	496,16	1453,01	YFL056C	--	900,46	1043,78
YER174c	--	1085,45	1382,43	YFL057C	--	863,35	1290,77
YER175c	+1,8	589,41	1046,76	YFL058W	+2,6	384,46	1000,76
YER176w	+5	339,68	1701,38	YFL059W	-2,6	1064,00	402,63
YER177w	--	63245,23	52223,47	YFL060C	--	1030,17	1033,03
YER178w	--	18081,68	13869,69	YFL061W	--	981,82	849,45
YER179w	+1,7	598,29	1032,40	YFL062W	--	1823,32	1757,72
YER180c	--	1323,23	1585,68	YFL063W	--	1182,81	1417,05
YER181c	+1,7	514,65	867,79	YFL064C	--	1310,17	1149,05
YER182w	+1,8	818,69	1470,51	YFL065C	--	2780,31	2074,58
YER183c	--	3139,58	2417,26	YFL066C	--	2035,14	1555,85
YER184c	+2,7	548,60	1477,53	YFL067W	-1,6	2715,43	1691,49
YER185w	+1,6	968,85	1531,00	YFL068W	-2,4	7875,51	3257,85
YER186c	-5,2	2202,75	422,11	YFL-TyA	--	1519,50	1145,78
YER187w	-2,9	2010,14	692,12	YFL-TyB	-6,1	8657,15	1427,38
YER188w	-5,5	1206,79	220,61	YFR001W	+1,7	2849,48	4772,99
YER189w	-2,2	1406,17	629,05	YFR002W	+57,4	48,92	1307,19
YER190w	-3,4	1325,33	389,36	YFR003C	+3,1	243,60	753,20
YFL001W	+1,5	585,36	892,62	YFR004W	--	2600,26	3108,39
YFL002C	+2,2	225,87	490,99	YFR005C	--	749,58	997,57
YFL003C	+2,5	318,40	811,52	YFR006W	--	1869,75	2771,93
YFL004W	--	1126,78	1149,22	YFR007W	+1,9	1200,89	2296,64
YFL005W	-1,8	3022,51	1699,70	YFR008W	+1,6	1681,15	2672,04
YFL006W	+2,1	937,92	1946,48	YFR009W	--	1725,35	1612,51
YFL007W	--	1245,23	1623,21	YFR010W	--	1217,17	1529,88
YFL008W	+2,1	745,46	1583,61	YFR011C	--	2544,32	3220,63
YFL009W	+13,1	146,21	1678,31	YFR012W	--	1285,72	1587,17
YFL010B	-2,1	5231,62	2469,91	YFR013W	+4,3	262,76	1118,24
YFL010C	-2,5	7676,65	3093,69	YFR014C	+2,2	529,51	1181,76
YFL011W	+464,2	27,43	464,22	YFR015C	+3	282,89	849,06

ORF	Faktor +/-	Norm. Signalintensität		ORF	Faktor +/-	Norm. Signalintensität	
	T73/MCY730	MCY730	T73		T73/MCY730	MCY730	T73
YFR016C	--	1218,25	1730,62	YGL032C	-2,8	4937,77	1755,19
YFR017C	+1,5	773,42	1174,25	YGL033W	--	1068,00	1252,06
YFR018C	+2,1	854,39	1758,96	YGL034C	--	1653,41	1718,24
YFR019W	--	1420,20	1426,85	YGL035C	--	1559,23	1472,23
YFR020W	-2,9	1690,38	580,80	YGL036W	--	7338,05	8264,39
YFR021W	+2,2	223,54	499,25	YGL037C	--	3121,40	3340,90
YFR022W	--	964,50	933,10	YGL038C	+2	666,37	1341,43
YFR023W	+1,9	139,45	128,49	YGL039W	--	817,55	1166,03
YFR024C	--	2415,86	3130,17	YGL040C	--	1015,75	1102,46
YFR025C	+1,5	985,33	1517,35	YGL041C	--	1441,24	2081,47
YFR026C	--	1265,02	844,97	YGL042C	--	3219,24	4479,75
YFR027W	--	1312,66	1291,25	YGL043W	--	1504,61	1994,29
YFR028C	--	1394,47	1090,04	YGL044C	--	797,73	1053,00
YFR029W	--	455,69	485,79	YGL045W	--	1496,05	1333,36
YFR030W	+2,5	269,51	681,51	YGL046W	--	920,74	1226,10
YFR031B	--	44922,09	38568,91	YGL047W	--	1839,59	1977,26
YFR031C	-2	2184,84	1101,92	YGL048C	-2,6	8777,25	3385,08
YFR032C	--	325,17	421,04	YGL049C	-2,3	900,85	389,89
YFR033C	--	9532,08	11377,02	YGL050W	+5,9	127,17	751,01
YFR034C	--	640,84	768,65	YGL051W	--	904,98	703,88
YFR035C	--	3687,60	2636,01	YGL052W	-1,8	1570,28	871,25
YFR036W	--	2190,68	3084,00	YGL053W	-1,5	1716,34	1135,72
YFR037C	--	5218,05	4333,31	YGL054C	--	3129,24	4336,01
YFR038W	--	1983,12	1726,60	YGL055W	--	2443,37	3656,33
YFR039C	--	1124,53	1622,37	YGL056C	--	1227,17	1626,13
YFR040W	+1,6	736,04	1168,77	YGL057C	--	1398,55	1059,87
YFR041C	-1,5	2022,03	1319,44	YGL058W	--	2975,39	3548,37
YFR042W	+1,8	844,27	1519,84	YGL059W	--	1645,70	1603,70
YFR043C	+1,5	852,55	1295,95	YGL060W	--	1418,00	1537,30
YFR044C	--	12727,63	9647,76	YGL061C	-1,7	1281,28	775,89
YFR045W	--	1401,21	1245,06	YGL062W	--	5543,18	4942,47
YFR046C	--	1736,62	1407,36	YGL063W	+4	310,36	1234,85
YFR047C	--	2909,62	4171,06	YGL064C	--	750,98	733,51
YFR048W	+1,7	1657,80	2780,45	YGL065C	--	2186,37	1645,05
YFR049W	--	1165,84	1063,84	YGL066W	+1,7	987,13	1714,20
YFR050C	--	3415,06	3249,27	YGL067W	+1517,6	80,98	1517,58
YFR051C	--	5280,74	3720,40	YGL068W	--	2976,01	2243,32
YFR052W	--	5576,15	8098,10	YGL069C	--	2611,51	2322,91
YFR053C	-1,7	2372,41	1375,61	YGL070C	--	776,37	761,42
YFR054C	+2	315,93	646,45	YGL071W	+11,2	73,24	810,27
YFR055W	--	1556,59	2079,28	YGL072C	--	2029,44	2626,77
YFR056C	--	696,90	848,96	YGL073W	+3,6	91,68	333,48
YFR057W	+1,6	384,74	627,11	YGL074C	+2,3	373,79	850,33
YGL001C	--	836,34	1104,95	YGL075C	+1,7	562,01	971,92
YGL002W	+2,1	723,74	1545,65	YGL076C	+1,7	3542,54	5868,29
YGL003C	+9,2	111,39	814,14	YGL077C	+2,1	928,67	1930,30
YGL004C	+2,5	70,29	177,07	YGL078C	--	2331,04	2872,30
YGL005C	+2,4	227,10	546,27	YGL079W	+2,5	593,63	1499,15
YGL006W	--	2077,43	2508,37	YGL080W	+2,1	875,21	1859,83
YGL007W	+1,5	731,14	1120,70	YGL081W	--	860,20	1019,27
YGL008C	--	1324,26	1611,54	YGL082W	+5,5	174,60	957,08
YGL009C	+3,1	139,88	432,71	YGL083W	+2,2	681,94	1506,17
YGL010W	-1,8	275,16	154,72	YGL084C	--	1340,97	1444,01
YGL011C	--	4565,04	3777,61	YGL085W	+2,6	281,96	730,88
YGL012W	--	2162,92	2134,01	YGL086W	--	2546,33	3008,42
YGL013C	--	1832,35	1558,69	YGL087C	--	2464,47	2089,71
YGL014W	--	1869,17	2577,62	YGL088W	--	1577,48	2273,42
YGL015C	--	2261,29	2781,74	YGL089C	--	762,92	1066,01
YGL016W	--	1344,09	1179,47	YGL090W	+4,1	359,24	1486,70
YGL017W	--	728,38	988,96	YGL091C	--	989,23	1448,22
YGL018C	+1,5	1097,87	1654,75	YGL092W	+3,2	265,96	808,07
YGL019W	--	2275,83	1843,15	YGL093W	--	588,30	645,67
YGL020C	--	1455,17	2030,15	YGL094C	--	2216,63	2825,01
YGL021W	--	879,12	1035,01	YGL095C	+4	470,80	1864,58
YGL022W	--	785,95	610,23	YGL096W	+1,5	1467,80	2229,59
YGL023C	--	1532,93	2206,09	YGL097W	-1,7	3015,60	1797,91
YGL024W	+1,9	610,13	1159,36	YGL098W	+2	1032,26	2019,74
YGL025C	--	1819,99	1739,72	YGL099W	--	4956,10	7354,54
YGL026C	+1,7	600,90	1029,21	YGL100W	--	13666,97	18184,25
YGL027C	-1,5	607,53	394,33	YGL101W	--	11268,75	9340,18
YGL028C	+1,8	842,98	1477,21	YGL102C	--	214066,37	276508,98
YGL029W	--	3548,37	4366,55	YGL103W	--	136601,64	133501,33
YGL030W	--	7407,51	9464,49	YGL104C	-1,7	5194,85	2999,62
YGL031C	--	105542,33	109843,37	YGL105W	-1,6	16191,38	10406,89



ORF	Faktor +/-	Norm. Signalintensität		ORF	Faktor +/-	Norm. Signalintensität	
	T73/MCY730	MCY730	T73		T73/MCY730	MCY730	T73
YGL106W	--	4847,28	4645,03	YGL180W	--	1763,49	1191,85
YGL107C	--	3155,38	2304,89	YGL181W	-2,5	5920,34	2337,66
YGL108C	--	3091,36	2864,80	YGL182C	-4,2	1410,10	332,05
YGL109W	--	2110,79	2763,89	YGL183C	-2	2227,31	1104,54
YGL110C	--	3138,03	2581,84	YGL184C	-1,7	1248,10	750,95
YGL111W	+1,8	379,94	692,57	YGL185C	-2,8	3220,22	1143,50
YGL112C	+1,5	1110,11	1694,72	YGL186C	-2,5	3173,17	1253,02
YGL113W	--	3226,43	2226,70	YGL187C	--	7936,58	8094,36
YGL114W	+2,8	279,69	783,46	YGL188C	--	2798,91	2489,95
YGL115W	--	4127,18	5152,62	YGL189C	--	324951,08	325092,77
YGL116W	--	1234,10	1203,63	YGL190C	--	2782,16	2208,47
YGL117W	--	1115,71	840,76	YGL191W	-1,5	16091,21	10453,60
YGL118C	--	492,61	696,27	YGL192W	--	2259,52	1514,47
YGL119W	--	1110,44	1300,96	YGL193C	--	1586,74	1206,54
YGL120C	--	1996,80	2012,60	YGL194C	--	5633,43	7634,31
YGL121C	+1,5	541,35	816,56	YGL195W	--	88916,02	89094,39
YGL122C	+1,9	896,13	1664,73	YGL196W	--	2472,51	2185,96
YGL123W	+2,5	15278,42	37640,29	YGL197W	--	5608,06	4531,54
YGL124C	+2,5	267,62	669,31	YGL198W	+1,7	13124,70	21688,72
YGL125W	+2,9	359,32	1041,23	YGL199C	--	28655,64	25481,97
YGL126W	--	562,85	800,48	YGL200C	-1,8	8450,02	4827,02
YGL127C	--	3539,92	3947,85	YGL201C	--	2137,89	2531,57
YGL128C	--	1927,17	1907,22	YGL202W	-1,7	6573,79	3877,03
YGL129C	+934,6	1,00	934,63	YGL203C	--	1172,71	1655,86
YGL130W	+1,9	812,84	1554,06	YGL204C	--	1085,58	1280,77
YGL131C	+3,1	394,15	1233,81	YGL205W	+2,3	324,76	738,65
YGL132W	+1,7	1005,51	1689,31	YGL206C	--	680,79	785,79
YGL133W	--	2512,04	2939,94	YGL207W	+1,5	1678,46	2556,21
YGL134W	--	1032,34	909,93	YGL208W	--	1442,21	1106,04
YGL135W	+2,2	17076,36	37271,41	YGL209W	-2,1	10975,69	5175,80
YGL136C	--	1369,56	1080,13	YGL210W	--	4064,52	5134,20
YGL137W	--	2376,92	2410,77	YGL211W	--	2155,64	2501,71
YGL138C	--	259,67	358,80	YGL212W	+3,2	384,78	1230,54
YGL139W	+723,5	1,00	723,53	YGL213C	+2,6	357,64	923,51
YGL140C	--	2522,94	2241,11	YGL214W	+3,3	519,85	1733,27
YGL141W	+3,8	243,97	939,07	YGL215W	--	9827,86	7863,50
YGL142C	+3	476,86	1450,70	YGL216W	+2,4	828,75	1962,16
YGL143C	--	1685,99	1383,41	YGL217C	--	1101,12	1139,26
YGL144C	--	6388,29	6249,46	YGL218W	+14,3	257,95	1878,61
YGL145W	-1,5	1889,60	1253,41	YGL219C	--	1841,49	1737,12
YGL146C	--	1244,49	1768,85	YGL220W	--	7437,92	9855,69
YGL147C	+2,3	28851,53	66858,48	YGL221C	--	4915,36	4486,73
YGL148W	--	7486,27	7370,73	YGL222C	--	2314,88	2220,19
YGL149W	--	706,83	751,32	YGL223C	+12,2	97,21	1106,76
YGL150C	--	8848,04	6086,17	YGL224C	--	2437,64	2122,64
YGL151W	-1,9	6285,64	3270,17	YGL225W	--	2049,57	2652,40
YGL152C	--	1860,69	1588,21	YGL226W	--	1942,02	1652,21
YGL153W	+7	208,12	1455,22	YGL227W	--	7212,86	7664,23
YGL154C	-1,7	1409,05	838,52	YGL228W	--	2327,01	2560,74
YGL155W	--	688,23	1007,56	YGL229C	+1,6	2618,38	4212,10
YGL156W	--	2444,33	1688,12	YGL230C	--	935,57	914,65
YGL157W	-2,9	2705,15	931,57	YGL231C	--	5227,24	5278,69
YGL158W	--	2081,28	1571,24	YGL232W	--	1856,97	2209,95
YGL159W	--	897,71	870,84	YGL233W	+490,4	90,80	490,40
YGL160W	--	1653,64	1261,03	YGL234W	+252,4	28,51	5555,85
YGL161C	-1,7	4245,64	2485,15	YGL235W	+333,2	1,00	333,15
YGL162W	-4,1	420,78	103,30	YGL236C	+4,4	304,24	1321,72
YGL163C	-1,6	299,20	192,89	YGL237C	--	2936,96	3865,40
YGL164C	-1,6	3697,64	2255,26	YGL238W	--	10755,75	11315,77
YGL165C	-1,9	3639,97	1909,82	YGL239C	+1,8	570,62	1049,12
YGL166W	-1,6	2589,81	1590,37	YGL240W	--	606,69	756,17
YGL167C	-1,6	1762,06	1111,78	YGL241W	+3,5	202,38	707,60
YGL168W	-1,6	3120,61	1957,87	YGL242C	--	3091,32	2988,59
YGL169W	--	7076,13	5345,33	YGL243W	-1,5	860,40	568,80
YGL170C	-1,8	1166,11	638,94	YGL244W	--	3257,04	2343,65
YGL171W	-1,6	1175,93	738,67	YGL245W	--	8607,37	9678,19
YGL172W	--	4507,55	3397,14	YGL246C	+2,4	635,66	1554,88
YGL173C	-2,2	7459,62	3436,98	YGL247W	+3	242,27	543,88
YGL174W	--	2274,99	1546,55	YGL248W	-3,4	1577,56	469,50
YGL175C	-2,9	1345,99	463,33	YGL249W	+1,8	321,61	586,74
YGL176C	--	16510,84	16221,99	YGL250W	--	1578,86	1065,99
YGL177W	-1,8	5225,67	2857,23	YGL251C	--	10174,13	7205,95
YGL178W	-2,3	5890,63	2556,42	YGL252C	-2,1	7509,63	3634,08
YGL179C	--	1388,42	1162,56	YGL253W	--	16598,45	12292,67

ORF	Faktor +/-	Norm. Signalintensität		ORF	Faktor +/-	Norm. Signalintensität	
	T73/MCY730	MCY730	T73		T73/MCY730	MCY730	T73
YGL254W	--	1170,57	1027,58	YGR065C	--	1836,95	1912,40
YGL255W	+3,5	930,60	3215,45	YGR066C	-2,1	1930,78	938,47
YGL256W	--	4584,24	5029,55	YGR067C	-2,2	83,82	37,46
YGL257C	-1,8	4859,48	2698,27	YGR068C	-1,6	488,68	303,15
YGL258W	--	435,78	571,79	YGR069W	--	16508,59	18650,15
YGL259W	--	748,13	985,43	YGR070W	--	1004,29	805,91
YGL260W	-2,1	754,47	366,50	YGR071C	--	1725,88	1445,81
YGL261C	-2,4	3822,91	1568,26	YGR072W	--	657,22	776,32
YGL262W	-2,6	807,79	315,60	YGR073C	+5,5	198,35	1087,05
YGL263W	--	1115,02	750,87	YGR074W	--	2535,41	3165,95
YGR001C	--	1918,48	1408,92	YGR075C	--	2313,25	2075,16
YGR002C	-1,6	2517,58	1582,74	YGR076C	-2,1	1730,01	834,33
YGR003W	-3,7	1113,81	297,80	YGR077C	-1,5	646,48	428,60
YGR004W	-2,8	598,83	213,52	YGR078C	-1,8	5137,18	2869,43
YGR005C	-2	3035,93	1492,43	YGR079W	-2,7	3144,70	1169,40
YGR006W	-15,1	1390,16	92,00	YGR080W	--	3061,32	2306,96
YGR007W	--	2192,14	1670,30	YGR081C	--	2730,57	1889,27
YGR008C	--	1322,30	1207,23	YGR082W	--	7220,12	4820,53
YGR009C	-2,4	1607,63	677,32	YGR083C	-1,5	3872,17	2514,73
YGR010W	-1,9	1723,99	898,77	YGR084C	--	2565,90	2513,00
YGR011W	--	2186,89	1969,24	YGR085C	--	175984,47	202018,74
YGR012W	--	1874,69	1404,68	YGR086C	-1,6	55793,89	35124,31
YGR013W	-2,2	2829,88	1295,66	YGR087C	-2,2	973,06	436,35
YGR014W	-1,9	197658,67	103808,64	YGR088W	-2,2	4311,56	1931,08
YGR015C	-3,5	1422,98	407,24	YGR089W	--	1497,44	1021,06
YGR016W	-1,7	1047,64	616,96	YGR090W	-9,3	2779,80	300,17
YGR017W	-2,6	9805,74	3813,56	YGR091W	-1,7	1276,17	745,62
YGR018C	--	6374,91	4271,58	YGR092W	-2,1	1636,61	775,08
YGR019W	-2,1	2791,58	1304,87	YGR093W	-2,3	1900,95	822,63
YGR020C	-1,6	3084,89	1922,63	YGR094W	--	26404,84	21719,75
YGR021W	-2,1	2648,63	1263,68	YGR095C	-3,3	6644,81	2042,61
YGR022C	-2,2	1656,37	739,21	YGR096W	-1,7	1751,86	1018,22
YGR023W	--	3262,57	3131,96	YGR097W	-1,8	2715,46	1509,86
YGR024C	-1,5	4203,20	2769,02	YGR098C	--	3048,78	2692,73
YGR025W	+1,5	1152,39	1732,18	YGR099W	-3,7	1118,45	303,48
YGR026W	--	1685,87	1398,79	YGR100W	-3,1	394,08	127,64
YGR027C	+1,6	67359,95	108783,53	YGR101W	-2,1	1260,07	597,60
YGR028W	+1,6	739,38	1188,77	YGR102C	-1,8	82362,53	46121,85
YGR029W	--	1797,44	1823,61	YGR103W	-2,3	2942,37	1298,39
YGR030C	+2,2	576,72	1240,95	YGR104C	-1,6	2143,17	1324,75
YGR031W	--	728,15	1055,42	YGR105W	--	2299,76	2465,75
YGR032W	+1,5	308,31	472,37	YGR106C	-1,7	7148,09	4120,25
YGR033C	--	929,82	1112,62	YGR107W	-6,4	1320,37	204,96
YGR034W	--	35264,67	28286,97	YGR108W	-2	1883,35	962,22
YGR035C	--	1254,32	1252,72	YGR109C	-1,8	1908,04	1057,46
YGR036C	--	471,03	470,63	YGR110W	-1,7	2472,00	1417,29
YGR037C	--	7233,75	8430,03	YGR111W	--	3067,06	2061,17
YGR038W	--	1782,57	2032,89	YGR112W	+2,3	665,12	1522,81
YGR039W	+4,7	222,95	899,72	YGR113W	--	2411,38	2600,03
YGR040W	+2,8	874,69	2435,12	YGR114C	--	4375,22	3921,08
YGR041W	+2,4	524,84	1275,16	YGR115C	--	7911,72	5557,79
YGR042W	--	3684,13	3143,90	YGR116W	-2	9698,43	4814,90
YGR043C	--	902,34	1206,30	YGR117C	+1,8	788,06	1428,10
YGR044C	+1,6	766,03	1257,43	YGR118W	--	102935,82	101811,34
YGR045C	+1,8	366,04	648,50	YGR119C	--	1645,41	2196,29
YGR046W	+1,9	1084,47	2037,97	YGR120C	--	942,54	1261,17
YGR047C	+631,1	1,00	631,13	YGR121C	+2	842,73	1667,14
YGR048W	+11,1	143,06	1582,46	YGR122W	--	2052,12	1905,84
YGR049W	+1,8	3875,25	6954,44	YGR123C	--	1949,65	2533,87
YGR050C	+929,6	51,37	929,61	YGR124W	-1,6	5021,79	3055,50
YGR051C	+1,6	1781,14	2808,65	YGR125W	+1,6	633,30	1035,51
YGR052W	--	774,27	1061,02	YGR126W	--	701,76	959,36
YGR053C	--	606,23	598,21	YGR127W	--	1043,55	1401,00
YGR054W	--	1348,02	1586,72	YGR128C	+2	772,61	1554,84
YGR055W	+3	892,02	2645,89	YGR129W	--	906,17	1327,96
YGR056W	--	817,99	685,55	YGR130C	+1,6	1670,90	2750,30
YGR057C	--	635,86	500,72	YGR131W	--	617,13	684,10
YGR058W	-1,6	874,70	554,76	YGR132C	--	3685,75	3029,11
YGR059W	+3,1	102,66	321,26	YGR133W	+3,9	467,66	1825,39
YGR060W	+818,9	89,29	818,85	YGR134W	+2,1	184,57	391,58
YGR061C	+1359,9	1,00	1359,94	YGR135W	-1,7	13910,86	8367,74
YGR062C	+2,7	527,45	1440,48	YGR136W	--	4732,04	6389,32
YGR063C	--	3125,76	3189,16	YGR137W	--	7177,92	7484,37
YGR064W	--	1870,67	1797,28	YGR138C	--	2249,81	3049,53

ORF	Faktor +/-	Norm. Signalintensität		ORF	Faktor +/-	Norm. Signalintensität	
	T73/MCY730	MCY730	T73		T73/MCY730	MCY730	T73
YGR139W	--	1222,32	1489,02	YGR213c	+3	435,49	1322,13
YGR140W	-1,9	7465,53	3921,56	YGR214W	--	18179,80	18980,05
YGR141W	+968,5	47,33	968,51	YGR215W	--	1643,74	2394,68
YGR142W	--	7790,03	7916,56	YGR216C	+2,1	833,93	1757,26
YGR143W	+140,3	11,70	433,98	YGR217W	--	1768,54	1567,44
YGR144W	+5,2	115,64	602,30	YGR218W	+1,9	249,25	465,12
YGR145W	--	2543,51	3182,15	YGR219W	--	3118,66	4295,91
YGR146C	--	1434,54	2117,07	YGR220C	--	2787,63	4163,91
YGR147C	--	2277,67	2638,79	YGR221C	+2,9	328,83	957,82
YGR148C	+1,9	124620,92	234360,92	YGR222W	+1,6	1092,83	1772,17
YGR149W	-2	595,71	298,39	YGR223C	+2	517,57	1054,40
YGR150C	--	6716,50	7088,97	YGR224W	+4,4	221,31	978,65
YGR151C	--	1648,99	2045,53	YGR225W	+1,8	680,72	1234,44
YGR152C	--	2230,74	2408,25	YGR226C	+5,6	147,63	828,71
YGR153W	--	1469,19	1115,31	YGR227W	+2	642,09	1287,27
YGR154C	+599,2	1,00	599,22	YGR228W	+1,6	2836,76	4411,52
YGR155W	+1,9	1466,50	2752,78	YGR229C	--	891,82	1098,31
YGR156W	--	658,38	874,05	YGR230W	--	1372,97	1157,11
YGR157W	--	435,20	482,97	YGR231C	--	2278,89	2647,10
YGR158C	--	2745,05	3060,39	YGR232W	+1,8	1016,77	1871,76
YGR159C	--	19178,59	23271,22	YGR233C	--	657,12	685,50
YGR160W	--	4341,89	6511,87	YGR234W	-10,1	18264,74	1800,72
YGR161C	--	1908,97	1302,66	YGR235C	--	1849,18	1791,60
YGR162W	--	1002,97	1184,26	YGR236C	+3,9	209,62	825,73
YGR163W	--	2179,43	1736,35	YGR237C	+4,5	217,75	970,59
YGR164W	--	607,44	777,07	YGR238C	+8,3	137,23	1142,53
YGR165W	--	1749,85	1848,15	YGR239C	+2,5	417,39	1025,57
YGR166W	--	767,38	587,45	YGR240C	+1,6	1140,30	1800,67
YGR167W	-1,7	13960,00	8188,38	YGR241C	+2,7	462,19	1260,57
YGR168C	-6,2	1254,73	201,49	YGR242W	+1,9	545,27	1018,64
YGR169C	--	4451,96	3133,06	YGR243W	+7,3	124,94	911,35
YGR170W	--	727,64	501,08	YGR244C	-1,7	3942,54	2355,48
YGR171C	--	1157,58	953,31	YGR245C	--	1486,99	1731,64
YGR172C	--	2624,41	1918,87	YGR246C	+1,6	583,59	914,40
YGR173W	--	3792,13	2641,76	YGR247W	+48,6	22,10	312,64
YGR174C	-1,6	3887,60	2480,51	YGR248W	--	829,01	974,74
YGR175C	--	6052,16	7473,59	YGR249W	+2,9	431,97	1266,36
YGR176W	--	2067,28	3000,23	YGR250C	-1,8	536,33	290,22
YGR177C	-1,7	1005,90	607,90	YGR251W	-1,8	2055,87	1138,53
YGR178C	-1,6	2390,55	1479,17	YGR252W	--	957,20	659,30
YGR179C	-1,6	2057,98	1275,36	YGR253C	--	3914,18	5706,06
YGR180C	--	3010,13	4402,01	YGR254W	+2,4	32892,55	79964,44
YGR181W	--	34662,33	23203,78	YGR255C	--	359,63	513,47
YGR182C	--	7127,41	6403,41	YGR256W	+4,4	58,37	257,87
YGR183C	-1,6	9163,78	5709,59	YGR257C	--	674,21	807,55
YGR184C	-1,6	884,16	557,58	YGR258C	+1,9	624,40	1207,25
YGR185C	-2,3	12241,55	5419,07	YGR259C	+3,6	149,65	540,23
YGR186W	--	7302,18	7514,94	YGR260W	--	365,69	540,24
YGR187C	-1,6	3489,61	2243,36	YGR261C	--	426,26	391,24
YGR188C	--	11801,99	11015,80	YGR262C	--	1750,66	1937,11
YGR189C	-1,9	7746,18	4125,76	YGR263C	--	1408,57	1164,75
YGR190C	--	930,19	1222,82	YGR264C	-1,7	2290,74	1379,21
YGR191W	--	1212,30	1214,61	YGR265W	-2,6	8010,16	3130,25
YGR192C	-1,6	1038528,66	648915,15	YGR266W	+1,5	413,08	634,23
YGR193C	-2,2	3285,80	1481,09	YGR267C	--	5159,79	3510,81
YGR194C	-4,1	1391,14	338,88	YGR268C	-2,8	2051,34	741,71
YGR195W	--	4832,45	3507,60	YGR269W	--	540,47	376,23
YGR196C	-14	1231,16	88,09	YGR270W	-1,5	5080,42	3323,41
YGR197C	-10	1151,78	115,26	YGR271W	--	596,79	782,31
YGR198W	-2,2	2408,19	1078,32	YGR272C	--	1413,81	1430,86
YGR199W	-1,6	1475,41	918,47	YGR273C	--	900,40	940,46
YGR200C	-3,1	1737,25	565,70	YGR274C	-2,7	903,01	340,67
YGR201C	-2,4	2174,40	900,92	YGR275W	-1,7	5400,65	3207,51
YGR202C	--	3686,11	2828,24	YGR276C	-1,8	2071,41	1134,08
YGR203W	--	3921,80	3723,54	YGR277C	--	2082,05	1451,80
YGR204W	--	2285,21	2165,42	YGR278W	--	1745,78	1366,05
YGR205W	+4,6	322,42	1486,14	YGR279C	-3,3	11311,32	3394,75
YGR206W	--	1041,60	1203,19	YGR280C	-2,5	9224,98	3703,40
YGR207C	--	3059,00	3071,57	YGR281W	-1,8	2617,78	1472,31
YGR208W	+2,4	934,68	2196,61	YGR282C	--	17715,98	11841,65
YGR209C	--	24028,67	19296,15	YGR283C	--	2115,04	2372,36
YGR210C	--	1913,43	2395,11	YGR284C	-2,3	1179,01	515,22
YGR211W	--	1483,76	1943,89	YGR285C	--	17878,85	14390,75
YGR212W	+1,9	778,25	1454,49	YGR286C	--	1526,49	1117,85



ORF	Faktor +/-	Norm. Signalintensität		ORF	Faktor +/-	Norm. Signalintensität	
	T73/MCY730	MCY730	T73		T73/MCY730	MCY730	T73
YGR287C	-1,8	1169,80	663,09	YHR015W	-2,4	1075,27	453,42
YGR288W	-9	2506,86	278,17	YHR016C	-1,9	772,66	417,63
YGR289C	-1,8	1044,45	588,66	YHR017W	--	2148,29	1459,70
YGR290W	-1,8	1619,28	908,63	YHR018C	-3,6	7829,88	2147,50
YGR291C	--	1915,09	2076,54	YHR019C	-1,6	23235,39	14819,12
YGR292W	--	806,40	577,04	YHR020W	-2,8	4040,96	1425,01
YGR293C	-5,5	2406,73	437,70	YHR021C	--	18294,70	19277,35
YGR294W	-2,2	2651,13	1203,31	YHR022C	-1,5	2066,90	1364,20
YGR295C	-2,3	3238,32	1403,03	YHR023W	-4,6	765,75	167,83
YGR296W	--	1225,94	1207,19	YHR024C	-1,5	1949,99	1281,55
YHL001W	--	24625,34	29554,52	YHR025W	--	8074,64	6120,57
YHL002W	--	2477,85	2249,39	YHR026W	-1,8	6852,21	3832,99
YHL003C	--	1275,58	1164,88	YHR027C	--	11977,81	9246,08
YHL004W	--	1143,69	1653,14	YHR028C	-3,1	1019,09	327,16
YHL005C	+3,4	427,01	1472,13	YHR029C	-3,2	2666,07	827,69
YHL006C	--	888,31	1284,23	YHR030C	-2,9	13612,98	4666,22
YHL007C	--	9065,38	7396,42	YHR031C	-3	695,74	229,46
YHL008C	+3,2	316,63	1003,77	YHR032W	-1,6	1242,25	757,98
YHL009C	--	856,03	961,88	YHR033W	--	816,21	657,21
YHL010C	+4,8	148,68	720,69	YHR034C	-2,6	2417,61	928,03
YHL011C	--	962,87	1269,19	YHR035W	-15,3	1088,87	71,09
YHL012W	+19,6	45,47	892,24	YHR036W	+2	352,14	707,38
YHL013C	--	1544,79	1889,05	YHR037W	--	1543,09	1271,26
YHL014C	+2,2	626,76	1363,40	YHR038W	--	1577,02	1343,86
YHL015W	--	72473,28	68642,85	YHR039B	--	17008,63	17891,24
YHL016C	+2	310,98	631,31	YHR039C	+2,4	640,09	1517,68
YHL017W	+2,2	585,19	1302,64	YHR040W	--	968,25	1124,12
YHL018W	+1,9	472,58	887,03	YHR041C	--	2764,25	2392,62
YHL019C	+2	485,90	991,40	YHR042W	+2	1403,70	2782,13
YHL020C	--	2485,59	2715,02	YHR043C	--	1927,08	1853,60
YHL021C	--	602,91	802,63	YHR044C	+1,9	636,53	1220,74
YHL022C	+2,4	774,61	1827,87	YHR045W	+1,7	620,13	1051,83
YHL023C	--	1625,76	1184,12	YHR046C	--	1099,35	858,34
YHL024W	+2,8	411,99	1159,23	YHR047C	+4,7	302,60	1417,43
YHL025W	--	3186,62	3090,23	YHR048W	--	1374,26	1890,97
YHL026C	+2,3	826,85	1882,78	YHR049W	+1,6	2416,84	3778,88
YHL027W	+554,4	1,00	554,40	YHR050W	--	1428,74	1805,93
YHL028W	+3	303,02	906,86	YHR051W	--	2534,04	3180,04
YHL029C	+8,6	149,45	1282,11	YHR052W	--	1099,11	1614,45
YHL030W	--	7868,27	7687,43	YHR053C	-7	36367,39	5209,97
YHL031C	--	2666,18	1924,89	YHR054C	+3,5	360,70	1264,12
YHL032C	--	905,39	752,61	YHR055C	-7,8	39818,48	5096,25
YHL033C	+1,8	41602,03	74133,19	YHR056C	--	2008,27	1915,29
YHL034C	--	9229,03	8154,42	YHR057C	-1,6	4084,92	2622,06
YHL035C	--	3080,15	2533,87	YHR058C	+1,6	770,21	1233,59
YHL036W	+5,4	239,72	1289,03	YHR059W	+1,7	974,49	1703,66
YHL037C	+619,4	1,00	619,38	YHR060W	--	2634,98	2545,32
YHL038C	+629,9	1,00	629,89	YHR061C	--	1713,22	2568,76
YHL039W	+1057	7,56	1057,02	YHR062C	--	3023,51	3712,50
YHL040C	--	1955,49	1735,53	YHR063C	--	1308,91	1726,34
YHL041W	--	998,55	1315,84	YHR064C	+32,7	54,69	1787,25
YHL042W	+1,6	638,91	1013,74	YHR065C	--	1293,44	1504,81
YHL043W	--	1093,74	1003,57	YHR066W	+1,7	992,04	1672,79
YHL044W	+776,1	7,53	776,12	YHR067W	+2,1	531,17	1112,26
YHL045W	--	669,40	519,95	YHR068W	--	12602,13	11191,48
YHL046C	-1,8	2700,89	1494,51	YHR069C	--	1526,40	1224,75
YHL047C	--	570,39	510,03	YHR070W	--	820,73	909,13
YHL048W	--	975,49	1166,45	YHR071W	-1,9	3954,53	2110,23
YHL049C	--	840,01	903,83	YHR072W	+1,8	76,92	142,15
YHL050C	-2,1	2995,21	1449,94	YHR073W	-1,7	3440,80	2083,20
YHR001W	--	1379,49	1241,69	YHR074W	--	1401,81	1428,14
YHR002W	+2,7	537,80	1467,67	YHR075C	+5,2	117,46	603,04
YHR003C	-3,7	4935,62	1329,94	YHR076W	+2,9	348,72	998,74
YHR004C	--	943,33	1157,06	YHR077C	--	4779,09	3683,72
YHR005C	-5,5	4764,64	867,44	YHR078W	--	338,82	374,29
YHR006W	-1,9	692,79	372,23	YHR079B	--	410,67	322,46
YHR007C	--	7476,06	8477,50	YHR079C	--	2060,57	1673,74
YHR008C	--	3809,59	4840,71	YHR080C	-2,7	11674,06	4351,69
YHR009C	--	1356,78	1578,48	YHR081W	--	11918,84	12838,23
YHR010W	--	51279,72	60175,25	YHR082C	--	1075,28	1070,90
YHR011W	--	2282,80	1649,82	YHR083W	--	2506,85	2935,90
YHR012W	--	3725,25	2662,69	YHR084W	-1,7	285,46	171,43
YHR013C	--	3403,47	2492,83	YHR085W	+82,9	1,00	82,85
YHR014W	-1,9	1659,91	885,17	YHR086W	--	256,95	245,44

ORF	Faktor +/-		Norm. Signalintensität		ORF	Faktor +/-		Norm. Signalintensität	
	T73/MCY730	MCY730	T73			T73/MCY730	MCY730	T73	
YHR087W	--	1423,00	1572,71		YHR160C	-1,6	1560,08	948,12	
YHR088W	--	1255,61	1589,02		YHR161C	+1,5	4183,07	6467,36	
YHR089C	--	11221,14	11965,36		YHR162W	--	6121,18	8769,36	
YHR090C	-1,5	1171,55	779,67		YHR163W	+1,6	3127,10	5102,32	
YHR091C	--	3977,33	3840,02		YHR164C	-1,9	252,79	121,84	
YHR092C	-2,2	1463,84	653,85		YHR165C	+3,6	169,27	606,43	
YHR093W	-1,8	1554,62	853,73		YHR166C	+4,2	144,89	440,86	
YHR094C	--	1787,82	1306,18		YHR167W	+31,7	142,98	442,01	
YHR095W	-1,6	14728,73	9211,34		YHR168W	+468,6	1,03	468,59	
YHR096C	-1,5	1379,54	898,51		YHR169W	--	2198,46	2742,35	
YHR097C	-2,3	1764,43	763,39		YHR170W	--	2393,70	3060,74	
YHR098C	-1,7	1340,14	807,92		YHR171W	+1,8	183,36	330,15	
YHR099W	--	3806,91	4024,72		YHR172W	--	1446,66	2126,33	
YHR100C	--	1459,62	1207,71		YHR173C	--	1817,44	2340,83	
YHR101C	--	775,57	517,47		YHR174W	--	109600,16	156988,35	
YHR102W	-1,7	6873,71	3946,50		YHR175W	--	1671,04	2072,25	
YHR103W	-1,6	8827,40	5496,67		YHR176W	--	301,74	241,09	
YHR104W	-2,3	2810,01	1241,44		YHR177W	+4,3	93,41	397,01	
YHR105W	-1,9	2687,54	1441,27		YHR178W	--	1,00	1,00	
YHR106W	-2,8	6967,68	2445,50		YHR179W	-1,8	9915,10	5598,38	
YHR107C	-1,6	11267,89	6923,23		YHR180W	--	803,05	899,84	
YHR108W	-1,6	6391,85	3987,03		YHR181W	--	3415,95	3858,76	
YHR109W	-2,7	1974,79	722,74		YHR182W	--	611,10	633,88	
YHR110W	--	4937,52	3430,57		YHR183W	--	6668,34	7583,78	
YHR111W	-1,9	4075,27	2167,37		YHR184W	--	1625,37	1150,01	
YHR112C	--	1632,68	1542,77		YHR185C	-3,5	1348,65	381,04	
YHR113W	-1,6	4153,34	2647,53		YHR186C	-2,2	10040,06	4641,33	
YHR114W	-1,5	3935,76	2566,68		YHR187W	-4,3	1109,65	260,99	
YHR115C	-2	5374,44	2657,06		YHR188C	--	2429,99	1673,13	
YHR116W	-5,7	4238,49	741,85		YHR189W	--	655,88	691,35	
YHR117W	-2,2	4794,35	2204,43		YHR190W	--	3432,95	2440,53	
YHR118C	-2,5	5875,94	2374,13		YHR191C	--	1962,04	1314,32	
YHR119W	-2	3497,91	1788,96		YHR192W	-1,7	1860,90	1071,24	
YHR120W	-2,8	2803,52	1017,19		YHR193C	--	28244,96	28812,12	
YHR121W	-2,3	8632,17	3706,19		YHR194W	-1,8	644,05	353,77	
YHR122W	-3,4	5214,46	1540,78		YHR195W	-2,1	1917,20	923,94	
YHR123W	-1,9	5543,68	2910,53		YHR196W	--	2328,31	1723,63	
YHR124W	-2,3	3163,84	1393,98		YHR197W	--	1418,74	1365,68	
YHR125W	-2,6	4933,78	1863,08		YHR198C	--	2021,46	1482,74	
YHR126C	-2,3	2843,41	1217,42		YHR199C	--	3086,31	2354,45	
YHR127W	-1,6	5522,83	3546,91		YHR200W	--	16871,52	12992,83	
YHR128W	--	4209,08	5628,94		YHR201C	-2,5	3762,35	1476,78	
YHR129C	--	662,05	807,08		YHR202W	-1,6	2725,75	1734,79	
YHR130C	--	528,45	458,45		YHR203C	--	96756,25	115233,19	
YHR131C	--	1860,59	2269,14		YHR204W	--	367,39	406,89	
YHR132C	--	1600,07	2242,27		YHR205W	-2,1	1543,56	739,40	
YHR133C	--	4796,11	3380,26		YHR206W	-1,7	1346,30	771,52	
YHR134W	--	988,25	1005,78		YHR207C	--	1276,32	906,18	
YHR135C	--	2983,19	2746,44		YHR208W	-2,2	3094,70	1432,77	
YHR136C	--	1668,19	1450,41		YHR209W	--	7563,21	5842,86	
YHR137W	+3,4	309,06	1064,09		YHR210C	-1,8	1295,50	714,05	
YHR138C	--	1401,78	1375,49		YHR211W	-2,3	3600,21	1559,58	
YHR139C	+3,5	242,22	840,38		YHR212C	-1,6	1503,38	969,39	
YHR140W	--	1044,58	1131,22		YHR213W	-4,4	2426,00	548,79	
YHR141C	--	76656,37	95086,44		YHR214W	-6,2	1915,20	311,00	
YHR142W	--	1869,11	1545,04		YHR215W	-4,4	4740,23	1076,09	
YHR143B	--	3434,39	4030,92		YHR216W	+1,7	4633,01	7848,10	
YHR143W	+1,7	424,37	730,34		YHR217C	--	4430,44	3333,02	
YHR144C	--	567,29	797,63		YHR218W	-2,4	3662,97	1530,40	
YHR145C	-2	2531,44	1293,50		YHR219W	-2,1	9486,12	4549,78	
YHR146W	--	1053,38	1212,75		YIL001W	-1,8	1107,98	627,29	
YHR147C	+2,3	821,65	1890,86		YIL002C	+1,6	660,29	1029,66	
YHR148W	--	1149,08	1283,10		YIL003W	+1,8	1292,13	2281,94	
YHR149C	+17,9	75,74	571,10		YIL004C	-1,6	5268,78	3205,37	
YHR150W	+2,5	574,79	1433,86		YIL005W	+2,7	263,80	712,21	
YHR151C	+4,3	315,26	1061,99		YIL006W	+3,3	465,45	1553,39	
YHR152W	--	4550,45	3093,36		YIL007C	+7,2	185,20	1330,58	
YHR153C	+2,2	412,31	897,89		YIL008W	--	2749,99	2650,30	
YHR154W	+1,6	2534,76	4085,32		YIL009W	--	926,08	1019,76	
YHR155W	+1,9	538,99	1045,43		YIL010W	--	2311,30	1912,39	
YHR156C	+161,1	1,00	161,11		YIL011W	+2,1	1918,38	4082,04	
YHR157W	+512,1	1,00	512,14		YIL012W	+2,6	416,21	1083,39	
YHR158C	--	4363,96	4629,20		YIL013C	+1,9	1313,63	2499,69	
YHR159W	+2,1	361,51	754,46		YIL014W	--	815,43	704,32	

ORF	Faktor +/-	Norm. Signalintensität		ORF	Faktor +/-	Norm. Signalintensität	
	T73/MCY730	MCY730	T73		T73/MCY730	MCY730	T73
YIL015W	-1,6	1373,66	852,74	YIL090W	-1,6	1084,33	686,09
YIL016W	--	4540,25	5072,68	YIL091C	--	1737,76	1745,59
YIL017W	+36,6	16,21	592,89	YIL092W	+1,9	514,47	992,11
YIL018W	--	42573,25	58793,04	YIL093C	+2,3	566,01	1323,38
YIL019W	--	1347,51	1619,94	YIL094C	-2,8	23553,94	8336,29
YIL020C	+2,7	446,43	1193,85	YIL095W	--	3430,16	2877,26
YIL021W	--	3692,79	3774,33	YIL096C	--	1602,79	1972,43
YIL022W	--	2816,18	3975,61	YIL097W	+3,4	522,46	1754,47
YIL023C	--	1318,36	1537,18	YIL098C	--	2270,08	3103,44
YIL024C	+22,7	143,92	521,82	YIL099W	--	628,41	758,50
YIL025C	+24,9	48,85	765,27	YIL100W	--	557,71	763,71
YIL026C	--	64091,44	52205,69	YIL101C	+2,6	339,07	868,41
YIL027C	+2,1	598,29	1257,63	YIL102C	--	1420,87	1001,43
YIL028W	+2,8	334,04	935,68	YIL103W	--	1325,40	1872,17
YIL029C	+3,7	384,20	1411,82	YIL104C	--	1755,84	1692,78
YIL030C	--	4087,72	4315,88	YIL105C	--	7203,72	6519,00
YIL031W	--	2858,73	2967,13	YIL106W	--	1873,69	1929,86
YIL032C	-1,9	2637,10	1406,12	YIL107C	+19,1	51,33	627,24
YIL033C	--	3811,86	3391,52	YIL108W	+1,8	524,28	945,58
YIL034C	--	3099,11	3453,72	YIL109C	+1,5	895,84	1387,64
YIL035C	--	1695,67	2340,35	YIL110W	--	1209,45	1784,00
YIL036W	+2,6	573,43	1473,67	YIL111W	--	1479,84	1834,63
YIL037C	--	1542,50	1091,86	YIL112W	+1,8	364,39	669,90
YIL038C	+1,8	465,10	827,61	YIL113W	+2,8	444,57	1252,00
YIL039W	--	1111,72	880,75	YIL114C	+1,6	1141,55	1775,41
YIL040W	--	1264,95	1792,80	YIL115C	+1,6	2023,85	3268,41
YIL041W	--	10324,90	7215,29	YIL116W	+3,5	999,35	3527,15
YIL042C	+23,3	147,95	608,59	YIL117C	-3,3	4061,18	1247,37
YIL043C	--	6813,07	5373,73	YIL118W	+2,6	334,18	878,96
YIL044C	+2,3	787,13	1782,56	YIL119C	+679,7	48,93	679,73
YIL045W	--	473,15	549,12	YIL120W	--	1812,41	1458,02
YIL046W	--	1103,04	1560,62	YIL121W	+8,1	114,89	924,89
YIL047C	--	1211,75	1036,93	YIL122W	+4,4	257,71	1140,48
YIL048W	--	1830,77	1610,80	YIL123W	-2	7670,72	3818,09
YIL049W	--	690,97	905,25	YIL124W	--	2278,80	2874,71
YIL050W	-1,7	1263,33	724,43	YIL125W	+3,5	370,89	1303,87
YIL051C	-2,9	21835,35	7473,31	YIL126W	--	1522,02	1729,70
YIL052C	--	30719,92	27041,60	YIL127C	--	3340,47	4357,11
YIL053W	--	25479,54	37331,65	YIL128W	--	536,22	592,44
YIL054W	--	818,45	923,37	YIL129C	+2,8	156,76	435,03
YIL055C	-2,3	3663,50	1595,39	YIL130W	-1,7	8454,02	4831,54
YIL056W	+309,2	51,88	309,22	YIL131C	+1,6	959,76	1567,46
YIL057C	--	996,27	1261,07	YIL132C	--	1539,01	2178,32
YIL058W	--	3899,51	2804,46	YIL133C	--	25534,70	30420,92
YIL059C	-2,1	2112,06	1002,52	YIL134W	+5,3	309,70	1645,22
YIL060W	-8,3	6611,15	794,22	YIL135C	+5,2	493,13	2561,19
YIL061C	--	1437,55	1086,73	YIL136W	--	2444,53	2793,74
YIL062C	--	6030,54	5540,59	YIL137C	+4,3	172,01	731,46
YIL063C	--	2671,94	2424,48	YIL138C	--	2954,16	2563,88
YIL064W	--	4734,02	3949,24	YIL139C	+3,8	482,17	1844,99
YIL065C	-2,8	129,66	46,47	YIL140W	+1,5	520,62	786,25
YIL066C	-7	261,22	37,26	YIL141W	--	560,51	571,83
YIL067C	-3,5	882,40	253,93	YIL142W	--	5738,36	6728,08
YIL068C	--	8194,20	6937,85	YIL143C	+149,2	1,00	149,16
YIL069C	--	65747,73	57035,73	YIL144W	--	748,87	884,28
YIL070C	--	1505,29	1508,10	YIL145C	--	2853,40	2688,21
YIL071W	-1,6	1476,29	916,22	YIL146C	+1,5	568,60	867,94
YIL072W	--	538,81	511,72	YIL147C	-1,9	3655,01	1945,68
YIL073C	-1,5	797,40	528,64	YIL148W	--	30604,58	35027,71
YIL074W	--	3716,10	4097,12	YIL149C	--	10343,16	7252,24
YIL075C	--	1413,62	1209,11	YIL150C	-3,2	3682,37	1144,22
YIL076W	-1,5	6038,95	3924,06	YIL151C	-2,1	5880,50	2859,99
YIL077C	-1,6	1235,76	765,81	YIL152W	--	3068,22	2282,14
YIL078W	-1,6	6471,78	4094,96	YIL153W	--	1356,62	1167,04
YIL079C	--	3674,32	4191,36	YIL154C	-2,1	2985,22	1422,19
YIL080W	-5,5	2505,39	455,49	YIL155C	--	987,33	1109,47
YIL082W	-3	2695,01	883,91	YIL156W	-32,8	385,84	11,76
YIL083C	-1,6	1595,76	1011,50	YIL157C	-1,8	2516,46	1429,71
YIL084C	-6	2127,02	354,13	YIL158W	--	3438,92	3660,22
YIL085C	-2,3	3756,38	1600,61	YIL159W	-2,1	5842,55	2791,19
YIL086C	-2,3	1861,93	803,58	YIL160C	--	2339,32	2116,59
YIL087C	--	2537,64	1974,59	YIL161W	-1,8	4457,63	2502,45
YIL088C	-1,9	3800,75	2018,56	YIL162W	-1,7	1193,79	711,60
YIL089W	-2,5	1684,44	665,39	YIL163C	--	1993,12	1416,98

ORF	Faktor +/-		Norm. Signalintensität		ORF	Faktor +/-		Norm. Signalintensität	
	T73/MCY730	MCY730	T73			T73/MCY730	MCY730	T73	
YIL164C	-4,3	2707,80	634,37		YJL017W	+2,8	367,57	1022,73	
YIL165C	-2,5	1672,03	674,81		YJL018W	+1,6	1224,52	1956,50	
YIL166C	--	612,06	474,57		YJL019W	+1,5	976,20	1489,00	
YIL167W	-3,4	2324,06	682,72		YJL020C	--	1281,62	1405,50	
YIL168W	--	941,71	913,47		YJL021C	--	2791,55	2485,36	
YIL169C	--	5913,51	7203,08		YJL022W	+3,9	280,83	1092,22	
YIL170W	-3,3	1822,19	559,84		YJL023C	--	1176,51	1477,09	
YIL171W	-3,1	1978,24	639,68		YJL024C	--	1688,33	1733,11	
YIL172C	-1,5	1657,41	1076,21		YJL025W	--	1023,95	1054,69	
YIL173W	-2,9	6268,15	2163,77		YJL026W	--	12242,80	15512,19	
YIL174W	-1,6	1931,36	1226,65		YJL027C	--	1348,66	1064,31	
YIL175W	-1,9	1636,19	879,15		YJL028W	--	4387,39	4253,00	
YIL176C	-2,8	2133,74	775,50		YJL029C	+1,6	773,31	1253,43	
YIL177C	-2,5	1706,31	683,70		YJL030W	--	1170,31	1484,31	
YIR001C	-2,7	1912,28	712,29		YJL031C	+1,5	1519,52	2344,61	
YIR002C	--	1239,91	856,61		YJL032W	+1,6	1509,29	2367,99	
YIR003W	--	2679,32	1948,31		YJL033W	+1,7	1414,70	2382,56	
YIR004W	-2,7	5185,09	1916,25		YJL034W	--	16315,40	17880,94	
YIR005W	-1,7	2153,70	1276,67		YJL035C	--	1609,16	2336,62	
YIR006C	--	645,90	519,14		YJL036W	-2,3	3262,74	1415,01	
YIR007W	--	1163,17	1001,11		YJL037W	+1,6	880,22	1376,96	
YIR008C	--	3470,09	4828,36		YJL038C	-1,7	1516,87	874,34	
YIR009W	--	2118,39	2205,65		YJL039C	-1,5	3960,03	2633,86	
YIR010W	+1,6	4457,11	7332,26		YJL041W	--	1722,92	1404,17	
YIR011C	--	2695,49	3091,32		YJL042W	+4,6	166,06	288,10	
YIR012W	--	8723,94	8198,16		YJL043W	+1,7	562,58	982,73	
YIR013C	+2,6	438,56	1151,83		YJL044C	--	1719,12	1779,55	
YIR014W	--	2324,21	1850,81		YJL045W	+1043,4	1,00	1043,36	
YIR015W	+1,8	887,51	1588,09		YJL046W	--	1535,59	1207,67	
YIR016W	+1,5	2734,27	4183,63		YJL047C	--	894,89	614,73	
YIR017C	--	1422,74	1566,51		YJL048C	-2	2991,79	1524,36	
YIR018W	--	1831,90	2037,79		YJL049W	--	1636,29	1475,93	
YIR019C	+2,3	1066,99	2443,34		YJL050W	--	864,85	1233,78	
YIR020C	--	1120,64	1520,01		YJL051W	--	875,80	679,38	
YIR021W	--	1279,91	1564,85		YJL052W	--	437289,61	438074,65	
YIR022W	--	5462,23	3912,86		YJL053W	--	1436,14	1648,66	
YIR023W	+1,7	1124,89	1936,43		YJL054W	+2,6	295,45	767,98	
YIR024C	--	1110,65	1510,59		YJL055W	--	6199,58	4150,24	
YIR025W	--	1973,11	1808,35		YJL056C	+4,3	49,81	213,96	
YIR026C	--	3230,71	2953,87		YJL057C	--	693,31	808,27	
YIR027C	+1,6	437,06	713,56		YJL058C	--	729,65	887,22	
YIR028W	--	616,89	829,47		YJL059W	-1,6	1244,03	766,82	
YIR029W	+2,3	454,78	1058,79		YJL060W	-1,8	3121,73	1764,90	
YIR030C	-1,7	629,83	376,69		YJL061W	-1,6	2285,60	1410,61	
YIR031C	--	1122,81	1497,71		YJL062W	-2,2	1150,06	530,94	
YIR032C	--	657,88	554,25		YJL063C	--	4210,08	3840,98	
YIR033W	--	831,17	1025,25		YJL064W	-1,6	2478,49	1534,89	
YIR034C	-4,4	5588,18	1266,15		YJL065C	-2,2	7391,74	3337,45	
YIR035C	--	3120,68	3577,60		YJL066C	-2,1	3907,99	1861,14	
YIR036C	--	1463,84	1668,86		YJL067W	--	3149,53	2404,22	
YIR037W	--	3830,52	3602,11		YJL068C	-2	2985,68	1470,48	
YIR038C	-1,9	4435,18	2299,88		YJL069C	-1,8	2887,31	1567,98	
YIR039C	--	992,77	665,48		YJL070C	-1,8	844,36	463,70	
YIR040C	-1,6	1491,61	940,72		YJL071W	-3	856,65	285,50	
YIR041W	--	1293,55	1114,34		YJL072C	-1,9	2520,17	1312,73	
YIR042C	-1,6	1229,07	778,21		YJL073W	-1,8	2699,86	1522,45	
YIR043C	-1,6	5096,54	3253,86		YJL074C	-2	996,68	488,31	
YIR044C	--	979,96	836,33		YJL075C	--	5654,94	5231,13	
YJL001W	+1,8	7944,39	13927,75		YJL076W	-1,9	8302,88	4345,16	
YJL002C	+1,9	1081,35	2081,67		YJL077C	-5,1	3271,28	639,90	
YJL003W	+1,9	1142,19	2117,48		YJL078C	-4,6	1591,03	343,83	
YJL004C	-1,6	1602,63	978,93		YJL079C	-2,1	4196,53	1958,15	
YJL005W	--	3455,70	2732,46		YJL080C	--	1551,85	1387,02	
YJL006C	--	772,66	889,69		YJL081C	-1,9	2450,56	1275,05	
YJL007C	--	2147,03	1600,94		YJL082W	-4,1	1157,88	282,55	
YJL008C	--	3320,92	3057,06		YJL083W	-2,4	1481,03	617,16	
YJL009W	--	8626,61	8155,03		YJL084C	--	1323,37	969,80	
YJL010C	+2,1	925,56	1979,21		YJL085W	--	1569,61	1617,72	
YJL011C	--	1747,52	2260,74		YJL086C	-2,4	1857,76	763,66	
YJL012C	--	2116,14	2075,88		YJL087C	-2	4440,99	2236,19	
YJL013C	+1,9	1253,26	2378,76		YJL088W	-2,3	4139,19	1792,85	
YJL014W	--	3884,42	5047,39		YJL089W	-3	2829,17	934,33	
YJL015C	-1,9	1266,14	678,80		YJL090C	-3,4	1659,18	493,03	
YJL016W	--	1027,14	1450,82		YJL091C	-20,2	1309,80	64,95	

ORF	Faktor +/-	Norm. Signalintensität		ORF	Faktor +/-	Norm. Signalintensität	
	T73/MCY730	MCY730	T73		T73/MCY730	MCY730	T73
YJL092W	-2,1	5649,42	2723,57	YJL166W	--	7891,77	9098,57
YJL093C	-2,3	5035,80	2200,77	YJL167W	-1,6	25752,89	16207,39
YJL094C	-3,2	1542,93	488,33	YJL168C	-2,2	2905,85	1343,89
YJL095W	-2	4835,09	2399,49	YJL169W	--	3869,43	4055,04
YJL096W	--	4120,45	3043,12	YJL170C	-2	1538,68	783,43
YJL097W	-1,5	6797,78	4432,21	YJL171C	--	7512,43	5200,52
YJL098W	-1,9	1665,02	899,99	YJL172W	--	42923,26	36030,88
YJL099W	--	935,43	1299,09	YJL173C	-2,3	4335,11	1853,08
YJL100W	+1,7	828,88	1414,27	YJL174W	--	1824,47	1351,06
YJL101C	+1,6	1389,54	2286,72	YJL175W	-2,2	673,10	299,23
YJL102W	+2,2	224,83	499,99	YJL176C	--	1716,51	1479,81
YJL103C	+2	741,69	1500,66	YJL177W	--	17660,15	20639,40
YJL104W	--	5045,70	4648,55	YJL178C	--	1534,43	1522,16
YJL105W	--	1329,91	1086,17	YJL179W	-1,5	1468,00	972,01
YJL106W	--	667,25	864,58	YJL180C	-1,9	2131,50	1126,89
YJL107C	--	1256,49	1429,38	YJL181W	--	3289,71	2553,66
YJL108C	+2,3	686,39	1576,64	YJL182C	-3,8	3860,15	1013,18
YJL109C	+1,8	923,32	1635,20	YJL183W	--	1557,30	1198,80
YJL110C	--	1587,49	2206,98	YJL184W	-1,7	4147,53	2401,38
YJL111W	+1,7	1637,89	2786,72	YJL185C	-2,7	3270,86	1211,63
YJL112W	+1,7	796,98	1358,78	YJL186W	-5,2	1322,67	255,91
YJL113W	+1,5	580,72	895,95	YJL187C	-6,7	2922,47	433,39
YJL114W	--	1538,25	1721,00	YJL188C	--	38869,49	54033,38
YJL115W	--	7438,07	8030,93	YJL189W	-1,5	16047,56	10564,40
YJL116C	--	1755,87	1936,00	YJL190C	--	22115,90	19908,31
YJL117W	-1,8	6991,19	3852,29	YJL191W	--	4319,51	5591,94
YJL118W	+2,8	317,62	901,30	YJL192C	--	5548,40	6853,13
YJL119C	-1,9	3778,98	1988,69	YJL193W	-2,2	821,76	379,52
YJL120W	+3,7	413,01	1546,52	YJL194W	--	1501,24	1454,23
YJL121C	--	6059,24	7402,65	YJL195C	--	3734,50	3304,01
YJL122W	+2,1	1829,62	3899,48	YJL196C	--	3461,96	3199,87
YJL123C	+616,2	1,00	616,18	YJL197W	--	4645,95	5092,61
YJL124C	--	3574,18	4690,97	YJL198W	--	922,78	1127,69
YJL125C	+1,6	647,17	1018,37	YJL199C	--	4597,71	4328,19
YJL126W	+2,3	471,10	1081,00	YJL200C	-3,1	3843,52	1248,25
YJL127C	+1,5	824,44	1275,31	YJL201W	+1,6	692,00	1114,40
YJL128C	+2,2	1114,75	2419,39	YJL202C	--	2409,93	2312,42
YJL129C	--	7933,27	6857,94	YJL203W	--	1483,66	1672,82
YJL130C	+5,7	156,69	894,26	YJL204C	+1,6	592,95	964,44
YJL131C	--	2254,90	2642,13	YJL206C	-2,4	7388,76	3135,10
YJL132W	+1,8	506,83	934,83	YJL206C	+1,6	718,92	1123,38
YJL133W	--	2460,65	3244,87	YJL207C	--	848,80	966,09
YJL134W	--	2489,09	3135,10	YJL208C	+1,9	2440,47	4629,17
YJL135W	+1,9	222,46	414,71	YJL209W	+1,6	801,57	1287,01
YJL136C	+1,6	14380,46	22897,74	YJL210W	--	5185,05	4047,31
YJL137C	--	1191,23	1336,76	YJL211C	+3,8	426,08	1602,63
YJL138C	--	9830,45	13784,69	YJL212C	--	1017,41	1191,77
YJL139C	+2,3	334,93	774,83	YJL213W	--	1832,20	1762,98
YJL140W	--	1748,30	1762,48	YJL214W	+3,5	317,43	1119,30
YJL141C	--	469,71	437,83	YJL215C	--	1987,72	1600,81
YJL142C	+1356,1	1,00	1356,14	YJL216C	+1,8	468,20	857,25
YJL143W	--	2650,47	2791,17	YJL217W	-5,4	14572,10	2686,68
YJL144W	-2	1252,33	631,91	YJL218W	--	1165,84	905,44
YJL145W	--	1713,98	1843,07	YJL219W	+1,5	956,91	1461,25
YJL146W	--	2893,17	3018,72	YJL220W	--	808,19	930,02
YJL147C	+1,6	1692,65	2645,61	YJL221C	--	12239,29	13310,17
YJL148W	--	2606,14	3469,63	YJL222W	-1,5	5492,78	3574,69
YJL149W	--	859,40	594,53	YJL223C	-1,6	3679,18	2246,24
YJL150W	--	956,48	718,29	YJL225C	-1,5	3734,01	2434,75
YJL151C	-1,6	13743,12	8380,72	YJR001W	+1,8	2026,73	3659,77
YJL152W	--	2142,62	2560,48	YJR002W	--	6127,45	8072,38
YJL153C	+2,3	444,56	1017,84	YJR003C	--	2341,22	3128,07
YJL154C	+1,6	326,57	523,43	YJR004C	--	658,56	907,13
YJL155C	-1,8	2516,11	1396,29	YJR005W	--	1175,99	1056,84
YJL156C	-1,6	1236,49	781,19	YJR006W	--	1534,23	2001,48
YJL157C	-6,1	29549,83	4851,35	YJR007W	+1,7	6119,82	10287,02
YJL158C	-2	9947,09	5002,63	YJR008W	-1,6	1984,48	1220,29
YJL159W	-1,6	5524,66	3466,82	YJR009C	--	886665,10	900110,16
YJL160C	--	759,46	723,21	YJR010C	+2,9	1035,36	2955,14
YJL161W	--	3883,38	4475,11	YJR010W	+2,1	1055,90	2169,37
YJL162C	--	3865,75	3378,77	YJR011C	--	1964,92	1812,96
YJL163C	-2,7	1073,79	404,54	YJR012C	--	1374,88	1471,70
YJL164C	--	2896,42	1989,90	YJR013W	+1,6	957,19	1549,47
YJL165C	--	1589,34	1142,79	YJR014W	--	9935,83	9575,26



ORF	Faktor +/-	Norm. Signalintensität		ORF	Faktor +/-	Norm. Signalintensität	
	T73/MCY730	MCY730	T73		T73/MCY730	MCY730	T73
YJR015W	--	1637,75	1234,64	YJR090C	--	5708,20	5670,54
YJR016C	-2	3942,72	1937,60	YJR091C	--	2022,39	2529,64
YJR017C	--	7418,91	7000,75	YJR092W	--	3199,80	3198,52
YJR018W	--	4969,23	4841,77	YJR093C	--	3278,76	3345,07
YJR019C	--	447,67	332,62	YJR094C	--	1788,26	1801,21
YJR020W	-1,7	649,82	391,54	YJR095W	+478,2	2,01	478,18
YJR021C	--	1134,49	1069,88	YJR096W	+6,6	105,56	697,15
YJR022W	--	1537,05	1128,55	YJR097W	--	844,05	1140,64
YJR023C	--	2112,33	1659,22	YJR098C	+4,6	186,73	858,50
YJR024C	--	4091,97	4031,71	YJR099W	--	1076,38	1088,18
YJR025C	-5,9	6979,81	1174,78	YJR100C	--	1412,31	1583,90
YJR026W	-5,4	31505,17	5844,67	YJR101W	--	742,19	524,55
YJR027W	-70,4	1103063,60	15674,86	YJR102C	--	460,40	474,77
YJR028W	-7,9	37679,33	4763,72	YJR103W	--	410,80	383,57
YJR029W	-38	695252,05	18295,82	YJR104C	-2,2	82018,95	37441,40
YJR030C	+2,2	587,08	1294,29	YJR105W	--	13262,97	9138,44
YJR031C	--	1534,81	1199,57	YJR106W	+1,8	713,55	1271,54
YJR032W	--	848,92	984,79	YJR107W	--	1042,29	885,66
YJR033C	-1,7	4589,18	2737,03	YJR108W	+3,4	216,09	739,41
YJR034W	-1,7	1584,31	921,36	YJR109C	-3,3	3119,61	937,24
YJR035W	-3,1	3397,25	1110,53	YJR110W	--	415,35	309,98
YJR036C	--	4813,51	3364,98	YJR111C	--	1986,91	1760,16
YJR037W	--	828,78	596,92	YJR112W	-2,2	15461,49	6913,17
YJR038C	-3,6	1331,93	374,46	YJR113C	--	3730,20	2744,79
YJR039W	--	2593,45	2494,80	YJR114W	--	794,96	867,90
YJR040W	--	1343,22	1231,80	YJR115W	--	6736,50	9679,04
YJR041C	--	5059,44	5464,92	YJR116W	-1,8	1771,42	1011,85
YJR042W	--	685,39	732,15	YJR117W	+1,6	408,72	635,08
YJR043C	-1,7	3515,44	2013,87	YJR118C	+1,6	719,47	1145,76
YJR044C	-2,8	2965,43	1066,89	YJR119C	+273	1,00	273,00
YJR045C	--	7414,06	5918,93	YJR120W	--	636,62	524,87
YJR046W	--	1546,42	1854,37	YJR121W	--	25055,37	24713,88
YJR047C	--	29949,05	24898,62	YJR122W	--	1089,88	796,23
YJR048W	--	28793,17	27526,77	YJR123W	--	38419,73	43444,62
YJR049C	-1,7	2219,79	1271,93	YJR124C	-4,3	2345,03	541,50
YJR050W	--	1821,90	1264,65	YJR125C	-2	24553,69	12372,54
YJR051W	-1,5	2012,63	1307,81	YJR126C	--	3005,11	2628,44
YJR052W	-3,5	2565,00	730,72	YJR127C	-2,5	5655,62	2282,06
YJR053W	-1,7	19365,36	11622,36	YJR128W	--	1890,31	1409,22
YJR054W	-1,7	2777,42	1622,04	YJR129C	--	2019,04	1628,13
YJR055W	-1,6	1214,45	753,89	YJR130C	-2,6	691,36	264,25
YJR056C	-3,5	3393,07	974,74	YJR131W	-2,2	3527,03	1624,52
YJR057W	-2,3	3205,52	1378,85	YJR132W	--	3637,09	3004,70
YJR058C	--	15587,54	15270,95	YJR133W	--	3171,63	2417,63
YJR059W	--	2228,41	1601,72	YJR134C	-1,7	923,32	557,32
YJR060W	-2,5	2143,49	857,34	YJR135C	-1,5	2019,04	1342,09
YJR061W	-1,7	2659,91	1521,09	YJR136C	-2,6	2641,56	1018,29
YJR062C	-2,2	4034,12	1847,40	YJR137C	-1,6	3959,61	2400,70
YJR063W	--	6068,01	5082,47	YJR138W	-1,8	529,19	299,01
YJR064W	--	4227,97	5320,92	YJR139C	--	5586,04	3907,46
YJR065C	--	4574,60	4660,83	YJR140C	-2,9	18197,57	6268,73
YJR066W	+3,6	183,68	660,51	YJR141W	-2,9	1179,34	401,68
YJR067C	--	2418,76	2847,50	YJR142W	-1,5	1386,81	899,51
YJR068W	+1,5	2811,28	4271,34	YJR143C	--	597,47	600,55
YJR069C	--	6116,77	4962,24	YJR144W	-1,6	4454,97	2872,55
YJR070C	--	16027,95	17299,68	YJR145C	+1,7	36017,74	61537,05
YJR071W	--	3086,07	3383,75	YJR146W	-1,9	1937,15	1029,03
YJR072C	--	6050,51	4264,45	YJR147W	-2,6	1983,89	774,22
YJR073C	-1,7	3309,60	1973,16	YJR148W	-2,4	13146,35	5538,54
YJR074W	--	2018,46	2496,02	YJR149W	-2,3	1759,46	779,32
YJR075W	--	1272,16	1181,23	YJR150C	-1,6	2865,95	1758,93
YJR076C	--	2943,03	3884,93	YJR151C	-2,2	30355,72	13787,59
YJR077C	--	6649,92	7566,18	YJR152W	-4,7	2731,25	583,22
YJR078W	--	1156,64	1081,25	YJR153W	-3,1	1453,02	469,41
YJR079W	--	6145,92	5861,45	YJR154W	-2,5	1465,85	595,76
YJR080C	+1,5	1183,86	1834,01	YJR155W	-2,4	3985,45	1667,51
YJR082C	--	2790,97	2378,56	YJR156C	-1,7	2190,85	1257,88
YJR083C	--	1649,67	2325,05	YJR157W	-2,5	2406,10	956,51
YJR084W	--	692,33	1000,64	YJR158W	-4,5	2815,26	624,04
YJR085C	--	2989,88	2777,79	YJR159W	-1,7	3329,35	1921,46
YJR086W	-2,3	5468,00	2374,91	YJR160C	-2251,2	2251,16	1,00
YJR087W	-1,9	4649,04	2454,71	YJR161C	-3,1	2424,61	785,15
YJR088C	--	1723,68	2064,88	YJR162C	-2,2	1646,43	734,93
YJR089W	+1,6	1443,11	2348,91	YKL001C	+1,5	804,30	1236,00

ORF	Faktor +/-		Norm. Signalintensität		ORF	Faktor +/-		Norm. Signalintensität	
	T73/MCY730	MCY730	T73			T73/MCY730	MCY730	T73	
YKL002W	--	3451,77	2699,20		YKL075C	-2,8	2499,37	895,86	
YKL003C	+1,6	1459,56	2344,44		YKL076C	-2,9	3635,38	1272,66	
YKL004W	--	834,74	1058,77		YKL077W	--	1086,09	977,40	
YKL005C	--	4265,27	3106,88		YKL078W	+1,8	330,35	578,24	
YKL006B	+2,5	438,79	1104,91		YKL079W	-1,6	1534,28	957,72	
YKL006W	--	152147,03	153509,13		YKL080W	-1,9	2241,35	1170,34	
YKL007W	--	1113,90	1131,76		YKL081W	--	15873,59	14222,12	
YKL008C	+1,6	637,65	1048,31		YKL082C	--	3707,01	2521,91	
YKL009W	+2,2	592,85	1298,46		YKL083W	-4,9	1520,82	313,35	
YKL010C	--	3384,51	2977,52		YKL084W	-1,6	1207,72	735,10	
YKL011C	--	2064,24	1770,70		YKL085W	-2	5634,72	2828,44	
YKL012W	+1,5	840,07	1294,22		YKL086W	-2,4	2380,40	999,56	
YKL013C	--	2704,51	2466,14		YKL087C	-2,7	2525,68	921,70	
YKL014C	--	739,68	1027,72		YKL088W	-4,8	1778,30	371,70	
YKL015W	-1,5	5187,75	3428,47		YKL089W	-2,4	1975,48	835,90	
YKL016C	--	5227,93	6482,53		YKL090W	--	1019,97	710,17	
YKL017C	+1,5	576,02	874,82		YKL091C	-3,3	3548,93	1085,55	
YKL018W	--	943,55	1243,91		YKL092C	-3,2	3032,36	956,06	
YKL019W	--	1144,21	1494,17		YKL093W	--	2185,71	1719,70	
YKL020C	--	1747,18	2028,53		YKL094W	-1,7	6301,04	3605,49	
YKL021C	+9,7	89,23	779,82		YKL095W	--	2374,88	1677,53	
YKL022C	+2,3	331,76	755,62		YKL096W	--	13439,34	17024,00	
YKL023W	--	2156,69	1493,61		YKL097C	--	8952,05	13262,78	
YKL024C	+1,7	5347,84	8851,90		YKL097W	--	113704,61	134279,65	
YKL025C	--	6024,69	4558,56		YKL098W	+1,8	382,28	701,33	
YKL026C	--	1057,15	912,52		YKL099C	--	5014,19	5989,17	
YKL027W	--	456583,58	478862,55		YKL100C	--	3467,47	4927,48	
YKL028W	+1,6	1454,35	2346,39		YKL101W	--	24617,27	18432,99	
YKL029C	+4,1	1176,48	4870,92		YKL102C	-2,1	6425,11	3086,14	
YKL030W	+1,7	13559,74	23406,02		YKL103C	+1,6	834,12	1334,20	
YKL031W	--	1142,89	1176,57		YKL104C	+2	587,38	1152,41	
YKL032C	--	7486,80	7051,43		YKL105C	--	3382,24	2942,95	
YKL033W	--	3433,27	2595,39		YKL106W	--	790,38	1091,85	
YKL034W	--	1090,61	1331,30		YKL107W	+2,4	224,85	538,77	
YKL035W	--	1213,63	1134,90		YKL108W	--	866,77	891,83	
YKL036C	--	1280,34	909,54		YKL109W	+2,4	443,17	1051,79	
YKL037W	--	1320,87	929,19		YKL110C	--	1286,22	1777,52	
YKL038W	-1,7	19419,98	11366,47		YKL111C	--	1902,41	2197,16	
YKL039W	+2	353,89	722,13		YKL112W	+2,5	543,09	1374,54	
YKL040C	--	1255,91	1252,50		YKL113C	+2,4	349,79	843,43	
YKL041W	--	1754,13	1922,59		YKL114C	+1,7	981,70	1717,63	
YKL042W	--	1130,47	1488,26		YKL115C	+2,1	622,73	1280,28	
YKL043W	--	749,56	623,80		YKL116C	+4,7	338,95	1583,62	
YKL044W	+1,7	746,78	1260,48		YKL117W	--	20190,75	14191,47	
YKL045W	--	1796,06	2281,17		YKL118W	+1,6	487,52	767,13	
YKL046C	-2	2224,74	1100,54		YKL119C	+1,9	577,66	1084,59	
YKL047W	--	3625,22	3626,10		YKL120W	--	2389,07	3061,57	
YKL048C	-1,6	2128,03	1371,65		YKL121W	+25,7	121,73	669,99	
YKL049C	--	3142,83	2593,21		YKL122C	--	5780,28	6361,87	
YKL050C	-2,6	3268,56	1275,80		YKL123W	+1,9	658,83	1272,67	
YKL051W	--	495,48	722,95		YKL124W	+1123,2	1,00	1123,17	
YKL052C	--	1133,30	1106,15		YKL125W	+18,4	58,64	1080,99	
YKL053W	--	1805,82	1745,22		YKL126W	+950,3	1,00	950,31	
YKL054C	--	562,75	838,59		YKL127W	+2	489,64	979,96	
YKL055C	+5,5	55,51	305,25		YKL128C	--	2729,02	3701,24	
YKL056C	--	7731,04	7525,78		YKL129C	--	17701,75	22962,65	
YKL057C	--	1386,33	1416,38		YKL130C	+1,6	455,35	748,02	
YKL058W	-1,5	18248,46	12096,34		YKL131W	+2,6	197,68	518,67	
YKL059C	-1,8	2375,88	1286,58		YKL132C	+1,8	931,93	1712,34	
YKL060C	--	101006,42	107483,28		YKL133C	+1,8	314,18	579,92	
YKL061W	-1,8	842,31	456,52		YKL134C	--	519,98	672,25	
YKL062W	-1,6	3457,27	2219,24		YKL135C	+277,1	1,00	277,12	
YKL063C	-1,6	3981,02	2556,18		YKL136W	+271,3	1,00	271,31	
YKL064W	--	138264,10	99507,47		YKL137W	+2,8	620,80	1755,62	
YKL065C	--	3306,02	2382,46		YKL138C	+8,7	205,60	1793,89	
YKL066W	+2,1	169,44	358,00		YKL139W	+1,7	1568,47	2614,40	
YKL067W	--	3396,65	2320,02		YKL140W	--	316,32	230,72	
YKL068W	-4,7	890,38	189,60		YKL141W	--	4177,18	5434,52	
YKL069W	-2,2	2370,70	1080,05		YKL142W	--	2839,11	2175,60	
YKL070W	--	1238,51	1201,96		YKL143W	+1,7	620,33	1082,06	
YKL071W	--	1071,78	839,62		YKL144C	--	6813,80	5887,03	
YKL072W	--	2427,68	1867,74		YKL145W	--	4281,05	3558,60	
YKL073W	-4	1584,73	394,05		YKL146W	--	329,10	421,28	
YKL074C	-3,3	1915,00	572,26		YKL147C	-1,5	2808,99	1818,11	

ORF	Faktor +/-	Norm. Signalintensität		ORF	Faktor +/-	Norm. Signalintensität	
	T73/MCY730	MCY730	T73		T73/MCY730	MCY730	T73
YKL148C	--	1283,74	1113,76	YKL222C	-1,5	3340,07	2214,97
YKL149C	+717,3	26,01	717,28	YKL223W	+1,6	509,12	817,09
YKL150W	+9,3	141,99	1101,70	YKL224C	--	685,65	909,33
YKL151C	--	1135,51	1092,98	YKL225W	--	1263,76	1079,90
YKL152C	--	32685,42	47147,70	YKR001C	+7	96,04	637,71
YKL153W	-1,7	314029,39	186774,28	YKR002W	--	395,35	578,23
YKL154W	-1,5	1572,19	1033,31	YKR003W	+1,7	299,68	506,11
YKL155C	--	1492,47	1365,20	YKR004C	+2,1	1362,90	2823,47
YKL156W	+1,7	7951,90	13838,09	YKR005C	+329	1,00	328,95
YKL157W	+3,4	107,07	305,83	YKR006C	+802,8	1,00	802,78
YKL158W	-6,6	2354,93	355,91	YKR007W	--	2255,00	2504,35
YKL159C	-1,7	2550,72	1497,54	YKR008W	--	4821,19	5830,30
YKL160W	-1,5	10088,07	6667,18	YKR009C	--	51537,87	74324,47
YKL161C	--	650,36	590,49	YKR010C	--	7170,97	5439,13
YKL162C	-5,2	464,94	89,75	YKR011C	+3,4	333,10	1129,40
YKL163W	--	2299,24	1591,65	YKR012C	--	880,16	1277,76
YKL164C	--	6333,25	4313,29	YKR013W	-1,8	1528,67	869,13
YKL165C	--	5247,66	3823,93	YKR014C	--	1061,47	1450,26
YKL166C	--	2138,98	2037,04	YKR015C	-2,9	308,23	106,93
YKL167C	--	1090,69	980,58	YKR016W	+4,2	123,71	516,07
YKL168C	-1,6	1095,21	669,72	YKR017C	+8,8	77,08	122,37
YKL169C	-1,7	2436,85	1433,70	YKR018C	--	5725,55	4088,75
YKL170W	--	2807,95	1895,57	YKR019C	+3,7	182,62	682,32
YKL171W	-2,9	9645,06	3333,78	YKR020W	--	512,82	644,60
YKL172W	-2	6514,92	3319,21	YKR021W	--	1898,70	1668,08
YKL173W	--	4898,21	3385,79	YKR022C	--	862,65	641,42
YKL174C	-1,8	12938,22	7194,64	YKR023W	+2,8	356,49	995,74
YKL175W	-3,2	1587,82	489,85	YKR024C	-2	10419,86	5293,13
YKL176C	-1,6	7215,09	4514,41	YKR025W	--	1182,51	1108,82
YKL177W	-1,6	11382,38	7069,94	YKR026C	--	1482,47	1287,07
YKL178C	-5,9	2271,90	381,90	YKR027W	-1,6	2973,50	1818,31
YKL179C	-1,8	3514,93	1928,87	YKR028W	--	4608,93	4626,94
YKL180W	+1,5	42157,92	63457,92	YKR029C	--	2971,42	2058,29
YKL181W	-2	2599,22	1308,80	YKR030W	--	794,10	621,70
YKL182W	-2,6	16317,10	6362,09	YKR031C	--	3537,88	3343,08
YKL183W	-5,1	2367,68	460,29	YKR032W	-1,7	907,15	542,69
YKL184W	-3	2118,55	694,83	YKR033C	-1,9	656,31	351,54
YKL185W	-1,6	1334,30	831,92	YKR034W	-2	1220,62	607,78
YKL186C	--	9732,44	12382,28	YKR035C	-1,9	2916,31	1496,81
YKL187C	-2,3	2333,06	1031,69	YKR036C	--	1252,81	974,23
YKL188C	-2,8	6540,83	2363,63	YKR037C	-1,9	1857,24	983,89
YKL189W	-2,9	917,30	313,10	YKR038C	--	1222,35	892,95
YKL190W	--	5359,26	4154,38	YKR039W	-7,6	1565,74	205,45
YKL191W	--	60934,97	45843,64	YKR040C	-1,7	9273,17	5617,70
YKL192C	--	4577,09	5948,78	YKR041W	--	999,98	680,28
YKL193C	--	1629,30	1265,20	YKR042W	-3,5	5709,35	1632,59
YKL194C	--	997,58	1475,43	YKR043C	--	1121,99	1018,84
YKL195W	+1,9	2497,32	4792,12	YKR044W	--	111,99	161,56
YKL196C	--	12023,02	8785,29	YKR045C	-2,1	2587,57	1259,68
YKL197C	-1,7	12268,99	7242,66	YKR046C	-1,5	5144,28	3422,48
YKL198C	--	611,22	841,75	YKR047W	-1,7	20434,87	11828,83
YKL199C	--	1706,86	1871,23	YKR048C	-1,7	4065,16	2383,85
YKL200C	+2,2	603,40	1309,98	YKR049C	-3,1	2228,43	725,11
YKL201C	+7,9	140,73	1108,41	YKR050W	-1,5	5651,99	3725,79
YKL202W	--	409,11	562,10	YKR051W	--	1456,96	1049,44
YKL203C	--	293,34	321,14	YKR052C	-1,6	1161,18	713,94
YKL204W	+24	48,69	837,22	YKR053C	-3,2	2722,29	858,09
YKL205W	+1,8	1113,19	1989,80	YKR054C	-3	484,73	163,94
YKL206C	--	505,46	756,73	YKR055W	-1,7	1434,67	849,70
YKL207W	--	1456,65	1186,41	YKR056W	--	645,14	724,07
YKL208W	+2,6	407,02	1057,12	YKR057W	-1,8	8645,18	4834,28
YKL209C	-2,4	4297,19	1795,59	YKR058W	-2,3	880,11	381,19
YKL210W	+12,4	108,70	691,96	YKR059W	--	22595,42	20837,18
YKL211C	+1,5	484,30	747,46	YKR060W	--	1876,58	1614,07
YKL212W	+1,8	721,83	1308,59	YKR061W	--	1429,73	1047,50
YKL213C	--	1160,04	1319,52	YKR062W	--	1563,69	2290,99
YKL214C	--	1168,13	1240,40	YKR063C	+1,5	1139,27	1709,34
YKL215C	+3,2	386,30	1222,67	YKR064W	--	1969,51	2479,34
YKL216W	-3,7	7684,74	2057,15	YKR065C	--	3423,91	4063,82
YKL217W	+2,1	724,81	1488,86	YKR066C	-1,5	5460,58	3540,09
YKL218C	+2,1	468,44	962,07	YKR067W	+4,5	380,60	1694,64
YKL219W	--	7886,06	7915,34	YKR068C	--	1939,96	1793,28
YKL220C	+2,1	1078,17	2271,47	YKR069W	+1,6	598,52	953,44
YKL221W	+566,4	1,00	566,40	YKR070W	--	865,05	755,71



ORF	Norm. Signalintensität		ORF	Norm. Signalintensität			
	Faktor +/-	T73/MCY730		Faktor +/-	T73/MCY730		
YKR071C	--	3627,83	2499,56	YLL038C	--	768,91	710,32
YKR072C	--	7085,27	8658,53	YLL039c	--	4089,01	4768,70
YKR073C	--	645,50	567,24	YLL040C	+329,3	1,00	329,26
YKR074W	--	3237,17	3357,47	YLL041c	+1,8	589,05	1032,43
YKR075C	--	1684,84	1443,42	YLL042C	+1,6	361,19	562,48
YKR076W	--	1236,89	898,83	YLL043w	--	694,05	773,56
YKR077W	+1,9	1039,57	1975,19	YLL044W	+1,8	23000,84	40805,04
YKR078W	+1,6	777,93	1235,24	YLL045c	--	57826,44	67776,56
YKR079C	+3,1	334,33	1037,48	YLL046c	+1,6	775,55	1251,82
YKR080W	+5,1	3345,43	17042,01	YLL047W	-1,9	2527,94	1330,93
YKR081C	--	5373,79	4305,67	YLL048C	--	658,36	811,94
YKR082W	--	10488,25	7964,75	YLL049W	--	542,94	480,68
YKR083C	--	1080,85	1585,77	YLL050c	--	4131,37	4931,09
YKR084C	+1,6	825,75	1352,47	YLL051C	+2,2	694,07	1497,14
YKR085C	--	1960,20	2317,66	YLL052C	-4,1	1220,80	294,90
YKR086W	+6,5	98,17	433,19	YLL053C	+1,8	445,64	802,84
YKR087C	--	1311,01	1519,97	YLL054C	+2,8	45,95	130,66
YKR088C	--	1861,76	1840,02	YLL055W	+1,6	339,40	545,93
YKR089C	--	2451,66	1777,49	YLL056C	--	700,21	843,23
YKR090W	+1,8	1020,01	1798,99	YLL057C	--	485,57	377,30
YKR091W	-2	5707,88	2885,83	YLL058W	-1,7	1106,83	656,32
YKR092C	--	5166,45	3726,80	YLL059C	-4,7	635,40	135,86
YKR093W	+7,5	142,83	1065,09	YLL060C	--	33966,93	30758,86
YKR094C	--	87609,41	114051,35	YLL061W	-2,3	1031,63	456,89
YKR095W	+4,6	141,09	645,03	YLL062C	--	1638,91	1526,01
YKR096W	--	1033,09	876,93	YLL063C	-1,8	676,14	378,52
YKR097W	+1,7	174,77	300,05	YLL064C	-1,9	2050,10	1084,38
YKR098C	--	870,24	689,81	YLL065W	-1,8	2426,09	1314,15
YKR099W	--	869,23	802,76	YLL066C	-2,6	3165,03	1233,12
YKR100C	--	1516,68	1252,92	YLL067C	-3,7	4494,53	1209,25
YKR101W	-1,8	472,11	267,20	YLR001C	-1,7	1067,99	629,61
YKR102W	--	272,60	330,23	YLR002C	-1,8	1460,10	818,22
YKR103W	-1,6	1982,89	1212,59	YLR003C	-1,9	1718,20	913,76
YKR104W	+1582,1	1,00	1582,07	YLR004C	-3,4	2458,58	733,01
YKR105C	+7,9	129,20	1023,44	YLR005w	-2	4826,64	2465,32
YKR106W	-1,7	455,69	271,27	YLR006c	-1,6	1210,71	740,64
YL16A;_	-1,8	2238,90	1248,35	YLR007W	--	1767,65	1802,74
YLL001w	--	958,73	1330,39	YLR008C	--	979,95	666,70
YLL002W	--	14155,74	16141,89	YLR009W	-1,9	3689,33	1956,89
YLL003w	+2,3	347,16	781,68	YLR010C	-1,9	654,30	339,17
YLL004w	--	1697,34	1481,08	YLR011W	-2	1469,88	750,12
YLL005C	+4,8	159,40	770,16	YLR012C	--	624,00	708,87
YLL006w	+2,7	625,45	1696,05	YLR013W	--	655,11	577,55
YLL007C	+1,6	1377,74	2261,42	YLR014c	-2	2261,03	1154,30
YLL008w	--	1628,93	2043,71	YLR015W	-2,4	1331,90	544,79
YLL009c	--	4069,78	3457,60	YLR016C	+1,9	900,85	1755,34
YLL010C	-1,8	1803,68	1030,06	YLR017W	--	1013,97	1231,46
YLL011w	+1,8	772,28	1378,33	YLR018C	-2,8	5889,25	2127,78
YLL012W	--	2154,70	1458,80	YLR019W	-3	3498,87	1155,28
YLL013C	--	709,59	937,70	YLR020C	-1,6	1748,32	1126,67
YLL014W	--	565,02	775,30	YLR021W	--	2912,84	2644,25
YLL015W	+3,3	153,02	510,21	YLR022C	-2	5214,69	2544,57
YLL016w	--	623,41	680,92	YLR023C	-2,7	2016,36	746,96
YLL017W	+1,6	600,55	983,40	YLR024C	-1,9	12227,95	6482,44
YLL018c	--	9467,48	7734,91	YLR025w	-2,4	4626,13	1939,57
YLL019c	--	952,45	1161,50	YLR026c	-2,3	5172,11	2223,61
YLL020C	--	3142,73	2151,83	YLR027c	-1,7	15693,90	9051,82
YLL021w	+1308	12,53	1308,04	YLR028C	--	3581,45	2636,49
YLL022C	--	3631,37	3143,26	YLR029c	-1,7	98013,59	56294,38
YLL023C	--	2280,82	1852,09	YLR030W	-1,6	1833,91	1115,41
YLL024c	--	5924,60	8717,86	YLR031W	--	455,73	654,88
YLL025W	--	1338,60	1321,79	YLR032w	--	600,16	862,91
YLL026w	--	1871,87	2009,20	YLR033W	--	1279,42	1505,24
YLL027W	--	3832,54	4359,15	YLR034C	--	612,01	769,49
YLL028W	--	2153,14	2631,09	YLR035C	+2,3	507,74	1158,06
YLL029W	+1,6	1395,20	2235,99	YLR036C	--	973,76	957,96
YLL030C	+1093,8	1,00	1093,81	YLR037C	+1,5	454,07	687,99
YLL031C	+992,8	1,00	992,85	YLR038c	+2,1	752,75	1556,31
YLL032C	--	2706,69	2175,41	YLR039c	+2,4	384,57	924,66
YLL033W	+7	221,29	1096,73	YLR040C	--	1031,74	765,01
YLL034C	--	1741,73	1884,66	YLR041W	--	483,60	632,73
YLL035W	--	611,20	852,36	YLR042C	-2,5	1323,89	529,64
YLL036c	--	2158,85	1865,37	YLR043c	+1,7	4569,79	7653,55
YLL037W	--	4990,60	5252,30	YLR044c	--	27265,59	32289,86

ORF	Faktor +/-		Norm. Signalintensität		ORF	Faktor +/-		Norm. Signalintensität	
	T73/MCY730	MCY730	T73			T73/MCY730	MCY730	T73	
YLR045c	+933,5	1,00	933,48		YLR119w	--	964,69	710,74	
YLR046C	+3,1	368,07	1140,64		YLR120c	-2,6	1597,33	621,36	
YLR047C	+6,5	110,93	724,96		YLR121C	-2,5	2055,11	814,86	
YLR048w	-2,7	15496,01	5778,69		YLR122C	--	1165,57	786,40	
YLR049C	-1,8	667,00	378,72		YLR123C	-2,8	453,01	163,26	
YLR050C	+2,1	638,26	1343,40		YLR124W	+2,3	315,63	714,96	
YLR051C	--	1896,87	1855,77		YLR125W	+2,4	570,20	1350,90	
YLR052W	+6,1	265,65	1607,30		YLR126C	+2,1	327,96	701,47	
YLR053C	+2,7	244,12	666,15		YLR127C	+9	101,58	918,29	
YLR054C	+7,3	173,83	1262,85		YLR128W	+1,9	401,26	768,24	
YLR055c	--	956,91	995,20		YLR129w	+37	60,88	1687,33	
YLR056w	--	2806,38	4105,05		YLR130C	+1,6	964,95	1521,78	
YLR057W	+3,3	245,80	815,19		YLR131c	--	2419,71	2213,62	
YLR058c	+2973,7	1,00	2973,70		YLR132C	--	517,60	656,52	
YLR059c	--	1514,57	1745,00		YLR133w	+4,9	222,69	1100,13	
YLR060w	+5,1	271,38	1389,52		YLR134w	+2	1362,16	2747,63	
YLR061W	--	32087,69	35714,48		YLR135W	--	1193,78	1395,83	
YLR062C	+1,6	16632,57	27198,36		YLR136c	--	523,62	654,49	
YLR063W	+2,1	647,90	1354,38		YLR137W	--	684,69	593,30	
YLR064W	--	355,80	358,03		YLR138W	+2,1	429,68	906,77	
YLR065C	--	1186,50	1666,77		YLR139c	--	472,60	549,45	
YLR066W	--	1593,76	1438,55		YLR140W	-2,3	2869,93	1236,74	
YLR067c	+6,6	122,29	807,86		YLR141w	--	489,08	733,42	
YLR068W	--	930,44	1181,39		YLR142w	+1767,6	1,00	1767,60	
YLR069c	+5,2	64,27	332,39		YLR143W	+548,3	99,24	548,32	
YLR070C	+360,5	1,00	360,51		YLR144C	+13,4	137,36	1834,43	
YLR071c	+399,3	1,00	399,27		YLR145W	--	623,09	824,94	
YLR072W	--	8283,17	6630,70		YLR146C	+3	320,88	976,30	
YLR073C	--	902,05	890,19		YLR147c	--	1411,00	1528,33	
YLR074C	--	1330,85	1929,94		YLR148w	+68,6	1,00	68,64	
YLR075w	+2,1	10928,35	22915,66		YLR149C	+17,2	72,29	1244,08	
YLR076C	+2,6	15113,76	38891,64		YLR150w	+1,5	28792,19	43404,62	
YLR077W	+1,6	505,22	824,13		YLR151C	+2,5	326,86	812,89	
YLR078c	--	748,43	741,96		YLR152C	+3,2	288,04	932,15	
YLR079w	-1,9	1950,67	1036,55		YLR153c	+3	620,75	1836,86	
YLR080W	+188	1,00	187,98		YLR154C	+5,5	241,50	1320,35	
YLR081w	--	305,53	275,95		YLR155C	+386,4	1,00	386,38	
YLR082C	+1,5	582,22	874,85		YLR156W	+644,8	1,00	644,77	
YLR083c	+220,2	86,57	220,16		YLR157C	+2,1	218,94	461,67	
YLR084C	+2,5	227,12	567,61		YLR158C	+4,1	151,82	616,37	
YLR085C	--	627,92	642,54		YLR159W	-1,6	631,74	388,32	
YLR086W	+1,8	824,90	1452,56		YLR160C	-2,5	478,19	188,51	
YLR087C	--	1774,72	1429,29		YLR161W	--	2350,39	2640,28	
YLR088w	--	1719,40	1872,02		YLR162W	+2	2158,05	4230,74	
YLR089C	-2,3	1831,13	802,99		YLR163C	+825	1,00	824,99	
YLR090w	--	1378,38	968,86		YLR164W	+319,1	1,00	319,05	
YLR091W	+1,6	229,20	369,44		YLR165C	+586,6	1,00	586,62	
YLR092W	-3,2	481,01	149,60		YLR166C	+850	1,00	849,98	
YLR093C	-1,5	1123,77	731,26		YLR167W	--	89971,93	108082,75	
YLR094C	--	1368,79	959,30		YLR168C	+2,9	488,82	1403,28	
YLR095C	--	763,01	635,87		YLR169W	+2,8	405,20	1116,23	
YLR096w	-10,1	397,82	39,43		YLR170C	+1,6	1562,74	2452,13	
YLR097C	--	1059,25	911,33		YLR171W	--	1043,72	772,83	
YLR098c	-2,7	1267,55	467,38		YLR172C	--	1470,34	1934,36	
YLR099C	--	1120,01	1065,29		YLR173W	+8,5	1,00	8,47	
YLR100W	-1,5	3087,50	2035,17		YLR174W	+116,3	8,70	116,27	
YLR101C	-1,5	4018,98	2606,83		YLR175W	--	8705,61	7583,75	
YLR102C	-2,1	2286,55	1111,16		YLR176C	+8,3	48,93	290,62	
YLR103C	-5,1	1191,86	232,54		YLR177W	+1,6	916,21	1428,42	
YLR104W	--	1828,14	1806,03		YLR178C	--	657,96	484,12	
YLR105c	-3	692,60	232,78		YLR179C	+1,7	1554,56	2646,14	
YLR106C	+2,4	145,43	342,48		YLR180W	+1,7	3090,41	5171,14	
YLR107W	--	397,21	444,83		YLR181C	-2,4	4455,47	1889,61	
YLR108C	+1,7	173,85	290,62		YLR182W	-6,4	814,44	127,88	
YLR109W	-1,7	38667,10	22827,03		YLR183C	--	3212,72	2559,81	
YLR110C	--	235518,89	197687,42		YLR184W	--	512,41	694,85	
YLR111W	--	2805,75	2281,16		YLR185W	--	13090,73	14807,63	
YLR112W	-3,1	1562,34	510,24		YLR186W	--	1559,79	1823,50	
YLR113w	-1,8	3318,44	1856,06		YLR187W	-7,8	561,45	72,08	
YLR114C	-2,8	2636,21	945,24		YLR188W	-3	483,33	159,18	
YLR115W	-4	1031,08	256,90		YLR189C	-2,3	560,44	240,38	
YLR116W	-6,4	1345,41	211,73		YLR190W	-1,6	645,32	406,00	
YLR117C	-3,1	1219,44	394,42		YLR191W	-1,8	654,50	365,94	
YLR118C	-2,3	2151,19	951,44		YLR192C	--	2453,22	1762,91	

ORF	Faktor +/-	Norm. Signalintensität		ORF	Faktor +/-	Norm. Signalintensität	
	T73/MCY730	MCY730	T73		T73/MCY730	MCY730	T73
YLR193C	--	1590,23	1084,51	YLR267W	+2,2	106,78	235,55
YLR194C	-2,7	9039,12	3319,19	YLR268W	--	1217,49	1258,45
YLR195C	-1,6	1421,07	871,77	YLR269C	+1,7	663,44	1121,62
YLR196W	-2,7	2333,43	875,63	YLR270W	-3	816,85	269,82
YLR197W	-3	7705,33	2601,78	YLR271W	--	1054,30	875,54
YLR198C	-1,8	17598,15	9595,63	YLR272C	-3,7	894,11	241,53
YLR199C	-3,7	1255,76	336,31	YLR273C	-1,9	973,03	503,12
YLR200W	--	2936,34	2004,71	YLR274W	--	877,58	602,82
YLR201C	--	329,60	292,54	YLR275W	--	1235,55	860,53
YLR202C	--	1065,14	804,38	YLR276C	--	2224,00	2110,86
YLR203C	--	1709,05	1248,65	YLR277C	-4	827,57	208,27
YLR204W	--	3990,69	2974,56	YLR278C	-2,2	3099,08	1414,13
YLR205C	--	1863,83	1457,74	YLR279W	-3	2532,87	855,45
YLR206W	-16,4	1720,41	104,74	YLR280C	-2	1084,32	542,15
YLR207W	-1,9	1867,62	995,90	YLR281C	-1,8	1301,62	720,94
YLR208W	--	3005,33	2053,31	YLR282C	-2,6	1247,12	488,09
YLR209C	-2,2	3597,82	1663,49	YLR283W	-2,1	1347,57	646,63
YLR210W	-5,6	2277,96	405,04	YLR284C	-3	2262,65	746,17
YLR211C	-5,1	1466,51	289,66	YLR285W	--	1835,13	1668,04
YLR212C	-2	2586,13	1313,90	YLR286C	-2	3977,95	1971,84
YLR213C	--	1868,29	1432,55	YLR287C	-3	973,89	327,23
YLR214W	-2,3	3321,63	1448,04	YLR288C	-3,7	587,64	158,54
YLR215C	--	1564,29	1198,09	YLR289W	--	1039,21	829,73
YLR216C	--	5411,52	5512,77	YLR290C	-1,7	377,58	224,90
YLR217W	--	2080,40	1546,74	YLR291C	--	925,00	636,14
YLR218C	--	1403,17	1350,33	YLR292C	--	2196,16	1581,40
YLR219W	--	302,25	257,92	YLR293C	--	17107,91	23115,06
YLR220W	--	844,60	1224,19	YLR294C	--	1964,85	1419,67
YLR221C	--	2071,79	2673,56	YLR295C	-2,3	4322,26	1855,32
YLR222C	+2,6	481,59	1263,05	YLR296W	-10,3	3622,13	351,06
YLR223C	+9,1	99,87	874,57	YLR297W	--	1201,63	1019,59
YLR224W	+3,3	514,87	1698,86	YLR298C	-1,8	1654,49	926,76
YLR225C	+1,9	493,39	951,39	YLR299W	-4,5	1118,76	250,10
YLR226W	+1,9	468,95	882,30	YLR300W	-4,1	3318,20	816,17
YLR227C	+2,8	569,44	1583,28	YLR301W	-1,9	2761,51	1450,11
YLR228C	+2,5	361,03	886,74	YLR302C	-1,7	2823,48	1644,74
YLR229C	--	3255,50	3817,31	YLR303W	-4,7	18881,59	4018,66
YLR230W	+1,6	1502,44	2369,67	YLR304C	-3,9	2008,24	511,44
YLR231C	--	706,97	626,56	YLR305C	--	2440,17	1811,42
YLR232W	+21,6	79,42	603,36	YLR306W	-1,8	1552,36	882,05
YLR233C	+569,2	1,00	569,19	YLR307W	--	732,81	672,19
YLR234W	+864	1,00	864,02	YLR308W	--	752,90	1062,87
YLR235C	+6,3	110,87	698,90	YLR309C	+827,7	1,00	827,69
YLR236C	+11,8	78,48	838,19	YLR310C	--	2438,58	2878,96
YLR237W	+6,6	126,43	833,43	YLR311C	-1,6	2063,55	1269,86
YLR238W	+4,8	198,60	960,51	YLR312C	+22,7	40,63	922,18
YLR239C	+4,6	205,10	949,85	YLR313C	--	682,97	764,24
YLR240W	+373,9	1,00	373,91	YLR314C	--	1296,31	1531,98
YLR241W	+1,7	280,25	465,77	YLR315W	+3,2	271,82	881,63
YLR242C	+7	142,65	1001,29	YLR316C	+2,1	623,54	1297,03
YLR243W	+1,7	3141,27	5310,51	YLR317W	--	1414,68	1798,65
YLR244C	+1,9	1748,24	3274,75	YLR318W	+4,8	103,36	500,16
YLR245C	+4,5	173,87	468,84	YLR319C	+3,1	389,27	1192,28
YLR246W	+5,1	199,38	1018,55	YLR320W	--	442,48	657,01
YLR247C	--	4408,83	4186,23	YLR321C	+1,8	690,15	1252,37
YLR248W	+713,6	1,00	713,60	YLR322W	+1,9	499,62	956,31
YLR249W	+1262,1	72,79	1262,11	YLR323C	--	1056,82	1107,13
YLR250W	--	1399,87	940,90	YLR324W	+5,3	268,79	1411,16
YLR251W	--	789,87	911,03	YLR325C	--	31431,99	30678,07
YLR252W	+1,9	807,92	1561,45	YLR326W	+3,2	433,93	1401,84
YLR253W	+1,6	394,32	623,16	YLR327C	+5,7	235,13	1338,83
YLR254C	-1,6	1203,67	752,95	YLR328W	--	546,71	733,86
YLR255C	--	1040,21	1011,41	YLR329W	+1,8	943,04	1662,92
YLR256W	-2	81843,31	41032,09	YLR330W	--	747,70	501,82
YLR257W	--	3459,64	4536,94	YLR331C	+2	646,07	1307,73
YLR258W	-1,6	418,57	260,81	YLR332W	-1,6	1834,98	1169,67
YLR259C	+2,1	576,98	1194,18	YLR333C	+1,6	49056,37	77444,34
YLR260W	+3,5	112,81	391,71	YLR334C	-2,4	1316,66	540,13
YLR261C	--	2234,11	1711,14	YLR335W	+674,4	1,00	674,44
YLR262C	--	991,33	1199,04	YLR336C	+349,7	1,00	349,66
YLR263W	+545,7	8,96	545,72	YLR337W	--	3420,77	2312,45
YLR264W	--	19004,95	16644,35	YLR338W	--	383,81	557,99
YLR265C	+2,4	103,69	249,13	YLR339C	--	3258,40	3351,17
YLR266C	+2,9	137,50	366,29	YLR340W	--	11206,21	10421,59

ORF	Faktor +/-	Norm. Signalintensität		ORF	Faktor +/-	Norm. Signalintensität	
	T73/MCY730	MCY730	T73		T73/MCY730	MCY730	T73
YLR341W	--	1609,67	1408,42	YLR415C	--	1101,67	762,04
YLR342W	--	1213,07	1433,52	YLR416C	-2,3	2121,55	921,23
YLR343W	--	317,65	285,71	YLR417W	-3	1440,07	478,02
YLR344W	+1,7	9909,24	16964,55	YLR418C	-1,8	934,97	520,27
YLR345W	--	296,45	382,38	YLR419W	-2	1935,00	987,76
YLR346C	+1,6	146,12	228,23	YLR420W	-2,3	4445,21	1897,06
YLR347C	+248,2	1,00	248,16	YLR421C	-1,8	3474,52	1964,70
YLR348C	+731,3	1,00	731,34	YLR422W	-2,6	1277,06	499,69
YLR349W	+1112,6	58,13	1112,61	YLR423C	--	836,41	642,41
YLR350W	--	1401,02	1372,78	YLR424W	-9,7	2052,22	210,90
YLR351C	--	1550,73	1259,54	YLR425W	-1,9	814,98	427,52
YLR352W	+7,1	152,68	1077,26	YLR426W	--	1341,14	894,26
YLR353W	--	689,69	655,15	YLR427W	-1,9	1837,27	968,83
YLR354C	--	1806,06	2370,28	YLR428C	-3,8	1187,55	311,02
YLR355C	+2	14870,78	29132,16	YLR429W	-2,8	2456,01	884,34
YLR356W	--	3835,56	4810,02	YLR430W	-3,4	1166,17	344,20
YLR357W	+2,9	73,27	59,85	YLR431C	-4,3	1468,21	341,11
YLR358C	--	1742,06	1545,85	YLR432W	--	3777,87	3377,92
YLR359W	+6,1	608,98	3729,68	YLR433C	--	2727,22	1856,27
YLR360W	-1,7	400,55	231,78	YLR434C	-2554,3	2554,33	1,00
YLR361C	--	505,65	425,36	YLR435W	-1,9	1822,35	971,86
YLR362W	--	310,15	309,19	YLR436C	-1,6	4072,38	2551,26
YLR363C	-2,8	542,64	191,55	YLR437C	--	2417,36	2404,78
YLR364W	-2,1	754,65	361,32	YLR438W	--	2609,39	3552,29
YLR365W	-2,9	2326,24	810,79	YLR439W	-1,7	1335,95	802,92
YLR366W	--	854,03	623,47	YLR440C	-1,9	875,68	472,75
YLR367W	--	4471,30	5388,49	YLR441C	-2,1	34869,54	16369,22
YLR368W	--	380,82	471,09	YLR442C	--	2946,41	2062,43
YLR369W	+2	276,90	556,22	YLR443W	-2,3	1395,21	597,51
YLR370C	-2,3	1875,99	799,82	YLR444C	-2,2	1448,58	648,40
YLR371W	-2,1	2955,83	1380,24	YLR445W	-1,6	2201,02	1338,92
YLR372W	--	2053,29	1628,48	YLR446W	-5,9	2352,64	395,74
YLR373C	--	305,75	395,11	YLR447C	-2,4	5973,55	2453,01
YLR374C	--	294,87	225,03	YLR448W	--	10305,26	12891,87
YLR375W	-5,2	1204,77	233,06	YLR449W	-6	7541,00	1263,17
YLR376C	-2,3	810,29	352,87	YLR450W	-3,2	1271,68	393,36
YLR377C	-2	2196,21	1122,26	YLR451W	-5,8	1593,08	274,88
YLR378C	-1,6	5943,12	3692,93	YLR452C	-2	964,73	473,02
YLR379W	--	1446,64	1178,42	YLR453C	-1,7	939,88	563,23
YLR380W	--	2286,76	1648,72	YLR454W	-4,6	1925,02	422,28
YLR381W	-11,9	604,76	50,79	YLR455W	-4,4	3213,95	725,24
YLR382C	-1,8	721,09	396,14	YLR456W	-1,8	1398,97	795,81
YLR383W	-1,6	372,41	238,27	YLR457C	--	1744,63	1173,85
YLR384C	--	661,00	743,03	YLR458W	-5,5	2477,93	453,50
YLR385C	-1,6	678,11	433,68	YLR459W	-12,3	2293,13	187,12
YLR386W	-4,9	672,75	138,15	YLR460C	-12,5	1539,24	122,74
YLR387C	-2	1073,56	539,62	YLR461W	-3,5	2167,98	612,34
YLR388W	--	18743,52	16366,38	YLR462W	-5	1912,72	384,89
YLR389C	--	2102,20	1533,99	YLR463C	-3,9	2310,07	596,98
YLR390W	-2,6	4913,61	1888,19	YLR464W	-1,5	2693,03	1754,96
YLR391W	-2	18147,79	8858,39	YLR465C	-1,6	1532,71	944,79
YLR392C	-1,9	903,05	481,70	YLR466W	-9,9	2640,18	266,69
YLR393W	-1,8	1206,85	689,38	YLR467W	-3,7	7844,68	2129,84
YLR394W	-5,3	867,98	163,50	YML001W	-6,6	1752,77	264,71
YLR395C	--	3027,97	2926,92	YML002W	-4,2	760,10	181,57
YLR396C	--	1323,62	897,92	YML003W	--	882,92	659,77
YLR397C	--	858,72	593,79	YML004C	-1,6	2751,34	1716,09
YLR398C	-3	5727,80	1909,25	YML005W	-1,5	4713,60	3105,42
YLR399C	-2,4	1632,82	677,41	YML006C	-2,9	1610,96	548,30
YLR400W	-2,2	1615,92	726,76	YML007W	-1,5	2660,33	1757,88
YLR401C	--	2557,85	2497,97	YML008C	--	27399,83	23592,35
YLR402W	-3,1	2223,36	716,02	YML010W	--	916,93	925,56
YLR403W	-5	1814,82	363,55	YML011C	-4,1	1388,42	334,74
YLR404W	--	774,45	851,03	YML012W	--	4609,51	3911,41
YLR405W	--	1380,78	1211,14	YML013W	-2,2	1366,65	618,82
YLR406C	-1,8	851,96	472,64	YML014W	-2,8	3096,67	1110,22
YLR407W	-3,1	1312,68	427,48	YML015C	-2	2898,94	1435,25
YLR408C	-2,1	1332,34	642,48	YML016C	-3	1442,70	488,20
YLR409C	--	3336,14	2797,92	YML018C	--	1861,05	1598,97
YLR410W	--	1601,64	1095,14	YML019W	-2,6	2020,54	775,15
YLR411W	+2,3	1024,41	2393,99	YML020W	-2,5	2754,04	1088,80
YLR412W	-2,3	2367,01	1014,33	YML021W	-2,2	2623,29	1192,04
YLR413W	-3,3	2480,12	746,87	YML022W	-24,2	2122,32	87,62
YLR414C	-2,4	4086,06	1685,74	YML023C	-2,9	894,42	307,94

ORF	Faktor +/-	Norm. Signalintensität		ORF	Faktor +/-	Norm. Signalintensität	
	T73/MCY730	MCY730	T73		T73/MCY730	MCY730	T73
YML027W	-2,9	1439,03	502,10	YML111W	-10,1	890,75	88,10
YML028W	-2,3	81928,47	35225,65	YML112W	-2	1960,08	979,43
YML029W	-4,6	1130,26	246,25	YML113W	-1,7	5903,36	3387,77
YML030W	-3,8	4470,71	1190,25	YML114C	-1,5	2429,68	1606,50
YML031W	-1,9	3230,37	1668,71	YML115C	--	1785,66	1227,28
YML032C	--	2548,50	2461,63	YML116W	-2,1	1707,19	795,31
YML033W	-2,3	2532,59	1118,89	YML117W	-3	8700,24	2922,23
YML034W	-3,5	475,42	135,45	YML118W	-2,4	1446,46	605,25
YML035C	-3,2	493,23	154,27	YML119W	--	2389,26	1620,59
YML037C	-2,1	1479,22	701,29	YML120C	-4,5	4393,02	986,04
YML038C	-1,5	1742,76	1132,01	YML121W	-4,4	963,94	220,51
YML040W	-9,1	29162,14	3211,06	YML122C	-1451	1451,05	1,00
YML041C	-1,7	1626,91	954,18	YML123C	-4,3	1702,61	395,70
YML042W	--	1865,52	1933,88	YML125C	-3,8	4245,04	1130,96
YML043C	-42,9	2038,68	47,56	YML126C	--	1734,46	1182,00
YML045W	-15,8	15256,40	967,27	YML127W	-2,3	1638,60	701,47
YML046W	-4,9	1137,46	234,31	YML128C	-2	1650,38	814,26
YML047C	-3,9	1746,42	450,35	YML129C	-2,2	2884,53	1304,61
YML048W	-1,9	1742,04	922,26	YML130C	-2,2	1320,11	596,00
YML049C	-7,5	3769,11	502,70	YML131W	-1,6	3329,88	2067,35
YML050W	-2,6	2299,00	898,39	YML132W	-3,7	3254,47	883,96
YML051W	--	1719,43	1244,06	YMR001C	-1,8	1867,53	1032,75
YML053C	-4,4	2378,28	544,17	YMR002W	-1,6	8787,63	5358,72
YML054C	-7,1	1108,51	156,63	YMR003W	-3,2	1595,53	504,90
YML055W	-3,3	1935,54	591,55	YMR004W	-4	1472,29	363,76
YML057W	-4	1997,26	497,08	YMR005W	-2,3	3511,22	1501,44
YML058W	-1,5	6020,92	3932,96	YMR007W	-10,7	2900,13	270,83
YML059C	-4,5	2159,27	476,64	YMR008C	-3,3	2530,77	774,49
YML060W	-5,3	1864,08	351,97	YMR009W	-2,2	3308,24	1532,69
YML061C	-1,7	1822,58	1082,24	YMR010W	--	1310,91	1031,94
YML062C	-1,5	2694,21	1738,39	YMR011W	-5,8	2744,36	472,79
YML063W	--	48948,49	57207,60	YMR012W	-8,6	1397,06	162,45
YML064C	-1,6	1782,11	1119,45	YMR013C	-8,1	1802,21	222,65
YML065W	-2,8	1793,09	637,66	YMR014W	-2,7	2867,38	1070,73
YML066C	-1,8	1579,81	900,19	YMR015C	-2,6	1813,14	686,14
YML068W	-3,9	1512,26	390,45	YMR016C	-2,2	1856,39	846,70
YML069W	-2,2	3370,91	1555,25	YMR017W	-4,6	1301,44	280,18
YML070W	-3,6	2906,59	815,39	YMR018W	-5,7	1316,89	232,41
YML071C	-2,9	1808,05	616,94	YMR019W	-2,1	1683,05	786,31
YML072C	-1,6	1777,69	1128,12	YMR020W	-1,8	1499,95	818,70
YML074C	-2,2	25190,58	11518,29	YMR021C	--	1938,12	1329,39
YML075C	--	2313,45	2192,51	YMR022W	-2,1	3151,98	1483,30
YML076C	-7,8	1493,38	191,75	YMR023C	-2,6	4597,48	1761,24
YML077W	-4,4	1842,68	421,31	YMR024W	-2,8	2568,13	911,62
YML078W	-3,4	3488,99	1035,70	YMR025W	-3,5	2603,27	738,17
YML079W	-2256,8	2256,79	1,00	YMR026C	-6,4	2446,69	385,29
YML080W	-12,2	1564,05	128,12	YMR027W	-3,6	2960,76	831,82
YML081W	-3,9	3375,11	867,72	YMR028W	-2,1	1352,64	631,96
YML082W	-1,8	1764,25	970,70	YMR029C	-2,3	1590,41	689,22
YML083C	-1,7	1946,85	1143,22	YMR030W	-1,5	1853,16	1195,71
YML084W	-3,9	1971,89	501,12	YMR031C	-1,7	2892,94	1730,01
YML087C	--	1424,25	1914,10	YMR032W	--	1785,01	1197,11
YML088W	-3,3	2353,06	719,06	YMR034C	-4,5	3151,02	699,41
YML089C	-2,2	1320,42	595,00	YMR035W	-2339,6	2339,61	1,00
YML090W	-3,4	1200,65	350,13	YMR036C	-8,7	2349,46	269,51
YML091C	--	2238,83	2622,39	YMR037C	-1491	1490,98	1,00
YML092C	--	582,23	544,55	YMR038C	-73,9	3344,64	45,24
YML093W	-3	783,77	259,35	YMR039C	-2,4	5441,76	2234,39
YML095C	--	797,07	892,71	YMR040W	-4,4	3036,27	687,47
YML096W	-2	1339,24	654,32	YMR041C	-2,9	3246,88	1109,47
YML097C	-2,5	2487,21	994,18	YMR042W	-4,4	2808,96	634,74
YML098W	-1,8	3326,63	1899,69	YMR043W	-3,1	16640,61	5415,43
YML099C	-3,4	1387,04	402,14	YMR044W	-5,6	3522,84	628,73
YML100W	-2,7	696,70	258,86	YMR046C	-15	28655,84	1906,50
YML101C	--	1053,45	1030,22	YMR047C	-1,8	3657,12	2027,67
YML102W	-2,2	2248,21	1024,76	YMR048W	--	1365,49	1014,33
YML103C	-4,4	1349,90	309,82	YMR049C	-2,7	1744,47	636,49
YML104C	-7,8	683,14	87,55	YMR051C	-8,9	27453,21	3090,89
YML105C	-1,9	4008,35	2117,29	YMR052W	-1,6	2440,73	1537,23
YML106W	--	5842,60	4388,85	YMR053C	-2,6	1202,25	466,38
YML107C	-1,8	1662,28	926,70	YMR054W	--	1197,40	1148,51
YML108W	--	2545,36	1861,21	YMR055C	-9,4	1634,37	173,67
YML109W	-67,6	1999,47	29,59	YMR056C	-3,1	1080,59	344,13
YML110C	-3	3846,63	1281,64	YMR057C	-5,3	943,32	178,14



ORF	Faktor +/-		Norm. Signalintensität		ORF	Faktor +/-		Norm. Signalintensität	
	T73/MCY730	MCY730	T73			T73/MCY730	MCY730	T73	
YMR058W	-1,6	1020,02	650,29		YMR140W	-3,1	812,56	262,55	
YMR059W	-3,2	1546,25	489,84		YMR141C	-2,5	1936,38	769,29	
YMR061W	-3,4	1065,94	309,09		YMR144W	-3	2675,04	882,98	
YMR063W	-2,9	1041,17	360,39		YMR145C	-3	5724,71	1921,28	
YMR064W	-1,7	1974,64	1147,07		YMR146C	-1,7	7151,94	4246,66	
YMR065W	-3	2346,83	781,11		YMR147W	-2	2934,07	1445,75	
YMR066W	-1,6	2108,59	1320,63		YMR148W	-2,6	4820,33	1866,07	
YMR067C	-4,6	1553,53	336,75		YMR149W	-1,7	6447,04	3806,36	
YMR068W	-8,7	1337,12	153,96		YMR150C	-2,4	2224,02	937,32	
YMR069W	-3,7	1399,42	373,41		YMR151W	-2,6	1603,43	605,51	
YMR070W	-1,9	1059,39	566,34		YMR152W	-2,5	14738,38	5934,77	
YMR071C	-1,7	2414,90	1433,19		YMR153W	-3,1	1781,31	567,48	
YMR072W	--	2024,92	1550,87		YMR154C	-1,5	817,26	531,98	
YMR073C	-1,9	10833,70	5694,71		YMR155W	-1,8	2433,81	1383,14	
YMR074C	-2,1	5676,71	2714,10		YMR156C	-2	1837,37	936,73	
YMR075W	-2,2	1689,48	760,71		YMR157C	-1,9	2177,47	1168,71	
YMR076C	-1,6	3855,26	2465,44		YMR158W	-8,7	3416,85	392,80	
YMR077C	--	2311,27	2376,45		YMR159C	-3,1	1808,78	585,63	
YMR078C	-3,5	2325,59	663,11		YMR160W	-1,9	489,83	264,36	
YMR080C	-1,8	637,45	347,79		YMR161W	-1,5	914,79	604,95	
YMR081C	-3,8	976,43	255,70		YMR162C	-1,8	2744,05	1501,62	
YMR082C	-4,9	776,11	156,88		YMR163C	-2,5	919,26	371,94	
YMR083W	-2	6121,45	3061,97		YMR164C	-3	920,48	309,08	
YMR086W	-3,3	5836,27	1784,84		YMR165C	-2,4	1081,45	458,67	
YMR087W	-1,7	1382,13	794,72		YMR167W	-2,9	1498,81	514,34	
YMR088C	--	1810,88	2170,49		YMR168C	-1,5	2484,95	1604,82	
YMR089C	-7,1	5054,05	713,40		YMR170C	-3,2	1724,26	537,80	
YMR090W	-4,5	2315,56	516,77		YMR171C	-4,5	1478,29	328,13	
YMR091C	-2,3	2513,58	1082,65		YMR172W	-2,3	1435,03	630,45	
YMR092C	-9,4	820,43	87,74		YMR173W	-6,9	7572,92	1099,53	
YMR093W	-5,8	1260,55	217,95		YMR176W	-3,3	1782,08	545,51	
YMR094W	-8,1	1601,64	198,10		YMR177W	-2	1805,85	918,97	
YMR095C	-3,1	2584,00	834,68		YMR178W	--	1965,62	1633,96	
YMR096W	-2,4	1599,20	666,62		YMR179W	-6,1	2343,00	386,67	
YMR097C	-5,6	2153,99	385,30		YMR180C	-2	2498,07	1264,38	
YMR098C	-2	1755,37	884,66		YMR181C	--	9571,54	7766,56	
YMR099C	--	1662,58	1310,78		YMR182C	-2,8	4407,59	1589,72	
YMR100W	+1,8	1122,43	2029,35		YMR183C	-1,6	4484,79	2873,47	
YMR101C	-11,6	1638,87	141,22		YMR184W	-2,7	2803,11	1024,15	
YMR102C	-11	1504,37	137,23		YMR185W	-2,2	945,57	436,07	
YMR103C	-28,2	1926,21	68,42		YMR186W	-2,1	10699,66	4987,90	
YMR104C	-8,1	953,20	117,85		YMR187C	-3,1	1679,70	550,32	
YMR105C	-12,4	922,85	74,20		YMR188C	-2,4	3112,91	1274,44	
YMR106C	-3,6	2087,88	586,71		YMR189W	-5,5	9664,76	1772,96	
YMR107W	-1,9	1680,72	887,74		YMR190C	-2	8845,05	4424,55	
YMR108W	-3,7	2564,17	691,20		YMR191W	-3,8	2206,52	574,26	
YMR109W	-2,4	6748,49	2855,32		YMR192W	-6,4	2739,64	427,11	
YMR110C	--	1553,38	1283,65		YMR193W	-1,6	2524,88	1612,97	
YMR111C	-2,4	2351,30	991,22		YMR195W	--	3538,65	3122,72	
YMR112C	--	2829,95	2316,64		YMR196W	-1,8	1940,28	1065,36	
YMR113W	-2,8	2067,90	737,79		YMR197C	--	2240,79	1794,16	
YMR114C	-1,7	1812,79	1044,12		YMR198W	-7,3	2376,76	327,37	
YMR115W	-7,8	1649,24	211,87		YMR199W	-2,5	2040,73	826,36	
YMR118C	-2,9	1731,33	597,14		YMR200W	--	2264,29	1899,53	
YMR119W	-2,6	1763,85	678,27		YMR202W	-2,3	4679,93	2001,01	
YMR121C	--	13820,37	9961,13		YMR203W	-3,1	2772,09	892,21	
YMR122C	--	1975,31	1329,42		YMR204C	-4,3	1908,13	442,30	
YMR123W	--	2234,35	2498,70		YMR205C	--	7086,67	6331,88	
YMR124W	-3,5	5592,85	1596,39		YMR206W	-13,1	1695,96	129,88	
YMR125W	-3,2	4652,76	1440,45		YMR207C	-1,6	1351,31	846,37	
YMR126C	-2726,6	2726,60	1,00		YMR208W	-1,7	3626,91	2167,42	
YMR127C	-2143,7	2143,73	1,00		YMR209C	-2,3	2418,83	1055,82	
YMR128W	-13,1	3051,75	233,26		YMR210W	--	4153,24	3699,76	
YMR129W	-2,4	4510,84	1905,47		YMR211W	-1,9	3102,86	1641,42	
YMR130W	-3,5	3931,02	1128,72		YMR212C	-1,7	2552,14	1508,14	
YMR131C	-1,6	2016,58	1230,81		YMR213W	-2	7831,60	3825,06	
YMR132C	-6,6	1243,91	187,65		YMR214W	-2	5190,37	2587,54	
YMR133W	-6,8	1602,63	236,16		YMR215W	-1,6	3474,08	2239,01	
YMR134W	-3,4	3613,55	1056,61		YMR216C	-3,1	3701,14	1193,61	
YMR135C	-1,6	2152,93	1316,11		YMR217W	--	12415,97	10931,21	
YMR136W	-2,4	5734,03	2369,03		YMR218C	-9,9	1430,26	144,83	
YMR137C	-2,1	1388,40	651,33		YMR219W	-4,9	2528,00	512,57	
YMR138W	-2,2	3434,59	1541,10		YMR220W	-2,6	8892,43	3485,40	
YMR139W	-3,3	1521,17	459,60		YMR221C	-1,5	3447,46	2284,79	

ORF	Faktor +/-		Norm. Signalintensität		ORF	Faktor +/-		Norm. Signalintensität	
	T73/MCY730	MCY730	T73			T73/MCY730	MCY730	T73	
YMR222C	--	3048,86	2037,36		YMR305C	-2,2	6549,55	2995,22	
YMR223W	-1,7	2579,92	1557,12		YMR306W	--	2122,74	2127,45	
YMR224C	--	1491,99	1778,19		YMR307W	--	16712,74	11510,50	
YMR226C	-2	16839,21	8292,14		YMR308C	-5,7	1565,54	276,32	
YMR227C	-3,5	4032,29	1167,72		YMR309C	-58,2	2054,09	35,29	
YMR228W	--	1173,63	887,22		YMR310C	-3,1	4175,79	1351,60	
YMR229C	-2,1	6814,10	3228,60		YMR311C	-2,3	10056,16	4303,27	
YMR231W	-12,3	654,79	53,06		YMR312W	--	2822,49	2357,19	
YMR232W	--	2539,46	1697,34		YMR313C	-1,5	2489,08	1659,15	
YMR233W	--	2222,86	1748,49		YMR314W	-1,7	11254,35	6805,90	
YMR234W	-2,1	1627,90	757,98		YMR315W	-2,5	4117,55	1615,07	
YMR235C	--	10409,64	8481,19		YMR316W	--	34424,42	36755,35	
YMR236W	-2,4	9708,86	4077,88		YMR317W	-4,6	2728,35	592,95	
YMR237W	--	1780,10	1684,97		YMR318C	-4,4	2322,81	529,18	
YMR238W	-2,5	5232,79	2089,55		YMR319C	-16,9	1707,91	100,93	
YMR239C	-3,2	2676,97	847,24		YMR320W	-5,3	1801,38	341,64	
YMR240C	-2,9	6995,13	2402,56		YMR321C	-1,8	13356,20	7465,34	
YMR241W	-3,7	4957,05	1351,08		YMR322C	-3	1440,42	485,83	
YMR242C	--	71279,59	65543,51		YMR323W	-2,4	1626,84	674,88	
YMR243C	--	5413,43	3911,01		YMR325C	-1,6	2007,51	1275,46	
YMR244W	-2,1	1962,34	918,87		YMR326C	-1,6	1648,45	1028,43	
YMR245W	-1,7	2825,93	1661,61		YML001W	-1,8	1839,41	1048,52	
YMR246W	-1,8	3972,32	2180,51		YNL002C	--	5070,29	4256,06	
YMR247C	--	1452,45	1324,11		YNL003C	-1,9	2413,26	1238,14	
YMR250W	--	1719,36	1257,49		YNL004W	-1,6	1738,84	1081,76	
YMR251W	-20,7	1376,41	66,37		YNL005C	-1,8	3079,48	1745,32	
YMR252C	-4,8	982,19	203,82		YNL006W	-4,3	2146,79	501,60	
YMR253C	-2	1438,30	703,39		YNL007C	-2,7	9388,30	3452,94	
YMR255W	-2,3	5789,35	2504,26		YNL008C	-1,8	3171,73	1729,00	
YMR257C	-2,8	1245,89	445,79		YNL009W	--	1059,77	726,25	
YMR258C	-4,9	2060,68	421,48		YNL010W	-1,7	7996,52	4807,06	
YMR259C	-4,3	2411,37	554,47		YNL011C	-3,6	1427,04	396,83	
YMR260C	--	23578,96	16614,77		YNL012W	-1,9	952,28	500,51	
YMR261C	--	2556,53	2376,96		YNL013C	-3,4	3154,10	920,88	
YMR262W	--	2792,51	2267,97		YNL014W	-3	1071,21	356,57	
YMR263W	-2,6	3814,34	1445,61		YNL015W	-2,7	2194,77	804,23	
YMR264W	--	5365,42	4223,51		YNL016W	-1,9	2384,52	1231,42	
YMR265C	-3,6	2258,28	622,82		YNL017C	-1,7	1927,19	1118,62	
YMR266W	--	550,91	458,10		YNL018C	-2,3	9324,96	4068,48	
YMR267W	-1,7	3614,21	2071,71		YNL019C	-2,7	1198,24	445,15	
YMR268C	-3,2	1759,50	546,29		YNL020C	-8,5	1418,45	166,06	
YMR269W	-1,7	4070,99	2395,22		YNL021W	-2	1254,56	641,11	
YMR270C	-2	2495,75	1228,38		YNL022C	-1,8	1912,53	1056,63	
YMR271C	-2,6	2174,56	845,05		YNL023C	-2,3	3249,70	1422,36	
YMR272C	-1,6	3507,15	2230,20		YNL024C	-1,8	2373,11	1316,85	
YMR274C	-2	3608,58	1787,85		YNL025C	-2922,6	2922,58	1,00	
YMR275C	-2,8	1553,27	559,18		YNL026W	-4,8	1589,18	333,90	
YMR276W	--	12715,66	9713,35		YNL027W	--	2902,92	3645,99	
YMR277W	-1,7	5375,31	3131,02		YNL028W	-1,8	1109,28	632,38	
YMR278W	-2,1	1638,84	764,64		YNL029C	-2	2023,89	1010,03	
YMR279C	-3,2	1570,40	487,32		YNL030W	-1,7	52607,33	31150,63	
YMR280C	-4,1	1963,95	483,86		YNL031C	-2,1	85113,61	40784,03	
YMR281W	-3,7	2070,57	552,64		YNL032W	-2,9	4204,08	1470,06	
YMR282C	-3,7	2320,23	626,41		YNL033W	--	1809,20	1230,87	
YMR283C	-2,8	2491,15	900,04		YNL034W	-1,9	1280,30	691,42	
YMR284W	-2,6	4144,34	1621,78		YNL035C	-2,4	2165,26	898,75	
YMR285C	--	5089,72	4111,50		YNL036W	-1,9	4796,80	2574,38	
YMR287C	-4,6	2011,02	438,85		YNL037C	-3,4	5218,77	1520,79	
YMR288W	-8,4	811,84	96,32		YNL038W	-1,5	1205,49	790,24	
YMR289W	-3,1	2367,42	773,93		YNL039W	-2,4	2697,41	1125,23	
YMR290C	--	4817,31	3370,33		YNL040W	-4,3	5389,52	1263,33	
YMR291W	--	2039,54	1618,12		YNL041C	--	357,04	379,19	
YMR293C	-3,3	2726,09	820,06		YNL042W	-5,8	2838,38	488,04	
YMR294W	--	2616,63	1949,36		YNL043C	-1,8	5229,60	2828,80	
YMR295C	-1,8	10488,66	5985,22		YNL044W	-2,7	5682,77	2082,44	
YMR296C	-1,9	5012,87	2706,16		YNL045W	-2	1716,75	861,63	
YMR297W	-6,3	4353,36	691,34		YNL046W	-2,6	4056,38	1589,59	
YMR298W	-3,3	4213,68	1262,13		YNL047C	-17,6	2136,62	121,20	
YMR299C	-4,9	1437,90	291,62		YNL048W	-2,6	2841,61	1106,25	
YMR300C	+5	2403,74	12018,36		YNL049C	-3,2	1357,05	428,24	
YMR301C	-1,8	3232,84	1771,03		YNL050C	-2,8	4155,31	1487,45	
YMR302C	-2,6	1884,21	736,98		YNL051W	-3,8	1616,26	423,24	
YMR303C	--	4644,05	4362,39		YNL052W	--	9366,77	10741,57	
YMR304W	-2	2655,20	1336,16		YNL053W	-2,6	3924,26	1504,75	

ORF	Faktor +/-		Norm. Signalintensität		ORF	Faktor +/-		Norm. Signalintensität	
	T73/MCY730	MCY730	T73			T73/MCY730	MCY730	T73	
YNL054W	-2,2	16552,44	7460,61		YNL128W	--	2273,26	2945,02	
YNL055C	-10,3	27585,02	2673,43		YNL129W	-1,5	1808,55	1200,89	
YNL056W	-1,7	4742,92	2732,73		YNL130C	-1,9	1417,75	745,78	
YNL057W	-14,3	3972,70	277,50		YNL131W	--	3183,95	2662,28	
YNL058C	-4,5	6198,73	1364,10		YNL132W	-2,8	907,49	327,67	
YNL059C	-3,6	1710,20	478,96		YNL133C	-1,6	972,81	605,30	
YNL060C	-1,9	5172,69	2659,69		YNL134C	-3,4	3145,46	919,28	
YNL061W	-2,1	5081,93	2409,06		YNL135C	-4,3	8022,55	1869,30	
YNL062C	-2,2	2112,18	977,15		YNL136W	-4,5	1838,41	410,55	
YNL063W	-2	2668,08	1308,72		YNL137C	-1,9	1398,40	746,51	
YNL064C	--	28340,77	30169,91		YNL138W	-2,3	1738,35	768,26	
YNL065W	-6,8	4213,72	616,64		YNL139C	-1,5	1434,60	942,34	
YNL066W	-2,5	8434,97	3361,28		YNL140C	--	3500,64	3325,79	
YNL067W	--	62355,27	55284,43		YNL141W	-58,7	2536,68	43,22	
YNL068C	-2,1	1976,64	958,46		YNL142W	-13,7	1357,72	99,26	
YNL069C	--	23800,04	21985,57		YNL143C	--	16267,36	13658,70	
YNL070W	-3,8	2213,13	588,30		YNL144C	-9	1435,36	159,21	
YNL071W	-2,4	13516,03	5676,92		YNL145C	-11,4	10438,20	912,46	
YNL072W	-2,4	2300,26	940,84		YNL146W	-2,8	1490,09	541,04	
YNL073W	-16,1	1527,81	94,76		YNL147W	-1,8	3374,20	1837,34	
YNL074C	-1,8	3045,18	1681,27		YNL148C	-4,9	1616,50	331,01	
YNL075W	-2,7	4580,63	1722,52		YNL149C	-4,7	5323,67	1131,76	
YNL076W	-1,7	1794,98	1033,07		YNL150W	-2,8	7183,02	2569,89	
YNL077W	--	2391,06	1623,11		YNL151C	--	3534,49	2758,48	
YNL078W	-2,5	3215,04	1300,44		YNL152W	--	1934,74	2120,12	
YNL079C	-2,6	13710,34	5249,00		YNL153C	-2,7	3089,42	1131,19	
YNL080C	-1,6	1934,86	1218,63		YNL154C	-4	1081,77	273,70	
YNL081C	-1,7	6113,38	3611,80		YNL155W	-4,9	2446,01	495,73	
YNL082W	-24	1677,56	69,79		YNL156C	-2,2	2170,91	994,06	
YNL083W	-6,1	1465,23	238,28		YNL157W	-2,9	4737,04	1606,39	
YNL084C	-2532,2	2532,17	1,00		YNL158W	-3,4	1825,90	534,82	
YNL085W	-4,9	1952,50	400,83		YNL159C	-1,9	1709,37	913,49	
YNL086W	-2	2177,04	1069,89		YNL160W	-4,7	2046,32	430,86	
YNL087W	-3,7	9788,59	2644,34		YNL161W	-3,6	1614,94	447,76	
YNL088W	-2	12987,16	6437,63		YNL162W	--	14071,15	12571,53	
YNL089C	-3,9	3115,86	795,42		YNL163C	-2,1	2071,59	1007,88	
YNL090W	-2,3	3481,73	1538,14		YNL164C	--	2086,50	2092,31	
YNL091W	-3	11192,38	3683,58		YNL165W	-11,3	1380,67	122,17	
YNL092W	-1,8	1642,70	910,54		YNL166C	-1,8	2110,40	1185,86	
YNL093W	-1719,4	1719,35	1,00		YNL167C	-59,5	1076,15	18,10	
YNL094W	-4	1280,40	320,27		YNL168C	-1981,7	1981,73	1,00	
YNL095C	--	800,87	622,62		YNL169C	-3,8	1511,41	396,73	
YNL096C	+1,8	5221,47	9376,07		YNL170W	-2,2	2759,21	1226,43	
YNL097C	-2,4	9421,94	3910,01		YNL171C	-2,6	2569,61	989,49	
YNL098C	-1,8	5934,82	3332,64		YNL172W	-2,4	1460,34	606,38	
YNL099C	-1,7	3763,62	2186,20		YNL173C	-1,6	1914,56	1175,95	
YNL100W	--	1755,93	1642,89		YNL174W	-1,6	3057,11	1886,24	
YNL101W	-3,6	1427,52	400,58		YNL175C	-1,5	2742,47	1787,56	
YNL102W	-2,9	1167,33	399,35		YNL176C	--	1759,97	2187,68	
YNL103W	-2,2	1701,71	778,35		YNL177C	-2	2191,68	1099,25	
YNL104C	--	1103,92	1157,38		YNL178W	--	54915,16	68893,59	
YNL105W	-5,4	1101,56	203,21		YNL179C	-1,9	6963,48	3688,00	
YNL106C	-3,6	1167,89	328,44		YNL180C	-9,5	3937,04	414,91	
YNL107W	-2	1824,11	932,26		YNL181W	-2	1933,44	985,05	
YNL108C	--	2855,01	2225,04		YNL182C	-4,4	2566,21	588,49	
YNL109W	-1,8	3819,53	2170,02		YNL183C	-2,3	2675,38	1171,21	
YNL110C	-2,2	3696,03	1705,04		YNL184C	-1,7	1676,81	970,18	
YNL111C	--	4557,55	3487,49		YNL185C	-2,3	2905,82	1267,87	
YNL112W	-2,5	952,17	378,38		YNL186W	-6,5	2207,01	341,29	
YNL113W	-2,5	6266,90	2473,96		YNL187W	-2,2	1978,79	900,72	
YNL114C	-2,5	5300,03	2106,56		YNL188W	--	1579,13	1579,71	
YNL115C	-2,5	1637,09	646,61		YNL189W	-1,6	4362,96	2768,23	
YNL116W	--	1819,52	1575,47		YNL190W	--	35591,40	26009,38	
YNL117W	-7,2	1250,28	174,06		YNL191W	--	1465,74	1160,36	
YNL118C	-4,3	1069,23	248,26		YNL192W	-2,5	7214,99	2868,52	
YNL119W	-2,2	1916,33	884,91		YNL193W	-3,9	846,36	214,53	
YNL120C	-1,5	1008,74	660,74		YNL194C	-7,4	1223,29	165,09	
YNL121C	-1,7	1804,01	1031,67		YNL195C	-2,4	1599,11	663,90	
YNL122C	-1,9	3845,46	1979,69		YNL196C	-1,6	3191,09	1969,98	
YNL123W	-1,6	1002,27	642,09		YNL197C	-1,7	2551,11	1541,32	
YNL124W	-1,6	1046,71	647,84		YNL198C	-2,2	2485,45	1138,00	
YNL125C	-3	1430,29	474,76		YNL199C	-1,9	2684,57	1433,45	
YNL126W	-3,8	1282,81	335,25		YNL200C	-2,9	2006,55	685,39	
YNL127W	-1,7	1515,72	879,04		YNL201C	-2,7	1768,53	663,60	



ORF	Faktor +/-		Norm. Signalintensität		ORF	Faktor +/-		Norm. Signalintensität	
	T73/MCY730	MCY730	T73			T73/MCY730	MCY730	T73	
YNL202W	-3,4	1874,01	544,70		YNL276C	-7	2171,34	308,43	
YNL203C	-2,4	2357,47	977,17		YNL277W	-5,1	2933,63	570,59	
YNL204C	-2	927,33	460,53		YNL278W	-2,4	1700,84	710,93	
YNL205C	-1,7	2156,99	1243,56		YNL279W	-2,4	3322,91	1381,77	
YNL206C	-2,3	3241,62	1403,41		YNL280C	--	5196,82	5878,72	
YNL207W	-2	5591,07	2789,51		YNL281W	--	14421,26	10186,84	
YNL208W	-2,6	22554,44	8741,42		YNL282W	-2,8	2966,12	1049,76	
YNL209W	-2,4	8425,10	3490,18		YNL283C	-1,9	5633,21	2945,48	
YNL210W	-1,6	1839,13	1119,36		YNL284C	--	4292,48	3317,27	
YNL211C	-3,1	4102,26	1325,76		YNL285W	--	1482,85	990,14	
YNL212W	--	1568,92	1053,75		YNL286W	-2,2	2495,95	1127,13	
YNL213C	-24,3	3466,67	142,67		YNL287W	-3	3554,73	1192,39	
YNL214W	-5,9	1419,09	241,57		YNL288W	--	2576,14	1942,44	
YNL215W	-3,3	3955,54	1210,80		YNL289W	--	14198,52	10743,50	
YNL216W	--	1181,33	888,93		YNL290W	-1,6	7571,99	4778,17	
YNL217W	-1,7	1680,60	962,64		YNL291C	-2,8	3982,87	1400,67	
YNL218W	-2	3508,41	1720,97		YNL292W	-2,6	3256,88	1264,62	
YNL219C	-3,9	2470,23	638,98		YNL293W	-2	4573,19	2265,24	
YNL220W	+3,1	6921,14	21438,58		YNL294C	-2,2	4467,15	2059,20	
YNL221C	-3,5	1289,69	372,39		YNL295W	-7,1	1114,21	156,60	
YNL222W	-52,4	1240,23	23,66		YNL296W	-3,8	1840,93	487,16	
YNL223W	-1,7	1498,70	894,62		YNL297C	-1,7	1649,80	961,57	
YNL224C	-1,6	2900,68	1843,92		YNL298W	-2,1	1267,58	604,37	
YNL225C	-9,6	1729,63	180,80		YNL299W	-1,6	2110,67	1319,47	
YNL226W	-9,5	1148,17	121,13		YNL300W	--	6350,27	4604,45	
YNL227C	-4,2	5261,11	1243,63		YNL301C	--	151711,19	112653,00	
YNL228W	-2,7	6149,13	2256,15		YNL302C	--	95099,62	104420,31	
YNL229C	-2,3	4261,62	1873,56		YNL303W	-1,8	3585,78	2024,30	
YNL230C	-3,1	2570,68	816,17		YNL304W	-2,6	3608,47	1384,15	
YNL231C	-2	2972,34	1521,59		YNL305C	-2,1	2879,73	1395,89	
YNL232W	-1,9	5107,84	2736,74		YNL306W	-2,1	4481,84	2114,68	
YNL233W	-2,1	2101,84	979,54		YNL307C	-4,9	3016,11	610,46	
YNL234W	-2,2	1877,36	858,55		YNL308C	-2,2	12259,99	5579,67	
YNL235C	-2,4	5965,83	2435,59		YNL309W	-3,2	1570,61	486,60	
YNL236W	--	1813,48	1701,40		YNL310C	--	6002,53	4169,64	
YNL237W	-1796,8	1796,78	1,00		YNL311C	-2,8	1965,35	703,96	
YNL238W	-4,7	1618,43	343,64		YNL312W	--	5707,07	4288,68	
YNL239W	-2,7	3076,46	1153,61		YNL313C	-2,5	1984,75	806,24	
YNL240C	-2,2	3125,61	1413,43		YNL314W	-2	3070,66	1571,09	
YNL241C	-1,7	1810,70	1060,91		YNL315C	-1,8	4454,95	2534,59	
YNL242W	-2,3	4275,56	1856,27		YNL316C	-5,1	2201,28	430,62	
YNL243W	-1,8	1707,48	930,83		YNL317W	--	4067,65	3346,33	
YNL244C	--	20833,84	14487,43		YNL318C	--	2935,90	2586,75	
YNL245C	-2,3	2112,17	903,33		YNL319W	--	1569,74	1258,23	
YNL246W	-3,2	6974,08	2201,55		YNL320W	--	3044,49	2409,97	
YNL247W	-2,1	6087,62	2942,38		YNL321W	-2,5	1193,57	475,35	
YNL248C	--	2935,47	2079,60		YNL322C	-2	4515,86	2209,80	
YNL249C	-50,8	2207,68	43,45		YNL323W	-2,4	2185,53	908,19	
YNL250W	-4,2	2925,28	693,55		YNL324W	-2,3	2010,99	863,80	
YNL251C	-5,1	6990,84	1381,72		YNL325C	-1,7	758,52	458,19	
YNL252C	--	2454,73	1725,22		YNL326C	-3,6	1525,71	419,44	
YNL253W	-3,3	2426,06	742,44		YNL327W	-2,3	1561,89	682,43	
YNL254C	-2,9	3352,38	1155,45		YNL328C	-1,9	2162,87	1141,90	
YNL255C	-1,5	31824,49	20759,05		YNL329C	-1,7	2155,96	1276,41	
YNL256W	-2,2	2277,34	1039,41		YNL330C	--	3391,65	4013,61	
YNL257C	-3,1	4969,91	1609,54		YNL331C	-2,7	2548,70	933,41	
YNL258C	-3,3	16903,79	5175,11		YNL332W	-2,2	1542,59	710,16	
YNL259C	--	2602,38	2022,76		YNL333W	-6,4	2823,11	438,93	
YNL260C	--	3575,54	2954,68		YNL334C	-2	45671,07	23246,45	
YNL261W	-10,4	2543,41	245,11		YNL335W	-4,8	1874,97	386,63	
YNL262W	-3,1	2997,82	968,08		YNL336W	-2	1163,50	568,83	
YNL263C	-2,6	4394,75	1719,11		YNL337W	-3,3	1980,66	603,34	
YNL264C	-3,9	2919,22	746,79		YNL338W	--	7851,09	8004,77	
YNL265C	-2,8	2108,07	759,79		YNL339C	-5	1818,65	360,54	
YNL266W	-2	3360,11	1695,02		YNR001C	-2,7	2400,72	880,49	
YNL267W	-2,8	12158,22	4399,94		YNR002C	-1,8	2391,61	1346,59	
YNL268W	-2,4	4778,97	2015,70		YNR003C	--	3026,92	2428,06	
YNL269W	-1,9	4462,59	2343,17		YNR004W	-5,8	2388,96	413,92	
YNL270C	-2,2	3700,46	1709,97		YNR005C	-3,9	2511,42	636,58	
YNL271C	-2	16055,53	8173,92		YNR006W	-1,6	2831,73	1726,33	
YNL272C	--	4632,69	4174,24		YNR007C	-3	2124,10	697,08	
YNL273W	--	10678,62	7202,72		YNR008W	-3,5	2341,83	664,08	
YNL274C	-2,3	1843,45	789,07		YNR009W	--	3908,22	2933,01	
YNL275W	-2,4	2004,23	822,97		YNR010W	-1,9	2779,00	1489,41	

ORF	Faktor +/-	Norm. Signalintensität		ORF	Faktor +/-	Norm. Signalintensität	
	T73/MCY730	MCY730	T73		T73/MCY730	MCY730	T73
YNR011C	-3	2141,44	713,19	YOL008W	--	1826,79	2014,14
YNR012W	-2,1	2209,45	1071,54	YOL009C	-1,8	5726,85	3207,34
YNR013C	-2,2	7145,40	3187,67	YOL010W	-2,8	2777,70	993,49
YNR014W	--	2357,63	2417,73	YOL011W	-2,6	3121,83	1204,92
YNR015W	--	5551,59	4462,13	YOL012C	-2	6431,59	3268,89
YNR016C	-7,1	2353,53	331,00	YOL013C	-1,8	3676,97	2091,44
YNR017W	-2,2	8910,55	4087,29	YOL014W	-1,6	4767,38	2929,06
YNR018W	-2,1	8699,55	4223,64	YOL015W	-1,7	1168,77	671,70
YNR019W	--	1752,80	1218,46	YOL016C	-2	2890,17	1460,11
YNR020C	-1,5	2601,66	1694,69	YOL017W	-2,4	2051,68	862,57
YNR021W	-1,9	7326,87	3845,53	YOL018C	-1,9	2490,20	1340,40
YNR022C	-1,8	8264,00	4537,18	YOL019W	-3,1	2882,49	929,03
YNR023W	-3,1	1750,21	569,51	YOL020W	--	3067,69	2421,19
YNR024W	--	3574,13	2672,20	YOL021C	-2,1	1074,91	510,90
YNR025C	-2,1	4219,99	2019,44	YOL022C	-2,1	4366,71	2055,67
YNR026C	-1,6	2311,19	1483,25	YOL023W	-2	2835,32	1388,94
YNR027W	--	2062,82	2260,89	YOL024W	--	2775,89	1938,30
YNR028W	-1,6	2332,76	1483,52	YOL025W	-2,2	742,38	333,65
YNR029C	-2,1	3935,18	1835,67	YOL026C	-2,4	9835,72	4035,74
YNR030W	-4,4	2397,74	545,88	YOL027C	-2,3	2831,14	1234,83
YNR031C	-10	3554,29	354,24	YOL028C	--	2123,73	1560,11
YNR032W	-3	2406,05	790,13	YOL029C	-2,2	5079,89	2343,25
YNR033W	-3	4118,47	1359,72	YOL030W	-2,6	8288,14	3147,34
YNR034W	-1,6	3140,81	1914,63	YOL031C	-1,6	3628,63	2334,50
YNR035C	--	8622,61	6993,53	YOL032W	-2,3	4058,45	1777,30
YNR036C	-1,9	7454,75	3919,87	YOL033W	-2,8	1847,41	654,44
YNR037C	-2,2	9571,69	4337,68	YOL034W	--	14750,04	10253,29
YNR038W	--	2533,54	1829,19	YOL035C	-1,5	5473,83	3574,60
YNR039C	--	3289,79	2897,28	YOL036W	+1,6	2066,13	3305,31
YNR040W	-3,9	2316,02	598,62	YOL037C	-4,8	5410,18	1137,20
YNR041C	-3,1	5809,80	1892,88	YOL038W	--	14665,77	11123,73
YNR042W	-2,7	2917,49	1089,92	YOL039W	--	84163,24	116691,34
YNR043W	--	10062,00	7558,36	YOL040C	--	101026,52	77299,11
YNR044W	-3,8	2443,31	639,51	YOL041C	-3,4	1112,75	326,03
YNR045W	-2,1	1766,00	828,03	YOL042W	-1,8	1432,81	781,07
YNR046W	-1,8	16350,97	8975,81	YOL043C	-2,9	1956,67	685,39
YNR047W	--	1639,73	1569,61	YOL044W	-7,3	1356,00	184,74
YNR048W	--	1855,74	1373,24	YOL045W	-1,6	1105,12	672,64
YNR049C	-2,6	6843,01	2672,42	YOL046C	-1,9	1469,60	753,89
YNR050C	-10,7	42463,49	3959,85	YOL047C	-1,9	1904,65	985,27
YNR051C	-1,9	7573,00	3886,33	YOL048C	--	2472,08	2391,19
YNR052C	-2	9499,26	4655,15	YOL049W	-11,1	3331,83	300,03
YNR053C	-3,8	7245,65	1890,14	YOL050C	-2,5	2948,79	1176,75
YNR054C	-1,9	8655,88	4463,15	YOL051W	-2	22405,57	11391,62
YNR055C	--	3118,35	2180,94	YOL052C	-2	3151,79	1595,47
YNR056C	-2,6	2197,42	857,56	YOL053C	-2,3	1542,95	656,59
YNR057C	-2,5	3260,44	1305,04	YOL053W	-1,6	1859,86	1188,68
YNR058W	-6,9	1711,47	247,37	YOL054W	-5,2	3524,44	682,11
YNR059W	-21,3	1538,89	72,30	YOL055C	-1,8	1497,79	850,23
YNR060W	-1,9	1814,65	942,03	YOL056W	-1,7	2083,68	1222,83
YNR061C	-2,8	3989,38	1429,66	YOL057W	-2,1	1623,93	773,54
YNR062C	-2,3	1879,34	832,48	YOL058W	-2,5	5772,59	2281,23
YNR063W	-2,7	4168,22	1570,31	YOL059W	-2	3280,44	1638,75
YNR064C	-20,9	2308,56	110,54	YOL060C	-2,5	2933,85	1197,17
YNR065C	-45,9	833,21	18,14	YOL061W	-5,1	1870,33	368,94
YNR066C	-3	839,14	277,87	YOL062C	-2,5	2031,67	823,69
YNR067C	-1,9	1326,42	704,73	YOL063C	-2	9891,13	5033,60
YNR068C	--	1035,05	860,72	YOL064C	-1,8	2627,12	1456,26
YNR069C	-2,6	2128,87	829,39	YOL065C	-1,9	1657,95	867,06
YNR070W	-2,7	1222,35	447,35	YOL066C	-2,8	2103,11	737,94
YNR071C	-2,9	1497,24	522,82	YOL067C	-1,5	1642,32	1063,31
YNR072W	-4,2	1706,44	401,61	YOL068C	-1,9	2209,86	1186,82
YNR073C	-1,8	1388,93	772,13	YOL069W	-2,1	2484,66	1179,68
YNR074C	-2,9	2974,12	1026,27	YOL070C	--	2554,44	2369,90
YNR075W	--	3122,96	2243,36	YOL071W	-3,7	3082,65	841,06
YNR076W	-1,8	4473,84	2457,48	YOL072W	-2,2	3220,10	1487,36
YNR077C	-7,5	1700,72	226,49	YOL073C	-3,1	1318,41	423,64
YOL001W	-4,3	2705,61	634,52	YOL074C	-1263	1263,02	1,00
YOL002C	-2,9	2048,61	710,74	YOL075C	-3,3	3597,85	1106,16
YOL003C	--	1784,59	1596,80	YOL076W	-2	2221,31	1115,59
YOL004W	-1,6	2791,77	1779,79	YOL077C	--	9789,06	6909,04
YOL005C	-2,2	20209,13	9373,25	YOL078W	-1,6	1929,06	1176,25
YOL006C	-3,5	3481,96	981,12	YOL079W	-1,6	2372,24	1455,80
YOL007C	-1,5	1800,68	1184,44	YOL080C	-2,2	2809,83	1276,74

ORF	Faktor +/-		Norm. Signalintensität		ORF	Faktor +/-		Norm. Signalintensität	
	T73/MCY730	MCY730	T73			T73/MCY730	MCY730	T73	
YOL081W	--	1976,28	1500,17		YOL155C	+1,8	1737,77	3061,67	
YOL082W	--	2208,34	1980,46		YOL156W	-8,1	1607,67	198,73	
YOL083W	-1308,3	1308,34	1,00		YOL157C	-3,7	1660,82	447,84	
YOL084W	-4,1	1010,01	247,25		YOL158C	-2,7	2863,40	1042,28	
YOL085C	-2580,1	2580,09	1,00		YOL159C	-2,4	12260,30	5048,15	
YOL086C	--	96878,06	92268,51		YOL160W	-3,1	2229,51	720,24	
YOL087C	-3,7	10079,65	2698,80		YOL161C	-8,6	3380,01	395,19	
YOL088C	-3,4	6174,76	1801,20		YOL162W	-2,2	1785,95	814,68	
YOL089C	-5,2	2513,76	483,35		YOL163W	-1,9	1613,92	838,74	
YOL090W	-2,5	4882,95	1924,02		YOL164W	-1,7	2086,35	1209,75	
YOL091W	-2,9	1556,58	531,69		YOL165C	-12,9	3865,05	300,20	
YOL092W	-2,6	6376,26	2441,09		YOL166C	-4,8	2330,48	490,23	
YOL093W	-1,8	5697,22	3090,98		YOR001W	-1,8	2364,28	1344,54	
YOL094C	--	3616,31	2582,32		YOR002W	-2,7	2314,56	872,09	
YOL095C	-5,4	2014,96	374,98		YOR003W	-3,3	1862,21	572,23	
YOL096C	-1,8	2909,32	1624,11		YOR004W	-1,7	5179,47	2972,64	
YOL097C	--	7956,07	5554,42		YOR005C	-2,2	6688,26	3009,70	
YOL098C	-1,6	1284,12	802,44		YOR006C	-2,1	4009,82	1867,90	
YOL099C	-2,5	1166,74	462,47		YOR007C	--	8354,34	7241,40	
YOL100W	-4,7	2579,21	551,35		YOR008C	-1,7	4408,85	2587,63	
YOL101C	--	2346,48	1660,42		YOR009W	-1,8	2665,62	1469,65	
YOL102C	-2	2275,32	1157,92		YOR010C	-2,1	2619,93	1270,39	
YOL103W	--	3328,39	2241,21		YOR011W	-2,3	4437,30	1930,94	
YOL104C	-4	1002,90	249,04		YOR012W	-4,5	1331,62	296,03	
YOL105C	-2	3117,25	1546,94		YOR013W	-2,7	2758,01	1022,20	
YOL106W	-24,9	9345,55	375,94		YOR014W	-2,1	7792,27	3693,87	
YOL107W	-3,2	1956,21	614,29		YOR015W	-7,3	5971,56	812,70	
YOL108C	--	27419,63	25149,75		YOR016C	-3,3	1137,54	344,06	
YOL109W	-1,9	141680,61	76217,08		YOR017W	-3,3	4742,20	1442,29	
YOL110W	-3,1	5936,16	1940,42		YOR018W	--	5125,87	4310,81	
YOL111C	-2,3	6370,97	2831,47		YOR019W	--	8555,13	5815,75	
YOL112W	-1,6	1626,90	1048,92		YOR020C	--	19210,46	23362,52	
YOL113W	-1,7	2390,49	1447,82		YOR021C	-1,5	4322,31	2823,53	
YOL114C	-1,8	1549,23	839,05		YOR022C	--	2583,64	3037,59	
YOL115W	-1,9	2177,14	1174,34		YOR023C	-1,8	3142,93	1720,07	
YOL116W	--	3788,01	2538,27		YOR024W	-4,2	3869,34	924,21	
YOL117W	-76,7	2294,79	29,90		YOR025W	-1,7	2930,42	1773,04	
YOL118C	-4,8	1994,40	419,83		YOR026W	-1,5	2680,37	1747,75	
YOL119C	-4,5	1548,89	343,76		YOR027W	--	14921,69	10185,03	
YOL120C	-1,8	75206,72	41222,54		YOR028C	-4,5	1398,68	311,37	
YOL121C	--	70154,25	50913,55		YOR029W	-2,1	3875,10	1816,20	
YOL122C	-2,6	7198,60	2738,14		YOR030W	+1,5	659,30	1013,11	
YOL123W	-2,6	3989,98	1545,74		YOR031W	--	2891,60	2145,99	
YOL124C	-2	2959,77	1504,35		YOR032C	--	3652,73	2581,44	
YOL125W	-2,9	1838,22	643,48		YOR033C	-2,2	2217,09	1010,48	
YOL126C	-7	3063,58	437,37		YOR034C	--	1514,06	1284,57	
YOL127W	-1,7	14768,25	8574,42		YOR035C	-3,9	1272,97	323,92	
YOL128C	-1,8	6492,81	3631,29		YOR036W	-3,1	10038,01	3286,38	
YOL129W	-2,5	7100,72	2818,21		YOR037W	--	11447,01	8112,51	
YOL130W	-2,5	587,71	236,53		YOR038C	-2,1	3787,71	1784,50	
YOL131W	-31,3	1507,57	48,20		YOR039W	-1,9	11054,85	5894,63	
YOL132W	-5,7	1266,83	223,74		YOR040W	-2,4	1650,16	687,16	
YOL133W	-1,8	3308,04	1816,61		YOR041C	--	3054,03	3471,60	
YOL134C	-2,4	3384,95	1422,18		YOR042W	--	5716,71	3972,69	
YOL135C	-1,6	2869,28	1785,08		YOR043W	-2	4202,37	2127,79	
YOL136C	--	1227,47	1019,58		YOR044W	-1,6	1920,85	1210,69	
YOL137W	-1,9	1982,44	1057,08		YOR045W	--	4416,16	3280,03	
YOL138C	-2	2251,66	1121,64		YOR046C	-1,7	4998,58	3013,08	
YOL139C	-2,2	9803,34	4432,31		YOR047C	-2,7	2740,35	1002,81	
YOL140W	--	1610,51	1653,54		YOR048C	-1,6	1367,38	847,15	
YOL141W	-2672,7	2672,71	1,00		YOR049C	-3,1	1085,85	350,80	
YOL142W	-3,3	3054,40	917,00		YOR050C	-2,8	2156,64	773,07	
YOL143C	-9,8	27917,32	2838,84		YOR051C	-2	4956,15	2434,18	
YOL144W	-2,7	3054,37	1117,22		YOR052C	-1,5	3035,82	1987,10	
YOL145C	-5,1	1377,18	269,27		YOR053W	--	17114,77	16805,23	
YOL146W	-3,4	2505,08	746,79		YOR054C	--	8946,65	8827,80	
YOL147C	-2,2	3623,89	1615,64		YOR055W	-4,3	1773,50	412,96	
YOL148C	-2,8	1735,46	616,08		YOR056C	-3,8	9322,06	2482,19	
YOL149W	-5,5	1981,96	361,80		YOR057W	-1,8	3004,91	1626,28	
YOL150C	-4,6	3631,94	790,17		YOR058C	--	1990,39	2272,40	
YOL151W	-2,2	1514,65	675,77		YOR059C	-1,5	3310,40	2140,24	
YOL152W	--	3835,14	2781,31		YOR060C	-2,8	1702,40	605,52	
YOL153C	-89,6	2230,02	24,88		YOR061W	-3,3	580,40	177,94	
YOL154W	-3,9	2430,84	617,93		YOR062C	-12,4	306,02	24,61	

ORF	Faktor +/-	Norm. Signalintensität		ORF	Faktor +/-	Norm. Signalintensität	
	T73/MCY730	MCY730	T73		T73/MCY730	MCY730	T73
YOR063W	--	274911,20	210149,27	YOR137C	-3,4	1337,86	399,14
YOR064C	-2,5	5733,12	2272,60	YOR138C	-12,8	2703,27	210,48
YOR065W	--	12790,94	9957,08	YOR139C	--	1538,67	1129,11
YOR066W	-1,9	1979,89	1017,40	YOR140W	-4,8	1288,30	270,30
YOR067C	-2,4	1479,61	619,03	YOR141C	-2,3	1242,70	544,17
YOR068C	-2	2160,94	1093,58	YOR142W	-2	3956,17	1944,51
YOR069W	-1,6	2651,46	1677,79	YOR143C	-1,7	1736,42	1022,30
YOR070C	+1,6	1765,24	2796,03	YOR144C	-2	2136,07	1076,25
YOR071C	-5,1	3153,01	622,32	YOR145C	-2,1	14012,28	6723,68
YOR072W	-2,9	9529,98	3295,06	YOR146W	-1,9	7908,29	4073,60
YOR073W	-2,7	1941,15	724,34	YOR147W	-1,8	4092,55	2267,01
YOR074C	-1,7	4045,57	2377,08	YOR148C	-4,9	3035,82	624,31
YOR075W	-2	3082,50	1505,41	YOR149C	-4,9	1163,26	238,74
YOR076C	-4,9	1418,82	291,77	YOR150W	-1,6	3033,76	1897,42
YOR077W	-3,3	3045,77	921,71	YOR151C	-1,6	1181,15	748,80
YOR078W	-1,6	10302,42	6591,09	YOR152C	-1,6	3130,33	1961,80
YOR079C	-8,5	2100,68	247,46	YOR153W	--	8797,77	6063,61
YOR080W	-3,7	4481,72	1203,21	YOR154W	-2	7328,07	3654,16
YOR081C	--	2577,85	1997,13	YOR155C	-2,8	1495,01	527,42
YOR082C	--	7540,76	6392,96	YOR156C	-1,9	1303,82	672,77
YOR083W	-7,2	1945,02	268,67	YOR157C	-1,5	7451,12	4827,26
YOR084W	-3,7	3182,97	862,14	YOR158W	-2	2460,00	1217,12
YOR085W	-2,8	4122,93	1460,38	YOR159C	-1,8	1866,39	1030,93
YOR086C	-2,4	2168,21	914,87	YOR160W	-3,6	2030,77	571,58
YOR087W	-1,7	4239,24	2505,22	YOR161C	-3,8	1574,63	413,72
YOR088W	-1,9	2831,95	1476,61	YOR162C	-2,2	2402,84	1090,91
YOR089C	-2,4	8485,99	3530,12	YOR163W	-2,7	5029,03	1863,78
YOR090C	-2,5	3398,94	1349,37	YOR164C	-2,5	9439,68	3848,00
YOR091W	-1,9	15797,70	8351,02	YOR165W	-6,4	4489,64	701,81
YOR092W	-2,1	1727,45	823,45	YOR166C	-4,3	3633,64	844,40
YOR093C	--	2308,26	1917,28	YOR167C	--	117132,08	97726,72
YOR094W	--	4220,56	3118,40	YOR168W	-2,3	2533,60	1087,21
YOR095C	-3,2	3304,83	1037,17	YOR169C	-2,2	4681,28	2089,06
YOR096W	-1,8	52581,72	29160,95	YOR170W	-3,8	2215,43	580,16
YOR097C	-2,8	3402,91	1231,20	YOR171C	-2,8	1372,51	498,70
YOR098C	-5,4	1236,47	229,39	YOR172W	-2	870,09	444,76
YOR099W	-2,1	4927,26	2305,23	YOR173W	-5,1	2059,46	400,67
YOR100C	-3,1	2998,77	958,39	YOR174W	-3,5	2366,30	685,23
YOR101W	-2	3608,46	1834,41	YOR175C	--	1404,74	948,89
YOR102W	-2,2	1670,53	776,03	YOR176W	-1,5	3667,72	2393,33
YOR103C	-1,7	3569,86	2040,60	YOR177C	-31,1	2465,95	79,41
YOR104W	-2,6	3424,69	1307,11	YOR178C	-7,9	1579,47	199,64
YOR105W	--	2001,16	1555,63	YOR179C	-2,6	3556,01	1358,48
YOR106W	--	3102,21	2826,52	YOR180C	-25,2	1137,68	45,21
YOR107W	-2,9	2184,03	751,26	YOR181W	-4,7	1690,11	360,05
YOR108W	-2,4	3347,10	1367,62	YOR182C	--	29076,63	24967,58
YOR109W	-4,3	5026,97	1169,38	YOR183W	-3,4	2052,89	597,09
YOR110W	-3334,4	3334,39	1,00	YOR184W	+2,1	6805,58	14402,03
YOR111W	-5,1	3729,90	733,89	YOR185C	-2,8	4129,91	1450,31
YOR112W	-4	3927,49	982,01	YOR186W	-1,6	1590,42	1012,73
YOR113W	-2,5	4414,58	1801,30	YOR187W	--	3775,79	2584,28
YOR114W	-2,1	2635,53	1227,37	YOR188W	-1,9	8928,92	4754,12
YOR115C	-2,9	6104,07	2119,27	YOR189W	-1,6	7110,40	4325,33
YOR116C	-5,5	2606,81	473,76	YOR190W	-10,4	2001,46	192,48
YOR117W	--	5861,03	4842,54	YOR191W	-1,9	10295,38	5477,79
YOR118W	--	2248,08	2585,39	YOR192C	-5,9	2078,99	353,85
YOR119C	-3,2	3454,21	1079,31	YOR193W	-3,2	2258,45	716,36
YOR120W	-3,1	3729,38	1189,23	YOR194C	-2,2	10674,59	4947,24
YOR121C	-2,2	3018,80	1394,14	YOR195W	--	2851,74	1949,04
YOR122C	-1,6	21152,68	12938,66	YOR196C	-1,5	3161,81	2094,16
YOR123C	-3,2	3110,01	963,61	YOR197W	-2,2	4892,67	2232,67
YOR124C	-2,6	7483,10	2880,62	YOR198C	+1,5	12891,53	19562,56
YOR125C	--	2306,52	1559,20	YOR199W	-3,5	5194,78	1471,36
YOR126C	--	2882,56	2136,65	YOR200W	-11,4	2390,07	209,46
YOR127W	-1,7	4560,16	2634,83	YOR201C	-3,6	1785,27	491,77
YOR128C	+4,8	2690,86	12820,69	YOR202W	+3,2	1666,56	5337,40
YOR129C	-2	1126,56	549,59	YOR203W	--	2943,31	4057,64
YOR130C	-2,2	4070,13	1824,12	YOR204W	-2,3	1877,79	806,59
YOR131C	-4,1	5633,81	1381,34	YOR205C	-8,7	3588,89	413,18
YOR132W	-2,7	3654,13	1355,60	YOR206W	-2,6	4375,08	1657,91
YOR133W	--	31533,93	43273,78	YOR207C	-2,2	4350,12	1993,53
YOR134W	--	2874,86	2084,60	YOR208W	-42,1	1322,51	31,43
YOR135C	-2,1	67386,11	32336,41	YOR209C	-1,9	11419,37	6004,82
YOR136W	-2,2	9312,41	4194,36	YOR210W	-1,7	6508,30	3756,71

ORF	Faktor +/-		Norm. Signalintensität		ORF	Faktor +/-		Norm. Signalintensität	
	T73/MCY730	MCY730	T73			T73/MCY730	MCY730	T73	
YOR211C	-3,2	1541,92	474,76		YOR285W	-2,3	7316,07	3202,90	
YOR212W	-4,1	2519,09	613,74		YOR286W	-2,3	7066,39	3110,23	
YOR213C	-2	1866,92	923,57		YOR287C	-2,8	2982,87	1078,65	
YOR214C	-2,3	1858,76	822,35		YOR288C	-3,8	2858,36	748,86	
YOR215C	-2,5	3699,93	1459,17		YOR289W	-2,6	4300,65	1632,93	
YOR216C	-1,6	3768,63	2353,09		YOR290C	-2,1	3898,00	1893,55	
YOR217W	--	1509,33	1112,30		YOR291W	-1,9	7504,11	3939,04	
YOR218C	--	4059,44	4096,49		YOR292C	-2,3	2719,39	1203,24	
YOR219C	--	1744,64	1264,96		YOR293W	--	38189,29	33114,38	
YOR220W	-1,7	4704,66	2726,33		YOR294W	--	6140,82	5243,37	
YOR221C	-2,3	2687,34	1146,76		YOR295W	-5,8	3236,55	559,30	
YOR222W	--	3429,59	2497,82		YOR296W	-14	1477,37	105,33	
YOR223W	-8,1	3939,27	486,09		YOR297C	-4,9	4091,61	835,40	
YOR224C	--	15491,99	15171,11		YOR298W	-3,1	3200,75	1028,66	
YOR225W	-1,7	2662,76	1598,67		YOR299W	-1,7	2734,25	1620,19	
YOR226C	-1,6	4762,54	3013,10		YOR300W	-6,3	3996,35	629,39	
YOR227W	-2,3	11338,29	4845,42		YOR301W	-2,3	2317,20	1006,76	
YOR228C	-2	1854,01	929,88		YOR302W	-3,7	3917,61	1051,61	
YOR229W	--	7837,72	6998,94		YOR303W	-3,7	7118,37	1942,45	
YOR230W	-2,5	14496,87	5687,44		YOR304W	-2,2	3869,36	1754,12	
YOR231W	-3,9	3365,28	854,35		YOR305W	-3,8	3680,43	958,74	
YOR232W	--	15425,75	11917,48		YOR306C	-3,2	2570,05	791,91	
YOR233W	-1,7	3205,57	1873,94		YOR307C	--	1696,08	1528,25	
YOR234C	--	15594,10	13485,06		YOR308C	-2,6	2589,92	995,21	
YOR235W	-3,8	1646,04	428,66		YOR309C	-1,8	7491,17	4083,04	
YOR236W	-1,8	4858,35	2635,31		YOR310C	--	12634,91	11278,38	
YOR237W	-5,3	2053,38	386,65		YOR311C	-2	3968,88	1980,70	
YOR238W	-2,5	2946,30	1201,59		YOR312C	--	80155,22	74252,02	
YOR239W	-4,2	9856,42	2370,30		YOR313C	--	1710,50	1462,91	
YOR240W	-1,9	2313,93	1215,01		YOR314W	-2,5	2493,24	1004,97	
YOR241W	-1,8	4005,82	2190,63		YOR315W	-2	3403,40	1735,96	
YOR242C	-2,1	1822,32	866,19		YOR316C	-2,5	2868,94	1131,65	
YOR243C	-2,4	4907,05	2012,75		YOR317W	-1,7	7449,56	4458,59	
YOR244W	-2,2	2144,21	983,67		YOR318C	-3,2	3470,02	1070,32	
YOR245C	-2,7	3416,94	1260,61		YOR319W	-1,9	2656,89	1408,32	
YOR246C	--	3072,56	3672,34		YOR320C	-1,7	3317,33	1955,74	
YOR247W	-2,1	41204,81	19770,79		YOR321W	--	7386,34	7127,53	
YOR248W	-1,9	29147,04	15216,04		YOR322C	-2,1	2840,21	1359,92	
YOR249C	--	2772,07	3125,79		YOR323C	-2,3	8358,52	3703,37	
YOR250C	-1,7	2462,41	1481,77		YOR324C	--	949,64	677,89	
YOR251C	-2,7	4429,28	1636,55		YOR325W	--	3404,22	3012,33	
YOR252W	-2	6234,30	3180,99		YOR326W	-2	1801,86	884,25	
YOR253W	-2,6	4005,22	1520,48		YOR327C	--	11016,95	7511,00	
YOR254C	-4,6	1585,56	347,72		YOR328W	--	1568,19	1232,68	
YOR255W	-4	2493,11	624,09		YOR329C	-2288,8	2288,83	1,00	
YOR256C	-2,2	1966,04	885,46		YOR330C	-83,3	1405,32	16,87	
YOR257W	-2	3014,01	1505,10		YOR331C	-1,6	6913,32	4349,19	
YOR258W	--	2482,55	2527,84		YOR332W	-1,9	14536,17	7659,69	
YOR259C	-2,6	4338,15	1681,32		YOR333C	-1,7	1825,03	1052,93	
YOR260W	-1,5	3187,11	2099,15		YOR334W	-2,2	1983,49	904,33	
YOR261C	-1,7	5264,70	3008,48		YOR335C	-2,2	2002,38	911,49	
YOR262W	-3,1	5099,61	1652,42		YOR336W	-1,9	3428,54	1832,08	
YOR263C	-3	3900,50	1282,08		YOR337W	-4,9	1919,51	394,26	
YOR264W	-2,8	3851,29	1378,96		YOR338W	-3,2	1618,13	512,55	
YOR265W	-1,9	6328,42	3341,33		YOR339C	-2	2164,80	1068,72	
YOR266W	-4,3	2561,75	592,54		YOR340C	-1,5	6431,81	4239,29	
YOR267C	-1,9	5269,57	2835,70		YOR341W	-12,7	2512,90	198,63	
YOR268C	-1,8	2423,93	1349,22		YOR342C	--	6971,65	10002,40	
YOR269W	-1,9	1992,03	1039,68		YOR343C	-4,6	830,19	179,23	
YOR270C	--	4347,03	3012,50		YOR344C	-1,9	6807,20	3499,88	
YOR271C	-2,1	5427,82	2568,26		YOR345C	-1,7	1164,43	700,11	
YOR272W	-2,8	5948,75	2097,78		YOR346W	-1557	1557,00	1,00	
YOR273C	-10,5	2080,54	197,58		YOR347C	-2,2	2627,41	1204,38	
YOR274W	-2,2	1770,34	804,26		YOR348C	-1,6	2567,20	1629,61	
YOR275C	-3	2603,48	879,63		YOR349W	--	8046,28	6990,62	
YOR276W	-2	10970,64	5614,40		YOR350C	--	3141,35	2425,74	
YOR277C	-2,3	18158,87	7773,38		YOR351C	-1856,2	1856,25	1,00	
YOR278W	-2,7	2643,90	972,69		YOR352W	-3,4	2480,45	726,47	
YOR279C	-2,8	4580,74	1635,61		YOR353C	-4,7	2087,60	439,62	
YOR280C	-1,7	2151,34	1242,76		YOR354C	-1,5	1812,99	1173,41	
YOR281C	-2,4	8697,47	3626,93		YOR355W	-2,4	1208,25	495,66	
YOR282W	--	4040,09	2908,32		YOR356W	-6	807,01	134,30	
YOR283W	-3,9	3859,86	981,17		YOR357C	-2,1	4336,46	2102,19	
YOR284W	-2,7	3583,63	1333,35		YOR358W	-3	4600,39	1522,50	



ORF	Faktor +/-	Norm. Signalintensität		ORF	Faktor +/-	Norm. Signalintensität	
	T73/MCY730	MCY730	T73		T73/MCY730	MCY730	T73
YOR359W	-4,4	5090,40	1146,49	YPL039W	-1,9	988,25	513,48
YOR360C	-3	3938,92	1330,17	YPL040C	-3	634,73	212,20
YOR361C	-2,2	6315,50	2839,55	YPL041C	--	2661,49	2727,87
YOR362C	--	35279,73	30830,19	YPL042C	-1,6	1239,61	754,09
YOR363C	-61,6	1928,21	31,32	YPL043W	-2,7	4044,74	1500,86
YOR364W	-3,9	1950,66	498,48	YPL044C	-2,1	3689,03	1777,27
YOR365C	-6,9	1341,48	194,28	YPL045W	-2,5	1354,58	539,16
YOR366W	-6,1	2332,40	380,42	YPL046C	--	15313,41	13833,19
YOR367W	-2,8	3566,84	1277,92	YPL047W	--	14563,47	12871,56
YOR368W	-2,2	2847,49	1319,21	YPL048W	-1,8	24568,34	13784,35
YOR369C	-1,6	264964,80	164326,02	YPL049C	-2,3	5896,52	2513,83
YOR370C	--	6421,22	4916,09	YPL050C	-2,3	6305,14	2765,99
YOR371C	-7,5	2481,42	329,29	YPL051W	-3,4	2169,86	629,46
YOR372C	--	3896,69	2935,83	YPL052W	-2,2	2139,55	986,82
YOR373W	--	1147,40	818,03	YPL053C	-2,3	4326,93	1914,41
YOR374W	-1,8	5215,87	2835,16	YPL054W	-1,9	2281,29	1227,21
YOR375C	--	6683,17	7038,55	YPL055C	-2	4691,98	2321,53
YOR376W	-4,5	1598,55	357,74	YPL056C	-4	6205,03	1565,90
YOR377W	-2,3	1753,70	773,49	YPL057C	-2,2	2494,93	1123,00
YOR378W	-2	1669,45	823,95	YPL058C	-2,1	1866,79	868,86
YOR379C	-10,5	1799,65	171,86	YPL059W	-1,8	11163,99	6052,13
YOR380W	--	1656,93	1156,24	YPL060W	-7,1	1678,82	236,42
YOR381W	--	5055,15	3645,58	YPL061W	--	10684,01	13681,43
YOR382W	-1,7	4923,40	2907,66	YPL062W	-2,5	1494,58	603,96
YOR383C	--	8241,13	8156,09	YPL063W	-2,1	4857,67	2267,32
YOR384W	--	9685,00	8804,15	YPL064C	-2,6	2377,09	917,08
YOR385W	-2,4	9108,27	3752,44	YPL065W	-2,5	13065,29	5201,70
YOR386W	--	30521,30	32729,22	YPL066W	-2,1	3069,25	1465,09
YOR387C	-1,8	2914,71	1664,40	YPL067C	-2,4	3073,69	1280,77
YOR388C	-6,4	1815,37	282,90	YPL068C	--	4367,16	3363,59
YOR389W	-2,4	1890,53	789,35	YPL069C	--	2623,34	1894,45
YOR390W	-2737,4	2737,37	1,00	YPL070W	--	2749,28	2587,14
YOR391C	-131,8	2568,46	19,49	YPL071C	-1,8	4641,95	2646,32
YOR392W	-2,9	3183,96	1081,05	YPL072W	-1,9	1912,94	1006,59
YOR393W	-3,6	4035,51	1111,41	YPL073C	-4,4	1133,98	257,81
YOR394W	--	34309,30	43499,18	YPL074W	-18	786,52	43,80
YPL001W	-2,7	1848,33	694,04	YPL075W	-1,7	2593,66	1551,04
YPL002C	-2,2	2971,96	1371,68	YPL076W	-2,6	2866,30	1089,47
YPL003W	-1,6	1991,17	1213,25	YPL077C	-1,8	2527,01	1415,79
YPL004C	--	8586,22	6232,90	YPL078C	--	5150,61	5219,75
YPL005W	-2,2	4992,97	2227,00	YPL079W	--	136313,27	133521,52
YPL006W	-2,1	896,33	418,57	YPL080C	-1,8	10293,40	5630,58
YPL007C	-1,6	1808,17	1145,88	YPL081W	--	73743,99	51281,72
YPL008W	--	17721,83	13454,63	YPL082C	--	1844,05	1722,68
YPL009C	--	14453,24	9813,24	YPL083C	-2,3	3038,96	1306,44
YPL010W	-1,6	8921,27	5569,53	YPL084W	-2,7	2236,27	833,90
YPL011C	-1,7	4425,27	2560,91	YPL085W	-33,6	1565,21	46,52
YPL012W	--	2052,38	1535,53	YPL086C	-2,8	3005,24	1085,96
YPL013C	--	3828,10	3490,06	YPL087W	-2,7	3286,74	1197,68
YPL014W	--	3985,46	3154,80	YPL088W	-1,8	3762,95	2059,77
YPL015C	-2	2558,62	1306,09	YPL089C	-1,7	4969,27	2920,84
YPL016W	--	1251,43	988,49	YPL090C	--	190383,88	214221,61
YPL017C	-3,3	2148,40	656,11	YPL091W	--	8955,60	9716,26
YPL018W	-4,9	2686,99	543,48	YPL092W	+2,1	3074,89	6452,89
YPL019C	-3,3	3563,03	1065,15	YPL093W	-2	1873,15	927,26
YPL020C	--	2564,50	1847,97	YPL094C	--	9472,17	8928,30
YPL021W	-2,1	9480,60	4512,56	YPL095C	-2,6	1847,13	712,38
YPL022W	-2,5	1759,64	701,92	YPL096W	-2	3384,30	1670,60
YPL023C	--	3341,83	2551,94	YPL097W	--	1823,04	1265,24
YPL024W	-1,5	4620,76	3006,93	YPL098C	-1,6	4706,08	3002,57
YPL025C	-1,7	8079,51	4847,83	YPL099C	-2,3	3401,99	1484,75
YPL026C	-1,9	1992,89	1062,70	YPL100W	-2,6	1616,57	620,95
YPL027W	-2,6	1118,42	422,53	YPL101W	--	2234,40	1497,66
YPL028W	--	32121,80	29223,22	YPL102C	--	1044,11	1106,32
YPL029W	-2	1639,09	820,69	YPL103C	--	3203,10	2331,82
YPL030W	--	1343,12	1072,49	YPL104W	-2	1963,67	995,17
YPL031C	-1,7	12728,90	7595,02	YPL105C	-2,3	6416,90	2841,99
YPL032C	-1,8	3574,40	2009,06	YPL106C	--	16476,02	11289,37
YPL033C	-3,9	1537,15	397,71	YPL107W	-2,4	2115,67	897,63
YPL034W	-2,2	4209,01	1924,58	YPL108W	-4,6	2734,09	593,60
YPL035C	-2,8	6969,58	2509,34	YPL109C	-1,5	1043,16	687,01
YPL036W	--	5014,61	4578,72	YPL110C	+1,7	202,73	348,09
YPL037C	--	82704,01	61059,49	YPL111W	-1,8	6697,05	3651,64
YPL038W	-3,7	2893,37	779,45	YPL112C	-1,7	1756,95	1011,91

ORF	Faktor +/-	Norm. Signalintensität		ORF	Faktor +/-	Norm. Signalintensität	
	T73/MCY730	MCY730	T73		T73/MCY730	MCY730	T73
YPL113C	-3,7	1548,50	421,28	YPL187W	-4,5	3495,11	775,65
YPL114W	-3,6	1721,48	474,04	YPL188W	-1,6	12299,15	7542,26
YPL115C	--	949,48	651,60	YPL189W	-2,2	3132,81	1447,23
YPL116W	-2,1	2126,01	997,69	YPL190C	--	6370,73	4935,36
YPL117C	--	9571,75	6803,83	YPL191C	-2,9	2652,63	909,95
YPL118W	--	7147,22	5024,11	YPL192C	-1,6	1977,96	1208,91
YPL119C	-2121,5	2121,46	1,00	YPL193W	--	1782,10	1264,16
YPL120W	-7,1	1688,70	237,48	YPL194W	-1,9	10931,82	5670,87
YPL121C	-8,6	1181,48	136,87	YPL195W	-1,5	8554,24	5637,82
YPL122C	-1,5	1193,87	793,13	YPL196W	-3,5	4624,66	1327,78
YPL123C	-2,1	1552,90	742,06	YPL197C	--	4088,69	4578,68
YPL124W	-1,7	2667,38	1575,43	YPL198W	--	35287,96	28697,31
YPL125W	-2	4115,31	2009,64	YPL199C	--	8319,90	5753,36
YPL126W	--	1093,92	878,66	YPL200W	-1,7	4329,71	2590,80
YPL127C	--	4725,45	3167,25	YPL201C	-2	2590,72	1292,07
YPL128C	-3,3	4522,99	1358,13	YPL202C	-2,4	2806,74	1175,34
YPL129W	-1,8	14589,72	7914,21	YPL203W	-1,6	3002,82	1911,76
YPL130W	--	3408,78	2370,13	YPL204W	--	9346,05	7001,78
YPL131W	--	206035,81	200344,55	YPL205C	--	3967,65	3058,78
YPL132W	-1,6	2416,30	1474,90	YPL206C	-3,2	4871,12	1500,39
YPL133C	-2,5	1001,03	398,16	YPL207W	-2	2276,15	1123,22
YPL134C	-1,7	1220,29	697,95	YPL208W	-2,8	2128,88	757,26
YPL135W	-1,5	5729,72	3781,24	YPL209C	-1,6	2027,68	1307,41
YPL136W	-5	1748,63	352,21	YPL210C	-2,1	3929,46	1896,04
YPL137C	-4,3	8939,96	2060,30	YPL211W	-3,6	4350,39	1212,51
YPL138C	-3,5	2907,82	837,18	YPL212C	-2,2	12578,92	5728,51
YPL139C	-2,3	2399,06	1024,85	YPL213W	-1,8	6912,83	3830,59
YPL140C	-2,9	3718,18	1304,52	YPL214C	-2,8	2321,51	838,91
YPL141C	-1,9	2375,32	1251,87	YPL215W	-2,6	3571,26	1361,21
YPL142C	--	76984,14	75727,29	YPL216W	-3,5	981,04	282,73
YPL143W	-3	6160,44	2026,85	YPL217C	--	1084,68	843,93
YPL144W	-4,1	2106,73	517,47	YPL218W	-2,3	6196,94	2695,30
YPL145C	--	6120,68	5511,13	YPL219W	-2,1	2799,50	1326,89
YPL146C	-2,4	3531,57	1442,50	YPL220W	-1,7	166072,94	99054,37
YPL147W	-2	1312,53	645,98	YPL221W	-1,8	2529,40	1409,93
YPL148C	-3,2	2046,31	635,47	YPL222W	-2,2	2395,87	1088,12
YPL149W	-3,3	4241,58	1267,14	YPL223C	-2,3	2408,61	1037,89
YPL150W	--	3506,10	2834,75	YPL224C	--	3401,61	2282,64
YPL151C	-3,4	4583,32	1346,66	YPL225W	--	7847,88	6062,67
YPL152W	-2,8	2994,69	1060,10	YPL226W	-2,6	1823,46	704,15
YPL153C	--	1205,39	890,72	YPL227C	-1,6	2189,25	1411,60
YPL154C	--	53854,55	46694,14	YPL228W	--	3219,95	2186,43
YPL155C	-2127,4	2127,44	1,00	YPL229W	-2,5	5484,34	2205,39
YPL156C	-17,2	2463,09	142,80	YPL230W	-5,3	1993,05	379,52
YPL157W	-4,5	1779,01	395,79	YPL231W	-5,5	938,51	172,01
YPL158C	-4,8	2877,32	604,53	YPL232W	-1,7	12391,50	7406,70
YPL159C	-2,5	2259,74	899,83	YPL233W	-4,8	3189,96	659,38
YPL160W	--	3364,07	2245,80	YPL234C	-3,4	14013,67	4159,75
YPL161C	-1,8	3250,69	1804,96	YPL235W	-2,4	5929,71	2504,25
YPL162C	-1,9	1683,36	873,09	YPL236C	-1,5	2534,23	1656,05
YPL163C	-2,2	5416,92	2488,74	YPL237W	--	28663,95	22138,89
YPL164C	-1,6	1760,93	1083,27	YPL238C	-3,8	7907,21	2081,71
YPL165C	-1,6	2305,97	1442,89	YPL239W	-1,6	10360,64	6479,15
YPL166W	--	2961,27	2151,08	YPL240C	-1,8	20122,82	11233,65
YPL167C	-6,9	3939,25	569,62	YPL241C	-2,7	2629,74	961,87
YPL168W	-6,3	2091,38	332,85	YPL242C	-9,9	1534,66	155,75
YPL169C	-1,8	6197,70	3506,43	YPL243W	-2	7802,50	3874,73
YPL170W	-5,5	4233,55	763,51	YPL244C	-2,4	4411,29	1809,76
YPL171C	-1091,6	1091,59	1,00	YPL245W	-2,4	4024,98	1690,24
YPL172C	-3	1995,77	658,42	YPL246C	-4,1	4664,81	1148,09
YPL173W	--	3925,78	2788,33	YPL247C	-2,8	2730,77	979,56
YPL174C	-2,7	1133,82	418,41	YPL248C	-1,6	2564,65	1586,54
YPL175W	-2	3229,39	1601,68	YPL249C	+1,7	1262,29	2097,83
YPL176C	-2,2	2823,24	1300,20	YPL250C	-3,7	1745,50	472,44
YPL177C	--	4647,17	4666,52	YPL251W	-3,5	3806,20	1101,82
YPL178W	--	8135,92	5472,50	YPL252C	-2,6	6982,97	2637,10
YPL179W	-2,4	4380,16	1789,01	YPL253C	-7,2	1852,14	256,06
YPL180W	-1531,1	1531,08	1,00	YPL254W	-2,9	2063,17	700,30
YPL181W	-1259,7	1259,68	1,00	YPL255W	-1,8	2120,75	1194,35
YPL182C	-376,7	2926,31	7,77	YPL256C	-1,7	3439,79	2027,54
YPL183C	-40,6	1972,13	48,60	YPL257W	-1,5	1896,05	1262,17
YPL184C	-3,4	10955,88	3184,97	YPL258C	--	2393,78	2243,87
YPL185W	-2,5	2941,04	1197,04	YPL259C	-3,3	2637,16	799,95
YPL186C	-4,2	3066,42	738,80	YPL260W	-1,5	4138,20	2691,19

ORF	Faktor +/-		Norm. Signalintensität		ORF	Faktor +/-		Norm. Signalintensität	
	T73/MCY730	MCY730	T73			T73/MCY730	MCY730	T73	
YPL261C	-6,2	2251,15	364,14		YPR052C	--	6229,51	6860,57	
YPL262W	-3	4950,41	1674,98		YPR053C	-2,1	14484,54	6749,93	
YPL263C	-1,7	2752,91	1595,08		YPR054W	-1,7	1323,18	782,43	
YPL264C	-5,2	2649,42	504,65		YPR055W	-1,8	3227,16	1810,24	
YPL265W	-1,7	4141,79	2376,21		YPR056W	-2,8	2104,63	759,82	
YPL266W	-1,7	11946,05	7228,95		YPR057W	-3	3881,05	1280,18	
YPL267W	-2,3	4004,28	1714,81		YPR058W	-2,2	5583,63	2513,82	
YPL268W	-3,3	3881,58	1185,22		YPR059C	-1,6	6007,97	3651,99	
YPL269W	--	2627,26	1829,38		YPR060C	-3,3	3713,90	1113,10	
YPL270W	--	1973,96	1775,87		YPR061C	-4,6	2127,73	466,25	
YPL271W	-2	8420,18	4305,06		YPR062W	-1,7	13720,32	8201,58	
YPL272C	-3	1703,88	576,47		YPR063C	-1,8	6674,97	3680,31	
YPL273W	-7,3	3666,12	504,68		YPR064W	-3,3	2175,31	653,80	
YPL274W	-2,1	4682,86	2181,62		YPR065W	--	5844,51	4128,68	
YPL275W	-6	1646,88	275,34		YPR066W	--	5556,91	3947,96	
YPL276W	-2,6	6607,54	2509,72		YPR067W	-2,3	4342,98	1909,14	
YPL277C	-3,2	6176,96	1958,02		YPR068C	-7,9	2040,05	257,80	
YPL278C	-2,9	2609,16	901,25		YPR069C	-2	1551,66	766,25	
YPL279C	-3,2	2397,26	754,38		YPR070W	-1,7	1251,68	751,15	
YPL280W	-6,5	2808,25	434,57		YPR071W	--	1195,76	1200,89	
YPL281C	-1,9	8159,45	4352,49		YPR072W	-42,3	2792,67	66,03	
YPL282C	-2	4446,20	2222,88		YPR073C	-3,3	2422,97	729,33	
YPL283C	-13,9	2046,46	146,92		YPR074C	-6,2	1495,41	242,31	
YPR001W	-1,7	1939,96	1138,34		YPR075C	-3,6	2675,21	741,59	
YPR002W	-2,1	1466,75	683,28		YPR076W	-25,3	1199,01	47,46	
YPR003C	-2	1945,49	963,43		YPR077C	-1,8	1724,32	939,66	
YPR004C	-2,5	1461,04	589,85		YPR078C	-4,3	2234,38	516,33	
YPR005C	-2,2	13390,94	6176,54		YPR079W	-2,4	2138,87	909,88	
YPR006C	-2,2	5058,95	2273,34		YPR080W	--	463342,39	513008,97	
YPR007C	--	4527,42	3439,37		YPR081C	-2,7	2964,84	1103,05	
YPR008W	--	48695,51	56925,61		YPR082C	--	2632,55	1809,23	
YPR009W	--	3064,89	2429,07		YPR083W	-1,6	2767,61	1719,26	
YPR010C	-2	1780,48	909,40		YPR084W	-1,8	2781,69	1535,98	
YPR011C	-2,2	2696,04	1225,36		YPR085C	-5,5	1429,08	260,08	
YPR012W	--	16897,14	15389,80		YPR086W	-2,1	4123,90	1969,39	
YPR013C	-3,9	2415,68	623,36		YPR087W	-2,3	11754,75	5130,77	
YPR014C	--	1578,95	1068,21		YPR088C	-2,5	8581,88	3395,19	
YPR015C	-2,3	1936,72	852,80		YPR089W	-4,7	2234,03	474,75	
YPR016C	--	1194,07	811,33		YPR090W	-1,9	3246,60	1709,63	
YPR017C	-1,7	1542,44	899,14		YPR091C	-1,8	3844,23	2140,65	
YPR018W	-3,1	1762,18	566,87		YPR092W	-2,5	2648,39	1048,69	
YPR019W	--	1013,91	944,33		YPR093C	--	3179,46	2208,84	
YPR020W	--	3572,74	3017,89		YPR094W	-1,8	2618,16	1474,89	
YPR021C	-1,6	1630,55	1043,26		YPR095C	--	1502,38	1795,94	
YPR022C	-1,8	1893,75	1039,64		YPR096C	-4,8	2071,96	427,29	
YPR023C	-1,9	3808,08	2050,04		YPR097W	-3,9	1596,52	407,01	
YPR024W	-2353,8	2353,79	1,00		YPR098C	-1,9	3934,73	2036,88	
YPR025C	-3	2246,01	755,08		YPR099C	--	4078,72	3000,13	
YPR026W	-1,8	3051,31	1713,65		YPR100W	--	4349,35	3577,71	
YPR027C	-2	1652,48	826,93		YPR101W	-1,9	6342,20	3341,99	
YPR028W	--	14346,21	12368,16		YPR102C	--	190451,01	168099,87	
YPR029C	-2,9	1369,74	468,85		YPR103W	--	5280,93	5309,08	
YPR030W	-4	2092,52	522,89		YPR104C	-2	1744,66	858,11	
YPR031W	--	1282,39	894,72		YPR105C	-2,9	1652,57	571,98	
YPR032W	-1,8	1190,64	646,86		YPR106W	-2	2968,49	1486,04	
YPR033C	-2	8549,37	4243,49		YPR107C	--	3925,46	3040,71	
YPR034W	--	7831,25	6833,15		YPR108W	--	13832,58	10907,33	
YPR035W	+1,6	40463,68	66128,27		YPR109W	-2,3	2592,19	1135,46	
YPR036W	-1,6	23762,53	14702,59		YPR110C	-1,7	4981,98	2939,41	
YPR037C	-2,7	5042,38	1861,79		YPR111W	--	1489,76	1031,14	
YPR038W	-4,3	3337,33	774,92		YPR112C	-2,1	3108,21	1492,87	
YPR039W	-2,9	2412,40	818,27		YPR113W	-2,6	7450,29	2828,90	
YPR040W	-1,9	2803,74	1455,37		YPR114W	-2,1	2852,51	1381,06	
YPR041W	-1,5	7463,54	4900,66		YPR115W	--	2025,72	1564,67	
YPR042C	--	850,14	713,11		YPR116W	-1,5	1794,92	1167,70	
YPR043W	--	105799,94	82907,01		YPR117W	-3,4	1812,63	534,91	
YPR044C	--	37194,21	30984,13		YPR118W	-2,3	6021,63	2628,56	
YPR045C	--	1986,01	1365,21		YPR119W	-1,6	2344,67	1490,28	
YPR046W	-2,2	3218,69	1449,50		YPR120C	-7,7	2100,91	271,98	
YPR047W	--	1804,84	2047,95		YPR121W	-2,6	1480,43	563,39	
YPR048W	-1849,2	1849,17	1,00		YPR122W	-655,3	655,31	1,00	
YPR049C	-4,4	1518,94	345,32		YPR123C	--	1185,22	858,15	
YPR050C	-2,7	4387,74	1613,55		YPR124W	--	5013,38	4685,34	
YPR051W	-2,9	3840,80	1346,16		YPR125W	--	3107,04	2258,34	



ORF	Faktor +/-		Norm. Signalintensität		ORF	Faktor +/-		Norm. Signalintensität	
	T73/MCY730	MCY730	T73			T73/MCY730	MCY730	T73	
YPR126C	-1,7	5349,32	3190,71		YPR166C	-1,6	2557,56	1581,05	
YPR127W	-2,1	2369,36	1122,71		YPR167C	-2,2	2986,25	1345,85	
YPR128C	-2,5	5379,68	2137,87		YPR168W	-3,6	2047,51	565,33	
YPR129W	-1,9	6352,85	3277,04		YPR169W	--	1633,67	1106,39	
YPR130C	--	11400,69	8066,70		YPR170C	--	5248,31	3503,35	
YPR131C	-1,7	4758,23	2818,56		YPR171W	-2,3	3079,45	1338,83	
YPR132W	--	133397,70	113641,96		YPR172W	--	1817,29	1230,61	
YPR133C	-2,2	3337,67	1531,97		YPR173C	--	4806,62	3864,68	
YPR134W	-1,6	1576,38	991,68		YPR174C	-3,5	2299,38	656,21	
YPR135W	-6,5	720,19	110,74		YPR175W	-3,2	1757,05	549,57	
YPR136C	--	3014,38	3031,86		YPR176C	-4,2	2793,39	657,77	
YPR137W	-1,9	3864,87	2044,83		YPR177C	-192,6	4279,30	22,22	
YPR138C	--	4593,88	3134,71		YPR178W	-5,1	1820,19	357,14	
YPR139C	-1,5	5461,54	3559,47		YPR179C	-3,4	3202,76	932,23	
YPR140W	--	3000,35	2023,07		YPR180W	-1,7	3483,02	2060,67	
YPR141C	--	2282,17	3023,94		YPR181C	--	5083,81	6221,14	
YPR142C	-4,5	6336,94	1414,40		YPR182W	-2,2	4348,17	1983,69	
YPR143W	-2,3	6933,48	2961,92		YPR183W	-1,8	11339,35	6364,21	
YPR144C	--	2263,84	2337,63		YPR184W	--	1700,83	1240,36	
YPR145W	--	15980,97	11792,47		YPR185W	-1,5	4446,98	2911,25	
YPR146C	-2	2993,81	1504,86		YPR186C	-2,8	3040,90	1086,54	
YPR147C	-2,7	1508,58	553,97		YPR187W	--	13646,36	11421,51	
YPR148C	-2,3	6297,83	2707,28		YPR188C	-1,8	4934,56	2771,01	
YPR149W	-1,8	6887,63	3739,75		YPR189W	--	1009,57	953,10	
YPR150W	-2,6	1933,97	730,58		YPR190C	--	1823,00	1238,98	
YPR151C	-2,1	1638,30	780,88		YPR191W	--	32500,86	33389,62	
YPR152C	-1,5	3740,00	2462,86		YPR192W	-3,6	2718,93	749,76	
YPR153W	--	2227,42	2386,09		YPR193C	--	1613,08	1110,95	
YPR154W	-16,3	2061,09	126,45		YPR194C	-2,2	1013,24	453,99	
YPR155C	-2,6	4429,09	1683,56		YPR195C	-2,6	1208,27	458,75	
YPR156C	-2,7	8582,80	3148,58		YPR196W	-2,2	1807,83	814,42	
YPR157W	-2,1	2532,16	1210,81		YPR197C	--	1704,90	1349,80	
YPR158W	-2,6	3231,74	1246,13		YPR198W	-2,6	2311,51	887,08	
YPR159W	-2	1886,41	920,28		YPR199C	-2,3	2221,33	954,34	
YPR160W	-2,3	1745,76	761,08		YPR200C	-1,7	1231,14	706,94	
YPR161C	--	1740,53	2487,57		YPR201W	--	600,62	558,30	
YPR162C	-7,8	1747,93	224,66		YPR202W	--	4107,89	2857,31	
YPR163C	-1,9	15026,23	7921,86		YPR203W	-3,2	3797,44	1185,21	
YPR164W	-7,8	1552,71	197,90		YPR204W	-8,7	9568,73	1098,86	
YPR165W	-2,1	18646,08	8742,19						

## 6.1.2. tRNA Export-Faktor Los1p

**Tabelle 6.2:** Transkriptionelle Änderungen einer *los1*-Disruptionsmutante bei 30 °C und 37 °C gegenüber dem Wildtyp. Die ORF-Namen sind in alphabetischer Reihenfolge sortiert. Relative Änderungen der Transkriptionsraten durch Hitzestress (37 °C) im Wildtyp und in der *los1*-Disruptionsmutante bei 30 °C und 37 °C gegenüber dem Wildtyp bei 30 °C sind gezeigt, wenn der Faktor größer/gleich 1,5 ist. Bei guter Qualität sind die Änderungsfaktoren farblich markiert: ■ Induktion mit hoher Qualität, ■ Induktion mit mittlerer Qualität, ■ Repression mit hoher Qualität, ■ Repression mit mittlerer Qualität. Weiterhin enthält die Tabelle die normalisierten Signalintensitäten (Median) aller Bedingungen.

ORF	Änderungsfaktor			Normalisierte Signalintensität				ORF	Änderungsfaktor			Normalisierte Signalintensität			
	wt37	mut30	mut37	wt30	wt37	mut30	mut37		wt37	mut30	mut37	wt30	wt37	mut30	mut37
YAL001C	--	+1,7	--	43166,93	30366,10	74714,17	58562,74	YAR023C	--	--	--	20662,69	26206,67	17892,45	20639,48
YAL002W	--	+1,7	--	26902,86	29104,81	45209,90	31381,59	YAR027W	--	--	--	26313,08	34278,79	23408,39	27497,91
YAL003W	+1,9	+1,9	+1,9	123547,36	234998,56	231091,70	238616,45	YAR028W	--	--	--	21045,96	27617,05	24738,52	26647,60
YAL004W	+1,9	--	--	16146,06	31382,75	14051,99	18535,42	YAR029W	--	--	--	19177,96	27189,88	16726,06	20378,86
YAL005C	+2,1	+2,6	+2,3	66776,81	141751,32	176219,37	153180,18	YAR030C	--	--	--	18403,05	26397,92	17977,72	21170,69
YAL007C	+1,7	+1,8	--	48812,25	29324,48	86416,79	56118,09	YAR031W	--	--	--	36239,69	32577,59	47268,75	42027,84
YAL008W	+1,7	--	--	45870,24	27764,21	60351,05	52785,19	YAR033W	--	--	--	32282,98	30544,77	32073,33	35566,04
YAL009W	+1,8	--	--	15905,40	28120,52	17356,39	15867,56	YAR035W	--	--	--	18644,52	26418,50	15411,30	19928,67
YAL010C	--	--	--	32672,10	28572,36	26274,13	25110,73	YAR037W	--	--	--	24875,58	26000,09	20818,97	23433,50
YAL011W	+2,2	--	--	76510,14	35118,12	86864,09	77120,21	YAR040C	--	--	--	19711,69	26703,73	17488,00	18764,68
YAL012W	--	--	--	81056,68	93862,77	116957,74	106753,39	YAR042W	--	--	--	18713,68	25401,02	18086,89	20607,87
YAL013W	+2,4	--	--	78261,77	32904,37	101493,46	86792,02	YAR043C	--	--	--	22941,41	25891,20	20175,60	23364,89
YAL014C	--	--	--	35786,51	39382,40	33086,64	37465,62	YAR044W	--	--	--	45062,72	31142,08	55378,50	48869,68
YAL015C	+1,5	--	--	17941,24	27185,17	21249,98	20255,94	YAR047C	--	--	--	18520,48	25550,94	15568,69	20285,64
YAL016W	--	--	--	27800,30	35008,28	25351,15	26467,30	YAR050W	--	--	--	46838,17	34461,37	56253,61	48051,96
YAL017W	--	--	--	58599,04	40167,19	75799,89	52973,85	YAR052C	--	+1,7	--	41608,12	44212,61	69598,00	61198,70
YAL018C	--	--	--	36006,71	27074,32	38664,86	38548,90	YAR053W	+1,7	--	--	16396,56	27875,61	17192,19	20633,14
YAL019W	--	+1,9	--	47183,31	52559,82	88688,99	63413,73	YAR060C	--	--	--	19620,46	27932,35	23060,72	26334,84
YAL020C	--	--	--	40838,09	40966,27	53376,10	55080,04	YAR061W	+1,6	--	--	17413,23	27185,51	19142,99	21486,43
YAL021C	--	--	--	26260,52	32349,23	20033,90	25879,67	YAR062W	--	--	--	21063,12	27950,48	17746,92	21311,57
YAL022C	--	--	--	38933,49	31544,61	46717,48	45951,72	YAR064W	+1,8	--	--	16459,39	29039,54	15898,16	20747,43
YAL023C	--	--	--	41480,46	35879,38	55819,64	49448,99	YAR068W	+1,8	--	--	15436,95	27073,73	13057,22	19178,88
YAL024C	--	--	--	39327,84	26682,10	52809,77	37637,38	YAR069C	+1,8	--	--	15492,42	28369,99	14445,93	18262,13
YAL025C	--	--	--	40741,19	38366,63	34436,34	37289,41	YAR070C	+1,7	--	--	15709,02	27007,86	13313,70	18560,07
YAL026C	--	--	--	29669,19	32082,89	35840,16	34790,02	YAR071W	--	--	--	28616,33	31509,28	21412,27	25103,71
YAL027W	--	--	--	20865,06	29966,72	16189,07	21781,76	YAR073W	--	--	--	38332,67	35883,99	42056,02	48162,55
YAL028A	--	--	--	32386,69	26816,09	31544,38	33278,47	YAR074C	+1,8	--	--	18539,89	32539,73	19777,63	26082,27
YAL028W	--	--	--	23074,85	29365,11	22780,31	24285,14	YBL001C	--	+1,6	--	48912,40	56300,89	80272,42	62539,10
YAL029C	--	--	--	52917,81	42667,42	67679,00	56668,92	YBL002W	+1,9	--	+1,5	72641,80	139617,60	87805,50	110792,36
YAL030W	--	--	--	25910,15	32279,74	22785,57	25060,10	YBL003C	+2,1	--	--	53479,19	113932,82	58500,33	66653,79
YAL031C	--	--	--	38478,27	34089,61	42259,50	36511,39	YBL004W	--	--	--	27600,73	33951,41	31247,21	33833,81
YAL032C	--	--	--	34005,55	30191,30	44781,28	38217,58	YBL005W	--	--	--	23360,57	31314,87	17426,24	18976,37
YAL033W	--	--	--	23500,75	31928,31	27868,85	27691,37	YBL005W	+1,8	--	--	14721,62	26625,90	16577,05	16199,60
YAL034A	--	--	--	36437,18	29348,11	43837,07	39149,03	YBL005W	-2	--	--	68764,02	34278,02	54692,64	81427,47
YAL034C	--	--	--	36151,88	32257,44	41540,15	48165,87	YBL006C	--	--	--	27178,11	29472,12	25166,92	21131,38
YAL035W	--	--	--	50171,50	41708,24	42382,87	66970,40	YBL007C	--	--	--	40256,13	34308,10	43837,67	35108,18
YAL036C	+2,2	--	+1,7	23999,39	53471,72	30997,01	40061,09	YBL008W	--	--	--	21202,53	27613,12	15778,62	18937,84
YAL037W	--	--	--	21159,08	25880,45	19694,18	21214,18	YBL009W	--	--	--	26794,11	27870,81	19453,94	24082,33
YAL038W	+3,7	+2,6	+2,4	67999,38	253737,07	177702,27	165020,56	YBL010C	--	--	--	43393,32	30302,37	63129,66	54581,74
YAL039C	+1,8	+1,6	--	31670,69	57722,64	50051,58	43419,75	YBL011W	+1,5	--	--	17137,57	26415,07	18383,23	21259,67
YAL040C	--	--	--	51849,81	36695,89	44087,59	41258,58	YBL012C	+1,9	--	--	15476,18	28788,64	15120,52	18526,69
YAL041W	--	--	--	26436,85	30013,17	21776,19	25322,10	YBL013W	+1,9	--	--	15032,43	27945,75	12225,81	17503,50
YAL042W	--	--	--	34148,68	38555,40	30832,89	35237,67	YBL014C	--	--	--	21090,96	28503,09	15829,62	18618,65
YAL043C	--	--	--	22561,22	30367,51	21343,01	27522,94	YBL015W	+1,8	--	--	15376,79	27800,47	14412,37	18586,50
YAL044C	--	-1,7	--	63975,83	55377,81	37490,93	73993,69	YBL016W	--	--	--	35784,16	32820,69	38350,95	41212,12
YAL045C	--	--	--	27485,67	33113,65	25958,50	34945,20	YBL017C	--	--	--	44886,94	32386,19	53081,12	46461,96
YAL046C	+1,7	--	--	22070,42	37916,93	21967,00	29086,50	YBL018C	--	--	--	21414,40	29696,80	18339,03	23078,08
YAL047C	--	--	--	27304,34	34068,59	28275,51	32851,12	YBL019W	--	--	--	29894,49	26550,39	24294,50	24866,29
YAL048C	--	--	--	26737,88	28847,20	29668,61	30139,08	YBL020W	--	--	--	21268,18	26050,20	17450,93	19390,79
YAL049C	+2,2	--	+1,6	18512,93	41064,82	19722,53	28810,14	YBL021C	--	--	--	22403,21	29452,83	22152,41	24693,76
YAL051W	+1,7	--	--	15697,37	26568,07	14224,31	17723,70	YBL022C	--	--	--	24454,96	29171,22	22443,25	25797,04
YAL053W	--	-1,6	--	24243,90	27798,84	15529,77	21615,43	YBL023C	--	--	--	27789,15	30021,50	21792,93	26362,92
YAL054C	--	--	--	29199,16	29443,12	30777,98	35287,22	YBL024W	--	--	--	30229,73	34172,45	33303,69	30943,35
YAL055W	--	--	--	37293,74	30145,88	42523,96	41014,11	YBL025W	--	--	--	20150,04	29233,61	17377,51	21135,29
YAL056W	+1,9	--	--	15493,38	29465,43	16191,66	20229,39	YBL026W	+1,5	--	--	18704,70	28959,16	17271,64	20055,68
YAL058W	--	--	--	26693,10	29472,61	25668,81	28809,27	YBL027W	--	--	--	309091,62	297227,58	282690,17	237000,86
YAL059W	--	--	--	40287,99	33150,69	53197,09	48474,90	YBL028C	--	--	--	29910,52	37418,24	40108,45	29367,41
YAL060W	--	--	--	33399,38	38529,97	32623,85	39281,30	YBL029W	+1,7	--	--	15417,21	26860,65	12558,07	17183,61
YAL061W	--	--	--	26618,79	27616,44	22616,46	26817,47	YBL030C	--	--	--	73695,59	62599,52	53840,52	59473,09
YAL062W	--	--	--	28523,76	31406,56	25986,56	25273,78	YBL031W	--	--	--	22771,42	27101,15	20496,99	22794,53
YAL063C	-1,7	--	--	58382,72	35322,35	73775,46	54621,88	YBL032W	--	--	--	29665,72	40126,13	35330,12	39303,87
YAL064W	--	--	--	21288,09	25841,75	18623,55	21914,07	YBL033C	+1,9	--	+1,7	52855,02	102483,41	55828,78	90642,07
YAL065C	--	--	--	23304,81	27926,27	18791,90	22927,82	YBL034C	--	+1,5	--	32821,15	29890,61	50824,29	43481,06
YAL066W	--	--	--	21418,13	27261,24	25371,53	22100,64	YBL035C	--	--	--	25535,44	30187,02	20014,09	24656,21
YAL067C	--	--	--	26491,08	27246,84	19719,20	23732,65	YBL036C	--	--	--	25248,71	34435,23	25553,40	26410,73
YAR002A	+2	--	--	13230,13	26283,43	12046,68	17884,14	YBL037W	--	--	--	19076,49	26557,47	15771,74	19588,78
YAR002W	--	--	--	34809,38	30520,18	43406,25	41757,91	YBL038W	+1,6	--	--	19966,29	32199,17	22808,68	24323,97
YAR003W	--	--	--	26185,49	26926,05	25389,15	27667,40	YBL039C	+1,6	--	--	19042,91	30824,04	18492,72	20799,17
YAR007C	--	--	--	20617,02	29867,90	17642,59	23071,02	YBL040C	--	--	--	24566,93	32923,93	22358,62	25520,32
YAR008W	--	--	--	27130,38	29610,26	37166,37	32122,36	YBL041W	--	--	--	31293,78	42197,77	21776,75	32746,12
YAR009C	--	--	--	463477,48	470421,61	686302,90	551213,61	YBL042C	--	--	--	31817,22	42297,06	26553,49	30791,51
YAR010C	+1,8	--	--	14617,06	26540,27	15094,23	17806,91	YBL043W	--	--	--	22649,69	29845,86	18963,86	21968,08
YAR0															

ORF	Änderungsfaktor			Normalisierte Signalintensität				ORF	Änderungsfaktor			Normalisierte Signalintensität			
	wt37	mut30	mut37	wt30	wt37	mut30	mut37		wt30	wt37	mut30	mut37			
YBL049W	+1.6	--	--	17402,52	27976,77	16687,41	21641,50	YBR031W	--	--	--	246288,01	261688,59	187469,59	170378,89
YBL050W	--	--	--	29912,75	35407,46	24311,20	32440,49	YBR032W	+1.7	--	--	18822,20	31334,78	18249,06	19906,88
YBL051C	--	--	--	30013,58	31887,44	30459,97	33719,15	YBR033W	--	--	--	21002,58	26719,04	20007,47	22904,39
YBL052C	--	--	--	18988,14	27726,14	15697,54	20901,11	YBR034C	--	--	--	32363,96	45875,87	36769,62	37215,05
YBL053W	-2.2	--	--	62191,20	28784,85	56573,17	51272,67	YBR035C	--	--	--	24268,35	32489,11	25642,90	30706,38
YBL054W	--	--	--	24647,14	33252,11	23497,14	26284,42	YBR036C	--	--	--	25838,29	32910,49	22526,20	27314,84
YBL055C	+1.7	--	--	16694,68	29188,20	14579,57	20154,82	YBR037C	--	--	--	24542,60	27466,41	20489,76	23757,95
YBL056W	+1.5	--	--	17298,65	26695,10	15469,31	20008,94	YBR038W	+1.6	--	--	16152,06	26440,56	15119,81	18524,62
YBL057C	--	--	--	28832,15	30162,47	24370,83	30247,93	YBR039W	--	--	--	35540,60	46517,57	26197,65	31550,31
YBL058W	--	--	--	36710,64	48572,86	44175,68	52431,62	YBR040W	--	--	--	20138,75	26031,64	19964,21	21717,07
YBL059W	+1.6	--	--	18021,12	28315,31	15512,90	22101,80	YBR041W	+1.5	--	--	16999,85	26180,58	16743,03	19975,95
YBL060W	--	--	--	23502,62	26783,87	15696,85	20745,80	YBR042C	--	--	--	20456,20	28821,01	17519,17	21551,85
YBL061C	--	+1.9	--	39171,53	28485,32	74659,04	55804,96	YBR043C	--	--	--	23757,78	32906,62	23378,52	23045,59
YBL062W	-1.8	--	--	58079,30	31960,50	81998,83	56451,75	YBR044C	--	--	--	22441,40	27799,49	19947,36	20275,04
YBL063W	--	--	--	18951,35	25957,21	16945,80	21333,26	YBR045C	+1.7	--	--	15091,94	26140,97	17522,11	18375,22
YBL064C	--	--	--	41986,73	55922,90	47789,68	45147,58	YBR046C	+1.6	--	--	16692,12	26036,25	15196,71	19071,28
YBL065W	+1.6	--	--	17106,11	26755,56	12804,73	17767,38	YBR047W	--	--	--	17344,07	25863,43	13895,45	18127,59
YBL066C	--	--	--	24356,05	31908,75	26996,31	27162,83	YBR048W	+1.8	--	--	14265,98	25616,69	12182,72	17780,68
YBL067C	+1.7	--	--	15618,27	26731,72	15216,30	20979,71	YBR049C	--	--	--	30146,34	27308,98	25543,62	27055,06
YBL068W	+1.8	--	--	14345,03	26504,07	10639,76	16272,24	YBR050C	--	--	--	23640,01	26791,90	20335,75	23718,16
YBL069W	--	--	--	21498,79	28441,03	17765,05	21590,19	YBR051W	--	--	--	31172,40	28293,92	36679,24	27926,72
YBL070C	+1.8	--	--	14086,19	25934,73	13594,63	18563,95	YBR052C	--	--	--	45434,26	47505,67	50995,73	52901,54
YBL071C	+1.8	--	--	14939,81	26857,61	13767,04	19069,92	YBR053C	--	--	--	96410,56	110446,65	74510,22	68224,18
YBL072C	-1.9	--	-1.6	249211,26	131817,37	211573,35	157426,23	YBR054W	--	--	--	38369,86	55014,99	54067,21	36796,13
YBL073W	--	--	--	56702,91	80080,54	60988,12	62235,84	YBR055C	--	--	--	20242,37	26339,48	17991,39	20964,55
YBL074C	--	--	--	23180,69	26581,86	21643,88	22646,56	YBR056W	--	--	--	26182,98	31606,67	18439,90	21661,83
YBL075C	--	--	--	22447,01	31081,99	18903,72	23024,49	YBR057C	--	--	--	29245,32	32654,00	24055,47	32200,42
YBL076C	+1.6	--	--	20676,82	33242,04	25896,79	25269,89	YBR058C	--	--	--	26440,86	28573,93	25755,85	24566,42
YBL077W	+1.5	--	--	24294,41	37384,86	25978,70	32308,84	YBR059C	--	--	--	22859,01	28131,26	19422,92	23056,29
YBL078C	+1.6	--	--	17403,51	27127,80	17365,05	21743,93	YBR060C	--	--	--	33242,71	28117,24	29629,44	33527,48
YBL079W	--	--	--	43451,92	31921,69	60575,48	53877,49	YBR061C	--	--	--	21310,70	29990,60	20482,37	22161,72
YBL080C	--	--	--	28667,86	31811,12	23663,43	25280,42	YBR062C	--	--	--	23175,88	29456,85	24088,19	26159,01
YBL081W	--	--	--	39320,79	31168,27	33628,26	35500,38	YBR063C	--	--	--	22540,04	28880,22	21761,47	23741,17
YBL082C	--	--	--	22512,51	28907,68	21711,96	25495,48	YBR064W	--	--	--	21499,15	25779,66	21843,91	21798,59
YBL083C	--	--	--	27438,19	30970,66	21281,98	24960,90	YBR065C	--	--	--	25705,99	26947,17	23956,78	22836,97
YBL084C	+1.7	--	--	14613,24	25315,13	14170,99	19987,98	YBR066C	--	-1.5	-1.6	53180,88	53539,08	34667,27	32385,78
YBL085W	+1.8	--	--	14635,18	25709,90	14032,77	17955,02	YBR067C	--	--	--	26795,71	38028,51	32667,42	30832,34
YBL086C	--	--	--	20158,55	26895,80	19822,24	20367,66	YBR068C	+1.7	--	--	15814,23	26344,00	15391,40	14559,64
YBL087C	--	-1.5	--	218107,82	176125,68	141352,20	176097,56	YBR069C	--	--	--	19302,61	26424,78	19348,33	23120,78
YBL088C	+1.8	--	--	15393,63	27786,23	13921,57	17288,60	YBR070C	--	--	--	25134,01	28284,07	23135,04	27966,35
YBL089W	+1.8	--	--	14466,77	25488,72	14575,36	17496,59	YBR071W	--	--	--	35840,59	35681,44	35717,33	35144,93
YBL090W	--	--	--	24479,30	30795,19	23736,00	28798,90	YBR072W	+1.8	--	--	14552,07	26386,09	13058,17	17510,17
YBL091C	--	--	--	32928,47	31389,56	26592,15	32482,93	YBR073W	--	--	--	19109,56	27354,89	18084,89	21479,81
YBL092W	--	--	--	203418,94	212480,80	200040,03	237989,03	YBR074W	+1.7	--	--	16381,69	28216,71	23265,07	24283,13
YBL093C	--	--	--	21212,16	29952,25	18184,28	23716,38	YBR075W	+1.9	--	--	14389,93	28042,10	19231,79	17480,08
YBL094C	+1.6	--	--	16736,99	27539,54	14730,25	21119,88	YBR076W	+2.4	--	--	14080,75	33318,17	12451,21	16634,42
YBL095W	--	--	--	34521,03	32337,54	31696,97	31557,39	YBR077C	+2	--	--	13767,79	27698,69	11130,14	15782,18
YBL096C	+1.9	--	--	19105,51	35402,62	16253,37	19472,09	YBR078W	+2.2	--	--	13559,68	29236,31	9642,66	15115,63
YBL097W	--	--	--	34095,22	31388,06	23316,76	25999,66	YBR079C	+2.1	--	--	12930,92	27305,40	13498,62	17720,81
YBL098W	--	--	--	31658,22	40287,88	30995,52	27627,56	YBR080C	--	-2.1	-1.7	24947,07	31334,73	11857,09	14484,64
YBL099W	--	-1.6	--	28129,98	33568,14	17927,44	22843,81	YBR081C	-2.1	--	--	67784,22	32612,62	94182,31	75815,06
YBL100C	--	--	--	28386,19	27818,97	33559,36	27048,54	YBR082C	--	-1.6	--	20216,47	25525,01	12729,91	16113,08
YBL101C	--	--	--	41574,17	29842,20	51748,77	55753,17	YBR083W	+1.9	--	--	13707,10	25747,54	10709,17	14992,93
YBL101W	--	--	--	53299,59	48790,32	36924,88	35646,05	YBR084C	--	--	--	17991,09	26487,52	12044,39	15624,08
YBL101W	-1.8	--	--	68996,38	37306,31	94369,96	68981,63	YBR084W	+1.8	--	--	16437,25	28785,28	12413,48	19961,79
YBL102W	--	--	--	32170,49	34037,62	30884,01	31945,65	YBR085W	+2	--	--	12514,00	25167,61	16268,53	17021,74
YBL103C	--	--	--	23851,20	26225,93	20956,83	22301,46	YBR086C	+1.5	--	--	20800,57	31611,73	16200,17	21301,94
YBL104C	+1.6	--	--	16617,31	26774,84	14718,62	18752,49	YBR087W	--	--	--	23329,71	31718,87	19247,11	23468,99
YBL105C	+1.5	--	--	17912,90	27200,56	13758,74	21194,37	YBR088C	--	--	--	26373,45	38451,64	17795,09	23320,43
YBL106C	+1.9	--	--	13907,63	26037,19	14115,64	17390,08	YBR089W	--	--	--	34649,21	34092,31	35268,86	33128,17
YBL107C	--	--	--	22764,45	33326,21	21425,61	23302,87	YBR090C	--	--	--	43963,79	52772,42	34967,57	35535,00
YBL108W	+1.7	--	--	15977,66	27584,14	12892,95	16887,40	YBR090C	--	--	--	56685,20	43438,67	67215,08	54793,67
YBL109W	-2.5	-2	--	78441,07	31717,51	39693,05	55808,90	YBR091C	--	--	--	22820,52	33142,77	20761,93	21240,99
YBL110C	--	--	--	31908,75	31076,35	23904,42	28003,01	YBR092C	--	--	-1.8	45390,58	66233,22	42009,50	24606,93
YBL111C	--	--	--	27461,66	33051,37	26566,16	25206,77	YBR093C	--	--	--	43424,56	57173,39	41502,34	45132,68
YBL112C	--	--	--	26543,62	29973,36	21479,81	22717,31	YBR094W	--	--	--	20368,57	28507,86	15485,09	21362,82
YBL113C	--	--	--	91831,45	107285,87	126253,13	95837,93	YBR095C	--	-2.3	--	26857,01	25788,53	11456,71	18762,34
YBR001C	--	--	--	26149,89	34046,08	22879,69	23735,46	YBR096W	+2.2	--	--	11591,17	25368,08	11099,46	16100,38
YBR002C	--	--	--	38813,68	41802,69	29109,33	34077,68	YBR097W	+1.8	--	--	14162,29	25796,64	11879,08	17658,91
YBR003W	--	--	--	24998,19	28923,72	20412,47	24397,42	YBR098W	--	--	--	22339,34	28452,13	18471,68	22398,67
YBR004C	--	--	--	33304,23	33069,20	24301,99	28630,57	YBR099C	--	--	--	26038,31	28054,50	24873,54	23360,54
YBR005W	+2.2	--	--	17314,65	37363,79	15942,79	21408,12	YBR100W	+1.5	--	--	18026,30	27569,87	16859,51	19642,03
YBR006W	--	--	--	20553,17	28794,36	15865,56	19105,07	YBR101C	--	--	--	33530,39	42573,93	25761,88	29729,29
YBR007C	--	--	--	22597,77	29621,82	22145,88	22518,85	YBR102C	--	--	--	28141,05			

ORF	Änderungsfaktor			Normalisierte Signalintensität				ORF	Änderungsfaktor			Normalisierte Signalintensität			
	wt37	mut30	mut37	wt30	wt37	mut30	mut37		wt30	wt37	mut30	mut37			
YBR128C	--	--	--	22383,27	26067,56	17978,26	21695,19	YBR226C	+1.7	--	--	15168,77	25579,42	14490,23	19017,78
YBR129C	--	--	--	26987,16	27086,21	21500,39	27123,46	YBR227C	--	--	--	34151,13	28565,61	24386,05	28922,68
YBR130C	+1.7	--	--	14767,93	25833,15	12777,10	18667,00	YBR228W	--	--	--	27384,54	27922,52	20360,07	24119,07
YBR131W	+1.9	--	--	13207,55	25535,60	12412,10	17310,23	YBR229C	--	--	--	18975,33	26932,31	13261,85	18924,92
YBR132C	--	--	--	29897,39	27622,02	23127,07	24295,49	YBR230C	--	--	--	32419,60	35459,91	21773,64	28083,57
YBR133C	--	+1.5	--	22942,76	26045,23	34832,07	24019,97	YBR231C	--	--	--	39011,62	31124,36	27285,92	28652,47
YBR134W	--	--	--	21741,78	26842,45	18020,58	20913,12	YBR232C	--	-1.5	--	31835,14	26612,56	20704,99	22997,38
YBR135W	--	--	--	38603,72	51193,77	46303,51	42325,53	YBR233W	--	--	--	30774,06	27935,08	25294,81	26197,09
YBR136W	--	--	--	24023,98	27960,21	35401,90	22358,36	YBR234C	+1.6	--	--	16727,93	26288,29	14071,31	18654,64
YBR137W	--	--	--	21806,75	28729,06	17498,91	22328,56	YBR235W	+1.9	--	--	13635,74	25839,98	11644,10	16971,83
YBR138C	--	--	--	22508,41	26225,71	18756,13	20436,57	YBR236C	--	--	--	23556,72	27761,18	17649,96	22633,70
YBR139W	--	--	--	24246,38	34678,26	21959,22	24532,65	YBR237W	-1.7	--	--	48530,30	28147,07	43872,92	35302,91
YBR140C	+1.7	--	--	15304,15	26231,36	12995,12	19574,42	YBR238C	--	--	--	35819,20	28744,27	27504,47	29913,86
YBR141C	--	--	--	25487,81	28679,59	22110,85	23078,25	YBR239C	--	--	--	39320,13	29457,99	44754,00	40273,27
YBR142W	+1.8	--	--	13895,80	25572,72	13630,92	17688,10	YBR240C	--	--	--	22446,28	27123,55	16555,75	20248,87
YBR143C	+2	--	--	12884,78	25629,18	12213,36	17425,26	YBR241C	-1.7	--	--	32685,99	29291,31	18723,63	21881,13
YBR144C	--	--	--	21768,55	26995,37	18085,67	20082,95	YBR242W	--	--	--	24750,56	31848,82	21295,63	22538,77
YBR145W	--	--	--	36721,36	36617,50	25118,85	31762,76	YBR243C	--	--	--	22116,48	26520,21	15872,86	19618,36
YBR146W	--	--	--	26251,72	33432,44	19217,75	24310,86	YBR244W	--	--	--	25959,37	26915,87	22917,70	21846,06
YBR147W	+1.6	--	--	16862,46	27248,22	13421,86	19195,06	YBR245C	--	--	--	28808,42	26994,19	21051,75	22393,30
YBR148W	--	--	--	33705,13	27293,03	43929,82	39719,89	YBR246W	--	--	--	23361,69	27073,42	20373,82	22243,47
YBR149W	--	--	--	23654,42	31907,44	20325,30	24268,75	YBR247C	--	-1.7	--	45802,10	33724,22	36634,62	27190,27
YBR150C	+1.7	--	--	15520,03	25672,87	15169,68	18681,77	YBR248C	--	--	--	42698,26	33273,13	31005,41	33792,18
YBR151W	--	--	--	22848,45	30156,22	16867,61	21276,76	YBR249C	--	--	--	55797,42	63168,32	60607,98	73013,09
YBR152W	--	--	--	23377,18	25768,23	17847,33	22607,64	YBR250W	--	--	--	30095,81	29513,32	29724,91	27466,59
YBR153W	--	--	--	19683,61	28372,70	16026,91	21176,17	YBR251W	--	--	--	29004,63	32947,55	23080,32	26574,96
YBR154C	+1.7	--	--	14775,81	25198,24	12594,19	17935,71	YBR252W	--	--	--	31344,70	40729,63	29622,98	34896,64
YBR155W	+2.1	--	--	12445,87	26045,06	13123,27	17143,32	YBR253W	--	--	--	28727,23	31157,67	24799,65	26723,56
YBR156C	+1.8	--	--	14102,42	25242,33	13696,19	17099,79	YBR254C	--	-1.7	--	32240,76	28626,04	19058,41	22724,06
YBR157C	--	--	--	19954,40	25155,91	18177,49	19390,56	YBR255W	--	--	--	22174,03	26762,45	17243,09	20337,45
YBR158W	+2	--	--	13790,58	26973,35	12045,01	16915,39	YBR256C	--	--	--	35945,11	34959,86	37948,55	42638,11
YBR159W	+2	--	--	13348,94	26057,34	12698,66	16621,00	YBR257W	-1.5	--	--	41555,84	27346,55	48116,47	43303,51
YBR160W	+1.7	--	--	14779,25	25179,30	10394,98	16194,78	YBR258C	--	--	--	22548,82	25730,59	17556,54	21046,88
YBR161W	+1.8	--	--	14162,37	25401,12	13893,63	16749,67	YBR259W	--	-1.5	--	18984,84	26993,49	12634,25	20360,72
YBR162C	+1.8	--	--	13859,68	25210,67	14516,81	17995,20	YBR260C	--	-1.5	--	27424,14	28114,00	18275,57	20687,79
YBR162W	+1.9	--	--	13642,75	25685,64	12122,65	17162,53	YBR261C	--	--	--	35769,63	38689,87	28619,75	30865,54
YBR163W	+1.8	--	--	13764,94	25442,87	11933,41	17250,21	YBR262C	--	--	--	43105,94	41818,62	36446,35	34569,71
YBR164C	+1.7	--	--	14688,26	25252,49	11305,41	16295,91	YBR263W	+1.6	--	--	43189,26	70271,76	38859,26	39293,18
YBR165W	+1.9	--	--	14048,81	26759,23	11594,31	16407,78	YBR264C	--	--	--	64815,03	49633,48	63410,22	47383,29
YBR166C	--	--	--	47342,81	32808,74	38003,61	38091,89	YBR265W	--	-1.5	--	27390,94	32705,16	17911,23	24087,98
YBR167C	--	--	--	25988,46	30356,00	25685,17	25794,43	YBR266C	-1.8	--	--	53618,73	29114,36	38481,55	37727,58
YBR168W	--	--	--	57097,60	40220,89	43747,49	39586,50	YBR267W	-1.5	--	--	42754,04	27728,43	40959,97	38079,15
YBR169C	--	-1.5	--	51474,52	62423,69	33545,44	39203,53	YBR268W	--	--	--	38153,70	34521,74	37636,13	30497,44
YBR170C	--	-1.6	--	29988,30	32356,19	18386,21	23421,43	YBR269C	--	--	-1.6	39477,21	27790,61	28625,13	25188,28
YBR171W	-1.7	--	--	50807,86	29843,53	40702,95	37654,51	YBR270C	--	-1.7	--	29824,89	27716,33	17551,47	21989,13
YBR172C	--	--	--	29127,39	27046,13	27458,61	23496,37	YBR271W	--	--	--	35252,72	33120,88	30486,63	30551,20
YBR173C	--	--	--	37180,05	29620,61	31704,82	28584,05	YBR272C	--	--	--	19805,42	27037,27	15731,24	21905,53
YBR174C	--	--	--	34351,00	32624,65	25153,88	25672,12	YBR273C	--	--	--	42135,53	35864,46	38625,91	35416,30
YBR175W	--	--	--	45398,18	38236,25	30955,56	31637,65	YBR274W	--	--	--	28031,91	29929,74	23442,97	24780,04
YBR176W	--	-1.8	-1.6	38694,05	35136,89	21928,37	23976,17	YBR275C	--	--	--	21409,45	27514,41	15861,90	19364,50
YBR177C	--	--	--	30042,01	30705,83	22160,58	27378,91	YBR276C	--	--	--	22906,61	30943,94	16740,09	20406,45
YBR178W	-1.7	--	--	49801,67	28883,90	54963,99	46838,64	YBR277C	--	--	--	24127,88	28414,18	19486,29	20975,63
YBR179C	--	--	--	27863,87	29598,20	30412,67	24959,66	YBR278W	--	--	--	22682,10	28768,78	18419,07	20983,88
YBR180W	--	--	--	25973,65	27960,60	18216,33	21922,71	YBR279W	--	--	--	49957,09	35310,73	42350,45	40459,51
YBR181C	+1.8	--	--	15045,55	26785,70	11407,14	16759,00	YBR280C	--	--	--	20101,34	28771,85	14670,41	17666,98
YBR182C	-1.7	--	--	62738,77	36385,31	46180,66	48551,33	YBR281C	--	--	--	18442,39	26804,50	14902,30	17711,38
YBR183W	--	--	--	33613,12	31970,44	24813,44	26863,65	YBR282W	--	--	--	40972,05	37616,17	35252,06	34046,16
YBR184W	--	--	--	33925,34	30234,68	22978,57	23039,61	YBR283C	--	--	--	48303,59	33436,03	41042,64	45125,69
YBR185C	--	--	--	25186,18	29521,97	19231,76	21333,25	YBR284W	--	--	--	22011,17	26062,42	17884,14	19555,55
YBR186W	--	--	--	37622,07	26294,31	34085,91	26130,47	YBR285W	--	--	--	55061,82	38448,84	70820,07	61667,68
YBR187W	--	--	--	46545,79	38512,38	38620,23	36747,74	YBR286W	--	--	--	133804,44	113055,31	94757,98	107342,49
YBR188C	--	--	--	39153,33	31789,96	34207,76	36459,34	YBR287W	--	--	--	31002,29	34879,97	24690,32	26929,71
YBR189W	-1.9	--	--	228054,24	121757,56	266913,60	296401,25	YBR288C	--	--	--	20210,06	29952,73	14599,92	17693,13
YBR190W	--	-1.5	--	142458,93	127815,40	93962,90	126673,53	YBR289W	--	--	--	21283,93	27691,60	18663,77	21589,19
YBR191W	--	--	--	137249,84	183030,68	96924,29	126378,16	YBR290W	-1.9	-1.7	-2	69483,39	37551,25	39929,84	34737,16
YBR192W	--	--	--	38018,38	43286,27	31083,82	31642,23	YBR291C	-1.5	--	--	52094,76	34233,64	59510,03	41692,50
YBR193C	--	--	--	23675,26	30401,84	17405,94	20540,90	YBR292C	-2.6	--	--	71241,80	27601,13	87858,78	67657,64
YBR194W	--	--	--	24847,34	30215,42	19889,94	21703,67	YBR293W	--	-1.6	--	29178,68	27845,18	17719,68	19909,57
YBR195C	--	-1.5	--	30696,92	35565,35	20429,11	23716,04	YBR294W	+1.6	--	--	15961,87	26173,80	14544,93	17319,05
YBR196C	--	--	--	149934,51	160100,31	185907,92	131491,42	YBR295W	-1.6	--	--	46681,74	28726,82	61272,79	56023,00
YBR197C	--	--	--	34465,67	32123,18	23781,77	25309,67	YBR296C	--	-1.8	--	32028,69	26058,26	18205,47	24396,94
YBR198C	--	--	--	30152,72	29447,88	24481,80	25479,53	YBR297W	--	--	--	26772,95	26926,09	21179,18	24818,08
YBR199W	--	-1.5	--	29728,33	28589,81	19724,22	22919,76	YBR298C	--	--	--	25255,67	26131,99	20051,27	22926,42
YBR200W	+1.6	--	--	17133,82	27741,69	12660,00	18522,74	YBR299W	--	--	--	21612,78	27334,45		



ORF	Änderungsfaktor			Normalisierte Signalintensität				ORF	Änderungsfaktor			Normalisierte Signalintensität			
	wt37	mut30	mut37	wt30	wt37	mut30	mut37		wt37	mut30	mut37	wt30	wt37	mut30	mut37
YCL024W	--	--	--	25697,86	26403,89	21689,35	23439,91	YCR035C	--	--	--	29176,53	37650,83	22703,41	24888,43
YCL025C	-1,8	--	--	71834,25	39668,53	62173,88	77894,73	YCR036w	--	--	--	26483,78	35515,58	21433,95	25022,22
YCL026C	--	--	--	26005,11	27055,13	22669,08	23587,41	YCR037c	--	--	--	21803,69	28042,57	17195,45	19642,99
YCL027w	--	--	--	23057,62	28765,03	19324,04	22156,04	YCR038c	--	--	--	20204,79	27123,43	15357,82	19078,12
YCL028W	--	--	--	27489,56	37075,41	27873,82	27796,53	YCR039c	--	--	--	29609,99	33920,34	22208,97	27139,53
YCL029c	+1,7	--	--	16324,76	27125,63	15380,94	18951,04	YCR040w	--	--	--	24805,02	26396,26	16608,00	18975,22
YCL030c	--	-2,1	-1,6	36134,95	29161,13	16932,09	22883,97	YCR041W	--	--	--	20807,68	26210,52	16410,34	20214,55
YCL031C	--	-1,6	-1,5	41037,98	35613,38	26357,27	26733,58	YCR042c	-2,5	-1,8	-1,9	113933,88	45260,20	63082,92	59640,66
YCL032w	--	-1,9	-1,5	28875,36	28212,96	15383,71	19215,80	YCR043C	-2,2	-2,6	-3,1	74850,84	34147,31	28928,41	24331,92
YCL033C	+1,7	--	--	19875,88	33900,96	23563,39	25379,51	YCR044c	--	--	--	27788,69	28381,48	22770,43	28435,43
YCL034W	-2,2	--	--	82950,18	36970,04	104521,08	101758,45	YCR045C	--	--	--	23889,29	28016,43	16214,87	23101,64
YCL035C	-3,3	-4,2	-3,5	183121,77	54973,15	43821,86	52805,89	YCR046C	+2	--	+1,5	22565,84	45920,77	28278,89	34293,29
YCL036W	--	--	--	38968,36	41397,35	32506,30	45502,35	YCR047C	+2	--	--	21454,87	41896,37	29795,52	29883,25
YCL037c	+1,6	--	--	17260,76	26948,01	14260,76	20365,42	YCR048w	+1,6	--	--	16626,75	25798,65	14641,28	21212,51
YCL038C	+1,7	--	--	15382,83	26333,87	12669,96	18347,00	YCR049c	--	--	--	18908,35	26337,07	15413,07	20166,20
YCL039W	+1,7	--	--	15055,34	26310,85	13096,76	17776,42	YCR050C	+1,5	--	--	19134,90	29537,46	16195,09	21195,48
YCL040w	+1,7	--	+1,6	47815,49	80538,95	69927,94	75506,22	YCR051W	--	-1,9	--	35492,14	36048,84	18618,10	27614,88
YCL041C	--	--	--	27768,09	26218,44	32593,13	28518,08	YCR052w	--	--	--	31047,52	30246,75	22792,33	28923,47
YCL042W	-1,8	--	--	50054,44	27150,69	60030,60	46987,78	YCR053w	--	--	--	24296,15	30350,10	17582,09	23464,50
YCL043c	+1,7	--	--	17733,80	29750,64	15104,31	18548,89	YCR054C	+1,5	--	--	17193,34	25826,73	14431,23	17781,71
YCL044C	--	-1,5	--	25175,04	30091,50	16347,43	23427,72	YCR055C	--	--	--	35265,28	33566,02	30897,64	36442,16
YCL045C	--	--	--	22051,19	27666,03	17829,32	21529,12	YCR056w	--	--	--	36839,42	26131,43	35745,52	41443,42
YCL046W	+1,6	--	--	16660,58	25952,36	13487,87	18266,36	YCR057c	--	--	--	23120,41	27477,75	20655,01	25664,74
YCL047C	--	--	--	26495,74	28751,67	22395,13	27890,22	YCR058C	+1,6	--	--	16187,87	25655,44	13563,16	17697,86
YCL048W	--	--	--	29526,46	30488,49	23939,51	27423,88	YCR059C	--	--	--	23598,72	34367,77	23821,19	27625,34
YCL049C	--	--	--	25956,59	30520,09	19391,37	23333,80	YCR060W	+1,8	--	--	17807,67	31805,10	16461,01	21332,17
YCL050c	--	--	--	23544,26	35279,08	19096,83	25947,66	YCR061W	--	--	--	37914,25	32487,50	27925,25	31080,94
YCL051W	--	--	--	26177,43	27146,04	19722,89	22520,04	YCR062W	--	--	--	27216,60	30333,56	18920,11	24105,62
YCL052c	--	--	--	25116,55	31095,93	19534,39	23578,59	YCR063W	--	--	--	27088,35	27490,60	18939,39	21192,53
YCL053C	--	--	--	53327,89	46439,69	54906,06	45310,94	YCR064C	--	--	--	26612,53	25991,24	24833,89	24075,11
YCL054W	--	-2,5	-1,9	40601,65	31003,03	16503,10	21145,20	YCR065w	--	--	-1,6	38956,96	31190,33	39252,90	23711,94
YCL055W	--	--	--	19334,97	27976,31	14825,58	20028,90	YCR066w	--	--	--	26738,41	26354,45	21976,85	21570,52
YCL056C	--	--	--	26904,87	28058,76	18029,15	19945,39	YCR067c	--	--	--	20230,40	27139,77	15198,99	21074,71
YCL057w	--	--	--	24360,14	28807,56	17392,76	20949,71	YCR068W	--	--	--	36844,28	26592,44	37800,05	35787,09
YCL058C	-1,6	--	-2,4	54902,71	34152,48	40400,87	23087,58	YCR069w	--	--	--	24717,42	29197,72	17430,08	21368,59
YCL059C	--	--	--	46412,83	37974,55	44905,62	45623,37	YCR070w	--	--	--	20972,70	28371,61	20073,89	22072,03
YCL060C	-1,8	--	--	47791,34	26450,53	51761,25	42941,65	YCR071C	--	--	--	35227,76	34546,36	25208,15	26821,83
YCL061C	--	--	--	21896,81	25892,01	18484,47	20733,48	YCR072C	--	--	--	35538,77	32399,27	27422,10	25937,45
YCL062W	--	-1,6	--	38834,87	27285,71	23942,61	29517,83	YCR073C	--	+1,6	--	23830,27	27859,31	38216,77	23680,79
YCL063W	--	--	--	18644,98	26873,04	15883,74	19927,79	YCR074C	+1,6	--	--	15827,10	25954,62	13550,32	18407,88
YCL064c	--	--	--	25036,29	27990,72	18538,59	21156,32	YCR075c	--	--	--	25555,43	27773,13	19165,88	21278,67
YCL065W	--	--	--	26481,50	25767,46	18629,40	21312,57	YCR076C	+1,6	--	--	17508,40	27497,22	16272,44	19020,67
YCL066w	--	--	--	22671,72	27503,99	16920,80	20149,75	YCR077C	--	--	--	18169,67	26134,21	15032,49	20770,33
YCL067c	--	--	--	40081,89	34349,21	40911,13	30172,11	YCR079W	--	--	--	35031,63	25981,02	24741,00	27927,07
YCL068C	+1,7	--	--	15121,71	26202,95	12729,39	18282,03	YCR080W	--	--	--	29263,65	25647,81	23469,13	27445,47
YCL069W	--	--	--	22502,84	26232,54	18227,31	20354,52	YCR081w	--	--	--	25632,96	27392,81	33590,25	26177,27
YCL070/	--	--	--	22306,39	26169,31	18449,66	19647,15	YCR082W	--	--	--	32463,87	36962,05	34052,94	32639,51
YCL074W	--	--	--	18694,98	25627,14	14296,83	19216,62	YCR083W	--	--	--	22049,42	27822,56	16694,21	19770,91
YCL075W	--	--	--	22872,53	25605,24	15885,25	19503,97	YCR084c	--	-1,7	-1,7	55714,08	39957,02	32741,88	33300,78
YCL076W	--	--	--	31553,50	26005,29	37784,51	27585,93	YCR085W	--	--	--	19676,16	26362,73	15556,00	18934,06
YCLX01W	--	--	--	44416,00	33424,76	42804,56	38215,92	YCR086w	--	--	--	29227,65	30843,65	22819,48	27316,79
YCLX02C	--	--	--	36371,04	27098,61	35317,72	28627,12	YCR087W	+1,7	--	--	15659,12	25869,90	14363,29	19423,89
YCLX03C	--	-1,5	--	32619,09	26751,04	21579,38	22216,57	YCR088w	--	--	--	38043,99	35511,84	27288,36	28953,44
YCLX04W	--	--	--	23916,96	28131,40	17969,55	18857,40	YCR089W	-2,1	--	--	56109,89	26856,24	61543,77	51717,37
YCLX05C	--	--	--	18431,57	26540,71	14200,06	18500,01	YCR090C	--	-1,8	--	26516,77	29643,90	14981,36	20372,10
YCLX06C	--	--	--	28085,71	29469,33	22292,85	24542,10	YCR091w	--	--	--	25838,32	26348,62	18840,78	21847,46
YCLX07W	+1,7	--	--	15158,69	25685,89	13183,64	16750,74	YCR092c	--	--	--	29340,87	27805,97	26034,39	26852,87
YCLX08C	--	--	--	20989,97	25112,25	16618,88	18709,64	YCR093w	--	--	--	20222,91	26874,52	20461,00	21740,44
YCLX09W	--	--	--	21134,69	25360,98	14744,05	19382,52	YCR094W	--	--	--	27715,41	28036,76	26720,99	27481,34
YCLX10C	--	-1,9	--	27433,10	30934,25	14336,11	22657,70	YCR095C	--	--	--	26844,23	27267,96	20387,40	21320,60
YCLX11W	--	--	--	30070,20	40815,05	32060,91	42274,66	YCR096c	--	--	--	36485,50	30716,35	34092,65	33587,86
YCLX12W	+1,7	--	--	16269,15	27449,22	15724,01	19076,81	YCR097w	--	--	--	20497,76	26738,27	20423,10	22441,51
YCR001W	+1,8	--	--	14331,59	26217,98	13567,87	17953,06	YCR097w	+1,8	--	--	14774,41	26781,58	10571,54	16855,82
YCR002c	--	--	--	30800,01	33981,39	24588,23	24619,83	YCR098c	--	-1,6	--	28598,85	28268,68	18413,44	21885,67
YCR003w	--	--	--	33699,85	30941,83	36661,66	30697,94	YCR099C	--	--	--	18980,81	25710,63	15141,86	18952,28
YCR004C	--	--	--	55199,68	48018,58	37570,24	38332,08	YCR100C	--	--	--	25951,25	26381,82	19798,16	22088,18
YCR005c	--	-1,6	--	26909,76	28692,99	17120,61	21766,32	YCR101C	--	--	--	25769,82	25472,60	21024,71	23630,85
YCR006C	--	--	--	17018,10	25447,91	13497,29	15878,92	YCR102C	--	+1,5	--	37747,58	26634,03	49451,48	57187,23
YCR007C	--	--	--	31264,73	26261,27	28920,00	27304,83	YCR103C	--	--	--	29832,26	27604,17	36726,41	33309,58
YCR008W	+1,7	--	--	15266,71	25262,54	14005,79	17680,39	YCR104w	+1,5	--	--	17757,38	26934,76	17366,30	19247,56
YCR009c	+1,7	--	--	15476,30	25541,59	11708,65	16798,40	YCR105W	--	--	--	29235,07	34207,19	26467,23	22982,13
YCR010C	-1,7	--	--	44069,82	25665,83	33718,97	30587,23	YCR106W	--	--	--	26389,14	29910,61	19673,70	21008,80
YCR011c	--	--	--	26543,66	26913,59	20617,13	22042,70	YCR107W	--	-1,6	--	25785,28	31137,91	16089,28	23920,02
YCR012w	--	--	--	214706,10	314305,40	161673,49	172380,06	YCRX0							

ORF	Änderungsfaktor			Normalisierte Signalintensität				ORF	Änderungsfaktor			Normalisierte Signalintensität			
	wt37	mut30	mut37	wt30	wt37	mut30	mut37		wt30	wt37	mut30	mut37			
YDL006W	-1,6	--	-1,6	43870,56	27842,15	30628,27	26686,25	YDL105W	--	--	--	37361,60	30469,47	33811,57	30201,86
YDL007W	-1,7	--	--	55527,65	32870,31	50952,51	42053,60	YDL106C	--	-1,5	--	33782,40	26445,18	22124,89	23503,89
YDL008w	--	--	--	31180,02	27247,64	26294,60	23761,96	YDL107W	--	--	--	24632,17	26897,69	22113,66	23266,84
YDL009c	--	--	--	35954,36	29728,31	30672,72	28171,88	YDL108W	--	--	--	27751,75	30110,53	23266,63	24693,54
YDL010w	--	--	--	23339,00	27815,26	16218,74	21122,37	YDL109c	--	--	--	36029,85	27513,53	27505,84	31778,60
YDL011c	--	--	--	25597,55	26804,62	17444,35	20856,98	YDL110c	--	+1,5	--	21862,00	33220,21	18139,29	22403,88
YDL012c	--	-1,5	--	44785,51	30946,50	29072,90	31823,52	YDL111c	--	+1,8	--	21650,87	38628,30	22693,41	24647,72
YDL013W	--	--	--	30786,95	28368,35	26431,40	27036,71	YDL112w	--	--	--	48619,63	35213,70	44895,61	43340,62
YDL014W	--	--	--	32903,27	44807,44	24700,34	34013,37	YDL113c	--	+2	--	13655,68	27672,92	12483,59	16314,92
YDL015c	--	--	--	32393,29	37829,56	28923,46	29085,38	YDL114w	--	+1,7	--	15400,06	26318,77	13230,34	15672,60
YDL016c	--	--	--	25259,31	28961,36	17233,88	19674,58	YDL115c	--	--	-1,6	45704,69	33091,79	31679,86	28016,63
YDL017W	--	--	--	26850,04	28409,65	19642,28	21514,45	YDL116W	--	+1,7	--	15652,27	27088,56	13251,69	17416,19
YDL018c	--	--	--	47622,01	33008,64	46786,67	36327,87	YDL117w	--	--	--	23702,98	28330,80	18142,20	19134,83
YDL019c	--	--	--	53359,54	35811,23	51273,86	47620,91	YDL118w	--	--	--	22251,14	25904,54	17011,26	20206,43
YDL020C	+1,5	--	--	17702,96	26797,64	15246,64	18312,04	YDL119c	--	-1,7	--	36826,04	49201,41	21380,12	29857,17
YDL021W	--	--	--	19168,12	27313,85	18902,72	19272,40	YDL120w	--	--	--	28580,72	33056,06	23026,00	28140,82
YDL022w	--	--	--	27350,15	28121,99	22090,03	25999,18	YDL121c	--	--	--	20774,64	28319,42	19131,75	23604,57
YDL023c	--	--	--	21778,59	26356,73	15788,94	20176,01	YDL122W	--	--	--	26968,77	31302,69	21489,99	28381,50
YDL024c	--	--	--	29146,48	30829,57	22438,18	22559,16	YDL123w	--	--	--	29493,51	30614,78	28186,44	28514,93
YDL025c	--	--	--	19802,87	27080,69	15654,28	20149,89	YDL124w	--	+2	--	27651,44	54721,86	27893,19	34515,77
YDL026w	+1,7	--	--	14806,06	25567,09	11214,28	17298,86	YDL125c	--	+1,8	--	35870,12	63033,96	43971,72	43475,66
YDL027c	--	--	--	24659,98	28005,31	29358,38	25418,53	YDL126C	--	--	--	45494,49	43274,01	30362,97	32700,51
YDL028C	--	--	--	29690,82	30859,42	22130,48	22764,37	YDL127w	--	--	--	32755,40	27847,55	24065,21	23312,54
YDL029W	--	--	--	26257,57	33456,22	21524,65	24874,85	YDL128W	--	--	--	37429,03	31913,51	31319,53	31791,14
YDL030W	+1,6	--	--	17412,32	28316,53	13913,01	17580,19	YDL129w	--	--	--	18988,09	26239,40	18928,55	20577,31
YDL031w	--	--	--	26961,98	27654,36	23696,31	23883,07	YDL130W	--	--	--	81642,12	58055,37	66745,81	77788,16
YDL032w	--	--	--	19238,14	27088,19	14948,26	17604,73	YDL131w	--	--	--	38232,91	42740,39	32547,16	41693,62
YDL033c	--	--	--	20319,40	27273,11	17388,59	20041,35	YDL132w	--	--	--	28903,59	30317,62	24319,83	28730,02
YDL034w	+1,8	--	--	48404,45	26488,38	66353,78	46618,41	YDL133w	--	--	--	20320,58	27777,20	17784,22	21545,56
YDL035c	+1,9	--	--	14619,54	27077,08	11658,22	17619,37	YDL134C	--	+1,6	--	29017,64	47782,68	28932,17	34471,09
YDL036c	-1,6	--	--	50568,88	31802,57	67388,71	48531,43	YDL135C	--	--	--	27635,98	32590,51	25545,45	26117,74
YDL037c	+1,5	--	--	17056,74	25755,75	15550,85	21529,05	YDL136w	--	+2,4	+1,5	27775,95	66329,51	42828,35	43038,15
YDL038c	+1,6	--	--	17087,63	27140,69	14480,01	18008,18	YDL137W	--	--	--	59335,51	77438,34	55755,62	54586,57
YDL039c	+1,6	--	--	16874,30	27077,35	14746,12	18049,92	YDL138w	--	--	--	20438,77	25672,00	15288,92	18818,77
YDL040C	--	--	--	24171,35	30120,59	20876,59	22674,06	YDL139c	--	--	--	38637,01	27171,81	38201,95	34612,11
YDL041w	--	--	--	21077,10	26534,84	16565,39	19616,09	YDL140C	--	--	--	58530,38	40425,04	53021,84	54095,34
YDL042C	+1,7	--	--	16289,96	26919,70	13372,44	18039,77	YDL141W	--	--	--	21124,77	25950,14	16628,60	20499,16
YDL043C	--	--	--	24123,83	26688,66	18461,24	20183,44	YDL142c	--	--	--	33267,68	30827,23	27826,36	31652,43
YDL044c	--	--	--	23242,82	27003,95	18765,75	21199,30	YDL143W	--	--	--	60110,53	58803,27	50463,53	59134,65
YDL045C	--	--	--	19986,21	28548,66	14600,46	18609,38	YDL144c	--	--	--	26381,84	38915,32	24597,34	35229,23
YDL046w	-2	--	--	30713,54	34382,81	15352,03	32355,04	YDL145C	--	+1,6	--	16597,43	26630,92	14036,77	18489,55
YDL047W	-1,6	--	--	39705,36	46024,28	24994,40	33690,93	YDL146w	--	+1,6	--	16576,15	26701,37	14503,55	18390,12
YDL048c	--	--	--	28592,17	38154,79	26259,55	30626,94	YDL147w	--	--	--	31204,76	36197,52	23635,74	25813,22
YDL049C	+1,6	--	--	18082,92	28237,12	16477,57	21954,04	YDL148c	--	-2	--	57564,03	29416,07	44894,47	39496,83
YDL050c	+1,9	--	--	23508,02	44136,56	20897,40	25394,70	YDL149w	--	--	--	21074,53	27706,60	16366,88	20108,87
YDL051W	+1,8	--	--	18369,19	32999,18	20037,66	23394,26	YDL150W	--	--	--	33136,90	32709,14	33251,53	31719,83
YDL052C	+1,7	--	--	16116,80	27084,72	14133,48	17878,37	YDL151c	--	--	--	37335,84	29517,87	36234,89	35399,74
YDL053c	--	--	--	26489,57	37983,86	18624,19	28798,13	YDL152w	--	--	--	23883,71	26415,90	19332,19	21891,33
YDL054c	--	--	--	22559,13	29373,78	16324,05	19869,01	YDL153c	--	-1,8	--	57039,44	31344,57	57817,77	45669,68
YDL055C	-1,7	--	--	73765,19	84312,56	44141,26	58997,19	YDL154W	--	--	--	22601,32	25582,59	17409,65	21064,11
YDL056W	+1,6	+1,8	--	16223,68	26188,56	29351,72	18915,58	YDL155W	--	--	--	48935,67	36528,65	39674,47	38228,75
YDL057w	--	--	--	21801,45	27472,95	17717,97	20733,90	YDL156W	--	--	--	22128,08	25645,80	21296,17	22492,12
YDL058W	-1,7	--	--	51052,74	29644,36	75051,12	50856,39	YDL157c	--	--	--	21646,17	30872,55	22943,93	26482,29
YDL059C	--	--	--	29930,72	32233,38	26075,40	28631,66	YDL158c	--	--	--	23468,72	27364,60	20041,58	21004,62
YDL060w	--	--	--	28657,33	32952,07	23757,34	29144,46	YDL159W	--	--	--	32593,18	27111,03	24157,24	24334,86
YDL061C	-1,9	--	--	44736,74	43056,38	24144,00	33069,19	YDL160C	--	--	--	20865,97	26231,65	16788,11	19657,80
YDL062w	+1,6	--	--	16329,44	26113,52	14597,69	18259,79	YDL161w	--	-1,6	--	49564,78	31338,21	60780,03	46084,36
YDL063c	+1,7	--	--	17160,42	28421,22	14880,36	18972,35	YDL162c	--	--	--	29732,84	25636,95	29605,71	24411,21
YDL064w	--	--	--	28403,08	32539,86	21670,41	24172,87	YDL163w	--	--	--	19673,52	25223,29	18617,41	20032,61
YDL065c	-1,7	--	--	42055,07	31493,10	25219,92	34729,69	YDL164C	--	--	--	25608,97	27836,77	20566,91	21127,06
YDL066W	-1,8	--	--	34362,83	32176,20	18773,92	24875,92	YDL165W	--	--	--	19643,93	26473,42	15738,28	19110,92
YDL067C	--	--	--	36035,76	37200,71	36240,00	35392,94	YDL166c	--	--	--	22592,66	29717,31	20824,26	24390,58
YDL068w	--	--	--	21020,07	26072,84	18180,33	21196,39	YDL167C	--	+1,8	--	15103,70	26569,67	15687,54	19881,50
YDL069C	--	--	--	23840,88	27322,44	19462,34	21673,94	YDL168W	--	--	--	23594,44	30373,04	21878,07	23464,88
YDL070w	--	--	--	26573,47	29919,44	20253,68	23638,96	YDL169C	--	--	--	23989,99	27731,61	21791,76	23421,63
YDL071c	--	--	--	21702,10	25705,04	17184,57	21103,04	YDL170W	--	--	--	26659,06	27700,64	22127,24	24225,38
YDL072c	--	--	--	34575,45	46152,30	42735,17	42763,98	YDL171c	--	--	--	34190,83	32476,02	28218,06	26630,52
YDL073w	+1,8	--	--	14369,44	25550,54	13352,76	18041,98	YDL172c	--	--	--	32793,71	27921,09	27333,09	27062,84
YDL074c	--	--	--	21239,82	28248,23	16221,29	20842,62	YDL173w	--	--	--	38624,51	29691,36	34699,92	31276,08
YDL075W	--	--	--	18649,71	27060,39	14938,40	17725,11	YDL174C	--	--	--	30494,57	32721,33	22407,62	24825,24
YDL076c	--	--	--	31640,24	28044,87	25326,53	24206,51	YDL175c	--	--	--	18418,32	26445,32	15875,23	18661,10
YDL077c	+1,6	--	--	16284,11	26197,70	13707,06	18043,40	YDL176w	--	--	--	23475,73	26263,21	17918,18	20725,87
YDL078C	--	--	--	33462,69	34982,39	25905,46	30811,43	YDL177c	--	--	--	22974,94	27958,07	16891,98	21006,36
YDL079C	-1,8	--	--	88025,54	49107,68	63962,28	60471,71	YDL178W	--	--	--	26264,20	29825,64	21730,22	24922,42
YDL080c															

ORF	Änderungsfaktor			Normalisierte Signalintensität				ORF	Änderungsfaktor			Normalisierte Signalintensität			
	wt37	mut30	mut37	wt30	wt37	mut30	mut37		wt30	wt37	mut30	mut37			
YDL204w	--	--	--	25917,95	26862,23	18675,78	22343,89	YDR055w	--	--	--	57157,73	66014,54	42506,52	39454,26
YDL205C	--	--	--	26263,63	31051,33	17535,47	20157,66	YDR056c	-1,6	-1,5	-1,5	56518,86	35995,16	37079,99	37635,37
YDL206w	--	--	--	34956,93	29332,66	25701,45	26073,14	YDR057w	--	--	--	43490,28	29066,20	23468,80	31541,94
YDL207w	+1,9	--	--	13320,16	25711,09	11850,19	15788,33	YDR058c	--	-1,5	--	31586,05	26829,03	20970,54	24179,15
YDL208W	--	--	--	50857,24	45447,70	59871,20	44599,56	YDR059C	-1,7	--	--	48546,05	28604,41	45379,80	49612,54
YDL209c	--	-1,5	-1,6	37300,28	28662,86	24131,32	23557,74	YDR060w	--	--	--	24213,26	31048,41	17009,05	20872,69
YDL210W	--	--	--	29702,27	27263,75	22712,87	22086,46	YDR061w	--	-1,6	--	47151,01	43775,90	28970,30	35988,05
YDL211c	--	--	--	31085,29	27417,04	23251,57	23123,39	YDR062W	--	--	--	34615,94	40087,83	26140,02	30587,27
YDL212W	--	--	--	39941,63	32412,62	30273,51	31755,11	YDR063w	--	--	--	33803,92	35431,01	29901,98	30825,86
YDL213c	--	--	--	61511,42	44354,77	75395,97	68450,98	YDR064W	--	--	--	91911,80	117743,28	68868,78	64701,51
YDL214c	--	--	--	17798,67	26181,00	13202,16	19863,46	YDR065w	--	--	--	43415,11	30215,11	39677,65	34558,75
YDL215C	--	--	--	18251,58	26073,19	13740,67	20024,85	YDR066c	--	--	--	23637,07	30527,60	17801,93	20346,72
YDL216c	--	--	--	22567,19	25945,75	20788,67	23081,90	YDR067c	--	--	--	30863,02	32532,18	24643,19	28280,11
YDL217c	--	--	--	25026,42	31895,88	20331,85	25233,18	YDR068W	-1,8	--	--	59644,06	32441,75	58158,37	49131,09
YDL218w	--	--	--	32897,07	31355,28	27246,59	27006,12	YDR069C	--	--	--	25214,71	27678,14	19238,24	20562,36
YDL219w	+2	--	--	13232,87	25992,60	12471,68	16428,97	YDR070c	+1,5	--	--	17558,54	27150,51	18777,03	20753,84
YDL220C	+1,7	--	--	16022,03	26686,62	14001,63	19524,47	YDR071c	+1,7	--	+1,6	22648,06	37400,10	31165,91	35813,66
YDL221w	-1,7	--	--	47553,21	28307,73	40666,60	36282,26	YDR072c	--	--	--	33652,51	32397,43	27617,11	34681,12
YDL222c	--	--	--	22068,31	26850,44	17036,58	20538,42	YDR073W	--	--	--	43682,38	50395,69	31586,56	38655,67
YDL223c	--	--	--	18360,57	25873,70	14123,54	18900,01	YDR074W	--	--	--	24358,35	28147,09	18045,08	25199,84
YDL224c	--	--	--	24643,33	28306,57	18175,44	22237,24	YDR075W	--	--	--	21428,03	27403,43	19089,03	22512,32
YDL225w	--	--	--	40303,39	31955,95	31007,13	34990,73	YDR076W	--	--	--	29260,15	29303,21	25935,55	25277,53
YDL226C	--	--	--	28048,53	32391,63	22619,16	31383,93	YDR077W	+1,8	--	--	162625,45	29740,76	173008,64	18947,46
YDL227C	+1,7	--	--	15795,00	26425,75	12905,31	19004,34	YDR078c	--	-1,6	--	27838,09	28158,45	17474,23	21044,24
YDL228c	+1,6	--	--	16541,96	26719,15	14440,61	21285,35	YDR079w	-1,6	--	--	47349,83	29805,33	37263,44	32606,61
YDL229W	+1,8	+1,6	--	124606,42	229472,82	205482,30	184090,75	YDR080w	+1,7	--	--	15247,49	26345,00	13819,72	18090,93
YDL230W	--	--	--	25078,88	30563,18	24663,17	24868,34	YDR081C	--	--	--	35564,38	36166,82	27257,21	28302,30
YDL231c	+1,8	--	--	14227,85	25785,20	12320,84	16921,85	YDR082w	--	--	--	32988,95	33820,15	22995,25	26847,47
YDL232W	+1,8	--	--	14901,05	27375,55	11981,41	18034,51	YDR083w	-2,3	--	--	71024,98	31349,99	85981,78	78788,78
YDL233w	--	-1,5	--	27250,78	29723,56	17882,74	23720,73	YDR084c	--	--	--	32848,71	28260,73	26421,92	35494,26
YDL234C	--	--	--	24358,38	28850,60	19522,35	21958,72	YDR085C	--	-1,5	--	48526,86	42262,44	31373,75	38503,02
YDL235c	--	--	--	42016,15	39056,13	29164,50	35590,68	YDR086C	+1,6	--	--	31063,42	49932,67	36591,93	41750,08
YDL236W	--	--	--	65502,21	53029,70	84464,19	83923,00	YDR087c	--	--	--	45380,60	43402,01	42967,19	45968,43
YDL237w	--	--	--	24931,32	31421,49	19369,96	25117,41	YDR088C	-1,7	--	--	49417,72	29345,98	58870,72	40351,04
YDL238c	--	--	--	23282,45	26644,21	18353,84	22187,17	YDR089w	--	--	--	17851,97	26519,37	16128,15	18710,16
YDL239c	+1,6	--	--	15790,39	25837,06	13956,07	19268,03	YDR090C	--	--	--	43290,07	29007,18	32384,46	31123,26
YDL240W	--	--	--	18096,62	25921,75	16394,73	21635,02	YDR091C	--	--	--	42773,15	42809,69	32631,17	34010,43
YDL241w	--	--	--	23788,53	27201,96	19407,17	21586,58	YDR092W	--	--	--	44677,29	40279,88	30762,04	42979,18
YDL242w	--	--	--	21596,48	26106,82	12723,26	20095,67	YDR093W	--	--	--	54618,47	42614,79	44645,79	39787,41
YDL243c	+1,9	--	--	13785,84	25707,13	11243,53	17909,61	YDR094W	--	--	--	29598,18	38677,16	33532,96	33315,85
YDL244w	--	--	--	27343,55	28447,90	20184,70	22522,44	YDR095C	--	--	--	30329,61	26488,21	25093,62	26111,36
YDL245C	--	--	--	30852,76	29147,68	26580,64	25814,47	YDR096W	--	--	--	30625,65	31582,70	25728,08	25725,12
YDL246c	--	--	--	23719,87	29142,45	18940,34	23627,39	YDR097C	--	--	--	57653,81	39243,55	48132,95	54627,77
YDL247w	--	--	--	28137,73	27138,59	26522,72	26663,39	YDR098C	--	--	--	65338,45	60215,08	58447,19	73396,84
YDL248w	--	--	--	18166,83	26671,36	14765,97	18201,73	YDR099W	-1,6	-2,5	-1,8	140586,46	87749,44	56789,53	79425,16
YDR001C	--	--	--	32263,37	32639,41	25032,59	29668,14	YDR100W	--	--	--	28269,04	30604,71	23701,13	26750,51
YDR002W	--	--	--	47937,10	56594,73	70315,59	70107,05	YDR101C	--	--	--	34963,33	35070,90	27029,39	27845,47
YDR003W	--	--	--	40082,34	26870,89	31302,70	30797,16	YDR102C	--	--	--	21818,05	26422,51	17439,97	19816,42
YDR004W	--	--	--	24551,80	28474,11	22541,85	21141,88	YDR103W	--	--	--	30507,89	26939,74	28119,12	24528,46
YDR005C	+1,5	--	--	18928,81	28507,57	19405,57	21593,06	YDR104C	--	--	--	24373,41	27114,33	21495,09	22355,62
YDR006C	--	--	--	45338,37	34025,33	32939,17	30740,71	YDR105C	--	--	--	29548,63	29830,96	22380,77	26634,62
YDR007W	+1,7	--	--	14628,01	25575,20	12112,23	17065,59	YDR106W	--	--	--	27582,54	26411,06	30529,13	36666,38
YDR008C	--	--	--	33090,83	27571,52	29603,80	23488,24	YDR107C	--	--	--	35128,94	39044,68	23573,74	25731,12
YDR009W	--	--	--	20278,18	26224,64	18068,99	21902,26	YDR108W	--	--	--	32374,16	32249,78	23011,56	25534,38
YDR010c	--	--	--	24163,46	27593,23	23894,47	24245,23	YDR109C	--	--	--	27231,20	27989,80	26143,53	24947,01
YDR011W	--	--	--	33935,09	30762,40	33249,15	32632,60	YDR110W	--	--	--	37384,79	29364,31	32671,11	30040,32
YDR012W	--	--	--	133943,12	111266,99	134534,07	106479,83	YDR111C	--	-1,5	-1,7	42767,89	34163,10	28257,85	25763,85
YDR013w	--	--	--	21140,32	26129,50	14992,23	19285,98	YDR112W	--	--	--	23661,02	25638,94	20220,96	23854,96
YDR014w	--	--	--	23137,14	25599,94	22224,69	23518,83	YDR113C	--	--	--	38483,71	28355,30	41268,88	29551,98
YDR015c	--	--	--	23681,44	27411,77	25992,34	25275,41	YDR114C	--	--	--	19429,47	27180,07	16229,17	20079,39
YDR016c	--	--	--	23597,44	27831,77	20524,10	22267,18	YDR115W	--	--	--	32370,43	29932,39	34020,18	31847,94
YDR017C	--	--	--	23059,53	26834,71	20201,79	21284,26	YDR116C	--	--	--	21154,85	28445,70	15956,24	20467,27
YDR018c	--	--	--	29319,48	28058,57	22158,99	23977,89	YDR117C	--	--	--	29345,69	28696,29	27360,81	27583,78
YDR019C	--	-1,8	-1,9	34396,30	28560,04	19553,15	18202,94	YDR118W	--	--	--	29544,18	39674,16	27188,55	30209,27
YDR020c	--	--	--	20882,37	27594,90	16111,01	21004,08	YDR119W	--	--	--	21307,48	28513,07	21133,22	21949,68
YDR021w	--	--	--	22385,07	27292,94	19680,44	20352,49	YDR120C	--	--	--	60896,30	46453,43	50651,30	49895,98
YDR022c	--	--	--	22753,89	27320,97	20832,61	20996,46	YDR121W	--	--	--	43857,60	29704,72	34956,38	32881,71
YDR023W	--	-1,6	--	61659,13	41252,78	39521,64	44579,89	YDR122W	--	--	--	29481,83	28274,35	26044,10	25592,70
YDR024w	--	-1,8	--	21092,51	25524,41	11965,60	17318,54	YDR123C	--	--	--	27432,72	27366,79	23070,68	22765,23
YDR025W	--	--	--	163242,10	127217,11	138679,17	203784,47	YDR124W	--	--	--	25878,47	26685,13	17672,75	21027,63
YDR026c	--	--	--	27749,21	27361,90	29351,71	26853,21	YDR125C	--	--	--	27724,31	30304,55	20119,87	21974,78
YDR027c	+1,8	--	--	14157,70	26157,62	13608,73	17898,01	YDR126W	--	--	--	31276,83	26170,15	24219,38	23575,36
YDR028C	--	--	--	59021,72	46161,29	40711,95	40014,96	YDR127W	--	--	+1,7	76359,28	67297,27	102104,89	127604,77
YDR029w	--	--	--	26097,29	25675,89	25451,36	23811,26	YDR128W	-1,5	--	--	43743,99	28853,41	34174,64	32182,59

ORF	Änderungsfaktor			Normalisierte Signalintensität				ORF	Änderungsfaktor			Normalisierte Signalintensität			
	wt37	mut30	mut37	wt30	wt37	mut30	mut37		wt30	wt37	mut30	mut37			
YDR154C	--	--	--	247517,96	221500,71	281463,62	334247,04	YDR267C	--	--	--	26677,54	29346,41	19041,21	22644,51
YDR155C	--	-2,1	--	159033,16	155068,24	76969,68	118899,40	YDR268W	--	--	--	56238,23	39992,10	60880,48	47332,73
YDR156W	--	--	--	37868,15	44238,35	29042,04	35171,46	YDR269C	--	-1,7	--	25370,95	26120,72	15314,56	19777,33
YDR157W	-1,6	--	--	77482,92	47751,29	113141,10	87149,32	YDR270W	--	--	--	21872,52	27242,53	16020,75	21166,53
YDR158W	--	--	--	65468,92	80149,77	68565,28	59338,53	YDR271C	--	--	--	18114,53	26755,73	15337,75	19636,82
YDR159W	-1,5	--	--	47831,21	30969,90	47455,64	41800,87	YDR272W	--	--	--	44009,83	41277,05	35628,98	34447,72
YDR160W	--	--	--	28531,25	28667,54	21643,62	21911,77	YDR273W	-1,5	--	--	45223,26	29762,89	55191,90	46523,51
YDR161W	--	-1,5	--	31982,92	32562,87	21121,21	23070,04	YDR274C	--	--	--	31024,85	27381,89	24484,79	27737,57
YDR162C	-1,5	--	--	43765,70	28613,18	35077,92	32661,02	YDR275W	--	--	--	23958,59	27135,58	22300,90	26891,36
YDR163W	--	--	--	39611,40	28501,24	35738,61	32808,07	YDR276C	--	--	--	73553,53	68772,23	58557,67	69909,70
YDR164C	--	--	--	18767,68	27143,80	16119,12	19575,52	YDR277C	--	--	--	22037,19	28940,97	17671,68	21814,38
YDR165W	--	--	--	33679,69	30702,44	36415,48	36963,02	YDR278C	--	--	--	19353,44	25839,77	16966,73	19986,86
YDR166C	--	--	--	18209,54	25953,69	16611,33	22244,32	YDR279W	--	--	--	24817,27	27913,75	21454,49	21943,98
YDR167W	--	--	--	42607,73	38688,67	34328,64	44289,70	YDR280W	--	--	--	32361,67	33388,26	24481,09	26748,19
YDR168W	+1,7	+2,7	+3,2	158896,69	272332,03	431494,14	503730,49	YDR281C	--	--	--	30373,45	26116,74	21854,90	22759,80
YDR169C	--	--	--	39798,56	29273,80	30939,04	29994,72	YDR282C	--	--	--	19009,37	26052,59	16488,35	18475,30
YDR170C	-1,6	--	--	49979,87	30915,71	48858,22	46261,10	YDR283C	-1,6	--	--	41634,69	26839,47	46615,21	37432,18
YDR171W	--	--	--	38246,17	30955,19	32175,18	35913,48	YDR284C	--	--	--	29315,54	28747,38	25973,03	24875,12
YDR172W	--	--	--	52021,01	49131,31	48542,37	46062,84	YDR285W	--	--	--	24080,98	25860,53	32814,56	27220,04
YDR173C	--	--	--	29021,94	28059,05	24261,10	26939,21	YDR286C	--	--	--	24812,14	26819,24	21037,16	21722,36
YDR174W	--	--	--	53293,60	49300,42	45264,09	65750,08	YDR287W	--	--	--	37708,87	29485,84	25468,04	30434,33
YDR175C	--	--	--	32169,27	28715,96	22133,02	30901,38	YDR288W	--	--	--	23728,83	28850,22	20049,91	21623,89
YDR176W	-1,7	--	--	50980,35	29981,83	60798,85	58543,32	YDR289C	--	--	--	29667,62	29167,28	26080,83	24382,54
YDR177W	+1,8	--	+1,5	20332,37	37489,44	24447,79	30863,83	YDR290W	--	--	--	50660,26	51618,31	36782,08	34786,32
YDR178W	+1,7	--	--	28502,00	48063,87	26176,60	36542,55	YDR291W	+1,6	--	--	17496,25	27679,19	14270,00	18053,27
YDR179C	--	--	--	21250,57	29538,04	18156,59	24054,30	YDR292C	--	--	--	30225,42	28313,62	22101,56	21292,67
YDR180W	--	--	--	25022,82	28410,41	22987,58	24034,61	YDR293C	--	--	--	18143,61	26287,06	15739,93	20028,65
YDR181C	--	--	--	41890,64	30511,89	35855,08	33218,66	YDR294C	-1,6	-1,5	-2	58021,08	35511,01	37608,71	28907,91
YDR182W	--	--	--	43009,94	31292,22	30697,82	35399,26	YDR295C	--	--	--	25953,30	25998,91	26985,33	22040,51
YDR183W	--	--	--	34410,13	28684,82	27543,68	25919,15	YDR296W	--	--	--	42402,84	29380,93	50609,89	33196,51
YDR184C	--	--	--	35286,69	29707,63	30202,50	26683,54	YDR297W	--	--	--	33266,86	37060,88	29108,21	30417,96
YDR185C	+1,5	--	--	17878,09	27426,96	16324,86	19470,36	YDR298C	--	--	--	24845,51	30360,48	17257,64	21017,23
YDR186C	--	--	--	17929,81	25777,90	14289,03	19765,07	YDR299W	--	--	--	43242,81	28906,25	38172,35	35402,59
YDR187C	-1,6	-1,5	--	48106,24	29292,45	31867,76	38558,15	YDR300C	--	--	--	61933,32	48766,43	70596,75	75595,21
YDR188W	--	--	--	63061,95	67801,74	53530,06	60303,15	YDR301W	--	--	--	33449,92	35595,80	37426,43	47627,33
YDR189W	--	--	--	20742,32	29368,64	17923,94	21751,74	YDR302W	--	--	--	32215,21	30190,64	28594,28	25585,66
YDR190C	--	--	--	48083,65	44457,22	38244,57	35855,34	YDR303C	+1,7	--	--	15835,06	26983,51	15430,36	17243,54
YDR191W	--	--	--	23674,06	26532,63	17072,76	20073,04	YDR304C	--	--	--	36988,37	36140,99	27258,41	26169,56
YDR192C	--	--	--	31631,76	30591,00	21237,02	24357,70	YDR305C	--	--	--	26994,76	28248,93	19397,28	23863,34
YDR193W	--	-1,6	--	25749,09	27895,63	16229,21	20285,72	YDR306C	--	--	--	16743,38	25075,53	15677,26	15899,03
YDR194C	--	--	--	38915,62	29972,68	26025,07	26458,01	YDR307W	--	--	--	19973,04	25452,88	18770,90	20118,01
YDR195W	--	--	--	23527,07	26447,00	20743,61	22662,59	YDR308C	--	--	--	18821,50	27090,96	17873,73	20947,17
YDR196C	--	--	--	40214,35	30786,28	30965,00	28679,09	YDR309C	-1,9	--	--	69205,94	36087,58	83503,24	73884,92
YDR197W	-1,9	+1,6	--	78866,39	41645,95	126458,29	117855,90	YDR310C	--	-1,5	--	34208,83	27301,83	22708,95	31752,50
YDR198C	--	--	--	30423,10	27307,63	25459,10	27211,31	YDR311W	--	--	--	39794,46	29552,69	44838,01	40544,83
YDR199W	--	+1,6	+1,5	35380,91	29194,35	57224,52	54516,47	YDR312W	-2	--	--	100887,13	50681,86	88330,66	78530,68
YDR200C	--	--	--	31110,55	29990,76	27813,49	28690,98	YDR313C	--	-1,5	--	46200,56	36502,14	32239,59	30274,65
YDR201W	--	--	--	30961,39	27775,48	26251,79	24265,25	YDR314C	--	--	--	28114,66	33210,43	20982,10	22449,65
YDR202C	--	--	--	29279,63	28915,08	22119,88	26280,12	YDR315C	--	--	--	50019,07	33995,89	55765,88	47601,47
YDR203W	--	--	--	19902,00	26760,49	16072,05	19479,70	YDR316W	--	-1,5	--	51031,28	34675,55	37845,03	33850,97
YDR204W	--	--	--	32368,10	28984,31	24129,10	26667,18	YDR317W	--	--	--	18782,62	27089,60	15540,28	16484,17
YDR205W	--	--	--	30029,32	27306,19	32478,92	22860,35	YDR318W	+1,7	--	--	14739,51	25717,37	12497,07	16628,64
YDR206W	--	--	--	18095,78	26322,88	14368,03	19010,42	YDR319C	+1,9	--	--	13463,92	26233,95	11427,17	15135,67
YDR207C	--	--	--	29765,35	27730,28	35914,63	30222,55	YDR320C	+1,9	--	--	14527,71	26891,39	19834,05	18154,60
YDR208W	--	--	--	17607,55	26410,84	14132,36	17874,16	YDR321W	+2,2	--	--	17473,41	38475,01	12932,83	20107,08
YDR209C	--	--	--	25833,60	38079,58	25278,09	26221,98	YDR322W	--	-1,6	--	32739,67	34505,80	19923,82	26957,59
YDR210W	--	--	--	42392,65	46011,64	36694,60	34063,58	YDR323C	--	-1,6	--	28399,78	27585,66	18315,00	21845,52
YDR211W	--	--	--	30984,91	30918,38	26419,65	23797,97	YDR324C	--	--	--	27124,29	28051,37	26626,46	25311,99
YDR212W	--	--	--	74157,16	49469,69	59137,77	61604,41	YDR325W	-1,6	--	--	51271,85	32282,74	38668,19	36023,05
YDR213W	--	--	--	25597,84	28216,50	21237,19	24466,61	YDR326C	--	--	--	21081,20	27458,74	16650,88	20792,81
YDR214W	--	--	--	80393,38	74966,14	61027,44	87904,52	YDR327W	--	--	--	34895,62	46901,47	30266,26	33613,48
YDR215C	--	--	--	29805,68	25993,90	23730,11	24509,44	YDR328C	--	--	--	41931,26	50641,38	39815,41	37725,48
YDR216W	-2	--	-1,6	69294,18	34687,19	93014,54	42251,64	YDR329C	--	--	--	37797,83	31200,54	26556,77	25917,51
YDR217C	--	--	--	46388,95	33628,64	48040,73	45688,23	YDR330W	+1,8	--	--	14658,16	25887,80	13157,75	17812,63
YDR218C	--	--	--	28505,25	26418,71	30751,46	28207,08	YDR331W	--	--	--	22092,56	26531,92	20212,24	19855,05
YDR219C	-1,6	+1,6	+1,7	46815,96	29094,77	77117,53	80860,97	YDR332W	+1,9	--	--	13238,84	25593,74	11208,26	16493,35
YDR220C	--	--	--	20171,22	26701,28	19420,96	19026,88	YDR333C	+1,7	--	--	15600,74	25928,71	12195,03	18139,77
YDR221W	--	--	--	33696,59	28989,06	23858,52	26560,46	YDR334W	+2	--	--	12880,81	25233,83	12159,64	16983,77
YDR222W	--	--	--	27071,99	35835,25	18487,24	22302,07	YDR335W	--	--	--	58379,33	45042,01	49095,67	53440,50
YDR223W	--	-1,7	-2,2	114609,18	82485,58	68281,82	51319,83	YDR336W	-1,8	--	--	70326,61	38299,28	95527,25	72307,64
YDR224C	--	-2	--	111180,59	125777,47	55430,37	95915,77	YDR337W	-1,5	--	--	51910,43	34497,52	44243,18	39572,94
YDR225W	-1,8	--	--	133953,03	73841,11	102080,04	100146,49	YDR338C	+1,5	--	--	17621,23	26617,70	16260,18	19132,44
YDR226W	+1,6	+1,6	+1,5	29050,43	47803,34	45922,75	44163,59	YDR339C	--	--	--	38050,94	38532,92	29913,67	34137,63
YDR227W	-1,7	--	--	55589,33	32840,55	74655,36	71902,03	YDR340W	-1,8	-2,1	-1,8	59204,5			



ORF	Änderungsfaktor			Normalisierte Signalintensität				ORF	Änderungsfaktor			Normalisierte Signalintensität			
	wt37	mut30	mut37	wt30	wt37	mut30	mut37		wt30	wt37	mut30	mut37			
YDR366C	+1.8	--	--	14038,60	25219,81	11579,67	17998,74	YDR465C	+1.5	--	--	17904,85	27300,76	16380,62	20779,12
YDR367W	+1.9	--	--	14212,66	26688,70	12948,88	20862,18	YDR466W	--	--	--	28977,02	27417,51	25733,41	25601,99
YDR368W	--	--	--	33001,53	36978,52	25885,61	33174,39	YDR467C	--	--	--	35354,37	31186,69	34008,78	33443,95
YDR369C	--	--	--	28187,67	27375,23	23145,77	22875,74	YDR468C	-1.8	--	--	59571,05	32769,28	47788,21	41181,12
YDR370C	+1.6	--	--	16989,05	26730,16	16380,33	18047,26	YDR469W	--	--	--	30585,17	30133,77	22343,03	25710,31
YDR371W	--	--	--	18659,07	26667,62	15265,72	19122,94	YDR470C	--	--	--	27566,56	27200,19	23873,73	25739,24
YDR372C	--	--	-1.5	50552,33	36912,27	37131,40	32637,90	YDR471W	-2	--	--	173954,10	86442,97	139239,12	143691,35
YDR373W	--	--	--	45593,01	36351,69	34540,34	31854,61	YDR472W	--	--	--	28227,33	30702,40	26178,57	28507,77
YDR374C	--	--	--	37488,38	26051,46	31910,08	25923,88	YDR473C	-2.1	--	--	67416,08	32883,92	78757,58	61977,97
YDR375C	+1.8	--	--	51878,28	29565,97	55081,99	42459,95	YDR474C	--	--	--	37184,98	30496,08	31688,81	31862,96
YDR376W	--	--	--	24587,10	28426,92	18580,10	22507,33	YDR475C	--	--	--	23387,92	26688,41	18444,98	22918,26
YDR377W	--	--	--	43369,46	40421,85	46236,66	44783,60	YDR476C	+1.7	--	--	16787,71	28656,89	17556,79	23573,99
YDR378C	+1.8	--	--	14021,77	25392,34	11662,02	16949,10	YDR477W	--	--	--	20164,34	28146,67	17341,31	20918,64
YDR379W	+1.8	--	--	13877,76	25514,57	14150,52	17592,92	YDR478W	--	--	--	34559,68	34625,80	39657,39	32443,45
YDR380W	--	--	--	35256,18	28666,17	29123,16	30092,11	YDR479C	--	--	+1.5	31979,81	30576,03	28133,83	48637,23
YDR381W	--	--	--	51437,32	45472,86	49287,40	44643,38	YDR480W	--	--	--	27745,26	27324,59	24579,43	24036,43
YDR382W	--	--	--	154235,36	194168,54	199467,24	156933,47	YDR481C	--	--	--	25031,99	30749,50	19422,71	24923,12
YDR383C	-2.4	--	--	67374,85	27990,66	88279,32	57397,23	YDR482C	--	--	--	31974,45	34432,35	28390,67	32571,37
YDR384C	--	--	--	29370,88	28024,44	22562,60	24510,28	YDR483W	--	--	--	46302,66	44017,67	37057,28	36129,55
YDR385W	--	--	--	146863,18	118499,73	146719,49	131556,16	YDR484W	--	--	--	26911,63	27329,30	24226,43	24691,92
YDR386W	+1.8	--	--	13760,86	25401,57	11986,72	16046,45	YDR485C	--	--	--	18007,83	25818,36	14972,21	18806,04
YDR387C	+1.9	--	--	13617,14	25379,49	13255,23	17161,11	YDR486C	--	--	--	32380,16	30149,98	28309,00	28521,35
YDR388W	+1.9	--	--	13375,32	25699,99	11715,38	17268,52	YDR487C	--	--	--	33630,46	45609,75	32111,36	38494,83
YDR389W	+2	--	--	12562,02	25530,48	10150,37	16091,68	YDR488C	--	--	+1.6	18709,93	26529,43	25074,79	29468,22
YDR390C	+1.8	--	--	14678,77	25712,32	11826,96	18689,72	YDR489W	+1.6	--	--	17413,27	27384,91	15136,20	18777,56
YDR391C	+1.7	--	--	15186,81	25289,59	12749,14	17536,82	YDR490C	+1.5	--	--	16681,24	25727,06	15308,79	18280,34
YDR392W	+2	--	--	13021,90	26006,36	14306,77	17413,48	YDR491C	--	--	--	26415,32	26285,14	21362,20	22972,63
YDR393W	+1.9	--	--	13511,51	25437,74	13876,56	16571,72	YDR492W	--	--	--	26377,23	31078,62	21594,35	24652,94
YDR394W	+1.9	--	--	12972,78	24893,00	14191,72	16457,06	YDR493W	-1.7	--	--	57510,34	32954,94	58338,98	46665,05
YDR395W	+1.8	--	--	13857,39	25592,78	12620,13	16833,44	YDR494W	-2	--	--	61141,77	30792,04	55431,72	46483,90
YDR396W	+1.7	--	--	14729,29	25485,28	12714,37	16566,26	YDR495C	-2.2	--	--	113106,73	50676,98	80731,01	110205,00
YDR397C	+1.8	--	--	14132,74	25623,42	10374,68	16597,11	YDR496C	-1.5	--	--	47250,54	38085,00	49050,47	46388,07
YDR398W	+1.8	--	--	13994,28	24816,15	13919,81	16870,33	YDR497C	--	--	--	38491,84	38563,19	27759,47	26729,71
YDR399W	+1.7	--	--	14794,59	25232,26	14417,85	17966,64	YDR498C	--	--	--	42132,77	29872,84	33232,63	35927,49
YDR400W	--	--	--	26658,30	27431,79	21507,00	24260,77	YDR499W	--	--	--	34782,10	27113,31	24628,25	26796,70
YDR401W	+1.8	--	--	13884,88	25447,08	11952,61	16793,03	YDR500C	--	--	--	115794,71	134694,21	163411,95	137439,99
YDR402C	+1.8	--	--	14213,77	25219,92	11395,06	15954,61	YDR501W	--	--	--	32011,30	32858,87	26979,34	24514,81
YDR403W	+2	--	--	12989,76	25581,38	11620,42	16051,97	YDR502C	--	--	-1.7	42312,21	40485,00	25522,98	29188,31
YDR404C	--	--	--	24328,69	35268,43	30266,73	34008,37	YDR503C	-1.5	--	--	45762,98	30028,59	37925,65	36322,79
YDR405W	--	--	-1.5	94880,27	98593,07	73270,43	62417,64	YDR504C	-2	--	--	67353,12	33936,83	64363,48	56321,05
YDR406W	--	--	--	64494,44	62185,36	73638,39	78046,94	YDR505C	-1.7	--	--	48192,81	28110,70	50429,17	38683,74
YDR407C	--	--	--	62753,68	57495,59	46683,88	58793,82	YDR506C	--	--	--	49275,76	32886,22	55409,41	37497,06
YDR408C	--	--	--	59064,70	41029,10	67646,24	54303,71	YDR507C	--	--	--	18863,28	26668,88	16471,20	18333,31
YDR409W	-2.2	--	--	71680,95	32409,81	91959,04	67667,07	YDR508C	-2.2	--	--	71760,41	32544,81	79295,05	59362,75
YDR410C	-1.9	--	--	55818,90	30066,47	66725,77	56873,16	YDR509W	-2	--	--	60219,54	30188,83	73773,40	50553,25
YDR411C	--	--	--	30766,43	29180,18	26213,45	22668,39	YDR510W	--	--	--	38218,63	41695,93	40861,64	38923,81
YDR412W	-1.8	--	--	57155,04	32348,79	63365,80	54080,32	YDR511W	--	--	--	29115,78	30609,62	24075,61	27886,95
YDR413C	-2.3	-1.5	--	76821,77	33452,59	50165,16	61215,57	YDR512C	--	--	--	40337,92	33270,32	30346,53	35060,28
YDR414C	--	--	--	42902,06	34294,39	50100,77	38440,16	YDR513W	--	--	--	30522,99	36573,31	23419,62	30756,82
YDR415C	--	--	--	64260,17	43629,57	74028,35	68173,76	YDR514C	-1.5	-1.7	--	52546,74	39120,29	34375,04	31331,02
YDR416W	+2	--	+1.6	13525,32	27489,07	17620,96	21436,58	YDR515W	--	--	--	24795,57	29273,68	18004,77	19928,58
YDR417C	--	-1.6	--	108525,11	95600,95	68180,92	86010,85	YDR516C	--	--	--	37329,08	30723,93	37580,77	30638,52
YDR418W	--	--	--	121925,82	113593,67	123224,76	104260,85	YDR517W	--	--	--	30503,45	34748,19	30332,73	31453,29
YDR419W	--	-1.9	--	29600,74	30470,79	15426,06	20141,66	YDR518W	--	--	--	26167,63	34244,80	20486,39	26757,40
YDR420W	-1.6	--	--	46170,91	28529,31	50675,45	37392,69	YDR519W	--	--	--	24819,38	32950,95	20759,74	23278,75
YDR421W	--	--	--	19189,45	28367,92	15466,52	20340,01	YDR520C	--	--	--	21640,25	25746,75	20103,39	19893,35
YDR422C	--	--	--	44735,47	38708,74	33201,60	32351,08	YDR521W	--	--	--	22413,41	26505,89	19595,98	20842,29
YDR423C	--	--	--	50599,17	41940,71	50429,86	44388,69	YDR522C	--	--	--	33529,81	26784,62	24762,82	27396,24
YDR424C	--	--	--	43706,98	45065,10	42691,38	39800,12	YDR523C	-1.8	-3.2	-2.4	51197,24	28486,05	15768,51	21694,20
YDR425W	-1.7	--	--	49634,69	29241,15	50509,28	45566,64	YDR524C	--	-1.6	--	34015,56	37226,16	21281,60	26053,17
YDR426C	--	-1.5	--	27669,68	27401,74	18326,24	22279,05	YDR525W	+1.6	--	--	17501,00	28209,82	13197,38	19350,84
YDR427W	--	--	--	45857,63	43000,37	39191,21	44855,71	YDR526C	--	--	--	26764,59	30920,29	26659,39	24589,33
YDR428C	+1.7	--	--	17159,48	29939,40	19483,61	23832,56	YDR527W	--	--	--	20445,52	28513,34	16828,62	19262,67
YDR429C	--	--	--	52099,54	52826,81	42310,20	46881,26	YDR528W	--	--	--	27377,92	32203,70	25336,72	30307,25
YDR430C	--	--	--	38719,03	37345,18	35478,89	30946,64	YDR529C	--	--	--	66389,67	68036,23	78503,08	78198,38
YDR431W	--	--	--	27013,14	30006,70	24345,56	22109,58	YDR530C	--	-1.6	--	26973,22	31169,44	16910,15	20704,03
YDR432W	--	--	--	30889,73	33834,26	24290,16	26908,39	YDR531W	--	--	--	22276,94	27582,72	18860,36	20701,07
YDR433W	+1.6	--	--	17369,70	26929,25	12656,64	17448,48	YDR532C	+1.7	--	--	15322,84	25661,15	14705,06	17444,70
YDR434W	--	--	--	91215,56	88346,46	106467,94	107381,04	YDR533C	--	--	--	29784,74	33967,87	29747,75	35760,56
YDR435C	--	--	--	44622,65	31475,93	35454,20	31091,18	YDR534C	--	--	--	18180,67	26183,38	14253,78	21139,83
YDR436W	--	--	--	28750,35	28771,02	25833,85	27449,73	YDR535C	--	--	--	26015,53	25415,37	21620,77	27097,32
YDR437W	--	--	--	22710,91	27561,20	18454,15	21043,16	YDR536W	+1.5	--	--	17051,27	26105,81	13671,05	21119,45
YDR438W	--	--	--	43381,46	32456,90	36912,55	37991,87	YDR537C	--	--	--	25457,36	29611,05	18815,39	24418,36
YDR439W	--	--	--	35692,36	27794,22	32509,13	33437,14	YDR538W	--	--	--				

ORF	Änderungsfaktor			Normalisierte Signalintensität				ORF	Änderungsfaktor			Normalisierte Signalintensität			
	wt37	mut30	mut37	wt30	wt37	mut30	mut37		wt37	mut30	mut37	wt30	wt37	mut30	mut37
YEL018w	--	--	--	68287,31	57367,72	52888,73	56150,53	YER039c	--	--	--	57327,68	62224,89	39132,73	39712,54
YEL019c	--	--	--	26285,69	27436,83	19847,26	19940,12	YER040w	--	--	--	24142,58	28338,11	21434,28	23143,51
YEL020c	--	--	--	25548,06	29061,02	19914,09	21015,66	YER041w	--	--	--	29469,45	28761,99	19768,83	22033,05
YEL021w	+1,6	--	--	125525,26	78269,54	85473,85	88877,67	YER042w	--	--	--	39523,72	40966,38	32267,66	29438,87
YEL022w	--	--	--	52132,44	45114,65	62085,78	64782,95	YER043c	--	--	--	80425,41	84787,00	60200,80	63994,20
YEL023c	--	--	--	25904,60	27505,63	19365,30	23166,19	YER044i	--	--	--	48399,16	35626,64	34348,27	40957,39
YEL024w	--	--	--	37977,15	41177,99	30081,26	37355,89	YER044c	--	--	--	28001,99	26562,00	20654,40	21030,90
YEL025c	--	--	--	47616,08	51053,87	45105,74	44511,70	YER045c	-1,6	-1,6	--	127432,03	81947,76	79540,84	87479,53
YEL026w	+2,3	--	+1,6	42039,60	96084,48	54383,81	69332,14	YER046w	--	--	--	29000,83	28308,19	22301,83	27310,06
YEL027w	+1,7	--	--	64924,12	108328,11	65065,70	69617,59	YER047c	--	--	--	24648,08	29446,85	20056,12	24895,68
YEL028w	--	--	--	30063,68	32949,90	25345,18	27445,81	YER048c	--	--	--	53901,15	55661,50	68374,80	58746,04
YEL029c	--	--	--	29322,74	28588,94	20883,82	23583,23	YER049w	--	--	--	37292,51	44362,40	42072,54	35228,95
YEL030w	--	--	--	32519,42	33446,18	25469,48	26673,80	YER050c	--	--	--	29631,04	32359,67	28868,54	31907,93
YEL031w	--	--	--	18677,98	26446,48	16032,96	21344,26	YER051w	--	--	--	21041,84	26828,36	15726,49	20170,97
YEL032w	+1,7	--	--	15401,13	25713,77	14238,38	17833,21	YER052c	--	-2,2	--	32141,55	39137,24	14704,94	36251,18
YEL033w	-2	--	--	86942,00	44437,44	111505,65	97549,32	YER053c	--	-1,7	--	35276,97	33275,02	20174,95	30240,80
YEL034w	-2,9	--	--	441766,04	152648,85	402254,20	496443,67	YER054c	+1,7	--	--	15620,74	26064,04	14719,60	19030,46
YEL035c	+1,5	--	--	17437,40	26791,98	13078,21	20250,93	YER055c	--	--	--	48986,83	43558,70	50023,74	53581,21
YEL036c	--	--	--	28087,08	36650,65	29596,83	40697,93	YER056i	-1,6	--	--	223972,84	135893,47	168803,09	230944,30
YEL037c	--	--	--	40262,65	51125,01	42975,88	57318,57	YER056c	--	--	--	58424,09	56117,91	65013,54	60772,35
YEL038w	--	--	--	26791,83	34229,72	23371,16	27789,26	YER057c	--	--	--	26798,90	39922,80	20444,88	34644,35
YEL039c	--	--	--	31293,49	30344,78	31088,41	33272,75	YER058w	--	--	--	34290,57	29442,87	26526,16	33715,62
YEL040w	--	--	--	41417,65	61481,63	54064,34	48373,62	YER059w	--	--	--	45457,80	51033,21	45916,69	44534,74
YEL041w	--	--	--	29853,24	33793,05	25698,50	26568,89	YER060w	--	--	--	44022,44	42889,80	33146,51	29755,72
YEL042w	--	--	--	39011,46	39158,53	31221,25	33294,33	YER061c	--	--	--	27958,04	29463,15	20560,77	23491,76
YEL043w	+1,5	--	--	17529,85	26471,11	15379,55	18465,67	YER062c	--	--	--	51050,80	55638,11	51672,44	42213,86
YEL044w	+1,6	--	--	16071,04	25397,04	15087,47	18038,45	YER063w	--	--	--	40664,85	32816,47	40689,81	38368,79
YEL045c	--	--	--	39933,27	27245,78	46642,77	35555,79	YER064c	--	--	--	28640,47	33099,32	25481,93	22589,57
YEL046c	--	--	--	24457,19	29806,54	20063,67	28705,06	YER065c	--	--	--	22508,35	26591,53	19593,86	22103,31
YEL047c	--	--	--	28231,09	31020,57	26024,23	28744,40	YER066w	--	--	--	25165,87	28520,55	18483,47	22825,05
YEL048c	+1,8	--	--	15729,46	27970,48	15680,83	21837,87	YER067w	--	--	--	35634,40	30479,47	31495,04	31079,08
YEL049w	+1,7	--	--	16832,51	28353,42	14320,20	20565,80	YER068w	+1,6	--	--	16819,81	26478,69	15873,69	18595,06
YEL050c	--	--	--	31825,45	33392,31	29791,08	30700,94	YER069w	--	-1,5	--	37339,83	31104,42	24756,36	27350,42
YEL051w	+1,5	--	--	31538,85	47494,44	22600,88	36688,87	YER070w	--	--	--	28495,76	34367,00	26948,96	24860,99
YEL052w	--	--	--	29817,41	32964,43	24999,30	25905,62	YER071c	--	--	--	23227,40	26690,75	23617,14	24954,65
YEL053c	--	-1,5	--	25983,07	29474,20	16817,88	29231,10	YER072w	--	--	--	54100,24	63095,20	46289,94	46852,75
YEL054c	--	--	--	179343,95	178368,88	203795,46	219954,36	YER073w	--	--	--	34509,50	50612,10	47301,17	43200,62
YEL055c	--	--	--	29316,71	28463,29	26036,69	25701,32	YER074w	--	--	--	42935,05	43511,33	40970,07	40757,83
YEL056w	--	--	--	42974,93	33299,29	36180,32	41796,70	YER075c	--	--	--	24768,24	27238,28	20136,55	24565,45
YEL057c	+1,6	--	--	24233,57	39814,30	22754,55	23862,19	YER076c	--	--	--	32251,64	26097,71	26537,97	29062,52
YEL058w	--	--	--	44258,68	45732,96	31783,00	36464,96	YER077c	--	--	--	29496,75	27652,89	24949,87	25044,00
YEL059w	--	--	--	32909,47	26717,16	38983,18	40798,86	YER078c	--	--	--	18801,36	27206,03	16128,47	18415,21
YEL060c	--	--	--	45242,76	44635,23	37293,05	39027,74	YER079w	-2,1	--	--	69754,17	33222,92	79112,49	56713,66
YEL061c	+1,5	--	--	16927,96	26180,13	17196,41	19387,67	YER080w	--	-1,7	-1,6	48916,71	35236,87	29431,57	30563,11
YEL062w	--	--	--	21732,91	26494,79	19208,77	21426,09	YER081w	--	--	--	42083,33	30727,88	28745,30	29864,44
YEL063c	--	--	--	23068,89	26987,06	19229,20	21098,36	YER082c	--	-1,6	-1,5	45623,91	35310,86	29271,70	29618,99
YEL064c	--	--	--	21454,79	27420,79	14609,76	19001,01	YER083c	--	--	--	44202,01	33428,44	40229,89	38016,45
YEL065w	--	--	--	19241,04	25935,81	21610,39	21494,31	YER084w	--	--	--	29792,48	25822,42	27667,40	24726,32
YEL066w	--	--	--	28274,21	29549,55	24201,99	25700,20	YER085c	--	--	--	24994,16	25743,32	23372,44	22386,41
YEL067c	--	--	--	24928,27	28031,00	22664,75	23797,02	YER086w	--	--	--	39327,63	33592,25	28378,51	31927,66
YEL068c	--	--	--	28641,57	34470,05	27115,85	28527,41	YER087i	--	--	--	26440,67	36329,77	24279,45	29959,04
YEL069c	--	--	--	33349,45	26998,90	27829,45	28507,96	YER087w	--	--	--	22371,92	27658,53	20997,67	22647,65
YEL070w	--	--	--	18978,12	25752,97	16273,28	19547,92	YER088c	--	--	--	58377,83	41085,23	59611,85	46261,48
YEL071w	--	--	--	28282,81	36881,16	29884,87	26969,24	YER089c	--	--	--	46967,53	47294,59	37926,98	45039,16
YEL072w	--	--	--	18475,71	27419,87	16452,80	19421,06	YER090w	--	--	--	55619,81	44640,62	37830,24	56692,37
YEL073c	--	--	--	19044,22	26264,55	15959,84	18993,41	YER091c	--	--	-1,7	63424,36	51707,48	44502,93	37964,70
YEL074w	-1,6	-1,9	-1,6	44063,10	27744,53	23702,33	27397,04	YER092w	--	--	--	27922,49	29955,48	25089,64	37446,75
YEL075c	--	--	--	24406,81	28707,35	17132,32	19504,74	YER093c	-2,3	+2,1	-2,6	64213,86	27765,88	131814,94	24804,86
YEL076c	--	--	--	30031,01	28062,24	21375,80	22867,60	YER094c	--	--	--	49265,36	37668,89	36993,65	55540,68
YEL077c	-1,6	--	--	198343,10	125909,34	203917,26	156865,90	YER095w	--	--	--	50040,64	34504,21	42810,69	43124,67
YER001w	--	--	--	32971,64	33063,95	27946,81	26457,02	YER096w	--	--	--	28461,61	27884,40	21246,09	24097,94
YER002w	+1,7	--	--	15230,87	25809,98	13826,25	17268,45	YER097w	--	--	--	20569,09	25659,55	13985,70	18053,29
YER003c	-2,1	--	--	93632,29	44559,07	119453,37	92070,48	YER098w	--	--	--	31362,63	27168,17	27851,82	27796,70
YER004w	--	--	--	36549,43	37850,43	34967,83	42996,51	YER099c	--	--	--	38829,22	39373,11	42892,99	41739,43
YER005w	--	--	--	22724,47	28051,81	21263,76	21708,56	YER100w	-1,5	--	--	65890,21	43587,55	70794,56	66113,70
YER006w	--	--	--	46915,68	45290,60	46533,28	39951,19	YER101c	+2,6	--	+1,9	88313,60	231490,85	118872,63	168385,38
YER007w	-1,6	--	--	69426,60	42805,81	72738,48	62642,64	YER102w	--	--	--	209034,39	283582,56	211147,57	232707,27
YER008c	-1,8	--	--	73155,54	41720,99	71092,30	62890,92	YER103w	--	--	--	36700,73	38069,84	27169,85	29765,27
YER009w	-1,5	--	--	75493,14	49785,04	88674,20	69046,31	YER104w	--	--	--	40700,55	28646,52	36319,44	33122,39
YER010c	--	-1,5	--	27462,36	27373,59	17992,83	25632,11	YER105c	-1,7	--	--	51782,95	30013,64	62194,22	49944,04
YER011w	--	--	--	32123,24	27382,74	25142,33	28855,79	YER106w	-2,6	--	--	76806,99	29139,36	87136,06	65611,47
YER012w	--	--	--	35246,33	29725,26	28546,00	28859,29	YER107c	--	--	--	46667,93	42080,20	40978,72	34588,50
YER013w	+1,6	--	--	16205,58	26079,19	13864,63	17350,76	YER108c	--	--	--	35867,57	28973,12	31557,78	37152,55
YER014w	--	--	--	25143,84	29040,61	23418,67	23223,21	YER109c	--	--	--	55887,53</			

ORF	Änderungsfaktor			Normalisierte Signalintensität				ORF	Änderungsfaktor			Normalisierte Signalintensität			
	wt37	mut30	mut37	wt30	wt37	mut30	mut37		wt30	wt37	mut30	mut37			
YER135c	--	--	--	20601,66	27460,22	14142,04	19554,23	YFL043C	-1,6	--	--	45768,54	28358,90	34895,82	34320,84
YER136w	--	--	--	23285,84	29706,80	21508,29	27641,87	YFL044C	+1,7	--	--	15611,77	26652,62	14977,76	19590,43
YER137c	+1,6	--	--	16462,79	26828,37	14180,64	21602,74	YFL045C	--	--	--	84810,37	105671,86	87675,98	85323,99
YER138c	--	--	--	22498,79	30306,57	17019,69	22510,19	YFL046W	--	--	--	31812,35	34244,84	30414,90	32239,99
YER139c	--	-1,5	--	32911,00	28353,01	21636,94	23848,97	YFL047W	--	--	--	29973,03	28400,22	25252,36	24186,74
YER140w	--	--	--	32507,81	30540,49	26175,83	27780,60	YFL048C	--	--	--	28747,00	32453,94	20301,95	25447,95
YER141w	--	--	--	28966,34	31612,36	28317,66	26066,43	YFL049W	+1,5	--	--	17521,54	26428,84	16145,86	19897,22
YER142c	--	-1,8	--	62356,89	43962,22	33911,49	44484,84	YFL050C	--	--	--	21841,38	26315,91	23655,26	28466,39
YER143w	--	--	--	29771,87	26665,44	25071,28	33051,56	YFL051C	--	--	--	21159,95	28670,79	20140,85	25458,39
YER144c	--	--	--	19594,94	28310,89	16423,96	21668,06	YFL052W	--	--	--	31609,65	27330,72	25713,53	27392,00
YER145c	--	--	--	34368,91	34661,25	29954,21	39232,41	YFL053W	--	--	--	29379,14	30833,47	25420,20	28837,90
YER146w	+1,8	--	--	18097,93	31733,48	13944,71	24239,17	YFL054C	--	--	--	28562,88	29126,71	24115,00	26281,03
YER147c	--	--	--	20253,44	28999,85	18301,39	20230,01	YFL055W	--	--	--	24222,55	26034,81	18495,43	20541,65
YER148w	--	--	--	32824,21	43946,78	39924,98	43670,57	YFL056C	--	-1,5	--	30420,97	28063,32	19894,47	30054,74
YER149c	--	--	--	30774,11	31312,68	29115,19	26681,26	YFL057C	--	--	--	18675,80	27352,26	15694,41	22220,22
YER150w	+1,6	--	--	18207,79	28404,67	18367,76	20916,87	YFL058W	--	-1,6	--	36806,12	32404,29	23050,52	26160,93
YER151c	--	--	--	26169,93	29205,37	22937,39	24880,62	YFL059W	--	--	--	37818,85	29286,22	34698,79	31671,01
YER152c	--	--	--	26997,88	29719,77	20476,64	25180,66	YFL060C	--	--	--	26818,80	27439,88	22921,40	23038,67
YER153c	--	--	--	22027,87	26448,67	18148,33	24728,89	YFL061W	--	-1,7	--	25612,14	26382,03	15308,03	18812,39
YER154w	--	--	--	48522,61	34939,45	34227,56	40441,25	YFL062W	--	--	--	44769,48	35163,44	43669,29	43705,73
YER155c	--	--	--	28464,28	29567,03	32892,01	36989,89	YFL063W	-1,9	--	--	53065,82	27511,85	52124,87	50597,29
YER156c	--	--	--	43226,27	51978,64	42670,12	46226,17	YFL064C	-2,1	--	--	77463,97	37664,00	81094,49	61763,76
YER157w	--	--	--	23188,99	27776,03	16188,41	19442,18	YFL065C	--	--	--	21818,30	26404,64	19121,73	21168,46
YER158c	-1,5	-1,5	--	57886,58	38325,94	37912,88	49742,32	YFL066C	--	--	--	42138,63	31651,66	36822,63	35033,73
YER159c	--	--	--	55370,27	37639,37	49039,01	44679,68	YFL067W	--	--	--	45642,05	36395,81	32412,66	34737,00
YER160c	+1,7	--	--	15675,04	26059,14	14718,29	19407,43	YFL068W	-1,5	--	--	103430,59	68683,27	81001,39	84465,85
YER161c	--	--	--	35137,42	28628,34	30553,74	28571,08	YFL-TyA	-1,9	-2,4	-2,3	86623,57	46483,95	35481,91	37860,69
YER162c	--	--	--	27233,79	26080,98	25429,90	26776,08	YFL-TyB	+1,7	--	--	197648,84	338278,11	232175,89	206857,15
YER163c	--	--	--	29349,26	34882,73	29096,67	32544,92	YFR001W	-1,7	--	--	53262,13	31263,80	64981,76	49525,93
YER164w	-1,7	--	--	50245,61	29529,11	62669,64	51946,21	YFR002W	--	--	--	32151,95	29384,47	22405,50	24448,44
YER165w	--	--	--	50301,66	43302,39	41848,72	44812,59	YFR003C	--	--	--	26123,93	27686,95	28367,17	26154,43
YER166w	--	--	--	22884,59	27630,02	19218,10	20767,92	YFR004W	--	--	--	46148,04	34379,51	52572,06	40213,58
YER167w	--	--	--	21862,82	28740,94	18506,14	20242,53	YFR005C	-1,9	--	--	69916,20	36015,38	65789,47	61206,84
YER168c	--	--	--	22884,13	27318,72	18838,62	21085,02	YFR006W	-1,6	--	--	60432,13	38298,69	66047,18	68922,30
YER169w	+1,6	--	--	17028,68	26464,47	16866,75	18369,57	YFR007W	+1,7	--	--	15533,38	25764,29	15220,38	20826,46
YER170w	--	--	--	28749,61	27573,03	22785,47	23617,46	YFR008W	--	--	--	33475,05	27568,87	33321,12	33891,11
YER171w	--	--	--	18150,92	25367,04	15202,96	19029,59	YFR009W	+1,6	--	--	15906,51	25721,71	14856,59	18407,26
YER172c	--	--	--	45141,83	30953,29	49045,31	41751,76	YFR010W	--	-1,6	-1,6	123267,50	102250,93	78325,90	78114,09
YER173W	--	--	--	25442,62	29345,17	24147,36	24380,09	YFR011C	--	--	--	46893,28	36655,56	59717,98	38830,81
YER174c	--	--	--	26657,30	30733,90	32042,89	30920,67	YFR012W	--	--	--	31628,27	26375,90	25611,23	27090,32
YER175c	--	--	--	33940,34	28195,97	29889,56	32559,45	YFR013W	--	--	--	25395,17	27977,35	20691,76	25441,21
YER176w	--	--	--	37880,22	30207,03	35140,92	30636,75	YFR014C	--	--	--	21019,05	26495,18	18980,63	21793,29
YER177w	--	-1,6	--	238624,29	171169,73	148384,00	187724,10	YFR015C	--	--	--	32894,33	27017,31	26852,80	29136,14
YER178w	-1,5	--	--	101632,17	66716,85	76070,64	70481,90	YFR016C	-2,3	--	--	65297,23	27995,94	85127,06	72259,38
YER179w	--	--	--	34920,93	26938,74	24194,95	25666,69	YFR017C	--	--	--	19063,07	28168,57	15782,55	23450,16
YER180c	--	--	--	23942,65	28671,16	19841,91	21275,44	YFR018C	--	-1,5	--	34611,19	26866,04	22801,36	26759,30
YER181c	--	--	--	23727,11	25915,69	23686,54	22724,81	YFR019W	+1,5	+1,9	--	32595,74	31408,82	50127,04	62835,87
YER182w	--	--	--	25645,63	28213,95	20458,56	27113,25	YFR020W	--	--	--	24281,12	29662,16	22288,46	23610,60
YER183c	-1,9	--	--	64353,43	33250,82	83587,31	68314,80	YFR021W	--	--	--	27377,28	28445,69	18862,48	21566,20
YER184c	--	--	--	21049,74	26529,31	15825,01	20534,13	YFR022W	+1,8	--	--	17249,51	30950,88	13775,95	18598,15
YER185w	--	--	--	23731,16	27079,19	19736,92	23330,08	YFR023W	--	-1,5	--	23580,72	35009,69	15248,02	20739,78
YER186c	--	--	--	26219,65	29958,07	26770,53	28416,24	YFR024C	--	--	--	26892,65	31470,52	20353,94	24346,82
YER187w	--	--	--	24087,33	27666,33	25906,40	28098,96	YFR025C	--	--	--	31340,08	30063,63	27725,06	29985,41
YER188w	--	--	--	20497,81	29143,12	23703,27	25192,75	YFR026C	--	--	--	45820,72	35443,00	45835,89	40942,60
YER189w	--	--	--	22329,15	29461,94	20881,51	21397,08	YFR027W	--	--	--	41414,84	28871,75	30290,54	31641,00
YER190w	+2	+1,9	--	154903,37	164617,86	311823,79	287564,91	YFR028C	--	--	--	25121,24	31496,52	21099,19	20305,09
YFL001W	--	-1,8	--	61168,25	64313,75	34443,24	48513,11	YFR029W	--	--	--	21068,66	27871,96	17204,33	19196,13
YFL002C	--	--	--	51507,63	35492,04	41124,47	40006,15	YFR030W	+1,5	--	--	18957,18	28561,23	16018,47	18348,68
YFL003C	-1,9	-1,6	-1,6	51998,36	27306,39	33385,21	32631,35	YFR031B	--	--	--	228183,59	245940,05	169966,40	233120,66
YFL004W	--	--	--	36956,92	28184,73	29524,88	27945,22	YFR031C	+1,6	--	--	17083,22	27879,09	16762,50	21447,15
YFL005W	-3	--	--	107335,04	35428,28	156047,52	114501,44	YFR032C	--	--	--	27658,72	28472,04	22994,57	27289,07
YFL006W	-2	--	--	59555,01	29704,11	67013,33	60119,05	YFR033C	--	--	--	85951,34	74273,86	73343,20	71052,60
YFL007W	-1,7	--	--	56808,22	32496,27	59845,47	55625,76	YFR034C	--	--	--	25641,74	31250,55	20822,38	22877,13
YFL008W	-2	--	--	71602,38	35288,53	81017,16	76830,14	YFR035C	-2,3	--	--	67694,12	30006,42	92461,78	72700,23
YFL009W	--	--	--	23768,62	28831,50	21545,38	24848,99	YFR036W	--	--	--	41797,79	33234,95	48368,87	36557,85
YFL010B	--	--	--	31493,18	34706,90	41888,92	44120,68	YFR037C	--	--	--	56489,20	51445,84	56413,84	57151,27
YFL010C	--	--	--	76392,77	88752,52	58565,38	79410,76	YFR038W	--	--	--	24942,16	26478,62	29147,11	23367,07
YFL011W	--	-1,6	--	39447,56	27792,20	24100,10	26869,28	YFR039C	--	--	--	21877,25	28088,92	18629,93	23866,18
YFL012W	--	--	--	36156,58	28175,77	27601,54	28757,31	YFR040W	--	--	--	23468,32	27332,60	19582,63	23506,32
YFL013C	--	--	--	27266,43	28332,16	21965,54	23793,51	YFR041C	--	--	--	21659,51	27362,63	22145,65	24326,55
YFL014W	+1,6	--	--	50098,90	81522,01	64473,21	48317,92	YFR042W	+1,7	--	--	14898,36	25864,48	13121,38	17860,90
YFL015C	-2,7	--	--	74323,34	27810,79	84891,48	64747,34	YFR043C	--	--	--	22948,71	32313,15	21654,90	24251,50
YFL016C	--	--	--	52028,50	40556,89	58810,81	51026,07	YFR044C	+1,6	--	--	26231,13	42068,45	22777,99	34237,98
YFL017C	--	--	--	35560,34	28684,60	35497,08	40520,15	YFR045W	+1,6	--	--	17226,52	28294,16</		

ORF	Änderungsfaktor			Normalisierte Signalintensität				ORF	Änderungsfaktor			Normalisierte Signalintensität			
	wt37	mut30	mut37	wt30	wt37	mut30	mut37		wt30	wt37	mut30	mut37			
YGL014W	+1.6	--	--	16921.03	26770.19	14488.14	19315.70	YGL113W	-1.5	--	--	64762.23	42862.30	72954.44	64923.88
YGL015C	--	--	--	61308.90	70018.17	59927.93	53201.90	YGL114W	--	--	-1.6	193509.44	211603.40	175707.90	121204.07
YGL016W	--	--	--	20804.17	28218.40	16030.80	19247.03	YGL115W	--	--	--	77963.95	70449.19	64268.48	74421.08
YGL017W	--	--	--	22607.50	27855.63	19929.40	20291.14	YGL116W	--	--	--	60569.59	54747.07	61236.16	55656.04
YGL018C	-1.5	--	--	58801.38	37974.15	76624.29	56742.03	YGL117W	--	--	--	24628.48	28925.90	24697.70	29280.07
YGL019W	-1.8	--	--	77706.85	43949.41	105498.66	85602.19	YGL118C	--	--	--	40678.42	33548.40	40863.30	34702.70
YGL020C	--	--	--	44815.72	44566.82	49309.04	46319.70	YGL119W	--	--	--	120420.68	89995.70	147820.54	101352.36
YGL021W	--	--	--	19140.75	27013.92	17581.87	18529.48	YGL120C	-2.1	--	--	42622.68	44391.46	33418.67	30305.53
YGL022W	--	--	--	30797.51	30526.85	25087.67	26669.03	YGL121C	+2.1	+1.5	+1.7	14227.79	30135.67	22003.80	24282.44
YGL023C	--	--	--	30928.87	36682.08	29494.50	37750.43	YGL122C	+1.6	--	--	15371.68	25089.66	16208.49	18043.76
YGL024W	--	--	--	21739.05	26656.70	21129.50	27090.70	YGL123W	--	--	-1.6	82950.66	82731.71	71348.41	52590.44
YGL025C	-1.6	--	--	53300.69	34321.25	50587.18	54033.81	YGL124C	--	--	--	26637.47	28471.94	21270.30	22009.06
YGL026C	+1.7	--	--	25346.28	42788.74	29922.17	34978.17	YGL125W	--	--	--	68498.30	48719.09	67296.58	53918.14
YGL027C	--	--	--	52443.62	51078.74	40418.36	42875.17	YGL126W	--	-1.6	--	30014.11	29651.18	19348.97	22810.31
YGL028C	--	--	--	33889.95	33279.32	31662.39	33207.95	YGL127C	--	--	--	37927.10	37157.28	35133.01	33377.43
YGL029W	-1.9	--	--	74713.47	39782.22	81626.77	65332.69	YGL128C	--	--	--	24094.97	29258.48	16905.47	23528.94
YGL030W	--	-2.2	--	71449.52	67738.32	32750.34	48998.79	YGL129C	--	--	--	22148.06	28321.71	17602.56	20926.46
YGL031C	--	--	--	171883.21	134985.84	148018.33	145929.25	YGL130W	--	--	+1.5	96828.88	71528.56	120845.81	147570.19
YGL032C	--	-1.6	--	36429.63	33005.11	23245.51	26777.69	YGL131C	+1.8	--	--	14521.50	25937.52	16261.38	19952.96
YGL033W	--	--	--	20757.58	28429.86	15888.37	19958.47	YGL132W	--	+1.7	--	94911.76	97341.16	159978.75	141510.23
YGL034C	--	--	--	81321.80	87016.53	81688.56	84425.22	YGL133W	--	+1.7	+1.6	34302.99	36841.22	57475.41	54865.69
YGL035C	+1.9	--	--	15755.22	29697.17	11573.56	17958.86	YGL134W	--	--	--	39254.96	42460.58	36741.59	32567.43
YGL036W	--	--	--	74482.12	56011.20	84187.82	87088.94	YGL135W	+1.8	+1.5	--	126269.48	229313.80	191160.29	107158.21
YGL037C	--	--	--	39077.67	54345.40	37583.28	41538.24	YGL136C	--	--	--	21928.02	28801.62	19029.10	20613.26
YGL038C	--	--	--	26975.30	29887.41	22852.99	24652.48	YGL137W	--	--	--	63094.12	45140.98	49970.79	45675.75
YGL039W	+1.5	--	--	34686.26	52896.05	42135.88	40049.94	YGL138C	--	--	--	48815.96	39693.95	41405.55	38786.79
YGL040C	+1.6	--	--	21499.25	34743.75	21368.66	23209.38	YGL139W	--	--	--	26325.00	28714.34	22330.81	22515.90
YGL041C	--	--	--	21851.46	28447.40	18717.56	23151.19	YGL140C	--	--	--	22526.90	28258.21	21533.20	22745.79
YGL042C	--	--	--	31853.62	37833.86	34866.02	36489.49	YGL141W	+1.6	--	--	16484.10	25949.43	15148.60	18636.96
YGL043W	+1.9	--	--	13291.70	25545.54	12028.67	16854.54	YGL142C	--	--	--	47494.52	37266.77	44697.12	42404.84
YGL044C	--	--	--	23693.00	27928.75	18914.63	22719.52	YGL143C	--	--	--	71478.79	60211.64	81536.92	69418.38
YGL045W	--	--	--	30687.53	30598.02	22815.57	26038.26	YGL144C	--	--	--	60378.23	78669.13	66981.86	72068.20
YGL046W	--	--	--	17866.58	25985.07	14808.82	18407.76	YGL145W	+1.7	--	--	18367.81	31384.52	23751.85	26929.06
YGL047W	--	--	--	31016.86	32175.61	23802.25	30215.35	YGL146C	--	--	--	135618.29	196476.57	192987.45	132694.27
YGL048C	--	--	--	56244.48	45228.48	57100.54	63871.33	YGL147C	+1.5	--	--	101516.89	156029.48	121287.61	107440.01
YGL049C	--	--	--	30200.61	28633.23	21164.33	26619.90	YGL148W	--	--	--	54189.36	58038.66	47908.25	47168.69
YGL050W	--	--	--	31380.24	30078.55	28856.36	32594.46	YGL149W	-1.9	--	--	51943.39	26874.21	69649.68	50206.94
YGL051W	--	--	--	22327.00	29384.01	18633.69	22959.18	YGL150C	-1.8	--	--	95859.17	54238.91	114161.77	86790.73
YGL052W	--	--	--	20547.18	27732.72	17335.43	19838.93	YGL151C	--	--	--	55992.35	46908.30	50599.54	50021.91
YGL053W	--	--	--	26987.30	31539.05	19842.57	25870.96	YGL152W	--	--	--	53086.29	38536.87	48163.28	43465.64
YGL054C	--	--	--	26715.33	34101.75	18736.71	22474.42	YGL153W	--	--	--	18164.27	25876.61	16662.26	20062.80
YGL055W	+1.7	--	--	49356.13	84225.97	51586.89	41263.53	YGL154C	--	--	--	43235.64	37899.16	40394.71	38638.01
YGL056C	--	--	--	28762.76	29807.25	25378.77	27556.08	YGL155W	--	--	--	103401.67	88610.88	120832.67	108167.20
YGL057C	--	--	--	22501.46	28926.01	19175.91	21333.14	YGL156W	--	--	--	32310.60	46079.03	24656.70	29984.21
YGL058W	--	--	--	25063.37	32322.80	25127.25	28794.68	YGL157W	--	--	+1.6	21924.56	29393.62	31843.75	34188.21
YGL059W	--	--	--	18569.78	26555.91	14257.97	20027.38	YGL158W	--	--	--	24084.04	31701.43	22466.97	21649.84
YGL060W	--	--	--	18110.64	27084.36	21519.07	26389.76	YGL159W	--	--	--	124429.05	132074.53	179062.92	142419.50
YGL061C	--	--	--	25924.90	28069.66	23131.35	24926.57	YGL160W	--	--	--	46145.18	30794.79	59333.01	49206.95
YGL062W	+1.7	--	--	15094.90	25925.10	13191.21	17642.51	YGL161C	+1.6	--	--	107839.67	106464.21	170620.31	139019.53
YGL063W	+1.5	--	--	16608.27	25592.54	14533.82	17609.58	YGL162W	--	--	--	40879.06	33536.53	30186.12	27815.51
YGL064C	--	--	--	26703.16	28498.13	22050.54	22645.38	YGL163C	--	--	-1.5	43987.13	33065.91	33739.11	28556.87
YGL065C	--	--	--	36067.27	32294.32	24095.88	25208.03	YGL164C	-1.7	--	--	85455.52	50334.52	68914.96	61447.75
YGL066W	--	+1.5	--	35691.46	28112.30	54030.04	28907.62	YGL165C	--	--	--	40194.27	38929.36	38524.94	36786.56
YGL067W	+1.7	--	--	15230.02	26133.70	13591.17	18047.74	YGL166W	--	--	--	70877.69	48533.67	68804.89	56833.56
YGL068W	--	--	--	31109.58	41071.53	29475.28	31667.61	YGL167C	--	--	--	48685.74	57837.30	42611.04	42962.30
YGL069C	--	--	--	29078.58	36783.71	27277.26	28363.00	YGL168W	--	--	--	65178.94	46488.06	76292.61	67162.09
YGL070C	+1.6	--	--	16769.83	26136.12	14384.65	19624.97	YGL169W	--	--	--	25815.05	35047.43	35811.41	36473.80
YGL071W	+1.7	--	--	14934.69	25498.49	12106.68	17737.87	YGL170C	--	--	--	23334.08	30676.95	23000.10	24182.86
YGL072C	--	--	--	21052.60	29698.99	26339.11	31026.69	YGL171W	--	--	--	35788.01	34728.57	37928.27	31444.72
YGL073W	+1.6	--	--	16013.48	26161.52	14452.67	19208.27	YGL172W	--	--	--	37907.84	43162.47	31815.20	33775.98
YGL074C	--	--	--	26134.95	25772.05	27487.49	25194.66	YGL173C	--	--	--	71959.84	62220.72	85689.31	69272.76
YGL075C	--	--	--	22147.30	27500.57	18373.45	23061.24	YGL174W	--	--	--	37571.97	30376.13	37113.81	33260.68
YGL076C	--	-1.8	-2.2	137539.69	97074.18	78198.02	62634.91	YGL175C	--	--	--	101914.54	82682.54	142060.77	105734.46
YGL077C	--	-2	-2.1	62043.81	41521.67	31236.85	29712.41	YGL176C	--	--	--	151889.43	156908.86	135640.03	109415.14
YGL078C	-1.6	--	--	53206.86	34224.42	54205.02	43593.56	YGL177W	-2.3	--	--	85579.49	37833.32	114740.54	96977.34
YGL079W	--	--	--	23406.44	27114.81	21128.86	20267.50	YGL178W	-1.7	--	--	57526.64	33227.49	62393.96	49217.22
YGL080W	--	--	--	25227.25	26825.23	24372.49	23233.95	YGL179C	--	--	--	65386.73	58047.72	60426.81	48128.92
YGL081W	-2	--	--	54607.14	27791.78	75431.14	48682.89	YGL180W	--	--	--	27825.96	29914.99	21906.15	24094.49
YGL082W	--	--	--	20313.00	26207.87	15806.20	19660.85	YGL181W	--	+1.6	+1.8	42276.92	62947.24	65862.92	74661.79
YGL083W	--	--	--	27362.17	28032.57	19278.47	22373.39	YGL182C	--	--	--	118421.77	144358.90	108674.66	85666.72
YGL084C	+1.6	--	--	16568.43	26421.79	15686.88	21215.86	YGL183C	--	--	--	73653.58	55804.80	98382.57	67182.12
YGL085W	--	--	--	25884.88	29036.31	26460.11	25600.82	YGL184C	--	--	--	45702.43	44073.17	47679.34	33173.81
YGL086W	+1.5	--	--	17096.50	26114.69	16205.70	19417.09	YGL185C	--	--	--	26513.02	31332.43	23320.56	22951.07
YGL087C	--	--	--	32002.42	35374.98	32276.19	31232.22	YGL186C	+1.6						



ORF	Änderungsfaktor			Normalisierte Signalintensität				ORF	Änderungsfaktor			Normalisierte Signalintensität			
	wt37	mut30	mut37	wt30	wt37	mut30	mut37		wt37	mut30	mut37	wt30	wt37	mut30	mut37
YGL212W	--	--	--	18760,13	27365,16	14943,25	20027,81	YGR048W	--	--	--	25762,28	31853,95	23341,77	25978,32
YGL213C	--	--	--	24097,45	27678,62	20750,57	21739,94	YGR049W	--	--	--	32333,32	40558,59	33815,17	36772,62
YGL214W	+1,8	--	--	14490,84	26502,84	12037,87	16959,43	YGR050C	+1,5	--	--	16474,64	25092,57	14983,31	19036,58
YGL215W	-1,8	--	--	99409,69	56234,51	94780,74	79879,23	YGR051C	--	--	--	25176,77	28213,40	21230,75	22707,48
YGL216W	--	--	--	33828,42	34863,42	44355,83	40259,39	YGR052W	--	--	--	38247,19	34154,95	54460,14	52717,09
YGL217C	+1,7	--	--	14680,34	24928,67	15341,32	17499,67	YGR053C	--	--	--	27168,47	30331,37	23211,44	24553,12
YGL218W	+1,7	--	--	15533,37	25781,43	16579,01	19273,90	YGR054W	--	--	--	19393,87	28894,97	17686,15	19843,26
YGL219C	--	--	--	28056,36	31788,06	23997,73	26347,08	YGR055W	--	--	--	91630,66	102801,73	98763,16	86064,39
YGL220W	--	--	--	41549,03	47787,13	50549,18	47854,20	YGR056W	--	--	--	18957,72	27939,20	17840,67	20900,79
YGL221C	--	--	--	23765,38	33183,67	22920,78	25473,90	YGR057C	+1,5	--	--	18945,14	28702,66	16507,62	21116,49
YGL222C	--	--	--	36962,06	25899,46	28979,35	29421,12	YGR058W	--	--	--	42257,21	34956,80	37273,10	30879,49
YGL223C	--	--	--	21247,37	27984,96	18204,29	19473,46	YGR059W	--	--	--	36081,47	27292,60	35164,56	34300,38
YGL224C	--	--	--	35230,74	34219,58	35408,44	35717,51	YGR060W	--	--	--	33421,30	34619,80	31434,30	28822,44
YGL225W	--	--	--	34113,41	34389,80	28504,40	29408,94	YGR061C	--	--	--	21650,15	30289,14	20389,25	23462,72
YGL226W	--	--	--	24498,69	29802,12	28653,86	27648,36	YGR062C	--	--	--	25465,60	29962,09	20348,73	22571,13
YGL227W	--	--	--	48532,38	53431,99	67799,37	54705,99	YGR063C	--	--	--	37217,74	39173,98	34754,16	34446,69
YGL228W	--	--	--	25015,89	33341,63	25177,53	30409,10	YGR064W	--	--	--	35256,28	37211,88	32607,80	33771,28
YGL229C	--	--	--	25564,87	26199,52	37463,17	30708,25	YGR065C	--	--	--	48455,22	63725,51	46612,52	42293,13
YGL230C	+1,5	--	--	17776,13	26710,86	17433,69	18184,68	YGR066C	--	--	--	35493,49	37384,09	49011,21	39609,27
YGL231C	--	--	--	39301,90	35804,65	37707,83	33192,37	YGR067C	--	--	--	34490,13	34936,89	27970,14	28754,14
YGL232W	--	--	--	43926,51	33658,35	39180,91	33829,60	YGR068C	--	--	--	61325,67	68802,81	61640,16	47272,19
YGL233W	--	--	--	24268,50	27068,39	20934,67	21703,35	YGR069W	-2,2	--	--	77564,44	34740,64	105385,41	80225,31
YGL234W	--	--	--	26196,54	29562,41	23257,01	22498,09	YGR070W	--	--	--	27824,43	27940,80	26047,14	25980,36
YGL235W	--	--	--	23166,88	27136,88	18971,83	22857,45	YGR071C	--	--	--	28136,10	28372,54	22683,89	24564,14
YGL236C	--	--	--	18919,57	28340,45	16137,58	20335,86	YGR072W	-1,5	--	--	42378,75	27637,94	42832,64	33809,24
YGL237C	--	--	--	31212,21	33736,57	32825,56	32525,04	YGR073C	--	--	--	22029,17	28686,08	16951,19	23811,78
YGL238W	+1,6	--	--	16876,55	27204,78	13052,46	19144,66	YGR074W	--	--	--	25308,64	35308,79	23444,93	29862,76
YGL239C	--	--	--	25154,44	34230,57	24311,21	27176,98	YGR075C	--	--	--	46258,97	44282,46	36288,52	35521,05
YGL240W	--	--	--	21436,67	29890,17	20287,69	20691,60	YGR076C	--	--	--	39564,80	38347,83	36288,78	31622,52
YGL241W	--	--	--	27358,39	39619,61	30251,47	28218,64	YGR077C	--	--	--	2260,80	28603,92	16511,00	23822,19
YGL242C	--	--	--	29245,14	35505,20	26581,48	28794,96	YGR078C	--	--	--	25240,60	30897,36	23674,32	27290,66
YGL243W	--	--	--	33645,43	28352,25	34492,36	30380,01	YGR079W	--	--	--	31419,58	42377,39	34183,06	29480,40
YGL244W	--	--	--	53896,76	36094,88	43671,92	38473,62	YGR080W	--	--	--	67491,35	85923,37	64909,23	56376,56
YGL245W	-1,6	--	--	83146,18	52269,22	68416,63	62371,34	YGR081C	--	--	--	22610,36	30616,55	21205,96	22367,75
YGL246C	--	--	--	26570,70	29129,79	26010,61	24604,07	YGR082W	--	--	--	42510,12	43885,22	38697,51	35676,84
YGL247W	--	--	--	24135,64	28931,57	18232,39	21537,93	YGR083C	--	--	--	24085,86	28647,59	22603,31	22920,34
YGL248W	--	--	--	20083,52	29054,56	19081,99	22915,42	YGR084C	--	--	--	40835,46	43686,35	32547,25	33354,85
YGL249W	+1,6	--	--	16374,19	26236,69	14588,09	19786,30	YGR085C	--	--	--	404483,80	465709,03	446418,09	465063,86
YGL250W	--	--	--	21580,08	30399,36	17581,15	22247,30	YGR086C	--	--	--	203835,69	166176,68	247784,76	250929,73
YGL251C	+1,6	--	--	20959,67	33229,17	16578,32	23195,52	YGR087C	-1,5	-1,5	--	42163,51	31038,63	27233,56	27429,73
YGL252C	--	--	--	20169,15	28754,27	19524,01	21109,15	YGR088W	--	--	--	23595,79	28047,25	19074,54	24377,17
YGL253W	+1,7	--	--	37715,00	62274,70	39368,02	34264,41	YGR089W	--	--	--	22736,88	27707,50	19410,77	22394,80
YGL254W	--	--	--	31245,72	30035,56	40428,78	36076,55	YGR090W	--	--	--	35565,23	33995,54	35599,75	26764,70
YGL255W	--	--	--	26202,96	29248,86	27188,14	25229,60	YGR091W	--	--	-1,6	55168,22	41610,94	49005,96	34126,30
YGL256W	--	--	--	23077,81	28065,16	19536,67	20698,88	YGR092W	--	--	--	23845,02	29124,27	24334,65	24570,98
YGL257C	--	--	--	20420,88	27535,16	17457,32	21861,40	YGR093W	+1,5	--	--	20704,33	31090,33	18742,88	21805,72
YGL258W	--	--	--	33674,29	30113,27	28532,72	30904,70	YGR094W	--	--	--	33026,43	38151,23	29437,13	27404,13
YGL259W	--	--	--	19485,96	26920,11	17603,86	20893,27	YGR095C	-1,9	--	--	66936,36	34421,34	86753,21	61241,91
YGL260W	+1,5	--	--	17536,97	26590,34	15015,74	20051,50	YGR096W	--	--	--	29567,17	33806,90	29392,83	26996,64
YGL261C	--	--	--	81369,81	76593,82	92773,07	82364,19	YGR097W	--	--	--	29998,32	41694,81	25424,67	27555,31
YGL262W	--	--	--	23052,07	27042,46	17155,98	21627,03	YGR098C	--	--	--	90802,07	78857,88	71508,64	66700,99
YGL263W	--	--	--	21611,12	28730,98	15294,28	21316,60	YGR099W	--	--	--	18570,23	26907,58	18539,22	22038,90
YGR001C	+1,6	--	--	20679,21	33075,28	22010,22	23963,76	YGR100W	--	--	--	27410,43	34229,07	21027,78	24930,80
YGR002C	--	--	--	41439,87	51575,71	41425,35	33534,48	YGR101W	--	--	--	27931,14	31867,28	23731,08	25455,71
YGR003W	+1,5	--	--	19018,30	28889,93	17673,03	20673,57	YGR102C	+1,7	--	--	292322,69	212796,16	210732,55	169360,28
YGR004W	--	--	--	27384,50	34741,21	23226,87	25213,02	YGR103C	--	--	--	68806,15	68372,02	74727,62	56817,69
YGR005C	--	--	--	24870,97	30907,21	20145,44	22192,18	YGR104C	--	--	--	33889,00	39449,68	31242,18	29451,50
YGR006W	--	--	--	29215,98	27618,86	20982,45	25953,19	YGR105C	--	--	--	50540,13	49330,58	54000,88	46285,83
YGR007W	--	--	--	31611,05	33835,27	31168,02	29171,24	YGR106C	--	--	--	37416,69	41460,94	31670,74	31422,05
YGR008C	--	--	--	23255,11	33165,14	22328,66	23982,70	YGR107W	-1,5	--	--	51560,52	33515,20	52992,28	37322,10
YGR009C	--	--	--	48609,06	33331,82	49732,82	40404,24	YGR108W	--	--	--	44238,44	38208,38	37725,46	35053,47
YGR010W	--	--	--	24641,98	30361,01	19954,09	24710,28	YGR109C	--	--	--	150709,58	160488,24	136874,07	107662,74
YGR011W	--	--	--	22700,03	29729,19	18785,29	23515,20	YGR110W	--	--	--	39400,35	38127,28	32273,59	27972,19
YGR012W	--	--	--	21298,27	30883,05	17235,71	21924,84	YGR111W	--	--	--	30254,31	38806,40	27264,45	28040,67
YGR013W	--	--	--	377252,01	516855,89	489139,07	354154,09	YGR112W	+1,5	--	+1,6	19112,31	29173,59	23689,80	30187,79
YGR014W	--	--	--	55003,54	61761,73	68197,03	47242,71	YGR113W	--	--	--	20562,87	26734,76	20510,95	20245,03
YGR015C	--	--	--	19643,00	28192,98	17666,78	20754,80	YGR114C	--	--	--	39123,39	32844,27	35474,11	31603,40
YGR016W	--	--	--	42937,80	45165,17	39278,40	37272,94	YGR115C	-1,7	--	--	50243,46	28849,17	45886,63	37086,40
YGR017W	--	--	--	26535,98	33194,21	24166,41	26923,21	YGR116W	--	--	--	45507,14	31795,13	40876,49	36110,48
YGR018C	--	--	--	36591,56	48664,88	35232,78	38236,85	YGR117C	+1,6	--	--	17407,56	27416,58	14890,99	18518,07
YGR019W	--	--	--	70345,33	70056,68	65836,02	60787,72	YGR118W	--	--	--	151979,80	128134,63	102523,27	102939,67
YGR020C	--	--	--	35535,12	33549,73	26626,44	34423,27	YGR119C	--	--	--	33995,71	35598,22	31194,53	29791,58
YGR021W	--	--	--	40637,83	57808,59	39392,94	38973,53	YGR120C	+1,7	--	--	15704,91	26009,00	14324,05	18137,48
YGR022C	--	--	--	27563,68	27134,36	21758,34	23586,02	YGR121C	-1,7	--	--	66650,09	38566,04	60593,39	54807,93
YGR023W	--														

ORF	Änderungsfaktor			Normalisierte Signalintensität			
	wt37	mut30	mut37	wt30	wt37	mut30	mut37
YGR147C	+1.6	--	--	21572.79	33952.18	24877.25	25847.04
YGR148C	--	--	--	99953.77	90712.67	145703.56	112419.40
YGR149W	--	--	--	30648.89	40885.38	30889.31	31012.42
YGR150C	+1.6	--	--	16184.74	26686.79	15316.46	17255.60
YGR151C	--	--	--	34608.60	31490.81	26956.61	26773.03
YGR152C	-1.5	--	--	54607.42	35786.72	50995.99	39696.02
YGR153W	--	--	--	29648.41	29922.88	28592.59	26609.04
YGR154C	--	--	--	23839.23	27429.47	19792.68	21137.70
YGR155W	--	--	--	56816.91	67633.23	52431.82	54984.04
YGR156W	--	--	--	22329.73	31260.88	19172.02	24157.64
YGR157W	--	--	--	127501.74	93976.46	108864.05	99628.45
YGR158C	--	--	--	45370.72	56387.54	37573.80	37285.41
YGR159C	--	--	--	51079.63	75973.51	48809.34	65169.33
YGR160W	--	--	--	48651.94	51639.31	67146.04	69129.08
YGR161C	--	--	--	74355.78	95764.75	84816.78	59067.91
YGR162W	--	--	--	34700.84	28368.63	29797.75	28705.18
YGR163W	--	--	--	40525.36	37055.02	33539.67	36398.59
YGR164W	--	--	--	24384.08	31408.21	20963.45	24899.10
YGR165W	--	--	--	62983.98	56095.19	63057.97	47314.75
YGR166W	--	--	--	25273.32	34295.20	21386.33	23165.51
YGR167W	--	--	--	36299.79	38283.68	29624.50	40518.41
YGR168C	--	--	--	26263.92	32129.98	28945.55	26992.36
YGR169C	--	--	--	23184.22	34126.26	21566.60	22377.55
YGR170W	--	--	--	22577.68	32730.49	22727.23	24252.77
YGR171C	--	--	--	27756.05	28847.72	30226.94	28767.22
YGR172C	--	--	--	22895.77	30017.40	17305.54	21171.77
YGR173W	--	--	--	38859.39	43980.20	35535.54	33911.02
YGR174C	--	--	--	33968.70	38132.81	31870.31	34271.28
YGR175C	--	--	--	118049.20	98197.41	91453.87	87393.59
YGR176W	--	--	--	24634.41	30106.94	20963.51	22196.97
YGR177C	+1.7	--	--	15395.43	26352.49	13725.56	19803.72
YGR178C	--	--	--	25331.87	31098.55	22068.86	25091.72
YGR179C	--	--	--	22613.93	27791.61	22179.89	23437.97
YGR180C	--	--	--	27302.54	33136.48	28267.01	29506.74
YGR181W	--	--	--	28727.76	35739.66	26455.10	25543.89
YGR182C	--	--	--	44230.72	63744.59	41412.59	47266.39
YGR183C	--	--	--	29078.59	40000.94	29230.16	28700.84
YGR184C	+1.7	--	--	18071.58	31476.35	14679.10	18639.39
YGR185C	--	--	--	40051.08	45451.86	48133.30	38877.61
YGR186W	+1.5	--	--	18232.17	28037.76	19510.87	21000.87
YGR187C	--	--	--	55200.96	48978.04	41657.71	47617.00
YGR188C	--	--	--	20377.69	26742.46	20829.21	19889.10
YGR189C	--	--	--	97458.48	78508.03	97323.45	67211.14
YGR190C	--	--	--	60013.95	55479.66	63668.36	46523.18
YGR191W	--	--	--	19891.38	28976.58	19408.04	22037.84
YGR192C	+2.5	+2	+1.8	578901.44	1426693.16	1185341.63	1015313.17
YGR193C	+1.6	--	--	21971.33	34587.97	24204.28	22822.45
YGR194C	+1.5	--	--	19711.84	30186.62	18811.81	21855.55
YGR195W	--	--	--	27304.57	36518.50	23104.76	24233.70
YGR196C	--	--	--	25859.26	30297.41	22257.92	23237.75
YGR197C	--	--	--	43523.24	34344.32	40917.73	34969.67
YGR198W	--	--	--	30408.21	31728.80	27394.71	25548.51
YGR199W	--	--	--	23753.54	30815.25	20617.72	24923.33
YGR200C	--	--	--	37709.30	45670.88	29550.98	31967.94
YGR201C	--	--	--	27327.15	34983.11	21681.89	23574.61
YGR202C	--	--	--	36271.01	34180.32	32937.66	27827.20
YGR203W	+1.6	--	--	24682.91	39434.15	28616.36	24359.48
YGR204W	--	--	--	25032.23	33087.90	23210.72	25563.84
YGR205W	--	--	--	34036.95	48221.87	33586.61	34798.77
YGR206W	--	--	--	51811.06	45337.46	39672.15	36956.51
YGR207C	--	--	--	66590.92	49223.54	48144.77	50460.65
YGR208W	--	--	--	19854.18	27830.57	19091.99	20239.31
YGR209C	--	--	--	101485.10	114801.39	95285.75	133913.72
YGR210C	--	--	--	45467.90	40275.30	32411.11	36226.44
YGR211W	--	--	--	30918.44	26075.42	28760.75	37450.12
YGR212W	--	--	--	30997.62	31003.02	26872.56	30147.86
YGR213C	--	--	--	36861.16	32023.00	26988.34	29098.23
YGR214W	-4.9	--	--	173409.96	35088.31	167225.13	137147.25
YGR215W	-1.5	--	--	62198.63	40321.30	68339.18	57488.31
YGR216C	--	--	--	26395.05	35344.87	32625.89	29153.19
YGR217W	--	--	--	72792.08	66691.96	109133.65	97797.04
YGR218W	--	--	--	21974.27	28397.30	20418.61	19040.56
YGR219W	--	--	--	34671.53	35015.31	26904.19	28062.07
YGR220C	--	--	--	47426.25	43054.19	36057.18	35934.88
YGR221C	--	--	--	21909.28	28413.03	16867.04	22696.82
YGR222W	--	--	--	106710.63	90211.80	81571.86	78572.02
YGR223C	--	--	--	26519.93	30437.09	20403.50	24416.49
YGR224W	--	--	--	20017.37	26033.16	17559.39	21090.08
YGR225W	+1.6	--	--	15735.82	25918.14	12790.75	17220.52
YGR226C	--	--	--	24766.90	29200.66	17244.87	21990.25
YGR227W	--	--	--	42994.54	37619.18	43649.54	42810.68
YGR228W	-1.5	+1.7	--	62702.84	40934.94	103662.30	83289.67
YGR229C	--	--	--	30604.86	36047.34	43633.51	38503.00
YGR230W	--	--	--	23377.33	29693.30	25844.35	24895.28
YGR231C	--	--	--	48742.19	49083.60	44950.04	43956.92
YGR232W	--	--	--	28950.68	34622.01	23241.12	30042.25
YGR233C	--	--	--	49768.06	43942.92	48547.98	43766.11
YGR234W	--	--	--	139432.81	128437.94	141410.09	141935.13
YGR235C	--	--	--	28854.41	33684.33	31484.58	30455.14
YGR236C	--	--	--	22997.36	25838.61	20098.63	21804.19
YGR237C	-2	-1.6	--	36233.47	27976.45	17885.91	22957.41
YGR238C	--	--	--	18646.40	26387.20	18492.84	19686.68
YGR239C	--	--	--	28556.79	35338.34	31601.92	34906.29
YGR240C	--	--	--	132278.09	139006.58	175957.51	124430.80
YGR241C	--	--	--	28042.63	28297.77	28247.41	27972.95
YGR242W	+1.6	--	--	18786.57	30781.05	20096.18	20793.05
YGR243W	--	--	--	31724.63	40241.87	29306.67	28152.36
YGR244C	--	--	--	52841.05	60621.59	54009.01	44799.40
YGR245C	--	--	--	43301.69	38293.45	42880.92	34464.87

ORF	Änderungsfaktor			Normalisierte Signalintensität			
	wt37	mut30	mut37	wt30	wt37	mut30	mut37
YGR246C	--	--	--	23319.78	27738.56	25179.51	21100.43
YGR247W	--	--	--	19105.24	28492.19	15390.83	19509.56
YGR248W	--	--	--	25741.95	31191.36	26806.61	25515.04
YGR249W	--	--	--	18362.88	26006.99	18169.35	20655.34
YGR250C	--	--	--	25624.43	33863.29	21195.06	25026.87
YGR251W	-1.8	--	--	66264.42	36736.45	80109.04	67429.36
YGR252W	--	+1.6	--	57954.03	56427.74	92878.10	62386.21
YGR253C	--	--	--	74191.61	91862.67	104544.89	98166.78
YGR254W	+1.5	--	--	267781.61	404826.08	282893.55	319098.27
YGR255C	--	-1.8	-1.8	47506.39	32873.67	26162.64	26771.49
YGR256W	--	--	--	21001.44	27047.31	17545.06	20423.84
YGR257C	--	--	--	29637.47	34119.01	24422.16	22754.75
YGR258C	--	--	--	50260.36	54420.16	55088.99	46825.79
YGR259C	--	--	--	21557.32	26778.57	17657.96	20198.85
YGR260W	--	--	--	18614.33	26217.63	16926.21	20818.85
YGR261C	--	--	--	21767.11	27870.25	18834.33	22148.63
YGR262C	--	--	--	32001.10	31817.71	29489.80	32328.55
YGR263C	--	--	--	26288.09	33231.31	19194.28	23871.75
YGR264C	--	--	--	72585.56	55596.22	100367.42	71195.61
YGR265W	-2.1	--	--	73992.30	35039.11	106976.55	75996.92
YGR266W	--	--	--	42574.62	40586.03	39711.49	35093.72
YGR267C	+3.2	--	--	48958.40	155976.97	47158.41	48830.49
YGR268C	--	--	--	40070.99	34888.06	31461.69	31404.40
YGR269W	--	--	--	31590.96	27511.31	23691.55	24144.24
YGR270W	--	--	--	36906.51	33149.20	36333.12	35147.51
YGR271W	-1.8	-2	-2.2	51784.77	28355.86	26266.94	23915.46
YGR272C	--	--	--	45944.23	32423.95	43227.65	34872.55
YGR273C	--	--	--	27003.37	26754.25	28530.30	27356.40
YGR274C	--	--	--	19819.75	28036.07	15583.15	21265.84
YGR275W	--	--	--	43200.91	36130.62	42050.26	39075.27
YGR276C	--	--	--	33663.91	32857.15	30722.57	26225.76
YGR277C	--	--	--	41504.84	49700.06	47667.07	37538.39
YGR278W	--	--	-1.7	80266.54	90818.70	57272.34	48497.71
YGR279C	--	--	--	84963.73	94382.20	108173.85	92868.43
YGR280C	--	--	--	87873.32	60737.43	92171.50	74006.52
YGR281W	--	--	--	29862.52	28129.37	31828.59	28042.37
YGR282C	--	-1.7	-2	150161.98	132815.35	86191.83	75319.65
YGR283C	--	--	--	44191.61	37399.54	41719.17	34729.84
YGR284C	--	--	--	31352.98	37713.83	24534.08	25376.57
YGR285C	--	--	--	99785.03	84179.93	120031.89	92715.43
YGR286C	--	--	--	25154.74	34195.32	27090.09	29469.26
YGR287C	--	--	--	28205.03	28730.95	23016.78	26506.01
YGR288W	-1.6	-1.5	-1.9	60868.82	38302.01	40141.66	31771.91
YGR289C	--	--	--	24320.54	28228.		

ORF	Änderungsfaktor			Normalisierte Signalintensität				ORF	Änderungsfaktor			Normalisierte Signalintensität			
	wt37	mut30	mut37	wt30	wt37	mut30	mut37		wt30	wt37	mut30	mut37			
YHL049C	--	--	--	27956,37	34312,85	27466,04	27306,66	YHR096C	--	--	--	18255,25	26996,26	16007,45	18538,62
YHL050C	--	--	--	49165,41	44096,83	35871,47	39986,37	YHR097C	--	--	--	24029,21	28423,39	19121,63	20599,85
YHR001W	--	--	--	25871,90	31577,77	22476,65	22476,65	YHR098C	+1,6	--	--	16468,36	27116,20	19383,75	19319,29
YHR002W	--	--	--	27702,99	29547,41	23931,22	23976,67	YHR099W	+1,6	--	--	20836,14	33500,66	16515,47	20519,62
YHR003C	--	+1,8	+1,5	33309,88	38744,35	59299,08	50998,50	YHR100C	--	--	--	24175,40	29534,57	19957,70	22680,16
YHR004C	-1,8	--	--	56801,25	31620,83	78282,89	52365,51	YHR101C	--	--	--	20843,06	26866,52	14775,19	19841,81
YHR005C	--	--	--	39743,42	41593,29	39101,59	37561,73	YHR102W	--	--	--	20186,39	28292,48	15560,49	17101,78
YHR006W	--	--	--	25964,48	28193,78	21656,69	22105,11	YHR103W	+1,6	--	--	16805,89	26925,25	13334,11	19963,78
YHR007C	--	--	-1,6	97564,29	72835,87	79952,38	60895,39	YHR104W	--	--	--	29008,18	42411,57	27465,25	27519,89
YHR008C	--	--	--	74882,63	70331,66	82019,17	77620,70	YHR105W	+1,6	--	--	18866,81	29658,32	18507,46	20488,13
YHR009C	--	--	--	57930,68	62723,76	62549,85	54390,02	YHR106W	--	--	--	24671,02	29062,43	23433,08	23413,23
YHR010W	--	--	--	159405,14	164613,17	113335,28	124432,02	YHR107C	--	--	--	32501,73	39710,45	33416,11	30733,15
YHR011W	--	--	--	31089,19	32483,65	26745,35	27899,20	YHR108W	+1,5	--	--	19725,23	30415,61	15032,02	18552,91
YHR012W	--	--	--	35607,98	35894,17	27421,45	31744,25	YHR109W	--	--	--	22748,21	29704,07	18088,86	21407,90
YHR013C	--	--	--	35316,91	36075,59	30096,24	33833,92	YHR110W	-1,7	-1,8	-1,9	112311,27	65226,26	61597,82	58367,94
YHR014W	-1,6	--	--	52295,45	33142,82	56509,69	48606,77	YHR111W	--	--	--	20508,33	29564,07	19264,17	21417,68
YHR015W	--	--	--	35814,52	34792,16	32459,99	28095,50	YHR112C	+1,5	--	--	19885,15	30632,33	16348,16	21973,22
YHR016C	--	--	--	29380,92	36315,17	25090,17	23382,10	YHR113W	--	--	--	26257,38	29075,99	21573,71	24560,08
YHR017W	--	--	--	22443,40	29268,31	19677,60	21960,14	YHR114W	+1,6	--	--	16686,31	26385,72	14082,55	19538,63
YHR018C	--	--	--	76331,52	63206,60	53474,58	66222,38	YHR115C	--	--	--	61914,40	59688,29	46244,79	48014,09
YHR019C	--	--	--	75118,99	69177,07	66094,98	62985,32	YHR116W	--	--	--	23813,99	30357,65	21972,23	25056,86
YHR020W	--	-1,6	-1,6	64792,42	58626,22	40896,97	40634,32	YHR117W	--	--	--	24105,44	32422,74	24938,22	24096,36
YHR021C	--	--	-1,7	198913,42	166620,27	148405,57	119329,52	YHR118C	--	--	--	38558,41	34723,97	35380,17	28720,14
YHR022C	--	-1,7	--	25261,68	27961,85	15087,99	20946,81	YHR119W	--	--	--	26027,04	29107,33	23147,47	23009,21
YHR023W	+1,6	+1,6	--	78310,22	48561,63	121627,53	101824,72	YHR120W	+1,6	--	--	17928,59	28802,73	16833,77	20393,81
YHR024C	--	--	--	25231,78	29119,59	22449,86	25290,54	YHR121W	--	--	--	43171,48	40114,40	34132,82	35625,94
YHR025W	--	--	--	52758,28	61080,46	40872,19	46821,99	YHR122W	--	--	--	22884,18	33190,40	21372,21	25258,78
YHR026W	--	--	--	37349,95	45387,47	27311,25	26443,41	YHR123W	+1,6	--	--	17611,91	27498,32	15794,77	19574,83
YHR027C	--	--	--	22942,14	28909,80	22421,97	22791,16	YHR124W	--	--	--	20287,00	29108,57	17951,99	22221,04
YHR028C	--	--	--	48103,72	42689,95	46461,56	38593,42	YHR125W	--	--	--	35138,86	36456,74	28624,14	25282,02
YHR029C	--	--	--	134175,09	140186,17	163901,22	172683,81	YHR126C	--	--	--	31205,83	32116,94	24184,77	23780,47
YHR030C	--	--	--	38935,86	45159,69	39702,70	37430,32	YHR127W	-1,7	--	--	88502,25	53146,90	88681,47	78450,29
YHR031C	--	-1,5	-1,6	42227,30	39287,52	27885,13	27080,49	YHR128W	--	--	--	70684,99	70370,80	86714,74	75677,55
YHR032W	--	--	--	26076,11	30805,92	20059,37	23136,60	YHR129C	+1,5	--	--	21564,05	32457,41	22605,38	23580,08
YHR033W	+1,5	--	--	17820,53	27228,55	16595,76	21340,71	YHR130C	--	--	--	25479,25	28035,73	22742,52	22121,47
YHR034C	--	--	--	21758,93	31159,49	21312,54	24829,80	YHR131C	--	--	--	21773,91	27416,64	17475,56	20007,50
YHR035W	--	-1,5	--	21518,46	26300,06	14330,45	19315,17	YHR132C	--	--	--	31847,39	30920,62	24175,92	26095,55
YHR036W	--	--	--	36945,08	31816,91	37462,12	32410,35	YHR133C	--	--	--	33897,02	34659,96	27117,07	31825,45
YHR037W	--	--	--	31737,08	31934,06	22906,05	27495,05	YHR134W	--	--	--	23349,73	28332,11	20713,98	23816,61
YHR038W	--	+1,6	--	34847,65	30883,75	55981,43	40356,71	YHR135C	-1,7	--	--	42067,93	32651,16	24837,41	29844,59
YHR039B	--	--	--	75970,04	69914,70	82548,32	87100,81	YHR136C	--	--	--	26768,84	31448,69	24478,07	23464,12
YHR039C	--	--	--	27585,68	31505,09	23058,42	21452,46	YHR137W	--	--	--	33714,28	35485,76	22952,72	24016,77
YHR040W	--	--	--	23690,09	31369,58	22608,93	25496,91	YHR138C	--	--	--	43453,27	34798,86	49733,21	41744,97
YHR041C	--	--	--	47733,57	42270,63	35348,23	32857,95	YHR139C	--	--	--	36650,32	40597,75	50544,31	37364,66
YHR042W	--	--	--	53844,23	47177,97	37541,97	41964,46	YHR140W	--	--	--	20630,57	28173,14	18086,18	18836,69
YHR043C	--	--	--	21330,07	30023,60	19802,06	21935,79	YHR141C	--	--	--	192129,68	172567,87	225842,93	214534,50
YHR044C	+1,6	--	--	19815,22	32000,80	18512,86	21176,55	YHR142W	--	--	--	20790,58	30560,59	19755,15	23112,63
YHR045W	--	--	--	21001,12	29352,16	17616,05	22224,00	YHR143B	+1,6	--	--	20957,41	33465,03	20640,14	23115,12
YHR046C	--	--	--	22655,37	29203,01	21450,14	23964,74	YHR143W	--	--	--	18274,99	26810,87	17579,38	20108,91
YHR047C	--	--	--	29217,88	33340,78	24177,59	27511,55	YHR144C	--	--	--	33127,23	41413,37	24715,84	24695,91
YHR048W	--	--	--	39548,47	31787,08	27190,79	26575,48	YHR145C	-1,6	--	--	52177,34	33416,49	41111,18	37641,26
YHR049W	--	+1,5	--	43475,63	57314,13	66328,86	45055,35	YHR146W	--	--	--	29288,49	33191,22	38521,76	32821,00
YHR050W	--	--	--	24895,11	31386,66	25153,91	23713,11	YHR147C	--	--	--	36567,04	32300,04	36802,12	31677,47
YHR051W	--	--	--	22815,74	28928,31	19121,71	21154,10	YHR148W	--	--	--	27315,97	39299,59	33028,41	34994,38
YHR052W	--	--	--	36000,00	37905,63	25135,83	29835,58	YHR149C	--	--	--	32603,68	32604,49	36809,54	25448,67
YHR053C	--	--	--	77461,07	95494,45	102557,54	107889,09	YHR150W	--	--	--	21791,05	26345,22	24402,82	20761,66
YHR054C	--	--	--	23739,02	33127,69	23682,30	25683,87	YHR151C	--	--	--	23184,17	31587,63	21909,78	22513,08
YHR055C	+1,6	--	+1,5	77026,28	124590,52	117790,95	117454,03	YHR152W	--	--	--	35174,34	32612,29	31210,19	29055,17
YHR056C	--	--	--	29376,86	27134,56	20884,76	22522,66	YHR153C	--	--	--	27610,37	28941,45	21264,54	23561,02
YHR057C	--	--	--	36294,64	42786,47	37499,95	42430,52	YHR154W	--	--	--	20978,12	26564,57	18954,26	21786,82
YHR058C	--	--	--	30300,00	38978,02	29743,83	29583,96	YHR155W	--	--	--	46846,83	36424,14	64454,19	47057,73
YHR059W	--	--	--	24447,25	33457,36	29855,96	23805,74	YHR156C	+1,7	--	--	15229,61	25806,77	13050,42	17224,70
YHR060W	--	--	--	25696,74	26664,96	29862,29	25127,52	YHR157W	--	--	--	19079,55	26157,54	15469,24	18657,37
YHR061C	--	--	--	26515,67	29863,27	28298,51	23985,27	YHR158C	--	--	--	18689,33	27784,98	17209,70	23401,49
YHR062C	--	--	--	33911,18	44664,38	34528,19	33197,57	YHR159W	--	--	--	22816,12	26246,95	18457,36	21710,16
YHR063C	--	--	--	26280,93	33860,00	22168,83	24999,54	YHR160C	+1,7	--	--	16836,86	28461,29	19124,22	22839,98
YHR064C	--	--	--	18927,27	27023,61	18144,40	19707,92	YHR161C	--	--	--	27288,38	31439,34	28117,49	29046,08
YHR065C	--	--	--	29530,31	32300,66	25537,70	25942,11	YHR162W	--	--	--	40796,81	57595,92	51157,36	45223,23
YHR066W	+1,7	--	--	15123,33	25157,08	14469,42	18666,90	YHR163W	+1,6	--	--	20613,59	33950,16	21336,45	23023,70
YHR067W	--	--	--	19718,29	27167,26	16064,32	19772,72	YHR164C	--	--	--	46886,97	33918,96	63879,87	52839,06
YHR068W	--	--	--	30813,04	36400,55	29623,92	36105,41	YHR165C	--	--	--	24608,21	25457,31	25850,02	25246,83
YHR069C	+1,6	--	--	18807,71	30893,38	18263,08	23785,95	YHR166C	--	--	--	19425,52	26263,88	15597,04	17348,91
YHR070W	--	--	--	25545,46	28323,85	18642,20	20016,38	YHR167W	--	--	--	17907,78	26161,72	15041,79	18826,02
YHR071W	+1,7	--	--	21846,57	37532,47	27174,98	20954,65	YHR168W	--	--	--	18942,73	28001,74	17870,92	19859,41

ORF	Änderungsfaktor			Normalisierte Signalintensität				ORF	Änderungsfaktor			Normalisierte Signalintensität			
	wt37	mut30	mut37	wt30	wt37	mut30	mut37		wt37	mut30	mut37	wt30	wt37	mut30	mut37
YHR194W	+1.5	--	--	18045,68	27452,61	14066,01	20417,78	YIL074W	--	--	--	32541,09	32386,56	23355,15	28824,24
YHR195W	--	--	--	18233,72	27026,75	14482,09	20839,43	YIL075C	--	--	--	20577,27	30471,31	20917,74	12823,59
YHR196W	--	--	--	41225,54	38593,27	44353,03	39154,45	YIL076W	--	--	--	45165,48	50412,18	40149,43	36039,43
YHR197W	--	--	--	28424,03	32449,04	24715,12	24854,28	YIL077C	--	--	--	27838,61	27725,90	22948,10	26837,46
YHR198C	--	--	--	24007,23	29371,18	22148,46	24281,01	YIL078W	--	--	--	20174,99	29499,85	17439,85	23467,96
YHR199C	--	--	--	34153,60	39754,35	30384,00	33333,22	YIL079C	--	--	--	39209,51	44014,68	40416,66	39919,99
YHR200W	--	--	--	90526,36	111992,94	106959,55	115769,35	YIL080W	--	-1.5	--	29453,15	32698,28	19486,76	26243,71
YHR201C	--	--	--	39589,99	39222,47	34991,14	33941,06	YIL082W	--	--	--	21054,63	29099,62	18304,40	20273,95
YHR202W	--	--	--	195665,89	169517,05	151376,20	131385,91	YIL083C	--	--	--	33360,85	40812,21	37067,14	33442,92
YHR203C	--	--	--	158770,38	118901,32	137419,70	105917,88	YIL084C	--	--	--	26531,51	31417,37	23967,83	23835,71
YHR204W	--	--	--	21569,14	27892,94	17419,11	21140,77	YIL085C	--	--	--	34312,09	37427,29	30631,78	35993,73
YHR205W	--	--	--	20663,87	26137,90	14724,44	19704,71	YIL086C	--	--	--	48487,26	43673,93	45000,70	46474,60
YHR206W	--	--	--	19481,45	27279,67	16182,14	21335,16	YIL087C	+1.5	--	--	18716,63	28955,74	15976,30	23188,33
YHR207C	--	--	--	35442,08	36640,52	32436,22	30570,24	YIL088C	--	--	--	29486,74	34875,04	26813,98	31031,85
YHR208W	--	-1.6	--	49283,73	43113,81	31004,46	45749,42	YIL089W	--	--	--	48581,50	39698,00	59733,11	46497,94
YHR209W	--	--	-1.7	51208,14	47869,60	34638,67	29495,33	YIL090W	--	--	--	35916,12	32269,90	42180,56	32322,63
YHR210C	+1.7	--	--	15879,82	27485,23	16411,47	20008,49	YIL091C	-1.9	--	--	87357,11	44878,93	75156,06	66933,52
YHR211W	--	--	--	19709,08	28257,84	19652,83	21874,61	YIL092W	--	--	--	18640,25	26205,42	21029,61	22053,62
YHR212C	--	--	--	79360,43	59529,54	65501,68	60145,52	YIL093C	--	--	--	36049,04	39025,31	31851,88	33340,66
YHR213W	--	--	--	24839,73	31844,30	22010,98	22273,72	YIL094C	--	--	--	43605,60	55550,63	44433,89	47148,35
YHR214W	--	--	--	40451,52	37473,45	30970,89	30209,91	YIL095W	--	--	--	29061,80	29410,74	23020,20	21706,62
YHR215W	--	--	--	41513,19	42250,22	32266,54	30895,91	YIL096C	--	--	--	41933,54	29764,67	37156,16	35378,54
YHR216W	--	--	--	54963,44	51524,44	53324,18	48536,65	YIL097W	--	--	--	21319,78	27058,40	17831,14	20998,49
YHR217C	--	--	+1.5	141678,14	121976,12	156965,07	217283,46	YIL098C	--	--	--	29787,20	27143,77	29828,53	31289,14
YHR218W	--	--	--	25838,69	32072,26	21156,83	25760,54	YIL099W	+1.5	--	--	18767,43	29053,56	16150,18	21821,87
YHR219W	--	--	--	110449,81	110549,88	106782,13	116632,93	YIL100W	+1.8	--	--	14516,16	25749,89	12304,29	16949,66
YIL001W	+1.7	--	--	16273,09	28000,54	19392,99	22608,07	YIL101C	-1.5	--	--	40152,87	26094,57	31931,28	29654,55
YIL002C	+1.6	--	--	18470,33	28833,36	17462,24	21149,18	YIL102C	--	--	--	20543,51	27116,09	17823,38	22687,68
YIL003W	--	--	--	39586,74	47785,86	38364,81	34881,35	YIL103W	+1.6	--	--	17891,39	28961,47	22930,23	20737,24
YIL004C	--	--	--	23295,53	30505,50	20982,19	20579,35	YIL104C	--	--	--	28617,34	31468,44	24562,66	24198,62
YIL005W	+1.6	--	--	16482,17	26230,64	15360,09	18815,21	YIL105C	--	--	--	20228,79	27834,71	20570,41	21252,90
YIL006W	--	--	--	29387,39	33564,95	23219,30	25643,80	YIL106W	--	--	--	41916,85	33120,13	40732,96	36880,27
YIL007C	--	--	--	34154,91	33599,43	25642,08	26805,17	YIL107C	--	--	--	26626,08	29882,28	21756,58	24246,45
YIL008W	--	--	--	27882,45	26969,42	26753,75	27657,92	YIL108W	--	--	--	19040,43	27056,04	16240,96	20739,28
YIL009W	--	--	--	24105,91	28883,46	20032,55	24054,81	YIL109C	--	--	--	71168,70	61855,39	50135,15	48569,92
YIL010W	--	--	--	27207,38	28294,75	25902,08	28081,88	YIL110W	--	--	--	25175,83	32261,16	23337,33	24795,12
YIL011W	+1.5	--	--	17385,48	26240,92	13958,93	19639,07	YIL111W	--	--	--	25812,08	36470,95	24880,15	28852,99
YIL012W	--	-1.5	--	23932,68	26709,24	15914,14	18975,20	YIL112W	--	--	--	44331,94	37285,18	45521,29	37991,40
YIL013C	+2.3	--	--	11365,78	25595,77	13974,24	16135,03	YIL113W	--	--	--	26402,85	28968,69	22851,18	25565,81
YIL014W	--	--	--	18513,64	26676,23	18540,21	18139,86	YIL114C	--	--	--	20334,09	27758,24	19928,48	22186,44
YIL015W	--	--	--	19781,42	27604,99	16877,30	20718,03	YIL115C	--	+2	--	42077,04	33171,88	84324,43	56813,58
YIL016W	--	--	--	31883,79	30661,36	30232,94	33915,82	YIL116W	--	--	--	33221,76	36286,79	31244,46	29201,43
YIL017W	+1.7	--	--	16319,83	27231,43	14151,39	21282,68	YIL117C	--	--	--	24680,38	28624,03	20340,29	23085,20
YIL018W	--	--	--	235292,96	246828,07	202404,71	199906,63	YIL118W	--	--	--	18329,02	26780,11	17261,84	18170,07
YIL019W	-1.7	-3.9	-2.7	43645,19	25173,10	11173,61	16175,15	YIL119C	--	--	--	25036,49	26493,63	21666,94	22631,63
YIL020C	--	--	--	23026,27	27707,85	20798,92	24547,47	YIL120W	--	--	--	31486,93	28368,83	28029,91	29157,68
YIL021W	--	--	--	39768,95	40617,54	42350,02	41597,38	YIL121W	--	--	--	24324,49	28500,54	24586,74	25513,30
YIL022W	--	--	--	25386,90	32969,77	21276,96	24862,10	YIL122W	--	--	--	22431,82	26706,96	24025,86	22633,53
YIL023C	--	--	--	23417,89	32469,30	20965,57	23401,99	YIL123W	--	--	--	69150,81	51389,28	68939,78	78254,30
YIL024C	--	--	--	19045,62	27046,68	21036,21	21689,97	YIL124W	--	--	--	33212,91	38020,71	33783,01	35481,23
YIL025C	--	--	--	21513,91	27699,43	24040,26	21635,77	YIL125W	--	--	--	21491,38	29798,19	17635,48	22486,96
YIL026C	--	--	--	25714,64	30837,21	28980,91	24943,59	YIL126W	+1.8	--	--	15469,67	28469,71	16155,40	20869,26
YIL027C	--	--	--	18416,36	25866,67	21605,96	18243,81	YIL127C	-1.7	--	--	50364,65	29915,03	72434,31	53727,48
YIL028W	--	--	--	24312,90	27511,62	20848,96	22005,74	YIL128W	+1.9	--	--	14226,66	26768,05	15798,18	19157,78
YIL029C	--	--	--	17937,95	25713,23	15537,30	19342,60	YIL129C	+1.8	--	--	14707,55	25787,35	15504,70	19309,59
YIL030C	-1.8	--	--	66862,48	37442,87	86153,57	83824,12	YIL130W	--	--	--	20950,25	27360,76	20733,30	22817,44
YIL031W	--	--	--	41973,36	33646,22	42952,19	33090,77	YIL131C	--	--	--	19366,94	25870,93	17435,74	20572,76
YIL032C	-2	--	--	53220,15	26265,61	64668,95	48074,06	YIL132C	--	--	--	39084,68	37992,34	30537,54	29305,92
YIL033C	--	--	--	45551,88	42204,12	40499,45	41807,16	YIL133C	--	--	--	112611,42	109201,98	94939,92	106560,23
YIL034C	--	--	--	24638,03	31365,27	21242,70	27345,79	YIL134W	--	--	--	31482,80	36291,55	27011,42	29884,90
YIL035C	--	--	--	20202,96	29740,93	17177,25	25220,95	YIL135C	--	--	--	20112,79	27529,03	19239,55	22010,84
YIL036W	--	--	--	31162,05	28885,83	40802,11	34603,11	YIL136W	--	+1.5	--	29968,03	34748,80	45239,59	43985,78
YIL037C	--	--	--	23744,61	29100,80	26781,31	25698,26	YIL137C	+1.6	--	--	16961,71	27302,52	13299,20	19638,43
YIL038C	+1.9	--	--	14733,50	27352,77	16585,93	18861,70	YIL138C	--	--	--	33843,89	32738,60	35638,47	43923,32
YIL039W	--	--	--	19363,83	27971,70	17061,28	18901,43	YIL139C	--	--	--	20137,23	27857,97	21196,06	20859,81
YIL040W	--	--	--	22129,42	29923,74	23616,71	24195,10	YIL140W	--	--	--	19661,00	28692,87	22412,42	22199,60
YIL041W	--	--	--	107674,57	96832,54	88795,03	103529,69	YIL141W	--	--	--	20286,08	28395,24	18272,65	20004,56
YIL042C	--	--	--	64055,28	59085,07	60140,69	50425,42	YIL142W	--	--	--	27179,49	38050,25	26831,25	26556,59
YIL043C	--	--	--	50454,18	68320,68	54979,70	66533,21	YIL143C	--	--	--	25890,53	28559,43	22816,45	22212,66
YIL044C	--	--	--	25192,52	27992,09	19440,29	23222,13	YIL144W	--	--	--	41372,73	36397,09	39133,04	30991,39
YIL045W	--	-2.9	-1.9	34077,03	26200,79	11570,22	17814,57	YIL145C	--	--	--	30712,30	36242,75	30933,48	33497,77
YIL046W	--	--	--	20515,96	28340,79	16897,05	23244,01	YIL146C	--	--	--	18446,42	25814,56	16334,07	19355,45
YIL047C	--	--	--	26871,61	34386,86	23864,70	28774,51	YIL147C	-1.6	--	--	64898,17	41473,03	91103,26	88280,72
YIL048W	--	--	--	18291,55	27107,72	17890,84	20520,56	YIL148W	--	--	--	125952,85	104471,75	99430,66	105882,71



ORF	Änderungsfaktor			Normalisierte Signalintensität				ORF	Änderungsfaktor			Normalisierte Signalintensität			
	wt37	mut30	mut37	wt30	wt37	mut30	mut37		wt30	wt37	mut30	mut37			
YIL174W	--	--	--	24394,17	31057,92	26914,76	23701,01	YJL053W	--	--	--	30114,54	31365,60	25609,34	25098,65
YIL175W	--	--	--	18941,71	26932,20	17649,01	19813,62	YJL054W	+1,5	--	--	17503,33	26432,40	14314,13	17079,71
YIL176C	--	--	--	20299,91	29729,36	18223,12	21448,90	YJL055W	--	--	--	33889,37	33802,43	35097,30	3859,19
YIL177C	--	+2,2	+1,8	147622,49	155493,12	324629,37	265099,74	YJL056C	--	--	--	18897,32	27481,34	14531,10	20992,98
YIR001C	--	--	--	34082,66	38588,93	31258,30	33594,55	YJL057C	--	--	--	18375,14	27097,86	16337,71	21830,03
YIR002C	+1,6	--	--	19371,00	31021,43	20100,87	21866,61	YJL058C	--	--	--	22807,44	28221,07	20174,42	23807,52
YIR003W	--	--	--	32380,67	32168,98	34125,64	37609,27	YJL059W	--	-1,5	--	57409,97	58843,57	37125,51	39235,09
YIR004W	--	--	--	58981,70	40813,59	80953,92	64228,67	YJL060W	--	--	--	27091,96	31526,59	22799,53	26450,18
YIR005W	--	--	--	24076,32	30082,39	22911,77	26265,66	YJL061W	+1,6	--	--	16313,51	26474,27	15322,25	19459,87
YIR006C	--	--	--	26545,76	30278,81	24131,60	24274,98	YJL062W	+1,6	--	--	17887,14	28031,74	18755,65	22383,79
YIR007W	+1,8	--	--	15922,36	29062,74	15964,57	18586,78	YJL063C	--	--	--	26890,94	39007,88	26700,36	27234,94
YIR008C	+1,7	--	--	16428,75	28520,35	20618,28	20858,54	YJL064W	+1,7	--	--	17788,56	30156,73	18238,14	21866,64
YIR009W	--	--	--	19905,65	28310,63	18183,96	24270,32	YJL065C	--	--	--	36408,73	43250,33	36385,98	36800,85
YIR010W	--	--	--	35691,84	29652,29	36350,30	27935,07	YJL066C	--	--	--	37723,61	41545,53	39692,81	37775,87
YIR011C	--	--	--	28015,01	29392,96	26438,63	25939,96	YJL067W	--	--	--	31162,81	40554,08	32902,52	35046,16
YIR012W	--	--	--	34534,69	39764,83	34520,91	33753,19	YJL068C	--	--	--	22248,35	30492,51	17609,80	22646,48
YIR013C	--	--	--	26707,14	27581,32	19574,45	23367,57	YJL069C	--	--	--	22852,70	30556,44	21633,01	24270,57
YIR014W	--	--	--	33279,39	27392,41	30981,83	30354,66	YJL070C	--	--	--	24883,78	32053,44	23505,69	25130,80
YIR015W	--	--	--	17846,69	26397,89	16054,13	19852,41	YJL071W	+1,6	--	--	17192,47	27380,62	15396,30	20808,80
YIR016W	--	--	--	34669,61	32971,90	36411,75	46279,34	YJL072C	--	--	--	25956,29	30598,53	22569,57	24847,48
YIR017C	--	--	--	28312,60	30441,31	26722,70	26541,27	YJL073W	--	--	--	30367,68	31300,19	26926,33	30078,89
YIR018W	--	--	--	33420,85	26398,32	28285,75	31016,01	YJL074C	--	+1,5	--	40684,74	34594,60	62067,60	49853,51
YIR019C	+2	--	--	12347,36	24342,91	14407,43	16946,55	YJL075C	--	--	--	67717,55	49923,59	71124,25	50299,92
YIR020C	--	--	--	19191,82	25745,01	19922,22	20833,91	YJL076W	--	--	--	53566,50	39425,41	62546,28	56694,17
YIR021W	+1,5	--	--	17181,24	25797,61	16395,45	18793,71	YJL077C	--	--	--	40796,28	36662,01	45900,84	38023,40
YIR022W	--	--	--	25231,03	29510,94	23500,33	26152,53	YJL078C	+1,8	--	--	15302,09	27328,16	13599,94	18203,84
YIR023W	--	--	--	17787,81	26352,65	15497,31	21181,06	YJL079C	--	--	--	34028,38	47635,72	41603,81	44959,78
YIR024C	--	--	--	41904,11	30673,94	42852,49	33581,19	YJL080C	--	+1,5	--	81371,97	86756,35	123710,64	120882,29
YIR025W	--	--	--	22402,18	26594,50	21035,78	23777,24	YJL081C	--	--	--	41592,74	38035,68	41587,15	38440,96
YIR026C	--	--	--	24037,24	30933,81	23982,37	28521,51	YJL082W	--	--	--	21391,28	26498,14	21247,25	21335,36
YIR027C	--	--	--	20639,99	28337,81	16179,15	21275,99	YJL083W	--	--	--	27987,51	28243,47	22559,11	26442,06
YIR028W	--	--	--	23264,94	28864,70	20936,16	22675,17	YJL084C	--	--	--	19079,56	27516,09	17099,70	21673,58
YIR029W	+1,5	--	--	17831,05	27309,98	17514,98	19519,45	YJL085W	--	--	--	19982,55	27744,75	22716,64	23559,90
YIR030C	+1,5	--	--	17204,89	26206,89	18364,73	19768,49	YJL086C	+1,8	--	--	15768,57	28323,67	15493,96	20202,50
YIR031C	+1,7	--	--	16497,22	27348,29	18281,19	19358,48	YJL087C	--	--	--	19182,58	27116,25	18348,47	20869,51
YIR032C	+1,9	--	--	13405,36	25668,38	13831,83	15753,74	YJL088W	+1,9	--	--	14404,24	27484,46	14193,34	18047,16
YIR033W	--	--	--	23181,71	26899,07	22038,91	21963,53	YJL089W	+1,7	--	--	15929,78	26956,66	15697,65	18969,83
YIR034C	--	--	--	49435,08	48633,61	38301,51	40915,40	YJL090C	+1,5	--	--	18160,38	28044,82	17215,63	20861,08
YIR035C	--	--	--	43779,26	61227,14	58508,50	46072,10	YJL091C	+1,6	--	--	16699,04	26332,49	15387,58	18568,39
YIR036C	--	--	--	38438,33	39287,47	39690,49	36346,88	YJL092W	+1,7	+1,7	--	58641,71	34893,47	97415,59	83257,79
YIR037W	--	--	--	19935,74	27946,66	20477,85	22640,81	YJL093C	--	--	--	19164,11	27596,57	18240,96	21641,99
YIR038C	--	--	--	35797,18	33816,23	38530,00	37297,46	YJL094C	+1,8	--	--	14662,84	26375,97	12522,22	18438,88
YIR039C	+1,7	--	--	15678,48	26233,33	11968,37	17172,86	YJL095W	-1,6	--	--	59482,55	36482,57	71342,94	66193,76
YIR040C	+1,7	--	--	16055,47	26691,18	12126,12	18290,98	YJL096W	--	--	--	32704,18	39399,41	28321,24	29660,23
YIR041W	+1,7	--	--	15631,43	26947,48	14742,70	17687,45	YJL097W	+1,5	--	--	28162,79	43276,17	30772,87	26535,45
YIR042C	--	--	--	20108,99	29073,64	22096,11	24569,43	YJL098W	--	--	--	40281,67	53034,26	54387,19	47800,60
YIR043C	--	--	--	47394,83	49909,24	50366,51	43583,66	YJL099W	--	--	--	30195,89	31057,60	32474,23	32528,66
YIR044C	--	--	--	18412,61	26731,21	17248,79	19313,15	YJL100W	--	--	--	47854,31	36145,57	47312,17	42397,10
YJL001W	+1,9	--	--	13359,03	26010,14	13333,54	16497,85	YJL101C	--	--	--	28666,48	29270,02	23260,94	26895,15
YJL002C	+1,5	--	--	19697,72	30086,59	18636,70	20020,01	YJL102W	+1,7	--	--	15606,03	26216,57	13600,53	17703,77
YJL003W	+1,8	--	--	14187,62	25568,27	12830,40	16142,44	YJL103C	--	--	--	46629,29	33244,55	35142,97	36113,85
YJL004C	--	--	--	25891,46	27436,11	23166,40	22629,58	YJL104W	--	--	--	52514,58	37138,74	47466,81	47013,68
YJL005W	--	--	--	39493,13	30398,82	30418,63	30572,16	YJL105W	-1,6	--	--	47967,56	30421,42	49232,33	41836,47
YJL006C	--	--	--	48647,61	34139,17	38706,71	35473,48	YJL106W	--	--	--	49380,86	47023,08	55276,63	56737,48
YJL007C	--	--	--	19118,15	26295,05	16501,39	20364,82	YJL107C	-2,3	--	--	61525,14	26852,18	81647,99	75642,97
YJL008C	--	--	--	40114,37	39066,03	30573,59	37987,50	YJL108C	--	--	--	41479,77	29503,29	41731,92	35182,60
YJL009W	--	--	--	46270,93	39145,61	39390,26	52088,45	YJL109C	--	--	--	58548,57	40255,94	70857,06	59477,44
YJL010C	--	--	--	30355,44	31879,23	37823,81	33092,24	YJL110C	--	--	--	31412,45	35464,93	43072,65	30325,36
YJL011C	-1,6	--	--	51575,58	32419,07	51450,83	51011,76	YJL111W	--	--	--	37725,24	45866,95	38676,89	35729,37
YJL012C	+1,9	--	--	13794,77	26256,47	10556,96	15749,09	YJL112W	--	--	--	37931,66	34786,69	56355,56	32594,71
YJL013C	--	--	--	19138,06	26491,39	23237,99	20073,32	YJL113W	--	--	--	36855,68	31642,83	31004,02	29636,93
YJL014W	--	--	--	33732,30	38935,22	33374,18	30476,03	YJL114W	--	--	--	33090,39	29031,09	27870,44	25565,38
YJL015C	+1,5	--	--	17180,71	26411,86	17309,44	17381,56	YJL115W	--	--	--	58872,93	41239,07	66667,68	60146,21
YJL016W	+1,5	--	--	18161,36	27294,08	17835,38	19184,04	YJL116C	--	--	--	31881,99	31263,08	26430,48	26381,35
YJL017W	--	--	--	43550,28	33793,69	32799,38	32874,01	YJL117W	--	--	--	41253,35	40886,98	34987,73	33799,30
YJL018W	--	--	--	19368,68	26727,28	17696,19	21986,35	YJL118W	--	--	--	22858,55	27695,69	18083,33	22948,53
YJL019W	--	--	--	33095,66	37776,89	27784,33	29713,38	YJL119C	-2,1	--	--	58952,52	28125,06	79931,32	76301,46
YJL020C	+1,7	--	--	15010,63	26181,75	14949,06	18064,20	YJL120W	--	--	--	33985,98	28342,14	40087,87	35019,34
YJL021C	--	--	--	29037,78	29559,47	26609,16	27855,07	YJL121C	--	+1,6	--	72453,92	61611,65	112671,10	94748,58
YJL022W	+1,6	--	--	16235,49	26266,71	15150,10	17921,16	YJL122W	--	--	--	76551,78	75106,14	113491,81	83286,26
YJL023C	--	--	--	26269,35	27601,48	23699,55	26099,42	YJL123C	-1,5	+1,5	--	62253,67	40984,35	95135,20	72835,87
YJL024C	--	--	--	22396,81	33242,29	21470,71	24974,51	YJL124C	--	--	--	43649,28	48022,22	56378,32	48634,30
YJL025W	--	--	--	22716,08	28453,12	24797,92	23154,50	YJL125C	--	--	--	29136,89	28749,88	29480,21	24700,19
YJL026W	--	--	--	27236,76	33693,35	31778,06									

ORF	Änderungsfaktor			Normalisierte Signalintensität				ORF	Änderungsfaktor			Normalisierte Signalintensität				
	wt37	mut30	mut37	wt30	wt37	mut30	mut37		wt37	mut30	mut37	wt30	wt37	mut30	mut37	
YJL152W	+1.9	--	--	32130,51	59553,45	39568,05	37843,78	YJR026W	--	--	--	298284,21	235304,16	251993,04	225880,65	
YJL153C	--	--	--	37466,25	29130,09	35285,79	34771,78	YJR027W	--	--	+2	1089447,30	1131277,47	1208161,03	2169591,33	
YJL154C	--	--	--	20603,53	27353,66	18423,01	23236,75	YJR028W	--	--	--	139347,40	193975,21	145165,63	114399,85	
YJL155C	--	--	--	29647,56	33234,62	23852,32	25519,26	YJR029W	--	--	+1.7	+1.7	1021266,88	1522918,14	1765702,65	1728632,49
YJL156C	--	--	--	32878,74	29518,64	33388,90	35223,83	YJR030C	--	--	--	26141,59	33125,46	24512,34	27126,11	
YJL157C	--	--	--	266158,04	199119,21	290205,23	216425,75	YJR031C	--	--	--	35120,56	32673,98	40146,72	34010,02	
YJL158C	--	--	--	173430,25	256200,34	215387,23	148624,90	YJR032W	--	--	--	33159,95	30132,15	27463,54	25991,77	
YJL159W	+1.6	--	--	122965,03	195100,40	150998,14	107363,00	YJR033C	--	--	--	25525,66	28046,70	26198,66	27696,40	
YJL160C	--	+1.5	--	158034,27	213497,48	241705,16	203023,37	YJR034W	--	--	--	29467,18	30596,35	23735,69	26351,45	
YJL161W	--	--	--	20237,23	30154,98	18354,80	21751,04	YJR035W	--	--	--	32771,61	42212,80	28638,60	31972,17	
YJL162C	-2.1	--	--	70817,83	33461,95	73176,19	54480,71	YJR036C	--	--	--	36948,41	43191,60	32648,00	31009,78	
YJL163C	--	--	--	28089,88	29218,50	23805,00	24159,48	YJR037W	--	--	--	36699,48	39803,37	26122,69	30554,19	
YJL164C	--	--	--	33564,24	30663,72	30239,10	31596,72	YJR038C	--	--	--	95645,48	68668,81	78304,85	64677,90	
YJL165C	--	--	--	30198,44	32530,83	21833,44	25502,38	YJR039W	-1.7	--	--	125348,28	75139,05	94465,31	86851,38	
YJL166W	--	--	--	43643,44	54847,34	44091,25	44899,29	YJR040W	--	--	--	61401,97	49014,14	68757,57	45740,37	
YJL167W	--	--	--	76675,11	82065,86	81273,68	85764,90	YJR041C	--	--	--	33026,45	35379,93	38110,54	28896,20	
YJL168C	--	--	--	59789,75	43287,61	62337,30	54551,96	YJR042W	--	--	--	37869,95	44402,58	40156,14	37205,52	
YJL169W	--	--	--	68725,03	49681,75	61123,44	59373,97	YJR043C	--	--	--	42335,06	43787,88	39955,73	40116,53	
YJL170C	--	--	--	24569,17	29707,62	23033,49	24222,16	YJR044C	--	--	--	42480,09	43555,17	43408,22	38436,44	
YJL171C	--	--	--	22398,63	31693,61	23846,65	22789,36	YJR045C	--	--	--	68610,59	61818,64	54437,86	48914,69	
YJL172W	--	--	--	37857,85	47113,69	41763,62	36926,59	YJR046W	--	--	--	27212,02	32922,84	24973,83	23880,36	
YJL173C	--	--	--	55984,10	64188,51	75260,84	58479,53	YJR047C	-1.6	--	--	127494,18	78087,60	108678,75	105480,63	
YJL174W	--	--	--	40463,56	52520,52	37146,92	37115,25	YJR048W	--	--	--	68272,29	57286,10	54191,50	60353,19	
YJL175W	+1.7	--	--	25751,10	42676,93	18014,30	23846,68	YJR049C	+1.5	--	--	44855,97	68557,31	56040,65	55499,48	
YJL176C	--	--	--	64740,33	50259,81	62194,67	46113,72	YJR050W	--	--	--	38835,48	34392,66	44392,16	37998,47	
YJL177W	--	--	--	184325,32	170934,73	143624,46	130452,83	YJR051W	--	--	--	97339,88	76375,52	79214,40	75158,28	
YJL178C	--	--	--	26298,52	32530,30	21662,95	27886,93	YJR052W	--	+1.6	--	96466,86	81407,20	153097,34	115732,37	
YJL179W	--	--	--	25509,35	31805,17	21183,40	26879,61	YJR053W	--	--	--	31147,77	27681,29	32639,06	25739,48	
YJL180C	--	--	--	44457,84	41591,54	47721,95	43310,54	YJR054W	--	--	--	30268,35	38261,03	33988,85	30922,69	
YJL181W	--	--	--	100541,80	71331,10	103038,12	74315,41	YJR055W	+1.6	--	--	17758,96	28232,00	17594,53	19997,61	
YJL182C	--	--	--	41398,27	29625,72	54395,75	38491,27	YJR056C	--	--	--	30911,46	31535,97	31035,36	27910,78	
YJL183W	--	--	--	36821,96	36846,55	40693,85	30328,01	YJR057W	--	--	--	53882,82	62434,89	40647,08	38506,37	
YJL184W	+1.5	--	--	23657,11	35571,32	26408,05	27644,20	YJR058C	--	--	--	52498,37	64480,78	40076,66	44141,13	
YJL185C	+1.8	--	--	15085,59	27637,57	15401,30	19540,07	YJR059W	--	--	--	35912,44	36702,51	30130,94	32013,89	
YJL186W	+1.7	--	--	16497,23	28085,40	16007,81	20186,08	YJR060W	--	--	--	31633,90	34735,54	31904,61	28717,73	
YJL187C	--	--	--	19671,61	28599,02	18075,70	21939,07	YJR061W	--	--	--	22802,05	31779,57	20722,06	24899,31	
YJL188C	--	--	--	72842,81	79512,90	64989,29	67157,56	YJR062C	+1.5	--	--	20180,98	30294,93	18296,31	21458,94	
YJL189W	--	--	--	61351,95	56795,28	52394,38	65597,85	YJR063W	--	--	--	41546,56	44208,13	32805,59	36776,99	
YJL190C	+1.8	--	--	87065,35	155335,78	107207,26	122611,16	YJR064W	--	+1.5	--	42399,70	53517,81	64541,88	48372,65	
YJL191W	+1.6	--	--	20005,53	31729,71	19367,59	23650,62	YJR065C	--	--	--	22837,59	31512,50	22811,97	25502,27	
YJL192C	--	--	--	28561,53	34183,52	23713,11	29300,40	YJR066W	+1.7	--	--	14631,38	25086,98	13219,58	17800,93	
YJL193W	--	--	--	26993,58	33332,99	18407,05	22774,01	YJR067C	--	--	--	24514,15	29236,58	21239,35	21866,65	
YJL194W	--	--	--	23967,31	30150,94	27981,87	27852,75	YJR068W	--	--	--	40396,78	36772,81	43130,69	38442,63	
YJL195C	--	--	--	28922,43	33139,50	36135,75	35065,49	YJR069C	--	--	--	22402,21	28534,50	19338,32	23631,64	
YJL196C	--	--	--	40488,14	34526,57	35526,33	39090,12	YJR070C	--	--	--	42237,76	49912,04	45399,07	52852,60	
YJL197W	--	--	--	31218,41	28567,19	32327,80	27334,64	YJR071W	--	--	--	46051,67	33823,39	55611,94	46291,03	
YJL198W	--	--	--	28935,97	27995,20	20366,01	24167,82	YJR072C	--	--	--	40867,91	37434,34	38595,24	43392,71	
YJL199C	--	--	--	48090,41	40148,83	51042,11	51265,27	YJR073C	--	--	--	21080,08	27438,76	18566,16	20351,47	
YJL200C	--	--	--	25406,26	26698,47	24687,81	24200,15	YJR074W	--	--	--	21064,34	27612,06	16911,16	19786,45	
YJL201W	--	--	--	25087,97	27386,47	20086,71	25400,08	YJR075W	--	--	--	19652,19	27662,83	19111,72	20356,35	
YJL202C	-1.7	--	--	43274,84	26066,05	40366,98	32497,01	YJR076C	--	--	--	58128,96	56563,41	75132,50	52648,18	
YJL203W	--	--	--	25470,43	25624,21	22746,22	23390,69	YJR077C	--	--	--	35909,57	39581,90	39160,98	38756,98	
YJL204C	--	--	--	18268,51	25527,09	13496,50	19768,10	YJR078W	--	--	--	21064,78	26374,83	22055,02	22000,90	
YJL206C	-1.5	--	--	46403,89	30044,52	65656,18	55992,87	YJR079W	--	--	--	24679,15	26912,45	23482,40	23372,10	
YJL206C	--	+1.7	--	43443,80	49583,84	74803,84	44959,64	YJR080C	--	--	--	25266,37	30998,28	22703,36	22982,54	
YJL207C	--	--	--	48451,87	37000,84	62212,02	34745,59	YJR082C	--	--	--	35254,92	29636,05	37754,88	39189,91	
YJL208C	--	--	--	22356,83	29892,12	22556,96	24083,92	YJR083C	--	--	--	41021,75	35328,61	36235,17	29754,63	
YJL209W	--	--	--	19044,62	26494,31	16205,57	19613,85	YJR084W	--	--	--	33987,45	40348,70	37417,75	32437,07	
YJL210W	+1.7	--	--	15551,25	26770,63	12486,79	18154,58	YJR085C	+1.6	--	--	21633,70	33622,88	20743,07	25412,86	
YJL211C	--	--	--	40400,87	38228,22	40679,72	36175,65	YJR086W	--	--	--	24578,13	29290,41	29979,19	30441,68	
YJL212C	--	--	--	28492,00	34385,30	23266,37	26237,47	YJR087W	-1.6	+1.6	--	44322,75	28350,82	68848,04	52407,56	
YJL213W	--	--	--	61887,18	49436,13	54203,81	59767,87	YJR088C	+1.6	--	--	17016,03	27923,17	16865,40	21199,42	
YJL214W	+1.5	--	--	18111,52	27517,07	17536,70	19389,39	YJR089W	--	+1.8	--	158683,27	190673,11	285088,34	215592,99	
YJL215C	--	--	--	30173,31	26982,27	39765,70	33627,39	YJR090C	--	--	--	17893,27	26237,46	18882,52	21174,05	
YJL216C	--	--	--	22781,60	28482,62	20041,22	21135,94	YJR091C	--	--	--	21953,63	28517,71	22014,82	22313,51	
YJL217W	--	+1.6	--	62648,72	59615,46	99468,53	83268,59	YJR092W	-1.6	--	--	61792,53	38438,48	77982,46	58667,50	
YJL218W	--	--	--	57335,73	52623,23	84386,33	54400,63	YJR093C	--	--	--	34124,32	40673,71	30068,48	32277,76	
YJL219W	--	--	--	24132,18	29405,81	28757,78	24509,09	YJR094C	+1.7	--	--	15431,15	26017,57	13040,91	18889,66	
YJL220W	--	--	--	23341,57	30826,04	21915,34	26661,77	YJR095W	+1.7	--	--	16117,23	27052,37	14554,91	18321,98	
YJL221C	--	--	--	25824,03	28314,05	25966,92	20449,33	YJR096W	+1.6	--	--	15957,86	26280,13	15957,97	19409,28	
YJL222W	-1.9	--	--	57663,11	30792,55	66597,45	51010,43	YJR097W	+1.7	--	--	14583,20	25320,28	13234,52	17656,22	
YJL223C	--	--	--	70977,77	59109,04	84220,46	70421,41	YJR098C	--	--	--	28697,33	35233,09	22782,86	30020,63	
YJL225C	--	--	--	164402,92	144791,14	221695,85	237692,36	YJR099W	+2	--	--	13191,88	26343,14	11760,02	17656,95	
YJR001W	--	--	--	54310,4												

ORF	Änderungsfaktor			Normalisierte Signalintensität				ORF	Änderungsfaktor			Normalisierte Signalintensität			
	wt37	mut30	mut37	wt30	wt37	mut30	mut37		wt30	wt37	mut30	mut37			
YJR126C	--	--	--	72723,06	85919,20	63222,62	53387,14	YKL062W	--	--	--	19056,03	27633,55	15894,47	19566,87
YJR127C	--	--	--	27228,96	31180,80	30068,50	30426,08	YKL063C	--	--	--	44109,50	35999,45	48431,14	38906,22
YJR128W	+1,7	--	--	54851,96	32824,04	63440,03	43405,62	YKL064W	+1,5	--	--	18004,42	27678,36	14274,01	19535,87
YJR129C	--	--	--	20554,65	29130,34	16662,82	19702,53	YKL065C	--	--	--	35401,50	39851,71	28604,79	28598,89
YJR130C	+1,6	--	--	17369,43	27898,82	14784,64	18254,28	YKL066W	+1,7	--	--	16655,59	27512,29	15344,15	18988,59
YJR131W	+1,5	--	--	18528,01	28307,32	14899,27	20705,25	YKL067W	--	--	--	33200,78	37140,08	27033,79	29232,41
YJR132W	+1,6	--	--	17616,80	28079,78	15665,38	20145,13	YKL068W	+1,7	--	--	15487,66	26380,51	13485,81	19300,40
YJR133W	+1,6	--	--	19822,62	30859,16	20056,21	23335,57	YKL069W	+1,5	--	--	18635,40	28771,33	16751,21	21774,20
YJR134C	--	--	--	19207,55	27090,77	16091,79	21736,95	YKL070W	+1,6	--	--	17158,57	28291,12	15869,09	20265,00
YJR135C	--	--	--	18658,93	27464,55	16644,55	21403,41	YKL071W	+1,8	--	--	15151,17	26948,22	13492,53	17508,64
YJR136C	+1,5	+1,7	--	59108,55	38787,28	46663,19	35108,22	YKL072W	+1,8	--	--	15119,61	27341,51	16017,15	18354,77
YJR137C	+1,8	--	--	14519,28	26752,82	14360,42	20028,17	YKL073W	--	--	--	25186,48	35120,50	20749,36	24329,97
YJR138W	+1,6	--	--	17020,69	27574,15	15871,41	19557,34	YKL074C	+1,9	--	--	14813,80	27677,23	14057,81	17482,35
YJR139C	--	--	--	34570,52	48849,36	34284,74	35049,02	YKL075C	--	--	--	18850,06	27554,45	16159,40	19485,10
YJR140C	--	--	--	21657,73	29664,71	22670,89	24807,83	YKL076C	--	--	--	20895,07	28962,18	18895,99	22867,71
YJR141W	--	--	--	21863,24	29709,67	19432,23	20982,33	YKL077W	+1,6	--	--	18546,98	29546,95	16204,21	21539,80
YJR142W	+1,6	--	--	17398,76	27385,41	14696,08	18556,46	YKL078W	+1,6	--	--	16940,91	27506,38	14383,24	19586,84
YJR143C	--	--	--	27255,94	33176,60	22126,11	28128,80	YKL079W	--	--	--	30468,74	33425,64	26050,99	29195,19
YJR144W	--	--	--	58741,46	51987,87	47181,32	50296,51	YKL080W	--	--	--	21607,00	30091,01	16981,53	24342,93
YJR145C	+2,4	+1,5	--	147168,49	62467,24	108800,92	96030,86	YKL081W	--	--	--	60298,22	47837,12	42156,87	45959,16
YJR146W	+1,7	--	--	16367,34	27449,37	15175,37	21320,23	YKL082C	--	--	--	20727,92	27544,07	24110,14	24146,97
YJR147W	--	--	--	20551,14	27402,70	17058,70	23413,31	YKL083W	+1,7	--	--	16378,81	28107,74	16320,34	21632,06
YJR148W	--	--	--	28710,52	34304,71	33183,34	31310,11	YKL084W	+1,6	--	--	17546,96	27761,70	17209,56	19888,32
YJR149W	+1,7	--	--	16410,79	27292,71	16042,57	19339,74	YKL085W	--	+1,5	--	79438,17	53962,38	52253,35	53679,83
YJR150C	--	--	--	31713,24	34378,85	25848,85	26759,18	YKL086W	+1,6	--	--	16602,63	27095,24	15122,12	18198,82
YJR151C	--	--	--	28981,22	28390,31	29166,41	28247,71	YKL087C	--	--	--	30970,64	34572,18	26793,42	27578,67
YJR152W	+1,6	--	--	16911,55	27527,48	15196,14	18755,64	YKL088W	--	--	--	20175,40	26613,78	18652,64	21238,63
YJR153W	+1,5	--	--	17527,19	26580,07	15287,92	20110,34	YKL089W	--	--	--	24356,06	27281,72	26532,63	25837,90
YJR154W	--	--	--	24060,89	28148,69	21753,30	24030,91	YKL090W	+1,6	--	--	16895,50	27812,68	15997,79	20175,77
YJR155W	--	--	--	25790,28	28877,01	23658,54	25606,28	YKL091C	--	--	--	18955,33	27391,27	17230,43	20828,02
YJR156C	+1,6	--	--	19097,25	29637,28	16434,80	22733,66	YKL092C	--	--	--	18258,13	27280,42	14441,72	19062,27
YJR157W	+1,7	--	--	15602,34	26330,62	15648,97	18325,03	YKL093W	+1,7	--	--	16839,94	28731,00	14566,27	19040,66
YJR158W	--	--	--	22349,62	27991,90	15298,71	20895,06	YKL094W	--	--	--	170025,28	166511,27	136846,10	179823,98
YJR159W	+1,6	--	--	18547,79	29997,05	18138,66	22210,67	YKL095W	--	+1,6	--	36322,43	28692,52	59551,51	39219,45
YJR160C	--	--	--	19959,26	27000,48	18823,66	23813,18	YKL096W	+1,6	--	--	19271,65	31020,06	16047,98	21460,30
YJR161C	+1,7	--	--	15594,11	26726,43	15337,68	19994,29	YKL097C	--	--	--	18114,97	26666,67	15069,57	20106,67
YJR162C	--	--	--	27173,14	27012,61	29984,87	27761,34	YKL098W	-5	-9,9	-7,8	130934,45	26002,82	13189,22	16856,01
YKL001C	+1,7	--	--	15348,96	26332,61	15490,73	18367,12	YKL099W	+1,8	--	--	15113,91	26869,56	13726,22	17392,20
YKL002W	--	--	--	39136,22	38119,29	43038,73	35442,93	YKL099C	--	--	--	35157,41	39117,94	30274,47	32737,29
YKL003C	--	--	--	20317,06	29679,30	21216,06	22545,32	YKL100C	--	--	--	17956,21	26423,09	13920,72	18950,15
YKL004W	+1,5	--	--	17299,34	26556,70	15446,61	18592,63	YKL101W	+2,3	--	--	59726,69	25865,57	79947,22	65927,10
YKL005C	--	--	--	24750,11	26567,73	21009,69	21472,02	YKL102C	+1,6	--	--	15989,93	25737,54	12892,87	19102,77
YKL006B	--	--	--	29716,94	35253,75	25373,32	29462,70	YKL103C	--	--	--	44841,92	33868,32	44577,59	41767,14
YKL006W	--	--	--	64063,80	48893,85	48917,52	44698,71	YKL104C	+1,7	--	--	14725,62	25686,75	11152,02	16665,87
YKL007W	--	--	--	71553,50	62201,77	63800,21	51391,04	YKL105C	+1,9	--	--	13253,20	25095,27	9659,41	15682,75
YKL008C	--	--	--	21236,80	25733,62	20030,59	21116,95	YKL106W	--	--	--	32091,93	28732,09	42354,73	32684,28
YKL009W	--	--	--	24073,50	30192,09	21596,12	25611,49	YKL107W	--	--	--	21798,72	27090,98	27917,68	25974,80
YKL010C	--	--	--	51690,94	34766,01	72425,20	75407,70	YKL108W	+1,8	--	--	14021,77	25273,43	13601,84	18024,33
YKL011C	--	--	--	35639,03	30185,44	41259,84	34937,33	YKL109W	+1,9	--	--	13533,10	25269,31	13341,02	16239,74
YKL012W	--	--	--	22457,97	26497,08	31081,27	24120,04	YKL110C	--	--	--	37130,59	32841,02	35619,36	31883,53
YKL013C	--	+1,9	+1,6	41954,48	48583,20	80789,17	67591,41	YKL111C	+1,6	--	--	16808,04	27387,02	15446,12	22020,33
YKL014C	--	--	--	38163,12	31438,97	33796,33	29451,15	YKL112W	+1,6	--	--	17427,54	27312,16	15028,67	19218,89
YKL015W	--	--	--	17602,11	26167,18	15981,87	19680,52	YKL113C	--	--	--	20958,19	27865,42	20058,46	21448,78
YKL016C	--	--	--	34276,45	40559,18	36470,11	35291,83	YKL114C	--	--	--	36866,45	36241,01	34069,37	36000,34
YKL017C	--	--	--	22111,27	28340,66	21072,92	22346,48	YKL115C	+1,7	--	--	46335,12	27183,95	64765,71	46371,73
YKL018W	--	--	--	22290,22	28797,54	19663,87	21695,65	YKL116C	+1,8	--	--	14680,80	26827,42	10594,77	17852,38
YKL019W	+1,5	--	--	18915,55	29032,55	16076,19	20770,78	YKL117W	--	--	--	110615,88	99893,56	116110,19	100777,61
YKL020C	+1,8	--	--	13914,55	25473,64	10955,06	16163,24	YKL118W	--	+1,7	--	33381,90	30378,30	55998,07	47965,62
YKL021C	--	--	--	42660,77	32111,21	59807,82	42500,70	YKL119C	+1,7	--	--	15108,03	25778,79	18088,19	18515,60
YKL022C	--	--	--	19616,32	27052,79	18404,94	21001,50	YKL120W	+1,5	--	--	30493,59	46585,01	32034,42	30805,41
YKL023W	--	+2,3	+1,9	55222,35	57941,18	126847,10	104984,31	YKL121W	+1,5	--	--	18631,05	28131,82	17456,93	19529,34
YKL024C	--	+1,8	--	97056,03	114977,01	172501,19	85948,16	YKL122C	--	--	--	49263,83	34471,28	66035,66	51760,04
YKL025C	+1,8	--	--	14309,01	25965,36	16064,50	18477,09	YKL123W	--	--	--	41372,54	33498,40	35378,32	30655,88
YKL026C	--	--	--	32097,54	32802,90	34740,59	28909,87	YKL124W	+1,8	--	--	14447,48	25830,26	13078,23	17133,14
YKL027W	+1,7	--	--	14759,91	25725,42	14739,68	17582,80	YKL125W	--	--	--	19862,92	28492,40	17952,56	19858,28
YKL028W	--	--	--	27326,89	28864,93	28049,19	28670,64	YKL126W	+1,7	--	--	15611,65	25856,60	13378,29	17440,66
YKL029C	+1,7	--	--	15315,65	25520,16	12612,92	17820,28	YKL127W	+2	--	--	13109,49	26499,14	9896,18	16931,07
YKL030W	+1,6	--	--	19193,15	29925,67	19862,07	21160,21	YKL128C	+1,7	--	--	16890,48	29053,05	16886,20	19581,29
YKL031W	--	--	--	34385,54	25764,37	38555,65	31846,30	YKL129C	+2,2	--	--	11653,19	25939,14	9311,90	15351,42
YKL032C	--	--	--	27856,64	29405,54	28318,05	32673,10	YKL130C	--	+1,5	--	38210,54	34301,36	57986,72	44053,95
YKL033W	+1,8	--	--	14367,06	25708,64	10806,09	16489,06	YKL131W	+2,1	--	--	12468,44	25922,15	12102,24	16985,11
YKL034W	+1,8	--	--	15994,06	29082,78	17379,27	22059,01	YKL132C	--	--	--	26279,99	34892,35	28915,00	25714,12
YKL035W	--	--	--	24453,52	33620,60	25841,81	24660,45	YKL133C	--	+1,6	--	43288,01	38378,32	30547,48	26289,67
YKL036C	--	--	--	21350,38	26833,97	25408,61	24079								

ORF	Änderungsfaktor			Normalisierte Signalintensität				ORF	Änderungsfaktor			Normalisierte Signalintensität			
	wt37	mut30	mut37	wt30	wt37	mut30	mut37		wt37	mut30	mut37	wt30	wt37	mut30	mut37
YKL160W	--	--	--	42923,94	37453,71	39782,35	41200,30	YKR034W	--	--	--	23434,50	27676,96	19847,47	22088,35
YKL161C	+1,8	--	--	14533,04	26072,06	12285,00	18624,04	YKR035C	--	--	--	28838,85	31385,66	26270,56	30298,28
YKL162C	+1,6	--	--	16157,34	26390,89	13316,21	20737,64	YKR036C	--	--	--	42017,19	31335,04	51508,75	46958,86
YKL163W	--	--	--	30532,53	34003,11	20934,97	23246,73	YKR037C	+1,7	--	--	16649,45	28777,21	16203,83	22253,54
YKL164C	--	--	--	34932,48	44400,15	33806,72	36821,84	YKR038C	--	--	--	21474,66	32190,28	22277,43	23578,27
YKL165C	--	--	--	32117,47	31505,95	33590,56	32909,40	YKR039W	--	-1,6	--	31002,36	33195,96	19610,81	25249,75
YKL166C	+1,5	--	--	17604,21	27243,32	14164,64	20196,39	YKR040C	-2	--	--	86668,32	42670,66	116553,86	97533,52
YKL167C	+1,8	--	--	15540,40	27365,40	13736,56	20441,96	YKR041W	--	--	--	42687,09	30920,53	40807,61	30949,05
YKL168C	+1,7	--	--	17011,01	28160,13	15835,70	18978,15	YKR042W	-1,5	--	--	72456,81	48160,28	97012,04	79991,76
YKL169C	--	--	--	24933,78	32897,22	21769,55	24138,36	YKR043C	+1,6	--	--	16655,71	26994,02	15006,80	19124,42
YKL170W	--	--	--	27321,53	33949,27	19808,99	23001,57	YKR044W	+1,8	--	--	14672,25	26206,47	13785,54	18196,50
YKL171W	--	--	--	24712,28	27837,69	20759,53	21958,18	YKR045C	--	--	--	30166,03	31411,31	28747,05	30991,83
YKL172W	+1,6	--	--	17339,51	27320,02	11806,73	18021,74	YKR046C	--	--	+1,6	69603,38	101691,18	100217,48	110919,09
YKL173W	+1,9	--	--	16939,72	27435,29	13414,93	19301,93	YKR047W	--	--	--	39020,50	48941,39	43204,08	46271,15
YKL174C	+1,9	--	--	14894,46	27771,61	11488,70	18203,09	YKR048C	--	--	--	61656,80	59320,93	75983,04	67937,81
YKL175W	+1,6	--	--	17574,67	27450,68	15031,30	21032,41	YKR049C	+1,9	--	--	16702,81	31180,35	17985,25	21312,11
YKL176C	+1,8	--	--	16370,11	29513,78	13908,46	19469,75	YKR050W	+1,6	--	--	17460,07	28455,18	17114,50	22538,12
YKL177W	+1,6	--	--	17683,77	27667,71	13570,42	19363,08	YKR051W	+1,7	--	--	16892,43	28096,43	15890,55	19499,17
YKL178C	+1,7	--	--	15701,75	26130,78	13715,02	19041,09	YKR052C	--	--	--	23399,34	32827,10	23233,25	24655,76
YKL179C	+1,9	--	--	14186,29	26662,85	14949,81	20421,83	YKR053C	+1,7	--	--	16865,46	28117,15	16277,13	18898,14
YKL180W	--	--	--	66605,90	65938,99	66264,95	47814,98	YKR054C	+1,9	--	--	14876,22	27820,45	13992,48	18702,36
YKL181W	+1,6	--	--	20498,12	32552,50	21239,39	21178,08	YKR055W	+1,6	--	--	18019,09	29684,69	16604,58	21472,17
YKL182W	--	--	--	29247,88	35343,62	28229,30	28129,14	YKR056W	--	--	--	27954,04	28369,22	26187,11	29636,52
YKL183W	--	--	--	26789,22	33389,77	28752,25	26237,13	YKR057W	--	--	--	57339,71	74289,27	51717,18	56072,19
YKL184W	+2,1	--	--	13638,76	28140,13	12881,98	16905,15	YKR058W	--	--	--	23433,16	30098,99	18958,15	24023,30
YKL185W	--	--	--	26277,41	28792,74	23659,54	27114,72	YKR059W	--	--	--	95799,00	111514,64	89492,90	75557,23
YKL186C	+1,7	--	--	33931,33	57239,90	36830,80	47965,91	YKR060W	--	--	--	32107,17	38482,60	33270,09	31600,27
YKL187C	--	--	--	48898,51	59771,56	48326,05	40598,94	YKR061W	--	--	--	3229,52	34783,65	43977,24	32374,70
YKL188C	+1,5	--	--	18648,52	28105,11	16928,32	22125,31	YKR062W	+1,5	--	--	18335,49	28199,26	19128,64	22370,87
YKL189W	+2	--	--	13685,58	27055,13	12153,06	18136,85	YKR063C	--	--	--	25816,14	28503,66	24588,55	23594,25
YKL190W	--	--	--	43462,45	42728,99	46879,44	43693,71	YKR064W	--	--	--	18637,68	27418,28	16398,14	18240,05
YKL191W	+1,6	--	--	20354,40	32543,15	22157,29	24237,15	YKR065C	--	--	--	39654,26	38445,46	33444,37	30948,96
YKL192C	--	--	--	45596,04	45033,83	34413,90	49081,65	YKR066C	--	--	--	32022,78	35348,55	31144,78	30212,79
YKL193C	--	--	--	34450,17	36515,13	26743,83	25608,27	YKR067W	--	--	--	23882,22	28196,47	24139,72	25088,47
YKL194C	--	--	--	20972,25	27687,47	18417,79	20368,13	YKR068C	--	--	--	33011,06	31240,12	34788,27	31871,71
YKL195W	--	--	--	20300,09	28367,22	16936,59	20409,28	YKR069W	--	--	--	28774,54	28302,25	31752,24	33327,39
YKL196C	+1,5	--	--	17422,70	26184,55	15376,61	18238,43	YKR070W	--	--	--	52651,45	38274,50	59409,88	52569,03
YKL197C	+1,6	--	--	44506,12	27323,61	45717,42	43640,08	YKR071C	--	--	--	33414,71	33505,95	37512,97	38509,13
YKL198C	--	--	--	29006,36	33299,01	25590,69	25962,48	YKR072C	--	--	--	25996,95	33187,90	27584,97	28024,50
YKL199C	--	--	--	23883,50	26481,24	19904,79	24663,01	YKR073C	--	--	--	40965,21	32505,66	57554,71	46253,85
YKL200C	--	--	--	24870,72	27287,15	19398,96	22180,78	YKR074W	--	--	--	19130,52	27269,09	21545,39	22766,29
YKL201C	--	--	--	20927,29	29567,05	20673,84	21048,02	YKR075C	--	--	--	30241,88	29717,41	31391,70	26306,30
YKL202W	+1,7	+1,7	--	56609,04	32671,10	96861,44	72757,62	YKR076W	--	--	--	24410,89	28496,30	24826,36	25070,11
YKL203C	--	--	--	17902,52	26843,70	19003,90	19310,85	YKR077W	-1,5	--	--	58033,98	38594,34	66899,90	55250,30
YKL204W	+1,7	--	--	14731,50	25404,86	15187,84	16721,36	YKR078W	--	--	--	23183,54	29896,79	22686,19	23565,55
YKL205W	+1,8	--	--	14288,94	25445,67	13424,59	17357,59	YKR079C	--	--	--	28812,53	31053,42	27161,35	26141,18
YKL206C	--	--	--	25613,36	32569,18	22288,21	24158,37	YKR080W	--	--	--	24401,19	31082,38	23287,94	24444,34
YKL207W	--	--	--	28114,68	34688,12	26579,80	31154,40	YKR081C	--	--	--	39437,59	35457,50	43518,05	41337,20
YKL208W	--	--	--	25358,23	28849,91	22381,41	23524,20	YKR082W	--	--	--	39169,97	28700,21	44612,81	37954,57
YKL209C	--	+1,8	+1,6	87745,55	61007,14	160730,22	142742,40	YKR083C	--	--	--	20514,26	26896,36	20534,13	22006,04
YKL210W	--	--	--	18308,30	25692,02	17717,68	19807,20	YKR084C	--	--	--	21763,54	28736,20	20849,58	22763,73
YKL211C	--	--	--	23641,43	27418,87	24019,47	23073,86	YKR085C	--	--	--	48832,28	36565,61	65308,69	52733,73
YKL212W	--	--	--	22700,13	33143,22	20430,99	20156,16	YKR086W	--	--	--	24162,01	25576,55	33825,78	28222,77
YKL213C	--	--	--	26815,61	32624,82	21357,85	25630,65	YKR087C	--	--	--	27154,43	34348,69	29427,13	27706,74
YKL214C	+1,7	--	--	15923,17	27207,19	16275,11	20125,77	YKR088C	--	--	--	19589,06	29297,28	19224,23	20975,44
YKL215C	--	--	--	27831,78	27179,98	29812,31	26833,51	YKR089C	--	--	--	19461,62	26299,17	21059,19	21811,62
YKL216W	--	--	--	28686,80	39607,02	29044,63	27741,62	YKR090W	+1,5	--	--	17496,52	26298,52	14620,31	19724,14
YKL217W	+1,6	--	--	16233,84	25553,05	15484,30	19131,24	YKR091W	--	--	--	23172,49	31065,24	23893,71	24739,82
YKL218C	--	--	--	22550,93	28569,40	19896,52	21610,55	YKR092C	--	--	--	39695,76	36237,61	49351,21	44270,38
YKL219W	+1,5	--	--	17567,60	26432,51	16179,49	20200,02	YKR093W	--	--	--	20205,06	26300,70	17614,33	21431,30
YKL220C	+1,8	--	--	15268,67	27521,17	13292,51	17391,01	YKR094C	--	--	--	139421,88	102941,78	142553,80	97815,74
YKL221W	--	--	--	18059,17	26411,23	18567,97	19659,88	YKR095W	-1,7	+1,7	+1,8	75435,77	45459,16	131449,69	139137,10
YKL222C	+1,5	--	--	17174,06	26178,39	16911,62	18907,07	YKR096W	--	--	--	51403,46	36312,78	76340,18	63314,39
YKL223W	--	--	--	27117,38	30339,05	27432,62	24708,02	YKR097W	--	+1,7	--	51851,50	38342,69	88004,03	55532,14
YKL224C	--	--	--	32651,70	30997,87	32939,15	32404,62	YKR098C	-1,5	--	--	46718,61	30192,31	67088,34	50125,73
YKL225W	--	--	--	32474,47	33748,49	44243,40	38521,26	YKR099W	--	--	--	28886,53	33549,31	33144,43	26386,79
YKR001C	--	+2,1	--	43336,41	42453,43	89593,23	61509,14	YKR100C	--	--	--	31617,86	32243,30	28843,23	27213,96
YKR002W	--	--	--	19003,69	26812,63	20245,61	23132,71	YKR101W	--	--	--	18883,14	25395,76	17767,52	18187,79
YKR003W	--	-1,5	--	76654,06	69137,48	49717,53	51916,38	YKR102W	--	--	--	28223,93	26131,68	24173,92	32728,94
YKR004C	--	-1,7	-1,5	32594,05	29943,61	19721,92	21247,82	YKR103W	--	--	--	28970,15	27109,50	31476,01	28318,22
YKR005C	--	--	--	20252,00	25129,86	20095,59	20469,14	YKR104W	--	--	--	28003,80	34405,19	24050,52	26705,52
YKR006C	--	--	--	20129,01	28103,82	18872,01	20775,01	YKR105C	--	--	--	37352,51	33937,24	29807,34	32154,62
YKR007W	--	--	--	30768,13	34862,30	37758,86	35309,56	YKR106W	--	--	--	161841,05	155033,16	154982,63	140828,90
YKR008W	--	--	--	22696,39	29133,44	23298,33	24137,75	YL16A_	--	--	--	48			



ORF	Änderungsfaktor			Normalisierte Signalintensität				ORF	Änderungsfaktor			Normalisierte Signalintensität			
	wt37	mut30	mut37	wt30	wt37	mut30	mut37		wt37	mut30	mut37	wt30	wt37	mut30	mut37
YLL026w	--	--	--	26448,26	38865,46	37920,19	31281,14	YLR058c	--	--	--	23495,79	29731,77	19228,11	21320,09
YLL027W	+1,5	--	--	19704,17	29939,87	22472,79	24589,55	YLR059c	--	--	--	37429,87	41797,02	36766,82	36139,61
YLL028W	--	--	--	28285,49	29056,24	27718,03	26682,81	YLR060w	--	--	--	23464,63	31848,81	25798,82	24182,17
YLL029W	--	--	--	34395,03	31313,66	30995,70	30844,50	YLR061W	-1,6	--	--	161859,61	100022,92	205425,56	175645,27
YLL030C	--	--	--	23648,97	27460,94	19746,89	23349,21	YLR062C	--	--	--	105548,16	107908,82	88252,28	121951,13
YLL031C	+1,6	--	--	17710,02	28844,47	18316,22	21471,86	YLR063W	--	--	--	40167,63	44683,34	36483,43	38776,19
YLL032C	+1,6	--	--	16367,74	25457,42	15873,03	18371,35	YLR064W	--	--	--	47139,61	44915,57	46917,76	37929,60
YLL033W	--	+1,7	--	100280,36	96672,55	172615,98	128948,47	YLR065C	--	--	--	40162,95	39055,93	43658,69	41137,09
YLL034C	--	+3,2	+3	47262,03	55768,78	149409,48	143632,94	YLR066W	+1,5	--	--	23085,97	35399,67	26335,03	23063,04
YLL035W	--	--	--	64024,40	43747,66	78685,59	70034,72	YLR067c	--	--	--	17979,36	26580,96	16650,67	18722,01
YLL036c	--	+1,6	--	34283,80	34456,26	53339,01	41380,49	YLR068W	--	--	--	41787,00	29696,13	51612,54	41082,41
YLL037W	-1,7	+1,7	--	61120,12	35576,97	106529,60	89410,23	YLR069c	--	--	--	26821,00	29071,40	20623,54	24335,06
YLL038C	--	--	--	20398,95	27335,93	23882,21	23604,19	YLR070C	--	--	--	21043,62	27168,69	19133,20	20247,20
YLL039c	--	--	--	77035,04	89818,30	70958,76	67883,75	YLR071c	--	--	--	29083,72	33842,55	22436,07	24492,11
YLL040C	+1,5	--	--	16849,99	25411,38	15653,19	18314,66	YLR072W	--	--	--	35564,49	34535,50	29297,46	29686,45
YLL041c	--	--	--	26350,23	29104,65	23676,37	22363,87	YLR073C	--	--	--	151100,35	144622,45	160166,55	137554,26
YLL042C	--	--	--	35924,50	30094,66	36925,35	34052,69	YLR074C	+1,5	--	--	96693,33	146163,85	109367,72	111803,14
YLL043w	--	--	--	32890,51	30438,40	35138,43	32427,63	YLR075w	--	--	+1,6	37766,72	55048,77	40195,57	59995,29
YLL044W	--	--	--	169392,03	166939,06	167165,36	197515,36	YLR076C	--	--	--	41110,34	48454,53	40216,78	38239,17
YLL045c	--	--	--	181491,14	183022,94	151283,23	185155,82	YLR077W	+1,6	--	--	18036,04	28297,63	15902,36	20063,46
YLL046c	--	--	--	150235,24	148159,43	141772,38	133295,02	YLR078c	--	--	--	24945,30	36789,45	27961,30	28875,33
YLL047W	-2	--	--	56648,65	28372,54	70403,65	56211,59	YLR079w	--	--	--	43626,39	35971,05	40595,70	35798,73
YLL048C	+2	--	--	13161,11	26290,28	12740,07	17359,02	YLR080W	+1,5	--	--	17176,14	26052,87	15436,26	18186,24
YLL049W	+1,5	--	--	18817,06	28496,00	21651,80	24398,01	YLR081w	--	--	--	27936,69	28680,56	23339,21	25166,63
YLL050c	+1,5	+1,5	--	71847,24	109762,35	108637,64	107115,61	YLR082C	--	--	--	37983,78	31391,76	40272,10	31948,30
YLL051C	--	--	--	47212,60	54576,38	31565,25	40818,49	YLR083c	+1,6	--	--	16137,69	26144,11	14549,01	16860,22
YLL052C	--	--	--	23132,93	27068,06	18261,73	21348,74	YLR084C	--	--	--	19910,13	27201,52	19111,57	21523,84
YLL053C	--	--	--	27711,48	28185,98	20189,47	20614,38	YLR085C	--	--	--	30188,05	38394,14	30756,95	31349,96
YLL054C	--	--	--	32046,99	26029,82	38057,27	32052,07	YLR086W	--	--	--	53989,09	38125,73	67979,89	72546,59
YLL055W	--	--	--	27891,73	26020,60	24856,05	27436,59	YLR087C	--	--	--	35642,57	35310,20	25021,67	32958,30
YLL056C	--	--	--	30871,27	29711,17	26487,16	26585,15	YLR088w	--	--	--	38740,11	42245,71	37030,48	34658,35
YLL057C	--	--	--	22296,18	26653,42	20547,86	24853,57	YLR089C	--	--	--	48289,69	61552,75	47136,67	41344,08
YLL058W	--	--	--	31327,97	32094,23	27558,03	28297,96	YLR090w	--	--	--	33634,10	33798,24	32486,44	32590,30
YLL059C	-1,6	--	--	43972,27	27819,85	47347,27	39721,66	YLR091W	--	--	--	34831,93	31838,60	31735,48	28003,93
YLL060C	--	--	--	42750,40	32487,07	46657,83	49849,68	YLR092W	--	--	+1,5	64148,09	51538,25	47010,18	42216,18
YLL061W	+1,5	--	--	18407,89	28201,18	19666,73	22480,91	YLR093C	--	--	--	24558,69	31155,97	21266,35	25226,87
YLL062C	--	--	--	25619,45	38391,88	24953,41	23839,07	YLR094C	--	--	--	33129,23	33748,65	23535,08	25276,25
YLL063C	+1,7	--	--	16622,22	28172,77	16812,91	19709,46	YLR095C	--	--	--	37238,85	29125,62	38369,07	35211,96
YLL064C	--	--	--	43852,04	31517,98	56757,87	46602,76	YLR096w	--	--	--	24309,69	28853,32	20718,16	25761,06
YLL065W	-1,6	--	-1,7	46735,09	30083,46	31911,06	27975,96	YLR097C	--	--	--	24562,77	28263,19	21872,05	23792,06
YLL066C	--	+2,3	+1,8	154922,61	198567,44	360777,72	273923,86	YLR098c	--	--	--	25383,82	30655,87	21490,41	25148,48
YLL067C	--	--	--	207906,26	209337,83	307139,43	273981,94	YLR099C	--	--	--	25607,09	33424,61	26836,06	29528,49
YLR001C	--	--	--	21017,76	28037,64	20537,25	21604,96	YLR100W	--	--	--	129668,80	155203,14	156142,06	122443,42
YLR002C	--	--	--	21237,42	28017,19	20655,54	23684,35	YLR101C	+1,5	--	--	54199,46	82451,68	60620,82	45939,08
YLR003C	--	--	--	23514,70	28703,23	27250,36	27429,37	YLR102C	--	--	--	27412,88	35114,22	30183,52	27155,79
YLR004C	--	--	--	23240,97	27432,07	22415,94	25091,81	YLR103C	+1,5	--	--	19135,93	29155,46	19365,49	21597,02
YLR005w	--	--	--	31365,27	30137,30	39568,13	34418,76	YLR104W	--	--	--	195224,06	193236,14	235229,47	166615,84
YLR006c	--	--	--	19379,56	28549,48	17322,93	20040,96	YLR105c	--	--	--	27705,36	33869,67	22385,80	25303,82
YLR007W	--	--	--	25398,93	33433,27	27901,86	26969,07	YLR106C	--	--	--	23102,21	31162,82	19765,66	22307,70
YLR008C	-1,9	--	--	14310,63	27497,11	14869,83	18438,92	YLR107W	--	--	--	41546,58	33718,21	48612,94	41492,06
YLR009W	--	--	--	60991,16	52643,15	84940,26	73655,88	YLR108C	--	--	--	34493,21	34678,78	28422,72	31932,98
YLR010C	--	--	--	24061,25	30589,54	20247,91	22270,11	YLR109W	--	--	--	178051,42	122946,59	167160,11	172618,04
YLR011W	--	--	--	25845,78	35147,30	28232,13	27839,75	YLR110C	--	--	--	619864,80	541527,38	549181,90	415962,93
YLR012C	--	--	--	22643,62	27661,64	23128,59	24429,46	YLR111W	-2,1	--	--	79439,14	38221,81	100340,20	85475,94
YLR013W	--	--	--	34991,80	30422,31	31898,16	32488,37	YLR112W	--	--	--	52145,83	35069,44	57651,38	43993,73
YLR014c	--	--	--	31634,18	28349,38	35244,70	29399,67	YLR113w	--	--	+1,7	65859,49	68604,36	112255,57	69695,53
YLR015W	--	--	--	38931,12	31142,91	38849,89	36029,09	YLR114C	--	--	--	19024,37	27821,76	18596,48	22436,99
YLR016C	--	--	--	34712,70	43537,88	35349,04	33890,04	YLR115W	--	--	--	24102,22	28576,77	22647,19	23097,65
YLR017W	--	--	--	19034,98	28278,12	19389,55	23952,28	YLR116W	--	--	--	37969,53	33617,13	37032,08	31191,71
YLR018C	+1,6	+1,6	--	27635,00	43688,78	44524,52	38347,75	YLR117C	--	--	--	24170,49	29650,00	21310,29	23520,00
YLR019W	--	--	--	36080,65	33314,47	45084,07	35840,85	YLR118C	--	--	--	22682,54	31569,62	19234,79	23330,31
YLR020C	+1,7	--	--	16075,78	27863,88	16532,49	18764,12	YLR119w	--	--	--	23231,12	27953,62	22849,24	25495,38
YLR021W	--	--	--	29018,64	34297,86	29918,32	32109,36	YLR120c	--	--	--	22919,95	31558,81	19245,59	25065,51
YLR022C	--	--	--	32439,08	39376,32	34668,57	34012,63	YLR121C	+1,5	--	--	23322,40	35061,07	26315,05	25148,49
YLR023C	--	--	--	36685,99	35157,61	35791,71	32613,09	YLR122C	--	--	--	20396,72	30018,22	17305,30	21871,84
YLR024C	--	+1,5	--	36556,86	28287,01	54862,32	42049,98	YLR123C	--	--	--	38730,17	56589,30	41019,67	39733,64
YLR025w	--	--	--	37350,44	30525,40	43228,75	39310,72	YLR124W	--	--	--	39954,09	29576,63	54840,51	41809,01
YLR026c	--	--	--	39846,38	35152,29	52094,41	45649,06	YLR125W	--	--	--	19339,43	26495,54	19089,15	20953,61
YLR027c	--	--	--	70643,29	82552,19	75548,02	80577,38	YLR126C	--	--	--	52874,70	39715,61	51455,83	43584,69
YLR028C	--	--	--	29609,29	38046,60	26733,97	27831,75	YLR127C	-1,6	--	-1,7	53817,16	33659,06	48446,37	32444,22
YLR029c	+1,8	--	--	169487,41	311148,74	152324,51	199044,88	YLR128W	--	--	--	30785,19	26349,83	36346,63	28797,11
YLR030W	--	--	--	53701,25	38314,97	79471,80	55934,96	YLR129w	-1,7	--	--	56422,15	32710,36	54125,02	45251,55
YLR031W	--	--	--	35527,50	27906,73	35558,79	30922,96	YLR130C	--	--	--	26798,78	26783,23	33495,76	31116,23
YLR032w	--	--	--	38630,03	29750,74	41157,93	35836,74	YLR131c	--	--					

ORF	Änderungsfaktor			Normalisierte Signalintensität				ORF	Änderungsfaktor			Normalisierte Signalintensität			
	wt37	mut30	mut37	wt30	wt37	mut30	mut37		wt30	wt37	mut30	mut37			
YLR157C	--	--	--	94700,82	105481,14	89357,23	75191,67	YLR256W	-1,9	--	--	101305,21	53635,05	117896,66	100001,09
YLR158C	--	--	--	45456,79	49527,87	34175,30	33634,05	YLR257W	--	--	--	56420,94	47782,60	43125,64	49032,00
YLR159W	--	--	--	21836,35	28267,50	18906,09	22417,88	YLR258W	--	--	--	36205,52	42355,09	28566,41	29560,05
YLR160C	--	-1,7	-1,6	52628,86	52653,16	30871,19	33354,95	YLR259C	--	--	--	36022,27	40817,31	32461,64	35556,71
YLR161W	--	--	--	32190,31	30627,72	24641,40	23859,13	YLR260W	--	--	--	28465,43	31499,77	27662,12	28904,54
YLR162W	--	--	--	35093,83	28707,72	29517,06	26487,90	YLR261C	--	--	--	74489,05	74363,30	72481,90	74439,87
YLR163C	--	--	--	32692,18	32178,81	29612,47	28482,81	YLR262C	--	--	--	32346,36	37974,62	28153,93	29784,66
YLR164W	+1,5	--	--	17642,60	26474,01	15401,21	17943,56	YLR263W	--	--	--	20208,89	26353,86	17178,33	19504,20
YLR165C	--	--	--	21823,97	28168,96	19099,22	21630,69	YLR264W	--	-1,5	--	135698,91	103338,40	88740,97	109492,60
YLR166C	--	--	--	56107,82	55248,20	44044,11	50337,90	YLR265C	--	--	--	18227,62	25887,61	15320,81	19176,36
YLR167W	-1,6	--	--	175925,39	109383,92	139749,27	127621,51	YLR266C	--	--	--	37724,82	31267,33	34787,77	32574,14
YLR168C	+1,5	--	--	25527,92	38468,98	24143,43	26770,09	YLR267W	--	--	--	20590,06	25823,91	16101,02	21014,72
YLR169W	+1,7	--	--	33448,99	57328,29	33313,63	47484,02	YLR268W	--	--	--	20971,36	31318,58	21744,21	24215,37
YLR170C	--	--	--	25873,70	38168,84	28532,92	27867,67	YLR269C	--	--	--	22067,18	27610,92	21652,84	23785,79
YLR171W	+1,5	--	--	19066,67	30349,98	22715,28	24111,32	YLR270W	--	--	--	31935,65	29314,44	34913,98	30150,23
YLR172C	+1,5	--	--	21539,91	32537,21	23019,61	23777,73	YLR271W	--	--	--	30253,28	28665,19	28529,91	29096,28
YLR173W	--	--	--	24189,00	27436,47	18644,73	19941,37	YLR272C	--	+1,5	--	108492,40	114784,02	163638,73	121790,88
YLR174W	--	--	--	18958,26	27160,37	16580,83	18164,49	YLR273C	--	--	--	41570,51	35508,60	38216,66	30169,08
YLR175W	-1,5	--	--	54988,45	36015,04	77240,82	53955,85	YLR274W	--	--	--	29687,04	41940,49	29024,51	26006,20
YLR176C	-1,6	--	--	61950,63	39325,16	66817,62	55545,38	YLR275W	--	--	--	30433,04	31966,53	31148,18	26219,91
YLR177W	--	--	--	24474,68	27520,35	21905,88	23629,19	YLR276C	--	-1,7	--	146066,99	104487,35	107204,10	87789,77
YLR178C	+1,8	--	--	21396,00	38308,91	22021,44	26941,17	YLR277C	--	--	--	30206,45	29633,62	27296,99	26346,51
YLR179C	--	--	--	19944,35	28521,32	19092,26	23747,88	YLR278C	--	--	--	19989,44	28177,09	22147,83	22902,31
YLR180W	--	-1,7	--	36157,53	41063,85	21563,25	30472,21	YLR279W	-1,7	--	--	47738,49	27994,68	60696,61	48575,09
YLR181C	--	--	--	53108,16	50559,44	59717,38	70510,88	YLR280C	--	--	--	27780,68	27235,10	30072,21	29119,25
YLR182W	--	--	--	36624,02	43665,04	42022,19	33621,52	YLR281C	--	--	--	27898,25	34566,58	23910,72	30280,59
YLR183C	--	--	--	37058,97	39247,73	36841,51	33603,22	YLR282C	+1,6	--	--	17278,89	26996,39	14175,50	21592,34
YLR184W	--	--	--	28638,81	27165,22	34409,29	30701,24	YLR283W	--	--	--	32149,13	31319,67	31442,61	29656,79
YLR185W	--	-1,6	--	96557,11	80189,30	70147,85	58873,23	YLR284C	--	--	--	44761,10	38770,76	37502,83	33750,83
YLR186W	--	--	--	26389,92	31879,31	23811,18	24482,09	YLR285W	--	--	--	31779,92	33833,53	28068,79	27830,35
YLR187W	--	--	--	31153,70	31145,33	27059,94	27018,92	YLR286C	--	--	--	71207,14	55481,84	52750,87	61537,09
YLR188W	--	--	--	26273,69	30349,59	22390,43	24144,45	YLR287C	--	--	--	26260,15	31992,17	29933,68	28158,40
YLR189C	--	--	--	27075,85	28437,90	23977,97	24827,87	YLR288C	--	--	--	23319,17	29974,11	23645,90	22506,93
YLR190W	--	--	--	22176,53	27764,97	19237,49	23515,71	YLR289W	+1,8	--	--	15469,42	27447,06	15726,05	19095,43
YLR191W	--	--	--	19684,14	28201,49	16035,46	21126,90	YLR290C	--	--	--	42412,37	35321,19	47958,42	43926,93
YLR192C	--	--	--	35537,28	35037,66	42613,07	38417,15	YLR291C	--	--	--	28752,71	32992,09	28118,43	28368,72
YLR193C	--	--	--	36235,67	40561,89	40728,95	40519,98	YLR292C	--	--	--	71195,33	47723,64	86947,41	81928,37
YLR194C	+1,6	--	--	16252,07	26767,63	13905,52	19357,93	YLR293C	--	--	--	77764,81	82236,26	79768,58	77138,25
YLR195C	--	--	--	32551,71	37084,32	32195,59	29705,88	YLR294C	--	--	--	85915,10	61194,56	93825,84	79297,19
YLR196W	--	--	--	25558,11	32859,56	25637,43	28000,82	YLR295C	--	--	--	36133,54	29680,59	47767,14	37704,14
YLR197W	--	--	--	61759,71	52465,41	75474,39	60478,41	YLR296W	-1,8	+1,5	--	80503,40	43542,08	121081,22	81369,34
YLR198C	-1,7	--	--	62286,89	37739,38	82865,71	56267,20	YLR297W	--	--	--	37135,30	41799,85	40871,37	30328,56
YLR199C	--	--	--	29484,81	32457,40	24596,15	28207,96	YLR298C	--	--	--	43708,51	33607,43	50435,86	40286,99
YLR200W	--	--	--	29504,55	34716,92	30558,05	30089,56	YLR299W	--	--	--	38615,75	30703,83	36029,50	30219,73
YLR201C	+1,6	--	--	17751,52	27682,20	16354,90	20108,27	YLR300W	--	-1,9	-1,8	84700,65	59988,00	44454,16	46363,28
YLR202C	--	--	--	24232,24	27985,34	25330,61	27165,20	YLR301W	--	--	--	53068,73	53089,86	47529,00	43005,61
YLR203C	--	--	--	262974,57	239348,72	223891,41	222808,57	YLR302C	--	--	--	24423,51	28415,62	28404,35	26693,27
YLR204W	-1,6	--	--	83735,38	51727,43	89951,90	77036,88	YLR303W	--	--	--	29609,53	41369,93	30409,94	29543,50
YLR205C	--	--	--	36034,07	35834,18	36585,74	47401,99	YLR304C	--	--	--	26859,63	34694,21	29673,12	28376,45
YLR206W	--	--	--	43351,30	36279,66	62469,15	44513,29	YLR305C	--	--	--	80143,85	66211,52	93714,51	80057,75
YLR207W	+1,5	--	--	18001,31	27574,38	19574,88	20349,89	YLR306W	--	--	--	70986,53	62850,60	94374,63	86474,53
YLR208W	+1,9	--	--	14531,44	27381,31	14560,79	18313,68	YLR307W	+1,6	--	--	16185,35	26327,38	17362,90	18720,20
YLR209C	--	--	--	33510,96	35649,39	39182,72	31827,41	YLR308W	--	--	--	20401,64	26483,12	22362,63	21879,45
YLR210W	--	--	--	30901,00	28398,23	37795,06	27824,23	YLR309C	--	--	--	51457,02	34686,05	49292,42	42138,64
YLR211C	--	--	--	31212,90	29976,01	28762,05	25871,52	YLR310C	--	--	--	44134,65	30637,98	44012,37	36453,65
YLR212C	+2	--	--	15105,57	29907,39	14241,59	19177,91	YLR311C	-1,7	--	--	44537,93	26299,10	54503,25	40437,08
YLR213C	--	--	--	38256,78	31529,70	40332,88	34032,31	YLR312C	--	--	--	30833,02	27741,74	34119,68	30611,58
YLR214W	--	--	--	19430,91	27331,50	16174,80	19526,85	YLR313C	--	--	--	115420,31	109498,83	95016,58	100362,70
YLR215C	+1,8	--	--	14553,40	26152,14	12061,65	18128,45	YLR314C	+1,6	--	--	17096,84	27012,52	15091,03	19819,37
YLR216C	+1,7	--	--	39433,71	65278,18	48927,97	42564,44	YLR315W	+1,6	--	--	17962,40	29148,71	19719,48	22706,26
YLR217W	--	+1,8	+2,1	48497,91	72224,17	87294,46	100804,70	YLR316C	+1,6	--	--	17902,56	28870,25	15144,72	17896,67
YLR218C	--	+1,6	--	50842,79	36017,29	80224,24	54925,02	YLR317W	--	--	--	21462,14	29779,29	18430,72	25299,08
YLR219W	--	--	--	24945,69	28054,09	25016,25	25960,13	YLR318W	--	--	--	24738,75	29484,62	25054,89	23630,90
YLR220W	+1,5	--	--	16722,53	25523,24	15700,69	17727,63	YLR319C	--	--	--	25326,91	30217,84	27081,10	25205,44
YLR221C	--	--	--	34893,19	32963,16	41410,25	35723,62	YLR320W	--	--	--	41819,35	29991,99	48779,47	39701,31
YLR222C	-1,9	--	-1,5	151752,88	80239,38	127470,05	98722,37	YLR321C	--	--	--	54027,81	45742,38	40836,82	36877,48
YLR223C	--	--	--	31991,22	26846,06	33534,91	29547,96	YLR322W	--	--	--	35564,26	32362,84	28028,40	27715,47
YLR224W	--	--	--	47946,65	48944,23	46521,18	41880,68	YLR323C	--	--	--	42557,42	30889,85	45847,63	35551,08
YLR225C	+1,5	--	--	18392,65	27728,51	16973,39	20375,34	YLR324W	--	--	--	32916,97	35530,94	29053,86	28712,66
YLR226W	--	--	--	43261,88	32966,03	42442,84	35266,12	YLR325C	--	--	--	111707,56	91065,93	105629,14	103922,01
YLR227C	+1,6	--	--	15972,64	26071,17	13920,35	18026,47	YLR326W	--	--	--	42659,58	35640,33	51396,60	48214,81
YLR228C	--	--	--	30261,72	31354,61	40484,10	28924,97	YLR327C	--	--	--	21341,27	31026,21	20029,19	22089,19
YLR229C	--	--	--	33096,65	36093,02	35290,80	37411,08	YLR328W	--	--	--	21275,55	30625,20	18939,21	23383,36
YLR230W	--	--	--	23742,35	29124,83	24882,30	23959,72	YLR329W	+1,9	--	--	21890,71	41943,52	26984,90	

ORF	Änderungsfaktor			Normalisierte Signalintensität				ORF	Änderungsfaktor			Normalisierte Signalintensität			
	wt37	mut30	mut37	wt30	wt37	mut30	mut37		wt37	mut30	mut37	wt30	wt37	mut30	mut37
YLR355C	--	--	--	127785,21	140438,68	176621,29	187800,71	YLR454W	--	--	--	20581,91	28012,91	22631,10	26010,05
YLR356W	--	--	--	38828,96	40369,11	28878,68	36312,99	YLR455W	--	--	--	39595,73	29784,05	51247,99	38611,18
YLR357W	--	-1,5	-1,6	59136,35	44462,91	38486,70	37752,45	YLR456W	--	--	--	21073,35	29541,46	18860,39	23127,63
YLR358C	--	--	--	25302,47	27948,87	21089,64	21355,21	YLR457C	--	--	--	22415,67	27898,14	21925,35	25210,76
YLR359W	--	--	--	25743,41	28504,45	21186,39	23708,38	YLR458W	+1,5	--	--	19682,74	29554,68	19237,66	23461,58
YLR360W	--	--	--	25651,85	27672,05	20299,60	24956,12	YLR459W	--	--	--	18460,74	26558,93	20482,25	24347,03
YLR361C	--	--	--	55946,04	55150,87	48128,35	47537,45	YLR460C	--	--	--	22143,84	29214,68	22225,27	24232,42
YLR362W	--	--	--	33066,72	38275,73	33578,31	32961,30	YLR461W	--	--	--	20123,33	29863,35	18685,08	22478,34
YLR363C	--	--	--	21228,23	27062,88	18345,91	21036,72	YLR462W	--	--	--	51101,65	51170,82	47276,72	46162,09
YLR364W	--	--	--	21652,94	28528,04	19083,58	22181,96	YLR463C	--	--	--	26701,14	33010,40	23367,33	27407,76
YLR365W	--	--	--	22280,82	28454,49	23086,15	29068,92	YLR464W	--	--	--	42763,64	42166,60	32900,30	31445,00
YLR366W	--	--	--	32825,70	31422,74	34770,80	30839,06	YLR465C	--	--	--	26652,75	29978,82	23744,40	27609,23
YLR367W	+1,5	--	--	94022,11	141722,85	82640,84	69551,24	YLR466W	--	+1,6	--	177667,57	262299,22	283476,13	231906,37
YLR368W	+1,7	--	--	15763,33	27545,99	15839,27	20610,87	YLR467W	--	--	--	211739,65	272435,11	285104,33	266534,09
YLR369W	--	--	--	25976,18	31439,27	21471,51	23642,52	YML001W	+1,5	--	--	23785,52	35687,01	27248,16	29669,80
YLR370C	--	--	--	36151,36	33861,22	33231,19	29237,63	YML002W	+1,7	--	--	15786,10	27303,05	15384,02	19917,24
YLR371W	--	--	--	20794,41	29033,44	20081,41	21455,54	YML003W	+1,7	--	--	15355,12	26756,56	16056,02	20013,84
YLR372W	--	--	--	44824,26	38345,81	35039,75	31786,58	YML004C	--	--	--	26686,61	33552,44	22446,31	25600,49
YLR373C	--	--	--	34449,16	28916,92	35194,69	30975,80	YML005W	--	--	--	22280,49	28261,29	21304,92	21714,49
YLR374C	--	--	--	21267,60	29490,13	19517,00	23953,89	YML006C	+1,6	--	--	17516,26	27762,48	16533,74	19980,28
YLR375W	+1,8	--	--	15231,18	26862,98	12860,69	19637,03	YML007W	--	--	--	90798,10	97528,19	79190,67	77829,53
YLR376C	--	--	--	19694,11	28435,67	17269,91	21774,76	YML008C	--	--	--	60718,07	57613,02	56404,29	53490,15
YLR377C	--	--	--	32875,25	31289,03	40504,57	34666,87	YML010W	--	--	--	19128,73	27751,89	17797,47	20827,62
YLR378C	--	--	--	49547,79	49498,70	36533,54	33170,88	YML011C	+1,7	--	--	16169,03	28263,14	18285,58	22871,88
YLR379W	--	--	--	30932,84	33292,73	28189,47	28183,77	YML012W	--	--	--	59455,93	87179,27	74434,09	62682,27
YLR380W	--	--	--	43272,99	40045,65	31895,90	32698,63	YML013W	--	--	--	19221,79	26175,46	23387,39	21806,35
YLR381W	--	--	--	28406,48	31413,64	33651,07	31487,76	YML014W	--	--	--	21169,34	29293,67	24326,14	24064,40
YLR382C	--	--	--	27688,46	28258,82	28436,11	24857,87	YML015C	--	--	--	30026,75	33554,59	32584,71	28399,45
YLR383W	--	--	--	42721,20	40211,06	37709,22	35373,76	YML016C	--	--	--	26217,35	35825,08	23136,79	27233,70
YLR384C	+1,8	--	--	15159,14	27266,60	13845,71	17749,79	YML018C	--	--	--	26133,04	35880,50	27642,30	26355,74
YLR385C	--	--	--	19878,10	26730,19	16462,61	21392,94	YML019W	--	--	--	29578,70	32254,54	23669,02	20341,02
YLR386W	--	--	--	18279,91	26610,89	16589,83	20403,28	YML020W	--	--	--	18178,66	26277,52	15176,37	18905,24
YLR387C	+1,5	--	--	18111,31	27888,36	16266,82	22331,03	YML021W	--	--	--	26950,40	30481,35	21072,49	23555,39
YLR388W	--	--	--	53634,54	49723,63	47230,01	45708,64	YML022W	--	--	--	24947,20	33268,71	30973,50	30372,25
YLR389C	--	--	--	23581,48	27599,85	30389,18	28859,73	YML023C	+1,7	--	--	17544,64	30503,77	16190,54	21122,27
YLR390W	-1,8	--	--	80358,85	44121,43	106741,62	81280,80	YML027W	--	--	--	31767,47	36611,76	33154,21	29981,80
YLR391W	--	--	--	39457,72	55039,79	45826,25	37062,12	YML028W	--	--	--	112189,26	130059,36	131567,80	124534,95
YLR392C	--	--	--	79030,16	60852,63	86636,48	61792,74	YML029W	--	--	--	19328,47	27985,68	17509,19	21094,83
YLR393W	-1,6	--	--	69579,54	43014,96	75071,39	54979,44	YML030W	--	--	--	40322,35	34199,18	42648,42	36544,04
YLR394W	-1,6	--	--	55020,66	35425,09	50297,59	36862,44	YML031W	--	--	--	27153,16	33778,17	21893,60	24658,13
YLR395C	--	-1,6	-1,6	51526,69	42019,16	32423,56	32276,67	YML032C	--	--	--	20945,77	30116,91	21143,24	21201,57
YLR396C	--	--	--	32035,80	37431,23	26782,35	28357,11	YML033W	--	--	--	20496,38	27748,01	20315,87	23587,76
YLR397C	+1,6	--	--	16714,83	26962,01	16803,69	20198,28	YML034W	--	--	--	25270,89	32282,32	25533,55	26140,13
YLR398C	--	-1,7	--	22842,52	26276,08	13403,69	17085,93	YML035C	--	--	--	21295,53	28008,00	20233,16	22758,19
YLR399C	--	--	--	60818,31	52696,33	60392,97	45320,07	YML037C	+1,6	--	--	71212,53	50136,86	54866,21	45287,38
YLR400W	--	--	--	87365,75	60598,63	107287,30	81631,16	YML038C	--	--	--	52885,38	49251,95	45483,96	47397,46
YLR401C	+1,5	--	--	24380,16	37144,94	29832,93	30331,03	YML040W	--	--	--	79412,77	88584,94	76854,40	63106,55
YLR402W	+1,7	--	--	16139,28	27066,95	15465,99	20800,58	YML041C	+1,6	--	--	17552,61	27469,29	17823,22	22854,89
YLR403W	+1,6	--	--	17138,79	27081,88	15681,39	20188,52	YML042W	--	--	--	30294,51	33705,84	33249,49	30506,11
YLR404W	+1,6	--	--	17888,35	28065,35	18641,41	19905,45	YML043C	--	--	--	35666,47	32629,07	36385,30	35119,30
YLR405W	+1,6	--	--	17633,76	27843,26	19090,42	19807,80	YML045W	--	--	--	66110,40	81317,96	56966,41	51895,61
YLR406C	+1,6	--	--	17331,88	27598,05	19773,62	20054,58	YML046W	--	--	--	20952,73	30000,17	19055,79	23847,61
YLR407W	--	--	--	21219,95	29554,97	22324,54	23539,14	YML047C	--	--	--	26273,74	32739,44	22500,45	27438,00
YLR408C	--	--	--	19927,09	27662,92	18494,11	21223,72	YML048W	--	--	--	25350,10	30593,27	19669,80	24432,20
YLR409C	--	--	--	29105,80	38353,29	30499,53	31044,70	YML049C	--	--	--	29638,09	28065,26	31627,35	27769,95
YLR410W	--	--	--	38545,13	42074,96	28775,00	31620,06	YML050W	+1,5	--	--	18199,91	27867,54	17924,27	22915,77
YLR411W	--	--	--	38030,18	30437,39	32543,58	28458,08	YML051W	--	--	--	27363,96	32526,26	23871,48	28125,58
YLR412W	--	-2,3	--	32664,56	27444,88	14463,33	23341,33	YML053C	--	--	--	30015,65	32330,82	29462,55	33635,07
YLR413W	+1,6	--	--	20204,41	31475,88	22226,49	25833,96	YML054C	--	--	--	21658,93	30355,97	20727,33	24232,38
YLR414C	--	--	--	27352,34	39345,88	30644,55	30522,90	YML055W	--	--	--	35667,20	34909,90	39601,92	34257,15
YLR415C	--	--	--	34590,29	44670,32	37250,14	33646,96	YML057W	--	--	--	43614,80	54529,64	40068,81	40147,19
YLR416C	--	--	--	42874,28	37240,60	39533,60	36339,72	YML058W	--	--	--	44588,29	59722,99	49697,64	49359,20
YLR417W	+1,7	--	--	16202,40	27275,26	18671,43	19064,30	YML059C	--	--	--	55117,77	42842,63	64155,96	51355,58
YLR418C	--	--	--	43098,12	45055,14	40474,56	39554,54	YML060W	--	--	--	28064,24	37079,43	27406,80	27788,15
YLR419W	--	--	--	28736,12	29611,98	37441,31	29616,94	YML061C	--	--	--	32488,93	40767,84	36272,11	36481,53
YLR420W	--	--	--	27521,66	32218,72	24090,05	26123,98	YML062C	--	--	--	87734,72	59371,39	66888,82	60778,30
YLR421C	--	--	--	54448,85	49158,20	50719,53	44841,35	YML063W	--	--	--	213200,80	241430,13	196714,61	193989,49
YLR422W	--	--	--	18580,82	27202,63	15418,56	18848,06	YML064C	--	--	--	27364,69	30136,69	25797,45	27814,25
YLR423C	--	--	--	37264,83	31490,22	36809,12	27468,89	YML065W	--	--	--	18955,35	28423,81	15456,74	20056,34
YLR424W	+1,6	--	--	17248,55	27193,13	16785,29	22588,15	YML066C	--	--	--	19420,21	27382,95	17129,36	22373,02
YLR425W	--	--	--	36449,88	32657,60	43299,33	37531,43	YML068W	--	--	--	22763,33	28132,44	19710,57	22489,84
YLR426W	--	--	--	33618,35	40023,04	32711,29	30711,91	YML069W	--	--	--	33705,98	32900,60	31020,03	31434,98
YLR427W	+1,5	--	--	17941,77	27118,39	18358,02	20696,98	YML070W	--	--	--	37220,79	37943,65	31979,40	37505,97
YLR428C	--	--	--	72605,87	91151,40	83560,45	68727,54	YML071C	--	--	--	20308,35	29017,15	18431,12	22624,01

ORF	Änderungsfaktor			Normalisierte Signalintensität				ORF	Änderungsfaktor			Normalisierte Signalintensität			
	wt37	mut30	mut37	wt30	wt37	mut30	mut37		wt30	wt37	mut30	mut37			
YML101C	+1.7	--	--	18378,47	31109,24	19077,68	21582,84	YMR075W	+1.7	--	--	15817,61	26791,31	14350,15	19904,91
YML102W	--	--	--	24527,98	32070,53	27043,75	25897,65	YMR076C	--	--	--	32512,46	30539,58	35677,86	30438,09
YML103C	+1.5	--	--	19811,12	30518,99	21666,92	23979,79	YMR077C	--	--	--	43971,71	42337,05	48461,64	38848,63
YML104C	+1.5	--	--	18507,75	28284,46	18118,12	21237,68	YMR078C	+1.6	--	--	17268,29	28156,48	14184,01	19943,92
YML105C	--	--	--	44382,52	38160,26	45784,21	38960,15	YMR080C	--	--	--	51212,25	56478,96	40836,51	39505,41
YML106W	--	--	--	42799,70	46981,95	39989,60	37030,22	YMR081C	--	--	--	28150,60	34220,25	23948,12	25436,74
YML107C	--	--	--	24290,89	31411,17	20107,98	20403,80	YMR082C	--	--	--	34613,23	38301,31	27118,13	30954,50
YML108W	--	--	--	29361,03	33743,48	26260,97	23543,54	YMR083W	--	--	--	59685,93	62665,18	54961,48	54918,24
YML109W	--	--	--	17908,93	26502,00	20232,33	22950,97	YMR086W	--	--	--	47976,80	46555,88	49808,00	43927,26
YML110C	--	--	--	18706,79	26788,86	22054,07	24675,34	YMR087W	--	--	--	25207,31	31329,55	24930,21	27036,08
YML111W	--	--	--	20443,00	28655,16	22520,01	24221,56	YMR088C	+1.5	--	--	18990,22	28629,03	18846,19	22768,48
YML112W	--	--	--	21454,49	30501,21	21659,73	24873,64	YMR089C	+1.7	--	--	15886,78	27099,25	15881,84	22353,07
YML113W	--	--	--	31592,53	37210,12	38296,90	37472,43	YMR090W	--	--	--	26296,54	31683,74	26791,16	31971,40
YML114C	--	--	--	29324,97	33318,41	31532,14	29611,41	YMR091C	--	--	--	52933,16	60902,45	70680,18	52613,53
YML115C	--	--	--	24464,48	32683,16	26116,13	26305,47	YMR092C	--	--	--	22034,51	31456,18	21509,65	23054,37
YML116W	--	--	--	63710,82	59372,08	60937,47	65576,93	YMR093W	+1.6	--	--	16336,85	26320,31	14074,86	18675,63
YML117W	--	--	--	18796,38	27650,95	16946,44	21011,99	YMR094W	--	--	--	20750,15	27707,52	18805,91	21788,59
YML118W	--	--	--	24762,63	30046,01	21136,75	23116,50	YMR095C	+1.7	--	--	16444,44	27150,62	14514,23	19355,00
YML119W	--	--	--	23297,57	31290,81	29957,79	29097,77	YMR096W	--	--	--	22837,84	29158,05	18008,63	22950,68
YML120C	--	--	--	19562,26	28454,77	18123,21	22949,96	YMR097C	--	--	--	31283,91	31188,52	29587,89	31591,38
YML121W	--	--	--	18936,28	28057,18	18670,80	21144,88	YMR098C	+1.5	--	--	19439,66	29210,89	19461,32	21987,20
YML122C	--	--	--	22368,61	31588,47	23699,85	25474,47	YMR099C	--	--	--	19097,37	27526,84	15771,78	23010,18
YML123C	--	-1.6	--	44650,57	57614,13	28030,62	34336,71	YMR100W	--	+1.7	--	81573,62	64195,16	67071,46	49386,68
YML125C	--	--	--	50005,78	52207,20	40010,18	54464,05	YMR101C	--	--	--	18956,56	26564,16	17370,56	21598,76
YML126C	--	--	--	68274,96	79637,81	67782,10	68346,84	YMR102C	+1.5	--	--	17466,60	26386,44	14749,64	19118,99
YML127W	--	--	--	25794,95	32837,89	21394,78	26849,54	YMR103C	+1.7	--	--	16168,30	26715,96	17644,08	21286,52
YML128C	--	--	--	27613,66	30807,15	23296,01	26222,16	YMR104C	+1.6	--	--	16065,83	26293,12	15173,03	21127,93
YML129C	--	--	--	31530,98	36897,30	27367,61	33579,07	YMR105C	+1.6	--	--	16600,32	26907,31	15280,52	19360,90
YML130C	--	--	--	23791,26	32960,36	27212,33	25930,91	YMR106C	+2	--	--	20191,86	40370,16	18576,45	21903,04
YML131W	--	--	--	20638,76	28068,31	18730,44	25489,80	YMR107W	--	--	--	28413,27	32407,50	24154,67	28210,50
YML132W	--	--	--	19235,34	28132,02	20784,59	25998,61	YMR108W	--	--	--	19041,01	27568,02	16177,88	21746,75
YMR001C	--	--	--	24746,62	32215,68	24260,00	24857,59	YMR109W	--	--	--	28422,68	32111,12	26857,54	30961,36
YMR002W	--	--	--	63527,41	90393,91	85704,90	73681,61	YMR110C	--	--	--	22056,00	29292,07	20798,52	27165,58
YMR003W	--	--	--	45483,87	40672,13	35814,25	39208,28	YMR111C	--	--	--	22760,39	28834,27	19667,62	26826,72
YMR004W	--	--	--	20472,01	27977,92	19596,80	22796,61	YMR112C	--	--	--	131103,66	141243,44	147717,94	113778,78
YMR005W	--	--	--	49570,13	38713,74	56380,50	49655,10	YMR113W	--	--	--	19359,71	27362,91	16948,22	23231,01
YMR007W	--	--	--	26320,07	31416,06	22175,05	25926,62	YMR114C	+1.9	--	--	63390,71	33452,79	70596,78	53861,85
YMR008C	--	--	--	26560,14	33218,56	29879,37	28574,62	YMR115W	--	--	--	37679,01	34324,90	36236,46	35676,96
YMR009W	--	--	--	37636,66	53936,02	40609,38	38881,50	YMR118C	--	--	--	27508,59	29071,22	23175,65	23887,69
YMR010W	--	--	--	23080,08	29961,30	18302,78	24799,07	YMR119W	--	--	--	19712,62	29312,90	16408,77	21687,67
YMR011W	+1.6	--	--	18467,10	29037,14	18036,78	23041,11	YMR121C	--	--	--	219881,82	206127,45	240533,53	202503,80
YMR012W	--	--	--	18486,32	25972,25	18335,56	22059,97	YMR122C	--	--	--	54625,94	39606,66	58956,70	53400,10
YMR013C	+1.6	--	--	18236,94	28447,18	19286,52	21432,29	YMR123W	--	--	--	27222,66	34670,70	27956,59	30397,95
YMR014C	--	--	--	39825,42	37125,92	52794,05	41385,51	YMR124W	+1.8	--	+1.7	18680,13	32804,50	18661,83	31104,78
YMR015W	--	--	--	19793,56	27569,82	20119,98	20662,46	YMR125W	--	--	--	33308,23	38024,16	31780,95	35023,72
YMR016C	--	--	--	26741,45	29240,50	24422,50	26338,12	YMR126C	+1.7	--	--	22329,97	38525,34	22202,34	26694,20
YMR017W	--	--	--	25657,00	30880,53	22711,57	26530,42	YMR127C	+1.6	--	--	22205,04	34741,10	21066,86	25416,97
YMR018W	--	--	--	19441,64	27647,85	15909,68	22062,58	YMR128W	--	--	--	43993,06	33435,65	50798,06	42657,05
YMR019W	--	--	--	36253,37	36480,10	26264,83	28627,88	YMR129W	--	--	--	51781,68	39721,68	58351,15	53491,08
YMR020W	--	--	--	33241,23	34640,24	32814,63	34323,98	YMR130W	--	--	--	54410,69	46914,94	58404,42	49893,93
YMR021C	--	--	--	46918,65	39155,47	51615,03	52888,14	YMR131C	+1.7	--	--	18386,04	31107,31	20013,15	22483,29
YMR022W	--	--	--	34363,87	38342,10	34068,52	36898,98	YMR132C	--	--	--	40434,09	46598,01	46994,61	41577,52
YMR023C	+1.5	--	--	21132,56	32400,70	20435,03	26324,35	YMR133W	--	--	--	87745,28	60521,01	95808,64	88974,26
YMR024W	--	--	--	23002,97	30458,58	19629,54	22687,40	YMR134W	--	--	--	44124,52	38389,87	43045,14	45225,02
YMR025W	--	--	--	20061,26	29996,42	19054,49	21908,42	YMR135C	+1.9	--	--	42187,68	42032,11	60818,05	81674,15
YMR026C	--	--	--	22869,90	31748,73	18614,68	23633,25	YMR136W	--	--	--	34828,95	42700,74	40192,52	38334,36
YMR027W	--	--	--	28992,94	34887,09	26906,08	27480,03	YMR137C	--	--	--	31399,98	28950,05	44001,34	33739,59
YMR028W	--	--	--	23999,85	28376,50	21282,48	21905,15	YMR138W	--	--	--	37184,77	33633,61	28991,71	30146,35
YMR029C	--	--	--	26367,62	29746,66	19881,65	24244,28	YMR139W	+1.6	--	--	17257,04	27862,62	17325,44	20734,72
YMR030W	--	--	--	20956,46	30184,72	18799,32	26275,61	YMR140W	+1.8	--	--	166038,82	133981,89	93803,68	115256,27
YMR031C	--	--	--	39762,36	36781,36	37174,64	34862,42	YMR141C	--	--	--	28277,34	30693,86	25278,82	27493,33
YMR032W	--	--	--	69320,35	78430,50	73456,63	64017,43	YMR144W	--	--	--	33131,71	31144,07	35416,75	29034,67
YMR034C	--	--	--	22382,49	31942,25	30270,66	31235,64	YMR145C	--	--	--	44294,05	47499,96	37730,36	35290,03
YMR035W	--	--	--	21250,36	28237,08	22394,75	26861,13	YMR146C	--	--	--	32956,13	44075,00	30982,87	39301,14
YMR036C	+1.6	--	--	24982,32	39401,89	23977,32	32524,88	YMR147W	--	--	--	31373,10	30119,64	42177,38	34129,62
YMR037C	+1.7	--	--	19074,67	32145,22	19186,67	27965,11	YMR148W	--	--	--	49226,32	45130,07	52127,39	46211,46
YMR038C	--	--	--	68870,51	51344,74	77689,12	87146,61	YMR149W	--	--	--	50240,43	55542,14	63622,95	58370,97
YMR039C	--	--	--	64618,33	48045,80	74449,27	61157,70	YMR150C	--	--	--	22717,15	33951,84	22391,95	23753,96
YMR040W	--	--	--	77866,14	72719,90	108476,19	89231,56	YMR151W	--	--	--	39618,58	42420,86	34991,81	31401,48
YMR041C	--	--	--	42344,64	40844,65	50713,03	44890,48	YMR152W	+1.6	--	--	19033,35	29649,95	22147,40	24392,07
YMR042W	--	--	--	38829,13	45447,49	46310,43	40514,24	YMR153W	--	--	--	81891,84	75087,13	59607,87	54865,97
YMR043W	--	--	--	53835,26	61583,61	75280,83	63586,09	YMR154C	+1.7	--	--	15822,89	26877,73	14259,51	18298,21
YMR044W	--	--	--	57252,06	49555,89	66054,56	66329,56	YMR155W	--	--	--	27170,17	31849,47	23308,93	25574,43
YMR046C	+2.1	--	--	109008,03	224379,27	124973,51	139169,02	YMR156C	--	--	--	23090,34	27915,86	22547,30	23645,26
YMR047C	--	--	--	25835,17											



ORF	Änderungsfaktor			Normalisierte Signalintensität			
	wt37	mut30	mut37	wt30	wt37	mut30	mut37
YMR186W	--	--	--	21521,57	30196,66	20446,09	23520,65
YMR187C	+1,7	--	--	16075,45	26790,43	13998,94	20515,18
YMR188C	--	--	--	27146,94	30469,18	30350,35	29166,05
YMR189W	--	--	--	20910,09	30005,66	21799,19	26026,03
YMR190C	--	--	--	33116,45	35366,72	39537,39	33526,02
YMR191W	--	--	--	37932,56	34800,48	28571,96	33626,41
YMR192W	+1,5	--	--	17270,18	26607,92	17670,13	21970,78
YMR193W	--	--	--	34355,02	35647,07	37736,81	37244,28
YMR195W	--	--	--	28401,93	36546,18	22890,46	29265,91
YMR196W	--	--	--	19900,63	29136,52	15875,23	21990,29
YMR197C	--	--	--	44975,69	43363,35	39027,40	43087,51
YMR198W	--	--	--	23098,80	27570,00	20738,30	22590,35
YMR199W	--	--	--	52085,60	49253,04	57810,38	50641,31
YMR200W	--	--	--	40661,36	43782,17	35753,08	35608,00
YMR202W	--	-1,7	--	106458,49	95837,11	62995,53	90576,10
YMR203W	--	--	--	31505,79	35892,21	24399,55	30673,83
YMR204C	--	--	--	27769,28	30522,79	29625,47	27927,53
YMR205C	--	--	--	20174,04	29075,08	17271,48	21449,92
YMR206W	--	--	--	43085,33	32942,41	36753,25	36462,57
YMR207C	--	--	--	18443,76	27519,15	17534,37	20775,85
YMR208W	--	--	--	19800,19	27756,77	17655,48	21873,09
YMR209C	--	--	--	25793,50	31733,80	22330,69	28031,15
YMR210W	+1,6	--	--	31544,59	50251,76	27693,32	31638,38
YMR211W	--	--	--	46962,04	48646,73	44811,91	41615,72
YMR212C	--	--	--	27026,87	35270,53	19937,26	25357,68
YMR213W	--	--	--	86195,05	64882,19	100111,78	90329,30
YMR214W	--	--	--	40611,43	46550,54	41023,79	44398,35
YMR215W	--	--	--	52821,77	50583,18	40265,35	40035,31
YMR216C	+1,6	--	--	18958,36	30676,68	18768,29	20591,42
YMR217W	--	--	--	38732,50	53046,57	40559,06	41748,70
YMR218C	--	--	--	25715,43	30857,06	28132,81	25954,81
YMR219W	-1,5	--	--	43935,07	29085,98	52373,34	41271,47
YMR220W	+1,5	--	--	84572,14	55668,08	79138,71	63694,13
YMR221C	--	--	--	32666,18	34688,55	30738,74	33398,99
YMR222C	--	--	--	23968,74	32135,17	21324,23	24557,06
YMR223W	--	--	--	30532,45	35275,72	23085,12	31123,48
YMR224C	--	--	--	42990,25	53617,40	51774,91	40961,18
YMR226C	--	+1,5	+1,7	72016,08	101075,52	108171,68	125966,59
YMR227C	--	--	--	34872,79	29361,31	39302,57	36629,31
YMR228W	+1,5	--	--	20410,09	31536,88	21874,21	23481,54
YMR229C	--	--	--	70080,97	56555,24	95348,31	71904,53
YMR231W	--	--	--	21495,77	27383,17	18599,40	21126,55
YMR232W	--	--	--	26732,31	33874,94	21925,33	27675,53
YMR233W	--	--	--	21412,19	28067,96	21624,71	24990,55
YMR234W	--	--	--	20514,61	28145,00	20747,60	22684,13
YMR235C	--	--	--	35725,46	37439,57	31156,42	31302,37
YMR236W	--	--	--	23943,62	34798,07	22931,71	28014,62
YMR237W	+1,6	--	--	17859,35	28159,23	16216,90	19520,43
YMR238W	--	--	--	69493,58	62232,52	80569,86	65417,89
YMR239C	--	--	--	24050,80	29937,40	30956,93	27989,56
YMR240C	--	--	--	21663,45	29559,32	23071,89	25290,14
YMR241W	--	--	--	21533,83	28429,21	21116,26	22807,20
YMR242C	--	--	--	119094,38	118235,03	145518,56	108536,10
YMR243C	--	--	--	52233,10	57479,84	51504,40	47360,61
YMR244W	--	--	--	22160,82	31594,68	20003,51	23196,07
YMR245W	--	--	--	25833,27	34664,90	29691,34	25452,17
YMR246W	--	--	--	44299,29	48865,98	50214,71	33945,40
YMR247C	+1,7	--	--	15571,90	25724,87	12215,87	17823,72
YMR250W	--	--	--	29408,71	32678,93	23778,38	29138,28
YMR251W	--	--	--	40138,78	39618,48	56707,42	46300,65
YMR252C	+1,6	--	--	18484,63	29536,52	19497,05	21999,65
YMR253C	--	--	--	21221,59	27965,12	19422,73	22705,15
YMR255W	--	--	--	41333,93	38371,85	42736,02	37150,31
YMR257C	--	--	--	20328,98	28158,70	18985,84	22241,25
YMR258C	+1,6	--	--	17340,38	27440,99	16055,64	19730,19
YMR259C	--	+1,5	--	40439,96	41169,46	61584,96	46265,12
YMR260C	--	--	--	87738,11	96808,86	100000,06	94859,95
YMR261C	--	--	--	29855,18	35380,70	25771,53	30122,73
YMR262W	--	--	--	31521,42	31874,81	42899,95	36576,98
YMR263W	--	--	--	30041,67	43540,63	42195,58	37609,54
YMR264W	+1,6	--	--	24468,53	39734,16	31096,48	31537,05
YMR265C	--	--	--	22007,51	29613,43	21813,48	23956,52
YMR266W	+1,7	--	--	16197,87	27234,12	15431,95	18696,24
YMR267W	--	--	--	33092,23	38476,21	34280,33	35211,60
YMR268C	+1,7	--	--	15814,52	27233,12	14395,19	20831,06
YMR269W	2,1	+1,6	--	62949,66	30365,09	99981,31	74821,99
YMR270C	--	--	--	21280,49	27852,94	19645,95	23012,88
YMR271C	--	--	--	20291,32	28094,93	21587,52	26451,24
YMR272C	--	--	--	29416,51	37316,22	29010,56	31895,13
YMR274C	--	--	--	26112,36	32558,15	26368,03	26989,16
YMR275C	--	--	--	42984,05	33611,39	58898,69	47115,51
YMR276W	--	--	--	86683,27	83723,99	83566,14	100773,56
YMR277W	--	--	--	24247,46	32128,23	24432,52	24745,70
YMR278W	--	--	--	24695,83	29663,89	20111,18	23972,72
YMR279C	--	--	--	28014,24	31008,17	25541,99	27763,52
YMR280C	--	--	--	23829,06	28364,22	25888,16	26580,17
YMR281W	--	--	--	26363,55	30306,76	23650,09	25065,82
YMR282C	--	--	--	29144,57	29499,32	27887,45	28240,10
YMR283C	--	--	--	18121,03	26972,26	15849,09	21502,51
YMR284W	--	--	--	20520,49	29248,05	21962,44	24932,39
YMR285C	--	--	--	20742,88	28939,02	18290,49	22077,15
YMR287C	--	--	--	18876,98	28175,89	19123,84	23017,67
YMR288W	--	--	--	22513,49	28298,12	25047,76	25973,87
YMR289W	+1,5	--	--	17777,54	27394,43	16261,08	21336,96
YMR290C	--	--	--	21827,03	29248,75	19606,34	23522,37
YMR291W	--	--	--	24221,43	29244,92	21026,63	25267,01
YMR293C	--	--	--	25082,89	32545,99	18539,44	24030,21
YMR294W	--	--	--	39812,81	35923,93	44205,14	41528,69
YMR295C	--	--	--	43352,83	56245,46	45338,66	44796,98
YMR296C	--	--	--	49903,49	49590,83	40169,39	41118,54
YMR297W	--	--	--	48245,09	60841,76	51273,96	50036,31
YMR298W	+1,5	--	--	24711,66	37959,36	31634,87	30238,24
YMR299C	--	--	--	19406,48	28488,56	18388,71	22373,65
YMR300C	--	--	--	31843,60	32296,93	27201,51	29436,10
YMR301C	--	--	--	31676,89	38574,58	28554,27	31192,27
YMR302C	--	--	--	26399,49	30653,52	20539,80	25618,88
YMR303C	--	--	--	86118,94	111052,70	94829,74	73573,73
YMR304W	--	--	--	47668,77	38005,80	67282,48	68776,93
YMR305C	--	--	--	42865,95	38557,00	47508,27	49456,88
YMR306W	-2	--	--	70712,36	36164,16	94237,02	77779,59
YMR307W	--	--	--	80631,78	97850,06	80903,48	72061,46
YMR308C	--	--	--	24041,42	35242,52	23324,24	24076,35
YMR309C	+1,7	--	--	16755,66	28678,45	16317,99	20579,38
YMR310C	--	--	--	31309,30	33367,67	28479,05	27105,91
YMR311C	--	--	--	59867,84	47218,56	57718,17	54765,96
YMR312W	--	--	--	57973,00	42852,29	55417,20	47431,67
YMR313C	+1,6	--	--	19009,95	30988,55	15811,91	21476,04
YMR314W	--	--	--	46037,84	46503,01	35099,89	47791,30
YMR315W	--	--	--	28962,66	35209,42	22041,52	30018,76
YMR316W	-1,7	--	--	89102,49	53406,57	132095,11	111303,29
YMR317W	--	--	--	19009,50	27304,72	20375,68	24500,28
YMR318C	--	--	--	32351,43	34878,86	41841,06	48322,79
YMR319C	+1,6	--	--	17731,45	27551,00	18149,37	21403,05
YMR320W	--	--	--	19005,80	26979,99	18210,24	20340,12
YMR321C	--	--	--	39532,54	55505,11	45796,97	53648,16
YMR322C	--	--	--	19028,19	27768,24	17391,62	22400,20
YMR323W	--	--	--	23042,22	28244,45	19295,61	24339,94
YMR325C	+1,7	--	--	16723,37	28012,24	13971,11	23377,91
YMR326C	+1,7	--	--	15706,07	27464,81	11456,57	21860,02
YNL001W	--	--	--	34707,56	30864,08	38409,71	33416,52
YNL002C	--	--	--	44135,24	50800,46	63180,66	52645,04
YNL003C	--	--	--	31839,56	35192,54	35625,29	35121,69
YNL004W	--	--	--	34128,08	36346,36	36478,45	32717,92
YNL005C	--	--	--	27437,54	37386,24	27626,56	29668,16
YNL006W	--	--	--	88903,72	86632,57	63348,76	66017,11
YNL007C	--	--	--	178108,94	173465,86	167677,73	140954,91
YNL008C	--	--	--	18704,74	27851,99	17641,38	21569,98
YNL009W	+1,6	--	--	17353,69	27519,66	17318,60	20166,09
YNL010W	--	--	--	40142,52	51128,20	41463,36	35262,33
YNL011C	--	--	--	21867,37	28909,01	20239,86	22480,27
YNL012W	--	--	--	22739,93	28757,69	20488,23	22601,55
YNL013C	--	--	--	38210,89	29888,01	41637,87	35013,49
YNL014W	--	--	--	25659,00	29096,06	26648,69	27999,51
YNL015W	+1,6	--	--	20603,51	33392,19	21396,88	23507,73
YNL016W	--	--	--	20012,57	29769,39	23058,40	24504,33

ORF	Änderungsfaktor			Normalisierte Signalintensität				ORF	Änderungsfaktor			Normalisierte Signalintensität			
	wt37	mut30	mut37	wt30	wt37	mut30	mut37		wt37	mut30	mut37	wt30	wt37	mut30	mut37
YNL070W	--	--	--	27971,03	33915,50	21223,43	26069,75	YNL169C	--	--	--	24079,81	28611,93	22326,13	23772,28
YNL071W	--	--	--	49693,33	54702,31	52678,77	42700,32	YNL170W	--	--	--	34039,33	32426,44	25187,53	26422,60
YNL072W	--	--	--	23609,91	30896,24	19406,92	23174,59	YNL171C	--	--	--	26912,28	31725,75	20759,39	25164,68
YNL073W	--	--	--	29288,29	38605,08	31129,22	32225,35	YNL172W	--	--	--	43770,50	45740,03	41542,32	39468,46
YNL074C	--	--	--	42541,39	40205,23	38033,92	34290,54	YNL173C	--	--	--	25051,92	32525,94	21436,03	27152,35
YNL075W	--	--	--	30122,36	38390,23	27908,01	30478,26	YNL174W	--	--	--	40778,05	37218,85	35497,26	39279,59
YNL076W	--	--	--	41622,46	35357,09	40833,10	38196,15	YNL175C	--	--	--	26576,64	32184,19	24652,25	29262,65
YNL077W	--	--	--	21323,28	28661,06	16850,41	21864,26	YNL176C	+1,6	--	--	17118,54	27963,43	14707,34	22178,17
YNL078W	--	--	--	32760,94	32223,55	26446,16	34329,37	YNL177C	--	--	--	31055,02	33220,51	25343,59	35276,07
YNL079C	--	--	--	36484,95	33946,96	36374,15	41356,32	YNL178W	--	--	--	271590,81	244527,03	305863,47	203791,07
YNL080C	--	--	--	31749,80	34569,91	34230,08	30164,25	YNL179C	-1,8	--	--	87482,40	48609,28	106017,64	87185,53
YNL081C	--	--	--	24716,82	34752,84	23179,30	31709,09	YNL180C	--	--	--	42879,54	36448,01	39964,30	37285,58
YNL082W	--	--	--	63983,90	49810,20	48110,97	48011,09	YNL181W	--	--	--	57833,09	42933,93	56189,90	44444,02
YNL083W	-1,7	--	--	76983,50	45164,75	90681,44	82413,29	YNL182C	--	--	--	26988,08	29978,97	25524,03	26356,06
YNL084C	--	--	--	27580,42	36222,20	29980,05	29369,22	YNL183C	+1,8	--	--	22224,82	39977,93	21256,93	24990,09
YNL085W	--	--	--	29198,85	31057,24	28886,95	28238,13	YNL184C	--	--	--	37818,98	36156,78	39086,83	33303,37
YNL086W	--	--	--	32259,00	33088,77	32975,25	28776,26	YNL185C	--	--	--	29411,48	38186,86	27497,50	29110,48
YNL087W	--	--	--	37014,35	33097,21	39622,63	34051,39	YNL186W	--	--	--	44686,01	33902,93	48209,83	43684,78
YNL088W	-1,7	--	--	66255,04	40122,18	66572,41	54170,55	YNL187W	--	--	--	45656,85	36875,43	54397,70	52044,19
YNL089C	+1,5	--	--	21494,31	32798,01	21443,59	25238,97	YNL188W	--	--	--	42590,28	34758,37	47377,76	56613,03
YNL090W	+1,6	--	--	22323,75	35277,64	20851,63	25726,91	YNL189W	+1,6	--	--	19592,10	31150,57	24600,39	25713,41
YNL091W	-1,8	--	--	103698,45	56500,54	131180,46	144587,62	YNL190W	--	+1,9	+1,8	51254,71	74963,41	94968,30	93227,52
YNL092W	--	--	--	25091,47	29627,40	26104,58	27793,70	YNL191W	+1,8	--	--	17097,04	30772,25	20291,19	22353,91
YNL093W	--	--	--	30638,21	30042,34	32125,28	28380,60	YNL192W	+1,7	--	--	15434,54	26344,76	14878,34	18599,73
YNL094W	--	--	--	19726,32	29081,09	20494,97	24804,89	YNL193W	+1,7	--	--	15277,75	26467,20	14476,78	18150,18
YNL095C	--	--	--	20780,71	28382,85	21108,01	23176,42	YNL194C	--	--	--	23955,56	27854,72	20261,67	23375,75
YNL096C	--	--	--	32892,79	32413,96	28715,47	29841,30	YNL195C	--	--	--	23520,33	26694,25	25393,81	24682,62
YNL097C	--	--	--	43810,41	35949,78	32351,51	34360,11	YNL196C	--	+1,7	--	38321,65	27769,08	64619,88	52815,61
YNL098C	--	--	--	29348,54	36930,04	26584,79	29369,22	YNL197C	--	--	--	19594,94	27784,03	20026,46	23581,08
YNL099C	--	--	--	24756,06	29894,38	20767,57	25037,22	YNL198C	+1,6	--	--	16803,93	27103,55	14446,35	17753,72
YNL100W	--	--	--	23741,04	30794,82	21079,86	23197,73	YNL199C	+1,6	--	--	17200,27	27520,35	13366,73	18691,59
YNL101W	--	--	--	43779,33	53120,44	44965,64	41819,65	YNL200C	--	--	--	21274,73	31177,12	17709,19	23650,01
YNL102W	--	--	--	42688,39	36370,15	49171,19	36024,39	YNL201C	--	--	--	19355,84	27980,75	21554,16	26170,83
YNL103W	--	--	--	28271,64	37278,00	31098,83	27690,54	YNL202W	--	--	--	26445,26	32970,40	32193,86	33480,43
YNL104C	--	--	--	26705,19	33017,89	19974,34	28550,73	YNL203C	+1,7	--	--	15383,53	26824,53	14475,96	19138,01
YNL105W	--	--	--	39949,30	40950,93	53566,34	42110,33	YNL204C	--	--	--	18369,46	26619,69	19337,33	21063,51
YNL106C	--	+1,6	--	47041,98	36558,34	73589,19	68142,53	YNL205C	--	--	--	24307,72	27748,99	28078,84	22638,62
YNL107W	+1,6	--	--	20665,53	33239,18	22853,03	24820,27	YNL206C	--	--	--	21354,45	28947,47	26853,86	23935,07
YNL108C	--	--	--	29187,30	33379,17	30686,78	30439,44	YNL207W	--	--	--	22567,30	31278,64	21509,90	22987,95
YNL109W	--	--	--	36214,33	35281,88	29397,79	33043,69	YNL208W	--	--	--	78116,83	109476,39	77040,91	74213,59
YNL110C	--	--	--	40852,12	46840,31	55653,43	43014,07	YNL209W	--	--	--	24345,48	31565,13	23373,59	22260,61
YNL111C	--	--	--	41061,54	54163,93	48213,73	37958,85	YNL210W	+1,6	--	--	16577,53	26886,26	12599,73	18493,71
YNL112W	--	--	--	44105,10	38008,43	49515,03	42882,82	YNL211C	--	--	--	18724,48	27609,44	15365,28	19120,34
YNL113W	--	--	--	30141,61	32877,20	28069,21	26560,14	YNL212W	+1,6	--	--	16877,46	26914,82	15263,87	18939,57
YNL114C	--	--	--	42504,00	41366,43	43787,31	34595,93	YNL213C	--	--	--	22409,12	28849,86	28734,29	27057,23
YNL115C	--	--	--	26165,37	28276,65	20322,27	21718,33	YNL214W	--	--	--	19697,36	28658,65	22180,84	25394,07
YNL116W	--	--	--	23940,13	30232,00	17888,36	24442,19	YNL215W	--	--	--	26448,33	26864,67	32738,67	29739,02
YNL117W	--	--	--	30302,07	31502,08	28934,50	31471,12	YNL216W	+1,7	--	--	15608,22	27064,13	16811,27	19110,86
YNL118C	+1,6	--	--	17356,93	26995,69	17795,72	20901,25	YNL217W	+1,7	--	--	22718,60	38103,81	32364,58	25222,02
YNL119W	+1,5	--	--	23001,48	35404,68	22443,68	24353,48	YNL218W	--	--	--	17786,88	26491,28	19224,27	20222,82
YNL120C	+1,5	--	--	18296,25	27762,79	18458,68	20531,59	YNL219C	+1,6	--	--	17314,55	27704,72	15366,72	18621,42
YNL121C	--	--	--	45180,31	45636,48	45950,02	36056,19	YNL220W	--	--	--	27527,83	32930,82	25232,15	26644,97
YNL122C	--	--	--	114123,13	103597,03	115297,65	83275,75	YNL221C	+1,6	--	--	16517,02	26536,82	15443,89	19270,72
YNL123W	--	--	--	94252,49	82210,18	95102,95	91415,70	YNL222W	--	--	--	21811,90	28748,60	16007,46	19885,39
YNL124W	--	--	--	19629,77	28738,48	19648,78	22029,77	YNL223W	--	--	--	23038,40	29299,63	19080,33	21318,16
YNL125C	--	--	--	20002,18	27136,44	19487,56	23435,20	YNL224C	--	--	--	19018,27	27034,65	16244,16	19788,88
YNL126W	--	--	--	21036,67	28593,72	20235,22	23469,11	YNL225C	--	--	--	31719,04	28167,15	43851,43	34350,13
YNL127W	+1,7	--	--	15458,92	26730,78	13295,80	18911,22	YNL226W	+1,5	--	--	17289,98	26306,98	18049,69	20197,38
YNL128W	--	--	--	18948,32	27856,19	16077,93	21080,27	YNL227C	--	+1,6	--	34195,85	29207,43	54708,21	44016,88
YNL129W	--	--	--	22153,39	27540,71	26340,46	24871,02	YNL228W	--	+1,5	--	39300,23	29891,01	59761,57	47313,04
YNL130C	--	--	--	38367,99	30752,45	57350,14	46775,31	YNL229C	+1,7	--	--	15507,22	26779,14	13736,79	18482,04
YNL131W	--	--	--	74534,17	94158,88	76298,24	75167,03	YNL230C	--	--	--	27989,71	28385,71	29953,58	26842,05
YNL132W	--	--	--	35359,97	41655,81	30390,00	31764,89	YNL231C	--	--	--	24779,78	30911,26	27267,03	27146,74
YNL133C	-1,6	--	--	47110,32	29909,25	51874,35	44126,86	YNL232W	--	--	--	25268,32	34930,42	36037,36	32360,87
YNL134C	-1,5	--	--	60351,94	39218,30	52309,46	75974,96	YNL233W	--	--	--	24272,12	29781,57	25647,95	25702,14
YNL135C	--	--	--	27548,94	34561,57	24457,83	30679,91	YNL234W	--	--	--	21876,56	29233,23	20536,46	22951,01
YNL136W	-1,6	--	--	56372,66	35364,85	64835,20	49011,92	YNL235C	--	--	--	26467,41	32027,23	21707,60	27758,18
YNL137C	--	--	--	29091,66	31176,84	25104,03	27045,68	YNL236W	+1,7	--	--	16277,29	27340,38	13701,09	21105,43
YNL138W	--	--	--	28642,83	32503,77	25208,15	25636,60	YNL237W	--	--	--	30134,11	28736,14	38300,69	34207,33
YNL139C	--	--	--	29719,17	32214,52	31372,03	34061,58	YNL238W	+1,6	--	--	15985,97	25853,08	16548,83	20515,83
YNL140C	--	--	--	21527,10	30256,84	20098,81	24228,59	YNL239W	+1,5	--	--	19623,27	29609,65	19328,21	25711,66
YNL141W	--	--	--	23069,50	34184,84	25513,48	27553,92	YNL240C	--	--	--	22826,90	31480,37	21949,73	27449,17
YNL142W	--	--	--	33666,75	30255,56	49128,26	45703,39	YNL241C	--	--	--	22647,43	29420,42	19967,59	25252,14
YNL143C	-1,9	+1,6	--	81297,09	43182,50	130857,30	105055,96	YNL242W	--	--	--	28905,55	30015,00	30406,59	3079

ORF	Änderungsfaktor			Normalisierte Signalintensität				ORF	Änderungsfaktor			Normalisierte Signalintensität			
	wt37	mut30	mut37	wt30	wt37	mut30	mut37		wt30	wt37	mut30	mut37			
YNL268W	--	--	--	25813,14	30423,27	25395,75	28169,86	YNR028W	--	--	--	25694,66	31662,38	23306,80	28830,14
YNL269W	+1,8	--	--	18009,24	32578,45	18950,48	21275,96	YNR029C	--	--	--	30136,16	34856,26	29493,44	31371,20
YNL270C	--	--	--	38008,41	31388,10	43100,15	37269,45	YNR030W	--	--	--	27997,42	36012,56	22436,53	26178,62
YNL271C	--	--	--	50747,26	34553,49	72356,53	65296,19	YNR031C	--	--	--	30084,90	29768,15	39380,65	34089,12
YNL272C	+2	--	--	14491,44	29521,31	10266,81	21155,11	YNR032W	--	--	--	21382,32	28888,14	18848,31	20950,41
YNL273W	+1,6	--	--	49825,42	31229,03	42451,03	49729,58	YNR033W	--	--	--	19586,61	28187,83	16001,12	22447,92
YNL274C	--	--	--	32245,67	35731,87	27941,03	28815,35	YNR034W	--	--	--	25545,61	30884,02	21070,87	27216,13
YNL275W	--	--	--	25119,50	29371,11	26895,66	26738,11	YNR035C	--	--	--	47267,61	59330,58	49343,12	49188,44
YNL276C	+1,7	--	--	22150,61	37180,85	23925,51	25984,58	YNR036C	--	--	--	38602,30	49488,62	36899,98	38727,24
YNL277W	--	--	--	26939,66	31352,16	26823,28	28521,04	YNR037C	--	--	--	33513,71	45202,85	29253,77	39495,11
YNL278W	--	--	--	20889,08	27801,85	16145,58	20232,78	YNR038W	+1,6	--	--	17840,03	29295,64	13105,46	20697,40
YNL279W	--	--	--	20430,53	29229,74	17329,44	21337,38	YNR039C	+1,6	--	--	19594,82	30762,95	19567,95	22482,27
YNL280C	--	+2,6	--	32292,33	36353,37	84203,10	31656,62	YNR040W	--	--	--	21445,37	28270,53	21577,02	25694,22
YNL281W	--	+1,6	--	40755,59	50372,40	63809,32	34434,27	YNR041C	--	--	--	31107,18	39535,75	40339,03	45978,49
YNL282W	+1,5	--	--	22262,26	33812,70	19017,02	24070,98	YNR042W	--	--	--	23157,85	28031,23	23509,66	26831,58
YNL283C	--	--	--	34338,12	35332,07	33159,75	38624,81	YNR043W	--	--	--	53117,92	58503,25	43585,77	51013,81
YNL284C	--	--	--	25693,45	33115,11	22568,87	29061,12	YNR044W	--	--	--	30103,44	28506,52	28020,98	25589,18
YNL285W	+1,6	--	--	16687,22	27190,52	16395,02	19777,86	YNR045W	--	--	--	44586,74	32620,05	54652,75	41771,98
YNL286W	+1,6	--	--	17129,95	26683,25	16241,19	18630,51	YNR046W	--	--	--	39175,66	50328,20	43314,48	42256,82
YNL287W	+1,6	--	--	16108,97	25718,40	16222,46	18670,84	YNR047W	+1,7	--	--	16195,68	27392,68	14684,09	19408,47
YNL288W	--	--	--	24249,82	28507,44	22757,92	25213,68	YNR048W	--	--	--	25880,27	32283,85	22045,81	24389,99
YNL289W	+1,6	--	--	16414,20	26128,87	16853,19	18447,39	YNR049C	--	--	--	25982,61	35317,42	25026,36	25508,37
YNL290W	--	--	--	61968,59	42187,53	77336,27	53613,67	YNR050C	--	--	--	23673,05	30086,91	21968,51	24755,32
YNL291C	--	--	--	18589,41	27374,95	15528,46	18130,94	YNR051C	--	--	--	36411,26	37625,84	42748,12	35470,10
YNL292W	--	--	--	21365,29	29405,44	17673,51	20545,00	YNR052C	--	--	--	44664,87	42600,46	58661,76	57835,85
YNL293W	--	--	--	21432,06	27867,58	19822,31	21887,24	YNR053C	--	--	--	26096,97	29078,83	34024,50	33841,46
YNL294C	+1,6	--	--	17139,00	27638,59	16324,15	19336,82	YNR054C	--	--	--	45790,00	43184,64	67067,92	57054,75
YNL295W	--	--	--	21323,51	27509,92	19093,44	23959,68	YNR055C	--	--	--	26625,66	33531,44	24718,57	26675,12
YNL296W	+1,6	--	--	16097,10	26267,77	14850,39	19055,11	YNR056C	+1,8	--	--	21501,26	38943,83	17706,31	26463,75
YNL297C	--	--	--	27257,80	30568,71	27845,33	27766,53	YNR057C	--	--	--	20139,66	27046,91	21312,76	20827,09
YNL298W	+1,7	--	--	15514,14	25960,82	16728,88	18778,13	YNR058W	--	--	--	25747,79	36457,58	27910,72	27345,22
YNL299W	--	--	--	18123,06	27088,91	20025,44	20636,74	YNR059W	+1,7	--	--	16603,35	26530,64	14005,57	17820,14
YNL300W	--	--	--	26721,08	33947,53	24875,62	25440,61	YNR060W	--	--	--	35213,05	35760,09	32702,58	30298,86
YNL301C	--	--	--	75003,25	99073,13	99693,75	73194,79	YNR061C	--	--	--	26373,26	30324,47	20649,42	20949,85
YNL302C	--	--	--	94349,12	81808,44	81473,94	70485,80	YNR062C	--	--	--	22651,18	28094,08	19601,70	21608,02
YNL303W	--	--	--	19109,34	26763,52	15265,96	19288,35	YNR063W	+1,6	--	--	16836,42	26722,76	15151,60	20125,02
YNL304W	--	--	--	21924,68	28765,14	18392,19	19779,77	YNR064C	--	--	--	21397,51	27213,45	22724,56	26785,17
YNL305C	--	--	--	22319,99	27473,33	19780,91	22834,57	YNR065C	+1,6	--	--	16211,20	26243,79	16610,42	20432,07
YNL306W	--	--	--	23906,97	29432,16	22834,27	23200,53	YNR066C	--	--	--	27361,64	27664,12	38087,73	32160,62
YNL307C	+1,8	--	--	15491,58	27679,31	14522,12	20443,00	YNR067C	--	--	--	19867,11	28087,61	19583,67	20652,06
YNL308C	--	--	--	27345,81	30408,19	37993,49	33324,82	YNR068C	+1,8	--	--	15222,41	26774,34	15304,76	17266,93
YNL309W	--	--	--	21414,06	28813,68	24505,20	23305,09	YNR069C	+1,6	--	--	16567,48	27148,23	15998,44	18659,45
YNL310C	+1,5	--	--	21613,12	33345,45	24799,41	26756,52	YNR070W	+1,6	--	--	17781,99	28048,60	16757,95	19836,58
YNL311C	+1,6	--	--	16588,56	27018,04	19876,56	18614,41	YNR071C	+1,7	--	--	19969,20	32784,20	19642,34	23330,02
YNL312W	--	--	--	28801,68	34104,97	29868,18	30284,61	YNR072W	+1,6	--	--	16253,81	26564,27	14855,37	20912,49
YNL313C	+1,7	--	--	16558,83	27364,92	15539,41	21418,38	YNR073C	--	--	--	18186,65	26925,05	16837,83	20730,75
YNL314W	--	--	--	19806,96	28414,80	21280,67	23485,55	YNR074C	--	--	--	20172,87	26763,79	18105,98	20487,33
YNL315C	--	--	--	31031,55	36362,26	30245,75	27677,55	YNR075W	+1,6	--	--	16612,15	26760,38	16257,67	22105,81
YNL316C	--	--	--	19692,50	28781,41	15142,96	19285,49	YNR076W	--	--	--	28615,84	29508,34	39535,60	36485,53
YNL317W	+1,6	--	--	17794,92	28651,40	14633,01	22139,86	YNR077C	--	--	--	22224,93	27531,17	31098,57	28175,23
YNL318C	--	--	--	19985,67	28309,76	16265,51	20705,05	YOL001W	--	--	--	28985,30	38293,00	35827,76	39323,18
YNL319W	--	--	--	21365,55	27731,77	28364,58	26012,74	YOL002C	+1,6	--	--	18829,58	30910,09	20362,42	24930,16
YNL320W	+1,7	--	--	15785,74	26548,47	16838,92	20235,17	YOL003C	--	--	--	22387,89	29858,13	20476,71	23890,02
YNL321W	--	+1,6	--	33676,83	29583,88	53150,47	42210,63	YOL004W	--	--	--	33241,36	31522,90	33466,86	36984,31
YNL322C	--	--	--	24251,11	35406,31	26924,42	28396,70	YOL005C	--	--	--	27511,48	38203,72	27940,16	36494,24
YNL323W	--	--	--	19318,27	27315,12	15440,71	19812,85	YOL006C	+1,7	--	--	16741,68	27629,85	17190,47	20525,41
YNL324W	--	--	--	20797,12	28183,94	18250,43	20337,17	YOL007C	+1,8	--	--	15757,86	27596,81	15073,86	19054,84
YNL325C	+1,5	--	--	18858,42	28803,71	16533,76	21156,59	YOL008W	--	--	--	25491,31	32457,33	20872,46	25133,88
YNL326C	--	--	--	22280,35	29458,23	21022,62	23626,80	YOL009C	--	--	--	20499,10	28838,56	18903,17	23294,76
YNL327W	+1,6	--	--	17183,49	28073,27	15193,13	20512,90	YOL010W	--	--	--	25013,00	36099,46	26959,59	26989,82
YNL328C	--	--	--	20585,08	27718,65	16153,30	21968,27	YOL011W	+1,5	--	--	17955,74	27825,05	16801,67	21225,76
YNL329C	+1,6	--	--	17182,24	27149,34	13351,10	21478,22	YOL012C	--	--	--	20526,78	28647,11	21841,12	24270,04
YNL330C	--	--	--	22458,85	30099,80	20558,06	22942,72	YOL013C	--	--	--	33962,24	33618,30	50817,31	42441,48
YNL331C	--	--	--	29943,41	28479,71	35601,72	34239,37	YOL014W	+1,6	--	--	15914,78	26255,76	13708,37	21173,03
YNL332W	+1,6	--	--	17234,67	27981,42	18387,49	21496,37	YOL015W	+1,7	--	--	17320,94	28615,34	19835,16	21895,36
YNL333W	+1,5	--	--	22338,55	34589,23	24959,34	28625,34	YOL016C	+1,8	--	--	14906,25	26877,25	14183,78	19305,53
YNL334C	--	--	--	24956,61	28686,51	25205,86	25403,65	YOL017W	--	--	--	18780,63	26933,77	17517,96	19859,05
YNL335W	--	--	--	19736,97	28690,48	16331,22	20149,81	YOL018C	--	+1,6	--	57297,39	49891,61	91610,61	61945,94
YNL336W	--	--	--	23696,49	33638,66	25131,29	25553,75	YOL019W	+1,5	--	--	18666,99	28882,75	17826,56	22604,79
YNL337W	--	--	--	25885,55	28415,83	23533,48	26208,54	YOL020W	--	--	+1,5	11383,29	210006,63	89610,76	75393,44
YNL338W	--	--	--	31227,89	30040,11	25101,19	28988,25	YOL021C	+1,5	--	--	18175,08	27327,75	15575,39	20858,14
YNL339C	--	--	--	60657,82	48343,23	71870,33	23549,70	YOL022C	--	--	--	27613,53	34533,93	22225,94	21324,60
YNR001C	--	--	--	18897,03	27240,10	14924,32	21440,76	YOL023W	--	--	--	19477,66	27448,29	17488,35	19400,27
YNR002C	--	--	--	17950,79	26907,45	16537,25	23857,52	YOL024W	+1,6	--	--	17074,39	27217,27	15157,35	20031,91
Y															

ORF	Änderungsfaktor			Normalisierte Signalintensität				ORF	Änderungsfaktor			Normalisierte Signalintensität			
	wt37	mut30	mut37	wt30	wt37	mut30	mut37		wt37	mut30	mut37	wt30	wt37	mut30	mut37
YOL050C	+1.6	--	--	17833.94	28774.95	18147.52	21765.41	YOL148C	+1.6	--	--	17438.41	27878.44	14210.65	19648.30
YOL051W	--	--	--	18091.69	26312.57	12349.47	19927.32	YOL149W	+1.6	--	--	17116.15	27243.10	15597.40	22100.87
YOL052C	--	--	--	28900.79	32844.20	27019.19	30170.83	YOL150C	--	--	--	36575.39	29268.47	30203.28	34744.28
YOL053C	--	--	--	24714.51	33220.47	28454.97	29839.02	YOL151W	--	--	--	40471.17	39290.46	48096.20	59824.98
YOL053W	+1.6	--	--	17924.88	28757.09	14730.78	20861.55	YOL152W	--	--	--	28164.43	28351.60	39288.81	31837.47
YOL054W	+1.6	--	--	16450.00	26567.39	13840.79	18580.88	YOL153C	--	--	--	54680.14	37788.43	43996.48	47604.07
YOL055C	--	--	--	36884.76	44567.20	41638.09	39086.45	YOL154W	--	--	--	22331.67	27198.15	22425.70	24567.29
YOL056W	--	--	--	37520.15	40084.05	37609.27	36856.08	YOL155C	--	--	--	27700.63	33285.98	22763.25	26303.88
YOL057W	--	--	--	26821.09	27730.19	26336.41	31267.71	YOL156W	--	--	--	26279.08	32053.12	30331.39	28924.05
YOL058W	--	--	--	20721.25	29574.60	17318.21	25313.25	YOL157C	--	--	--	83839.61	56317.78	65628.06	59199.40
YOL059W	+1.7	--	--	15314.14	26528.28	13943.58	19187.29	YOL158C	--	--	--	26953.00	28103.23	25709.94	27482.44
YOL060C	+1.6	--	--	16318.20	26572.57	15025.86	20129.61	YOL159C	--	--	--	25456.21	36330.72	24297.89	30524.19
YOL061W	+1.7	--	--	16246.54	27070.92	17337.64	20966.60	YOL160W	--	--	--	23537.63	28253.86	20709.97	26278.98
YOL062C	--	--	--	27810.31	32318.15	26453.70	25681.53	YOL161C	+1.6	--	--	20298.13	32901.71	15539.95	20805.93
YOL063C	+1.6	--	--	16968.48	27414.88	15993.81	19964.65	YOL162W	--	--	--	31678.00	40432.79	30183.40	34164.94
YOL064C	+2.3	--	--	15906.96	36809.04	14045.47	20117.46	YOL163W	--	--	--	33019.17	27739.01	26294.50	31272.31
YOL065C	--	--	--	19169.87	27543.19	16249.29	22745.82	YOL164W	--	--	--	22430.00	28220.92	20968.08	27539.57
YOL066C	+1.7	--	--	17704.74	29312.43	13917.65	20010.21	YOL165C	--	--	--	54274.69	42069.32	39774.95	52730.28
YOL067C	--	--	--	19114.99	27131.84	16440.23	22082.57	YOL166C	--	--	--	58714.37	45772.20	46326.83	43238.18
YOL068C	+1.6	--	--	16291.60	26722.55	13289.98	21038.89	YOR001W	--	--	--	100883.03	76122.70	86168.97	76176.88
YOL069W	+1.6	--	--	17006.61	27205.81	12657.62	23861.02	YOR002W	--	--	--	34544.84	35967.81	33944.95	32418.30
YOL070C	+1.5	--	--	18546.27	27867.04	19191.06	23632.85	YOR003W	--	--	--	42228.32	42416.04	46649.58	37574.39
YOL071W	--	--	--	61986.95	46514.25	54062.75	47457.34	YOR004W	--	--	--	41344.78	42139.68	52306.55	40251.80
YOL072W	+1.7	--	--	16914.00	28369.15	13689.01	17639.77	YOR005C	--	--	--	21607.50	28832.30	18889.01	22426.36
YOL073C	+1.8	--	--	15948.35	28242.54	14279.74	18271.62	YOR006C	--	--	--	32899.29	35639.30	36886.56	34932.27
YOL074C	+1.6	--	--	16752.15	27616.85	15119.86	19409.86	YOR007C	+1.5	--	--	87742.86	134706.12	112944.74	128704.10
YOL075C	2	--	--	69251.75	35389.70	85107.89	82298.28	YOR008C	--	--	--	36533.09	35186.27	45548.52	39043.36
YOL076W	--	--	--	28856.95	32805.76	24041.58	24021.63	YOR009W	--	--	--	38994.15	31371.74	34070.30	37208.02
YOL077C	--	--	--	27581.31	37911.01	29004.85	30306.07	YOR010C	--	--	--	95692.93	65053.37	124963.64	92714.72
YOL078W	+1.7	--	--	20077.70	34111.52	18119.74	21881.85	YOR011W	+1.6	--	--	82861.89	59137.58	134214.45	122164.36
YOL079W	--	--	--	22435.67	29233.23	19208.79	24129.51	YOR012W	--	--	--	27519.59	30629.12	25949.14	27878.60
YOL080C	+1.6	--	--	17524.55	27547.69	12622.09	21080.00	YOR013W	--	--	--	25706.57	37397.52	28773.39	30370.78
YOL081W	+1.8	--	--	14739.07	26982.86	11008.42	19792.90	YOR014W	--	--	--	46912.58	55876.42	51251.50	42117.20
YOL082W	--	-1.6	--	24628.39	30951.58	15036.25	26524.87	YOR015W	-1.6	--	--	58890.18	37311.76	65814.66	56287.98
YOL083W	+1.6	--	--	19021.92	30056.14	19666.01	27582.31	YOR016C	--	--	--	18489.91	26735.12	13921.42	18675.81
YOL084W	+1.9	--	--	16566.27	31157.29	12050.83	21650.30	YOR017W	--	--	--	28511.38	29707.08	24571.24	25621.57
YOL085C	--	--	--	31133.68	39380.84	23456.45	25329.77	YOR018W	--	--	--	30505.78	30921.98	26478.44	27958.40
YOL086C	--	--	--	38238.03	30526.73	28422.93	26636.20	YOR019W	--	--	--	82406.98	77345.31	94954.70	58142.44
YOL087C	--	--	--	20069.25	27680.70	17694.83	21079.95	YOR020C	+1.8	+1.9	--	100523.32	180548.43	186170.53	150258.40
YOL088C	--	--	--	22189.74	32102.69	20370.71	24768.00	YOR021C	+1.7	--	--	66710.28	116712.93	80427.69	89484.91
YOL089C	+2.1	--	--	16179.49	34025.98	17149.36	20845.12	YOR022C	--	--	--	45062.04	35805.21	48513.30	50170.16
YOL090W	+1.8	--	--	17302.65	31268.65	13134.74	19525.96	YOR023C	--	--	--	54496.61	42099.43	68601.00	11537.10
YOL091W	+1.6	--	--	18251.89	29217.99	15926.19	20941.67	YOR024W	--	--	--	25514.46	29636.60	29634.52	28741.23
YOL092W	--	--	--	28044.19	40292.61	21949.52	28348.86	YOR025W	+1.7	--	--	93818.79	92688.87	159089.39	133024.14
YOL093W	--	--	--	20900.83	30116.05	18439.53	25809.20	YOR026W	--	--	--	42889.98	45135.71	39862.67	37399.34
YOL094C	+1.6	--	--	23301.10	37855.92	20748.69	24277.98	YOR027W	--	--	--	65685.97	51156.23	60248.46	60413.98
YOL095C	--	--	--	24741.81	28993.02	27345.11	25171.37	YOR028C	--	--	--	45885.56	41821.71	39810.10	40502.35
YOL096C	--	--	--	35463.65	36889.11	45668.33	48139.10	YOR029W	-1.5	--	--	43909.26	28681.45	60212.28	45066.07
YOL097C	--	--	--	40894.27	58025.91	53969.30	53003.01	YOR030W	--	--	--	47422.73	40992.83	64166.14	48980.49
YOL098C	--	--	--	31691.45	33162.78	25553.54	25077.04	YOR031W	--	--	--	25441.08	37553.75	25564.85	29408.72
YOL099C	--	--	--	21421.25	29731.13	23368.72	24968.85	YOR032C	--	--	--	23597.73	32130.46	28449.63	23624.69
YOL100W	--	--	--	20912.53	28729.12	19492.56	22022.38	YOR033C	+1.6	--	--	17122.18	27172.67	14818.08	19282.86
YOL101C	-1.9	--	--	60591.09	31993.96	82460.55	69450.79	YOR034C	+1.5	--	--	18939.00	28477.37	16036.94	21029.12
YOL102C	+1.5	--	--	18081.22	27510.61	16318.97	20581.22	YOR035C	-5.8	--	--	202373.70	52840.55	286724.92	202017.18
YOL103W	+1.7	--	--	16907.15	28438.18	22506.05	24766.40	YOR036W	--	--	--	37881.73	36326.55	49214.58	46468.09
YOL104C	+1.6	--	--	16812.08	27075.19	14328.99	20870.42	YOR037W	+1.5	--	--	41115.09	35346.56	63454.53	46366.38
YOL105C	--	+1.5	--	43129.51	32751.43	64770.55	54318.94	YOR038C	--	--	--	21847.07	26671.92	24199.75	23850.14
YOL106W	-1.7	--	--	60774.12	35880.51	50160.09	47594.64	YOR039W	--	--	--	46504.90	36930.75	58067.73	45482.59
YOL107W	--	+1.6	--	52750.50	40211.37	85270.10	59520.63	YOR040W	--	--	--	28263.29	32589.49	26326.53	28374.64
YOL108C	--	--	--	39009.25	35022.85	46826.41	40344.70	YOR041C	--	--	--	24041.55	29023.34	23974.15	25198.72
YOL109W	+2.3	+2.1	+1.6	141700.54	320420.50	295764.32	220390.73	YOR042W	--	--	--	30092.57	32331.03	30791.07	28074.24
YOL110W	--	--	--	27205.09	30934.90	30774.20	28132.38	YOR043W	--	--	--	38906.20	38172.72	42543.97	37401.45
YOL111C	--	--	--	60098.31	51305.64	70277.83	63013.80	YOR044W	--	--	--	80817.84	68355.91	81691.33	54060.50
YOL112W	--	--	--	32171.84	32932.04	34052.69	31392.08	YOR045W	--	--	--	49003.22	37965.31	38091.94	33020.33
YOL113W	--	--	--	21537.07	29810.58	23653.24	23939.73	YOR046C	--	--	--	119655.08	138391.45	125213.18	130703.63
YOL114C	--	--	--	24451.89	31615.24	23559.64	20797.09	YOR047C	--	--	--	42190.18	37285.64	49912.73	45208.16
YOL115W	-1.6	--	-1.6	76180.03	47481.03	76141.90	49045.25	YOR048C	--	--	--	25067.47	31942.02	31267.49	31483.64
YOL116W	--	--	--	53944.54	45842.91	48641.60	39843.97	YOR049C	--	--	--	217976.53	235576.54	256581.44	250341.45
YOL117W	-1.6	--	--	53300.63	34322.84	66140.86	50571.63	YOR050C	--	--	--	22152.56	29545.55	25965.71	25599.36
YOL118C	--	--	--	21751.83	28887.55	22528.32	25932.49	YOR051C	--	--	--	37019.79	41098.12	54612.46	38358.24
YOL119C	--	--	--	19894.41	27915.55	21915.24	24170.33	YOR052C	+1.6	--	--	41512.17	41732.68	68129.02	49631.37
YOL120C	--	--	--	206118.03	215492.72	240627.50	180588.49	YOR053W	--	--	--	55996.91	40270.44	66628.50	61891.61
YOL121C	--	--	--	80602.73	64990.56	83110.82	67772.34	YOR054C	--	--	--	33724.05	34920.28	44236.90	38786.61
YOL122C	--	--	--	50477.34	38436.74	74952.18	56324.45	YOR055W	--						



ORF	Änderungsfaktor			Normalisierte Signalintensität				ORF	Änderungsfaktor			Normalisierte Signalintensität			
	wt37	mut30	mut37	wt30	wt37	mut30	mut37		wt30	wt37	mut30	mut37			
YOR081C	--	--	--	21814,01	27316,05	28881,74	25913,97	YOR180C	--	--	--	19519,24	26762,15	18213,65	21835,01
YOR082C	<b>-2,1</b>	<b>+1,6</b>	--	68921,60	33209,67	108550,01	79908,92	YOR181W	--	--	--	38584,60	33046,97	31420,17	36134,74
YOR083W	--	--	--	36996,48	31669,84	29739,23	36822,39	YOR182C	<b>-2,1</b>	--	--	115296,55	55990,37	117528,50	104094,09
YOR084W	--	--	--	23531,02	30707,96	24710,80	30075,05	YOR183W	--	--	--	23642,33	29166,60	23677,94	26558,50
YOR085W	--	--	--	26732,22	29981,59	26584,60	29191,20	YOR184W	--	--	--	32026,56	36379,72	29241,21	34831,76
YOR086C	--	--	--	22605,92	27101,35	23700,67	26058,43	YOR185C	--	--	--	34680,31	43061,81	31314,54	31433,19
YOR087W	--	--	--	23615,61	28202,43	20172,31	23668,29	YOR186W	--	--	--	19947,50	27332,89	17900,55	24467,31
YOR088W	--	--	--	40079,18	36951,39	39600,50	37816,17	YOR187W	--	--	--	56359,59	53099,45	46093,91	49286,91
YOR089C	--	--	--	55580,24	41939,44	69625,61	68792,41	YOR188W	--	--	--	93388,90	64404,55	120694,64	82210,78
YOR090C	--	--	--	24648,76	33062,77	22044,53	25179,78	YOR189W	--	--	--	34727,71	30970,47	30584,05	35755,16
YOR091W	--	--	--	58097,98	72139,15	63449,62	57272,39	YOR190W	--	--	--	53745,92	43337,31	37436,85	40173,41
YOR092W	--	--	--	36512,85	31335,11	41476,59	37392,74	YOR191W	--	--	--	33035,69	30898,35	39801,01	34518,14
YOR093C	--	--	--	49719,37	34519,18	63942,23	64224,41	YOR192C	--	--	--	36646,62	38081,68	37389,59	33972,28
YOR094W	<b>-1,5</b>	--	--	52095,73	33757,99	70563,95	64726,09	YOR193W	<b>+1,6</b>	--	--	18807,50	29604,96	16537,23	21086,36
YOR095C	--	--	--	85388,59	62987,32	61045,15	69099,32	YOR194C	--	--	--	50767,43	36299,59	47047,25	47974,33
YOR096W	--	--	--	224599,46	212550,21	269500,38	231473,89	YOR195W	--	--	--	27876,48	31704,14	26488,07	25925,05
YOR097C	--	--	--	34398,70	37618,53	34431,50	37841,27	YOR196C	--	--	--	21388,53	29819,13	19853,71	27611,90
YOR098C	--	--	--	45144,11	37361,10	47036,44	40190,39	YOR197W	--	--	--	39984,69	40063,31	42335,66	42960,22
YOR099W	--	--	--	37315,09	48515,85	36578,03	29655,76	YOR198C	--	--	--	101328,09	80572,02	111806,49	86358,08
YOR100C	--	--	--	48603,03	46523,88	53883,31	48983,44	YOR199W	--	<b>+2,1</b>	<b>+1,9</b>	72152,20	52341,18	149088,43	137581,03
YOR101W	--	--	--	49192,12	43504,01	40601,46	45795,61	YOR200W	--	--	--	41378,33	40195,31	56950,96	48554,05
YOR102W	<b>+1,5</b>	--	--	22537,09	34462,30	22395,28	27196,44	YOR201C	--	--	--	26669,86	37171,42	29807,03	32878,41
YOR103C	<b>+1,5</b>	--	--	24950,32	37979,29	26643,82	28881,89	YOR202W	<b>+1,6</b>	<b>+2,9</b>	<b>+2,7</b>	25043,68	39014,16	73330,25	68518,94
YOR104W	--	--	--	35458,34	30860,22	43908,49	42194,77	YOR203W	<b>-1,7</b>	<b>+1,9</b>	--	52237,35	30991,86	97166,38	72046,99
YOR105W	<b>-1,5</b>	--	--	54782,93	36298,36	51666,43	51463,75	YOR204W	--	--	--	23074,93	27294,97	18178,64	21407,61
YOR106W	--	--	--	52486,15	42968,93	58863,55	49099,75	YOR205C	--	--	--	22258,28	31405,23	20925,61	23729,09
YOR107W	--	--	--	55262,31	44545,97	66828,40	54204,81	YOR206W	--	--	--	26484,79	32848,50	35744,19	28006,17
YOR108W	--	--	--	28942,61	33056,05	26356,21	29661,72	YOR207C	--	<b>+1,7</b>	--	21772,83	31177,79	36996,76	24779,43
YOR109W	<b>+1,8</b>	--	--	20439,49	36945,64	17441,21	21855,95	YOR208W	<b>+1,5</b>	--	--	24933,04	38402,99	24916,96	26572,00
YOR110W	--	--	--	62611,57	44448,62	78991,78	61342,30	YOR209C	--	--	--	71222,19	77915,18	91355,09	92237,94
YOR111W	--	--	--	26831,26	29097,09	24819,27	24568,08	YOR210W	--	--	--	43720,32	40535,61	65563,28	56197,33
YOR112W	--	--	--	30378,38	32672,09	27185,85	29779,29	YOR211C	<b>+1,7</b>	--	--	16065,64	27308,30	14370,21	20421,97
YOR113W	--	--	--	22809,31	31162,35	19975,06	28328,80	YOR212W	<b>+1,5</b>	--	--	20184,24	30550,73	19753,66	24741,69
YOR114W	--	--	--	42576,96	43319,64	39556,67	34922,77	YOR213C	<b>+1,6</b>	--	--	34642,85	54196,72	37557,78	37637,88
YOR115C	--	--	--	50831,06	53870,39	52907,67	43327,74	YOR214C	--	--	--	28254,51	30701,43	29645,58	27625,84
YOR116C	<b>+2</b>	<b>+1,9</b>	<b>+1,7</b>	95485,83	187665,29	177804,77	166656,57	YOR215C	--	--	--	36965,41	48666,87	40923,53	39405,63
YOR117W	<b>-1,5</b>	--	--	122937,90	80141,04	117008,44	97236,32	YOR216C	--	--	--	55759,49	41889,84	69265,10	53424,37
YOR118W	<b>-1,7</b>	--	--	70438,47	40716,70	91198,87	86061,66	YOR217W	--	--	--	21360,64	28888,50	22859,46	26351,94
YOR119C	<b>+1,6</b>	--	--	16827,25	26795,57	13761,28	19727,52	YOR218C	--	--	--	31165,73	34395,01	30582,12	32481,25
YOR120W	--	--	--	24035,50	35309,25	29523,24	31826,13	YOR219C	--	--	<b>+1,6</b>	23026,50	30225,51	30574,41	36137,94
YOR121C	<b>+1,6</b>	--	--	21607,03	34112,01	24036,77	26576,53	YOR220W	<b>+1,8</b>	--	--	17213,57	31278,53	14734,71	18679,80
YOR122C	--	--	--	52363,39	67910,99	43814,39	49539,35	YOR221C	--	--	--	39661,78	39083,72	36717,47	33589,83
YOR123C	--	--	--	44718,88	53388,67	47164,91	39655,50	YOR222W	--	--	--	71159,94	63343,78	60301,70	67233,67
YOR124C	--	<b>+1,8</b>	--	41750,79	37728,67	73835,71	54948,57	YOR223W	--	--	--	26527,74	30386,34	31377,33	35603,43
YOR125C	--	--	--	39323,43	34185,70	38641,94	34788,09	YOR224C	--	--	--	122005,91	104833,34	138722,31	103094,39
YOR126C	--	--	--	21163,89	29456,42	22460,43	23876,61	YOR225W	--	--	--	29716,89	31057,56	41628,52	34664,54
YOR127W	--	--	--	23611,59	31558,23	28474,56	26436,87	YOR226C	--	--	--	25593,01	31068,19	26126,29	32715,60
YOR128C	--	--	--	55040,64	48653,23	78226,97	61611,70	YOR227C	--	--	--	35401,55	31987,12	39252,34	36431,80
YOR129C	--	--	--	40387,09	34895,33	35390,77	33022,40	YOR228C	--	--	--	19819,67	26691,78	19176,93	19943,24
YOR130C	--	<b>+1,5</b>	--	116251,72	138008,96	176271,04	144349,74	YOR229W	--	--	--	21366,36	28455,56	23757,98	25576,18
YOR131C	--	--	--	32283,01	29966,43	43524,51	34180,79	YOR230W	--	--	--	67892,28	56663,65	84681,26	60078,34
YOR132W	--	--	--	30018,81	32170,25	43814,12	36652,16	YOR231W	--	--	--	22027,08	26966,44	18765,16	20525,48
YOR133W	--	--	--	70993,87	60716,78	59821,38	62855,66	YOR232W	--	--	--	42599,33	50333,63	37801,68	32972,13
YOR134W	<b>+1,6</b>	--	--	17050,08	27553,66	17554,55	20451,04	YOR233W	--	--	--	23223,53	29290,81	20181,99	22112,54
YOR135C	<b>+2,2</b>	<b>+2,2</b>	<b>+1,6</b>	253005,42	558188,08	544791,77	417061,23	YOR234C	--	<b>-1,5</b>	--	74399,18	58337,94	49454,94	55238,91
YOR136W	--	--	--	55944,03	47520,06	60082,96	60564,87	YOR235W	--	--	--	32903,56	27194,94	38549,89	32474,61
YOR137C	--	--	--	23546,88	29321,43	24862,42	24129,83	YOR236W	--	--	--	36480,87	45288,09	37357,42	38833,82
YOR138C	--	--	--	19533,72	28110,72	20925,26	20629,37	YOR237W	--	--	--	33309,70	29081,22	46275,10	34749,77
YOR139C	--	--	--	23632,85	27222,26	26858,43	23565,32	YOR238W	--	--	--	19746,73	27733,13	21598,58	21599,49
YOR140W	--	--	--	35455,89	38902,73	32674,79	29787,54	YOR239W	<b>-2,3</b>	--	--	187689,12	80084,09	186294,03	134606,87
YOR141C	--	--	--	56198,55	44925,19	45782,33	38657,35	YOR240W	<b>+1,6</b>	--	--	18461,25	29982,12	20052,29	22087,52
YOR142W	--	--	--	38838,25	38530,25	35633,73	28864,17	YOR241W	--	--	--	43664,44	38684,05	54639,52	44139,13
YOR143C	<b>+1,6</b>	--	--	17701,77	28306,03	19610,11	22020,16	YOR242C	--	--	--	29481,11	32983,13	33320,54	30378,12
YOR144C	--	--	--	25189,78	28063,07	28815,50	25208,49	YOR243C	--	--	--	33647,01	35471,35	37000,55	33956,42
YOR145C	<b>-1,5</b>	--	--	83857,72	55818,92	101043,35	75266,53	YOR244W	--	--	--	36187,02	35811,72	37181,71	29212,34
YOR146W	<b>+1,5</b>	--	--	19542,60	29790,28	26502,99	22096,79	YOR245C	--	--	--	26893,67	31981,81	34812,11	30303,67
YOR147W	--	--	--	22530,27	31071,13	22977,81	23801,92	YOR246C	--	--	--	35741,30	38969,95	39733,99	35077,90
YOR148C	--	<b>+1,8</b>	--	32680,76	31356,35	59978,17	39680,78	YOR247W	--	--	--	96994,43	113755,75	123763,80	12933,36
YOR149C	<b>+1,6</b>	--	--	17258,57	26769,32	16879,28	21049,11	YOR248W	--	--	--	61534,16	74897,72	71869,70	75247,35
YOR150W	--	--	--	35299,49	40794,85	33608,41	32105,60	YOR249C	--	--	--	38635,43	41109,65	36991,87	34888,08
YOR151C	--	<b>+1,6</b>	--	86586,43	75046,96	137615,37	116204,94	YOR250C	--	--	--	20340,94	28252,12	17410,20	20832,88
YOR152C	--	--	--	38215,27	43557,45	46380,18	40434,83	YOR251C	--	--	--	47926,53	37922,95	40505,95	41394,96
YOR153W	<b>-1,6</b>	--	--	83620,82	53905,76	117570,75	98540,30	YOR252W	--	--	--	49648,12			

ORF	Änderungsfaktor			Normalisierte Signalintensität				ORF	Änderungsfaktor			Normalisierte Signalintensität			
	wt37	mut30	mut37	wt30	wt37	mut30	mut37		wt30	wt37	mut30	mut37			
YOR279C	--	--	--	27915,61	37303,58	27962,08	30582,85	YOR378W	--	--	--	25352,38	29769,97	22504,16	24417,63
YOR280C	+1,5	--	--	18236,75	28216,91	15722,78	23287,90	YOR379C	--	--	--	19544,77	28612,61	20771,82	21862,68
YOR281C	-1,8	--	--	59286,07	33784,32	69029,18	64513,76	YOR380W	--	--	--	22930,36	28922,35	22490,18	22714,93
YOR282W	--	--	--	42573,51	34989,20	49964,37	43810,99	YOR381W	--	--	--	28806,08	33961,72	26719,66	30038,78
YOR283W	--	--	--	29520,28	32952,86	26457,84	28597,13	YOR382W	--	--	--	40961,57	30373,45	42013,96	42573,02
YOR284W	--	--	--	22780,46	32615,98	22088,94	23945,01	YOR383C	--	--	--	67669,65	54685,28	58932,79	49559,83
YOR285W	+1,6	--	--	35546,26	55818,23	42762,03	41523,69	YOR384W	--	--	--	21028,12	27172,44	17203,95	22900,40
YOR286W	--	--	--	38990,90	41873,93	41230,65	35632,23	YOR385W	--	--	--	26205,35	39160,49	20620,47	28881,20
YOR287C	--	--	--	34808,07	33752,42	36734,95	34375,00	YOR386W	--	--	--	100469,11	79370,41	87882,30	69113,61
YOR288C	--	--	--	29389,83	34531,52	27934,16	27439,46	YOR387C	--	--	--	54345,90	36675,25	54047,99	54876,71
YOR289W	--	--	--	28972,07	33004,71	27657,64	34738,41	YOR388C	--	--	--	28918,08	29981,16	27292,01	28332,51
YOR290C	--	+1,6	+1,5	25675,13	33304,26	40952,99	39502,48	YOR389W	--	--	--	27460,94	37026,03	32600,12	30034,01
YOR291W	--	--	--	31818,22	34620,89	35603,01	35125,09	YOR390W	--	--	--	28505,66	35215,38	27622,97	30147,60
YOR292C	+1,7	--	--	18805,60	31651,43	15439,80	23777,39	YOR391C	--	--	--	28800,72	31581,24	28503,94	30493,79
YOR293W	-1,5	--	--	91329,28	60691,70	82793,63	76908,49	YOR392W	--	--	--	38868,81	28052,94	48895,36	36390,63
YOR294W	--	--	--	27239,68	34064,89	32670,96	29366,90	YOR393W	--	--	--	31582,35	31584,52	27818,49	27957,27
YOR295W	--	--	--	50097,58	38365,07	54022,31	55335,22	YOR394W	--	--	--	24527,92	30731,51	22450,49	26506,13
YOR296W	--	--	--	34259,96	34735,07	49927,12	45073,03	YPL001W	--	--	--	22160,98	30775,78	31492,01	28062,56
YOR297C	--	--	--	58179,61	60750,20	75196,45	76515,04	YPL002C	--	--	--	21892,40	30093,38	25745,12	27045,99
YOR298W	--	--	--	44465,44	35855,30	64929,03	48236,51	YPL003W	--	--	--	24379,67	29912,22	26584,72	26539,41
YOR299W	--	--	--	21272,65	28665,49	18190,24	22808,14	YPL004C	-1,6	--	--	87050,23	55705,28	92264,54	82200,73
YOR300W	--	--	--	24683,03	36745,26	25821,67	26766,90	YPL005W	-2,1	--	--	73822,12	35110,38	77736,09	66546,08
YOR301W	--	--	--	21989,69	30563,98	25451,90	24432,11	YPL006W	--	--	--	37480,94	29751,74	47037,08	36967,41
YOR302W	+1,9	--	--	18551,87	35744,56	18303,47	22531,38	YPL007C	--	--	--	22486,68	30379,54	25008,88	25144,08
YOR303W	--	--	--	50284,94	60479,16	63798,51	51051,09	YPL008W	--	--	--	252575,27	198227,40	233435,66	215992,53
YOR304W	--	--	--	47907,83	39512,47	49832,10	56809,48	YPL009C	--	--	--	26363,44	29343,45	30945,91	27041,25
YOR305W	--	--	--	33103,00	37673,46	44284,79	37751,67	YPL010W	--	--	--	42343,94	59387,80	53063,62	41882,39
YOR306C	--	--	--	43941,18	36150,08	59604,19	49002,25	YPL011C	--	--	--	27535,99	33043,66	27149,20	27576,06
YOR307C	--	--	--	27119,97	32342,71	29573,45	28929,61	YPL012W	-1,5	--	--	52165,32	34571,16	63527,11	39996,26
YOR308C	-1,9	--	--	56122,57	29324,18	78381,35	51916,20	YPL013C	--	+1,7	+1,8	48581,37	61771,96	82875,69	89677,78
YOR309C	-1,6	+1,6	--	54972,68	33613,60	85674,13	65255,82	YPL014W	--	--	--	28590,61	39041,19	30013,11	30349,39
YOR310C	-1,7	--	--	83432,39	47922,91	93808,01	87978,24	YPL015C	--	--	--	19786,88	29567,71	21078,95	23632,46
YOR311C	--	--	--	23439,03	33843,54	24258,32	26511,39	YPL016W	--	--	--	29925,26	26986,60	37356,24	28484,68
YOR312C	--	--	--	133214,42	151719,37	164458,09	159086,92	YPL017C	--	--	--	19630,09	27960,43	20422,53	21085,09
YOR313C	--	--	--	44989,75	40370,17	40653,66	38402,34	YPL018W	--	--	--	55072,66	41228,65	59578,64	53073,94
YOR314W	--	--	--	53652,58	52833,99	68881,98	45644,13	YPL019C	--	--	--	28041,38	31460,71	22009,06	28722,65
YOR315W	--	--	--	59199,84	39692,19	50969,15	40726,33	YPL020C	--	--	--	24457,16	29536,91	28555,32	25911,44
YOR316C	--	--	--	63266,92	52471,91	93174,68	71475,98	YPL021W	--	--	--	31191,63	27582,34	36206,87	29600,24
YOR317W	--	+1,5	--	60920,42	45580,19	92307,27	68503,82	YPL022W	--	--	--	35868,26	41303,09	38726,23	32969,08
YOR318C	--	--	--	27222,00	36987,90	30326,57	33818,09	YPL023C	--	--	--	28326,13	29750,03	28415,34	28507,48
YOR319W	--	--	--	24755,05	31422,98	26069,03	27827,83	YPL024W	--	--	--	33271,60	34678,17	35060,75	33679,84
YOR320C	+1,5	--	--	19452,65	29774,27	19589,33	22233,09	YPL025C	-1,7	+1,9	--	79115,46	46781,83	149080,88	106209,48
YOR321W	--	--	--	71004,84	55479,83	68946,89	59027,46	YPL026C	--	--	--	25230,58	30368,48	32843,14	30264,71
YOR322C	+1,6	--	--	17215,02	26867,14	17986,39	18289,92	YPL027W	--	+1,6	--	40702,43	53823,09	65336,55	55153,31
YOR323C	--	--	--	50815,30	44820,42	47964,76	54994,58	YPL028W	--	--	--	66118,45	72204,83	85908,69	63238,61
YOR324C	--	--	--	18825,84	27809,25	17274,71	20623,48	YPL029W	--	--	--	27559,51	32821,47	29237,93	25353,06
YOR325W	--	--	--	29220,98	27388,05	34038,44	2765,87	YPL030W	+1,5	--	--	18537,11	27843,66	19584,96	21995,45
YOR326W	--	+1,6	--	91506,98	73837,19	143137,01	104094,24	YPL031C	--	--	--	30419,06	36535,21	31015,37	32094,78
YOR327C	--	--	--	34551,81	38039,14	33981,60	34957,85	YPL032C	--	--	--	40912,26	32833,26	54896,95	44554,72
YOR328W	-1,8	--	--	61210,21	33917,20	60913,98	55601,81	YPL033C	--	--	--	21520,67	26952,65	22825,29	22217,71
YOR329C	--	+2,1	+1,8	42926,11	29000,86	88129,31	75614,98	YPL034W	+1,7	--	--	34289,30	56979,06	37045,74	35792,45
YOR330C	--	--	--	83907,70	64260,38	112135,67	94505,71	YPL035C	--	--	--	24531,46	30997,26	26655,31	25472,19
YOR331C	--	+1,6	--	42631,31	60670,77	68660,30	54299,32	YPL036W	--	--	--	59262,46	50690,54	65417,86	64996,57
YOR332W	--	--	--	47454,63	63828,05	56636,19	52505,92	YPL037C	--	--	--	75672,68	83677,61	98859,12	83554,50
YOR333C	--	--	--	27612,75	30991,02	32678,19	25533,82	YPL038W	--	--	--	21086,41	30172,04	26922,02	28402,36
YOR334W	--	--	--	21405,25	29969,83	24078,59	24690,17	YPL039W	+1,7	--	--	15676,27	27043,71	14280,25	19187,41
YOR335C	--	--	--	21623,43	30771,90	22830,42	24694,48	YPL040C	--	--	--	19258,72	27364,46	19206,29	21743,26
YOR336W	--	+1,8	--	66010,30	52492,12	116574,08	92565,15	YPL041C	--	--	--	28959,55	33562,96	28162,33	25191,27
YOR337W	--	--	--	24549,76	28838,50	25261,20	25032,72	YPL042C	--	--	--	26405,50	31705,82	28677,61	27697,16
YOR338W	--	--	--	33602,59	30585,42	33971,16	33068,07	YPL043W	--	+1,6	--	37082,03	36717,95	58134,19	49251,63
YOR339C	--	--	--	24846,27	30419,04	22564,13	22921,09	YPL044C	--	--	--	49530,75	35406,84	51545,78	48032,31
YOR340C	--	--	--	31767,31	33146,26	35565,73	33512,51	YPL045W	--	--	--	23259,84	28859,85	23126,16	24848,51
YOR341W	--	--	--	78565,71	61328,14	107105,77	97033,74	YPL046C	--	--	--	60613,17	45621,70	46408,07	65737,77
YOR342C	--	--	--	88204,76	106584,17	107058,64	91288,17	YPL047W	--	--	--	65569,65	50037,46	46974,96	73958,60
YOR343C	+1,5	--	--	18774,12	28395,97	19301,72	24148,40	YPL048W	--	--	--	87711,19	69922,72	79012,63	79670,70
YOR344C	--	--	--	49497,09	48922,48	68256,67	63081,46	YPL049C	--	--	--	48889,59	52065,83	57845,11	53970,72
YOR345C	--	--	--	21259,52	28065,45	22911,75	23262,82	YPL050C	--	--	--	22927,72	33005,28	25116,97	28099,16
YOR346W	+1,6	--	--	18054,16	29432,26	15440,94	19683,86	YPL051W	--	--	--	26547,15	34004,57	26291,92	26156,08
YOR347C	--	--	--	35999,33	35048,52	33578,96	34633,68	YPL052W	--	--	--	22911,58	30071,62	19900,40	25201,43
YOR348C	--	--	--	47260,11	34766,79	35230,62	46146,17	YPL053C	-1,9	--	--	58096,46	30684,06	69517,73	62189,99
YOR349W	--	--	--	20206,27	27690,34	18006,69	22159,46	YPL054W	--	--	--	30699,63	28093,37	28616,84	27030,40
YOR350C	--	--	--	59534,92	42550,26	46162,64	62653,87	YPL055C	--	--	--	43278,13	42235,75	55761,23	52550,94
YOR351C	--	--	--	43057,24	41468,78	50765,73	50623,37	YPL056C	-1,9	--	--	55621,77	29114,51	80140,47	64343,09
YOR352W	--	--	--	40663,26	40380,73	43772,96	43194,52	YPL057C	--	--	--	25326,48	31244,00	23629,88	24919,58
YOR353C	--	--	--												

ORF	Änderungsfaktor			Normalisierte Signalintensität				ORF	Änderungsfaktor			Normalisierte Signalintensität			
	wt37	mut30	mut37	wt30	wt37	mut30	mut37		wt37	mut30	mut37	wt30	wt37	mut30	mut37
YPL083C	--	--	--	29884,30	31517,08	32431,97	35290,11	YPL182C	--	--	--	36821,88	32434,13	36749,88	39129,99
YPL084W	--	--	--	21345,91	30157,03	18891,21	24171,36	YPL183C	--	--	--	42196,07	37844,15	39684,36	34033,13
YPL085W	+1,6	--	--	21982,98	34276,16	19795,88	22363,11	YPL184C	--	--	--	23997,47	33204,65	24807,20	26664,04
YPL086C	--	--	--	25911,62	30326,66	23761,14	24576,39	YPL185W	--	--	--	36575,74	37419,17	46635,78	35744,28
YPL087W	--	--	--	30458,61	30615,93	26233,97	26768,21	YPL186C	--	--	--	46083,68	39345,12	53662,41	39549,30
YPL088W	--	--	--	42915,32	42016,56	43310,98	34420,41	YPL187W	--	--	--	40382,77	42933,26	28352,63	26934,85
YPL089C	--	--	--	28720,51	36576,24	28968,75	30820,87	YPL188W	--	--	--	49894,97	42004,82	47062,85	48983,37
YPL090C	--	--	--	521813,33	463939,78	524804,39	464852,47	YPL189W	--	--	--	25040,26	31681,23	27372,59	28649,96
YPL091W	--	--	--	39998,79	37377,29	37450,60	41541,67	YPL190C	--	--	--	52939,16	37014,09	66708,12	58727,91
YPL092W	--	--	--	24298,60	31815,42	23215,56	27128,20	YPL191C	+1,5	--	--	18595,85	28057,76	18114,47	21618,19
YPL093W	--	--	--	36253,17	38526,19	36428,00	36875,54	YPL192C	--	--	--	20784,99	27579,29	20524,76	23676,20
YPL094C	--	--	--	32391,35	37255,12	29478,80	34170,69	YPL193W	--	--	--	36719,92	29126,39	41938,75	33312,18
YPL095C	--	--	--	84607,24	67816,65	122832,36	107946,65	YPL194W	--	--	--	19810,65	26454,68	22789,07	24829,83
YPL096W	--	--	--	20379,42	28525,89	20696,18	27014,02	YPL195W	--	--	--	28054,33	32292,53	30780,93	31367,88
YPL097W	+1,6	--	--	16990,52	27690,31	15735,88	19948,55	YPL196W	--	--	--	37404,59	30340,73	53772,22	46695,58
YPL098C	--	--	--	27666,12	40946,68	30639,28	32393,24	YPL197C	-1,5	--	--	70799,18	45802,63	52169,35	72378,62
YPL099C	--	--	--	28217,60	31086,54	35853,52	31528,99	YPL198W	--	--	--	83077,27	83373,79	82102,69	68237,96
YPL100W	--	--	--	29031,72	29411,69	39583,36	31734,66	YPL199C	--	--	--	39632,65	43247,89	40109,22	34700,22
YPL101W	--	--	--	24060,93	31295,61	23563,89	26781,60	YPL200W	--	--	--	34353,59	30352,67	37684,40	30008,71
YPL102C	--	--	--	39373,85	37432,84	30131,24	44445,74	YPL201C	--	--	--	42362,34	39306,91	33205,65	35936,84
YPL103C	--	--	--	42196,16	39634,82	32738,99	47262,13	YPL202C	--	--	--	24485,24	29995,94	31852,62	31030,03
YPL104W	--	--	-1,7	103400,74	73460,64	86674,59	62021,49	YPL203W	--	--	--	23546,49	33122,42	29207,99	28993,88
YPL105C	--	--	--	27545,37	28106,03	26282,29	24309,66	YPL204W	--	--	--	27767,23	38703,01	34914,85	32809,19
YPL106C	--	--	--	78316,91	75511,12	102331,81	70534,98	YPL205C	-1,7	+1,5	--	51503,40	30509,17	78343,18	59658,78
YPL107W	--	+1,5	--	52753,76	35173,66	80737,29	61119,72	YPL206C	--	--	--	22391,71	29826,83	23459,48	23068,02
YPL108W	--	--	--	19649,07	28830,84	25622,74	27712,89	YPL207W	--	--	--	27218,60	27830,07	29523,83	25558,07
YPL109C	+1,6	--	--	16145,94	26616,15	16880,27	21103,86	YPL208W	--	--	--	36440,66	37806,24	33735,48	37946,15
YPL110C	-1,7	+1,5	--	66079,44	38288,24	99694,76	82011,25	YPL209C	--	--	--	29308,28	27779,38	30422,26	26874,79
YPL111W	--	--	--	28270,60	37190,96	38169,94	25815,66	YPL210C	--	--	--	26615,68	29387,30	25898,02	25214,84
YPL112C	--	--	--	18617,43	27859,98	19342,55	21605,76	YPL211W	--	--	--	21089,04	28561,36	18580,92	19420,05
YPL113C	--	--	--	49223,12	45878,40	42951,44	50210,66	YPL212C	--	--	--	23771,09	29479,82	21248,32	21623,07
YPL114W	--	--	--	26134,27	29693,28	21565,69	24692,78	YPL213W	--	--	--	53888,09	48660,28	42883,72	47534,19
YPL115C	--	--	--	18372,59	27160,33	16735,27	19676,04	YPL214C	--	--	--	18754,41	28026,49	21138,41	24825,69
YPL116W	--	--	--	22912,53	28078,93	21712,90	20140,32	YPL215W	--	--	--	25656,75	32223,97	26784,06	30225,52
YPL117C	--	--	--	55118,62	54580,08	52829,10	48707,59	YPL216W	+1,5	--	--	17879,52	27217,08	22713,37	22694,04
YPL118W	--	--	--	55133,15	55729,92	61457,37	43483,52	YPL217C	--	--	--	50664,18	37215,43	73462,17	52825,99
YPL119C	--	+1,7	--	34141,10	27258,30	56686,91	42178,74	YPL218W	--	--	--	54336,77	50457,08	49323,73	41626,33
YPL120W	--	--	--	27246,17	32816,42	31449,32	30859,99	YPL219W	--	--	--	23926,95	29599,69	24891,03	26067,11
YPL121C	--	--	--	26029,13	26504,44	33746,16	30849,49	YPL220W	--	--	--	147767,93	169003,09	183851,50	174206,99
YPL122C	--	--	--	20204,33	28315,30	22031,13	22648,98	YPL221W	--	--	--	26355,59	33821,39	25761,26	28576,51
YPL123C	--	--	--	21637,89	28783,24	23324,90	22033,68	YPL222W	--	--	--	23121,30	30161,68	24894,92	25748,43
YPL124W	--	--	--	21477,64	28480,13	23780,03	23871,25	YPL223C	--	--	--	39620,91	39687,52	43533,30	40062,01
YPL125W	--	--	--	132091,24	156503,38	133445,66	124494,56	YPL224C	--	--	--	23812,02	30122,63	30456,78	27498,12
YPL126W	--	--	--	24062,40	34352,30	26783,38	27579,01	YPL225W	--	--	--	51545,51	49222,75	51131,71	51952,04
YPL127C	--	--	--	22462,36	30699,53	22390,40	25452,23	YPL226W	--	--	--	103695,14	83845,62	152269,97	146374,66
YPL128C	--	--	--	23798,63	28584,39	23594,13	25300,89	YPL227C	--	--	--	21100,39	30340,81	22872,39	23291,26
YPL129W	--	--	--	59351,71	46210,85	49648,52	48254,97	YPL228W	--	--	--	29982,86	29499,30	33642,98	33100,91
YPL130W	--	--	--	20816,02	27611,11	20986,02	24702,20	YPL229W	--	--	--	30976,15	31169,64	28694,22	30980,83
YPL131W	--	--	--	362674,93	286568,32	442918,18	475290,15	YPL230W	-1,5	--	--	52759,43	34995,42	60983,53	47110,24
YPL132W	--	--	--	82135,92	103196,82	94788,00	91828,28	YPL231W	--	--	--	94223,88	84295,26	97389,37	110938,83
YPL133C	--	--	--	24086,56	32330,04	26417,17	27648,64	YPL232W	--	--	--	64795,13	64680,39	73753,33	77140,37
YPL134C	--	--	--	25345,71	32463,84	20630,36	26782,15	YPL233W	--	--	--	25584,38	30513,08	24111,23	28101,10
YPL135W	--	--	--	37532,68	37975,30	36855,51	41696,06	YPL234C	--	--	--	46773,65	41606,79	39469,64	45136,40
YPL136W	--	--	--	22999,63	27686,58	18706,13	22693,50	YPL235W	--	--	--	44308,71	45042,51	49626,21	47183,75
YPL137C	--	--	--	57441,27	46541,54	67106,86	64246,36	YPL236C	--	--	--	59297,35	52733,74	52870,88	58931,42
YPL138C	--	--	--	35973,50	33615,99	45078,96	38306,33	YPL237W	--	--	--	69954,13	63816,11	71994,70	59064,98
YPL139C	--	--	--	26499,26	27939,11	28013,84	28725,19	YPL238C	--	--	--	35483,10	34450,20	41885,37	37628,71
YPL140C	--	--	--	41082,77	39352,52	38238,04	39329,21	YPL239W	--	--	--	32795,33	45789,23	44222,20	46152,11
YPL141C	--	--	--	29042,38	30633,15	28126,19	32387,77	YPL240C	--	+2,1	--	73622,40	100164,14	154218,82	78357,61
YPL142C	--	--	--	131238,18	124546,15	113324,56	97815,50	YPL241C	--	--	--	27705,50	29716,47	26471,48	28769,20
YPL143W	--	+2	+1,6	113810,53	110606,92	223711,45	178593,39	YPL242C	--	--	--	38110,56	31446,35	38371,52	38536,22
YPL144W	+1,6	--	--	17506,67	27438,10	20306,15	21803,75	YPL243W	--	--	--	37056,10	40080,58	38400,99	36890,55
YPL145C	--	--	--	54634,25	5947,38	67366,11	49921,26	YPL244C	--	--	--	28969,77	32093,07	29933,26	33727,74
YPL146C	--	--	--	45465,55	39884,81	64996,63	46953,54	YPL245W	--	--	--	35496,21	36961,16	34415,47	34990,10
YPL147W	--	--	--	27272,17	28604,25	25951,21	26784,17	YPL246C	--	--	--	37164,38	44563,78	38613,17	36981,28
YPL148C	--	--	--	22110,61	29408,56	20588,65	24922,45	YPL247C	--	--	--	18763,63	27166,79	15077,24	21362,19
YPL149W	--	--	--	28528,93	37253,13	30243,16	34444,73	YPL248C	+1,6	--	--	16217,39	26372,21	12844,72	22301,18
YPL150W	--	--	--	21497,63	28895,09	18733,23	23483,15	YPL249C	+1,5	--	--	19173,55	29093,08	15725,36	21308,54
YPL151C	--	--	--	28095,18	32027,66	28535,79	28782,62	YPL250C	--	--	--	18645,46	27610,76	18296,46	21575,18
YPL152W	--	--	--	34418,77	33403,67	31549,01	32333,67	YPL251W	--	--	--	20833,97	29610,01	23971,97	27833,42
YPL153C	+1,6	--	--	17356,07	27362,04	13626,94	20607,24	YPL252C	--	--	--	47727,16	41848,57	49367,79	48041,12
YPL154C	--	--	-1,6	99570,13	96424,19	72728,90	61640,41	YPL253C	--	--	--	29809,91	28456,25	22878,94	30168,31
YPL155C	--	--	--	34234,32	30135,45	30817,22	34935,18	YPL254W	+1,6	--	--	23578,35	38812,83	22029,26	26923,48
YPL156C	--	--	--	23379,94	27653,02	25983,77	27312,33	YPL255W	--	--	--	20158,95	28055,59	17461,82	24726,19
YPL157W	--	--	--												

ORF	Änderungsfaktor			Normalisierte Signalintensität				ORF	Änderungsfaktor			Normalisierte Signalintensität			
	wt37	mut30	mut37	wt30	wt37	mut30	mut37		wt30	wt37	mut30	mut37			
YPL281C	--	--	--	27720,90	30432,53	27056,54	33236,64	YPR097W	+1,8	+1,6	+1,7	14994,80	27679,27	23697,28	24867,60
YPL282C	--	--	--	26590,72	33790,03	24660,72	30720,50	YPR098C	--	--	--	25329,71	33266,82	30866,19	30295,91
YPL283C	+3,9	+5,6	+4,4	59273,75	231613,01	331323,60	262528,89	YPR099C	--	--	--	34498,76	42410,07	28363,20	29049,84
YPR001W	--	--	--	25058,95	34003,03	35690,77	36319,34	YPR100W	--	--	--	25009,97	27989,01	18819,43	23961,33
YPR002W	+1,9	--	--	14583,29	27493,43	21259,93	21430,44	YPR101W	--	-1,7	--	23964,45	28316,66	13704,88	25254,06
YPR003C	+1,5	--	--	18707,77	28652,73	17674,97	20285,94	YPR102C	--	+1,6	--	207979,14	221587,46	328298,15	289329,72
YPR004C	--	--	--	20766,21	28895,03	17793,53	20357,27	YPR103W	--	-1,5	--	28224,55	32372,62	18374,04	24815,58
YPR005C	--	--	--	21230,85	28601,93	21345,11	23859,37	YPR104C	--	--	--	27993,20	30341,78	30776,42	28648,14
YPR006C	--	--	--	19887,18	28524,59	22179,26	23027,28	YPR105C	+1,7	--	--	16035,99	27910,01	13319,93	18224,96
YPR007C	--	--	--	26555,97	29747,12	22157,40	31311,11	YPR106W	+1,5	--	--	17685,04	27328,92	14853,03	20286,92
YPR008W	--	--	--	28488,04	29134,96	27532,53	26688,65	YPR107C	--	--	--	29647,17	28610,23	25925,93	34283,88
YPR009W	--	--	--	24834,77	30347,30	21196,22	21970,49	YPR108W	--	--	--	63432,06	46208,56	62751,61	72456,46
YPR010C	--	--	--	64360,47	51768,04	78474,64	71644,73	YPR109W	--	--	--	20734,49	29025,34	19029,22	23116,55
YPR011C	--	--	--	22886,06	30689,29	17803,26	24610,00	YPR110C	--	--	--	36146,38	51620,06	49090,77	45288,14
YPR012W	+1,6	--	--	67841,17	42338,14	54361,20	73029,18	YPR111W	--	--	--	18721,60	26771,74	21579,81	21555,42
YPR013C	--	--	--	38889,83	36888,33	35981,46	45430,23	YPR112C	--	--	--	18163,26	26847,51	23170,88	22850,88
YPR014C	--	--	--	21731,70	27350,74	27549,44	25428,07	YPR113W	--	--	--	25394,23	37905,04	31207,27	29222,77
YPR015C	--	--	--	21026,21	28040,67	27351,96	25390,58	YPR114W	--	--	--	22216,84	31265,44	21920,80	24307,69
YPR016C	+2	--	--	16176,81	31573,02	17006,96	18563,17	YPR115W	+1,7	--	--	16502,06	27573,14	15099,69	18318,59
YPR017C	--	--	--	19742,20	29166,93	23048,67	24361,12	YPR116W	+1,6	--	--	16966,13	27101,93	14296,30	19351,50
YPR018W	--	--	--	19719,87	27690,30	17897,59	20471,56	YPR117W	+1,7	--	--	17217,41	29423,01	15152,62	18652,52
YPR019W	+1,6	--	--	17635,24	28244,78	15107,00	19674,84	YPR118W	--	--	--	21838,56	28203,84	18231,87	21979,97
YPR020W	--	--	--	28748,52	35711,85	26244,89	28293,41	YPR119W	--	--	--	29826,37	30277,24	26280,69	27854,22
YPR021C	+1,6	--	--	16958,75	27728,29	12299,91	16275,10	YPR120C	--	--	--	47011,11	34066,80	50675,76	44487,18
YPR022C	--	--	--	20554,57	27593,70	18250,59	20715,73	YPR121W	+1,6	--	--	17837,65	28225,50	19633,85	23403,55
YPR023C	--	--	--	42615,23	30600,29	35843,85	36816,77	YPR122W	--	--	--	23866,48	31223,73	32196,92	28062,79
YPR024W	--	--	--	48401,10	37905,15	53676,99	52664,71	YPR123C	+1,8	--	--	14706,03	26757,77	16112,91	18534,49
YPR025C	--	--	--	25183,61	29554,92	32464,30	31421,83	YPR124W	--	--	--	27467,37	37095,50	33890,80	29956,91
YPR026W	--	+1,8	--	42339,16	34365,50	76690,52	62901,62	YPR125W	+1,7	--	--	16163,71	26699,14	16014,96	18892,93
YPR027C	+1,6	--	--	18165,56	28574,37	18516,39	19351,76	YPR126C	--	--	--	35886,27	41663,96	44518,26	41354,69
YPR028W	--	--	--	43168,38	57073,50	58252,26	53627,36	YPR127W	+1,6	--	--	20391,25	31698,51	22912,86	25661,70
YPR029C	+1,5	--	--	19120,49	28704,59	19778,73	21578,50	YPR128C	+1,6	--	--	18299,97	28534,42	19500,61	20914,36
YPR030W	--	--	--	23729,44	32858,39	28018,10	28072,33	YPR129W	--	--	--	27693,77	36835,58	24362,28	30924,69
YPR031W	+1,6	--	--	18646,74	29706,01	19902,25	22120,83	YPR130C	--	--	--	35010,21	47184,35	38722,08	37833,04
YPR032W	+1,6	--	--	16636,14	26954,11	15513,29	18575,22	YPR131C	--	--	--	30849,78	41155,25	27649,51	29712,32
YPR033C	--	--	--	26786,76	35338,74	27863,42	28411,24	YPR132W	--	--	--	125203,08	87894,42	153867,77	104755,12
YPR034W	--	--	--	25624,20	32821,88	26327,60	28038,15	YPR133C	--	--	--	18581,63	27186,20	20861,97	23191,58
YPR035W	+1,6	--	--	59230,15	92248,30	64683,16	55244,11	YPR134W	--	--	--	35024,20	36667,24	43395,37	38997,17
YPR036W	--	--	--	98114,45	82926,58	129950,85	141336,06	YPR135W	+1,8	--	--	14742,48	26153,44	15172,20	18565,28
YPR037C	--	--	--	32240,51	42399,03	42960,70	41343,35	YPR136C	--	--	--	18757,94	27888,91	16795,58	19718,92
YPR038W	--	--	--	32065,74	34580,58	47467,61	42772,79	YPR137W	--	--	--	26512,79	33592,63	28601,76	29388,46
YPR039W	--	--	--	39517,24	33852,94	47019,28	40519,88	YPR138C	--	--	--	30326,21	35760,41	29912,65	30248,21
YPR040W	--	--	--	25286,78	31755,12	28169,15	30993,70	YPR139C	--	--	--	34800,64	36704,32	31254,21	37677,92
YPR041W	--	--	--	26487,96	30863,84	27416,25	30752,30	YPR140W	--	--	--	28274,76	34083,05	25900,09	30051,89
YPR042C	+1,6	--	--	17245,39	27775,68	16439,47	19725,64	YPR141C	--	--	--	20817,58	28003,77	24422,80	25773,83
YPR043W	--	--	--	180640,95	153882,77	170026,05	194620,01	YPR142C	--	--	--	31653,62	31809,17	32575,68	38409,63
YPR044C	--	-1,7	-1,5	213789,31	166542,95	123081,33	141239,77	YPR143W	--	--	--	36860,11	33009,02	49446,46	45228,76
YPR045C	--	--	--	22085,47	28330,67	21779,29	25005,47	YPR144C	--	--	--	20576,29	30323,86	20154,64	23668,58
YPR046W	+2	--	--	24420,16	47802,31	22520,89	25897,84	YPR145W	--	--	--	36273,58	42685,19	30817,85	38182,49
YPR047W	--	--	--	25850,84	29568,73	22068,40	25718,61	YPR146C	--	--	--	29172,15	31394,88	21671,27	29595,34
YPR048W	--	--	--	21286,95	28194,33	25818,48	28294,77	YPR147C	+1,6	--	--	17313,16	27290,60	14361,01	19471,45
YPR049C	-1,5	+1,6	--	48502,19	31600,91	77896,78	65214,56	YPR148C	--	--	--	32723,08	35918,98	36300,15	33958,72
YPR050C	--	--	--	25833,76	33210,51	26780,80	29569,10	YPR149W	--	--	--	20292,18	28473,27	16422,16	21194,08
YPR051W	+1,6	--	--	19290,17	30673,71	17996,79	25176,01	YPR150W	--	--	--	22310,45	28175,73	25518,45	25842,44
YPR052C	--	--	--	34848,58	32934,93	40466,45	38870,99	YPR151C	--	--	--	18671,67	26778,11	19248,41	23901,20
YPR053C	--	--	--	51317,07	44250,29	43015,49	47734,00	YPR152C	--	--	--	20078,19	27855,22	19085,38	26417,58
YPR054W	--	--	--	22216,23	27498,45	19959,97	23502,82	YPR153W	--	--	--	27351,60	27383,87	29981,39	32419,07
YPR055W	+1,6	--	--	17683,88	28424,93	17078,08	20062,29	YPR154W	--	--	--	31354,76	30310,09	26652,08	31427,78
YPR056W	--	--	--	18442,19	27581,18	17193,65	24325,25	YPR155C	+1,6	--	--	17904,97	28733,62	17770,12	23190,42
YPR057W	--	--	--	23337,29	27582,11	24013,11	25109,02	YPR156C	--	--	--	25449,03	35900,38	34377,24	29216,02
YPR058W	--	--	--	25028,70	33877,87	26442,43	32506,12	YPR157W	+1,5	--	--	18689,52	28054,42	21145,94	23129,81
YPR059C	--	--	--	23386,77	31744,70	21035,80	24779,30	YPR158W	--	--	--	29075,05	28217,56	27608,97	30326,96
YPR060C	--	--	--	28725,43	30937,14	27547,36	29634,11	YPR159W	+1,6	--	--	16320,58	26385,31	12457,08	19914,91
YPR061C	--	--	--	26670,04	26953,48	32202,76	30927,76	YPR160W	+1,6	--	--	16084,03	26368,17	11191,00	23103,67
YPR062W	--	--	--	60735,71	64155,50	77107,80	74459,42	YPR161C	+1,7	--	--	18867,61	31721,08	18089,28	22513,00
YPR063C	--	--	--	31338,67	33296,25	30841,53	35896,32	YPR162C	--	--	--	26809,74	31407,24	25912,34	28021,18
YPR064W	--	--	--	26747,18	27500,54	28272,99	29289,62	YPR163C	+1,6	--	--	48386,00	61290,93	75793,94	56653,74
YPR065W	--	--	--	38777,14	31913,05	41061,08	39418,39	YPR164W	--	--	--	26940,83	29135,02	31514,64	29275,18
YPR066W	--	--	--	25394,14	32431,33	21557,43	27453,54	YPR165W	--	--	--	76886,18	78791,09	79247,37	64036,81
YPR067W	--	--	--	24823,87	31203,35	19850,05	25722,65	YPR166C	--	--	--	26009,17	34670,16	23006,26	24922,28
YPR068C	+1,7	--	--	16831,08	28232,66	14112,43	20059,61	YPR167C	--	--	--	38531,27	43210,82	33735,50	38323,64
YPR069C	+1,6	--	--	16331,57	26677,98	11921,90	19047,60	YPR168W	+1,7	--	--	16189,94	28247,03	14897,05	20214,60
YPR070W	+1,7	--	--	15748,92	26474,49	12232,75	22119,42	YPR169W	--	--	--	72762,27	72413,04	70878,30	72442,07
YPR071W	+1,8	--	--	15266,22	27241,81	11292,60	20571,00	YPR170C	+1,6	--	--	20895,69	33959,82	20026,83</	



ORF	Änderungsfaktor			Normalisierte Signalintensität			
	wt37	mut30	mut37	wt30	wt37	mut30	mut37
YPR196W	--	--	--	32541,33	32298,15	27990,07	25758,71
YPR197C	--	--	--	31162,90	32274,64	26879,34	26802,40
YPR198W	-1,5	--	--	66774,25	43223,26	82384,03	74130,47
YPR199C	--	--	--	22249,40	28447,93	23249,05	27664,22
YPR200C	--	--	--	23790,73	27427,94	24435,51	26115,53

ORF	Änderungsfaktor			Normalisierte Signalintensität			
	wt37	mut30	mut37	wt30	wt37	mut30	mut37
YPR201W	+1,6	--	--	17213,69	27420,85	18188,15	20030,27
YPR202W	+2	--	--	31242,02	62823,73	31987,39	38602,96
YPR203W	--	--	--	23309,11	28933,82	25746,33	26586,90
YPR204W	--	--	--	31686,16	39747,51	41190,40	36211,69

### 6.1.3. Hitzestress

**Tabelle 6.3:** Transkriptionelle Änderungen durch Hitzestress nach 10, 20 und 30 min. Die ORF-Namen sind in alphabetischer Reihenfolge sortiert. Relative Änderungen der Transkriptionsraten durch Hitzestress (37 °C) nach 10, 20 und 30 min gegenüber Wachstum bei 30 ° sind gezeigt, wenn der Faktor größer/gleich 1,5 ist. Bei guter Qualität sind die Änderungsfaktoren farblich markiert: ■ Induktion mit hoher Qualität, ■ Induktion mit mittlerer Qualität, ■ Repression mit hoher Qualität, ■ Repression mit mittlerer Qualität. Weiterhin enthält die Tabelle die normalisierten Signalintensitäten (Median) aller Wachstumsbedingungen.

ORF	Änderungsfaktor			Normalisierte Signalintensität				ORF	Änderungsfaktor			Normalisierte Signalintensität			
	10	20	30	0	10	20	30		10	20	30	0	10	20	30
YAL001C	--	--	--	5,15	4,64	4,53	5,31	YAL064W	--	--	--	4,12	3,72	3,74	4,37
YAL002W	--	+1,8	--	7,41	10,34	13,43	7,61	YAL065C	--	--	--	5,12	4,72	5,97	5,60
YAL003W	--	+1,6	--	83,65	120,34	134,79	114,46	YAL066W	--	--	--	4,39	4,55	4,90	4,15
YAL004W	--	--	--	5,17	5,21	6,88	4,92	YAL067C	--	--	--	3,09	3,07	3,30	2,93
YAL005C	+1,8	+1,6	--	108,85	191,07	177,09	156,98	YAR002A	--	--	--	4,48	4,06	5,11	4,09
YAL007C	--	--	--	10,31	8,92	11,50	10,55	YAR002W	--	+1,6	--	5,43	6,32	8,50	7,14
YAL008W	--	+1,6	--	5,62	4,91	9,23	6,71	YAR003W	--	--	--	4,38	4,08	5,04	3,67
YAL009W	--	--	--	3,57	3,96	3,89	2,85	YAR007C	--	--	--	4,46	5,50	4,46	4,59
YAL010C	--	--	--	5,87	6,39	6,88	4,74	YAR008W	--	--	--	3,40	3,65	3,92	3,48
YAL011W	--	--	--	6,39	6,96	8,57	6,38	YAR009C	--	--	--	3,49	3,05	3,28	3,10
YAL012W	--	--	--	18,69	19,82	27,88	23,84	YAR010C	--	--	--	3,05	2,96	3,27	3,33
YAL013W	--	--	--	6,48	6,51	5,78	5,08	YAR014C	--	--	--	7,58	6,76	6,28	6,02
YAL014C	--	--	--	10,81	11,89	13,93	7,97	YAR015W	-3,7	-3,2	-2,9	36,51	9,89	11,28	12,47
YAL015C	--	--	--	12,11	11,45	13,04	10,56	YAR018C	--	--	--	4,84	4,79	6,08	4,85
YAL016W	--	--	--	13,69	13,06	13,07	10,35	YAR019C	--	--	--	8,03	6,63	9,02	6,27
YAL017W	--	--	--	12,17	12,07	10,19	9,49	YAR020C	--	--	--	3,17	3,45	3,50	3,47
YAL018C	--	--	--	3,74	3,46	3,51	3,11	YAR023C	--	--	--	4,79	4,43	5,28	4,74
YAL019W	--	--	--	7,01	7,98	7,60	6,68	YAR027W	-1,6	--	--	12,19	7,57	10,64	8,35
YAL020C	--	--	--	5,91	6,20	6,92	5,90	YAR028W	--	--	--	6,37	5,29	6,19	5,09
YAL021C	--	--	--	3,20	3,00	3,64	3,06	YAR029W	--	--	--	2,91	3,41	3,44	3,23
YAL022C	--	--	--	5,58	6,26	6,81	5,73	YAR030C	--	--	--	3,25	4,13	4,58	3,77
YAL023C	--	--	--	17,42	16,60	14,46	13,15	YAR031W	--	--	--	7,12	6,14	8,60	8,22
YAL024C	--	--	--	4,87	5,27	5,59	4,31	YAR033W	--	--	--	6,79	5,61	7,73	5,98
YAL025C	--	--	--	10,31	11,15	14,38	11,53	YAR035W	--	--	--	3,55	3,22	3,50	3,36
YAL026C	--	--	-1,6	7,04	6,00	6,15	4,43	YAR037W	--	--	--	3,89	3,18	4,93	3,91
YAL027W	--	--	--	5,95	6,20	5,92	5,43	YAR040C	--	--	--	3,41	2,94	3,21	3,05
YAL028A	--	--	--	3,74	3,44	3,60	3,10	YAR042W	--	--	--	4,05	3,79	3,59	3,62
YAL028W	--	--	--	5,59	4,84	5,10	4,33	YAR043C	--	--	--	3,94	3,40	3,45	3,59
YAL029C	--	+2	--	3,76	3,29	7,54	3,17	YAR044W	--	--	--	17,30	12,55	22,85	13,30
YAL030W	--	+1,6	--	6,03	8,44	9,73	8,41	YAR047C	--	--	--	3,43	3,46	3,27	3,17
YAL031C	--	--	--	9,34	9,14	8,85	8,10	YAR050W	--	--	--	6,64	6,58	4,99	5,92
YAL032C	--	--	--	5,13	4,82	5,19	4,46	YAR052C	--	--	--	6,60	8,49	5,75	6,54
YAL033W	--	--	--	4,31	4,61	5,34	4,42	YAR053W	--	--	--	3,79	5,15	4,92	5,57
YAL034A	--	--	--	9,00	6,99	8,83	7,12	YAR060C	--	--	--	5,19	6,53	6,15	5,92
YAL034C	--	--	-1,6	13,24	12,15	10,85	8,43	YAR061W	--	--	--	4,31	5,16	4,26	4,66
YAL035W	--	--	--	28,17	27,37	21,51	21,73	YAR062W	--	--	--	5,76	7,15	6,33	7,18
YAL036C	--	+1,6	--	14,21	18,49	22,46	18,12	YAR064W	--	--	--	4,41	4,95	4,69	4,90
YAL037W	--	--	--	3,72	3,15	3,63	3,17	YAR068W	--	--	--	5,38	4,78	5,12	4,53
YAL038W	-1,5	-2,3	-2,1	301,87	200,97	131,99	143,47	YAR069C	--	--	--	3,73	4,21	3,83	4,14
YAL039C	--	--	--	13,59	10,50	17,44	12,34	YAR070C	--	--	--	3,62	4,27	3,72	3,66
YAL040C	--	--	--	16,59	16,05	14,13	11,20	YAR071W	--	--	--	60,69	61,61	43,92	51,91
YAL041W	--	--	--	22,19	25,80	26,46	21,64	YAR073W	--	-1,7	--	55,86	50,49	32,40	49,00
YAL042W	--	--	-1,5	25,67	22,29	20,99	16,57	YAR074C	-1,6	--	--	20,03	12,25	15,53	18,05
YAL043C	--	--	--	6,31	6,23	5,97	5,37	YBL001C	+1,9	+3,8	+3,4	15,51	30,03	58,53	52,36
YAL044C	--	--	--	27,78	39,40	38,59	36,32	YBL002W	--	--	--	6,16	7,67	6,84	5,77
YAL045C	--	+1,6	--	6,33	6,75	10,13	7,93	YBL003C	--	--	--	79,15	60,99	75,41	58,87
YAL046C	--	--	--	5,32	6,41	7,61	6,99	YBL004W	--	--	--	6,69	6,86	7,04	5,19
YAL047C	--	--	--	5,38	5,77	6,40	4,54	YBL005W	-1,9	--	-1,5	307,47	163,73	269,61	202,94
YAL048C	--	--	--	4,45	4,30	4,76	4,03	YBL005W	+1,6	--	--	3,39	5,47	3,07	3,00
YAL049C	--	+1,8	--	11,53	12,90	20,54	16,36	YBL005W	--	--	+1,7	3,97	4,99	5,83	6,67
YAL051W	--	--	--	4,07	3,73	4,09	4,07	YBL006C	--	--	--	6,98	7,79	10,24	7,15
YAL053W	-2,3	-1,8	--	17,45	7,68	9,53	13,03	YBL007C	--	--	--	11,29	11,63	11,15	9,45
YAL054C	--	--	--	5,53	5,03	5,25	4,28	YBL008W	--	--	--	3,12	3,97	3,79	3,08
YAL055W	--	--	--	5,16	5,65	7,17	6,87	YBL009W	--	--	--	5,28	7,45	7,57	5,34
YAL056W	--	--	--	3,46	3,29	3,35	3,01	YBL010C	--	--	--	5,48	5,97	6,29	5,17
YAL058W	--	--	--	7,93	8,34	8,75	7,56	YBL011W	--	--	--	7,45	6,23	6,21	5,35
YAL059W	--	--	--	7,06	6,97	7,38	6,35	YBL012C	--	--	--	5,08	4,74	6,03	4,42
YAL060W	--	--	--	19,48	17,16	18,89	13,46	YBL013W	--	--	--	4,34	4,79	4,33	3,86
YAL061W	+1,8	--	--	5,42	9,52	7,13	5,54	YBL014C	--	--	--	4,49	4,09	4,35	3,57
YAL062W	--	--	--	6,44	7,06	7,10	5,94	YBL015W	--	--	--	6,77	5,85	5,95	4,54
YAL063C	--	--	--	8,34	10,45	7,80	7,79	YBL016W	--	--	--	3,40	3,62	3,94	3,30

ORF	Änderungsfaktor			Normalisierte Signalintensität				ORF	Änderungsfaktor			Normalisierte Signalintensität			
	10	20	30	0	10	20	30		10	20	30	0	10	20	30
YBL017C	--	--	--	7,82	7,49	7,32	5,64	YBL091C	--	--	--	11,37	10,99	13,24	10,44
YBL018C	--	+1,7	--	5,82	6,82	9,79	8,11	YBL092W	--	+1,6	--	34,22	29,03	56,22	35,44
YBL019W	--	--	--	3,49	3,27	3,72	3,23	YBL093C	--	--	--	4,18	3,82	3,64	3,42
YBL020W	--	--	--	5,41	4,59	5,30	4,56	YBL094C	--	+1,6	--	3,83	5,64	6,25	4,55
YBL021C	--	--	--	6,41	5,78	7,58	5,68	YBL095W	--	--	--	4,70	6,35	6,59	5,26
YBL022C	+2	+2	--	12,10	24,40	24,00	15,01	YBL096C	--	--	--	5,56	4,51	5,25	4,33
YBL023C	--	--	--	6,76	7,29	9,06	6,73	YBL097W	--	+1,5	--	4,15	5,26	6,33	4,48
YBL024W	--	--	--	10,54	10,12	9,89	9,83	YBL098W	--	--	--	4,91	4,61	5,97	4,81
YBL025W	--	--	--	3,94	4,21	4,46	3,97	YBL099W	--	--	-4	25,43	22,47	22,34	6,30
YBL026W	--	--	--	6,61	5,32	6,73	6,74	YBL100C	--	-1,7	-2,9	9,92	7,50	5,96	3,38
YBL027W	--	--	--	274,71	264,10	335,19	283,39	YBL101C	--	--	--	3,98	4,56	4,74	3,30
YBL028C	--	+1,7	--	4,26	5,48	7,16	5,89	YBL101W	--	--	-2,1	57,45	52,26	54,64	27,24
YBL029W	--	+1,7	--	13,27	17,74	22,80	18,16	YBL101W	--	--	--	195,82	232,54	234,17	181,91
YBL030C	--	--	--	25,66	26,68	29,00	26,97	YBL102W	--	+1,6	--	13,79	15,33	22,69	16,25
YBL031W	--	--	--	3,96	3,46	3,89	3,16	YBL103C	--	--	--	5,27	4,75	4,48	3,81
YBL032W	--	--	--	12,46	10,89	11,04	10,06	YBL104C	--	--	--	5,67	6,23	7,97	6,45
YBL033C	--	--	--	4,64	4,16	3,84	3,85	YBL105C	--	--	-1,8	9,23	7,52	7,66	5,24
YBL034C	--	--	--	5,78	6,70	5,50	4,96	YBL106C	--	--	--	6,18	6,35	6,45	5,27
YBL035C	--	--	--	3,95	3,73	4,55	3,76	YBL107C	--	+1,5	--	8,64	9,51	13,21	8,80
YBL036C	--	--	--	7,77	8,28	9,20	9,01	YBL108W	--	--	--	4,26	3,74	4,07	3,68
YBL037W	--	--	--	3,67	3,45	3,67	2,90	YBL109W	--	+1,8	--	5,86	7,79	10,68	6,49
YBL038W	--	--	--	4,21	3,22	3,81	3,30	YBL110C	--	--	--	8,00	6,16	11,06	9,88
YBL039C	--	--	--	11,33	9,61	7,98	8,89	YBL111C	--	--	--	18,80	17,46	19,09	16,71
YBL040C	--	+1,5	--	8,28	9,53	12,69	5,64	YBL112C	--	--	--	8,66	6,84	8,81	10,00
YBL041W	--	--	--	17,56	16,57	20,86	17,10	YBL113C	--	--	--	56,87	71,69	67,25	67,76
YBL042C	--	--	+2	9,17	6,78	11,39	17,92	YBR001C	--	--	--	20,67	21,54	20,26	19,13
YBL043W	--	--	--	4,26	4,09	4,98	3,68	YBR002C	--	--	--	9,25	11,09	11,26	9,21
YBL044W	--	--	--	5,37	5,33	5,29	3,65	YBR003W	--	--	--	7,79	7,07	9,47	6,99
YBL045C	--	--	--	26,76	28,37	33,77	25,89	YBR004C	-1,6	-1,7	-2	8,63	5,24	5,07	4,31
YBL046W	--	--	--	12,39	9,80	8,88	8,72	YBR005W	-2,7	-2,1	-1,9	14,79	5,44	6,90	7,76
YBL047C	--	--	--	4,87	5,05	5,17	4,27	YBR006W	--	+1,9	--	5,27	5,60	10,05	5,36
YBL048W	--	--	--	3,37	2,96	3,71	2,96	YBR007C	--	+1,5	--	7,16	8,09	11,00	6,02
YBL049W	--	--	--	3,63	3,75	4,00	3,60	YBR008C	--	--	--	4,82	4,61	6,02	5,25
YBL050W	--	--	--	12,80	9,62	18,34	13,10	YBR009C	--	--	--	53,95	46,10	74,30	54,40
YBL051C	-1,8	-1,6	-1,6	12,23	6,66	7,57	7,89	YBR010W	--	--	--	327,33	293,89	399,03	222,69
YBL052C	--	--	--	4,42	4,40	4,98	3,80	YBR011C	-1,5	--	--	130,28	86,30	161,47	127,93
YBL053W	--	--	--	5,27	6,27	6,91	5,26	YBR012C	--	--	--	4,40	5,08	5,91	4,58
YBL054W	--	--	--	3,80	4,08	4,07	3,43	YBR012W	-1,5	--	--	369,35	244,11	300,95	256,17
YBL055C	--	--	--	5,11	4,20	4,89	3,95	YBR012W	--	--	-2	1558,47	1668,50	1122,05	778,78
YBL056W	--	--	--	20,32	24,00	23,85	15,65	YBR013C	--	+1,6	--	4,53	5,74	7,15	5,93
YBL057C	--	--	--	7,65	7,89	9,03	7,97	YBR014C	--	--	--	6,31	7,41	8,81	6,59
YBL058W	--	--	-3,1	19,93	19,58	19,61	6,42	YBR015C	--	--	--	12,39	10,41	9,96	9,41
YBL059W	--	--	--	6,53	5,64	7,26	5,86	YBR016W	--	--	--	19,36	21,04	28,06	20,39
YBL060W	+1,5	--	--	4,73	7,28	6,22	4,81	YBR017C	--	--	--	15,35	19,79	19,24	15,07
YBL061C	--	--	--	5,77	6,37	6,93	5,71	YBR018C	--	--	--	5,19	4,10	5,38	4,67
YBL062W	--	+1,5	--	5,98	6,90	9,08	8,00	YBR019C	--	--	--	4,85	3,98	4,99	4,12
YBL063W	--	--	--	3,55	3,45	4,53	3,65	YBR020W	--	--	--	14,69	14,64	15,82	10,92
YBL064C	--	+1,8	--	8,60	10,29	15,77	12,28	YBR021W	--	--	--	3,52	3,29	3,66	3,34
YBL065W	--	--	--	3,48	3,14	3,32	3,16	YBR022W	--	--	--	4,74	5,08	6,32	5,78
YBL066C	--	--	--	4,18	3,68	4,22	3,74	YBR023C	--	--	--	4,55	4,61	4,42	4,36
YBL067C	--	--	--	4,41	3,86	4,15	4,08	YBR024W	--	--	--	4,94	5,80	4,54	4,27
YBL068W	--	--	--	5,84	5,48	7,12	5,58	YBR025C	--	--	-14,6	57,29	61,67	62,75	3,92
YBL069W	--	--	--	7,20	6,35	9,01	8,51	YBR026C	--	+1,7	--	7,75	10,40	13,39	5,94
YBL070C	--	--	--	4,50	3,88	4,15	3,61	YBR027C	--	--	--	3,65	4,19	4,31	3,54
YBL071C	+1,8	+2,3	--	3,64	6,51	8,19	5,22	YBR028C	--	--	--	5,19	6,42	6,68	4,51
YBL072C	--	+1,5	--	361,66	331,57	550,81	464,04	YBR029C	--	--	--	3,84	3,41	4,76	3,38
YBL073W	--	--	--	6,30	6,62	5,91	6,22	YBR030W	--	--	--	4,95	5,55	6,47	4,89
YBL074C	--	--	--	3,86	3,52	3,77	3,46	YBR031W	--	--	--	221,68	162,80	159,16	170,16
YBL075C	+4,5	+1,6	--	16,24	72,56	26,30	23,16	YBR032W	--	--	--	5,87	5,92	7,24	5,86
YBL076C	--	--	-2,4	14,11	10,21	10,36	5,90	YBR033W	--	--	--	3,66	3,36	3,55	3,18
YBL077W	-1,9	--	--	36,07	19,15	47,82	42,01	YBR034C	--	+1,5	--	11,18	11,84	17,29	14,94
YBL078C	--	--	--	8,42	6,30	9,30	6,44	YBR035C	--	--	--	11,60	11,13	14,46	13,27
YBL079W	--	--	--	10,25	10,14	11,48	10,43	YBR036C	-1,6	--	-1,6	14,92	9,18	10,43	9,09
YBL080C	--	--	--	4,77	4,45	4,77	4,83	YBR037C	--	--	--	5,25	4,64	5,22	4,58
YBL081W	--	--	--	29,62	30,16	25,60	25,95	YBR038W	--	--	--	3,52	3,35	3,91	3,28
YBL082C	--	--	-1,6	9,07	8,30	7,88	5,55	YBR039W	--	--	--	16,07	12,84	13,52	14,60
YBL083C	--	--	--	5,80	6,09	6,91	4,82	YBR040W	--	--	--	3,70	3,24	3,70	3,15
YBL084C	--	--	--	4,07	3,58	4,02	3,43	YBR041W	--	--	--	3,70	4,48	4,45	3,56
YBL085W	--	--	--	3,42	3,11	3,41	4,57	YBR042C	--	--	--	5,66	5,44	5,80	5,30
YBL086C	--	--	-1,6	9,01	6,18	7,98	5,47	YBR043C	--	--	--	3,96	3,75	4,07	3,76
YBL087C	--	--	--	156,74	153,06	226,75	191,69	YBR044C	--	--	--	5,90	4,85	5,85	5,07
YBL088C	--	--	--	3,09	2,85	3,14	3,83	YBR045C	--	+1,5	--	3,32	2,77	4,98	3,03
YBL089W	--	--	--	3,40	3,28	3,93	3,44	YBR046C	--	--	--	4,94	5,05	6,57	5,13
YBL090W	--	--	--	6,02	5,83	8,71	6,61	YBR047W	--	--	--	3,30	3,46	3,42	3,13

ORF	Änderungsfaktor			Normalisierte Signalintensität				ORF	Änderungsfaktor			Normalisierte Signalintensität				
	10	20	30	0	10	20	30		10	20	30	0	10	20	30	
YBR048W	--	--	--	270,79	233,11	354,80	286,63	YBR120C	--	--	--	3,80	4,36	4,73	3,79	
YBR049C	--	--	--	7,51	8,51	8,36	7,66	YBR121C	--	-1,5	--	55,93	39,59	36,66	38,64	
YBR050C	--	--	--	4,53	4,87	4,69	3,47	YBR122C	--	+1,5	--	6,08	6,89	9,33	7,51	
YBR051W	--	--	--	3,80	3,55	3,65	3,16	YBR123C	--	--	--	7,49	8,89	10,04	6,86	
YBR052C	--	+2,5	+1,9	26,90	38,58	66,19	51,26	YBR124W	--	--	--	4,38	4,34	5,20	3,96	
YBR053C	--	+1,9	+1,6	9,33	8,36	17,70	14,90	YBR125C	--	--	--	8,92	9,31	9,48	7,71	
YBR054W	--	--	+1,7	22,52	24,23	26,17	37,18	YBR126C	--	--	-2,5	62,68	54,06	74,70	25,45	
YBR055C	-1,6	--	--	5,41	3,31	5,98	5,17	YBR127C	--	--	--	23,60	20,75	24,75	22,42	
YBR056W	--	--	--	19,04	13,15	22,19	16,09	YBR128C	--	--	--	4,57	5,02	6,22	4,63	
YBR057C	--	--	--	8,80	6,16	8,62	7,50	YBR129C	--	--	--	7,69	6,94	9,11	6,81	
YBR058C	--	--	--	11,91	9,79	12,61	8,41	YBR130C	--	--	--	9,44	10,29	12,22	9,63	
YBR059C	--	--	--	10,55	10,46	10,58	9,39	YBR131W	--	--	--	5,81	6,23	6,47	4,97	
YBR060C	--	--	--	6,98	7,28	8,92	6,75	YBR132C	--	--	--	9,00	11,82	9,20	6,52	
YBR061C	--	--	--	7,72	8,30	9,46	8,03	YBR133C	--	--	--	5,38	7,56	7,06	6,38	
YBR062C	--	--	+1,6	6,47	8,50	10,38	7,96	YBR134W	--	--	--	3,85	3,30	3,69	3,72	
YBR063C	+1,6	--	--	4,87	7,64	7,08	6,39	YBR135W	--	--	--	24,76	16,87	24,65	29,12	
YBR064W	--	--	--	3,56	3,99	4,46	3,47	YBR136W	--	--	--	3,43	3,09	3,35	3,23	
YBR065C	--	--	--	6,32	5,97	7,61	6,60	YBR137W	--	--	--	3,42	2,99	4,10	3,27	
YBR066C	--	--	--	4,18	3,93	5,38	4,21	YBR138C	--	--	--	4,33	3,54	6,16	4,27	
YBR067C	--	--	--	15,77	12,30	17,05	12,32	YBR139W	--	+1,5	--	11,36	9,55	17,14	11,47	
YBR068C	--	--	--	4,97	3,94	5,23	4,44	YBR140C	--	--	--	5,70	4,35	5,28	5,33	
YBR069C	--	--	--	5,37	3,90	6,37	6,43	YBR141C	--	--	--	5,79	5,90	7,03	6,49	
YBR070C	--	--	--	6,26	4,98	6,88	5,40	YBR142W	--	--	--	5,40	4,86	4,59	5,03	
YBR071W	--	--	--	8,08	6,82	8,98	9,01	YBR143C	--	--	--	10,17	9,81	9,12	8,83	
YBR072W	--	--	--	3,71	3,63	3,54	3,55	YBR144C	--	--	--	4,16	3,75	3,86	3,63	
YBR073W	--	--	--	4,40	4,57	4,32	4,31	YBR145W	--	-1,6	--	54,02	34,21	44,22	56,33	
YBR074W	+1,5	--	--	8,00	12,29	9,29	10,36	YBR146W	--	--	--	7,17	6,11	10,01	7,28	
YBR075W	--	--	--	11,39	13,62	15,83	10,84	YBR147W	--	--	--	4,53	3,32	4,03	3,69	
YBR076W	--	--	--	4,74	5,46	5,74	4,58	YBR148W	--	-1,6	--	5,02	3,19	4,54	5,01	
YBR077C	--	--	--	5,56	4,74	6,49	5,45	YBR149W	--	--	--	28,33	22,48	32,70	28,93	
YBR078W	--	--	-3,9	43,16	30,99	51,42	11,03	YBR150C	--	-2	-1,6	-2	10,83	5,40	6,76	5,54
YBR079C	--	--	-3,8	19,75	24,33	18,85	5,13	YBR151W	--	--	--	4,33	3,94	4,03	3,92	
YBR080C	--	--	-2,7	9,98	8,31	9,10	3,75	YBR152W	--	--	--	4,94	4,28	4,63	4,13	
YBR081C	--	--	--	4,80	5,56	5,19	4,47	YBR153W	--	--	+1,9	7,64	9,28	14,23	9,50	
YBR082C	+2,2	+2,3	+1,6	24,17	53,28	54,38	39,47	YBR154C	--	--	--	19,33	21,83	26,64	25,76	
YBR083W	--	--	--	4,70	4,75	4,94	4,28	YBR155W	+1,5	+1,7	--	12,11	18,19	20,49	13,73	
YBR084C	--	--	--	276,57	254,32	313,65	238,03	YBR156C	--	--	--	5,60	6,83	7,15	5,38	
YBR084W	--	--	--	15,64	16,62	12,48	13,72	YBR157C	--	--	--	4,10	4,63	4,63	3,80	
YBR085W	--	--	--	8,11	11,26	8,26	9,44	YBR158W	+1,5	--	--	10,88	16,34	16,24	9,65	
YBR086C	--	--	-1,6	10,69	11,35	11,85	6,54	YBR159W	-2,8	--	--	12,74	4,49	14,39	11,86	
YBR087W	--	--	--	7,17	7,37	8,68	8,15	YBR160W	--	+1,7	--	8,42	9,66	14,40	10,02	
YBR088C	--	--	--	5,72	5,41	7,66	7,62	YBR161W	-1,6	--	--	6,17	3,82	6,77	5,06	
YBR089W	--	--	--	6,56	6,27	7,14	7,66	YBR162C	-4,3	-1,9	-2,2	76,57	17,92	41,15	34,81	
YBR090C	--	+1,5	--	17,59	22,91	26,47	17,40	YBR162W	--	+2,1	+1,6	17,46	14,10	36,32	28,43	
YBR090C	--	--	--	10,81	13,96	13,35	8,31	YBR163W	--	--	--	3,84	4,36	4,16	3,83	
YBR091C	--	--	--	3,29	3,25	3,33	2,95	YBR164C	--	+1,7	--	13,82	15,61	23,17	18,86	
YBR092C	--	--	--	5,26	5,05	5,67	4,85	YBR165W	--	--	--	4,30	4,23	3,49	3,35	
YBR093C	--	--	--	43,20	40,38	38,47	34,47	YBR166C	--	--	--	6,94	7,43	8,71	6,16	
YBR094W	--	--	--	7,39	8,34	8,65	8,41	YBR167C	--	--	--	5,30	5,35	6,60	4,52	
YBR095C	--	--	--	7,30	8,64	9,96	8,09	YBR168W	--	--	--	4,83	6,05	6,36	5,11	
YBR096W	--	+1,6	--	10,73	13,52	16,70	12,45	YBR169C	--	--	+2	10,10	13,83	20,21	14,76	
YBR097W	--	--	--	3,67	3,15	3,86	3,14	YBR170C	+1,6	+1,5	--	7,82	12,21	12,11	9,02	
YBR098W	--	--	--	3,57	3,03	3,34	2,86	YBR171W	--	--	--	6,31	6,22	6,21	4,66	
YBR099C	--	--	--	4,08	5,03	4,76	4,22	YBR172C	--	+1,6	--	7,50	5,74	12,04	10,98	
YBR100W	--	--	--	4,51	4,91	5,59	5,18	YBR173C	+1,7	+1,9	--	7,89	13,57	14,62	10,03	
YBR101C	-1,6	--	-1,9	26,60	16,81	19,70	13,78	YBR174C	--	--	--	4,79	5,83	6,38	4,43	
YBR102C	--	--	--	7,44	6,85	8,24	6,20	YBR175W	--	--	--	5,66	6,86	7,36	6,23	
YBR103W	--	--	--	6,22	6,42	5,82	4,83	YBR176W	--	--	--	4,43	5,53	5,58	4,73	
YBR104W	--	--	--	10,48	9,04	11,96	7,71	YBR177C	--	--	--	7,01	7,68	9,47	7,46	
YBR105C	--	--	--	12,06	10,95	17,73	16,07	YBR178W	--	--	--	4,49	3,99	3,98	3,67	
YBR106W	-1,7	--	--	52,83	30,79	71,56	47,94	YBR179C	--	--	+2,5	11,19	12,59	14,60	28,52	
YBR107C	--	--	--	6,93	6,31	6,30	5,95	YBR180W	--	--	+2,7	5,48	4,93	6,28	14,68	
YBR108W	--	--	--	7,01	8,55	6,56	6,20	YBR181C	--	--	--	329,72	274,82	340,25	279,75	
YBR109C	--	+2,1	+1,6	18,31	24,91	38,38	28,53	YBR182C	--	--	--	4,16	4,22	4,10	3,78	
YBR110W	--	--	--	8,70	6,44	6,25	6,20	YBR183W	--	--	--	4,63	3,82	4,90	3,93	
YBR111C	--	+2,3	--	26,09	32,71	59,46	31,62	YBR184W	--	--	--	6,50	6,52	8,32	7,02	
YBR112C	--	--	--	5,11	4,09	4,81	4,13	YBR185C	--	--	--	4,77	4,82	5,55	4,44	
YBR113W	--	--	--	22,80	25,89	24,54	32,24	YBR186W	--	--	--	4,01	3,79	4,12	3,54	
YBR114W	--	--	-2	8,84	6,91	6,68	4,51	YBR187W	--	--	--	11,22	13,90	14,66	12,57	
YBR115C	--	--	--	13,95	13,78	20,66	11,01	YBR188C	--	--	--	5,51	5,82	7,65	6,28	
YBR116C	--	--	--	4,25	4,17	4,58	3,60	YBR189W	--	+1,6	--	83,22	117,11	129,55	109,08	
YBR117C	--	--	--	9,57	10,31	11,02	9,94	YBR190W	--	--	--	3,59	4,07	4,25	3,08	
YBR118W	-1,7	--	--	2842,54	1708,80	2471,24	1945,64	YBR191W	--	--	--	97,59	86,61	109,40	115,76	
YBR119W	--	+1,6	--	6,43	8,94	10,12	8,28	YBR192W	--	--	--	3,76	3,21	3,65	3,12	

ORF	Änderungsfaktor			Normalisierte Signalintensität				ORF	Änderungsfaktor			Normalisierte Signalintensität				
	10	20	30	0	10	20	30		10	20	30	0	10	20	30	
YBR193C	--	--	--	4,87	4,58	5,62	4,33	YBR267W	--	+1,8	--	5,35	5,38	9,76	6,22	
YBR194W	--	--	--	4,81	4,02	7,11	4,25	YBR268W	--	+1,9	--	9,93	9,37	18,54	12,73	
YBR195C	--	+1,7	--	4,21	5,54	7,23	6,12	YBR269C	--	--	--	6,28	6,63	9,03	6,85	
YBR196C	--	-1,6	--	113,30	92,64	71,53	82,61	YBR270C	--	--	--	3,83	5,17	5,14	4,02	
YBR197C	--	--	--	5,65	4,89	6,73	5,93	YBR271W	--	--	--	5,09	5,27	7,09	5,72	
YBR198C	--	--	--	6,38	6,10	7,32	6,63	YBR272C	--	--	--	5,18	6,71	6,33	5,16	
YBR199W	--	--	--	8,88	7,99	9,94	7,32	YBR273C	--	--	--	9,13	8,52	8,54	7,63	
YBR200W	--	--	--	13,37	17,02	15,73	12,33	YBR274W	--	--	--	6,09	6,18	6,46	5,64	
YBR201W	--	--	--	5,11	4,93	5,78	4,12	YBR275C	--	--	--	5,88	5,64	6,17	5,61	
YBR202W	--	--	--	6,34	6,58	5,49	5,73	YBR276C	--	--	--	9,91	12,48	13,44	9,37	
YBR203W	--	--	--	3,90	3,34	3,22	3,00	YBR277C	--	--	--	4,16	4,46	5,00	3,81	
YBR204C	--	--	--	5,47	4,89	5,81	4,05	YBR278W	--	--	--	4,00	4,23	5,03	3,91	
YBR205W	--	--	--	15,54	12,77	13,61	12,56	YBR279W	--	--	--	9,45	10,22	10,00	8,70	
YBR206W	--	--	--	10,59	10,10	13,26	10,26	YBR280C	--	--	--	5,36	5,43	6,06	4,88	
YBR207W	--	--	--	6,24	5,61	5,33	5,08	YBR281C	--	--	--	4,32	4,09	4,40	4,09	
YBR208C	--	--	+1,8	29,50	40,90	38,16	54,11	YBR282W	--	+1,7	--	5,79	4,01	9,64	6,67	
YBR209W	--	--	--	5,09	5,14	5,18	4,97	YBR283C	--	--	--	23,74	16,83	22,41	21,09	
YBR210W	--	+1,7	--	6,57	8,05	11,19	8,58	YBR284W	--	--	--	4,49	4,60	4,60	3,78	
YBR211C	--	--	--	6,34	5,69	6,65	4,76	YBR285W	--	+2,1	--	6,77	9,18	14,25	8,86	
YBR212W	--	--	--	11,98	11,61	13,06	10,12	YBR286W	--	--	--	26,42	21,33	27,19	23,47	
YBR213W	--	--	--	4,23	4,75	5,22	4,34	YBR287W	--	-2	-1,9	-2	16,13	8,22	8,52	8,18
YBR214W	--	-1,7	-1,5	-2,1	15,93	9,33	10,42	7,72	YBR288C	--	--	--	4,29	4,26	4,27	3,95
YBR215W	--	--	--	3,61	3,93	4,58	3,33	YBR289W	--	--	--	86,45	95,07	95,88	117,48	
YBR216C	--	--	--	4,50	4,41	4,60	4,14	YBR290W	--	+1,5	--	10,70	16,10	11,06	14,85	
YBR217W	--	--	--	4,73	4,74	6,46	5,26	YBR291C	--	--	--	4,25	5,12	5,66	4,40	
YBR218C	--	--	--	35,95	28,17	27,09	25,49	YBR292C	--	--	--	3,98	4,10	4,75	4,26	
YBR219C	--	--	--	5,68	6,78	8,48	7,08	YBR293W	--	--	--	4,39	5,00	4,77	4,35	
YBR220C	--	--	--	6,20	6,09	6,37	5,80	YBR294W	--	--	--	4,67	3,87	4,08	3,34	
YBR221C	--	--	--	27,61	24,71	31,95	30,01	YBR295W	--	--	--	5,15	4,09	4,12	3,63	
YBR222C	--	--	--	5,40	5,24	5,96	5,12	YBR296C	--	-3,1	-3,6	-4,1	18,50	5,88	5,10	4,51
YBR223C	--	--	--	4,24	3,74	3,91	3,44	YBR297W	--	--	--	5,31	4,84	4,15	4,51	
YBR224W	--	--	--	4,05	3,85	3,91	3,49	YBR298C	--	--	--	3,43	3,13	3,30	3,03	
YBR225W	--	--	--	5,69	4,62	4,31	4,03	YBR299W	--	-1,5	--	-1,5	5,89	3,88	4,06	3,86
YBR226C	--	--	--	3,70	3,24	3,52	3,19	YBR300C	--	--	--	3,34	3,15	3,44	2,92	
YBR227C	--	--	--	4,79	4,97	5,12	3,82	YBR301W	--	--	--	5,55	5,41	5,81	5,27	
YBR228W	--	--	--	4,11	4,23	4,48	3,40	YBR302C	--	--	--	12,51	12,41	12,71	11,28	
YBR229C	--	--	--	6,87	6,70	6,95	6,76	YCL001w	--	--	--	3,96	5,04	4,11	4,39	
YBR230C	--	+1,6	--	7,24	9,00	11,34	6,64	YCL002C	--	--	--	4,47	4,32	4,95	3,98	
YBR231C	--	--	--	4,23	4,62	5,95	5,83	YCL003w	--	--	--	4,37	4,97	5,25	4,03	
YBR232C	--	--	--	3,72	3,57	4,19	3,67	YCL004w	--	--	-1,5	5,28	5,14	5,31	3,48	
YBR233W	--	--	--	4,91	4,32	6,24	5,17	YCL005W	--	--	-1,9	6,01	6,58	6,46	3,24	
YBR234C	--	--	--	3,30	3,22	3,59	3,04	YCL006C	--	--	--	4,38	5,19	5,23	3,56	
YBR235W	--	--	--	3,68	3,77	4,05	3,49	YCL007c	--	--	--	12,35	12,75	18,10	9,64	
YBR236C	--	--	--	6,91	7,73	8,94	8,37	YCL008C	--	--	--	7,85	10,25	9,51	6,10	
YBR237W	--	--	--	3,77	4,45	4,88	4,63	YCL009C	--	--	--	12,26	9,82	10,78	11,47	
YBR238C	--	--	--	4,58	4,37	4,42	3,69	YCL010C	--	--	--	4,06	4,63	4,52	3,63	
YBR239C	--	--	--	3,77	4,69	4,63	4,33	YCL011c	--	--	--	8,37	9,21	9,87	8,89	
YBR240C	--	--	--	3,49	3,11	3,15	3,09	YCL012W	--	--	--	3,85	4,63	4,32	3,56	
YBR241C	--	--	--	4,96	5,37	6,37	6,40	YCL013W	--	--	--	4,57	4,31	4,96	4,13	
YBR242W	--	--	--	5,74	6,41	8,03	8,08	YCL014w	--	--	--	3,71	3,78	3,66	3,26	
YBR243C	--	--	--	6,93	6,36	7,05	6,48	YCL016C	--	--	--	4,88	5,41	5,40	5,00	
YBR244W	--	-1,6	--	8,75	5,57	7,74	6,55	YCL017c	--	--	--	7,75	6,49	6,90	6,20	
YBR245C	--	--	--	4,15	3,57	4,17	3,72	YCL018w	--	--	--	8,93	6,06	10,23	9,48	
YBR246W	--	--	--	5,79	4,17	6,89	6,20	YCL019W	--	--	--	348,43	454,06	372,28	300,65	
YBR247C	--	--	--	7,35	5,74	7,35	9,41	YCL020W	--	--	--	50,12	48,60	48,31	51,48	
YBR248C	--	--	--	19,81	13,71	16,47	17,36	YCL021W	--	+1,9	--	14,31	18,41	27,22	18,85	
YBR249C	--	-1,8	-2	-1,9	38,12	20,82	19,16	20,05	YCL022C	--	--	--	19,35	22,59	18,33	15,56
YBR250W	--	--	--	3,90	3,79	3,74	3,06	YCL023C	--	--	--	4,59	4,62	4,78	3,96	
YBR251W	--	--	--	5,84	6,44	8,29	7,07	YCL024W	--	--	--	3,95	3,89	4,30	4,89	
YBR252W	--	--	+1,6	5,98	7,95	8,60	9,40	YCL025C	--	--	-1,9	5,81	5,62	4,35	3,01	
YBR253W	--	--	--	6,81	6,71	9,42	9,15	YCL026C	--	--	--	3,71	3,28	3,44	3,31	
YBR254C	--	--	--	5,91	5,23	8,09	5,68	YCL027w	--	+2,1	--	4,30	4,58	8,99	4,16	
YBR255W	--	--	--	4,30	4,01	4,49	4,55	YCL028W	--	--	--	12,12	11,65	17,51	9,77	
YBR256C	--	-1,9	--	24,30	12,61	35,15	22,51	YCL029c	--	--	--	7,43	7,32	8,80	6,21	
YBR257W	--	-1,5	--	5,69	3,70	8,02	6,66	YCL030c	--	-4,1	-4,5	-2,4	35,79	8,77	7,87	14,68
YBR258C	--	--	--	5,23	5,49	7,33	4,50	YCL031C	--	--	--	18,13	18,74	21,94	17,38	
YBR259W	--	--	--	3,94	4,39	4,49	4,06	YCL032w	--	--	+1,6	6,81	6,18	7,28	10,62	
YBR260C	--	--	--	6,86	7,35	6,99	4,94	YCL033C	--	+2,4	+1,8	7,24	9,37	17,36	13,30	
YBR261C	--	--	--	8,80	10,22	10,65	11,41	YCL034W	--	--	--	11,21	11,99	11,71	14,69	
YBR262C	--	--	+1,6	6,29	7,21	9,12	10,14	YCL035C	--	+1,9	--	36,35	68,85	52,92	45,29	
YBR263W	--	--	--	11,06	11,86	10,91	8,13	YCL036W	--	+2,2	+2,7	+1,9	4,99	10,80	13,63	9,58
YBR264C	--	+1,6	--	7,41	9,29	11,75	8,35	YCL037c	--	--	--	4,97	4,83	4,81	3,84	
YBR265W	--	--	--	10,10	9,21	12,50	8,19	YCL038C	--	--	--	3,36	3,27	3,46	3,11	
YBR266C	--	--	--	12,66	9,43	14,58	9,86	YCL039W	--	--	--	4,18	3,59	4,02	3,54	

ORF	Änderungsfaktor			Normalisierte Signalintensität				ORF	Änderungsfaktor			Normalisierte Signalintensität			
	10	20	30	0	10	20	30		10	20	30	0	10	20	30
YCL040w	--	+2	--	81,99	103,65	164,46	109,00	YCR027C	--	--	--	4,29	4,75	5,79	4,15
YCL041C	--	--	--	4,56	3,38	4,81	3,75	YCR028C	--	--	--	4,10	3,97	4,67	4,07
YCL042W	--	--	--	6,21	4,96	5,27	4,48	YCR029C	--	--	--	3,50	3,58	4,04	3,27
YCL043c	--	--	--	29,36	38,15	34,56	31,02	YCR029c	--	--	--	12,40	13,29	14,22	14,44
YCL044C	--	--	--	6,68	9,67	8,35	7,28	YCR030C	--	--	--	7,19	6,66	6,07	5,70
YCL045C	-1,6	--	--	12,07	7,40	8,19	8,63	YCR031c	--	+1,9	--	89,31	125,16	169,11	125,13
YCL046W	--	--	--	3,94	3,65	3,56	3,26	YCR032W	--	--	--	8,24	10,94	9,63	9,26
YCL047C	--	--	--	5,97	8,29	8,34	8,28	YCR033W	--	--	--	4,33	4,33	5,34	4,20
YCL048W	--	--	--	4,65	4,95	4,10	6,52	YCR034w	--	--	--	7,94	7,21	7,16	6,09
YCL049C	--	--	--	4,41	4,82	5,33	3,67	YCR035C	--	--	--	4,94	5,23	5,49	5,17
YCL050c	+1,5	--	-1,6	8,73	13,20	11,36	5,57	YCR036w	--	--	--	4,54	4,63	5,12	4,73
YCL051W	--	--	--	6,67	6,77	6,13	4,49	YCR037c	--	--	--	4,66	5,60	4,72	3,96
YCL052c	--	--	--	11,34	8,32	9,21	8,23	YCR038c	--	--	--	4,60	4,10	4,21	3,53
YCL053C	--	+1,9	--	8,23	11,45	16,04	6,90	YCR039c	--	--	--	6,49	5,56	8,63	6,06
YCL054W	--	--	--	7,17	7,68	7,62	6,56	YCR040w	--	--	-1,5	6,12	4,50	4,59	4,06
YCL055W	--	--	--	6,12	5,77	7,71	5,16	YCR041W	--	--	--	5,04	4,59	6,20	4,58
YCL056C	+1,5	+1,8	+1,5	5,21	7,95	9,45	7,83	YCR042c	--	--	--	5,89	5,39	5,01	4,66
YCL057w	--	--	--	14,60	19,26	18,51	12,10	YCR043C	--	--	--	6,89	7,98	8,33	7,72
YCL058C	+1,9	+2,7	+2,3	6,67	12,78	18,23	15,56	YCR044C	--	--	--	7,81	6,12	6,47	6,49
YCL059C	-1,5	-1,7	--	21,89	14,32	12,65	14,87	YCR045C	--	--	--	4,31	4,26	4,14	3,37
YCL060C	--	--	--	3,36	3,41	3,88	3,63	YCR046C	--	--	--	7,75	9,33	10,32	11,10
YCL061C	--	--	+1,7	12,93	11,78	18,33	22,30	YCR047C	--	--	--	6,71	7,93	7,74	7,91
YCL062W	--	--	--	4,14	5,12	5,72	5,05	YCR048w	--	--	--	4,18	3,47	3,72	3,23
YCL063W	--	--	--	4,16	4,63	4,55	3,64	YCR049C	--	--	--	3,87	3,53	3,94	3,55
YCL064c	+2,4	+1,6	--	35,73	86,34	58,59	39,64	YCR050C	--	--	--	3,80	3,64	4,42	3,98
YCL065W	--	+1,7	--	4,04	4,77	6,97	5,99	YCR051W	--	--	--	9,44	8,30	8,14	9,10
YCL066w	--	--	--	3,44	3,44	3,59	3,49	YCR052w	--	--	--	7,75	7,31	8,60	6,88
YCL067c	--	--	--	6,68	6,52	8,61	9,50	YCR053w	--	--	-1,6	16,80	21,67	20,20	10,84
YCL068C	--	--	--	3,64	2,86	4,48	3,29	YCR054C	--	--	--	4,00	4,52	4,77	3,72
YCL069W	--	+1,5	--	3,43	3,47	5,29	4,51	YCR055C	--	--	--	12,40	13,04	15,25	13,05
YCL070/	--	--	--	3,81	3,43	3,70	3,46	YCR056W	--	--	--	53,13	42,56	56,26	56,54
YCL074W	+2	+2,4	+1,6	6,63	12,95	15,78	10,68	YCR057c	--	--	--	5,23	7,31	7,07	5,77
YCL075W	--	--	--	3,37	3,26	3,41	3,36	YCR058C	--	--	--	3,10	3,20	3,06	2,87
YCL076W	--	--	--	3,57	4,42	3,62	3,07	YCR059C	--	--	--	9,83	8,88	9,94	11,07
YCLX01W	+1,9	+2,2	+2,3	3,89	7,35	8,75	8,85	YCR060W	--	--	--	4,03	4,22	4,62	4,87
YCLX02C	--	--	--	4,81	4,01	5,51	5,72	YCR061W	+1,7	--	--	4,61	7,88	6,82	5,01
YCLX03C	--	--	--	3,91	3,33	3,53	3,97	YCR062W	+1,7	+1,9	+1,7	4,16	7,19	7,98	6,93
YCLX04W	--	--	--	6,12	6,83	6,93	7,20	YCR063W	--	--	--	5,46	6,11	5,24	4,29
YCLX05C	-1,6	--	--	5,63	3,58	5,95	4,66	YCR064C	--	--	--	5,41	5,96	7,57	5,21
YCLX06C	--	--	--	8,07	5,87	7,29	7,78	YCR065w	--	--	--	3,69	4,10	4,62	4,17
YCLX07W	--	--	--	4,32	4,14	3,92	4,27	YCR066w	--	--	--	5,22	5,17	5,53	4,49
YCLX08C	--	--	--	3,61	3,21	3,56	4,13	YCR067c	--	--	--	11,28	10,97	13,86	9,35
YCLX09W	--	--	--	4,50	4,06	3,66	3,73	YCR068W	--	--	--	4,61	4,29	5,57	4,84
YCLX10C	--	--	--	8,42	6,10	9,47	7,00	YCR069w	--	--	--	10,09	9,00	10,51	8,66
YCLX11W	--	--	--	13,39	9,80	11,91	12,22	YCR070w	--	--	--	9,33	9,89	9,85	11,69
YCLX12W	--	--	--	5,33	5,07	5,60	5,92	YCR071C	--	--	+1,5	4,99	4,78	5,89	7,54
YCR001W	--	--	--	3,52	3,81	4,36	4,80	YCR072C	+1,7	+1,8	+1,5	5,23	8,80	9,52	7,93
YCR002c	--	--	--	20,03	17,49	18,22	15,74	YCR073C	--	--	--	4,85	3,71	4,98	3,86
YCR003w	--	--	--	4,85	5,00	4,65	4,57	YCR074C	--	--	--	3,37	2,84	3,50	2,86
YCR004C	-4	+1,7	--	34,16	8,62	56,57	39,09	YCR075c	--	+1,8	--	4,62	4,14	8,15	4,98
YCR005c	--	+1,7	--	9,97	13,98	16,69	10,82	YCR076C	--	--	--	5,44	6,27	7,52	5,11
YCR006C	--	--	--	4,84	3,83	5,72	4,84	YCR077C	--	--	--	12,39	8,51	8,58	8,68
YCR007C	--	--	--	5,10	3,45	5,67	4,94	YCR079W	--	--	--	7,73	7,12	7,14	6,28
YCR008W	+1,5	--	--	5,84	8,90	7,81	6,37	YCR080W	--	--	--	3,80	3,34	3,40	3,34
YCR009c	--	--	--	3,56	3,42	3,88	3,49	YCR081w	--	--	--	3,98	5,08	4,57	3,64
YCR010C	--	--	--	4,82	3,88	3,99	4,26	YCR082W	+1,7	+1,7	--	5,24	9,15	9,10	6,23
YCR011c	--	--	--	11,07	16,55	15,84	14,30	YCR083W	--	--	--	5,99	5,00	5,34	6,08
YCR012w	--	--	--	185,39	213,19	153,86	142,56	YCR084c	--	--	--	18,57	16,06	19,53	24,49
YCR013C	+1,6	--	--	159,76	256,22	235,33	173,51	YCR085W	--	--	--	3,85	3,38	3,94	3,70
YCR014c	--	--	--	3,94	4,17	4,36	3,68	YCR086W	-1,7	--	--	5,38	3,18	6,57	5,79
YCR015C	--	--	--	4,09	3,36	4,44	4,11	YCR087W	--	--	--	18,26	21,95	19,38	24,25
YCR016W	--	--	-1,6	6,31	6,56	6,78	4,05	YCR088w	--	--	--	16,83	18,63	17,17	24,16
YCR017C	+1,6	--	--	3,60	5,59	3,83	3,07	YCR089W	--	--	--	3,89	3,21	3,45	3,74
YCR018c	--	--	--	3,28	3,20	3,53	3,02	YCR090C	--	--	--	9,66	11,06	12,87	12,89
YCR019w	--	--	--	5,38	5,88	6,66	4,89	YCR091w	--	--	-1,6	6,94	4,67	4,68	4,27
YCR020C	--	+2,1	--	5,50	6,61	11,48	7,33	YCR092c	--	--	--	6,26	9,35	9,14	6,48
YCR020c	--	--	--	3,74	4,73	4,94	4,18	YCR093w	--	--	--	13,24	19,60	15,70	9,80
YCR021c	-4,6	-2,8	-2,6	72,31	15,79	25,65	28,15	YCR094W	--	--	--	7,23	7,55	7,69	5,35
YCR022C	--	--	--	5,28	5,24	6,19	7,14	YCR095C	--	--	--	4,78	6,07	6,09	5,14
YCR023C	--	--	--	5,38	5,73	5,82	5,10	YCR096c	-1,8	--	--	6,76	3,83	9,11	6,49
YCR024C	--	--	--	4,29	4,64	5,14	3,54	YCR097w	--	--	--	4,45	4,10	4,90	4,53
YCR024c	--	--	--	26,05	22,43	37,93	34,35	YCR097w	--	--	--	4,37	4,06	6,55	3,93
YCR025C	--	--	--	3,33	3,70	3,55	3,27	YCR098c	--	--	--	5,03	3,56	4,76	4,38
YCR026C	--	--	--	4,63	4,74	4,81	4,96	YCR099C	--	--	--	3,62	2,98	3,77	3,48



ORF	Änderungsfaktor			Normalisierte Signalintensität				ORF	Änderungsfaktor			Normalisierte Signalintensität			
	10	20	30	0	10	20	30		10	20	30	0	10	20	30
YCR100C	--	--	--	3,81	3,45	3,14	3,37	YDL046w	--	--	-1,8	18,79	20,65	22,30	10,56
YCR101C	--	--	--	4,54	3,93	4,10	3,37	YDL047W	--	--	--	11,96	11,68	12,24	11,68
YCR102C	--	--	--	3,58	4,06	2,99	2,98	YDL048c	-2,1	-2,2	-2,1	23,88	11,19	10,71	11,21
YCR103C	--	--	--	5,49	4,92	7,17	5,94	YDL049C	--	--	--	3,69	3,38	3,83	3,60
YCR104w	--	--	--	5,42	5,36	6,59	4,71	YDL050c	--	--	--	7,18	7,98	7,54	7,21
YCR105W	--	--	--	4,78	5,71	5,93	5,07	YDL051W	--	--	--	18,60	15,72	13,94	15,58
YCR106W	--	--	--	7,00	6,46	7,97	7,05	YDL052C	--	--	--	7,86	5,35	10,18	8,72
YCR107W	--	--	--	8,15	11,43	9,86	8,53	YDL053c	--	--	--	6,39	7,11	8,60	8,69
YCRX01W	--	--	--	5,34	4,84	4,74	4,50	YDL054c	--	--	--	5,29	4,46	5,00	4,44
YCRX02C	--	--	--	4,46	3,96	4,28	3,50	YDL055C	-2,1	--	--	93,13	44,14	71,86	77,57
YCRX03C	--	--	--	4,13	3,83	3,62	3,32	YDL056W	--	--	--	5,62	5,96	5,58	5,56
YCRX04W	--	--	--	7,23	7,34	9,55	7,14	YDL057w	--	--	--	4,81	3,80	4,58	4,47
YCRX05W	--	--	--	5,01	4,96	5,92	4,77	YDL058W	+1,5	--	-1,5	13,87	21,04	18,14	9,02
YCRX06W	--	--	--	3,88	4,47	4,03	3,66	YDL059C	--	--	--	6,93	7,33	8,40	6,89
YCRX07W	--	--	--	4,20	4,56	4,65	3,80	YDL060w	--	--	--	7,38	7,44	6,60	5,57
YCRX08W	--	--	--	5,19	4,58	4,52	4,84	YDL061C	--	--	+1,7	77,77	82,17	109,91	133,33
YCRX09C	--	--	--	16,17	13,98	16,29	11,42	YDL062w	--	--	--	4,61	4,09	4,13	4,31
YCRX10W	--	--	--	7,45	7,89	8,33	10,98	YDL063c	--	--	--	6,87	7,16	7,26	7,83
YCRX11W	--	--	--	6,07	5,89	7,07	5,65	YDL064w	--	--	--	12,13	14,27	17,59	14,50
YCRX12W	--	--	--	4,53	3,72	4,02	3,76	YDL065c	--	--	--	10,09	10,63	14,00	12,95
YCRX13w	--	--	--	8,13	8,74	9,33	7,89	YDL066W	--	--	--	5,55	4,85	5,08	4,45
YCRX14W	--	--	--	10,10	8,15	9,29	8,57	YDL067C	-1,6	+1,6	--	8,47	5,39	13,56	11,16
YCRX15W	--	--	--	3,49	3,63	3,70	3,52	YDL068w	--	--	--	4,13	3,31	4,03	3,85
YCRX16C	--	--	+1,7	9,77	10,96	11,71	16,49	YDL069C	--	--	--	4,65	4,36	5,82	4,91
YCRX17W	--	--	--	11,14	11,90	14,66	13,29	YDL070w	--	--	--	28,06	37,61	35,80	31,19
YCRX18C	--	--	--	4,69	4,53	4,52	3,94	YDL071c	--	--	--	4,20	4,26	4,94	4,06
YCRX19W	--	--	--	5,43	5,47	6,70	5,69	YDL072c	-1,7	--	-1,6	32,22	19,24	25,76	19,63
YCRX20C	--	--	--	4,83	5,24	5,10	4,35	YDL073w	--	--	--	3,96	5,02	4,20	4,16
YCRX21C	--	--	--	7,19	7,52	8,61	9,83	YDL074c	--	--	--	9,15	12,06	12,43	10,04
YDL001W	--	--	+1,7	7,30	8,26	10,16	12,08	YDL075W	--	--	--	144,47	165,99	194,44	209,86
YDL002C	--	--	--	12,99	12,07	19,22	13,56	YDL076c	--	--	--	7,24	7,06	8,09	7,12
YDL003W	--	--	+1,6	9,96	12,22	15,62	14,33	YDL077c	--	--	--	6,63	4,85	7,18	5,78
YDL004W	-1,5	--	--	17,55	11,64	23,49	19,03	YDL078C	--	--	--	24,10	19,12	29,59	21,88
YDL005c	--	--	-1,5	14,55	12,26	14,84	9,41	YDL079C	-1,5	--	--	8,21	5,41	7,29	6,07
YDL006W	--	--	--	7,22	5,20	9,01	5,52	YDL080c	--	--	--	4,57	3,60	4,41	4,17
YDL007W	--	--	--	13,45	18,57	19,53	15,06	YDL081C	--	+1,5	--	74,08	67,15	114,76	104,04
YDL008w	--	--	--	3,49	4,27	4,24	3,56	YDL082w	-2,1	--	--	111,00	52,09	129,52	106,58
YDL009c	--	--	+2	6,33	8,30	12,78	7,97	YDL083C	--	--	--	187,24	152,26	229,25	196,41
YDL010w	--	--	--	7,72	6,60	10,92	7,91	YDL084w	--	--	--	81,55	73,25	73,98	69,80
YDL011c	--	--	--	5,48	5,50	5,98	4,65	YDL085w	--	--	--	3,84	4,77	5,24	4,17
YDL012c	--	--	--	8,55	7,55	8,20	10,50	YDL086w	--	+1,7	+1,6	18,65	23,43	32,09	29,70
YDL013W	--	--	--	6,92	7,07	8,30	7,33	YDL087c	--	--	--	5,36	3,93	4,44	4,21
YDL014W	--	--	--	52,53	55,39	53,59	76,72	YDL088C	--	--	--	6,99	6,09	6,72	6,61
YDL015c	--	--	--	22,59	18,96	22,63	19,18	YDL089w	--	--	--	5,75	7,11	6,10	6,76
YDL016c	+1,5	+1,7	--	8,32	12,56	14,49	11,73	YDL090C	--	--	--	5,29	4,98	5,38	5,06
YDL017W	--	--	--	5,38	4,63	4,56	4,53	YDL091c	-1,9	--	--	7,44	4,01	8,03	6,59
YDL018c	--	--	+1,5	5,43	5,95	8,38	7,00	YDL092W	--	--	--	9,93	6,64	14,44	11,64
YDL019c	--	--	--	18,23	24,65	23,29	15,99	YDL093W	--	--	--	8,92	9,64	10,34	7,25
YDL020C	--	--	--	12,82	11,76	10,94	10,16	YDL094c	--	+1,6	--	3,68	5,22	5,84	4,81
YDL021W	--	--	+2,5	5,14	6,09	12,86	11,27	YDL095W	--	--	--	7,68	7,29	6,80	7,93
YDL022w	--	--	-1,5	46,04	34,00	36,11	30,49	YDL096c	--	--	--	4,46	3,93	3,35	3,41
YDL023c	-1,5	-1,5	-2,1	25,60	16,52	16,57	12,22	YDL097c	--	+1,6	--	29,06	38,45	46,78	21,76
YDL024c	--	--	+2,1	7,16	9,87	14,71	9,33	YDL098c	--	--	--	11,99	11,81	15,63	10,60
YDL025c	--	--	--	10,15	7,54	8,56	7,95	YDL099w	--	+1,8	--	17,31	20,68	30,67	21,90
YDL026w	--	--	--	5,79	4,89	5,47	4,91	YDL100c	--	--	--	11,37	10,08	16,25	13,88
YDL027c	--	--	--	9,34	9,40	10,44	7,78	YDL101C	--	--	-1,7	6,47	8,12	9,26	3,86
YDL028C	--	--	--	6,33	5,93	7,43	7,25	YDL102W	--	--	-1,7	5,89	4,89	4,89	3,38
YDL029W	--	--	--	28,58	31,63	34,72	25,26	YDL103C	+1,7	+2,1	-2,7	13,45	22,89	28,62	4,91
YDL030W	--	--	--	5,73	5,40	6,69	6,11	YDL104C	--	--	--	4,90	5,71	7,18	4,84
YDL031w	--	--	--	6,01	7,85	7,75	8,50	YDL105W	--	--	--	9,15	9,25	8,77	8,82
YDL032w	--	--	--	3,82	3,83	4,07	3,80	YDL106C	--	--	--	5,54	5,19	5,06	4,48
YDL033c	--	--	--	5,26	3,83	4,61	4,04	YDL107W	--	--	--	4,78	5,63	6,65	5,05
YDL034w	--	--	--	5,05	4,20	3,79	3,38	YDL108W	--	--	--	9,90	9,67	11,78	10,63
YDL035c	--	--	--	10,89	15,35	15,70	9,82	YDL109c	--	--	--	4,90	4,49	4,73	3,52
YDL036c	--	--	--	8,45	6,95	7,14	6,82	YDL110c	--	--	--	14,07	11,15	17,34	13,78
YDL037c	--	--	--	4,65	3,86	3,86	3,57	YDL111c	--	--	+1,6	9,70	12,70	12,84	15,97
YDL038c	-1,9	-2,2	-2,5	15,35	8,05	6,88	6,23	YDL112w	--	--	--	3,55	3,70	3,89	3,72
YDL039c	-1,5	--	-1,5	6,57	4,31	4,68	4,28	YDL113c	--	--	--	7,81	6,25	8,01	6,56
YDL040C	--	--	--	9,01	7,77	7,24	7,36	YDL114w	--	--	--	3,12	3,22	3,59	3,42
YDL041w	--	--	--	3,74	3,50	4,00	3,87	YDL115c	--	--	--	10,64	12,14	12,84	10,25
YDL042C	--	--	--	3,94	3,29	3,41	3,06	YDL116W	--	--	--	6,59	6,98	7,66	6,76
YDL043C	--	--	--	6,58	6,65	8,01	6,38	YDL117w	--	--	--	6,75	9,02	9,60	7,19
YDL044c	--	--	--	3,92	3,60	3,69	3,77	YDL118w	--	--	--	12,66	14,51	15,10	14,79
YDL045C	--	--	--	7,97	6,43	6,98	5,96	YDL119c	--	--	--	7,89	8,59	9,47	8,59

ORF	Änderungsfaktor			Normalisierte Signalintensität				ORF	Änderungsfaktor			Normalisierte Signalintensität			
	10	20	30	0	10	20	30		10	20	30	0	10	20	30
YDL120w	--	--	--	8,38	10,63	11,09	9,77	YDL194W	--	--	--	4,41	3,61	4,11	3,70
YDL121c	--	--	--	9,22	8,42	8,41	8,72	YDL195W	--	--	-2	9,11	7,81	8,64	4,52
YDL122W	--	--	--	4,53	4,15	4,59	4,76	YDL196w	--	--	--	3,88	4,83	3,80	3,05
YDL123w	--	--	--	6,43	6,07	6,40	5,97	YDL197C	--	--	--	4,75	6,88	6,15	3,36
YDL124w	--	+1,5	--	22,17	23,43	34,06	26,39	YDL198C	--	--	--	13,52	11,24	11,25	9,16
YDL125c	--	--	--	30,53	33,14	41,96	32,66	YDL199c	--	--	--	5,15	5,68	6,10	4,64
YDL126C	--	--	--	33,66	37,61	38,14	28,93	YDL200C	--	+1,7	+1,5	3,90	4,89	6,77	6,02
YDL127w	--	--	--	14,06	14,42	16,36	11,63	YDL201w	--	--	--	12,07	11,21	13,82	13,61
YDL128W	--	--	--	16,25	17,73	20,67	13,02	YDL202w	--	+1,6	--	6,29	7,54	9,91	8,85
YDL129w	--	--	--	4,46	3,45	3,70	3,36	YDL203c	--	--	--	6,18	5,83	6,75	6,03
YDL130W	--	--	+1,7	77,77	101,46	108,66	136,07	YDL204w	--	--	--	5,50	4,54	5,53	4,43
YDL131w	--	-1,7	--	22,27	20,00	13,42	17,34	YDL205C	--	--	--	8,51	6,83	7,33	7,64
YDL132w	--	--	--	10,31	11,49	11,09	7,84	YDL206w	--	--	--	5,53	5,02	4,30	4,33
YDL133w	--	--	--	9,78	9,34	11,01	8,59	YDL207w	--	--	--	6,54	6,17	5,72	6,31
YDL134C	--	--	--	30,75	32,91	40,55	29,08	YDL208W	--	+1,5	--	13,29	15,42	20,57	19,07
YDL135C	-1,7	--	--	11,60	6,69	16,32	13,94	YDL209c	--	--	--	4,72	5,84	6,16	5,69
YDL136w	--	+1,8	--	62,09	55,18	111,54	90,10	YDL210W	--	--	--	3,83	3,83	3,87	3,42
YDL137W	--	--	--	66,30	67,28	91,37	85,62	YDL211c	--	--	--	4,47	4,98	5,30	3,95
YDL138w	+1,5	+1,7	--	7,12	10,69	11,76	8,25	YDL212W	--	--	--	10,72	9,84	10,53	9,87
YDL139c	--	--	--	4,33	3,94	4,37	3,84	YDL213c	--	--	--	11,32	9,60	10,96	11,43
YDL140C	--	--	--	28,60	30,75	22,29	23,32	YDL214c	--	--	--	6,09	5,39	5,95	7,26
YDL141W	--	--	--	6,42	6,94	5,72	5,75	YDL215C	--	--	--	6,04	5,40	4,86	5,37
YDL142c	--	--	-1,6	6,62	7,59	8,01	4,09	YDL216c	--	--	--	5,69	4,52	4,91	4,89
YDL143W	--	+1,5	--	43,56	54,72	66,61	35,49	YDL217c	--	--	--	7,37	7,04	10,59	9,59
YDL144c	+1,8	+2,8	+1,9	9,94	17,82	28,31	18,75	YDL218w	--	--	--	3,77	4,02	4,58	4,06
YDL145C	--	--	--	29,47	25,19	25,93	24,32	YDL219w	--	+1,5	+1,6	7,00	8,03	10,85	11,48
YDL146w	--	--	--	5,86	4,28	4,81	8,32	YDL220C	--	--	--	4,24	3,74	3,70	3,65
YDL147w	--	--	--	41,10	50,26	51,23	37,63	YDL221w	--	--	--	6,11	5,94	9,05	6,74
YDL148c	--	--	--	12,06	11,93	10,36	9,05	YDL222c	--	+1,5	--	5,12	6,50	7,72	5,46
YDL149w	--	--	--	6,85	6,97	6,70	6,52	YDL223c	-1,5	--	-1,6	7,99	5,17	5,64	4,85
YDL150W	--	+1,6	--	8,41	11,11	13,44	11,53	YDL224c	--	--	--	7,58	5,40	5,78	5,51
YDL151c	--	--	--	5,99	6,73	6,70	6,51	YDL225w	--	--	--	9,24	8,91	8,36	7,97
YDL152w	--	--	--	4,75	3,81	4,69	3,97	YDL226C	--	--	--	13,48	12,87	14,78	11,78
YDL153c	--	--	--	9,53	7,62	6,99	8,21	YDL227C	--	--	--	4,10	3,58	3,41	3,22
YDL154W	--	--	--	3,01	3,37	4,51	3,10	YDL228c	--	--	--	3,73	3,35	4,46	3,51
YDL155W	--	--	--	10,08	9,13	13,33	9,64	YDL229W	--	--	--	2,98	3,14	3,09	3,31
YDL156w	--	--	--	4,20	4,26	4,35	4,34	YDL230W	--	--	--	6,07	7,00	7,21	6,97
YDL157c	--	--	--	8,12	8,30	9,13	12,10	YDL231c	--	--	--	7,17	5,58	6,62	6,10
YDL158c	--	--	--	3,36	3,69	3,66	3,36	YDL232W	--	--	--	3,97	3,56	4,52	4,14
YDL159W	--	--	--	7,66	6,36	6,92	7,02	YDL233w	--	-1,5	-1,7	10,41	7,31	6,75	6,27
YDL160C	--	-1,6	-1,5	8,95	6,06	5,65	5,94	YDL234C	-2,7	-2,8	-3	15,02	5,46	5,32	5,04
YDL161w	--	--	--	14,89	11,68	12,69	11,40	YDL235c	--	--	--	10,03	10,36	10,33	13,67
YDL162c	--	--	--	3,55	2,76	3,53	3,11	YDL236W	--	--	--	11,87	10,47	9,47	11,44
YDL163w	--	--	--	3,88	3,45	3,50	3,51	YDL237w	--	--	--	17,34	12,32	14,98	15,82
YDL164C	--	--	--	8,69	9,12	8,89	8,97	YDL238c	--	--	--	90,16	118,79	97,84	104,75
YDL165W	--	+1,6	--	10,24	7,88	16,75	14,90	YDL239c	--	--	--	4,81	5,17	5,55	5,54
YDL166c	--	--	--	8,17	7,89	10,71	9,95	YDL240W	--	--	--	4,24	4,82	4,38	4,20
YDL167C	--	+1,7	+1,7	5,50	7,57	9,49	9,52	YDL241w	-1,8	-1,6	-1,8	7,35	4,00	4,50	4,19
YDL168W	--	--	--	14,92	14,18	18,61	18,50	YDL242w	--	--	--	3,87	3,12	3,59	3,36
YDL169C	--	--	--	5,08	4,85	7,60	6,29	YDL243c	--	--	--	6,31	7,00	8,61	7,79
YDL170W	--	--	--	6,81	4,56	6,99	7,29	YDL244w	--	--	--	4,08	3,78	4,75	3,95
YDL171c	--	--	--	10,95	14,95	10,86	8,29	YDL245C	--	--	--	7,02	5,33	5,46	6,82
YDL172c	-1,8	--	--	12,89	7,34	16,61	13,88	YDL246c	--	--	--	5,08	5,16	5,90	3,91
YDL173w	--	--	--	12,59	11,13	13,63	11,92	YDL247w	--	--	--	4,11	3,62	3,88	4,56
YDL174C	-1,5	--	--	21,72	14,34	24,57	20,92	YDL248w	--	--	--	25,00	24,13	25,24	24,37
YDL175c	--	--	--	5,60	5,58	6,36	4,42	YDR001C	--	+1,7	--	23,48	26,58	39,94	31,37
YDL176w	--	--	--	5,33	6,78	7,33	6,04	YDR002W	--	--	--	34,04	33,28	37,88	30,16
YDL177c	--	+1,5	--	4,83	5,92	7,31	6,86	YDR003W	--	--	--	5,75	5,09	5,88	4,84
YDL178W	--	--	--	8,33	7,95	8,01	7,68	YDR004W	--	--	--	6,68	8,47	8,19	8,04
YDL179w	--	--	--	5,13	5,66	6,27	5,53	YDR005C	--	--	--	7,85	7,44	7,92	7,02
YDL180w	--	+1,5	--	10,47	12,55	16,05	11,88	YDR006C	--	--	--	7,95	8,41	8,21	7,89
YDL181W	--	+2,4	+2,1	11,61	13,65	27,74	24,14	YDR007W	--	+1,7	--	5,84	6,47	10,02	8,15
YDL182w	-1,5	--	-1,6	62,63	41,45	51,39	38,15	YDR008C	--	+1,8	+1,5	5,22	6,45	9,26	7,89
YDL183c	--	--	--	5,57	3,94	6,19	5,72	YDR009W	--	--	--	3,61	3,13	3,81	3,31
YDL184C	-2,6	+1,5	--	140,12	53,76	216,70	186,48	YDR010c	--	--	--	4,12	3,21	4,45	4,12
YDL185W	-2,4	--	--	71,00	29,83	83,72	63,47	YDR011W	--	--	--	16,50	20,42	19,77	13,27
YDL186w	--	--	--	5,48	3,90	5,75	5,60	YDR012W	--	--	--	139,72	96,55	103,41	132,56
YDL187c	--	--	--	4,03	3,48	4,26	3,94	YDR013w	--	--	--	4,57	4,38	4,76	4,96
YDL188C	--	--	--	25,77	22,03	35,48	27,59	YDR014w	--	--	--	3,94	3,91	4,03	3,83
YDL189w	--	--	--	8,00	8,20	8,15	8,40	YDR015c	--	--	--	3,64	5,21	4,47	4,11
YDL190C	--	--	--	6,79	6,57	6,45	6,26	YDR016c	--	+1,5	--	6,19	7,05	9,32	8,06
YDL191W	--	+1,5	--	89,35	96,73	134,67	111,00	YDR017C	--	--	--	13,72	10,63	13,67	14,41
YDL192W	--	+1,6	--	57,62	73,01	92,35	61,24	YDR018c	--	--	--	4,84	3,45	4,32	4,86
YDL193w	--	--	--	8,63	8,42	10,64	7,99	YDR019C	--	--	--	5,67	3,88	4,83	5,70



ORF	Änderungsfaktor			Normalisierte Signalintensität				ORF	Änderungsfaktor			Normalisierte Signalintensität			
	10	20	30	0	10	20	30		10	20	30	0	10	20	30
YDR020c	-1,6	--	--	5,20	3,36	5,52	4,49	YDR094W	--	+1,5	--	8,68	9,95	13,24	11,71
YDR021w	--	--	--	5,45	6,22	8,05	8,07	YDR095C	--	--	--	4,38	5,05	5,34	4,60
YDR022c	--	--	--	3,82	4,22	5,17	4,37	YDR096W	-1,5	-1,7	-1,9	8,41	5,46	5,08	4,39
YDR023W	--	--	--	51,90	38,43	42,55	36,53	YDR097C	--	--	--	4,05	4,05	4,30	3,93
YDR024w	--	--	--	4,36	5,01	5,21	5,31	YDR098C	--	--	--	26,33	33,28	39,30	33,21
YDR025W	--	--	--	240,42	208,71	303,67	241,03	YDR099W	--	--	--	87,91	123,99	108,79	118,65
YDR026c	--	--	--	4,55	5,08	4,96	4,99	YDR100W	--	+1,8	--	9,89	12,50	17,84	13,26
YDR027c	--	--	--	24,22	32,04	34,32	27,50	YDR101C	-1,5	--	--	14,56	9,59	16,03	17,39
YDR028C	--	--	--	10,88	11,21	10,55	11,38	YDR102C	--	--	--	3,86	3,29	4,25	3,79
YDR029w	--	--	--	6,51	5,84	6,65	6,57	YDR103W	--	--	--	3,42	3,86	4,06	3,76
YDR030c	--	--	--	4,03	4,51	4,45	4,98	YDR104C	--	--	--	3,74	3,95	4,12	4,26
YDR031w	-1,5	+1,9	+1,7	5,58	3,69	10,40	9,64	YDR105C	--	--	--	9,28	9,15	12,20	10,15
YDR032c	+1,6	+2,4	+2,2	19,18	29,97	46,07	41,56	YDR106W	--	--	--	3,35	3,28	3,95	3,28
YDR033w	-1,8	--	--	31,92	17,97	38,61	22,04	YDR107C	--	--	--	4,99	4,95	5,26	4,85
YDR034C	--	--	--	8,28	6,58	10,26	9,86	YDR108W	--	--	--	4,89	4,60	4,77	4,64
YDR035W	-2,3	-2	-2,6	26,38	11,39	13,41	10,18	YDR109C	--	--	--	6,10	7,81	7,59	8,03
YDR036c	--	--	--	4,10	4,83	4,11	4,03	YDR110W	--	--	--	4,58	4,74	5,19	5,81
YDR037W	--	--	-1,5	100,46	74,82	119,82	66,74	YDR111C	-1,5	--	--	5,01	3,32	4,10	4,20
YDR038C	--	--	--	10,56	13,36	12,65	7,64	YDR112W	--	--	--	4,08	2,96	3,43	3,37
YDR039C	--	--	--	9,90	10,19	10,16	8,42	YDR113C	--	--	--	4,71	5,22	5,64	4,59
YDR040C	--	--	--	14,22	16,06	16,42	14,79	YDR114C	--	+1,6	--	5,76	6,41	9,14	7,51
YDR041W	--	--	--	10,20	13,60	13,66	10,81	YDR115W	--	--	--	5,88	5,43	8,18	7,12
YDR042C	--	--	--	4,12	4,73	4,05	3,35	YDR116C	--	--	--	7,10	4,82	6,43	7,43
YDR043C	--	--	--	5,05	4,72	4,81	4,07	YDR117C	--	--	--	9,82	7,82	9,60	9,98
YDR044W	-1,9	-1,7	-2	11,98	6,28	7,22	6,14	YDR118W	--	--	--	4,64	4,91	5,22	4,85
YDR045C	--	+1,9	--	7,17	8,97	13,97	9,60	YDR119W	--	+1,8	--	11,14	14,47	19,79	11,07
YDR046C	--	+1,6	--	13,44	19,45	21,15	13,34	YDR120C	--	--	--	9,02	9,66	8,55	9,14
YDR047W	--	--	--	9,53	10,64	11,35	9,69	YDR121W	--	--	--	6,23	6,04	7,33	6,90
YDR048C	--	--	--	4,12	5,02	4,95	3,70	YDR122W	--	--	--	9,02	7,18	10,29	9,58
YDR049W	--	--	--	6,34	5,64	6,67	5,97	YDR123C	--	--	--	6,91	5,89	8,14	6,73
YDR050C	--	--	--	763,55	840,54	1033,80	576,75	YDR124W	--	--	--	5,99	5,07	6,31	5,41
YDR051c	--	--	--	5,79	6,39	7,06	6,41	YDR125C	--	--	--	6,00	4,21	5,42	4,85
YDR052C	--	--	--	6,99	6,67	7,32	6,30	YDR126W	-1,6	--	--	5,50	3,34	4,80	4,15
YDR053w	--	--	--	5,03	4,36	5,06	3,75	YDR127W	--	--	--	31,94	40,32	41,64	25,55
YDR054c	--	--	--	9,04	8,78	9,99	7,93	YDR128W	--	--	--	5,82	5,35	5,70	5,54
YDR055w	--	--	--	21,03	17,21	24,78	22,51	YDR129C	-1,5	--	-1,6	46,08	30,58	35,37	29,59
YDR056c	-1,6	--	--	11,54	7,41	9,61	8,24	YDR130C	--	--	--	4,10	4,95	4,74	5,25
YDR057w	--	--	--	6,32	5,93	6,50	5,55	YDR131C	--	--	--	5,87	6,10	7,12	6,59
YDR058c	--	--	--	4,90	4,69	5,49	5,05	YDR132C	--	--	--	9,17	8,42	9,19	7,04
YDR059C	--	--	--	5,55	6,59	8,30	6,37	YDR133C	--	+1,6	--	176,30	226,89	285,83	203,67
YDR060w	--	--	--	15,97	20,81	20,30	15,02	YDR134C	--	--	--	413,41	330,93	571,21	416,20
YDR061w	--	--	--	7,86	8,36	11,74	6,29	YDR135C	--	--	--	16,11	12,40	23,14	11,84
YDR062W	--	--	-1,5	25,61	18,20	24,00	16,87	YDR136C	+1,6	--	--	3,72	5,87	3,41	3,65
YDR063w	--	+1,6	--	10,70	10,93	16,86	15,41	YDR137W	--	--	--	6,09	5,38	5,72	4,89
YDR064W	--	--	--	50,80	55,27	57,08	58,56	YDR138W	--	--	--	3,96	4,60	4,11	3,11
YDR065w	--	+1,8	--	4,55	5,46	8,04	4,94	YDR139C	--	+1,9	--	6,17	8,49	11,49	8,21
YDR066c	--	+1,5	--	5,06	5,44	7,77	5,95	YDR140W	--	+1,7	--	6,82	6,72	11,92	9,17
YDR067c	--	--	--	12,42	10,25	11,38	8,55	YDR141C	--	+1,9	--	15,97	23,05	29,85	20,40
YDR068W	--	--	--	10,36	7,24	9,51	9,02	YDR142C	--	--	--	6,36	6,74	6,73	6,87
YDR069C	--	+1,5	--	6,96	8,72	10,78	7,94	YDR143C	--	--	--	8,37	11,01	11,24	8,88
YDR070c	--	--	--	9,15	7,19	12,23	7,31	YDR144C	--	--	--	13,06	15,01	16,72	12,52
YDR071c	--	--	--	24,04	24,15	27,06	20,49	YDR145W	--	--	+1,6	59,76	87,25	64,45	93,47
YDR072c	--	--	-1,7	14,20	14,05	10,92	8,38	YDR146C	--	--	--	4,63	4,40	4,36	4,26
YDR073W	--	-1,5	-2,7	14,59	11,19	9,72	5,33	YDR147W	+1,6	+1,6	--	4,15	6,52	6,81	5,09
YDR074W	-2,2	-2,8	-3	38,82	17,53	14,04	12,99	YDR148C	--	--	--	11,48	9,52	13,34	9,07
YDR075W	--	--	--	4,58	4,72	6,02	5,47	YDR149C	--	--	--	5,65	4,95	6,26	4,99
YDR076W	--	--	--	7,71	10,81	7,14	6,07	YDR150W	--	--	--	3,85	4,47	3,98	3,14
YDR077W	--	--	--	462,99	361,06	537,96	496,61	YDR151C	--	--	--	8,52	6,54	8,25	6,72
YDR078c	--	--	--	4,64	5,55	6,07	4,97	YDR152W	--	--	--	13,96	10,11	16,95	15,90
YDR079w	--	--	--	31,52	33,44	28,02	27,64	YDR153C	--	--	--	8,63	6,63	7,08	5,83
YDR080w	--	--	--	9,33	10,23	11,33	10,93	YDR154C	+2,1	+3,5	+1,9	311,25	659,28	1101,62	606,43
YDR081C	--	--	--	5,22	4,87	5,33	3,55	YDR155C	+1,8	+2,9	+2,8	33,91	60,46	97,43	94,56
YDR082w	--	--	--	6,56	6,36	9,14	6,96	YDR156W	--	--	--	8,75	9,44	12,42	11,88
YDR083w	--	--	--	15,54	15,34	17,16	13,85	YDR157W	+1,5	+1,9	--	6,57	10,13	12,49	9,72
YDR084c	--	--	--	10,01	8,88	11,73	9,46	YDR158W	-1,6	--	--	35,85	22,10	28,47	33,48
YDR085C	-2,3	-1,8	-2,6	11,15	4,86	6,06	4,27	YDR159W	--	--	--	14,55	20,60	17,11	12,34
YDR086C	--	--	--	10,94	13,68	16,33	14,74	YDR160W	--	--	--	5,06	4,74	4,82	4,71
YDR087c	--	--	--	9,01	8,67	9,21	8,83	YDR161W	-1,6	--	--	13,25	8,39	12,26	12,07
YDR088C	--	--	--	7,18	7,24	9,48	7,51	YDR162C	--	--	--	5,58	6,37	7,32	6,44
YDR089w	--	--	--	6,51	4,36	6,12	5,56	YDR163W	--	--	--	5,48	5,65	6,24	5,23
YDR090C	--	--	--	7,80	6,77	8,67	6,52	YDR164C	--	--	--	7,25	6,29	6,59	5,85
YDR091C	--	--	--	21,45	19,60	17,69	16,78	YDR165W	--	--	--	10,06	10,78	12,60	10,26
YDR092W	+1,6	+1,9	+1,5	10,04	15,56	18,75	15,35	YDR166C	--	--	--	4,76	4,07	4,15	4,45
YDR093W	--	+1,9	--	24,26	35,67	45,24	28,07	YDR167W	--	--	--	9,96	10,74	13,62	10,41

ORF	Änderungsfaktor			Normalisierte Signalintensität				ORF	Änderungsfaktor			Normalisierte Signalintensität			
	10	20	30	0	10	20	30		10	20	30	0	10	20	30
YDR168W	--	--	--	35,18	32,98	45,50	32,21	YDR256C	--	--	--	5,81	5,12	4,93	4,11
YDR169C	--	--	--	9,12	8,45	7,64	7,72	YDR257C	--	--	--	8,44	10,09	10,45	8,68
YDR170C	--	--	--	18,24	19,35	12,39	13,19	YDR258C	--	+1,7	--	32,11	39,59	55,85	42,46
YDR171W	-1,6	--	-2	74,41	47,48	78,35	37,38	YDR259C	--	--	--	6,51	6,41	7,64	5,82
YDR172W	--	--	--	25,27	24,06	23,69	22,57	YDR260C	--	--	--	5,73	4,21	6,38	6,21
YDR173C	--	--	--	6,60	7,65	9,31	5,77	YDR261C	--	--	--	13,05	15,25	15,11	14,06
YDR174W	+1,7	+1,6	--	25,24	41,91	40,12	29,12	YDR262w	--	--	--	11,58	10,60	10,99	9,04
YDR175C	--	--	--	6,42	6,45	7,01	6,11	YDR263C	--	--	--	4,82	6,39	5,40	5,23
YDR176W	--	--	-1,5	14,53	11,68	10,94	9,64	YDR264C	--	--	--	9,23	10,59	8,29	7,01
YDR177W	+1,6	+1,7	--	9,54	15,25	15,81	13,17	YDR265W	--	--	--	4,92	5,98	5,42	4,68
YDR178W	--	--	--	10,47	7,72	11,47	9,06	YDR266C	--	--	--	9,18	10,97	11,70	11,28
YDR179C	--	--	--	4,19	4,04	5,84	5,13	YDR267C	--	--	--	7,44	8,01	8,16	5,06
YDR180W	--	+1,5	--	5,78	5,92	8,96	6,53	YDR268W	--	--	--	7,78	7,72	9,52	8,06
YDR181C	--	--	--	6,76	6,53	7,53	6,64	YDR269C	--	--	--	6,57	5,15	6,24	5,22
YDR182W	--	--	--	11,35	9,19	9,29	8,44	YDR270W	--	--	--	6,93	8,25	6,67	6,03
YDR183W	--	--	--	4,55	4,94	5,25	4,53	YDR271C	+1,8	+1,8	--	4,76	8,37	8,79	6,54
YDR184C	--	--	--	7,01	6,49	8,92	7,29	YDR272W	--	+2,1	--	12,73	14,97	26,12	18,22
YDR185C	--	--	--	4,90	5,15	5,36	4,17	YDR273W	--	--	--	4,01	5,17	4,91	4,02
YDR186C	--	--	--	8,96	9,92	10,31	10,64	YDR274C	--	-1,5	--	6,55	4,40	4,29	4,52
YDR187C	--	--	--	10,05	9,97	7,72	9,64	YDR275W	--	--	--	5,28	5,49	6,41	5,50
YDR188W	--	--	--	36,21	52,19	34,52	39,84	YDR276C	--	+1,8	--	28,31	33,11	49,86	40,31
YDR189W	--	--	--	12,32	13,14	12,25	12,17	YDR277C	-3,7	-3,8	-4	16,42	4,43	4,30	4,13
YDR190C	--	--	--	20,45	19,23	22,40	22,66	YDR278C	--	--	--	3,11	2,95	3,33	3,12
YDR191W	--	--	--	3,77	4,05	4,55	4,14	YDR279W	--	--	--	5,93	5,30	6,50	6,58
YDR192C	--	--	--	5,34	5,87	7,05	6,33	YDR280W	--	--	-2,7	17,31	13,58	17,71	6,53
YDR193W	--	--	--	4,00	3,84	4,17	3,78	YDR281C	--	+1,6	--	3,72	3,81	5,79	5,22
YDR194C	-1,5	--	--	11,17	7,26	11,30	11,03	YDR282C	--	--	--	5,98	4,95	5,78	5,49
YDR195W	--	--	--	4,04	4,67	4,51	4,48	YDR283C	-2,3	--	--	7,45	3,25	9,34	7,64
YDR196C	--	+1,5	--	10,52	9,27	16,26	10,96	YDR284C	--	--	--	8,17	5,92	9,13	7,98
YDR197W	--	--	--	6,90	6,89	8,21	8,29	YDR285W	--	--	--	3,84	4,41	3,98	4,01
YDR198C	--	--	--	6,57	6,90	9,07	7,33	YDR286C	--	+2,7	+2,5	6,34	6,42	17,05	15,99
YDR199W	--	+1,6	--	6,67	8,32	10,74	8,90	YDR287W	--	--	--	6,19	5,74	8,16	8,01
YDR200C	--	--	--	7,85	9,06	8,83	7,50	YDR288W	--	--	--	5,46	7,11	8,13	6,50
YDR201W	--	+1,5	--	8,73	10,68	13,13	11,31	YDR289C	--	--	--	6,22	6,56	7,49	6,99
YDR202C	--	--	--	10,32	10,19	13,11	11,48	YDR290W	--	--	--	3,77	3,77	5,63	3,49
YDR203W	--	--	--	4,64	4,47	4,70	5,32	YDR291W	--	--	--	4,90	4,20	4,58	4,59
YDR204W	--	+1,6	--	7,81	7,43	12,12	10,10	YDR292C	--	--	--	3,85	3,65	4,44	3,65
YDR205W	--	--	--	5,20	4,48	5,60	4,66	YDR293C	-3,5	--	-1,5	15,67	4,49	10,62	10,28
YDR206W	--	--	--	4,61	4,91	5,27	4,85	YDR294C	--	--	--	11,38	8,16	11,41	10,70
YDR207C	--	--	--	7,03	6,47	7,72	6,81	YDR295C	--	--	--	4,12	3,54	4,21	3,91
YDR208W	--	--	--	5,92	6,72	6,75	6,92	YDR296W	--	--	--	6,15	5,46	6,72	4,65
YDR209C	--	--	--	6,68	7,86	9,31	7,94	YDR297W	-1,7	-1,5	-1,5	22,68	13,17	14,90	14,79
YDR210W	+1,7	+2	+1,8	11,21	18,99	22,45	19,87	YDR298C	--	--	--	17,15	13,15	20,64	17,30
YDR211W	--	--	--	8,67	7,38	8,45	9,62	YDR299W	+1,6	+1,7	--	5,47	8,92	9,23	7,72
YDR212W	--	--	--	20,20	26,39	23,07	20,97	YDR300C	--	--	--	5,39	6,41	6,01	5,87
YDR213W	--	--	--	7,20	7,58	8,37	6,76	YDR301W	--	--	--	5,47	5,31	5,02	4,57
YDR214W	+3,1	+5,5	+4,1	21,56	66,46	117,59	87,56	YDR302W	--	--	--	6,58	7,85	9,36	7,23
YDR215C	--	--	--	3,98	4,32	4,20	3,51	YDR303C	--	--	--	11,19	12,32	13,59	13,07
YDR216W	-1,7	-1,8	-2,5	19,41	11,31	10,68	7,73	YDR304C	--	+2,1	+1,8	19,18	16,22	41,18	33,85
YDR217C	--	--	--	3,71	3,71	3,47	3,51	YDR305C	--	+1,7	--	6,13	6,36	10,39	7,70
YDR218C	--	--	--	4,79	4,32	4,79	4,63	YDR306C	-1,7	--	--	7,31	4,41	7,90	6,59
YDR219C	--	--	--	5,68	6,18	5,66	5,08	YDR307W	-1,7	--	--	5,78	3,46	6,13	5,87
YDR220C	--	--	--	3,75	3,89	4,41	4,14	YDR308C	--	--	--	4,32	3,73	5,47	4,49
YDR221W	--	--	--	8,79	6,67	7,89	6,03	YDR309C	--	--	--	5,70	7,57	7,94	7,45
YDR222W	+1,5	+2	+2,3	4,85	7,37	9,56	11,27	YDR310C	--	--	--	4,46	5,97	4,83	4,42
YDR223W	--	--	--	4,76	4,64	5,79	4,83	YDR311W	--	--	--	8,34	7,74	7,51	8,37
YDR224C	--	--	-5,8	92,97	96,22	100,55	16,09	YDR312W	+1,6	+2,2	+1,7	8,72	13,69	19,28	14,89
YDR225W	-1,5	--	-7,7	126,75	82,97	110,20	16,56	YDR313C	--	--	--	8,50	9,78	10,29	7,85
YDR226W	--	--	-4,5	35,27	36,69	47,74	7,84	YDR314C	--	--	--	4,22	4,16	4,34	4,02
YDR227W	--	--	--	4,47	5,26	5,46	4,00	YDR315C	--	--	--	4,02	3,80	5,08	3,97
YDR228C	+1,6	--	+1,6	23,32	37,39	33,90	37,67	YDR316W	--	--	-1,9	6,88	6,04	7,31	3,68
YDR229W	--	--	--	4,69	4,62	5,43	4,75	YDR317W	--	--	--	5,68	5,64	6,84	4,88
YDR230W	--	+1,7	--	7,84	8,64	13,47	8,90	YDR318W	--	+1,6	--	5,91	6,77	9,24	6,40
YDR231C	--	--	--	9,86	9,92	13,77	9,49	YDR319C	--	--	--	6,24	5,87	7,69	6,37
YDR232W	--	--	-1,9	11,86	10,55	9,85	6,18	YDR320C	--	--	--	13,43	14,30	14,35	10,77
YDR233C	--	--	--	45,26	34,76	38,76	33,54	YDR321W	--	--	--	18,15	21,99	23,75	17,21
YDR234W	--	--	--	5,31	4,56	4,58	4,80	YDR322W	--	+1,6	--	7,18	7,37	11,42	7,67
YDR249C	--	--	--	4,08	4,13	4,77	3,76	YDR323C	--	--	--	5,33	5,01	5,88	5,30
YDR250C	--	--	-1,6	9,78	8,71	9,85	6,26	YDR324C	--	+1,6	--	6,01	7,04	9,66	6,56
YDR251W	--	--	-1,6	11,19	7,84	7,71	7,04	YDR325W	--	--	--	5,11	6,07	5,65	5,46
YDR252W	--	--	--	3,53	3,71	4,25	3,75	YDR326C	--	--	--	4,39	4,69	5,05	4,26
YDR253C	--	+1,6	--	10,09	10,22	16,02	11,66	YDR327W	--	+1,9	+1,7	11,66	15,62	22,61	19,37
YDR254W	+2	+3,2	--	17,15	34,06	54,09	20,55	YDR328C	--	--	--	19,95	22,98	27,42	23,20
YDR255C	--	--	--	4,73	5,31	5,42	4,98	YDR329C	-1,8	--	--	10,42	5,80	8,19	7,26

ORF	Änderungsfaktor			Normalisierte Signalintensität				ORF	Änderungsfaktor			Normalisierte Signalintensität			
	10	20	30	0	10	20	30		10	20	30	0	10	20	30
YDR330W	--	--	--	10,87	11,24	11,84	9,04	YDR402C	--	--	--	4,30	3,85	3,89	3,62
YDR331W	--	--	--	6,86	7,07	6,88	5,79	YDR403W	--	--	--	3,51	4,16	3,53	3,20
YDR332W	--	--	--	6,63	6,69	7,02	6,25	YDR404C	--	--	--	13,01	11,61	17,02	9,78
YDR333C	--	--	--	9,26	10,74	10,86	8,43	YDR405W	--	--	--	11,20	8,91	15,35	8,11
YDR334W	+1,5	+1,6	--	9,56	14,41	14,83	8,60	YDR406W	--	--	--	7,41	10,08	9,94	7,49
YDR335W	--	--	--	8,16	8,38	7,58	7,62	YDR407C	--	+1,5	--	7,80	9,55	11,97	9,05
YDR336W	--	--	--	5,79	5,75	7,94	6,49	YDR408C	--	--	--	18,97	14,41	19,81	16,13
YDR337W	--	--	--	6,88	5,28	6,59	6,86	YDR409W	--	+2,1	+2	29,79	39,35	61,74	59,48
YDR338C	--	--	--	5,51	4,40	4,55	5,07	YDR410C	--	--	--	5,90	4,21	7,27	5,31
YDR339C	--	--	--	7,56	8,64	10,81	9,11	YDR411C	--	+1,5	--	8,46	9,92	13,02	7,64
YDR340W	--	+1,9	+1,6	32,90	42,97	64,15	51,23	YDR412W	--	--	--	10,33	9,76	13,96	8,99
YDR341C	--	-1,8	-2	38,73	29,12	21,45	19,32	YDR413C	--	--	--	9,20	7,43	13,15	9,43
YDR342C	--	-7,3	-7,5	231,21	20,71	31,61	30,65	YDR414C	--	--	--	6,89	7,62	8,88	5,82
YDR343C	11,2	-6,5	-6,4	191,25	18,47	29,44	29,85	YDR415C	--	--	--	6,62	7,39	9,46	5,89
YDR344C	--	--	--	5,64	6,98	6,64	4,30	YDR416W	--	--	--	6,84	6,95	7,66	5,43
YDR345C	-4,4	-4,6	-5,1	151,84	34,83	32,89	29,81	YDR417C	--	--	--	157,45	121,98	180,25	131,59
YDR346C	--	--	-1,8	24,23	21,06	18,79	13,35	YDR418W	--	--	--	206,83	172,46	280,42	238,87
YDR347W	--	--	--	9,99	12,11	14,25	12,74	YDR419W	--	--	--	5,50	5,59	5,78	4,82
YDR348C	--	--	--	8,10	7,44	7,81	7,04	YDR420W	--	--	--	9,85	11,47	10,79	8,83
YDR349C	--	--	--	9,54	8,91	8,65	7,95	YDR421W	--	+1,9	--	7,98	10,37	14,78	7,83
YDR350C	--	--	--	8,04	6,94	7,43	6,94	YDR422C	--	--	--	7,65	8,98	10,11	8,60
YDR351W	--	--	--	7,76	7,03	8,53	7,46	YDR423C	--	--	--	8,20	5,79	8,83	8,13
YDR352W	--	--	--	8,67	8,86	9,35	7,88	YDR424C	--	+1,6	--	7,69	7,85	12,12	10,03
YDR353W	--	--	--	44,96	37,31	36,38	32,42	YDR425W	--	--	--	10,47	9,97	9,83	8,18
YDR354W	--	--	-1,7	15,07	12,20	12,91	9,07	YDR426C	--	--	--	6,07	6,37	7,92	6,02
YDR355C	--	--	--	4,07	3,83	3,86	3,65	YDR427W	+1,8	+1,7	--	21,93	39,73	37,39	19,99
YDR356W	--	--	--	7,68	7,95	9,22	8,20	YDR428C	--	--	--	5,80	6,97	7,70	6,02
YDR357C	--	--	--	38,63	26,31	39,25	28,73	YDR429C	--	--	--	31,77	22,95	28,18	25,79
YDR358W	--	--	-1,7	9,08	6,19	6,41	5,34	YDR430C	--	--	--	5,45	5,75	6,68	5,98
YDR359C	+1,6	+1,6	--	9,28	14,48	14,92	10,97	YDR431W	--	--	--	4,16	3,41	4,04	3,68
YDR360W	--	--	--	4,70	3,97	4,52	3,88	YDR432W	--	--	--	19,28	18,11	21,82	23,20
YDR361C	--	--	--	9,18	8,76	8,30	8,13	YDR433W	--	--	--	3,88	4,09	3,88	5,64
YDR362C	--	+1,5	--	5,65	7,46	8,55	7,00	YDR434W	--	--	--	8,68	8,08	7,65	7,15
YDR363W	--	--	--	5,28	5,36	5,68	4,87	YDR435C	-1,6	-1,5	-1,8	12,19	7,46	7,88	6,85
YDR364C	--	--	--	7,85	7,25	8,19	7,68	YDR436W	--	--	--	9,17	8,30	8,21	7,25
YDR365C	--	-1,6	-1,9	21,62	15,63	13,11	11,11	YDR437W	--	--	--	7,71	7,56	8,20	6,95
YDR366C	--	+1,6	--	175,72	212,42	281,34	191,06	YDR438W	--	--	--	8,45	7,50	7,55	6,86
YDR367W	--	--	--	9,64	9,17	9,64	8,08	YDR439W	--	--	--	5,00	5,32	5,44	5,24
YDR368W	--	+2	--	27,28	34,18	53,50	38,08	YDR440W	--	--	--	5,25	5,40	5,80	4,29
YDR369C	--	--	--	5,77	5,90	6,72	5,99	YDR441C	--	--	--	8,45	7,80	8,02	7,29
YDR370C	--	--	--	6,22	7,27	5,60	7,23	YDR442W	--	--	--	4,27	4,46	5,15	4,88
YDR371W	--	--	--	4,96	5,53	5,84	5,50	YDR443C	--	--	--	33,52	38,21	43,23	46,71
YDR372C	--	--	--	7,08	5,84	6,96	6,11	YDR444W	--	--	--	8,41	8,08	10,03	10,10
YDR373W	--	+1,8	--	11,26	9,25	20,61	16,61	YDR445C	--	--	--	5,61	5,97	7,72	6,96
YDR374C	--	--	--	3,47	3,00	3,41	3,13	YDR446W	+2,6	-1,9	--	17,09	44,02	9,14	13,18
YDR375C	-1,6	--	--	6,65	4,17	8,80	6,31	YDR447C	--	+1,6	--	117,68	127,29	188,19	173,91
YDR376W	--	--	--	8,74	7,14	9,77	8,22	YDR448W	--	--	--	4,10	4,53	4,33	3,46
YDR377W	--	--	--	14,36	10,47	17,19	15,89	YDR449C	--	+1,6	--	9,28	13,12	15,05	12,15
YDR378C	--	--	--	9,95	9,84	13,72	11,94	YDR450W	--	--	--	116,41	106,94	147,68	139,61
YDR379W	--	--	--	5,12	4,63	4,53	4,56	YDR451C	--	+1,8	--	4,51	6,57	8,00	6,41
YDR380W	+7,6	+3,3	+1,5	14,71	111,85	48,31	22,48	YDR452W	--	--	--	11,96	11,87	11,12	10,12
YDR381W	--	--	--	17,04	15,65	18,06	19,17	YDR453C	--	--	+1,8	8,80	10,56	12,10	15,42
YDR382W	-1,7	--	--	137,66	79,85	167,84	199,18	YDR454C	--	--	--	30,14	24,88	40,09	34,80
YDR383C	--	--	--	6,30	5,93	7,73	7,30	YDR455C	--	--	--	5,63	4,06	4,76	4,06
YDR384C	-2,4	--	--	11,90	4,87	8,73	8,22	YDR456W	-2,8	--	--	10,78	3,92	9,05	7,93
YDR385W	-7,7	-2,2	-2	176,99	23,05	79,10	87,82	YDR457W	--	--	--	3,83	3,31	3,40	3,41
YDR386W	--	--	--	4,78	4,69	4,80	4,29	YDR458C	--	--	--	7,23	6,71	8,23	6,22
YDR387C	--	--	--	6,80	4,68	6,44	5,42	YDR459C	--	--	--	5,13	5,89	6,58	5,91
YDR388W	--	--	--	38,46	48,80	57,25	42,35	YDR460W	--	--	--	5,99	5,82	6,47	5,32
YDR389W	--	--	--	5,20	4,56	4,97	5,21	YDR461W	--	--	--	3,52	3,41	3,69	3,14
YDR390C	--	--	--	11,01	9,87	10,82	10,54	YDR462W	--	+1,7	--	6,68	8,89	11,07	8,29
YDR391C	-1,5	--	-1,5	11,21	7,32	11,55	7,47	YDR463W	--	--	--	9,40	10,08	10,29	9,88
YDR392W	--	--	--	7,40	8,48	8,56	8,28	YDR464W	--	--	--	3,93	3,36	3,43	3,20
YDR393W	--	--	--	6,92	7,80	7,68	6,70	YDR465C	--	--	--	7,10	5,67	5,84	6,68
YDR394W	--	--	--	29,15	33,58	33,26	23,94	YDR466W	--	--	--	4,91	4,65	4,76	4,81
YDR395W	--	--	--	9,89	9,48	7,35	8,45	YDR467C	--	+1,6	--	6,49	7,91	10,58	8,91
YDR396W	-2,1	+1,7	--	14,53	7,09	24,74	21,06	YDR468C	--	+1,5	--	9,11	9,85	13,91	11,84
YDR397C	--	+1,6	--	15,70	16,87	24,77	21,85	YDR469W	--	--	--	6,89	6,57	10,05	9,70
YDR398W	-1,9	--	--	9,11	4,89	12,18	10,17	YDR470C	--	--	--	6,44	5,64	6,95	6,10
YDR399W	-3,3	--	--	16,86	5,16	14,15	13,79	YDR471W	-1,6	--	--	156,25	95,20	219,28	189,48
YDR400W	--	--	--	5,14	3,74	6,37	5,99	YDR472W	--	--	--	11,07	10,56	15,48	12,65
YDR401W	--	--	--	3,61	3,29	3,14	3,09	YDR473C	--	--	--	6,42	5,47	6,76	6,53
								YDR474C	--	--	--	10,90	9,71	11,75	11,51
								YDR475C	--	--	--	4,62	3,39	3,99	3,63

ORF	Änderungsfaktor			Normalisierte Signalintensität				ORF	Änderungsfaktor			Normalisierte Signalintensität			
	10	20	30	0	10	20	30		10	20	30	0	10	20	30
YDR476C	--	--	-1,5	15,60	13,35	18,25	10,37	YEL005c	--	--	-1,6	6,24	6,16	7,67	3,93
YDR477W	--	--	--	9,27	8,80	8,73	8,07	YEL006w	--	--	-2,3	9,11	7,68	9,94	3,88
YDR478W	--	--	--	5,50	5,81	5,96	7,06	YEL007w	--	--	--	3,89	4,57	4,50	3,53
YDR479C	--	--	--	8,12	7,64	8,45	8,08	YEL008w	--	--	--	4,44	4,16	5,70	3,24
YDR480W	--	--	--	5,54	5,11	5,57	5,75	YEL009c	--	--	--	119,20	148,83	129,63	111,80
YDR481C	--	--	--	27,02	27,13	30,05	28,22	YEL010w	--	--	--	4,20	4,33	4,68	4,05
YDR482C	--	--	--	8,43	6,48	12,43	8,90	YEL011w	-2,3	-1,9	-2,7	18,70	8,21	9,78	7,03
YDR483W	--	--	--	32,62	27,78	29,57	28,19	YEL012w	--	--	--	6,25	5,91	7,81	6,39
YDR484W	-1,5	--	--	6,75	4,46	6,32	5,89	YEL013w	--	--	--	7,33	8,70	8,32	5,56
YDR485C	--	--	--	5,08	5,70	5,30	6,03	YEL014c	--	+1,6	+1,5	6,21	8,04	10,14	9,58
YDR486C	--	--	--	11,23	9,18	16,67	12,00	YEL015w	--	--	--	9,78	10,30	8,93	10,92
YDR487C	--	--	--	25,46	18,28	25,11	20,41	YEL016c	--	--	--	4,51	4,75	5,32	5,35
YDR488C	--	--	--	4,20	4,42	4,16	3,74	YEL0171	--	--	--	24,44	16,54	35,05	35,64
YDR489W	--	--	--	5,60	6,37	7,91	5,82	YEL017w	--	--	--	7,45	8,53	8,37	9,38
YDR490C	--	+1,7	--	6,99	9,97	11,55	9,33	YEL018w	--	--	--	11,12	12,27	13,57	11,05
YDR491C	--	--	--	5,58	4,23	5,56	5,68	YEL019c	--	--	--	3,59	4,46	4,44	4,15
YDR492W	-1,8	--	--	10,59	5,79	8,73	8,29	YEL020c	--	--	--	5,74	7,61	8,32	6,71
YDR493W	--	--	--	4,53	4,69	5,78	5,48	YEL021w	--	--	--	1617,92	2178,32	1900,83	1500,25
YDR494W	-1,6	--	--	12,93	7,96	13,63	9,83	YEL022w	--	--	--	10,54	13,49	12,35	11,52
YDR495C	--	+1,9	--	8,25	8,64	15,48	11,32	YEL023c	--	--	--	3,61	3,72	3,94	3,86
YDR496C	--	--	--	18,17	15,49	18,70	15,44	YEL024w	--	--	--	14,04	10,88	11,94	10,47
YDR497C	--	--	--	54,33	43,72	54,54	36,33	YEL025c	--	--	--	8,49	9,14	9,46	9,86
YDR498C	--	--	--	10,62	9,23	13,18	10,25	YEL026w	--	--	--	53,47	57,02	77,83	72,98
YDR499W	--	--	--	5,58	6,54	6,70	5,49	YEL027w	-1,6	--	--	103,35	62,89	106,91	88,77
YDR500C	--	+1,7	+1,5	66,09	79,18	113,19	102,00	YEL028w	--	--	--	4,43	3,87	4,83	3,38
YDR501W	--	--	--	5,45	5,76	6,76	4,59	YEL029c	--	--	--	5,61	5,31	6,36	5,22
YDR502C	-1,5	--	--	36,54	24,09	44,79	36,25	YEL030w	--	--	--	14,00	20,21	14,31	15,61
YDR503C	--	--	--	8,04	9,59	10,93	9,45	YEL031w	--	--	--	4,71	4,71	6,38	4,30
YDR504C	--	--	--	7,95	9,87	10,57	11,71	YEL032w	--	--	--	3,48	3,47	3,80	3,44
YDR505C	--	--	--	5,02	5,48	4,61	4,22	YEL033w	+2,2	+2,8	+2,2	39,00	84,59	107,53	86,54
YDR506C	--	--	--	4,45	4,07	4,67	3,80	YEL034w	--	+1,8	--	169,20	147,24	311,51	249,74
YDR507C	--	+1,8	--	8,86	12,36	15,68	10,06	YEL035c	--	--	--	3,73	3,62	3,30	3,41
YDR508C	+2,7	+1,9	--	7,25	19,69	13,58	10,24	YEL036c	--	--	--	32,40	41,52	28,42	30,04
YDR509W	--	--	--	4,21	5,16	4,86	4,17	YEL037c	+1,6	--	--	17,09	26,90	22,15	17,94
YDR510W	--	+2,3	--	24,44	31,32	56,59	30,90	YEL038w	--	--	--	10,10	8,40	10,36	9,70
YDR511W	--	+1,7	--	7,82	8,73	13,24	9,57	YEL039c	--	--	--	9,44	8,26	13,88	11,53
YDR512C	--	+2	+1,7	8,50	11,05	17,31	14,03	YEL040w	-2	--	-1,7	50,50	25,64	42,11	30,00
YDR513W	--	+2,6	+1,7	22,87	26,98	59,16	39,12	YEL041w	--	--	--	4,64	4,28	5,63	4,43
YDR514C	--	+1,8	+1,6	8,62	12,21	15,68	13,43	YEL042w	--	--	--	22,35	15,38	16,06	15,49
YDR515W	--	+1,8	--	5,64	8,04	10,17	6,57	YEL043w	--	--	--	8,54	8,17	7,25	6,61
YDR516C	-3,5	-3,1	-3,6	25,47	7,31	8,28	7,11	YEL044w	--	--	--	4,45	3,81	4,27	3,99
YDR517W	--	--	--	16,68	14,09	18,96	14,97	YEL045c	--	--	--	4,48	4,06	4,11	3,50
YDR518W	--	--	--	13,93	13,01	14,28	12,12	YEL046c	--	--	--	15,02	18,66	11,15	13,99
YDR519W	--	--	--	9,28	8,11	10,56	10,08	YEL047c	--	--	--	8,18	8,76	9,30	7,02
YDR520C	--	--	--	3,49	4,07	4,57	4,03	YEL048c	+1,6	+2,1	--	4,36	7,17	9,25	6,06
YDR521W	--	--	--	4,90	4,25	5,51	4,51	YEL049w	--	--	--	6,57	6,68	7,22	6,34
YDR522C	--	--	--	4,51	4,62	4,79	4,16	YEL050c	--	--	--	7,70	9,17	9,45	9,45
YDR523C	--	+2	--	4,60	6,38	9,16	6,77	YEL051w	--	--	--	44,76	37,03	56,57	40,10
YDR524C	--	--	--	8,08	6,77	10,02	6,53	YEL052w	-1,5	--	--	14,63	9,53	13,24	10,55
YDR525W	--	--	--	3,81	3,47	4,21	3,44	YEL053c	--	--	--	9,25	9,77	8,62	7,79
YDR526C	--	+1,7	+1,6	7,58	10,12	13,25	12,20	YEL054c	--	--	--	155,02	122,46	183,06	174,33
YDR527W	--	--	--	7,90	8,52	11,05	11,59	YEL055c	--	--	--	5,91	5,97	6,01	5,81
YDR528W	--	+1,7	--	9,72	12,52	16,48	14,23	YEL056w	--	--	--	14,94	12,31	15,99	12,37
YDR529C	--	+2,2	+1,6	32,99	34,74	71,35	52,23	YEL057c	--	--	--	4,25	5,08	6,18	4,28
YDR530C	--	--	--	6,39	6,42	7,46	5,46	YEL058w	--	--	--	22,09	18,58	19,95	20,55
YDR531W	--	--	--	8,78	9,16	9,21	6,27	YEL059w	--	--	--	3,93	3,61	4,21	3,47
YDR532C	--	--	--	6,96	6,00	7,81	5,91	YEL060c	--	-1,7	-1,8	15,28	10,65	8,94	8,59
YDR533C	--	--	--	7,47	6,36	9,15	8,05	YEL061c	+1,6	+1,8	+1,6	18,89	30,41	33,61	29,65
YDR534C	-4,2	-5,2	-5,8	34,79	8,33	6,67	5,99	YEL062w	--	--	--	4,58	4,24	4,62	3,93
YDR535C	--	--	--	4,81	3,69	3,69	4,85	YEL063c	--	--	--	8,32	8,46	8,09	6,43
YDR536W	--	--	--	4,64	3,77	4,08	3,82	YEL064c	--	--	--	3,80	3,96	4,03	3,81
YDR537C	--	--	--	5,58	4,48	4,92	4,65	YEL065w	--	-1,8	-1,9	8,65	10,30	4,76	4,54
YDR538W	--	--	--	5,95	4,50	5,47	4,94	YEL066w	-1,7	+1,7	+1,9	6,25	3,63	10,54	11,79
YDR539W	--	--	--	7,57	7,50	8,75	8,07	YEL067c	--	--	--	3,85	4,09	5,15	5,01
YDR540C	--	--	--	4,08	3,99	4,81	5,85	YEL068c	--	--	--	4,81	4,57	6,27	5,91
YDR541C	--	--	--	4,81	5,55	5,93	4,22	YEL069c	--	+1,7	--	7,96	7,67	13,58	10,62
YDR542W	--	--	--	9,29	10,82	10,15	9,49	YEL070w	--	--	-1,5	5,31	3,66	3,78	3,44
YDR543C	--	--	--	4,12	3,72	4,63	3,96	YEL071w	+2,6	+2,2	--	35,57	93,50	76,70	37,20
YDR544C	+1,5	+1,6	--	6,69	10,33	11,00	7,39	YEL072w	+1,7	+1,8	--	4,02	7,03	7,16	5,91
YDR545w	--	--	-1,8	64,30	57,36	60,32	35,25	YEL073c	--	--	--	4,47	4,70	5,79	5,06
YEL001c	--	--	-2	22,52	17,89	23,84	11,37	YEL074w	--	--	--	5,31	4,59	6,79	6,49
YEL002c	--	--	--	8,95	6,92	7,87	6,45	YEL075c	--	--	--	6,73	7,13	8,72	9,30
YEL003w	--	+1,6	+1,8	6,59	8,93	10,82	11,66	YEL076c	-1,5	--	--	9,84	6,40	10,47	9,55
YEL004w	--	--	--	5,67	5,24	7,33	5,75	YEL077c	--	--	--	42,71	41,91	38,86	50,95

ORF	Änderungsfaktor			Normalisierte Signalintensität				ORF	Änderungsfaktor			Normalisierte Signalintensität			
	10	20	30	0	10	20	30		10	20	30	0	10	20	30
YER001w	--	--	--	9,54	7,37	6,94	7,87	YER072w	-4	+1,9	--	82,17	20,55	158,50	118,16
YER002w	--	--	--	3,52	3,22	3,29	3,43	YER073w	-2,6	-2,1	-2,2	33,41	12,95	15,82	15,10
YER003c	--	--	--	20,71	18,73	24,09	25,78	YER074w	--	--	--	103,38	94,02	125,46	152,59
YER004w	--	+1,7	--	20,77	29,22	34,35	24,00	YER075c	--	--	--	6,54	8,91	8,99	8,01
YER005w	--	--	--	6,77	6,88	7,30	5,75	YER076c	--	--	--	4,18	4,04	4,31	4,03
YER006w	-1,6	--	-1,5	22,98	14,43	20,15	15,08	YER077c	--	--	--	4,15	5,12	4,79	4,11
YER007w	--	--	--	4,75	5,25	5,50	5,52	YER078c	--	--	--	6,34	6,47	7,11	6,07
YER008c	-1,7	--	--	20,02	11,75	26,53	16,22	YER079w	--	--	--	8,00	5,96	6,80	8,41
YER009w	-4	--	--	44,98	11,36	54,16	43,55	YER080w	--	--	--	13,62	9,75	15,92	15,53
YER010c	-1,6	+1,9	--	6,12	3,91	11,87	9,10	YER081w	--	--	--	16,17	11,15	14,87	12,83
YER011w	+1,6	+1,9	+2	29,49	47,00	56,33	59,12	YER082c	-3,2	--	--	11,73	3,62	10,52	11,53
YER012w	--	+2	--	24,71	25,38	50,58	31,43	YER083c	--	--	--	17,48	14,04	19,36	16,66
YER013w	--	--	--	6,92	7,73	8,97	7,58	YER084w	--	--	--	3,44	3,04	3,37	3,07
YER014w	--	--	--	6,47	6,83	8,07	7,34	YER085c	--	--	--	3,63	3,50	3,75	3,51
YER015w	--	--	--	7,93	6,20	6,64	5,50	YER086w	--	--	--	14,95	10,46	10,37	10,30
YER016w	--	--	--	6,80	6,69	9,59	7,49	YER0871	--	+1,5	--	15,90	18,26	24,11	21,83
YER017c	--	+1,6	--	6,90	5,41	11,34	8,06	YER087w	--	--	--	6,43	6,13	7,94	6,06
YER018c	--	--	--	5,55	6,19	6,76	3,73	YER088c	--	--	-1,5	26,23	20,35	20,93	17,38
YER0191	--	--	-2,3	8,18	10,10	11,12	3,61	YER089c	--	+1,7	--	28,93	30,66	49,43	33,28
YER019w	--	--	-3	20,92	22,12	31,26	7,07	YER090w	--	--	--	29,55	32,43	32,45	25,98
YER020w	-2,2	-2	-2,6	24,79	11,35	12,38	9,47	YER091c	-1,6	--	--	18,35	11,16	14,85	17,53
YER021W	+1,6	+1,6	--	31,35	49,78	50,14	30,15	YER092w	-2	+1,9	+1,6	8,26	4,14	15,52	13,47
YER022w	--	--	--	8,53	9,33	10,75	8,45	YER093c	--	+1,6	--	29,93	37,33	47,57	36,31
YER023w	--	--	--	29,54	27,91	42,20	29,47	YER094c	-3,2	+1,8	--	27,94	8,64	50,51	33,66
YER024w	--	--	--	5,13	6,04	5,76	6,17	YER095w	-2,1	+2,1	+1,5	8,47	4,03	17,56	13,04
YER025w	--	--	-1,6	24,03	21,93	27,57	15,36	YER096w	--	--	--	3,56	3,46	3,35	3,31
YER026c	--	+1,6	--	20,22	24,35	33,04	21,71	YER097w	--	--	--	4,35	3,97	4,06	4,24
YER027c	--	--	--	10,81	11,77	14,30	12,63	YER098w	--	--	--	7,36	5,89	5,54	5,83
YER028c	--	--	--	6,78	7,03	6,29	5,62	YER099c	--	+1,5	--	11,84	11,18	18,13	12,83
YER029c	--	--	--	7,00	7,51	9,46	8,22	YER100w	--	+1,5	--	13,88	14,81	21,39	11,75
YER030w	--	+2,3	+1,9	13,14	13,03	29,75	24,65	YER101c	--	--	--	5,64	5,65	7,11	5,86
YER031c	--	+1,7	--	26,92	37,02	46,97	40,10	YER102w	--	+1,8	--	265,63	221,77	474,72	338,65
YER032w	--	--	--	5,19	5,13	7,13	6,72	YER103w	+6,6	+3,3	+2,5	41,78	273,71	138,62	103,16
YER033c	--	--	--	5,96	5,64	5,27	4,86	YER104w	--	--	--	5,70	5,44	6,31	4,76
YER034w	--	--	--	5,78	6,22	6,86	5,55	YER105c	-1,6	--	--	11,06	6,75	15,18	12,34
YER035w	--	--	--	12,61	12,75	16,79	14,98	YER106w	--	--	--	3,65	3,69	4,04	3,42
YER036c	--	--	--	44,25	39,01	44,40	38,39	YER107c	--	+1,8	--	9,35	11,70	16,48	9,99
YER037w	+1,8	+2	--	6,31	11,59	12,70	8,99	YER108c	--	--	--	4,97	5,37	6,87	5,94
YER038c	+2,2	+2,8	+1,9	5,64	12,67	15,75	10,80	YER109c	--	--	--	4,18	3,99	4,13	3,69
YER039c	--	--	--	4,81	4,75	5,22	4,66	YER110c	--	-1,5	-1,5	11,84	8,81	7,87	7,74
YER040w	--	--	--	6,96	6,85	7,61	7,83	YER111c	--	--	--	5,25	6,95	6,03	6,25
YER041w	--	--	--	4,41	4,36	5,30	4,29	YER112w	--	--	--	17,25	19,96	19,34	12,98
YER042w	--	+1,7	--	8,03	8,84	13,35	10,93	YER113c	--	--	--	5,97	6,67	8,45	8,21
YER043c	--	--	-1,9	128,95	111,27	109,18	67,26	YER114c	--	--	--	8,75	6,25	8,61	6,49
YER0441	-1,6	--	--	15,99	10,26	19,46	15,84	YER115c	--	+1,9	--	5,33	6,51	10,04	7,78
YER044c	--	--	--	4,80	3,62	4,17	3,70	YER116c	--	--	--	5,27	4,69	7,68	5,74
YER045c	--	--	-1,8	11,90	12,46	9,04	6,79	YER117w	--	+1,7	--	179,06	162,60	313,34	251,34
YER046w	--	--	--	7,27	7,04	6,69	5,55	YER118c	--	--	--	7,29	7,25	9,36	8,49
YER047c	--	--	--	5,30	4,66	4,96	4,46	YER119c	--	+2,3	+1,7	10,81	16,12	24,93	18,11
YER048c	--	--	--	24,32	29,97	36,19	25,78	YER120w	--	--	--	25,29	26,08	34,63	22,39
YER049w	--	--	--	9,98	9,67	9,16	10,91	YER121w	--	+1,7	+1,8	5,43	6,21	9,15	9,95
YER050c	--	--	--	6,87	6,27	8,89	7,89	YER122c	--	--	--	11,34	11,14	14,83	10,65
YER051w	--	--	--	4,94	4,59	5,36	5,25	YER123w	--	--	--	7,21	7,55	7,56	8,49
YER052c	-1,6	--	-1,7	33,81	21,12	22,82	19,91	YER124c	--	--	--	7,86	7,08	10,23	10,39
YER053c	--	--	-1,6	16,63	11,35	14,36	10,13	YER125w	--	--	--	12,74	11,98	12,52	11,67
YER054c	--	+1,9	+1,6	200,74	298,89	384,21	319,35	YER126c	--	--	--	6,83	4,81	9,44	5,68
YER055c	-1,5	--	--	25,66	17,00	20,02	24,81	YER127w	--	+2,5	+1,7	7,13	8,97	17,93	12,04
YER0561	--	--	--	208,92	181,82	300,50	230,66	YER128w	--	--	--	8,90	8,95	9,20	7,31
YER056c	--	--	--	74,87	50,74	68,44	73,30	YER129w	--	--	--	4,89	4,13	5,75	4,66
YER057c	--	--	--	25,35	21,90	33,51	24,85	YER130c	--	--	+1,6	6,94	5,02	8,62	10,86
YER058w	--	--	--	4,19	4,82	5,49	5,99	YER131w	--	--	--	294,39	208,98	364,98	273,19
YER059w	--	--	--	6,18	6,06	7,25	6,19	YER132c	--	--	--	20,82	24,77	23,26	15,57
YER060w	--	--	--	7,13	6,28	7,67	7,02	YER133w	--	--	-1,9	16,04	12,67	13,43	8,23
YER061c	-2,1	-1,5	--	10,48	5,03	6,81	7,22	YER134c	--	--	--	3,72	3,16	3,25	3,38
YER062c	--	--	--	80,68	99,05	109,55	108,11	YER135c	--	--	--	3,99	3,48	3,57	3,84
YER063w	--	--	--	14,92	15,02	19,15	12,98	YER136w	--	--	--	29,89	30,33	39,01	28,67
YER064c	+1,6	+2	--	12,81	20,09	25,00	17,45	YER137c	--	--	--	6,02	5,67	5,86	7,68
YER065c	--	--	--	6,09	5,91	5,63	5,05	YER138c	--	--	-1,6	2409,34	2508,41	2271,88	1491,09
YER066w	--	--	--	7,77	8,75	10,18	9,44	YER139c	--	--	+1,6	6,06	5,32	7,69	9,91
YER067w	-12	-7,1	-7,1	146,32	12,16	20,63	20,59	YER140w	--	--	--	4,81	4,92	5,90	4,28
YER068w	--	--	--	8,40	8,02	7,19	7,97	YER141w	--	+1,5	--	8,50	7,19	13,14	9,34
YER069w	--	--	--	6,22	5,55	6,26	6,28	YER142c	--	--	--	12,04	15,20	17,64	15,69
YER070w	+1,5	+2	+2,7	8,73	13,45	17,34	23,65	YER143w	--	--	--	8,77	10,30	9,52	7,80
YER071c	--	+1,6	--	5,24	5,44	8,37	6,13	YER144c	--	--	--	5,28	3,75	4,34	4,24



ORF	Änderungsfaktor			Normalisierte Signalintensität				ORF	Änderungsfaktor			Normalisierte Signalintensität			
	10	20	30	0	10	20	30		10	20	30	0	10	20	30
YER145c	+1,5	--	--	10,99	16,91	8,54	8,97	YFL027C	--	--	--	5,48	5,20	5,38	4,54
YER146w	--	+1,5	--	6,57	6,71	10,12	8,78	YFL028C	--	--	--	8,41	7,97	8,45	7,58
YER147c	--	--	--	6,47	5,91	9,66	7,89	YFL029C	--	+1,5	--	6,62	9,16	10,14	8,13
YER148w	--	+1,7	--	29,41	26,62	49,84	27,00	YFL030W	--	--	--	5,85	6,43	7,82	5,83
YER149c	--	--	--	5,42	5,91	6,89	6,22	YFL031W	--	--	--	4,16	3,73	4,49	5,51
YER150w	--	--	--	12,39	9,67	12,79	8,68	YFL032W	--	--	--	4,48	4,23	5,11	4,54
YER151c	--	--	--	7,50	9,41	10,33	9,07	YFL033C	--	+2,2	+1,7	11,66	15,64	25,33	20,35
YER152c	--	--	--	7,45	7,62	9,08	9,39	YFL034W	--	--	--	6,13	5,13	6,10	5,87
YER153c	--	--	--	3,75	3,50	3,27	3,35	YFL035C	--	--	--	6,48	6,47	9,25	9,04
YER154w	--	--	--	10,15	10,32	15,14	11,52	YFL036W	--	--	--	7,54	5,77	5,38	5,25
YER155c	--	--	--	3,74	3,55	3,27	3,99	YFL037W	--	--	--	32,58	35,09	47,14	35,27
YER156c	-1,6	--	--	23,37	14,88	26,35	20,86	YFL038C	--	+2,1	--	17,12	16,06	35,94	24,85
YER157w	--	--	--	6,18	6,75	7,68	6,41	YFL039C	--	--	-1,6	240,14	198,10	239,18	153,94
YER158c	--	--	--	8,58	5,73	6,78	7,02	YFL040W	--	--	--	3,93	3,51	4,28	3,61
YER159c	--	+2,4	+1,7	12,46	15,30	29,29	21,51	YFL041W	--	--	--	4,52	4,07	4,50	4,19
YER160c	--	--	--	4,94	3,86	5,21	4,38	YFL042C	--	--	--	6,29	4,64	5,04	4,78
YER161c	-1,6	--	--	13,77	8,79	13,31	10,58	YFL043C	-1,6	--	--	6,42	4,06	8,16	7,29
YER162c	--	--	--	8,39	6,38	8,69	6,75	YFL044C	--	--	--	5,51	5,02	7,01	7,20
YER163c	--	+2,9	+1,9	9,76	10,95	28,68	18,62	YFL045C	-1,5	--	--	55,81	36,34	67,45	49,78
YER164w	--	--	--	6,63	6,14	6,18	5,45	YFL046W	--	+1,7	--	8,07	8,27	13,90	10,01
YER165w	-1,9	-1,9	-1,7	38,63	20,23	20,56	23,27	YFL047W	--	--	--	5,54	5,05	5,64	4,90
YER166w	--	--	--	3,76	2,97	3,03	3,44	YFL048C	-1,8	--	--	12,33	6,96	12,60	10,10
YER167w	-1,9	--	--	12,56	6,63	14,43	12,02	YFL049W	--	--	--	6,74	6,21	8,26	6,56
YER168c	--	--	--	9,03	11,57	13,52	10,46	YFL050C	--	--	--	4,69	4,98	5,24	5,40
YER169w	--	--	--	4,63	4,65	6,70	5,50	YFL051C	--	--	+1,7	5,95	5,18	4,76	10,00
YER170w	--	--	--	5,08	4,15	5,72	5,38	YFL052W	--	--	--	6,05	5,25	5,07	5,16
YER171w	--	--	--	5,23	3,98	6,37	6,63	YFL053W	--	--	--	4,59	3,60	3,45	4,99
YER172c	--	--	--	8,75	6,67	10,66	8,53	YFL054C	--	--	--	4,19	3,94	5,24	4,60
YER173W	--	--	--	5,77	6,60	7,46	6,71	YFL055W	--	--	--	4,23	3,32	4,11	3,93
YER174c	--	--	--	8,96	8,02	12,55	9,87	YFL056C	--	--	--	5,49	5,23	6,65	5,71
YER175c	--	--	--	6,45	4,82	6,54	5,63	YFL057C	--	--	--	3,21	2,94	3,30	3,09
YER176w	--	--	--	6,69	7,60	8,81	7,20	YFL058W	--	--	--	4,27	3,12	4,36	4,20
YER177w	--	+1,7	--	202,92	176,50	354,48	267,94	YFL059W	--	--	--	3,89	3,65	4,50	4,61
YER178w	--	+2	--	128,48	117,17	254,28	165,98	YFL060C	--	--	--	3,77	3,65	4,51	4,08
YER179w	--	--	--	5,15	3,70	5,25	4,49	YFL061W	--	--	--	4,47	3,56	4,92	4,71
YER180c	--	+1,8	--	7,59	5,87	13,97	10,27	YFL062W	-1,9	--	--	29,90	15,77	33,62	24,58
YER181c	--	--	--	4,10	3,51	6,03	4,85	YFL063W	--	--	--	5,46	4,87	4,98	4,24
YER182w	--	--	--	10,85	7,61	13,27	9,53	YFL064C	--	--	--	7,45	7,54	10,99	10,43
YER183c	--	--	--	4,16	3,67	4,14	3,96	YFL065C	--	+1,6	--	7,20	6,80	11,32	8,09
YER184c	--	--	--	7,73	5,21	6,30	8,30	YFL066C	--	--	--	17,17	11,63	15,08	16,21
YER185w	--	--	--	4,10	3,80	3,61	3,61	YFL067W	--	--	--	26,10	18,07	28,95	32,97
YER186c	--	--	--	12,46	12,81	10,64	12,49	YFL068W	-2	+2,3	+1,6	40,46	19,76	93,33	66,43
YER187w	--	--	--	4,71	4,80	4,30	5,01	YFL-TyA	--	--	+2,8	5,07	5,11	7,29	14,36
YER188w	--	--	--	4,51	5,36	5,14	5,37	YFL-TyB	--	--	--	337,81	356,23	417,79	284,88
YER189w	--	--	--	5,81	5,60	5,57	5,69	YFR001W	--	--	--	7,89	5,49	9,96	9,08
YER190w	--	--	--	3,89	3,90	3,51	3,95	YFR002W	--	--	--	6,81	7,54	7,21	7,45
YFL001W	--	--	--	7,29	9,36	10,80	8,07	YFR003C	-1,7	--	--	8,66	5,13	10,96	7,89
YFL002C	--	--	--	13,94	11,40	16,98	9,84	YFR004W	--	--	--	15,59	13,38	23,03	16,47
YFL003C	--	--	--	7,88	6,66	7,69	8,89	YFR005C	--	--	--	6,17	4,58	6,55	6,62
YFL004W	-3	--	--	16,05	5,31	18,56	11,22	YFR006W	--	+1,9	+1,6	14,73	19,61	27,76	23,54
YFL005W	--	+1,5	--	11,20	10,25	17,02	11,44	YFR007W	--	--	--	4,64	4,28	4,11	5,13
YFL006W	--	+2,1	--	5,72	8,27	11,98	7,93	YFR008W	--	--	--	15,79	11,34	16,00	18,72
YFL007W	--	+1,6	--	10,22	11,92	16,04	12,44	YFR009W	--	--	--	3,53	3,51	3,99	3,55
YFL008W	--	+1,5	--	11,45	10,66	17,25	13,25	YFR010W	--	--	--	11,81	9,45	14,46	8,70
YFL009W	+1,8	+2,1	--	13,41	24,18	27,81	13,64	YFR011C	--	+1,5	+1,5	11,43	9,69	17,24	17,15
YFL010B	+2	+5,5	+3	13,64	27,88	74,56	40,58	YFR012W	--	--	--	5,02	4,73	5,40	7,30
YFL010C	--	+2,2	--	28,27	31,32	63,33	38,92	YFR013W	--	--	--	4,84	4,84	6,73	5,19
YFL011W	-1,7	-1,6	-1,7	8,54	4,96	5,22	5,02	YFR014C	-3,2	--	--	13,05	4,08	12,82	10,50
YFL012W	--	--	--	4,83	4,98	4,72	4,37	YFR015C	-5,8	-3,3	-4,3	32,95	5,66	10,02	7,63
YFL013C	--	--	--	8,29	5,97	7,73	6,22	YFR016C	--	--	--	18,15	19,53	22,95	14,22
YFL014W	+2,1	+10	+9,5	6,28	13,23	68,37	59,58	YFR017C	-1,7	-1,6	-1,7	8,51	5,01	5,30	5,09
YFL015C	--	--	--	3,64	3,30	3,62	3,37	YFR018C	--	--	--	4,84	3,99	4,22	3,97
YFL016C	-1,8	--	--	8,89	4,94	11,59	10,14	YFR019W	--	--	--	3,52	3,34	3,15	3,16
YFL017C	--	+1,9	--	9,10	10,65	17,09	13,19	YFR020W	--	--	--	5,51	4,76	5,35	4,71
YFL018C	+1,6	+2	--	8,95	13,97	17,94	11,74	YFR021W	--	--	-1,5	11,13	9,83	10,81	7,37
YFL019C	--	--	--	4,03	4,11	5,32	4,42	YFR022W	--	--	--	4,99	4,92	5,39	5,23
YFL020C	--	--	--	5,82	5,34	8,09	6,49	YFR023W	--	--	--	3,94	3,99	4,53	4,04
YFL021W	+1,8	+2,2	+1,6	5,76	10,26	12,60	9,23	YFR024C	--	+1,6	-3,1	17,89	20,01	28,44	5,79
YFL022C	--	+1,7	--	21,00	21,29	35,55	23,98	YFR025C	--	--	-1,9	7,56	9,55	10,30	4,06
YFL023W	--	--	--	3,93	4,16	5,19	4,93	YFR026C	--	--	--	5,52	5,42	6,64	3,95
YFL024C	--	--	--	4,02	3,91	4,66	4,88	YFR027W	--	--	--	4,70	5,23	5,99	4,09
YFL025C	--	--	--	4,46	4,55	4,83	4,29	YFR028C	+1,7	--	--	9,47	15,75	13,79	13,76
YFL026W	--	--	-1,5	5,22	3,96	4,40	3,47	YFR029W	--	--	--	6,34	8,23	8,71	6,87
								YFR030W	--	+1,5	--	4,93	7,32	7,40	5,50

ORF	Änderungsfaktor			Normalisierte Signalintensität				ORF	Änderungsfaktor			Normalisierte Signalintensität				
	10	20	30	0	10	20	30		10	20	30	0	10	20	30	
YFR031B	--	--	--	281,67	236,87	365,49	248,53	YGL047W	--	+1,8	--	10,45	10,88	18,51	13,81	
YFR031C	--	--	--	3,72	3,59	3,67	3,28	YGL048C	--	--	--	39,24	41,98	38,84	52,08	
YFR032C	--	--	--	5,02	4,60	5,12	4,34	YGL049C	--	--	--	5,09	4,77	5,54	6,55	
YFR033C	--	+1,9	+1,5	23,32	25,64	45,22	35,41	YGL050W	--	--	--	3,65	3,61	3,82	4,15	
YFR034C	--	+1,5	+1,6	4,23	4,99	6,38	6,80	YGL051W	--	--	--	9,48	7,22	9,99	8,74	
YFR035C	--	+1,6	+1,8	5,69	5,17	8,98	10,32	YGL052W	--	--	--	5,66	4,40	6,58	6,88	
YFR036W	--	--	--	8,78	10,29	11,83	9,67	YGL053W	--	--	--	10,41	7,79	13,32	11,73	
YFR037C	--	+1,6	--	30,51	44,81	49,70	29,25	YGL054C	--	+1,7	--	12,86	12,86	21,39	15,40	
YFR038W	--	--	--	20,65	23,94	27,19	19,98	YGL055W	--	-6,6	-3	72,81	6,94	10,95	24,09	
YFR039C	--	--	--	6,26	5,85	5,69	5,28									
YFR040W	--	--	--	13,72	13,86	16,46	10,30	YGL056C	--	+1,9	+2,5	6,12	8,34	11,71	15,50	
YFR041C	--	--	--	8,16	7,75	7,81	7,25	YGL057C	--	--	--	4,30	4,55	6,22	5,00	
YFR042W	--	--	--	7,40	7,42	10,71	9,51	YGL058W	--	+1,6	--	14,03	14,26	22,35	18,33	
YFR043C	--	+1,5	+1,6	5,63	6,22	8,51	8,73	YGL059W	--	--	--	7,94	6,29	7,50	6,93	
YFR044C	--	--	--	47,24	63,24	62,43	58,49	YGL060W	--	--	--	7,33	6,24	8,77	6,43	
YFR045W	--	--	--	8,33	7,52	10,00	8,35	YGL061C	--	--	--	4,94	4,31	5,13	5,10	
YFR046C	--	--	--	7,06	8,33	9,81	6,94	YGL062W	--	+2,2	+1,9	30,66	66,02	59,51	45,87	
YFR047C	--	+1,7	--	21,91	28,78	38,16	23,39	YGL063W	--	--	--	5,43	4,22	4,59	4,82	
YFR048W	--	--	--	6,50	6,42	6,31	5,42	YGL064C	--	--	--	4,37	4,55	6,49	5,19	
YFR049W	--	+1,8	--	10,53	10,01	18,50	12,88	YGL065C	--	--	--	7,31	6,76	10,23	8,37	
YFR050C	--	--	--	37,09	54,47	47,53	52,93	YGL066W	--	--	--	3,34	3,09	4,19	3,33	
YFR051C	+1,5	--	--	55,24	82,95	66,16	53,22	YGL067W	--	--	--	3,47	3,08	3,54	2,95	
YFR052W	--	+1,8	--	24,03	34,66	42,50	27,00	YGL068W	--	-1,6	+2,1	16,90	10,43	35,14	20,48	
YFR053C	-3,1	-3,3	-3,6	91,28	29,23	27,32	25,57	YGL069C	--	--	--	10,23	9,94	14,94	14,32	
YFR054C	--	--	+1,6	3,29	3,55	3,56	5,32	YGL070C	--	--	--	8,19	7,00	9,45	9,31	
YFR055W	-2,2	-1,6	-1,7	24,14	11,13	14,71	14,33	YGL071W	--	--	--	4,37	4,37	4,32	4,74	
YFR056C	--	--	--	8,38	6,40	8,96	6,39	YGL072C	--	+1,7	+2,4	+1,7	5,92	10,34	14,06	9,79
YFR057W	--	--	--	7,76	7,11	7,83	8,10	YGL073W	--	+1,5	+1,5	4,70	6,65	7,19	7,05	
YGL001C	--	--	--	10,17	10,06	11,79	11,64	YGL074C	--	--	--	3,73	3,67	3,59	3,85	
YGL002W	--	--	--	9,26	9,60	10,00	7,78	YGL075C	--	--	--	6,11	4,69	4,90	5,53	
YGL003C	--	--	--	4,73	4,62	5,49	4,74	YGL076C	--	-2,6	--	58,17	22,47	65,96	57,40	
YGL004C	--	--	--	3,98	3,48	3,75	3,39	YGL077C	--	--	--	6,29	6,53	8,87	7,11	
YGL005C	--	--	-2,1	8,12	6,86	10,44	3,88	YGL078C	--	-4,1	--	16,54	4,02	14,09	14,83	
YGL006W	--	--	-3,8	21,05	14,26	16,29	5,49	YGL079W	--	--	--	6,57	6,69	9,05	8,46	
YGL007W	--	--	--	3,88	3,42	3,66	3,11	YGL080W	--	--	--	8,15	5,44	10,66	7,25	
YGL008C	--	--	--	104,89	78,85	74,02	73,90	YGL081W	--	--	--	4,42	3,95	4,19	4,00	
YGL009C	--	--	--	4,77	5,12	5,29	6,24	YGL082W	--	--	--	6,21	4,26	5,36	5,25	
YGL010W	--	--	--	3,98	4,32	5,27	4,03	YGL083W	--	--	--	7,52	7,75	7,55	7,60	
YGL011C	--	--	--	39,67	47,03	53,46	36,27	YGL084C	--	-1,5	--	9,45	6,24	8,47	7,33	
YGL012W	--	--	--	20,66	14,52	23,84	16,72	YGL085W	--	--	--	6,82	8,42	9,26	10,03	
YGL013C	--	--	--	5,80	5,77	7,25	6,77	YGL086W	--	+1,7	--	10,82	12,15	18,67	13,91	
YGL014W	--	--	--	10,15	10,17	11,60	10,66	YGL087C	--	+2,1	+1,5	10,16	12,27	21,51	15,25	
YGL015C	--	--	--	3,67	4,47	4,66	4,28	YGL088W	--	--	--	5,33	4,29	5,20	5,99	
YGL016W	--	--	--	5,88	6,56	6,67	7,60	YGL089C	--	+1,6	--	4,13	3,20	6,58	5,70	
YGL017W	--	--	--	7,12	6,27	6,24	6,32	YGL090W	--	--	--	6,50	5,55	8,37	7,48	
YGL018C	--	--	+1,5	4,56	4,37	6,63	6,90	YGL091C	--	--	--	7,81	5,80	11,07	6,96	
YGL019W	--	+1,6	--	15,92	18,85	26,25	19,01	YGL092W	--	--	--	9,02	7,72	11,20	11,57	
YGL020C	--	--	--	8,54	7,59	9,96	8,66	YGL093W	--	-1,8	+1,7	7,30	4,14	12,47	8,59	
YGL021W	--	--	--	3,98	3,67	4,14	3,75	YGL094C	--	--	--	3,75	3,67	4,53	4,11	
YGL022W	--	--	--	13,49	12,14	12,02	10,70	YGL095C	--	--	--	10,12	9,11	11,22	8,99	
YGL023C	--	--	--	8,60	9,55	11,78	9,46	YGL096W	--	--	--	3,33	3,28	3,13	3,06	
YGL024W	--	--	--	5,26	5,07	5,65	5,48	YGL097W	--	+1,6	--	16,19	18,69	25,26	18,43	
YGL025C	--	--	--	13,25	12,67	12,25	17,59	YGL098W	--	--	--	6,98	6,93	9,11	7,32	
YGL026C	--	--	--	25,30	17,15	26,32	23,55	YGL099W	--	--	--	5,27	5,20	5,25	5,61	
YGL027C	--	--	--	12,47	10,05	11,83	10,57	YGL100W	--	+1,7	--	16,61	21,11	27,50	23,53	
YGL028C	--	--	--	17,34	22,72	25,09	22,23	YGL101W	--	--	--	6,09	8,11	7,20	6,63	
YGL029W	--	--	--	6,24	6,32	9,22	8,48	YGL102C	--	--	--	331,93	351,13	479,94	415,39	
YGL030W	--	--	--	28,52	20,15	40,30	31,35	YGL103W	--	+1,6	--	243,71	273,09	387,05	246,32	
YGL031C	--	-1,6	--	235,74	145,26	340,00	230,22	YGL104C	--	--	--	4,58	4,05	4,74	4,22	
YGL032C	--	--	--	4,88	4,71	5,39	4,08	YGL105W	--	-1,5	--	23,69	15,56	26,14	23,11	
YGL033W	--	-2	-1,8	7,55	3,71	3,74	4,13	YGL106W	--	--	--	8,83	9,95	12,57	11,88	
YGL034C	--	--	-1,6	6,07	4,21	4,36	3,79	YGL107C	--	--	--	4,07	3,91	4,02	4,11	
YGL035C	--	--	--	7,78	7,30	6,99	6,03	YGL108C	--	--	--	6,07	5,30	7,03	6,90	
YGL036W	--	--	-1,6	16,37	11,71	19,80	10,48	YGL109W	--	+1,6	+1,5	5,80	6,60	9,33	8,85	
YGL037C	--	+1,5	--	38,56	30,30	58,45	35,84	YGL110C	--	--	--	7,31	6,81	8,25	7,13	
YGL038C	--	--	--	9,76	7,62	10,11	8,80	YGL111W	--	--	--	10,48	12,66	13,32	13,54	
YGL039W	--	-1,9	-1,7	10,96	5,91	6,44	6,51	YGL112C	--	--	--	7,50	8,82	8,68	9,55	
YGL040C	--	--	--	8,64	7,96	10,61	8,46	YGL113W	--	--	--	5,70	5,90	6,25	5,99	
YGL041C	--	--	+3,9	5,87	4,90	8,43	22,81	YGL114W	--	--	--	7,87	7,10	6,83	7,00	
YGL042C	--	+2	+1,9	6,72	9,08	13,47	12,53	YGL115W	--	--	--	17,95	12,39	24,42	15,35	
YGL043W	--	--	--	4,29	4,17	4,04	4,38	YGL116W	--	--	--	4,73	4,71	6,67	5,62	
YGL044C	--	--	--	7,39	6,24	7,51	6,97	YGL117W	--	-2	-1,8	8,58	4,24	4,69	4,66	
YGL045W	--	--	--	8,27	7,34	8,53	8,12	YGL118C	--	--	--	3,10	3,16	3,30	3,32	
YGL046W	--	--	--	5,72	4,07	4,25	3,99	YGL119W	--	--	--	4,01	4,30	4,29	4,14	



ORF	Änderungsfaktor			Normalisierte Signalintensität				ORF	Änderungsfaktor			Normalisierte Signalintensität			
	10	20	30	0	10	20	30		10	20	30	0	10	20	30
YGL120C	--	--	--	9,14	9,20	8,56	8,21	YGL194C	--	--	--	5,39	6,04	6,88	5,69
YGL121C	--	--	+1,6	5,12	5,42	6,83	8,15	YGL195W	--	--	--	3,67	3,99	4,71	3,97
YGL122C	--	--	--	3,22	3,21	3,24	3,52	YGL196W	--	--	--	6,62	6,38	7,68	6,79
YGL123W	--	--	--	107,40	81,01	111,19	99,25	YGL197W	--	--	--	3,72	3,36	3,55	3,28
YGL124C	--	--	--	7,00	6,38	6,96	7,33	YGL198W	--	--	--	10,98	9,04	14,07	10,03
YGL125W	--	--	--	5,97	5,70	6,57	6,56	YGL199C	-2	--	--	13,67	7,00	13,73	9,92
YGL126W	--	--	--	3,60	3,45	3,23	3,33	YGL200C	--	--	--	38,26	27,56	54,81	31,13
YGL127C	--	--	--	7,02	6,96	8,46	8,45	YGL201C	--	--	--	3,28	3,12	3,16	2,88
YGL128C	--	--	--	19,60	20,61	28,08	27,88	YGL202W	--	-1,6	--	26,97	18,60	16,74	18,07
YGL129C	--	--	--	3,65	3,16	3,51	3,62	YGL203C	--	--	--	15,64	19,86	22,37	16,62
YGL130W	--	--	--	5,50	4,14	5,88	5,84	YGL204C	--	--	--	6,36	6,34	7,50	7,40
YGL131C	--	--	--	42,57	57,35	62,45	52,40	YGL205W	--	--	--	4,27	4,35	3,92	4,15
YGL132W	--	--	--	3,77	3,96	4,26	4,41	YGL206C	--	--	--	3,39	3,45	3,21	3,33
YGL133W	--	--	--	5,03	6,85	6,16	7,26	YGL207W	--	--	--	16,70	22,99	18,15	19,24
YGL134W	--	--	--	5,69	6,03	6,40	7,19	YGL208W	--	--	--	9,29	7,55	10,28	6,77
YGL135W	-2,3	--	--	199,87	88,75	202,57	204,43	YGL209W	--	--	--	3,97	3,53	3,60	3,32
YGL136C	--	+1,8	+1,7	8,03	10,98	14,42	13,41	YGL210W	--	--	--	13,21	17,59	18,16	18,55
YGL137W	-2,2	--	--	13,15	5,93	12,22	9,53	YGL211W	-1,6	--	--	7,83	4,90	9,71	8,38
YGL138C	--	--	--	3,65	3,08	3,34	3,82	YGL212W	--	--	--	5,63	4,83	5,18	4,98
YGL139W	--	--	--	108,99	98,43	114,86	107,22	YGL213C	--	--	--	13,11	11,34	16,04	11,11
YGL140C	-1,8	-2	-1,7	13,26	7,20	6,61	7,66	YGL214W	--	--	--	3,78	3,23	4,19	3,73
YGL141W	--	--	--	3,46	3,03	3,04	3,38	YGL215W	--	--	--	23,24	24,34	25,34	26,32
YGL142C	--	--	--	6,95	6,76	6,23	6,79	YGL216W	--	--	--	6,76	7,09	7,37	7,14
YGL143C	--	--	--	8,07	7,65	9,36	9,28	YGL217C	--	--	--	4,83	4,38	4,36	3,97
YGL144C	--	--	--	3,90	4,37	4,00	4,08	YGL218W	--	--	--	8,31	6,69	6,32	7,04
YGL145W	--	--	--	8,85	11,13	7,71	9,47	YGL219C	--	--	--	12,99	12,24	13,27	12,13
YGL146C	--	--	--	3,93	4,01	3,51	4,07	YGL220W	--	+1,9	+1,7	14,11	18,40	26,62	24,52
YGL147C	--	--	--	360,27	334,81	429,72	403,07	YGL221C	--	+1,6	+1,5	14,16	18,39	22,52	21,44
YGL148W	--	--	--	37,86	33,11	27,42	36,62	YGL222C	--	--	--	3,59	3,30	3,14	3,42
YGL149W	--	--	--	6,26	6,57	5,89	7,21	YGL223C	--	--	--	5,23	4,54	5,01	5,15
YGL150C	--	--	--	4,90	6,00	5,48	5,86	YGL224C	-1,5	+1,7	--	14,40	9,56	24,55	16,51
YGL151W	--	--	--	4,56	4,32	3,98	4,28	YGL225W	-2,9	--	--	25,93	8,88	28,93	25,41
YGL152C	--	--	--	5,07	4,71	5,72	5,20	YGL226W	--	--	--	5,92	5,71	6,74	7,34
YGL153W	--	--	--	5,67	5,28	6,54	6,47	YGL227W	-2,1	--	--	31,44	14,64	24,83	30,70
YGL154C	--	--	--	6,81	8,73	9,60	8,36	YGL228W	--	--	--	20,48	16,74	19,77	18,12
YGL155W	--	--	--	9,09	11,11	7,74	8,56	YGL229C	--	--	--	9,99	6,77	8,35	10,42
YGL156W	+2,1	--	--	10,61	22,56	15,34	10,99	YGL230C	--	--	--	4,43	4,54	4,54	4,88
YGL157W	--	--	--	8,18	11,55	8,09	10,76	YGL231C	-3,5	--	--	20,25	5,72	24,05	25,87
YGL158W	--	--	--	4,62	5,25	3,92	4,27	YGL232W	--	--	--	7,68	5,20	10,28	10,50
YGL159W	--	--	-1,5	12,74	12,30	10,44	8,34	YGL233W	-1,6	--	--	8,87	5,48	9,28	8,93
YGL160W	--	--	--	5,63	5,44	5,24	5,29	YGL234W	-2,5	-3,1	-2,6	48,38	19,34	15,43	18,38
YGL161C	--	--	--	11,30	9,90	10,63	9,81	YGL235W	--	--	--	4,25	4,66	4,85	4,81
YGL162W	--	--	--	3,98	4,04	3,78	4,06	YGL236C	-1,5	--	--	6,55	4,25	9,07	8,61
YGL163C	--	--	--	4,46	4,85	4,43	4,80	YGL237C	--	--	+1,6	15,98	22,63	19,83	25,66
YGL164C	--	--	--	6,45	5,15	6,13	5,84	YGL238W	+1,7	--	--	25,17	43,41	33,25	35,83
YGL165C	--	--	--	6,92	7,51	8,62	8,52	YGL239C	--	--	--	6,05	6,18	5,79	6,79
YGL166W	--	--	--	12,03	11,17	8,90	12,54	YGL240W	--	--	--	6,33	7,48	6,17	7,24
YGL167C	--	--	--	11,08	10,10	8,66	8,88	YGL241W	--	--	--	11,88	14,17	8,66	10,33
YGL168W	--	--	--	10,50	14,32	15,70	14,74	YGL242C	--	+2	+2	11,08	16,32	22,21	22,70
YGL169W	--	--	--	10,36	15,35	9,02	13,97	YGL243W	--	--	--	6,77	7,54	7,87	9,12
YGL170C	--	--	--	4,11	4,13	3,46	3,84	YGL244W	--	--	--	10,14	11,08	10,92	10,56
YGL171W	--	--	--	10,44	11,25	8,83	10,85	YGL245W	--	-1,6	--	103,92	74,91	64,37	90,88
YGL172W	--	--	--	9,77	10,26	10,53	8,08	YGL246C	--	--	--	10,80	13,91	12,65	15,05
YGL173C	+1,6	--	--	36,97	60,06	26,40	39,18	YGL247W	--	--	--	5,70	6,37	7,34	6,75
YGL174W	--	--	--	5,03	5,84	5,55	5,98	YGL248W	--	--	--	12,86	11,02	14,39	11,60
YGL175C	--	--	--	5,30	5,29	4,89	5,14	YGL249W	--	--	--	4,75	4,91	4,46	4,82
YGL176C	--	--	--	7,92	7,45	7,04	7,86	YGL250W	--	--	--	6,51	5,82	7,44	5,99
YGL177W	--	--	--	4,82	4,60	4,51	4,75	YGL251C	--	--	--	7,92	10,60	8,06	8,53
YGL178W	--	--	--	5,46	5,88	4,28	5,64	YGL252C	--	--	--	22,59	24,25	18,30	22,01
YGL179C	--	--	--	4,57	4,80	3,76	5,20	YGL253W	-1,8	-3,1	-3,7	284,40	158,98	90,47	76,39
YGL180W	--	--	--	3,77	3,74	3,20	3,48	YGL254W	--	--	--	5,58	6,02	4,63	4,84
YGL181W	--	--	--	11,91	12,27	9,03	11,82	YGL255W	-2,1	-2,6	-2,5	18,93	8,84	7,18	7,45
YGL182C	--	--	--	4,09	3,95	3,06	3,74	YGL256W	--	--	--	8,09	8,92	7,85	9,20
YGL183C	--	-1,5	--	8,93	7,69	5,86	7,04	YGL257C	--	--	--	7,52	7,11	7,19	7,17
YGL184C	--	--	--	7,41	8,59	9,42	8,12	YGL258W	+1,7	--	--	4,51	7,68	6,68	6,73
YGL185C	--	--	--	5,86	7,37	8,38	8,09	YGL259W	--	--	--	6,50	5,85	5,73	5,59
YGL186C	--	--	--	8,09	6,94	6,68	6,83	YGL260W	--	--	--	5,10	4,15	4,24	4,36
YGL187C	--	--	--	16,62	13,76	17,90	14,98	YGL261C	--	--	--	8,83	9,72	9,58	9,83
YGL188C	--	+1,7	+1,6	6,26	7,67	10,76	10,00	YGL262W	--	--	--	4,04	4,18	3,87	4,17
YGL189C	--	--	--	457,33	382,35	511,20	553,61	YGL263W	--	--	--	4,07	5,44	3,52	3,98
YGL190C	--	--	--	8,30	8,56	7,21	7,30	YGR001C	--	--	--	19,02	16,98	17,73	17,85
YGL191W	--	--	+1,6	17,42	19,03	25,53	27,32	YGR002C	--	--	--	7,07	7,36	6,57	6,63
YGL192W	--	--	--	4,00	4,53	3,60	4,10	YGR003W	--	--	--	5,01	4,86	4,34	5,04
YGL193C	--	--	--	5,87	5,06	5,99	5,66	YGR004W	--	--	--	5,88	6,73	5,46	6,16

ORF	Änderungsfaktor			Normalisierte Signalintensität				ORF	Änderungsfaktor			Normalisierte Signalintensität			
	10	20	30	0	10	20	30		10	20	30	0	10	20	30
YGR005C	--	-1,6	--	10,00	7,24	6,26	7,85	YGR079W	+2,9	+2,6	+2,5	4,44	12,92	11,70	11,23
YGR006W	--	--	--	6,78	6,49	6,09	6,42	YGR080W	--	--	--	14,42	11,14	11,15	10,16
YGR007W	--	--	--	14,41	14,56	12,08	14,10	YGR081C	--	--	--	7,03	8,77	10,13	9,32
YGR008C	-2,9	-1,6	-2	42,12	14,68	25,86	20,68	YGR082W	--	--	--	12,71	11,48	13,97	12,72
YGR009C	--	-1,9	--	12,94	12,97	6,96	12,63	YGR083C	--	--	--	18,14	25,04	22,28	23,43
YGR010W	--	-1,6	--	7,55	8,19	4,80	8,17	YGR084C	--	--	--	8,04	9,61	10,94	9,21
YGR011W	--	--	--	8,69	10,36	11,71	10,53	YGR085C	--	+1,6	--	355,90	322,52	576,17	432,25
YGR012W	--	--	--	9,84	13,43	8,98	11,16	YGR086C	--	+1,9	--	102,79	153,53	195,19	149,82
YGR013W	--	-1,8	-1,5	31,06	25,50	17,13	20,40	YGR087C	--	-1,5	--	77,39	81,95	50,26	81,41
YGR014W	+1,9	--	--	19,64	36,64	18,89	26,40	YGR088W	--	+2	--	8,10	10,24	15,91	10,41
YGR015C	--	--	--	5,46	5,87	5,39	5,80	YGR089W	--	--	--	5,34	5,66	5,04	6,19
YGR016W	--	--	--	4,48	4,60	4,46	4,93	YGR090W	--	--	--	6,08	8,23	6,58	7,99
YGR017W	--	--	--	3,57	3,98	3,58	3,94	YGR091W	--	--	--	5,99	5,57	5,37	6,20
YGR018C	--	--	--	12,58	10,05	16,44	16,31	YGR092W	--	--	--	8,46	9,02	7,41	8,07
YGR019W	--	--	--	17,41	16,57	17,49	19,91	YGR093W	--	--	--	10,90	10,67	9,71	12,12
YGR020C	--	--	--	11,38	8,83	9,89	11,47	YGR094W	--	--	--	10,78	8,29	7,61	9,54
YGR021W	--	--	+1,8	9,05	7,34	9,40	16,02	YGR095C	--	--	--	10,10	10,90	10,38	12,33
YGR022C	-1,5	-1,9	-1,6	7,15	4,66	3,71	4,61	YGR096W	--	--	--	6,88	5,77	5,45	6,44
YGR023W	--	-1,7	--	11,54	9,03	6,93	8,46	YGR097W	--	-1,7	--	10,47	7,57	6,23	7,26
YGR024C	--	--	--	12,57	17,05	13,61	13,23	YGR098C	--	--	--	5,61	4,54	5,03	5,28
YGR025W	--	--	--	4,61	4,22	3,88	4,02	YGR099W	--	--	--	6,24	7,85	4,23	8,37
YGR026W	--	--	--	11,78	11,25	10,62	13,11	YGR100W	--	--	--	4,99	4,98	4,59	5,12
YGR027C	--	+1,6	--	150,49	165,56	238,28	210,84	YGR101W	--	--	--	7,17	7,39	6,95	6,58
YGR028W	--	--	--	10,67	7,85	9,51	8,94	YGR102C	--	--	--	7,02	10,47	6,84	10,39
YGR029W	--	--	--	5,87	6,15	7,77	6,78	YGR103W	--	-2,3	-1,7	20,04	14,35	8,66	11,98
YGR030C	--	--	--	5,12	5,26	7,37	6,12	YGR104C	--	--	--	6,44	8,96	7,18	8,16
YGR031W	--	--	--	6,87	5,21	6,91	6,27	YGR105W	--	+1,5	--	5,99	5,75	9,02	8,38
YGR032W	--	--	--	8,26	7,36	6,91	7,63	YGR106C	--	--	--	23,94	18,80	19,85	20,84
YGR033C	--	--	--	10,21	10,00	9,63	10,17	YGR107W	+1,8	+1,6	--	6,77	12,10	11,06	9,94
YGR034W	--	--	--	142,15	127,92	196,58	156,63	YGR108W	+2,7	+2,5	+2,2	6,93	18,66	17,30	15,34
YGR035C	--	--	--	3,45	4,06	3,60	3,58	YGR109C	--	--	--	4,39	5,59	5,75	6,24
YGR036C	--	--	--	5,90	4,50	5,08	5,02	YGR110W	--	--	--	4,91	5,91	5,30	5,54
YGR037C	--	--	--	17,60	15,70	18,12	17,63	YGR111W	--	--	+1,5	10,14	14,60	12,95	15,36
YGR038W	--	--	--	8,95	10,76	11,41	9,57	YGR112W	--	--	--	6,63	6,53	8,03	6,94
YGR039W	--	--	--	4,64	4,50	5,47	5,13	YGR113W	--	--	--	6,17	6,78	6,88	5,19
YGR040W	--	--	--	4,77	4,99	6,88	6,08	YGR114C	--	--	--	12,44	13,05	16,63	13,62
YGR041W	--	--	--	10,67	11,39	13,08	12,19	YGR115C	--	--	--	13,23	15,07	15,46	14,32
YGR042W	--	--	--	8,29	9,99	10,76	9,69	YGR116W	--	--	-2	13,41	11,22	12,87	6,78
YGR043C	--	+1,6	+1,6	4,66	4,33	7,23	7,41	YGR117C	--	--	--	6,24	7,45	8,54	6,90
YGR044C	--	--	--	6,52	7,17	7,62	7,92	YGR118W	-1,6	--	--	295,26	184,40	411,54	266,98
YGR045C	--	--	--	3,86	4,21	4,10	4,40	YGR119C	--	--	--	14,93	17,79	20,13	15,80
YGR046W	-1,9	-1,6	--	12,33	6,43	7,71	8,40	YGR120C	--	--	--	5,82	5,02	7,38	6,51
YGR047C	--	--	--	4,46	4,92	4,87	5,46	YGR121C	--	--	--	7,17	8,50	8,44	7,32
YGR048W	-3,1	--	--	16,37	5,20	20,79	15,94	YGR122W	--	--	--	8,31	6,46	6,28	5,89
YGR049W	--	--	+1,6	6,77	6,66	9,14	10,94	YGR123C	--	--	--	10,61	7,30	9,01	8,92
YGR050C	--	--	--	3,92	4,78	5,09	4,98	YGR124W	--	--	-1,5	57,31	57,36	49,59	38,12
YGR051C	--	--	--	7,26	6,82	8,65	6,65	YGR125W	--	--	--	8,04	8,49	7,82	7,91
YGR052W	--	--	--	7,01	7,30	5,72	5,83	YGR126W	--	--	--	5,72	4,67	4,50	4,83
YGR053C	--	--	--	5,21	4,77	4,63	5,27	YGR127W	--	--	--	9,21	10,69	11,60	6,16
YGR054W	--	--	--	6,96	7,65	6,54	8,50	YGR128C	--	--	--	9,01	9,15	9,64	9,87
YGR055W	+2,8	+2,7	+2,2	9,64	27,13	25,72	21,51	YGR129W	--	--	--	5,85	4,37	6,15	6,08
YGR056W	--	--	--	13,02	12,75	9,57	10,62	YGR130C	-1,7	--	-1,6	21,38	12,41	16,48	13,55
YGR057C	--	--	--	4,51	4,34	4,48	4,90	YGR131W	--	--	--	4,47	3,79	4,29	4,30
YGR058W	--	--	--	7,05	5,54	6,19	7,44	YGR132C	--	+1,5	--	23,02	15,52	35,41	23,72
YGR059W	--	--	--	3,83	3,85	4,19	4,33	YGR133W	--	--	--	5,15	5,39	7,18	5,98
YGR060W	--	--	--	11,55	11,26	12,42	12,24	YGR134W	--	--	--	4,01	3,76	3,88	3,80
YGR061C	--	--	--	5,32	3,60	4,01	4,63	YGR135W	--	+1,6	--	32,91	30,81	53,40	46,53
YGR062C	--	--	--	5,86	6,12	7,73	7,46	YGR136W	--	--	--	29,16	30,32	42,31	34,04
YGR063C	--	--	--	7,22	7,24	8,87	9,29	YGR137W	--	+2	+1,8	31,36	38,02	62,58	56,16
YGR064W	--	--	--	6,77	6,92	8,25	8,24	YGR138C	-1,7	-1,7	--	28,61	16,68	16,90	31,55
YGR065C	--	--	--	7,45	8,89	7,77	8,02	YGR139W	--	--	--	6,65	5,02	6,26	7,37
YGR066C	--	--	--	4,52	3,92	3,05	3,83	YGR140W	--	--	--	3,47	3,60	3,50	3,96
YGR067C	--	--	--	4,65	4,70	3,79	4,22	YGR141W	-1,7	--	--	6,32	3,67	5,50	6,51
YGR068C	--	--	--	8,52	8,92	6,93	7,30	YGR142W	-5,5	-2,9	-2,8	32,25	5,84	11,07	11,64
YGR069W	--	--	--	10,03	9,33	8,42	7,73	YGR143W	--	--	--	5,79	4,82	4,50	4,91
YGR070W	--	--	--	5,90	4,69	4,96	4,92	YGR144W	--	--	--	3,73	3,54	3,78	3,94
YGR071C	--	--	--	4,87	4,51	4,90	5,13	YGR145W	--	-1,7	--	13,32	12,50	7,88	11,16
YGR072W	--	--	--	4,99	5,88	6,11	6,71	YGR146C	-1,7	-2,3	-2	20,41	12,20	8,79	10,41
YGR073C	--	--	--	5,36	4,91	5,89	5,95	YGR147C	--	--	--	6,50	6,08	5,48	5,74
YGR074W	--	--	--	7,21	7,49	9,92	9,18	YGR148C	--	--	--	275,98	205,51	324,68	301,20
YGR075C	+1,6	+1,7	+1,8	8,53	13,65	14,44	15,16	YGR149W	--	--	--	10,93	8,74	9,02	9,62
YGR076C	--	--	--	6,11	6,35	6,31	6,20	YGR150C	--	--	--	7,93	9,56	8,51	9,83
YGR077C	--	--	--	9,75	12,84	12,37	13,52	YGR151C	--	--	--	6,11	5,40	6,39	7,19
YGR078C	--	--	+1,5	6,66	9,40	9,32	10,14	YGR152C	--	--	--	7,79	6,32	8,37	9,45

ORF	Änderungsfaktor			Normalisierte Signalintensität				ORF	Änderungsfaktor			Normalisierte Signalintensität			
	10	20	30	0	10	20	30		10	20	30	0	10	20	30
YGR153W	--	--	--	5,38	5,43	6,67	6,78	YGR227W	--	--	--	5,61	6,04	6,24	5,24
YGR154C	--	--	--	4,82	4,12	5,78	7,15	YGR228W	--	+1,6	--	9,40	13,19	15,24	13,98
YGR155W	--	--	--	32,55	43,69	38,91	39,55	YGR229C	--	--	--	8,17	10,01	10,83	8,83
YGR156W	--	+2,2	--	8,33	9,91	18,32	10,29	YGR230W	--	--	--	5,54	6,30	6,97	6,79
YGR157W	--	--	--	11,15	10,70	9,81	9,89	YGR231C	--	--	--	16,59	23,70	24,83	22,01
YGR158C	--	--	--	8,04	9,35	9,06	10,53	YGR232W	--	+1,9	--	10,16	14,88	19,18	13,71
YGR159C	-1,7	--	--	55,63	33,01	42,89	45,58	YGR233C	--	--	--	5,04	6,22	5,96	5,91
YGR160W	-2,2	-1,7	--	92,64	42,70	54,05	72,57	YGR234W	-3,3	-4,6	-5,1	64,39	19,35	14,05	12,64
YGR161C	--	-2	-1,7	18,55	18,11	9,27	11,07	YGR235C	--	--	--	12,98	11,56	16,56	12,87
YGR162W	--	-1,6	--	16,43	14,59	10,00	14,44	YGR236C	-1,6	--	--	5,82	3,58	4,90	4,60
YGR163W	--	--	--	12,58	13,90	15,38	14,14	YGR237C	-2,2	--	-1,7	9,93	4,43	7,28	5,95
YGR164W	--	--	--	5,08	4,82	5,25	4,82	YGR238C	--	--	--	4,90	5,20	4,68	5,14
YGR165W	--	--	--	9,21	10,09	10,22	9,96	YGR239C	--	--	--	15,41	18,79	20,66	20,44
YGR166W	--	--	--	11,69	9,83	9,65	10,88	YGR240C	--	-1,7	--	6,07	5,38	3,54	5,66
YGR167W	--	--	--	35,21	27,24	38,75	39,10	YGR241C	--	--	--	7,07	6,42	5,93	6,15
YGR168C	--	--	--	7,12	6,87	5,66	6,29	YGR242W	--	--	--	7,72	5,94	7,11	6,23
YGR169C	--	--	--	8,58	10,29	7,58	8,78	YGR243W	--	-1,6	--	7,10	5,97	4,57	6,02
YGR170W	--	--	--	9,28	13,43	12,32	12,09	YGR244C	-5,7	--	--	30,24	5,34	29,23	38,32
YGR171C	--	--	--	8,45	9,31	8,54	8,61	YGR245C	-3	-1,6	--	12,49	4,23	7,84	9,53
YGR172C	--	--	--	12,90	15,26	15,86	14,26	YGR246C	--	--	--	14,43	11,41	16,20	16,93
YGR173W	+1,6	+1,7	+1,6	10,12	15,74	17,20	15,75	YGR247W	--	--	--	5,64	4,67	4,84	4,80
YGR174C	--	--	--	9,13	6,76	8,52	7,68	YGR248W	--	+2	--	11,09	10,36	22,35	14,47
YGR175C	--	--	+1,6	28,82	36,32	36,09	47,20	YGR249W	-1,8	-1,7	-1,7	7,16	4,07	4,10	4,19
YGR176W	--	--	--	6,13	4,93	5,78	6,09	YGR250C	-1,9	-2,1	-1,6	19,40	10,46	9,17	12,04
YGR177C	--	--	--	5,61	5,41	4,30	5,10	YGR251W	--	--	--	5,79	6,36	6,43	7,92
YGR178C	--	--	--	16,57	22,02	17,84	21,74	YGR252W	--	--	--	5,22	5,56	4,98	5,72
YGR179C	+1,5	--	--	5,09	7,89	6,35	5,18	YGR253C	--	+1,8	+1,6	27,85	38,03	48,92	45,33
YGR180C	--	-1,7	--	19,83	19,29	11,36	14,44	YGR254W	--	-1,7	--	904,54	703,89	523,09	615,50
YGR181W	--	--	--	12,92	12,73	15,13	14,31	YGR255C	--	--	--	9,44	11,66	9,46	14,11
YGR182C	--	+2,1	+1,8	15,56	23,20	32,31	28,13	YGR256W	--	--	--	54,74	79,70	38,31	54,18
YGR183C	--	--	--	10,95	13,34	15,80	15,72	YGR257C	--	--	--	9,26	9,63	8,83	10,21
YGR184C	--	--	--	3,64	3,47	3,31	3,85	YGR258C	--	--	--	4,45	4,18	4,56	4,76
YGR185C	--	--	--	35,66	30,91	27,71	34,28	YGR259C	--	--	--	6,10	4,85	5,15	5,26
YGR186W	--	--	--	25,23	20,67	18,10	23,88	YGR260W	--	--	--	28,01	30,41	34,58	29,16
YGR187C	--	--	--	11,53	15,06	12,35	16,55	YGR261C	--	--	--	6,16	7,04	8,21	8,63
YGR188C	+1,9	--	+1,6	5,19	9,94	6,44	8,30	YGR262C	--	--	--	10,83	9,96	10,58	11,05
YGR189C	--	-3	--	71,15	64,98	23,86	81,60	YGR263C	--	--	--	9,81	11,32	10,94	13,18
YGR190C	--	--	--	5,81	5,31	4,38	4,97	YGR264C	--	-1,6	--	24,06	26,02	14,60	23,07
YGR191W	--	-1,5	--	21,04	18,16	14,03	20,54	YGR265W	--	--	--	10,77	9,40	8,21	7,97
YGR192C	--	-1,6	-1,7	5421,10	5245,06	3296,42	3254,61	YGR266W	--	--	--	9,29	13,93	9,65	8,30
YGR193C	--	--	--	18,76	19,07	15,95	15,54	YGR267C	--	--	--	23,84	29,22	31,13	18,77
YGR194C	--	--	--	11,27	13,95	7,97	10,28	YGR268C	--	--	--	12,82	9,69	10,55	11,72
YGR195W	--	--	--	13,47	19,76	16,48	17,25	YGR269W	--	--	--	3,84	3,86	3,57	3,90
YGR196C	--	--	--	5,73	7,15	5,66	6,29	YGR270W	--	--	--	4,94	4,73	4,67	5,09
YGR197C	--	--	--	8,78	10,50	7,80	8,16	YGR271W	--	--	--	7,57	8,77	7,57	8,40
YGR198W	--	--	--	17,18	12,53	11,63	20,05	YGR272C	--	--	+1,5	5,63	5,92	7,45	8,48
YGR199W	--	--	--	11,32	15,58	14,61	15,87	YGR273C	--	--	--	6,24	5,89	5,41	5,87
YGR200C	--	--	--	6,60	8,09	7,28	8,83	YGR274C	--	--	--	7,85	7,45	5,93	6,97
YGR201C	--	--	--	6,28	6,55	6,66	7,11	YGR275W	--	--	--	7,78	10,04	10,17	11,61
YGR202C	--	--	--	12,93	10,93	9,16	10,42	YGR276C	--	--	--	10,92	14,24	9,81	13,60
YGR203W	--	--	--	9,77	10,52	11,06	9,34	YGR277C	--	--	--	8,48	10,93	9,75	11,00
YGR204W	--	-1,5	--	24,71	17,12	16,10	16,94	YGR278W	--	--	--	7,80	9,56	7,40	7,90
YGR205W	--	--	--	10,38	8,46	10,56	9,55	YGR279C	--	--	--	42,93	44,51	37,23	39,37
YGR206W	--	--	--	5,40	5,21	7,00	5,93	YGR280C	--	--	--	22,92	24,07	23,88	24,58
YGR207C	--	+1,5	--	21,90	20,61	33,09	26,54	YGR281W	--	--	--	7,52	10,76	8,03	7,53
YGR208W	-1,5	--	--	9,62	6,23	11,53	9,92	YGR282C	--	--	--	159,26	110,95	111,55	126,14
YGR209C	--	+2,1	+1,8	56,72	63,32	120,15	102,03	YGR283C	--	--	--	14,27	11,80	17,05	17,37
YGR210C	--	--	--	12,94	15,48	18,02	12,56	YGR284C	--	--	--	12,64	17,51	16,32	17,05
YGR211W	--	--	--	12,05	9,74	9,95	8,19	YGR285C	--	--	--	81,62	73,59	58,37	74,46
YGR212W	--	--	--	3,44	3,59	3,91	3,47	YGR286C	--	--	--	9,09	12,81	10,41	10,52
YGR213c	--	--	--	4,51	4,10	4,78	4,28	YGR287C	--	-1,5	--	6,83	5,97	4,47	4,83
YGR214W	--	--	--	156,18	127,83	148,46	128,15	YGR288W	--	-2,1	--	6,83	6,13	3,24	4,75
YGR215W	--	+1,7	+1,5	6,07	7,46	10,40	9,40	YGR289C	--	--	--	4,28	4,18	3,34	3,70
YGR216C	--	--	--	7,13	6,45	7,04	6,27	YGR290W	--	--	--	6,73	6,55	6,10	6,49
YGR217W	+1,6	--	--	6,50	10,09	8,62	7,96	YGR291C	--	--	--	4,05	3,98	3,73	4,07
YGR218W	--	--	--	10,40	12,02	10,73	11,50	YGR292W	--	--	--	3,39	3,75	3,38	3,92
YGR219W	--	+1,6	--	6,81	8,06	10,91	8,32	YGR293C	--	--	--	3,77	3,98	3,69	4,32
YGR220C	--	--	--	13,38	13,47	18,07	14,96	YGR294W	--	--	--	9,21	10,25	10,09	9,33
YGR221C	--	--	--	5,23	4,86	5,40	5,08	YGR295C	--	--	--	44,77	41,80	32,44	40,69
YGR222W	--	+1,6	--	6,09	6,82	9,58	5,40	YGR296W	--	--	--	12,13	9,32	17,51	12,37
YGR223C	--	--	--	9,83	8,12	9,23	7,20	YHL001W	--	+1,6	--	193,55	216,66	310,42	286,85
YGR224W	--	--	--	4,60	4,68	4,32	4,04	YHL002W	--	--	--	9,45	8,36	8,99	8,61
YGR225W	--	--	--	3,40	2,92	3,27	3,36	YHL003C	--	--	--	7,45	6,87	7,14	6,03
YGR226C	--	--	--	3,80	3,79	4,45	4,10	YHL004W	--	--	--	7,73	7,64	10,25	8,50

ORF	Änderungsfaktor			Normalisierte Signalintensität				ORF	Änderungsfaktor			Normalisierte Signalintensität			
	10	20	30	0	10	20	30		10	20	30	0	10	20	30
YHL005C	--	--	--	3,61	3,91	5,10	4,00	YHR029C	--	--	--	13,32	12,57	10,36	12,72
YHL006C	--	+1,5	--	4,85	5,77	7,30	5,39	YHR030C	--	-2	--	55,47	46,87	27,16	50,11
YHL007C	--	--	--	7,42	7,87	11,02	10,59	YHR031C	--	--	--	4,95	6,02	5,39	6,64
YHL008C	--	--	--	6,87	5,51	5,26	5,07	YHR032W	--	--	--	6,77	8,11	5,68	8,08
YHL009C	--	--	--	5,75	5,34	5,59	6,18	YHR033W	--	--	--	4,46	5,66	4,70	4,82
YHL010C	--	--	--	3,42	3,21	3,30	3,42	YHR034C	--	--	--	8,92	10,92	9,87	12,01
YHL011C	--	--	--	6,76	7,43	7,93	8,40	YHR035W	--	--	--	5,22	5,63	4,35	5,02
YHL012W	--	--	--	4,33	4,26	4,78	4,26	YHR036W	--	--	--	7,79	9,83	7,46	8,92
YHL013C	--	--	--	8,14	8,24	11,59	8,03	YHR037W	--	--	--	3,86	4,94	3,95	4,04
YHL014C	--	--	--	5,33	5,54	7,20	5,47	YHR038W	--	--	--	5,02	5,31	5,20	5,26
YHL015W	-1,7	--	-1,7	162,05	96,97	147,37	93,49	YHR039B	--	+2,1	+1,5	33,04	38,25	69,68	50,51
YHL016C	--	--	--	4,14	4,86	4,90	4,01	YHR039C	--	--	--	5,52	5,25	5,78	5,42
YHL017W	--	--	--	9,37	7,63	8,33	7,56	YHR040W	--	+1,8	--	7,44	10,09	13,13	9,93
YHL018W	--	--	--	3,91	3,20	3,63	3,57	YHR041C	--	--	--	5,46	6,55	7,59	7,02
YHL019C	--	--	--	6,37	6,19	6,18	5,12	YHR042W	--	--	--	18,28	13,78	15,18	13,24
YHL020C	+1,7	--	+1,5	17,72	29,78	23,62	27,38	YHR043C	--	--	--	10,71	7,25	11,13	10,07
YHL021C	-2,1	-2,5	-3,2	29,96	13,93	11,99	9,36	YHR044C	--	--	--	6,65	5,75	8,49	7,03
YHL022C	--	--	--	4,13	4,41	4,61	4,67	YHR045W	-1,9	--	--	7,45	3,99	7,87	6,69
YHL023C	--	--	--	10,81	12,85	12,85	11,07	YHR046C	--	+1,6	+1,6	6,65	8,48	10,62	10,80
YHL024W	--	--	--	4,90	6,00	5,53	5,14	YHR047C	--	--	--	6,16	7,07	6,62	6,85
YHL025W	--	--	--	11,26	9,94	11,56	9,93	YHR048W	--	--	--	6,04	5,21	5,99	5,92
YHL026C	--	--	--	5,26	4,84	5,32	6,04	YHR049W	+3,5	+2,7	+1,6	14,13	49,47	37,96	22,50
YHL027W	--	--	--	10,54	8,40	7,97	7,47	YHR050W	--	--	--	12,73	13,03	11,86	10,56
YHL028W	--	--	--	4,92	4,41	6,00	5,21	YHR051W	--	+1,7	--	14,04	13,55	23,42	14,38
YHL029C	-1,6	+1,7	--	6,63	4,14	11,32	8,00	YHR052W	--	--	-3	13,49	11,65	15,66	4,51
YHL030W	--	--	--	3,52	3,42	3,51	3,60	YHR053C	--	--	--	56,54	59,78	68,16	59,99
YHL031C	--	--	--	9,38	7,78	9,72	8,79	YHR054C	-3,1	--	--	14,19	4,63	16,58	15,74
YHL032C	--	--	--	9,70	8,80	7,12	8,19	YHR055C	--	--	--	90,99	88,30	130,54	93,91
YHL033C	-1,5	--	--	232,42	150,84	232,12	263,58	YHR056C	--	--	--	9,52	7,29	9,28	8,19
YHL034C	--	--	--	45,51	33,75	39,21	47,06	YHR057C	--	+1,6	--	14,47	15,98	22,53	17,91
YHL035C	-3,7	--	--	29,39	8,01	41,54	31,22	YHR058C	--	--	--	6,73	6,67	8,06	7,35
YHL036W	-2,4	--	--	10,04	4,22	7,17	7,62	YHR059W	--	--	--	5,24	7,54	7,02	5,51
YHL037C	--	--	--	3,49	2,97	3,64	3,61	YHR060W	--	--	--	6,48	7,23	8,98	9,66
YHL038C	--	--	--	8,45	8,33	10,85	10,03	YHR061C	--	--	--	6,25	5,39	6,35	6,02
YHL039W	--	--	--	11,36	14,45	13,50	14,63	YHR062C	--	--	+1,7	9,74	12,68	14,47	16,28
YHL040C	--	-1,8	-1,8	10,11	8,00	5,54	5,46	YHR063C	--	--	--	9,72	8,43	9,21	10,43
YHL041W	--	--	--	4,66	4,61	4,05	4,24	YHR064C	-3,9	--	--	28,73	7,33	20,96	23,74
YHL042W	--	--	--	5,09	5,52	4,55	5,40	YHR065C	--	--	--	9,75	7,52	11,93	13,43
YHL043W	--	--	--	5,25	5,36	4,10	5,28	YHR066W	--	+2	+1,8	9,37	11,77	18,95	17,16
YHL044W	--	--	--	7,16	6,86	6,03	6,61	YHR067W	--	--	--	6,98	7,35	8,80	7,69
YHL045W	--	--	--	6,79	5,77	5,05	5,32	YHR068W	--	--	--	56,88	43,76	39,04	40,65
YHL046C	--	--	--	9,24	8,08	9,87	11,76	YHR069C	+1,8	+1,5	+1,7	7,42	13,46	11,21	12,50
YHL047C	-3,3	-4	-3,7	19,09	5,80	4,75	5,22	YHR070W	--	--	--	5,70	5,69	5,31	6,13
YHL048W	--	--	--	16,14	13,81	15,09	15,92	YHR071W	--	-1,6	-1,6	19,64	14,55	12,06	12,00
YHL049C	--	--	+1,5	11,89	13,59	11,66	18,30	YHR072W	--	--	--	4,63	5,50	6,00	6,27
YHL050C	+1,6	+1,6	+1,8	50,82	80,39	79,94	93,52	YHR073W	-2,1	--	--	9,80	4,58	8,71	10,59
YHR001W	+1,5	+1,6	+1,6	11,77	18,05	19,05	18,27	YHR074W	--	--	--	23,24	20,72	23,29	23,70
YHR002W	--	--	--	8,27	6,74	6,46	6,51	YHR075C	+1,6	+1,9	+1,6	7,62	12,44	14,53	12,40
YHR003C	+2,3	--	--	16,43	38,16	16,11	14,95	YHR076W	--	--	--	9,99	11,73	13,55	14,42
YHR004C	--	--	--	13,08	12,47	9,15	11,13	YHR077C	--	--	--	8,77	8,91	8,40	8,98
YHR005C	--	-1,6	-2	35,36	38,97	22,32	17,83	YHR078W	--	--	--	7,21	6,62	6,00	6,96
YHR006W	--	--	--	9,50	9,04	7,61	7,51	YHR079B	--	--	--	4,30	4,15	3,98	3,85
YHR007C	--	--	--	67,65	71,06	66,56	83,03	YHR079C	--	--	--	11,53	9,26	9,20	9,30
YHR008C	--	--	--	3,44	3,33	3,14	3,44	YHR080C	--	--	--	4,84	4,59	3,60	4,62
YHR009C	--	--	--	7,83	8,62	8,37	8,96	YHR081W	--	--	--	8,61	7,51	6,90	9,96
YHR010W	--	--	--	198,82	225,07	294,85	198,81	YHR082C	--	--	--	10,42	11,27	9,96	9,49
YHR011W	--	--	--	5,98	7,56	7,57	7,87	YHR083W	--	--	--	16,58	11,34	16,15	19,13
YHR012W	--	--	--	12,98	18,08	18,43	14,94	YHR084W	--	--	--	6,02	7,01	5,75	6,80
YHR013C	--	--	--	10,49	11,56	11,42	11,50	YHR085W	--	--	--	4,05	3,49	3,33	3,43
YHR014W	--	--	--	4,28	5,00	3,99	4,41	YHR086W	--	--	--	6,02	5,53	4,87	5,54
YHR015W	--	--	--	5,92	5,77	4,70	5,09	YHR087W	--	+1,7	--	16,49	12,75	28,45	15,87
YHR016C	--	--	--	12,42	14,32	10,81	11,70	YHR088W	--	--	--	9,83	9,22	11,17	13,55
YHR017W	--	--	--	8,94	7,62	7,01	6,93	YHR089C	--	--	--	28,60	19,91	21,52	21,24
YHR018C	-1,5	-2,3	-2,6	40,03	26,23	17,70	15,58	YHR090C	--	--	--	6,84	7,68	7,06	6,99
YHR019C	--	-1,9	--	103,32	88,98	55,01	75,87	YHR091C	--	--	--	8,66	8,50	7,71	8,00
YHR020W	--	-2,5	-1,5	49,40	35,44	19,66	32,41	YHR092C	--	--	--	3,97	4,23	3,37	4,01
YHR021C	--	--	--	60,08	56,10	70,65	61,99	YHR093W	--	--	--	3,52	3,97	3,18	3,79
YHR022C	+2	+1,9	+1,9	4,33	8,49	8,35	8,27	YHR094C	-3,5	-5,2	-3,4	166,27	47,07	32,09	48,43
YHR023W	--	+1,5	+1,5	8,59	12,59	13,12	12,96	YHR095W	--	--	--	5,12	6,89	3,91	5,36
YHR024C	--	--	--	13,94	16,71	12,43	13,75	YHR096C	-2,3	-2,9	-2,1	31,51	13,83	10,97	14,82
YHR025W	--	--	--	21,21	20,04	16,76	15,61	YHR097C	-2,1	-2,1	-2,3	17,06	8,02	8,18	7,30
YHR026W	--	-1,6	--	49,74	41,02	31,33	42,50	YHR098C	--	--	--	15,33	13,47	12,44	13,30
YHR027C	--	--	--	17,74	20,56	13,56	14,16	YHR099W	--	--	--	11,85	8,99	12,09	13,68
YHR028C	--	--	--	17,54	18,41	14,74	16,86	YHR100C	--	--	--	7,66	8,87	10,05	9,99

ORF	Änderungsfaktor			Normalisierte Signalintensität				ORF	Änderungsfaktor			Normalisierte Signalintensität			
	10	20	30	0	10	20	30		10	20	30	0	10	20	30
YHR101C	--	--	--	5,56	6,31	5,75	6,37	YHR174W	--	-1,7	--	1038,22	751,31	593,62	731,82
YHR102W	--	--	--	6,83	7,51	6,90	7,28	YHR175W	--	--	--	13,30	12,67	11,80	11,28
YHR103W	--	--	--	6,57	7,39	6,65	6,81	YHR176W	--	--	--	5,49	5,78	6,08	6,25
YHR104W	+2,4	+1,6	+1,9	19,54	46,11	30,49	37,22	YHR177W	--	--	--	5,41	5,06	4,25	4,87
YHR105W	--	--	--	5,27	4,45	3,52	4,83	YHR178W	--	--	--	5,00	6,21	5,94	6,36
YHR106W	--	--	--	34,88	38,56	23,80	33,29	YHR179W	--	--	--	153,23	178,39	129,87	180,94
YHR107C	--	-1,7	--	31,50	35,66	19,04	30,31	YHR180W	--	+1,7	+1,5	5,20	6,58	8,79	8,03
YHR108W	--	-2,2	--	59,03	71,84	27,01	44,11	YHR181W	--	+1,7	--	11,87	15,34	20,47	12,58
YHR109W	--	--	--	6,49	8,23	6,07	7,25	YHR182W	--	--	--	6,50	6,53	6,28	6,98
YHR110W	--	+1,5	+1,8	12,79	18,44	19,42	22,59	YHR183W	--	-1,7	-1,5	110,91	95,77	64,56	71,82
YHR111W	--	--	+1,6	15,10	18,74	14,02	24,75	YHR184W	--	--	--	8,03	9,48	8,57	8,77
YHR112C	+1,6	--	+1,7	9,60	14,92	7,46	16,37	YHR185C	--	--	--	5,17	5,06	3,83	4,65
YHR113W	--	-3,7	--	22,11	29,52	6,00	26,53	YHR186C	--	-1,7	--	18,53	16,90	10,61	12,61
YHR114W	+1,6	--	--	10,75	17,41	8,90	15,23	YHR187W	--	--	--	6,01	6,55	6,58	6,34
YHR115C	+1,8	--	--	12,04	21,10	12,03	15,00	YHR188C	--	--	--	22,02	18,81	16,58	20,33
YHR116W	--	--	--	7,86	9,66	6,97	9,23	YHR189W	--	--	--	5,24	5,14	4,42	4,89
YHR117W	--	--	--	24,18	28,70	22,84	29,26	YHR190W	--	--	--	42,11	41,13	41,08	33,99
YHR118C	+1,6	--	--	15,74	24,87	14,32	21,63	YHR191C	--	--	+1,5	9,63	12,40	13,74	14,69
YHR119W	--	--	--	18,96	28,29	23,05	25,60	YHR192W	--	--	--	8,86	8,74	9,75	9,72
YHR120W	--	--	--	6,69	6,90	6,74	7,94	YHR193C	--	--	--	75,16	72,33	93,85	87,23
YHR121W	--	+1,8	--	19,96	25,98	36,31	29,09	YHR194W	--	--	--	6,32	7,08	6,48	7,00
YHR122W	+1,5	--	--	10,13	15,31	15,16	13,29	YHR195W	--	--	--	10,65	9,34	7,89	7,38
YHR123W	--	--	--	42,92	44,54	48,20	48,00	YHR196W	+2	+1,7	+1,7	7,13	14,13	12,35	12,12
YHR124W	+2,8	+3,1	+2,4	8,83	24,79	27,60	20,93	YHR197W	--	--	--	12,32	12,15	9,24	11,62
YHR125W	--	--	--	5,08	4,90	5,61	5,52	YHR198C	--	--	--	7,31	8,10	7,69	7,63
YHR126C	--	--	--	7,01	8,10	5,18	7,16	YHR199C	--	--	--	18,51	27,70	19,68	20,03
YHR127W	--	--	--	12,52	17,44	12,25	18,09	YHR200W	+1,7	--	--	46,69	78,39	62,93	55,16
YHR128W	+1,5	+1,6	--	21,67	33,48	35,00	24,32	YHR201C	--	--	--	17,49	24,82	18,84	19,94
YHR129C	--	+1,9	+1,6	6,30	8,52	12,03	9,78	YHR202W	--	--	--	8,37	8,34	7,82	9,32
YHR130C	--	--	--	3,49	3,73	4,07	3,79	YHR203C	--	-1,5	--	481,78	482,78	320,13	447,71
YHR131C	-1,5	--	--	12,40	8,11	13,84	12,65	YHR204W	--	--	--	7,64	9,02	6,79	8,42
YHR132C	-1,6	--	-1,5	18,43	11,32	15,43	11,95	YHR205W	+2	-1,8	+1,7	8,48	17,35	4,84	14,46
YHR133C	-3,3	--	--	24,27	7,31	29,46	19,79	YHR206W	--	-2,9	--	11,39	9,65	3,95	9,76
YHR134W	--	--	--	7,66	6,69	10,20	8,22	YHR207C	--	--	--	10,28	9,93	7,96	10,16
YHR135C	--	--	--	14,71	12,03	14,88	15,12	YHR208W	--	-2	-1,5	28,51	19,46	13,97	18,95
YHR136C	--	--	--	7,86	9,64	10,86	9,31	YHR209W	--	--	--	125,39	151,09	86,17	92,52
YHR137W	+4,8	+2,9	+1,5	7,91	38,13	22,69	12,19	YHR210C	--	--	--	5,92	5,90	4,26	5,30
YHR138C	--	--	-1,8	13,58	10,70	11,96	7,62	YHR211W	+1,7	--	--	7,50	12,77	6,81	9,06
YHR139C	--	--	--	5,78	6,07	5,10	5,00	YHR212C	+1,5	--	--	4,13	6,23	5,68	5,88
YHR140W	--	+1,8	--	4,23	4,93	7,67	5,96	YHR213W	--	--	--	6,17	7,23	5,78	7,02
YHR141C	--	+1,5	-4,8	177,88	175,53	273,55	37,30	YHR214W	-2,1	-2,4	-2	20,65	10,07	8,49	10,57
YHR142W	--	--	--	12,86	13,64	16,69	11,15	YHR215W	--	-1,5	--	70,48	59,83	46,86	49,68
YHR143B	--	+1,6	+1,5	8,56	6,50	13,37	13,14	YHR216W	--	--	--	64,42	60,30	44,45	66,76
YHR143W	-2,6	--	--	11,14	4,33	9,31	9,38	YHR217C	--	--	--	18,62	27,19	24,69	20,84
YHR144C	--	--	--	6,63	7,09	8,65	7,99	YHR218W	--	--	--	18,94	18,83	13,28	20,01
YHR145C	--	+1,8	--	87,86	126,43	158,81	124,97	YHR219W	--	--	--	79,98	116,88	87,98	114,07
YHR146W	--	--	--	14,83	15,29	14,51	13,92	YIL001W	--	--	--	5,87	5,50	7,38	6,26
YHR147C	--	--	--	9,98	7,77	12,81	10,34	YIL002C	--	+1,5	--	6,89	8,92	10,38	9,07
YHR148W	--	--	--	8,51	9,91	10,87	10,92	YIL003W	--	--	--	8,82	8,98	10,37	7,80
YHR149C	--	--	--	5,97	7,59	7,11	6,73	YIL004C	--	--	+1,6	6,18	7,86	8,88	9,58
YHR150W	--	--	--	6,23	6,59	6,27	7,00	YIL005W	--	--	--	7,49	6,39	6,43	6,15
YHR151C	--	--	--	6,25	6,67	6,96	7,31	YIL006W	--	--	--	5,50	4,88	6,83	6,28
YHR152W	--	--	--	7,35	8,10	9,20	9,62	YIL007C	--	--	--	26,63	28,71	36,99	24,03
YHR153C	--	--	--	3,88	4,09	4,48	4,98	YIL008W	--	--	--	7,36	7,06	8,93	6,89
YHR154W	--	--	--	3,43	3,40	3,54	4,47	YIL009W	--	+1,6	--	14,19	13,60	22,22	19,23
YHR155W	--	--	--	4,44	3,91	4,12	5,37	YIL010W	--	+1,8	--	12,38	12,63	22,61	16,25
YHR156C	--	--	--	5,27	5,30	6,24	5,73	YIL011W	--	--	--	8,42	6,94	6,95	6,14
YHR157W	--	--	--	4,45	4,28	4,25	4,56	YIL012W	--	--	--	3,53	3,54	3,54	3,30
YHR158C	--	--	--	4,48	4,24	4,18	4,16	YIL013C	--	--	--	3,89	3,60	3,38	3,46
YHR159W	--	--	--	5,09	5,02	4,57	4,80	YIL014W	--	--	--	5,80	7,16	7,59	6,73
YHR160C	--	--	--	4,52	5,62	5,12	4,96	YIL015W	--	--	--	4,20	3,99	3,89	4,05
YHR161C	--	--	--	33,96	42,56	24,33	44,88	YIL016W	-1,5	--	-1,6	16,01	10,58	13,73	10,15
YHR162W	--	--	--	46,19	32,38	56,45	50,38	YIL017W	-1,6	-1,6	-1,6	9,60	6,17	5,97	5,90
YHR163W	--	--	--	15,38	21,97	21,88	20,06	YIL018W	-3,8	--	--	313,70	82,86	342,33	260,65
YHR164C	--	--	--	9,07	6,50	11,53	12,31	YIL019W	--	--	--	7,14	6,39	6,09	6,29
YHR165C	--	+1,6	--	3,36	3,17	5,35	3,91	YIL020C	--	--	--	9,06	9,41	10,34	7,56
YHR166C	--	--	--	4,72	6,11	6,70	5,95	YIL021W	--	+1,7	--	23,42	23,48	39,09	24,49
YHR167W	--	--	--	4,60	5,15	5,59	5,44	YIL022W	--	--	--	21,11	20,30	20,24	17,98
YHR168W	--	--	--	5,89	5,29	5,86	5,39	YIL023C	--	--	--	7,94	8,05	9,54	7,42
YHR169W	--	+1,6	+1,7	9,31	12,88	14,52	16,08	YIL024C	--	--	--	4,62	5,96	5,56	4,72
YHR170W	-1,6	-1,5	--	19,31	11,85	12,51	15,16	YIL025C	--	--	--	3,44	3,47	3,45	3,61
YHR171W	--	--	--	7,12	6,38	5,54	5,74	YIL026C	--	--	--	6,22	7,05	6,61	7,54
YHR172W	--	--	--	6,54	6,88	6,07	7,19	YIL027C	--	--	--	5,45	5,46	6,33	5,54
YHR173C	--	--	--	8,18	8,01	8,37	9,48	YIL028W	--	--	--	6,12	4,09	4,89	5,17



ORF	Änderungsfaktor			Normalisierte Signalintensität				ORF	Änderungsfaktor			Normalisierte Signalintensität			
	10	20	30	0	10	20	30		10	20	30	0	10	20	30
YIL029C	-1,5	--	--	8,86	5,75	7,50	6,39	YIL104C	--	--	--	64,50	59,02	71,90	58,86
YIL030C	--	--	--	22,71	22,66	24,64	19,86	YIL105C	--	+1,6	--	170,67	233,64	279,26	214,08
YIL031W	--	--	--	5,27	4,56	5,23	4,83	YIL106W	--	--	--	9,17	8,56	12,58	7,20
YIL032C	--	--	--	5,05	3,83	5,29	4,77	YIL107C	--	--	--	9,21	8,38	10,27	8,13
YIL033C	-3	--	-1,5	28,49	9,61	25,85	18,91	YIL108W	--	--	--	8,14	7,37	8,11	6,41
YIL034C	--	--	--	20,73	22,54	27,01	21,36	YIL109C	-2	--	--	20,79	10,16	21,65	19,57
YIL035C	--	--	--	18,42	19,38	19,71	18,21	YIL110W	--	--	--	10,11	8,68	10,71	8,76
YIL036W	--	-1,5	--	16,21	12,89	10,61	10,99	YIL111W	+1,8	+3,5	+2	17,29	30,72	60,86	34,76
YIL037C	--	--	--	4,84	4,94	4,90	5,26	YIL112W	--	--	--	11,30	9,82	11,07	10,27
YIL038C	--	--	--	9,33	8,98	11,18	11,02	YIL113W	--	--	--	5,38	4,67	5,19	4,33
YIL039W	-2	--	--	9,94	4,95	9,49	11,95	YIL114C	--	--	--	4,67	4,81	4,43	4,00
YIL040W	-2	--	--	9,72	4,82	9,32	10,96	YIL115C	--	--	--	19,57	22,32	18,92	16,40
YIL041W	-1,9	--	--	57,88	30,61	81,53	66,82	YIL116W	--	--	--	8,84	6,48	6,35	6,57
YIL042C	--	--	--	7,59	5,52	7,74	6,97	YIL117C	-2,2	-1,6	-1,5	16,74	7,68	10,25	10,85
YIL043C	--	--	--	35,84	33,71	40,68	38,56	YIL118W	-1,7	--	--	6,56	3,93	4,87	5,68
YIL044C	--	--	--	9,50	7,04	8,97	8,78	YIL119C	--	--	--	11,84	9,94	11,03	9,82
YIL045W	--	--	--	8,90	8,15	7,88	7,62	YIL120W	--	--	--	4,87	4,71	4,77	5,21
YIL046W	+1,6	--	--	7,65	12,35	11,01	11,19	YIL121W	-1,5	--	--	9,81	6,41	7,72	7,17
YIL047C	--	--	--	10,29	14,28	12,73	13,27	YIL122W	-1,9	--	--	7,30	3,77	5,28	5,04
YIL048W	--	--	--	7,11	7,37	5,79	6,25	YIL123W	-2,6	--	--	43,50	16,85	45,99	41,11
YIL049W	--	--	--	6,22	6,21	7,82	7,49	YIL124W	-1,6	--	--	15,94	9,84	23,60	18,94
YIL050W	--	--	--	13,97	15,14	14,15	11,33	YIL125W	--	--	--	8,12	7,20	6,60	7,20
YIL051C	+1,6	+2,4	+2	108,24	176,20	258,51	219,82	YIL126W	--	--	--	3,78	3,54	3,44	3,68
YIL052C	--	--	--	314,44	328,38	469,16	432,79	YIL127C	--	--	--	8,46	9,34	10,09	11,76
YIL053W	--	--	--	197,91	226,46	198,25	217,45	YIL128W	--	--	--	8,11	6,98	7,31	8,23
YIL054W	--	--	--	3,26	3,37	3,43	3,59	YIL129C	--	--	--	22,72	22,58	17,76	20,61
YIL055C	--	--	--	5,68	8,01	6,10	5,49	YIL130W	-4,2	--	--	40,26	9,61	38,47	48,29
YIL056W	--	-2,1	-1,9	17,47	11,66	8,37	9,42	YIL131C	--	--	--	3,65	3,39	3,14	3,74
YIL057C	--	+1,7	--	15,01	18,20	25,57	19,02	YIL132C	--	--	--	4,15	3,86	4,76	5,38
YIL058W	--	--	--	6,37	6,26	8,71	8,05	YIL133C	--	--	--	162,53	146,77	202,45	178,01
YIL059C	--	--	--	9,83	10,89	12,46	9,49	YIL134W	--	+1,6	--	6,38	8,70	9,90	8,52
YIL060W	+1,9	--	--	231,32	432,36	312,79	317,02	YIL135C	--	--	--	3,75	3,83	3,94	3,69
YIL061C	--	--	--	9,31	10,59	8,75	8,60	YIL136W	--	--	--	23,22	17,98	27,05	22,05
YIL062C	--	--	--	21,40	26,38	29,49	19,12	YIL137C	--	--	--	10,01	9,55	8,87	8,61
YIL063C	+1,6	--	--	11,74	18,92	17,53	15,20	YIL138C	--	--	--	10,98	11,62	11,04	10,12
YIL064W	--	--	--	10,59	8,83	10,75	12,59	YIL139C	--	--	--	9,02	11,26	11,42	11,70
YIL065C	--	--	--	6,41	7,19	7,51	7,47	YIL140W	--	--	--	11,19	12,77	9,78	10,81
YIL066C	+1,6	--	+2	6,14	10,09	7,36	12,31	YIL141W	--	--	--	7,97	6,37	6,61	6,47
YIL067C	--	--	--	6,70	6,73	6,56	6,33	YIL142W	--	--	--	27,35	36,20	29,57	33,70
YIL068C	--	--	--	23,72	35,42	24,23	25,62	YIL143C	--	--	--	7,41	7,18	8,20	8,36
YIL069C	--	--	--	179,58	184,97	193,20	242,67	YIL144W	--	--	--	7,65	7,47	7,71	8,65
YIL070C	--	--	--	10,83	12,68	10,64	11,16	YIL145C	--	--	--	16,31	19,17	17,03	23,61
YIL071W	--	--	--	7,60	7,36	6,22	6,74	YIL146C	--	--	--	5,83	7,90	6,29	6,64
YIL072W	+1,5	--	--	4,69	7,08	5,25	5,17	YIL147C	--	--	--	21,54	25,82	29,32	22,14
YIL073C	--	--	--	6,09	8,64	6,43	6,87	YIL148W	--	--	--	234,30	234,81	256,10	202,20
YIL074W	--	--	--	33,15	33,23	24,82	25,07	YIL149C	--	-1,6	--	20,90	26,78	13,43	19,85
YIL075C	--	--	--	34,57	43,79	29,72	34,74	YIL150C	--	--	--	20,08	27,74	17,51	13,93
YIL076W	-1,6	--	--	28,61	17,87	21,92	26,68	YIL151C	--	--	--	22,58	31,93	33,67	30,64
YIL077C	--	--	--	12,93	12,37	9,48	11,25	YIL152W	--	--	-1,9	44,17	55,45	38,07	23,46
YIL078W	--	-3,8	-1,6	111,22	75,61	29,08	68,34	YIL153W	--	--	--	11,43	10,23	9,62	8,29
YIL079C	--	--	--	13,48	17,09	12,64	17,36	YIL154C	--	--	--	18,26	19,30	17,69	20,65
YIL080W	--	--	--	5,01	5,13	4,88	4,83	YIL155C	--	--	--	11,59	16,68	11,17	10,97
YIL082W	--	--	--	12,32	10,99	9,08	9,90	YIL156W	--	--	--	8,05	8,20	6,92	7,01
YIL083C	--	--	--	10,72	14,18	9,56	11,38	YIL157C	--	--	--	10,11	9,74	12,05	11,45
YIL084C	--	--	--	9,00	11,59	8,55	10,69	YIL158W	+1,6	+2	+1,7	7,89	12,61	15,73	13,36
YIL085C	--	--	--	15,20	17,99	17,13	15,34	YIL159W	--	--	--	16,03	21,33	18,46	15,26
YIL086C	--	--	--	5,22	5,95	6,64	5,90	YIL160C	--	--	--	4,44	5,95	4,85	5,02
YIL087C	--	--	--	9,09	8,02	12,94	11,84	YIL161W	--	--	--	7,24	9,80	8,62	9,37
YIL088C	--	--	--	15,87	10,59	17,70	13,35	YIL162W	-1,9	-2,2	-1,7	27,02	13,97	12,49	16,16
YIL089W	--	--	--	5,55	6,79	6,39	6,71	YIL163C	--	--	--	7,01	7,46	6,14	5,60
YIL090W	--	--	--	7,81	9,98	7,81	9,29	YIL164C	--	--	--	8,04	7,08	6,33	6,81
YIL091C	+1,7	--	+1,7	8,30	13,77	12,07	13,83	YIL165C	--	--	--	8,21	6,97	6,50	6,89
YIL092W	--	--	--	5,65	6,14	8,01	5,82	YIL166C	--	--	--	5,48	5,78	5,15	5,86
YIL093C	--	--	--	6,67	6,03	7,44	6,48	YIL167W	--	--	--	7,37	7,86	7,62	7,37
YIL094C	--	--	--	31,43	24,45	46,42	37,85	YIL168W	--	--	--	5,69	5,72	5,35	5,94
YIL095W	--	--	--	9,29	10,92	11,57	7,22	YIL169C	--	-2,8	-1,7	107,98	83,02	38,35	62,90
YIL096C	--	--	--	7,81	7,31	8,74	8,23	YIL170W	--	-1,5	--	7,39	8,90	4,80	9,12
YIL097W	-1,7	--	-1,6	7,95	4,72	5,52	4,96	YIL171W	--	--	--	6,01	6,83	5,70	6,72
YIL098C	-1,6	--	--	7,93	4,99	9,67	6,93	YIL172C	--	--	--	6,63	6,32	4,59	5,28
YIL099W	--	--	--	3,76	3,48	3,73	3,31	YIL173W	--	--	--	25,16	25,38	21,18	23,39
YIL100W	--	--	--	3,84	3,32	3,44	3,39	YIL174W	--	--	--	5,89	5,97	4,40	5,25
YIL101C	--	--	--	7,74	7,73	6,94	6,24	YIL175W	--	-1,5	--	7,63	6,36	4,93	5,87
YIL102C	--	--	--	3,56	3,88	3,88	3,49	YIL176C	--	--	--	12,56	12,73	10,54	12,36
YIL103W	--	+1,8	--	8,27	10,30	15,12	10,56	YIL177C	--	--	--	37,92	51,96	45,05	48,69

ORF	Änderungsfaktor			Normalisierte Signalintensität				ORF	Änderungsfaktor			Normalisierte Signalintensität			
	10	20	30	0	10	20	30		10	20	30	0	10	20	30
YIR001C	--	--	--	10,75	11,62	10,04	10,63	YJL031C	-2,2	--	--	10,84	4,89	12,92	11,15
YIR002C	+1,7	--	+1,5	6,29	10,43	8,25	9,68	YJL032W	--	+1,7	--	7,35	8,76	12,73	9,29
YIR003W	--	--	--	16,41	17,09	15,27	16,37	YJL033W	--	--	--	9,38	8,62	9,46	9,70
YIR004W	--	--	--	15,42	17,43	16,51	14,70	YJL034W	+2	--	--	212,73	415,82	196,90	245,05
YIR005W	--	--	--	6,01	6,86	7,14	7,51	YJL035C	--	--	--	8,74	8,04	7,14	7,28
YIR006C	--	--	--	5,62	7,19	4,65	5,89	YJL036W	--	-1,5	-1,5	10,40	8,29	6,89	6,86
YIR007W	--	--	--	6,22	7,32	5,64	5,67	YJL037W	--	--	--	6,58	6,91	6,24	7,10
YIR008C	--	--	--	6,30	7,22	8,94	7,19	YJL038C	--	--	--	5,78	5,93	5,71	6,10
YIR009W	--	--	--	5,62	6,05	7,30	5,16	YJL039C	--	--	--	9,33	10,75	10,50	11,90
YIR010W	--	--	--	11,67	15,04	14,85	13,04	YJL041W	-1,7	--	--	23,21	13,60	17,13	22,32
YIR011C	--	--	--	9,29	9,58	13,20	10,04	YJL042W	--	--	--	4,68	4,32	5,04	4,92
YIR012W	--	--	--	17,50	20,14	23,84	20,65	YJL043W	--	--	--	4,05	3,93	4,30	4,27
YIR013C	--	--	--	3,89	3,58	4,11	4,04	YJL044C	-2	--	--	14,57	7,15	21,00	20,49
YIR014W	--	--	--	9,36	7,97	11,06	7,56	YJL045W	--	--	--	5,93	6,27	5,89	5,96
YIR015W	--	--	--	4,21	4,13	4,62	4,07	YJL046W	--	+1,7	--	8,66	9,70	14,63	9,89
YIR016W	--	--	--	26,73	22,81	37,47	22,91	YJL047C	--	--	--	7,02	6,64	6,50	7,23
YIR017C	--	+1,7	--	4,48	5,71	7,72	5,38	YJL048C	--	--	--	10,35	9,78	9,10	10,05
YIR018W	--	--	--	4,06	3,78	4,38	3,83	YJL049W	--	--	--	15,83	19,92	12,57	13,65
YIR019C	--	--	--	4,22	4,13	3,98	3,72	YJL050W	--	-1,7	--	23,94	17,70	14,13	19,28
YIR020C	--	--	--	4,68	4,37	5,05	4,80	YJL051W	--	--	-1,8	25,02	30,85	18,11	13,90
YIR021W	--	--	--	4,47	5,11	5,11	4,57	YJL052W	--	--	-1,7	2695,43	1920,80	2507,14	1596,27
YIR022W	--	--	-1,5	12,01	8,13	14,42	7,80	YJL053W	--	--	--	13,10	13,74	13,45	13,71
YIR023W	--	--	--	3,56	3,64	3,82	3,64	YJL054W	--	--	--	3,67	3,65	3,35	3,52
YIR024C	--	--	--	8,42	6,64	10,42	7,78	YJL055W	--	+1,8	--	23,18	34,56	42,45	27,18
YIR025W	-1,6	--	--	8,52	5,39	9,97	7,82	YJL056C	--	--	--	5,42	5,26	5,39	5,46
YIR026C	--	--	--	9,68	7,14	9,27	7,65	YJL057C	--	--	--	8,99	11,14	10,80	9,20
YIR027C	--	--	--	4,01	4,47	4,60	4,76	YJL058C	--	--	--	6,21	6,12	6,23	6,86
YIR028W	--	--	--	4,80	5,44	5,10	4,39	YJL059W	--	--	--	7,40	8,78	8,93	7,51
YIR029W	--	--	--	5,34	5,92	5,37	4,42	YJL060W	--	--	--	16,16	18,51	19,82	20,30
YIR030C	--	--	--	4,03	4,30	4,97	4,88	YJL061W	+1,5	--	--	13,40	20,58	11,68	15,58
YIR031C	--	--	--	5,64	7,10	7,52	6,87	YJL062W	--	--	--	15,55	16,59	15,08	15,66
YIR032C	--	--	--	3,53	3,92	4,04	4,01	YJL063C	--	--	--	22,84	20,95	19,65	15,94
YIR033W	-2,3	-2,1	-1,5	22,62	9,71	10,77	15,07	YJL064W	--	+1,5	--	7,87	9,31	11,88	9,61
YIR034C	-1,7	--	--	8,54	4,93	7,24	8,29	YJL065C	--	+1,7	--	9,33	11,54	16,14	13,31
YIR035C	-2,4	--	--	10,54	4,47	10,21	11,59	YJL066C	--	+1,9	--	13,05	14,26	24,20	16,33
YIR036C	--	--	--	7,91	7,64	9,65	10,89	YJL067W	--	+2,2	--	9,66	12,59	21,20	13,89
YIR037W	--	+2,3	+1,7	27,99	24,63	65,22	46,87	YJL068C	--	+1,7	+1,5	9,67	13,16	16,81	14,69
YIR038C	--	+2,2	+1,9	14,28	18,05	31,33	27,44	YJL069C	+2,1	+1,6	+1,9	8,94	18,70	14,59	16,96
YIR039C	--	--	--	7,30	6,18	6,27	5,96	YJL070C	--	--	--	4,28	3,81	4,42	4,36
YIR040C	--	--	--	5,53	4,98	4,60	4,79	YJL071W	--	--	--	5,79	5,53	6,02	6,70
YIR041W	--	--	--	6,28	6,80	6,63	6,20	YJL072C	--	--	--	6,19	6,22	6,13	6,19
YIR042C	--	--	--	4,81	4,50	4,11	4,86	YJL073W	+1,7	--	--	6,89	11,83	8,21	8,88
YIR043C	--	--	--	23,90	22,62	24,79	22,90	YJL074C	--	--	--	8,87	8,32	5,98	7,18
YIR044C	--	--	--	8,38	6,59	6,68	7,40	YJL075C	--	--	--	17,70	22,97	22,86	21,76
YJL001W	+1,6	+2,3	--	24,45	40,19	57,15	30,66	YJL076W	--	--	--	7,31	8,32	6,78	7,42
YJL002C	--	--	--	25,34	22,25	24,19	19,07	YJL077C	--	--	--	8,03	10,97	10,59	9,09
YJL003W	--	--	--	6,77	6,64	9,67	7,28	YJL078C	--	--	--	3,71	3,69	3,36	3,70
YJL004C	--	--	--	7,61	7,27	8,64	7,76	YJL079C	--	--	--	17,78	20,33	17,14	20,44
YJL005W	--	+1,5	--	380,19	380,55	572,19	369,71	YJL080C	-1,6	-2,1	-1,5	30,17	19,10	14,62	19,75
YJL006C	--	--	--	4,60	3,91	6,74	5,52	YJL081C	--	--	--	18,63	20,38	14,51	23,79
YJL007C	--	--	--	6,40	5,10	6,39	5,83	YJL082W	--	-1,7	--	7,00	5,28	4,02	5,39
YJL008C	--	--	--	37,40	27,31	43,88	28,11	YJL083W	--	-1,6	--	7,59	7,83	4,78	6,24
YJL009W	--	+2,4	--	21,68	30,64	51,59	31,98	YJL084C	--	--	--	10,09	11,62	9,16	9,74
YJL010C	--	--	--	7,46	6,02	6,55	6,90	YJL085W	+1,5	--	--	7,59	11,73	6,42	8,11
YJL011C	--	--	--	6,03	6,64	8,71	7,44	YJL086C	-1,8	-2,4	--	87,29	47,92	36,84	92,05
YJL012C	+1,9	--	--	26,33	50,72	39,16	26,84	YJL087C	--	--	--	7,21	7,34	6,04	7,07
YJL013C	--	--	--	8,74	11,18	12,20	10,62	YJL088W	--	--	--	6,78	7,07	6,23	5,68
YJL014W	--	--	--	22,76	23,15	20,68	16,84	YJL089W	--	--	--	4,51	4,97	5,07	4,79
YJL015C	--	+1,7	--	7,04	9,10	11,94	8,70	YJL090C	--	--	--	5,57	7,00	6,32	6,50
YJL016W	--	--	--	7,09	6,56	8,91	5,97	YJL091C	--	--	--	6,99	9,48	8,66	8,60
YJL017W	--	--	--	5,98	5,17	5,82	4,80	YJL092W	--	--	--	5,63	6,82	7,40	6,99
YJL018W	--	--	--	5,17	4,20	5,12	5,37	YJL093C	--	--	--	8,12	7,53	7,12	7,95
YJL019W	--	--	--	6,59	6,21	5,75	5,96	YJL094C	--	--	--	5,38	5,20	4,66	5,09
YJL020C	--	+1,6	--	8,95	8,14	13,88	11,41	YJL095W	--	--	--	4,27	4,54	3,92	4,44
YJL021C	--	+1,7	--	11,54	11,73	19,92	12,71	YJL096W	--	--	--	10,65	14,18	14,15	14,59
YJL022W	--	--	--	4,73	3,86	4,70	4,38	YJL097W	--	--	--	19,83	16,55	15,96	14,19
YJL023C	--	--	--	6,38	5,13	7,21	6,07	YJL098W	--	--	--	5,21	7,36	7,10	7,23
YJL024C	--	--	--	8,11	8,39	8,81	7,52	YJL099W	--	--	--	7,60	7,82	9,56	7,31
YJL025W	--	+1,5	--	5,68	7,69	8,70	8,22	YJL100W	--	--	--	7,55	5,53	8,62	6,70
YJL026W	--	--	--	91,38	76,09	90,13	92,87	YJL101C	-1,9	--	-1,8	23,93	12,48	17,95	13,18
YJL027C	--	--	--	4,45	3,82	3,85	4,10	YJL102W	--	--	--	5,69	5,60	6,92	5,26
YJL028W	-3	-1,5	--	24,80	8,18	16,19	20,45	YJL103C	--	--	--	7,34	5,60	7,39	6,42
YJL029C	--	--	--	9,07	8,56	9,73	11,87	YJL104W	--	+1,7	--	13,27	11,90	22,49	14,14
YJL030W	--	--	--	6,34	4,28	7,93	7,78	YJL105W	--	--	--	3,77	4,71	5,26	3,94



ORF	Änderungsfaktor			Normalisierte Signalintensität				ORF	Änderungsfaktor			Normalisierte Signalintensität				
	10	20	30	0	10	20	30		10	20	30	0	10	20	30	
YJL106W	--	--	--	4,45	3,89	4,41	3,64	YJL179W	--	--	--	11,16	13,39	9,59	12,82	
YJL107C	--	--	--	6,37	4,26	4,97	4,61	YJL180C	--	--	--	12,71	11,50	11,66	12,18	
YJL108C	-1,6	--	--	8,75	5,44	6,45	6,26	YJL181W	--	--	--	4,55	4,99	4,59	4,56	
YJL109C	--	--	--	12,90	13,18	14,31	14,63	YJL182C	--	--	--	4,88	7,15	3,70	4,30	
YJL110C	+1,8	+2	--	5,92	10,37	11,77	8,58	YJL183W	--	--	--	17,63	24,93	25,55	20,27	
YJL111W	--	--	--	33,97	33,73	33,68	26,01	YJL184W	--	--	--	9,09	10,11	12,56	12,84	
YJL112W	+1,5	--	--	7,11	10,94	8,45	9,34	YJL185C	--	--	--	6,73	8,91	8,51	8,90	
YJL113W	--	--	--	3,37	3,40	3,61	3,44	YJL186W	--	--	--	26,64	35,46	25,54	31,07	
YJL114W	--	--	--	9,03	7,69	9,39	6,81	YJL187C	--	--	--	5,94	7,49	6,50	7,53	
YJL115W	--	+1,6	--	6,74	8,74	10,63	9,54	YJL188C	--	+1,8	--	110,58	110,86	196,23	144,06	
YJL116C	--	--	--	8,56	6,44	11,57	7,93	YJL189W	--	--	--	45,25	46,11	60,80	59,50	
YJL117W	--	+1,5	--	35,85	42,11	55,24	32,03	YJL190C	--	--	--	161,29	128,76	219,06	194,20	
YJL118W	--	--	--	5,33	4,90	5,00	4,95	YJL191W	+1,8	+2,3	+1,6	49,09	90,43	110,91	79,75	
YJL119C	--	--	--	3,95	4,43	5,83	4,96	YJL192C	--	--	--	12,77	14,90	13,39	14,83	
YJL120W	--	--	--	4,30	4,26	4,75	4,45	YJL193W	+1,6	+1,5	--	5,10	8,01	7,72	7,31	
YJL121C	--	--	--	16,72	18,40	21,12	18,48	YJL194W	+1,6	+1,8	--	5,32	8,38	9,74	6,24	
YJL122W	--	+1,5	--	10,38	12,77	15,84	11,45	YJL195C	--	--	--	3,69	4,97	4,97	4,38	
YJL123C	--	--	--	6,36	6,90	8,18	6,87	YJL196C	--	--	--	16,35	12,46	18,92	15,65	
YJL124C	--	--	--	15,86	14,83	18,25	15,91	YJL197W	--	--	--	4,92	4,81	4,69	4,46	
YJL125C	--	--	--	5,02	6,36	6,59	7,26	YJL198W	--	--	--	5,48	5,99	5,74	5,65	
YJL126W	--	--	--	6,88	6,84	8,90	7,73	YJL199C	--	--	--	5,15	4,06	5,65	4,72	
YJL127C	--	--	--	5,48	4,94	5,76	5,47	YJL200C	--	--	--	7,39	8,50	7,96	8,05	
YJL128C	--	--	--	13,22	11,00	11,92	11,11	YJL201W	--	--	--	5,29	5,33	5,84	4,57	
YJL129C	--	--	--	16,80	15,48	18,50	14,73	YJL202C	--	+1,7	--	4,84	5,05	8,14	5,77	
YJL130C	-2,1	--	--	176,84	85,00	180,31	134,89	YJL203W	--	--	--	5,64	5,00	6,15	5,37	
YJL131C	-1,7	--	--	8,01	4,70	9,32	7,27	YJL204C	--	+1,6	--	18,87	21,69	29,83	22,49	
YJL132W	--	--	--	6,06	5,53	6,22	5,68	YJL206C	--	--	--	5,80	6,90	8,37	6,26	
YJL133W	--	--	--	13,23	12,77	14,41	11,05	YJL206C	--	+1,9	--	6,21	8,00	11,65	8,23	
YJL134W	--	--	--	11,07	15,08	12,94	13,63	YJL207C	--	--	--	3,72	3,82	3,89	3,95	
YJL135W	--	--	--	3,67	3,59	3,53	3,63	YJL208C	--	+1,6	--	8,37	11,11	13,60	11,01	
YJL136C	--	+1,5	--	99,37	104,89	151,13	118,67	YJL209W	--	+1,6	--	7,94	10,93	12,89	9,94	
YJL137C	--	--	--	5,75	4,52	7,89	8,11	YJL210W	--	--	--	8,49	7,86	8,70	7,05	
YJL138C	-	-2,3	-1,7	172,57	15,99	76,14	103,24	YJL211C	--	--	--	3,72	3,74	4,25	4,10	
YJL139C	10,8	--	--	4,98	3,77	6,22	5,48	YJL212C	--	--	--	8,79	6,90	8,01	6,87	
YJL140W	--	+1,8	+1,6	12,66	9,51	22,73	20,65	YJL213W	--	--	-1,7	13,54	12,08	13,77	7,93	
YJL141C	--	--	-1,6	15,11	11,24	10,11	9,18	YJL214W	--	--	--	5,35	5,31	4,88	4,45	
YJL142C	-2	--	--	17,18	8,77	19,50	13,34	YJL215C	--	--	--	4,03	3,44	3,99	3,76	
YJL143W	--	--	--	22,02	23,64	27,20	25,42	YJL216C	--	--	--	4,49	4,99	4,76	3,88	
YJL144W	-1,7	-2	-1,5	11,40	6,70	5,69	7,55	YJL217W	-2,6	-1,5	-2,4	70,07	27,35	45,35	29,31	
YJL145W	--	--	--	12,37	11,02	9,25	10,84	YJL218W	--	--	--	5,79	5,22	4,36	4,94	
YJL146W	--	--	--	7,35	7,96	7,68	8,36	YJL219W	--	--	--	7,82	9,69	8,77	8,57	
YJL147C	--	--	--	5,84	6,61	6,15	7,10	YJL220W	--	--	--	5,64	4,66	4,77	5,24	
YJL148W	--	--	--	16,72	19,50	18,96	18,80	YJL221C	-1,5	-1,6	--	9,03	5,90	5,75	6,20	
YJL149W	--	--	--	6,62	8,33	8,07	8,80	YJL222W	--	--	--	3,72	3,61	3,41	3,49	
YJL150W	--	--	--	9,47	10,66	11,33	10,04	YJL223C	--	--	--	6,02	5,49	5,81	6,03	
YJL151C	--	--	--	25,84	28,09	37,22	35,52	YJL225C	--	--	--	35,92	34,10	35,28	40,05	
YJL152W	--	+1,9	+1,6	14,88	18,24	27,71	23,95	YJR001W	-1,6	--	--	12,77	7,99	15,06	12,35	
YJL153C	--	--	--	3,64	3,85	3,42	3,77	YJR002W	-3	--	--	15,14	4,99	15,22	13,48	
YJL154C	--	--	--	8,45	8,77	9,17	9,00	YJR003C	--	--	--	7,37	6,95	9,04	6,98	
YJL155C	--	--	--	7,86	5,81	6,27	5,58	YJR004C	--	--	--	4,64	4,78	4,63	4,66	
YJL156C	--	--	--	5,70	6,63	5,76	5,84	YJR005W	--	-1,5	-1,6	9,85	7,16	6,45	6,20	
YJL157C	--	--	--	6,73	5,99	6,24	6,41	YJR006W	--	--	--	7,78	8,89	7,75	9,97	
YJL158C	--	--	--	157,53	233,42	165,29	231,17	YJR007W	-1,8	--	--	38,21	21,03	31,53	34,03	
YJL159W	--	--	--	587,66	545,61	447,67	418,27	YJR008W	-1,6	--	--	12,94	8,18	10,37	9,13	
YJL160C	--	--	--	5,90	5,24	4,85	4,42	YJR009C	-	-1,7	--	4349,37	381,95	2635,63	3263,80	
YJL161W	--	+1,6	--	6,25	6,34	10,13	7,57	11,4	YJR010C	-1,5	--	--	5,45	3,59	6,39	7,58
YJL162C	--	-2,1	+1,8	25,18	23,85	12,16	45,67	-1,5	YJR010W	--	--	--	5,17	4,32	5,93	6,37
YJL163C	--	--	--	6,07	5,74	5,99	5,66	--	YJR011C	--	--	--	7,63	6,23	8,86	7,63
YJL164C	--	--	--	16,88	16,68	19,20	16,45	--	YJR012C	--	--	--	5,29	5,65	6,37	6,14
YJL165C	-2	-2,4	-2,3	20,21	9,97	8,31	8,96	--	YJR013W	--	+1,5	--	8,70	7,84	13,09	10,17
YJL166W	--	+1,8	--	22,63	22,40	40,02	33,17	--	YJR014W	--	--	--	21,53	19,30	24,64	24,56
YJL167W	--	--	--	43,75	53,38	57,97	52,86	--	YJR015W	--	--	--	11,25	10,37	8,93	9,99
YJL168C	--	--	--	8,30	11,48	9,15	9,21	--	YJR016C	--	--	--	13,16	17,56	10,01	11,64
YJL169W	+1,6	--	+1,6	7,80	12,11	11,62	12,16	--	YJR017C	--	+1,6	+1,8	20,26	25,63	32,46	37,20
YJL170C	--	--	--	4,41	4,50	3,54	4,12	--	YJR018W	--	--	--	14,97	16,46	18,52	17,96
YJL171C	-2,2	-2,1	-2	21,57	10,01	10,06	10,77	--	YJR019C	--	--	--	8,81	7,29	8,55	8,45
YJL172W	--	--	--	8,99	7,30	6,12	7,86	--	YJR020W	--	--	--	5,69	4,33	5,57	5,54
YJL173C	+1,9	+2,2	+1,8	8,79	16,27	18,97	15,58	--	YJR021C	+1,5	+1,5	--	6,52	9,84	9,85	9,38
YJL174W	--	--	--	20,40	15,97	19,22	14,44	--	YJR022W	--	--	--	5,14	5,20	6,08	6,16
YJL175W	--	--	--	5,18	4,95	4,67	5,29	--	YJR023C	--	--	--	5,26	5,10	5,96	6,30
YJL176C	--	--	--	8,86	9,14	7,62	8,67	--	YJR024C	--	--	--	9,69	10,75	11,86	12,14
YJL177W	--	--	--	245,35	188,47	262,83	255,59	--	YJR025C	--	--	--	5,31	7,24	7,89	7,47
YJL178C	--	--	--	23,83	22,35	26,27	24,99	--	YJR026W	--	-2	--	368,57	301,66	184,97	294,48

ORF	Änderungsfaktor			Normalisierte Signalintensität				ORF	Änderungsfaktor			Normalisierte Signalintensität			
	10	20	30	0	10	20	30		10	20	30	0	10	20	30
YJR027W	+1,6	-1,5	--	1797,27	2951,83	1165,19	1332,00	YJR102C	--	--	--	6,08	5,50	5,66	5,78
YJR028W	--	-1,8	-1,9	567,13	436,14	307,54	292,71	YJR103W	-1,5	--	--	15,41	9,95	10,30	12,75
YJR029W	--	--	-2,5	2876,62	3924,83	2306,85	1129,56	YJR104C	-2	--	--	196,58	96,48	290,58	234,42
YJR030C	--	--	--	15,55	15,58	16,28	11,43	YJR105W	--	--	--	52,58	57,42	64,37	64,68
YJR031C	--	--	--	10,59	14,20	12,66	13,74	YJR106W	--	--	--	5,82	5,12	5,17	5,70
YJR032W	--	--	--	8,14	9,09	9,61	10,10	YJR107W	--	+1,5	+1,8	7,01	9,71	10,86	12,84
YJR033C	--	--	--	14,12	16,74	13,25	12,83	YJR108W	--	--	--	4,64	4,17	4,23	4,32
YJR034W	--	--	--	5,41	4,99	6,66	6,23	YJR109C	--	--	--	5,52	4,44	4,27	4,46
YJR035W	--	--	--	7,82	8,56	8,53	7,32	YJR110W	--	--	--	6,38	7,34	7,13	6,39
YJR036C	--	--	--	5,85	4,91	4,76	4,85	YJR111C	--	--	--	6,69	6,72	6,76	6,36
YJR037W	--	--	--	5,13	4,19	4,24	4,07	YJR112W	+1,7	+1,6	+1,7	5,30	8,76	8,29	9,08
YJR038C	--	--	--	4,38	4,97	4,01	4,41	YJR113C	--	--	--	13,10	15,53	16,17	15,17
YJR039W	--	--	--	6,47	6,09	4,58	5,20	YJR114W	--	--	--	8,06	9,35	8,33	7,99
YJR040W	--	--	--	11,34	10,68	8,50	8,36	YJR115W	--	+1,6	--	18,95	22,21	29,41	27,06
YJR041C	--	--	--	7,99	8,13	6,47	6,52	YJR116W	--	--	--	12,27	8,73	10,31	10,33
YJR042W	--	--	--	4,29	4,75	3,84	3,77	YJR117W	--	--	--	14,07	12,70	11,83	11,23
YJR043C	--	--	--	8,02	8,39	7,16	7,52	YJR118C	--	--	--	7,93	7,73	8,68	7,97
YJR044C	--	+1,5	--	13,39	13,39	20,39	14,02	YJR119C	--	--	--	4,24	5,49	4,77	5,03
YJR045C	+1,6	--	--	112,29	177,17	88,76	105,90	YJR120W	--	--	--	8,60	6,07	6,50	8,03
YJR046W	--	--	--	12,20	17,81	12,79	14,70	YJR121W	-1,6	--	--	58,69	36,32	48,94	51,34
YJR047C	+1,7	+1,7	--	157,79	269,31	264,90	227,39	YJR122W	--	--	--	7,01	9,72	9,59	9,04
YJR048W	+1,8	+1,5	+2,4	7,22	12,87	11,16	17,10	YJR123W	--	--	--	237,82	201,69	194,27	240,24
YJR049C	--	--	--	13,97	15,14	9,78	13,21	YJR124C	--	--	--	8,04	11,01	7,46	9,09
YJR050W	--	--	--	8,10	9,28	8,23	7,98	YJR125C	--	--	--	17,13	21,97	15,90	18,72
YJR051W	--	--	--	10,36	9,41	9,06	10,12	YJR126C	--	-1,5	-1,6	14,15	11,07	9,37	8,92
YJR052W	--	--	--	9,37	10,25	7,09	9,30	YJR127C	--	--	--	14,81	21,72	17,48	17,81
YJR053W	--	--	--	5,72	6,56	4,75	5,69	YJR128W	--	--	--	4,39	3,87	3,85	3,88
YJR054W	--	--	--	7,54	9,58	9,35	9,95	YJR129C	--	--	--	5,18	5,47	5,73	5,89
YJR055W	--	--	--	4,83	5,48	4,99	6,20	YJR130C	--	--	--	11,70	10,95	7,90	9,08
YJR056C	--	--	--	6,22	7,32	7,67	6,89	YJR131W	--	--	--	9,38	7,15	8,36	8,75
YJR057W	--	--	--	8,00	8,54	10,83	9,89	YJR132W	--	--	--	9,13	13,41	10,73	12,01
YJR058C	--	+1,6	--	8,87	10,68	14,26	13,04	YJR133W	--	--	--	8,46	11,17	11,49	11,92
YJR059W	--	--	--	13,03	13,28	10,11	10,45	YJR134C	--	--	--	8,07	8,57	7,64	8,61
YJR060W	+1,8	--	+1,5	7,34	13,02	10,40	11,34	YJR135C	--	--	--	5,55	5,82	5,89	6,19
YJR061W	+2,1	+1,8	+1,5	5,09	10,67	8,98	7,78	YJR136C	--	--	--	5,55	7,86	5,15	6,04
YJR062C	--	--	--	5,79	5,99	4,40	5,43	YJR137C	--	--	--	4,42	5,04	3,86	4,95
YJR063W	+1,6	--	--	8,08	12,64	11,80	11,70	YJR138W	--	--	--	5,85	5,33	4,45	4,70
YJR064W	+1,5	--	--	31,26	48,03	46,45	35,43	YJR139C	--	--	--	75,76	95,40	85,19	83,53
YJR065C	--	--	-1,8	26,85	25,10	30,59	14,93	YJR140C	--	--	--	13,24	19,09	15,56	15,15
YJR066W	--	+1,8	--	19,38	27,97	35,30	22,04	YJR141W	--	--	--	5,61	6,97	6,59	7,39
YJR067C	--	--	--	6,70	6,53	9,66	8,32	YJR142W	--	--	--	8,90	8,38	10,26	10,13
YJR068W	--	--	--	13,43	12,78	15,38	12,70	YJR143C	--	--	--	9,92	8,93	6,92	9,72
YJR069C	--	+1,6	--	10,30	9,15	16,18	12,77	YJR144W	--	--	+1,6	18,16	24,40	26,24	29,70
YJR070C	--	--	--	46,44	39,25	54,86	36,07	YJR145C	--	-5,6	--	329,31	352,96	59,18	379,98
YJR071W	--	--	--	12,43	15,01	16,41	13,23	YJR146W	--	--	--	7,95	8,16	7,13	7,96
YJR072C	-1,6	--	--	23,77	15,03	30,10	20,79	YJR147W	--	--	--	10,38	11,09	7,91	9,37
YJR073C	--	--	--	15,34	10,92	19,74	15,95	YJR148W	+1,9	+1,5	+1,6	37,96	70,65	57,85	60,52
YJR074W	--	+1,9	--	9,70	9,78	18,07	13,71	YJR149W	+2,2	--	--	4,98	11,18	7,01	5,91
YJR075W	--	--	--	17,79	12,64	14,76	13,42	YJR150C	--	--	--	4,69	4,87	3,30	3,88
YJR076C	--	+1,7	--	15,95	19,21	27,09	14,16	YJR151C	--	--	--	5,40	6,52	4,76	5,95
YJR077C	--	--	--	30,32	35,82	30,28	31,60	YJR152W	--	--	--	4,81	5,49	6,17	6,30
YJR078W	--	--	--	3,64	3,97	3,94	4,33	YJR153W	--	--	--	5,25	5,95	5,98	5,97
YJR079W	--	--	--	3,41	3,77	3,60	3,83	YJR154W	--	--	--	4,63	4,61	4,62	4,71
YJR080C	--	--	-1,7	10,25	8,30	10,26	5,89	YJR155W	--	--	--	10,38	12,22	12,06	13,09
YJR082C	--	--	--	5,77	5,23	7,38	7,28	YJR156C	--	--	--	6,35	5,69	8,26	6,89
YJR083C	-1,7	--	--	7,63	4,61	8,72	7,53	YJR157W	--	--	--	3,77	4,43	3,91	4,52
YJR084W	--	--	--	6,62	5,68	6,69	6,29	YJR158W	--	--	--	6,71	7,28	5,03	5,80
YJR085C	--	+1,8	--	11,70	10,78	20,92	17,43	YJR159W	--	--	--	4,67	5,74	4,44	4,43
YJR086W	--	+1,6	--	7,13	8,81	11,58	7,98	YJR160C	--	--	--	4,51	4,68	4,52	5,04
YJR087W	--	+1,6	--	10,15	11,32	16,03	13,15	YJR161C	--	--	--	25,78	23,18	21,76	18,54
YJR088C	--	--	--	11,50	11,50	12,57	8,82	YJR162C	+2,2	--	--	12,84	28,71	19,23	18,84
YJR089W	--	--	--	4,31	5,21	4,47	4,15	YKL001C	--	--	--	4,08	4,61	4,89	4,35
YJR090C	--	--	--	7,82	8,20	6,40	7,19	YKL002W	--	--	--	15,92	13,19	21,88	16,85
YJR091C	-1,5	--	-1,5	9,72	6,32	6,71	6,36	YKL003C	--	+1,8	--	8,78	9,64	15,55	11,46
YJR092W	--	--	--	3,75	3,81	3,80	4,27	YKL004W	--	--	--	13,20	13,19	16,08	9,92
YJR093C	--	--	--	9,99	7,43	8,22	8,77	YKL005C	--	--	--	11,26	12,05	13,79	9,65
YJR094C	--	--	--	4,66	4,03	4,40	4,55	YKL006B	--	+2,1	+1,6	9,16	12,57	19,55	15,04
YJR095W	--	--	--	3,71	3,65	3,46	3,77	YKL006W	-2,1	--	--	164,27	80,00	203,88	136,26
YJR096W	--	--	--	7,38	5,71	10,16	7,28	YKL007W	--	+1,7	--	29,07	22,99	48,36	27,50
YJR097W	--	--	--	5,22	5,24	6,05	5,52	YKL008C	--	--	--	14,31	11,24	16,21	11,82
YJR098C	--	--	--	6,05	6,25	5,66	5,73	YKL009W	--	--	--	36,28	34,65	42,68	34,87
YJR099W	--	--	--	9,93	12,34	11,10	13,40	YKL010C	--	--	--	4,11	4,34	4,48	4,08
YJR100C	--	+1,7	--	9,85	12,78	16,77	14,52	YKL011C	--	--	--	6,33	8,29	8,51	6,88
YJR101W	--	--	--	3,64	3,57	3,73	4,16	YKL012W	--	--	--	10,39	8,68	8,79	7,78

ORF	Änderungsfaktor			Normalisierte Signalintensität				ORF	Änderungsfaktor			Normalisierte Signalintensität			
	10	20	30	0	10	20	30		10	20	30	0	10	20	30
YKL013C	--	+1,6	--	16,73	16,02	26,22	19,05	YKL087C	--	--	--	8,36	10,09	11,03	9,91
YKL014C	--	--	--	9,95	11,41	10,50	9,25	YKL088W	--	--	--	8,28	7,62	6,55	7,56
YKL015W	--	--	-1,7	9,20	7,39	9,47	5,45	YKL089W	--	--	--	5,69	6,65	6,58	7,30
YKL016C	--	--	--	18,41	15,54	26,79	19,30	YKL090W	--	--	--	5,47	6,40	6,78	6,84
YKL017C	--	--	--	5,04	3,98	4,49	4,75	YKL091C	--	--	--	8,75	9,98	12,10	9,60
YKL018W	-1,7	--	--	8,46	4,98	9,03	8,01	YKL092C	--	--	--	4,34	4,55	4,05	4,19
YKL019W	--	+1,5	--	14,82	13,61	22,88	15,61	YKL093W	--	--	--	5,90	6,88	5,49	6,05
YKL020C	--	--	--	13,81	10,74	12,49	10,28	YKL094W	--	--	--	18,89	20,62	27,30	21,14
YKL021C	--	--	--	8,20	6,20	6,91	7,34	YKL095W	--	--	--	4,57	4,53	4,26	3,78
YKL022C	--	--	--	6,31	6,58	7,70	6,89	YKL096W	--	+2,7	+2,2	64,40	90,47	175,28	141,05
YKL023W	--	--	--	8,17	8,14	8,44	6,66	YKL097C	--	--	--	3,46	3,45	3,62	3,44
YKL024C	--	--	--	21,67	19,30	20,76	18,93	YKL097W	--	+2,6	+2,3	172,68	237,56	450,28	397,33
YKL025C	--	--	--	12,49	12,69	12,05	12,53	YKL098W	--	--	--	8,07	6,47	7,97	6,82
YKL026C	--	--	--	4,65	4,17	4,21	4,36	YKL099C	--	+1,6	--	10,70	13,08	17,44	14,07
YKL027W	--	--	--	16,06	11,64	16,44	18,20	YKL100C	--	--	--	19,40	15,74	19,04	13,14
YKL028W	--	--	--	10,63	9,27	10,02	12,12	YKL101W	--	+1,9	--	16,22	21,23	31,41	15,35
YKL029C	-2,9	-1,8	--	13,37	4,68	7,56	12,39	YKL102C	--	--	--	3,25	3,47	3,53	3,51
YKL030W	-3,2	--	--	24,49	7,64	28,76	34,51	YKL103C	--	+2,5	+1,6	29,14	31,97	73,59	46,29
YKL031W	--	--	--	4,01	3,69	4,10	3,79	YKL104C	--	--	--	14,94	12,94	15,17	14,55
YKL032C	--	--	--	50,44	51,17	54,24	56,64	YKL105C	--	--	--	6,14	5,38	5,52	5,38
YKL033W	--	--	--	8,54	9,65	7,35	8,14	YKL106W	+1,8	+1,8	+1,6	5,55	10,23	9,79	8,95
YKL034W	--	--	--	7,30	8,33	5,95	6,10	YKL107W	--	--	--	3,98	3,88	3,88	3,88
YKL035W	--	--	--	33,21	29,02	39,86	32,46	YKL108W	--	--	--	4,99	5,37	5,94	5,90
YKL036C	--	--	--	8,09	6,43	6,97	6,69	YKL109W	-2	-2,6	-2,4	29,94	15,02	11,61	12,45
YKL037W	--	--	--	6,59	6,60	6,48	7,03	YKL110C	--	--	--	10,72	11,07	11,19	11,74
YKL038W	-1,9	--	--	12,12	6,55	8,80	10,49	YKL111C	+1,6	+1,7	+1,6	5,75	9,39	9,88	9,28
YKL039W	-1,8	--	--	17,06	9,45	13,82	15,14	YKL112W	--	--	--	7,86	10,46	11,34	9,45
YKL040C	--	--	--	14,79	14,25	20,21	16,40	YKL113C	--	--	--	6,27	6,19	8,32	7,75
YKL041W	--	--	--	10,23	7,58	12,56	11,60	YKL114C	--	+1,6	--	10,76	12,18	17,75	12,17
YKL042W	--	--	--	3,70	3,84	3,61	3,68	YKL115C	--	--	--	3,92	3,57	4,15	3,76
YKL043W	+1,6	--	--	11,02	17,87	9,27	8,86	YKL116C	--	--	--	4,93	4,23	4,42	4,36
YKL044W	--	--	--	6,77	6,60	5,81	6,00	YKL117W	--	+1,7	--	101,28	121,72	168,35	111,87
YKL045W	--	--	--	5,56	5,36	5,07	5,81	YKL118W	--	--	--	3,62	4,24	3,81	3,86
YKL046C	--	--	--	26,96	25,34	19,75	19,04	YKL119C	--	--	--	4,42	5,36	5,64	5,47
YKL047W	--	--	--	6,98	7,31	6,59	7,61	YKL120W	--	--	--	10,36	12,29	15,44	13,05
YKL048C	--	--	--	18,57	24,53	16,49	14,75	YKL121W	--	--	--	5,13	4,92	5,52	5,36
YKL049C	--	--	--	26,14	22,62	29,37	25,47	YKL122C	--	--	--	13,96	14,08	19,49	17,23
YKL050C	--	--	--	4,95	4,80	4,69	4,82	YKL123W	--	--	--	4,40	4,54	4,34	4,24
YKL051W	--	--	--	13,68	15,99	18,99	15,29	YKL124W	--	--	--	12,19	9,94	10,19	11,11
YKL052C	--	--	--	8,93	11,29	12,59	12,54	YKL125W	+1,5	+1,9	+1,6	5,65	8,73	10,97	8,96
YKL053W	--	--	--	8,70	10,14	11,56	12,70	YKL126W	-3,3	--	-1,7	14,05	4,28	9,78	8,43
YKL054C	+1,7	--	--	11,72	19,92	14,75	17,49	YKL127W	-2,5	--	--	13,87	5,57	11,73	10,42
YKL055C	--	--	--	3,73	5,09	3,79	3,85	YKL128C	--	--	--	18,81	17,30	19,24	17,25
YKL056C	--	--	--	139,65	157,52	169,35	126,81	YKL129C	--	--	--	5,01	4,87	5,11	4,96
YKL057C	--	--	--	7,66	8,76	7,06	8,27	YKL130C	--	--	--	6,51	8,27	7,76	8,43
YKL058W	--	--	--	9,75	11,21	9,84	9,08	YKL131W	--	--	--	3,83	3,51	3,24	3,65
YKL059C	--	--	--	10,51	9,93	7,50	11,65	YKL132C	--	--	--	9,38	6,95	8,54	8,07
YKL060C	--	--	-1,6	965,70	846,52	645,97	613,68	YKL133C	--	--	--	6,70	4,48	7,33	7,79
YKL061W	--	--	--	7,67	5,89	7,44	6,43	YKL134C	-2	--	--	10,15	4,97	10,50	9,28
YKL062W	-1,8	-2	-1,8	10,87	6,04	5,52	6,18	YKL135C	-1,8	--	--	6,45	3,60	5,42	5,87
YKL063C	--	+1,6	--	16,03	16,96	25,43	15,64	YKL136W	--	--	--	5,82	5,41	6,42	6,36
YKL064W	--	--	--	6,05	5,06	4,93	4,98	YKL137W	--	+1,7	--	6,91	7,46	11,71	9,38
YKL065C	--	+1,6	--	22,15	20,78	35,85	22,47	YKL138C	--	--	--	6,37	6,24	9,23	8,38
YKL066W	--	--	--	4,42	4,24	4,08	4,67	YKL139W	--	--	--	5,18	6,02	7,09	6,63
YKL067W	--	--	--	18,56	14,86	26,21	23,92	YKL140W	--	--	--	7,49	6,27	7,30	6,95
YKL068W	--	--	--	4,42	6,31	5,75	5,76	YKL141W	--	--	--	13,78	14,26	20,24	16,37
YKL069W	--	+1,7	+1,6	6,53	7,66	10,94	10,38	YKL142W	--	--	--	38,52	44,61	42,83	44,68
YKL070W	--	--	--	4,33	5,19	4,09	4,52	YKL143W	--	--	--	10,35	9,82	8,45	12,66
YKL071W	--	--	--	7,43	7,89	5,37	6,01	YKL144C	--	--	--	24,71	21,09	23,56	22,73
YKL072W	--	--	--	6,75	7,64	5,91	6,46	YKL145W	--	--	--	39,08	49,22	42,67	51,84
YKL073W	--	--	--	8,25	8,13	6,98	6,81	YKL146W	--	--	--	13,63	14,50	15,04	15,12
YKL074C	--	--	--	6,67	6,61	6,73	7,24	YKL147C	--	--	--	5,68	5,96	4,67	5,49
YKL075C	--	--	--	6,97	9,63	9,00	9,54	YKL148C	-1,9	-1,9	-1,6	12,54	6,46	6,45	7,70
YKL076C	--	+2	+1,7	6,62	9,30	13,01	10,97	YKL149C	--	--	--	6,66	6,57	7,07	7,64
YKL077W	--	--	--	17,58	13,68	15,70	19,88	YKL150W	--	--	--	17,84	17,32	22,51	21,51
YKL078W	--	--	--	6,12	6,38	5,38	6,50	YKL151C	--	+1,7	--	9,74	9,35	16,25	11,63
YKL079W	--	-1,7	--	6,40	6,49	3,76	6,55	YKL152C	--	--	--	340,37	375,17	378,21	314,90
YKL080W	--	--	--	11,28	11,71	7,78	10,96	YKL153W	--	--	--	495,60	550,60	724,21	626,65
YKL081W	--	--	--	117,41	111,13	79,71	81,94	YKL154W	--	--	--	15,29	22,53	19,03	20,49
YKL082C	+1,6	--	--	12,35	19,23	13,50	16,15	YKL155C	--	--	--	16,97	17,29	15,46	16,01
YKL083W	--	-1,8	--	20,13	26,01	10,90	15,06	YKL156W	+1,6	+1,7	--	53,64	85,84	89,86	71,59
YKL084W	--	--	--	6,53	6,12	5,32	5,36	YKL157W	--	--	--	14,23	15,35	10,73	11,86
YKL085W	--	--	--	73,26	57,60	92,27	76,89	YKL158W	--	--	--	4,81	4,23	4,05	4,63
YKL086W	--	--	--	4,16	3,82	4,31	4,33	YKL159C	--	--	--	5,93	5,22	6,89	6,16

ORF	Änderungsfaktor			Normalisierte Signalintensität				ORF	Änderungsfaktor			Normalisierte Signalintensität				
	10	20	30	0	10	20	30		10	20	30	0	10	20	30	
YKL160W	--	--	--	18,76	17,87	25,82	22,06	YKR009C	--	--	--	5,12	4,06	4,86	4,68	
YKL161C	--	--	--	9,36	6,84	9,17	9,33	YKR010C	--	--	--	7,73	9,26	9,60	9,92	
YKL162C	--	--	--	5,04	4,50	4,59	4,72	YKR011C	--	--	--	13,94	14,53	14,40	11,24	
YKL163W	--	--	--	232,90	206,58	195,33	219,64	YKR012C	--	--	--	7,97	7,89	8,65	9,11	
YKL164C	--	--	--	265,80	263,43	241,65	273,56	YKR013W	--	--	+1,6	22,86	24,67	26,01	36,91	
YKL165C	--	--	--	8,18	10,86	9,62	10,97	YKR014C	--	--	--	23,58	21,44	23,01	23,47	
YKL166C	--	--	--	5,97	8,12	5,77	6,72	YKR015C	--	--	--	5,46	6,02	5,48	5,83	
YKL167C	--	--	--	7,30	7,52	7,80	7,85	YKR016W	--	--	--	17,13	15,08	16,04	17,38	
YKL168C	--	--	--	9,47	8,67	6,86	8,46	YKR017C	--	--	--	6,89	5,13	5,56	5,58	
YKL169C	--	--	--	8,16	7,55	8,05	7,68	YKR018C	--	--	--	17,35	15,73	13,34	18,47	
YKL170W	--	--	--	10,61	7,62	8,62	9,12	YKR019C	--	--	--	6,53	5,96	5,23	6,33	
YKL171W	--	--	--	5,98	6,04	5,31	6,36	YKR020W	--	--	--	8,95	7,14	8,48	9,45	
YKL172W	--	--	--	38,35	38,86	33,11	33,88	YKR021W	--	--	--	5,21	5,09	5,10	5,51	
YKL173W	--	--	--	11,41	10,28	10,14	11,37	YKR022C	--	--	--	9,00	9,98	9,65	9,04	
YKL174C	--	--	--	8,24	8,35	7,64	7,49	YKR023W	--	--	--	9,94	10,15	7,79	9,75	
YKL175W	--	-2	--	18,68	18,01	9,30	17,74	YKR024C	--	--	--	73,14	99,16	71,92	80,62	
YKL176C	--	--	--	9,14	10,61	7,21	10,97	YKR025W	--	--	--	14,97	17,81	18,09	19,36	
YKL177W	--	--	--	3,32	3,63	3,35	3,54	YKR026C	--	--	--	101,76	123,95	104,94	81,95	
YKL178C	--	--	--	3,99	4,98	3,25	3,82	YKR027W	--	--	--	6,03	6,95	5,23	6,28	
YKL179C	--	-1,9	--	10,11	8,13	5,35	6,82	YKR028W	--	--	--	25,07	32,11	19,47	22,18	
YKL180W	--	--	--	293,90	275,12	240,50	310,12	YKR029C	--	--	--	5,78	6,43	5,91	5,94	
YKL181W	--	--	--	39,92	48,21	33,26	38,76	YKR030W	--	--	--	10,44	10,44	10,89	9,72	
YKL182W	--	--	--	3,60	3,48	3,65	3,90	YKR031C	--	--	--	3,95	3,68	3,35	3,87	
YKL183W	--	--	--	5,35	4,78	4,85	5,06	YKR032W	--	--	--	5,36	4,89	5,68	5,16	
YKL184W	--	--	--	17,79	17,12	12,39	13,12	YKR033C	--	--	--	4,23	3,69	3,85	3,96	
YKL185W	--	--	--	28,93	24,55	19,69	24,99	YKR034W	--	--	--	3,75	4,07	4,07	3,90	
YKL186C	--	+1,6	--	31,25	25,95	49,50	33,63	YKR035C	--	--	--	10,56	13,96	11,81	13,06	
YKL187C	--	--	--	5,52	5,66	4,73	5,31	YKR036C	--	--	--	5,83	7,76	5,43	6,35	
YKL188C	--	--	--	6,00	5,66	4,62	5,54	YKR037C	--	--	--	9,89	12,03	9,60	10,71	
YKL189W	--	--	--	7,09	7,14	5,81	6,16	YKR038C	--	+1,5	--	12,22	18,57	14,88	14,17	
YKL190W	--	+1,9	--	19,43	21,88	37,37	25,24	YKR039W	--	--	--	5,14	6,91	6,25	5,17	
YKL191W	--	--	--	10,68	12,77	13,51	12,52	YKR040C	--	--	--	8,57	10,88	9,63	7,88	
YKL192C	--	+2,1	--	32,54	39,26	67,01	48,41	YKR041W	--	--	--	4,69	5,44	4,80	5,32	
YKL193C	--	--	--	12,99	9,28	15,07	9,07	YKR042W	--	--	+1,5	82,43	122,76	114,06	124,36	
YKL194C	--	--	--	3,62	3,31	3,66	3,33	YKR043C	--	--	--	24,71	20,53	18,74	24,15	
YKL195W	--	--	--	3,41	2,98	3,49	3,22	YKR044W	--	--	--	9,74	11,88	11,26	11,07	
YKL196C	--	+1,6	--	26,87	28,53	43,69	23,60	YKR045C	--	--	+1,6	10,67	14,89	8,18	16,66	
YKL197C	--	--	--	6,00	4,91	5,63	5,09	YKR046C	--	--	--	17,27	20,12	14,58	22,11	
YKL198C	--	--	--	6,30	5,51	5,06	4,49	YKR047W	--	+2,2	+1,6	28,61	41,17	63,99	45,05	
YKL199C	--	--	--	7,16	8,42	8,57	6,73	YKR048C	--	--	--	34,15	42,72	30,61	39,76	
YKL200C	--	--	--	6,09	5,73	5,19	5,09	YKR049C	--	--	--	22,83	19,55	17,04	18,38	
YKL201C	--	--	--	4,04	3,30	3,42	3,27	YKR050W	--	--	--	4,99	6,02	4,72	4,95	
YKL202W	--	--	--	3,65	3,76	3,80	3,64	YKR051W	--	--	--	13,01	12,37	10,93	9,98	
YKL203C	--	--	--	3,68	3,39	3,34	3,64	YKR052C	--	-2,3	-1,6	12,16	9,73	5,23	7,58	
YKL204W	--	--	--	4,18	4,30	4,40	4,29	YKR053C	--	--	--	8,24	11,21	8,02	7,75	
YKL205W	--	+1,7	--	14,44	17,99	24,12	17,99	YKR054C	--	--	--	3,48	3,39	3,67	3,82	
YKL206C	--	--	--	7,57	7,44	9,98	6,83	YKR055W	--	--	--	4,87	6,51	5,57	6,41	
YKL207W	--	--	--	17,80	15,43	19,25	16,54	YKR056W	--	--	--	8,42	10,64	9,17	11,56	
YKL208W	--	-1,5	--	6,80	4,45	7,34	6,32	YKR057W	--	+1,8	+1,6	129,75	121,88	236,82	201,92	
YKL209C	--	--	--	4,04	3,89	3,75	3,42	YKR058W	--	-2,7	-3,6	-3,3	24,40	9,19	6,82	7,32
YKL210W	--	--	--	12,14	14,97	14,79	12,87	YKR059W	--	--	-2,5	239,17	188,92	94,26	173,41	
YKL211C	--	--	--	16,67	12,42	14,99	12,50	YKR060W	--	+1,5	--	7,16	11,01	7,64	7,50	
YKL212W	--	--	--	17,24	15,55	15,04	13,40	YKR061W	--	--	--	8,45	6,95	9,79	7,45	
YKL213C	--	--	--	22,09	17,52	22,61	19,45	YKR062W	--	--	--	11,65	10,35	16,07	10,06	
YKL214C	--	--	--	8,80	8,24	8,64	6,85	YKR063C	--	+1,6	--	10,53	13,00	16,53	13,07	
YKL215C	--	+1,6	--	7,99	9,27	13,03	10,58	YKR064W	--	--	--	4,22	4,25	4,68	4,09	
YKL216W	--	-1,8	-3,2	-3,1	197,11	111,80	61,38	63,72	YKR065C	--	+1,9	--	13,98	15,34	26,00	19,51
YKL217W	--	--	--	6,08	4,76	5,10	5,41	YKR066C	--	+1,9	--	22,38	29,23	43,53	32,13	
YKL218C	--	-2,5	-2	-1,8	17,00	6,93	8,69	9,22	YKR067W	--	--	--	8,23	7,80	9,79	7,84
YKL219W	--	--	--	5,76	5,61	6,46	6,10	YKR068C	--	--	--	7,88	6,82	10,50	8,81	
YKL220C	--	--	--	5,25	4,84	4,27	4,50	YKR069W	--	--	--	5,20	4,67	5,98	5,00	
YKL221W	--	--	--	3,78	3,36	4,57	4,30	YKR070W	--	+1,8	--	11,93	11,83	21,43	14,85	
YKL222C	--	-1,5	--	5,76	3,80	5,84	5,61	YKR071C	--	--	--	16,84	18,15	21,72	18,55	
YKL223W	--	--	--	4,70	3,79	4,31	4,47	YKR072C	--	--	-1,6	32,97	22,54	27,07	20,62	
YKL224C	--	--	--	7,78	7,66	7,83	7,95	YKR073C	--	--	--	4,04	4,57	4,01	3,98	
YKL225W	--	--	--	4,31	4,25	3,97	4,14	YKR074W	--	--	--	19,83	16,95	29,00	20,63	
YKR001C	--	--	--	23,52	20,19	18,98	19,93	YKR075C	--	-2,8	-2,9	-2,6	16,49	5,94	5,78	6,27
YKR002W	--	--	--	16,24	13,18	15,63	16,99	YKR076W	--	+1,7	--	7,50	9,56	12,71	9,66	
YKR003W	--	--	--	9,63	10,38	9,85	11,02	YKR077W	--	--	--	5,44	5,22	8,13	4,45	
YKR004C	--	--	--	33,39	23,26	36,31	36,04	YKR078W	--	--	--	6,46	5,85	8,16	6,72	
YKR005C	--	--	--	4,12	4,02	3,94	4,74	YKR079C	--	+1,5	--	20,07	21,14	30,69	21,37	
YKR006C	--	-2,7	--	11,29	4,11	13,85	12,52	YKR080W	--	-3,3	-2,4	-2,3	41,56	12,70	17,06	18,09
YKR007W	--	--	--	16,52	14,33	19,82	18,48	YKR081C	--	--	--	16,24	12,13	18,38	16,76	
YKR008W	--	--	--	9,44	9,54	9,14	8,72	YKR082W	--	+2	--	10,02	12,50	19,75	9,91	

ORF	Änderungsfaktor			Normalisierte Signalintensität				ORF	Änderungsfaktor			Normalisierte Signalintensität			
	10	20	30	0	10	20	30		10	20	30	0	10	20	30
YKR083C	--	--	--	5,91	5,27	6,49	6,05	YLL050c	--	-1,6	--	16,73	17,06	10,20	11,90
YKR084C	--	--	--	12,17	9,29	11,13	11,04	YLL051C	--	--	--	19,92	19,66	15,33	13,89
YKR085C	--	--	--	8,42	10,72	11,57	7,47	YLL052C	+1,8	+2,4	+1,8	98,02	172,85	232,66	172,00
YKR086W	--	--	--	12,67	15,76	16,21	16,84	YLL053C	--	--	--	9,48	11,70	9,45	9,32
YKR087C	--	--	--	9,04	9,10	9,88	9,16	YLL054C	--	--	--	3,43	3,64	3,30	3,50
YKR088C	--	--	--	16,47	11,95	13,27	11,02	YLL055W	--	--	--	5,32	4,87	4,07	5,27
YKR089C	--	--	--	32,88	32,07	37,83	30,65	YLL056C	--	--	--	16,43	19,97	23,40	18,39
YKR090W	--	--	--	6,69	5,15	7,13	7,27	YLL057C	--	--	--	8,50	9,91	11,26	10,01
YKR091W	-5,3	-1,5	-1,6	20,25	3,84	13,07	12,65	YLL058W	--	+1,9	--	115,86	154,65	217,25	154,25
YKR092C	--	--	--	24,51	23,28	22,90	27,82	YLL059C	--	--	--	5,28	4,60	4,02	4,54
YKR093W	+3,4	+2,8	+2,3	10,58	35,50	29,70	24,86	YLL060C	--	--	--	8,31	9,97	7,53	8,57
YKR094C	--	--	--	252,07	207,78	296,88	245,32	YLL061W	--	--	--	15,39	19,98	16,10	19,94
YKR095W	--	--	--	4,86	4,29	4,12	4,18	YLL062C	--	--	--	21,70	22,17	20,67	18,08
YKR096W	--	--	--	3,99	3,88	3,70	4,00	YLL063C	--	--	--	5,24	6,55	5,58	5,39
YKR097W	--	--	--	4,61	5,61	5,05	5,12	YLL064C	--	--	--	9,79	10,28	10,46	10,01
YKR098C	--	--	--	7,06	5,82	5,10	5,85	YLL065W	--	--	--	4,80	5,34	4,68	4,53
YKR099W	--	--	--	9,20	10,08	9,39	10,48	YLL066C	--	--	--	4,03	4,52	3,96	4,25
YKR100C	--	--	--	11,08	9,50	8,86	10,92	YLL067C	--	--	--	4,36	3,91	3,99	4,19
YKR101W	--	--	--	9,00	9,86	11,74	11,93	YLR001C	--	--	--	20,32	21,11	21,89	20,99
YKR102W	--	--	--	4,47	4,82	5,01	5,24	YLR002C	--	--	--	12,87	15,98	13,46	16,01
YKR103W	--	--	--	3,79	3,63	4,15	4,05	YLR003C	--	+1,7	--	13,22	18,40	22,47	17,75
YKR104W	--	--	--	3,97	3,69	4,70	4,21	YLR004C	--	--	--	7,82	10,69	9,45	9,61
YKR105C	--	--	--	6,12	7,26	8,72	7,89	YLR005w	+2	--	--	8,32	16,91	8,85	11,56
YKR106W	--	--	--	4,59	4,90	4,91	5,12	YLR006c	--	-2	--	14,38	12,29	7,12	10,61
YL16A;_	--	--	--	4,15	4,16	3,35	4,25	YLR007W	+1,8	+1,9	+1,6	11,21	19,80	21,22	18,16
YLL001w	--	--	--	11,71	13,28	17,51	8,40	YLR008C	--	--	--	4,37	4,28	4,12	4,07
YLL002W	--	--	--	4,56	5,04	5,72	4,78	YLR009W	--	--	--	17,85	20,74	20,01	20,55
YLL003w	--	--	--	6,85	8,83	9,50	7,73	YLR010C	--	--	--	4,71	6,09	6,14	6,32
YLL004w	--	--	--	4,80	5,41	5,65	5,75	YLR011W	--	--	--	6,97	6,89	7,31	7,98
YLL005C	--	--	--	5,18	5,99	7,59	5,61	YLR012C	--	--	--	9,66	7,98	9,22	9,65
YLL006w	--	--	--	6,80	4,84	7,15	6,62	YLR013W	--	--	--	4,14	3,88	3,89	4,26
YLL007C	--	--	--	9,30	7,49	11,18	10,14	YLR014c	--	--	--	5,41	7,49	5,04	7,67
YLL008w	--	--	--	10,02	10,92	12,39	11,75	YLR015W	--	-1,8	--	8,12	10,60	4,42	10,92
YLL009c	--	+2,3	+1,7	7,58	7,04	17,57	13,06	YLR016C	--	--	--	7,91	9,00	8,45	10,27
YLL010C	--	--	--	8,73	7,69	9,29	7,82	YLR017W	--	--	--	8,07	11,89	8,64	11,51
YLL011w	--	+1,7	--	6,76	9,07	11,24	10,12	YLR018C	--	--	--	116,76	174,26	114,46	93,31
YLL012W	--	--	--	5,94	7,07	8,15	6,58	YLR019W	--	--	--	11,72	13,10	10,40	10,30
YLL013C	--	-2,2	--	17,46	23,15	7,95	20,80	YLR020C	--	--	--	4,63	4,41	4,03	4,38
YLL014W	--	--	--	4,36	4,48	5,26	5,01	YLR021W	--	+1,6	--	7,66	9,55	12,55	10,39
YLL015W	--	--	--	8,89	8,62	8,94	7,60	YLR022C	--	+1,7	+1,6	10,67	15,95	17,83	16,90
YLL016w	--	--	--	5,20	4,89	5,81	4,21	YLR023C	--	--	--	11,85	14,59	14,08	13,17
YLL017W	--	--	--	4,34	4,26	5,66	4,20	YLR024C	--	--	--	14,59	15,79	18,76	19,52
YLL018c	-3,7	-1,6	-1,5	54,56	14,69	34,90	36,15	YLR025w	--	--	--	7,25	7,99	8,10	8,17
YLL019c	--	--	--	6,23	5,08	5,27	5,15	YLR026c	--	--	--	9,14	9,90	10,13	10,13
YLL020C	--	--	--	4,40	3,98	5,39	5,28	YLR027c	--	+1,7	+1,6	36,99	41,95	62,13	57,64
YLL021w	--	--	--	10,24	11,33	13,60	11,95	YLR028C	--	--	--	23,94	26,53	18,65	25,50
YLL022C	--	--	--	9,66	10,31	13,48	11,62	YLR029c	--	--	-1,6	201,33	138,92	148,73	126,80
YLL023C	--	--	--	19,97	15,11	25,70	16,55	YLR030W	--	--	--	3,94	4,41	5,21	4,21
YLL024c	--	--	--	252,19	333,91	283,75	284,35	YLR031W	--	+1,6	+1,5	4,12	5,13	6,46	6,19
YLL025W	--	--	--	8,54	8,51	11,81	8,83	YLR032w	--	--	--	3,20	3,13	3,39	3,25
YLL026w	+1,6	--	--	77,12	123,88	89,63	79,32	YLR033W	--	--	--	7,51	7,66	8,75	8,45
YLL027W	--	--	--	15,44	14,49	22,12	18,72	YLR034C	+1,5	--	--	9,34	14,28	10,36	8,43
YLL028W	--	--	--	9,74	8,73	11,22	11,33	YLR035C	--	--	--	7,89	7,31	10,08	8,08
YLL029W	--	--	--	15,94	15,26	12,03	15,10	YLR036C	--	--	--	4,71	4,69	5,88	4,78
YLL030C	--	--	--	3,00	3,35	3,19	3,45	YLR037C	--	--	--	6,49	5,37	8,13	6,54
YLL031C	-1,8	--	--	8,04	4,49	8,76	7,95	YLR038c	--	+1,6	--	11,44	12,39	18,54	16,22
YLL032C	+1,6	--	--	6,31	9,79	8,33	6,42	YLR039c	--	--	--	5,44	4,80	5,05	5,27
YLL033W	--	+1,5	--	5,18	6,54	8,00	6,89	YLR040C	--	--	--	4,09	3,96	3,90	4,01
YLL034C	--	--	--	6,93	9,07	6,82	8,00	YLR041W	--	--	--	4,24	3,45	3,60	3,76
YLL035W	+1,6	--	--	7,84	12,50	8,07	9,03	YLR042C	--	--	--	3,47	3,58	3,62	3,78
YLL036c	--	--	--	8,26	7,49	7,18	7,87	YLR043c	--	--	--	21,71	24,08	29,05	25,75
YLL037W	--	--	--	13,89	15,79	18,84	16,32	YLR044c	--	--	-3,3	598,65	407,08	438,60	179,98
YLL038C	--	--	--	6,37	5,70	5,56	6,34	YLR045c	--	--	--	5,87	6,77	5,74	6,17
YLL039c	--	--	+1,5	199,46	248,69	223,51	307,95	YLR046C	-1,8	--	--	8,64	4,72	12,39	10,14
YLL040C	--	--	--	6,37	4,84	5,53	6,06	YLR047C	--	--	--	4,48	3,93	3,99	3,86
YLL041c	-2,3	-1,5	--	10,62	4,63	7,04	7,67	YLR048w	--	--	--	208,61	175,82	207,45	173,63
YLL042C	--	--	--	4,25	4,13	4,51	4,65	YLR049C	--	+1,7	--	6,21	7,20	10,52	8,44
YLL043w	-1,7	--	--	10,74	6,47	10,33	9,96	YLR050C	--	--	--	5,01	5,91	6,92	6,88
YLL044W	--	--	--	175,44	119,47	144,58	156,45	YLR051C	--	--	--	7,71	8,70	11,15	8,92
YLL045c	--	--	--	375,33	251,84	333,67	379,87	YLR052W	--	--	--	10,01	9,72	10,41	7,89
YLL046c	--	--	--	3,85	3,78	3,74	4,05	YLR053C	--	--	--	3,43	4,53	4,42	4,16
YLL047W	--	--	--	4,19	4,32	4,09	3,94	YLR054C	--	--	--	4,88	4,31	4,27	4,39
YLL048C	--	--	--	6,59	6,67	5,18	5,79	YLR055c	--	--	--	12,97	17,58	11,73	17,71
YLL049W	--	--	--	11,71	14,75	14,52	16,74	YLR056w	--	--	--	43,36	29,96	35,43	46,10



ORF	Änderungsfaktor			Normalisierte Signalintensität				ORF	Änderungsfaktor			Normalisierte Signalintensität			
	10	20	30	0	10	20	30		10	20	30	0	10	20	30
YLR057W	--	--	--	5,41	6,01	5,70	5,52	YLR131c	--	--	--	3,38	3,21	3,46	3,23
YLR058c	-4,5	-3,9	-2,5	52,00	11,68	13,22	20,88	YLR132C	--	--	--	5,02	4,38	5,26	4,23
YLR059c	--	--	--	15,83	11,97	22,18	14,35	YLR133w	--	--	--	6,97	5,84	6,29	5,64
YLR060w	-4,1	--	--	26,70	6,49	25,06	21,29	YLR134w	--	--	--	381,43	288,36	284,08	295,65
YLR061W	-1,8	+1,5	--	127,40	69,88	195,57	148,35	YLR135W	--	--	--	4,28	4,76	4,81	4,37
YLR062C	--	+1,9	--	69,85	63,74	130,49	88,20	YLR136c	-1,6	-2,3	-2,4	9,55	5,90	4,20	4,03
YLR063W	--	--	--	4,01	4,46	4,83	4,76	YLR137W	+1,6	--	--	5,91	9,43	7,47	6,24
YLR064W	--	+1,7	+1,5	9,07	13,26	15,14	13,86	YLR138W	--	--	--	10,44	10,25	9,85	9,73
YLR065C	-1,7	--	--	21,00	12,25	18,38	21,09	YLR139c	--	--	--	6,67	6,11	5,76	4,92
YLR066W	--	--	--	18,96	14,16	18,15	17,72	YLR140W	--	--	--	4,74	5,27	6,89	5,58
YLR067c	--	--	--	3,74	3,80	3,85	4,14	YLR141w	--	--	--	5,32	5,60	5,80	5,87
YLR068W	--	--	--	8,36	7,05	8,33	7,68	YLR142w	-2,1	--	--	8,51	4,02	9,55	8,09
YLR069c	-2,2	--	--	10,73	4,87	9,43	10,13	YLR143W	--	--	--	7,87	6,69	8,21	5,75
YLR070C	--	--	--	6,14	5,26	6,70	6,24	YLR144C	--	--	--	8,25	8,72	10,62	8,31
YLR071c	--	--	--	6,40	6,40	6,25	5,84	YLR145W	--	+1,5	--	5,81	6,57	8,78	7,61
YLR072W	--	--	--	7,39	7,62	10,71	9,02	YLR146C	--	--	--	7,11	6,53	8,41	6,64
YLR073C	+1,7	+2	+2,1	6,69	11,62	13,58	14,09	YLR147c	--	--	--	6,73	5,92	7,61	6,18
YLR074C	--	+1,6	+1,6	11,49	15,35	18,18	18,66	YLR148w	--	--	--	9,16	8,29	8,01	7,80
YLR075w	--	--	--	103,99	103,10	109,73	95,85	YLR149C	-1,5	-1,6	-1,7	10,05	6,64	6,10	5,81
YLR076C	--	--	--	85,58	97,88	86,83	100,46	YLR150w	--	--	--	177,19	126,88	142,06	143,26
YLR077W	--	--	--	6,67	7,59	7,71	8,41	YLR151C	-1,6	--	--	8,95	5,49	6,88	7,92
YLR078c	--	--	--	14,36	16,97	19,38	20,06	YLR152C	--	--	--	6,15	4,87	4,59	4,70
YLR079w	--	--	--	13,81	17,79	16,18	17,96	YLR153c	--	--	--	40,03	31,49	34,90	39,98
YLR080W	--	--	+1,6	8,57	8,15	11,59	13,36	YLR154C	--	--	+1,5	6,18	7,17	9,20	9,33
YLR081w	--	-2	--	10,81	7,48	5,54	7,32	YLR155C	-2,3	--	--	33,97	14,79	24,06	28,06
YLR082C	--	--	--	4,34	4,68	4,54	4,61	YLR156W	--	--	--	4,62	4,03	6,60	5,42
YLR083c	--	--	--	6,59	5,08	5,51	5,12	YLR157C	-1,8	--	--	29,92	16,42	31,98	28,72
YLR084C	+2	+1,9	+1,8	6,20	12,32	11,78	10,93	YLR158C	--	--	--	41,17	39,60	40,59	41,40
YLR085C	--	--	--	6,78	6,59	6,86	5,71	YLR159W	--	--	--	5,75	5,16	6,74	6,24
YLR086W	--	--	--	7,06	8,73	7,51	8,05	YLR160C	--	--	--	30,13	30,59	27,57	30,52
YLR087C	--	--	--	7,81	7,51	8,80	8,21	YLR161W	-3,8	--	--	47,40	12,51	40,18	37,97
YLR088w	--	--	--	9,58	9,74	8,09	9,57	YLR162W	-3,6	-1,5	-2,2	17,53	4,91	11,37	8,09
YLR089C	--	--	--	41,23	51,74	49,49	28,74	YLR163C	--	--	--	9,29	9,98	13,76	13,07
YLR090w	--	--	--	11,47	12,93	10,80	8,15	YLR164W	--	--	--	6,70	5,74	8,08	7,31
YLR091W	--	--	--	4,27	6,34	5,31	5,21	YLR165C	--	--	--	5,73	6,27	6,33	6,50
YLR092W	--	--	--	5,87	5,14	4,86	5,30	YLR166C	--	--	--	5,96	5,08	6,15	6,31
YLR093C	--	--	--	14,19	11,87	17,44	12,92	YLR167W	-1,7	--	--	523,77	306,59	563,76	488,17
YLR094C	--	--	--	10,49	13,35	12,68	11,94	YLR168C	+1,6	+1,9	+1,6	6,21	10,21	11,84	10,12
YLR095C	--	--	--	9,67	11,30	10,04	10,64	YLR169W	--	--	--	4,73	4,92	3,92	4,15
YLR096w	+1,6	--	--	11,28	18,23	16,14	14,73	YLR170C	--	--	+1,6	10,06	9,45	12,17	16,16
YLR097C	--	--	--	8,26	8,48	9,02	9,14	YLR171W	--	--	--	13,07	12,99	13,16	13,56
YLR098c	--	--	--	5,26	5,21	5,19	5,13	YLR172C	--	--	--	23,04	18,15	22,69	23,66
YLR099C	--	--	--	9,23	7,89	7,20	9,45	YLR173W	--	--	--	6,44	4,72	4,89	5,24
YLR100W	--	--	--	26,41	26,15	21,27	23,16	YLR174W	+1,6	--	--	4,00	6,37	5,82	5,71
YLR101C	--	+1,6	--	17,80	24,29	27,93	23,79	YLR175W	--	--	--	88,65	74,63	73,22	68,18
YLR102C	--	--	--	5,35	5,99	6,10	6,16	YLR176C	--	--	--	6,94	6,64	5,61	6,40
YLR103C	--	--	--	4,71	6,22	5,19	5,92	YLR177W	-1,6	-1,9	-1,5	43,70	26,55	22,70	28,63
YLR104W	--	--	--	5,99	6,39	7,19	6,12	YLR178C	+1,7	+4,1	+3,1	13,54	22,61	55,30	41,64
YLR105c	--	--	--	6,84	8,85	8,29	8,24	YLR179C	--	+1,9	--	13,39	19,35	25,13	17,17
YLR106C	--	--	--	4,64	3,99	4,17	4,08	YLR180W	-1,9	-2	--	80,68	43,00	41,22	59,81
YLR107W	--	--	--	10,32	8,37	8,86	9,25	YLR181C	--	--	--	26,30	33,34	20,99	20,41
YLR108C	+1,6	--	--	4,49	7,13	4,47	5,37	YLR182W	--	-1,5	--	16,14	14,62	10,63	12,96
YLR109W	+2,1	-1,6	+2,2	239,73	510,90	152,45	526,10	YLR183C	--	--	-2	40,31	36,56	29,27	19,79
YLR110C	--	--	--	472,49	504,34	366,93	437,26	YLR184W	--	--	--	6,52	6,14	6,25	4,97
YLR111W	--	--	--	3,96	4,04	3,60	3,56	YLR185W	--	+1,6	--	125,77	144,95	201,68	169,88
YLR112W	+1,9	+1,7	+1,7	7,57	14,44	12,84	13,07	YLR186W	+1,6	+1,5	--	11,04	18,04	17,10	15,30
YLR113w	--	--	--	24,63	33,21	21,30	23,55	YLR187W	--	--	--	5,41	4,85	4,58	4,65
YLR114C	--	-1,5	--	15,25	18,25	9,90	15,22	YLR188W	--	--	--	7,14	6,97	7,11	7,87
YLR115W	--	--	--	6,43	7,64	5,43	6,77	YLR189C	--	--	--	5,01	5,18	5,20	5,53
YLR116W	--	--	--	6,84	7,68	5,99	7,20	YLR190W	--	--	--	9,11	12,88	10,36	11,05
YLR117C	--	--	--	7,46	7,65	7,34	7,63	YLR191W	--	+1,6	--	7,20	10,73	11,46	9,26
YLR118C	--	--	--	8,94	7,30	10,53	10,03	YLR192C	--	--	--	20,40	24,63	22,81	23,17
YLR119w	--	--	--	4,45	3,98	4,12	4,45	YLR193C	--	--	--	7,03	9,62	8,54	8,64
YLR120c	-2,4	-1,7	-2	19,38	8,17	11,10	9,82	YLR194C	-2,6	-2,8	-2,7	61,32	23,48	21,79	22,76
YLR121C	--	--	--	17,77	14,13	11,91	16,21	YLR195C	--	--	--	12,43	12,49	11,44	11,16
YLR122C	--	--	--	4,83	4,67	3,85	4,50	YLR196W	--	--	--	13,59	14,59	10,77	13,55
YLR123C	--	--	--	3,81	3,89	3,35	3,61	YLR197W	--	-1,7	--	81,02	79,09	47,33	54,51
YLR124W	--	--	--	3,85	3,60	4,12	3,67	YLR198C	--	--	--	49,13	52,77	58,84	51,01
YLR125W	--	--	--	4,24	4,17	4,16	4,05	YLR199C	+1,8	+1,9	--	10,79	18,97	20,21	15,70
YLR126C	--	--	--	4,43	4,68	5,71	4,69	YLR200W	--	--	--	9,28	9,95	10,81	11,79
YLR127C	--	--	--	5,22	5,13	5,54	4,79	YLR201C	--	--	--	10,81	10,43	9,10	9,91
YLR128W	--	--	--	6,01	6,22	7,32	5,99	YLR202C	--	--	--	6,73	9,73	5,38	9,76
YLR129w	--	--	--	9,15	11,36	11,86	11,36	YLR203C	--	-2,7	--	14,19	15,93	5,35	14,81
YLR130C	--	--	--	21,31	16,46	26,59	16,68	YLR204W	--	--	--	11,75	11,74	15,90	12,48

ORF	Änderungsfaktor			Normalisierte Signalintensität				ORF	Änderungsfaktor			Normalisierte Signalintensität			
	10	20	30	0	10	20	30		10	20	30	0	10	20	30
YLR205C	+1,5	--	--	5,73	8,82	5,65	5,29	YLR279W	--	--	--	6,51	5,63	6,42	5,77
YLR206W	--	-1,7	--	8,25	9,15	4,97	5,93	YLR280C	--	--	--	4,29	3,73	4,23	4,12
YLR207W	--	--	--	7,48	8,42	7,10	7,32	YLR281C	--	--	--	5,35	5,03	4,06	5,14
YLR208W	--	--	--	33,19	36,75	28,51	28,89	YLR282C	--	--	--	4,36	4,25	4,25	4,31
YLR209C	--	--	--	10,01	13,27	10,18	11,68	YLR283W	--	--	--	5,66	7,63	6,24	6,94
YLR210W	--	+1,7	--	5,50	6,67	9,29	6,09	YLR284C	--	--	--	5,44	6,45	4,26	4,98
YLR211C	--	--	--	4,46	4,50	5,34	5,24	YLR285W	--	--	--	19,73	19,57	17,71	17,56
YLR212C	--	--	--	6,69	8,62	7,10	9,31	YLR286C	-1,5	-1,8	-1,6	132,86	87,66	74,78	85,62
YLR213C	--	--	--	6,07	5,21	7,44	6,40	YLR287C	--	--	--	7,27	10,34	9,76	10,37
YLR214W	--	--	--	11,51	8,54	14,69	9,15	YLR288C	--	--	--	5,34	7,58	7,15	7,55
YLR215C	+1,5	--	--	5,54	8,51	7,07	8,02	YLR289W	--	--	--	4,31	4,49	4,50	4,76
YLR216C	+3,4	+2,7	+2,4	31,14	105,07	85,45	74,62	YLR290C	--	--	--	9,94	9,03	11,05	12,30
YLR217W	+2,8	+1,9	+1,8	10,06	28,19	19,04	18,23	YLR291C	--	--	--	15,14	18,48	14,44	19,03
YLR218C	--	--	--	6,37	7,09	8,93	8,10	YLR292C	--	-1,6	--	16,96	20,84	10,88	21,81
YLR219W	--	--	-2,1	8,08	6,69	6,63	3,90	YLR293C	--	--	--	114,77	133,82	157,60	151,71
YLR220W	--	--	--	11,39	13,03	14,73	13,36	YLR294C	--	--	--	16,28	19,40	30,80	24,23
YLR221C	--	--	--	11,33	11,08	14,82	11,26	YLR295C	+2,1	--	--	14,89	31,85	16,35	16,63
YLR222C	--	--	--	13,31	11,73	13,33	10,07	YLR296W	--	--	--	3,89	4,57	3,14	4,03
YLR223C	--	+1,7	+1,5	15,70	21,77	27,00	24,08	YLR297W	--	--	+1,6	7,68	7,39	9,96	12,23
YLR224W	--	--	--	14,14	14,74	20,29	12,79	YLR298C	--	--	--	8,12	7,50	8,96	8,65
YLR225C	--	--	--	11,24	9,05	10,85	8,37	YLR299W	--	--	--	6,85	8,73	5,84	6,12
YLR226W	--	--	--	6,00	6,17	8,30	6,66	YLR300W	--	--	--	59,09	62,34	64,92	56,65
YLR227C	--	+1,9	+1,5	5,86	7,95	11,22	9,08	YLR301W	--	+1,5	--	13,96	16,74	21,27	17,82
YLR228C	--	--	-1,9	9,07	8,15	6,49	4,73	YLR302C	--	--	--	5,70	5,46	6,06	7,60
YLR229C	--	--	--	18,82	17,19	22,35	18,02	YLR303W	--	+1,8	+1,9	17,27	15,51	30,51	32,09
YLR230W	--	--	--	9,81	7,26	7,94	7,20	YLR304C	+3,2	+3,6	+3,6	29,95	94,76	108,56	106,96
YLR231C	--	+1,6	--	6,12	8,69	9,50	8,34	YLR305C	--	--	--	12,36	16,39	11,89	14,40
YLR232W	--	--	--	4,28	3,74	4,21	3,62	YLR306W	--	--	--	4,68	4,45	4,31	4,28
YLR233C	--	--	--	4,55	4,20	4,44	4,37	YLR307W	--	--	--	4,32	4,52	4,94	4,25
YLR234W	--	--	--	5,54	5,38	5,35	5,55	YLR308W	--	--	--	3,80	3,77	3,91	3,91
YLR235C	--	--	--	4,16	3,98	4,42	4,17	YLR309C	--	--	--	8,11	10,99	11,38	8,79
YLR236C	--	+1,7	--	5,19	4,71	8,75	6,71	YLR310C	--	--	--	16,71	16,19	13,12	14,93
YLR237W	--	+1,5	--	6,64	9,54	10,21	7,87	YLR311C	--	--	--	7,37	6,10	7,31	8,43
YLR238W	--	--	--	6,52	5,81	6,81	6,16	YLR312C	--	--	--	3,18	3,07	3,20	3,37
YLR239C	--	--	--	6,62	5,91	6,79	6,69	YLR313C	--	--	--	4,55	4,36	4,57	3,85
YLR240W	--	--	--	4,72	5,64	4,90	4,40	YLR314C	--	--	--	11,73	12,78	13,15	11,11
YLR241W	--	--	--	9,43	8,65	8,08	8,33	YLR315W	--	--	--	4,33	4,11	4,63	4,42
YLR242C	--	--	--	5,68	7,43	8,32	7,19	YLR316C	--	+1,9	--	7,09	8,59	13,27	10,04
YLR243W	--	--	--	8,63	9,17	9,93	11,93	YLR317W	--	--	--	4,43	5,00	4,53	4,04
YLR244C	--	--	--	23,38	17,34	24,00	20,97	YLR318W	--	+1,6	--	6,27	8,37	9,96	7,99
YLR245C	-1,5	--	--	5,33	3,46	6,36	6,62	YLR319C	--	--	--	6,72	7,03	7,39	7,24
YLR246W	-2	--	--	7,24	3,53	7,39	7,58	YLR320W	--	--	--	4,17	4,17	4,16	4,62
YLR247C	+2,1	+1,6	--	12,96	27,38	20,19	18,13	YLR321C	-1,5	--	--	9,11	6,04	11,12	7,32
YLR248W	--	--	--	18,71	17,37	20,53	14,94	YLR322W	--	--	--	3,75	3,91	4,31	3,64
YLR249W	--	--	--	5,48	4,84	5,75	5,43	YLR323C	--	--	--	4,11	3,75	4,05	4,24
YLR250W	--	--	--	19,29	17,71	24,85	20,29	YLR324W	--	--	--	8,77	7,63	8,81	7,65
YLR251W	--	--	--	7,31	7,81	8,06	7,76	YLR325C	-1,8	+1,6	--	196,07	109,00	309,15	213,75
YLR252W	--	--	--	7,50	8,02	8,74	8,69	YLR326W	--	+1,5	--	5,25	4,86	7,96	6,35
YLR253W	--	--	--	6,91	7,43	8,14	8,80	YLR327C	-5,5	-3,2	-3,7	49,63	9,03	15,42	13,31
YLR254C	--	--	--	9,06	7,52	9,22	8,95	YLR328W	-1,6	--	--	15,12	9,73	18,03	12,91
YLR255C	--	--	--	4,50	4,57	4,28	4,68	YLR329W	--	--	--	5,60	6,27	5,17	4,94
YLR256W	--	--	--	273,10	377,83	308,80	279,34	YLR330W	--	--	--	23,18	17,07	17,41	18,22
YLR257W	-3,2	-2,6	-2,8	79,96	25,26	31,15	28,52	YLR331C	--	--	--	9,21	6,46	6,55	6,48
YLR258W	-1,7	--	-1,9	58,45	34,09	38,98	30,92	YLR332W	-1,6	-1,6	--	12,66	8,09	7,88	8,46
YLR259C	+3,9	+3,3	+3	51,37	202,37	169,27	152,59	YLR333C	-1,9	--	--	205,91	111,07	300,33	285,80
YLR260W	--	--	--	11,48	15,02	11,49	13,04	YLR334C	--	--	+2,2	44,56	44,64	45,40	97,76
YLR261C	--	--	--	9,57	7,70	9,93	11,26	YLR335W	-4,4	--	--	26,59	6,00	33,50	30,12
YLR262C	--	--	--	15,37	12,12	12,46	11,14	YLR336C	--	--	--	6,06	5,07	6,45	6,73
YLR263W	--	--	--	4,88	4,56	5,12	4,35	YLR337W	--	--	--	26,52	37,98	37,77	31,71
YLR264W	--	+1,7	--	140,74	153,33	235,10	209,38	YLR338W	--	--	--	5,87	5,63	5,36	5,02
YLR265C	--	--	--	4,12	5,88	4,14	4,21	YLR339C	-2	-1,7	-1,6	179,01	90,84	105,95	114,34
YLR266C	--	--	--	5,54	6,30	6,04	5,51	YLR340W	--	--	--	408,12	352,90	290,95	321,11
YLR267W	--	--	--	6,72	6,73	5,28	5,09	YLR341W	--	--	--	4,48	5,70	4,73	5,48
YLR268W	--	--	--	10,71	10,47	13,36	15,42	YLR342W	--	-1,9	--	54,60	36,99	28,48	42,01
YLR269C	--	+2,1	+1,7	7,50	10,77	15,98	12,87	YLR343W	--	--	--	6,59	9,85	6,49	6,81
YLR270W	--	--	--	12,97	13,43	14,78	14,17	YLR344W	--	--	+1,5	141,75	162,43	207,85	217,78
YLR271W	--	--	--	8,82	8,27	7,78	9,09	YLR345W	-1,5	--	--	18,16	11,81	13,95	14,22
YLR272C	--	--	--	6,15	6,92	5,39	6,96	YLR346C	--	--	--	3,39	3,53	4,28	4,30
YLR273C	--	--	--	4,69	4,81	4,17	4,65	YLR347C	--	--	--	10,57	9,82	8,96	10,98
YLR274W	--	--	--	8,19	7,85	6,96	6,98	YLR348C	--	+2,3	+2,4	6,94	6,34	15,69	16,58
YLR275W	--	--	--	5,04	5,90	6,40	6,02	YLR349W	--	--	--	6,83	6,92	7,88	7,63
YLR276C	--	--	--	10,63	12,48	9,63	9,63	YLR350W	-2	-2,1	-2	28,58	14,41	13,51	14,09
YLR277C	--	--	--	5,95	6,88	6,83	6,44	YLR351C	--	--	--	18,59	18,70	22,86	23,69
YLR278C	--	--	--	4,05	3,78	3,58	3,79	YLR352W	--	--	--	6,48	9,02	7,34	7,16



ORF	Änderungsfaktor			Normalisierte Signalintensität				ORF	Änderungsfaktor			Normalisierte Signalintensität			
	10	20	30	0	10	20	30		10	20	30	0	10	20	30
YLR353W	--	-1,5	--	11,48	12,44	7,61	8,27	YLR427W	--	--	--	7,60	7,66	6,53	6,62
YLR354C	--	--	--	51,98	53,09	49,78	49,05	YLR428C	--	--	--	5,25	5,73	5,11	5,47
YLR355C	+2	+1,9	--	147,13	289,83	278,22	158,45	YLR429W	--	--	--	23,21	20,09	17,53	18,38
YLR356W	--	--	--	27,85	24,02	24,62	21,75	YLR430W	--	--	--	19,63	24,69	20,89	23,62
YLR357W	--	--	--	7,93	10,86	8,96	8,94	YLR431C	--	--	--	6,29	5,81	5,66	6,45
YLR358C	+1,5	+1,8	+1,5	7,58	11,70	13,65	11,62	YLR432W	--	--	--	47,38	39,60	32,50	39,44
YLR359W	-4,4	-4,1	-3,2	57,57	13,00	14,12	17,79	YLR433C	--	--	--	6,64	7,29	5,82	6,88
YLR360W	--	+1,5	+1,6	10,13	14,18	15,53	16,12	YLR434C	--	--	--	4,88	5,86	4,11	5,57
YLR361C	--	--	--	7,22	9,28	10,75	9,81	YLR435W	--	--	--	9,53	11,63	9,54	13,31
YLR362W	--	--	--	5,48	4,79	4,48	4,98	YLR436C	--	+1,5	--	89,87	116,17	136,62	110,45
YLR363C	--	--	--	6,87	7,47	7,28	6,49	YLR437C	--	--	--	32,60	41,54	28,70	45,72
YLR364W	--	--	--	5,00	5,75	6,87	6,73	YLR438W	+6,4	+7	+5,3	12,49	80,46	86,96	66,54
YLR365W	--	--	--	5,42	5,95	4,27	4,91	YLR439W	--	--	--	12,85	14,72	13,62	13,64
YLR366W	--	--	--	5,14	4,94	3,95	4,48	YLR440C	--	--	--	7,13	8,53	8,78	7,67
YLR367W	--	--	--	98,29	94,22	97,31	77,26	YLR441C	--	--	--	721,47	595,11	764,58	661,82
YLR368W	--	--	--	6,43	7,15	7,59	7,18	YLR442C	--	--	--	15,09	17,04	11,38	14,19
YLR369W	--	--	--	8,32	8,41	6,26	6,47	YLR443W	--	--	--	8,46	7,71	7,08	7,51
YLR370C	--	+1,6	--	15,12	14,71	24,00	16,28	YLR444C	--	--	--	5,83	6,23	6,23	6,37
YLR371W	--	--	--	16,10	22,87	20,00	16,34	YLR445W	--	--	--	4,29	4,17	3,69	4,60
YLR372W	--	--	--	25,17	28,49	29,10	24,60	YLR446W	--	--	--	8,36	11,80	6,01	9,11
YLR373C	--	--	--	7,97	8,13	7,21	8,15	YLR447C	--	--	--	110,41	90,07	109,95	90,37
YLR374C	--	--	--	4,46	4,77	4,51	5,13	YLR448W	--	--	--	237,71	236,59	272,72	256,20
YLR375W	--	--	--	7,96	7,76	9,33	10,12	YLR449W	--	-1,6	--	31,30	25,51	19,35	22,18
YLR376C	--	--	--	4,19	4,74	4,75	4,55	YLR450W	--	--	--	16,95	14,34	14,78	12,61
YLR377C	--	--	--	5,32	6,57	5,07	5,31	YLR451W	--	--	--	5,17	5,33	5,03	5,05
YLR378C	--	--	--	94,80	92,60	66,04	80,57	YLR452C	--	+1,6	--	5,26	8,33	5,96	7,12
YLR379W	--	--	--	20,59	19,48	15,14	15,54	YLR453C	--	--	--	6,36	8,62	6,32	7,09
YLR380W	--	--	--	12,82	13,81	11,53	13,67	YLR454W	+1,7	+1,5	--	128,62	224,96	194,50	127,33
YLR381W	--	--	--	6,71	8,93	6,00	7,88	YLR455W	--	--	--	8,05	11,91	10,60	10,57
YLR382C	--	--	--	7,12	7,36	5,87	7,32	YLR456W	--	--	--	5,62	5,98	5,68	6,55
YLR383W	--	--	--	4,12	4,27	4,14	4,68	YLR457C	--	--	--	4,85	5,20	4,55	4,53
YLR384C	--	-1,7	--	29,76	43,03	17,07	32,62	YLR458W	--	-1,6	--	5,57	4,51	3,49	4,65
YLR385C	--	--	--	4,56	3,94	3,61	3,97	YLR459W	--	--	--	4,37	4,30	3,61	4,58
YLR386W	--	--	--	6,90	7,91	5,88	8,54	YLR460C	--	--	--	4,84	4,31	3,76	4,70
YLR387C	--	--	--	12,77	16,05	9,59	12,56	YLR461W	--	--	--	7,89	9,84	8,54	7,58
YLR388W	--	+1,6	--	102,95	90,30	160,49	135,39	YLR462W	--	--	--	12,09	11,88	8,70	8,09
YLR389C	--	-1,7	--	11,61	9,48	6,89	8,06	YLR463C	--	-2,1	--	9,51	9,66	4,63	13,57
YLR390W	--	-1,6	--	36,09	38,51	23,10	25,53	YLR464W	--	--	--	11,88	9,25	9,93	14,01
YLR391W	--	--	--	55,68	37,81	52,46	48,05	YLR465C	--	-1,6	--	8,13	7,16	5,10	7,37
YLR392C	--	--	--	10,89	11,04	9,72	9,33	YLR466W	+1,8	--	--	74,05	132,18	68,10	59,76
YLR393W	--	--	--	4,46	4,28	4,00	4,44	YLR467W	+1,7	--	--	56,93	97,54	48,21	83,21
YLR394W	--	--	--	5,62	6,47	6,24	6,47	YML001W	--	-1,5	--	29,63	28,65	19,55	23,53
YLR395C	--	+2,5	+1,9	9,88	13,88	25,18	18,38	YML002W	--	--	--	7,64	8,58	6,33	7,30
YLR396C	--	--	--	13,48	13,72	18,46	17,73	YML003W	--	--	--	3,63	3,58	2,86	3,61
YLR397C	--	--	--	7,20	8,93	8,34	8,54	YML004C	--	--	--	30,73	44,88	39,87	37,85
YLR398C	--	--	--	5,66	6,13	4,95	5,46	YML005W	+1,5	+1,8	+1,6	5,93	9,06	10,52	9,42
YLR399C	+1,6	--	--	15,53	24,68	14,67	17,77	YML006C	--	--	--	11,01	8,36	10,11	10,16
YLR400W	--	+1,5	--	5,48	7,46	8,45	7,95	YML007W	--	--	--	16,60	21,43	19,23	18,21
YLR401C	--	--	--	7,60	8,54	7,90	7,16	YML008C	--	--	--	56,48	54,97	46,76	54,78
YLR402W	--	--	--	4,11	4,95	3,05	4,23	YML010W	--	--	--	9,66	11,20	8,30	7,41
YLR403W	--	--	--	8,54	10,22	6,91	9,55	YML011C	--	--	--	8,22	8,40	6,18	8,02
YLR404W	--	--	--	5,73	6,79	6,50	6,73	YML012W	--	--	--	11,85	14,14	16,68	13,42
YLR405W	--	--	--	6,88	9,44	9,82	9,23	YML013W	--	--	--	4,93	4,23	3,80	4,40
YLR406C	--	--	--	3,86	4,00	4,22	4,61	YML014W	--	--	--	7,55	9,11	7,53	9,65
YLR407W	+1,5	+1,5	--	4,48	6,90	6,73	6,57	YML015C	--	--	+1,5	7,29	10,46	9,94	11,12
YLR408C	--	--	--	5,02	5,54	7,06	6,21	YML016C	--	--	--	7,01	6,75	6,72	6,33
YLR409C	--	--	--	5,62	5,90	5,01	5,71	YML018C	--	--	--	96,41	104,43	113,77	102,08
YLR410W	--	--	--	4,44	4,08	3,49	4,16	YML019W	--	-1,6	--	11,67	9,92	7,49	9,44
YLR411W	--	--	--	3,52	3,57	3,08	3,26	YML020W	--	--	--	6,07	5,77	4,69	5,70
YLR412W	--	--	--	7,42	9,98	6,30	10,18	YML021W	--	--	--	9,38	12,95	12,75	8,26
YLR413W	-2,3	-3,1	--	29,66	13,12	9,53	25,51	YML022W	--	--	--	34,14	29,04	27,61	31,10
YLR414C	-2	-2,3	-2	49,53	24,33	21,24	25,36	YML023C	--	--	--	4,85	5,76	5,70	5,91
YLR415C	--	--	--	4,06	4,23	3,36	3,75	YML027W	--	+1,6	+1,6	4,16	5,98	6,59	6,68
YLR416C	--	--	--	4,75	4,43	3,99	4,55	YML028W	--	--	--	232,20	157,95	278,90	193,18
YLR417W	--	--	--	8,60	7,37	5,98	6,69	YML029W	--	--	--	6,24	5,43	5,99	6,52
YLR418C	--	--	--	8,63	8,68	8,68	8,90	YML030W	--	--	--	8,65	7,81	8,86	8,98
YLR419W	+1,6	--	--	10,75	17,66	12,81	15,75	YML031W	--	--	--	15,66	19,09	14,38	16,00
YLR420W	--	-1,6	-1,7	60,09	48,98	36,81	35,74	YML032C	--	--	--	12,37	18,22	11,16	11,48
YLR421C	--	+1,6	--	15,44	19,71	25,37	19,58	YML033W	--	--	--	9,40	10,34	12,05	11,40
YLR422W	--	--	--	11,93	13,66	9,99	8,74	YML034W	--	--	--	6,22	6,14	5,78	6,46
YLR423C	--	--	--	4,94	5,03	4,43	4,97	YML035C	--	--	--	12,22	12,00	12,77	12,20
YLR424W	--	--	--	5,19	6,14	4,58	6,51	YML037C	--	--	--	4,59	4,62	4,66	4,61
YLR425W	--	--	--	4,04	4,87	3,76	5,10	YML038C	--	--	--	13,32	10,20	10,03	9,09
YLR426W	--	--	--	7,62	9,23	6,12	8,26	YML040W	--	-1,6	-1,5	517,16	439,08	328,61	343,89

ORF	Änderungsfaktor			Normalisierte Signalintensität				ORF	Änderungsfaktor			Normalisierte Signalintensität			
	10	20	30	0	10	20	30		10	20	30	0	10	20	30
YML041C	--	--	--	7,94	9,03	7,21	8,04	YML123C	+2,3	+1,6	--	97,80	221,90	158,77	138,73
YML042W	--	--	--	5,10	6,25	4,09	5,10	YML125C	--	--	--	44,45	55,93	50,71	35,96
YML043C	+1,7	--	--	5,82	9,99	6,01	8,44	YML126C	--	--	--	33,60	28,76	30,22	30,71
YML045W	--	-1,5	-1,6	402,65	348,21	267,14	252,57	YML127W	--	--	--	14,94	16,78	13,77	15,34
YML046W	--	--	--	4,09	5,31	4,06	4,42	YML128C	-1,6	+1,5	--	34,18	21,53	52,33	28,31
YML047C	--	--	--	4,83	4,37	4,02	4,36	YML129C	--	--	--	9,79	9,51	12,39	11,17
YML048W	--	-1,6	-1,5	9,39	6,91	6,00	6,12	YML130C	--	--	--	21,09	25,43	19,28	20,58
YML049C	--	--	--	23,81	31,09	27,84	23,92	YML131W	--	-1,7	--	10,80	8,33	6,37	7,64
YML050W	--	--	--	5,52	5,84	5,56	6,73	YML132W	--	-2,1	--	47,27	47,38	22,57	34,62
YML051W	--	--	--	13,77	14,89	14,14	13,46	YMR001C	--	--	--	6,78	9,56	8,79	9,48
YML053C	--	--	--	11,98	13,60	13,32	13,29	YMR002W	+2,6	+2,7	+2,1	30,42	77,66	81,66	63,50
YML054C	--	--	--	7,90	7,64	6,85	7,83	YMR003W	--	--	--	4,85	6,51	6,52	6,08
YML055W	--	--	--	10,43	13,59	13,52	14,57	YMR004W	--	--	--	8,35	8,17	7,71	7,60
YML057W	--	-1,7	--	11,61	11,59	6,78	10,44	YMR005W	--	+1,5	+1,6	9,67	12,77	14,86	15,34
YML058W	+2,4	+2,5	+1,9	18,16	43,15	45,71	34,05	YMR007W	+1,5	+1,6	--	7,37	11,07	11,80	8,91
YML059C	+1,7	--	--	9,54	16,15	8,71	11,81	YMR008C	--	-2,1	-1,7	37,69	26,02	17,76	22,07
YML060W	--	-1,7	--	9,45	9,32	5,72	11,14	YMR009W	--	--	--	13,80	14,82	18,11	19,77
YML061C	--	--	--	5,73	6,27	5,56	6,42	YMR010W	--	--	--	7,53	7,26	5,98	7,29
YML062C	--	--	--	10,25	10,82	8,22	9,43	YMR011W	-8,1	-30,9	-11,2	296,59	36,54	9,59	26,51
YML063W	--	--	--	664,46	612,95	443,32	685,75	YMR012W	--	-2	--	55,88	55,76	27,60	42,52
YML064C	--	--	--	7,68	11,10	9,59	10,20	YMR013C	--	--	--	5,78	6,97	7,12	7,35
YML065W	--	--	--	6,28	7,88	6,83	7,54	YMR014W	--	--	--	13,33	19,51	16,35	18,61
YML066C	--	--	--	6,56	5,66	6,64	6,78	YMR015C	+2	+1,8	+2	9,45	19,32	17,20	18,97
YML068W	--	--	--	6,98	6,37	6,74	6,40	YMR016C	--	--	-1,5	9,03	11,75	6,62	6,00
YML069W	--	--	--	17,09	17,21	18,27	14,75	YMR017W	--	--	--	3,97	4,20	3,40	4,08
YML070W	--	+2,3	+1,8	30,39	43,39	68,94	54,21	YMR018W	--	--	--	4,72	5,61	3,49	5,23
YML071C	--	--	-1,6	12,35	14,81	13,94	7,96	YMR019W	--	--	--	7,13	7,77	5,88	6,15
YML072C	-2,1	-1,6	--	95,76	46,32	61,10	74,10	YMR020W	--	-1,6	--	9,52	8,06	5,96	7,91
YML074C	--	--	--	186,07	216,42	140,00	143,20	YMR021C	--	-1,5	--	11,84	12,55	7,85	10,62
YML075C	+1,6	--	--	32,60	53,56	29,45	39,44	YMR022W	--	--	--	15,52	16,94	13,18	17,35
YML076C	--	--	--	7,67	8,61	7,51	9,36	YMR023C	--	--	--	8,22	7,73	6,23	6,80
YML077W	--	+1,5	+1,6	8,63	9,56	13,15	14,04	YMR024W	--	--	--	9,01	11,73	8,59	9,76
YML078W	+2,1	+2	+2,1	46,52	97,78	91,90	97,96	YMR025W	--	--	--	7,74	7,68	8,77	9,05
YML079W	--	--	+2,3	19,39	21,83	25,75	43,92	YMR026C	--	--	--	8,77	9,82	6,24	10,32
YML080W	+1,9	--	+2,1	5,22	10,07	7,27	11,17	YMR027W	--	--	--	13,79	14,37	16,82	14,49
YML081W	--	--	--	16,34	23,27	11,60	21,82	YMR028W	--	--	--	14,89	14,77	13,78	10,30
YML082W	--	--	--	7,53	8,96	7,15	8,69	YMR029C	--	--	--	15,86	15,05	11,86	11,61
YML083C	--	--	--	5,82	6,32	5,69	5,98	YMR030W	--	--	--	7,22	7,02	7,13	7,73
YML084W	--	--	--	4,99	4,34	3,88	4,40	YMR031C	--	-1,5	-1,7	13,99	10,34	9,16	8,35
YML087C	+1,6	--	--	4,67	7,57	5,37	6,60	YMR032W	--	--	--	6,25	7,54	6,78	7,03
YML088W	--	-1,7	--	10,18	12,75	6,15	9,28	YMR034C	--	--	--	5,60	5,67	4,85	6,12
YML089C	--	--	--	4,11	4,24	3,06	3,92	YMR035W	--	--	--	5,53	6,91	5,23	7,89
YML090W	--	--	--	3,75	3,50	3,02	3,77	YMR036C	--	--	--	5,42	5,59	4,55	5,97
YML091C	--	-1,6	--	21,65	17,85	13,63	16,54	YMR037C	+1,7	--	+1,6	5,67	9,43	6,26	9,08
YML092C	--	--	--	27,95	37,48	39,21	33,66	YMR038C	+1,6	--	--	17,04	26,54	19,48	23,19
YML093W	--	--	--	9,15	10,18	7,26	10,21	YMR039C	--	-1,7	--	17,57	15,93	10,07	12,88
YML095C	--	--	--	5,75	6,76	7,07	6,00	YMR040W	--	--	--	4,72	4,39	5,30	6,95
YML096W	--	--	--	7,06	7,94	8,24	8,24	YMR041C	+2	--	--	10,44	21,05	13,52	15,05
YML097C	--	--	--	9,14	13,19	11,40	12,85	YMR042W	+2,9	--	+1,6	6,65	19,00	5,83	10,63
YML098W	--	--	+1,5	6,79	9,13	8,35	10,31	YMR043W	--	--	+1,6	61,74	86,13	52,46	99,33
YML099C	--	--	--	5,21	5,30	4,29	6,11	YMR044W	--	-1,7	--	10,26	12,31	5,96	10,56
YML100W	+1,6	--	--	48,34	78,58	58,66	71,20	YMR046C	--	-1,9	--	336,74	310,20	177,51	244,48
YML101C	--	--	--	6,55	7,22	7,69	7,02	YMR047C	--	--	--	15,64	18,27	11,60	15,33
YML102W	--	+1,5	--	7,67	10,99	11,65	10,68	YMR048W	--	--	--	5,34	6,29	6,21	6,10
YML103C	--	--	--	15,59	16,69	15,56	20,11	YMR049C	--	--	--	12,69	13,12	12,50	13,70
YML104C	--	--	--	4,01	5,23	5,11	4,55	YMR051C	--	--	--	437,23	405,11	297,88	347,22
YML105C	--	--	--	15,27	12,96	17,19	17,26	YMR052W	--	--	--	6,06	6,29	7,10	6,82
YML106W	--	--	--	27,70	27,64	27,66	33,36	YMR053C	--	-1,6	-1,5	7,91	6,07	4,99	5,22
YML107C	--	--	+1,5	8,25	8,27	9,87	12,44	YMR054W	--	--	--	11,53	10,86	8,36	8,66
YML108W	--	--	--	5,91	6,35	7,80	7,54	YMR055C	--	--	--	6,63	7,90	7,52	8,32
YML109W	--	--	--	5,22	6,48	4,17	6,67	YMR056C	--	--	--	5,80	5,78	4,72	6,04
YML110C	--	--	--	55,10	63,16	44,50	75,82	YMR057C	--	--	--	3,73	3,64	3,39	3,46
YML111W	--	--	--	4,86	5,73	5,41	6,01	YMR058W	--	-4,4	-4,2	28,13	20,54	6,40	6,67
YML112W	+1,5	+1,5	--	7,82	12,07	11,87	10,86	YMR059W	--	--	--	4,24	5,22	5,21	5,12
YML113W	--	--	+1,6	31,58	45,00	29,00	49,31	YMR061W	--	--	--	10,98	10,84	10,01	9,18
YML114C	--	--	--	10,47	10,37	9,56	11,69	YMR063W	--	--	--	4,67	4,82	4,99	5,16
YML115C	--	--	--	10,56	11,03	8,42	9,38	YMR064W	--	--	--	10,33	8,75	9,55	9,16
YML116W	--	--	--	10,40	9,93	9,49	8,70	YMR065W	--	--	--	5,10	5,64	4,84	5,49
YML117W	--	-1,6	--	11,72	8,33	7,25	7,87	YMR066W	--	--	--	5,38	5,45	4,49	4,95
YML118W	--	-1,6	--	6,79	5,04	4,30	5,20	YMR067C	--	--	--	9,22	12,77	10,65	11,88
YML119W	+1,6	--	+1,7	7,28	11,58	10,68	12,56	YMR068W	--	--	--	5,15	7,09	5,15	5,97
YML120C	--	-2,7	-1,7	18,75	12,99	6,85	11,22	YMR069W	--	--	--	3,60	3,68	3,31	3,65
YML121W	--	--	--	10,97	14,37	13,73	15,98	YMR070W	--	--	--	15,28	13,13	12,11	17,74
YML122C	--	--	--	5,49	5,43	5,03	5,68	YMR071C	--	--	--	15,68	15,76	19,76	15,87

ORF	Änderungsfaktor			Normalisierte Signalintensität				ORF	Änderungsfaktor			Normalisierte Signalintensität			
	10	20	30	0	10	20	30		10	20	30	0	10	20	30
YMR072W	--	--	--	9,86	10,68	13,87	11,65	YMR154C	--	--	--	7,10	6,69	5,18	6,61
YMR073C	--	--	--	8,50	9,18	12,24	11,89	YMR155W	--	--	--	5,65	6,13	5,50	5,35
YMR074C	--	+2	+1,6	18,99	23,30	37,47	31,28	YMR156C	--	--	--	5,18	6,09	6,21	5,21
YMR075W	--	--	--	5,59	5,75	5,31	4,76	YMR157C	--	--	--	7,78	8,63	7,23	7,85
YMR076C	--	--	--	16,37	24,04	16,08	21,83	YMR158W	--	--	--	6,52	7,52	5,06	8,28
YMR077C	--	--	--	5,84	7,43	5,94	6,16	YMR159C	--	--	--	5,13	5,14	4,38	4,47
YMR078C	--	--	--	8,50	10,70	8,82	11,09	YMR160W	--	--	--	4,88	4,25	3,78	4,14
YMR080C	--	--	--	11,82	13,11	10,39	11,62	YMR161W	--	--	--	4,44	4,19	4,43	4,85
YMR081C	-2,3	-2,6	-2,5	13,36	5,71	5,07	5,40	YMR162C	--	--	--	4,24	4,09	4,15	4,51
YMR082C	--	--	--	3,62	3,43	3,24	3,58	YMR163C	--	--	--	5,06	5,97	5,02	4,90
YMR083W	--	--	--	249,91	233,41	236,18	235,64	YMR164C	--	--	--	70,62	68,39	67,94	65,90
YMR086W	--	--	--	6,30	6,04	6,00	5,69	YMR165C	--	--	--	3,96	3,89	3,71	4,18
YMR087W	+1,5	--	--	9,04	13,74	11,10	9,60	YMR167W	--	--	--	6,74	7,18	7,54	8,44
YMR088C	--	--	--	13,26	13,40	9,76	11,37	YMR168C	--	--	--	10,57	11,33	9,05	10,63
YMR089C	--	--	--	6,88	7,33	5,09	7,13	YMR170C	+1,5	+2	+1,8	9,26	14,18	18,25	16,75
YMR090W	--	--	--	10,22	10,09	13,29	13,81	YMR171C	--	--	--	10,44	12,91	7,57	10,98
YMR091C	--	--	--	23,18	26,54	18,79	20,23	YMR172W	--	--	--	5,24	5,56	4,48	5,90
YMR092C	--	--	--	9,00	9,31	7,85	9,32	YMR173W	--	--	--	48,19	32,37	37,13	52,20
YMR093W	+1,6	+1,8	+1,7	9,20	14,69	16,22	15,28	YMR176W	--	--	--	11,29	16,62	14,14	15,17
YMR094W	--	--	--	4,53	4,49	4,49	4,96	YMR177W	--	--	--	7,37	7,73	6,14	7,68
YMR095C	--	--	--	4,93	5,59	4,66	4,87	YMR178W	--	--	--	11,88	12,79	11,28	12,57
YMR096W	--	--	--	7,17	7,03	6,07	7,10	YMR179W	--	--	--	6,04	7,68	5,74	7,11
YMR097C	--	--	--	7,97	9,47	8,04	9,73	YMR180C	--	--	--	7,44	8,57	7,34	8,20
YMR098C	--	--	--	6,78	8,80	6,48	8,51	YMR181C	-1,8	-1,6	-1,6	16,53	9,34	10,39	10,63
YMR099C	--	--	--	32,79	33,19	40,97	36,28	YMR182C	--	--	--	10,17	12,91	7,91	11,45
YMR100W	--	--	--	9,50	11,31	8,92	10,29	YMR183C	--	--	--	23,35	21,94	18,69	19,58
YMR101C	--	--	--	3,74	3,90	3,24	3,77	YMR184W	--	--	--	7,62	8,17	9,47	9,74
YMR102C	--	--	--	4,39	4,70	4,38	4,82	YMR185W	--	--	--	4,79	6,01	4,69	5,79
YMR103C	--	--	--	3,30	3,40	3,29	3,80	YMR186W	+3,4	+1,9	+2	182,19	614,78	337,83	360,99
YMR104C	-2,2	-2,7	-2,4	10,32	4,65	3,77	4,34	YMR187C	--	--	--	6,39	7,91	6,77	6,55
YMR105C	-1,8	--	--	42,51	23,80	46,93	32,94	YMR188C	--	--	--	7,53	8,22	7,98	8,36
YMR106C	--	--	--	5,10	4,93	4,76	5,67	YMR189W	--	--	--	4,41	6,50	3,46	4,38
YMR107W	--	--	--	4,17	3,65	3,73	4,40	YMR190C	--	--	--	4,02	4,24	3,64	3,61
YMR108W	--	-1,8	--	22,10	26,95	12,52	20,20	YMR191W	--	--	--	6,88	7,61	5,71	7,67
YMR109W	--	--	--	8,11	8,44	7,47	7,22	YMR192W	--	--	--	6,70	5,85	4,95	6,19
YMR110C	--	--	--	10,97	11,57	8,12	11,87	YMR193W	--	--	--	7,99	9,78	7,38	8,43
YMR111C	--	--	--	5,34	5,40	4,65	5,14	YMR195W	+2	--	--	22,07	43,51	32,35	21,80
YMR112C	--	--	--	7,98	9,47	8,23	9,26	YMR196W	--	--	--	20,75	27,96	28,95	22,93
YMR113W	--	--	--	7,83	8,86	6,76	8,12	YMR197C	--	--	--	13,81	10,85	11,72	10,75
YMR114C	--	--	--	8,52	8,05	7,57	7,71	YMR198W	--	--	--	6,96	8,40	7,27	8,24
YMR115W	--	-2	--	12,76	14,48	6,32	12,93	YMR199W	--	--	--	6,93	8,28	8,30	8,68
YMR118C	--	--	--	4,59	6,06	5,64	5,99	YMR200W	--	--	--	9,84	9,05	7,98	7,56
YMR119W	--	--	--	8,41	6,55	6,05	6,78	YMR202W	--	--	--	23,11	21,07	19,19	20,27
YMR121C	--	--	--	177,25	172,10	135,52	152,32	YMR203W	--	-1,7	-1,5	30,91	21,95	17,68	20,33
YMR122C	--	--	--	5,39	6,91	5,92	5,21	YMR204C	--	--	--	5,67	5,72	4,95	4,97
YMR123W	--	--	--	9,26	11,78	11,59	11,86	YMR205C	--	-2,1	-1,9	72,68	59,64	34,47	39,18
YMR124W	--	-1,7	--	28,83	25,16	16,61	38,41	YMR206W	--	--	--	4,53	4,25	3,74	4,40
YMR125W	--	--	--	8,15	8,19	7,75	9,49	YMR207C	--	--	--	9,43	10,11	7,10	9,22
YMR126C	--	--	--	6,26	6,82	6,56	7,59	YMR208W	--	--	--	13,35	12,80	11,07	12,40
YMR127C	+1,6	--	+1,8	4,44	7,10	6,07	7,78	YMR209C	--	--	--	8,20	11,74	9,52	11,79
YMR128W	--	-1,8	--	17,97	25,75	9,80	21,95	YMR210W	--	-1,7	-1,5	45,31	37,09	26,69	29,68
YMR129W	--	-2,6	--	17,26	22,06	6,76	17,82	YMR211W	--	--	--	6,04	7,84	6,05	7,60
YMR130W	+1,8	--	+1,7	10,16	17,98	8,68	17,74	YMR212C	--	-1,6	--	11,83	11,09	7,56	10,03
YMR131C	--	-2,3	--	36,11	33,88	15,52	29,74	YMR213W	--	--	--	10,17	13,83	10,11	10,54
YMR132C	--	--	--	4,49	3,94	4,61	5,01	YMR214W	+1,7	--	--	19,87	33,62	18,99	23,43
YMR133W	--	--	--	4,20	5,52	3,80	4,97	YMR215W	--	--	--	19,03	19,77	12,78	13,93
YMR134W	+1,7	--	+1,8	8,34	13,95	9,81	14,91	YMR216C	+1,6	--	--	9,69	15,26	12,52	12,44
YMR135C	--	--	--	9,58	9,94	7,19	8,07	YMR217W	--	-3,3	-1,7	68,93	51,63	20,72	39,81
YMR136W	-3,4	-4,5	-2,7	27,68	8,21	6,15	10,07	YMR218C	--	--	--	4,87	5,46	4,51	5,48
YMR137C	--	--	--	5,09	5,56	4,30	5,03	YMR219W	--	--	--	16,43	20,78	14,22	14,84
YMR138W	--	--	--	5,15	4,37	4,42	5,38	YMR220W	+1,7	--	+1,5	11,56	19,45	12,17	17,46
YMR139W	--	--	--	13,68	10,65	11,57	10,07	YMR221C	--	-1,6	--	15,60	13,83	9,76	12,88
YMR140W	--	-1,8	-1,7	12,00	8,79	6,85	6,98	YMR222C	--	--	--	10,69	10,47	9,21	10,68
YMR141C	--	+1,6	--	6,94	8,86	11,38	7,11	YMR223W	--	--	--	7,31	9,71	7,96	9,79
YMR144W	--	--	--	4,48	5,53	5,02	6,34	YMR224C	--	--	--	5,59	7,29	5,36	6,74
YMR145C	--	--	--	24,94	27,91	18,74	21,80	YMR226C	+1,9	--	--	57,05	106,00	76,48	58,59
YMR146C	--	--	--	43,82	41,42	33,03	37,89	YMR227C	--	--	--	5,88	7,83	6,71	6,97
YMR147W	--	--	--	4,28	5,00	3,85	5,40	YMR228W	--	--	--	5,22	5,97	5,80	6,58
YMR148W	--	-1,8	--	7,40	8,61	4,10	9,88	YMR229C	--	-2,6	--	48,04	43,27	18,60	33,30
YMR149W	--	--	--	34,52	34,40	30,86	28,25	YMR231W	--	--	--	6,91	8,17	6,77	7,76
YMR150C	--	--	--	9,57	11,33	13,11	12,86	YMR232W	+1,6	--	--	7,13	11,63	7,22	7,12
YMR151W	--	--	--	4,90	4,52	3,52	5,13	YMR233W	--	--	--	5,73	5,70	5,31	6,20
YMR152W	--	--	--	9,13	10,10	6,65	8,47	YMR234W	--	--	--	5,81	6,26	6,57	6,36
YMR153W	--	--	--	8,74	10,05	9,59	10,77	YMR235C	--	--	--	30,96	31,32	26,44	32,08

ORF	Änderungsfaktor			Normalisierte Signalintensität				ORF	Änderungsfaktor			Normalisierte Signalintensität			
	10	20	30	0	10	20	30		10	20	30	0	10	20	30
YMR236W	--	--	--	10,84	14,63	15,32	13,25	YMR317W	--	--	--	4,27	3,84	3,64	4,31
YMR237W	--	--	--	13,88	15,54	10,89	11,40	YMR318C	--	--	--	42,79	52,08	41,76	42,39
YMR238W	--	-2,1	--	27,92	18,80	13,60	19,66	YMR319C	-1,8	-2,4	-2,2	16,42	8,91	6,79	7,34
YMR239C	--	-1,8	--	7,13	7,36	3,93	6,51	YMR320W	--	--	--	4,05	3,94	3,30	4,37
YMR240C	+1,6	--	--	11,37	18,52	14,36	15,98	YMR321C	--	--	--	21,74	23,65	18,07	18,92
YMR241W	+1,7	--	--	6,13	10,30	8,27	7,45	YMR322C	--	--	--	3,70	3,87	3,73	4,54
YMR242C	--	--	--	171,35	133,21	190,54	160,72	YMR323W	+1,6	-1,6	+1,7	7,34	12,11	4,72	12,42
YMR243C	--	--	--	24,21	28,10	16,58	24,24	YMR325C	--	-1,5	--	8,39	8,79	5,51	7,72
YMR244W	--	--	--	4,35	4,55	4,07	4,32	YMR326C	--	--	--	4,20	4,79	4,06	4,29
YMR245W	--	--	--	7,68	7,46	8,72	9,11	YNL001W	--	--	--	8,71	11,31	7,40	8,81
YMR246W	-1,8	-2,8	-1,6	46,19	25,29	16,41	28,52	YNL002C	--	--	--	20,08	21,19	15,60	20,35
YMR247C	+1,5	--	--	11,31	17,22	10,47	10,76	YNL003C	--	--	--	9,76	10,90	10,03	9,35
YMR250W	--	--	--	10,19	10,89	11,58	9,91	YNL004W	--	--	--	11,37	13,57	11,78	11,90
YMR251W	--	--	--	6,62	7,97	5,23	6,30	YNL005C	--	--	--	13,48	13,95	12,71	12,18
YMR252C	--	--	--	4,25	4,93	4,18	4,66	YNL006W	--	--	--	11,21	11,47	9,22	10,62
YMR253C	--	--	--	3,69	3,59	3,20	3,76	YNL007C	+1,5	+1,6	--	54,64	82,94	85,00	61,40
YMR255W	--	--	--	8,37	7,05	8,97	7,74	YNL008C	--	--	--	14,28	17,21	15,46	16,47
YMR257C	--	--	--	5,73	6,81	5,70	6,13	YNL009W	--	--	--	6,29	7,04	6,22	6,55
YMR258C	--	--	--	10,08	8,95	9,64	9,47	YNL010W	--	--	--	38,02	33,60	43,83	43,93
YMR259C	--	--	--	14,93	12,93	10,80	15,55	YNL011C	--	--	--	6,48	6,39	5,91	6,13
YMR260C	--	--	--	73,81	71,80	88,69	78,71	YNL012W	--	--	--	4,59	4,83	3,79	4,40
YMR261C	--	-1,7	--	26,84	28,66	15,88	21,37	YNL013C	--	--	+1,8	5,68	6,97	6,45	10,08
YMR262W	--	--	--	11,80	14,33	12,58	12,96	YNL014W	--	-2,3	--	21,41	22,37	9,40	16,80
YMR263W	--	--	--	5,77	8,15	6,98	7,01	YNL015W	--	--	--	9,75	8,38	8,94	8,96
YMR264W	--	--	--	20,45	25,69	26,13	24,03	YNL016W	--	-3,2	--	72,87	60,46	22,58	62,36
YMR265C	--	-1,5	--	11,32	9,22	7,52	9,35	YNL017C	--	--	--	4,33	4,45	3,66	4,15
YMR266W	--	--	--	6,08	6,37	5,49	5,67	YNL018C	--	--	--	4,85	5,68	4,57	4,72
YMR267W	--	--	--	4,35	4,66	4,38	4,43	YNL019C	--	--	--	5,63	5,01	4,52	5,38
YMR268C	--	--	--	9,01	9,82	10,69	10,19	YNL020C	--	--	--	12,03	11,99	10,87	10,11
YMR269W	--	--	--	5,22	5,97	6,47	5,60	YNL021W	--	--	--	7,78	6,76	5,57	6,50
YMR270C	--	--	--	7,21	9,00	8,05	8,58	YNL022C	--	--	--	8,54	10,52	8,33	10,39
YMR271C	--	--	--	8,89	10,83	9,00	10,42	YNL023C	--	--	--	6,81	8,84	7,22	7,95
YMR272C	--	--	--	13,93	14,07	9,56	11,86	YNL024C	--	--	--	5,52	4,96	4,28	4,51
YMR274C	--	-1,6	--	7,76	7,50	4,85	6,37	YNL025C	--	-1,6	--	6,52	5,97	4,19	5,78
YMR275C	--	--	--	10,05	12,48	8,61	8,38	YNL026W	--	--	--	5,34	5,81	5,49	5,83
YMR276W	+2	+1,8	--	37,55	76,74	68,33	47,32	YNL027W	+1,6	-2,5	+1,7	53,64	84,68	21,65	88,83
YMR277W	+1,7	--	--	14,44	24,93	18,35	18,79	YNL028W	--	--	--	5,00	4,57	4,15	4,80
YMR278W	--	--	--	10,27	10,28	8,64	9,64	YNL029C	--	--	--	5,93	6,82	5,00	6,38
YMR279C	+1,7	+1,6	+1,7	6,75	11,34	10,93	11,52	YNL030W	--	--	--	138,80	170,70	207,01	124,32
YMR280C	--	-1,6	--	12,47	12,28	7,68	8,98	YNL031C	--	--	-1,6	285,50	274,98	251,86	175,71
YMR281W	-1,5	-2	-1,6	10,74	7,03	5,41	6,93	YNL032W	--	--	--	11,45	12,71	14,41	13,89
YMR282C	--	--	--	6,71	8,39	7,24	7,61	YNL033W	--	--	--	5,13	5,02	4,81	5,46
YMR283C	--	--	--	5,78	5,95	5,28	6,06	YNL034W	--	--	--	4,08	4,67	3,30	3,96
YMR284W	--	--	--	6,69	5,71	5,16	5,88	YNL035C	--	--	--	7,30	9,25	6,70	8,26
YMR285C	--	--	--	9,38	12,32	7,99	10,42	YNL036W	+2,3	--	--	11,71	26,79	14,69	11,93
YMR287C	--	--	--	5,57	5,92	5,21	5,92	YNL037C	+2,5	+2,6	--	32,32	80,15	83,83	46,42
YMR288W	--	--	--	4,26	6,24	3,79	6,14	YNL038W	--	--	--	8,13	9,98	8,15	8,70
YMR289W	--	--	--	5,64	5,79	5,70	7,46	YNL039W	--	--	--	9,37	10,38	10,01	10,01
YMR290C	--	-1,8	--	23,16	22,46	12,93	18,02	YNL040W	--	--	--	9,08	11,70	12,02	11,85
YMR291W	-2,9	-3,9	-3,3	25,30	8,60	6,54	7,66	YNL041C	--	--	--	5,43	5,65	4,73	4,60
YMR293C	--	-1,6	--	7,03	6,87	4,40	7,03	YNL042W	--	--	--	11,86	11,51	10,89	10,59
YMR294W	--	--	--	7,72	9,12	7,24	9,03	YNL043C	--	--	--	12,24	12,24	15,03	11,07
YMR295C	--	--	--	25,36	21,50	19,13	22,96	YNL044W	--	--	--	22,51	21,03	22,30	22,18
YMR296C	--	--	-1,5	32,81	29,86	22,90	21,61	YNL045W	--	--	--	14,92	15,28	16,00	15,83
YMR297W	+1,9	+1,6	+1,6	23,75	44,71	38,44	37,78	YNL046W	--	--	--	9,38	11,87	9,98	10,93
YMR298W	--	--	--	10,45	11,83	12,73	10,91	YNL047C	--	--	--	6,60	6,10	5,98	5,77
YMR299C	--	--	--	6,65	6,96	6,76	7,99	YNL048W	--	--	--	9,22	8,68	6,79	8,43
YMR300C	-2	-1,9	-1,8	21,92	10,94	11,27	12,22	YNL049C	--	--	--	7,53	8,10	6,54	7,83
YMR301C	--	--	--	13,32	12,27	9,29	10,30	YNL050C	--	--	--	7,93	11,10	10,40	10,62
YMR302C	--	--	--	10,59	9,28	11,40	11,60	YNL051W	--	--	--	4,07	4,15	4,12	4,51
YMR303C	--	--	--	529,37	624,56	451,95	393,51	YNL052W	--	--	--	16,06	14,03	18,87	15,57
YMR304W	--	--	--	10,12	11,64	10,11	10,15	YNL053W	--	+1,5	--	6,63	9,94	10,01	9,59
YMR305C	--	-2,2	--	32,58	23,19	15,11	23,63	YNL054W	--	--	--	27,35	34,43	18,27	32,09
YMR306W	+1,9	--	--	8,79	17,05	8,88	10,28	YNL055C	--	--	--	106,03	135,22	133,00	119,65
YMR307W	--	--	--	59,50	60,47	41,46	46,75	YNL056W	--	--	--	10,85	11,01	10,61	8,69
YMR308C	+1,6	--	--	11,74	18,59	10,93	13,71	YNL057W	--	-2,1	--	10,35	7,05	4,92	7,28
YMR309C	--	-1,6	--	24,94	28,29	15,23	23,96	YNL058C	--	--	--	12,86	13,37	11,03	14,26
YMR310C	--	--	+1,6	8,25	12,07	10,45	13,11	YNL059C	--	--	--	9,89	11,14	7,60	9,52
YMR311C	--	--	--	23,87	25,91	20,02	23,42	YNL060C	--	--	--	18,72	18,02	16,55	18,00
YMR312W	--	--	--	9,63	10,55	7,23	9,70	YNL061W	--	-2,4	--	18,66	19,70	7,63	14,92
YMR313C	--	--	--	12,78	14,06	11,04	12,48	YNL062C	--	--	--	7,58	9,11	7,59	7,43
YMR314W	+1,6	--	--	39,07	63,14	54,28	47,85	YNL063W	+1,7	--	--	8,75	14,49	8,71	11,82
YMR315W	--	--	--	24,82	22,87	18,69	21,43	YNL064C	+2,5	-5	+1,6	102,18	255,67	20,35	161,71
YMR316W	-1,7	-2,5	-1,6	28,39	16,37	11,47	18,29	YNL065W	+1,8	--	+1,9	6,59	12,15	9,82	12,44

ORF	Änderungsfaktor			Normalisierte Signalintensität				ORF	Änderungsfaktor			Normalisierte Signalintensität			
	10	20	30	0	10	20	30		10	20	30	0	10	20	30
YNL066W	--	--	--	60,29	65,23	46,16	58,02	YNL140C	--	--	--	9,18	12,04	10,22	11,86
YNL067W	--	--	--	297,15	271,44	249,94	271,03	YNL141W	--	-1,5	--	20,64	23,00	13,67	23,05
YNL068C	+1,6	--	--	7,33	11,44	7,72	9,87	YNL142W	+1,6	--	--	4,74	7,42	5,79	6,50
YNL069C	--	--	--	172,98	155,31	126,06	123,69	YNL143C	+2,1	--	--	8,87	18,44	8,52	11,69
YNL070W	--	+1,5	--	6,26	8,99	9,39	7,66	YNL144C	-2,6	-3,1	-2,7	15,60	6,07	5,00	5,81
YNL071W	--	--	--	135,14	166,38	152,43	176,92	YNL145W	--	--	--	3,11	3,78	3,30	3,55
YNL072W	+1,6	+1,6	+1,5	5,49	8,90	8,62	8,23	YNL146W	--	--	--	3,51	3,90	4,23	4,46
YNL073W	--	--	--	8,55	8,81	7,81	7,38	YNL147W	--	+1,7	--	10,42	11,89	17,58	14,75
YNL074C	--	--	--	24,17	24,85	20,21	17,55	YNL148C	--	--	--	4,04	4,50	3,34	4,19
YNL075W	--	--	--	8,20	11,12	10,61	10,95	YNL149C	--	--	--	15,66	19,63	21,34	18,67
YNL076W	--	--	--	6,02	8,07	5,45	7,68	YNL150W	+1,7	+1,7	--	13,85	23,35	22,90	20,22
YNL077W	-1,8	-2	-1,8	15,68	8,55	7,67	8,79	YNL151C	--	--	--	14,06	13,64	11,16	13,67
YNL078W	+1,5	--	--	9,50	14,44	11,19	12,38	YNL152W	--	--	--	6,63	8,73	5,61	6,68
YNL079C	--	--	--	27,40	26,54	26,46	26,84	YNL153C	--	--	--	16,19	19,93	13,54	15,01
YNL080C	--	--	--	10,16	10,93	7,35	8,32	YNL154C	--	-1,5	--	15,69	18,77	10,33	15,44
YNL081C	--	--	--	10,48	12,46	10,47	13,28	YNL155W	+2,2	+1,5	--	13,85	30,17	21,21	17,29
YNL082W	--	--	+1,5	4,52	6,01	4,69	6,79	YNL156C	--	--	--	13,04	18,79	17,72	15,99
YNL083W	--	--	--	4,74	4,02	3,59	4,53	YNL157W	--	-3,5	--	20,64	19,23	5,94	19,69
YNL084C	--	--	--	26,12	26,94	18,54	23,78	YNL158W	+1,6	--	--	5,67	9,23	5,16	5,46
YNL085W	--	-1,6	--	27,78	29,23	17,61	23,84	YNL159C	--	--	--	9,90	10,42	7,84	9,83
YNL086W	--	--	--	4,05	5,20	3,95	5,93	YNL160W	+1,7	-1,8	+3,4	12,83	21,94	6,97	43,30
YNL087W	--	-4,1	--	19,75	22,51	4,83	16,43	YNL161W	--	--	--	22,18	27,56	15,38	24,87
YNL088W	--	--	+1,5	24,69	32,95	28,82	37,42	YNL162W	--	--	--	174,64	191,82	193,43	170,38
YNL089C	--	--	--	4,87	5,62	5,22	5,72	YNL163C	--	--	--	8,38	9,63	7,12	8,05
YNL090W	--	--	+1,6	6,54	9,13	7,55	10,39	YNL164C	+1,5	--	--	9,14	13,89	8,17	10,76
YNL091W	--	-1,7	--	26,19	35,20	15,55	30,69	YNL165W	--	--	--	9,50	13,08	10,89	11,04
YNL092W	--	--	--	4,41	5,51	3,80	4,66	YNL166C	--	--	--	13,09	19,57	18,03	16,63
YNL093W	--	-1,8	--	10,53	8,23	5,99	7,32	YNL167C	--	--	--	10,34	9,60	7,99	7,33
YNL094W	--	--	--	17,16	18,23	15,03	13,54	YNL168C	--	--	--	6,74	7,12	6,90	7,42
YNL095C	+1,5	--	--	6,11	9,29	6,45	7,98	YNL169C	--	--	--	6,27	6,33	5,40	6,12
YNL096C	--	+1,7	--	113,82	135,38	188,06	152,22	YNL170W	+2	+2,1	+1,6	7,88	15,49	16,82	12,57
YNL097C	--	--	--	8,45	10,26	8,21	8,35	YNL171C	--	--	--	4,50	5,25	5,36	5,32
YNL098C	--	--	--	23,80	18,14	20,47	18,10	YNL172W	--	--	--	4,34	4,66	3,65	4,41
YNL099C	--	--	--	14,30	17,11	20,05	17,41	YNL173C	--	--	--	9,90	10,14	7,89	7,94
YNL100W	--	--	--	15,86	16,72	13,90	13,75	YNL174W	--	--	--	8,85	9,40	6,42	8,74
YNL101W	--	--	--	6,45	7,35	5,34	6,06	YNL175C	--	--	--	17,14	18,37	13,19	16,32
YNL102W	+1,7	--	+1,6	10,81	18,06	11,06	16,87	YNL176C	+1,6	--	--	12,33	19,21	10,89	11,82
YNL103W	--	--	--	9,75	12,81	9,89	11,06	YNL177C	--	--	--	11,54	10,79	9,91	13,64
YNL104C	--	--	--	36,59	43,18	26,31	32,17	YNL178W	--	--	--	228,11	154,25	217,90	211,21
YNL105W	--	--	--	6,07	5,53	4,25	5,69	YNL179C	+1,7	--	--	7,31	12,41	7,15	9,47
YNL106C	--	--	--	25,34	27,40	26,64	26,69	YNL180C	+1,9	--	+1,6	12,80	24,46	19,10	20,03
YNL107W	--	--	--	5,92	6,72	6,42	7,23	YNL181W	+1,5	-1,9	--	10,26	15,78	5,50	12,79
YNL108C	--	--	--	10,69	13,81	12,66	11,72	YNL182C	+1,5	--	--	8,06	12,38	7,62	10,60
YNL109W	--	--	--	8,31	10,61	10,10	9,22	YNL183C	--	--	--	5,25	7,38	4,89	5,75
YNL110C	--	--	--	8,92	7,88	8,68	9,06	YNL184C	--	--	--	6,02	5,83	4,15	6,33
YNL111C	--	--	+1,6	4,78	5,73	7,01	7,56	YNL185C	--	--	--	6,07	7,48	7,16	7,82
YNL112W	-1,5	-3	-2,6	96,31	63,86	32,02	37,62	YNL186W	+2,3	+1,6	+1,7	11,56	26,05	18,66	19,89
YNL113W	--	+1,9	+1,8	7,03	9,43	13,08	12,65	YNL187W	+1,7	--	--	4,40	7,33	5,15	6,16
YNL114C	--	--	--	7,08	9,43	9,52	10,25	YNL188W	+2,1	--	+1,6	5,09	10,48	7,12	8,16
YNL115C	--	--	--	6,82	7,33	9,11	8,59	YNL189W	--	--	--	44,53	55,96	38,67	47,72
YNL116W	+1,7	--	--	8,78	15,29	9,93	11,98	YNL190W	--	--	--	131,41	123,69	100,35	121,63
YNL117W	--	--	--	5,50	7,14	4,90	5,97	YNL191W	--	--	--	7,39	10,11	7,47	9,33
YNL118C	+1,5	--	--	9,14	13,72	8,73	10,02	YNL192W	--	--	--	3,60	3,64	2,97	3,73
YNL119W	--	--	--	17,29	23,47	22,43	25,22	YNL193W	--	--	--	6,29	6,17	5,33	5,89
YNL120C	--	--	--	5,57	7,06	6,48	7,24	YNL194C	--	--	--	5,56	5,02	4,02	4,55
YNL121C	--	--	--	19,86	16,34	13,35	15,61	YNL195C	--	--	--	4,30	4,53	4,19	3,93
YNL122C	--	--	--	6,41	6,77	7,94	7,85	YNL196C	--	--	--	6,06	6,69	5,00	6,22
YNL123W	--	--	--	12,76	14,80	12,39	12,76	YNL197C	--	--	--	5,53	6,03	4,67	5,30
YNL124W	--	--	--	14,96	13,61	12,37	13,58	YNL198C	--	--	--	3,72	4,88	3,97	4,58
YNL125C	--	--	--	8,22	12,09	7,30	8,96	YNL199C	+2	--	--	5,43	11,00	6,49	7,50
YNL126W	--	--	--	4,83	6,42	4,97	5,54	YNL200C	--	--	--	6,14	6,57	7,55	7,11
YNL127W	--	--	--	6,38	7,04	5,78	6,06	YNL201C	--	--	--	4,58	5,12	3,82	4,91
YNL128W	--	--	--	5,26	6,90	5,06	5,36	YNL202W	--	--	--	5,70	6,45	4,62	6,37
YNL129W	--	--	--	6,15	5,91	5,37	6,29	YNL203C	--	--	--	4,76	4,26	4,66	4,42
YNL130C	+1,7	--	--	12,94	22,61	16,45	16,12	YNL204C	--	--	--	4,05	4,10	3,36	3,82
YNL131W	--	--	--	13,94	14,73	14,56	15,29	YNL205C	--	--	--	4,78	4,84	3,74	4,89
YNL132W	--	--	--	8,77	9,44	6,86	8,93	YNL206C	--	--	--	6,48	9,09	5,40	8,24
YNL133C	--	--	--	6,99	7,81	8,74	8,11	YNL207W	--	--	--	4,39	4,29	4,54	4,10
YNL134C	--	--	--	37,72	28,25	29,02	31,83	YNL208W	--	--	--	60,74	55,23	80,99	71,89
YNL135C	--	--	-1,6	32,06	42,39	46,79	19,72	YNL209W	-1,6	-2,3	-1,8	443,07	269,16	190,98	252,21
YNL136W	--	--	--	10,48	10,97	10,90	8,04	YNL210W	--	--	--	3,99	3,97	4,00	4,51
YNL137C	--	--	--	7,97	7,37	8,18	7,93	YNL211C	--	--	--	4,38	4,54	5,45	5,55
YNL138W	--	--	--	46,60	53,49	49,48	50,48	YNL212W	--	-1,6	--	15,53	15,84	9,75	11,79
YNL139C	--	-1,8	--	21,72	18,78	12,25	15,02	YNL213C	--	--	--	6,58	7,10	7,05	7,35



ORF	Änderungsfaktor			Normalisierte Signalintensität				ORF	Änderungsfaktor			Normalisierte Signalintensität			
	10	20	30	0	10	20	30		10	20	30	0	10	20	30
YNL214W	--	--	--	5,03	5,63	5,31	5,52	YNL288W	--	--	--	10,23	10,33	10,35	8,55
YNL215W	--	--	--	8,39	8,91	7,75	8,19	YNL289W	--	-2,3	--	31,92	37,96	13,75	34,34
YNL216W	--	--	--	6,22	6,12	6,10	5,95	YNL290W	--	--	--	13,03	15,98	14,52	19,24
YNL217W	-1,7	-2,2	-1,8	21,84	13,19	10,09	12,32	YNL291C	--	--	--	6,06	7,43	6,86	7,22
YNL218W	--	--	--	4,42	4,41	4,40	4,54	YNL292W	--	--	--	5,38	5,86	5,09	6,01
YNL219C	--	--	--	12,43	10,01	10,29	8,36	YNL293W	--	--	--	9,58	8,73	7,53	7,60
YNL220W	-3,9	-2,4	-1,8	53,79	13,83	22,34	30,58	YNL294C	--	-1,6	--	16,58	12,94	10,32	13,32
YNL221C	--	--	--	13,96	10,88	12,97	15,79	YNL295W	--	--	--	6,56	5,96	4,85	6,12
YNL222W	--	--	--	3,98	4,02	3,37	3,82	YNL296W	--	-1,8	--	5,87	3,98	3,20	4,26
YNL223W	--	--	--	6,38	6,07	5,49	6,11	YNL297C	--	--	--	3,85	4,31	3,70	4,17
YNL224C	--	-1,5	--	18,31	20,07	12,11	16,19	YNL298W	+1,6	-1,8	--	22,64	36,00	12,58	31,40
YNL225C	--	--	--	5,52	5,53	4,83	5,48	YNL299W	--	--	--	4,81	5,29	5,13	5,14
YNL226W	--	--	--	3,88	4,18	3,87	4,65	YNL300W	--	--	+1,6	7,69	10,37	10,04	12,04
YNL227C	--	--	--	4,91	5,70	4,55	6,17	YNL301C	--	--	--	181,39	173,49	211,66	184,18
YNL228W	--	--	+1,5	6,19	7,84	7,26	9,52	YNL302C	--	--	--	142,72	154,74	204,14	183,01
YNL229C	--	--	--	10,91	10,43	8,55	8,90	YNL303W	--	+2	--	8,39	10,67	16,80	12,28
YNL230C	--	--	--	5,74	5,48	5,92	5,73	YNL304W	--	--	--	4,97	5,34	5,04	5,13
YNL231C	+2,1	+2	--	13,67	29,11	27,55	16,81	YNL305C	--	--	--	8,84	11,04	10,61	9,24
YNL232W	--	--	--	9,02	12,49	13,20	12,08	YNL306W	--	--	--	5,90	8,41	6,12	7,26
YNL233W	--	--	--	13,06	12,93	12,86	14,52	YNL307C	--	--	--	39,32	33,04	28,77	30,58
YNL234W	--	--	--	5,07	4,96	4,29	5,08	YNL308C	--	--	--	18,51	17,88	17,70	20,11
YNL235C	+1,6	+1,9	+1,5	9,70	15,17	18,85	14,69	YNL309W	--	--	--	4,60	5,48	4,57	5,32
YNL236W	--	--	--	14,39	19,97	12,03	15,44	YNL310C	--	+1,6	--	9,85	11,51	15,87	14,49
YNL237W	--	--	--	6,61	7,03	5,23	6,39	YNL311C	--	--	--	9,25	9,81	10,51	8,76
YNL238W	--	--	--	3,70	3,86	3,14	4,21	YNL312W	--	+1,6	--	14,26	18,15	22,41	19,39
YNL239W	--	--	--	20,19	22,33	20,53	21,75	YNL313C	--	--	--	6,20	6,54	6,39	7,10
YNL240C	--	--	--	6,98	7,69	6,40	6,30	YNL314W	--	--	--	6,71	7,35	7,43	6,95
YNL241C	--	--	--	21,14	29,06	21,97	17,53	YNL315C	--	--	--	10,71	9,51	9,86	10,74
YNL242W	--	--	--	3,83	3,66	3,63	3,72	YNL316C	--	--	--	5,01	5,37	4,98	5,33
YNL243W	+1,5	--	--	28,85	43,32	32,62	30,60	YNL317W	--	--	--	10,73	10,65	9,30	9,22
YNL244C	--	+1,8	+1,6	37,36	52,23	65,55	60,16	YNL318C	--	--	--	4,73	5,09	3,29	3,74
YNL245C	--	+1,6	--	8,30	11,14	12,92	11,05	YNL319W	--	--	--	7,21	9,98	8,70	9,50
YNL246W	--	+1,7	+1,6	11,29	16,75	19,20	17,70	YNL320W	--	--	--	10,72	9,52	11,24	10,15
YNL247W	--	-2,5	--	41,43	48,21	16,53	36,64	YNL321W	--	--	--	5,71	5,69	5,04	6,10
YNL248C	--	--	--	4,42	4,47	3,73	3,89	YNL322C	--	--	--	18,36	18,59	21,92	19,14
YNL249C	--	--	--	6,63	8,18	7,22	8,69	YNL323W	--	--	--	12,10	13,84	14,73	12,39
YNL250W	--	--	--	3,79	3,49	2,94	4,06	YNL324W	--	--	--	4,23	4,27	4,06	4,57
YNL251C	--	--	--	5,93	5,88	4,80	5,44	YNL325C	--	--	--	8,53	9,11	9,79	10,25
YNL252C	--	--	--	6,82	8,68	10,06	8,95	YNL326C	--	--	--	5,40	6,94	6,07	6,68
YNL253W	--	-1,7	--	7,60	5,76	4,47	6,98	YNL327W	--	--	--	3,81	4,20	3,73	3,89
YNL254C	--	--	--	6,90	7,44	6,86	8,36	YNL328C	--	--	--	5,24	5,22	4,89	5,02
YNL255C	--	--	--	70,60	52,69	73,98	59,88	YNL329C	+1,7	--	--	9,41	16,39	9,02	13,52
YNL256W	--	--	--	10,86	15,80	9,88	13,51	YNL330C	--	--	--	11,68	16,01	8,65	14,43
YNL257C	--	--	--	5,69	4,99	3,95	4,75	YNL331C	--	--	--	11,23	13,42	8,23	11,42
YNL258C	--	--	--	4,17	3,91	3,19	4,12	YNL332W	--	--	--	4,50	5,61	5,05	5,86
YNL259C	--	--	--	6,45	7,30	8,27	7,63	YNL333W	--	--	--	5,63	7,49	5,56	6,92
YNL260C	--	--	--	6,08	8,01	6,60	6,87	YNL334C	--	--	--	5,58	6,03	5,22	6,52
YNL261W	--	--	--	9,02	12,10	10,91	10,64	YNL335W	--	--	--	4,13	3,97	3,64	4,27
YNL262W	--	--	--	3,69	3,61	3,26	3,95	YNL336W	--	--	--	3,98	3,90	3,44	3,75
YNL263C	--	--	--	11,89	12,73	11,83	11,76	YNL337W	--	--	--	4,56	5,07	4,81	4,91
YNL264C	--	--	--	11,83	14,91	12,00	13,71	YNL338W	--	--	--	9,73	13,33	8,87	10,26
YNL265C	--	--	--	8,03	9,29	9,33	8,65	YNL339C	--	--	--	3,87	3,71	3,32	3,96
YNL266W	--	--	--	6,89	6,72	8,66	8,20	YNR001C	--	+1,5	--	31,49	46,61	47,87	37,91
YNL267W	--	--	--	3,74	3,57	3,19	4,01	YNR002C	--	--	--	8,86	9,21	7,18	6,30
YNL268W	--	--	--	10,41	10,71	8,80	8,78	YNR003C	--	--	--	9,42	13,67	7,86	12,78
YNL269W	-1,8	-1,7	-2,3	34,41	19,21	20,02	14,67	YNR004W	--	--	--	5,26	4,69	4,31	4,76
YNL270C	--	--	--	4,42	5,48	4,47	5,50	YNR005C	--	-1,5	--	6,82	5,74	4,55	5,57
YNL271C	--	--	--	4,22	4,54	3,89	4,35	YNR006W	--	--	--	10,17	11,72	7,72	8,07
YNL272C	--	--	--	14,57	19,67	10,04	14,32	YNR007C	--	--	--	5,89	5,62	4,95	5,91
YNL273W	+1,6	--	--	13,81	22,26	14,16	18,23	YNR008W	--	-1,5	--	5,77	5,01	3,76	5,46
YNL274C	--	--	--	12,09	15,58	16,63	12,45	YNR009W	--	--	--	5,60	6,90	6,25	6,84
YNL275W	--	--	--	6,83	9,44	8,58	8,08	YNR010W	--	--	--	6,36	5,82	6,47	6,00
YNL276C	+1,6	+1,8	+1,7	5,12	8,22	9,34	8,83	YNR011C	--	--	--	9,23	12,14	9,10	9,75
YNL277W	+1,7	--	+1,5	5,58	9,26	8,35	8,39	YNR012W	--	--	--	8,87	9,35	7,37	9,56
YNL278W	--	--	--	8,05	10,42	6,61	9,19	YNR013C	--	--	--	30,80	37,93	23,60	31,18
YNL279W	--	--	--	4,31	5,17	4,10	5,49	YNR014W	--	-2,2	-1,9	10,88	8,21	5,00	5,88
YNL280C	--	--	--	5,20	5,06	4,67	5,66	YNR015W	--	--	--	12,13	16,91	8,70	14,74
YNL281W	+3,2	+3,1	+1,6	23,52	76,02	73,20	36,48	YNR016C	--	--	--	4,50	4,31	3,48	4,37
YNL282W	--	--	--	5,84	7,74	6,55	8,19	YNR017W	--	--	--	25,33	28,58	29,93	23,81
YNL283C	+1,6	--	--	12,78	19,83	12,48	15,48	YNR018W	--	--	--	23,27	26,09	31,84	31,12
YNL284C	+1,5	--	+1,6	12,62	18,97	13,64	19,82	YNR019W	--	--	--	4,16	4,09	3,46	4,38
YNL285W	--	--	+1,6	5,01	6,90	7,48	7,85	YNR020C	--	--	--	5,48	7,12	7,94	6,87
YNL286W	--	--	--	10,18	10,22	10,57	10,40	YNR021W	--	--	-1,6	35,01	25,45	25,82	21,75
YNL287W	--	-1,5	--	41,89	39,59	27,46	33,51	YNR022C	--	+1,9	+1,5	11,54	15,95	21,90	17,36

ORF	Änderungsfaktor			Normalisierte Signalintensität				ORF	Änderungsfaktor			Normalisierte Signalintensität			
	10	20	30	0	10	20	30		10	20	30	0	10	20	30
YNR023W	--	--	--	9,95	10,98	7,92	9,97	YOL020W	--	--	--	13,54	17,38	13,74	13,73
YNR024W	--	--	--	6,73	6,47	7,47	7,13	YOL021C	--	--	--	3,23	3,20	2,92	3,22
YNR025C	+1,5	+1,8	+1,6	7,36	11,28	12,96	12,06	YOL022C	--	--	--	12,30	10,55	10,27	12,24
YNR026C	--	--	--	9,67	12,78	8,40	10,14	YOL023W	--	--	--	6,95	6,41	5,40	5,97
YNR027W	+1,8	--	--	9,72	17,43	9,20	12,33	YOL024W	--	--	--	4,90	5,68	4,27	4,36
YNR028W	--	--	--	8,36	8,36	8,16	7,45	YOL025W	--	--	--	6,45	6,72	5,33	6,26
YNR029C	--	--	--	12,18	13,39	16,52	17,66	YOL026C	--	+1,6	--	9,15	12,02	14,82	12,10
YNR030W	--	--	--	8,59	12,36	7,90	10,87	YOL027C	--	--	--	12,15	12,03	9,69	11,19
YNR031C	--	--	--	12,18	15,68	11,35	13,11	YOL028C	--	--	--	7,44	8,09	6,44	7,70
YNR032W	--	--	--	9,80	10,48	7,43	9,09	YOL029C	--	--	--	11,41	13,84	13,37	13,72
YNR033W	+2,1	--	--	16,63	34,46	18,26	22,27	YOL030W	--	--	--	37,38	33,36	33,57	30,21
YNR034W	--	-2	--	12,13	10,43	5,94	11,74	YOL031C	--	--	--	12,34	11,17	13,88	10,74
YNR035C	+1,5	-1,7	--	51,93	78,34	30,34	64,66	YOL032W	--	--	--	10,75	8,84	9,81	9,18
YNR036C	--	--	--	16,54	21,14	19,76	23,57	YOL033W	--	--	--	6,28	8,26	7,35	8,32
YNR037C	--	--	--	9,04	10,27	10,44	8,23	YOL034W	--	--	--	6,32	8,16	7,37	7,72
YNR038W	--	--	--	7,85	10,12	6,71	8,17	YOL035C	+1,6	+1,7	--	6,99	10,88	11,68	8,46
YNR039C	+1,6	--	--	8,10	12,76	8,41	9,78	YOL036W	+1,6	--	--	11,10	17,58	9,74	13,25
YNR040W	--	--	--	4,91	4,83	3,94	4,57	YOL037C	--	--	--	11,82	11,46	9,78	11,78
YNR041C	--	--	--	10,60	12,87	10,30	11,26	YOL038W	+1,8	--	--	55,88	99,09	79,63	66,60
YNR042W	--	--	--	4,65	5,19	3,99	4,34	YOL039W	--	--	--	405,76	330,30	348,98	432,12
YNR043W	--	-1,7	--	38,67	29,35	23,01	29,88	YOL040C	--	--	--	207,24	172,39	198,03	196,01
YNR044W	--	--	--	6,42	8,48	5,58	6,69	YOL041C	--	--	--	5,85	5,17	5,26	5,20
YNR045W	--	--	--	13,06	10,59	9,58	10,27	YOL042W	--	--	--	8,11	8,03	8,88	7,87
YNR046W	--	--	--	18,74	25,43	26,57	27,41	YOL043C	--	--	--	9,04	9,89	9,17	6,98
YNR047W	--	--	--	22,88	27,68	19,09	22,99	YOL044W	--	--	--	6,72	6,15	6,13	5,59
YNR048W	--	--	--	6,04	6,78	5,83	5,88	YOL045W	--	--	--	12,65	13,64	10,48	13,00
YNR049C	--	--	--	12,16	13,34	15,13	13,87	YOL046C	--	--	--	5,95	5,16	4,47	5,31
YNR050C	--	-1,6	--	30,23	34,84	19,34	22,99	YOL047C	--	--	--	5,16	5,72	4,35	5,07
YNR051C	--	--	--	34,19	47,90	26,52	30,79	YOL048C	--	--	--	11,92	10,86	11,47	11,39
YNR052C	--	-1,6	--	60,10	79,64	38,46	83,79	YOL049W	--	--	--	30,27	29,79	22,95	33,14
YNR053C	+2,2	+1,7	+2,2	13,16	29,37	21,90	28,68	YOL050C	--	--	--	10,45	13,12	12,92	12,32
YNR054C	--	--	--	12,17	16,50	11,66	14,52	YOL051W	--	-2,1	--	115,40	154,88	53,75	146,37
YNR055C	--	--	--	15,15	19,56	16,66	18,38	YOL052C	--	--	--	12,19	13,28	9,46	11,75
YNR056C	--	--	--	4,36	4,97	4,61	5,10	YOL053C	--	+2	--	4,28	4,55	8,45	6,38
YNR057C	--	+1,9	--	5,72	7,83	10,73	8,15	YOL053W	--	--	--	9,23	8,41	7,92	8,67
YNR058W	--	--	--	5,08	6,20	5,70	4,93	YOL054W	--	--	--	8,20	8,11	6,28	8,67
YNR059W	--	--	--	6,16	4,92	5,21	4,96	YOL055C	--	--	--	8,41	11,03	11,09	11,78
YNR060W	--	--	--	6,16	5,32	4,91	4,72	YOL056W	--	--	--	8,93	9,28	7,22	7,93
YNR061C	--	--	--	14,76	15,03	15,29	14,06	YOL057W	--	-1,5	--	12,37	11,74	8,17	10,43
YNR062C	--	--	--	4,69	5,51	4,79	5,37	YOL058W	-1,7	-3	-2,3	28,57	16,36	9,56	12,62
YNR063W	--	--	--	5,09	6,16	4,99	5,98	YOL059W	--	-2,3	-1,7	40,49	37,28	17,71	23,32
YNR064C	--	--	--	5,94	7,50	6,32	8,54	YOL060C	--	--	--	7,32	8,43	6,30	7,06
YNR065C	--	-1,5	--	9,53	8,87	6,33	8,04	YOL061W	--	--	--	14,38	20,57	14,09	16,50
YNR066C	--	-1,6	--	6,51	5,49	4,09	5,84	YOL062C	--	--	--	27,74	24,24	20,01	21,18
YNR067C	+1,8	+1,6	+1,6	14,82	26,99	23,93	23,06	YOL063C	--	--	--	4,62	4,20	4,42	5,04
YNR068C	--	--	--	4,66	4,10	3,79	4,24	YOL064C	--	--	--	10,50	9,24	7,13	9,08
YNR069C	--	--	--	4,88	5,42	5,63	5,44	YOL065C	--	--	--	8,95	8,66	7,16	10,12
YNR070W	--	--	--	7,90	6,85	6,62	6,31	YOL066C	+1,8	--	--	8,63	15,20	9,19	12,69
YNR071C	--	--	--	4,99	5,96	5,10	5,11	YOL067C	+1,7	--	--	6,49	10,83	6,72	8,16
YNR072W	--	--	--	7,13	6,35	6,13	6,63	YOL068C	+1,8	--	--	27,94	50,82	23,30	36,09
YNR073C	--	--	--	6,37	5,21	4,32	4,76	YOL069W	+1,5	--	--	7,51	11,44	9,60	10,64
YNR074C	--	--	--	7,32	8,76	7,79	8,21	YOL070C	+1,6	--	--	11,51	18,56	10,96	13,51
YNR075W	--	--	--	3,58	3,59	3,07	3,79	YOL071W	--	--	--	11,78	11,98	13,09	13,26
YNR076W	--	--	--	10,11	12,93	7,28	6,98	YOL072W	--	--	--	8,66	10,03	9,30	9,14
YNR077C	--	--	--	3,27	3,39	2,52	3,70	YOL073C	--	--	--	13,24	15,90	13,59	13,13
YOL001W	--	--	--	7,40	7,68	6,13	7,07	YOL074C	--	--	--	5,24	5,30	5,08	5,26
YOL002C	-2,1	-2	-1,9	17,21	8,32	8,51	9,12	YOL075C	+1,6	--	--	12,13	19,11	12,67	14,83
YOL003C	--	--	--	8,18	9,99	8,91	10,12	YOL076W	--	--	--	8,19	9,23	9,13	9,79
YOL004W	--	--	--	17,60	21,64	18,64	20,84	YOL077C	--	--	--	33,94	35,49	25,77	34,89
YOL005C	--	--	--	13,36	14,81	18,25	19,25	YOL078W	--	--	--	5,58	5,63	4,69	5,52
YOL006C	--	--	--	4,55	5,71	5,82	5,94	YOL079W	--	--	--	5,23	5,21	4,91	5,49
YOL007C	--	--	--	7,78	10,59	10,24	10,32	YOL080C	--	--	--	5,79	7,30	5,41	6,73
YOL008W	--	--	--	9,58	11,68	13,04	11,31	YOL081W	--	--	--	5,24	6,81	5,74	5,64
YOL009C	--	--	--	6,95	7,84	9,43	8,51	YOL082W	+2	--	+1,7	16,52	33,48	23,17	27,73
YOL010W	+1,5	+1,7	+1,8	6,04	9,08	10,37	10,91	YOL083W	--	--	--	5,97	7,03	6,44	8,95
YOL011W	+1,9	--	--	5,95	11,11	6,95	7,17	YOL084W	--	--	--	11,34	8,10	12,46	11,24
YOL012C	--	--	--	12,42	14,75	12,92	14,02	YOL085C	--	--	--	3,61	4,38	3,76	4,38
YOL013C	--	--	--	9,21	8,59	6,31	7,88	YOL086C	--	--	--	1076,92	1451,58	900,39	1245,05
YOL014W	-1,9	-1,9	-1,7	18,90	9,86	9,73	10,99	YOL087C	--	-2,6	--	19,90	23,05	7,55	16,38
YOL015W	--	--	--	4,72	4,59	4,24	4,27	YOL088C	+1,9	--	+1,7	11,81	22,19	8,02	20,47
YOL016C	-6,3	-8,3	-4,7	101,69	16,21	12,31	21,69	YOL089C	--	--	--	6,24	7,71	4,39	7,32
YOL017W	--	--	--	4,58	5,81	5,28	6,14	YOL090W	+2,7	--	+2,1	12,85	34,75	12,20	26,43
YOL018C	--	--	--	7,07	6,47	6,36	6,90	YOL091W	--	--	--	3,45	4,58	3,26	4,16
YOL019W	--	--	--	7,66	8,08	7,60	7,59	YOL092W	--	--	--	22,97	21,41	15,90	21,64



ORF	Änderungsfaktor			Normalisierte Signalintensität				ORF	Änderungsfaktor			Normalisierte Signalintensität			
	10	20	30	0	10	20	30		10	20	30	0	10	20	30
YOL093W	+1,6	--	+1,9	9,54	15,01	11,91	18,57	YOR001W	--	--	--	18,54	19,54	15,21	17,79
YOL094C	+2,1	--	+1,7	7,47	15,45	8,59	12,79	YOR002W	--	--	--	21,05	17,72	17,63	16,41
YOL095C	--	--	--	5,36	5,91	3,85	5,05	YOR003W	--	--	--	6,83	9,42	10,12	8,49
YOL096C	--	--	--	9,86	8,29	7,51	8,17	YOR004W	--	--	--	19,31	21,02	22,41	18,87
YOL097C	--	-1,9	--	59,94	52,57	31,68	41,14	YOR005C	--	--	--	12,20	13,43	12,25	11,62
YOL098C	--	--	--	29,81	37,59	29,12	33,30	YOR006C	--	--	--	10,29	12,28	12,95	13,30
YOL099C	--	+1,5	--	8,00	10,40	12,04	11,77	YOR007C	+1,7	--	--	103,66	173,93	148,78	130,26
YOL100W	--	--	--	9,14	11,85	8,81	8,34	YOR008C	--	--	--	3,47	3,58	3,70	4,56
YOL101C	-2,2	-2,1	-1,9	9,71	4,42	4,69	5,21	YOR009W	+1,8	+2,1	+2	11,88	21,32	24,65	24,07
YOL102C	--	--	--	8,72	9,54	9,38	10,75	YOR010C	--	--	+1,6	9,33	13,26	7,69	14,46
YOL103W	--	--	--	12,60	14,43	11,53	10,26	YOR011W	--	--	--	8,67	11,42	7,44	9,64
YOL104C	--	--	--	4,01	4,13	3,33	3,49	YOR012W	--	--	--	3,48	3,91	3,33	4,09
YOL105C	--	--	--	8,42	9,02	5,67	6,86	YOR013W	--	+1,6	+1,6	6,90	9,31	10,74	10,71
YOL106W	+1,7	--	+1,7	144,76	246,48	151,68	244,51	YOR014W	--	-2,1	--	23,61	16,83	11,16	19,36
YOL107W	--	--	--	6,55	6,31	5,32	5,17	YOR015W	--	--	--	15,24	19,87	17,83	19,52
YOL108C	--	-1,9	--	8,87	6,79	4,69	6,73	YOR016C	--	--	--	3,27	4,19	3,14	4,03
YOL109W	--	-1,6	--	119,39	109,54	75,65	136,63	YOR017W	--	-2	--	10,85	12,68	5,51	12,71
YOL110W	--	+1,9	+1,6	7,17	9,57	13,77	11,48	YOR018W	--	-1,7	--	15,00	16,79	8,96	12,92
YOL111C	--	+1,5	--	12,82	13,51	19,84	17,30	YOR019W	-1,6	-1,6	--	12,55	7,85	7,88	8,40
YOL112W	--	--	--	7,79	9,19	10,44	10,27	YOR020C	+4	+4	+4,9	56,34	227,12	227,54	276,75
YOL113W	--	-1,6	-1,6	13,19	9,14	8,34	8,38	YOR021C	--	-1,5	--	23,83	22,78	15,63	20,88
YOL114C	--	--	--	4,35	4,37	4,10	4,20	YOR022C	--	--	--	4,50	5,52	4,61	5,09
YOL115W	--	--	--	6,05	7,27	6,19	5,96	YOR023C	--	--	--	16,51	21,89	15,99	16,60
YOL116W	--	--	--	7,88	8,32	7,00	7,34	YOR024W	--	--	--	7,36	7,97	6,99	6,81
YOL117W	--	--	--	6,01	4,90	4,57	5,58	YOR025W	+2,5	+2,2	+1,9	7,26	18,00	16,14	13,62
YOL118C	--	--	--	5,70	4,98	4,69	6,51	YOR026W	+1,6	--	--	7,65	11,97	10,67	9,81
YOL119C	--	--	--	10,40	14,91	11,70	11,89	YOR027W	+3,3	+2,4	+2,2	56,90	186,49	134,47	125,99
YOL120C	--	--	--	306,83	255,78	313,24	276,40	YOR028C	--	--	--	6,30	8,65	5,76	4,58
YOL121C	--	--	--	158,98	162,32	144,09	177,62	YOR029W	--	--	--	7,34	8,72	7,53	7,64
YOL122C	--	--	--	10,14	10,09	13,24	11,45	YOR030W	--	--	--	5,40	5,73	4,73	5,28
YOL123W	+2	--	--	16,11	32,82	15,43	13,84	YOR031W	+1,6	+2,2	+1,8	4,24	6,62	9,40	7,49
YOL124C	--	--	--	15,74	17,55	20,59	21,30	YOR032C	--	--	--	5,93	5,89	4,73	5,61
YOL125W	--	--	--	7,53	7,98	7,32	9,15	YOR033C	+1,5	--	--	6,77	10,24	6,93	6,78
YOL126C	--	-2,2	-2,2	43,47	35,45	19,80	20,19	YOR034C	--	--	--	7,24	8,79	6,38	7,26
YOL127W	--	--	--	91,61	112,64	116,05	118,16	YOR035C	-1,7	-2,3	-1,6	13,45	7,87	5,81	8,51
YOL128C	--	--	+1,6	5,45	7,85	7,08	8,49	YOR036W	-1,9	-2,9	-1,8	21,64	11,56	7,49	11,88
YOL129W	--	--	--	25,89	27,49	32,85	23,82	YOR037W	--	--	--	7,49	7,41	5,38	7,54
YOL130W	--	--	--	7,11	5,99	5,35	6,81	YOR038C	--	--	--	4,77	4,97	4,87	5,18
YOL131W	--	--	--	4,42	4,28	4,69	4,70	YOR039W	--	--	--	16,22	15,26	15,03	15,46
YOL132W	--	--	--	4,17	4,22	3,60	4,51	YOR040W	--	+1,6	--	6,40	7,81	10,37	9,42
YOL133W	--	+1,6	--	8,39	11,20	13,74	10,86	YOR041C	--	+1,8	--	12,13	13,17	21,49	17,61
YOL134C	--	--	--	8,37	11,35	11,55	10,59	YOR042W	--	--	--	17,48	18,09	18,53	18,75
YOL135C	--	+1,6	--	8,23	10,98	12,90	9,38	YOR043W	--	--	--	19,65	22,83	18,35	16,98
YOL136C	--	--	--	17,66	17,16	19,07	17,47	YOR044W	--	--	--	5,45	5,73	5,43	5,86
YOL137W	--	--	--	9,30	10,31	9,77	10,10	YOR045W	--	--	--	10,84	11,55	12,44	14,00
YOL138C	--	--	--	11,88	17,19	14,14	15,59	YOR046C	--	--	--	45,23	56,97	42,65	45,61
YOL139C	--	--	--	54,68	62,18	69,20	67,40	YOR047C	--	--	--	16,53	16,35	12,51	17,38
YOL140W	--	--	--	5,11	5,47	4,48	4,88	YOR048C	--	-1,5	--	16,66	19,57	11,10	17,12
YOL141W	--	--	--	5,05	4,87	3,75	4,60	YOR049C	--	--	--	10,81	10,39	11,50	11,03
YOL142W	--	--	--	8,73	11,76	9,36	11,16	YOR050C	--	--	--	5,16	5,72	5,85	5,52
YOL143C	--	--	-1,8	69,75	63,80	49,78	37,96	YOR051C	--	--	--	24,16	23,96	28,22	26,66
YOL144W	--	--	--	12,38	15,69	13,12	14,85	YOR052C	--	--	--	9,02	9,34	10,93	12,05
YOL145C	--	--	--	17,42	17,40	14,36	16,18	YOR053W	--	--	--	63,04	65,18	93,22	73,14
YOL146W	--	--	--	7,16	7,93	7,39	8,83	YOR054C	--	--	--	22,75	21,78	20,91	19,04
YOL147C	--	--	--	10,01	8,50	9,08	9,10	YOR055W	--	--	--	4,97	4,29	3,87	3,96
YOL148C	+1,5	--	--	9,90	14,90	12,08	12,61	YOR056C	--	--	--	10,17	14,60	10,52	12,98
YOL149W	--	+2,2	--	11,32	12,81	24,71	14,39	YOR057W	--	--	--	10,20	13,77	10,21	11,28
YOL150C	+1,8	+3,8	+2,3	7,29	13,38	28,05	16,69	YOR058C	--	--	--	8,29	8,64	6,69	7,38
YOL151W	+1,7	+1,8	+1,6	9,40	15,66	16,54	14,90	YOR059C	--	--	--	16,91	17,46	16,60	16,19
YOL152W	--	--	--	6,15	6,19	5,44	5,42	YOR060C	--	--	--	5,04	5,00	4,66	4,99
YOL153C	--	-1,6	--	9,07	7,95	5,59	6,71	YOR061W	--	--	--	4,84	4,55	4,30	5,02
YOL154W	--	--	--	6,05	5,97	5,27	6,14	YOR062C	--	--	--	4,58	5,16	4,44	4,63
YOL155C	-1,5	-2,3	-1,8	52,23	33,73	23,05	29,32	YOR063W	--	--	--	990,47	813,44	889,45	733,09
YOL156W	--	--	--	8,46	10,27	8,62	8,98	YOR064C	+1,7	+2,4	+1,7	8,54	14,29	20,56	14,58
YOL157C	--	-2,2	--	7,99	5,66	3,56	6,01	YOR065W	--	+1,6	--	39,92	32,38	65,41	35,27
YOL158C	-2,8	-6,5	-5	42,09	14,99	6,49	8,44	YOR066W	--	--	--	5,23	6,77	6,12	5,71
YOL159C	--	--	--	13,30	10,49	16,46	11,11	YOR067C	--	--	--	11,77	8,54	10,86	10,97
YOL160W	--	--	--	4,32	5,75	3,90	5,45	YOR068C	--	--	--	7,24	7,35	6,83	7,87
YOL161C	--	--	--	10,73	10,46	8,93	9,20	YOR069W	--	--	--	10,71	10,36	7,91	8,54
YOL162W	--	--	--	4,61	4,91	4,31	4,74	YOR070C	--	+1,6	--	4,85	5,84	7,99	4,48
YOL163W	--	--	--	4,78	5,00	4,29	4,96	YOR071C	--	-1,7	--	10,11	14,51	6,05	10,59
YOL164W	--	--	--	6,12	7,98	4,77	5,97	YOR072W	--	--	--	3,94	4,80	3,97	4,84
YOL165C	--	--	--	8,67	11,06	9,03	10,24	YOR073W	--	--	--	7,46	10,96	9,99	9,52
YOL166C	--	--	--	4,01	4,23	3,48	4,39	YOR074C	--	--	--	15,65	18,78	18,30	18,42

ORF	Änderungsfaktor			Normalisierte Signalintensität				ORF	Änderungsfaktor			Normalisierte Signalintensität			
	10	20	30	0	10	20	30		10	20	30	0	10	20	30
YOR075W	--	--	--	8,62	8,56	10,20	9,71	YOR149C	--	--	--	7,10	6,26	7,46	7,36
YOR076C	--	--	--	8,18	8,05	6,94	7,53	YOR150W	--	--	--	9,15	10,32	12,74	11,16
YOR077W	--	--	--	5,57	5,85	5,78	6,26	YOR151C	+1,5	--	--	25,42	38,96	29,54	32,25
YOR078W	+2,3	+2,9	+2,8	10,49	24,11	30,61	28,98	YOR152C	+1,6	--	--	4,74	7,73	6,11	6,87
YOR079C	--	-1,5	--	9,69	8,07	6,46	7,48	YOR153W	+2	--	+1,5	18,28	37,41	16,22	27,82
YOR080W	--	--	--	7,05	8,45	9,04	8,53	YOR154W	--	--	--	5,92	6,90	5,19	7,50
YOR081C	--	--	--	6,31	7,90	6,87	7,64	YOR155C	--	--	--	16,62	14,36	12,22	14,09
YOR082C	+1,6	--	--	6,57	10,38	4,85	4,81	YOR156C	--	--	--	8,96	10,17	8,32	10,21
YOR083W	--	--	--	4,98	4,56	4,04	4,50	YOR157C	--	--	--	50,32	70,08	69,91	54,63
YOR084W	+1,7	--	--	9,79	16,49	12,54	14,53	YOR158W	--	--	--	16,17	17,40	19,85	16,94
YOR085W	--	--	--	10,17	12,40	8,04	10,57	YOR159C	--	+1,7	--	7,08	8,32	12,03	9,18
YOR086C	--	--	--	30,59	29,85	27,18	27,10	YOR160W	--	--	--	13,94	19,94	15,08	17,73
YOR087W	--	-2,1	--	6,76	4,85	3,16	5,52	YOR161C	--	--	--	18,91	21,02	21,73	17,03
YOR088W	--	--	--	10,22	11,36	9,33	9,78	YOR162C	--	--	--	9,91	8,98	9,99	11,72
YOR089C	--	--	--	20,68	19,13	20,21	17,71	YOR163W	+1,7	+2,2	+2,1	26,46	44,21	58,64	54,54
YOR090C	--	-1,6	--	11,64	11,15	7,37	9,73	YOR164C	--	--	--	20,11	24,74	19,18	19,02
YOR091W	--	-1,5	--	30,91	39,28	20,56	25,43	YOR165W	--	--	--	12,36	10,01	10,12	11,55
YOR092W	--	--	--	11,98	14,75	8,71	11,80	YOR166C	--	--	--	8,52	10,53	8,59	10,06
YOR093C	+1,6	--	+1,5	8,70	13,66	9,18	13,23	YOR167C	--	--	--	165,66	167,89	217,00	157,75
YOR094W	+1,6	--	--	9,37	14,61	9,48	10,79	YOR168W	--	--	--	11,53	11,37	8,97	9,82
YOR095C	--	--	--	21,22	22,40	17,44	20,53	YOR169C	--	+2,1	+1,5	34,76	38,96	73,59	52,16
YOR096W	--	--	--	318,87	302,10	451,95	309,21	YOR170W	--	+1,5	--	9,01	10,63	13,65	11,19
YOR097C	--	+1,8	--	10,24	13,60	18,93	13,57	YOR171C	--	--	--	15,93	16,52	12,78	13,77
YOR098C	--	--	--	10,98	16,39	12,40	14,19	YOR172W	--	--	--	4,28	4,56	3,58	4,20
YOR099W	--	--	-1,5	27,65	21,39	20,55	18,33	YOR173W	--	--	--	4,91	4,71	4,17	4,73
YOR100C	+2,2	+1,6	--	4,09	9,05	6,49	5,46	YOR174W	--	--	--	3,63	3,73	3,52	3,79
YOR101W	--	--	--	12,68	10,60	12,72	12,14	YOR175C	--	-1,9	--	10,33	7,46	5,52	7,04
YOR102W	--	+1,8	--	12,51	18,45	23,09	15,56	YOR176W	--	--	--	13,47	11,08	9,07	10,79
YOR103C	--	--	--	16,63	15,68	19,43	17,25	YOR177C	--	-1,6	--	6,41	5,04	4,11	5,02
YOR104W	--	--	--	9,15	8,19	7,78	8,14	YOR178C	-1,6	-2,1	-1,7	10,29	6,24	4,96	6,01
YOR105W	--	--	--	9,33	11,15	8,14	8,57	YOR179C	--	+1,5	--	11,28	12,64	16,96	14,39
YOR106W	--	--	--	9,44	11,19	8,04	8,46	YOR180C	--	--	--	4,47	5,29	4,71	4,99
YOR107W	--	--	--	5,77	5,96	4,50	6,77	YOR181W	--	--	--	8,03	7,83	6,00	6,78
YOR108W	--	--	--	27,07	19,37	19,16	26,33	YOR182C	--	+1,8	--	90,97	125,12	164,39	114,41
YOR109W	--	-1,7	--	16,75	24,83	9,78	15,95	YOR183W	--	--	--	3,95	4,87	5,28	5,39
YOR110W	--	-1,5	--	13,68	12,99	9,04	12,26	YOR184W	-1,7	-2,8	-1,6	70,58	41,52	24,84	44,03
YOR111W	--	--	--	5,00	6,05	4,81	6,65	YOR185C	--	--	--	51,79	56,04	65,83	63,63
YOR112W	--	--	--	6,54	7,47	6,56	7,84	YOR186W	--	--	--	3,81	4,37	3,54	4,28
YOR113W	--	--	--	3,95	4,85	4,11	4,70	YOR187W	--	--	--	21,14	22,73	15,24	23,62
YOR114W	--	-2	--	10,41	13,17	5,09	11,15	YOR188W	+1,6	--	+1,6	13,13	20,93	13,18	20,41
YOR115C	--	--	--	11,69	16,07	10,42	14,50	YOR189W	--	--	--	10,31	12,05	11,80	13,10
YOR116C	--	--	--	24,01	33,91	18,22	26,22	YOR190W	--	--	--	5,89	6,86	5,30	5,97
YOR117W	--	-1,6	--	39,31	54,14	25,16	30,45	YOR191W	--	--	--	20,90	25,04	20,58	23,57
YOR118W	+1,7	--	--	4,20	6,96	3,98	4,12	YOR192C	+1,9	--	--	6,95	13,23	9,28	9,72
YOR119C	--	--	--	8,14	9,39	7,35	9,61	YOR193W	+1,6	--	--	9,15	14,97	12,40	11,36
YOR120W	--	-1,7	--	18,91	13,83	11,45	13,88	YOR194C	--	-1,8	--	16,05	20,12	9,11	23,44
YOR121C	--	--	--	12,84	13,50	18,98	15,01	YOR195W	--	--	--	19,23	20,20	18,48	18,80
YOR122C	--	+2	+1,5	38,37	48,66	75,71	58,12	YOR196C	--	--	--	18,56	20,15	15,07	21,81
YOR123C	--	--	--	9,79	8,15	8,03	8,58	YOR197W	--	--	--	33,45	34,76	23,03	30,93
YOR124C	--	--	--	35,20	45,02	29,19	39,65	YOR198C	--	-2,1	--	61,25	50,26	28,53	44,28
YOR125C	--	--	--	12,03	13,28	17,18	14,04	YOR199W	--	--	--	6,47	8,95	6,54	7,50
YOR126C	--	--	--	9,40	9,59	13,25	12,12	YOR200W	+1,6	--	+2	6,23	10,04	7,63	12,63
YOR127W	--	--	--	12,46	12,40	9,40	12,00	YOR201C	+1,6	--	+1,5	7,15	11,23	7,44	10,78
YOR128C	-2,8	-3	-2,1	28,13	10,16	9,53	13,48	YOR202W	--	--	--	11,19	13,98	13,27	14,21
YOR129C	+1,7	--	--	6,17	10,44	6,69	6,60	YOR203W	--	+1,6	+1,7	9,07	13,14	14,17	15,79
YOR130C	--	--	--	7,28	8,06	5,71	6,42	YOR204W	--	-3,5	--	31,77	28,53	9,03	24,59
YOR131C	--	--	--	11,08	12,02	11,71	11,85	YOR205C	+1,8	--	+1,5	5,59	10,12	7,24	8,43
YOR132W	--	-2,3	-1,6	20,00	15,55	8,52	12,81	YOR206W	--	--	--	7,02	9,84	7,23	9,32
YOR133W	--	-1,8	-2	184,74	145,53	101,20	91,91	YOR207C	--	--	--	3,86	3,56	3,35	3,93
YOR134W	--	--	--	5,73	6,10	6,27	5,78	YOR208W	--	-1,7	--	9,43	7,66	5,67	6,98
YOR135C	+1,7	+3	+2,4	21,21	36,84	64,54	50,48	YOR209C	--	-3,2	-1,5	32,95	25,27	10,44	21,46
YOR136W	+2,1	+4,9	+3	68,61	141,47	335,16	208,98	YOR210W	+1,9	+1,6	--	7,62	14,24	11,83	10,54
YOR137C	--	+2,2	--	8,12	10,16	17,47	10,24	YOR211C	--	--	--	6,30	5,91	4,50	5,44
YOR138C	--	--	--	6,41	7,23	6,96	6,40	YOR212W	--	--	--	6,73	6,34	5,31	5,94
YOR139C	--	--	--	4,71	4,74	4,89	4,80	YOR213C	--	--	--	6,71	7,64	6,32	7,32
YOR140W	+1,6	--	--	7,30	11,73	7,93	8,70	YOR214C	--	--	--	4,28	4,14	3,83	4,14
YOR141C	--	--	--	5,66	5,95	5,54	5,84	YOR215C	--	--	--	12,95	9,44	12,46	10,10
YOR142W	--	--	--	16,24	16,86	13,53	14,98	YOR216C	--	--	--	12,32	11,52	15,47	13,75
YOR143C	--	--	--	6,41	8,10	5,99	8,28	YOR217W	--	--	--	14,00	19,51	14,86	17,15
YOR144C	--	--	--	4,61	6,25	5,37	5,80	YOR218C	--	--	--	13,14	14,43	15,40	14,06
YOR145C	--	--	+1,6	9,77	13,07	11,58	15,41	YOR219C	--	-1,6	-1,7	11,67	10,01	7,35	7,04
YOR146W	--	+2,4	+1,8	9,81	14,71	23,35	17,82	YOR220W	-1,5	-1,5	-1,5	20,00	12,95	12,93	13,14
YOR147W	--	--	--	7,50	7,07	8,12	6,68	YOR221C	--	--	--	15,53	20,78	19,43	13,28
YOR148C	--	--	--	6,92	8,03	10,22	9,78	YOR222W	--	--	--	10,94	12,60	7,47	8,75

ORF	Änderungsfaktor			Normalisierte Signalintensität				ORF	Änderungsfaktor			Normalisierte Signalintensität			
	10	20	30	0	10	20	30		10	20	30	0	10	20	30
YOR223W	--	--	--	10,00	8,44	7,27	9,08	YOR297C	--	--	--	10,55	14,73	12,78	11,70
YOR224C	--	--	--	40,91	45,96	53,56	48,40	YOR298W	+2	--	--	22,84	45,77	30,49	22,35
YOR225W	--	+1,9	+1,5	5,32	7,40	9,93	7,97	YOR299W	--	-1,9	--	12,23	11,80	6,58	13,12
YOR226C	--	--	--	6,75	6,63	7,00	7,09	YOR300W	+1,7	--	--	5,95	10,16	7,09	8,66
YOR227W	+1,7	+1,9	+1,6	24,66	41,13	47,93	38,76	YOR301W	--	--	--	7,57	10,81	6,23	10,17
YOR228C	--	+1,7	--	5,40	5,52	9,05	6,96	YOR302W	--	--	--	4,25	4,92	3,60	4,38
YOR229W	--	--	--	18,90	13,98	22,15	18,78	YOR303W	+1,7	-1,9	--	27,39	47,18	14,45	40,42
YOR230W	+1,6	+1,6	+1,7	56,94	88,47	89,72	94,43	YOR304W	+1,6	--	--	19,32	30,02	17,45	25,36
YOR231W	--	--	--	6,60	6,78	6,21	6,78	YOR305W	+1,8	+1,6	+1,8	14,52	25,68	22,97	25,68
YOR232W	--	--	--	33,18	26,67	31,54	30,19	YOR306C	-1,7	-2,2	-1,7	23,04	13,68	10,45	13,85
YOR233W	+2,1	--	--	8,20	17,25	9,82	11,27	YOR307C	+1,8	--	+1,6	6,88	12,69	9,84	10,89
YOR234C	--	--	--	81,62	88,95	91,54	97,07	YOR308C	+1,7	--	+1,5	5,93	9,99	7,42	9,13
YOR235W	--	--	--	6,27	6,42	5,89	6,25	YOR309C	--	--	--	73,90	68,24	73,25	95,44
YOR236W	--	--	--	10,18	8,94	8,44	10,95	YOR310C	--	-1,6	--	54,84	39,07	33,77	39,21
YOR237W	--	--	--	4,31	5,44	3,67	5,39	YOR311C	--	--	--	11,49	13,61	13,42	12,56
YOR238W	--	+1,7	--	9,10	10,56	15,67	13,08	YOR312C	--	--	--	219,53	174,41	225,63	229,14
YOR239W	--	+1,6	--	21,46	25,40	34,10	26,56	YOR313C	--	--	--	4,03	4,62	4,52	4,66
YOR240W	--	--	--	13,21	13,21	13,36	12,16	YOR314W	--	--	--	4,24	4,13	3,72	3,90
YOR241W	--	--	--	16,66	19,11	18,30	16,23	YOR315W	+1,8	+1,6	+1,7	4,74	8,54	7,54	8,17
YOR242C	+1,7	--	--	5,20	8,85	7,26	5,85	YOR316C	--	-1,5	--	14,42	18,77	9,39	12,29
YOR243C	--	--	--	13,74	12,00	9,29	12,22	YOR317W	+2	--	--	45,77	89,81	42,20	59,67
YOR244W	--	--	--	9,42	12,13	10,90	10,93	YOR318C	--	--	--	5,62	6,75	4,19	5,89
YOR245C	--	--	--	9,25	10,12	8,63	7,52	YOR319W	--	--	--	7,63	7,42	6,86	8,26
YOR246C	+1,5	--	--	11,38	17,16	11,14	10,64	YOR320C	--	-1,5	--	10,55	12,99	6,83	10,74
YOR247W	--	--	--	88,28	93,26	60,79	60,35	YOR321W	--	--	--	12,64	12,76	11,76	12,82
YOR248W	--	--	--	71,72	81,04	58,12	53,00	YOR322C	--	--	--	6,79	8,03	6,33	8,12
YOR249C	--	--	--	9,33	9,52	8,33	9,69	YOR323C	--	--	--	33,24	24,79	25,30	27,50
YOR250C	--	--	--	9,86	10,10	11,25	10,57	YOR324C	--	--	--	4,62	5,17	4,33	4,38
YOR251C	--	--	--	9,61	11,04	11,32	11,68	YOR325W	--	-1,5	--	8,62	6,15	5,75	6,34
YOR252W	--	+3,6	--	15,69	14,05	56,86	16,78	YOR326W	--	--	--	3,99	3,44	3,65	3,83
YOR253W	--	+1,6	--	19,47	24,43	30,33	24,51	YOR327C	--	--	--	22,41	24,24	28,41	29,70
YOR254C	--	--	-2,1	65,04	51,83	44,75	30,64	YOR328W	--	--	--	9,00	8,70	7,70	8,07
YOR255W	--	--	--	4,55	4,33	3,71	4,11	YOR329C	--	--	--	12,05	12,99	9,11	10,72
YOR256C	--	--	--	8,79	7,15	6,87	6,81	YOR330C	--	-1,5	--	11,41	12,51	7,55	9,34
YOR257W	--	+1,5	--	10,71	10,97	16,34	14,57	YOR331C	--	--	--	34,16	31,62	33,56	35,67
YOR258W	+1,7	--	--	6,59	11,23	8,66	7,24	YOR332W	--	--	--	54,19	51,61	65,73	55,74
YOR259C	+1,5	--	--	14,03	21,54	16,20	16,87	YOR333C	--	--	--	5,73	5,60	5,52	6,35
YOR260W	--	--	--	19,97	23,02	17,52	19,28	YOR334W	--	--	--	5,68	7,30	7,21	7,73
YOR261C	+1,6	--	--	28,26	45,18	32,28	33,75	YOR335C	--	--	--	11,43	9,49	7,88	9,22
YOR262W	--	--	--	12,94	17,37	13,21	14,79	YOR336W	--	--	--	13,86	13,42	13,38	15,01
YOR263C	--	--	--	5,95	7,33	6,95	6,71	YOR337W	--	--	--	5,32	5,71	5,43	6,08
YOR264W	--	+1,5	--	10,70	15,36	16,24	14,44	YOR338W	--	--	--	4,25	5,11	4,79	6,10
YOR265W	--	+2,4	+2	10,80	15,18	26,23	21,96	YOR339C	--	--	--	5,44	5,68	5,38	5,74
YOR266W	--	--	--	8,89	9,04	9,35	11,14	YOR340C	--	--	--	14,76	15,86	10,90	14,82
YOR267C	-2,1	-2,4	-2	81,46	37,99	34,17	41,16	YOR341W	--	-1,7	--	19,66	22,01	11,53	16,98
YOR268C	--	--	--	4,23	4,22	3,65	4,22	YOR342C	--	--	+1,5	19,28	25,16	25,51	29,12
YOR269W	--	--	--	6,04	5,71	4,98	6,15	YOR343C	--	--	--	4,43	4,28	4,38	4,86
YOR270C	--	-2	--	80,02	83,14	39,84	70,73	YOR344C	--	--	--	32,37	22,06	24,56	27,87
YOR271C	--	--	--	19,96	25,48	16,44	23,26	YOR345C	--	--	--	4,30	5,19	4,69	4,94
YOR272W	--	-1,7	--	20,61	22,76	12,48	19,34	YOR346W	--	--	--	9,19	8,50	11,61	8,24
YOR273C	--	-2	-1,5	12,04	11,72	6,15	7,93	YOR347C	--	--	--	19,40	16,59	15,80	16,35
YOR274W	--	--	--	7,37	7,07	7,08	8,23	YOR348C	--	--	--	4,04	5,09	4,03	4,28
YOR275C	--	--	--	11,75	10,82	9,67	9,99	YOR349W	--	--	--	4,83	4,85	5,18	4,91
YOR276W	--	--	--	25,11	20,54	19,29	21,83	YOR350C	--	--	--	7,79	8,49	5,58	8,29
YOR277C	--	--	--	22,89	19,51	21,61	21,92	YOR351C	--	--	--	5,60	5,05	3,98	5,00
YOR278W	--	--	--	9,76	11,55	7,27	10,77	YOR352W	--	--	--	13,50	10,19	9,68	10,13
YOR279C	--	--	--	6,84	7,65	6,86	7,00	YOR353C	--	--	--	11,15	12,45	10,70	12,32
YOR280C	--	--	--	9,25	10,91	6,36	11,44	YOR354C	--	--	--	11,45	14,31	13,69	14,17
YOR281C	--	--	--	14,20	18,49	12,35	18,26	YOR355W	+1,8	--	--	16,94	29,90	21,66	20,34
YOR282W	--	--	--	6,50	7,60	5,36	5,93	YOR356W	--	--	--	3,94	4,10	3,53	3,92
YOR283W	--	--	--	10,18	14,51	11,31	13,83	YOR357C	--	+1,9	+1,6	10,01	14,99	19,40	15,97
YOR284W	--	--	--	5,80	5,82	5,92	6,32	YOR358W	--	--	--	11,49	11,47	12,38	12,86
YOR285W	--	-2,4	+1,9	32,15	44,46	13,54	60,49	YOR359W	--	+4,2	--	5,67	7,00	23,92	5,78
YOR286W	--	+1,6	+1,5	13,63	19,60	21,39	20,61	YOR360C	+1,5	+1,5	--	16,51	24,89	25,50	24,61
YOR287C	--	--	+1,6	6,86	10,03	8,98	11,29	YOR361C	--	--	--	38,79	50,24	31,80	35,82
YOR288C	--	--	--	7,25	7,12	6,76	6,56	YOR362C	+1,6	--	--	46,56	73,83	61,17	43,71
YOR289W	--	--	--	8,67	9,26	12,52	12,50	YOR363C	--	--	--	7,29	9,44	5,80	7,37
YOR290C	--	--	--	20,21	25,69	16,43	21,30	YOR364W	--	--	--	4,10	4,80	4,20	5,05
YOR291W	--	--	--	14,66	20,58	17,80	15,82	YOR365C	--	--	--	5,65	7,96	5,89	7,46
YOR292C	--	--	--	6,09	6,21	5,17	5,37	YOR366W	--	--	--	3,95	5,66	4,77	5,35
YOR293W	--	--	--	203,15	248,54	304,53	232,81	YOR367W	--	-1,8	+1,5	10,18	11,09	5,52	15,73
YOR294W	--	--	--	13,93	20,69	13,74	13,72	YOR368W	--	--	--	7,80	10,21	7,43	10,26
YOR295W	--	--	+1,7	5,42	6,81	5,94	9,48	YOR369C	--	--	--	553,05	468,13	756,52	536,87
YOR296W	--	--	--	4,11	3,85	3,93	4,60	YOR370C	+1,6	--	+1,6	21,12	32,95	19,00	33,82

ORF	Änderungsfaktor			Normalisierte Signalintensität				ORF	Änderungsfaktor			Normalisierte Signalintensität			
	10	20	30	0	10	20	30		10	20	30	0	10	20	30
YOR371C	--	--	--	9,38	9,49	6,50	7,82	YPL051W	--	--	--	7,30	9,12	8,31	8,03
YOR372C	--	-1,9	--	25,97	21,81	13,75	22,26	YPL052W	--	--	--	10,71	10,94	9,35	10,89
YOR373W	--	--	--	4,11	4,21	3,42	4,14	YPL053C	--	--	--	9,75	7,81	10,68	9,05
YOR374W	+2	--	--	42,33	86,53	47,70	45,99	YPL054W	--	--	--	4,24	4,13	3,92	4,42
YOR375C	--	-1,6	-1,8	66,32	55,81	41,51	37,44	YPL055C	--	--	--	15,31	14,49	17,15	14,96
YOR376W	--	--	--	4,19	4,34	3,59	4,53	YPL056C	--	--	--	5,64	7,16	6,00	5,87
YOR377W	--	-1,8	-1,6	12,07	9,08	6,88	7,52	YPL057C	-3,3	-3,6	-3	45,69	14,03	12,78	15,25
YOR378W	--	--	--	5,08	5,64	5,63	5,53	YPL058C	--	--	--	5,41	6,31	6,07	5,67
YOR379C	--	--	--	4,34	5,11	4,69	5,31	YPL059W	--	+1,5	--	18,39	26,45	28,38	25,61
YOR380W	--	--	--	7,47	8,51	8,59	7,91	YPL060W	--	--	--	7,33	6,73	5,30	7,61
YOR381W	--	--	--	3,94	3,61	3,83	4,30	YPL061W	+9,8	+3,2	+2,3	54,77	536,59	177,66	126,55
YOR382W	-8,5	-9,2	-14,4	137,81	16,14	15,01	9,55	YPL062W	--	--	--	4,68	5,12	4,45	4,56
YOR383C	-6,2	-5,7	-7,8	213,55	34,60	37,76	27,54	YPL063W	--	-5	--	38,76	32,09	7,80	33,81
YOR384W	--	--	--	5,73	5,13	3,94	5,58	YPL064C	--	--	--	7,65	9,67	9,46	10,43
YOR385W	-2,7	-2,9	-1,9	36,45	13,35	12,64	19,62	YPL065W	--	+1,5	--	6,24	8,77	9,42	8,25
YOR386W	--	-2,1	-1,5	12,69	9,32	6,19	8,27	YPL066W	--	-1,6	--	17,21	19,37	10,52	17,39
YOR387C	+2	--	+1,7	5,13	10,48	7,03	8,71	YPL067C	--	--	--	5,50	5,43	4,75	5,57
YOR388C	--	--	--	4,30	5,90	4,46	5,52	YPL068C	+1,8	--	--	5,93	10,46	7,20	8,81
YOR389W	--	--	--	9,42	11,64	8,01	10,73	YPL069C	--	--	--	10,25	12,70	9,59	11,28
YOR390W	+1,5	--	--	10,11	15,34	8,17	11,27	YPL070W	--	-2,3	--	18,55	15,27	7,99	12,39
YOR391C	--	--	--	3,76	4,73	3,92	4,53	YPL071C	--	--	--	10,58	12,50	11,95	11,85
YOR392W	--	--	--	3,80	4,06	3,27	4,26	YPL072W	--	--	--	10,05	11,57	12,63	11,47
YOR393W	+2,1	--	+2,9	7,37	15,16	5,08	21,66	YPL073C	--	--	--	4,26	4,28	4,09	4,53
YOR394W	--	--	--	7,55	8,21	6,38	8,79	YPL074W	--	--	--	4,19	4,43	4,28	4,72
YPL001W	--	--	--	10,04	11,91	9,69	11,32	YPL075W	--	--	--	7,80	7,66	6,66	7,02
YPL002C	--	--	--	8,41	9,56	9,15	8,60	YPL076W	--	--	--	8,25	6,28	7,44	7,91
YPL003W	+1,6	--	--	9,52	15,43	14,22	13,23	YPL077C	--	--	--	7,14	7,49	9,11	8,28
YPL004C	--	--	--	53,80	59,27	54,58	47,75	YPL078C	--	--	--	45,54	51,55	48,61	46,85
YPL005W	--	--	--	5,95	6,85	6,48	6,12	YPL079W	--	--	--	223,06	196,74	234,93	193,02
YPL006W	--	--	--	3,58	3,75	3,58	3,94	YPL080C	+3	+2,8	+2,3	5,50	16,63	15,46	12,77
YPL007C	--	--	--	10,18	11,18	9,53	9,82	YPL081W	+1,8	--	--	144,58	255,70	188,03	165,10
YPL008W	--	--	--	5,39	5,47	5,39	5,45	YPL082C	--	--	--	9,35	13,58	13,59	9,78
YPL009C	--	--	--	4,85	4,89	4,34	4,67	YPL083C	--	--	+1,5	10,17	11,99	13,70	15,74
YPL010W	--	+1,5	--	20,35	26,41	30,68	27,58	YPL084W	--	-1,9	--	25,26	18,47	13,33	21,63
YPL011C	--	--	--	8,31	9,52	8,15	8,31	YPL085W	--	--	--	3,92	4,75	4,23	5,08
YPL012W	--	--	--	26,42	30,88	22,87	29,20	YPL086C	--	--	--	12,26	14,11	9,07	13,86
YPL013C	--	+1,7	+1,7	13,26	16,82	23,15	21,88	YPL087W	--	-1,9	--	21,89	17,88	11,72	16,80
YPL014W	-2,4	-3,6	-2	22,73	9,45	6,30	11,45	YPL088W	-1,6	-1,9	--	12,10	7,37	6,47	9,92
YPL015C	--	--	--	15,39	17,28	11,07	13,78	YPL089C	--	-3,1	-1,5	77,05	80,51	24,72	49,79
YPL016W	--	--	--	3,77	3,82	3,41	4,46	YPL090C	--	-2,5	--	572,66	594,04	229,77	504,41
YPL017C	+2,5	+1,8	+1,9	6,58	16,76	11,91	12,27	YPL091W	--	--	--	34,04	37,50	25,11	29,14
YPL018W	+2	+1,9	+1,7	4,80	9,57	9,06	8,35	YPL092W	-2,1	-2,8	-2,9	22,67	10,70	8,03	7,70
YPL019C	--	--	--	14,78	18,38	16,02	14,09	YPL093W	--	-1,6	--	33,94	42,04	20,78	34,73
YPL020C	--	--	--	10,38	7,89	7,95	7,65	YPL094C	--	--	--	33,19	49,51	33,31	47,81
YPL021W	--	--	--	4,30	4,91	3,86	4,27	YPL095C	--	--	--	9,08	9,68	7,06	8,62
YPL022W	--	--	--	22,20	24,45	16,61	18,93	YPL096W	--	-1,7	--	9,36	9,45	5,56	8,93
YPL023C	--	--	--	13,14	10,98	10,43	10,43	YPL097W	--	--	--	6,40	7,36	5,96	6,91
YPL024W	+2	+1,7	+1,6	6,91	13,90	11,53	11,12	YPL098C	--	--	--	10,68	12,56	15,13	13,51
YPL025C	--	-1,5	--	8,01	8,35	5,18	6,57	YPL099C	--	--	--	8,69	7,73	8,77	9,36
YPL026C	--	--	+1,6	10,39	13,32	9,67	17,05	YPL100W	--	--	--	8,92	8,17	6,99	7,61
YPL027W	--	--	--	4,16	4,28	3,99	4,34	YPL101W	--	--	--	10,62	11,49	10,78	10,44
YPL028W	--	--	--	61,09	57,17	50,61	56,30	YPL102C	--	--	--	5,45	6,42	5,66	6,07
YPL029W	--	--	--	6,42	7,83	6,74	7,83	YPL103C	--	--	--	7,30	8,25	7,75	8,60
YPL030W	+1,6	--	+5,6	5,81	9,28	8,30	32,45	YPL104W	--	--	--	7,11	7,59	7,09	7,23
YPL031C	--	--	--	14,93	15,94	18,45	16,89	YPL105C	--	--	--	22,48	30,30	17,95	22,48
YPL032C	--	--	--	7,95	7,78	7,47	7,62	YPL106C	+2,2	--	--	76,93	165,43	92,37	96,88
YPL033C	--	--	--	4,09	4,34	3,94	4,17	YPL107W	--	--	--	7,54	7,87	7,61	8,35
YPL034W	+1,7	+1,5	--	6,96	11,55	10,58	10,28	YPL108W	--	--	--	6,25	7,30	6,84	8,24
YPL035C	--	--	--	5,39	7,03	7,20	6,61	YPL109C	--	--	--	8,66	7,04	6,75	7,36
YPL036W	--	-1,8	--	23,76	19,45	13,01	18,87	YPL110C	--	--	--	4,19	3,96	3,42	3,99
YPL037C	--	--	--	131,25	136,47	188,85	152,91	YPL111W	--	--	--	19,36	27,92	16,84	15,59
YPL038W	--	+1,6	--	7,35	10,57	11,51	10,40	YPL112C	+1,5	+1,7	--	11,00	16,72	18,29	13,31
YPL039W	--	--	--	5,53	6,70	6,33	6,86	YPL113C	--	--	--	5,66	6,52	6,07	6,10
YPL040C	--	--	--	11,86	15,94	17,04	15,29	YPL114W	--	--	--	4,88	5,46	5,55	4,72
YPL041C	--	--	--	9,83	11,21	11,86	10,18	YPL115C	--	--	--	11,95	16,34	12,71	14,18
YPL042C	--	--	--	6,11	6,79	6,25	6,73	YPL116W	--	--	--	5,39	6,35	5,83	6,02
YPL043W	--	--	--	11,57	10,32	10,47	11,09	YPL117C	--	--	--	23,03	19,33	25,77	31,21
YPL044C	--	--	--	7,62	7,69	6,08	7,33	YPL118W	--	--	--	12,65	14,22	9,61	14,14
YPL045W	--	--	--	11,04	12,38	12,31	14,89	YPL119C	--	--	--	8,15	7,23	5,46	7,33
YPL046C	+1,7	--	--	40,96	69,77	60,27	59,73	YPL120W	--	--	--	6,62	8,73	7,42	8,40
YPL047W	+1,7	--	+1,6	28,29	47,65	39,23	46,58	YPL121C	--	--	--	3,77	4,43	3,79	4,52
YPL048W	--	-2,1	--	90,80	110,54	43,36	78,64	YPL122C	--	--	--	8,43	9,72	7,12	9,49
YPL049C	--	-2,8	--	19,71	16,68	7,09	15,97	YPL123C	--	--	--	8,15	7,46	6,71	7,58
YPL050C	--	--	--	14,27	19,94	14,58	13,88	YPL124W	--	--	--	5,55	7,20	7,21	7,83

ORF	Änderungsfaktor			Normalisierte Signalintensität				ORF	Änderungsfaktor			Normalisierte Signalintensität			
	10	20	30	0	10	20	30		10	20	30	0	10	20	30
YPL125W	--	--	--	4,88	4,03	4,04	4,32	YPL199C	--	--	--	16,25	16,65	19,16	20,68
YPL126W	--	--	--	28,71	27,99	22,70	26,58	YPL200W	--	--	--	3,81	4,31	3,48	3,60
YPL127C	--	--	--	29,64	27,77	33,06	29,61	YPL201C	--	--	--	4,75	5,51	3,96	4,05
YPL128C	--	--	--	5,99	7,74	5,94	6,11	YPL202C	+1,6	--	--	10,68	16,95	14,43	15,53
YPL129W	+1,6	--	--	25,17	39,44	28,60	33,19	YPL203W	--	-1,5	--	18,38	13,24	11,87	13,41
YPL130W	--	--	--	4,25	4,26	3,73	3,73	YPL204W	--	--	--	23,74	18,56	20,12	18,26
YPL131W	--	--	--	678,26	527,34	495,63	526,15	YPL205C	--	--	--	16,45	15,62	20,72	16,81
YPL132W	--	--	--	6,88	8,28	8,36	8,42	YPL206C	--	--	--	16,10	16,27	20,50	19,86
YPL133C	--	--	--	5,15	5,58	5,17	5,78	YPL207W	--	--	--	10,50	7,43	7,94	7,92
YPL134C	--	--	--	7,22	8,37	7,35	7,70	YPL208W	--	--	--	10,28	11,54	12,75	12,42
YPL135W	+2,7	+2,8	+1,8	17,60	48,21	49,32	31,84	YPL209C	--	--	--	6,21	6,46	5,82	6,02
YPL136W	--	--	--	5,00	5,65	5,47	4,99	YPL210C	--	--	--	11,48	14,34	13,83	13,04
YPL137C	--	--	--	3,78	4,22	4,00	4,06	YPL211W	--	--	--	14,70	12,83	17,43	18,17
YPL138C	--	--	--	9,01	9,76	11,44	10,61	YPL212C	--	--	--	10,18	11,57	10,68	11,29
YPL139C	--	--	--	7,69	7,19	6,70	6,51	YPL213W	--	--	--	6,69	8,95	5,93	8,33
YPL140C	--	--	--	6,05	7,56	5,79	6,84	YPL214C	--	--	--	14,62	19,96	17,91	19,54
YPL141C	--	--	--	7,42	10,38	7,93	10,04	YPL215W	--	--	--	14,55	13,55	12,14	10,44
YPL142C	--	+2	--	176,79	203,63	352,97	195,92	YPL216W	--	--	--	6,50	9,40	8,30	8,76
YPL143W	--	--	--	46,14	46,37	43,77	39,69	YPL217C	--	--	--	34,62	34,40	23,42	30,98
YPL144W	--	--	--	3,92	3,62	3,57	3,78	YPL218W	--	--	--	59,35	67,47	76,53	74,53
YPL145C	--	-1,6	--	34,36	33,92	21,75	25,20	YPL219W	--	--	--	8,21	6,63	6,11	6,93
YPL146C	--	--	--	10,88	11,66	10,93	12,10	YPL220W	--	--	--	420,85	372,78	418,48	374,44
YPL147W	--	--	--	4,81	5,06	4,26	4,96	YPL221W	--	--	--	18,43	16,59	15,83	14,73
YPL148C	--	+1,6	--	5,14	5,70	8,46	7,61	YPL222W	--	--	--	3,83	4,02	3,58	3,92
YPL149W	--	--	--	15,14	13,46	15,96	15,77	YPL223C	--	--	--	5,10	5,20	5,20	5,29
YPL150W	--	--	--	4,12	4,51	3,60	3,92	YPL224C	--	-1,6	-1,5	15,18	12,91	9,35	10,05
YPL151C	--	--	--	11,76	13,36	13,34	11,81	YPL225W	--	--	--	18,18	24,83	22,41	26,50
YPL152W	--	--	--	8,27	9,02	7,25	8,03	YPL226W	--	-2,2	--	44,70	51,72	20,72	39,99
YPL153C	--	--	--	3,95	4,32	3,55	4,28	YPL227C	--	--	--	12,78	17,92	14,04	16,84
YPL154C	--	--	--	62,48	56,51	44,00	56,42	YPL228W	--	--	--	16,89	15,61	11,79	14,96
YPL155C	--	-1,6	--	8,30	6,61	5,08	6,00	YPL229W	--	-2	--	35,96	39,96	17,89	40,29
YPL156C	--	-1,8	--	10,86	9,07	6,16	8,51	YPL230W	--	-1,5	-1,5	12,32	11,19	8,05	8,07
YPL157W	--	--	--	5,88	7,65	7,36	7,52	YPL231W	--	+5,7	--	4,95	5,17	28,18	4,99
YPL158C	+1,9	+1,6	+1,6	6,45	12,08	10,57	10,35	YPL232W	--	--	--	35,76	26,79	28,77	32,21
YPL159C	--	--	--	6,81	8,25	6,71	8,46	YPL233W	--	--	--	9,99	8,47	8,07	8,66
YPL160W	--	--	--	5,09	5,10	6,08	5,02	YPL234C	--	--	--	47,16	33,31	45,88	43,64
YPL161C	--	--	--	4,18	3,76	4,39	4,51	YPL235W	--	--	--	21,97	19,19	22,36	23,58
YPL162C	--	--	--	7,95	7,03	5,81	8,15	YPL236C	--	--	--	4,57	5,51	4,54	4,51
YPL163C	--	--	--	23,71	22,43	19,86	20,24	YPL237W	--	--	--	47,21	42,24	33,05	45,73
YPL164C	--	--	--	7,57	9,27	5,30	9,39	YPL238C	--	--	--	28,64	19,37	20,16	27,19
YPL165C	--	-1,8	--	10,37	8,85	5,73	8,05	YPL239W	--	--	--	24,16	23,04	20,82	26,75
YPL166W	--	--	--	6,54	6,30	4,54	5,23	YPL240C	+3,3	+1,8	+1,8	225,41	732,98	399,02	401,02
YPL167C	--	--	--	4,63	4,88	4,22	4,46	YPL241C	--	--	--	6,95	6,30	6,31	7,27
YPL168W	--	--	--	6,89	7,82	6,84	7,90	YPL242C	--	--	--	3,59	3,86	3,41	3,97
YPL169C	--	--	--	15,34	18,73	18,28	14,70	YPL243W	--	--	--	27,50	29,91	30,75	27,49
YPL170W	--	--	--	3,61	3,78	3,58	4,31	YPL244C	--	--	--	7,60	8,56	6,78	7,22
YPL171C	--	--	--	3,82	3,65	3,25	4,63	YPL245W	+1,5	--	--	12,48	18,92	10,26	15,54
YPL172C	--	--	--	6,11	7,05	5,73	5,84	YPL246C	--	--	--	14,03	13,09	11,36	12,66
YPL173W	--	--	--	9,71	10,91	8,42	11,01	YPL247C	--	-1,8	-1,7	9,79	7,21	5,40	5,80
YPL174C	--	--	--	4,14	3,63	3,41	4,52	YPL248C	--	--	--	4,18	4,34	3,70	3,90
YPL175W	--	--	--	10,74	11,89	10,25	9,56	YPL249C	--	--	--	5,68	6,22	4,42	5,14
YPL176C	--	--	--	7,54	7,06	6,62	7,36	YPL250C	--	--	--	6,99	5,71	5,46	5,60
YPL177C	--	--	+1,7	11,59	16,36	12,10	19,60	YPL251W	+1,6	+1,6	+1,5	7,65	12,23	11,86	11,71
YPL178W	--	--	--	17,93	23,49	18,06	22,19	YPL252C	+1,7	+1,7	+1,7	9,92	16,97	16,90	16,81
YPL179W	--	-1,6	--	16,36	16,42	10,14	16,90	YPL253C	--	--	--	5,22	7,21	6,60	6,62
YPL180W	--	--	--	3,23	3,34	3,01	3,91	YPL254W	--	--	--	5,43	6,11	5,55	6,08
YPL181W	--	--	--	3,09	3,38	3,06	3,74	YPL255W	--	--	--	5,88	6,60	6,00	6,84
YPL182C	--	--	--	5,40	5,25	4,30	5,98	YPL256C	+1,5	--	--	9,51	14,68	10,34	12,55
YPL183C	+1,7	-1,6	--	21,06	35,96	13,26	27,02	YPL257W	--	--	--	5,05	5,30	5,20	5,24
YPL184C	--	--	--	3,18	3,74	3,09	3,78	YPL258C	+1,9	--	--	5,11	9,60	5,31	6,01
YPL185W	--	--	--	5,12	5,41	5,29	6,07	YPL259C	--	-2,3	-1,6	19,93	14,18	8,77	12,09
YPL186C	--	--	--	7,16	6,63	8,75	7,73	YPL260W	--	--	--	25,64	25,28	24,34	20,05
YPL187W	--	--	--	4,34	4,70	4,19	4,88	YPL261C	--	--	--	4,20	4,73	4,38	5,22
YPL188W	+1,5	--	--	9,46	14,32	6,86	13,51	YPL262W	--	+1,6	--	20,45	28,25	33,23	26,77
YPL189W	+1,5	--	--	2,97	4,53	3,34	3,73	YPL263C	--	--	--	8,52	11,17	8,69	8,95
YPL190C	--	--	--	29,01	32,93	19,47	30,84	YPL264C	--	--	--	5,04	6,59	5,51	5,46
YPL191C	--	--	--	8,61	8,25	5,74	7,01	YPL265W	+2,6	--	-1,5	32,39	85,60	31,39	21,53
YPL192C	--	--	--	4,32	6,24	5,28	5,77	YPL266W	--	-1,6	--	24,43	23,16	15,66	20,68
YPL193W	--	--	--	6,16	6,18	5,59	6,54	YPL267W	--	--	--	5,61	6,77	7,59	8,40
YPL194W	--	--	--	4,51	4,93	4,43	4,93	YPL268W	--	--	--	5,59	5,66	5,55	5,69
YPL195W	--	--	--	5,24	5,50	5,98	5,81	YPL269W	--	--	--	6,96	8,85	7,77	8,20
YPL196W	--	--	--	10,76	10,89	8,98	11,74	YPL270W	--	+4	--	3,89	15,59	3,99	4,23
YPL197C	--	--	+1,5	36,95	53,62	54,55	55,66	YPL271W	--	+1,6	+1,6	14,37	19,65	23,09	22,54
YPL198W	--	--	--	122,48	120,21	115,92	111,51	YPL272C	--	--	--	4,80	5,89	4,93	6,31



ORF	Änderungsfaktor			Normalisierte Signalintensität				ORF	Änderungsfaktor			Normalisierte Signalintensität			
	10	20	30	0	10	20	30		10	20	30	0	10	20	30
YPL273W	--	-3	-1,8	48,25	46,67	16,28	27,53	YPR064W	--	--	--	3,81	3,93	3,46	4,86
YPL274W	+2,1	--	+1,5	10,83	22,52	13,15	16,62	YPR065W	--	--	--	3,89	3,72	3,56	4,27
YPL275W	+1,6	--	--	3,35	5,25	3,49	4,76	YPR066W	--	+1,6	--	9,32	9,35	14,87	10,97
YPL276W	--	--	+1,5	3,35	4,75	3,58	5,08	YPR067W	--	--	--	7,86	8,78	8,52	8,72
YPL277C	--	-1,5	--	9,45	13,61	6,29	11,11	YPR068C	--	--	--	5,89	4,95	4,53	5,17
YPL278C	--	--	--	6,26	8,92	5,79	7,44	YPR069C	--	--	--	3,84	4,11	3,10	4,23
YPL279C	+1,7	--	--	7,95	13,88	7,71	9,86	YPR070W	--	--	--	3,95	3,95	3,46	4,15
YPL280W	--	--	--	3,67	4,23	3,49	3,80	YPR071W	--	--	--	4,43	5,15	3,94	4,42
YPL281C	+2,3	--	+2,3	4,53	10,49	4,81	10,63	YPR072W	--	--	--	8,56	8,65	7,63	7,73
YPL282C	--	--	--	3,22	4,39	3,05	2,95	YPR073C	--	--	+1,6	15,93	19,78	20,53	25,12
YPL283C	+1,7	--	--	4,57	7,64	4,98	5,69	YPR074C	--	--	--	4,13	3,54	3,90	4,41
YPR001W	--	--	--	5,75	6,71	4,69	5,47	YPR075C	--	--	--	8,17	8,62	5,80	8,20
YPR002W	+2	--	--	5,03	9,83	5,51	5,74	YPR076W	--	--	--	5,15	4,70	4,42	4,92
YPR003C	--	--	--	6,02	5,59	5,76	5,67	YPR077C	--	--	--	4,61	4,25	4,57	4,72
YPR004C	--	--	--	12,82	13,97	16,18	18,51	YPR078C	--	--	--	4,94	6,10	6,79	6,58
YPR005C	--	--	--	8,08	6,21	5,62	6,06	YPR079W	--	--	--	9,23	8,45	8,63	8,96
YPR006C	--	--	--	5,44	5,74	5,82	6,04	YPR080W	-2,1	-1,6	-1,8	4638,14	2257,25	2867,17	2549,54
YPR007C	--	--	--	5,97	5,94	5,71	5,88	YPR081C	--	--	--	8,44	8,78	7,43	9,36
YPR008W	--	--	--	6,24	5,50	5,32	5,86	YPR082C	--	--	--	10,11	12,89	11,88	12,27
YPR009W	--	--	--	10,60	11,16	9,27	9,20	YPR083W	--	--	--	6,07	8,33	5,47	6,33
YPR010C	--	-1,7	--	26,77	35,75	15,87	28,52	YPR084W	--	--	--	8,75	10,29	7,68	9,01
YPR011C	--	--	--	8,29	8,38	7,02	8,50	YPR085C	--	--	--	8,54	10,74	8,63	10,13
YPR012W	--	--	--	52,98	78,07	58,99	79,19	YPR086W	--	--	--	16,81	21,32	15,20	16,71
YPR013C	--	-2,5	--	12,70	9,54	5,09	10,01	YPR087W	--	--	+1,5	34,38	38,45	36,31	52,32
YPR014C	--	--	--	5,29	4,48	4,32	4,76	YPR088C	--	-1,7	--	38,99	39,63	23,29	32,79
YPR015C	--	--	--	5,11	5,09	4,10	4,66	YPR089W	--	-1,5	--	6,19	5,02	4,08	5,56
YPR016C	--	--	--	4,91	4,54	3,85	4,69	YPR090W	--	--	--	6,32	5,98	5,49	6,80
YPR017C	--	--	--	6,27	6,23	6,49	6,53	YPR091C	--	--	--	3,78	4,13	3,64	4,85
YPR018W	--	--	--	4,30	4,18	4,26	4,23	YPR092W	--	--	--	6,84	6,59	7,06	6,47
YPR019W	--	--	--	10,29	13,29	10,88	12,29	YPR093C	--	--	--	11,98	9,86	9,92	12,72
YPR020W	--	--	--	12,96	11,88	16,58	16,52	YPR094W	+1,5	--	+1,8	7,29	11,15	10,74	13,30
YPR021C	--	--	--	6,50	6,66	7,19	8,27	YPR095C	+1,6	--	--	3,40	5,27	3,50	3,99
YPR022C	--	--	--	28,64	36,55	23,78	33,07	YPR096C	--	--	--	13,28	13,93	9,76	9,72
YPR023C	--	--	--	14,78	17,08	14,84	15,46	YPR097W	--	-1,6	--	16,15	17,81	10,17	14,88
YPR024W	+1,8	--	--	12,49	22,40	14,17	15,12	YPR098C	--	--	+1,6	11,36	13,40	15,57	18,07
YPR025C	--	--	--	8,34	9,42	7,71	9,25	YPR099C	+1,5	+1,6	--	9,78	14,67	15,93	13,99
YPR026W	--	--	--	4,43	4,99	4,34	4,53	YPR100W	--	+1,8	+1,7	12,37	17,16	22,16	21,00
YPR027C	--	--	--	7,93	7,70	6,62	6,04	YPR101W	--	+1,6	--	8,43	9,93	13,23	11,77
YPR028W	--	--	--	43,36	48,08	58,75	60,13	YPR102C	--	+1,5	--	470,06	341,72	709,02	644,81
YPR029C	--	--	--	30,70	28,57	26,55	26,02	YPR103W	--	--	--	4,30	3,85	3,02	3,81
YPR030W	--	--	--	4,14	5,01	3,82	4,25	YPR104C	+1,8	--	+1,5	9,69	17,63	11,67	14,68
YPR031W	--	--	--	10,64	12,39	11,31	12,57	YPR105C	--	--	--	10,18	13,71	10,75	12,78
YPR032W	--	--	--	4,59	4,16	3,87	4,35	YPR106W	--	--	--	10,15	12,51	10,15	9,81
YPR033C	--	--	--	43,57	40,67	29,21	35,91	YPR107C	--	--	--	9,14	10,92	8,65	9,01
YPR034W	--	--	--	11,21	14,02	11,04	13,57	YPR108W	+1,9	--	--	26,78	51,43	29,34	30,94
YPR035W	-2,8	-2,6	-2,3	326,20	117,13	127,50	144,98	YPR109W	--	-1,5	--	11,17	10,96	7,25	10,32
YPR036W	--	--	--	137,59	157,61	145,25	150,70	YPR110C	--	-1,7	--	33,96	34,15	19,49	29,65
YPR037C	-1,5	--	--	15,40	10,20	10,92	13,73	YPR111W	--	--	--	5,67	5,38	5,40	5,76
YPR038W	-1,6	-1,7	--	10,35	6,56	5,95	7,63	YPR112C	--	--	--	5,12	4,43	4,25	4,84
YPR039W	--	--	+1,6	6,03	5,30	4,95	9,90	YPR113W	--	--	--	17,71	15,05	20,89	22,23
YPR040W	--	--	--	13,79	12,52	12,92	12,34	YPR114W	--	--	--	11,54	12,07	11,23	12,15
YPR041W	--	--	--	34,57	41,61	32,69	37,69	YPR115W	--	--	--	5,15	5,67	5,96	5,55
YPR042C	--	--	--	4,39	4,58	4,07	4,32	YPR116W	--	--	--	5,97	5,31	4,93	5,25
YPR043W	--	--	--	329,24	385,89	482,88	385,14	YPR117W	--	--	--	4,41	4,77	4,12	4,65
YPR044C	--	+2	--	429,25	472,74	844,17	619,81	YPR118W	--	--	--	20,74	20,15	15,44	17,89
YPR045C	--	--	--	7,75	6,24	5,67	5,72	YPR119W	+1,7	--	--	5,11	8,85	6,25	7,26
YPR046W	--	--	--	5,30	7,03	6,73	7,25	YPR120C	--	--	--	5,91	8,12	7,30	7,86
YPR047W	--	--	--	7,41	6,79	7,93	6,49	YPR121W	--	--	--	7,03	9,64	8,08	8,21
YPR048W	--	--	--	6,77	7,21	5,44	7,14	YPR122W	--	--	--	3,81	4,04	3,62	4,24
YPR049C	+1,5	--	--	14,10	21,64	15,22	18,36	YPR123C	--	--	--	5,57	4,76	4,35	5,05
YPR050C	--	--	--	9,87	10,31	11,12	10,49	YPR124W	-2,3	-2,1	-1,9	44,90	19,89	21,32	23,54
YPR051W	--	--	--	10,59	12,10	12,11	11,63	YPR125W	--	--	--	48,98	58,45	59,72	56,28
YPR052C	+1,5	+1,5	--	37,84	57,13	57,23	48,94	YPR126C	--	--	--	7,30	9,03	10,85	8,87
YPR053C	--	--	--	25,46	28,50	30,54	19,64	YPR127W	--	+1,5	+1,6	9,69	12,29	14,87	15,13
YPR054W	--	--	--	5,05	5,18	4,38	4,90	YPR128C	--	--	--	5,27	6,27	6,20	6,21
YPR055W	--	--	--	5,79	7,45	6,00	6,00	YPR129W	--	--	--	14,48	15,53	17,10	16,16
YPR056W	--	--	--	8,63	10,69	9,28	8,50	YPR130C	--	+1,6	--	16,64	19,64	26,21	15,98
YPR057W	--	--	--	6,72	8,30	7,48	7,88	YPR131C	--	--	--	9,44	12,64	10,42	11,13
YPR058W	--	--	--	15,50	11,74	10,37	12,82	YPR132W	--	--	--	420,94	477,76	417,08	486,84
YPR059C	--	--	--	11,74	11,64	11,44	11,27	YPR133C	--	--	--	22,59	21,85	18,91	18,98
YPR060C	--	--	--	12,30	17,36	13,31	14,94	YPR134W	--	--	--	8,40	7,94	7,79	9,15
YPR061C	--	--	--	6,32	5,54	4,98	5,66	YPR135W	--	--	--	4,06	5,07	4,10	4,59
YPR062W	--	--	--	53,70	56,91	54,04	59,11	YPR136C	--	--	--	11,72	10,72	11,92	11,16
YPR063C	--	--	--	15,08	17,25	18,33	16,44	YPR137W	+1,8	+1,6	+1,6	8,36	14,89	13,36	13,52





## 6.1.4. Osmotischer Stress

**Tabelle 6.4:** Transkriptionelle Änderungen durch Hochsalz-Wachstumsbedingungen. Die ORF-Namen sind in alphabetischer Reihenfolge sortiert. Relative Änderungen der Transkriptionsrate nach Transfer in Hochsalz-Medium (YPD+1,5 M NaCl) nach 10, 20, 30 min, 16 h und 5 Tagen sind gezeigt, wenn der Faktor größer/gleich 1,5 war. Bei guter Qualität sind die Änderungsfaktoren farblich markiert: ■ Induktion mit hoher Qualität, ■ Induktion mit mittlerer Qualität, ■ Repression mit hoher Qualität, ■ Repression mit mittlerer Qualität. Weiterhin enthält die Tabelle die normalisierten Signalintensitäten (Median) aller Bedingungen.

ORF	Änderungsfaktor					Normalisierte Signalintensität					
	10 min	20 min	30 min	16 h	5d	0 min	10 min	20 min	30 min	16 h	5d
YAL001C	--	--	--	--	+2	4880,74	5483,82	4371,13	6517,74	4135,92	9624,67
YAL002W	--	+1,7	+2,9	+2,4	+3,1	9293,12	9109,32	15932,44	26932,88	22113,67	28811,30
YAL003W	--	-1,6	-1,7	-1,6	-4,6	73949,81	78030,16	46681,45	44071,75	45155,78	16119,38
YAL004W	--	--	--	--	--	5192,08	6867,08	4204,26	4908,26	3612,51	3491,95
YAL005C	-1,6	-1,8	--	--	-2,3	28407,50	17975,68	15861,95	21629,11	30736,92	12345,04
YAL007C	--	+1,5	--	--	--	4845,99	6680,30	7361,39	6101,91	5189,03	3897,77
YAL008W	+1,6	+2	--	-2,1	--	3677,21	5739,47	7455,20	3991,25	1759,93	4688,43
YAL009W	--	--	--	-1,8	--	2964,73	3516,81	3359,83	3410,83	1652,46	2562,61
YAL010C	--	--	--	-2,3	--	3246,21	4193,18	4667,20	3932,95	1405,00	2625,37
YAL011W	--	--	--	-2	--	3289,18	4621,47	4311,61	4136,46	1607,93	2810,00
YAL012W	+3,5	+1,7	+2,4	+1,7	-2,3	10344,74	36250,09	17313,16	25138,01	17592,98	4410,84
YAL013W	--	--	--	-1,5	+1,8	3734,63	5209,34	4123,76	4254,05	2453,09	6769,01
YAL014C	--	--	--	--	+1,6	8230,64	7375,44	5744,38	7032,39	10870,93	12826,44
YAL015C	--	--	--	--	--	6155,52	5398,37	4718,11	5399,63	5322,09	4189,11
YAL016W	--	--	--	--	--	5091,88	7036,98	4050,79	5097,73	5911,64	4391,15
YAL017W	--	-2	--	--	--	27625,37	21673,09	13675,85	18965,06	19001,11	28583,40
YAL018C	--	+3,3	--	--	--	3470,39	4225,84	11340,85	4344,80	4581,13	2997,03
YAL019W	--	--	--	--	--	10965,75	10274,29	9336,24	10378,61	10423,45	11802,52
YAL020C	--	--	--	-1,6	--	4691,89	5300,39	5362,23	5132,60	2862,71	5245,66
YAL021C	--	--	--	--	--	3211,67	4272,12	3867,10	3651,72	2618,75	3572,55
YAL022C	--	--	--	--	--	3517,62	4248,65	4175,76	4645,63	3490,61	3015,19
YAL023C	--	--	--	--	-1,7	3765,95	4635,00	4653,67	4372,62	4024,10	2175,13
YAL024C	--	--	--	--	--	6421,26	7314,88	6269,01	7134,50	5776,81	7443,07
YAL025C	--	--	--	-1,8	-2	4896,16	6239,00	6492,11	5438,09	2770,06	2406,36
YAL026C	--	--	--	--	+1,6	8091,55	7998,94	5532,03	7488,11	9736,50	12629,70
YAL027W	--	--	--	--	--	3748,45	4433,39	3873,04	4009,14	3936,91	4930,57
YAL028A	--	--	+1,6	--	--	3105,96	3914,75	3533,89	4951,42	3893,26	2905,25
YAL028W	--	--	--	--	+1,8	3498,64	3873,89	3482,32	4078,45	4448,51	6242,13
YAL029C	--	--	--	--	--	14157,46	11386,00	10411,70	11481,48	12076,90	11634,74
YAL030W	--	--	+1,5	+1,5	--	14216,45	12349,46	15524,97	21683,83	21613,95	18810,22
YAL031C	--	--	--	--	--	7248,78	8819,21	9404,65	8917,42	8129,76	9215,08
YAL032C	--	--	--	--	--	3877,24	4504,02	5367,45	4750,10	3480,70	5784,91
YAL033W	--	--	--	-1,5	--	8807,88	9823,14	10224,23	12492,99	5764,37	8687,07
YAL034A	--	--	--	-1,7	-1,5	5184,92	6763,08	7510,16	7517,04	2971,94	3376,90
YAL034C	--	--	--	--	+4,9	4071,51	4616,56	4734,76	4412,93	4050,30	20026,83
YAL035W	--	--	+1,9	+2,6	--	5081,44	6300,23	4341,21	9539,58	13097,57	5158,10
YAL036C	--	--	--	+4,8	-1,5	17111,08	16221,95	11435,83	17651,84	81624,03	11357,63
YAL037W	--	--	--	--	+1,8	3244,84	3742,68	3026,46	3250,17	3581,13	5943,85
YAL038W	--	-1,5	--	+2,4	-2,3	110278,95	88675,75	72286,62	75556,71	260592,49	47481,08
YAL039C	--	--	--	--	+2,6	13548,04	11385,85	11406,10	11068,96	10516,94	35305,22
YAL040C	--	--	--	--	--	8063,32	6859,59	8475,04	6748,38	12088,00	6412,00
YAL041W	--	--	--	--	--	6249,23	5704,23	5195,98	5124,46	6529,28	6446,88
YAL042W	--	--	--	+2,1	--	7291,09	8309,76	9369,69	9419,49	14999,42	7447,71
YAL043C	--	--	--	--	-1,5	2649,49	3474,31	3791,98	3548,47	3023,52	1715,12
YAL044C	-1,6	-1,9	-1,8	-1,9	--	25359,39	16030,92	13176,08	14109,61	13329,37	25967,52
YAL045C	--	--	--	--	+2,1	4693,52	5669,05	6387,27	6095,35	4336,25	9657,31
YAL046C	--	--	--	--	+1,6	5927,00	7133,24	5371,44	6770,58	7200,01	9461,14
YAL047C	--	--	--	--	--	8609,80	8537,20	6217,79	7672,74	12307,31	11268,95
YAL048C	--	--	--	--	--	3034,10	3261,30	2989,57	2908,59	4531,11	4032,00
YAL049C	--	--	--	--	+2,3	8521,28	8156,82	12194,58	9412,25	8222,34	19778,47
YAL051W	--	--	--	--	--	2643,89	3387,28	3676,49	2811,47	3080,02	2869,63

ORF	Änderungsfaktor					Normalisierte Signalintensität					
	10 min	20 min	30 min	16 h	5d	0 min	10 min	20 min	30 min	16 h	5d
YAL053W	+2	+1,6	+1,6	+1,7	--	4198,91	8404,99	6797,76	6910,10	7228,47	2803,59
YAL054C	--	--	--	--	--	5178,19	5636,59	6199,06	5624,48	5663,46	6021,99
YAL055W	--	+1,8	--	--	+3,2	3436,72	4125,60	6349,97	4278,55	3705,83	11146,67
YAL056W	--	--	--	--	--	2300,99	2933,61	3329,84	2962,10	1577,29	1719,23
YAL058W	--	--	--	--	--	4605,76	5964,53	5228,66	6358,23	5018,18	5532,79
YAL059W	--	--	+1,5	--	--	6384,94	8655,21	7709,72	9835,21	5899,53	5418,87
YAL060W	--	-1,9	-1,5	--	+3	8167,08	5704,80	4300,30	5338,63	6234,71	24683,39
YAL061W	--	--	--	+1,7	+7,4	3170,91	4164,14	2913,05	3299,87	5531,56	23533,30
YAL062W	--	--	--	+1,8	+26,9	2773,20	3610,35	2898,86	2902,78	5054,59	74704,51
YAL063C	--	--	--	+2,3	+4,8	5834,33	5714,08	5635,57	7091,95	13408,18	27805,24
YAL064W	--	--	--	--	--	2425,90	2976,36	3101,19	3032,53	3472,61	2019,01
YAL065C	--	--	--	--	+2,5	3884,59	5029,49	5130,77	4803,18	3498,62	9772,84
YAL066W	--	--	--	--	--	3262,99	3643,94	3996,45	4044,84	2546,15	2342,06
YAL067C	--	--	--	--	--	3357,53	3852,85	4308,08	4002,83	3055,14	3026,41
YAR002A	--	--	--	--	-3,9	4194,58	5005,20	5018,93	4440,65	3192,11	1072,60
YAR002W	--	--	--	--	--	3799,37	4584,76	4522,72	3524,59	4625,20	3276,36
YAR003W	--	--	--	--	+2,3	3331,37	3989,35	3296,34	4164,19	4763,91	7562,92
YAR007C	--	--	--	--	--	4718,29	6086,08	4217,46	5114,32	4519,77	4789,82
YAR008W	--	--	--	--	--	3368,66	4139,22	3374,54	4449,95	4191,76	4397,39
YAR009C	--	--	--	+2,8	--	4060,48	4088,56	3602,76	3836,54	11203,14	5040,38
YAR010C	--	--	--	+1,5	--	4349,15	4371,51	3658,05	3471,11	6562,88	6460,54
YAR014C	--	--	--	--	--	2965,88	3654,34	3637,95	3296,27	3514,39	2979,65
YAR015W	-3,6	-4,1	-5	-2,8	-6,5	52874,96	14561,58	12782,95	10571,33	19076,62	8087,07
YAR018C	--	--	--	--	-1,5	3475,44	3879,91	4600,30	3795,86	4288,17	2259,92
YAR019C	--	--	+2	--	+2,7	8743,52	11958,99	12647,87	17122,18	9376,27	23417,09
YAR020C	--	+2,2	--	--	+1,6	3198,46	4158,29	7057,12	4224,80	3063,53	5223,79
YAR023C	--	--	--	-1,9	-2,6	15722,09	17878,52	15554,37	11577,23	8317,97	5943,36
YAR027W	--	--	--	--	--	6951,35	8240,92	5525,77	6087,93	6385,84	9688,42
YAR028W	--	--	--	--	+1,7	3576,34	4571,80	3471,31	3943,86	5010,31	5913,54
YAR029W	--	--	--	--	+1,5	2684,22	3573,53	2907,33	3229,78	3227,59	4104,00
YAR030C	+1,5	--	--	--	+3,5	2972,17	4549,66	4076,93	4311,18	3063,03	10542,66
YAR031W	--	--	--	--	--	4855,90	5285,21	4240,33	4342,07	5749,44	5901,91
YAR033W	--	--	--	--	+1,6	4661,46	4954,87	4478,14	4537,55	6381,55	7268,98
YAR035W	+1,6	--	--	--	+1,9	2864,95	4442,65	3277,01	3561,06	3465,30	5336,99
YAR037W	--	--	--	--	--	3173,47	3616,67	3784,84	3517,16	2565,71	3715,62
YAR040C	--	--	--	--	--	3168,58	3748,53	4205,35	3919,90	2844,40	3182,64
YAR042W	--	--	--	--	--	2842,07	3935,18	3625,09	3830,95	2993,56	2778,52
YAR043C	--	--	--	--	--	2777,27	3656,42	3477,50	3780,97	2468,76	2963,13
YAR044W	--	--	--	--	+1,5	8164,90	6117,93	6773,58	7777,62	10174,90	12412,18
YAR047C	--	--	--	-1,8	--	2751,83	3559,66	3011,77	3015,35	1487,79	2890,29
YAR050W	--	--	--	--	--	3444,35	3078,92	4148,87	3484,39	3954,33	2981,73
YAR052C	--	--	--	--	+2,2	7088,68	6054,85	8694,01	6019,27	7791,70	15261,06
YAR053W	--	--	--	--	--	4503,02	4517,26	4869,13	4354,50	5450,18	5600,75
YAR060C	--	--	--	--	--	3870,53	3981,70	4049,62	4125,87	4662,09	4956,60
YAR061W	--	--	--	-1,7	--	8417,23	7978,18	7667,15	7412,72	4957,80	10702,36
YAR062W	--	-2	-1,6	-1,9	-2,1	25957,66	28865,04	12742,03	15773,80	13434,51	12301,71
YAR064W	+1,7	--	--	--	-2,5	26447,91	44160,97	28974,59	21220,58	24258,10	10768,43
YAR068W	--	--	--	--	--	6284,61	5270,16	5205,74	4700,52	5841,75	4348,77
YAR069C	--	--	--	--	--	4943,62	3611,43	4647,49	3675,93	5057,29	4407,16
YAR070C	--	--	--	-1,7	--	8774,22	7015,30	8637,94	8419,47	5059,27	7354,99
YAR071W	--	--	-1,5	--	--	10356,06	8071,43	7725,42	6879,17	7406,29	6932,44
YAR073W	--	-1,8	-2,3	--	-2,3	15366,01	13244,03	8675,66	6704,15	14693,88	6821,70
YAR074C	--	--	--	--	-1,7	6616,11	5313,44	5828,23	4665,57	6213,35	3816,00
YBL001C	--	--	--	--	+5,5	7265,52	7553,22	7909,28	9629,53	9211,49	40230,78
YBL002W	--	--	--	-1,6	-2,4	45279,14	38165,77	30454,90	39936,41	27753,55	18931,89
YBL003C	--	--	--	--	-1,8	35785,17	30087,48	24973,18	34574,32	30891,00	19752,12
YBL004W	--	--	--	--	--	3737,67	4948,19	3150,63	3956,62	3272,05	3518,34
YBL005W	--	--	--	+5	+2,6	22705,24	17094,55	19363,94	22386,32	114567,53	58086,91
YBL005W	+2	+1,6	--	-1,6	--	3137,20	6236,83	4887,33	3818,81	1978,17	2367,47
YBL005W	--	--	--	--	--	2817,18	3837,46	3538,61	3736,60	2284,20	2318,06
YBL006C	--	--	--	-1,6	--	4615,93	5611,78	4624,57	5980,20	2914,33	4456,71
YBL007C	+2	--	--	-1,6	--	3327,23	6626,32	3832,90	3902,47	2136,48	4363,79

ORF	Änderungsfaktor					Normalisierte Signalintensität					
	10 min	20 min	30 min	16 h	5d	0 min	10 min	20 min	30 min	16 h	5d
YBL008W	--	--	--	-3	--	2976,48	4272,24	3336,68	3468,20	1003,23	2514,51
YBL009W	+1,5	+1,6	--	--	--	3585,40	5381,89	5637,43	5114,37	2484,80	2865,12
YBL010C	--	--	+1,6	--	+2,3	3323,83	4481,75	4668,30	5331,11	3063,95	7717,02
YBL011W	--	--	--	--	--	3862,04	4641,49	4679,05	3917,45	3410,13	5296,60
YBL012C	+1,7	--	--	--	-2,3	3676,41	6329,16	4931,07	4403,56	4601,88	1574,11
YBL013W	--	--	--	--	--	3596,78	4202,02	4141,23	3637,18	2776,27	3760,12
YBL014C	--	--	--	+2	--	3123,48	3665,58	3449,73	3476,18	6373,42	4287,94
YBL015W	--	--	--	--	+2	3238,32	3956,01	3917,69	3790,72	3393,25	6616,08
YBL016W	--	--	--	--	-2,7	2886,32	3487,03	3489,02	3129,93	1080,10	3626,11
YBL017C	--	--	--	--	+2,1	9854,94	10321,53	7901,90	7047,43	9530,31	21087,71
YBL018C	--	--	--	-1,6	+1,6	3559,59	4737,66	4944,65	5140,21	2282,32	5694,77
YBL019W	--	--	--	--	--	6401,30	5113,36	5111,29	5650,59	4345,12	9136,61
YBL020W	+1,6	--	--	--	--	2888,77	4648,16	3805,72	3873,57	3113,97	2111,66
YBL021C	--	--	--	-1,6	--	3871,26	4597,16	3854,67	4183,86	2442,74	4213,92
YBL022C	--	--	--	+1,6	+1,8	3703,30	4094,99	5369,91	4684,42	5947,36	6615,60
YBL023C	--	--	--	--	--	3833,01	4823,49	3345,37	4214,70	4222,32	4839,52
YBL024W	--	--	--	+1,8	-1,7	7217,00	7191,74	5367,91	6868,65	12693,13	4197,23
YBL025W	--	--	--	--	--	3343,86	3958,09	3954,80	3963,91	2768,06	3881,18
YBL026W	--	--	--	--	--	3210,75	3689,03	3863,10	3950,77	4385,46	4522,14
YBL027W	--	--	--	--	-2,7	113351,64	93884,00	123632,57	105271,90	94773,74	41895,99
YBL028C	--	--	+1,6	+1,6	--	9096,80	10085,88	13231,07	14882,64	14479,30	11102,75
YBL029W	--	--	--	--	--	3535,31	3967,36	4376,46	4100,19	2902,38	3030,24
YBL030C	--	--	--	+1,8	--	21034,25	19877,53	16598,04	18707,60	36887,85	19252,36
YBL031W	--	--	--	--	-2,1	3353,44	3796,45	4368,01	3864,21	2954,60	1569,97
YBL032W	--	--	--	--	-3,4	5747,34	6459,12	5519,30	4984,90	6213,03	1692,98
YBL033C	--	+1,6	+1,6	--	--	3755,09	5380,97	6020,33	6158,15	2825,74	2635,92
YBL034C	--	+1,8	--	-1,6	--	13956,94	17203,88	24938,15	13600,56	8684,09	13801,06
YBL035C	--	--	--	+1,7	--	3102,90	3816,68	3198,89	3823,35	5386,75	2828,51
YBL036C	--	--	--	--	--	5603,23	5539,31	5827,50	7640,37	6321,93	7560,66
YBL037W	--	--	--	--	--	3175,58	3448,64	3083,60	3438,66	4577,93	3979,30
YBL038W	--	--	--	--	--	3423,60	3962,84	3831,61	3634,57	3773,72	4350,96
YBL039C	--	--	--	+1,9	--	4309,04	5690,43	5880,38	4944,41	8046,10	3225,38
YBL040C	--	--	--	+2,4	--	4800,87	4702,12	6804,69	5673,61	11318,44	5949,67
YBL041W	--	--	--	-1,5	--	14181,97	12024,37	14808,51	12964,94	9277,52	11156,91
YBL042C	--	--	--	+3,6	--	5176,90	5040,88	5110,43	6483,14	18622,13	5974,76
YBL043W	--	--	--	--	+3,7	2932,32	2832,69	3407,33	3234,89	2837,40	10816,19
YBL044W	--	--	--	--	-1,7	2655,40	3664,19	3601,70	3872,08	2323,49	1534,37
YBL045C	--	--	+1,5	--	--	11700,50	15970,58	13635,24	17629,84	17226,73	14012,82
YBL046W	--	--	--	--	+1,6	2889,72	3411,00	3980,50	3200,16	4009,07	4681,67
YBL047C	--	--	--	--	--	2647,88	3304,27	2965,47	2848,61	3260,01	2051,27
YBL048W	--	--	--	+1,7	--	2581,86	3313,97	2870,19	2678,50	4372,47	3154,67
YBL049W	--	--	--	--	+3,7	3364,02	3911,01	3511,42	3897,11	4497,37	12610,19
YBL050W	--	--	--	+1,6	+3,2	5383,60	6150,75	6412,80	6519,80	8850,34	17224,34
YBL051C	--	--	--	+1,7	--	5013,70	4389,93	4489,59	4234,99	8286,40	4505,52
YBL052C	--	--	--	--	-4,3	52644,16	57652,86	58555,35	56863,26	68511,18	12300,74
YBL053W	--	--	--	--	+1,9	5342,33	4395,82	5999,63	5384,22	5815,32	10183,18
YBL054W	--	--	--	--	--	2901,50	3515,98	4329,73	3265,80	3067,70	2816,76
YBL055C	--	--	--	--	-1,8	3376,34	3651,01	4636,47	4043,62	4558,87	1860,07
YBL056W	--	--	--	+2,3	--	4475,94	5212,19	5017,26	4507,53	10238,20	4600,08
YBL057C	--	--	--	--	--	4653,71	6252,48	5624,07	5131,15	5661,51	5882,90
YBL058W	--	--	--	--	+1,6	6689,67	6996,33	6125,93	5679,85	6727,63	10719,20
YBL059W	--	--	+1,5	+1,5	+2,6	3116,46	4449,14	3868,03	4699,51	4828,35	8199,84
YBL060W	--	--	--	--	+1,6	3797,26	3778,13	3706,40	3615,99	3066,85	6017,80
YBL061C	--	--	--	--	--	3453,41	3930,44	3599,00	4245,73	4736,20	3814,66
YBL062W	--	--	--	--	--	4344,88	5263,62	5158,90	5798,95	6247,56	5835,78
YBL063W	--	--	--	--	--	2981,48	3629,14	3317,63	3634,84	4214,01	3139,09
YBL064C	--	--	--	--	+2,8	17695,77	17622,71	17724,91	18804,96	23250,14	49901,77
YBL065W	--	--	--	--	-1,5	3014,78	3295,43	3537,79	3238,26	3130,92	1945,70
YBL066C	--	--	--	--	--	2487,63	2939,95	3109,81	2942,48	3474,82	1894,59
YBL067C	--	--	--	--	--	3168,39	3549,89	4131,08	3656,11	4419,61	2388,71
YBL068W	+1,6	--	--	--	-1,9	2934,95	4659,03	3518,93	2965,98	2447,46	1575,90
YBL069W	--	--	--	--	--	4103,16	4399,27	3967,28	3443,58	5105,16	3343,71

ORF	Änderungsfaktor					Normalisierte Signalintensität					
	10 min	20 min	30 min	16 h	5d	0 min	10 min	20 min	30 min	16 h	5d
YBL070C	--	--	--	+1,5	--	2845,31	3460,72	3399,91	3101,58	4322,08	2193,27
YBL071C	--	--	+1,9	--	--	3493,85	5115,05	4541,82	6504,98	3738,11	4847,90
YBL072C	--	--	+1,6	--	-3	222072,68	192281,28	211116,81	359261,78	202553,09	74641,01
YBL073W	--	--	--	--	--	2996,68	3519,97	3126,49	3316,19	2841,53	2394,65
YBL074C	--	--	--	+1,6	--	3267,50	3540,19	3357,12	3615,61	5208,02	4111,68
YBL075C	--	--	--	--	+28,8	3476,82	3438,72	3781,43	3827,96	4566,16	99981,45
YBL076C	--	--	--	--	--	3597,13	3772,31	3264,97	3807,12	4673,75	2530,31
YBL077W	--	--	+1,6	--	--	11693,72	11612,84	14250,60	18363,18	16972,18	8188,67
YBL078C	+1,8	--	--	--	+3	2955,97	5269,36	3835,65	3152,45	3339,18	8746,14
YBL079W	--	--	--	+1,8	--	15386,79	15489,52	14184,21	16183,54	27375,57	17642,16
YBL080C	--	+1,5	--	--	--	2918,46	3259,21	4386,23	3070,98	3509,65	2755,23
YBL081W	--	--	--	+2	+3,3	6002,18	5569,36	5760,74	4457,23	11885,29	20050,91
YBL082C	--	--	--	+1,7	-1,8	3499,86	4400,11	3688,31	3573,59	5886,26	1953,83
YBL083C	--	--	--	--	--	3994,80	5020,36	4323,40	5179,38	4632,17	4129,04
YBL084C	--	--	--	--	--	3544,14	3090,25	2827,70	3165,11	3042,85	3509,24
YBL085W	+1,5	+1,6	+1,5	--	--	3926,81	5892,47	6186,19	5937,84	3669,31	2676,45
YBL086C	--	--	--	--	+2,5	4448,31	4476,79	3544,64	3991,78	5216,17	10941,16
YBL087C	--	--	+1,5	--	-1,9	67805,41	81077,36	79668,00	103127,24	74827,37	35660,04
YBL088C	--	--	--	--	--	2695,70	3497,53	2995,41	3409,60	2226,95	2054,72
YBL089W	--	--	--	--	--	7323,98	8153,95	7119,31	7682,45	6650,24	5686,70
YBL090W	--	--	--	--	--	5884,72	6040,02	5186,56	6446,20	4023,08	5327,65
YBL091C	--	--	--	--	--	6112,68	6805,79	6263,00	5797,51	6419,05	5405,73
YBL092W	--	--	--	-1,6	-2,6	32164,12	35617,79	47157,66	38484,02	19778,40	12583,54
YBL093C	--	--	--	--	-2,3	2715,22	3127,59	2639,73	2754,07	1983,79	1167,66
YBL094C	--	--	--	--	+2	4781,10	5317,10	5061,46	4523,67	5132,14	9454,11
YBL095W	--	--	--	--	+2	2869,76	3526,60	3166,97	3612,83	2106,69	5632,49
YBL096C	--	--	--	--	--	4746,40	5447,84	6137,50	6507,38	3686,00	5352,21
YBL097W	--	--	--	--	--	5952,67	6740,70	5442,85	6043,98	6438,20	7114,24
YBL098W	--	--	--	--	--	6569,66	5895,88	4577,91	4935,32	5121,15	4963,56
YBL099W	--	-2,9	--	-1,6	--	148060,45	128574,55	50810,69	99739,76	89797,94	117897,05
YBL100C	--	--	--	--	--	5433,59	4431,08	5360,79	4317,29	6292,22	5889,68
YBL101C	--	--	--	--	+2,2	5670,83	5850,22	4789,46	5320,85	4238,71	12438,90
YBL101W	--	-1,5	--	+2,6	+6,4	19672,41	16221,88	12985,66	22863,57	50515,50	125228,06
YBL101W	--	--	--	+2	--	7269,30	8169,16	7230,12	7292,48	14304,74	9271,37
YBL102W	--	--	+1,6	--	+1,6	6246,81	8671,13	6797,96	10026,83	6672,51	10218,25
YBL103C	+1,8	--	--	--	--	2839,76	5203,67	3706,45	3810,43	2517,99	3292,79
YBL104C	--	--	--	-1,7	--	5127,07	6650,52	4930,13	5031,05	2994,44	5073,24
YBL105C	--	--	--	--	+2	2925,02	4086,62	3862,85	3914,33	3162,08	5970,31
YBL106C	--	--	--	--	--	4451,59	5883,53	5375,68	5223,09	3512,10	3013,15
YBL107C	--	--	--	-2	--	8631,13	7690,66	6007,19	6958,96	4311,57	9949,44
YBL108W	--	--	--	--	--	3007,47	3489,32	2950,69	3592,73	3452,57	4010,50
YBL109W	--	+2,6	--	--	--	7157,58	6541,80	18609,87	6262,16	9984,70	10602,74
YBL110C	--	--	--	--	+1,7	10299,94	8019,56	7518,06	7578,05	7387,87	17368,81
YBL111C	-1,7	-1,6	--	--	--	12285,44	7298,47	7925,79	9997,17	11091,01	15882,37
YBL112C	--	--	-1,6	--	+2,6	7609,43	5846,03	5808,49	4703,40	7761,85	20104,86
YBL113C	-2,1	-2	-1,8	-11,2	+2,7	119873,10	56796,38	60537,33	68431,55	10673,16	321833,50
YBR001C	--	--	--	--	+5,6	3457,32	4106,96	4106,28	4054,00	3123,41	19306,16
YBR002C	--	--	--	-1,7	--	7497,74	7099,14	7756,07	7126,30	4483,07	6129,28
YBR003W	--	--	--	--	+1,6	7415,43	9365,25	8426,21	8722,63	6547,30	11699,27
YBR004C	--	--	--	--	--	4562,99	4874,69	3806,42	4406,75	5320,78	5717,13
YBR005W	-2,3	-2,8	-2,5	-2,5	--	14263,27	6172,70	5116,26	5699,47	5718,56	9517,51
YBR006W	--	--	--	--	+5,2	6561,92	5605,53	4743,76	4810,19	4375,65	33815,33
YBR007C	--	--	--	--	--	7594,62	8023,96	6767,60	6959,48	7728,17	10136,90
YBR008C	--	--	--	--	+2,1	5903,64	5721,64	5998,92	6284,54	6725,45	12342,51
YBR009C	--	--	+1,8	+2,7	--	12739,25	15522,48	14716,02	22917,53	34907,67	10536,25
YBR010W	--	-1,8	-1,5	-1,8	--	110215,96	92101,35	61959,59	71515,45	62954,51	129809,66
YBR011C	--	-1,7	-1,7	--	--	101929,24	94812,53	61135,99	61560,46	71177,63	74572,94
YBR012C	--	--	--	--	--	3061,07	3331,84	4149,72	3566,34	2107,61	2104,47
YBR012W	-1,6	--	--	+3,5	+5,3	58356,31	36796,01	44742,59	56692,74	203586,20	308782,96
YBR012W	--	--	--	+3,1	+1,7	306026,80	212213,03	310098,15	271345,42	939145,19	520385,63
YBR013C	+1,6	+1,7	+1,5	--	--	6655,84	10917,13	11014,91	10189,27	7172,73	4976,54
YBR014C	--	--	--	--	+2	8165,21	8770,66	5750,27	8831,01	8617,11	16572,76

ORF	Änderungsfaktor					Normalisierte Signalintensität					
	10 min	20 min	30 min	16 h	5d	0 min	10 min	20 min	30 min	16 h	5d
YBR015C	--	-1,7	--	--	+1,7	14750,11	12442,64	8838,60	12558,50	18226,78	25099,07
YBR016W	--	--	--	+2,9	+2,1	23397,18	29480,00	26195,31	30580,63	67820,37	49348,74
YBR017C	--	--	--	+2,5	--	30799,39	36401,48	29738,61	37024,48	75860,79	30831,80
YBR018C	--	--	--	--	+2	3555,77	4128,07	4922,27	4312,73	4563,27	7212,97
YBR019C	--	--	--	--	--	3436,48	4053,59	4340,12	4677,48	4804,48	4541,98
YBR020W	--	--	--	--	+1,7	5720,48	6086,22	6221,64	5299,55	6941,49	9681,84
YBR021W	--	+1,7	--	--	--	2367,38	3283,63	4091,70	3293,98	1996,73	2459,29
YBR022W	--	--	--	-1,7	+1,6	5847,43	5567,92	5605,36	5121,94	3411,09	9579,46
YBR023C	--	--	--	-1,6	--	5490,69	4894,25	4512,00	4035,20	3492,51	5808,72
YBR024W	--	--	--	--	+2,3	9641,53	6974,21	8960,45	7654,47	9606,63	22110,40
YBR025C	--	--	--	--	--	57640,45	57650,04	41628,87	60727,88	57264,42	40336,34
YBR026C	--	--	--	+1,6	+3,3	4834,72	6768,68	4645,17	5494,30	7557,27	16180,24
YBR027C	--	--	--	+1,6	--	3516,18	4735,85	5073,29	4498,93	5540,47	5097,68
YBR028C	--	-1,6	--	--	--	9644,59	7509,83	6120,39	6963,42	6742,07	8536,23
YBR029C	--	--	--	--	--	6486,44	8330,01	6507,69	7913,50	8189,91	6297,10
YBR030W	--	--	--	--	--	5597,47	6540,73	8176,23	7288,15	5503,11	3759,48
YBR031W	--	--	--	--	-4,6	302006,33	315697,68	289547,67	375020,48	280504,58	66075,90
YBR032W	--	--	--	--	--	7479,96	8161,12	7687,22	7924,69	6484,74	6880,98
YBR033W	--	--	--	--	+2,4	7481,20	7747,98	7812,73	6070,74	5393,62	17834,78
YBR034C	--	--	--	--	--	11789,61	12962,98	13488,49	16536,62	11397,13	12578,16
YBR035C	--	--	--	--	+1,9	11226,95	11591,94	13750,57	16044,97	10798,72	21475,88
YBR036C	--	--	--	--	--	7929,50	6650,88	6739,21	9161,86	6911,54	5474,19
YBR037C	--	+1,7	+1,5	--	--	5129,88	5926,43	8844,58	7836,44	4122,58	6916,28
YBR038W	--	--	--	+1,7	--	3214,11	3725,06	3299,05	3672,71	5404,65	4689,36
YBR039W	--	-1,7	--	-1,7	+1,9	22099,19	20014,94	12887,04	22321,82	12839,18	42743,92
YBR040W	--	--	--	--	+1,6	3260,75	3980,10	4334,80	4612,07	4417,78	5269,60
YBR041W	--	--	--	--	--	2567,52	3181,06	2873,93	2856,06	3755,20	2867,10
YBR042C	-1,9	-1,7	-2,3	-3,1	+1,6	20049,94	10694,14	11536,11	8749,46	6442,13	32232,01
YBR043C	--	--	--	--	--	3448,62	3539,33	5011,05	3219,95	4023,16	4322,67
YBR044C	--	--	--	--	+1,6	8608,02	7659,45	7063,50	8548,31	8368,12	13944,37
YBR045C	--	--	--	--	--	2680,42	3045,18	3297,18	2808,19	2387,17	2168,57
YBR046C	--	--	--	--	--	3164,89	4225,04	4311,60	3853,83	2792,42	2736,83
YBR047W	--	--	--	--	+1,6	2679,26	3176,81	3617,60	3194,67	2607,98	4281,55
YBR048W	--	--	--	--	-2,4	288936,59	365707,71	262324,37	352808,54	229135,89	118031,90
YBR049C	--	--	--	--	--	7713,20	8181,82	5942,73	8771,64	8252,54	8795,53
YBR050C	--	--	--	--	+1,9	8047,26	10446,74	8988,10	11417,09	8617,14	15323,30
YBR051W	--	+1,5	+1,5	--	+2,2	3897,43	5786,62	5975,13	6018,37	4632,96	8575,91
YBR052C	--	-1,5	--	--	+1,7	28562,77	19805,70	19031,20	23513,48	21255,22	49161,56
YBR053C	--	-1,8	--	+1,8	+2	43385,24	30412,39	24362,08	33354,15	78970,84	84769,44
YBR054W	-2,6	-2,2	-2,1	+2,5	+9,6	14982,13	5748,49	6676,93	7267,43	37446,37	143334,28
YBR055C	--	--	--	--	--	8702,09	8706,63	7159,00	9894,91	7685,12	10053,22
YBR056W	--	-1,8	--	--	+4,3	10488,56	7086,56	5688,45	7952,61	9758,21	44850,53
YBR057C	--	-1,6	--	--	+2	8658,86	8509,27	5518,34	7297,62	6369,04	17246,19
YBR058C	--	--	--	--	+1,6	6323,36	8156,25	5628,54	6015,18	8135,92	10307,96
YBR059C	--	--	--	--	+2	8214,61	7665,99	8485,68	7878,38	6184,23	16139,45
YBR060C	--	--	+1,7	+1,7	--	6328,86	7595,41	7937,85	10601,20	10538,45	6079,19
YBR061C	--	--	--	--	--	7221,08	9035,18	7908,54	10041,00	7303,92	5648,52
YBR062C	--	--	+1,9	--	--	10396,77	15563,69	9847,24	19906,05	7518,65	9757,37
YBR063C	--	--	+1,5	--	+3,5	7082,76	7677,50	8409,48	10914,24	7764,92	24981,28
YBR064W	--	--	--	--	--	4627,92	5577,28	5319,51	6031,30	4138,73	6447,24
YBR065C	--	--	--	--	+2,2	7107,18	8389,67	7423,16	7892,03	9728,66	15505,23
YBR066C	--	--	--	--	--	3698,12	4127,30	3655,64	4174,93	3342,18	3096,30
YBR067C	--	--	--	--	--	5580,54	5176,79	4688,18	6392,56	5000,46	5396,57
YBR068C	--	--	--	--	--	2923,34	3103,30	3145,28	3481,28	2658,95	2293,56
YBR069C	--	--	--	--	--	8347,01	7830,75	6151,89	9091,09	9268,13	10641,38
YBR070C	--	--	--	-2,2	--	6914,38	7272,72	6528,49	6022,87	3146,46	8068,34
YBR071W	--	--	+1,7	--	--	11470,42	12419,73	14936,65	19258,73	8072,14	10515,99
YBR072W	--	+1,7	+2,2	+2,4	+4,2	4888,93	5471,04	8301,36	10975,65	11719,47	20382,24
YBR073W	--	--	--	-1,8	--	9485,86	7452,12	7870,20	11443,38	5154,66	11308,04
YBR074W	--	--	--	--	+1,7	4840,75	4942,63	4543,25	5664,45	3990,84	8346,35
YBR075W	--	--	--	--	--	6603,33	7386,98	4973,82	6925,18	6667,20	6276,89
YBR076W	--	--	--	--	+2	3132,35	4075,29	3496,08	3438,03	2979,87	6302,96

ORF	Änderungsfaktor					Normalisierte Signalintensität					
	10 min	20 min	30 min	16 h	5d	0 min	10 min	20 min	30 min	16 h	5d
YBR077C	--	--	--	--	--	4574,78	4645,76	3789,39	4314,12	3758,16	5225,40
YBR078W	--	--	--	+2	--	8988,39	9466,48	7942,89	8616,53	18109,55	7712,69
YBR079C	--	--	+1,7	-1,6	--	57571,57	70801,84	72961,76	98945,77	37062,49	40816,54
YBR080C	--	--	--	-1,6	--	4386,53	4744,44	3598,22	3636,45	2716,86	3923,94
YBR081C	--	--	--	--	-1,9	7582,08	10814,48	9392,67	9581,14	7294,93	4056,19
YBR082C	--	--	--	--	--	19563,59	20479,44	14155,10	22254,36	14502,15	18385,50
YBR083W	--	--	--	-1,8	+1,9	4127,93	4550,16	3655,61	3985,54	2346,23	7935,75
YBR084C	--	--	+1,7	--	-3	134079,21	181497,29	150875,92	224412,26	111172,97	45252,59
YBR084W	--	--	--	+1,8	--	5770,86	6088,74	6533,59	7299,39	10232,98	4993,97
YBR085W	--	--	--	--	--	4320,15	5771,09	4199,44	4218,59	4659,52	3339,70
YBR086C	--	--	--	--	+1,5	6018,73	5970,48	6107,25	6179,72	8103,81	9135,65
YBR087W	--	--	--	--	--	8696,86	9352,50	6850,13	6490,23	6626,23	6225,42
YBR088C	--	--	--	--	--	6242,80	8314,12	9296,28	7970,52	4801,29	4417,41
YBR089W	--	--	--	--	-2,1	6663,32	9651,52	7467,87	7156,45	5967,15	3234,81
YBR090C	--	--	--	--	+2	13191,25	14358,86	17442,45	18791,76	9531,41	26361,02
YBR090C	+1,5	--	+1,8	--	+2,4	8059,52	12480,51	11883,82	14339,06	6639,07	19687,68
YBR091C	--	--	--	--	--	3004,57	3412,41	3771,67	3220,11	2073,21	2610,12
YBR092C	--	--	--	--	--	3236,90	3444,14	3525,21	3545,33	3636,89	2348,25
YBR093C	--	--	--	+2,3	-1,7	6316,89	5572,70	4625,78	4410,44	14526,78	3684,25
YBR094W	--	--	--	--	--	2900,89	3384,21	4153,53	3409,44	3622,93	2173,28
YBR095C	--	+1,5	--	--	+3	2833,23	4211,52	4336,81	3851,15	4031,24	8472,58
YBR096W	--	--	--	--	--	9764,58	9949,07	7090,53	10598,15	11348,85	7948,59
YBR097W	--	--	--	--	--	7152,06	9048,90	6164,80	8923,78	9047,27	9868,81
YBR098W	--	--	--	--	--	2933,10	3465,21	3585,54	3251,45	3116,00	3481,88
YBR099C	--	--	--	--	+2,6	3237,45	3478,59	3193,39	3419,04	3210,21	8513,92
YBR100W	--	--	--	--	+3	4436,17	5130,83	6211,68	5480,68	3780,74	13394,45
YBR101C	--	--	--	--	--	26844,08	22658,92	18126,43	20055,52	20493,71	24013,33
YBR102C	--	+1,5	--	--	--	3499,83	4006,96	5253,39	3873,58	3566,78	3017,97
YBR103W	--	--	--	-1,5	--	3489,65	3987,06	4697,00	3770,85	2312,55	3374,93
YBR104W	--	--	--	-2,1	--	7242,65	8566,49	6352,76	5564,52	3370,03	5589,65
YBR105C	--	--	-1,6	-1,8	+2	6797,19	5815,03	4729,31	4171,35	3834,13	13703,85
YBR106W	--	--	--	--	-1,9	23019,61	28650,66	32537,85	30414,82	19358,49	11969,04
YBR107C	--	+2,4	+2,8	+1,8	+1,6	5954,92	7552,53	14324,38	16848,18	10776,57	9353,77
YBR108W	--	--	--	+1,8	+2,9	7723,60	8382,44	6086,61	7216,09	13604,12	22135,99
YBR109C	--	--	--	--	+1,8	17837,68	17746,72	12703,38	19379,76	22279,95	32028,63
YBR110W	--	--	--	--	--	3371,05	3781,80	4227,35	3426,46	3842,63	3278,37
YBR111C	--	--	--	--	+2,5	22052,71	18500,67	17634,68	21917,31	23953,76	56214,22
YBR112C	--	--	+4,4	+6,7	+2,4	9057,57	7318,99	7531,13	39453,07	60453,14	21319,90
YBR113W	--	-1,6	-1,6	+2,3	+2,1	15783,90	11833,92	10177,68	9643,45	35574,46	32651,43
YBR114W	--	--	--	--	--	2728,88	2851,47	3927,02	3466,09	2808,95	3873,38
YBR115C	--	--	+1,6	+2,4	+3,1	15426,22	18493,80	22040,59	25360,94	37329,57	47769,74
YBR116C	--	--	--	--	+49,1	2672,82	3407,56	3570,88	3441,11	3372,01	131229,79
YBR117C	--	--	--	--	+5,3	2838,83	3812,44	3066,49	3475,94	2970,53	15055,06
YBR118W	--	--	--	+1,6	-1,9	1086967,23	896743,04	863713,89	1539471,02	1704565,44	577768,97
YBR119W	--	--	--	+1,8	+1,9	2868,82	3982,75	3372,35	3826,69	5272,94	5481,04
YBR120C	--	--	--	--	--	6109,07	6486,52	5568,38	5743,33	4545,23	6743,11
YBR121C	--	-1,6	--	--	-3,7	15856,42	12982,91	9627,09	10683,40	19953,53	4287,16
YBR122C	--	--	--	--	+1,7	8358,08	10190,17	8344,76	10568,22	7547,29	13899,22
YBR123C	--	--	--	--	+1,6	4813,56	5668,46	5080,68	5483,33	6469,08	7558,25
YBR124W	--	--	--	--	+1,6	4869,19	5280,85	7012,62	6127,42	7186,40	7620,63
YBR125C	--	--	--	--	-1,5	11110,60	14381,95	12744,10	13891,41	14299,59	7278,49
YBR126C	-1,7	-1,5	--	--	+5,3	14568,80	8573,97	9688,50	12196,02	11448,41	76828,51
YBR127C	--	--	--	+4,5	+2,9	7863,23	8656,65	10924,52	10725,97	35767,70	23046,33
YBR128C	--	--	--	--	+2,7	3270,45	3937,08	4768,15	4206,76	3157,28	8742,66
YBR129C	--	--	--	--	--	3533,03	3697,17	4360,18	3352,51	2606,29	3758,66
YBR130C	--	+1,5	+1,7	+1,8	--	4491,52	5738,96	6918,87	7564,36	8238,77	5303,33
YBR131W	--	--	--	--	--	9389,73	8438,55	6806,88	10058,10	9676,25	10706,19
YBR132C	--	--	--	+1,9	--	3239,08	3451,80	3558,46	4037,08	6039,61	4324,83
YBR133C	--	--	--	--	--	3264,92	3364,39	2859,40	3007,32	3654,44	2832,20
YBR134W	--	--	--	+1,6	--	3675,82	4091,21	4409,69	3962,90	5745,32	4008,32
YBR135W	--	--	--	+2,6	+2,5	26784,20	26857,46	22553,47	25382,10	70490,59	65718,08
YBR136W	--	--	--	--	-1,6	2689,84	3082,29	3533,53	3079,73	3095,54	1643,31



ORF	Änderungsfaktor					Normalisierte Signalintensität					
	10 min	20 min	30 min	16 h	5d	0 min	10 min	20 min	30 min	16 h	5d
YBR137W	--	--	--	--	--	3011,01	3370,20	3252,52	3384,18	2773,06	2676,77
YBR138C	--	--	--	--	--	3215,04	3312,07	3720,38	3302,23	3163,16	2227,28
YBR139W	--	--	--	--	+2,3	3759,89	4026,64	3954,18	3485,65	4559,34	8479,82
YBR140C	--	+1,6	--	--	-2	3078,39	4079,18	4857,34	4206,93	3109,86	1537,68
YBR141C	--	--	--	--	--	4492,46	4198,14	3658,55	3788,67	3460,77	3628,66
YBR142W	--	--	+1,6	+2,1	--	2999,94	3593,71	3778,61	4725,85	6293,41	3383,56
YBR143C	--	--	--	--	--	13489,55	15833,92	9813,90	16890,89	9797,77	14185,01
YBR144C	--	--	--	--	--	3458,84	4588,05	4505,73	4919,24	3581,65	4401,47
YBR145W	--	-1,7	--	+2,1	--	19834,53	14906,70	11596,63	13261,06	41279,62	23584,37
YBR146W	--	--	--	--	--	2747,09	3336,91	2683,93	2947,65	2701,80	3171,76
YBR147W	--	--	--	-1,6	--	3681,43	4631,15	5197,53	5013,43	2294,62	3258,52
YBR148W	--	--	--	--	+1,5	3470,14	3490,95	3928,07	3937,46	3467,68	5210,29
YBR149W	--	-2,1	-1,7	--	--	13125,73	10034,09	6293,19	7884,86	10391,49	12722,09
YBR150C	--	--	--	--	+2,7	3701,98	4344,25	4322,16	4756,20	5479,94	10165,51
YBR151W	--	--	+2,2	--	--	2589,14	3393,91	3364,03	5695,99	2377,72	3450,47
YBR152W	--	+1,6	--	+1,6	--	2827,06	3625,59	4461,09	3789,56	4422,26	2649,82
YBR153W	--	--	--	--	-1,9	2626,77	3238,26	2675,68	2896,42	2101,76	1407,66
YBR154C	+1,7	--	+2,3	+2,6	--	6965,46	11758,28	10022,92	15766,69	18425,17	5078,85
YBR155W	+1,8	--	+2,3	+1,9	--	11076,38	20086,00	13222,69	25238,10	21510,61	15492,62
YBR156C	--	--	--	--	-1,6	6480,75	7677,81	6600,01	8436,70	8323,60	4130,06
YBR157C	--	+1,7	+1,6	-1,6	-1,6	5030,82	6615,39	8524,38	8019,98	3218,59	3102,22
YBR158W	--	-1,7	--	--	-1,8	11701,16	9123,35	6711,84	8506,27	9904,76	6636,11
YBR159W	--	--	--	--	-1,5	5704,80	7456,00	6617,21	6406,31	4729,30	3783,44
YBR160W	--	--	--	-1,7	--	11268,25	12151,49	11030,82	11528,88	6765,68	7743,22
YBR161W	--	--	--	-1,5	+2,2	5521,05	5306,06	4733,94	5682,67	3652,24	11953,30
YBR162C	--	--	--	+5,4	-3,9	16815,06	24300,17	16862,68	20331,16	90787,20	4298,27
YBR162W	--	--	+1,8	--	+2,1	12045,10	14411,35	14894,00	22277,85	17991,90	25006,83
YBR163W	--	--	--	--	--	3100,94	3384,86	3821,53	4197,71	3507,10	3179,06
YBR164C	--	--	+3,2	+1,6	-1,9	6405,96	6730,64	8526,20	20424,32	10046,98	3446,05
YBR165W	--	+1,5	+1,6	--	--	3744,87	5406,58	5801,64	5980,94	2753,87	3690,11
YBR166C	--	-1,8	--	--	--	5485,03	5204,59	2981,55	4942,12	4765,51	7651,15
YBR167C	--	--	--	--	+1,6	5347,55	5697,18	5077,71	6767,35	3980,53	8321,06
YBR168W	--	--	--	-2,6	--	6557,28	5937,64	4668,47	4652,36	2487,14	5079,83
YBR169C	--	-1,8	--	-2	+5,2	9506,81	7503,16	5276,43	10311,99	4707,21	49112,15
YBR170C	--	--	--	-1,9	--	4486,66	4012,10	3098,54	3688,71	2321,81	4885,06
YBR171W	--	--	--	-1,6	-1,7	6722,16	6370,11	6948,03	6041,82	4125,68	3871,93
YBR172C	--	+1,9	--	-1,6	--	4994,31	5479,10	9694,52	5488,74	3148,82	3490,06
YBR173C	--	--	--	-2,8	-1,9	9488,11	10364,00	9883,22	11318,24	3435,91	5092,66
YBR174C	--	--	--	-2,3	--	6602,35	7596,38	6643,62	7682,74	2932,19	5811,44
YBR175W	--	--	--	-2	--	4715,07	5525,93	4771,35	6504,81	2388,39	3442,25
YBR176W	+1,6	--	--	-1,9	--	3543,91	5775,09	4251,03	4372,29	1900,04	2625,50
YBR177C	--	--	--	--	+3,9	14979,61	17034,46	14174,77	20007,84	20272,64	58668,06
YBR178W	--	--	--	--	+1,7	3587,16	4849,81	2741,81	4136,17	3425,86	6186,52
YBR179C	--	--	--	--	--	6261,93	5347,97	5193,24	6567,98	5049,38	4401,25
YBR180W	--	--	--	--	--	4030,18	4973,60	3875,87	4461,65	4398,22	3275,27
YBR181C	-1,5	-1,7	--	--	-5,4	418847,79	277268,92	251857,41	368215,86	299373,54	77213,38
YBR182C	--	--	+1,5	--	--	3514,43	3557,19	3961,69	5280,70	3181,01	3538,14
YBR183W	--	--	--	--	+3,4	4150,41	3652,90	3876,94	3787,58	2802,93	14313,90
YBR184W	--	--	--	-1,7	--	5126,30	6152,52	5460,89	5619,24	2996,78	4499,63
YBR185C	--	--	--	-1,7	--	3365,43	4689,36	4063,74	4151,94	1979,01	3320,54
YBR186W	--	--	--	--	--	2873,86	3778,13	3512,15	3542,20	2370,88	2544,60
YBR187W	--	--	--	--	--	5532,69	6581,54	6896,19	8202,44	7030,88	3879,37
YBR188C	--	--	--	--	--	5131,86	5943,08	5701,57	6300,89	4899,40	6318,74
YBR189W	--	--	--	-3,5	-3,5	43649,42	43834,47	56272,58	34290,34	12533,82	12643,22
YBR190W	--	--	--	--	--	5505,59	5435,50	3697,70	5014,10	7507,51	7409,08
YBR191W	--	-1,7	--	-1,9	-4,2	100147,21	68774,63	58650,13	68562,24	53265,47	23994,42
YBR192W	--	--	--	--	--	4052,19	4245,96	3829,37	3873,17	3675,79	3504,78
YBR193C	--	--	--	--	--	4669,96	5704,45	5322,81	5387,66	4163,14	4004,82
YBR194W	--	--	--	--	--	4578,93	4648,04	4781,36	5637,55	4844,98	4895,53
YBR195C	--	--	--	-1,7	--	8313,33	6024,01	6548,56	6809,11	4825,04	6785,29
YBR196C	-1,6	-1,5	--	--	--	40149,71	25435,80	25986,77	27273,47	51848,43	31166,93
YBR197C	--	--	--	--	--	4363,03	5079,58	5674,18	4240,35	3271,27	4039,43



ORF	Änderungsfaktor					Normalisierte Signalintensität					
	10 min	20 min	30 min	16 h	5d	0 min	10 min	20 min	30 min	16 h	5d
YBR198C	--	--	--	--	--	3776,83	4245,03	4448,35	4322,23	3711,69	3564,74
YBR199W	--	--	--	-1,7	-2,7	4069,94	4971,77	5644,87	4222,68	2407,77	1523,07
YBR200W	--	--	--	--	--	4410,36	4702,23	5077,31	4665,69	5042,62	5258,48
YBR201W	--	--	--	--	--	3179,55	3750,54	3760,04	3628,53	2759,89	4229,32
YBR202W	--	--	--	--	--	4670,26	4558,80	3134,61	4650,57	6299,80	5794,97
YBR203W	--	--	--	+1,7	+1,6	3899,11	4322,32	3808,52	4099,04	6760,82	6196,28
YBR204C	--	--	--	--	+2,2	4395,99	4292,63	3449,47	3576,63	5867,81	9478,82
YBR205W	--	-1,8	-1,6	--	--	11458,65	8165,61	6506,01	7030,54	10445,14	8855,95
YBR206W	--	--	--	--	+1,6	10393,73	9266,77	8965,63	11072,02	10260,92	17104,10
YBR207W	--	--	--	--	--	3401,89	4050,31	3907,09	3856,76	3943,56	3582,04
YBR208C	--	--	-1,6	+3,2	--	11664,26	10902,44	9368,43	7524,56	37686,13	14534,18
YBR209W	--	--	--	--	+1,6	2891,04	3295,35	3568,83	3780,87	2591,83	4724,98
YBR210W	--	--	--	+1,8	+1,6	3603,09	3821,22	5047,39	5397,13	6416,17	5857,36
YBR211C	--	--	+1,6	--	--	2820,49	3345,04	3643,52	4462,87	3389,51	2498,32
YBR212W	--	--	--	--	--	3951,26	4220,05	4231,56	3650,25	3462,48	4813,96
YBR213W	+1,5	+1,5	--	--	--	3356,02	5066,62	5079,57	4410,97	2267,03	2702,64
YBR214W	--	-2	-1,6	+1,6	+4,8	7384,82	5106,56	3785,73	4572,19	11981,75	35707,21
YBR215W	--	--	--	--	--	4090,90	4263,53	4025,21	4434,69	6134,54	5247,99
YBR216C	--	--	--	--	--	3302,48	3705,42	3247,08	3163,84	4119,59	4328,48
YBR217W	--	--	--	--	+9,7	5719,87	4159,43	4400,51	4415,68	8094,38	55319,31
YBR218C	--	--	--	+2,1	--	4078,84	4745,29	5304,67	5205,02	8610,44	4889,56
YBR219C	--	--	--	+1,8	--	4173,49	4799,95	5686,97	5342,78	7392,91	5625,03
YBR220C	--	--	--	--	--	3306,10	3709,34	3795,56	3302,24	4348,54	3020,53
YBR221C	--	--	-1,6	--	--	10971,37	9305,67	10118,99	6857,88	15235,72	7913,81
YBR222C	--	+1,5	--	--	+1,9	2702,09	3160,51	4153,78	3149,66	3435,18	5026,38
YBR223C	--	--	--	--	--	2569,93	3211,76	3648,39	3164,36	2975,51	2561,49
YBR224W	--	--	--	--	--	2377,29	3495,65	3285,50	2898,09	2545,16	1860,59
YBR225W	--	--	--	--	-2,3	2692,92	3382,16	3061,19	3047,92	2546,13	1172,36
YBR226C	--	--	--	+1,6	--	3028,61	3771,75	2884,15	3676,00	4949,36	4172,90
YBR227C	--	--	--	--	--	5481,98	6248,36	4217,42	5375,38	6952,29	6784,56
YBR228W	--	--	--	--	+2,2	3557,60	4239,47	3640,37	3612,76	3768,16	7932,24
YBR229C	--	--	--	--	--	3667,22	4042,87	3411,72	3086,10	5368,07	4745,39
YBR230C	--	--	--	--	+14,6	5331,88	4700,11	4689,16	5074,29	5624,15	78091,23
YBR231C	--	--	--	--	--	5097,43	5812,51	5652,49	5052,98	4090,34	6610,16
YBR232C	--	--	--	--	-2,3	3417,77	3645,31	3792,63	3591,93	3197,98	1495,31
YBR233W	--	--	--	--	-1,6	4513,80	4213,49	4085,50	3719,24	3151,57	2806,93
YBR234C	--	--	--	+3,1	--	10203,20	10162,24	8711,44	9154,78	31161,56	8591,16
YBR235W	--	--	--	--	--	2810,33	2924,80	3579,58	2608,76	2508,21	3241,52
YBR236C	--	--	--	-1,6	--	4818,35	5212,23	4268,36	4118,70	3053,22	3528,57
YBR237W	--	--	--	--	--	2715,23	3823,86	3177,94	2852,47	3141,05	2435,88
YBR238C	--	--	--	+1,9	--	3431,94	4139,82	2880,27	3481,04	6389,50	2829,26
YBR239C	--	--	--	--	--	5036,83	5590,06	4717,66	6536,74	6140,22	5554,74
YBR240C	--	--	--	+1,6	--	2664,42	3129,94	2543,40	3250,54	4262,04	3151,35
YBR241C	--	--	--	--	+3	3628,91	4018,38	3361,18	3585,95	3260,72	10797,20
YBR242W	--	--	--	--	+1,5	5726,72	6819,25	6201,71	6859,70	4996,12	8806,02
YBR243C	--	--	--	--	--	3727,63	4827,35	4428,91	4340,43	3737,46	2676,86
YBR244W	--	--	--	--	--	4826,22	4010,79	3755,23	4271,66	6920,42	5020,84
YBR245C	--	+2	+3,2	--	+1,6	14570,69	20192,54	28428,11	46666,95	17242,46	23268,15
YBR246W	--	--	--	--	--	3342,22	4727,09	4651,43	3724,61	4633,32	4763,49
YBR247C	--	--	--	--	-2	4850,10	5028,43	6510,21	4932,97	5399,92	2460,04
YBR248C	--	--	--	--	-3,1	6644,71	4869,99	5216,21	4521,57	5829,07	2133,01
YBR249C	--	--	--	--	-2,9	13016,54	12734,38	11325,74	10449,47	10123,87	4416,66
YBR250W	--	--	--	--	--	4507,80	4767,79	3993,33	3938,92	5108,55	5519,92
YBR251W	--	--	--	--	--	9179,84	9376,85	7992,79	9299,70	9545,53	10481,20
YBR252W	--	--	--	--	-1,7	10376,77	12220,00	10362,62	12586,58	7681,84	6265,25
YBR253W	--	--	--	+1,7	+1,6	6612,39	8268,14	6373,18	8114,54	11472,42	10739,20
YBR254C	--	--	--	--	--	4644,31	4756,22	4431,62	5503,65	4826,41	4696,75
YBR255W	--	--	--	--	+1,8	5684,23	6579,91	5297,39	6163,52	6733,45	10208,54
YBR256C	--	--	--	--	--	8814,37	7642,99	7791,99	9335,00	8023,17	11467,80
YBR257W	--	--	--	--	--	3246,81	4002,29	4117,02	4133,64	2297,28	3336,93
YBR258C	--	--	--	--	--	3137,69	4186,37	3536,67	3776,14	2458,48	3361,88
YBR259W	--	--	--	--	--	3183,52	3321,15	3133,56	3876,52	2347,29	3573,83

ORF	Änderungsfaktor					Normalisierte Signalintensität					
	10 min	20 min	30 min	16 h	5d	0 min	10 min	20 min	30 min	16 h	5d
YBR260C	--	--	--	--	--	2990,45	3384,23	3178,10	3521,14	2511,23	2236,05
YBR261C	--	--	--	-1,8	-2,6	6363,26	6782,98	6394,36	5410,15	3505,50	2434,56
YBR262C	--	--	--	-1,6	+2	5360,38	5342,59	5370,08	5601,48	3305,91	10730,02
YBR263W	--	--	--	--	--	10926,25	9792,65	7540,87	10995,73	7858,04	9026,77
YBR264C	--	--	--	-1,6	--	4808,58	4753,42	4157,46	5408,33	3016,30	3874,54
YBR265W	--	--	--	-1,6	--	5551,77	6979,17	5467,74	6243,46	3373,75	4065,20
YBR266C	--	--	--	--	--	4908,41	5152,32	5256,86	4785,28	3705,32	5319,52
YBR267W	--	--	--	-1,9	-2,1	6746,52	7252,37	6622,35	7259,95	3462,90	3162,68
YBR268W	--	--	--	-1,8	--	14492,62	14317,47	11366,47	19980,00	8142,61	12273,00
YBR269C	--	--	--	-2,2	--	4323,59	5025,04	4120,62	4837,76	1966,79	5908,04
YBR270C	+2,3	--	--	-2,1	--	3055,70	6965,31	3830,37	3852,10	1426,78	4162,12
YBR271W	--	--	--	-2,6	--	3653,86	4374,54	3712,69	3810,39	1394,86	2713,05
YBR272C	--	--	--	--	+1,7	5964,85	6938,73	5451,42	5736,63	4719,65	10356,09
YBR273C	--	--	--	--	+1,9	3863,97	4551,57	4148,05	4396,80	3563,52	7350,56
YBR274W	--	--	--	-1,6	--	3378,76	4331,02	3841,85	4071,02	2063,85	3648,78
YBR275C	--	--	--	-1,7	-1,9	8784,38	8418,09	7628,98	9832,69	5255,52	4665,23
YBR276C	--	--	--	--	--	3768,77	3942,64	3710,13	3572,75	2957,74	3542,08
YBR277C	--	--	--	--	--	3495,62	3353,12	3588,27	3898,68	3397,49	4946,86
YBR278W	--	--	--	--	--	3964,70	4037,91	4468,36	4251,84	2670,12	5269,07
YBR279W	--	--	--	--	--	5257,47	5510,57	5815,88	5358,78	4283,52	7196,74
YBR280C	--	--	--	-2,1	--	3899,08	4359,99	4253,64	3823,16	1849,97	5274,12
YBR281C	--	--	--	-1,6	--	3250,34	3539,06	3569,06	3594,56	2047,79	2222,31
YBR282W	--	--	--	-1,7	--	3905,07	4534,25	4607,74	4669,63	2348,21	3368,93
YBR283C	+1,5	--	--	+1,8	-1,5	5561,14	8347,01	7881,16	8214,10	9732,41	3645,04
YBR284W	--	--	--	--	--	3382,21	4298,46	4876,21	4213,41	2780,68	3290,15
YBR285W	--	--	--	--	+2,4	3058,83	4074,69	4026,88	3625,99	3935,35	7220,68
YBR286W	--	-1,7	--	--	--	7338,00	6991,56	4311,07	6714,85	9400,90	9055,60
YBR287W	--	--	--	+1,8	--	4716,22	4710,85	3963,51	4521,00	8393,54	6397,25
YBR288C	--	--	--	--	--	4004,96	4151,73	3699,97	4187,76	5007,58	3395,62
YBR289W	--	--	--	+1,9	+1,7	4159,04	4119,83	5075,04	4248,82	8032,07	7085,58
YBR290W	--	--	--	--	--	6240,41	4722,08	5291,64	5233,81	4211,57	8788,00
YBR291C	--	--	--	--	--	4885,69	4535,07	5025,63	4648,72	3793,17	3437,42
YBR292C	--	--	--	--	--	3750,25	3573,71	4170,56	3609,15	2577,45	4344,81
YBR293W	--	+1,6	--	--	-1,7	2946,58	3436,38	4756,50	3392,92	2517,91	1692,02
YBR294W	--	--	--	--	--	2615,49	3441,80	3542,03	2872,62	1842,57	2499,75
YBR295W	--	--	--	--	-3,6	2635,40	3060,95	3330,17	3020,60	2509,85	741,16
YBR296C	--	--	--	--	--	2809,04	3349,23	3392,07	3155,70	1949,14	2063,94
YBR297W	--	+3,5	--	--	+1,9	2763,44	3808,76	9649,19	3048,58	3333,16	5360,37
YBR298C	--	--	--	+1,8	--	2661,14	3853,85	3143,84	3501,12	4839,56	3608,89
YBR299W	--	--	--	+1,6	--	3250,47	3957,19	3789,53	3921,23	5153,81	3923,83
YBR300C	--	--	--	--	--	2978,02	3270,83	2965,65	3662,67	4266,93	2432,46
YBR301W	--	--	--	--	+1,5	4957,99	6675,10	7414,71	5670,35	5837,22	7581,46
YBR302C	--	--	--	--	--	3105,13	3396,89	3852,06	3239,78	4612,16	3871,71
YCL001w	--	--	--	-1,6	+1,9	3282,56	4191,75	2279,50	3688,97	2002,50	6165,09
YCL002C	--	--	--	--	-1,7	4259,83	4808,80	3946,30	5724,71	4799,41	2503,17
YCL003w	--	--	--	--	--	3827,29	4637,69	3803,86	5666,37	3335,01	3120,99
YCL004w	--	--	--	-1,9	--	4721,40	4404,82	3831,84	4897,47	2544,15	4381,59
YCL005W	--	--	--	--	--	4166,08	4255,44	4314,71	4137,73	2975,29	3974,45
YCL006C	--	--	--	--	--	3324,53	4572,65	4149,23	3974,36	2407,86	4618,27
YCL007c	--	--	--	--	--	4291,39	4930,16	4489,42	4909,84	3584,93	5268,14
YCL008C	--	--	--	--	--	3537,62	4506,77	4069,74	4162,38	2956,20	2878,84
YCL009C	--	--	--	--	-1,8	12717,62	11630,09	10048,47	11288,43	10074,10	7257,27
YCL010C	+1,6	--	--	--	--	2665,71	4267,36	3557,91	3828,02	2202,99	2170,42
YCL011c	--	--	--	-2,3	+2,2	5102,98	6580,46	4313,36	4945,52	2207,42	11095,96
YCL012W	--	--	--	--	+2,2	2978,16	4196,50	2455,34	3469,59	3367,07	6672,62
YCL013W	--	--	--	--	--	3373,91	4839,29	4010,37	3441,28	3545,89	4130,69
YCL014w	--	--	--	--	-2	2877,79	3520,31	3251,84	3934,96	3900,64	1427,45
YCL016C	--	--	--	--	--	3488,25	4430,44	3511,60	3587,90	3108,32	3590,53
YCL017c	--	--	--	--	--	5216,05	4914,30	6287,20	4485,89	5159,17	6460,78
YCL018w	--	--	--	-1,9	--	6492,67	4397,53	5505,25	4944,95	3342,66	4992,83
YCL019W	-2	-2,1	-2,2	--	--	14266,99	7247,52	6899,97	6596,98	11231,70	17139,36
YCL020W	--	--	--	+1,9	+2	4458,12	4740,52	5162,76	4883,84	8516,44	9102,47

ORF	Änderungsfaktor					Normalisierte Signalintensität					
	10 min	20 min	30 min	16 h	5d	0 min	10 min	20 min	30 min	16 h	5d
YCL021W	-1,7	-1,5	-1,5	-1,7	--	7635,08	4515,92	5064,47	4965,52	4392,63	11232,16
YCL022C	--	--	--	--	--	3740,80	4234,21	4214,81	4356,44	2620,62	3390,08
YCL023C	--	--	--	--	--	2989,45	3728,59	4189,65	4277,81	2778,35	2697,54
YCL024W	--	--	--	--	--	2705,83	3706,62	3611,28	3249,93	2487,07	3631,07
YCL025C	--	-1,5	--	--	+2,3	3503,17	4032,94	2267,21	3969,46	4863,65	8144,62
YCL026C	--	--	--	+1,5	--	3424,51	3718,42	3209,27	3665,29	5248,12	4514,80
YCL027w	--	--	--	--	--	3879,39	4933,97	3559,01	3712,71	4358,36	4259,91
YCL028W	--	--	--	--	--	6679,51	6337,54	6394,18	6874,16	8283,83	5446,50
YCL029c	--	--	--	--	--	6722,36	7514,31	7587,14	7618,61	7373,86	5808,41
YCL030c	--	--	--	--	-2,3	6981,38	5864,17	5424,57	4830,63	6063,12	3016,27
YCL031C	--	--	--	--	--	7921,51	6571,58	5532,37	6012,18	5319,96	5919,63
YCL032w	-1,7	--	--	-2,2	-1,5	8096,24	4629,78	6923,99	5516,44	3731,58	5339,49
YCL033C	--	+1,5	--	--	+1,8	3160,50	3513,49	4867,30	4232,50	2724,08	5553,85
YCL034W	--	--	--	--	+1,9	5127,05	5513,38	5709,90	5076,88	4786,23	9499,31
YCL035C	--	--	--	--	+2	6741,63	5494,20	5402,54	5190,38	8849,14	13380,63
YCL036W	--	--	--	--	--	4771,60	5960,99	5476,28	5407,39	3971,31	4574,78
YCL037c	--	--	--	+1,6	+1,5	3313,94	3859,80	2992,50	3846,07	5309,57	5027,94
YCL038C	--	--	--	+1,6	--	3211,22	3734,00	3033,55	3469,78	5171,87	4492,54
YCL039W	--	--	--	--	+1,6	5717,06	5911,06	5723,98	6418,79	7606,77	9215,25
YCL040w	-2,3	-2,5	-2,1	+1,6	+1,9	26129,57	11394,33	10610,52	12284,81	42678,27	496796,46
YCL041C	--	+2	+2,4	+9,4	+4,8	4389,37	5988,43	8831,81	10379,06	41434,72	20906,16
YCL042W	--	--	--	--	--	3047,31	3384,27	3379,33	3549,95	3967,30	4465,26
YCL043c	--	--	--	--	--	7964,34	8083,77	7094,69	8027,98	7600,92	5340,19
YCL044C	--	--	--	--	--	4197,87	4478,71	6146,28	5369,95	3547,22	5469,33
YCL045C	--	--	--	--	--	3988,13	3656,19	4146,40	3178,79	2800,51	2696,11
YCL046W	--	--	--	--	-1,6	2765,30	3623,59	3894,99	3151,30	2348,22	1713,69
YCL047C	--	--	--	--	--	3065,94	3967,95	3580,56	4208,72	2550,11	2519,77
YCL048W	--	--	--	--	-1,6	3547,34	3448,42	3467,94	3358,72	2756,70	2278,93
YCL049C	--	--	--	--	--	5809,93	6286,58	5174,45	5452,40	8226,13	8454,26
YCL050c	--	--	--	--	-1,9	4547,53	6164,94	4719,74	4709,46	6053,90	2340,68
YCL051W	--	--	--	--	--	4549,94	4545,53	3542,72	4148,37	5084,60	6619,31
YCL052c	--	--	--	--	--	3749,73	5291,89	3136,79	3252,92	3935,95	4753,56
YCL053C	--	--	--	--	--	13949,83	12804,38	13687,72	19299,66	14231,46	9597,40
YCL054W	-2,2	-1,8	-1,6	-1,6	-2,1	11465,14	5125,76	6532,66	7336,12	7294,83	5374,46
YCL055W	--	--	--	--	--	3046,93	3261,78	3586,48	3759,16	3411,44	2410,04
YCL056C	--	+1,6	--	--	--	3238,93	3059,42	5087,04	3554,87	2448,80	3764,99
YCL057w	--	--	--	--	--	7134,13	6697,19	7821,21	10493,44	8248,02	9933,51
YCL058C	--	--	--	--	--	3775,31	4819,26	5598,87	4834,16	3133,18	4010,38
YCL059C	--	--	--	+1,7	-1,8	5762,85	6127,89	6595,24	6131,31	9996,21	3258,63
YCL060C	--	--	--	--	-2,3	2767,30	2961,23	3409,67	2832,19	2199,90	1203,67
YCL061C	--	--	--	--	--	3824,96	4973,64	4113,96	5710,49	5579,63	4588,25
YCL062W	--	--	--	--	+1,7	4306,58	5495,54	4272,02	4861,28	5158,73	7383,25
YCL063W	--	--	--	--	--	4050,33	5004,46	3908,08	4373,45	4784,34	4442,06
YCL064c	--	--	--	+4,3	+2,1	3892,76	3827,33	3300,26	3562,33	16624,33	8270,13
YCL065W	-2,9	-4,6	-12,7	-11,8	--	47604,55	16535,87	10339,76	3759,02	4042,79	39584,53
YCL066w	--	--	--	--	--	2726,49	3253,28	3439,35	3197,61	3274,29	2130,78
YCL067c	--	--	--	--	+2,5	4059,10	4137,29	4010,44	4011,60	5743,41	10240,07
YCL068C	--	--	--	--	-1,8	2873,77	3308,54	3645,58	3127,72	3863,65	1630,16
YCL069W	--	--	--	--	--	2830,39	3437,15	3858,10	3184,38	3779,23	3906,44
YCL070/	--	--	--	--	--	2834,50	2906,14	3727,22	2845,26	2009,04	3092,36
YCL074W	--	--	--	-1,7	-1,7	6487,96	7506,78	5560,62	5890,90	3783,74	3837,94
YCL075W	--	--	--	--	-1,6	2905,30	3738,42	3306,54	2799,19	3656,17	1775,18
YCL076W	--	--	--	+1,5	+1,7	2632,60	3757,88	3395,27	3887,43	4002,41	4560,77
YCLX01W	+1,5	--	+1,6	--	--	4516,17	6780,67	5843,30	7138,09	4568,99	5080,25
YCLX02C	--	--	--	--	--	4839,48	4416,45	3950,47	4358,48	5902,44	5808,33
YCLX03C	--	--	--	--	--	3530,91	3989,32	3134,10	3163,94	3358,16	5189,77
YCLX04W	--	--	--	--	+2,8	3662,42	4021,45	3412,11	3525,53	4187,60	10089,15
YCLX05C	--	--	--	--	--	4915,47	7221,05	4423,09	4989,71	5609,56	3447,18
YCLX06C	--	--	--	--	--	4889,53	5095,41	4563,63	5566,06	5896,05	5294,04
YCLX07W	--	--	--	--	--	2972,15	3692,25	3561,88	3736,81	2451,61	2575,29
YCLX08C	--	--	--	--	--	2768,65	3296,75	3163,06	2945,62	2779,19	2501,58
YCLX09W	--	--	--	--	--	3912,75	4350,02	4279,34	4245,03	3529,28	4795,39

ORF	Änderungsfaktor					Normalisierte Signalintensität					
	10 min	20 min	30 min	16 h	5d	0 min	10 min	20 min	30 min	16 h	5d
YCLX10C	--	--	--	-1,5	--	5355,02	4465,96	5452,89	5364,95	3567,65	4026,18
YCLX11W	--	--	--	--	-1,8	4929,45	5788,50	5425,99	5325,63	3880,25	2711,33
YCLX12W	--	+3,5	--	--	--	3405,44	3661,39	11871,88	4440,13	3877,57	4033,99
YCR001W	--	+1,6	--	+1,6	+1,6	3768,56	4855,69	5870,83	5608,43	6020,35	6064,65
YCR002c	--	-1,8	--	--	-1,7	9874,09	9565,35	5593,48	7985,81	8728,04	5718,33
YCR003w	--	--	--	--	--	6638,75	5335,63	4552,57	4925,05	5770,51	7843,68
YCR004C	--	-1,9	-2,1	-2,2	-1,7	16122,35	11369,35	8712,17	7679,19	7242,19	9340,72
YCR005c	--	-1,5	--	--	+2,3	4814,07	4081,19	3131,38	3749,84	3920,59	10841,93
YCR006C	--	--	--	--	-2,2	2802,86	3177,98	3473,36	3289,44	2307,80	1267,23
YCR007C	--	--	--	--	--	3740,33	3688,40	3090,98	3675,50	3761,05	5006,71
YCR008W	--	--	--	--	--	2994,14	3282,14	3314,66	3428,33	3331,66	2370,52
YCR009c	--	+1,6	+1,6	--	-2,1	3765,87	5594,98	5993,05	5950,03	2787,61	1770,35
YCR010C	--	--	+1,6	--	--	2624,99	2940,39	2863,64	4193,51	2069,28	2250,39
YCR011c	--	--	--	--	+1,5	3430,01	3772,06	3375,91	3739,54	3336,97	5192,95
YCR012w	--	-2,3	--	--	-2,6	44015,27	37719,30	19219,65	35811,01	33575,10	17142,81
YCR013C	--	-1,7	--	-2,3	-2	81193,31	64706,03	47416,12	82069,85	34989,96	41365,89
YCR014c	--	--	--	--	--	3224,44	3761,80	3432,00	3177,98	2730,15	2838,51
YCR015C	--	--	--	--	--	4403,21	4333,87	3329,06	3848,79	3273,41	4742,68
YCR016W	+2,6	--	--	--	--	4787,20	12413,38	5754,10	5426,60	4682,24	4287,53
YCR017C	--	--	--	-1,7	--	4061,71	3910,05	4479,02	3656,97	2384,72	4011,84
YCR018c	--	--	--	-2,4	--	2992,96	3957,21	4069,98	3505,52	1238,79	2886,29
YCR019w	--	--	--	--	--	3565,81	4461,23	3875,68	4001,12	2796,34	3456,94
YCR020C	--	--	--	--	--	3707,65	5246,45	4519,33	4567,60	3475,16	3410,56
YCR020c	+1,7	--	--	-1,5	+1,6	2590,81	4354,00	3723,65	3553,13	1712,69	4267,06
YCR021c	-1,8	-1,9	-1,9	-4,3	+5,3	9810,14	5478,35	5119,72	5280,82	2294,46	52340,65
YCR022C	--	--	--	--	--	2744,34	4107,63	3841,40	3305,17	2482,77	3214,56
YCR023C	--	--	--	--	+2,6	3418,36	4327,70	3260,63	3741,49	3327,97	8833,06
YCR024C	--	--	--	--	-1,7	8452,81	8965,30	7639,58	9935,11	7995,82	4845,98
YCR024c	--	--	--	+1,9	--	4191,34	4776,95	4400,75	4983,64	7895,48	5840,47
YCR025C	--	--	--	--	--	3533,39	4147,12	3896,19	4010,43	3026,74	4297,76
YCR026C	--	--	--	--	--	3282,10	4009,85	4828,29	3904,94	3534,30	3325,93
YCR027C	--	--	--	--	--	4357,53	4323,93	4937,72	4444,61	3566,01	3643,00
YCR028C	--	--	--	-1,5	--	3284,72	4121,91	3536,31	3594,42	2187,85	2947,78
YCR029C	--	--	+1,5	-1,5	--	3169,44	3530,20	3928,03	4858,47	2096,00	2411,31
YCR029c	--	--	--	--	--	4574,66	5563,73	5451,59	5780,26	4039,82	3259,48
YCR030C	--	--	--	--	--	2909,46	3391,03	3772,95	3138,08	2797,59	2578,94
YCR031c	+1,5	+1,9	+1,7	--	-1,9	11280,22	16942,02	21060,49	19278,11	12660,81	6070,59
YCR032W	--	+1,7	--	+2	+2,6	3065,48	3683,32	5115,98	3555,05	6145,82	7893,45
YCR033W	--	--	--	--	+1,6	3262,03	4316,14	3285,55	3939,89	4722,75	5360,47
YCR034w	--	--	--	+1,7	--	4950,17	6127,11	4436,64	5893,59	8332,18	4103,75
YCR035C	--	--	--	--	--	3591,75	4558,39	3706,61	3933,45	4347,85	2496,30
YCR036w	--	--	--	--	+1,6	3537,66	3567,44	3135,39	3442,02	4190,01	5686,49
YCR037c	--	--	--	--	--	3220,98	3634,76	3709,03	3660,87	3819,85	3437,80
YCR038c	--	--	--	--	--	4732,01	4471,61	4364,91	4308,65	3576,91	4118,35
YCR039c	--	+1,8	+1,6	-1,7	--	5214,06	6541,86	9228,25	8150,26	3057,80	5720,78
YCR040w	--	--	--	--	--	2630,00	3146,21	3731,64	3385,85	2112,15	2022,25
YCR041W	--	+1,5	--	--	--	2626,07	3343,35	4039,78	3795,80	2931,70	2254,60
YCR042c	--	--	--	--	--	3028,67	3539,95	3502,09	3478,01	2212,23	3372,38
YCR043C	--	--	--	-1,5	-1,8	3457,30	4010,68	4131,96	3930,59	2239,88	1884,74
YCR044C	--	--	--	--	--	4838,49	4681,31	5115,77	4221,08	3500,77	5366,84
YCR045C	--	--	--	+1,6	--	3366,30	3745,99	3184,66	3326,84	5300,63	3539,77
YCR046C	--	--	--	--	--	7412,37	7811,51	7023,18	9157,16	9654,19	9217,69
YCR047C	--	--	--	+2,1	+8,5	9742,39	8900,08	9208,89	9267,22	20637,75	82337,57
YCR048w	--	--	--	--	+1,5	4175,57	4297,73	5727,50	3967,77	5529,20	6417,29
YCR049C	--	--	--	--	--	3823,04	3915,68	4177,06	3729,65	4015,86	3506,52
YCR050C	--	--	+9,9	+5,8	--	3202,65	3302,35	4074,70	31679,76	18477,22	3080,74
YCR051W	--	--	--	--	--	7549,18	8203,36	7749,52	8500,07	6022,82	5655,83
YCR052w	--	--	--	--	--	4964,67	4307,50	5346,10	4370,64	4999,02	3363,46
YCR053w	--	--	--	--	--	4057,95	3613,57	4108,10	3807,54	3443,48	3780,13
YCR054C	--	--	--	--	--	2581,65	3486,45	3664,47	3445,43	2493,87	3423,45
YCR055C	--	--	--	--	--	5223,88	4546,93	5515,20	4496,56	4722,23	4020,85
YCR056W	-3,5	-3,4	-2,3	-3,1	-2,5	28802,45	8200,47	8530,54	12713,87	9404,10	11492,95

ORF	Änderungsfaktor					Normalisierte Signalintensität					
	10 min	20 min	30 min	16 h	5d	0 min	10 min	20 min	30 min	16 h	5d
YCR057c	--	--	--	--	--	3154,46	4052,84	3102,40	2943,30	3654,03	4223,51
YCR058C	--	--	--	--	--	2729,36	3042,90	2995,12	2995,58	3785,88	3912,36
YCR059C	--	--	--	+1,8	--	7253,83	6527,04	6516,20	7541,59	12694,38	7627,17
YCR060W	--	--	--	--	--	4527,19	6113,08	5111,29	5967,53	4481,65	4401,15
YCR061W	--	--	--	--	--	2883,49	3491,23	3418,34	3037,76	4154,30	4098,78
YCR062W	--	--	--	--	+1,8	3511,22	4164,25	4463,86	3931,68	4722,23	6291,82
YCR063W	--	--	--	+1,9	-2,3	3168,97	3087,65	3665,18	3156,58	5886,56	1393,66
YCR064C	--	--	--	+1,7	--	3207,36	2838,68	4441,12	3395,30	5311,56	3799,91
YCR065w	--	--	--	--	--	2571,68	2732,96	3221,13	2648,58	2407,58	1869,37
YCR066w	--	--	--	--	--	3617,77	4656,37	4544,91	3958,29	5338,70	3330,25
YCR067c	--	--	--	--	-2,5	3189,77	3736,23	4166,25	3445,74	3228,54	1296,17
YCR068W	--	--	--	--	--	2722,63	3326,36	3402,88	3460,62	3584,21	2378,00
YCR069w	--	--	--	--	+1,9	4271,61	3964,93	3629,52	4449,65	5987,35	7947,38
YCR070w	--	--	--	--	+2,3	3634,79	3955,41	3440,02	3976,62	4671,05	8216,53
YCR071C	--	--	--	--	--	5819,80	5899,66	5465,58	5765,06	5464,99	5560,94
YCR072C	--	--	--	--	--	8360,72	9397,16	9204,15	8598,34	7216,62	7082,91
YCR073C	--	--	--	--	+1,7	5317,41	4860,24	5905,26	4669,80	6355,92	9274,88
YCR074C	--	--	--	--	-4,7	3302,71	3586,66	3756,19	4159,56	2832,18	697,25
YCR075c	--	--	--	--	--	3542,69	3629,08	4226,28	3725,82	3354,86	3573,58
YCR076C	--	--	--	--	--	3374,52	4363,12	4828,94	4352,98	2924,91	4994,56
YCR077C	--	--	--	--	-1,6	2582,33	3146,20	3182,16	2894,29	2805,02	1638,61
YCR079W	--	--	--	--	+2,4	3070,89	3646,86	3517,69	3051,31	2935,19	7385,59
YCR080W	--	--	--	--	--	2893,92	4055,40	3105,80	3024,59	3492,27	3053,52
YCR081w	--	--	--	--	+2	2712,57	3430,33	3190,50	3591,83	3270,46	5488,36
YCR082W	--	--	+1,5	+1,7	+3,1	3795,24	4421,43	4110,02	5861,33	6415,90	11648,48
YCR083W	--	--	--	--	+2,3	3555,82	4449,83	3444,75	3845,16	3337,84	8260,25
YCR084c	--	-1,5	--	+2,3	--	6364,06	5296,54	4148,32	4927,63	14347,24	5183,53
YCR085W	--	--	--	--	--	2936,11	3530,57	2852,76	3447,04	1983,16	3183,61
YCR086W	--	--	--	--	--	3891,35	4605,40	4253,85	4428,29	3926,17	3741,70
YCR087W	--	--	--	--	--	3489,97	3873,60	3722,30	3715,37	3740,95	3060,21
YCR088w	--	--	--	--	--	3291,90	3766,26	3488,99	3528,42	4348,91	4258,33
YCR089W	--	--	--	--	--	7603,25	7738,91	8300,12	6309,42	6189,74	6409,05
YCR090C	--	--	--	-1,6	-2,9	4213,15	4048,91	4268,35	3959,76	2717,68	1432,18
YCR091w	--	--	--	--	--	2909,47	3555,47	2749,06	3017,63	3637,87	2219,51
YCR092c	--	--	--	--	--	3253,24	3851,09	3932,81	4381,00	4297,56	2379,87
YCR093w	--	--	--	--	--	2773,02	3167,21	2613,42	3377,76	3505,05	2700,34
YCR094W	--	--	--	--	--	4136,43	4745,73	3258,48	4341,87	5802,25	3550,78
YCR095C	--	--	--	--	--	4123,07	4305,06	3999,67	4260,29	4618,53	4033,45
YCR096c	--	--	--	--	+3	5585,80	5487,74	5283,81	5282,33	5697,78	16783,70
YCR097w	--	--	--	--	--	3512,98	3995,43	4565,39	4244,45	2920,45	2861,96
YCR097w	--	--	--	--	+2,4	3229,59	3778,38	3660,72	4138,59	3509,43	7671,50
YCR098c	--	--	--	--	--	2733,16	3285,91	3110,23	3266,23	3924,50	2152,40
YCR099C	--	--	--	--	--	3117,00	3975,40	4265,66	4184,88	2165,90	2409,41
YCR100C	--	--	--	--	--	2475,47	3239,92	3449,44	3029,95	3068,17	2446,77
YCR101C	--	--	--	-1,8	-5,4	2509,10	2947,45	2903,20	3380,46	1395,69	468,79
YCR102C	--	--	--	--	-1,6	2622,07	3656,69	2933,26	3308,51	2843,99	1684,29
YCR103C	--	--	--	--	+1,7	3485,51	3705,89	4175,32	3823,10	2733,20	5826,90
YCR104w	--	--	--	--	+3,4	4387,39	4504,84	3926,39	4690,98	3515,71	14842,67
YCR105W	--	--	--	-1,8	--	4969,31	5452,99	3433,55	4515,78	2750,96	3732,56
YCR106W	--	--	--	-2,9	--	4046,00	5294,24	3659,57	4132,75	1411,01	3814,95
YCR107W	--	--	--	-1,5	--	3232,82	3961,41	3238,21	3316,01	2143,36	4056,95
YCRX01W	--	+1,5	--	-1,7	-1,6	3586,47	4928,71	5507,80	3871,05	2063,20	2236,91
YCRX02C	--	--	--	-1,6	--	3711,19	4672,62	4925,88	3787,58	2263,62	3379,20
YCRX03C	--	--	--	-2	-1,9	3168,89	4430,15	4284,45	3749,69	1583,21	1651,64
YCRX04W	--	--	--	-1,6	-1,7	3801,08	4803,68	5059,47	4536,15	2345,33	2178,37
YCRX05W	+1,6	--	--	-1,8	--	2826,02	4382,51	3601,35	3669,12	1536,50	2418,15
YCRX06W	+1,7	--	--	-1,5	-1,7	2905,32	4932,84	3967,22	3966,33	1889,77	1660,63
YCRX07W	--	--	--	-2,7	--	2714,57	3918,95	3842,45	3530,04	1021,10	3851,30
YCRX08W	--	--	--	--	+1,7	3405,03	4424,48	3450,29	3913,41	3106,19	5820,50
YCRX09C	--	--	--	--	--	4238,13	5023,75	4865,91	5077,05	4335,87	4506,29
YCRX10W	--	--	--	--	--	4458,92	6538,82	4730,39	5323,54	5747,51	3942,82
YCRX11W	-1,8	--	--	--	-2,3	9066,78	5179,91	7221,84	12662,44	7243,86	3990,60

ORF	Änderungsfaktor					Normalisierte Signalintensität					
	10 min	20 min	30 min	16 h	5d	0 min	10 min	20 min	30 min	16 h	5d
YCRX12W	--	--	--	--	--	2940,27	3369,22	3514,59	3433,67	3289,88	3753,24
YCRX13w	--	--	--	--	+2,3	6084,51	5808,09	6388,39	5424,09	5173,62	13971,34
YCRX14W	--	--	--	--	--	4976,76	4668,24	5023,24	3942,15	4525,96	3359,59
YCRX15W	--	--	--	-1,7	--	3112,82	4422,84	3744,12	3432,93	1837,94	3099,44
YCRX16C	--	--	--	-1,9	-3,2	8703,20	11313,06	10199,74	12041,58	4486,20	2681,02
YCRX17W	--	--	--	--	-1,7	5753,36	6498,76	5320,38	5185,26	4279,71	3358,01
YCRX18C	+1,6	--	--	--	--	3354,50	5359,34	4514,68	4757,28	3427,91	3253,08
YCRX19W	--	--	--	-1,8	-1,9	4080,56	4470,71	3659,63	3628,09	2281,04	2201,52
YCRX20C	--	--	--	+1,5	+1,9	3008,52	4041,84	3324,70	3493,89	4513,64	5671,24
YCRX21C	--	--	--	--	--	4630,98	4500,18	3520,71	4531,11	3788,09	4636,19
YDL001W	--	--	--	--	+1,8	4146,11	4203,10	3968,35	4144,12	3203,88	7462,47
YDL002C	--	-1,6	--	--	--	11290,35	11533,74	7249,30	9050,80	7763,35	8273,35
YDL003W	--	--	--	--	-1,7	5866,13	5896,56	4955,33	6661,64	4846,39	3452,51
YDL004W	--	-1,6	--	-2,3	--	8606,91	8548,15	5536,42	7575,76	3712,83	8804,63
YDL005c	--	--	--	--	--	4693,86	4615,68	4552,80	4170,37	3166,04	5983,96
YDL006W	--	--	--	-1,9	--	4882,69	5403,23	5779,76	5027,75	2519,26	3388,05
YDL007W	--	--	--	-1,6	--	9032,54	7786,09	6259,31	8567,10	5706,61	7363,84
YDL008w	--	--	--	-2,7	-1,9	5536,47	6353,19	5117,10	6217,86	2064,50	2953,71
YDL009c	+1,9	--	--	-1,6	--	3014,23	5721,07	4168,27	4501,38	1894,20	4354,47
YDL010w	--	--	--	-3,2	--	3608,91	4665,43	4256,84	4353,56	1135,78	3240,08
YDL011c	--	--	--	-1,8	+1,9	3363,43	4899,85	4780,36	4187,34	1864,77	6414,70
YDL012c	--	--	--	--	+2	5211,55	6417,00	5752,04	7072,03	4196,36	10358,81
YDL013W	--	--	--	--	--	4059,79	4435,26	4372,39	4042,23	3682,96	5774,09
YDL014W	--	-2	-1,7	--	-3,1	33974,38	28672,64	16719,12	20233,66	31078,56	10805,64
YDL015c	--	--	--	--	--	4627,11	5122,89	3878,51	4608,39	4948,87	4729,80
YDL016c	--	--	--	--	+1,9	3708,96	3739,28	4076,60	4348,44	4526,45	7025,26
YDL017W	--	--	--	--	--	3215,35	3487,65	3659,79	3389,54	2816,29	3910,24
YDL018c	--	--	--	-2,4	--	3811,49	4278,71	4115,12	3651,34	1596,95	4187,09
YDL019c	--	--	--	-1,6	+1,8	7129,91	7455,40	6266,11	5251,32	4502,01	12660,89
YDL020C	--	--	--	--	+3,1	4536,84	4392,20	4285,61	4092,67	3502,41	13991,99
YDL021W	--	--	--	--	+1,5	2999,46	3400,91	3582,29	3203,39	2230,57	4543,07
YDL022w	--	--	--	--	+2,2	5597,74	5704,05	4694,47	4500,08	6675,49	12486,32
YDL023c	--	--	--	--	+2	3687,53	4088,12	3869,93	3240,16	4485,12	7486,66
YDL024c	--	--	--	--	+2,5	2853,46	3789,43	4098,80	3837,92	3646,23	7107,02
YDL025c	--	--	--	+1,6	+2	3466,39	4059,80	3150,92	3427,23	5377,53	7103,37
YDL026w	--	--	--	--	--	3246,92	4346,01	3870,47	3618,00	4068,68	3644,64
YDL027c	--	--	+1,9	--	+1,7	3909,93	3889,04	3655,54	7325,81	4748,67	6650,42
YDL028C	--	--	--	--	+2,5	3743,18	3645,63	3210,33	3481,77	3907,09	9281,85
YDL029W	--	--	--	--	--	7350,66	6578,62	6580,34	5673,04	8257,25	10601,50
YDL030W	--	--	--	--	--	3047,29	4095,54	3638,66	3474,66	2682,53	2847,77
YDL031w	--	--	--	--	-1,5	3642,21	4294,16	4120,94	4151,05	3156,56	2364,89
YDL032w	--	--	--	--	-1,9	2872,70	3621,33	4031,06	3368,67	2402,56	1527,91
YDL033c	--	--	--	-1,5	--	3046,79	3801,74	3871,50	3230,60	2012,11	3615,42
YDL034w	--	--	--	--	-2	2733,47	3404,98	3516,67	3306,46	2573,25	1340,48
YDL035c	--	--	--	-1,5	-1,5	2608,91	3426,62	3132,09	3226,09	1732,40	1730,70
YDL036c	--	+1,9	--	--	+1,7	3030,97	4311,46	5810,46	2884,77	3580,63	5276,87
YDL037c	--	--	--	+2	--	2942,09	3781,18	3668,70	4301,94	5818,20	3988,92
YDL038c	--	--	--	+2	--	3468,28	3811,34	3797,51	3614,55	6900,93	3905,37
YDL039c	--	--	--	--	--	4108,73	4614,65	3876,65	4419,55	4896,82	4026,81
YDL040C	--	--	--	--	--	4253,82	4102,59	3838,26	4053,30	5106,84	5043,56
YDL041w	--	--	--	--	-1,5	3161,37	4109,35	3729,97	3336,31	3465,59	2099,14
YDL042C	--	--	--	--	--	2783,79	3706,38	3268,40	3303,75	3120,40	2691,54
YDL043C	--	--	--	--	--	3652,63	3803,34	4566,69	4061,82	4343,68	4478,11
YDL044c	--	--	--	--	--	2815,66	3607,01	4213,57	3670,60	2406,24	2779,32
YDL045C	--	--	--	--	--	3034,77	3530,89	4146,80	3585,58	3107,98	2204,06
YDL046w	--	--	--	--	+1,9	4601,43	4864,05	4819,72	4584,20	5812,28	8917,04
YDL047W	--	--	--	--	--	3746,76	4023,67	4279,77	3749,81	3832,35	4119,33
YDL048c	--	--	-1,7	--	+2,6	5428,80	3785,47	3659,91	3251,75	5571,39	14054,62
YDL049C	--	--	--	--	--	3752,80	4608,73	3807,74	3975,30	5163,46	4692,16
YDL050c	+1,6	--	+1,6	--	--	8856,48	13887,02	10611,16	13881,79	11932,47	7397,39
YDL051W	--	--	--	--	--	7773,88	8096,65	7055,69	8276,86	9085,77	5976,66
YDL052C	--	+1,6	--	--	--	3327,12	3787,47	5168,89	3254,24	3158,87	3256,24



ORF	Änderungsfaktor					Normalisierte Signalintensität					
	10 min	20 min	30 min	16 h	5d	0 min	10 min	20 min	30 min	16 h	5d
YDL053c	--	--	--	--	--	5268,90	5253,89	4978,45	4840,94	4472,20	4809,22
YDL054c	--	--	--	--	--	3353,07	3860,17	3708,71	3515,40	3929,26	2773,37
YDL055C	--	--	--	+3	-2,7	19371,00	17943,77	18466,97	18937,31	58349,30	7255,21
YDL056W	--	+1,6	--	--	--	2696,16	3216,15	4411,30	2976,57	2787,68	1970,36
YDL057w	+1,6	+1,7	+1,9	+2,4	--	4020,72	6259,49	6979,09	7728,65	9510,68	5634,46
YDL058W	--	+1,6	+1,8	+2,6	+1,7	6326,82	7626,46	9954,65	11572,14	16133,50	10783,58
YDL059C	--	--	--	--	--	2956,41	4233,01	3549,43	3463,47	2757,09	2299,43
YDL060w	--	--	--	--	--	4243,52	4232,41	4537,33	4508,21	4451,44	5709,68
YDL061C	--	-2	+1,5	--	--	42247,57	40997,52	20986,41	64455,12	51096,61	28474,01
YDL062w	--	--	--	--	--	3822,57	4449,81	3762,24	4731,65	4860,83	2664,54
YDL063c	--	--	--	--	--	3664,94	3497,18	3099,40	3504,83	4275,89	2544,52
YDL064w	+1,7	--	--	--	--	7056,74	11800,49	5760,31	7855,11	6909,75	10443,37
YDL065c	--	--	--	+1,6	+2,2	4159,50	4705,36	3901,54	3947,75	6658,14	9108,49
YDL066W	--	--	--	+2,6	--	6948,19	6367,58	5906,82	5297,46	17871,29	6628,20
YDL067C	--	--	--	--	+2,3	5049,85	5086,52	6358,62	6414,16	4735,91	11559,83
YDL068w	--	--	--	--	-2,4	2847,14	4188,22	3375,51	3195,38	2883,44	1199,12
YDL069C	--	--	--	-1,7	--	3113,18	3427,41	3930,85	3032,35	1822,11	2113,88
YDL070w	+2,2	--	--	--	--	3406,37	7563,67	3460,88	2840,70	2954,38	4557,85
YDL071c	--	--	--	-1,5	--	3141,66	3504,87	3730,96	3287,89	2057,79	4440,90
YDL072c	--	--	--	--	--	8899,48	6784,16	6574,21	6134,39	6764,93	10755,18
YDL073w	--	--	--	--	+1,8	2990,36	3480,20	3123,11	3811,52	3814,01	5360,10
YDL074c	--	--	--	--	-1,7	5580,56	5244,88	5247,79	5222,13	7075,29	3379,85
YDL075W	--	--	--	--	--	3576,19	4399,64	4030,01	4360,43	3352,72	2694,20
YDL076c	--	--	--	--	+1,6	3851,12	3582,67	3321,58	3601,80	4461,82	6285,72
YDL077c	--	--	--	--	+2,1	3105,19	3263,10	2833,64	3052,16	3459,87	6626,94
YDL078C	--	--	--	--	+2,3	5553,96	6283,21	5210,84	5174,81	6353,81	12703,73
YDL079C	--	--	--	--	+1,6	3454,38	3410,58	3319,95	3736,02	2640,55	5450,36
YDL080c	--	--	--	--	--	2682,19	3351,64	3634,73	2974,65	2607,15	1795,21
YDL081C	--	--	+1,9	--	-2,3	40864,14	55769,71	35924,46	76731,57	28938,92	18032,07
YDL082w	--	--	--	--	-2,9	20149,58	23285,52	19533,81	17873,91	16498,91	6833,23
YDL083C	--	--	--	--	-3	16834,64	20029,58	15633,67	15882,00	13254,16	5660,96
YDL084w	--	-2	-1,7	--	-2,1	11163,16	8830,57	5710,97	6689,17	10598,02	5444,33
YDL085w	--	--	--	--	+2,7	2696,51	3427,77	3197,97	2965,24	3628,22	7244,51
YDL086w	--	--	--	--	--	11061,02	10683,75	9687,28	11347,24	16075,33	13888,34
YDL087c	--	--	--	--	--	2926,78	3326,38	2696,56	2951,56	3418,59	2954,76
YDL088C	--	--	--	--	--	3347,26	3973,99	3129,67	3550,84	3913,55	4646,36
YDL089w	--	--	--	-1,7	--	4246,28	4493,84	4270,12	4547,26	2566,22	3151,84
YDL090C	--	--	--	--	--	3330,65	3935,30	3394,92	3318,39	3610,38	3004,85
YDL091c	--	--	--	--	--	3547,26	3489,56	3613,25	3298,57	2726,72	5205,95
YDL092W	--	--	--	--	--	8282,77	8658,41	6765,46	8490,67	7414,17	5848,02
YDL093W	--	--	--	--	--	2636,45	3619,16	3424,38	3051,08	1961,37	2910,22
YDL094c	--	--	--	--	--	3044,78	4011,05	3737,39	4446,99	2175,45	2066,98
YDL095W	--	--	--	--	-3,5	3071,59	3419,06	2967,29	3168,72	2404,20	878,72
YDL096c	--	--	--	+1,8	-1,5	3422,87	4466,53	3768,11	3608,48	6110,49	2259,19
YDL097c	-1,6	-3,3	-2,2	-3,3	--	31618,48	19557,84	9590,87	14102,88	9569,52	24743,11
YDL098c	--	--	--	--	--	4070,08	3745,89	3613,00	3892,08	3529,30	5326,46
YDL099w	--	--	--	--	+2,2	10263,65	8968,65	7225,87	8601,92	8597,27	22145,34
YDL100c	--	--	--	--	--	7202,18	8130,71	5939,03	6074,86	6304,86	6018,56
YDL101C	--	--	--	--	--	4837,84	4980,43	4612,15	4698,48	3734,66	4249,96
YDL102W	--	--	--	-1,5	--	3165,40	3589,06	4266,82	3446,03	2080,66	3540,78
YDL103C	--	--	--	-1,6	--	6049,73	6308,41	5413,29	4778,85	3746,69	4601,81
YDL104C	--	--	--	--	--	3371,30	4089,88	3980,04	4267,65	3598,06	4837,70
YDL105W	--	--	--	--	--	3006,02	3978,56	3760,32	3962,87	2156,17	2373,83
YDL106C	--	--	--	--	--	3156,94	3824,92	3122,90	3228,46	2444,31	4272,58
YDL107W	+1,6	--	--	--	--	2664,92	4368,14	3314,75	3416,81	1795,01	2734,32
YDL108W	--	--	--	-1,8	--	3622,08	5359,07	4383,54	4563,95	1970,94	4636,33
YDL109c	--	--	--	--	+2,5	2969,62	3816,69	3233,58	3658,67	3545,28	7355,74
YDL110c	--	--	--	--	--	2926,42	4249,26	3337,87	2958,46	2474,91	3282,82
YDL111c	--	--	--	-1,6	--	8903,66	8902,50	6611,04	7630,49	5682,57	9127,23
YDL112w	--	--	--	--	--	3173,01	4367,67	3619,37	3509,39	3459,32	4538,86
YDL113c	--	--	--	--	--	3274,57	3361,75	3376,76	3404,23	3341,35	3339,89
YDL114w	--	--	--	--	--	2965,90	3248,36	4127,81	3339,85	2779,84	3733,57



ORF	Änderungsfaktor					Normalisierte Signalintensität					
	10 min	20 min	30 min	16 h	5d	0 min	10 min	20 min	30 min	16 h	5d
YDL115c	--	--	--	-1,7	+1,8	4017,47	4471,90	4491,89	4466,76	2358,32	7387,84
YDL116W	--	--	--	-1,6	--	2632,62	3568,38	3323,04	2843,45	1611,67	2574,21
YDL117w	--	--	--	-2	--	3672,85	3407,85	3846,55	3175,20	1851,60	3266,41
YDL118w	--	--	--	--	--	3007,65	3715,36	3889,66	3602,82	2417,33	2590,95
YDL119c	--	--	--	--	--	3549,30	4159,54	4762,74	4221,05	2555,31	3235,98
YDL120w	--	--	--	--	--	4944,77	5975,90	6050,36	5648,82	4271,10	5542,38
YDL121c	+1,5	--	--	--	+1,8	2913,35	4464,64	3311,50	3669,72	3748,26	5265,31
YDL122W	--	--	--	--	+1,6	3526,72	4641,58	4155,49	4310,46	5013,04	5689,49
YDL123w	--	--	-1,5	-1,6	--	6922,24	6261,96	4769,77	4569,31	4287,85	8420,76
YDL124w	--	-1,9	-1,8	-1,5	+3,9	10291,73	6935,92	5455,75	5717,21	6829,25	40149,05
YDL125c	--	--	--	-1,6	+3	24670,68	21069,80	17123,07	18476,85	15010,37	72795,45
YDL126C	--	--	--	+2,2	+1,5	10573,50	10994,00	11698,52	10861,42	23688,96	15962,20
YDL127w	--	--	--	--	--	3883,12	4028,95	4683,81	3946,19	3206,81	3718,64
YDL128W	--	--	--	--	+2,2	5724,23	6044,91	6756,49	4546,61	7770,45	12493,06
YDL129w	--	--	--	--	--	2610,63	2980,18	3798,75	3146,47	3046,69	2723,55
YDL130W	+1,6	--	+1,6	--	--	23576,28	37149,29	35117,82	37242,88	34992,70	22071,01
YDL131w	--	-1,6	-1,9	--	--	8858,55	7410,89	5654,11	4549,17	6922,10	11336,44
YDL132w	--	--	--	--	+1,8	4915,23	5453,74	3848,19	4711,65	6487,53	8791,91
YDL133w	--	--	--	--	+2,5	5942,03	5906,83	4624,15	4461,08	6916,53	14774,24
YDL134C	--	-1,6	--	--	+2,3	14610,64	11398,97	9364,76	10084,62	15742,81	33706,43
YDL135C	--	--	--	--	--	6094,36	5945,52	5605,22	5788,62	6993,62	5637,52
YDL136w	--	--	--	--	-2,1	17229,57	17415,34	16251,17	22473,77	17946,28	8162,17
YDL137W	--	--	--	--	+2	18693,01	15974,28	14197,75	14079,73	13042,18	36780,49
YDL138w	--	+1,9	--	--	--	3401,65	4639,41	6602,60	4541,65	2272,13	2793,88
YDL139c	--	--	--	--	--	2925,00	3549,89	4125,53	3925,29	2686,80	3035,20
YDL140C	--	--	--	--	-1,8	3672,72	4049,14	4506,01	3628,70	3291,33	2082,23
YDL141W	--	--	--	--	--	2965,03	3621,33	3486,92	3115,91	2556,85	2082,49
YDL142c	--	--	--	--	--	3405,27	3876,07	3648,37	3209,05	3172,23	4402,57
YDL143W	--	-2,2	-1,6	--	-1,8	28776,39	23537,28	13270,43	18150,15	24685,34	16183,36
YDL144c	--	--	--	+1,7	--	2395,37	3209,89	3209,66	2886,35	4189,28	3203,01
YDL145C	--	--	--	--	--	73410,45	88788,12	72148,93	100927,72	104225,00	90679,46
YDL146w	+1,8	--	--	--	--	4122,23	7572,85	4925,68	4715,83	3800,26	3104,96
YDL147w	-1,7	-2,1	-1,9	-1,6	--	18961,84	10858,34	8993,08	10147,68	11717,60	19681,03
YDL148c	--	--	--	+1,5	--	5518,82	5464,60	5010,54	6087,72	8508,65	3838,64
YDL149w	--	--	--	--	--	2824,56	3519,93	3411,49	3397,60	3318,41	3829,25
YDL150W	--	--	--	--	-1,5	6394,44	6483,50	7370,10	6544,54	4780,97	4131,73
YDL151c	-1,8	--	-1,9	-1,9	--	7690,21	4358,12	5164,43	4007,72	4120,27	5170,44
YDL152w	--	+1,7	--	--	--	2667,67	3652,60	4498,19	3479,80	2270,30	1883,01
YDL153c	--	--	--	--	-2	5677,54	8256,00	5549,14	5124,47	5116,61	2778,97
YDL154W	--	--	--	--	--	2797,30	3073,13	3294,73	2897,56	2078,89	3264,87
YDL155W	--	-1,6	--	--	--	6246,78	4839,30	4020,67	5682,89	7249,98	8977,71
YDL156w	--	--	--	--	--	3782,72	4187,78	2906,88	3666,12	4807,04	5394,49
YDL157c	--	--	+1,6	--	--	7163,94	9432,46	8182,91	11135,34	9036,82	10201,51
YDL158c	--	--	--	--	--	2910,12	3354,68	3069,10	3046,64	3464,42	3695,92
YDL159W	-1,6	--	-3	-3,2	--	10736,36	6743,13	14773,15	3606,33	3387,45	9339,29
YDL160C	--	--	--	--	--	3177,37	3649,54	3358,32	2967,34	4098,49	2263,06
YDL161w	--	-1,5	-1,5	--	--	7892,97	5801,54	5104,95	5215,52	6078,35	6117,85
YDL162c	--	--	--	--	-1,9	2940,31	3408,20	3730,72	3795,80	2926,47	1560,60
YDL163w	--	--	--	--	-2,9	3145,46	3606,75	4021,36	3701,73	3018,41	1083,50
YDL164C	--	--	--	--	--	4976,58	5623,64	6594,03	5561,62	6763,46	5348,76
YDL165W	+1,6	--	--	--	-2,2	3593,82	5819,01	4930,12	4613,48	3096,30	1640,59
YDL166c	--	--	--	-1,6	--	5058,89	6541,88	5597,06	5580,62	3086,39	3502,47
YDL167C	--	+1,5	+2,3	--	--	24812,94	36037,57	38126,26	56118,55	17956,76	26735,70
YDL168W	--	--	--	--	+3,6	9440,68	10294,86	6991,72	9705,40	9946,05	34215,66
YDL169C	--	--	--	--	+8,9	3801,36	4861,79	3770,89	4357,85	3260,78	33677,15
YDL170W	--	--	--	--	+1,7	5510,98	6628,70	4626,72	5372,00	5265,50	9471,68
YDL171c	--	--	--	--	--	16657,53	12680,13	12043,56	14114,94	15689,84	17234,06
YDL172c	--	--	--	--	--	6977,06	6926,64	6463,36	7121,09	6427,32	7631,70
YDL173w	--	--	--	--	--	6614,35	6242,91	5125,70	6035,36	5326,15	6257,63
YDL174C	--	-1,9	--	-2	--	13388,71	10473,74	7151,34	9125,65	6815,40	17150,71
YDL175c	--	--	--	--	--	3450,91	4269,67	4023,93	4207,62	2637,39	4957,84
YDL176w	--	--	--	--	--	3872,60	4282,97	3857,32	4174,83	3524,01	4459,86

ORF	Änderungsfaktor					Normalisierte Signalintensität					
	10 min	20 min	30 min	16 h	5d	0 min	10 min	20 min	30 min	16 h	5d
YDL177c	--	--	--	--	--	3451,47	3763,20	3824,78	4096,06	2856,06	3006,10
YDL178W	--	--	--	-2,3	-2,8	8978,01	8826,41	7258,44	6543,01	3884,47	3163,34
YDL179w	--	+2	--	--	--	3347,09	4221,83	6773,90	4332,59	3874,34	4248,31
YDL180w	--	--	--	--	+2,1	46147,56	50511,37	46800,58	65198,61	52681,67	98753,50
YDL181W	--	--	--	-1,5	+2,6	13379,47	10736,81	10222,20	15789,31	8754,45	34656,53
YDL182w	--	--	--	+2,2	+2,3	72024,26	82762,34	65749,03	87464,73	158789,42	164782,98
YDL183c	--	--	--	--	+1,9	3431,12	3901,63	3543,94	4210,44	3140,50	6607,61
YDL184C	--	--	--	+2,5	+3,8	15132,27	16826,62	16431,00	21550,04	38299,39	57989,18
YDL185W	--	--	--	+2,6	--	6178,43	5777,30	5482,36	6933,12	16275,23	8021,44
YDL186w	--	--	--	--	-1,6	3154,45	3559,23	3356,61	3881,76	3642,53	1970,35
YDL187c	--	--	--	--	--	3046,17	3667,48	3704,70	4175,21	3091,30	2323,39
YDL188C	--	--	--	--	--	3527,76	3648,86	3819,87	4375,74	2914,25	3805,47
YDL189w	--	--	+1,5	--	-1,9	2701,65	3064,88	3276,80	4126,41	4043,80	1459,26
YDL190C	--	--	--	--	-3,3	3420,07	3593,02	3175,89	3426,31	2281,52	1034,65
YDL191W	--	-1,7	--	--	-2,2	83429,58	78131,24	48584,25	74009,22	69338,80	37777,21
YDL192W	--	-2,3	--	-3,5	-2,5	57215,44	44199,64	25327,91	42911,68	16125,10	23023,57
YDL193w	--	--	--	--	--	3377,70	3794,20	3361,81	3327,77	3391,65	3628,04
YDL194W	+1,5	--	--	--	--	3352,49	5051,19	3285,62	3330,04	2478,22	4031,57
YDL195W	--	--	--	--	--	3760,16	4129,39	3677,84	3378,04	4109,80	3961,35
YDL196w	--	--	--	-1,5	--	3526,58	4154,90	4186,35	3994,67	2279,60	2567,88
YDL197C	--	--	--	--	+2,2	3921,64	5205,33	4214,44	4157,01	2825,87	8662,15
YDL198C	--	--	--	-2,4	-2,6	7401,10	6820,26	5494,34	6267,65	3039,63	2854,05
YDL199c	--	--	--	--	--	2971,73	4149,98	3628,07	3648,45	2874,76	3405,34
YDL200C	+1,8	--	--	--	+1,9	2630,87	4817,59	3437,46	3274,57	2344,85	4899,23
YDL201w	--	--	--	-2,3	--	3882,77	5755,43	4764,59	4659,28	1695,41	3185,36
YDL202w	--	--	--	--	--	3163,66	4565,01	3896,96	3670,94	2716,04	3659,86
YDL203c	--	--	--	--	--	3334,31	4445,99	3466,09	3762,38	4589,06	4499,10
YDL204w	--	--	--	--	+6,4	3684,14	4736,41	3567,29	3415,49	4418,05	23596,79
YDL205C	--	--	--	--	--	5259,13	4856,51	4839,81	4737,79	6783,24	7362,66
YDL206w	--	--	--	--	--	2974,41	3378,57	3263,31	3392,64	3335,10	4427,02
YDL207w	--	--	--	--	--	3105,69	3516,28	3930,96	3483,04	3441,89	3409,97
YDL208W	--	--	--	--	-2,4	19253,00	17895,46	21141,99	18623,12	21238,64	8075,26
YDL209c	--	--	--	-1,5	--	3371,68	4550,57	3986,36	3702,81	2192,52	3174,37
YDL210W	--	--	--	--	--	2801,48	3603,30	3664,92	3160,26	2152,15	3885,07
YDL211c	--	--	--	-1,7	--	2843,07	3520,72	3814,87	3764,53	1692,48	2321,95
YDL212W	--	--	--	--	--	6627,11	7934,06	7464,20	7413,05	6281,91	6202,87
YDL213c	--	--	--	--	--	5896,34	8279,92	8440,40	7186,52	5164,97	4044,41
YDL214c	--	--	--	--	+2,8	6683,85	7614,98	9075,68	8338,07	6039,34	18639,72
YDL215C	--	--	--	--	+3,5	7677,87	6871,09	5672,10	7103,19	8284,96	26590,79
YDL216c	--	--	--	--	--	3256,89	3980,81	3018,70	3230,57	3688,20	4786,80
YDL217c	--	--	--	--	--	6072,31	5944,38	5958,81	6446,22	6171,78	7324,76
YDL218w	--	--	--	--	+16,1	3208,86	3646,72	3432,57	3298,78	3259,72	51760,03
YDL219w	--	--	--	--	-1,5	4439,59	5294,21	5501,21	5201,56	4914,24	2957,58
YDL220C	--	--	--	--	--	3983,72	5192,05	5845,62	5542,87	3900,97	3424,39
YDL221w	--	+1,7	--	--	--	3372,39	4037,74	5656,67	4895,01	3988,92	4497,51
YDL222c	--	--	--	--	+7,3	2889,78	3452,02	4230,38	3448,90	2895,55	20986,56
YDL223c	--	--	--	--	+3,6	2492,31	3118,74	3312,48	2944,71	2494,95	8999,10
YDL224c	--	--	--	--	-1,7	2697,59	3282,64	3441,07	3239,97	2140,82	1583,87
YDL225w	--	--	--	--	-1,8	3890,90	4300,26	3786,90	3682,13	2633,60	2204,36
YDL226C	--	+1,5	+1,5	--	--	3357,69	4085,34	5138,68	5089,55	3880,85	4827,59
YDL227C	--	--	--	--	-1,8	4321,68	4951,83	5453,30	4756,91	5196,46	2422,66
YDL228c	--	--	--	+2,5	+1,6	3365,44	3937,47	3949,21	4565,15	8348,66	5459,26
YDL229W	--	--	--	--	--	3779,68	3617,21	3542,91	3279,54	4849,89	4155,25
YDL230W	--	--	--	--	+1,6	4219,30	4353,81	4582,01	3717,36	3503,03	6902,96
YDL231c	--	--	--	--	--	3322,81	3543,15	3973,24	3371,93	3827,71	3394,21
YDL232W	--	+1,6	+12,7	+7,4	-1,8	3489,06	4344,28	5466,99	44420,17	25806,55	1990,30
YDL233w	--	--	--	+1,6	--	5068,89	5095,44	5634,10	5542,15	7900,08	6130,85
YDL234C	--	--	--	--	--	3112,77	3320,90	4067,94	3487,22	2896,29	4452,66
YDL235c	--	+1,5	--	--	-1,6	3370,79	4473,51	5195,79	3843,60	3533,75	2073,70
YDL236W	--	--	--	--	--	5579,85	6534,32	5650,86	5231,79	6201,22	4837,20
YDL237w	--	--	--	--	--	3671,77	4086,96	4012,66	3590,48	3179,18	3490,64
YDL238c	--	--	--	-1,8	+1,8	19157,57	19892,13	26779,63	28175,16	10815,68	34897,32

ORF	Änderungsfaktor					Normalisierte Signalintensität					
	10 min	20 min	30 min	16 h	5d	0 min	10 min	20 min	30 min	16 h	5d
YDL239c	--	--	--	--	--	3106,22	4302,96	3234,26	4003,76	4356,35	4613,58
YDL240W	--	--	--	--	--	2774,94	3420,96	2738,41	2837,62	3694,78	3071,02
YDL241w	--	--	--	--	--	16780,40	20702,90	19604,24	24747,22	23696,04	12731,87
YDL242w	+1,8	--	--	--	--	3246,47	5780,21	4042,76	4007,12	3928,50	2633,81
YDL243c	--	--	--	--	--	3659,94	3956,19	4631,63	3853,87	3326,76	3762,88
YDL244w	--	--	--	--	--	3029,39	3270,67	3841,85	3338,64	3055,17	4203,19
YDL245C	--	--	--	--	--	3203,55	3139,03	3734,00	3248,56	3545,68	3748,76
YDL246c	--	--	--	--	+1,7	3168,09	2858,92	4041,72	3249,73	2809,47	5433,08
YDL247w	--	--	--	--	-1,6	2389,51	2860,16	3306,16	2827,65	2067,20	1470,34
YDL248w	--	--	--	--	--	3233,05	4230,35	4610,33	3818,46	3235,07	2659,38
YDR001C	--	--	--	--	+3,4	3202,18	3398,97	4016,85	3124,40	2936,29	10993,77
YDR002W	--	--	--	--	-1,6	16740,40	14803,85	14367,36	18001,38	13300,85	10645,15
YDR003W	--	--	--	--	+2	3844,18	4560,65	3764,71	5014,84	4168,80	7767,12
YDR004W	--	--	--	--	--	4752,64	5617,66	4253,36	6010,55	5292,67	3619,81
YDR005C	--	--	--	+1,5	+1,5	2960,19	3569,78	2826,17	2948,74	4482,88	4514,29
YDR006C	--	--	--	--	--	3897,78	4562,25	3504,69	4053,38	4360,77	4402,55
YDR007W	--	--	--	--	--	4408,71	4334,50	4777,95	4381,71	4060,97	6529,31
YDR008C	--	--	--	--	--	5102,59	6484,79	5697,77	6218,36	5289,69	6036,05
YDR009W	--	--	--	--	-1,5	2984,67	3183,24	3072,27	3207,01	3322,66	1931,02
YDR010c	--	--	--	--	--	4047,85	3698,75	4317,49	4690,06	2763,26	3744,73
YDR011W	--	--	--	--	--	4261,35	4986,37	5678,33	5279,38	5406,54	4279,64
YDR012W	--	--	--	--	-4,2	15800,94	19645,31	17698,52	20196,68	21131,31	3790,25
YDR013w	--	--	--	--	--	2789,11	3447,78	3377,33	2960,83	3017,99	2868,47
YDR014w	--	--	--	--	--	2887,11	3656,84	3252,36	3056,67	4215,03	3204,77
YDR015c	--	--	+1,8	--	--	6453,55	8680,67	8709,50	11362,07	6655,18	8258,32
YDR016c	--	--	--	+1,5	--	4402,89	4945,61	4956,26	6386,60	6791,48	6027,31
YDR017C	--	--	--	--	--	5595,73	6423,81	5301,58	5882,52	6059,23	7735,94
YDR018c	--	--	--	--	+1,9	2776,67	3290,12	2332,26	2750,56	2804,69	5210,44
YDR019C	--	-1,7	-1,5	--	-2,3	7126,37	4964,18	4145,06	4638,21	6279,65	3092,03
YDR020c	--	--	--	--	--	3754,67	4336,65	4668,17	4427,25	3993,52	4734,81
YDR021w	--	--	--	--	-1,7	3527,15	4011,91	3737,13	3356,38	3278,13	2121,70
YDR022c	--	--	--	--	--	2883,77	3417,08	3329,46	3493,91	3601,80	4153,28
YDR023W	--	--	--	--	--	5226,44	6386,99	5055,81	5775,92	6437,79	4738,22
YDR024w	--	--	--	--	-2,8	5433,23	6157,01	5796,25	4759,48	6045,52	1949,97
YDR025W	--	--	--	--	-2,8	47798,83	51537,33	43687,00	39646,42	36426,89	16883,08
YDR026c	--	--	--	--	--	3024,35	3714,48	2924,87	3293,50	3569,76	3092,16
YDR027c	+1,6	+1,7	+2,6	+1,9	+3,2	20093,67	31304,29	34705,38	52694,33	38853,53	63600,12
YDR028C	--	--	--	+1,5	+1,7	4002,35	4011,61	3021,09	4421,19	6008,69	6877,68
YDR029w	--	--	--	--	+1,7	15314,30	17934,48	12631,88	14774,01	21291,24	25877,52
YDR030c	--	--	--	--	+2	12072,54	12264,16	8776,45	11516,18	12560,45	24184,18
YDR031w	--	--	+1,7	+2,8	+4	9896,02	10968,29	10966,19	17206,93	28141,19	39797,20
YDR032c	--	--	+2,1	+3,2	+3,8	18521,77	21810,19	18077,58	38665,67	58669,18	70158,89
YDR033w	--	-1,8	--	+2,5	--	9727,87	8141,08	5424,01	6851,89	24719,61	7352,12
YDR034C	--	--	--	--	-2,2	2853,49	3492,08	2655,29	3163,20	3123,92	1326,41
YDR035W	--	--	--	--	--	3932,07	3880,02	3784,74	3941,03	4774,09	2638,05
YDR036c	--	--	--	--	--	5067,30	5978,03	4860,88	5884,78	6333,90	7048,00
YDR037W	--	-2,8	-1,7	+2,6	--	26399,55	20352,90	9386,27	15390,30	68736,02	22002,36
YDR038C	--	--	--	+1,7	+3,7	5411,29	5609,46	4848,52	5569,28	9214,20	19968,61
YDR039C	--	--	--	-1,9	--	5417,52	7391,98	5959,72	5948,79	2787,92	3972,34
YDR040C	--	--	--	--	+2,3	4350,03	5140,80	3595,61	4527,68	6211,69	10090,40
YDR041W	--	--	--	-1,6	--	4579,66	5636,01	4282,24	5032,94	2849,54	5589,99
YDR042C	--	+1,6	--	-2,1	--	3814,28	5380,90	6272,40	4834,12	1827,59	2847,97
YDR043C	--	--	--	-2,5	+2,1	5901,52	5208,09	8539,37	5531,19	2403,34	12197,36
YDR044W	--	-2,1	-1,6	-2	-2,3	15740,56	10884,07	7549,67	9588,60	7829,88	6894,34
YDR045C	--	--	--	-2	--	7355,69	8663,72	7511,15	10588,32	3678,23	5358,58
YDR046C	--	-1,7	--	-1,6	--	14331,78	12227,10	8630,38	13661,12	9209,95	13124,55
YDR047W	--	-1,8	--	-4	--	12738,49	12904,38	6890,88	11165,78	3187,62	11150,93
YDR048C	+1,6	+1,8	+1,6	-2	+1,6	3077,27	4777,52	5685,51	4792,41	1514,02	4943,04
YDR049W	--	--	--	--	+1,7	6039,75	6114,03	4239,75	5219,37	4953,34	10545,04
YDR050C	--	-2,4	--	-1,6	-1,8	587203,39	488588,13	244360,19	418101,62	373382,25	326425,09
YDR051c	--	-1,6	--	-1,6	+1,5	9606,82	8594,03	6135,03	8352,06	5991,35	14663,97
YDR052C	--	--	--	--	--	5955,37	6132,11	5228,42	6418,14	5787,59	5169,06

ORF	Änderungsfaktor					Normalisierte Signalintensität					
	10 min	20 min	30 min	16 h	5d	0 min	10 min	20 min	30 min	16 h	5d
YDR053w	--	--	--	--	--	4012,98	4010,46	4945,23	4530,73	3446,76	3798,64
YDR054c	--	--	--	--	+2,2	8731,24	6775,66	5855,79	6586,33	6414,29	18850,66
YDR055w	--	--	--	--	+4	7871,04	8473,59	6428,46	6573,84	6148,66	31427,22
YDR056c	--	--	--	-1,7	+1,5	10015,88	9381,24	8674,57	9824,96	6018,05	15380,81
YDR057w	--	--	--	--	--	3547,04	4281,15	3994,30	3802,13	2792,12	3664,14
YDR058c	--	--	--	--	--	3695,60	5163,18	4167,73	4495,29	2579,81	4175,77
YDR059C	--	--	--	--	+5,6	3802,71	4591,63	3991,84	4352,77	3191,09	21294,89
YDR060w	+1,5	--	--	--	-2	7272,55	9759,89	11271,11	10117,00	7338,63	3554,98
YDR061w	-1,8	--	--	--	+1,5	8697,58	7042,59	4952,82	6271,28	6532,25	13218,14
YDR062W	--	--	--	--	--	46474,76	36486,08	32279,52	39272,77	41878,99	47541,61
YDR063w	--	--	--	--	--	8259,88	8116,50	8204,82	11147,00	9059,38	10148,42
YDR064W	--	--	--	-1,9	-3,7	31495,89	26606,82	27855,78	30403,44	16743,34	8473,75
YDR065w	--	--	--	--	--	5323,24	5364,95	5110,70	5471,92	5129,39	6451,51
YDR066c	--	--	--	--	--	4008,10	4437,96	4985,12	5238,99	3133,88	5030,88
YDR067c	--	--	--	-1,5	--	7361,92	5654,23	6032,97	5589,75	4819,27	9093,05
YDR068W	--	--	--	--	+1,8	7961,36	7106,76	6929,57	8601,51	6301,64	14666,27
YDR069C	--	--	--	--	+2,6	4643,56	5563,98	5752,47	5103,10	4072,42	11998,27
YDR070c	--	--	--	-1,9	+26,7	3735,24	4702,71	5108,12	4161,23	1988,51	99604,97
YDR071c	--	--	--	--	--	6616,52	7188,58	6626,29	6994,41	5145,84	4523,79
YDR072c	--	--	--	--	+2,8	+5,9	6745,35	7036,11	7476,79	8976,53	19168,78
YDR073W	-1,7	--	--	--	+1,7	9470,89	7667,30	5626,39	8848,48	10189,01	15957,45
YDR074W	+1,6	--	--	--	+2,7	9203,56	6257,14	14918,73	7315,04	13861,00	24749,20
YDR075W	--	--	--	+1,5	--	3993,47	5067,33	4020,05	4266,93	6020,52	4777,93
YDR076W	--	--	--	--	+1,5	4516,07	4618,58	4139,78	4416,36	4450,74	6795,79
YDR077W	-1,8	--	--	+3	+10,9	115484,91	83656,16	65663,77	77395,58	345395,19	1255910,95
YDR078c	--	--	--	--	+1,5	3401,67	4062,31	4967,00	4313,61	3949,14	5199,15
YDR079w	-1,6	-1,8	--	--	+2,7	10695,57	8106,68	6587,01	5852,89	13745,30	28673,48
YDR080w	+1,6	--	--	--	--	4193,65	5412,81	6524,29	6259,20	3341,65	3835,84
YDR081C	--	--	--	--	+1,7	7311,24	6740,37	7847,33	7973,44	7619,73	12430,37
YDR082w	-1,8	-1,8	-2,2	+2,2	--	10079,16	9610,84	5736,14	5569,92	4664,42	21692,57
YDR083w	--	--	--	--	--	13149,99	18279,46	13643,44	18550,07	14459,02	13111,99
YDR084c	--	--	--	--	--	5120,79	6072,28	5618,86	5522,33	4954,10	6941,63
YDR085C	--	--	--	--	+4	4026,85	4317,69	3798,44	4218,20	5610,45	16082,44
YDR086C	-1,8	--	--	--	--	22189,93	15317,40	12626,35	16858,31	17840,25	15520,00
YDR087c	--	--	--	--	--	11167,04	13802,30	10220,12	13349,78	10586,74	8572,13
YDR088C	--	--	--	+2	+2,3	4977,68	4410,88	4171,19	3995,60	10137,06	11235,63
YDR089w	--	--	--	--	--	2728,70	3143,01	4023,07	3078,09	3336,69	2344,16
YDR090C	--	--	--	--	--	4456,45	5271,43	4665,74	5081,13	5686,19	6276,33
YDR091C	-1,6	-1,6	--	--	-2,3	13034,28	12015,74	8131,23	8189,39	11549,96	5593,34
YDR092W	--	--	--	--	+5,3	8019,33	8372,34	9054,79	8480,47	9838,50	42324,53
YDR093W	+1,7	+2,1	+2,6	--	+2,4	27576,72	47789,11	57788,51	72524,86	35488,61	66390,01
YDR094W	--	--	--	--	--	8884,15	10565,17	13307,45	11164,68	6698,91	8188,04
YDR095C	--	--	--	--	-2,3	2705,15	3870,75	3909,40	4003,78	2789,90	1156,58
YDR096W	--	--	--	--	-1,7	2554,89	3263,94	3083,05	3139,84	1974,92	1461,84
YDR097C	--	--	--	--	--	3170,50	3709,13	2991,80	3537,78	4195,69	4476,83
YDR098C	--	-1,9	--	--	--	25034,11	21889,12	13131,03	22020,68	23755,12	21081,60
YDR099W	-1,7	-2,4	-2	--	--	63459,82	36596,22	26264,18	32510,10	66641,20	88943,27
YDR100W	--	--	--	--	+1,7	5607,87	6638,17	6426,59	8081,35	5770,45	9306,36
YDR101C	--	--	--	--	-2,4	10106,26	10144,11	8219,76	9795,35	8549,75	4159,28
YDR102C	--	--	--	--	+2,6	4540,21	4537,40	5941,20	5999,29	3149,20	12001,52
YDR103W	--	--	--	--	+2,8	5766,58	5640,52	6126,10	4294,87	7545,83	15983,09
YDR104C	+1,6	+1,7	+3	+4,2	--	4709,48	5849,76	7380,49	8013,90	13893,02	19927,54
YDR105C	--	--	--	--	--	4086,48	4668,34	3906,65	3699,83	3199,86	3606,85
YDR106W	--	--	--	+1,6	-1,6	2703,52	3554,96	3322,19	3051,00	4314,21	1663,56
YDR107C	--	--	--	--	+1,6	5285,31	4974,66	3813,07	5484,16	6542,36	8596,19
YDR108W	--	--	--	--	--	3902,23	4444,36	3491,11	4211,23	4421,46	4472,53
YDR109C	--	--	--	--	+1,6	8697,84	8379,64	7879,45	11372,10	10491,65	13891,96
YDR110W	--	--	--	--	--	4980,22	5323,52	5050,93	5844,27	6422,76	5007,17
YDR111C	--	--	--	--	--	3781,35	3917,28	3902,79	4197,50	4761,18	5501,25
YDR112W	--	--	--	--	--	3605,33	4511,49	4287,22	4072,14	3986,54	3236,13
YDR113C	--	--	--	--	--	5780,12	5649,30	4935,98	5841,72	4804,62	6112,29
YDR114C	+1,7	--	--	--	--	3300,44	4389,19	5592,75	4726,86	3506,70	2837,43

ORF	Änderungsfaktor					Normalisierte Signalintensität					
	10 min	20 min	30 min	16 h	5d	0 min	10 min	20 min	30 min	16 h	5d
YDR115W	--	--	--	--	+2	5347,60	7264,75	5376,64	7914,05	4984,39	10941,00
YDR116C	--	+1,5	--	--	--	4972,78	5654,15	7654,73	5722,67	3808,73	3560,07
YDR117C	--	--	--	-1,6	-2,5	4250,52	4612,00	4258,96	4412,39	2665,34	1724,47
YDR118W	--	--	--	--	--	3003,32	3977,97	3193,94	3199,94	2359,27	2366,96
YDR119W	--	-1,9	-1,6	--	--	16328,04	14256,36	8712,34	10467,36	12079,17	11017,74
YDR120C	--	--	--	--	--	8224,57	8966,59	6219,36	7972,97	8960,23	6155,53
YDR121W	--	--	--	--	--	13869,99	13704,48	10656,53	13510,02	9656,92	10562,07
YDR122W	-2,3	-3,3	-2,8	-2,7	+1,8	11191,35	4945,36	3383,26	3942,41	4216,08	19815,44
YDR123C	--	--	--	--	--	5325,47	4361,83	4033,40	4238,62	4882,95	7161,11
YDR124W	--	--	--	--	+1,7	3701,41	3884,25	3570,46	3612,41	2845,97	6406,98
YDR125C	--	--	--	--	--	7941,77	8966,89	6943,61	8261,03	8423,98	5621,93
YDR126W	--	--	--	--	--	3586,10	4480,52	4085,80	4369,11	2968,27	3554,14
YDR127W	--	--	--	--	--	17267,81	20845,97	19815,03	20241,94	18265,21	12226,53
YDR128W	--	--	--	--	+1,5	3708,07	4358,20	4065,02	4311,08	3244,04	5583,05
YDR129C	--	--	--	+1,7	+1,7	5072,90	5206,55	5007,75	5588,02	8525,13	8596,33
YDR130C	--	--	--	-2,1	--	3266,89	4059,67	3318,99	3403,17	1532,69	2697,68
YDR131C	--	--	--	-2,4	--	2865,19	3229,32	3654,30	3477,73	1190,89	3055,05
YDR132C	--	--	--	--	--	11006,30	10180,66	8181,16	9629,97	9256,66	15959,37
YDR133C	--	--	--	--	--	23792,66	23776,68	19978,84	21951,88	17960,89	17360,23
YDR134C	--	--	--	--	-2,1	51157,34	70706,21	52535,65	59558,90	75502,05	24367,66
YDR135C	--	--	--	--	--	3637,18	4679,30	5077,46	4799,43	2582,24	3966,33
YDR136C	--	--	--	-2,3	-1,9	3459,76	4781,27	5078,46	4684,00	1530,32	1826,55
YDR137W	--	--	--	-1,7	--	3488,11	4526,73	3454,77	4718,91	2072,14	3607,71
YDR138W	--	--	--	-2	--	7629,15	7427,77	5562,99	8660,68	3787,49	8357,50
YDR139C	+2,7	--	--	-2,2	+1,8	3781,23	10357,04	4272,35	4449,70	1727,57	6698,99
YDR140W	--	--	--	-2,2	--	4885,13	5482,96	4554,51	6043,72	2181,85	5924,68
YDR141C	+1,6	+1,7	+1,8	--	+1,6	4275,47	6716,21	7246,57	7752,97	4757,89	6832,20
YDR142C	--	--	--	--	+2,3	2977,76	4068,89	3958,34	3689,26	2351,54	6855,75
YDR143C	--	--	--	--	-2,2	30029,92	35283,13	20196,49	27896,59	37323,48	13828,54
YDR144C	--	--	--	--	--	5302,39	5291,13	4929,75	6357,43	5708,31	5480,51
YDR145W	--	--	--	+2	+2,3	7637,72	6416,88	5212,75	5362,84	15179,20	17839,81
YDR146C	--	--	--	--	--	4043,68	3599,79	3532,81	3689,56	3885,96	3676,68
YDR147W	--	--	--	--	+1,8	3833,39	3682,10	4152,13	4795,86	4901,40	6895,77
YDR148C	--	--	--	-1,8	+1,9	4459,21	4378,16	4192,59	3510,82	2424,09	8545,22
YDR149C	--	--	--	-1,9	+1,6	3889,01	5404,54	3919,60	3661,27	2063,73	6058,40
YDR150W	--	--	--	-1,9	-1,6	2668,37	3521,16	3366,02	3379,40	1400,15	1655,13
YDR151C	--	--	--	-1,5	--	3849,05	4199,78	3697,04	3486,03	2547,51	3830,72
YDR152W	--	--	--	--	--	7083,81	9328,88	10271,21	8442,77	5547,64	7671,14
YDR153C	--	--	--	-1,5	--	4221,34	5266,18	4725,80	4531,95	2766,07	4550,39
YDR154C	--	--	+1,6	--	+2,7	39849,36	40454,83	49956,91	64869,73	30548,13	107430,74
YDR155C	--	-1,8	--	-2	--	47447,38	48392,82	26722,39	42902,06	24065,64	60063,44
YDR156W	--	--	--	--	--	5885,38	7504,35	6646,97	7101,66	5620,43	6812,39
YDR157W	--	--	--	--	--	3010,87	3811,79	3637,43	3490,56	4176,85	3535,67
YDR158W	--	-1,7	-1,8	-1,7	-2,7	13454,56	9651,09	7932,70	7281,24	7805,55	5043,46
YDR159W	--	--	+1,9	+6,6	+4,4	13742,14	13282,15	20107,04	26029,82	91215,54	61044,77
YDR160W	--	--	--	--	--	2891,31	3881,40	3612,27	2880,70	1986,54	3118,16
YDR161W	--	--	--	--	+1,8	4829,97	4912,59	4521,55	4237,73	3954,14	8875,54
YDR162C	--	--	--	--	--	3426,46	4304,90	4857,13	4382,95	2878,93	4065,65
YDR163W	--	--	--	-1,7	--	3656,52	4514,31	4925,23	4142,52	2181,22	3082,21
YDR164C	--	--	--	--	-2,8	2898,64	3449,66	3565,72	3300,52	2574,53	1048,76
YDR165W	--	--	--	--	-1,7	3481,43	3851,87	3719,65	3364,73	2539,70	2088,66
YDR166C	--	+1,6	--	--	--	3326,91	3467,34	5397,19	3195,91	3547,73	4660,78
YDR167W	--	--	--	--	--	6634,27	7240,14	5188,30	7549,42	6368,78	5729,39
YDR168W	--	--	--	+2,2	--	4938,92	6013,72	3574,94	5177,32	11004,14	6733,37
YDR169C	--	--	--	--	--	3357,60	3246,33	3134,85	3545,13	4242,77	3067,93
YDR170C	--	--	--	--	--	8089,13	6578,85	6908,22	6724,86	11905,53	9993,47
YDR171W	-2,5	-2,4	-2,7	--	+5,3	10796,13	4355,57	4418,64	4011,24	7881,89	56941,91
YDR172W	--	--	--	--	--	3498,23	3678,67	4026,45	3598,17	3543,33	3569,80
YDR173C	--	--	--	--	+2	3835,62	5078,47	5203,43	5202,17	4435,52	7706,73
YDR174W	--	--	--	--	--	6703,97	6953,86	6864,97	6958,82	6617,76	5696,13
YDR175C	--	--	--	-1,7	--	2949,89	4130,90	4261,96	3445,53	1712,55	3535,80
YDR176W	--	--	--	--	+1,7	3330,91	4107,83	4160,59	3747,29	3941,38	5542,51

ORF	Änderungsfaktor					Normalisierte Signalintensität					
	10 min	20 min	30 min	16 h	5d	0 min	10 min	20 min	30 min	16 h	5d
YDR177W	--	--	--	--	--	6581,38	7159,91	4687,65	5664,76	6937,66	7200,11
YDR178W	--	--	--	--	+2,1	3812,04	3931,68	3361,93	3379,15	4554,55	8039,31
YDR179C	--	--	--	--	--	3124,79	3448,01	3181,57	3250,89	4083,45	3829,92
YDR180W	--	--	--	--	--	3222,36	3821,95	4163,38	4206,24	4385,18	2318,41
YDR181C	--	--	--	--	--	3246,86	3631,32	3474,68	3613,23	4200,54	2760,25
YDR182W	--	--	--	--	--	3832,93	3793,13	4097,24	3544,80	4255,86	5481,70
YDR183W	--	+2,1	+1,9	--	+1,7	9017,22	10372,27	19196,28	17171,79	11270,43	15196,68
YDR184C	--	--	--	--	-2	2867,30	3223,22	3820,10	3106,83	2980,22	1430,49
YDR185C	--	--	--	-1,5	--	2689,26	3172,64	3384,43	2920,03	1761,68	1963,52
YDR186C	--	--	--	--	--	3040,85	3662,37	3409,05	3125,99	2701,55	3273,68
YDR187C	--	--	--	--	--	3883,17	4328,52	4476,29	4419,05	5226,41	4644,03
YDR188W	--	-2,1	--	--	--	35525,05	27851,25	16681,40	25290,51	31225,99	31985,59
YDR189W	--	--	--	--	--	3316,44	3684,99	3106,27	3477,95	4755,29	2558,58
YDR190C	--	--	--	--	--	4857,53	4455,83	3658,79	4350,30	6618,76	4610,52
YDR191W	+1,7	--	--	--	--	2850,30	4717,94	3056,14	3225,73	2794,35	2836,70
YDR192C	--	--	--	--	--	3286,45	3515,71	3235,35	3460,32	3990,11	2765,53
YDR193W	--	--	--	--	-1,6	3188,68	3624,13	3674,64	3268,52	4086,81	1975,14
YDR194C	--	--	--	--	-1,8	3898,85	3926,10	3733,97	3693,28	3637,55	2117,37
YDR195W	--	--	--	--	--	2737,93	3291,34	3430,78	3224,34	2953,32	2117,54
YDR196C	--	--	--	-1,6	+1,6	4909,59	4454,79	5117,35	4099,23	3053,46	7859,39
YDR197W	+1,6	--	--	--	--	2951,98	4627,24	3665,33	3297,61	2757,34	4094,49
YDR198C	--	--	--	--	-2,6	2586,59	3816,32	3517,87	2898,08	2179,39	988,27
YDR199W	--	--	--	+1,5	+1,7	3261,07	3483,81	3615,05	3941,16	4953,76	5398,79
YDR200C	+1,7	--	--	+1,5	--	2736,28	4547,43	2936,12	3399,00	4202,60	3899,06
YDR201W	--	--	--	--	--	5901,21	6104,38	4795,65	6434,44	6317,31	4983,78
YDR202C	--	--	--	--	+1,6	3302,97	3432,57	2977,25	2814,85	4028,97	5173,80
YDR203W	--	--	--	--	--	3736,75	3917,00	3312,14	3576,30	3838,17	4356,84
YDR204W	--	--	--	--	--	3601,27	3752,43	3876,98	3508,15	4228,29	4458,59
YDR205W	--	--	--	--	--	2764,36	3425,97	2564,95	2996,27	2921,83	2496,30
YDR206W	--	--	--	--	-1,6	3091,68	3285,85	3696,65	3464,48	3670,41	1975,12
YDR207C	--	--	--	--	--	3060,26	3145,51	3851,44	2925,40	2391,51	2533,17
YDR208W	--	+1,6	--	--	--	3804,82	4023,53	5943,27	3851,63	2555,53	2960,54
YDR209C	--	--	--	--	-2,4	5607,08	5750,65	5967,93	6012,17	4088,01	2356,76
YDR210W	--	--	--	-1,6	-2,2	8095,62	8321,12	8711,00	8842,51	5207,52	3717,00
YDR211W	--	--	--	--	--	5207,19	5389,13	3479,85	4558,35	5213,38	5070,08
YDR212W	--	--	--	--	-1,7	8649,98	7656,15	6507,13	8179,56	7098,99	5179,79
YDR213W	--	--	--	--	--	2785,95	3274,18	2836,26	2891,43	2900,27	3046,59
YDR214W	--	--	--	--	--	3297,27	3577,19	3864,78	3400,29	2657,24	3425,28
YDR215C	--	--	--	--	+1,7	3228,69	3850,03	3625,23	3737,20	3122,79	5387,33
YDR216W	+1,5	+1,5	--	--	+1,8	4164,92	6327,27	6282,90	5666,36	5857,30	7599,37
YDR217C	--	--	--	--	--	4099,72	4827,66	4572,82	5069,54	4324,38	5627,75
YDR218C	--	--	--	-1,5	-2,5	3061,37	3774,63	3523,47	3233,24	1997,04	1234,98
YDR219C	--	--	--	--	--	3869,97	4257,61	3616,98	3194,99	5117,04	4220,69
YDR220C	--	--	--	-1,8	--	4351,35	4861,62	4736,55	4535,07	2441,58	6088,37
YDR221W	--	--	--	--	--	4118,13	3753,66	3617,12	3648,42	3802,20	4938,03
YDR222W	--	--	--	--	+1,5	4627,14	4755,13	3480,40	4611,29	4105,57	6990,72
YDR223W	--	--	--	--	+2,8	3166,01	4039,26	3280,97	3141,51	2326,92	8969,25
YDR224C	--	-1,6	--	-2,7	-1,9	53262,13	39425,20	33563,57	38562,16	19685,76	28193,02
YDR225W	--	-1,6	--	--	-1,6	47077,72	33647,62	29121,96	48697,48	32765,83	29855,85
YDR226W	--	-1,8	--	-2,6	-3,7	38121,53	28156,76	20850,78	28415,61	14727,40	10169,44
YDR227W	--	--	--	--	+2,1	14894,34	12260,56	11414,94	12310,49	17356,10	30899,52
YDR228C	--	--	--	+2	+2,3	3838,74	4894,32	4103,15	4640,19	7761,83	8861,77
YDR229W	--	--	--	-1,8	--	4234,09	5858,88	5511,75	5155,87	2414,34	4510,98
YDR230W	--	--	--	-1,8	+3,3	3830,43	5358,03	4474,83	5077,70	2082,09	12600,88
YDR231C	--	--	--	-1,7	+2,3	5022,50	6625,16	4702,55	5926,24	2962,14	11459,93
YDR232W	--	-1,9	--	+1,8	+1,7	8700,86	7735,91	4607,06	6611,10	15937,10	14875,01
YDR233C	--	-1,7	-1,5	--	-2	17255,38	17087,16	10341,55	11250,39	15307,76	8470,35
YDR234W	--	--	--	--	--	4069,64	4380,54	3915,25	4153,50	5194,41	3137,00
YDR249C	--	--	--	--	--	4118,52	5476,93	5850,78	4805,88	2841,20	3381,86
YDR250C	--	--	--	-1,5	--	4959,61	5188,54	5505,40	5022,26	3207,42	4073,45
YDR251W	--	--	--	--	--	3372,58	3640,22	4623,70	3548,89	3076,67	4768,44
YDR252W	--	--	--	--	--	2735,70	3111,60	3416,74	3115,90	2644,47	2000,89



ORF	Änderungsfaktor					Normalisierte Signalintensität					
	10 min	20 min	30 min	16 h	5d	0 min	10 min	20 min	30 min	16 h	5d
YDR253C	--	--	--	--	--	4327,31	4640,60	4984,77	4249,00	3302,99	4816,11
YDR254W	--	--	--	--	--	3449,23	3632,52	3690,18	3349,13	2766,39	3012,96
YDR255C	--	--	--	--	--	4332,88	5645,05	5720,71	5213,05	3190,28	4619,05
YDR256C	--	--	--	+1,6	+4,5	3236,86	3905,81	3218,01	3580,08	5338,33	14416,26
YDR257C	--	--	--	--	--	5219,01	4811,91	3850,55	4309,60	7148,67	4624,64
YDR258C	--	--	--	--	+2,7	8357,12	8049,27	6603,13	7126,24	6816,69	22877,28
YDR259C	--	--	--	+1,6	+3,7	3582,64	3824,68	3960,33	3617,03	5632,98	13418,82
YDR260C	--	--	--	--	--	3951,22	4525,90	5313,39	4117,15	5327,28	3981,08
YDR261C	--	--	--	--	--	3978,99	4115,20	3716,30	5208,08	5298,04	3133,00
YDR262w	--	--	--	--	+6,2	4189,28	4931,68	5007,15	4862,58	4110,42	25948,98
YDR263C	--	--	--	--	--	2851,95	3595,10	3856,84	3717,42	2715,85	2642,47
YDR264C	--	--	--	+1,5	--	3719,28	3918,85	3078,57	3541,64	5625,54	5287,34
YDR265W	+1,5	--	--	+1,6	+1,6	3413,34	5132,75	3506,62	3348,68	5577,90	5558,10
YDR266C	--	--	--	--	--	7713,88	6469,00	5282,89	5551,71	8581,34	9923,29
YDR267C	+1,6	--	--	--	--	3209,29	5123,38	3349,59	3684,21	3400,17	2510,03
YDR268W	--	--	--	--	--	4638,86	4285,30	4665,75	4343,58	4640,94	3667,23
YDR269C	--	--	--	--	--	3576,76	3806,04	5222,61	5295,15	4285,73	3283,21
YDR270W	--	--	--	--	--	2875,08	3476,57	2957,27	2860,61	3328,85	3478,74
YDR271C	--	+1,6	--	-1,8	+3,1	5495,60	4816,84	8756,82	6609,95	3089,06	16831,02
YDR272W	--	--	--	--	+2,6	4466,38	5459,43	6383,02	5206,62	4454,93	11590,93
YDR273W	--	--	--	--	+1,5	2643,86	3297,42	3432,20	3342,69	2832,97	3998,02
YDR274C	--	--	--	--	-1,8	2669,84	3758,60	3218,19	2939,25	2392,13	1484,08
YDR275W	--	--	--	--	--	2992,15	3281,24	3435,11	3177,36	2597,26	4371,54
YDR276C	--	--	--	--	+2,1	8838,35	7419,34	5909,37	10027,29	10911,89	18976,61
YDR277C	--	--	+1,6	+1,6	+3	3235,18	4096,72	4449,24	5218,83	5237,70	9544,17
YDR278C	--	--	--	--	--	3293,99	4173,13	3872,98	4293,51	3355,11	3411,33
YDR279W	--	--	--	--	--	3449,74	4013,10	3977,41	3638,41	4612,86	4322,50
YDR280W	-3,8	-4,9	-4,7	-4,8	--	40849,21	10805,73	8406,94	8612,54	8437,97	47049,18
YDR281C	--	--	--	--	-1,7	3369,98	3854,43	3565,23	3329,23	3112,85	1983,20
YDR282C	--	--	--	--	--	3957,84	3993,33	3430,51	3959,17	3840,66	3475,11
YDR283C	--	--	--	--	--	6740,16	5901,61	5662,52	5420,79	6166,97	9294,08
YDR284C	--	--	--	--	--	4226,69	5163,60	4418,10	4668,40	4481,54	4916,82
YDR285W	--	--	--	--	--	3444,05	3891,67	3866,27	3894,30	4025,94	4656,70
YDR286C	--	--	--	--	--	3423,73	4302,98	4089,06	4441,10	3231,78	2537,33
YDR287W	--	--	--	--	+1,5	2995,99	4033,21	3777,79	3201,18	4112,02	4620,92
YDR288W	--	--	--	--	--	4082,52	4210,42	3428,25	4112,21	4531,71	5738,53
YDR289C	--	--	--	--	--	3706,26	4534,69	3532,15	4720,51	5455,49	4888,37
YDR290W	--	--	+2	--	-3	54804,13	74153,64	74960,76	107848,19	38663,03	18205,38
YDR291W	--	--	--	--	--	3087,26	4073,13	2827,91	3194,81	2645,49	3883,83
YDR292C	-1,8	-1,5	--	--	--	16101,73	8839,53	10648,79	13846,81	12638,81	13918,35
YDR293C	--	--	--	--	--	3809,92	4981,45	3444,63	3884,77	4264,71	4161,09
YDR294C	--	--	--	--	--	12278,56	12137,34	10661,53	12881,78	16462,11	8288,58
YDR295C	--	--	--	--	--	2830,70	3446,34	3468,12	3484,60	2651,02	2430,09
YDR296W	--	--	--	--	+1,7	11516,42	15861,71	13069,09	15018,90	13023,35	19513,46
YDR297W	--	--	--	--	+1,6	4621,59	4743,91	5295,54	4685,96	6632,51	7496,13
YDR298C	--	--	--	--	-1,8	4075,03	4126,82	3873,32	4606,45	3877,85	2292,56
YDR299W	--	--	--	--	-1,8	5545,33	4253,44	3804,68	3915,79	4265,86	3115,48
YDR300C	--	--	--	--	--	3777,55	4499,28	4715,81	4663,05	4948,13	3648,53
YDR301W	+1,7	+1,9	+3,3	--	+2,1	89595,88	155268,91	174420,70	295515,61	93169,96	192355,69
YDR302W	--	-1,6	--	--	--	7694,77	7499,18	4960,64	6796,07	6804,11	8798,78
YDR303C	-3	-3,8	-3,2	-2,7	--	16856,85	5612,39	4479,04	5300,09	6234,90	19206,17
YDR304C	--	--	--	--	+2,6	45004,55	45755,45	39667,00	35896,18	44885,81	117577,89
YDR305C	--	-1,8	-1,5	-1,5	+1,6	5684,36	4154,98	3151,24	3734,92	3692,81	9371,09
YDR306C	--	--	--	--	--	5443,89	6694,72	7460,28	7973,53	6813,82	5875,18
YDR307W	--	--	--	-1,7	-1,6	5536,39	5998,89	5031,07	5782,19	3232,98	3490,63
YDR308C	--	--	--	--	-1,7	5112,07	6231,03	6583,03	6179,83	4054,41	2994,18
YDR309C	--	--	--	--	--	7385,98	5552,96	6295,68	6425,39	9418,21	5120,72
YDR310C	--	--	--	--	-1,6	5863,76	6065,59	8517,46	7510,11	6807,68	3743,57
YDR311W	--	--	--	--	--	6205,59	5869,83	8617,59	7061,47	5129,93	6708,49
YDR312W	--	--	--	--	--	7928,66	7633,61	5372,24	6523,96	5376,09	6134,31
YDR313C	--	--	--	--	--	5320,76	4702,50	3902,59	4534,97	3890,96	6531,55
YDR314C	--	--	--	--	+1,7	3058,51	3905,02	3252,36	3135,64	3479,94	5104,39



ORF	Änderungsfaktor					Normalisierte Signalintensität					
	10 min	20 min	30 min	16 h	5d	0 min	10 min	20 min	30 min	16 h	5d
YDR315C	--	--	--	--	--	3187,94	4019,27	2559,79	3361,93	3498,53	3432,30
YDR316W	--	--	--	-2,2	--	7661,96	6986,43	6734,67	6129,11	3439,63	5199,48
YDR317W	--	--	--	--	--	3326,53	4011,73	3888,11	3715,39	3660,01	4130,01
YDR318W	--	--	--	--	--	2985,01	4379,14	3504,87	3660,49	2043,35	3073,90
YDR319C	+1,6	--	--	--	--	3260,86	5327,28	3614,63	4184,79	2988,64	4887,99
YDR320C	--	--	--	--	--	3224,82	4204,31	3485,47	3283,35	2247,87	2501,69
YDR321W	--	--	--	--	--	3520,14	4585,46	4251,20	4307,47	3804,15	4380,36
YDR322W	--	-1,6	--	--	-1,6	16222,12	17610,60	9998,08	11574,80	14005,31	9956,69
YDR323C	--	--	--	--	--	3305,10	4253,14	3480,00	3537,40	4798,48	3694,38
YDR324C	--	--	--	--	--	3354,69	3837,76	3692,71	3790,42	2897,90	3215,05
YDR325W	--	--	--	--	--	3644,78	3735,55	3499,37	3881,57	3225,23	4593,98
YDR326C	--	+2,4	+2,6	+4,9	+5,6	6526,75	9304,80	15501,93	17181,84	32170,30	36447,56
YDR327W	--	+1,5	--	-1,8	--	7189,96	8213,88	10845,14	10702,59	3959,66	9326,46
YDR328C	--	--	--	-1,8	--	9375,48	12339,14	9767,65	11990,25	5269,21	10882,06
YDR329C	--	--	--	-1,9	+2,7	4652,32	4390,71	4798,47	4639,92	2417,54	12354,55
YDR330W	--	--	--	--	--	3819,60	4001,05	3805,07	3717,12	3035,81	4182,96
YDR331W	--	--	--	--	-1,8	2957,95	3677,31	3742,12	3934,62	2473,61	1687,78
YDR332W	--	--	--	--	+1,8	4778,29	5387,29	5577,86	5025,77	3703,26	8502,40
YDR333C	--	--	--	--	+2,2	3534,05	4551,55	4312,70	3512,93	3563,21	7697,45
YDR334W	--	--	+1,7	--	+2,1	12215,40	11595,21	10890,80	20632,05	10978,69	25802,28
YDR335W	--	--	--	--	--	10014,63	11689,45	8761,87	14020,10	10809,22	14591,73
YDR336W	--	--	--	--	--	3382,91	4154,39	3474,93	3590,61	3136,16	4316,12
YDR337W	--	--	--	--	--	5187,68	4813,77	3927,51	4475,23	4762,82	6442,37
YDR338C	--	--	--	--	--	2867,69	3654,62	3355,47	3266,29	3638,93	1961,04
YDR339C	--	--	--	--	--	7549,89	8478,83	9825,30	8919,81	6729,25	5907,32
YDR340W	--	--	--	--	+1,6	5344,80	6045,42	6018,01	4714,48	4983,95	8346,74
YDR341C	--	--	--	--	-3,7	7699,72	7754,74	6951,65	6759,58	7902,34	2091,96
YDR342C	--	--	--	--	--	3608,86	3889,45	4293,41	3638,28	4117,39	3819,33
YDR343C	--	--	--	--	--	4538,47	4124,49	4129,83	4201,98	4876,42	3259,89
YDR344C	--	--	--	--	-2	2642,29	3600,01	3677,52	3436,13	2403,54	1322,82
YDR345C	--	--	--	--	--	4957,29	4433,55	4887,63	3805,22	4745,58	5424,27
YDR346C	--	-1,8	--	--	--	9497,09	8307,97	5247,06	7166,57	10859,67	11391,91
YDR347W	--	-1,5	--	--	--	8295,22	8681,07	5453,49	7266,18	9528,02	7065,60
YDR348C	--	--	--	--	+1,7	5134,16	5276,30	5190,92	4638,60	7504,92	8765,94
YDR349C	--	--	--	--	--	3683,49	3992,70	4574,92	3654,56	5128,45	3756,03
YDR350C	--	--	--	--	--	2946,62	3230,32	3560,22	3214,01	3374,06	4172,98
YDR351W	--	--	+2,2	+2,1	--	3324,31	3574,57	4230,80	7212,88	6951,78	3305,51
YDR352W	--	--	--	--	--	3960,16	4942,81	4560,23	4377,49	4320,71	3090,26
YDR353W	--	+1,6	--	--	--	9447,43	12474,63	14697,99	11402,62	11944,72	7061,40
YDR354W	-2,7	-2,5	-2,9	-3,4	-2,1	13676,45	5037,94	5415,84	4756,15	3968,58	6622,61
YDR355C	--	--	--	--	-1,7	2798,01	3468,49	3557,25	3743,52	2700,21	1637,87
YDR356W	--	+2,3	+1,9	--	+1,9	3483,86	4947,11	8035,71	6791,99	4262,11	6652,05
YDR357C	--	--	--	+2,2	--	6487,29	5050,06	7765,41	9179,92	14554,58	6741,14
YDR358W	--	--	--	--	+1,7	3317,19	3760,30	3153,17	3287,01	4364,49	5552,98
YDR359C	--	--	--	--	--	6248,02	6653,07	5833,46	5766,83	7999,64	6162,52
YDR360W	--	--	--	--	--	4147,73	4735,50	3951,03	4795,85	5529,87	4129,02
YDR361C	--	--	--	--	-1,5	4672,15	6036,53	4563,74	5261,81	5286,36	3033,73
YDR362C	--	--	--	--	--	2959,33	3424,73	3518,36	3307,66	3803,12	4011,00
YDR363W	--	--	--	--	--	3043,18	3811,13	3898,82	3361,91	3742,01	3192,42
YDR364C	--	--	--	--	-1,7	4204,66	3909,20	4965,05	3748,92	3608,42	2540,37
YDR365C	--	--	--	--	-1,8	4221,93	3752,80	5033,52	4516,63	5076,00	2338,84
YDR366C	--	--	--	--	--	2837,25	3419,94	3856,25	3428,02	3784,32	3104,92
YDR367W	--	--	+1,6	+1,5	+2,5	8875,22	9499,23	8868,62	13891,95	13359,49	22281,08
YDR368W	--	--	--	--	+2,7	8071,49	7382,87	6864,44	7892,57	9544,94	21637,54
YDR369C	--	--	--	--	--	3379,72	3381,44	3195,36	3588,16	4181,75	3729,15
YDR370C	--	--	--	--	--	3058,80	3054,24	2595,03	3024,64	3495,90	3722,09
YDR371W	--	--	--	--	--	3451,04	3710,05	3239,21	3314,66	3096,02	2752,01
YDR372C	--	--	--	--	-1,8	4467,56	4500,28	4382,72	3865,20	3958,49	2546,43
YDR373W	--	--	--	--	--	4303,91	4871,37	4966,39	4958,12	4756,29	4828,94
YDR374C	--	--	--	--	--	2975,73	3192,52	2882,54	3336,11	2832,78	2495,58
YDR375C	--	--	--	--	--	3361,53	3685,45	3664,23	3335,19	3880,13	3752,51
YDR376W	--	--	--	--	--	3543,71	4209,58	4506,25	4358,80	2605,69	4234,45

ORF	Änderungsfaktor					Normalisierte Signalintensität					
	10 min	20 min	30 min	16 h	5d	0 min	10 min	20 min	30 min	16 h	5d
YDR377W	--	--	--	--	--	3892,18	4518,48	4180,48	4053,88	3153,33	4768,57
YDR378C	--	--	--	--	+1,8	3517,43	4230,29	3851,69	3680,73	3447,48	6259,33
YDR379W	--	--	--	--	--	2961,72	3898,59	3249,46	3102,85	3974,94	4018,63
YDR380W	--	-1,7	--	-1,7	--	7860,40	5774,01	4737,71	5581,10	4630,70	6551,78
YDR381W	--	--	+2,4	--	--	13658,84	20198,94	17225,17	32972,33	16451,12	9573,51
YDR382W	--	--	--	-2,9	-3,4	83226,25	88711,57	78118,02	69115,90	28927,71	24449,84
YDR383C	--	--	--	--	+1,6	3892,30	4082,47	3675,74	4176,19	4315,90	6377,51
YDR384C	--	--	--	--	--	3801,56	5221,67	4967,53	4936,23	5058,92	3078,03
YDR385W	--	--	--	+1,7	-2,1	16821,36	16422,19	13720,38	17348,73	28893,16	7985,81
YDR386W	--	--	--	--	--	3172,57	3795,63	3388,45	3689,40	2813,67	3234,96
YDR387C	--	--	--	--	--	2691,46	3391,57	3173,32	3322,05	2836,26	2928,48
YDR388W	--	--	--	+2,2	+1,8	5713,22	7878,82	6407,33	5895,20	12331,83	10458,91
YDR389W	--	--	--	--	--	5623,05	6039,63	7510,17	5413,22	7213,44	5741,27
YDR390C	--	--	--	-2,1	-2,9	4679,86	3622,24	3170,90	3227,79	2235,59	1638,03
YDR391C	--	--	--	+1,6	--	2787,61	3716,99	2909,37	3731,05	4529,31	2711,91
YDR392W	--	--	--	--	--	5511,99	5640,48	5400,23	5006,82	4954,61	6973,99
YDR393W	--	--	--	--	--	4650,97	5251,96	4288,96	5861,07	5909,21	4355,42
YDR394W	--	-1,5	--	--	--	5969,83	5893,90	3967,08	5022,52	5376,43	6582,56
YDR395W	--	-2,1	--	--	--	31223,73	26492,46	14754,64	29132,78	25494,96	33853,47
YDR396W	--	--	--	--	+2,1	17316,48	19721,48	15910,23	18094,24	19028,38	36228,97
YDR397C	--	--	--	--	--	5899,79	6577,41	6568,64	6794,60	8347,43	8160,86
YDR398W	--	--	--	--	--	3808,56	4428,56	3901,26	4268,85	4098,95	2916,64
YDR399W	--	--	--	--	-2,8	7290,98	8580,62	7396,88	9090,30	4893,39	2625,53
YDR400W	--	--	--	--	--	3814,36	4272,39	4472,35	4068,87	3639,59	3021,12
YDR401W	--	--	--	--	--	4242,14	4464,71	4034,38	4156,54	4983,24	3709,28
YDR402C	--	--	--	--	-2,1	2640,10	3282,12	3520,38	3671,62	2266,50	1232,62
YDR403W	--	--	--	--	--	3099,88	3740,10	3705,87	3342,40	3238,99	3062,98
YDR404C	--	-1,6	--	--	--	4812,72	5267,03	3004,79	5690,00	4152,92	5458,64
YDR405W	--	--	--	-1,5	--	9807,16	9201,16	6956,80	7211,06	6443,22	13538,84
YDR406W	--	--	--	-2,7	--	8725,92	8204,55	6438,02	6856,55	3199,28	8785,08
YDR407C	--	-1,6	--	-2	--	12763,83	10024,95	8084,95	11997,35	6310,63	11147,58
YDR408C	-1,5	-1,7	--	-2,5	-2,2	8445,91	5597,14	4857,14	5775,03	3404,07	3875,54
YDR409W	--	--	+1,6	-1,9	--	9674,84	11096,47	13503,35	15051,82	5101,62	11614,85
YDR410C	--	+2,4	--	-1,6	--	3371,75	4347,22	8249,76	4049,64	2083,76	2698,00
YDR411C	--	--	--	-2	-1,5	4829,62	5193,56	4498,17	5154,21	2437,61	3133,88
YDR412W	--	--	--	-1,8	--	4572,13	5173,59	4976,94	5405,71	2536,32	3067,88
YDR413C	--	--	--	-1,5	--	3984,32	5661,92	4390,51	5026,42	2646,82	3555,53
YDR414C	+1,6	--	--	--	--	3068,11	4772,12	4128,52	3937,80	2624,99	3243,51
YDR415C	--	--	--	-1,6	+1,7	4971,67	6526,82	5527,10	6249,82	3108,51	8520,67
YDR416W	--	--	--	--	+2	3352,59	4812,26	2364,84	3745,82	3033,70	6851,32
YDR417C	--	-2,9	-1,7	-2,1	-3,8	79251,24	54895,55	27152,50	45427,43	37342,11	20748,34
YDR418W	--	-1,7	--	-1,7	-4,9	109727,24	99074,29	64403,81	98930,78	63850,88	22294,06
YDR419W	--	--	--	--	--	4661,93	5726,33	4364,44	5510,80	4937,86	5048,90
YDR420W	--	--	--	+1,8	--	18815,55	19448,18	15205,64	23064,26	33183,73	27769,26
YDR421W	--	--	--	--	--	3255,94	3527,85	3467,00	3442,33	3448,49	3495,51
YDR422C	--	--	--	-1,7	--	3889,42	4369,64	4344,56	3896,19	2348,54	4584,78
YDR423C	--	--	--	-1,7	--	6527,63	6079,92	5462,71	5393,73	3865,12	7053,54
YDR424C	--	--	--	-1,5	+1,5	3956,23	4653,94	5810,22	5335,08	2586,47	6000,67
YDR425W	--	--	--	--	--	3908,68	4647,30	4090,34	3889,61	5300,74	4428,19
YDR426C	+1,6	--	--	--	--	2452,36	3908,54	2951,34	2915,64	2358,70	2709,74
YDR427W	--	--	--	--	--	4581,72	5201,28	4506,31	4150,38	3056,06	4818,85
YDR428C	--	--	--	--	+1,8	3605,13	4681,17	2901,46	3873,26	4511,60	6310,14
YDR429C	--	-1,8	-1,6	-1,5	--	26056,46	22160,63	14876,63	16400,86	17233,25	19012,57
YDR430C	--	--	+1,8	+1,8	--	6392,08	8139,38	6663,17	11271,14	11382,63	5731,93
YDR431W	--	--	--	--	--	3270,53	3448,03	4063,96	3269,94	3567,03	2711,65
YDR432W	--	--	+1,5	+3,3	+2,1	7885,24	8896,56	9234,56	11939,90	25850,75	16566,57
YDR433W	--	+1,7	+1,5	+1,6	--	6216,69	8257,26	10384,00	9583,21	9935,25	7801,24
YDR434W	--	--	--	--	--	3868,67	4489,80	5168,80	4712,29	4520,90	4305,12
YDR435C	--	--	--	--	--	3681,42	4573,99	4945,39	4109,64	2487,29	3037,84
YDR436W	--	--	--	--	--	2986,32	3451,85	3687,30	3422,14	2352,77	3213,41
YDR437W	--	--	--	-1,8	--	3305,38	4337,02	4699,93	3985,52	1789,19	3427,92
YDR438W	--	--	+1,6	--	-2,5	8358,10	12274,89	11450,34	13179,16	8334,03	3410,48

ORF	Änderungsfaktor					Normalisierte Signalintensität					
	10 min	20 min	30 min	16 h	5d	0 min	10 min	20 min	30 min	16 h	5d
YDR439W	--	--	--	--	--	4106,36	5232,75	5402,79	5772,88	3375,00	5914,28
YDR440W	--	--	--	--	+1,7	3243,92	4089,20	2635,26	3863,10	4400,86	5367,70
YDR441C	--	--	--	--	+1,7	4669,15	5367,22	4514,40	5773,20	6487,46	7704,89
YDR442W	--	--	--	--	--	3537,45	4231,31	3477,11	3794,38	3994,55	4552,29
YDR443C	--	--	--	--	--	3540,32	4461,42	3113,68	3743,48	4105,62	2873,11
YDR444W	--	--	--	--	+4,6	5116,75	4312,33	4631,02	4940,20	5832,23	23410,36
YDR445C	--	--	--	--	--	3232,26	3749,72	4049,45	4381,25	3849,47	4738,85
YDR446W	--	--	--	+7,2	+1,6	4549,73	5617,30	5620,82	4732,33	32869,64	7239,71
YDR447C	--	--	--	--	-2,5	28941,66	34268,64	25614,67	39584,02	21952,70	11559,81
YDR448W	--	+1,6	--	--	--	2656,11	2918,01	4220,41	3579,10	3303,98	3026,35
YDR449C	--	--	--	--	-2,5	2791,60	3664,30	3877,09	3201,19	2935,28	1099,61
YDR450W	--	--	--	--	-3,5	36831,31	48878,46	49368,14	51653,78	32609,60	10496,82
YDR451C	--	--	--	--	--	2682,39	3887,79	3306,74	3119,22	2346,89	3844,82
YDR452W	--	-1,7	--	+1,9	+2,2	5159,64	4953,73	3047,16	5317,73	10035,29	11593,13
YDR453C	--	--	--	--	+2	3955,00	4735,56	4202,68	4506,91	4897,72	7768,55
YDR454C	--	--	--	--	--	6019,05	7198,37	5440,18	6870,84	6922,47	5143,56
YDR455C	--	--	--	--	+1,7	3439,53	3825,68	4053,06	4966,96	4439,16	5931,64
YDR456W	--	--	--	--	--	2652,12	3183,55	3639,46	3336,78	3018,82	2940,87
YDR457W	--	--	--	--	--	3018,92	3638,30	3589,35	3661,14	4238,78	2469,39
YDR458C	--	--	--	--	-2,4	8242,98	9628,36	7727,86	7383,54	7245,98	3436,82
YDR459C	--	+1,9	--	--	--	3066,61	3394,62	5814,65	3518,89	3079,84	2461,09
YDR460W	--	--	--	--	--	2738,84	3319,93	4106,62	3113,33	3103,73	3098,07
YDR461W	--	+1,7	--	--	--	2538,58	3396,44	4236,44	3236,15	2442,46	2131,38
YDR462W	--	--	--	--	--	3523,61	4479,72	4601,20	4307,90	2472,56	3287,31
YDR463W	--	--	--	--	-2,4	3152,77	3464,68	3148,79	3112,62	2404,97	1317,93
YDR464W	--	--	--	--	+1,9	4431,60	4595,95	3653,60	4735,42	5830,79	8326,25
YDR465C	--	--	--	--	--	3555,90	4672,42	5228,78	4214,39	4642,26	3135,14
YDR466W	--	--	--	--	--	2975,47	3548,13	2937,94	2817,49	3648,10	3355,37
YDR467C	--	--	--	--	+1,6	3263,98	3606,41	3648,66	3497,70	4706,65	5322,22
YDR468C	--	--	--	--	--	4515,45	4412,57	4008,65	3939,90	4374,06	5796,23
YDR469W	--	--	--	--	--	3907,26	4581,21	4516,02	4357,22	4779,66	3772,35
YDR470C	--	--	--	--	--	2878,70	3278,81	3333,43	3598,67	3591,79	2248,69
YDR471W	--	--	--	-1,7	-2,6	27830,98	34446,03	20757,65	27230,13	16125,77	10820,14
YDR472W	+1,8	--	--	--	--	4774,48	8745,49	4471,92	6224,52	6108,07	4140,71
YDR473C	--	--	--	--	--	2965,51	3271,17	3938,30	2822,39	3349,64	3154,52
YDR474C	--	--	--	-1,5	+1,6	3785,26	3384,68	3610,61	3006,69	2443,48	6123,90
YDR475C	--	--	--	--	--	2716,27	3362,13	3052,30	2854,39	3620,58	2071,16
YDR476C	--	--	--	--	--	4554,05	5011,86	3413,44	4794,86	5622,45	6812,64
YDR477W	--	--	--	--	--	3751,43	4126,97	3041,02	3634,21	4927,96	3771,81
YDR478W	--	--	--	--	--	3808,86	4068,91	3547,23	4513,63	5253,08	3759,43
YDR479C	--	--	--	--	--	3889,50	3568,73	2829,04	2926,55	3407,46	4113,56
YDR480W	--	--	--	--	--	3987,91	4237,78	4247,79	3891,28	3516,37	4656,25
YDR481C	--	--	--	--	--	3978,53	3966,39	3924,44	3529,58	5156,16	4124,93
YDR482C	--	--	--	--	--	6588,04	6272,09	5427,55	5716,96	6482,27	7929,80
YDR483W	--	--	--	--	--	9194,33	10357,97	7420,86	7975,18	9717,76	11827,25
YDR484W	--	--	--	--	-1,7	3122,90	3349,71	4321,48	3333,32	2919,35	1866,06
YDR485C	--	+1,9	--	--	--	3083,34	2972,82	5904,50	3098,89	3113,78	2710,88
YDR486C	--	--	--	--	--	6015,38	7555,68	5531,87	5643,32	4720,03	6206,38
YDR487C	--	--	--	--	--	4771,10	6563,84	5339,98	4657,14	3407,72	3911,92
YDR488C	--	--	--	--	+1,9	3262,11	3689,90	2765,71	3463,78	4590,05	6165,46
YDR489W	--	--	--	--	--	3396,82	4430,08	3245,55	3545,58	3382,79	3419,53
YDR490C	--	--	--	--	--	3196,95	3877,48	3208,78	3878,05	3220,49	3366,87
YDR491C	--	--	--	--	--	4690,83	5292,25	4076,42	3923,10	4220,98	4219,29
YDR492W	--	--	--	--	--	3971,05	3922,98	3164,28	3366,70	3537,91	4847,94
YDR493W	--	--	--	--	--	4619,81	5167,61	5017,71	4816,05	4056,83	5847,05
YDR494W	--	--	--	--	--	4182,17	4308,51	3530,83	3456,61	3495,43	3695,09
YDR495C	--	--	--	--	+1,9	16991,59	12926,03	13827,16	18714,36	14315,79	33111,48
YDR496C	--	--	--	--	-1,6	4641,86	5278,54	3844,97	3968,95	4574,82	2867,22
YDR497C	--	--	--	--	--	20805,98	18414,75	14035,74	16083,68	15682,52	15746,23
YDR498C	--	--	--	--	--	4074,32	4482,66	4569,22	4665,97	3131,74	3915,85
YDR499W	--	--	--	--	+1,6	5668,48	5930,97	4815,17	5563,58	4104,57	9001,99
YDR500C	--	--	--	--	--	18585,91	21372,92	13975,29	22830,39	12755,05	15512,91

ORF	Änderungsfaktor					Normalisierte Signalintensität					
	10 min	20 min	30 min	16 h	5d	0 min	10 min	20 min	30 min	16 h	5d
YDR501W	--	--	--	-1,8	--	4634,14	5357,96	4212,63	4932,61	2563,36	5896,74
YDR502C	--	-1,6	-1,7	-1,8	-3,3	11977,32	11003,99	7434,24	7190,66	6787,15	3667,44
YDR503C	--	-2,3	-1,9	-3,5	-2	12701,10	9032,04	5623,01	6766,35	3665,19	6220,16
YDR504C	--	--	--	-2	--	6005,00	6051,19	5039,31	5395,50	2975,73	6078,82
YDR505C	--	--	--	--	--	3202,40	4470,60	4626,30	3508,72	2156,23	2907,40
YDR506C	--	--	--	--	--	3141,12	4119,45	3559,25	3731,85	2522,25	2806,53
YDR507C	--	--	+1,7	-1,8	--	19480,73	18241,46	20860,72	33685,87	10643,60	17245,07
YDR508C	+1,8	--	--	--	--	4050,38	7273,29	4827,72	4918,29	3307,59	4953,74
YDR509W	+1,5	--	--	-2,1	-2,6	2851,19	4388,66	3294,54	3536,78	1333,43	1081,50
YDR510W	--	--	+1,7	--	+1,6	12545,57	15621,79	9965,34	21358,91	11223,44	20532,23
YDR511W	--	--	+2,1	--	+1,9	6472,11	7985,83	7714,03	13289,26	5436,98	12056,57
YDR512C	--	-1,6	--	-1,8	--	10479,44	8641,02	6437,81	7686,45	5893,17	7866,72
YDR513W	--	--	--	--	+2,9	6358,00	6213,55	4700,27	5818,36	6523,74	18407,36
YDR514C	--	--	--	--	--	5289,91	5733,01	4431,98	5274,83	4232,41	5800,33
YDR515W	--	--	--	--	--	4979,40	4584,59	3803,67	4718,04	3810,08	4445,40
YDR516C	--	--	--	--	--	4603,96	4400,14	4405,82	4887,03	4258,49	6166,15
YDR517W	--	--	--	-1,7	--	6893,31	6830,64	5857,41	5721,76	3949,81	8794,31
YDR518W	--	--	--	--	--	5209,95	5446,19	5534,95	4619,60	4152,04	4284,56
YDR519W	--	--	--	--	--	5196,97	6285,15	5201,25	5986,54	3779,24	4493,21
YDR520C	--	--	--	--	--	3388,02	3613,23	4015,96	3607,13	3791,71	3116,58
YDR521W	--	--	--	-1,7	--	3092,41	4489,27	3769,44	3612,21	1794,15	2906,50
YDR522C	--	+1,6	--	--	+1,6	2777,81	3402,20	4308,47	3398,54	2302,90	4520,15
YDR523C	--	--	+1,6	--	+1,9	3588,31	4630,78	4610,43	5747,55	4237,15	6854,16
YDR524C	--	--	--	--	+2,3	4092,82	4769,05	3029,78	3591,36	4827,18	9221,65
YDR525W	--	--	--	--	+1,5	4531,48	6371,64	4406,87	5415,87	5725,34	6873,35
YDR526C	--	--	--	+1,7	--	10633,24	10822,43	10609,52	12997,81	18488,40	9574,53
YDR527W	--	--	--	--	--	15980,08	13038,38	12074,85	13630,94	14219,32	17446,11
YDR528W	--	--	--	--	--	3880,18	3980,73	3987,66	3740,27	4081,11	4911,24
YDR529C	--	--	--	--	+2,8	25928,57	24346,16	30666,72	36272,74	30087,36	73179,03
YDR530C	--	--	--	--	+1,6	4828,42	4608,66	5328,43	4896,95	3641,99	7832,59
YDR531W	--	-1,6	--	--	-4,3	11339,18	8965,59	7099,95	8964,04	9315,53	2627,22
YDR532C	--	--	--	--	--	2999,19	3818,37	4125,71	3414,96	2611,34	2380,79
YDR533C	--	--	--	--	+3,9	3848,92	3774,71	4371,72	5164,97	2825,67	15098,85
YDR534C	--	--	--	-1,7	-1,7	5199,76	6258,22	6038,29	5532,05	2990,20	3040,21
YDR535C	--	+5,5	--	--	+1,7	2718,49	3515,50	14833,57	3269,74	3315,69	4750,93
YDR536W	--	--	--	+2,5	+6,7	2951,71	4072,28	3221,52	3953,03	7442,29	19686,12
YDR537C	--	--	--	--	--	3241,23	3977,02	3128,04	3574,79	4535,01	3857,83
YDR538W	--	--	+1,9	+1,7	--	8521,45	11445,68	10114,48	16170,13	14382,24	6052,05
YDR539W	--	--	--	--	--	4429,72	4399,84	4879,11	6203,60	5528,73	5144,22
YDR540C	--	--	--	--	--	4258,65	5034,31	5256,82	4811,12	4151,72	4669,40
YDR541C	--	--	--	--	+1,6	3302,07	3783,85	4818,58	4167,51	3799,54	5138,98
YDR542W	--	--	--	--	+1,6	13764,84	12802,64	13834,00	15133,57	12491,61	21892,33
YDR543C	--	--	--	--	+1,7	3107,96	3717,41	4322,54	4481,05	2308,66	5152,08
YDR544C	--	+3,4	--	--	--	6274,94	6168,39	21429,40	6772,28	8542,33	8028,90
YDR545w	--	--	--	--	+2	10216,13	7761,19	9617,92	8459,98	10619,25	20712,80
YEL001c	--	-3,6	--	-2,7	-1,7	37217,96	28201,67	10356,67	25371,52	13799,80	22097,09
YEL002c	--	--	--	--	--	3699,06	3630,46	3569,88	3774,54	3500,26	4576,38
YEL003w	--	--	--	--	--	9075,16	9622,85	6647,23	9212,47	6633,20	12064,38
YEL004w	--	--	--	--	--	3280,88	4298,57	3558,03	3689,08	2213,16	4322,79
YEL005c	--	-1,5	--	-2,1	--	5772,19	4591,65	3731,70	4250,61	2769,91	8375,35
YEL006w	--	--	--	-1,6	--	4895,96	4740,40	4750,12	4229,58	3131,38	4945,81
YEL007w	--	--	--	-1,9	--	5475,72	5939,52	5167,13	5883,84	2881,01	3935,58
YEL008w	--	--	--	--	--	5659,99	5913,53	5992,79	6249,73	4510,45	5078,56
YEL009c	--	--	--	-1,6	--	42939,13	36981,75	30817,33	44125,98	27188,65	41824,39
YEL010w	--	-1,5	--	-1,7	--	7557,81	8060,25	4978,12	5259,87	4560,26	5168,98
YEL011w	+1,5	--	--	-1,6	+1,6	2821,00	4286,49	3162,55	3670,17	1814,08	4535,27
YEL012w	--	--	--	-2,2	+2,1	3443,49	5120,47	3776,41	3743,57	1567,13	7254,36
YEL013w	--	-2,8	--	--	-1,5	11378,57	7995,04	4042,72	10016,18	7929,75	7546,76
YEL014c	--	--	--	--	--	9830,98	9126,04	7457,92	9119,63	10477,84	8928,97
YEL015w	--	--	--	--	--	7020,17	6737,85	5525,40	5836,96	6421,22	6602,19
YEL016c	--	--	--	--	--	4258,29	4872,10	4357,35	3860,18	4012,99	3526,52
YEL0171	--	--	--	+2,6	--	9713,19	9371,68	9953,03	13020,80	25549,16	13642,31

ORF	Änderungsfaktor					Normalisierte Signalintensität					
	10 min	20 min	30 min	16 h	5d	0 min	10 min	20 min	30 min	16 h	5d
YEL017w	--	--	--	--	--	5561,97	5541,19	5636,74	4836,70	3773,42	4295,93
YEL018w	--	--	--	--	--	6601,81	6179,36	6010,41	6431,61	5319,31	8871,45
YEL019c	--	--	--	-1,5	--	5902,01	6630,16	7071,61	7067,80	3914,91	4653,23
YEL020c	--	--	--	-1,6	+1,6	3743,53	3813,06	4303,33	4706,57	2328,90	5945,72
YEL021w	--	--	--	+2,7	--	23046,99	17939,88	17904,46	16910,81	63224,86	31967,36
YEL022w	--	--	--	--	--	3213,82	3843,98	4124,70	3642,90	3162,48	3002,54
YEL023c	--	--	--	--	+1,5	2695,09	3306,36	3650,91	3220,53	2683,65	4079,94
YEL024w	-1,8	-4,2	-1,9	-2,4	--	15843,01	8640,94	3753,71	8426,14	6678,45	16677,65
YEL025c	--	--	--	--	--	4760,26	5014,76	3939,03	4190,10	3964,13	6730,10
YEL026w	--	--	--	--	-2,2	59045,02	68303,94	55403,28	83876,21	87756,33	26732,44
YEL027w	--	--	--	+1,8	--	18231,93	18962,09	15019,96	21257,52	32676,42	15589,44
YEL028w	--	--	--	--	--	3336,12	4133,96	4303,82	4035,31	4534,30	4219,48
YEL029c	--	--	--	--	--	3347,82	4390,56	4178,90	4056,79	3586,09	3918,52
YEL030w	--	--	--	--	--	3511,98	4081,77	3876,45	3542,85	3081,68	4470,29
YEL031w	--	+1,8	--	-2	--	5134,64	5970,39	9325,43	6116,26	2542,05	3574,30
YEL032w	--	+1,6	--	--	-1,6	2368,30	2911,65	3864,56	2983,78	2310,70	1520,09
YEL033w	--	+2,5	--	--	+2,2	7500,53	9937,34	18469,08	8777,08	9888,29	16444,82
YEL034w	--	--	--	--	-3,1	111406,59	150209,18	123405,51	133320,14	77773,84	36232,02
YEL035c	--	--	--	--	--	2963,23	3618,64	3522,67	3723,91	2904,98	3225,04
YEL036c	--	-2,3	--	+2,2	+2,1	15759,82	12139,30	6844,97	11043,46	34986,67	33055,58
YEL037c	--	-1,8	--	--	-2	18204,03	16290,57	10306,18	15062,54	16569,80	9205,61
YEL038w	--	--	--	+1,8	+1,7	6491,35	7175,85	6264,75	6921,56	11796,62	11238,24
YEL039c	--	--	--	--	+4,1	3525,82	3908,84	4259,87	4069,39	4099,22	14361,39
YEL040w	--	-1,8	--	--	-3,7	18875,04	15956,81	10669,05	13765,76	27664,78	5080,29
YEL041w	--	--	--	--	--	2900,76	3187,58	3435,29	3415,91	3440,51	2828,20
YEL042w	--	--	--	--	--	4572,10	4997,59	4298,25	4182,18	6585,45	3643,46
YEL043w	--	+1,6	--	-1,7	--	3454,81	3767,04	5542,11	3784,44	1995,92	2935,19
YEL044w	--	--	--	-1,9	--	9140,84	10810,10	11804,66	12368,76	4823,79	6175,90
YEL045c	--	+1,5	--	--	-2	2574,25	3151,07	3866,18	3244,25	2272,13	1315,82
YEL046c	--	--	--	--	-1,6	5912,20	6186,66	6269,11	6523,75	5442,59	3692,15
YEL047c	--	--	--	--	-2,3	11480,81	12409,75	11356,70	10613,91	7709,50	5071,54
YEL048c	--	--	--	+1,6	--	4320,68	5036,05	3794,23	4556,20	6877,05	5458,54
YEL049w	--	--	--	--	--	4687,26	4865,41	4018,04	3723,91	6493,75	6559,65
YEL050c	--	--	--	--	--	13429,89	14383,06	11439,64	14007,97	15005,99	11724,51
YEL051w	--	--	--	--	--	14567,93	16802,23	9868,49	11996,51	11547,06	12208,49
YEL052w	--	--	--	--	--	5835,99	4717,81	4571,69	4715,17	6818,92	7156,45
YEL053c	--	--	--	+1,7	--	4520,90	4284,82	4856,99	4866,39	7907,59	4472,20
YEL054c	--	--	--	--	-3,5	67107,22	61061,14	51240,54	58824,26	52917,83	18987,93
YEL055c	--	--	--	--	-2,2	3951,90	3688,83	5091,94	3961,12	3038,25	1830,04
YEL056w	--	--	--	--	--	4939,23	4888,48	5555,40	5843,66	5788,02	5786,50
YEL057c	--	--	--	--	--	2561,61	3700,73	3842,36	3365,93	2209,49	2976,76
YEL058w	--	--	--	--	--	4735,97	6499,52	4469,64	4521,81	4315,19	4022,64
YEL059w	--	--	--	+1,6	+5,2	3836,45	3751,82	3661,88	3911,41	6020,20	20016,05
YEL060c	--	--	--	--	+2	3804,56	3494,68	3379,76	3700,18	5468,29	7614,76
YEL061c	--	-1,7	--	--	--	13666,51	9335,57	8146,97	11371,17	10168,06	19649,22
YEL062w	--	--	--	--	--	3054,21	3472,84	3175,89	3069,22	3205,56	3866,18
YEL063c	-1,9	-1,5	-4,9	-3,6	--	19459,14	10329,96	12754,77	3983,64	5399,40	24649,84
YEL064c	--	--	--	--	--	3029,41	3395,81	3126,84	2854,49	3249,13	2977,54
YEL065w	--	--	--	--	-1,7	3029,81	3402,78	3027,17	2821,39	3606,17	1763,20
YEL066w	--	-1,9	--	-2,6	-2,3	63610,13	62446,10	33993,85	45937,79	24113,83	27158,03
YEL067c	--	--	--	--	--	2982,43	3870,66	4152,24	3912,03	3591,79	2371,53
YEL068c	--	--	--	--	-2,5	22934,14	27903,45	20179,97	21608,64	15346,03	9010,97
YEL069c	--	--	--	--	+1,6	9287,41	10881,87	7025,90	7661,81	6426,70	14762,84
YEL070w	--	--	--	--	-1,9	2851,87	4029,32	3432,47	3103,83	2122,82	1499,38
YEL071w	--	--	--	--	-1,5	8247,39	10177,58	6482,81	8852,22	9321,62	5475,11
YEL072w	--	--	--	--	--	6108,64	8763,05	4789,06	6855,24	5214,53	4514,70
YEL073c	--	--	--	--	+1,8	4931,69	5417,47	4469,06	5150,76	3751,99	8986,79
YEL074w	--	--	--	--	+2,1	3845,44	5272,09	4284,69	3998,21	5199,40	8201,03
YEL075c	--	--	--	--	+2,6	5202,86	4902,43	4114,19	4936,48	5138,75	13328,72
YEL076c	--	--	--	--	--	4295,04	4196,71	3650,03	4331,88	4389,18	6372,61
YEL077c	--	-1,8	--	--	+2,1	14519,50	11812,33	8214,17	10554,80	12395,96	31020,73
YER001w	--	--	--	--	--	3828,69	4006,59	3720,33	3314,08	2902,18	2762,45

ORF	Änderungsfaktor					Normalisierte Signalintensität					
	10 min	20 min	30 min	16 h	5d	0 min	10 min	20 min	30 min	16 h	5d
YER002w	--	--	--	--	--	3213,37	4719,27	4625,99	4582,50	2151,82	2573,38
YER003c	--	--	--	--	--	5676,43	6502,52	5936,96	5782,41	5333,91	4474,93
YER004w	--	--	--	-1,7	+2,4	7396,67	7107,48	5133,54	5418,08	4428,58	17682,80
YER005w	--	--	--	--	--	7947,52	8217,73	6357,78	8216,62	9092,33	10373,87
YER006w	--	-1,7	--	--	--	20396,38	16611,84	11811,57	16083,73	15501,14	14180,55
YER007w	--	--	--	--	--	4196,42	5388,81	4117,91	4299,21	4300,21	5860,12
YER008c	--	--	--	-1,8	--	21857,75	20001,93	17613,45	19876,89	12215,17	21088,38
YER009w	--	--	+1,5	--	-2,1	24625,51	26206,80	23956,10	37646,81	22731,19	11988,91
YER010c	--	--	--	--	--	4079,83	4432,28	4333,80	4982,03	3643,05	4925,31
YER011w	--	--	--	--	-2,2	4016,51	4868,69	4460,45	4482,16	3714,28	1796,78
YER012w	--	--	--	-1,7	--	10909,47	9610,68	7369,71	8141,47	6450,37	7539,12
YER013w	--	--	+1,6	--	--	8537,00	6618,78	6962,69	13465,58	8352,52	6791,02
YER014w	--	--	--	--	--	3332,13	3865,97	3359,82	3927,18	2953,34	2588,93
YER015w	--	--	--	--	--	3938,12	3955,55	3304,41	3891,65	3657,36	4752,42
YER016w	--	--	--	--	--	3708,54	3972,30	4804,91	3614,56	3680,79	3389,41
YER017c	--	--	--	--	--	3888,20	4796,72	3891,96	3916,46	3223,32	4529,00
YER018c	--	--	--	-1,7	--	3937,69	4234,17	4181,36	4031,27	2384,09	3762,06
YER0191	--	--	--	--	--	10154,61	11728,33	9769,39	10742,89	7335,19	9121,03
YER019w	--	--	--	-1,6	--	10930,48	10945,96	11415,88	13706,83	6781,07	14161,73
YER020w	--	--	--	--	--	12409,81	11672,23	9563,72	12285,43	11030,42	11147,39
YER021W	--	-1,6	--	-1,6	--	7683,74	7854,14	4902,38	5354,35	4823,03	6966,74
YER022w	--	--	--	--	+2	3217,80	4629,70	3471,26	3652,31	2700,70	6374,57
YER023w	--	--	--	--	-1,8	5693,19	8016,33	6757,97	6323,53	4788,89	3184,07
YER024w	+1,7	--	--	--	+1,8	2726,90	4568,21	3388,26	3009,03	2331,35	4840,92
YER025w	--	-2,8	-1,7	-1,8	-2,2	17842,69	13052,74	6421,25	10395,48	9746,44	7933,99
YER026c	--	--	--	--	+1,7	9447,19	9392,71	7301,33	9005,23	9390,64	15946,85
YER027c	--	--	--	--	--	6344,19	7264,41	6120,10	6371,52	5774,31	5370,65
YER028c	--	--	--	--	--	3946,13	4254,31	4119,72	4212,47	4528,76	4733,90
YER029c	--	--	--	--	--	5689,36	5743,64	6002,17	6012,01	4294,87	4204,85
YER030w	--	--	--	--	--	6208,53	7156,01	6647,43	7365,71	5718,51	8328,68
YER031c	--	--	--	--	--	9006,56	10524,15	9371,51	8039,22	6502,86	8592,35
YER032w	--	--	--	--	--	3282,59	3361,58	3951,61	3226,17	2685,65	2819,51
YER033c	--	--	--	--	--	2735,43	3320,35	3753,10	3436,07	2338,16	2107,00
YER034w	--	--	--	+2,2	--	12201,55	9669,00	10855,59	9733,97	26662,02	17107,51
YER035w	--	--	--	--	+3,4	3783,08	3989,64	4769,70	3823,24	2818,07	12977,15
YER036c	--	--	--	--	+2,2	3776,54	4466,47	4701,17	3335,99	3973,95	8232,18
YER037w	--	-2	-1,5	-1,6	--	9923,54	7141,73	5051,34	6488,54	6038,09	10647,74
YER038c	--	--	--	--	+1,6	4416,01	5793,19	4038,30	4975,61	6127,08	7215,54
YER039c	--	--	--	--	+2,1	4384,51	4601,99	4174,40	4919,20	4419,02	9004,12
YER040w	--	--	--	--	--	4368,73	4520,74	5060,60	4262,14	3963,00	4193,25
YER041w	--	--	--	--	+2,3	11183,96	9926,24	12584,88	14525,65	12436,75	25185,27
YER042w	+1,6	+1,5	--	-1,8	--	5986,73	9644,09	9101,45	7879,18	3418,95	6180,45
YER043c	--	-1,8	-2,1	--	-6,9	17961,24	13527,27	10225,32	8706,12	13992,96	2588,95
YER0441	--	+2	--	--	--	4398,75	5023,78	8697,78	4648,08	3402,53	3918,96
YER044c	--	--	--	--	--	2637,01	3374,21	3615,01	3156,40	2062,62	2022,40
YER045c	+1,5	+1,7	+1,6	--	-3,1	10461,25	16163,46	17546,04	16981,84	9026,23	3362,30
YER046w	--	+2,1	+2,4	+1,7	--	5607,76	5945,84	11745,08	13673,45	9637,86	5354,36
YER047c	--	--	--	+2	--	3151,13	3785,16	2975,47	3300,92	6189,86	4137,35
YER048c	--	--	--	--	+1,8	8630,27	6786,17	5804,25	6653,20	12423,37	15641,95
YER049w	--	--	--	--	--	4735,48	4491,48	4733,51	3988,60	4500,83	3754,69
YER050c	--	--	--	--	--	3762,49	4039,84	4459,13	4107,10	3424,16	3572,03
YER051w	--	--	+6,2	+5,2	--	4034,43	3900,52	4721,71	24930,15	21049,94	4522,69
YER052c	--	--	--	--	-1,9	12933,74	11801,75	10251,11	11519,59	10224,71	6838,32
YER053c	--	--	--	--	+3,6	3838,41	3346,21	4293,63	3653,43	2860,02	13809,32
YER054c	--	--	--	--	-2,1	3783,85	4002,21	4872,03	4062,45	3109,70	1765,11
YER055c	--	--	--	--	-2,1	7448,16	6878,64	7807,15	7409,10	7337,40	3610,81
YER0561	--	--	--	--	-1,9	43775,85	38306,72	58180,39	46929,67	39151,41	23365,54
YER056c	--	--	--	--	-2,2	17121,71	14514,91	14088,80	17038,16	13028,20	7780,20
YER057c	--	--	--	--	+1,6	7533,93	8336,35	6118,70	8040,24	9103,32	12127,76
YER058w	--	--	--	--	--	3801,94	3999,64	3726,82	4380,35	4014,85	5555,30
YER059w	--	--	--	--	--	8168,02	8350,76	6761,33	9133,44	8932,75	7390,41
YER060w	--	--	--	--	--	3453,47	4617,33	3265,78	3427,72	3883,61	3185,79



ORF	Änderungsfaktor					Normalisierte Signalintensität					
	10 min	20 min	30 min	16 h	5d	0 min	10 min	20 min	30 min	16 h	5d
YER061c	--	--	--	+1,5	--	4193,61	3792,76	4203,41	3878,69	6414,02	4177,07
YER062c	--	--	--	--	--	5226,79	3805,66	4043,44	3526,59	5348,37	5714,03
YER063w	--	--	--	--	--	5527,74	4908,12	5244,45	4641,34	4522,25	6133,04
YER064c	--	--	--	--	--	3828,60	4226,13	5218,60	4977,56	4396,12	2624,07
YER065c	--	--	--	--	+5,5	2574,21	3570,54	3570,23	3151,97	2380,56	14149,83
YER066w	--	--	--	--	--	2606,40	3236,77	3728,22	3108,45	2813,04	2647,40
YER067w	--	--	--	+1,6	+11	5403,53	4083,96	3750,25	4827,76	8559,22	59454,95
YER068w	--	--	--	--	--	2880,59	3476,68	2597,56	3024,60	3608,33	3178,20
YER069w	--	--	--	--	--	4154,79	3639,29	3634,52	3427,75	3976,84	3767,04
YER070w	--	--	--	--	-1,8	5585,20	4789,67	4540,36	3983,52	6904,72	3128,86
YER071c	--	--	--	--	--	3466,99	3795,40	3474,17	3467,70	3096,35	3274,10
YER072w	--	-1,5	--	--	-2,2	20181,17	23462,09	13445,38	22591,94	20254,17	9297,09
YER073w	--	--	--	--	-2,4	6263,68	5299,94	5312,24	4501,67	6083,20	2651,21
YER074w	--	--	--	--	-2	8578,38	10815,56	10153,03	11285,09	7306,72	4270,84
YER075c	--	--	--	--	+1,6	8462,26	9147,52	8128,44	7739,63	7487,30	13497,78
YER076c	+1,5	--	--	--	--	2525,59	3886,54	3071,70	3258,34	3047,69	1849,33
YER077c	--	--	--	--	--	6991,76	7564,27	5234,66	7087,37	5825,83	7985,14
YER078c	--	--	--	--	--	3997,97	4792,62	3874,81	4697,60	4888,98	3667,46
YER079w	--	-1,6	--	--	--	4651,68	4020,14	2934,85	3826,96	3976,19	6591,69
YER080w	--	--	--	--	--	4000,34	4055,31	2889,03	3585,23	5389,71	4716,08
YER081w	--	--	--	--	--	3618,31	3647,79	2792,04	3246,73	5332,56	4966,78
YER082c	--	--	--	--	--	4498,46	4566,06	4229,37	3924,57	5191,06	4463,30
YER083c	--	--	--	--	--	5439,15	5691,31	4762,97	5243,00	4835,38	4347,97
YER084w	--	--	--	--	--	3131,76	3954,99	3308,61	3658,38	2563,55	4416,41
YER085c	--	--	--	--	--	3000,47	4009,32	4229,95	4184,76	2663,53	3339,94
YER086w	--	--	--	--	-1,7	3158,70	3734,47	3917,54	3410,09	3281,23	1819,34
YER0871	--	--	--	--	--	4693,07	5352,01	5102,25	5448,63	4047,70	5657,00
YER087w	--	--	--	--	+1,7	3699,94	4810,93	4186,32	4391,03	4607,70	6137,16
YER088c	--	--	--	--	--	11706,53	9562,72	8363,44	10770,26	14506,14	14947,02
YER089c	--	-1,5	--	--	--	21655,32	19633,83	14396,27	20013,00	23001,19	16354,17
YER090w	--	-1,5	--	--	-1,6	7834,07	6965,23	5078,55	6645,94	10110,75	4965,07
YER091c	--	--	--	--	--	5751,71	5627,84	4181,01	4358,84	5483,67	5234,31
YER092w	--	--	--	--	--	4443,23	5012,63	3896,57	4746,72	3913,50	4274,28
YER093c	--	--	--	-2,1	--	41910,77	37352,43	33375,62	46564,02	19672,30	38421,38
YER094c	--	--	--	--	--	13430,27	14826,36	10610,10	12235,16	9428,36	11769,93
YER095w	--	--	--	--	--	5021,71	6700,63	4606,96	4907,96	4645,33	7257,85
YER096w	--	--	--	--	--	2876,46	3739,45	3598,49	3733,05	2282,65	1950,74
YER097w	--	--	--	--	-1,6	2602,49	2874,37	2974,74	3120,43	2078,27	1595,73
YER098w	--	--	--	--	--	3183,26	4044,71	3746,61	3474,11	3627,65	2659,35
YER099c	--	--	--	--	--	4965,18	4562,42	3884,76	4609,92	3844,48	6480,65
YER100w	-1,7	-2,4	--	-2,3	-1,6	39440,52	23239,44	16525,58	28406,14	16980,58	24235,89
YER101c	--	-1,7	-1,7	-2,2	--	17535,96	12388,56	10337,61	10294,75	7977,16	15576,75
YER102w	--	-1,7	--	-1,8	-3,5	411918,24	441114,33	236849,53	399142,00	232731,06	116855,79
YER103w	--	--	--	--	+2,6	11669,42	12597,36	9779,61	13866,42	9264,53	30898,40
YER104w	--	--	--	-2,5	-2,7	123274,73	113791,10	95343,34	134831,28	48671,28	45036,90
YER105c	--	--	--	-2,9	-1,8	34310,34	33626,75	31260,80	35127,31	11744,73	19419,78
YER106w	--	--	--	--	--	4437,99	5334,88	4656,62	5752,98	3175,60	3402,95
YER107c	--	--	--	--	-1,8	8076,13	8314,08	7900,19	9203,97	5478,45	4552,83
YER108c	--	--	--	-1,8	--	3061,16	3721,13	3372,79	3758,47	1748,88	2913,07
YER109c	+1,6	--	--	+2	+2,6	3241,69	5049,43	4033,47	4117,05	6635,29	8371,60
YER110c	--	--	--	-1,6	--	3304,65	4462,37	3840,95	4060,14	2093,62	3949,93
YER111c	--	--	--	--	+1,7	8742,59	8038,14	6194,10	10755,98	6419,38	14576,10
YER112w	--	-2,2	-1,6	-2,3	-1,6	14384,07	10723,16	6636,95	8968,77	6282,68	9146,88
YER113c	--	--	--	--	--	5022,02	4313,79	4153,70	3836,42	4082,23	4101,71
YER114c	--	--	--	--	--	7502,80	5908,65	6322,85	7633,17	5686,51	6759,37
YER115c	--	--	--	--	+2,8	5565,20	5716,73	6178,53	6000,83	5757,94	15532,12
YER116c	--	--	--	-1,9	--	12388,15	10853,71	11762,87	11102,44	6528,11	12331,80
YER117w	--	--	--	--	-2	96910,85	120828,14	109836,56	138160,80	77912,32	49158,89
YER118c	--	--	--	--	--	4823,00	5708,97	5128,84	5780,21	4384,99	3857,01
YER119c	--	--	--	+1,6	+1,7	8254,82	9080,00	8735,37	8608,73	13609,52	14158,25
YER120w	--	--	--	--	--	8558,81	9580,06	9375,77	9336,50	6620,83	6151,19
YER121w	--	--	--	--	+3,1	3512,96	5023,35	4823,87	4331,04	2501,53	10975,14



ORF	Änderungsfaktor					Normalisierte Signalintensität					
	10 min	20 min	30 min	16 h	5d	0 min	10 min	20 min	30 min	16 h	5d
YER122c	--	--	--	--	--	4265,66	5108,94	3453,63	4811,79	4527,23	5097,28
YER123w	--	--	--	--	--	6358,32	5263,84	4839,32	5394,75	6220,23	5024,34
YER124c	--	--	--	--	--	6556,22	5430,79	4377,78	4675,37	6240,81	8957,54
YER125w	--	--	--	--	--	4465,30	4235,29	4523,59	4344,17	5431,66	3145,55
YER126c	--	--	--	+1,6	--	5541,93	5973,73	5843,64	6894,75	8887,37	6147,50
YER127w	--	--	--	--	--	9552,23	11011,28	10911,27	9603,75	10825,87	7378,34
YER128w	--	--	--	--	-1,8	22080,55	24130,64	18276,83	22875,11	17482,20	12212,45
YER129w	--	--	--	--	--	13874,44	15065,79	18380,56	18980,44	11537,25	19206,82
YER130c	-1,6	-1,5	-1,6	--	+2,1	6447,75	4141,43	4269,13	4068,03	4606,86	13786,00
YER131w	--	--	--	-1,7	-1,6	224974,93	225457,58	217616,57	268405,72	130805,20	142970,08
YER132c	+1,6	+1,8	+1,7	+2,5	+1,8	5122,98	8358,40	9105,79	8502,43	13057,83	9212,47
YER133w	--	--	--	--	--	5260,53	5843,92	5254,39	4955,72	4026,66	6107,53
YER134c	--	--	--	--	+3	3903,78	3950,71	3692,97	3704,18	4773,91	11606,02
YER135c	--	--	--	--	--	4500,22	5684,99	5507,63	6122,20	5368,54	5139,24
YER136w	--	-2,1	-1,9	--	--	16073,53	11806,64	7638,53	8543,56	18649,06	17202,42
YER137c	--	--	--	-1,6	-2,4	8321,52	8314,48	8079,90	7789,21	5324,56	3439,34
YER138c	-1,6	--	--	+2,2	--	743695,57	463292,82	524160,71	589416,17	1633471,56	837559,41
YER139c	--	--	+1,5	--	--	7644,21	9428,02	9704,25	11704,52	5760,78	9634,78
YER140w	--	--	--	--	--	3298,24	3428,52	4336,62	3686,09	4033,30	4468,78
YER141w	--	--	--	--	--	7349,41	8356,80	9396,13	8313,04	8061,43	7069,39
YER142c	--	--	--	--	+1,7	5331,15	5147,62	5350,27	5046,53	3876,08	9030,11
YER143w	--	--	--	-1,6	--	7710,50	7888,18	7735,79	6289,29	4863,57	8834,36
YER144c	--	--	--	--	+1,6	2864,62	3448,02	2646,95	2972,85	4114,55	4592,19
YER145c	--	--	--	--	--	8201,09	7206,82	5661,86	6131,25	6677,32	8001,77
YER146w	--	--	+1,7	--	--	9282,18	10384,43	10585,50	16203,70	9515,08	10188,52
YER147c	--	--	--	+2,7	+2	3065,15	4169,94	4540,23	4111,57	8367,18	6126,62
YER148w	--	--	-1,5	--	--	26370,17	19385,78	18216,53	17507,86	26146,18	31748,11
YER149c	--	+1,7	--	--	--	4608,56	5191,47	7644,95	5204,76	3445,13	4713,63
YER150w	--	--	--	-1,6	+10,7	4835,71	3903,60	4533,82	3453,32	3082,68	51500,59
YER151c	--	--	--	--	--	3706,24	3864,62	4227,02	3396,19	3651,09	3304,42
YER152c	--	--	--	--	--	4302,88	4911,72	4910,13	4600,28	3845,35	4541,61
YER153c	--	--	--	--	--	3059,46	3947,35	3924,55	3797,39	2905,93	2911,07
YER154w	--	--	--	--	--	4891,61	4519,57	3405,19	3904,42	5256,90	5817,64
YER155c	--	--	--	--	--	3875,30	3917,42	3738,65	3903,71	5158,99	4590,52
YER156c	-1,6	-2,7	-2	--	-2,9	29572,57	19064,77	10872,22	15092,01	20675,14	10173,91
YER157w	--	--	--	--	--	3791,57	3834,15	3622,84	3166,64	4131,96	3245,25
YER158c	-1,6	-1,8	-1,7	--	+1,8	11476,72	7151,65	6518,21	6831,53	9205,76	21212,37
YER159c	--	--	--	--	+2,5	10952,16	9532,86	10990,25	12614,50	13427,54	27052,87
YER160c	--	-2,1	-2,7	+2,1	+2,2	638806,03	463441,88	302283,93	238909,75	1323327,54	1400723,93
YER161c	--	--	-1,8	-2	--	8717,20	6422,24	6377,65	4841,42	4354,50	10225,40
YER162c	--	--	--	--	--	3057,11	3564,72	3289,83	3043,95	2178,85	3303,72
YER163c	--	--	--	--	+1,8	5198,97	6780,30	6465,28	5419,21	4108,08	9196,17
YER164w	--	--	--	+1,8	--	2630,26	3555,57	2656,38	3137,84	4787,28	2913,22
YER165w	-1,5	-2,5	-1,5	--	-2,1	23015,84	15202,89	9273,07	15082,40	22279,01	10866,39
YER166w	--	--	--	--	+1,8	9452,42	9623,26	8535,42	10373,76	10441,15	16991,11
YER167w	--	--	--	+2	+3,9	4887,37	4628,32	4403,05	4178,73	9839,76	19249,03
YER168c	--	--	--	--	--	8796,59	9406,68	8318,09	10309,27	7937,25	8557,67
YER169w	--	--	--	--	--	5236,69	5604,89	4900,51	5531,71	6243,33	6658,94
YER170w	--	--	--	-1,5	--	4719,16	4874,32	5270,70	5064,13	3135,60	4889,95
YER171w	--	--	--	--	--	4656,62	4595,19	4842,80	4348,94	3719,97	3866,06
YER172c	--	--	--	--	--	6300,20	5851,66	7434,78	6930,71	6636,88	7848,52
YER173W	--	--	--	--	--	2987,65	4227,50	3118,92	3150,09	2506,77	3031,95
YER174c	--	--	--	--	+1,7	5285,40	5524,64	4598,57	5342,34	6183,20	8977,78
YER175c	--	--	--	--	--	3194,57	4210,42	3147,57	3408,78	3715,12	4532,89
YER176w	--	-1,5	--	--	--	4366,16	4458,00	2824,84	3994,34	4748,19	5686,04
YER177w	--	--	--	+1,9	-1,6	129737,67	117997,52	100671,54	104616,18	240634,19	81263,02
YER178w	-1,7	-2,3	-1,9	--	--	40596,42	23751,67	17859,29	20940,26	50981,03	35652,75
YER179w	--	--	--	--	+1,5	3075,78	4058,81	2980,27	3281,25	3180,87	4684,45
YER180c	--	--	--	--	+3	6175,31	5391,51	5704,49	5509,19	6832,50	18576,87
YER181c	--	--	--	-1,6	--	3560,66	4149,97	4024,05	3799,96	2217,90	4001,35
YER182w	--	--	--	--	--	4981,09	5260,23	4260,30	4220,98	4514,67	6708,83
YER183c	--	--	--	--	+4,3	6927,51	7822,74	6391,73	7974,21	5764,21	29621,46

ORF	Änderungsfaktor					Normalisierte Signalintensität					
	10 min	20 min	30 min	16 h	5d	0 min	10 min	20 min	30 min	16 h	5d
YER184c	--	--	--	-1,5	-1,6	2374,51	2937,89	2743,95	3554,12	1572,63	1477,07
YER185w	--	--	--	--	--	2645,49	3698,06	2835,54	3110,94	1906,48	1910,88
YER186c	--	-1,8	-2,2	-2,6	--	34112,46	27956,21	19191,61	15536,62	13039,63	24352,38
YER187w	--	--	--	--	--	3895,55	3760,08	5105,74	3839,13	4730,89	4221,25
YER188w	--	--	--	--	+4,2	5547,69	4520,23	5087,68	4782,00	5386,48	23307,58
YER189w	--	-1,7	--	--	+1,6	11289,54	8144,74	6772,95	8098,38	7731,55	18051,75
YER190w	--	--	--	-1,7	--	9742,29	9214,83	7116,62	7969,23	5857,27	7076,37
YFL001W	--	--	--	-2,2	-3,7	32748,85	31574,91	27245,15	29080,62	14632,07	8773,98
YFL002C	-1,6	-1,6	--	-2,6	-2,5	53946,41	34013,48	34625,62	43583,93	20562,59	21955,73
YFL003C	--	--	--	-1,8	--	35594,67	36636,99	35581,21	44796,71	19252,76	40491,52
YFL004W	--	--	--	-1,6	--	6840,07	6306,92	7908,03	4821,03	4223,75	5037,51
YFL005W	--	--	--	--	--	10781,32	12028,01	8791,04	14865,18	8392,87	11570,92
YFL006W	--	--	--	-1,6	--	5069,12	6295,29	5366,85	6502,02	3141,04	7372,85
YFL007W	--	+1,8	+2,2	--	+1,7	13683,45	18149,63	24406,72	30000,11	11188,98	23190,46
YFL008W	--	--	--	-2,4	--	21914,31	26702,67	26877,19	30726,47	9044,86	22326,54
YFL009W	+1,6	--	--	--	--	3185,37	5040,81	4181,30	3970,66	2509,11	3975,95
YFL010B	--	--	+1,8	+1,7	+3,8	4156,89	5210,32	4544,26	7465,27	7106,28	15667,80
YFL010C	--	--	--	--	+1,7	15774,15	21648,67	14645,49	17426,00	17728,06	27456,04
YFL011W	--	--	--	--	--	4582,62	4736,60	3920,13	4446,15	5151,77	4563,62
YFL012W	--	--	--	--	--	3365,33	3833,31	3686,63	3729,93	2436,87	3255,05
YFL013C	--	--	--	--	--	5483,60	4517,28	4393,42	4513,98	6392,74	7207,53
YFL014W	--	--	--	-2,3	+2,9	76360,96	88919,90	83838,28	92585,12	33479,10	223905,31
YFL015C	--	--	--	-1,6	--	2999,51	3552,86	3709,27	3550,26	1827,48	3272,58
YFL016C	--	--	--	-1,9	--	9689,32	8308,62	7667,78	7625,46	5060,31	12397,65
YFL017C	--	--	--	--	--	6404,88	8184,52	8198,87	7116,77	5527,62	4817,30
YFL018C	--	--	--	--	+3,2	5054,85	5521,39	5769,60	4446,95	5641,63	15927,26
YFL019C	--	--	--	--	--	3708,58	4998,90	3474,53	3987,17	4000,68	5519,34
YFL020C	--	--	--	+1,5	+2,9	3864,44	4982,24	4850,85	4726,67	5844,41	11201,94
YFL021W	--	--	--	+1,6	+4,8	6146,84	5630,59	5433,80	6509,21	9669,06	29219,09
YFL022C	--	--	--	--	-2	5028,90	5283,75	5330,15	7526,58	4727,41	2480,71
YFL023W	--	--	--	--	--	7845,60	8573,63	9003,73	7929,92	6210,05	5640,05
YFL024C	--	--	--	-2,3	-4,1	30490,17	27143,06	26500,14	32767,99	13535,56	7394,09
YFL025C	--	--	--	-1,7	--	3169,23	3337,10	4204,29	3496,83	1870,44	2320,86
YFL026W	--	--	--	--	--	3669,65	5185,06	5392,68	4214,12	2484,72	2998,70
YFL027C	--	--	--	-2,6	-2,1	15419,79	15078,95	15499,69	13036,16	5827,33	7266,33
YFL028C	--	--	--	--	--	3684,93	4319,11	4705,60	4142,26	3021,86	3985,13
YFL029C	--	--	--	--	+1,6	9127,24	9329,52	10757,02	7480,37	6849,13	14732,86
YFL030W	--	--	--	--	+6,3	5026,31	5413,40	5092,22	5720,45	6558,86	31540,27
YFL031W	--	--	--	+4,2	+1,9	5167,07	5436,16	5664,88	6065,21	21925,38	9706,89
YFL032W	--	--	--	+1,7	--	5615,42	5192,78	6194,30	5627,06	9490,17	4291,21
YFL033C	--	+2	+2,7	--	+2	100111,20	118494,85	195434,22	271296,81	131453,28	199919,96
YFL034W	--	-1,6	-1,7	+2,1	--	34734,73	25068,45	21910,50	20411,87	71377,07	51434,11
YFL035C	--	--	--	-1,7	--	5019,10	4649,70	5129,11	4523,15	2941,69	4779,68
YFL036W	--	--	--	--	--	3283,88	3453,39	4348,05	3457,97	3609,04	4212,97
YFL037W	--	--	--	--	-2,9	29597,53	23241,61	22609,99	23525,29	40065,73	10363,80
YFL038C	--	--	--	--	--	13788,73	15022,55	17734,27	13142,91	9834,18	16401,47
YFL039C	--	--	--	--	--	20007,44	18228,03	15157,35	14642,14	26212,66	20134,00
YFL040W	--	--	--	--	--	2944,40	3475,04	3038,34	2731,58	4376,36	3763,39
YFL041W	--	--	--	--	--	3504,60	4298,04	2885,72	3007,42	5239,71	4993,00
YFL042C	--	--	--	--	--	4137,11	4204,63	3900,31	5515,01	4109,54	5303,94
YFL043C	--	-1,5	--	--	+2,1	20065,43	15278,22	13036,73	15768,89	19318,52	42449,90
YFL044C	--	--	--	--	--	4667,00	5298,32	4772,49	4922,72	4966,42	5953,59
YFL045C	--	--	--	--	--	46327,22	41647,17	44168,30	48013,62	62127,51	33574,34
YFL046W	--	--	--	--	--	4649,86	5233,62	5549,68	5226,76	5719,93	5294,42
YFL047W	--	+1,7	--	--	--	2921,49	3435,57	4893,79	3211,72	3271,24	3470,57
YFL048C	--	--	--	--	--	4873,28	5339,29	5464,52	4988,37	4986,94	3706,83
YFL049W	--	--	--	--	--	3188,68	4024,28	3626,36	3297,51	2710,03	2270,41
YFL050C	--	--	--	--	--	3058,31	3572,91	3342,94	3225,37	3002,91	2069,59
YFL051C	--	--	--	--	-1,6	3022,37	3753,77	3429,48	3216,39	4364,39	1850,11
YFL052W	--	--	--	--	+1,6	6557,98	7549,32	4470,90	5768,46	6431,40	10634,85
YFL053W	--	-1,5	--	--	--	5486,49	5749,95	3591,58	4713,31	7685,02	4267,83
YFL054C	--	--	--	--	--	2789,27	3111,88	2790,16	3040,21	3262,36	2221,01

ORF	Änderungsfaktor					Normalisierte Signalintensität					
	10 min	20 min	30 min	16 h	5d	0 min	10 min	20 min	30 min	16 h	5d
YFL055W	+1,9	-1,6	--	--	+1,6	11418,61	21244,70	7262,75	9544,80	14573,17	18287,57
YFL056C	--	--	--	--	+1,7	4665,10	4848,19	4654,24	4598,18	5078,82	7984,10
YFL057C	--	--	--	--	+3	8752,16	7752,01	8751,38	9944,52	8644,53	26439,54
YFL058W	--	--	--	--	+1,5	4170,45	4481,75	4790,94	4456,25	4391,38	6420,87
YFL059W	--	--	--	--	+3	3500,18	4178,48	3810,72	3836,33	3045,47	10373,12
YFL060C	--	--	--	--	--	2729,01	3365,68	3587,47	2981,55	2385,97	3860,63
YFL061W	-1,8	--	-1,6	-2,5	--	8803,36	4894,68	6247,49	5506,55	3461,90	12502,54
YFL062W	--	--	--	--	+1,9	4880,72	4655,63	5087,54	4297,93	5278,63	9099,96
YFL063W	--	+1,7	--	--	+1,8	4831,44	4982,74	8266,90	4985,41	5419,49	8748,15
YFL064C	--	--	--	--	+2,5	5271,07	5097,24	3850,26	5484,47	5860,54	13236,30
YFL065C	--	-1,7	--	--	--	12367,15	10294,70	7218,67	11047,99	11123,94	12791,76
YFL066C	-1,5	-1,7	--	+1,6	+2,1	11180,89	7353,28	6570,07	7602,45	17794,99	22948,70
YFL067W	--	-1,8	--	--	+2	29563,05	20801,93	16539,09	27094,28	43362,58	59165,76
YFL068W	-1,7	-1,6	-1,6	--	+3,4	23476,34	14007,25	14428,94	14514,21	19113,04	78993,31
YFL-TyA	--	--	--	--	--	3138,97	3595,23	3518,36	3612,80	2210,06	4286,17
YFL-TyB	-2	-2,6	-1,7	--	--	48552,51	24347,73	18437,04	28294,90	36036,29	43632,23
YFR001W	--	--	--	--	--	7628,30	8727,49	5833,64	8580,12	8249,03	6130,69
YFR002W	--	--	--	--	--	19854,14	18869,31	15887,61	17406,81	16839,32	24068,67
YFR003C	--	--	--	--	--	3421,49	3531,63	3768,54	3646,18	2583,11	2697,72
YFR004W	--	--	--	-1,8	--	11144,89	11434,15	7850,88	10028,91	6244,28	13317,73
YFR005C	--	+1,6	--	--	--	3282,43	3645,19	5154,65	3438,17	3620,83	2384,56
YFR006W	--	--	--	--	--	4727,46	4761,04	4873,92	3684,08	5898,42	4968,21
YFR007W	+1,6	--	--	--	+1,8	4322,94	6842,29	5888,89	5825,52	5338,80	7595,54
YFR008W	--	--	--	+1,9	+3,2	5367,67	4857,56	3693,48	4226,27	10424,09	17144,35
YFR009W	--	--	--	--	--	9512,40	8323,60	6749,89	9028,91	12633,36	9656,45
YFR010W	--	--	--	--	--	4888,54	6741,05	3300,66	4108,61	6151,01	5467,35
YFR011C	--	--	--	--	--	7961,13	7620,86	5434,15	6543,97	7076,29	9187,15
YFR012W	--	--	--	--	--	3604,99	4934,90	3340,42	3600,41	2951,02	3260,29
YFR013W	--	--	--	--	--	3181,88	3350,66	3176,28	3136,73	2401,44	2370,15
YFR014C	--	--	--	--	+1,6	4871,78	4456,40	4300,07	4231,14	4152,92	7659,34
YFR015C	--	--	--	--	--	2835,37	3207,89	3229,36	3547,25	3356,85	3108,85
YFR016C	--	--	--	+1,5	+2,3	3291,17	4268,60	3858,15	3621,04	4980,38	7701,14
YFR017C	--	--	--	--	+12,5	4757,44	4714,01	4365,95	4760,16	3821,40	59508,50
YFR018C	--	--	--	-1,6	--	2826,00	3208,98	3022,72	3204,59	1794,13	2059,26
YFR019W	--	--	--	--	--	2760,97	3859,08	2944,25	2971,06	3425,10	2244,81
YFR020W	--	--	--	-1,6	--	5536,96	6786,62	4390,03	6101,20	3419,72	6797,04
YFR021W	--	--	--	--	--	3479,72	3431,38	3537,61	3486,76	2812,30	4040,95
YFR022W	--	--	--	--	+1,7	3556,87	4972,45	3939,73	4917,99	4611,13	5908,54
YFR023W	--	--	--	-1,6	--	3306,08	4195,53	3267,74	3620,57	2108,90	3507,62
YFR024C	--	-2,1	--	-1,6	--	13260,25	9690,97	6286,39	10062,02	8095,89	10287,87
YFR025C	--	--	--	--	--	5861,34	5798,46	6502,76	6040,28	4362,25	5569,03
YFR026C	--	--	--	-1,7	+1,7	6846,42	8876,16	8298,63	8538,60	4070,26	11682,80
YFR027W	--	--	--	--	--	6994,53	7203,37	5897,27	6333,71	9586,85	5687,43
YFR028C	--	--	--	--	-1,7	9188,67	9641,16	7647,44	8469,26	8456,45	5375,02
YFR029W	--	--	--	-1,9	--	7981,14	9713,64	6798,08	6958,27	4259,62	7738,73
YFR030W	--	--	--	-1,8	--	7188,30	8063,54	6443,44	6809,40	4024,51	5615,01
YFR031B	--	--	--	--	-4,6	116573,65	132955,66	123143,28	120661,60	93542,68	25340,39
YFR031C	--	--	--	--	+1,8	3022,64	4150,30	2996,46	3495,67	3138,56	5529,73
YFR032C	--	--	--	--	--	4349,50	4458,02	3522,41	3293,86	3834,50	4420,44
YFR033C	-1,6	-2	-2,1	-4	+1,9	70114,18	42517,81	34462,29	33586,81	17353,32	133153,83
YFR034C	--	--	--	--	--	6630,92	5453,31	5413,92	5158,66	6207,65	9404,33
YFR035C	--	--	--	--	+2,6	7847,13	8651,77	9588,60	8190,98	8281,89	20791,16
YFR036W	--	--	--	-2,1	+1,7	7769,62	8405,53	9206,50	8343,41	3752,99	12843,78
YFR037C	--	--	--	--	--	27560,68	28130,81	30827,13	27039,51	39390,89	27773,76
YFR038W	--	--	--	--	--	4325,98	5065,50	4907,96	4826,39	4046,59	5144,32
YFR039C	--	--	--	--	--	12353,97	14368,35	13532,03	11938,24	10369,36	12233,99
YFR040W	--	--	--	--	--	2878,92	3398,37	3615,42	3206,33	2589,03	3517,33
YFR041C	--	--	--	--	--	4156,55	4449,66	2822,13	3915,37	4944,20	6053,14
YFR042W	--	--	--	--	--	3488,44	4313,75	3609,23	4006,45	4208,79	4746,92
YFR043C	--	-1,6	--	--	--	8024,51	6601,87	5007,33	5973,99	6394,92	6705,13
YFR044C	--	-1,7	--	--	--	37373,00	29365,36	21567,21	26410,27	35572,53	31200,06
YFR045W	--	--	--	--	--	7442,43	7392,74	7384,26	8327,00	7526,97	10988,63

ORF	Änderungsfaktor					Normalisierte Signalintensität					
	10 min	20 min	30 min	16 h	5d	0 min	10 min	20 min	30 min	16 h	5d
YFR046C	--	--	--	-1,7	--	6540,83	6586,34	6045,50	5885,02	3941,75	9574,17
YFR047C	--	-1,7	--	-2,1	-1,7	21128,86	16223,52	12135,16	16082,50	10087,77	12715,25
YFR048W	--	--	--	--	--	4597,87	4473,15	5350,25	5336,03	3691,71	5517,28
YFR049W	--	+1,6	--	--	+2,5	3424,05	3668,61	5333,64	4941,41	3642,27	8500,62
YFR050C	--	--	--	-1,8	--	16751,87	16668,17	12633,88	12437,14	9462,15	13531,93
YFR051C	--	--	--	-1,6	-2	8883,11	7757,33	6783,54	6170,78	5431,21	4396,77
YFR052W	--	-1,5	--	-1,9	--	27432,90	25879,35	18024,96	24133,21	14350,45	38968,83
YFR053C	--	-1,7	--	--	+4,5	5466,12	3818,78	3128,29	3705,19	6535,73	24772,76
YFR054C	--	--	--	--	+2,6	4094,81	4302,84	3628,07	3948,65	5487,33	10615,98
YFR055W	--	--	--	+1,7	--	7781,84	7315,09	6060,01	6228,77	13573,76	6777,09
YFR056C	--	--	--	+1,6	+1,6	3991,90	4573,97	4867,26	4880,06	6252,57	6550,75
YFR057W	--	--	--	--	--	4422,49	4752,98	6264,84	5142,74	6612,59	5985,29
YGL001C	--	-1,7	--	-2,6	-1,5	9480,01	7164,58	5584,58	6613,53	3649,19	6282,42
YGL002W	--	--	--	--	--	4813,41	5436,12	4508,15	4978,26	4785,70	5003,79
YGL003C	--	--	--	--	--	3363,95	3718,34	3533,79	3360,53	2479,16	3334,68
YGL004C	--	--	--	--	--	6221,24	6494,96	5018,08	5168,33	4884,27	5346,90
YGL005C	--	-1,6	-1,6	-2,9	-2	23882,54	19599,27	15397,70	15220,50	8270,14	12049,70
YGL006W	--	-1,7	--	-2,7	+1,8	24245,36	18105,85	14260,10	21254,76	9056,29	44482,94
YGL007W	--	--	--	-1,9	--	3425,73	4481,36	3823,49	3743,24	1806,59	2986,50
YGL008C	--	-1,6	-1,6	+2	-2,8	8335,10	8074,82	5240,15	5341,93	16873,89	2992,89
YGL009C	--	-1,5	-1,5	-2,3	-2,1	7591,82	6316,56	5058,53	5023,22	3334,09	3604,55
YGL010W	--	--	--	--	--	4989,14	6745,70	5772,03	5822,06	3875,30	6801,75
YGL011C	--	--	--	-2,2	-2,8	61104,78	57056,32	52533,21	51438,60	27963,23	21497,21
YGL012W	--	--	--	--	--	7198,28	8267,27	9200,27	9024,36	8190,03	8686,64
YGL013C	-1,6	-2,4	-2,2	-2	--	11710,36	7202,48	4831,73	5285,09	5755,35	13182,94
YGL014W	--	--	--	+2,4	+2,5	10618,89	9992,59	8393,95	9691,50	25571,39	26679,11
YGL015C	-1,6	-2,1	-1,7	-3,7	+1,6	28273,24	17670,77	13396,53	16286,45	7542,06	44190,31
YGL016W	--	-1,6	-1,6	-1,9	--	13521,16	11633,05	8581,14	8472,38	7186,17	9105,94
YGL017W	--	--	--	--	--	3397,95	3370,54	4268,14	3948,60	3548,80	4643,55
YGL018C	--	--	--	-1,6	--	6241,70	6824,18	7189,27	5915,33	3993,12	7407,75
YGL019W	--	--	--	--	+1,5	10528,18	15752,16	12381,21	13220,23	10087,36	16207,75
YGL020C	--	--	--	--	--	9258,09	9433,27	9829,96	9668,38	7260,46	8098,91
YGL021W	--	+1,5	--	-1,9	-1,6	2992,29	4097,53	4516,35	3807,86	1586,79	1822,04
YGL022W	--	--	--	--	--	2964,41	3472,60	3775,32	3240,24	2454,75	2614,67
YGL023C	--	--	--	--	--	3975,44	4706,18	5058,48	4416,18	3191,00	4634,43
YGL024W	--	--	--	--	+1,7	3792,21	3905,51	4656,27	3416,00	4761,59	6479,58
YGL025C	--	-1,5	--	--	+1,8	6413,59	5571,21	4204,46	4995,58	9305,80	11663,79
YGL026C	--	--	--	+2,3	--	5178,18	5839,08	4399,95	4719,77	11737,92	6454,09
YGL027C	--	--	--	--	--	8759,65	7400,41	6302,84	6905,25	9214,28	6647,12
YGL028C	--	-1,7	-1,7	--	--	6724,05	4925,26	4065,06	3982,28	9467,84	5512,39
YGL029W	--	--	+1,6	+2,2	--	6796,30	9674,18	9361,86	11190,84	15181,25	5500,69
YGL030W	--	--	--	--	-1,7	40570,39	38675,65	46583,72	43866,25	35564,42	23241,60
YGL031C	--	--	--	-1,7	-3	268254,63	250589,92	245602,95	300296,41	157690,21	90641,51
YGL032C	--	+1,5	--	-2	--	3972,97	4371,97	6007,93	4908,59	2013,23	5725,85
YGL033W	--	--	--	-1,8	--	5258,59	3927,91	3665,22	3858,75	2927,89	3705,56
YGL034C	--	--	--	--	-1,6	3384,98	3941,89	3998,85	4048,67	2472,78	2173,07
YGL035C	--	--	--	--	--	4104,89	4688,25	4609,98	3918,81	2786,75	3904,39
YGL036W	--	--	--	--	+1,9	30409,16	30952,49	22069,94	29379,26	22780,86	56400,95
YGL037C	-2,5	-3,1	-2,6	--	+7	13765,81	5602,60	4480,67	5232,78	10722,04	96917,95
YGL038C	--	--	--	--	+1,5	6250,27	5129,55	4281,29	4697,90	9056,33	9566,56
YGL039W	--	--	--	--	--	5390,06	5350,73	4630,02	4445,34	6855,19	6778,45
YGL040C	--	--	--	--	--	10231,24	8474,76	7765,91	7178,25	6996,48	9405,53
YGL041C	--	--	--	--	--	6204,21	6486,96	6468,57	6536,85	5319,57	6286,87
YGL042C	--	--	+4,6	+3,5	+1,5	10619,27	9396,77	10901,01	48506,16	37247,25	16279,95
YGL043W	--	--	--	--	-1,6	6942,83	8485,87	8118,41	7778,73	5120,83	4460,81
YGL044C	--	--	--	--	--	5219,00	5150,00	5698,49	5278,08	4343,26	5636,01
YGL045W	--	--	--	--	+3,3	3721,52	3855,05	4697,19	4185,00	3941,45	12405,85
YGL046W	--	--	--	--	--	2714,29	3277,01	3437,48	3126,25	2159,29	4071,35
YGL047W	--	--	--	--	--	6647,42	5701,38	6310,15	6073,72	5337,30	5696,39
YGL048C	-1,6	-1,6	--	-1,7	-1,6	13323,94	8213,29	8452,49	11610,79	7976,44	8589,00
YGL049C	--	--	--	--	+1,7	3227,25	3690,36	3120,74	3059,14	4366,57	5384,53
YGL050W	--	--	--	--	--	3065,87	3687,36	2842,12	3213,18	4166,02	3770,38

ORF	Änderungsfaktor					Normalisierte Signalintensität					
	10 min	20 min	30 min	16 h	5d	0 min	10 min	20 min	30 min	16 h	5d
YGL051W	--	--	--	--	--	4744,13	4681,80	4475,43	4537,16	6322,15	6114,19
YGL052W	--	--	--	--	--	17257,61	14597,76	11825,71	15572,71	17194,11	24918,58
YGL053W	--	--	--	--	+1,8	5854,40	4945,39	5502,20	5272,96	5743,24	10806,07
YGL054C	--	--	--	--	--	21505,30	18680,44	17144,04	19269,90	18375,33	31099,76
YGL055W	--	--	--	--	--	21392,99	17208,36	16603,90	21859,92	25687,66	21984,58
YGL056C	--	--	--	--	--	4397,29	3719,63	4756,89	3890,19	3553,47	4952,44
YGL057C	--	--	--	--	+1,6	3710,91	3840,73	3947,56	3281,28	2485,99	5827,28
YGL058W	--	--	--	--	+3,9	8807,27	7604,42	7960,37	8769,37	11394,46	34704,24
YGL059W	--	--	--	--	-2	2806,37	3379,23	3721,76	3757,06	2149,37	1422,31
YGL060W	--	--	--	--	+1,7	6828,04	8270,08	9446,05	7856,92	6814,85	11830,45
YGL061C	--	--	--	--	--	3314,25	3975,21	3287,79	4314,69	3534,67	4605,31
YGL062W	--	--	--	--	+2,2	25839,58	21737,85	17755,16	31447,62	30737,53	56738,20
YGL063W	--	--	--	--	--	2883,54	3134,44	2664,61	2959,08	4099,27	2977,50
YGL064C	--	-2	--	--	--	14890,87	10996,81	7264,96	10054,53	13948,40	18258,96
YGL065C	-1,7	-1,7	-1,8	--	+2,4	22775,58	13112,18	13165,51	12924,57	17845,60	55102,54
YGL066W	--	--	--	--	+2,4	4646,26	4964,00	4469,25	4047,60	11113,97	9120,87
YGL067W	--	--	--	--	--	7097,87	6599,26	5816,23	7524,75	7592,67	8781,99
YGL068W	--	-1,7	--	-2,3	-1,7	15122,79	15560,51	8814,95	15932,11	6504,80	9154,83
YGL069C	--	--	--	-2,1	--	9346,51	10185,13	7856,70	8869,02	4426,15	6461,69
YGL070C	--	--	--	--	-2,2	3666,31	4699,82	4222,15	4152,18	2465,69	1677,61
YGL071W	--	--	--	--	--	2910,38	3633,78	3136,48	2861,96	2414,60	2621,92
YGL072C	--	--	--	--	+3,9	4811,56	5473,24	6254,07	6105,26	5588,89	18901,00
YGL073W	--	--	--	--	+2,5	3090,01	3874,04	3352,10	3316,84	3004,98	7808,99
YGL074C	--	--	--	--	+1,7	4030,45	4398,28	4234,78	5468,21	6784,26	5296,30
YGL075C	+1,6	--	--	--	--	3657,48	5849,66	2917,02	3479,54	3042,85	3911,99
YGL076C	--	--	--	--	-1,9	15333,81	17128,64	10525,72	13115,33	16755,93	7886,90
YGL077C	--	--	--	--	+1,7	5560,53	5207,88	4953,92	5094,62	4604,86	9324,36
YGL078C	--	-1,6	-1,7	--	-2	14072,29	10486,80	8831,34	8160,84	12669,61	6954,70
YGL079W	--	--	--	--	--	4689,45	4961,21	4846,56	4834,46	3308,92	5475,01
YGL080W	--	--	--	--	--	4946,11	5225,97	4303,36	4845,59	4603,46	5163,46
YGL081W	--	--	--	--	+1,8	2825,51	3818,88	3401,35	3515,55	2593,77	5147,23
YGL082W	--	--	--	--	--	3014,85	3374,16	3428,14	3395,66	2826,16	3175,56
YGL083W	--	--	--	-1,9	-4,3	2695,88	3399,34	2908,43	2684,16	1407,59	624,22
YGL084C	--	--	--	--	--	2758,16	3531,66	2942,97	3842,62	2749,26	2121,21
YGL085W	--	--	--	--	--	3641,84	5140,56	4304,84	4169,74	3529,26	4749,59
YGL086W	--	-1,7	--	--	--	8308,70	6256,77	4912,93	7297,87	10984,33	7762,52
YGL087C	--	--	--	--	+3,6	6927,78	7066,68	5326,38	6313,39	6493,84	24613,27
YGL088W	--	--	--	--	+1,5	5638,05	5086,64	4644,46	5319,13	8612,08	7218,14
YGL089C	--	--	--	--	+2,2	4589,97	4998,91	4661,59	4724,87	3589,29	10059,78
YGL090W	--	--	--	--	--	4167,50	4000,13	3833,19	3937,60	3804,97	5728,73
YGL091C	--	-1,6	--	--	--	8277,11	6237,20	5041,31	5933,95	5586,86	8655,86
YGL092W	--	--	--	--	--	3547,04	3633,30	3050,65	3547,57	2416,72	2563,34
YGL093W	--	--	--	--	+1,8	4139,15	4897,90	4253,56	4331,00	5713,61	7650,43
YGL094C	-1,9	--	--	--	--	8824,54	4570,86	6763,19	7033,71	8417,29	7097,15
YGL095C	--	--	--	-1,6	--	2897,78	3205,94	2918,55	3488,25	1857,90	2173,84
YGL096W	--	-1,5	--	--	+4,2	7387,62	5387,70	4898,80	5655,31	7811,39	31036,42
YGL097W	--	+2,6	+2,5	+2,5	--	3560,76	5132,99	9434,44	8900,90	8830,27	4513,10
YGL098W	--	+1,6	+2,6	+1,6	+1,6	16530,21	21827,70	26344,34	42416,42	26900,40	26049,89
YGL099W	--	+1,6	+2,8	+1,6	+2,1	23271,60	29754,91	37127,48	64808,95	36395,28	48451,78
YGL100W	--	+1,7	+2,4	--	+1,6	51669,05	53284,36	88007,16	122647,03	68051,77	83066,76
YGL101W	--	--	--	-1,5	-2	23944,15	24016,63	20884,18	25977,51	15720,14	11847,31
YGL102C	--	--	--	-2,4	-2,1	236556,42	234350,30	160724,23	192466,98	99415,13	114734,15
YGL103W	--	--	--	-1,6	-2	78628,89	88910,19	58042,91	101029,23	49806,75	39218,11
YGL104C	--	--	--	--	-2,5	22140,46	26306,10	18254,84	25643,03	15932,34	8730,24
YGL105W	--	--	--	-1,6	-2,3	92616,87	116187,20	72426,37	100103,62	56962,60	39873,01
YGL106W	--	--	--	--	--	7122,56	10291,81	8742,74	10508,62	6826,39	6662,95
YGL107C	+1,6	+1,8	+1,9	+1,9	--	7380,24	11572,07	13432,54	13864,02	13915,53	7273,47
YGL108C	--	--	--	-1,6	--	5920,18	6375,78	5579,10	6960,18	3672,06	5259,75
YGL109W	--	-1,5	--	+2	+1,5	3696,85	4750,37	2460,92	3739,86	7305,58	5627,26
YGL110C	--	--	--	--	--	9292,22	11035,60	6577,28	8088,50	9180,62	7436,33
YGL111W	--	--	--	--	--	3174,38	3923,38	2700,04	3697,20	3772,39	2594,41
YGL112C	--	--	--	--	--	4681,35	4714,90	3830,54	5507,56	5626,35	6085,03

ORF	Änderungsfaktor					Normalisierte Signalintensität					
	10 min	20 min	30 min	16 h	5d	0 min	10 min	20 min	30 min	16 h	5d
YGL113W	--	--	--	--	--	30302,47	28126,84	23605,25	34809,56	21825,19	24245,83
YGL114W	--	--	--	--	+1,5	4290,88	4016,92	3258,73	3931,05	3785,19	6470,29
YGL115W	--	--	--	--	--	10880,17	10768,60	7661,71	9760,23	8240,68	10147,48
YGL116W	--	--	--	--	--	3632,27	4522,99	3483,18	3700,79	3005,15	2977,12
YGL117W	--	--	--	--	--	3808,25	4473,60	3461,13	3926,67	2836,26	3393,43
YGL118C	--	+3,7	--	-1,5	-9,1	2867,29	3994,09	10729,66	3276,70	1908,04	314,96
YGL119W	--	--	--	+1,6	--	5756,92	5500,84	5143,94	6239,92	9165,97	4536,69
YGL120C	--	--	--	+1,7	--	13415,30	11880,07	9784,84	10225,57	22722,80	13655,51
YGL121C	--	-1,8	--	+2,1	+7,3	4323,25	5374,96	2421,95	4341,98	9029,13	31703,21
YGL122C	--	--	--	--	+1,6	3694,11	5094,47	4007,07	5067,17	3672,32	5936,45
YGL123W	--	--	--	--	-4,1	98866,06	105429,78	74221,29	122154,99	134703,16	24334,01
YGL124C	--	--	--	--	--	8073,56	8550,13	6972,39	8841,29	9069,89	10839,91
YGL125W	--	--	--	--	--	3677,42	4362,48	3279,92	3817,00	3663,36	4827,77
YGL126W	--	--	--	--	--	5816,64	5873,34	5080,83	4915,38	5898,38	5913,65
YGL127C	--	--	--	--	+1,8	10221,10	6974,51	7571,78	7775,28	7147,58	18289,43
YGL128C	--	--	--	--	+1,8	4378,87	6101,72	5566,70	5586,92	4355,00	7895,58
YGL129C	--	--	--	--	--	2885,86	3365,57	3210,14	2999,20	2188,39	2281,82
YGL130W	--	--	--	--	-1,7	9797,68	9900,99	9451,25	9920,98	10839,86	5666,66
YGL131C	--	--	--	--	-1,8	2717,78	3430,56	3619,96	3497,78	2374,97	1552,14
YGL132W	--	--	--	-1,6	--	4057,28	4066,00	3836,94	3288,76	2546,99	4166,53
YGL133W	--	-3	+1,7	--	-1,9	50254,14	56515,51	16911,45	83065,47	47402,40	26782,09
YGL134W	--	-1,7	--	--	+3,5	12740,18	9582,23	7441,93	8762,30	10002,98	44571,69
YGL135W	--	-1,6	--	--	-4,2	157632,21	121300,65	97007,84	141539,83	110439,95	37932,57
YGL136C	--	--	--	--	--	5193,90	4806,33	4498,90	4763,19	5643,50	4219,17
YGL137W	--	--	--	--	-1,7	8905,64	6567,02	6773,38	6816,84	8293,54	5138,28
YGL138C	--	--	--	--	--	4363,50	4452,57	4365,36	4013,25	4879,89	5155,72
YGL139W	-2,5	-2,8	-2,9	--	+1,6	11210,62	4445,22	4046,61	3915,66	7837,54	18491,78
YGL140C	--	--	--	--	--	7801,47	7068,98	7191,78	6691,48	5951,85	5947,08
YGL141W	--	--	--	--	-2,2	3457,36	4270,80	4695,86	3851,04	2779,48	1603,44
YGL142C	--	--	--	--	--	4365,12	5106,28	5904,97	4895,89	6214,15	3410,08
YGL143C	--	--	-1,7	-1,5	--	10455,69	10604,07	8179,54	5999,91	6818,70	11646,53
YGL144C	--	--	--	--	--	6301,38	5864,49	5178,83	5979,46	6192,23	5042,95
YGL145W	--	-2,6	--	--	-1,7	21614,34	21260,11	8297,93	22370,64	15558,79	12766,84
YGL146C	--	--	--	--	-2	12926,14	13214,06	9086,36	12692,92	9979,61	6586,19
YGL147C	--	--	--	--	-7	131374,45	134893,53	100006,22	152022,28	103269,94	18720,95
YGL148W	--	-1,6	--	-1,5	-2,5	18907,53	14931,23	12186,16	13616,21	12515,91	7691,89
YGL149W	--	--	--	--	--	3684,82	4660,92	4185,88	4213,58	4534,15	2916,47
YGL150C	--	--	--	--	--	31446,87	26603,47	29927,05	38737,71	29857,75	43472,20
YGL151W	--	--	--	--	--	24511,04	21484,01	18546,40	18949,64	16623,39	17684,52
YGL152C	--	--	--	--	--	6553,38	5525,51	6315,83	5957,53	7469,25	9524,77
YGL153W	--	--	--	--	--	3548,63	3242,86	3954,60	3436,51	3732,85	4495,08
YGL154C	--	--	--	--	+3,5	4540,35	4833,64	5626,97	5338,45	4861,45	16053,01
YGL155W	--	--	--	--	-2,5	2866,70	3009,27	3274,87	3167,11	3573,45	1158,81
YGL156W	--	--	--	--	+3	8211,04	9033,63	7996,73	7256,34	6589,84	24899,47
YGL157W	--	-4,1	-2,2	--	--	13388,96	9800,43	3303,86	6211,85	19903,08	8954,59
YGL158W	--	--	--	+2,1	-1,8	24565,37	26034,39	21663,40	17112,26	50608,89	14001,69
YGL159W	--	--	--	+1,7	-2,2	12928,99	8902,38	8769,59	10407,07	22355,94	5875,23
YGL160W	--	--	--	--	--	4003,01	3298,41	4163,21	3428,71	4932,49	4383,83
YGL161C	--	--	--	--	--	10759,43	12140,28	11167,34	9094,69	10483,51	8718,52
YGL162W	--	--	--	--	--	8011,21	6152,40	5812,75	5643,11	10010,67	9822,72
YGL163C	--	--	--	--	--	3418,09	3233,21	3853,19	4111,69	4999,33	3212,59
YGL164C	--	--	--	--	--	24068,61	25142,37	21524,96	22575,72	19714,80	16868,73
YGL165C	--	--	-1,5	--	+2,9	11027,77	8104,97	8007,57	7238,89	12189,81	32262,69
YGL166W	--	--	--	--	+2,7	6312,08	6059,22	5608,40	5366,85	6242,07	17239,61
YGL167C	--	--	--	--	+2	4080,83	3761,46	3620,67	3435,50	4713,08	8295,98
YGL168W	--	--	--	+1,8	--	4855,42	4831,20	5648,85	7172,89	8714,84	6725,58
YGL169W	-2,1	-2,4	--	--	--	22666,80	10632,29	9308,99	15674,29	26033,72	21897,40
YGL170C	--	--	--	--	--	4924,28	3834,03	4605,82	4293,01	5609,46	3591,56
YGL171W	--	-1,5	--	--	--	23041,84	18071,17	15254,71	20771,77	32353,21	24982,84
YGL172W	--	-1,6	-1,6	--	--	9815,28	7079,20	6095,96	6259,49	8362,38	12542,32
YGL173C	--	--	--	--	-1,7	115531,76	123155,48	78611,47	97417,67	134882,44	68230,71
YGL174W	--	--	--	--	--	7719,38	7437,68	6932,09	6562,04	7870,25	10754,78



ORF	Änderungsfaktor					Normalisierte Signalintensität					
	10 min	20 min	30 min	16 h	5d	0 min	10 min	20 min	30 min	16 h	5d
YGL175C	+1,8	+1,6	--	+1,6	+2,2	9247,88	16520,44	14365,57	9959,71	14733,98	20386,54
YGL176C	--	--	--	-1,9	-2,7	114832,83	104552,39	81099,03	99634,85	62064,18	41962,18
YGL177W	--	--	--	--	+3,9	5643,86	5826,17	5792,04	5307,18	6101,04	21942,86
YGL178W	--	--	--	--	+4,4	7793,74	6423,07	6670,01	5897,34	9600,30	34378,65
YGL179C	--	--	--	--	+2,1	3953,19	3688,44	4208,93	5075,37	5842,53	8378,47
YGL180W	--	+1,8	+2,3	+2,4	--	4716,43	4025,99	8336,52	11012,21	11505,13	5316,83
YGL181W	-1,6	-6,5	-1,7	-1,8	-1,9	100771,63	61162,29	15538,44	57917,55	56588,86	51775,84
YGL182C	--	-1,6	-1,7	-1,8	--	22419,48	21244,13	14142,85	13214,41	12654,48	17356,77
YGL183C	+2	+2,8	+4,1	+6,7	+3,4	6806,02	13344,03	18811,36	27815,97	45588,22	23166,98
YGL184C	--	--	--	--	--	6957,11	6436,25	5222,32	6250,22	6216,51	8533,96
YGL185C	--	-1,6	--	--	-1,6	36727,85	30802,87	22503,74	27831,35	29921,85	22939,24
YGL186C	--	-1,5	-1,5	--	--	9464,59	6550,83	6268,05	6135,17	6877,45	10289,02
YGL187C	--	--	--	-2,4	+2	23755,64	22050,94	17978,20	17636,25	10060,75	46665,97
YGL188C	--	--	--	--	+3,4	9158,23	10523,47	7378,60	10701,62	9843,03	30922,71
YGL189C	--	--	--	--	--	376838,78	543718,71	493052,66	533345,41	290361,41	288758,20
YGL190C	--	--	-1,6	--	--	6927,40	5019,39	4890,06	4377,85	4893,50	8872,12
YGL191W	--	--	--	--	+3,9	15615,43	12514,66	10958,82	21869,29	14180,50	61052,97
YGL192W	--	--	--	--	+1,8	4993,52	4677,44	5942,64	5127,12	4555,91	9029,50
YGL193C	--	+5,9	--	--	--	4790,22	5780,42	28207,94	6181,25	4370,34	6483,45
YGL194C	+2,2	+2,1	+3,6	+2	+1,6	26808,95	57727,03	56483,55	97564,52	53680,36	42527,72
YGL195W	--	+1,5	+1,6	--	+1,7	28217,19	38025,47	42353,49	45603,39	27774,37	48518,68
YGL196W	--	--	--	-1,9	-1,8	103645,65	112335,44	74939,73	100434,79	54865,18	57339,71
YGL197W	--	--	--	-1,9	-1,9	31239,92	27229,18	24768,54	24370,44	16494,21	16114,56
YGL198W	--	--	--	-1,5	-1,5	29688,12	32039,42	24497,34	34493,35	19350,34	19309,82
YGL199C	--	--	--	-1,6	-1,9	89078,29	104594,08	82150,94	120290,16	54862,41	47843,21
YGL200C	--	--	--	--	-1,8	11413,40	12868,53	9859,37	11968,55	8738,01	6282,25
YGL201C	--	--	--	--	--	6312,30	7201,17	8315,97	8064,79	5580,71	5560,74
YGL202W	--	+2,8	+1,9	+2	-1,5	6595,94	8417,41	18365,16	12614,89	12957,19	4364,20
YGL203C	+1,7	+1,7	+2,1	+4,8	--	4848,28	8243,06	8416,84	10343,43	23277,31	5041,64
YGL204C	+1,8	--	--	--	--	3036,77	5548,84	3149,01	3163,76	2035,92	2066,77
YGL205W	--	--	--	--	--	7139,17	7014,12	4989,01	5914,69	6199,96	6101,47
YGL206C	+1,6	+1,6	+2,1	--	+1,8	28763,93	46401,11	46903,82	59304,12	35002,08	51243,60
YGL207W	--	--	--	--	--	5002,83	5927,19	5097,38	5369,27	5366,89	5295,12
YGL208W	--	--	--	--	+3,4	4160,85	4074,37	3461,80	4040,66	4038,73	14197,04
YGL209W	--	+1,7	+1,7	+2,2	+1,7	30265,43	40072,51	52763,06	52034,69	65345,57	50112,35
YGL210W	--	--	--	--	--	8192,13	8600,30	5939,22	6587,65	6150,71	7805,48
YGL211W	--	--	--	--	+1,6	7463,75	7953,13	5874,96	6643,40	5069,88	12130,37
YGL212W	--	--	--	--	--	3494,10	4209,52	3345,97	3826,75	3802,58	2821,88
YGL213C	--	--	--	--	-1,7	4260,84	5069,16	3608,89	4205,92	3127,72	2575,62
YGL214W	--	+1,8	--	--	-3,8	3299,68	4717,83	5809,73	4880,63	2951,17	860,08
YGL215W	--	--	--	+2,5	--	5806,11	4176,29	5208,27	7397,96	14525,33	4548,26
YGL216W	--	--	+2,2	+1,9	--	7906,87	7075,99	11389,29	17585,59	14742,84	8114,30
YGL217C	+1,6	--	--	--	-1,5	2734,13	4323,53	2783,12	3241,85	3513,00	1800,25
YGL218W	--	--	--	--	--	4885,19	5135,35	3923,97	5059,89	5434,03	6440,48
YGL219C	--	-1,5	--	--	+1,6	24953,86	29262,12	16112,01	22041,46	22276,86	39134,38
YGL220W	--	--	--	--	--	11793,27	12579,75	11922,83	15849,99	11715,83	16743,59
YGL221C	--	--	--	--	--	8338,67	8138,85	6837,73	7359,77	7936,57	8815,72
YGL222C	--	--	--	--	--	3179,11	3863,18	3109,91	3765,61	3150,08	2537,31
YGL223C	-1,5	-2,2	-1,9	-2	--	7403,86	4804,29	3348,91	3863,19	3762,85	6039,29
YGL224C	--	--	--	+1,9	--	6457,12	7183,52	6262,08	6511,49	12444,47	5886,80
YGL225W	--	--	--	--	--	4823,42	6548,07	5249,69	5659,78	6539,06	3359,87
YGL226W	--	--	--	-1,7	--	4007,07	3651,49	4098,86	3552,40	2407,18	3377,81
YGL227W	--	--	+2,1	+1,6	--	11694,89	13087,97	13482,45	24820,29	18476,68	11518,00
YGL228W	-1,5	-1,6	--	+1,5	+2	25570,76	16955,49	15819,49	23506,08	38798,12	50924,26
YGL229C	--	--	--	--	--	12413,98	12856,97	9535,70	10612,39	10920,25	10885,26
YGL230C	--	--	--	--	--	8255,05	8096,72	6165,70	6822,91	5945,54	5718,50
YGL231C	--	--	--	--	--	8760,54	7043,18	7021,16	8248,99	9678,72	6594,32
YGL232W	--	--	--	--	--	9061,08	7716,42	8391,79	7559,89	9187,83	9165,52
YGL233W	--	--	--	--	--	5586,56	4540,94	4418,81	4337,58	5572,61	5413,91
YGL234W	-3,3	-4,1	-4,6	-2,4	-5,3	24396,81	7359,57	5920,18	5337,62	10148,88	4577,92
YGL235W	--	--	--	--	--	3162,87	3030,70	3377,21	2954,36	4530,23	3094,40
YGL236C	--	--	--	--	-3,1	3282,61	3630,41	3369,33	3228,49	3257,90	1073,40



ORF	Änderungsfaktor					Normalisierte Signalintensität					
	10 min	20 min	30 min	16 h	5d	0 min	10 min	20 min	30 min	16 h	5d
YGL237C	--	--	--	--	+2	4673,50	4632,21	3764,70	3816,77	6811,58	9364,66
YGL238W	--	--	+2,8	+1,9	--	12378,65	11184,35	13001,79	34765,15	23012,90	12676,28
YGL239C	--	--	+1,9	+1,7	-1,6	4901,00	5023,70	6933,73	9314,44	8250,65	3057,18
YGL240W	--	--	--	-1,8	-2,8	86796,90	79897,79	60365,28	88393,44	48802,63	30470,56
YGL241W	--	--	--	--	-3,6	3464,42	3123,99	3314,98	3437,06	4003,87	970,23
YGL242C	--	--	--	-1,8	-5	85799,38	117757,98	64912,19	85291,80	48921,54	17308,95
YGL243W	--	--	--	--	--	7981,66	7285,36	8176,31	7615,53	7841,02	6955,14
YGL244W	--	--	--	--	--	8194,99	6746,60	5865,24	5477,37	7792,37	6825,99
YGL245W	--	-1,9	-1,7	--	-1,9	39914,22	29746,73	21123,66	22810,91	33140,59	20643,13
YGL246C	--	--	--	--	--	6602,74	5917,73	5589,12	5239,34	6683,09	5339,10
YGL247W	--	--	--	--	--	4191,91	4005,96	4566,96	4205,05	4291,25	4981,72
YGL248W	--	--	--	--	+3,2	4061,41	3454,89	4019,31	3249,63	5104,77	12918,67
YGL249W	--	--	--	--	--	2702,79	3058,28	2891,64	2584,56	3198,29	2518,15
YGL250W	--	--	--	--	+2,1	12106,26	12056,82	10755,71	12632,74	10174,92	25588,80
YGL251C	--	--	+1,9	--	--	30084,69	25717,03	40774,26	55902,96	35417,92	45100,75
YGL252C	--	-1,6	-2,1	+2,8	-1,8	34142,14	28859,95	21413,41	16114,79	94115,46	19263,08
YGL253W	--	--	--	+2,7	-2,1	21937,54	21463,70	20914,69	26177,00	60098,31	10511,41
YGL254W	--	--	--	--	+1,6	4081,62	3751,46	3977,72	3854,19	5017,53	6596,29
YGL255W	--	--	--	+1,7	--	5177,52	4289,79	4975,66	5038,56	8601,27	5204,16
YGL256W	--	--	--	--	--	6926,15	5565,40	5633,40	4871,27	6975,38	6075,15
YGL257C	--	--	-1,6	--	--	12178,96	10712,23	10381,24	7494,53	14252,84	17310,46
YGL258W	--	--	--	--	--	3981,47	3948,83	4262,16	4331,29	4736,88	5575,33
YGL259W	--	--	--	--	-1,9	4571,71	4512,29	5122,63	5528,90	5569,85	2443,08
YGL260W	--	--	--	--	--	3360,07	3493,95	4137,21	3851,84	4844,11	2342,25
YGL261C	--	--	--	--	+2,6	4235,05	4485,76	4765,62	4916,22	4937,62	10851,02
YGL262W	--	--	--	--	--	3352,92	3525,59	3632,91	3047,94	3375,90	2505,81
YGL263W	--	--	--	--	+1,7	3771,55	4057,84	4166,14	3367,02	4605,22	6353,25
YGR001C	--	--	--	--	--	7494,13	7931,01	6553,59	8498,60	8804,42	7139,55
YGR002C	--	--	--	+1,7	+2	8087,31	6932,67	7854,71	9142,42	14051,09	16394,47
YGR003W	--	--	+2	+3,1	+3,5	14039,59	16939,98	19875,80	27951,22	43716,38	49195,92
YGR004W	-1,5	--	--	--	--	5230,34	3425,45	3621,37	3518,76	4596,58	6542,40
YGR005C	--	--	--	--	--	7631,69	5698,05	5433,66	5352,73	5193,87	6618,95
YGR006W	--	--	--	--	--	8346,26	7429,13	7985,80	6889,24	8374,09	12369,99
YGR007W	--	--	--	--	--	6905,27	6817,84	6760,01	5724,74	7158,01	9698,33
YGR008C	-1,7	--	--	--	+5,5	6469,87	3790,68	4815,73	4627,59	6565,88	35417,12
YGR009C	--	--	--	--	--	4099,66	3223,75	4286,82	3348,94	4372,89	4948,66
YGR010W	--	--	--	+1,7	+2,8	4249,76	4241,95	4700,05	4983,29	7039,46	11856,42
YGR011W	--	--	--	--	--	3483,97	3339,97	4009,97	3124,34	4157,05	2980,78
YGR012W	--	--	--	--	--	3884,91	3818,09	4668,62	3289,68	3845,13	5193,22
YGR013W	--	--	--	--	--	12804,04	11047,79	10298,74	11217,32	12081,35	17824,30
YGR014W	+1,9	+2,8	+4,1	+8,3	+7	149303,29	285089,76	420965,73	612683,58	1232579,40	1047878,78
YGR015C	--	--	--	--	--	10431,48	14562,33	12343,20	13910,49	11591,41	14495,15
YGR016W	--	--	--	--	+2,3	5747,19	5951,05	5391,15	6179,04	8139,03	12999,16
YGR017W	--	--	--	--	--	58953,17	66454,16	48601,89	60058,32	61929,22	54473,64
YGR018C	--	--	--	--	+1,9	13721,27	13559,46	15498,68	14277,94	17085,80	25856,27
YGR019W	--	--	--	--	+3	8989,45	6257,10	6157,54	7042,21	7364,74	27039,76
YGR020C	--	--	--	+1,7	--	7582,26	7091,52	6852,07	7673,17	12565,75	6014,23
YGR021W	--	--	--	--	--	5862,28	4623,79	4775,76	4256,14	5079,65	6370,24
YGR022C	--	--	--	--	+1,6	5617,39	4983,83	5207,62	5065,40	6707,74	8782,64
YGR023W	--	--	+1,5	+2,5	+2,5	3970,16	3571,36	3923,64	6004,50	9825,78	9973,35
YGR024C	--	--	--	--	+2	9357,80	7514,19	10552,19	8308,99	10657,82	18639,24
YGR025W	--	--	--	+2,2	--	3253,36	4488,41	2956,78	3405,15	7113,01	4260,81
YGR026W	+1,7	+2,7	+5,8	+4	--	5263,61	8849,23	14221,56	30572,69	20855,30	7223,82
YGR027C	--	--	--	--	-2	168736,84	190725,47	131088,55	210041,60	148268,80	85335,81
YGR028W	--	--	--	--	--	4695,57	4560,30	3556,07	4523,76	6737,76	5142,52
YGR029W	--	--	--	--	--	10325,36	13252,86	11220,26	13524,02	9768,12	8185,73
YGR030C	--	--	--	--	--	3432,54	4533,24	3507,82	3892,85	2480,56	3101,39
YGR031W	--	--	--	--	--	3882,73	4769,24	3742,01	4278,74	3448,70	3083,98
YGR032W	--	--	--	--	-1,9	2519,51	3253,74	3521,91	3267,52	1900,04	1356,12
YGR033C	--	--	--	+2,1	--	4542,85	5428,54	4398,73	5104,18	9685,37	3347,07
YGR034W	--	--	--	--	--	34575,15	35217,20	25728,04	33943,29	24014,44	25467,15
YGR035C	--	-1,9	--	+1,9	--	3920,99	4262,57	2119,05	3843,11	7359,34	4127,39

ORF	Änderungsfaktor					Normalisierte Signalintensität					
	10 min	20 min	30 min	16 h	5d	0 min	10 min	20 min	30 min	16 h	5d
YGR036C	--	-1,8	--	--	-1,6	7949,08	8632,88	4337,93	7902,82	7230,16	4950,24
YGR037C	--	--	--	--	--	13969,33	14632,89	11381,54	18376,08	11345,84	15587,44
YGR038W	--	--	--	--	--	8728,16	7214,05	6306,51	8370,36	8454,35	9916,71
YGR039W	--	--	--	-2	--	5326,46	5423,99	7372,86	4066,01	2708,71	5605,24
YGR040W	--	--	--	--	--	3478,13	3652,36	3968,84	4726,28	4024,90	3925,81
YGR041W	--	--	--	--	--	5877,33	5297,43	5370,69	4662,14	7476,19	4412,43
YGR042W	--	-3	--	--	+1,6	13252,70	9398,89	4457,80	9177,11	15732,66	21231,76
YGR043C	--	-1,7	--	--	+4,5	23222,11	16872,60	13357,16	16090,09	15768,32	105200,82
YGR044C	--	--	--	--	-1,5	3172,13	3713,77	2991,06	3449,70	4445,27	2075,19
YGR045C	--	--	--	--	--	5847,69	8621,06	4418,28	5201,30	6032,44	4588,04
YGR046W	--	--	--	--	--	4934,19	4930,39	4261,77	4604,72	6050,31	5755,95
YGR047C	--	--	--	--	-1,8	2934,14	3317,37	2630,77	2868,12	3495,23	1648,55
YGR048W	--	-1,5	--	--	--	8548,89	6201,11	5672,88	6023,18	6541,75	11568,60
YGR049W	--	--	--	-2	-1,7	10511,36	10664,55	8685,21	8125,32	5132,64	6124,90
YGR050C	--	--	--	--	--	2988,35	3496,83	3949,14	2911,52	3395,77	2593,54
YGR051C	--	--	--	--	--	3449,97	4006,54	4121,69	3413,08	3193,11	2652,56
YGR052W	--	--	--	+1,8	--	4416,71	5079,51	4312,30	6035,49	8125,20	4190,71
YGR053C	--	--	--	-1,7	--	5249,34	3962,33	3579,82	4188,16	3012,04	6132,33
YGR054W	--	-2,6	--	--	-2,2	105819,28	115367,76	40513,72	108083,11	92017,23	47584,99
YGR055W	--	--	--	--	-2,9	49616,74	44299,12	34715,05	55895,48	34195,83	16863,98
YGR056W	--	--	--	--	--	41212,41	36951,04	29574,14	43998,92	44483,37	34340,94
YGR057C	--	--	--	+1,6	--	8254,26	7907,12	7487,55	8722,43	13591,57	6370,27
YGR058W	--	--	--	--	--	4427,41	4052,98	4160,22	4498,01	4969,31	4301,72
YGR059W	--	--	--	--	--	4487,85	4136,86	4393,84	4119,29	4174,61	6602,29
YGR060W	--	--	--	--	-3,4	4483,58	5401,01	5386,13	5464,98	3728,53	1321,01
YGR061C	--	--	--	--	-2,6	3664,92	3847,32	3423,48	3083,86	3579,76	1392,17
YGR062C	--	--	--	--	--	3446,77	3584,67	3849,94	3442,48	4173,08	3273,40
YGR063C	--	--	--	--	-1,7	6506,30	7064,32	9216,08	8858,11	7787,53	3879,49
YGR064W	--	--	--	--	--	4935,07	4219,54	4727,73	3999,04	4698,69	4038,76
YGR065C	--	--	+1,9	--	--	8251,63	8330,74	7864,15	15987,35	11980,37	6915,88
YGR066C	--	-1,9	--	+1,9	--	7302,97	6446,29	3761,00	5752,20	14134,62	10648,93
YGR067C	--	--	--	+1,9	-2,1	5531,83	4350,05	4602,84	4215,90	10384,57	2671,05
YGR068C	--	--	--	--	--	16778,76	19340,24	17922,18	22452,32	20926,96	19552,44
YGR069W	--	--	-1,6	-1,6	--	18020,24	13901,14	14407,24	11562,55	11028,49	21664,17
YGR070W	--	--	--	--	+1,9	10004,52	9317,62	7325,44	7165,83	8308,39	18605,42
YGR071C	--	--	--	--	--	5469,17	4809,15	4609,98	5002,42	5505,93	5630,82
YGR072W	--	--	-1,8	--	--	13861,72	10749,53	9979,73	7701,27	10563,92	16248,92
YGR073C	--	--	--	--	--	4841,67	4467,02	4688,04	6661,96	6203,28	4564,52
YGR074W	--	--	--	--	--	7195,28	8126,29	8915,58	8342,70	7108,56	8923,33
YGR075C	--	--	--	+1,5	--	3285,96	4353,12	4922,92	4861,82	5049,96	2677,89
YGR076C	--	--	--	--	--	3896,86	3871,98	3874,79	3212,89	3475,07	3549,07
YGR077C	--	--	-1,7	--	+1,8	6645,64	5831,90	5565,71	4026,09	5476,24	12120,18
YGR078C	--	-2	--	--	--	13653,98	12799,21	6963,55	11299,05	18765,73	12814,77
YGR079W	--	--	--	--	+1,6	10173,42	13931,84	11963,30	11272,91	12136,73	16723,77
YGR080W	--	--	--	--	--	9451,79	7389,99	7915,01	7521,23	8988,00	9194,77
YGR081C	--	--	--	+1,9	--	8125,45	9181,48	7830,18	9571,19	15813,53	9816,85
YGR082W	--	--	--	--	--	13887,90	14525,55	10124,51	11106,29	10680,33	14697,17
YGR083C	--	--	--	--	--	13153,83	10768,60	9382,46	8943,94	18293,79	10921,02
YGR084C	--	--	--	--	--	6673,22	6097,27	5213,59	4815,29	6291,85	5501,19
YGR085C	--	--	--	--	-2,8	303722,68	386275,81	261374,21	297601,10	279986,97	108803,92
YGR086C	--	--	--	+2,4	+1,6	79647,23	94797,09	86478,61	82619,92	187879,11	129284,05
YGR087C	--	--	--	--	+11,7	4956,75	5404,82	5687,56	4970,47	5590,34	58054,81
YGR088W	--	--	-1,6	--	+13,9	6874,20	5231,65	6231,05	4297,95	5349,71	95369,30
YGR089W	--	--	--	--	-1,5	7818,43	5422,74	7909,62	6099,13	6314,00	5203,70
YGR090W	--	-2	--	+2,3	--	4083,87	3647,47	1997,71	3557,62	9562,01	5854,64
YGR091W	+1,6	--	--	+2,3	+2,4	13994,34	21762,36	16212,23	19695,97	31876,39	33677,97
YGR092W	--	--	--	--	+2,5	8085,34	7728,25	8433,20	11814,09	8831,79	19921,01
YGR093W	--	--	--	--	--	5768,66	5200,14	4806,85	4775,45	6601,83	5750,44
YGR094W	--	--	--	+1,6	-2,3	78053,60	90544,80	68508,76	93796,54	124368,47	33891,85
YGR095C	--	--	--	--	--	13316,55	14191,69	14211,39	13767,74	15223,20	13477,87
YGR096W	--	-1,5	--	--	--	20916,42	19684,44	13644,72	16017,23	15462,04	29848,97
YGR097W	--	--	--	--	--	27756,87	28107,49	21116,41	24442,03	27192,59	36073,93

ORF	Änderungsfaktor					Normalisierte Signalintensität					
	10 min	20 min	30 min	16 h	5d	0 min	10 min	20 min	30 min	16 h	5d
YGR098C	--	-1,6	-1,7	-2,3	-1,6	32642,33	35536,26	19885,39	19014,02	14197,62	20005,64
YGR099W	--	--	--	--	--	3775,04	3389,86	3986,01	3556,51	4401,24	4515,15
YGR100W	--	--	--	--	+1,6	4925,91	4067,65	4429,76	4464,26	4531,69	8045,51
YGR101W	--	+1,6	--	+1,5	--	3447,60	3187,04	5544,91	4862,71	5257,18	3481,87
YGR102C	--	-5	--	--	-2,8	1308148,09	1090395,15	259680,85	1262267,50	1115099,18	466586,98
YGR103W	--	--	--	--	-1,9	1168376,90	1410890,44	820167,69	848089,23	1082006,64	605823,84
YGR104C	--	--	--	--	--	7928,40	8183,92	7361,63	8207,95	8381,82	8277,36
YGR105W	--	-1,7	-2,1	-1,7	-2,1	55777,49	45639,84	32923,35	26556,45	32912,90	26390,31
YGR106C	--	--	--	+1,9	--	15798,75	15790,17	11858,00	13406,63	29336,05	14394,04
YGR107W	--	--	--	--	--	4177,10	3414,17	3990,58	3702,02	5483,79	3952,96
YGR108W	-1,6	-1,6	-1,8	--	-1,8	9713,00	6158,21	6050,84	5415,16	6920,11	5378,74
YGR109C	--	--	--	--	--	4818,11	4290,21	4466,93	4527,42	4320,84	4428,77
YGR110W	--	--	--	--	+2,5	4349,77	3845,66	5595,86	6208,78	5786,06	11053,45
YGR111W	--	--	--	--	+2,2	19837,07	13577,56	23565,35	22458,06	15852,17	44383,40
YGR112W	--	--	--	--	--	4241,20	4747,00	5769,24	4794,30	4571,84	3747,46
YGR113W	+2,2	+2,8	+3,9	+1,6	+1,7	447769,67	977365,26	1249811,31	1762032,44	722866,88	768777,29
YGR114C	--	--	+1,7	+3,1	+1,8	5127,82	6790,08	6683,55	8625,82	15854,46	8988,99
YGR115C	--	--	--	+4,3	+2,9	8462,37	8661,20	8665,97	11880,68	36451,76	24197,33
YGR116W	--	--	--	--	--	35302,87	33057,90	26578,49	42012,44	34376,30	25980,56
YGR117C	--	-1,7	-1,6	-2	--	6052,28	5039,19	3499,52	3686,53	3044,80	6014,42
YGR118W	--	--	--	--	-1,7	114364,64	126201,64	89057,05	152366,72	123284,18	65917,05
YGR119C	--	--	--	-1,6	-1,6	6873,96	5930,68	4750,29	4740,69	4220,22	4309,42
YGR120C	--	--	--	--	--	3935,49	4582,69	4612,00	4550,50	2674,84	2835,05
YGR121C	--	--	--	--	+2	3605,15	4217,83	4141,63	3929,45	4327,69	7272,14
YGR122W	--	--	--	--	--	2956,25	2909,53	2487,82	3747,58	2720,91	2068,39
YGR123C	--	--	+1,5	--	-1,9	7004,84	8171,73	6749,75	10567,86	8293,25	3692,40
YGR124W	--	--	--	--	-2,5	9559,68	10810,82	6543,48	7819,86	8827,45	3895,48
YGR125W	--	--	--	--	--	6590,86	8070,44	5661,05	8997,71	7522,15	5923,62
YGR126W	+1,5	--	--	--	--	6289,79	9492,66	6609,11	8356,82	7427,77	8818,72
YGR127W	+2,1	--	--	--	+1,8	5254,33	11184,01	3887,18	4746,22	4813,17	9383,47
YGR128C	--	--	--	+1,5	--	4775,84	6272,55	6639,11	7128,08	7262,81	4710,22
YGR129W	--	--	--	--	--	3845,61	4540,83	3755,58	4566,45	4007,17	4257,48
YGR130C	--	-2,1	-2	-1,5	+2	7243,15	4862,96	3471,36	3574,52	4819,69	14315,90
YGR131W	--	--	--	--	--	3033,92	3694,82	3681,50	3543,51	2855,91	3378,27
YGR132C	--	-1,8	-1,6	-2,2	-1,6	15604,30	12594,59	8523,44	9725,50	7200,13	9984,53
YGR133W	--	--	--	--	--	3926,33	5129,04	5552,59	4906,91	2633,85	3712,07
YGR134W	--	--	--	--	-1,8	3362,68	3723,17	4536,42	4043,42	2455,64	1887,67
YGR135W	--	--	--	--	-1,7	8540,63	8661,13	7491,91	12163,61	9731,58	5026,69
YGR136W	--	-1,9	-1,7	--	+1,6	18403,09	13175,30	9742,56	10810,21	12715,58	30136,25
YGR137W	--	-1,5	--	--	--	17166,23	14135,07	11354,09	13061,58	11919,48	22261,23
YGR138C	-1,9	-2,5	-2	+1,6	+2,8	9019,08	4671,39	3660,52	4505,24	14738,07	25203,84
YGR139W	--	--	--	--	-1,7	4141,49	4351,57	4023,77	4678,20	4131,09	2380,79
YGR140W	--	--	--	--	--	6999,11	7133,85	7993,54	6366,45	7225,18	8685,66
YGR141W	--	--	--	--	+1,6	5333,52	4707,81	4648,52	4530,11	4846,15	8435,82
YGR142W	-3	-3,7	-3,8	-2,9	--	21791,52	7255,78	5956,58	5732,00	7543,82	23150,93
YGR143W	--	--	--	--	--	2974,28	3019,19	3348,74	2838,35	3477,81	3604,56
YGR144W	--	--	--	--	+1,6	4050,02	3412,82	4128,56	3265,02	3356,83	6374,95
YGR145W	--	--	--	--	--	4576,69	5616,02	4753,41	4397,12	4357,28	4035,86
YGR146C	--	--	-1,7	--	+2,6	6405,53	4864,13	4725,03	3823,58	4991,43	16911,31
YGR147C	--	+2,4	+2,7	+1,9	--	9186,43	12448,82	22096,68	25227,77	17419,03	8231,66
YGR148C	--	--	--	--	-2,1	148882,65	156421,11	136561,42	200763,78	133302,25	70572,81
YGR149W	--	--	--	--	--	12621,14	10534,71	9281,61	9857,43	9832,63	18399,53
YGR150C	--	--	+1,7	+7,6	+1,9	24317,63	27363,65	27217,57	42099,70	185700,42	45212,83
YGR151C	--	--	--	--	-1,8	6469,52	6634,73	6270,16	7704,22	7505,93	3680,60
YGR152C	--	--	--	--	-1,8	7211,35	6109,85	7191,80	7207,89	8368,25	4083,86
YGR153W	--	--	--	--	--	9418,47	7300,24	7776,84	7872,34	7094,55	10347,98
YGR154C	--	--	--	--	--	3261,87	3383,33	3305,00	3069,78	3280,82	4545,56
YGR155W	--	--	-1,6	--	-2,2	10110,66	9259,09	7112,38	6364,34	10126,27	4619,16
YGR156W	--	--	--	--	--	5739,40	6328,66	6756,04	6545,33	6237,21	5700,93
YGR157W	--	--	--	--	-1,8	3666,07	4062,95	3719,79	3630,71	4741,51	2038,12
YGR158C	--	--	--	--	-1,7	8983,53	8103,60	6370,98	6577,04	7963,87	5259,94
YGR159C	--	+1,7	+3,6	+3,4	-2,1	21732,13	29261,27	36145,58	77666,10	73803,04	10197,22

ORF	Änderungsfaktor					Normalisierte Signalintensität					
	10 min	20 min	30 min	16 h	5d	0 min	10 min	20 min	30 min	16 h	5d
YGR160W	--	-1,7	-1,9	+3,5	-1,7	21793,24	19439,58	12923,51	11251,21	76108,27	13055,52
YGR161C	--	--	--	--	--	5027,40	5599,73	5366,99	5342,52	7471,36	5185,88
YGR162W	--	--	--	--	-1,8	5959,97	4346,71	4361,76	4714,74	8597,08	3323,21
YGR163W	--	--	--	--	--	6461,42	5303,91	6306,38	5383,84	8761,99	8668,48
YGR164W	--	--	--	--	-1,8	3407,80	3068,65	4242,40	3364,45	4377,52	1849,56
YGR165W	--	--	--	--	--	8016,81	8571,54	8058,79	7525,92	6724,42	9018,69
YGR166W	--	--	--	--	--	3579,71	3760,45	3570,90	2967,41	4240,58	2462,74
YGR167W	--	+1,7	+2	--	+1,8	72727,08	83645,32	123187,98	143867,35	94510,71	128104,03
YGR168C	--	+1,6	--	--	--	3170,14	2730,39	4931,78	3093,62	3708,41	3334,02
YGR169C	--	--	--	--	+1,8	9093,49	10954,32	9470,07	10813,42	16416,21	6571,68
YGR170W	--	--	--	--	+1,6	3450,21	3000,65	3636,49	3562,98	5420,03	3195,52
YGR171C	--	--	--	--	--	5156,34	3773,73	4572,22	3933,09	6495,92	5634,50
YGR172C	--	--	--	--	--	4524,81	3965,33	4559,85	4123,05	5916,38	4584,38
YGR173W	--	--	--	--	--	17139,94	18534,09	15228,20	12595,45	18699,91	14690,54
YGR174C	--	--	--	--	+3,8	5324,11	4665,58	5163,80	5132,14	5720,00	19995,00
YGR175C	--	--	--	--	--	67627,55	61618,63	56400,72	52315,06	79248,26	68640,56
YGR176W	--	--	--	--	--	5001,79	5195,54	6720,25	5147,47	4732,73	7233,05
YGR177C	--	--	--	--	+2,6	3833,77	3152,57	3947,53	3435,50	3845,69	9893,76
YGR178C	--	--	-1,6	--	--	6335,73	4668,50	5140,84	3991,53	5416,29	7410,36
YGR179C	--	+1,7	--	--	+1,6	3895,22	5540,17	6709,34	5664,16	5505,80	6147,34
YGR180C	--	--	--	--	+2,2	11898,52	12479,15	11512,71	10991,57	25640,34	14703,14
YGR181W	--	+1,6	+2,1	+3,9	+5,2	46246,72	56896,19	72937,11	97930,83	182097,67	241770,40
YGR182C	--	--	+2,1	+1,8	+5,3	11711,21	14887,71	15929,84	24102,59	20592,74	62384,81
YGR183C	--	--	--	+1,9	+5	15605,22	14309,97	14413,65	18536,48	29572,13	78743,03
YGR184C	--	--	--	--	--	5421,82	5363,30	4975,20	4870,94	4772,27	4533,67
YGR185C	--	--	--	--	-2,9	19245,40	19829,45	18007,24	16035,95	20928,50	6532,06
YGR186W	--	--	--	--	+1,7	48800,83	45394,43	56071,80	47294,78	40199,18	84797,94
YGR187C	--	--	--	--	-1,6	7184,10	7756,19	6610,17	6740,05	7617,64	4516,46
YGR188C	--	--	--	--	+3,5	8759,01	9040,95	8752,15	7562,48	13122,51	31079,08
YGR189C	--	-1,6	-2,4	--	--	13940,57	12276,58	8666,14	5776,45	16535,15	10875,94
YGR190C	--	--	--	+1,5	--	3853,27	3946,79	3911,44	3624,73	5798,98	4550,80
YGR191W	--	--	--	--	--	3714,27	3770,99	4862,92	4317,87	5301,81	4185,15
YGR192C	--	--	--	--	-1,8	2937579,23	2877882,65	2230107,72	2156818,10	2520696,50	1613345,93
YGR193C	--	--	--	--	--	145647,34	173024,78	114881,68	128191,98	155652,62	107336,41
YGR194C	+1,7	--	--	--	-2,1	103169,77	174363,53	111843,05	114701,47	94752,47	48651,99
YGR195W	--	--	--	--	--	13377,05	13584,98	12684,25	9971,27	12557,80	12548,19
YGR196C	--	--	--	--	--	8010,58	7129,27	5844,24	6122,64	9226,78	11186,82
YGR197C	--	--	--	--	--	4704,08	3960,85	4473,46	3976,60	4527,27	5951,56
YGR198W	--	--	--	--	--	5519,46	4440,22	5215,21	4980,24	6022,29	5059,39
YGR199W	--	--	--	--	+1,9	4322,04	3865,23	5124,80	4373,46	8065,28	4670,00
YGR200C	--	--	--	-1,8	-1,5	24613,29	27464,45	23900,72	26029,90	13673,64	15892,87
YGR201C	--	--	--	--	+6,7	5073,57	4185,18	5384,42	5532,73	6548,12	33950,18
YGR202C	--	+1,6	+1,7	--	+1,7	6503,12	6557,99	10126,91	10880,50	8869,82	10916,25
YGR203W	--	--	--	--	+1,9	18889,73	16281,27	22369,75	22041,19	17034,22	35385,29
YGR204W	--	--	--	--	-2	23553,31	16958,49	22122,60	28867,93	25956,66	11628,66
YGR205W	--	--	--	--	--	4783,68	4871,22	4066,66	5244,66	6924,89	4593,83
YGR206W	--	--	--	--	+1,7	5942,41	6407,52	4029,99	6536,64	5477,52	9925,64
YGR207C	--	-1,8	--	-2,7	--	74651,14	60829,52	41968,25	60243,56	27194,44	98729,44
YGR208W	--	-1,7	--	-1,7	-2,8	6610,39	5587,31	3862,32	4450,92	3790,97	2365,50
YGR209C	--	--	--	--	+4,3	24947,51	19901,28	17451,92	24632,59	24024,53	107998,10
YGR210C	--	--	--	--	--	8919,99	7709,86	6800,28	8164,00	6688,04	10630,69
YGR211W	--	--	--	--	--	7820,08	8089,60	5709,00	7379,51	8036,70	5513,34
YGR212W	--	--	--	--	--	7200,00	6546,47	5464,16	6240,34	5995,90	10218,08
YGR213c	--	--	--	--	--	3215,68	3626,80	3384,42	3865,59	2445,34	3962,79
YGR214W	--	-1,5	--	--	-3,8	61237,40	51441,10	39787,10	43005,36	42156,18	16218,67
YGR215W	--	--	--	--	--	6055,34	6309,43	6015,91	6776,24	4772,09	8336,01
YGR216C	--	--	--	--	+1,9	4979,54	5292,57	3850,25	5483,56	5816,57	9251,10
YGR217W	+2,1	--	-7,5	-10,2	+2	27361,59	56838,24	29049,23	3665,16	2681,93	54773,98
YGR218W	--	--	--	--	--	3765,79	4374,20	2891,94	4059,93	4244,02	4649,97
YGR219W	--	-1,5	--	-1,6	--	3690,06	3627,68	2397,19	3024,11	2372,42	4793,25
YGR220C	--	-1,6	--	-1,5	+1,7	11580,52	10463,34	7263,31	10624,79	7648,30	19493,69
YGR221C	--	--	--	--	+1,9	3699,28	3827,76	3264,95	3709,95	4470,37	7205,56

ORF	Änderungsfaktor					Normalisierte Signalintensität					
	10 min	20 min	30 min	16 h	5d	0 min	10 min	20 min	30 min	16 h	5d
YGR222W	--	--	--	--	-1,9	67677,38	81982,38	52143,26	70412,45	68097,74	35002,54
YGR223C	--	--	--	--	+3,4	5181,57	5904,15	4562,62	5141,28	5039,37	17638,53
YGR224W	--	--	--	--	-1,8	2762,26	3643,42	2961,75	3216,40	2406,37	1538,31
YGR225W	--	+1,8	--	-2,1	-2,3	4961,33	7352,26	9126,19	6405,83	2322,10	2149,77
YGR226C	--	--	--	--	+1,5	5116,14	5773,79	5343,07	5934,04	4206,77	7839,17
YGR227W	--	--	--	-2	-1,7	3459,68	3915,52	3687,24	3741,87	1719,25	2018,90
YGR228W	--	-2,1	--	--	--	16628,49	11427,01	8070,71	11549,55	17078,03	15521,10
YGR229C	--	--	--	--	-1,9	6312,18	6900,64	4552,99	5732,02	6926,15	3268,00
YGR230W	--	--	--	--	--	6501,25	5747,57	5816,83	7003,39	4767,77	7794,76
YGR231C	--	-1,9	--	-2,2	--	27584,51	20100,36	14252,51	18465,74	12593,12	33335,48
YGR232W	--	--	--	--	+2	9903,82	10532,60	9971,19	10493,68	10443,63	19522,74
YGR233C	--	--	--	--	+5,1	12515,44	10091,87	10567,31	12075,63	13518,83	64025,24
YGR234W	--	-2,4	-2,2	-3,9	-4,1	133751,09	90891,19	55217,94	60399,21	34140,35	32691,57
YGR235C	--	--	--	--	+6,9	8328,34	8251,96	6721,26	7815,71	8613,92	57862,19
YGR236C	--	--	--	--	+11,6	3102,50	4493,41	3674,51	3658,61	2871,25	362316,04
YGR237C	--	--	--	--	--	3509,01	3843,38	4139,96	3460,51	4033,08	4958,17
YGR238C	--	--	--	--	--	5403,39	5747,94	6609,78	6192,48	6266,81	6874,19
YGR239C	-1,5	--	-1,6	-1,9	+2,1	5005,43	3251,99	3628,19	3201,19	2654,05	10352,40
YGR240C	-1,7	-3	-2	--	--	10378,44	6187,94	3492,82	5159,85	13286,43	8395,72
YGR241C	--	--	--	--	--	5738,68	6437,32	4383,02	5039,14	6735,18	6788,72
YGR242W	--	--	--	--	-3,2	7502,92	5740,13	5475,74	6253,87	5068,40	2321,93
YGR243W	--	--	--	+1,8	+6,1	4403,02	5095,58	4664,77	5048,83	7962,31	26835,85
YGR244C	-1,6	-2	-1,9	--	--	18080,63	11141,94	9153,70	9452,03	12115,80	22218,07
YGR245C	--	--	--	--	--	10275,50	10853,34	12851,45	13681,24	14118,60	12328,00
YGR246C	--	--	--	--	--	14697,99	18332,78	21685,36	17865,61	11670,03	21709,94
YGR247W	--	--	--	--	--	7326,27	7290,96	6049,78	5345,45	7848,82	8572,74
YGR248W	--	--	--	--	+10,3	4458,84	3553,97	3875,03	3366,71	4442,84	45832,71
YGR249W	--	--	--	--	-1,6	5113,94	7262,65	6869,77	5772,14	5235,66	3179,70
YGR250C	--	--	--	--	+1,8	4031,16	3554,59	3296,59	3296,38	4754,96	7391,39
YGR251W	--	--	--	+2,4	--	4302,49	5819,46	5360,66	6394,29	10429,27	3277,67
YGR252W	+1,6	--	--	+2	--	2829,14	4505,16	2983,64	3194,79	5557,29	1951,12
YGR253C	--	--	--	--	+1,9	35869,75	39023,13	30946,34	29214,06	33433,25	68984,51
YGR254W	--	--	--	--	-1,8	396235,29	384154,25	265023,47	315598,46	351052,29	225065,87
YGR255C	--	-1,5	-1,6	--	--	5243,83	3881,60	3398,39	3280,23	4794,22	7443,33
YGR256W	--	--	--	--	+12,6	3630,24	3363,92	3028,23	3154,36	4146,85	45706,23
YGR257C	--	--	--	--	--	7447,04	5504,08	5803,25	6279,96	5139,74	9220,84
YGR258C	--	--	--	--	--	4356,56	3183,81	3566,27	3394,32	4079,83	6303,23
YGR259C	--	--	--	+1,5	--	4392,45	4325,14	4519,40	3893,99	6768,63	5965,75
YGR260W	--	--	--	--	--	4344,05	4060,62	4125,78	4144,65	5682,41	3483,65
YGR261C	--	--	--	--	--	4767,91	5168,94	5620,80	5314,03	6120,81	4368,40
YGR262C	--	--	--	--	-1,6	4285,06	3991,71	3951,94	3759,91	4611,66	2666,04
YGR263C	--	+1,6	+2,3	+1,9	--	3296,32	4494,10	5126,53	7519,83	6393,05	2679,14
YGR264C	--	-3	-2,2	--	--	20449,90	14887,34	6876,36	9481,38	17915,24	20729,55
YGR265W	--	--	--	--	--	35322,60	39767,64	36475,04	33564,58	38400,43	52051,78
YGR266W	--	--	--	+1,9	--	10817,10	11620,87	11026,75	11893,34	20585,66	13498,24
YGR267C	--	--	--	+3	+1,8	13615,03	16316,56	15015,96	17171,62	40364,84	25151,57
YGR268C	--	--	--	+2,3	+2	7390,43	6269,69	6384,61	5728,09	16890,51	14590,91
YGR269W	--	--	--	--	--	3967,09	4726,76	4362,26	5664,53	5729,65	5038,38
YGR270W	--	--	-2	--	--	46381,78	55819,91	41140,17	23386,59	53396,52	66828,79
YGR271W	--	--	--	--	--	7661,66	6635,34	5741,68	6676,33	7859,29	10139,69
YGR272C	--	--	--	+1,6	--	5620,90	6953,77	6363,24	6380,55	8889,92	4867,76
YGR273C	+1,5	--	--	--	-3,2	20397,43	30886,47	28926,74	27868,46	21947,71	6324,64
YGR274C	--	--	--	--	-1,6	2705,49	2728,65	3196,23	2752,65	3601,27	1690,05
YGR275W	--	--	--	--	--	5566,75	6404,28	7013,22	6465,41	7211,28	5567,83
YGR276C	-1,8	-2,1	-1,9	--	--	9987,03	5663,73	4718,68	5148,39	7049,99	11645,95
YGR277C	--	--	--	--	--	9634,90	8838,42	10373,47	10528,94	10458,80	10182,40
YGR278W	--	--	--	--	--	6412,57	4869,54	5267,81	5470,49	6616,91	6722,10
YGR279C	--	-1,7	--	+2	-3,1	34963,41	29878,46	20498,84	30511,53	68287,51	11379,58
YGR280C	--	--	--	+1,9	--	34216,94	25772,96	37571,00	25968,90	65998,64	32307,76
YGR281W	--	--	--	+1,5	+1,8	21299,11	20770,99	26919,03	23694,65	32608,93	38571,27
YGR282C	--	--	-2,1	--	+1,7	109822,47	133414,03	121413,40	52725,38	163029,03	188011,70
YGR283C	--	--	--	--	--	14911,13	14052,46	13835,76	12747,99	15383,66	15281,69

ORF	Änderungsfaktor					Normalisierte Signalintensität					
	10 min	20 min	30 min	16 h	5d	0 min	10 min	20 min	30 min	16 h	5d
YGR284C	--	--	--	--	--	6260,69	6557,87	5425,15	5305,78	8416,61	8612,67
YGR285C	--	--	--	--	-3,4	44326,89	58305,66	48627,56	37313,52	41532,82	13136,54
YGR286C	--	-1,8	-10	-7,8	--	30416,36	26076,30	16661,16	3028,58	3923,10	43169,77
YGR287C	--	--	--	--	--	4048,05	3605,85	5228,60	3712,32	4037,28	4188,99
YGR288W	--	-2,4	--	--	-1,6	25284,48	20132,01	10447,48	17855,38	19179,85	16040,56
YGR289C	--	--	--	--	--	5218,00	4729,42	4918,84	4591,36	6398,83	4141,02
YGR290W	--	--	--	-1,7	--	76522,25	84948,55	58313,57	56630,82	45835,72	51405,71
YGR291C	--	--	--	--	--	49150,84	49952,08	40052,24	34053,44	67080,89	61696,83
YGR292W	--	--	--	--	--	6420,57	5178,43	4876,67	5317,98	6288,86	4889,29
YGR293C	--	--	--	--	--	7015,69	6666,49	6997,89	6572,25	6044,87	8122,08
YGR294W	--	--	--	--	+3,8	8127,68	7872,33	9048,22	11724,01	10995,65	31025,34
YGR295C	--	--	--	+1,6	+3	13609,39	11009,24	9427,15	10064,67	21220,29	41257,99
YGR296W	-1,8	--	-1,7	-1,7	--	9425,46	5189,28	6379,35	5397,93	5525,04	6758,52
YHL001W	--	-1,8	--	-1,6	-2,4	160257,90	134754,27	90832,63	152766,78	102601,27	66939,82
YHL002W	--	-1,6	--	--	--	10235,08	8990,66	6443,57	7985,17	8191,63	14217,65
YHL003C	--	-2	-1,6	-1,8	--	16411,90	12222,64	8135,24	10116,12	9348,94	11913,02
YHL004W	--	--	-1,6	-1,6	--	11747,71	9610,49	8397,06	7466,62	7435,43	8041,85
YHL005C	--	--	--	--	--	4165,02	4035,77	3571,45	4093,29	2921,38	3580,49
YHL006C	--	--	--	-1,6	+2,2	14630,50	11108,86	10077,05	11710,68	9062,41	32297,02
YHL007C	--	--	--	--	+1,8	13642,67	14513,83	11136,60	12032,24	17479,64	24319,59
YHL008C	--	--	--	--	--	6169,39	7517,06	5412,70	5596,50	4981,08	9220,15
YHL009C	--	--	+1,6	--	--	6591,66	8478,31	7705,10	10415,74	6227,24	9034,20
YHL010C	+2,4	--	--	--	--	4499,25	10999,53	3853,61	5229,71	4054,70	5244,30
YHL011C	--	-1,5	--	--	--	11346,90	11452,10	7548,05	8653,00	7977,91	7943,33
YHL012W	--	-2	--	-1,8	-2,2	48374,03	48993,72	24700,69	44605,90	27453,61	22019,17
YHL013C	--	--	--	--	--	7063,80	8347,43	5949,79	7521,87	6839,44	6280,96
YHL014C	--	--	--	--	+1,8	5851,49	5008,09	4073,93	4446,55	4589,31	10420,31
YHL015W	--	--	--	--	-2,1	132847,29	133771,50	104405,58	132103,17	114621,59	62233,26
YHL016C	--	--	--	--	--	2740,70	3388,59	2812,18	3029,06	2305,27	2258,74
YHL017W	--	--	--	--	--	5922,76	6726,83	5747,36	5993,92	5108,67	4200,62
YHL018W	+1,5	--	--	--	-3,7	2937,65	4435,71	4001,41	4117,13	2366,17	790,01
YHL019C	-1,5	-1,7	--	-2,1	--	6848,22	4443,97	4050,32	4676,24	3252,13	7734,69
YHL020C	--	--	--	--	--	5649,35	5270,40	4977,40	4812,55	5138,49	8238,90
YHL021C	--	-1,6	--	--	--	6281,30	5001,28	3960,01	4967,69	7151,78	5558,42
YHL022C	--	--	--	--	--	3359,28	3785,21	3119,73	3785,44	3874,03	3435,56
YHL023C	--	--	--	--	--	3624,23	3445,28	2668,73	3369,79	3062,27	3083,40
YHL024W	--	--	--	--	--	4737,01	5197,91	3928,78	4556,97	3698,00	4061,02
YHL025W	--	--	--	-1,8	+1,6	14779,86	13336,36	11368,70	13685,92	8046,12	23122,61
YHL026C	--	--	--	-2,7	--	35194,53	35360,20	34601,45	27115,99	13044,26	33863,63
YHL027W	--	-2,1	-2	-3,2	-1,7	43866,42	34459,25	21337,13	21618,34	13697,84	25488,22
YHL028W	--	--	--	--	--	3936,12	3685,90	3514,91	3384,80	4059,73	5342,44
YHL029C	--	--	--	--	+1,8	4148,12	4830,53	4017,34	4059,18	5529,30	7302,26
YHL030W	--	+1,6	+2	+2,9	+2,6	4311,08	6388,77	7034,52	8583,28	12457,20	11130,62
YHL031C	--	--	--	--	+2	9886,88	8693,01	6891,49	8727,41	8706,72	19998,50
YHL032C	--	-1,7	-1,5	--	+2,5	7663,71	5720,74	4635,04	5040,64	6864,45	19210,62
YHL033C	--	--	--	-1,8	-5,6	344788,00	279726,61	241542,37	245676,23	191640,39	61381,88
YHL034C	--	-2,2	-1,7	--	-1,8	31052,50	23293,52	13896,46	18787,25	23326,54	17048,94
YHL035C	--	--	--	--	--	25163,66	31696,88	29856,09	24048,53	19525,79	19052,98
YHL036W	-1,6	-1,5	-1,5	--	+1,6	6946,86	4398,05	4482,84	4526,11	4852,30	10957,84
YHL037C	--	--	--	--	--	3284,22	3987,25	4185,48	4214,88	3584,31	2225,38
YHL038C	-1,5	-1,9	-1,7	--	--	8320,45	5491,11	4484,17	4958,03	7975,51	6272,46
YHL039W	--	--	--	--	--	6552,96	6491,50	5558,74	5442,56	9101,41	5608,85
YHL040C	--	--	--	--	--	2931,95	3297,99	3264,05	2698,13	3702,94	2692,68
YHL041W	+1,5	--	--	--	-3,7	3046,91	4631,68	3868,44	3493,20	3088,65	832,75
YHL042W	--	--	--	--	--	3166,45	3539,44	3458,38	3424,97	3200,18	2343,97
YHL043W	+2,1	--	--	--	--	3370,78	7242,13	3371,78	4534,93	4057,88	2647,38
YHL044W	--	-1,6	--	--	+1,5	18130,61	13683,65	11206,84	13598,85	16955,46	27208,42
YHL045W	--	-1,8	-1,8	--	-2,7	59327,92	46669,55	33260,50	33145,78	40690,78	22379,21
YHL046C	--	-1,9	--	-1,6	--	52593,20	55014,19	27669,01	35200,55	32026,96	41740,13
YHL047C	--	--	--	--	--	3724,12	3372,36	3262,36	3594,13	4480,25	4750,66
YHL048W	--	--	--	--	+1,6	5759,38	4496,03	4853,01	5412,67	7734,42	9376,98
YHL049C	--	--	--	--	--	35817,09	48678,68	38182,99	29340,64	29408,02	24100,00



ORF	Änderungsfaktor					Normalisierte Signalintensität					
	10 min	20 min	30 min	16 h	5d	0 min	10 min	20 min	30 min	16 h	5d
YHL050C	-1,6	--	--	--	+2,6	36825,85	22685,42	28930,75	25407,82	30449,60	94000,23
YHR001W	--	--	--	--	--	7441,51	6197,27	6140,19	5925,72	7283,98	9762,35
YHR002W	--	--	--	--	--	3509,21	3056,89	3502,36	3377,51	2983,32	4629,10
YHR003C	--	--	+1,6	--	--	5850,09	6498,19	5845,06	9140,90	7019,46	6129,34
YHR004C	--	--	--	--	--	7890,28	6832,76	6105,96	5944,59	11226,23	10407,16
YHR005C	--	--	--	--	-2,1	43593,96	42584,13	31068,80	36316,25	46820,40	21025,48
YHR006W	--	--	--	+2	+2,4	5377,85	5401,82	5927,21	5401,06	10573,40	12733,43
YHR007C	--	--	-3	+2	-2	45337,67	45160,73	34032,99	14970,95	89708,16	22847,45
YHR008C	-1,5	-2	--	--	+5,9	27606,20	23235,25	17952,04	13507,89	39668,29	161895,42
YHR009C	-1,6	-2,6	--	--	--	40888,61	41442,95	25787,76	15708,87	40106,58	58908,37
YHR010W	--	--	--	--	-3,4	182594,43	144231,50	146880,39	155702,94	139992,39	53640,42
YHR011W	--	--	--	--	-2,6	29522,19	39149,56	31798,58	31545,75	22493,96	11304,47
YHR012W	--	--	--	--	-1,6	14010,32	18024,58	16059,03	14706,79	10846,78	8550,58
YHR013C	--	--	--	--	-1,8	5787,67	7069,95	5983,41	5873,31	6444,88	3280,28
YHR014W	--	--	--	--	--	5310,76	6856,68	6571,30	6688,67	6492,91	6657,52
YHR015W	--	--	--	--	--	7305,93	5593,05	5686,42	6716,78	7045,14	7319,00
YHR016C	--	--	--	--	--	4577,90	4218,32	4482,83	4509,24	5815,90	6525,12
YHR017W	--	--	--	--	+1,5	5590,02	4972,78	5066,13	4908,62	7360,24	8406,46
YHR018C	--	--	-1,7	-1,7	--	24298,15	18721,94	16593,54	14229,08	14104,79	18827,96
YHR019C	--	--	-1,6	--	-3,5	65384,34	54749,24	61779,18	41732,23	71032,68	18924,27
YHR020W	--	--	-1,5	--	-2,2	26933,13	25725,60	18855,02	17772,09	30689,94	12438,42
YHR021C	--	--	--	-1,6	-1,7	118141,74	140772,64	120844,81	84552,48	71840,78	68540,66
YHR022C	--	--	--	--	-2,3	14677,45	21576,41	13990,38	13464,37	10398,07	6370,47
YHR023W	--	--	--	-1,6	-2,9	11952,84	12650,98	10259,01	9605,43	7432,67	4190,29
YHR024C	--	--	--	--	--	5355,08	4556,94	5375,39	4364,17	6354,82	5609,74
YHR025W	--	+1,7	--	+1,6	--	3237,88	2924,93	5574,46	2991,34	5329,62	4462,34
YHR026W	--	--	--	--	-1,8	34339,51	32724,37	25194,28	29427,32	32255,26	19167,25
YHR027C	--	-1,7	-1,8	--	+1,9	33550,66	29826,18	19870,89	18910,02	24212,67	62195,89
YHR028C	--	-1,6	--	--	--	17394,95	15255,22	10921,73	12951,31	12921,88	19155,25
YHR029C	--	--	--	--	--	8808,64	8757,91	6714,70	6682,95	10101,80	11345,08
YHR030C	-1,6	-1,9	-1,9	+2,5	+2,5	21943,65	13718,10	11735,43	11322,33	55309,44	54327,47
YHR031C	--	--	--	--	--	5268,91	5143,21	5144,19	5567,29	5218,27	7608,61
YHR032W	--	--	--	--	--	15474,58	12926,68	11343,19	11498,85	13770,30	11606,68
YHR033W	--	--	--	--	+4,4	5221,74	4662,34	5886,44	4814,36	6065,33	22792,10
YHR034C	--	--	--	--	+3,3	7489,68	7461,76	7870,11	6131,01	6598,49	24396,65
YHR035W	--	--	--	--	--	3458,29	2908,29	3742,26	3557,60	4507,54	5119,84
YHR036W	--	--	--	--	--	4395,23	4845,11	5374,98	5024,88	5678,60	5149,75
YHR037W	--	+1,8	+1,7	--	-1,7	28222,76	33620,12	50676,18	47806,63	41328,29	16430,67
YHR038W	--	--	--	--	--	6435,77	6190,16	5396,45	7337,32	6808,24	6280,17
YHR039B	--	--	--	--	+2	32597,42	37962,36	27472,00	45310,09	31236,35	66574,11
YHR039C	--	-1,5	--	-1,9	-1,6	5648,62	4504,91	3647,67	4396,06	2897,85	3632,08
YHR040W	--	--	--	--	+1,7	11642,06	10372,25	8874,38	10568,67	8022,06	19611,06
YHR041C	--	--	--	--	--	17740,48	18534,30	15184,79	21443,15	12108,53	18658,75
YHR042W	--	--	--	+3,2	+3,3	42227,47	40105,22	32699,85	31298,82	134799,45	139430,31
YHR043C	--	--	--	--	--	10259,67	13132,06	9461,60	10993,76	10737,38	9247,16
YHR044C	--	--	--	--	--	5229,29	4833,69	4785,49	5308,65	4471,00	5162,33
YHR045W	--	--	--	--	--	7215,18	7980,62	5893,31	7267,14	6690,22	8563,97
YHR046C	--	--	--	-1,7	--	5704,52	6237,12	5309,84	5034,72	3384,12	7257,24
YHR047C	--	--	--	-1,5	-2,6	9130,42	9359,49	8135,48	9923,39	6038,34	3525,56
YHR048W	--	--	--	-1,9	-1,5	35053,78	34229,03	26678,86	26603,19	18157,97	22819,96
YHR049W	--	-2,2	--	--	+1,7	16277,59	15024,02	7520,23	11368,94	11251,14	27290,18
YHR050W	--	-1,8	--	-2	--	26852,22	20471,54	15158,46	23274,62	13436,82	33368,50
YHR051W	--	--	--	--	--	2706,21	3064,05	2583,10	3118,21	2368,00	3278,70
YHR052W	--	--	--	--	-1,9	8664,32	8562,71	6286,73	6653,75	6162,43	4458,91
YHR053C	-2,1	-1,8	--	--	+15,3	77748,40	37672,92	42626,35	68201,48	106130,21	1185756,60
YHR054C	--	--	--	--	+4,9	6577,63	6720,53	6093,94	7606,22	7796,27	31925,81
YHR055C	-1,6	-1,9	--	--	+17,3	71031,88	43332,32	38314,77	62308,12	100773,78	1229336,39
YHR056C	--	--	--	--	+1,8	5806,19	7173,48	5830,69	6014,67	5533,89	10660,68
YHR057C	--	--	--	--	--	15767,46	18122,94	16245,10	17400,00	11711,55	14635,35
YHR058C	--	--	--	-1,9	-1,7	5255,97	5077,25	4698,32	4633,52	2775,78	3072,67
YHR059W	--	-2	-1,8	--	--	10031,25	9094,19	4987,31	5469,17	8955,88	10212,08
YHR060W	--	--	--	--	+1,6	7485,46	7333,09	5347,68	7511,14	8521,66	11942,21



ORF	Änderungsfaktor					Normalisierte Signalintensität					
	10 min	20 min	30 min	16 h	5d	0 min	10 min	20 min	30 min	16 h	5d
YHR061C	--	-1,6	--	--	-2,1	10710,92	10113,70	6767,62	9381,60	7584,48	5129,06
YHR062C	--	--	--	--	-1,5	15254,45	16207,19	12078,49	12835,39	10851,93	10085,08
YHR063C	--	--	--	--	-2,7	9392,97	8738,22	8677,63	9394,04	6506,90	3528,14
YHR064C	+2	+2,7	+2,5	--	--	31486,69	61678,79	83776,66	79798,11	29463,09	47125,62
YHR065C	--	--	--	--	-1,7	10236,49	9705,70	7263,16	7015,65	7204,95	5921,30
YHR066W	--	--	--	--	+1,7	5833,50	6234,97	6019,28	5098,24	5620,72	9639,04
YHR067W	--	--	--	--	+1,6	4193,39	5244,06	5382,68	4562,00	4618,92	6815,60
YHR068W	--	--	--	--	+4,3	11589,27	11829,43	12256,03	12110,42	50183,86	7332,79
YHR069C	--	--	--	--	--	6161,46	6777,54	4933,23	5648,70	6126,44	8991,11
YHR070W	-2,3	-4,5	-3	-1,7	--	25351,31	11016,50	5584,73	8504,44	14510,86	19188,94
YHR071W	-1,9	-1,8	--	-2	--	23749,31	12498,60	13559,60	17909,89	11924,56	19052,92
YHR072W	--	--	--	--	-1,5	7752,42	5704,47	5302,76	6027,92	5415,17	5146,69
YHR073W	--	+1,7	+1,9	+3,6	+3,5	21170,20	22999,31	35253,08	39919,59	76039,13	74857,31
YHR074W	--	-1,7	--	--	--	9504,12	7112,08	5474,42	6366,66	8915,50	9590,12
YHR075C	--	--	--	--	+2,8	5759,16	5735,75	6309,13	5637,49	5895,63	16221,45
YHR076W	--	--	--	--	--	6696,49	7319,86	5970,05	5110,98	8114,13	8532,90
YHR077C	--	--	--	--	+2,7	10366,72	8131,83	8378,01	9405,87	10930,55	27703,16
YHR078W	--	--	--	--	--	4693,21	5321,91	5858,85	5480,79	5888,29	3295,95
YHR079B	--	--	--	--	-1,5	7553,47	9102,15	8876,92	8692,37	6246,87	5003,51
YHR079C	--	--	--	--	-1,6	2888,74	2925,46	3126,40	2573,88	2375,50	1780,64
YHR080C	--	--	--	--	+4,3	28621,83	27708,80	20063,88	33048,98	122168,74	55458,11
YHR081W	--	--	--	--	+1,8	41360,77	38863,03	39530,39	44801,94	56402,23	73899,51
YHR082C	--	--	--	--	-2,1	296023,47	302966,72	302009,31	323893,79	249902,25	138158,83
YHR083W	--	--	-1,5	--	--	11285,85	8772,97	8460,20	7361,89	8916,28	10216,07
YHR084W	--	--	--	--	+1,8	3848,92	3703,21	3828,57	3908,94	6999,99	2931,47
YHR085W	--	--	--	--	-1,7	3036,28	2729,06	2994,55	3524,59	3188,38	1756,53
YHR086W	--	-1,6	-1,9	--	-2,8	19444,88	17047,41	12490,15	10496,86	18075,13	7052,58
YHR087W	-3	-3,3	-3,4	--	+7,7	16120,79	5322,08	4945,88	4807,30	15048,44	123461,56
YHR088W	--	--	--	--	--	6188,58	7402,49	7436,15	6251,57	6670,65	4651,34
YHR089C	+1,6	--	+1,5	--	-2,8	11444,17	18187,23	16734,55	17416,28	13982,91	4034,18
YHR090C	--	--	--	--	--	3705,07	3633,22	4035,18	4442,69	4411,00	4354,15
YHR091C	--	--	--	--	--	2900,08	2829,40	3272,49	2641,82	2837,54	2517,98
YHR092C	--	--	--	--	--	5789,74	4157,22	4309,51	4029,00	5520,73	6803,50
YHR093W	--	--	--	--	--	3754,30	4323,27	4435,27	3652,90	4317,92	3055,24
YHR094C	--	--	--	--	+2	15823,60	15635,11	13283,53	17244,95	31112,99	17868,83
YHR095W	--	--	--	--	+1,7	4737,24	4948,74	5580,31	5479,22	8173,39	18591,11
YHR096C	--	--	--	--	+1,7	4966,37	3634,69	3862,62	4317,96	8465,70	114106,02
YHR097C	--	--	-1,5	--	+8,8	6737,75	5069,82	5544,39	4435,51	8267,86	59065,48
YHR098C	--	--	--	--	--	24747,29	28516,78	25665,91	23777,36	27252,38	17754,42
YHR099W	-2,1	-2,1	-1,9	-1,8	-1,7	11791,53	5725,90	5541,82	6203,16	6493,15	6901,82
YHR100C	--	--	--	--	--	8479,48	6420,73	6270,19	5738,50	5692,08	10588,61
YHR101C	--	--	--	--	-1,7	42304,50	51553,39	42194,31	42011,56	25227,04	16844,37
YHR102W	--	--	--	--	+3,1	7936,31	5831,07	6572,76	6282,34	9085,55	24794,09
YHR103W	--	--	--	--	+1,7	15977,68	15436,13	19988,75	19295,15	19124,01	26455,20
YHR104W	--	--	--	--	+5,3	8196,42	7098,20	6143,45	6150,52	9463,09	43701,91
YHR105W	--	--	--	--	+1,8	8776,49	7956,64	7506,04	8049,41	6865,87	16127,00
YHR106W	--	--	--	--	--	84227,29	75537,73	67405,95	68577,85	58355,78	80805,75
YHR107C	--	--	--	--	+1,5	49702,43	53307,35	46958,56	43259,73	75228,09	62355,81
YHR108W	--	-1,6	--	--	-1,9	49175,52	37102,36	30846,50	41880,00	53049,70	25480,42
YHR109W	--	--	--	--	-1,8	66939,12	94007,86	61908,58	72041,13	63847,83	37837,60
YHR110W	--	-1,8	--	--	-2,5	123590,53	160853,05	68424,74	115559,20	89760,31	48845,10
YHR111W	--	--	--	--	+1,5	22048,27	18369,26	17149,02	16789,03	19678,90	33969,56
YHR112C	--	-1,5	-1,6	--	--	12442,35	8520,69	8067,91	7758,88	9703,02	14717,14
YHR113W	--	--	--	--	+1,5	8724,93	8743,29	7704,60	10396,98	13205,01	16274,67
YHR114W	--	--	--	--	+1,6	14314,24	14151,01	13020,72	14098,95	16115,02	23498,90
YHR115C	--	--	--	--	--	3333,68	3019,96	4414,53	3576,23	3752,67	3896,38
YHR116W	--	-3,8	-1,7	-2,8	-3,5	128134,55	88994,25	33698,87	77373,49	45607,10	36517,26
YHR117W	-1,8	--	--	--	-1,8	8419,80	4701,38	7758,14	8705,93	9081,17	4777,72
YHR118C	--	--	--	--	+2	16388,34	15560,15	17139,22	19572,93	23142,98	33056,40
YHR119W	--	--	--	--	--	28410,80	24639,93	23918,13	19046,91	28271,13	36443,69
YHR120W	--	--	--	--	+1,8	17358,92	19275,14	19521,96	30990,73	17381,91	25582,40
YHR121W	-1,7	-1,7	-2,1	-2,2	--	6560,40	3885,83	3766,86	3101,11	2973,63	6197,36

ORF	Änderungsfaktor					Normalisierte Signalintensität					
	10 min	20 min	30 min	16 h	5d	0 min	10 min	20 min	30 min	16 h	5d
YHR122W	--	--	--	--	-1,8	3517,95	3140,18	3820,73	4011,69	3854,74	1909,22
YHR123W	--	--	--	--	--	12194,11	17433,84	16789,23	15028,13	16297,10	16813,67
YHR124W	--	--	--	--	--	10802,78	12586,08	10216,86	10958,13	8289,95	9800,63
YHR125W	--	--	--	--	-1,8	7464,05	7957,69	8273,08	8112,83	9583,29	4098,17
YHR126C	--	--	--	--	--	7149,83	6088,07	5436,94	5147,65	5012,51	5041,25
YHR127W	--	+1,7	--	--	--	3860,62	3355,44	6452,10	4535,45	4048,24	2984,72
YHR128W	--	--	--	--	-3,5	21342,73	23758,56	15073,65	20040,11	14457,35	6096,56
YHR129C	-1,6	-1,8	--	-1,9	--	21898,26	13651,73	12481,48	26060,55	11706,02	31032,24
YHR130C	--	--	--	--	--	2912,34	3670,32	3299,83	3849,99	2625,38	2095,76
YHR131C	--	--	--	--	+1,5	19219,26	20040,12	16973,77	21971,45	17768,20	29151,08
YHR132C	--	--	-1,5	+2	+1,6	11729,19	11936,74	8648,77	7763,09	23335,23	18560,89
YHR133C	--	--	--	--	-1,7	13773,07	13056,86	9674,49	11318,36	12125,04	8158,76
YHR134W	--	--	--	--	--	5053,36	4508,11	4077,43	4770,04	4804,33	6472,74
YHR135C	--	--	-1,5	-1,7	--	19234,97	15124,91	13281,99	12417,46	11001,46	23230,86
YHR136C	--	--	--	--	-1,8	5446,23	6921,85	5541,48	7140,15	4430,99	3025,16
YHR137W	--	--	--	-1,8	--	15566,93	13948,36	12880,72	11745,86	8841,14	14946,66
YHR138C	--	--	--	--	+8,8	4352,50	4088,32	3390,41	3669,44	3218,23	38304,30
YHR139C	--	--	--	--	+19,1	5353,55	5425,53	3808,16	4215,54	4692,26	102241,27
YHR140W	-1,6	-1,5	--	-2,1	--	46534,05	29655,18	30834,48	38975,09	21789,02	54280,42
YHR141C	--	--	--	--	-1,9	188853,54	167157,20	138106,19	207004,91	135228,74	98862,80
YHR142W	--	--	--	--	--	6884,12	8633,93	7416,30	9377,35	8368,92	8469,74
YHR143B	--	--	--	--	+4,3	16377,81	17434,87	14418,37	22168,02	15173,19	70563,55
YHR143W	--	--	--	--	--	7769,04	10447,78	7500,13	7598,69	6276,11	6024,93
YHR144C	--	--	--	--	--	7046,82	7424,88	5595,13	6374,67	5661,18	7841,71
YHR145C	--	--	--	+2,4	+5,1	5251,91	5166,23	5194,08	4936,78	12513,57	26733,66
YHR146W	--	--	--	--	--	6692,68	9047,12	6254,67	7682,45	9413,36	5284,51
YHR147C	--	--	--	-1,7	--	10438,24	12761,27	10123,02	10783,84	6051,08	14913,93
YHR148W	--	--	--	--	--	8505,80	8552,84	6603,15	7810,26	6024,17	6817,90
YHR149C	--	-1,8	-1,7	-1,5	--	7559,54	6722,04	4189,65	4575,66	5002,24	6474,64
YHR150W	--	--	--	--	-2,6	24406,44	29687,35	18077,29	26808,60	21738,88	9215,16
YHR151C	--	-1,7	--	-2	--	30496,61	30371,50	18131,08	24597,07	15115,13	24462,57
YHR152W	--	--	--	-2,3	-2,7	19150,92	18050,95	12953,16	18210,65	8248,36	7210,64
YHR153C	--	--	--	--	--	4000,38	4208,86	4017,46	4487,17	4332,00	3016,76
YHR154W	+1,6	+3,3	+2,5	--	+2,3	41416,38	65753,57	134666,27	105361,76	29705,31	93744,48
YHR155W	--	--	--	-1,9	+2,3	22616,09	21715,41	25721,37	22194,10	11614,97	52280,51
YHR156C	--	--	--	--	--	3388,53	3878,38	3817,38	3784,71	3350,54	3581,64
YHR157W	--	--	--	--	--	2941,95	4055,97	4267,16	3322,03	2437,22	4112,75
YHR158C	--	--	--	--	+1,5	4242,16	4919,67	4515,78	4252,84	5064,91	6464,44
YHR159W	--	--	--	--	--	4149,64	4176,89	4200,31	3673,43	3852,76	3589,72
YHR160C	--	--	--	--	+2,6	5675,09	4672,05	4286,33	4509,66	4043,71	14653,24
YHR161C	-1,9	-2,5	-1,8	--	--	31371,05	16509,96	12349,58	17646,27	31272,63	35833,16
YHR162W	--	--	--	-1,7	-3,9	53328,57	47516,15	39641,03	62719,25	30784,67	13723,27
YHR163W	--	--	-1,6	--	-2,9	13885,57	10106,82	9987,56	8479,59	10741,05	4867,44
YHR164C	--	-1,7	--	-2,3	-3,3	9481,57	6363,53	5746,15	7346,94	4100,68	2849,94
YHR165C	--	--	--	--	-1,9	4324,85	3605,38	3374,93	3664,39	4568,97	2324,47
YHR166C	--	--	--	--	--	5049,26	4943,05	5770,74	6115,74	4218,34	6116,95
YHR167W	--	--	--	--	--	4140,89	4212,25	3902,75	3924,75	3747,51	3538,22
YHR168W	--	--	--	--	--	3782,67	3262,50	3184,47	2980,48	3770,77	2837,66
YHR169W	--	--	--	--	--	15974,28	14340,71	13640,19	13031,02	12069,96	14772,61
YHR170W	--	--	--	--	--	11269,79	12426,90	9803,88	9764,92	9829,81	7588,65
YHR171W	--	--	--	--	--	5334,83	5283,44	4880,34	4892,26	6103,63	5338,92
YHR172W	+2	--	--	--	--	3258,71	6654,24	3529,09	4535,13	4525,49	3566,22
YHR173C	--	--	--	--	+1,5	34693,86	25007,03	25457,22	31032,97	34837,81	52728,48
YHR174W	--	-1,7	--	--	-2,5	402802,66	373845,29	235814,63	294039,59	381176,72	162176,48
YHR175W	--	--	--	--	--	15978,59	20194,14	14574,24	17335,79	16508,61	21276,51
YHR176W	--	--	--	--	+2	5163,99	4703,98	5853,84	4958,15	6191,02	10462,51
YHR177W	--	-1,8	-1,6	--	-2,7	26464,19	21552,60	14307,21	16677,03	29926,22	9929,89
YHR178W	--	--	--	--	--	3658,09	3297,95	3526,13	4129,01	3522,33	5293,01
YHR179W	--	-1,7	-1,6	--	--	126375,01	107395,27	75432,12	78440,81	96960,18	98165,48
YHR180W	--	--	--	--	+2,2	4540,00	3601,67	4968,36	4088,15	4892,84	9845,08
YHR181W	--	--	--	--	-3,7	58826,33	60067,53	63218,78	63301,85	65229,98	15979,85
YHR182W	+1,8	+1,6	+1,7	--	-2,2	11493,73	20815,27	18481,17	19147,72	15342,04	5238,67

ORF	Änderungsfaktor					Normalisierte Signalintensität					
	10 min	20 min	30 min	16 h	5d	0 min	10 min	20 min	30 min	16 h	5d
YHR183W	--	-1,5	-1,6	--	-2,9	14759,29	12748,98	9713,09	9421,98	11114,36	5157,50
YHR184W	--	--	--	--	-3,4	48783,58	37650,86	43969,66	49491,81	37327,52	14169,10
YHR185C	--	--	--	--	--	3748,18	3111,20	5200,23	3281,98	4067,94	2617,19
YHR186C	--	+1,8	+2,4	+1,6	+2,1	27410,72	38074,69	49234,86	65587,93	44623,35	58440,22
YHR187W	--	--	--	--	-1,8	3193,50	2951,48	3392,13	3113,33	4254,93	1731,18
YHR188C	--	--	--	+1,9	+1,7	12945,20	9805,67	9506,22	9060,63	24027,79	22023,80
YHR189W	--	--	-1,9	--	-2	17248,92	16216,77	13840,25	9104,69	18509,93	8459,37
YHR190W	--	--	-1,8	--	--	24608,29	20790,92	19282,41	13558,62	23726,20	18418,50
YHR191C	--	--	--	-1,6	--	20099,17	18923,66	18035,32	20301,02	12435,73	15431,36
YHR192W	--	--	--	--	--	6876,26	6187,08	6147,10	5308,24	8156,74	5468,45
YHR193C	--	--	--	--	-2,7	74548,08	83946,76	63185,00	56420,18	55232,44	28085,41
YHR194W	--	--	--	--	--	3411,99	3057,98	3478,12	3126,92	3666,41	4863,24
YHR195W	--	--	--	--	+1,7	6048,70	4499,48	5322,98	4725,07	6763,55	10199,25
YHR196W	--	--	--	--	--	6677,78	8499,32	8242,57	8267,61	8772,53	7850,45
YHR197W	--	--	--	--	+2,3	9976,30	9698,81	10747,72	9215,43	10921,89	23430,65
YHR198C	--	--	--	-1,6	-1,9	338535,15	251891,30	322414,94	276314,04	205989,16	176408,97
YHR199C	--	--	--	--	+1,9	45523,45	48374,02	45529,86	40828,48	50405,66	84724,93
YHR200W	--	--	--	--	--	60462,02	62358,31	43264,84	56146,26	48782,52	68427,39
YHR201C	--	--	--	--	-1,8	19390,91	20006,10	15178,94	20709,32	19459,34	10790,75
YHR202W	--	--	--	--	-2,3	87782,19	85434,46	62250,22	65662,85	63191,74	38941,14
YHR203C	--	--	--	--	-2,1	344856,76	310845,82	367206,97	313132,06	396898,09	164322,10
YHR204W	--	--	--	--	--	5277,64	3668,44	4465,49	3601,38	6775,19	6121,53
YHR205W	--	--	--	+1,5	--	7819,28	8773,83	8311,70	7131,33	12028,37	9034,23
YHR206W	--	--	--	--	--	7048,02	5560,46	4869,03	5186,77	6573,89	8607,79
YHR207C	--	--	--	--	--	5734,84	4842,39	5060,70	4651,38	5822,34	6681,96
YHR208W	--	--	--	--	--	5776,30	6498,27	6285,12	7286,24	7757,66	7010,60
YHR209W	-2,5	-5,1	-6,9	-8,7	-2,9	1075342,37	422919,24	211365,60	156001,96	123364,16	368418,18
YHR210C	--	-1,7	-1,7	--	--	19719,12	15583,32	11530,79	11294,75	14053,00	17202,05
YHR211W	-1,7	--	-1,6	--	+1,9	15231,52	8941,14	10722,00	9748,48	17094,91	28818,06
YHR212C	--	--	--	--	--	4872,60	3738,04	4623,24	4647,79	6309,41	5805,89
YHR213W	--	--	--	--	--	5706,84	4882,59	5388,80	4852,06	7475,48	7077,39
YHR214W	--	--	--	+1,9	--	17141,51	17218,94	19196,03	20913,77	32463,62	19774,73
YHR215W	--	-5,4	-9	-7,1	--	50342,40	44186,38	9374,84	5586,43	7126,20	44820,27
YHR216W	--	+1,8	--	--	-1,6	15299,14	12565,81	27087,74	15767,47	21352,66	9334,55
YHR217C	--	+2,4	--	+1,5	--	19668,30	19050,46	46658,26	26019,79	30129,36	20965,07
YHR218W	-1,5	--	--	+1,7	--	13887,54	9111,85	12060,50	10040,26	23234,51	19656,88
YHR219W	-1,6	--	--	--	+3	113936,25	70772,43	119390,85	92865,16	116723,86	340919,94
YIL001W	--	+3,1	--	--	--	3456,18	4320,69	10564,16	4051,98	4272,80	2445,82
YIL002C	--	--	--	--	--	4348,23	4888,92	4378,94	5007,73	4138,86	4118,71
YIL003W	--	-1,9	--	--	+1,6	11208,42	10292,83	5756,49	9363,63	10181,10	17670,94
YIL004C	--	-1,5	--	--	--	6439,39	6590,79	4247,42	5682,05	4969,55	5834,44
YIL005W	--	--	--	--	--	3071,48	3389,10	2675,02	3239,19	2938,05	2471,45
YIL006W	--	--	--	--	--	5606,70	6237,58	3902,68	4749,60	4192,56	7998,30
YIL007C	--	--	--	--	--	3414,33	3076,68	3151,69	3316,12	2461,58	2335,95
YIL008W	--	--	--	--	--	3968,02	4748,70	4527,00	5666,28	4532,02	3878,78
YIL009W	--	--	--	--	+3,9	10231,63	11092,66	7540,52	8046,18	7662,61	40079,72
YIL010W	--	--	--	--	--	3693,35	4353,57	3798,29	4186,51	3314,80	3673,46
YIL011W	+1,5	--	--	--	-1,6	4576,36	6967,52	5352,23	5838,29	4422,68	2802,51
YIL012W	--	--	--	-2,2	--	3304,25	4102,42	3468,04	3594,99	1492,59	2723,63
YIL013C	--	--	+1,5	--	-1,7	3266,13	4805,45	3853,57	4919,44	3524,59	1880,65
YIL014W	--	--	--	--	--	3508,83	4378,67	2984,88	4095,10	4266,98	3778,76
YIL015W	--	--	--	--	--	2688,61	3344,95	2849,13	2982,49	2472,17	3561,08
YIL016W	--	--	--	--	--	15210,14	16826,18	11430,96	15035,08	14381,51	14452,07
YIL017W	--	--	--	--	--	3261,42	3603,58	3043,69	3449,99	2726,30	4423,28
YIL018W	--	--	--	-1,6	-5,1	111899,44	112853,22	83293,89	100597,06	71876,88	21927,48
YIL019W	--	--	--	--	--	4933,17	6499,56	5744,39	5762,00	3967,23	5729,40
YIL020C	--	--	--	--	+5,9	5500,47	6702,51	5398,47	5679,26	4412,88	32356,06
YIL021W	--	--	--	-1,7	--	11658,51	13629,69	12089,76	11573,08	6677,15	8098,87
YIL022W	--	--	--	--	--	5971,40	5011,31	4498,17	4694,95	5134,74	4983,24
YIL023C	--	--	--	--	+2,1	3914,37	4580,37	3488,45	3598,81	2820,45	8375,29
YIL024C	--	--	--	--	+3,4	3476,38	4341,28	3403,46	3878,86	4496,47	11838,09
YIL025C	--	--	--	--	--	2919,47	3332,62	2711,77	3229,49	4115,56	2410,26

ORF	Änderungsfaktor					Normalisierte Signalintensität					
	10 min	20 min	30 min	16 h	5d	0 min	10 min	20 min	30 min	16 h	5d
YIL026C	--	+1,7	+2,5	+7,6	+5,5	55383,16	79004,38	96046,73	138604,77	418162,96	304924,96
YIL027C	--	--	--	-1,6	-2,6	4289,89	5557,64	4793,36	5375,41	2736,81	1653,25
YIL028W	--	--	--	-1,9	-1,6	39630,91	33556,24	27183,59	27607,55	20869,20	24305,37
YIL029C	--	--	--	--	--	3185,24	3553,59	3096,40	3171,27	3213,77	3796,68
YIL030C	--	--	--	--	--	17876,69	14535,86	13369,52	17776,24	15896,47	22063,53
YIL031W	--	--	--	+1,6	+3,9	5507,79	6942,66	6519,66	7484,46	8715,39	21218,32
YIL032C	--	--	--	--	+2,1	5390,50	5815,02	5271,15	5244,93	3888,63	11115,90
YIL033C	--	--	-1,5	--	+1,6	18423,02	15027,42	13543,02	11997,87	22562,93	29934,49
YIL034C	--	--	--	--	--	5328,76	5198,06	5482,36	5813,69	6001,58	6999,41
YIL035C	--	--	--	--	--	4668,45	4377,20	3883,94	4042,11	4202,04	4640,25
YIL036W	--	--	--	--	--	5614,20	5387,48	3999,57	5481,27	8109,88	5810,87
YIL037C	--	--	--	--	+1,6	3705,82	5189,08	3670,02	3950,21	4295,78	5855,42
YIL038C	--	--	--	--	--	4178,50	3924,41	3637,87	4392,28	4975,82	3433,30
YIL039W	--	--	--	--	-2,4	5273,58	4818,01	4276,69	4332,63	4910,83	2228,41
YIL040W	--	--	--	--	-2,2	53882,99	44699,97	48537,22	49511,42	39422,62	24901,60
YIL041W	--	--	--	--	--	28044,89	26309,10	23360,77	20695,24	24909,45	24512,17
YIL042C	--	--	--	--	+2,4	4702,47	4493,29	4428,46	3802,44	4201,79	11089,11
YIL043C	--	--	--	--	--	19161,68	17274,50	16571,71	14763,82	17631,28	17244,16
YIL044C	--	--	--	--	+1,5	7385,97	7517,63	6346,24	6397,77	6557,52	11176,81
YIL045W	--	--	--	--	+3,5	6110,50	6963,47	7271,85	4784,98	5206,37	21220,23
YIL046W	--	--	--	--	+3,8	4881,50	4230,80	4263,90	3830,40	3819,18	18563,97
YIL047C	--	--	--	--	--	3222,63	3366,82	3284,74	3071,39	3492,62	2386,33
YIL048W	--	--	--	--	+2	6129,29	5850,91	5860,68	7385,41	7860,72	12111,90
YIL049W	--	--	--	--	--	4583,48	3736,32	4482,97	3977,77	4208,40	4361,83
YIL050W	--	-1,6	--	-1,7	--	7761,30	6158,55	4928,91	5848,97	4488,37	7146,37
YIL051C	--	--	--	+2,9	+2,2	27791,33	27685,25	24894,98	23905,15	80705,46	59900,79
YIL052C	--	--	--	--	-1,8	36407,11	38632,51	35078,15	37807,99	30614,26	20384,42
YIL053W	--	-2,4	-2	-1,7	-4,2	101820,27	70806,61	42651,48	49684,10	61186,93	24082,10
YIL054W	--	--	--	--	-1,8	31596,66	29945,97	23520,79	21401,44	22595,40	17531,28
YIL055C	--	--	--	+1,6	+4,6	4470,88	4659,80	5339,44	5342,29	7292,27	20643,03
YIL056W	--	--	--	--	--	2975,82	3236,07	3652,17	2992,71	3484,39	2217,84
YIL057C	--	--	--	--	--	20680,52	28238,00	21315,32	27025,39	16644,82	18302,88
YIL058W	--	--	--	--	--	17727,45	26462,63	20537,78	22193,15	14649,44	14751,36
YIL059C	--	--	--	--	+1,8	4415,74	4233,59	4140,28	3792,79	3004,90	8061,99
YIL060W	--	--	--	+3,3	+8,2	6842,57	5413,88	4723,32	5463,45	22444,87	56392,59
YIL061C	--	--	--	+2,6	+5,2	11921,62	12731,32	13503,68	15369,65	30567,38	61938,52
YIL062C	--	--	--	--	--	9140,18	8486,45	8485,06	8965,40	7737,60	10527,27
YIL063C	--	--	--	--	--	8091,92	6787,82	6200,15	5944,69	6140,00	10665,47
YIL064W	--	--	--	--	--	13200,88	12513,43	11311,25	9314,22	11866,37	19573,19
YIL065C	--	--	--	--	--	2697,75	2543,13	3012,11	3629,39	2982,04	2739,16
YIL066C	--	--	--	--	--	4050,89	3794,45	3696,72	3971,19	4841,15	4947,64
YIL067C	--	--	--	--	--	3593,82	3503,23	3846,10	3393,43	3907,46	4193,84
YIL068C	--	--	--	+2,7	--	20003,00	21777,37	23983,27	20791,78	54221,79	24900,09
YIL069C	--	--	--	--	-2,8	41172,23	48484,73	37071,33	47928,13	30640,58	14926,19
YIL070C	--	--	--	--	--	7726,72	7287,40	9002,67	8915,15	6325,92	8141,65
YIL071W	--	--	--	--	+1,7	4487,98	3330,68	4115,43	3944,60	4846,71	7771,37
YIL072W	--	--	--	--	--	4449,60	3426,91	3799,94	3582,38	4304,82	5525,74
YIL073C	--	--	--	--	-1,7	3522,23	4096,08	3898,93	4056,32	4420,44	2055,34
YIL074W	-1,5	-1,6	-1,8	--	--	13698,19	9119,28	8505,95	7523,84	11535,31	13265,29
YIL075C	--	--	--	--	--	6774,73	5755,80	5427,72	5570,59	8922,01	6470,01
YIL076W	--	--	--	+1,8	--	11197,04	11156,36	11341,94	10790,30	19830,10	10663,83
YIL077C	--	--	--	--	+6,2	5124,92	3771,91	4423,97	3774,27	6626,54	31906,86
YIL078W	--	--	-1,7	--	-2	33308,49	31760,56	25084,34	19942,01	48192,83	17064,15
YIL079C	--	--	--	+1,6	--	6668,65	6508,07	7019,56	5802,96	10980,81	6800,50
YIL080W	--	+4,7	--	--	--	3863,89	3749,87	18079,19	4099,87	4297,42	4680,77
YIL082W	--	--	--	--	+2,1	11094,80	9602,24	10062,88	10551,49	14392,65	23635,23
YIL083C	--	--	--	--	+1,9	6618,21	6898,30	7215,45	6484,51	9175,39	12755,82
YIL084C	--	--	--	--	+3	8837,76	6709,23	8450,68	6999,88	12226,63	26147,74
YIL085C	--	--	--	+1,6	+2,2	7586,47	7734,01	8694,88	7511,13	11905,08	17050,57
YIL086C	--	--	--	--	+2,5	4333,68	4266,55	5322,70	5363,62	4011,99	11000,96
YIL087C	--	--	--	--	+3,4	9116,47	13196,89	7930,58	9595,08	7121,36	30944,01
YIL088C	--	-1,7	--	--	--	10835,02	8885,49	6503,17	8558,97	8393,97	14470,53

ORF	Änderungsfaktor					Normalisierte Signalintensität					
	10 min	20 min	30 min	16 h	5d	0 min	10 min	20 min	30 min	16 h	5d
YIL089W	--	--	--	--	+1,5	6135,68	5965,87	5828,11	6079,38	6424,60	9249,38
YIL090W	--	--	--	+1,6	+1,6	4454,40	4548,80	5186,72	4972,87	6909,11	7210,61
YIL091C	--	--	--	--	--	5111,35	4380,86	6113,45	4268,77	5245,62	3778,13
YIL092W	--	+1,9	--	--	--	4651,71	4022,80	8922,08	4169,99	3413,04	5585,73
YIL093C	--	--	--	--	--	6644,88	8271,39	4810,00	7063,67	8033,08	6747,32
YIL094C	--	-1,9	--	--	--	11186,19	10271,80	5921,33	8228,76	9323,13	9875,64
YIL095W	--	--	--	--	+1,8	20538,03	19438,99	13879,02	19577,33	14457,66	37965,82
YIL096C	--	--	--	--	--	4185,91	5529,53	3717,98	4460,59	4242,61	3835,30
YIL097W	--	--	--	--	--	3291,07	3879,97	3274,08	3986,99	3349,21	4097,17
YIL098C	--	--	--	--	--	4240,83	4905,65	4612,87	4997,98	3473,71	4461,00
YIL099W	--	--	--	--	+1,5	3985,82	4403,25	3654,35	4013,42	2831,83	6112,25
YIL100W	--	--	--	--	-1,7	3076,80	3902,27	3482,29	3432,76	2517,79	1807,87
YIL101C	--	--	--	--	--	7974,15	10276,92	8753,63	9284,63	5908,18	11075,81
YIL102C	--	--	--	--	-1,9	4360,71	5305,71	5717,30	5395,26	3900,76	2318,05
YIL103W	--	--	--	--	--	4380,75	5310,38	3756,03	5380,05	4140,30	3962,65
YIL104C	--	-1,9	--	--	--	28377,11	38291,39	14781,94	26534,68	37059,69	26457,79
YIL105C	--	--	--	+3,3	+5,1	10565,15	12894,52	12497,59	14103,09	34917,30	53721,77
YIL106W	--	--	--	--	+2	8024,84	7682,41	5741,50	6479,20	7051,92	16141,62
YIL107C	--	--	--	--	+3	3153,53	3426,47	2571,59	3196,14	3708,02	9407,05
YIL108W	--	--	--	--	--	3399,69	3451,41	2941,04	3436,83	3366,67	3846,30
YIL109C	--	--	--	--	-4,7	107188,33	107926,14	86020,67	106704,99	75020,70	22637,25
YIL110W	--	--	--	-1,8	--	8370,68	8596,57	5724,85	7055,31	4583,42	7247,66
YIL111W	--	--	--	--	+3,1	4895,97	5336,60	6367,29	5760,53	3959,60	15085,29
YIL112W	--	--	--	--	--	5022,46	6446,39	5405,33	5725,82	4110,33	3825,38
YIL113W	--	--	--	--	--	3024,23	3279,55	2948,41	3177,14	2430,99	2443,38
YIL114C	--	--	--	--	--	3038,15	3711,80	2955,37	2964,66	2942,86	2299,46
YIL115C	--	-2	--	--	--	19291,35	18638,16	9707,84	14778,49	16892,38	28344,27
YIL116W	--	-1,6	--	--	--	8011,90	8121,16	5033,93	6177,27	10437,21	6117,67
YIL117C	--	--	--	--	--	3852,90	4224,24	3107,46	3842,08	4123,06	5493,57
YIL118W	--	--	--	--	+1,9	22425,23	22647,15	16437,23	19175,56	16355,10	43139,61
YIL119C	--	--	--	--	--	3396,74	3506,91	3084,90	3284,64	3388,88	3223,78
YIL120W	--	--	--	--	+1,6	4991,70	4898,08	5327,04	4969,31	5274,70	7887,24
YIL121W	--	--	--	--	--	6009,16	4703,07	4046,40	4415,96	5997,72	6811,65
YIL122W	--	--	--	--	+1,7	6563,88	7001,19	6377,51	5764,76	4392,79	11476,65
YIL123W	--	--	--	+1,7	-1,5	8528,17	7842,47	7193,97	6338,44	14450,51	5578,00
YIL124W	--	--	--	-1,7	--	6059,41	5827,66	5210,90	5296,97	3609,40	7722,71
YIL125W	--	--	--	--	--	4612,02	4032,60	3719,57	3504,25	4000,41	4090,52
YIL126W	--	--	--	--	--	3298,09	4264,80	3934,45	4261,19	3594,00	3690,39
YIL127C	--	--	--	--	--	5383,34	5969,77	4677,67	6183,62	8027,46	5584,18
YIL128W	--	--	--	--	--	4014,52	4068,45	3962,96	3877,25	5743,02	2720,49
YIL129C	--	--	--	--	-2,5	3146,45	3205,79	2706,79	2916,77	3101,75	1262,52
YIL130W	--	--	--	+1,5	--	11936,43	13569,31	13516,78	15124,55	18190,41	12625,21
YIL131C	--	--	--	--	-8,1	3243,63	3651,40	4115,50	3827,82	2791,76	402,48
YIL132C	--	--	--	--	--	9919,28	8190,76	7020,23	7228,99	6677,98	8326,34
YIL133C	--	--	-1,8	-1,8	-3,3	86997,27	63361,18	60406,58	49131,79	47977,43	25975,27
YIL134W	--	--	--	--	-1,6	5141,02	4466,28	4980,76	4380,89	3757,97	3120,37
YIL135C	--	--	--	--	--	3288,17	4070,76	4257,31	3972,64	2788,08	2206,05
YIL136W	--	--	-1,6	--	+24,6	7271,93	5121,47	5241,52	4409,87	6060,59	179003,42
YIL137C	--	--	--	--	-1,8	2891,86	3193,83	3400,36	3198,76	3484,45	1652,48
YIL138C	+2,3	--	--	--	--	4299,64	10062,00	4620,77	4202,98	4957,39	3957,44
YIL139C	--	--	--	--	+1,8	7451,16	7031,56	6369,86	6785,98	7352,46	13358,76
YIL140W	--	--	--	--	-2,4	6178,92	4768,27	5518,39	4630,00	5784,80	2624,73
YIL141W	--	--	--	--	--	5185,39	5368,36	4662,16	5280,97	7274,17	3769,16
YIL142W	--	--	--	--	--	30442,05	33310,67	27528,99	26065,02	21487,60	30743,87
YIL143C	--	--	--	--	--	7048,96	7370,98	6494,46	7250,27	7382,90	5611,20
YIL144W	-1,5	-2,1	-1,9	-1,8	-3,1	100825,93	65198,48	48738,99	52845,40	55028,97	32496,68
YIL145C	--	--	--	--	--	10102,14	9548,62	9216,53	8245,12	11542,10	8914,92
YIL146C	--	--	--	--	+2	3656,59	3093,81	4383,97	3458,12	4068,81	7393,35
YIL147C	--	--	--	--	--	10215,97	7504,85	7048,23	8014,52	9562,95	14323,16
YIL148W	--	--	--	--	-1,8	47468,83	64343,93	43502,05	70642,10	50967,10	26075,05
YIL149C	--	--	--	--	--	31715,26	29850,28	24062,34	28923,79	22298,31	32801,18
YIL150C	--	--	+5,4	+2,4	--	3143,41	3366,02	3781,88	17102,92	7528,23	3945,61

ORF	Änderungsfaktor					Normalisierte Signalintensität					
	10 min	20 min	30 min	16 h	5d	0 min	10 min	20 min	30 min	16 h	5d
YIL151C	--	--	+2,2	+2,6	+7,4	15959,61	19682,10	22902,58	34734,32	41559,01	118444,15
YIL152W	--	--	--	+1,8	--	9122,20	7687,45	7002,46	8010,95	16093,72	11962,49
YIL153W	--	--	--	--	+1,5	8968,57	9354,82	8608,03	8174,66	8988,33	13516,44
YIL154C	--	--	--	--	+2,5	8075,18	7290,04	6892,30	7059,20	10862,71	19856,90
YIL155C	--	--	--	--	+2,5	4516,25	3770,71	4205,04	4787,59	5925,97	11298,95
YIL156W	--	--	--	--	+1,8	6727,67	5774,10	5099,74	5493,64	8026,96	11805,16
YIL157C	--	--	--	--	--	7914,77	6629,16	6652,81	7006,42	7369,94	5784,53
YIL158W	+1,8	--	--	--	-2,3	4643,76	8308,90	4455,95	4632,85	5148,32	2035,01
YIL159W	--	--	--	--	+1,7	6934,09	6540,24	6912,32	7062,74	9685,36	12112,08
YIL160C	--	--	--	--	--	6273,93	8379,75	7766,46	7310,51	6924,27	6191,98
YIL161W	--	--	--	--	+1,9	4253,46	5831,80	6059,20	5947,63	6047,25	8136,93
YIL162W	--	--	--	+2,1	--	7029,20	6374,29	6959,60	6470,51	14828,67	8269,39
YIL163C	--	--	--	+1,7	--	6699,81	6693,47	7997,73	7754,64	11271,06	9773,24
YIL164C	--	--	--	--	--	9392,33	8680,88	8266,70	8489,56	9147,47	12168,90
YIL165C	--	--	--	--	--	7055,75	5515,50	5499,84	6812,81	6619,17	10156,01
YIL166C	--	--	--	--	+1,7	4044,35	3242,97	3827,28	3773,24	5438,43	6858,58
YIL167W	--	--	--	--	--	7915,01	6138,97	7307,40	5705,71	7110,71	8357,40
YIL168W	--	--	--	--	--	7837,73	6440,52	6414,92	6030,49	6954,86	9826,83
YIL169C	-1,9	-2	-2,2	--	-6,8	50099,80	26790,42	25631,84	23207,60	63598,41	7416,57
YIL170W	--	--	--	+1,9	+1,6	5482,15	5620,22	5744,72	5540,52	10310,47	8535,95
YIL171W	--	--	--	--	+2,2	4693,65	4064,00	5641,89	4548,90	5115,96	10117,04
YIL172C	--	--	--	--	--	5096,00	6659,42	6203,24	6469,80	4957,15	5400,79
YIL173W	--	+2	+2,2	--	+1,9	24533,86	31455,67	49620,63	54348,00	34862,45	47765,13
YIL174W	--	--	--	+1,9	+1,7	5765,05	6425,19	7992,23	7698,51	10928,40	10068,41
YIL175W	--	--	--	+1,5	+4,6	5093,67	5654,34	6358,41	6310,41	7665,76	23659,19
YIL176C	--	--	--	--	+3,9	11038,12	9307,02	9513,49	8937,43	12852,86	42555,52
YIL177C	--	--	--	--	--	4582,71	3355,21	4372,09	3971,47	4752,44	5759,15
YIR001C	--	--	--	+1,6	--	5746,89	5814,76	5811,05	6384,37	9027,14	8150,66
YIR002C	--	--	--	--	--	3695,08	3023,84	3784,82	4608,21	4449,19	3627,04
YIR003W	--	--	--	--	+2,5	7780,00	7308,96	6493,59	6203,41	9599,54	19226,72
YIR004W	--	--	--	--	--	8588,29	7818,65	6747,29	6765,44	7229,94	11260,21
YIR005W	--	--	--	--	+2,2	4951,25	4625,01	5087,81	5673,52	6973,34	11008,91
YIR006C	--	--	--	--	--	3705,03	3040,15	3921,98	3732,79	4174,18	3424,83
YIR007W	--	--	--	--	--	4492,77	4688,74	5389,61	5150,28	5505,50	4651,43
YIR008C	--	--	--	-1,5	--	9319,11	12276,99	6915,71	7797,52	6144,96	9467,99
YIR009W	--	-1,7	--	-2,2	--	17266,66	16089,56	9873,62	12415,91	7926,14	18815,28
YIR010W	--	-1,8	--	--	+2,7	12392,60	14528,39	7022,08	8577,92	14173,95	33081,77
YIR011C	--	--	--	-1,5	--	5646,86	5868,33	3786,78	3949,79	3709,79	5881,13
YIR012W	--	--	--	--	--	10816,19	12719,65	7402,12	8814,91	10818,83	8081,10
YIR013C	--	--	--	--	+2,2	6038,79	6009,01	5198,06	5460,53	4568,38	13541,25
YIR014W	--	--	--	--	+6,9	3997,38	4570,63	4127,93	4403,78	4274,26	27498,18
YIR015W	--	--	--	-1,6	+3,5	7529,25	8707,79	8094,77	8535,04	4622,69	26727,52
YIR016W	--	--	--	--	+17,1	8389,94	7927,98	7256,01	7613,21	7179,78	143812,07
YIR017C	--	--	--	-2,7	--	18326,58	23268,20	17989,70	17534,15	6880,18	23597,57
YIR018W	--	--	--	-1,5	+1,8	3707,25	3849,84	3308,98	3863,88	2409,13	6570,78
YIR019C	+1,9	--	--	+1,7	--	3036,77	5677,30	3049,83	3704,40	5040,40	2515,33
YIR020C	--	--	--	--	--	4092,39	4685,29	3677,50	4433,37	4326,83	3654,59
YIR021W	--	--	--	--	--	3660,69	3730,56	3230,38	3507,68	2972,36	3103,20
YIR022W	--	--	--	--	--	6733,57	8488,25	6965,16	7099,69	9836,72	5702,26
YIR023W	--	--	--	--	+1,8	4775,18	4840,67	4244,90	4657,97	5696,71	8406,01
YIR024C	--	--	--	--	--	5361,29	5834,69	5296,20	5686,57	4183,49	7577,64
YIR025W	--	--	--	-1,6	--	4547,92	4671,58	3629,69	3922,10	2830,37	6379,65
YIR026C	--	--	--	--	--	7395,60	8516,18	6425,64	6390,88	6607,49	9875,93
YIR027C	--	--	--	--	-2,7	2926,05	3180,61	4218,04	4100,39	3683,87	1081,58
YIR028W	--	--	--	--	--	3220,23	3673,82	2950,93	3069,21	2175,19	3356,60
YIR029W	--	--	--	--	+2,1	5396,02	5926,48	4359,37	5075,24	6344,77	11491,54
YIR030C	--	--	--	--	--	4279,42	4762,98	3597,89	3994,31	4402,79	4637,73
YIR031C	--	-2,2	-1,6	--	--	46256,80	41519,12	20756,45	28204,72	43389,82	41545,98
YIR032C	--	--	--	--	--	3011,80	3114,39	3033,87	3040,99	3747,01	2173,75
YIR033W	--	--	-1,8	-1,8	--	29757,04	29213,80	21149,81	16463,33	16278,44	30215,28
YIR034C	--	--	--	--	-1,8	5459,35	5276,12	4371,50	3983,34	4974,12	3113,61
YIR035C	-1,7	-2,1	-2,1	-2,5	--	35632,68	21490,31	16801,20	16960,59	14233,66	42679,04



ORF	Änderungsfaktor					Normalisierte Signalintensität					
	10 min	20 min	30 min	16 h	5d	0 min	10 min	20 min	30 min	16 h	5d
YIR036C	--	--	--	--	--	7761,84	7938,15	8088,55	7420,21	5627,10	10580,54
YIR037W	--	--	--	--	+2,3	6108,66	6649,01	6148,22	5625,68	5186,55	13932,57
YIR038C	--	--	--	--	+4,4	5232,80	5271,93	4607,84	4330,09	4700,92	23080,51
YIR039C	--	--	--	--	--	3301,54	3975,21	3477,66	3125,12	2592,16	3103,74
YIR040C	--	--	--	--	--	3273,64	4058,02	3649,36	3437,21	2416,76	2748,35
YIR041W	+1,6	--	--	--	+5,6	4012,03	6616,75	4018,28	4465,11	5709,65	22295,16
YIR042C	--	--	--	--	+2,8	9609,39	10664,50	8339,14	10017,24	8826,99	27386,39
YIR043C	--	--	--	+1,7	+2,8	12142,86	10450,89	10871,43	10161,18	20629,74	33951,95
YIR044C	--	--	--	--	--	4685,54	4343,47	3963,45	4215,87	5294,72	3353,48
YJL001W	--	-1,7	--	-3	--	40688,91	36091,35	23783,48	43060,29	13502,64	50282,42
YJL002C	--	--	--	--	--	10692,34	14729,46	10831,94	9585,21	13160,10	13755,41
YJL003W	--	--	--	--	--	3774,26	4895,32	3415,80	4390,69	2815,69	5284,95
YJL004C	--	-1,7	--	--	--	9665,75	9753,90	5704,50	7233,51	7993,65	13353,73
YJL005W	--	--	--	--	+2,3	13494,31	12266,64	11279,25	18299,82	12094,29	31475,15
YJL006C	--	--	--	--	+2,4	3488,11	3968,76	3858,05	3947,88	3282,73	8463,58
YJL007C	--	--	--	-1,5	--	4046,51	4715,50	3910,27	4432,17	2627,42	3835,79
YJL008C	--	-1,6	--	-1,8	--	14539,99	14011,63	9033,09	9796,75	8186,18	11405,56
YJL009W	--	--	--	-1,9	--	13625,27	17225,27	16041,56	17616,54	7348,30	10991,64
YJL010C	--	--	--	--	--	6340,54	8079,16	7858,66	9002,90	4463,41	7261,14
YJL011C	--	--	--	--	--	12532,02	16298,08	11852,03	16824,43	8658,50	16130,77
YJL012C	--	--	--	--	-1,7	4966,94	6179,86	6868,23	6401,08	4176,38	3002,94
YJL013C	+1,8	--	--	--	-3,2	2956,32	5312,57	3125,99	4106,96	3983,74	915,65
YJL014W	--	-2	--	--	--	12130,24	13872,40	6143,64	8971,20	15310,97	9230,70
YJL015C	--	--	--	--	+2,6	3462,35	3940,03	3285,27	4076,46	4359,03	9120,98
YJL016W	--	--	--	--	+2	3849,84	4423,89	3508,77	4976,42	4677,31	7740,59
YJL017W	--	--	--	-1,5	--	3003,96	3803,20	2839,09	3109,90	1956,71	3075,08
YJL018W	--	--	--	--	--	3301,79	3670,03	3438,56	3625,25	3419,61	2545,51
YJL019W	--	--	--	--	--	3836,87	4563,87	3201,56	3711,65	4512,49	4405,12
YJL020C	--	--	--	--	--	3399,17	4147,25	3475,44	3671,81	2458,63	3516,05
YJL021C	--	--	--	--	--	4076,82	4594,11	3945,35	3789,06	3217,66	5647,20
YJL022W	--	--	--	--	--	3419,49	4276,43	4376,57	4072,69	3143,72	3304,24
YJL023C	--	--	--	--	--	3518,68	4083,45	4295,97	4011,85	2678,40	4331,46
YJL024C	--	--	--	--	-1,9	2724,57	3760,12	2971,69	3037,56	3073,99	1433,86
YJL025W	--	--	--	--	+1,9	4330,77	5408,06	3602,49	3932,14	5156,62	8376,62
YJL026W	--	-2,2	-1,7	+2	--	20714,51	18518,33	9604,02	11958,43	41420,05	21284,22
YJL027C	--	-2	-1,8	--	--	18733,31	16256,65	9587,86	10412,64	22411,55	19312,88
YJL028W	--	--	--	--	--	10491,42	10613,61	10793,26	8361,03	8740,90	13440,25
YJL029C	--	--	--	--	--	4146,43	4090,23	3308,81	3995,93	4296,00	3078,18
YJL030W	--	--	--	--	--	7524,79	7017,84	6399,20	6656,60	7084,62	7110,27
YJL031C	--	--	--	--	--	5710,72	6136,70	4503,90	4925,26	4324,03	5218,11
YJL032W	--	--	--	--	-1,6	3573,11	3679,30	3754,91	3296,36	2747,35	2178,16
YJL033W	--	--	--	--	--	3997,53	4161,76	3870,02	3195,07	3854,97	4716,34
YJL034W	--	-1,7	-1,7	--	--	19113,38	18061,78	11393,21	11355,41	14207,31	27042,30
YJL035C	--	--	--	-1,6	--	4089,19	4586,99	4378,25	4493,86	2524,75	3870,63
YJL036W	--	+1,9	+3,4	+2,1	--	8171,47	10704,63	15457,77	27670,10	17212,71	12123,79
YJL037W	--	--	+1,6	--	+4,1	10050,85	11109,24	11090,88	16273,34	11845,41	41437,09
YJL038C	--	--	--	+1,6	--	3931,11	4349,79	3763,35	4054,28	6434,40	5021,51
YJL039C	--	--	--	+2,4	--	14687,65	11125,34	10257,97	10854,96	35340,15	10057,86
YJL041W	--	--	--	--	--	8114,59	7161,22	6363,15	6002,66	9088,93	9737,65
YJL042W	--	--	--	--	--	2940,21	2638,05	3015,91	2758,02	3558,86	2515,34
YJL043W	--	--	--	--	-1,6	3692,66	4287,43	4739,53	4567,08	3319,84	2354,14
YJL044C	--	--	--	--	--	8787,00	9013,72	7247,32	7646,24	8978,46	9247,67
YJL045W	--	--	--	--	--	3855,63	3696,24	3660,13	3318,52	3586,56	5234,56
YJL046W	--	--	--	--	--	4191,49	3862,25	3663,99	3746,55	4177,82	3082,00
YJL047C	--	--	--	--	--	5845,86	5445,01	4694,48	4962,92	5214,04	6655,97
YJL048C	--	--	--	--	--	5577,98	5377,54	4485,32	4902,32	5244,80	7707,02
YJL049W	-4,9	-10,7	-5,4	-9,1	-1,8	46187,14	9492,21	4303,82	8616,55	5069,26	25568,87
YJL050W	--	--	--	--	-1,8	5207,17	4886,33	5284,95	4683,50	6189,07	2824,89
YJL051W	--	--	--	--	--	8143,30	7609,69	6197,10	6358,75	10432,85	6566,54
YJL052W	--	--	--	--	--	974092,98	1154537,36	730090,28	726443,88	1348824,46	1020319,38
YJL053W	--	--	--	--	+2,2	16658,04	16444,59	17265,57	14814,34	18220,93	37037,68
YJL054W	--	--	--	--	--	5500,81	4994,37	5349,38	6827,49	4465,60	7586,36



ORF	Änderungsfaktor					Normalisierte Signalintensität					
	10 min	20 min	30 min	16 h	Sd	0 min	10 min	20 min	30 min	16 h	Sd
YJL055W	--	--	-1,5	--	+2,4	8693,04	7365,72	5851,01	5771,82	9171,91	20473,40
YJL056C	--	--	--	--	--	5345,93	5612,69	4382,89	4156,11	5470,67	6206,92
YJL057C	--	--	--	--	+1,8	3414,91	2856,62	3497,61	3203,22	3171,25	5988,95
YJL058C	--	--	--	--	--	4333,77	4918,06	4486,56	4239,06	5250,38	3266,96
YJL059W	--	--	--	--	-1,6	2997,99	3107,97	3340,42	3074,14	3766,93	1837,08
YJL060W	--	--	-1,5	--	--	4434,48	3926,70	3601,07	2941,30	3755,82	3591,09
YJL061W	--	--	--	--	-2,4	42003,64	47246,73	41829,92	57515,87	33035,88	17427,98
YJL062W	--	--	--	+1,8	--	5194,51	4564,68	5624,02	4424,38	9237,30	5568,09
YJL063C	--	--	--	--	--	29215,29	30425,31	30891,09	31909,89	41740,37	29384,32
YJL064W	--	--	--	--	--	7059,35	6797,39	6484,93	7448,77	8280,85	8438,74
YJL065C	--	--	--	--	+1,5	10197,90	9792,38	9054,75	9680,60	10880,23	15441,15
YJL066C	-1,7	--	-1,6	--	+4,2	9081,88	5477,33	6363,49	5538,48	9983,98	38037,32
YJL067W	--	--	--	--	+4,4	10059,09	8070,13	8419,36	8496,80	12618,88	44254,46
YJL068C	--	--	--	--	--	9509,57	9019,96	7659,48	7617,88	10019,04	14163,18
YJL069C	--	--	--	--	--	5845,16	6160,28	5663,88	5460,80	7047,19	4723,00
YJL070C	--	--	--	--	-2	3319,87	3135,99	4152,00	3725,25	3648,96	1677,76
YJL071W	--	--	--	--	--	2889,75	2712,78	3817,59	2803,30	4012,30	2129,65
YJL072C	--	--	--	--	-1,7	9005,45	8751,34	7738,26	9759,55	8064,73	5416,45
YJL073W	--	+1,6	--	--	-3,2	81643,82	98242,69	127822,87	98207,38	55293,01	25768,28
YJL074C	--	--	--	--	--	4658,50	3677,07	4174,34	4325,53	5660,48	4329,61
YJL075C	--	--	--	+2,3	+2	9972,74	9176,22	13099,89	11324,61	22502,37	20108,84
YJL076W	--	--	--	+2,7	+1,6	15324,35	15202,76	18934,63	15742,15	41150,51	24120,30
YJL077C	--	--	--	--	+2,6	8454,31	6977,33	6809,28	7659,37	9763,44	21705,94
YJL078C	--	--	--	--	-1,5	4952,49	4614,16	4774,32	4660,09	7301,86	3243,32
YJL079C	--	-1,7	-1,8	--	+3	31069,94	21092,24	18446,26	17451,16	27953,91	93692,76
YJL080C	-1,7	-2,1	-1,7	--	--	16854,37	9637,96	8124,98	9772,34	11727,56	16607,74
YJL081C	--	--	-1,7	--	--	9757,53	7512,35	6637,57	5911,17	11147,75	11850,53
YJL082W	--	--	--	+1,5	--	3683,70	3310,89	3869,36	3451,56	5539,19	4269,98
YJL083W	--	--	--	+1,6	--	3371,94	3063,40	3758,11	3398,84	5434,67	4982,72
YJL084C	--	--	--	+1,5	--	3187,52	3018,33	3960,65	3244,62	4930,45	3454,94
YJL085W	--	--	--	--	--	3781,13	3669,44	4515,18	3812,02	3874,44	5308,58
YJL086C	--	-1,9	-1,5	--	--	20080,99	15287,04	10463,89	13229,58	14811,59	14895,60
YJL087C	--	--	--	--	--	11353,03	11018,13	12530,32	11393,36	14500,48	10881,19
YJL088W	--	--	--	--	+3,3	5383,55	6254,73	5511,05	5368,32	6661,61	18032,76
YJL089W	--	--	--	--	+2,7	5815,39	5993,81	7216,58	8159,02	6725,18	15863,02
YJL090C	--	--	--	--	+1,7	4712,30	4131,45	4548,00	4064,91	5535,61	7873,29
YJL091C	--	--	--	--	--	3975,27	3906,19	4986,78	4206,61	3238,70	2835,93
YJL092W	--	--	--	--	+1,6	15974,79	17422,63	21360,84	21429,05	20704,38	25870,08
YJL093C	--	--	--	--	+1,8	8748,96	8057,75	9455,65	9032,56	11499,89	15525,27
YJL094C	--	--	--	--	--	3527,26	3486,84	4649,91	3420,99	5078,35	3343,82
YJL095W	--	--	--	+1,5	+1,7	12913,65	8983,38	11886,69	11952,97	19586,71	21895,04
YJL096W	--	--	--	--	--	8170,15	7933,31	9578,42	10148,60	8417,59	9225,39
YJL097W	--	+1,8	--	--	-1,5	12267,26	12330,54	21813,15	16822,30	11701,91	7967,76
YJL098W	-1,6	-1,7	-2,2	--	--	33574,70	20813,84	20010,68	15079,41	49506,15	43430,38
YJL099W	--	--	--	+1,7	--	9014,21	8066,91	6061,33	8005,09	15108,54	11498,42
YJL100W	--	--	--	--	--	7582,95	8753,58	5909,30	8181,69	7241,92	9806,39
YJL101C	--	--	--	--	--	17604,89	18115,53	13247,46	14123,23	13410,32	16461,20
YJL102W	--	--	--	--	--	3667,88	4377,27	2921,31	3467,58	3804,31	3426,97
YJL103C	--	--	--	--	--	5312,22	6098,10	3906,30	4644,74	4510,47	7533,25
YJL104W	--	--	--	--	--	6652,00	7286,00	6148,64	7292,05	5755,86	7005,54
YJL105W	--	--	--	--	--	3572,62	3807,87	3353,08	3871,84	2997,50	2629,46
YJL106W	--	--	--	--	--	4403,98	4951,09	4064,49	4543,43	4135,29	5101,45
YJL107C	--	--	--	--	--	4681,38	4773,62	4316,93	4934,08	3674,69	5323,83
YJL108C	--	--	--	--	--	7252,98	8181,05	5630,73	6643,56	5207,49	8718,77
YJL109C	--	--	--	--	+1,7	9375,58	10003,60	8565,61	10131,28	9224,95	15672,64
YJL110C	--	--	--	--	--	5371,41	5509,82	3631,79	3994,08	4042,52	4646,27
YJL111W	--	-1,9	--	--	-1,8	16732,87	17176,71	8840,88	12879,29	13611,63	9069,60
YJL112W	--	--	--	--	+1,9	5212,29	5275,99	3697,55	4918,68	4857,86	10107,35
YJL113W	--	--	--	--	--	8587,51	11361,15	7821,78	8837,73	9396,22	12110,13
YJL114W	--	-1,7	-1,6	-2,5	--	21241,41	18314,64	12481,26	13592,93	8604,29	31656,46
YJL115W	--	--	--	--	--	9750,82	11811,77	9105,35	11893,09	7188,62	12881,49
YJL116C	--	-1,6	--	-1,8	+4,7	11516,81	8921,97	7111,15	8571,66	6316,43	53847,73

ORF	Änderungsfaktor					Normalisierte Signalintensität					
	10 min	20 min	30 min	16 h	5d	0 min	10 min	20 min	30 min	16 h	5d
YJL117W	--	-1,7	--	--	--	15032,69	15927,96	8972,64	11668,20	21897,47	11865,80
YJL118W	--	--	--	--	--	3470,31	4993,86	3624,71	4483,45	3554,10	4296,37
YJL119C	--	--	--	--	--	4212,17	4428,45	5271,33	4686,23	3162,63	4865,23
YJL120W	--	--	--	-1,7	-1,9	3785,82	4295,57	4787,46	4502,56	2205,94	1955,94
YJL121C	--	--	--	--	--	11754,83	13684,79	9742,58	11693,44	8303,06	8513,27
YJL122W	--	--	--	--	--	8047,75	10907,22	6679,03	9151,71	9162,34	5594,25
YJL123C	--	--	--	--	--	5225,84	5163,21	4794,92	4874,38	5017,81	5510,09
YJL124C	--	--	--	--	+2,1	11866,84	11154,80	8948,56	11665,61	13841,77	24975,80
YJL125C	--	--	--	--	-2,3	3808,80	4859,55	3674,60	4368,66	4197,51	1692,00
YJL126W	--	-1,7	-2,5	-3,1	-2	112924,01	95911,54	68251,62	45754,18	36768,51	56268,80
YJL127C	--	--	--	-1,5	--	12145,18	13680,94	12238,35	13604,08	7905,50	13224,37
YJL128C	--	--	--	-2	-1,7	19112,62	16061,99	14981,77	15572,81	9613,31	11280,22
YJL129C	+1,6	--	+1,8	--	+4	21437,15	34276,38	28099,66	37614,93	25403,25	86207,22
YJL130C	--	--	--	--	--	3236,73	4364,55	3817,88	3686,95	2349,37	2607,54
YJL131C	--	--	--	--	--	10831,92	9823,21	9263,83	8862,38	12828,71	15279,46
YJL132W	--	--	--	--	--	2998,62	3435,70	4186,84	3541,84	3371,14	3218,21
YJL133W	--	--	--	--	--	5251,01	4859,99	4442,91	4315,78	3653,70	4786,29
YJL134W	--	--	--	--	--	11486,98	10616,65	7810,12	8488,35	11596,53	14063,29
YJL135W	+1,5	--	--	--	-1,6	3236,80	4951,26	3240,94	3603,29	4058,37	1970,70
YJL136C	--	-1,6	--	-2,1	--	117562,74	103581,21	74751,60	145660,33	57118,10	88695,93
YJL137C	--	--	--	--	+1,5	3849,91	4014,25	3897,84	4036,53	3699,21	5822,17
YJL138C	--	--	--	-1,6	--	166959,76	143070,53	136936,27	121020,94	103429,20	161661,64
YJL139C	--	--	--	--	--	28752,55	28876,52	27346,14	23440,87	24431,20	19637,63
YJL140W	--	--	--	-2	-2,1	67126,09	48027,33	58132,43	52128,50	34261,41	31962,95
YJL141C	--	--	--	--	+2,1	3606,19	3396,54	3473,66	3275,58	4903,01	7541,39
YJL142C	--	--	--	--	+4,4	3784,68	3917,13	4268,60	3990,10	4701,99	16703,75
YJL143W	--	--	--	--	--	9722,76	10844,07	12477,37	11931,62	11521,40	10663,29
YJL144W	--	--	--	--	+2,2	9374,23	8268,47	7404,25	6384,94	9017,13	20508,87
YJL145W	--	-1,8	--	+2,2	+1,5	18060,62	12701,01	10143,02	13967,69	39025,35	27266,79
YJL146W	--	--	--	--	--	12911,21	13266,06	9383,63	12461,09	16725,36	13159,47
YJL147C	--	--	--	--	--	11051,44	10310,48	7974,90	9489,75	16466,37	10968,24
YJL148W	--	--	--	--	--	10598,38	11780,78	9160,52	10695,45	15788,52	8021,32
YJL149W	--	--	--	+1,9	+1,9	4244,03	3291,95	3771,67	3327,55	7938,54	8101,36
YJL150W	--	--	--	--	--	5546,37	4489,42	4426,22	4794,52	4532,57	8225,67
YJL151C	--	--	--	--	+1,8	34602,00	28247,93	25778,78	28683,62	25492,64	60669,40
YJL152W	--	--	--	--	+2,5	10964,91	11565,97	11992,69	11457,59	8535,60	26966,03
YJL153C	--	--	--	--	--	3804,21	4632,49	4666,00	5015,63	4504,30	3813,17
YJL154C	--	--	--	--	--	3320,90	3695,93	3479,57	2941,62	3430,63	3577,38
YJL155C	--	--	--	--	--	3150,84	3167,22	3173,50	3045,94	4293,64	2793,18
YJL156C	--	--	--	+2,4	--	8508,20	7967,99	8047,83	8076,92	20615,07	12261,98
YJL157C	--	--	--	+3	+2	51998,12	45456,37	41041,13	40087,89	153811,77	106126,21
YJL158C	-1,6	-2,8	-1,8	+3	+1,8	48874,14	30900,77	17703,72	27763,28	145201,15	87040,27
YJL159W	--	--	-1,6	+4,2	--	16843,66	13427,57	11281,48	10370,38	71336,94	24989,53
YJL160C	--	--	--	+1,7	--	5491,99	4956,66	4797,53	4878,41	9172,77	8156,37
YJL161W	--	--	--	+2,3	+2,8	11478,39	12638,07	9605,28	10621,83	26096,36	31942,27
YJL162C	--	--	-1,7	+4,8	+3	9460,19	8625,85	7041,31	5707,61	45820,32	28464,18
YJL163C	--	--	--	--	+3,1	9885,01	9791,43	9652,91	9183,26	12791,03	30791,71
YJL164C	--	--	--	--	+3,6	13426,56	13955,68	14190,86	12971,35	16642,46	47676,55
YJL165C	--	--	--	--	+1,6	9309,08	10341,41	7630,83	11204,04	11361,46	15127,39
YJL166W	--	--	--	--	+4	43421,33	44993,79	34933,49	40765,86	35992,08	172804,38
YJL167W	--	--	-1,7	--	-1,6	51452,25	56197,14	34639,38	29657,94	39647,92	31196,22
YJL168C	--	--	--	--	--	7440,33	5627,70	6614,41	5929,15	10640,73	7590,17
YJL169W	--	--	--	--	--	3187,22	2987,43	3785,04	2674,01	3783,33	2198,37
YJL170C	--	-1,7	-1,6	--	--	10559,87	9482,66	6093,25	6658,88	9334,52	7752,08
YJL171C	--	-1,8	-1,7	--	-1,9	38992,52	32157,22	21861,98	23238,17	28111,76	20373,93
YJL172W	--	-1,8	--	-1,8	-2,2	102152,37	84448,99	57259,36	72961,87	57958,95	45895,96
YJL173C	--	--	--	--	+2,1	8946,48	9844,31	7902,26	9995,55	8947,23	19144,51
YJL174W	--	--	--	--	--	6551,03	5575,00	5538,69	5015,89	8782,09	7715,74
YJL175W	--	--	--	--	--	11274,43	9148,35	9308,08	9606,82	8977,82	16132,96
YJL176C	--	--	--	--	--	9673,92	8471,45	6804,48	6961,06	12041,07	10400,66
YJL177W	--	--	--	-1,9	-4,4	109754,48	111954,19	84633,63	83486,64	58036,47	24702,18
YJL178C	--	--	--	-1,7	--	10174,14	8820,72	7073,48	7714,10	5964,13	12421,57

ORF	Änderungsfaktor					Normalisierte Signalintensität					
	10 min	20 min	30 min	16 h	5d	0 min	10 min	20 min	30 min	16 h	5d
YJL179W	--	--	--	-1,9	-2,7	25000,60	28914,63	22289,52	26415,08	13405,40	9327,50
YJL180C	--	--	--	--	--	7261,46	6481,81	6544,20	5760,38	8043,85	7945,20
YJL181W	--	--	--	+1,9	--	7959,58	10113,44	9975,43	7733,67	14980,26	6585,65
YJL182C	--	--	--	+1,6	--	6548,00	5719,34	4815,57	4664,61	10405,74	7156,18
YJL183W	--	--	--	--	--	6489,96	5563,55	4806,17	4451,80	7015,96	4973,33
YJL184W	--	--	--	--	--	8839,00	8081,07	6975,40	7478,60	6174,97	11937,65
YJL185C	--	--	--	--	--	18236,96	18409,97	13416,02	13170,87	16257,54	12524,10
YJL186W	--	--	--	--	+2	13409,76	14253,68	10206,35	12778,63	13213,97	26779,47
YJL187C	--	--	--	--	--	3781,72	3375,18	3856,50	4085,90	3869,11	3233,70
YJL188C	--	--	--	--	--	85910,72	99462,81	94100,78	112434,25	78582,58	60476,68
YJL189W	--	--	--	--	--	36217,35	37980,03	35481,62	45333,30	27732,24	27328,66
YJL190C	--	--	--	-1,8	-4,3	64651,90	76395,20	53878,06	71085,39	36924,30	15105,53
YJL191W	--	--	--	--	--	11707,76	15523,05	13886,50	13503,18	11143,03	10178,91
YJL192C	--	--	--	+1,8	--	12038,20	13960,96	11188,26	9538,22	21584,18	9397,16
YJL193W	--	--	--	--	--	4603,46	4493,36	5713,09	4390,46	5017,68	4575,18
YJL194W	--	+3,5	--	--	--	5393,81	6149,29	19009,24	5817,78	6368,13	5592,15
YJL195C	--	-1,9	--	-1,8	+1,6	26377,01	20481,34	13936,69	20712,33	14844,06	41796,35
YJL196C	--	-1,6	--	--	--	13339,35	12637,40	8341,45	11400,47	11259,73	15176,85
YJL197W	--	-1,9	-1,7	-2,6	-2,2	321203,97	309771,08	166745,20	193727,10	122720,29	143409,48
YJL198W	--	--	--	--	--	4169,82	4765,07	3460,20	3825,09	3986,07	4961,40
YJL199C	--	--	--	--	+1,5	10342,41	12509,68	10282,70	11707,13	7981,58	15808,59
YJL200C	--	--	--	--	-1,5	4877,34	4361,22	3298,59	4072,06	3720,18	3223,19
YJL201W	--	--	--	--	--	3312,15	3769,26	3168,73	3975,03	3053,67	3072,64
YJL202C	--	--	--	--	--	3986,78	5281,79	4620,23	5310,44	3633,85	4768,11
YJL203W	--	--	--	-1,7	--	7652,37	8831,63	6571,54	6823,22	4446,30	10922,43
YJL204C	--	--	--	--	--	3052,19	4055,74	3357,78	3473,69	2998,94	3395,76
YJL206C	--	--	--	--	--	4817,50	5813,21	4338,08	4673,83	5077,27	3581,47
YJL206C	--	--	--	--	--	3295,26	4271,72	3678,00	3654,38	4268,28	4516,40
YJL207C	--	--	--	--	--	3540,27	4281,98	3808,81	5227,62	4209,72	3619,67
YJL208C	--	--	--	-1,6	--	30556,44	30467,53	22645,19	29451,50	19033,13	44626,22
YJL209W	--	-1,8	-1,8	-2	-2,7	409545,20	379838,64	223459,31	224297,57	204412,25	154181,65
YJL210W	--	--	--	-1,8	+1,8	15268,13	14392,31	11684,00	12980,34	8274,98	27531,38
YJL211C	--	--	--	--	--	4627,41	5974,97	5675,23	5464,57	3739,21	4002,29
YJL212C	--	--	--	--	+1,6	7123,04	5448,10	4956,72	5533,08	5545,88	11290,01
YJL213W	--	--	--	--	-1,5	6852,21	7841,52	6264,18	7695,85	6758,86	4517,32
YJL214W	--	--	--	--	--	3115,46	3814,92	4264,79	3236,08	2678,84	2895,15
YJL215C	--	--	--	-1,7	--	2968,33	3862,75	3448,27	3799,81	1770,72	2172,46
YJL216C	--	--	--	--	--	3004,26	3356,28	3114,22	3266,93	2447,33	2536,16
YJL217W	--	-1,6	--	+1,8	--	80911,56	57518,97	50419,80	54177,36	144231,32	113998,47
YJL218W	--	--	--	--	-1,6	5980,76	8234,19	5137,21	6286,19	5453,89	3627,68
YJL219W	--	-1,6	--	--	+2,4	6239,50	5591,22	3951,48	6100,07	6531,49	15208,15
YJL220W	--	--	--	--	-1,6	6490,06	5675,22	4613,45	5016,32	5288,02	4093,97
YJL221C	--	--	-1,6	-2	-2,4	328505,83	379377,35	252543,21	203152,73	164885,04	138584,16
YJL222W	--	--	+1,6	--	--	30893,36	34754,26	41455,48	49705,22	21411,71	41504,16
YJL223C	--	--	--	-2,3	--	33449,16	25582,75	26901,89	25994,82	14266,56	35259,26
YJL225C	--	--	--	--	--	53487,18	42897,94	40699,42	49015,75	37593,74	66645,98
YJR001W	--	--	--	--	--	7443,53	9271,24	7785,44	8781,98	6744,48	8531,58
YJR002W	--	--	--	-1,8	--	23169,60	15709,36	15818,90	15987,52	12776,72	16436,92
YJR003C	--	--	--	+1,7	--	5735,82	6179,89	5272,27	5433,92	9963,17	6325,32
YJR004C	--	--	--	--	+1,5	3397,73	3644,26	3319,07	2991,61	2648,86	5130,79
YJR005W	--	--	--	--	--	4551,62	4271,45	3712,93	3878,23	4808,72	4511,40
YJR006W	--	--	--	--	--	5957,55	5729,55	4458,65	5486,99	6611,12	5206,38
YJR007W	--	--	--	-1,7	--	61680,11	49573,24	41238,50	52666,61	35552,82	44198,22
YJR008W	--	--	--	-1,7	+2,9	18347,42	19946,89	13360,31	19100,10	10987,23	53667,61
YJR009C	--	--	-1,8	-1,5	-2,6	2129413,85	1770016,04	1783119,50	1166262,42	1383714,25	824294,51
YJR010C	-1,5	--	--	-2,1	-2,2	47830,70	31347,28	37781,57	36136,42	22846,41	22008,16
YJR010W	--	--	--	+1,5	--	4123,99	4526,31	4811,98	4832,36	6215,72	2970,62
YJR011C	--	--	--	-2,3	-2	22187,03	14949,73	15287,43	15149,99	9698,81	11209,45
YJR012C	--	--	--	--	--	4599,61	5047,63	5086,44	5787,82	5349,60	6399,38
YJR013W	--	--	--	--	--	3604,11	4133,22	4247,00	3741,31	4563,33	3593,79
YJR014W	--	--	--	--	--	7108,80	8419,99	6628,82	7077,91	6883,36	7227,66
YJR015W	--	--	--	--	--	14666,86	10056,39	11716,93	13845,96	19867,34	16831,04

ORF	Änderungsfaktor					Normalisierte Signalintensität					
	10 min	20 min	30 min	16 h	5d	0 min	10 min	20 min	30 min	16 h	5d
YJR016C	--	-1,5	--	+2,1	--	16026,73	19395,40	10362,40	12360,23	34193,25	19828,51
YJR017C	--	-1,5	--	--	--	20391,73	16323,47	13545,71	16816,30	23305,43	23780,63
YJR018W	--	--	--	--	--	15594,22	13658,06	10954,84	12544,46	22284,07	14973,28
YJR019C	--	--	--	--	--	4201,80	4421,49	3887,75	4377,68	5738,37	3965,72
YJR020W	--	--	--	--	-1,7	4656,51	3892,96	4209,39	4027,39	4151,70	2715,23
YJR021C	--	--	--	-1,7	+2,4	17588,79	13936,93	12218,81	15180,08	10199,24	42310,99
YJR022W	--	--	--	-1,6	--	13281,94	11720,15	10956,42	11092,40	8080,11	19095,14
YJR023C	--	--	--	--	--	7974,11	7540,19	8120,03	8019,23	6093,84	8662,04
YJR024C	--	--	--	--	-1,6	8724,38	9882,81	10638,60	11405,22	6821,30	5516,17
YJR025C	--	--	--	--	--	6464,85	6112,37	6695,25	6528,94	4429,58	7608,28
YJR026W	--	--	--	--	--	3685,70	3273,78	3039,96	2782,93	2926,09	4871,23
YJR027W	--	-1,5	--	+2,5	+1,8	145298,60	105554,76	96102,74	99210,09	366354,11	259811,60
YJR028W	-1,5	-1,8	--	+3,9	+2,4	59899,91	38980,01	32867,50	40190,26	234307,57	143973,37
YJR029W	--	--	--	+4	+1,7	279132,75	219615,02	211341,30	203487,20	1129156,50	476899,16
YJR030C	--	--	--	+1,7	+1,9	4458,59	4227,47	3949,27	4052,11	7575,62	8264,24
YJR031C	--	--	--	--	+4,1	10943,63	12212,27	13712,37	12665,09	16091,32	44814,10
YJR032W	--	--	--	--	--	7179,12	5380,04	4929,60	5199,33	6881,65	5301,34
YJR033C	--	--	+1,5	--	+2,8	16565,68	19428,55	24534,67	25449,17	18637,24	45846,05
YJR034W	--	--	--	--	+2,6	12558,73	14054,34	12106,36	10031,45	16568,39	32198,59
YJR035W	--	--	--	--	+2,7	35195,40	32669,31	32094,32	34236,36	32821,46	96079,33
YJR036C	--	--	--	--	--	7501,71	7932,83	5745,40	6256,63	6234,45	5481,54
YJR037W	--	-2,1	-2	-1,6	-1,8	20144,67	17173,82	9444,62	10288,83	12792,33	11182,17
YJR038C	--	--	--	+2,2	--	5123,29	6485,04	6640,44	5809,82	11317,07	3986,70
YJR039W	--	-1,5	--	--	--	32775,52	23509,97	21383,99	21965,31	37489,09	35480,11
YJR040W	--	--	--	+1,6	-2,2	4010,96	3415,67	4942,03	4502,36	6233,13	1793,90
YJR041C	--	--	--	--	--	60269,05	60761,82	43375,55	40605,10	75684,85	42095,36
YJR042W	--	--	--	--	--	4306,22	3961,22	4071,72	4578,14	4555,78	3705,08
YJR043C	--	--	--	--	+1,6	8839,30	6915,51	6546,73	7286,04	10753,57	13966,98
YJR044C	--	--	--	--	--	8162,45	6800,65	7773,36	6477,83	7849,59	9596,62
YJR045C	--	-1,5	-1,7	--	--	36053,22	26446,96	23972,67	21457,29	53505,85	34059,04
YJR046W	--	--	--	--	+1,8	13864,30	12883,20	11778,14	10989,80	13705,93	25131,88
YJR047C	--	--	--	+1,6	-3,3	81694,80	107117,27	71389,69	99847,09	129418,47	25007,90
YJR048W	+1,7	--	--	-1,6	-2,6	19178,34	33260,93	20651,84	21947,11	12063,77	7472,77
YJR049C	--	--	--	--	--	4594,41	4331,16	5066,46	4336,54	5501,48	5995,52
YJR050W	--	--	--	--	--	4539,08	4225,80	4996,92	4183,89	5306,22	3997,66
YJR051W	--	--	--	--	+1,6	4402,34	5127,16	4878,21	3908,20	5034,28	7112,90
YJR052W	-1,6	-1,7	-1,9	+1,6	--	10645,87	6491,28	6151,69	5479,25	16541,45	14575,23
YJR053W	--	-2,2	-2,1	-1,6	-1,6	123815,53	98699,13	57089,01	58471,31	77085,50	78204,59
YJR054W	--	--	--	--	--	6407,06	6069,31	6796,24	6648,84	7414,73	8855,89
YJR055W	--	--	--	--	--	6210,95	5849,97	5795,71	5611,21	7326,19	8657,06
YJR056C	--	--	--	--	--	7868,16	5295,35	6158,26	5807,16	6928,86	11165,27
YJR057W	--	--	--	-1,6	--	21204,71	27175,65	19249,54	25036,49	13176,23	24997,98
YJR058C	--	--	--	-1,5	--	80920,04	79324,02	89841,93	114720,93	52910,81	66252,64
YJR059W	--	--	--	--	+2,2	12886,35	10804,85	9735,38	11621,26	13114,55	28295,35
YJR060W	--	--	--	--	--	8825,71	9835,17	7589,28	8091,96	11371,78	9685,13
YJR061W	--	--	--	--	+3,3	6403,16	6387,71	7991,38	8372,31	7680,76	21042,39
YJR062C	--	--	--	--	--	8359,65	8162,67	9701,13	8362,03	9391,42	5862,98
YJR063W	--	--	--	+1,5	-2	113793,36	106336,22	83907,58	111921,55	174158,97	56224,07
YJR064W	--	-1,9	-1,7	--	--	10413,06	9038,76	5551,25	6168,01	9373,14	7474,06
YJR065C	--	--	--	--	--	5729,13	5822,33	5072,39	5674,72	5312,10	5271,93
YJR066W	--	--	--	--	--	2917,04	3210,15	2556,88	3568,00	2403,20	3781,25
YJR067C	--	--	--	--	+1,7	7145,10	7304,68	5510,60	5969,84	5562,53	12309,55
YJR068W	--	--	--	--	--	5358,49	5676,45	3716,66	4252,61	3892,64	5527,78
YJR069C	--	--	--	--	-2,6	24114,08	29386,93	19465,81	24900,99	20623,31	9440,75
YJR070C	+1,5	--	--	--	-3,8	81138,51	122663,06	71561,48	111423,87	65278,41	21579,69
YJR071W	--	--	--	+1,8	--	9650,47	10454,53	7639,84	8425,05	17245,56	8157,27
YJR072C	--	--	--	--	+1,6	7142,33	9122,05	6893,80	7756,96	8576,74	11710,04
YJR073C	--	-1,6	--	-2	+2,6	10010,29	7509,56	6117,66	7054,49	5061,68	25756,83
YJR074W	--	--	--	--	+1,8	6447,23	6781,25	5589,59	6429,44	4582,01	11799,97
YJR075W	--	--	--	--	--	3692,40	4022,40	3709,86	3683,64	3662,00	2653,54
YJR076C	--	-2	--	--	--	11971,89	11071,70	6078,65	8690,63	14290,60	9673,94
YJR077C	--	-1,8	--	-2,3	--	51292,50	64278,44	28190,75	49043,46	22484,72	47575,76

ORF	Änderungsfaktor					Normalisierte Signalintensität					
	10 min	20 min	30 min	16 h	5d	0 min	10 min	20 min	30 min	16 h	5d
YJR078W	--	--	--	--	--	4408,18	4833,00	4287,69	4964,19	4152,08	4991,24
YJR079W	--	--	--	--	+2,9	8528,29	7379,99	6976,12	7980,53	7694,20	24990,08
YJR080C	--	-1,6	-1,5	-1,8	--	15359,08	13778,89	9618,31	10102,69	8729,91	21664,18
YJR082C	--	--	--	-1,6	+2,4	11481,64	11321,17	10948,03	10532,08	7186,31	28038,94
YJR083C	--	--	--	--	--	3947,49	3946,43	3638,69	3714,56	2909,11	3220,34
YJR084W	--	--	--	--	+2,1	13371,91	14422,22	10495,70	14590,41	18146,49	28015,61
YJR085C	--	--	+1,5	--	+1,7	4847,78	6643,54	5286,83	7387,06	4021,28	8000,22
YJR086W	--	--	--	--	--	9400,28	8831,64	7032,45	7450,73	7208,92	12784,12
YJR087W	--	--	--	--	--	4460,59	4622,64	4727,12	4745,72	5783,63	4723,01
YJR088C	--	--	--	--	-2,2	3484,97	3634,00	3186,91	3869,99	2726,96	1607,22
YJR089W	--	-1,5	--	--	--	15792,46	16172,43	10272,48	14146,40	15571,98	17536,20
YJR090C	--	--	--	--	+1,5	13696,08	13128,35	15136,75	12804,85	15051,63	20708,03
YJR091C	--	-1,8	--	--	+1,6	10722,34	7613,65	5883,22	7279,26	11324,78	17155,15
YJR092W	--	--	--	--	--	4264,54	4834,40	4585,91	4425,37	3644,17	3616,86
YJR093C	--	--	--	-2,4	--	259618,42	218578,62	176492,23	178332,42	109465,29	333574,40
YJR094C	--	--	--	--	--	5402,24	5936,57	5183,79	5270,45	4204,36	5048,38
YJR095W	--	--	--	--	+3,3	4114,93	4313,88	4360,60	4025,93	3933,37	13539,39
YJR096W	--	+1,6	--	--	+3,8	2720,35	3274,75	4345,44	2825,90	2522,26	10292,88
YJR097W	--	--	--	--	--	4856,29	4893,61	4587,24	4045,18	5219,73	5595,39
YJR098C	--	--	--	--	--	4090,73	4217,70	4523,57	3898,55	4173,70	3804,99
YJR099W	--	--	--	-1,6	-1,7	3581,16	3983,81	3306,24	3486,45	2302,74	2151,97
YJR100C	--	--	--	--	+1,6	8354,61	8200,70	6979,26	7011,91	9819,64	13679,52
YJR101W	--	--	--	--	--	3722,60	3935,39	4276,97	4049,91	3541,81	2735,08
YJR102C	--	--	--	--	--	11555,88	9867,31	8589,53	11006,46	8527,32	11702,71
YJR103W	--	--	--	--	-1,6	3334,95	3119,62	2962,88	2909,31	4039,44	2073,43
YJR104C	--	--	--	--	+3,6	109860,84	109010,39	115149,75	121750,24	74673,04	393605,53
YJR105W	--	--	--	--	--	19286,34	22516,04	18642,90	17825,97	23746,72	13264,69
YJR106W	--	--	--	-1,6	-2	20253,46	17218,05	18705,05	13853,69	12812,56	9938,00
YJR107W	--	--	--	--	+1,6	4123,51	4500,24	4552,04	4130,64	3978,12	6755,87
YJR108W	--	--	--	--	--	3391,18	3758,49	4020,05	3452,42	2961,67	4897,61
YJR109C	-1,7	--	--	-1,7	-2,4	16008,39	9672,13	11434,94	13211,79	9359,30	6684,79
YJR110W	--	--	--	--	-1,7	3516,38	3631,96	4193,84	3136,36	4775,18	2066,56
YJR111C	--	--	--	--	--	4665,70	5490,37	4422,13	4134,77	6292,46	4195,95
YJR112W	--	-1,6	--	+1,6	--	28734,01	19815,46	17683,73	24161,22	46386,90	34921,69
YJR113C	--	--	--	--	--	10550,93	8147,49	7312,11	8126,77	10332,24	10263,11
YJR114W	--	--	--	--	--	19111,34	18557,84	16279,11	16677,37	19393,84	13193,87
YJR115W	-4,6	-5,9	-7,6	-1,7	+1,5	58831,37	12789,40	9947,61	7742,16	34721,57	89625,96
YJR116W	--	--	--	+1,9	--	5710,78	5664,02	5202,25	6082,52	10743,54	6781,71
YJR117W	--	-1,7	--	--	--	11913,97	8711,94	7091,67	8527,60	9601,74	17815,68
YJR118C	--	--	--	--	+2,1	15519,89	15067,60	13807,67	11237,58	14355,68	33010,59
YJR119C	--	--	--	--	--	3570,43	3654,93	3987,66	3949,85	3983,85	3582,96
YJR120W	--	--	--	--	+4	5634,42	5218,07	5125,79	5898,67	6797,27	22389,71
YJR121W	--	--	--	+1,6	--	100264,31	80049,82	76366,82	70275,36	155512,14	100220,26
YJR122W	--	--	--	+1,8	--	5793,96	5177,47	4973,66	4626,09	10198,50	7108,48
YJR123W	--	--	--	--	--	4570,23	3400,23	3629,27	3495,78	3477,30	3306,32
YJR124C	--	-2,2	-2,2	--	--	12286,12	8550,28	5530,08	5493,37	10260,51	12068,62
YJR125C	--	-1,8	-1,9	--	-1,7	46894,95	40381,51	25479,93	24459,20	37890,39	27663,00
YJR126C	--	--	--	+2	--	360894,22	350052,03	258139,08	296742,41	709570,98	313271,41
YJR127C	--	--	--	--	+3,6	11476,26	9233,77	11207,27	11805,85	16527,37	41569,19
YJR128W	--	--	--	+3,9	+2,6	17152,60	18303,86	16320,29	17308,35	67494,57	44710,49
YJR129C	--	--	--	+1,9	+3,1	7902,98	7799,95	8353,75	8399,67	15211,31	24310,47
YJR130C	--	+1,6	+1,6	+5	+6,8	13839,90	17073,06	22707,42	21758,13	69062,16	94593,08
YJR131W	--	--	--	--	--	11175,14	12425,50	11879,54	12967,41	11264,18	13480,27
YJR132W	--	--	--	--	+2,2	20581,45	23215,94	18257,50	21132,87	18696,65	45771,07
YJR133W	--	--	--	--	--	6453,02	6972,25	5246,82	5637,74	4933,88	6455,49
YJR134C	--	--	--	--	--	5858,28	6003,44	5590,40	4932,42	6113,86	4626,74
YJR135C	--	--	--	--	--	4619,32	4261,64	5390,87	4192,70	4979,26	3871,16
YJR136C	--	-2,2	-1,9	-1,7	--	21237,88	16163,00	9821,90	11319,91	12196,56	18992,36
YJR137C	--	--	--	--	--	12021,96	10597,08	10992,50	10773,02	8850,80	13661,36
YJR138W	--	-1,9	-1,7	--	-1,6	86994,25	75079,24	46974,74	50733,28	65991,89	52981,63
YJR139C	--	-1,6	--	--	--	18635,45	16022,77	11352,77	12765,47	15230,95	12444,03
YJR140C	+2,1	+2,3	+3,6	--	+2	107665,74	224928,89	242826,51	390181,46	123659,26	216489,02

ORF	Änderungsfaktor					Normalisierte Signalintensität					
	10 min	20 min	30 min	16 h	5d	0 min	10 min	20 min	30 min	16 h	5d
YJR141W	--	-1,7	-2,2	-2,2	+1,6	24613,98	28041,86	14491,82	11014,64	11147,92	39439,92
YJR142W	--	--	--	--	+1,6	8232,04	9082,87	9457,18	9343,67	8610,98	12938,87
YJR143C	--	--	--	--	-1,9	10283,42	11869,61	10814,84	13440,21	12302,87	5503,65
YJR144W	--	-1,6	-2,2	-1,5	--	16023,59	12838,77	9727,59	7258,02	10671,78	19301,22
YJR145C	--	--	--	--	-2,5	40308,88	40540,03	41175,45	30156,10	42118,49	16190,57
YJR146W	--	--	--	--	--	4027,33	4154,35	4341,61	3825,33	5435,92	3445,04
YJR147W	--	--	--	+2,2	-3	19940,41	23788,62	17971,61	19311,40	43324,67	6560,74
YJR148W	--	--	--	--	--	12557,53	13503,36	10218,03	15075,37	17744,56	15519,65
YJR149W	--	--	--	--	--	5787,27	4860,30	5165,65	4864,27	5552,65	7838,90
YJR150C	-1,5	-1,6	--	+1,6	+4,4	12486,16	8320,48	8043,26	8383,69	20510,76	55188,35
YJR151C	--	--	--	+2,8	+2,8	42815,47	51569,05	52216,26	55100,08	121003,07	121153,39
YJR152W	--	--	--	--	+1,8	5806,68	4923,95	5620,42	4891,11	4779,42	10634,77
YJR153W	--	--	--	--	--	3911,96	3593,55	4314,77	3723,35	3989,34	4606,98
YJR154W	--	--	--	--	--	3742,82	3627,64	4423,65	4161,34	4248,85	5180,88
YJR155W	--	--	--	--	+12,2	10479,13	11337,62	10212,92	12126,66	9738,83	127913,79
YJR156C	--	--	--	-1,6	--	10177,36	11236,02	7189,20	10606,53	6172,90	9482,80
YJR157W	--	--	--	--	--	5529,45	6066,80	6455,62	6033,19	5910,17	7289,33
YJR158W	--	--	--	+1,6	-1,7	19219,38	17924,75	21209,97	17759,55	30041,37	11519,08
YJR159W	--	--	--	--	+2,2	12787,36	11462,55	14551,73	13161,47	9213,39	27530,87
YJR160C	--	+1,8	--	+1,5	-1,7	3951,52	3154,54	6938,79	4479,67	5994,97	2341,69
YJR161C	--	-1,8	-1,5	--	--	14253,66	9510,49	7974,43	9487,49	11946,94	18423,20
YJR162C	-1,5	--	--	-1,6	+1,6	9491,85	6197,14	6418,51	6389,18	5873,43	15610,24
YKL001C	--	--	--	--	--	7379,70	6181,99	7838,59	5483,04	5519,14	6354,31
YKL002W	--	-1,6	--	--	+2,3	11672,20	10192,03	7161,32	9336,52	8108,86	26607,13
YKL003C	--	--	--	--	--	6881,06	7189,24	4867,25	6171,06	5188,70	9592,12
YKL004W	--	-2,3	-1,9	-1,9	-2,3	94887,22	100783,05	41562,65	49151,30	50167,54	41943,24
YKL005C	--	-1,7	--	--	+3,1	12355,63	11959,55	7428,28	11801,22	12683,96	38139,30
YKL006B	--	--	--	--	-1,9	10671,65	12169,49	9812,70	12810,24	8481,50	5513,71
YKL006W	--	-1,6	--	-2,3	-4,6	389048,78	415450,78	237098,24	436586,60	170256,67	84021,08
YKL007W	--	-1,5	--	--	--	9331,71	9114,18	6192,19	7307,50	9011,92	8672,33
YKL008C	--	--	--	--	--	4194,58	4636,18	3993,59	3950,71	3128,05	5794,71
YKL009W	--	--	--	-1,5	--	3811,85	4727,82	3610,08	4003,48	2463,13	2649,60
YKL010C	--	--	--	-1,8	+1,9	16436,20	13792,55	12996,87	14129,53	9307,92	31803,38
YKL011C	--	--	--	--	--	2886,47	3623,82	2997,69	3676,37	3431,06	3859,35
YKL012W	--	-1,9	-1,6	-1,8	--	27940,54	25656,73	14667,83	17519,28	15935,89	32666,57
YKL013C	--	--	--	--	--	5612,65	6952,41	4210,69	6045,11	5862,14	6762,20
YKL014C	--	--	--	--	--	4348,51	4375,80	3513,38	4638,21	4335,64	4357,71
YKL015W	--	-1,7	-1,9	-2,5	-2,6	796853,30	766135,14	479304,21	414728,93	322105,31	311712,20
YKL016C	--	-1,7	-1,8	-3,2	+1,6	29358,68	25826,34	16855,03	15941,02	9104,40	45933,26
YKL017C	--	--	--	-1,8	--	23609,26	27023,82	23147,67	24075,16	13112,43	30493,67
YKL018W	--	--	--	--	--	7174,40	8325,83	6958,40	7272,37	5768,73	7682,94
YKL019W	--	--	--	--	--	7354,20	10064,15	7535,25	8350,11	6445,81	6210,30
YKL020C	--	--	--	--	-1,7	2787,41	3590,77	3168,93	2685,55	2361,13	1645,24
YKL021C	--	--	--	--	--	3753,99	5046,09	3914,08	4299,64	3811,82	4255,42
YKL022C	--	--	--	-1,7	-1,7	3471,75	3719,63	4262,04	3291,51	2087,55	2002,34
YKL023W	--	--	--	--	--	4884,16	4364,04	4256,34	3863,31	4202,48	4044,55
YKL024C	--	--	--	--	--	23039,12	21044,55	16704,45	17136,51	18429,44	24315,71
YKL025C	--	-1,7	--	-1,7	--	40021,18	32492,47	23862,71	33842,37	23817,58	48968,65
YKL026C	--	--	--	--	+5,6	8458,57	7533,43	5993,41	7137,43	6538,02	47264,92
YKL027W	--	-1,5	-1,9	-2	-2,7	1371721,64	1308612,88	896444,46	738118,64	676146,16	509207,82
YKL028W	--	--	--	--	--	4943,10	5303,52	4547,91	4978,77	6767,54	5171,88
YKL029C	--	--	--	-2	-2,4	67205,90	50775,15	51685,80	54500,56	33286,49	28255,39
YKL030W	--	--	--	-2,4	-1,9	97034,94	64935,07	66914,87	68978,29	40599,26	51458,94
YKL031W	--	--	--	--	+5,4	4618,99	4991,57	5232,71	4620,99	3714,72	25135,42
YKL032C	--	--	--	--	--	5621,94	6857,91	5721,43	4725,44	7477,71	6578,73
YKL033W	--	--	--	--	--	10063,88	10717,32	7944,71	7690,36	12134,42	13144,32
YKL034W	-1,7	-1,6	--	+2,3	--	10236,55	5912,28	6407,21	8810,35	23260,93	12363,66
YKL035W	--	--	--	--	--	5822,83	5580,42	4615,32	5162,10	7088,30	8563,21
YKL036C	--	--	--	--	--	13594,04	12767,30	10962,94	13385,48	13165,20	14613,14
YKL037W	--	--	--	--	-2,3	4184,84	4091,43	3838,68	4417,45	4003,60	1833,80
YKL038W	--	--	--	-1,7	-2	557181,31	562554,01	398515,21	390391,49	318472,66	276024,59
YKL039W	--	--	--	-1,5	--	7220,25	5753,58	5196,08	4991,26	4669,69	9338,00



ORF	Änderungsfaktor					Normalisierte Signalintensität					
	10 min	20 min	30 min	16 h	5d	0 min	10 min	20 min	30 min	16 h	5d
YKL040C	--	--	--	--	-1,9	14693,69	14389,39	11172,73	10643,09	10745,55	7640,89
YKL041W	--	--	--	-2,2	-1,8	65213,29	51553,68	62665,22	46890,08	29303,25	36482,80
YKL042W	--	--	--	--	--	3676,47	4529,41	5033,46	4502,00	2996,91	2647,61
YKL043W	--	--	--	--	--	5960,01	6167,94	5995,94	5691,63	4202,86	4230,59
YKL044W	--	--	--	--	-1,5	4066,36	4137,13	4208,46	3800,19	4106,32	2668,53
YKL045W	--	+2,1	--	--	--	5435,76	4685,48	11324,80	5347,13	6735,69	4259,79
YKL046C	--	--	--	+3,3	+1,6	14624,52	15482,91	12311,43	15258,18	48693,68	23745,87
YKL047W	--	--	--	+1,6	--	38339,07	35863,15	31951,43	31354,02	59630,03	52857,23
YKL048C	--	--	--	--	--	24268,39	24143,85	16345,59	19228,16	33245,54	22657,75
YKL049C	-2,2	-4,4	-2,6	--	+1,6	41222,72	19009,52	9442,73	15742,52	40596,27	67541,08
YKL050C	--	--	+1,5	--	+6,1	16016,91	18432,55	23090,81	24567,24	16119,14	97662,57
YKL051W	--	--	--	--	--	4945,57	3607,41	3844,76	4929,27	4287,50	6096,15
YKL052C	--	--	--	--	+1,8	8053,60	6739,89	6428,39	6140,17	6176,16	14835,10
YKL053W	--	--	--	--	+1,8	7284,65	6470,33	10395,29	7766,85	7972,11	12989,66
YKL054C	--	--	--	--	-2	5397,48	6715,06	7669,72	7997,50	6232,96	2646,33
YKL055C	--	--	--	--	-2	8490,52	8257,81	7558,78	7834,25	8467,01	4310,98
YKL056C	--	--	--	--	-2,3	33468,99	46177,70	38131,56	49445,61	44759,94	14795,06
YKL057C	--	--	--	+2	--	18372,03	15029,85	12928,83	14529,06	37464,27	24820,34
YKL058W	--	--	--	--	--	219904,56	189320,31	161098,48	203469,48	299587,65	158264,25
YKL059C	--	-1,8	--	--	--	14885,62	11544,08	8399,34	10232,98	16351,69	11632,36
YKL060C	--	--	-1,5	--	-2,1	223999,40	268810,92	178895,83	148952,68	196818,67	107886,35
YKL061W	--	--	--	--	--	4197,80	3597,31	3910,11	3853,40	4462,27	3780,96
YKL062W	--	--	--	+2,3	+2,8	8006,90	5976,15	6911,76	7521,63	18655,71	22640,53
YKL063C	--	--	--	+1,8	+1,5	8972,17	9053,99	9473,81	7832,90	15925,95	13832,92
YKL064W	--	+2,8	+2,7	+11,5	+9,9	35957,18	46468,95	102246,88	97051,63	414119,80	357262,26
YKL065C	--	--	--	+2,1	+3,6	13784,72	12905,94	12777,01	13109,29	28681,24	49429,83
YKL066W	--	--	--	--	--	3181,93	2959,65	4205,06	3206,50	4136,50	2486,17
YKL067W	--	--	--	--	--	7354,64	7164,35	6602,10	6469,05	5551,25	9669,06
YKL068W	--	--	--	--	-1,7	4745,03	4615,41	4575,88	3794,69	4463,03	2738,26
YKL069W	--	--	--	--	--	16240,73	11612,60	12938,83	12279,80	15025,09	15515,80
YKL070W	--	--	--	--	--	10614,15	10685,92	8210,94	9621,03	11853,11	12558,49
YKL071W	--	--	--	--	--	5197,22	4383,11	4860,66	4530,52	5243,55	5193,81
YKL072W	--	-1,7	-1,9	--	-1,7	212647,09	153966,20	123086,82	113315,64	143263,15	126519,19
YKL073W	--	--	--	--	--	29939,15	32585,47	23562,16	23354,81	22432,57	20056,03
YKL074C	--	--	--	--	--	7154,70	5579,80	5795,84	5370,06	6280,74	9381,79
YKL075C	--	--	--	--	+2,2	7732,93	7049,77	6471,50	7775,09	9616,56	16693,22
YKL076C	--	--	--	--	+2,5	14991,13	15553,70	14455,56	16267,89	13128,50	37233,62
YKL077W	--	--	--	--	--	10974,61	9706,32	8281,33	10495,00	10400,62	11886,37
YKL078W	--	--	--	--	--	5026,75	4222,56	4273,37	4117,78	5752,39	5105,32
YKL079W	--	-1,6	-2,1	--	-2,8	68040,62	72549,98	42488,44	32376,38	51989,37	23879,46
YKL080W	--	--	--	--	--	4623,12	4068,71	3995,06	3964,44	5334,50	4813,19
YKL081W	--	--	--	--	--	3192,31	2904,85	3866,15	3115,17	4646,23	2241,71
YKL082C	--	--	--	+1,9	--	10214,47	11953,51	9126,77	8486,89	19495,58	8106,33
YKL083W	--	--	-1,9	-1,9	-1,8	9380,25	6297,02	7146,93	5043,31	5006,55	5329,70
YKL084W	--	--	--	--	--	5878,76	4382,13	4642,19	4684,49	6096,42	6827,69
YKL085W	--	-1,7	-2,6	+1,7	+5,8	29178,15	22110,34	16768,91	11279,45	49090,67	169650,60
YKL086W	--	--	--	--	+1,5	8439,10	7266,58	8238,32	7607,50	8469,85	12848,83
YKL087C	--	--	--	--	+1,7	11157,56	10156,08	9967,57	8642,56	9962,69	19335,30
YKL088W	--	--	--	--	+1,6	8825,75	8372,63	8360,71	9865,10	8255,53	13830,43
YKL089W	--	--	--	-1,9	--	76202,17	102735,75	59477,81	86251,47	40968,96	104198,91
YKL090W	-1,6	--	--	--	+7,2	5635,04	3616,19	4071,81	4122,35	5330,46	40799,69
YKL091C	--	--	--	--	--	4693,81	4583,16	4550,66	5129,65	6153,86	6319,16
YKL092C	--	--	--	--	--	5736,49	4583,63	5148,39	5458,81	5570,22	7121,64
YKL093W	--	--	--	--	--	5208,23	4229,33	4970,57	4406,25	5354,96	5956,42
YKL094W	--	--	--	--	+2,9	13432,81	17054,29	18845,05	18305,17	17333,05	38599,54
YKL095W	--	+5,3	--	+1,8	+1,5	3553,56	4229,84	18946,96	4554,98	6420,10	5460,99
YKL096W	--	--	--	+1,8	+1,6	7793,65	11156,87	7852,71	10666,68	14398,76	12367,36
YKL097C	--	--	--	--	+1,5	16574,98	14016,64	11132,60	17954,66	19373,94	25579,14
YKL097W	--	-1,6	--	--	+2,2	41556,27	34941,18	25546,35	35750,61	40153,08	91510,52
YKL098W	--	--	--	--	--	3081,55	3794,08	2914,65	3755,35	2857,70	2581,31
YKL099C	--	--	--	--	--	4737,68	6277,66	6120,59	6724,54	6710,13	5583,83
YKL100C	+1,6	--	+2,1	+1,9	--	7561,79	12382,14	10899,83	15804,62	14214,00	8401,60



ORF	Änderungsfaktor					Normalisierte Signalintensität					
	10 min	20 min	30 min	16 h	5d	0 min	10 min	20 min	30 min	16 h	5d
YKL101W	--	--	--	--	--	14855,19	15936,16	15180,68	15888,35	14263,19	16308,60
YKL102C	--	--	--	--	--	5936,99	7527,05	5536,59	7775,46	6558,61	6158,04
YKL103C	--	--	--	--	--	13541,48	16632,00	12276,80	10803,93	9986,33	17265,91
YKL104C	--	--	--	--	--	8624,72	8958,84	8535,17	8614,65	6212,97	7053,06
YKL105C	--	--	--	--	--	18122,55	18824,41	16872,20	23835,71	12883,26	20007,33
YKL106W	--	--	--	--	--	2940,50	3953,82	2848,97	3161,34	4016,90	4049,51
YKL107W	--	--	--	--	+2,4	3129,98	3686,23	2807,64	3315,61	3332,85	7360,55
YKL108W	--	--	--	--	--	4137,56	4497,06	2928,19	4180,87	3616,29	5454,77
YKL109W	--	-1,8	--	--	+1,6	7483,20	6583,46	4120,21	5157,42	5544,30	11953,39
YKL110C	--	--	--	--	--	4045,92	4591,35	3108,78	3722,41	3537,71	3760,86
YKL111C	--	--	--	--	--	5410,19	5747,17	4292,78	4751,57	4212,97	7720,27
YKL112W	--	--	--	--	--	3305,57	3620,83	2930,61	3579,94	3428,85	3185,42
YKL113C	--	--	--	-1,5	--	4923,21	5294,97	3593,33	4281,92	3258,83	3505,67
YKL114C	--	--	--	--	--	4003,53	4710,64	3590,29	4006,11	2933,85	3019,42
YKL115C	--	+1,7	--	--	-1,9	4745,30	5850,08	8097,96	6082,29	3327,08	2527,26
YKL116C	--	--	--	--	-2,1	4586,90	5411,02	4700,62	5318,32	3123,57	2176,64
YKL117W	--	--	--	-2,4	-1,5	23900,88	22546,08	16649,90	19348,82	10164,60	15449,65
YKL118W	--	--	--	+2,5	--	3008,95	3698,13	2898,12	3311,71	7652,56	2155,47
YKL119C	--	--	--	--	--	4970,94	6263,80	3947,61	5143,91	5184,16	5536,44
YKL120W	-1,6	-2,4	-2,2	-2,6	-3	16054,21	10151,17	6681,73	7221,72	6143,42	5369,89
YKL121W	--	--	--	--	-1,8	3704,43	3769,20	2735,02	3408,64	3383,57	2091,54
YKL122C	--	--	--	--	--	6947,64	6542,23	5734,07	7424,89	9437,22	4655,77
YKL123W	--	--	--	--	--	4537,15	4983,49	3373,56	3987,58	4166,67	5608,09
YKL124W	--	--	--	--	--	3971,42	4292,10	3795,49	4035,56	4212,21	2964,53
YKL125W	--	--	--	--	--	3593,87	3597,66	3073,27	3187,56	2904,48	2826,15
YKL126W	--	--	--	--	--	3092,53	3536,77	3691,85	3119,59	2249,24	3271,88
YKL127W	--	--	--	-1,5	--	3834,79	4022,45	4750,69	3609,04	2509,25	3504,55
YKL128C	--	--	--	--	-2,3	4496,49	4744,17	4395,46	4329,13	3341,36	1990,31
YKL129C	--	-2	-1,5	-2,4	--	30155,66	23954,59	14828,47	19579,87	12554,41	24717,95
YKL130C	--	-1,5	--	--	+1,8	4382,18	5103,36	2903,06	3677,94	5871,18	7972,17
YKL131W	--	--	--	--	--	3755,83	4843,29	3421,78	3301,59	4334,67	3703,76
YKL132C	--	--	--	--	--	4211,04	3739,68	3332,71	4181,68	3943,87	3875,42
YKL133C	--	--	--	--	--	2854,68	2996,69	2557,52	2845,61	2728,11	2333,67
YKL134C	--	--	--	-1,7	--	7341,54	5612,64	5395,73	5459,40	4320,52	9400,56
YKL135C	--	--	--	--	--	3583,36	3692,96	3650,46	3770,57	3679,08	3568,68
YKL136W	--	--	--	--	--	4533,01	4230,52	3905,01	3882,47	4342,61	3668,34
YKL137W	--	-2,1	-2	-1,8	-2,5	17229,67	12726,18	8339,75	8738,91	9739,49	6864,00
YKL138C	--	--	--	--	--	5700,61	5340,53	5060,37	4641,46	4640,28	5886,27
YKL139W	--	--	--	-2,6	-2,4	114134,17	111841,12	110501,93	83458,01	43352,69	47230,04
YKL140W	--	--	--	--	-1,9	2801,18	3274,28	3072,94	3285,39	3363,26	1476,87
YKL141W	--	--	--	-1,8	--	9410,08	8636,55	7801,53	6393,54	5092,79	10011,48
YKL142W	--	-1,8	-1,5	--	+2,1	6423,88	5116,82	3478,76	4261,21	7277,36	13704,46
YKL143W	--	--	--	--	--	6026,77	5038,15	4285,37	4654,60	5142,98	5405,92
YKL144C	--	-1,8	--	--	+1,6	27008,75	22117,98	14617,11	19419,42	18552,40	42491,33
YKL145W	--	-2	-1,8	-1,6	--	13960,72	10130,24	7134,19	7832,25	8525,44	16249,40
YKL146W	--	--	--	--	--	3468,88	3333,25	3405,29	3369,98	4895,75	4536,00
YKL147C	-1,6	--	--	--	+1,6	6915,97	4445,09	4738,32	5227,13	5414,05	11089,79
YKL148C	--	--	--	--	+1,7	5247,31	4247,24	4161,64	4381,25	5240,04	8949,16
YKL149C	--	--	--	--	-1,7	4729,49	5036,04	4535,67	3671,96	4712,73	2858,10
YKL150W	--	--	--	--	+2,9	5010,01	4228,07	4088,43	3854,78	3393,89	14432,82
YKL151C	--	--	--	--	+1,9	5486,94	5625,98	5782,63	5419,40	5148,97	10272,84
YKL152C	--	--	--	--	--	37428,34	44179,53	34034,97	31592,40	27961,51	33159,71
YKL153W	--	--	--	--	--	287827,40	339505,08	314068,99	328470,55	240372,68	326502,74
YKL154W	--	-1,7	-1,6	--	--	5856,04	4851,56	3440,02	3769,93	5766,39	6100,08
YKL155C	--	--	--	--	-1,7	4212,71	4301,10	4051,18	3414,17	4929,98	2550,73
YKL156W	--	--	--	--	--	33543,42	39109,38	30839,55	40121,40	37433,64	32549,93
YKL157W	--	--	--	--	--	4376,41	4138,06	4567,22	4248,13	5407,90	3159,78
YKL158W	--	--	--	--	-1,5	4666,51	4794,26	5272,37	5432,10	3725,45	3043,09
YKL159C	--	--	--	--	+1,7	11191,18	8358,69	8564,30	8102,52	10397,46	18813,40
YKL160W	--	--	--	--	--	9852,33	8607,79	9063,33	7682,24	10643,63	13379,59
YKL161C	--	--	--	+1,8	--	3165,07	3379,81	3378,33	3244,71	5610,63	2175,52
YKL162C	--	+2,7	--	--	--	3358,53	2837,93	9200,44	2831,25	3389,05	4860,94

ORF	Änderungsfaktor					Normalisierte Signalintensität					
	10 min	20 min	30 min	16 h	5d	0 min	10 min	20 min	30 min	16 h	5d
YKL163W	--	--	--	--	+7,5	4153,00	3497,88	3550,55	3016,59	5549,79	31062,09
YKL164C	--	-1,7	-2	--	--	13487,03	11297,85	8119,07	6882,61	15352,77	14398,18
YKL165C	+1,6	+2	+2,3	--	--	39156,55	61516,49	79111,62	88948,77	48555,60	37177,50
YKL166C	-1,9	-2,6	-2,2	--	--	17586,24	9435,47	6699,04	7938,48	15251,80	26311,36
YKL167C	--	--	--	--	--	7984,84	6276,25	5794,50	6503,41	7846,97	11323,16
YKL168C	--	--	--	--	+1,6	5277,81	4246,60	4433,85	4014,86	4504,38	8504,81
YKL169C	-1,5	--	--	--	--	5975,47	3976,41	4281,82	4278,11	4350,27	5554,56
YKL170W	--	--	--	--	--	7803,58	6704,61	6622,48	6862,48	6871,99	6182,26
YKL171W	--	--	--	--	+1,7	41209,04	36997,86	52780,01	47324,22	30783,23	68157,69
YKL172W	--	--	-1,9	--	--	22808,76	24607,89	21962,40	11999,23	29212,82	16105,06
YKL173W	--	--	--	--	--	9137,06	6142,57	6692,23	7576,46	7995,56	7507,49
YKL174C	--	--	--	+1,8	+2,7	8838,91	9085,07	8838,40	9746,65	15656,47	24279,89
YKL175W	--	--	--	--	--	6506,88	6337,96	6214,24	5280,95	5801,75	7706,90
YKL176C	--	+1,7	--	--	--	15084,18	18984,21	25161,35	20668,29	17770,89	20770,44
YKL177W	--	--	--	--	--	4139,03	3456,21	5413,66	4119,49	3149,72	5208,02
YKL178C	--	--	--	--	--	5348,68	4037,05	3803,98	4820,92	6203,88	7834,40
YKL179C	--	--	--	--	+2,7	12410,50	11449,26	9792,02	9375,66	11197,61	33103,87
YKL180W	--	--	--	-1,6	-3,1	156166,14	147439,60	128037,11	109668,00	95133,46	50836,23
YKL181W	--	--	-2,1	--	-2,1	26508,67	25355,26	20859,44	12914,56	19388,27	12823,05
YKL182W	--	--	+2,3	--	--	120428,75	152291,32	137741,47	276528,28	176612,36	175255,28
YKL183W	--	--	--	--	--	4751,01	4469,35	5561,74	5560,56	5385,81	5002,52
YKL184W	--	--	--	--	--	9866,50	7551,30	8337,42	7715,65	8515,30	6870,39
YKL185W	--	--	--	--	--	5461,02	3918,72	4544,13	4694,03	7012,79	4753,51
YKL186C	--	--	--	--	--	14308,58	13684,45	13033,82	10994,03	14231,27	13162,84
YKL187C	--	--	--	--	--	6759,52	6444,43	5883,41	6695,15	6029,85	5208,82
YKL188C	--	--	--	-1,7	+1,6	13899,60	11265,66	13691,99	10626,90	8009,16	22064,15
YKL189W	--	-1,6	--	-3,1	-6,5	39286,91	37646,39	24550,68	26579,59	12667,26	6042,33
YKL190W	--	--	--	--	+1,8	11640,57	9775,50	14530,27	10444,82	11263,40	20886,44
YKL191W	--	-2,4	--	--	+1,5	83366,29	67377,36	34759,59	61080,56	84681,68	127244,24
YKL192C	--	-2,3	--	--	+1,7	30852,81	27116,88	13425,97	20663,14	21640,29	51070,86
YKL193C	--	--	+1,7	+1,6	--	6165,38	5843,06	7151,76	10380,21	10158,16	6477,48
YKL194C	--	--	+1,6	--	--	3490,21	4618,54	5205,68	5528,74	3849,50	2692,62
YKL195W	--	--	+1,5	--	--	6439,95	8853,76	8217,18	9955,10	9044,63	7079,24
YKL196C	--	+2,3	+3,6	+2,6	--	10276,73	14053,39	24087,19	37059,21	26586,64	10360,59
YKL197C	--	--	--	-1,6	--	31418,47	35169,73	20955,63	24558,85	19137,28	34663,07
YKL198C	+2,1	--	--	--	--	5275,99	11080,59	5161,63	5717,84	5987,78	4433,81
YKL199C	--	--	--	--	--	7466,99	7929,95	6922,48	7799,19	7127,96	11192,85
YKL200C	--	--	--	--	--	4540,36	5414,72	4788,38	4481,30	3858,75	3871,45
YKL201C	--	--	--	--	--	23761,18	23922,76	21587,97	24410,71	15970,56	17365,13
YKL202W	--	--	--	--	--	2712,58	3209,75	2763,98	3359,40	2669,76	3419,78
YKL203C	--	--	--	--	--	5824,23	7531,04	4646,38	6242,33	6529,75	6114,89
YKL204W	--	-2,3	-1,7	-1,7	+1,6	12965,60	9924,86	5685,52	7713,08	7466,94	21273,99
YKL205W	--	-2,1	-1,7	-1,9	-1,6	7910,04	5692,83	3799,14	4566,23	4188,47	5052,94
YKL206C	--	--	--	-1,5	-1,7	4246,42	3769,19	3077,01	3440,16	2746,58	2451,79
YKL207W	--	-1,6	--	--	--	6075,52	6061,22	3878,77	4661,41	4518,67	5540,82
YKL208W	--	--	--	--	--	3812,45	4588,09	3303,61	3915,07	3020,93	2746,61
YKL209C	--	--	--	-1,7	-1,7	3648,50	4201,89	3415,65	3914,23	2163,78	2189,36
YKL210W	--	--	--	--	-2,4	2435,82	3203,67	2684,07	2963,01	1873,07	1018,75
YKL211C	--	--	--	--	-3,2	4651,08	5684,49	4905,95	6249,99	3446,32	1464,38
YKL212W	--	-1,6	-1,6	-2,8	-1,8	8567,24	6596,81	5468,14	5442,78	3015,45	4835,62
YKL213C	--	--	--	--	--	4955,72	4591,86	3685,46	4165,98	4422,91	3324,92
YKL214C	--	--	--	--	--	2591,20	3855,04	2492,66	3176,78	3788,92	2840,02
YKL215C	--	-2,1	-1,8	-2,1	-1,5	12121,63	9433,46	5828,98	6719,13	5687,79	7922,07
YKL216W	--	-3,1	-2,5	--	-5,1	20959,50	15316,56	6833,33	8306,95	16814,03	4084,12
YKL217W	--	--	--	--	--	5175,39	5549,44	5592,23	5600,20	4397,44	5735,04
YKL218C	-1,6	-2	-1,7	-1,9	-2,4	5993,27	3641,19	2955,24	3453,95	3122,53	2493,50
YKL219W	--	--	--	--	+2,1	7033,86	6091,80	6615,09	6428,87	5997,31	14648,36
YKL220C	--	--	--	-1,6	+1,9	14736,83	10962,92	11282,95	11020,60	9221,59	27899,88
YKL221W	--	--	--	--	--	3744,46	3414,79	3386,88	3497,04	3561,68	5009,39
YKL222C	--	--	--	-1,6	+1,6	7150,80	6786,86	5452,74	5440,42	4470,97	11415,80
YKL223W	--	--	--	-1,6	--	6621,65	6487,67	5279,18	5241,87	4072,65	4445,61
YKL224C	--	--	--	-2,1	--	5611,30	5118,91	4451,71	4336,40	2660,37	5478,88

ORF	Änderungsfaktor					Normalisierte Signalintensität					
	10 min	20 min	30 min	16 h	5d	0 min	10 min	20 min	30 min	16 h	5d
YKL225W	--	--	--	--	--	6000,17	6560,10	5200,52	5189,19	4510,56	4623,99
YKR001C	-1,6	-2,4	-1,7	--	+2,5	11966,19	7628,44	4902,18	7082,58	7998,98	29972,70
YKR002W	--	--	-1,6	--	+1,9	9399,96	6658,04	6795,75	5745,37	7174,14	17937,62
YKR003W	--	--	--	--	--	3230,09	3359,45	2875,07	3096,62	3738,41	2925,14
YKR004C	-3,6	-4,7	-5	-5,1	-2,5	35766,03	9904,13	7571,00	7192,19	6968,00	14353,93
YKR005C	--	--	--	--	--	3004,90	2874,10	2763,87	2987,70	3890,05	2326,60
YKR006C	--	--	--	--	-1,9	5364,44	4775,20	3947,72	4166,26	4236,86	2896,35
YKR007W	--	--	-1,5	--	--	9266,59	7356,53	6442,23	6136,41	6427,39	11576,51
YKR008W	--	--	--	--	--	6781,95	5443,03	4581,66	4683,82	5264,14	7864,14
YKR009C	--	--	--	-1,8	--	29674,93	25675,91	25988,40	24497,72	16127,57	22376,03
YKR010C	--	--	--	-1,8	-1,7	19301,75	22407,64	17106,01	15173,80	10759,73	11509,28
YKR011C	--	--	--	--	--	3791,21	4212,68	4002,33	4153,53	4275,61	3129,78
YKR012C	+1,6	--	--	--	-1,7	3543,63	5804,49	3456,95	3681,34	4430,82	2107,55
YKR013W	--	-1,5	-1,6	--	+1,6	10305,85	8671,92	6765,16	6533,79	8354,45	15994,08
YKR014C	--	--	--	--	--	7550,70	6717,07	5593,82	7124,28	7887,41	7234,77
YKR015C	--	-1,5	--	--	--	6539,68	5919,19	4353,96	4567,77	4967,61	5056,08
YKR016W	--	--	--	--	--	5099,33	4112,10	3453,15	3460,56	4298,50	3930,18
YKR017C	--	--	--	--	--	3118,50	3036,17	3132,72	2872,13	3724,43	2380,90
YKR018C	--	--	--	--	+1,7	17595,80	13329,68	12144,64	13892,63	13609,92	29838,37
YKR019C	--	--	--	--	-1,5	3826,06	3025,84	3319,59	3112,64	5277,07	2510,92
YKR020W	--	--	--	--	--	6462,74	6155,70	5171,27	4958,58	5747,32	5726,27
YKR021W	--	--	--	-2,4	--	64749,89	64677,56	43354,83	44416,21	26690,88	62570,41
YKR022C	--	--	--	--	--	8252,22	10947,99	8458,04	7838,06	6064,62	8019,55
YKR023W	--	--	--	-1,9	--	53277,86	51339,22	46130,23	49325,18	28578,75	45924,95
YKR024C	--	--	--	-2,1	--	31797,09	28920,08	25089,75	33982,77	15270,61	27879,79
YKR025W	--	--	-1,6	--	--	7614,37	6081,81	6014,71	4823,90	6524,86	8067,97
YKR026C	--	--	--	--	--	17841,14	17455,51	14354,59	19507,16	17392,79	17381,75
YKR027W	--	--	--	+1,6	--	10705,97	13339,59	13481,99	15802,21	16626,02	11360,49
YKR028W	--	--	--	--	--	16758,30	12196,43	13345,14	11777,95	12998,90	13986,35
YKR029C	--	--	--	--	--	6726,70	6282,88	6153,43	6062,75	7923,30	8116,98
YKR030W	--	--	--	--	--	4491,47	4627,81	5197,01	5427,05	4989,95	3938,97
YKR031C	--	--	-1,5	--	--	13373,40	11204,08	10663,15	8759,47	11403,36	19172,29
YKR032W	--	--	--	--	-1,7	4270,14	3289,24	3577,55	3456,38	5171,20	2566,51
YKR033C	--	--	--	--	+1,7	2979,33	3359,77	3499,07	2848,77	4352,19	5083,23
YKR034W	--	--	--	--	+2,8	3173,90	3290,95	3364,62	3028,48	4759,46	8851,20
YKR035C	--	--	--	--	--	6026,51	6935,63	6597,57	5673,24	5567,54	4707,88
YKR036C	--	--	--	--	--	5873,46	6551,73	5739,09	5388,75	5238,17	6006,47
YKR037C	--	--	--	+1,5	--	4350,75	3915,91	4075,71	4876,78	6720,42	3879,26
YKR038C	--	--	--	--	--	11766,73	10634,83	8869,24	8991,92	10602,27	14031,13
YKR039W	--	--	--	--	+2,1	5213,15	4449,50	4487,53	4207,37	4880,74	10802,50
YKR040C	--	--	--	--	+2,8	4551,70	4264,35	5060,97	4338,57	6329,78	12924,32
YKR041W	--	--	--	--	--	4284,28	3920,55	4276,27	4037,84	5145,95	4442,12
YKR042W	--	--	-2,1	--	--	22910,87	16896,88	16028,34	11006,79	22625,44	25870,26
YKR043C	--	--	--	--	--	7716,62	7191,37	7216,25	6567,78	7972,76	6068,42
YKR044W	--	--	--	--	--	4125,54	3263,55	4228,73	3253,25	5813,31	3488,70
YKR045C	--	--	--	+1,5	--	3972,10	3534,45	4250,69	3750,78	6093,86	4751,60
YKR046C	--	--	-1,6	-1,6	+1,9	10812,46	11026,61	8351,18	6850,13	6906,59	20049,81
YKR047W	--	--	--	--	--	20430,49	21083,66	24548,18	25064,89	16741,98	29144,39
YKR048C	--	+1,7	--	--	--	8286,58	9178,43	13780,82	8098,51	8136,17	12250,22
YKR049C	--	--	--	--	+2,4	11047,22	8240,97	7600,26	7701,12	9009,86	26157,77
YKR050W	--	--	--	--	+1,6	39046,30	40367,93	45092,01	48901,05	36023,18	60804,28
YKR051W	--	-1,7	--	-1,5	--	15633,48	14947,35	9367,12	10784,49	10241,13	12831,25
YKR052C	--	--	--	--	--	9332,72	7334,21	7410,05	6658,64	7870,85	12216,78
YKR053C	--	--	--	--	+2,1	5925,89	5242,50	6590,44	6334,46	6475,75	12630,50
YKR054C	--	--	--	--	--	3310,29	3124,34	3864,85	3556,22	3977,80	3444,94
YKR055W	--	--	--	--	--	4775,43	3997,46	5109,03	5408,93	5776,15	5946,96
YKR056W	--	--	--	+1,6	--	4043,57	3051,33	3856,84	3746,45	6318,35	3561,02
YKR057W	--	--	--	--	-2,2	13615,66	14950,15	10530,00	14251,36	9676,94	6153,83
YKR058W	--	--	--	--	+1,9	3851,50	3096,58	4131,38	3535,04	4980,42	7162,82
YKR059W	--	-2,2	-1,6	--	-4,2	36946,10	32171,72	17085,76	23363,39	24657,33	8740,22
YKR060W	--	--	--	-2,5	-8,6	112824,74	113531,20	99520,65	100902,33	44922,16	13115,32
YKR061W	--	--	--	--	--	3835,62	4125,91	3431,49	3806,47	5526,25	4856,65

ORF	Änderungsfaktor					Normalisierte Signalintensität					
	10 min	20 min	30 min	16 h	5d	0 min	10 min	20 min	30 min	16 h	5d
YKR062W	--	--	--	--	+2	6171,32	5707,72	4813,40	6849,51	7322,17	12482,94
YKR063C	--	--	--	--	+1,5	4825,69	4859,37	3355,30	4517,12	4010,93	7377,06
YKR064W	--	--	--	--	--	4670,18	5073,72	3214,33	3747,07	3595,70	6009,44
YKR065C	--	-2,5	-1,9	-2,1	--	14365,91	12720,53	5814,50	7729,89	6816,80	18139,54
YKR066C	--	-1,7	--	--	+2,2	6907,65	6522,43	4024,84	4979,07	5661,27	15299,93
YKR067W	--	--	--	--	--	4143,92	3673,04	3271,14	4662,32	5032,79	3913,96
YKR068C	--	--	--	--	--	5540,12	5934,98	4383,98	4859,08	3969,46	4947,78
YKR069W	--	--	--	--	-1,5	3205,51	3813,69	3217,38	3856,69	2581,08	2111,27
YKR070W	+1,9	--	+3,3	+3	--	16509,07	30583,90	23489,82	55110,48	49545,68	16544,64
YKR071C	--	--	--	-1,9	--	4904,21	5401,15	4233,86	4986,64	2644,79	3291,32
YKR072C	--	--	--	--	+2,7	9182,66	7628,00	7660,30	7996,27	6293,97	25030,33
YKR073C	--	--	--	+1,9	--	3740,24	4146,36	2608,24	3225,92	7054,09	4169,25
YKR074W	--	-2,4	-1,5	--	--	10972,84	9878,83	4547,65	7139,95	8096,74	12795,44
YKR075C	--	--	--	--	+1,7	4010,86	4447,49	3493,52	4047,22	4424,29	6861,99
YKR076W	--	-1,8	-1,6	--	+1,8	8579,23	7270,60	4744,18	5343,81	7478,25	15786,80
YKR077W	--	-1,6	-1,6	--	--	7828,36	7683,77	4775,47	4949,06	5330,29	6608,64
YKR078W	--	-1,7	-1,7	-1,8	--	11055,36	9462,77	6622,36	6368,53	6278,18	15559,01
YKR079C	--	--	--	--	--	4046,91	4290,04	3183,29	3554,58	3941,14	2819,74
YKR080W	-2,7	-3,7	-3,6	-2,1	-2,6	26220,64	9894,23	7028,05	7359,48	12491,88	10010,10
YKR081C	--	--	--	--	-2,2	8704,80	11208,68	7061,49	8488,34	7687,78	3900,26
YKR082W	--	--	--	--	--	3638,29	4420,30	4131,56	4175,48	3272,71	3592,30
YKR083C	--	--	--	--	--	3905,32	4243,85	4243,46	4263,94	2680,59	2959,22
YKR084C	--	--	--	--	--	3635,08	3902,98	3466,46	3426,31	2866,10	3704,36
YKR085C	--	-1,6	--	--	--	6240,29	5961,93	4019,07	5124,84	6552,64	6857,36
YKR086W	--	-1,6	--	--	--	4440,11	4329,70	2695,11	3425,88	4333,64	3945,83
YKR087C	--	--	--	--	--	4429,72	4832,86	3238,19	3593,72	4220,82	6025,00
YKR088C	--	-1,8	-1,5	--	+1,9	9240,48	7645,01	5206,00	6086,61	7362,02	17173,52
YKR089C	--	-1,5	--	--	+1,8	8112,91	7068,95	5377,63	6195,82	8308,74	14341,57
YKR090W	--	--	--	--	-2	4435,48	4862,53	4035,22	4308,39	4318,87	2246,20
YKR091W	--	--	--	--	+1,5	5068,53	4430,78	4486,30	4486,83	7185,71	7746,44
YKR092C	--	-1,5	-1,5	--	--	10401,71	8997,66	6715,26	6874,80	12915,03	7493,68
YKR093W	--	--	--	--	--	3465,31	3910,19	4305,36	3259,10	3800,11	2902,56
YKR094C	--	--	--	--	-2,1	35012,06	45675,84	28413,77	42451,72	37090,19	16700,27
YKR095W	--	--	--	--	-1,7	3097,32	3711,16	3629,30	3228,84	2440,27	1851,50
YKR096W	--	--	--	-3,2	--	3323,37	3591,03	3074,23	3088,58	1025,43	2273,80
YKR097W	--	--	--	+1,6	+9,3	3506,44	5158,02	3590,73	3724,88	5711,71	32627,84
YKR098C	--	--	--	--	--	4232,07	4237,71	4238,33	4291,54	4381,13	4771,56
YKR099W	--	--	--	--	--	5329,96	4402,65	4644,12	5507,56	6216,96	5966,67
YKR100C	--	-1,6	--	--	--	7140,41	5569,79	4363,35	5576,90	5737,37	9727,05
YKR101W	--	--	--	-1,5	+1,8	9555,97	7234,46	7891,60	11548,14	6281,10	17090,69
YKR102W	--	--	--	--	--	4735,96	3929,72	4148,93	3679,06	3906,78	5699,73
YKR103W	--	--	--	--	--	6103,12	5197,12	5845,32	4966,43	4450,33	7168,87
YKR104W	--	--	-2	--	-3,8	28028,95	29768,01	21942,97	14144,06	20265,86	7452,23
YKR105C	--	-1,7	-1,9	--	-1,6	10385,15	9966,07	6160,10	5578,82	7654,23	6312,63
YKR106W	--	--	--	-1,9	-5,2	38052,74	31592,68	25792,24	25639,02	20148,91	7319,69
YL16A;_	--	--	--	--	--	4398,88	3540,30	4079,95	3367,30	5145,53	4846,56
YLL001w	--	--	--	--	--	5028,64	5753,21	5110,49	5158,48	5070,81	4694,34
YLL002W	--	+2	--	--	--	14033,30	15311,42	27678,51	17205,85	9646,08	20837,67
YLL003w	--	--	--	--	+1,6	3395,14	4325,74	3325,38	4687,24	4672,05	5560,17
YLL004w	--	--	--	--	--	3405,40	3815,08	3194,38	4070,80	4177,88	2801,84
YLL005C	--	--	--	--	--	3248,83	4358,77	3064,33	3939,12	3435,10	3459,54
YLL006w	--	--	--	--	--	3148,53	3773,37	3401,82	3711,70	3341,13	3049,84
YLL007C	-1,7	-2,3	-2	-2,7	-2,7	7874,07	4618,66	3466,46	3937,58	2943,75	2954,14
YLL008w	+1,5	+1,8	+2,2	+1,9	-1,9	3545,36	5478,11	6335,15	7637,00	6713,14	1831,42
YLL009c	--	--	--	--	--	7931,44	7950,93	5369,60	7579,08	9773,12	5943,01
YLL010C	+1,6	--	--	--	--	3802,97	5971,06	4972,48	4350,79	3680,78	2703,83
YLL011w	--	--	--	-1,6	--	5389,65	4937,49	4129,55	5149,98	3458,11	7122,22
YLL012W	--	--	--	--	-2,2	3529,07	4723,90	4612,57	4324,24	3052,47	1595,49
YLL013C	--	--	--	--	--	3931,90	4457,28	2910,16	3725,59	5887,73	5127,37
YLL014W	--	-1,6	--	--	--	5576,22	5855,17	3503,45	5091,14	6028,65	5420,99
YLL015W	--	-2,4	-1,9	-1,6	+1,6	9303,77	7162,87	3911,38	4926,35	5778,33	14694,85
YLL016w	--	--	--	--	-2,1	6304,19	4963,56	4206,29	5159,25	4230,01	3025,75

ORF	Änderungsfaktor					Normalisierte Signalintensität					
	10 min	20 min	30 min	16 h	5d	0 min	10 min	20 min	30 min	16 h	5d
YLL017W	--	--	--	--	--	3195,93	3383,10	2846,36	3004,76	2240,60	2452,61
YLL018c	--	-2,3	-2,2	--	-1,8	14745,75	11857,99	6442,57	6812,70	11700,54	8072,26
YLL019c	--	-1,6	-1,6	--	--	7567,66	6424,95	4614,80	4729,16	6403,12	7211,54
YLL020C	--	--	--	--	--	3712,15	4069,19	3427,27	3553,48	3648,82	3599,53
YLL021w	--	--	--	--	--	7662,22	7198,93	5718,04	6067,52	5144,86	8542,63
YLL022C	--	--	--	--	--	4461,40	6477,89	5511,98	5805,23	3958,65	5850,93
YLL023C	--	--	--	-1,6	+2	5067,82	6026,35	5234,14	4582,45	3167,02	10021,10
YLL024c	--	-1,8	-1,6	--	-3,2	22828,70	16852,04	12853,71	14684,00	15368,19	7155,34
YLL025W	--	-1,6	-1,5	--	+2,3	6844,34	6400,87	4275,26	4541,22	5863,03	15473,42
YLL026w	-1,8	-2,6	-2,2	-1,6	+3,3	10388,47	5734,87	3965,21	4754,85	6445,76	34110,21
YLL027W	-1,8	-2,6	-2,1	-1,7	+2,7	17073,82	9565,38	6599,52	8123,29	10143,30	46344,45
YLL028W	-1,5	-1,8	-1,6	-1,7	-1,6	10867,61	7170,38	5950,86	6905,96	6480,10	6940,32
YLL029W	--	--	--	--	+3,2	4380,58	4346,70	3830,43	3951,45	5397,88	14097,22
YLL030C	--	--	--	--	-1,6	4212,82	4126,31	4198,86	3861,71	3583,20	2559,07
YLL031C	--	-1,7	-1,7	--	--	8235,46	6437,80	4979,92	4842,13	6141,09	8007,41
YLL032C	--	--	--	--	-1,5	4229,26	4425,73	4075,21	3388,86	3503,44	2769,49
YLL033W	--	--	--	--	--	3398,68	3412,05	3899,14	3214,72	2765,18	2428,52
YLL034C	--	-1,8	--	--	-2,3	21411,69	20179,95	12077,37	16959,74	14761,12	9415,03
YLL035W	--	--	--	--	-1,6	4379,34	4236,61	3747,99	3739,63	3386,92	2777,55
YLL036c	--	--	--	--	--	3906,49	5254,02	4978,30	5622,09	4527,53	5609,45
YLL037W	--	--	--	--	+3,9	7307,50	7430,74	5658,10	6942,82	6297,20	28733,28
YLL038C	--	--	--	--	--	3655,30	3764,80	3575,82	3930,02	5037,15	3117,96
YLL039c	--	-1,8	-1,6	--	--	27629,90	22437,85	15460,09	17778,91	26100,45	29595,04
YLL040C	--	-1,6	--	--	--	6822,64	4926,30	4316,36	4831,62	5022,09	6894,24
YLL041c	--	--	--	--	--	4330,69	3535,74	3103,82	3487,08	3623,36	6184,01
YLL042C	--	--	--	--	--	3630,27	3513,93	3411,85	3476,11	3095,25	3410,94
YLL043w	--	--	--	--	--	3616,74	3719,73	3616,18	3313,81	4799,97	3327,83
YLL044W	-1,5	-1,7	-2,9	-1,6	-6,2	81784,68	53802,71	49140,85	28532,27	49642,57	13139,31
YLL045c	--	--	--	-1,7	-5,8	99012,20	86717,76	68799,32	80835,59	59634,48	17056,58
YLL046c	--	--	--	-1,7	-5,3	37347,10	46721,50	29351,08	42012,11	22596,49	6988,55
YLL047W	--	--	--	--	--	5190,43	4677,50	4667,12	4113,76	4516,10	4175,67
YLL048C	--	--	--	--	--	3548,19	4149,74	2980,26	4897,66	3715,26	3827,98
YLL049W	--	--	--	--	--	4361,15	3666,30	3988,70	3549,32	4691,22	3721,81
YLL050c	--	--	--	--	+1,7	16987,19	17370,10	12174,31	16594,00	23753,86	28781,91
YLL051C	--	--	--	--	-1,5	6088,74	7335,49	7033,73	5284,60	7748,06	3995,15
YLL052C	--	--	--	--	--	8102,37	7085,98	6529,20	6064,04	6646,22	6355,36
YLL053C	--	--	--	-2,2	-2,9	9677,79	8209,05	9730,36	7199,94	4462,14	3314,46
YLL054C	--	--	--	--	--	5254,69	4200,81	4157,49	6025,36	5749,83	7360,11
YLL055W	--	--	--	--	--	4431,30	4131,56	4412,30	4517,23	5120,94	3747,13
YLL056C	--	--	--	--	+2,6	3381,51	3010,74	3625,62	3372,35	4375,91	8704,49
YLL057C	--	--	--	--	+2,2	3390,30	3063,99	3763,34	3463,52	3747,94	7581,99
YLL058W	--	--	--	--	--	30546,99	35915,93	28932,64	28871,57	25221,18	22578,26
YLL059C	--	--	--	--	-2,1	3719,45	3225,09	3409,50	3214,75	3453,74	1778,70
YLL060C	--	--	--	-1,6	--	179380,71	161238,89	162438,11	174658,84	112577,74	169062,22
YLL061W	--	--	--	--	--	4222,32	4099,45	4792,47	4016,56	5169,68	5611,06
YLL062C	--	--	--	--	--	13831,81	12368,32	9309,69	10167,39	11242,39	16974,05
YLL063C	--	--	--	--	-2,2	2936,62	2634,80	3161,08	3113,22	4348,67	1343,41
YLL064C	--	--	--	--	+2,2	9420,01	8893,94	8000,26	8184,44	9291,50	20941,17
YLL065W	--	--	--	--	--	9349,90	7738,93	7731,16	7146,51	6681,27	10013,91
YLL066C	-1,8	-1,6	-1,6	--	+2,2	15118,40	8269,17	9316,94	9385,36	12612,50	32507,75
YLL067C	--	-1,6	--	--	+2,2	30028,88	21087,38	19155,50	20681,86	31885,21	67457,16
YLR001C	--	--	--	+1,6	--	3582,23	3513,70	3917,08	3522,46	5572,07	4395,14
YLR002C	--	--	--	--	--	4366,08	3835,67	4719,70	3650,34	4436,41	5252,86
YLR003C	--	--	--	--	--	4659,57	4693,42	4429,75	3867,64	6366,03	4192,02
YLR004C	--	--	--	--	--	13809,63	14735,06	13237,57	14216,56	9737,39	12316,73
YLR005w	+1,8	+2	--	-1,8	-2,2	165236,55	291734,90	328662,66	165262,33	94356,55	74082,14
YLR006c	--	--	--	--	--	4881,92	3494,84	4618,02	4024,86	5516,37	6866,71
YLR007W	--	--	--	--	+1,7	15105,70	17424,19	15495,46	15962,93	17545,27	25633,44
YLR008C	--	--	--	--	--	3526,92	3352,55	3565,47	3345,47	3539,25	5265,34
YLR009W	--	--	--	--	--	10416,27	11548,36	9393,46	11171,65	12532,49	8427,00
YLR010C	--	--	--	--	--	5821,29	6802,89	6082,41	6513,93	6230,65	7390,28
YLR011W	--	--	--	--	--	5108,13	4801,19	5587,87	4886,66	5447,41	5760,76

ORF	Änderungsfaktor					Normalisierte Signalintensität					
	10 min	20 min	30 min	16 h	5d	0 min	10 min	20 min	30 min	16 h	5d
YLR012C	--	--	--	--	--	5451,65	5330,53	8130,93	6598,82	6837,64	5173,15
YLR013W	--	--	--	--	--	3545,77	3571,09	4005,84	3406,34	4408,36	2928,56
YLR014c	--	--	--	--	--	6065,28	4973,60	4706,09	5225,65	4983,33	4129,89
YLR015W	--	--	--	--	--	4066,22	3466,46	3955,06	3513,23	5778,99	4245,06
YLR016C	--	--	--	--	--	6672,95	7955,64	8134,17	8915,40	6956,58	6690,95
YLR017W	--	--	--	--	-1,5	6935,23	7557,88	8750,67	9656,82	6790,61	4524,37
YLR018C	--	+1,7	--	--	-1,5	27595,07	21858,06	48053,86	20486,68	21150,20	18016,63
YLR019W	--	--	--	--	+1,5	6688,48	5231,10	6129,09	5158,60	9077,88	10308,27
YLR020C	--	--	--	--	--	5895,41	6000,27	6296,51	6396,92	5894,18	6429,85
YLR021W	--	--	--	--	--	7496,55	7058,73	7375,60	7188,85	9101,51	10358,84
YLR022C	--	--	--	+1,6	--	10685,00	11146,46	11991,35	10517,59	16901,74	10874,16
YLR023C	--	--	--	+1,7	+6,2	5579,23	5072,77	5178,27	4621,10	9633,70	34557,80
YLR024C	--	+2,1	+2,3	+2,7	+2,3	50130,20	61480,67	103952,95	114858,87	135295,32	117530,13
YLR025w	--	--	--	--	+1,7	5787,58	5293,39	6792,32	5569,83	8445,49	9714,67
YLR026c	--	-1,6	--	--	-1,8	12522,87	11184,99	8040,86	8714,55	8416,57	7125,23
YLR027c	--	--	--	--	--	49687,28	45679,18	39155,79	42653,72	45970,55	56711,27
YLR028C	--	--	--	+1,8	--	5565,62	5376,75	6867,51	7161,72	10157,60	8021,78
YLR029c	--	+1,7	--	--	-7,3	217681,48	297493,57	372773,12	317623,55	151430,33	29859,04
YLR030W	--	+20,3	--	+1,6	+2,5	3274,15	3503,21	66441,89	4154,77	5162,50	8315,50
YLR031W	--	--	--	+1,5	--	3113,69	3774,84	3592,11	4383,73	4797,51	4627,90
YLR032w	--	--	--	-1,5	-1,7	3592,35	4312,42	3481,80	4380,12	2388,47	2137,28
YLR033W	--	-1,6	--	--	--	4665,10	4276,06	2942,28	3780,93	3585,38	5482,91
YLR034C	--	--	--	--	--	3043,94	3609,99	2799,16	3045,96	2542,73	2921,63
YLR035C	--	--	--	--	--	2865,53	3786,19	2918,87	3351,89	3168,78	3177,03
YLR036C	--	--	--	-1,9	--	3216,39	3591,31	3186,45	3331,28	1718,00	3289,21
YLR037C	--	--	--	-1,6	+1,8	3247,90	3533,91	3208,43	3539,83	2002,62	5700,88
YLR038c	--	--	--	--	+1,8	4907,51	5601,93	4834,78	6791,49	3340,74	8768,54
YLR039c	--	--	--	--	-2,6	4505,16	4822,07	3800,72	3730,38	4194,92	1715,62
YLR040C	--	--	--	--	-1,8	3014,14	3779,40	2950,55	3183,20	3697,33	1679,81
YLR041W	--	--	--	--	--	3320,94	3762,23	3103,79	3614,94	2946,34	2411,30
YLR042C	--	--	--	--	--	2992,83	4188,22	3006,38	4024,18	2885,65	2893,09
YLR043c	--	--	--	--	--	8128,35	8491,11	6160,05	8401,13	5984,96	7518,51
YLR044c	--	-2,1	-1,7	--	-6,2	120374,43	89105,07	57283,89	70283,47	128201,37	19533,27
YLR045c	--	--	--	--	--	3962,73	4387,52	3515,03	3968,45	3122,37	3635,65
YLR046C	--	--	--	--	--	4336,21	4484,90	3879,82	4344,41	3402,82	5843,23
YLR047C	--	--	--	--	--	3250,22	3844,37	2952,24	3349,17	2281,36	3634,00
YLR048w	--	-1,5	--	--	-4,9	63235,23	73912,71	40875,20	49372,28	49173,42	13014,01
YLR049C	--	--	--	-1,6	--	3742,68	4517,55	4284,86	3925,05	2393,54	2812,43
YLR050C	--	--	--	-2	-1,8	4336,22	4875,52	4312,15	3967,51	2164,27	2472,94
YLR051C	--	--	--	--	--	4422,66	4989,43	3602,84	4244,34	3322,94	3587,86
YLR052W	--	--	--	--	--	4648,58	5063,15	3500,99	3783,46	6270,22	4682,31
YLR053C	--	--	--	--	+2,6	3122,70	3494,87	2910,11	3382,90	3757,69	8153,07
YLR054C	--	--	--	--	--	4974,19	5282,29	4419,37	4932,19	4805,25	4160,61
YLR055c	--	--	--	--	--	6065,60	6973,46	4886,38	5861,17	5952,96	6957,40
YLR056w	--	-1,7	-1,8	-1,8	-3,5	21031,42	14762,30	12299,28	11837,30	11751,71	6063,28
YLR057W	--	--	--	-1,5	-1,6	3351,43	3580,81	3093,33	3375,95	2205,22	2040,14
YLR058c	--	-1,8	-1,8	--	-2,7	7237,23	4851,76	3924,57	3960,13	5826,06	2680,32
YLR059c	--	--	--	+1,8	--	6504,13	8492,59	7166,02	6535,20	11689,08	7596,96
YLR060w	--	--	--	--	-1,9	6097,88	6535,87	5582,50	5137,91	4957,68	3184,97
YLR061W	--	--	--	-1,7	-2,6	43167,25	56104,45	46465,67	55213,50	24731,89	16729,08
YLR062C	--	--	--	-2,2	-4,8	33817,06	39264,84	33702,08	36621,04	15346,15	7060,11
YLR063W	--	--	--	-2,7	--	7496,15	7473,58	5517,77	6179,28	2767,08	5282,18
YLR064W	--	--	--	--	--	10949,58	11358,79	7830,15	8312,22	9246,86	10323,72
YLR065C	--	--	--	+1,6	--	5773,56	7163,89	5190,95	6163,15	9075,17	7324,79
YLR066W	--	--	--	--	-1,8	6078,71	6122,53	5404,59	7217,68	6814,01	3463,50
YLR067c	--	--	--	--	--	2950,37	3236,93	3011,97	2827,64	3301,28	2077,86
YLR068W	--	--	--	+2,6	--	4595,51	4380,22	4856,63	5366,03	11977,69	3124,85
YLR069c	--	--	--	--	--	3638,31	3987,74	3141,46	3302,28	4381,27	2881,77
YLR070C	--	--	--	--	--	3239,16	3196,62	3208,29	2952,61	3644,71	3471,16
YLR071c	--	--	--	--	-1,6	2858,57	2635,88	2871,27	2814,90	3139,23	1837,76
YLR072W	+1,7	+2,3	+2,9	+4,8	+5,8	20464,48	35047,77	46290,24	59077,77	97944,04	119408,83
YLR073C	--	--	--	--	-2,8	11811,72	17596,68	13886,37	16056,06	8026,11	4261,77



ORF	Änderungsfaktor					Normalisierte Signalintensität					
	10 min	20 min	30 min	16 h	5d	0 min	10 min	20 min	30 min	16 h	5d
YLR074C	--	--	--	--	-3	32406,09	45476,50	31711,00	33731,28	23277,64	10701,52
YLR075w	--	--	--	-1,7	-2,8	29994,72	35160,90	26096,87	24774,17	17285,02	10777,48
YLR076C	--	-1,7	--	-1,6	-3	33391,21	33049,16	19165,64	30197,82	20420,21	11285,17
YLR077W	--	--	--	--	-1,7	4010,53	4078,26	3727,12	3906,41	3836,06	2363,22
YLR078c	--	--	--	--	--	8024,34	8336,67	6597,02	8285,90	7491,43	9216,61
YLR079w	--	--	-1,5	--	--	6643,09	4874,36	4735,01	4409,07	7579,91	7524,59
YLR080W	--	--	--	--	--	6624,72	5992,79	5174,09	6495,79	6699,07	5928,48
YLR081w	--	-1,5	--	--	-1,7	6976,39	5087,63	4544,26	4901,85	6822,66	4224,84
YLR082C	--	--	--	+1,5	--	4912,70	5239,31	4626,15	4676,34	7585,63	3480,34
YLR083c	--	--	--	--	-1,6	3005,56	3644,65	3197,90	2802,18	2363,06	1915,21
YLR084C	--	--	--	--	--	3786,46	3943,13	3945,56	3694,17	4293,75	2924,57
YLR085C	--	--	--	--	--	6055,39	7014,35	6118,96	6530,06	5005,02	6772,34
YLR086W	--	--	--	--	-1,8	7399,95	8930,55	7522,44	6809,91	6032,74	4029,26
YLR087C	-1,8	-1,9	-1,8	-2,3	-1,6	11319,99	6322,76	5908,67	6214,15	4952,22	7015,04
YLR088w	--	--	--	--	-1,8	6266,27	5797,31	5389,61	5581,09	4770,21	3503,35
YLR089C	--	--	--	--	--	5590,89	5299,71	4862,50	4209,54	6542,61	4059,37
YLR090w	--	--	--	--	--	4297,94	3635,58	3842,98	3522,94	4475,58	3332,15
YLR091W	--	--	--	+1,5	--	3457,41	3267,77	3544,02	3194,45	5280,55	2479,82
YLR092W	--	--	--	--	-1,9	10444,86	10064,90	8136,69	8341,22	7550,03	5490,45
YLR093C	--	--	--	--	+1,5	6718,63	5383,12	5657,82	5148,03	6536,04	10287,14
YLR094C	--	--	--	--	+3,2	5015,79	7272,89	4825,10	4543,21	6320,00	16169,27
YLR095C	--	--	--	--	--	3537,86	3324,72	3974,31	3350,86	3815,89	5043,95
YLR096w	--	--	--	--	--	3378,10	3099,05	4295,80	3045,07	3470,27	2566,94
YLR097C	--	--	--	--	--	3786,98	4028,05	3955,05	3485,31	3851,15	3916,77
YLR098c	--	--	--	--	-3,4	28866,25	34660,93	34130,93	26808,56	24509,27	8397,88
YLR099C	--	--	--	--	-2,2	19288,44	22802,08	21110,71	19348,55	19204,79	8699,64
YLR100W	--	--	--	--	-1,9	8035,33	7404,74	6184,56	6795,06	7621,53	4230,92
YLR101C	-2	-2,2	-2,2	-1,7	-2	28335,33	14438,04	13126,35	12949,52	16410,26	14125,06
YLR102C	--	--	--	--	--	5355,22	5104,06	5350,30	4976,75	4395,46	4543,76
YLR103C	--	--	--	--	--	4378,26	3327,60	3851,12	3537,58	3594,74	3593,20
YLR104W	--	--	--	--	-1,6	13370,38	13255,82	12527,83	12837,43	10598,26	8317,27
YLR105c	--	--	--	--	--	4810,39	3615,33	4008,80	4101,06	4359,24	4679,98
YLR106C	--	--	--	--	--	7572,19	6994,56	7386,02	7123,20	7859,09	8043,95
YLR107W	--	--	--	--	--	4244,84	3722,51	4480,30	4039,30	5858,57	5761,67
YLR108C	--	--	--	--	--	3537,30	2906,63	3659,90	3199,74	5070,21	4162,78
YLR109W	--	--	--	--	+3,1	34449,07	38052,15	32095,25	33439,30	46544,10	107189,69
YLR110C	--	--	--	--	-3,4	185466,63	214328,06	204626,44	174812,72	209888,08	54190,43
YLR111W	--	--	--	--	--	5841,05	6926,60	8062,18	7272,68	6744,00	6136,95
YLR112W	--	--	--	+1,5	-1,7	4995,87	4587,53	4348,09	5080,09	7625,39	2954,57
YLR113w	--	--	--	--	--	9520,12	8568,28	7104,31	8028,76	8689,11	7547,51
YLR114C	--	-1,9	-2	--	--	13123,62	9090,34	6924,28	6650,31	14128,32	9753,55
YLR115W	--	--	--	--	--	6617,85	5146,61	4787,58	5432,74	5936,14	5070,46
YLR116W	--	--	--	--	--	4683,92	4138,39	5858,09	4241,43	5762,45	5136,54
YLR117C	--	--	--	--	--	3699,94	2954,53	4203,95	3596,77	4195,60	4984,43
YLR118C	--	--	--	--	+1,7	5607,07	4899,30	5027,46	5739,89	4912,37	9512,75
YLR119w	--	--	--	--	--	3839,66	3304,50	3660,71	4993,82	4835,20	3917,86
YLR120c	--	--	--	--	--	5732,65	4308,27	4375,91	4498,34	6876,35	5499,10
YLR121C	--	--	--	--	+1,8	7100,56	6276,85	5882,87	5742,07	8764,48	12886,87
YLR122C	--	--	--	-1,6	-1,6	21238,73	21938,76	20488,26	20114,03	13527,54	13201,94
YLR123C	--	--	--	--	--	14188,62	13989,07	13302,32	13162,56	9573,65	18030,27
YLR124W	--	+3	--	--	--	3265,65	3645,12	9653,29	3850,19	3706,79	3396,85
YLR125W	--	--	--	--	--	4735,79	5117,54	4084,19	5456,36	4818,50	4954,95
YLR126C	--	--	--	--	--	3395,56	3427,73	2629,03	3608,53	2935,69	3212,79
YLR127C	--	--	--	--	--	5615,17	5541,36	4911,18	4840,64	4542,02	7412,39
YLR128W	--	--	--	--	--	3319,72	3682,08	2916,98	3520,93	3082,72	3540,80
YLR129w	--	--	--	--	--	3258,86	3799,32	3149,20	3186,50	2704,21	3035,19
YLR130C	--	--	--	+1,7	--	4848,08	5068,10	4384,61	5022,12	8047,77	3541,29
YLR131c	--	--	--	-1,6	--	8199,71	7410,57	6363,50	7629,29	5223,26	10461,94
YLR132C	--	--	--	--	--	3249,94	3659,26	3566,78	3431,88	2798,78	2343,64
YLR133w	--	--	--	-1,9	--	4504,37	4208,73	3758,70	4221,96	2412,98	4512,82
YLR134w	--	-1,8	-1,9	+1,8	-6,3	11843,27	10070,51	6418,41	6349,21	21652,93	1885,47
YLR135W	--	--	--	--	-2,1	2789,83	3823,93	3131,33	2934,48	2553,18	1333,87



ORF	Änderungsfaktor					Normalisierte Signalintensität					
	10 min	20 min	30 min	16 h	5d	0 min	10 min	20 min	30 min	16 h	5d
YLR136c	--	--	--	--	-1,5	2860,67	3436,66	2954,91	3327,65	3086,35	1903,51
YLR137W	--	--	--	--	--	3655,17	5058,05	3315,01	4244,93	3544,75	3076,51
YLR138W	--	--	--	-1,6	--	10018,30	11139,36	7109,27	8420,80	6381,39	8581,32
YLR139c	--	--	--	--	--	5173,54	5082,91	3915,61	4127,31	4585,52	4615,99
YLR140W	--	--	--	--	--	4696,80	5322,13	4469,95	5057,70	4166,47	4664,36
YLR141w	--	--	--	--	--	4164,25	4911,14	3741,54	4176,78	4071,71	3201,59
YLR142w	--	--	--	--	+1,6	3233,72	3636,26	3043,59	3464,41	3366,17	5028,46
YLR143W	--	--	--	--	-1,5	3177,55	3722,41	3173,85	3172,25	2979,01	2069,62
YLR144C	--	--	--	--	--	3290,61	3854,68	3868,19	3471,91	2294,42	2603,85
YLR145W	--	--	--	-1,5	--	3646,89	4544,27	3825,17	4562,14	2425,51	2750,15
YLR146C	--	--	--	-1,9	--	3208,38	4305,26	2856,22	3030,82	1703,28	2347,25
YLR147c	--	--	--	--	--	3499,36	4250,06	3337,26	3373,61	4170,22	4281,35
YLR148w	--	--	--	--	--	3561,21	5300,48	2955,65	3558,94	4208,88	2942,89
YLR149C	+1,6	--	--	--	--	2999,89	4691,85	2927,63	3393,10	2787,88	4277,38
YLR150w	--	-2,2	-2,1	-2,1	-5,5	171980,83	132072,49	77451,46	83700,17	79992,20	31176,18
YLR151C	--	--	--	--	-1,8	9263,00	9192,55	6485,20	8760,16	6289,45	5034,09
YLR152C	--	--	--	--	--	3198,55	3723,61	3814,14	3811,39	3084,39	2636,22
YLR153c	--	-1,7	-1,7	-1,7	-2,4	9371,84	7684,91	5503,80	5618,97	5423,75	3850,68
YLR154C	--	-1,7	-1,7	-1,7	--	8197,31	5779,68	4959,18	4952,87	4707,07	7036,75
YLR155C	--	--	--	+1,7	+4,3	5433,27	6379,15	6645,65	6664,18	9113,56	23448,10
YLR156W	--	--	--	--	--	3002,45	4218,24	3925,63	3356,37	2535,20	2822,83
YLR157C	--	--	--	--	+2,1	11150,77	15359,32	10208,38	16145,34	11164,39	27223,25
YLR158C	--	-1,7	--	--	+5,1	15307,62	11768,83	9157,23	13596,26	19420,84	77453,74
YLR159W	--	--	--	--	-1,6	4050,08	3884,19	3770,53	3881,57	3998,50	2568,50
YLR160C	--	--	--	+1,7	+3,6	13361,92	10033,88	11295,81	14054,55	23016,96	48089,21
YLR161W	--	--	--	-1,7	-2,4	29813,02	34288,82	30830,74	33122,61	17355,34	12419,76
YLR162W	--	--	+1,6	+40,2	+3,1	5828,20	5322,06	8690,06	9598,84	234358,00	17847,36
YLR163C	--	--	--	--	--	4442,36	4525,91	3992,84	4074,49	4764,33	6277,18
YLR164W	--	--	--	--	+2,8	3429,67	3215,07	3194,68	2961,88	2856,07	9529,99
YLR165C	--	--	--	--	+1,6	3303,77	3257,63	3326,45	4828,10	3731,54	5354,92
YLR166C	--	--	--	--	-2,4	2924,79	2981,48	3196,87	2751,72	3414,36	1197,70
YLR167W	--	--	--	-2,1	-5	293494,40	328069,83	212535,14	255474,14	141408,61	58268,30
YLR168C	--	--	--	--	-1,8	9731,22	12225,23	10846,56	9770,31	7060,20	5412,30
YLR169W	+3,7	--	--	--	--	3092,67	11560,85	3625,84	3750,43	4305,10	2138,91
YLR170C	--	--	--	--	-1,6	6742,57	5699,98	5128,76	5060,04	4532,16	4296,48
YLR171W	--	-2,4	-1,9	--	-3,6	46163,36	36743,24	18874,61	24467,41	46010,18	12849,07
YLR172C	--	--	--	--	-2	6401,25	6600,83	5019,45	6302,47	6739,47	3247,47
YLR173W	--	--	--	--	--	2925,85	2822,64	2757,26	2939,64	3057,17	2098,65
YLR174W	--	--	--	+1,5	+4,6	3513,40	3146,32	3329,97	3673,52	5274,97	16068,34
YLR175W	-1,6	-2,2	-1,9	+1,8	-2,4	49900,94	30805,65	22187,49	26145,83	88031,84	21172,29
YLR176C	--	--	--	+1,7	--	2891,56	2757,02	2740,51	2780,92	4961,45	2341,72
YLR177W	--	--	--	+1,5	+1,6	3802,46	2759,12	3699,77	3026,99	5772,06	6195,29
YLR178C	--	--	--	--	+3	7644,98	8309,56	6937,55	7107,80	5204,26	22822,25
YLR179C	--	--	--	--	-2	5478,55	6349,68	5919,83	6004,11	4498,31	2782,90
YLR180W	--	-1,6	-1,7	--	-3,6	14686,02	13666,27	9141,20	8464,29	10456,39	4107,94
YLR181C	--	--	+3,2	+10,8	--	7931,83	6716,90	5925,77	25087,61	85351,08	7705,81
YLR182W	--	--	--	--	-1,7	7460,00	6055,37	5527,24	5635,21	7455,72	4362,90
YLR183C	--	-1,7	-1,7	--	-3,6	42915,99	38945,47	24568,95	25152,76	46116,29	12010,96
YLR184W	--	--	--	--	--	3907,94	3246,25	3920,98	3570,97	3672,17	3765,88
YLR185W	--	--	--	--	-1,8	36221,69	32677,60	27921,15	34871,72	26103,40	19948,01
YLR186W	--	--	-1,5	--	-2,5	8404,00	8008,50	6875,61	5534,10	7129,74	3356,34
YLR187W	--	--	--	--	--	3792,83	3691,48	3464,52	3941,02	5437,84	4599,36
YLR188W	--	--	--	--	+1,6	4221,52	3648,87	3780,48	3781,66	4686,71	6695,71
YLR189C	--	--	--	--	--	3294,49	2868,20	3011,57	3445,67	4690,84	2601,16
YLR190W	--	--	--	--	--	4046,41	3672,23	3402,92	3207,14	5558,56	2936,49
YLR191W	--	--	--	--	--	3333,67	3150,67	3487,19	3073,44	4278,18	2994,97
YLR192C	--	--	--	+1,8	--	5217,49	5429,41	6683,77	6175,63	9135,93	3512,48
YLR193C	--	--	--	--	--	11950,56	12032,69	11501,60	12206,12	11427,24	9919,99
YLR194C	-1,9	-2,2	-2,1	--	-3,3	10596,34	5444,04	4803,50	5039,71	8392,45	3212,72
YLR195C	--	--	--	--	-2	11155,54	13460,89	9950,90	14522,57	14702,35	5662,21
YLR196W	--	--	--	+1,6	--	5140,09	6341,23	5380,57	5989,76	8425,35	3917,16
YLR197W	--	-1,7	--	+1,7	-3,2	23542,58	24355,36	14098,29	19513,41	40258,91	7294,06

ORF	Änderungsfaktor					Normalisierte Signalintensität					
	10 min	20 min	30 min	16 h	5d	0 min	10 min	20 min	30 min	16 h	5d
YLR198C	--	--	--	+3	-1,5	22961,48	25038,27	19857,13	27282,84	69464,19	14921,04
YLR199C	--	--	--	--	--	5376,12	4892,74	5159,99	4084,14	6399,39	6562,85
YLR200W	--	--	--	--	--	5790,60	5260,65	5419,87	5449,94	6416,27	5193,66
YLR201C	--	--	--	--	--	3668,62	2995,48	3939,76	3266,16	4468,07	4156,29
YLR202C	+1,7	--	--	+1,6	--	11163,01	19463,05	13816,27	16561,97	18116,45	11430,11
YLR203C	--	--	--	--	+2	55761,46	80128,81	48261,33	54288,03	65807,54	110658,68
YLR204W	--	--	--	--	-2,1	22660,04	30445,72	29951,88	29430,98	26608,99	10790,51
YLR205C	--	--	--	--	--	6824,87	5690,96	5702,60	4685,38	5379,80	7709,94
YLR206W	--	--	--	--	--	4593,05	4402,80	4518,05	3790,29	4688,91	4519,35
YLR207W	--	--	--	+2,1	--	5579,01	5380,87	4870,16	5094,84	11595,52	5806,15
YLR208W	--	--	--	+1,5	--	10682,63	11389,65	7254,53	8182,36	16515,33	10278,37
YLR209C	--	--	--	--	--	9821,89	8900,18	7836,17	7170,53	9202,65	7132,14
YLR210W	--	--	--	--	--	7082,66	6747,95	6274,33	7445,44	10350,04	5805,16
YLR211C	--	--	--	--	+1,9	3556,99	3700,31	4541,42	3900,91	4106,21	6885,30
YLR212C	--	--	--	--	--	6762,37	5944,86	6299,13	7858,62	6011,78	6889,07
YLR213C	--	--	--	--	--	5526,77	4391,52	4659,06	5131,72	7310,07	7461,60
YLR214W	--	--	--	--	--	5459,12	6009,81	5063,23	4966,25	6087,74	4885,57
YLR215C	--	--	--	--	--	4912,15	4400,30	4394,67	4513,88	5461,77	5318,50
YLR216C	--	--	--	--	--	3539,48	3219,62	3814,91	3910,09	3698,36	3027,14
YLR217W	--	--	--	--	--	12461,24	9660,52	10076,95	8536,43	12391,56	14125,86
YLR218C	--	--	--	--	--	4083,14	4424,28	4036,14	4202,75	4609,68	4785,61
YLR219W	--	--	--	--	+1,8	3707,45	4132,27	3486,87	4818,20	3343,74	6647,06
YLR220W	--	--	--	--	+1,7	4768,05	5520,64	3856,86	5007,56	4049,55	8272,18
YLR221C	--	-1,5	--	-1,6	--	16277,15	16438,99	10513,33	11202,93	10091,94	13066,60
YLR222C	--	--	--	--	-1,8	4748,87	4621,01	3196,58	3681,09	4074,19	2625,79
YLR223C	--	--	--	--	--	3122,65	3928,41	3038,75	3544,97	3094,45	3413,28
YLR224W	--	--	--	--	--	4207,04	4959,92	3698,06	4202,77	3655,97	4246,79
YLR225C	--	--	--	--	-1,7	4404,87	4630,28	3575,50	3983,73	2941,93	2655,25
YLR226W	--	--	--	--	--	2841,83	3386,75	2873,83	3508,90	2568,43	2525,15
YLR227C	--	--	--	-1,6	-3	5593,53	8014,83	7983,03	7149,90	3560,04	1864,94
YLR228C	--	--	--	--	--	4110,07	4676,30	3258,29	3734,08	4953,92	3399,21
YLR229C	--	-2,4	-1,5	--	--	9565,91	8419,49	4070,25	6237,61	6784,68	6986,79
YLR230W	--	--	--	--	--	3687,37	4298,21	3004,65	3956,51	4001,83	3207,91
YLR231C	--	--	--	--	--	3452,40	3521,92	3101,42	3658,72	3162,53	3663,45
YLR232W	--	--	--	--	-3,5	10559,66	10323,35	7862,36	7973,92	9136,32	3011,72
YLR233C	--	--	--	--	--	3005,77	3487,76	2710,85	3141,07	2292,47	3193,61
YLR234W	--	--	--	--	--	3247,73	3707,19	2854,67	3339,32	3192,19	2437,52
YLR235C	--	--	--	--	--	5398,50	6330,77	4818,18	5814,69	4356,53	3950,24
YLR236C	--	--	--	--	--	4484,57	6041,20	5755,47	5648,30	3864,14	5566,53
YLR237W	--	--	--	--	--	3637,46	4105,47	3529,10	3806,83	2962,50	5332,26
YLR238W	--	--	--	-1,7	-2,9	6057,18	7422,45	6484,90	7817,79	3628,22	2091,41
YLR239C	--	--	--	--	--	3502,17	4559,86	4584,25	4319,21	2625,89	2490,06
YLR240W	--	--	--	+1,5	-1,5	3021,27	3698,37	2907,92	3016,97	4540,70	1974,58
YLR241W	--	--	--	--	-1,6	4581,82	4540,71	3125,33	3548,41	4594,50	2826,73
YLR242C	--	--	--	--	-1,5	4283,08	4303,32	3200,05	3777,18	3871,21	2772,49
YLR243W	--	--	--	--	--	8954,87	9911,54	6978,71	6716,17	7124,99	2796,32
YLR244C	--	--	--	+1,6	--	11218,44	11924,54	10709,87	9487,46	17399,09	10908,69
YLR245C	--	--	--	--	-1,5	3270,46	3724,15	3339,48	3444,87	3394,73	2124,54
YLR246W	--	--	--	--	--	3582,32	3761,09	3096,78	3292,53	3483,93	4890,47
YLR247C	--	+1,7	+2,1	+2	+3,5	23855,03	32224,64	41391,13	50259,54	47521,22	83918,83
YLR248W	--	--	--	--	--	3719,41	3546,85	4467,50	2942,52	2954,71	3814,77
YLR249W	--	--	--	--	-5,8	14988,62	21460,39	16878,17	21828,02	10557,97	2601,90
YLR250W	--	--	--	-1,7	-2,5	16834,60	24158,76	17109,36	17937,46	9888,62	6747,06
YLR251W	--	--	--	-1,6	--	8917,49	12451,49	8673,30	8719,83	5477,59	6271,92
YLR252W	--	--	--	--	--	11066,68	13097,01	7919,01	9027,71	8917,30	10910,43
YLR253W	--	--	--	--	--	4220,75	3770,69	3525,71	3707,83	4401,74	3623,87
YLR254C	--	--	+1,5	--	-1,7	37060,47	39677,07	30142,53	57166,34	32426,98	21833,34
YLR255C	--	--	--	--	-1,6	4852,85	5215,61	4323,81	5565,23	4179,67	3034,23
YLR256W	+1,5	+2,8	+2,9	+4,5	+2,6	173253,33	264039,77	483674,45	497459,07	772306,74	442648,38
YLR257W	-2	-2,3	-2,2	-1,6	--	18863,76	9207,38	8206,40	8413,33	11769,60	26740,21
YLR258W	--	--	--	--	+1,6	4200,95	3505,33	3419,93	3305,26	3947,93	6741,94
YLR259C	--	--	--	-1,5	-1,8	13892,13	16488,43	12490,01	13630,28	9003,51	7802,18

ORF	Änderungsfaktor					Normalisierte Signalintensität					
	10 min	20 min	30 min	16 h	5d	0 min	10 min	20 min	30 min	16 h	5d
YLR260W	--	--	--	--	-1,5	4619,91	4842,42	4148,89	4656,83	3937,42	3077,75
YLR261C	--	-1,8	--	--	-2,2	17668,55	11850,47	9880,09	13392,34	13162,60	8092,45
YLR262C	-1,9	-1,9	-2,1	--	-1,9	7569,25	4067,24	3920,65	3673,73	5245,08	3986,13
YLR263W	--	--	--	--	-2,2	6115,98	5016,14	6224,02	4342,29	5297,29	2815,70
YLR264W	--	--	-1,9	--	-2,1	34413,28	33376,25	23329,66	17695,14	35647,07	16427,31
YLR265C	--	--	--	--	-1,5	3600,37	2749,78	2826,95	3923,70	3151,28	2397,88
YLR266C	--	--	--	--	+1,5	3669,16	3270,45	3286,29	3974,85	4934,51	5554,33
YLR267W	--	--	--	--	+1,7	2892,05	2619,15	2983,19	2754,20	3835,16	5057,50
YLR268W	--	--	--	--	-1,6	6001,48	5457,28	4917,23	4360,32	4693,43	3863,78
YLR269C	--	--	--	--	-1,7	4161,33	3557,77	4079,97	3297,30	3957,79	2381,81
YLR270W	--	--	--	--	-2,4	11080,67	14849,54	12184,67	12414,67	12216,84	4560,72
YLR271W	--	--	--	--	-2	7904,43	10060,16	9186,29	9223,45	8482,91	3953,10
YLR272C	--	--	--	--	-1,8	4162,18	3511,30	4635,96	4057,96	4696,02	2336,20
YLR273C	--	--	--	--	--	3893,94	3847,17	4234,36	3734,61	4867,29	2861,01
YLR274W	--	--	--	--	-2,4	12511,40	10629,97	9116,91	8672,87	11053,35	5318,04
YLR275W	--	--	--	--	--	3800,63	3447,37	3745,20	3540,19	5124,47	4111,13
YLR276C	--	--	--	-1,6	-2,4	21548,51	21223,10	14967,67	19360,98	13392,09	9071,75
YLR277C	-1,7	-1,7	-1,7	--	--	8942,14	5387,02	5203,65	5173,84	6447,19	13248,79
YLR278C	--	--	--	--	+1,6	13695,32	15883,70	14861,08	16540,52	19285,00	22231,40
YLR279W	--	--	--	--	--	3442,58	3376,15	4179,11	3833,96	3725,91	3497,29
YLR280C	--	--	--	-1,7	--	4199,94	4103,51	4609,90	4245,29	2414,61	2802,41
YLR281C	--	--	--	--	--	3319,55	3618,97	4158,06	3724,31	3872,97	2748,16
YLR282C	--	--	--	+1,7	-1,6	3290,13	3544,67	3999,48	3060,17	5618,54	2008,97
YLR283W	--	--	--	--	-2,4	33283,47	35214,31	32461,18	33043,96	28401,69	13817,79
YLR284C	--	-1,6	--	+1,9	--	20664,04	18980,69	13085,93	15766,88	38734,83	17299,40
YLR285W	--	--	--	+1,7	--	6353,14	6547,76	5478,25	5514,09	10825,56	4325,24
YLR286C	--	--	--	+2,5	-2	8361,47	9245,50	7018,74	5751,92	21055,92	4125,72
YLR287C	--	--	--	--	--	5606,11	5094,92	4592,87	4763,26	5157,30	4312,76
YLR288C	--	--	--	--	--	5222,30	6018,73	4718,08	4825,98	4444,72	5698,99
YLR289W	--	--	--	--	--	3943,10	4189,87	4638,41	5446,70	4097,59	3002,04
YLR290C	-1,5	--	--	--	+1,6	5515,39	3619,86	3763,64	4357,26	5454,59	8794,38
YLR291C	--	--	-1,5	--	--	5532,75	4937,85	4416,43	3619,55	6135,91	5236,65
YLR292C	--	--	-1,5	--	--	8077,13	7547,71	6552,68	5273,75	8031,68	9699,73
YLR293C	+1,5	--	--	--	-2,9	61269,15	91907,64	54956,25	58960,56	51443,94	21205,05
YLR294C	--	--	--	--	--	17320,08	17323,52	18122,50	21150,45	11662,22	22330,64
YLR295C	--	-1,9	--	--	--	59773,73	53726,97	31612,44	53988,41	40768,28	71341,16
YLR296W	--	--	-1,5	--	+1,5	14493,75	12621,14	9744,00	9465,16	12981,07	21771,87
YLR297W	--	--	--	--	+2,8	8468,95	6524,46	5743,08	6170,16	8668,57	23523,26
YLR298C	--	--	--	--	--	5875,22	5823,55	5233,66	5652,67	5963,91	7037,30
YLR299W	--	--	--	--	+1,5	3917,17	3538,93	3815,08	3374,15	3637,77	5980,69
YLR300W	--	-1,8	-2	--	--	21518,37	16336,81	11646,59	10753,64	15040,91	19097,96
YLR301W	--	-1,6	-1,5	-1,8	--	14974,89	14475,47	9513,86	9930,34	8383,60	11227,37
YLR302C	--	--	--	--	--	5003,48	5674,61	7063,19	6037,97	4721,74	5322,48
YLR303W	+1,6	--	--	-1,6	-2	39589,68	63694,79	42919,54	46339,56	25064,15	20018,69
YLR304C	--	--	--	--	+1,9	5719,22	4478,43	4334,25	4180,86	4993,30	10700,77
YLR305C	--	--	--	--	--	7775,22	8138,25	7872,70	7708,17	6212,19	6696,07
YLR306W	--	--	--	-1,8	--	19399,63	16924,30	17047,89	19828,74	10927,42	26339,40
YLR307W	--	--	--	--	--	2881,61	3361,79	3228,20	3706,13	2473,41	2004,22
YLR308W	--	--	+1,7	--	-1,6	3625,97	5146,26	4826,49	6164,03	2963,37	2327,51
YLR309C	--	--	--	--	--	3071,20	3784,45	2581,95	3624,99	3411,45	3750,65
YLR310C	--	--	--	--	+1,6	19809,39	18687,59	13511,67	17144,70	14011,00	30970,80
YLR311C	--	--	--	--	--	2962,49	3481,50	2772,04	3612,41	2597,48	4024,16
YLR312C	--	--	--	--	+3,3	2681,29	3393,46	2770,66	3020,66	2339,74	8787,33
YLR313C	--	--	+2,1	--	-1,7	3721,25	4699,29	4021,64	7682,21	2866,40	2163,43
YLR314C	--	--	--	--	--	5409,55	5732,30	4910,15	4778,94	4301,91	4757,23
YLR315W	--	--	--	--	-5,7	2755,61	3599,46	3099,69	3501,70	2228,05	484,15
YLR316C	--	--	--	-1,6	--	4439,18	4829,45	4229,00	5147,31	2813,57	6257,02
YLR317W	--	--	--	--	--	2988,78	3784,38	3058,74	3173,33	3203,21	3873,14
YLR318W	--	--	--	--	--	4800,97	6627,00	3701,51	5007,75	4420,27	4301,56
YLR319C	--	--	--	--	--	2903,79	3470,79	2542,23	3556,48	4127,12	2806,58
YLR320W	--	--	--	--	--	2920,13	3158,41	2477,60	3022,86	2619,03	2337,50
YLR321C	--	-2,2	-2	-2,4	-3,3	13176,42	9455,71	6098,47	6714,44	5488,55	3959,71

ORF	Änderungsfaktor					Normalisierte Signalintensität					
	10 min	20 min	30 min	16 h	5d	0 min	10 min	20 min	30 min	16 h	5d
YLR322W	+1,5	--	--	--	--	2978,90	4500,29	2884,23	3329,66	2807,98	2098,49
YLR323C	--	--	--	--	-1,9	3356,63	3692,12	3287,15	3659,11	3117,16	1754,38
YLR324W	--	--	--	--	+2	4094,91	4689,68	3463,27	3542,92	4244,27	8227,83
YLR325C	--	--	--	--	-3	71140,50	87464,66	61636,66	78777,85	48888,63	23966,41
YLR326W	--	--	--	-1,8	--	3484,80	4909,85	4524,60	3670,33	1893,58	4364,34
YLR327C	--	--	--	-1,5	+18,2	3939,03	4053,50	4146,21	4220,06	2563,31	71520,02
YLR328W	--	--	--	--	--	4891,15	4196,60	4529,03	4303,20	4100,09	5153,47
YLR329W	--	--	--	--	-1,7	3621,89	3977,13	3676,71	3604,61	2828,91	2185,42
YLR330W	--	-2,4	-2	-1,6	--	7786,00	6064,62	3252,06	3875,77	4882,84	6350,68
YLR331C	--	-2	-1,6	--	-3,1	14090,53	12250,30	6978,23	9085,11	15864,45	4611,46
YLR332W	--	-1,7	--	--	--	6703,51	6386,57	3902,40	4525,37	5830,13	5806,51
YLR333C	--	--	--	-1,5	-2,1	123210,05	100990,21	97871,32	91988,70	79759,11	57502,90
YLR334C	--	--	--	+6,4	--	2894,70	3869,49	3814,46	3755,89	18489,81	3097,69
YLR335W	--	--	--	--	-1,7	3583,15	3799,20	3800,34	3481,61	3619,23	2168,31
YLR336C	--	--	--	--	-1,8	3189,56	3525,15	3239,47	3025,72	3327,83	1814,96
YLR337W	--	--	--	+1,9	+1,9	7384,43	7386,05	8397,27	6788,99	14015,22	14151,05
YLR338W	+1,6	--	+1,6	--	-4,3	15843,63	25207,45	20061,88	25033,92	12187,98	3712,70
YLR339C	--	-2,1	-2,2	--	-6,1	27626,61	28134,30	13191,17	12414,85	25244,84	4559,64
YLR340W	--	--	--	-2	-5,2	36906,72	45404,61	37476,09	27046,14	18081,80	7154,02
YLR341W	--	--	--	--	--	4309,78	4959,27	3557,98	4121,00	3802,77	3380,07
YLR342W	--	-1,6	--	+1,6	--	12248,02	9385,83	7856,63	9648,36	19376,12	9887,53
YLR343W	--	-1,5	--	--	--	6830,45	6368,80	4498,14	5544,08	7455,79	4685,80
YLR344W	--	-1,7	--	-1,7	-2,3	49490,09	45812,65	28911,82	42941,83	29327,60	21201,14
YLR345W	--	--	--	--	+1,7	5359,45	7066,43	5396,34	6436,93	5172,88	8883,30
YLR346C	--	--	--	+2,1	--	3104,09	2981,75	3468,55	3111,58	6449,41	3387,45
YLR347C	--	--	--	--	-2	3703,06	3369,66	3165,84	3339,30	4081,75	1859,53
YLR348C	--	--	--	--	+1,7	4386,48	4553,10	5170,38	4975,02	4804,65	7554,18
YLR349W	--	--	--	--	-2	4742,51	3169,08	3667,72	3440,47	3263,98	2407,30
YLR350W	-1,5	-1,5	-1,7	--	--	6599,09	4377,17	4392,16	3948,14	4679,78	6827,25
YLR351C	--	--	--	--	-1,7	7767,39	6638,45	5880,23	5793,11	7008,53	4496,08
YLR352W	--	--	--	--	--	4817,58	4921,79	4452,87	3849,31	3775,59	3244,93
YLR353W	--	--	+1,9	--	--	4520,42	5203,89	4325,58	8549,69	5542,80	3812,48
YLR354C	--	--	-1,6	--	--	8263,02	8302,76	5884,58	5327,16	8224,85	6316,15
YLR355C	--	-2,2	-1,9	--	-4,6	57633,48	52723,46	26477,09	31062,67	68022,31	12596,10
YLR356W	--	-1,6	--	--	--	17807,41	18909,75	11459,84	13012,60	17837,79	12919,23
YLR357W	--	--	--	--	--	4001,09	3491,02	3677,09	3754,35	4608,18	4279,10
YLR358C	--	--	--	--	--	8373,07	6487,03	5742,72	6207,94	7458,05	11770,22
YLR359W	-3,2	-4,2	-4,4	-2,5	-7,1	22977,03	7216,77	5503,76	5265,91	9222,19	3235,32
YLR360W	--	--	--	--	--	3870,56	3579,16	3687,35	3842,60	5705,15	4575,19
YLR361C	--	--	--	--	-2,1	2898,92	2877,06	3680,25	3230,67	3924,67	1387,80
YLR362W	--	--	--	--	-1,6	2751,02	2871,86	3214,95	2675,71	3639,40	1726,96
YLR363C	--	--	--	--	-1,8	3215,65	3151,15	3259,45	3031,23	4571,53	1770,93
YLR364W	--	--	--	--	-3,6	4376,10	4485,11	4607,02	4086,43	4936,74	1204,57
YLR365W	--	--	--	--	--	8200,72	7777,66	7277,67	8794,09	6561,25	7735,36
YLR366W	--	--	--	--	-3,1	3295,81	3294,80	4550,19	3442,14	4090,89	1075,75
YLR367W	--	--	--	--	-2,9	14505,13	17972,21	13219,05	14261,11	10356,89	5011,11
YLR368W	--	--	--	+1,5	-1,9	3086,80	2732,86	3433,66	3016,85	4762,11	1621,42
YLR369W	--	--	--	--	--	7840,92	7969,88	7175,37	8507,14	8449,08	5606,29
YLR370C	--	--	--	--	--	6007,73	4557,78	4907,96	4517,91	5810,02	7765,17
YLR371W	--	--	--	+1,9	+3,7	8642,78	7021,16	8642,51	8629,04	16340,11	31897,71
YLR372W	--	--	--	--	--	18042,33	19010,63	16082,98	16189,76	20992,12	14158,89
YLR373C	--	--	--	--	--	4035,47	2976,31	3673,63	3268,75	4463,02	4185,51
YLR374C	--	--	--	--	--	3136,64	3060,11	3698,84	3128,21	3547,76	2763,94
YLR375W	--	--	--	--	--	3139,09	2944,86	4036,98	3338,59	3822,74	3135,42
YLR376C	--	--	--	--	-1,7	3894,88	3245,17	4186,04	3229,76	5190,65	2360,19
YLR377C	--	-1,6	-1,7	-2	-2,8	84930,07	57697,53	52459,96	49416,61	42048,88	30536,02
YLR378C	--	--	--	+2	--	11545,32	11757,56	10054,59	10064,41	23644,01	7875,62
YLR379W	--	--	--	+2,6	--	6832,80	6489,63	5062,96	5338,12	17519,96	6141,67
YLR380W	--	--	--	+1,9	--	9896,76	10634,12	8231,85	8224,31	18631,58	9236,58
YLR381W	--	--	--	--	--	3748,64	3103,57	3669,10	3292,43	4646,86	3719,32
YLR382C	--	--	--	+1,8	-1,6	12446,76	13582,23	11442,64	14164,50	22720,83	7724,24
YLR383W	--	--	--	--	--	3969,83	3777,76	4640,97	4970,27	4757,52	3352,62

ORF	Änderungsfaktor					Normalisierte Signalintensität					
	10 min	20 min	30 min	16 h	5d	0 min	10 min	20 min	30 min	16 h	5d
YLR384C	--	--	--	--	-1,9	3630,18	3483,98	3911,65	5311,26	4538,36	1929,26
YLR385C	--	--	--	+1,6	--	3885,86	3439,54	3848,84	3609,00	6135,56	3280,61
YLR386W	--	--	--	--	--	3759,90	3135,40	4049,18	3583,06	5522,62	3718,21
YLR387C	--	--	--	--	--	5522,40	4884,96	4800,07	4267,83	5451,01	5410,96
YLR388W	--	--	+1,7	--	-1,8	19430,40	24860,62	20754,29	32280,53	21990,11	10857,27
YLR389C	--	--	--	--	+1,6	5913,96	5399,92	5450,33	5168,48	6563,11	9588,43
YLR390W	--	--	-1,5	-1,7	--	16187,05	15046,22	11890,58	10629,48	9663,75	22193,35
YLR391W	--	--	--	+1,7	+2	34513,61	36197,64	35117,01	29379,59	59485,04	69435,29
YLR392C	--	--	--	--	+1,6	4265,37	3440,67	3827,98	4424,56	5690,22	6985,66
YLR393W	--	-1,5	-1,5	-2,1	--	15160,94	16598,16	9925,63	10090,72	7331,16	11071,64
YLR394W	--	--	--	--	--	3934,41	3633,81	3809,81	3622,82	4110,24	4437,18
YLR395C	--	--	-1,5	-2,2	+1,7	18280,53	14477,35	12266,82	12025,37	8168,86	30775,51
YLR396C	--	-1,9	-1,8	-2,6	--	22663,71	22308,04	12122,94	12728,48	8834,85	15261,82
YLR397C	--	--	--	--	--	3952,14	3210,73	3604,86	3617,89	5051,04	3896,01
YLR398C	+1,6	+1,8	+1,8	--	+1,8	27968,58	44786,09	51167,60	50058,13	21058,34	50793,87
YLR399C	--	--	--	--	--	6319,59	4544,62	5493,75	5583,59	7778,83	6029,89
YLR400W	--	--	--	-1,6	--	10717,98	9974,10	7686,63	9410,59	6778,50	14432,69
YLR401C	--	--	--	-2,2	-2,8	13134,13	11555,10	10176,83	10517,32	6057,91	4678,83
YLR402W	--	-1,7	--	+2	+2,1	4308,61	4407,77	2572,49	4860,62	8455,87	9239,14
YLR403W	--	--	--	--	--	4951,27	4505,53	5552,31	4677,31	3811,27	5237,06
YLR404W	--	--	--	--	+2,9	6112,16	5690,48	5108,70	5942,40	8801,64	17963,52
YLR405W	--	--	--	--	--	4269,06	4270,95	4038,64	4382,08	4781,49	5640,85
YLR406C	--	--	--	--	+2,1	3975,27	4289,09	4329,38	4328,77	5016,46	8454,67
YLR407W	--	--	--	--	--	5569,59	4472,91	4922,59	4828,38	5059,58	7073,39
YLR408C	--	--	--	-1,6	+1,7	8807,12	6887,91	6414,94	5919,74	5385,34	15408,99
YLR409C	--	--	-1,7	-2,1	--	15760,00	11076,48	11208,20	9224,63	7371,03	19593,42
YLR410W	--	-1,5	-1,5	-1,5	-2,2	10495,88	7643,09	6899,13	6829,08	6860,74	4816,28
YLR411W	-1,5	--	--	-2	-1,8	5750,90	3802,24	5037,74	4682,78	2921,79	3256,60
YLR412W	--	-1,8	--	+2,4	--	4778,78	3922,01	2677,80	4394,56	11416,02	6086,32
YLR413W	--	--	--	+2	--	8827,94	9554,33	8981,01	8261,44	17984,98	8532,54
YLR414C	-1,9	-1,5	-1,8	--	--	10866,93	5830,66	7052,05	5985,19	12195,82	7643,68
YLR415C	--	--	--	--	--	7223,53	7842,00	7312,57	6661,18	6198,99	6456,25
YLR416C	--	--	--	-1,7	-2	8694,01	7119,87	6953,90	6709,19	5206,80	4282,80
YLR417W	--	-1,6	--	--	--	12346,06	9763,50	7873,25	8826,85	11094,02	16115,21
YLR418C	--	--	--	--	-1,6	5726,88	3964,59	3989,62	4190,58	5281,97	3566,69
YLR419W	--	--	--	--	-2,1	9381,23	10853,81	10035,05	9731,76	7885,76	4552,14
YLR420W	-1,5	-1,8	-2,1	--	-2,4	13160,72	8627,77	7240,89	6177,45	15133,43	5597,39
YLR421C	--	--	--	-1,5	--	7624,49	7263,97	6370,19	6976,66	4981,56	10451,57
YLR422W	--	--	--	--	--	3381,78	3116,01	3932,25	4186,32	3551,78	4167,39
YLR423C	--	--	--	-1,5	--	3888,45	3291,01	4958,30	3477,00	2557,40	3219,62
YLR424W	--	--	--	+2,3	--	4506,45	5241,35	3240,14	5736,07	10215,32	5794,95
YLR425W	--	--	--	--	--	4971,32	6182,05	6266,33	6509,07	4574,87	4693,87
YLR426W	--	--	--	--	--	5846,92	4766,91	6586,36	5313,30	5726,02	6791,99
YLR427W	--	--	--	--	--	7172,47	7217,23	5754,38	7213,55	8218,53	9208,70
YLR428C	--	--	--	--	--	9405,48	9972,13	7014,89	9300,11	9628,90	9174,89
YLR429W	--	--	--	--	--	8087,56	6058,75	5559,90	5675,66	7654,22	7743,09
YLR430W	--	--	--	--	--	3648,22	3343,84	4005,28	3724,33	4861,27	3783,95
YLR431C	-1,6	-1,5	--	-1,6	--	7159,09	4428,07	4669,05	5156,22	4462,81	8712,31
YLR432W	--	--	--	--	-1,8	8473,52	6068,20	6317,89	5980,73	6506,65	4653,42
YLR433C	--	--	--	--	--	4205,21	3515,73	4172,63	3935,13	3638,62	4033,04
YLR434C	--	-1,5	--	+1,9	--	4283,15	3470,37	2798,76	4311,31	8238,63	5357,05
YLR435W	--	--	--	--	-1,7	6080,70	6196,02	5934,50	5872,32	6686,47	3660,68
YLR436C	--	+2,1	+2,1	--	--	20395,94	24088,48	43306,95	42925,53	23033,60	25285,31
YLR437C	--	--	--	+1,7	+1,8	8623,27	8839,47	9346,03	9287,95	14843,69	15204,83
YLR438W	--	--	--	--	--	14909,98	12696,64	13917,55	11638,70	11539,56	16923,40
YLR439W	--	--	--	--	--	7892,77	6353,01	6314,72	5982,93	7575,53	6246,59
YLR440C	--	--	--	--	--	4558,71	4169,13	4327,91	4012,64	3661,98	4142,79
YLR441C	--	-1,6	-1,7	--	-3,5	155887,54	125305,57	95073,82	92389,74	125259,13	44846,87
YLR442C	--	--	--	--	--	6992,31	7364,11	7940,69	8561,22	5858,69	8520,96
YLR443W	--	--	--	--	--	4896,57	4095,86	5027,54	4621,25	5813,20	6769,70
YLR444C	--	--	--	--	--	4068,41	3558,76	4472,64	4343,20	4251,39	3585,60
YLR445W	--	--	--	--	--	3737,86	3334,88	4496,59	3801,14	3622,61	4410,71

ORF	Änderungsfaktor					Normalisierte Signalintensität					
	10 min	20 min	30 min	16 h	5d	0 min	10 min	20 min	30 min	16 h	5d
YLR446W	--	-1,6	--	+2,5	--	4824,89	4645,52	3047,53	6389,15	11821,50	6382,68
YLR447C	--	-1,9	-1,7	--	--	29685,94	22892,24	15930,78	17390,51	41552,51	29252,16
YLR448W	--	--	--	-2	-2,7	89285,85	92822,62	68289,51	61397,27	44372,32	33543,85
YLR449W	--	--	--	--	-1,8	12887,46	11801,73	11299,05	11851,76	16354,90	7216,67
YLR450W	--	--	--	--	--	3702,14	3558,25	4922,49	4107,66	3382,37	3560,33
YLR451W	--	--	--	--	--	4108,69	3633,20	4372,87	3861,09	3944,51	3069,13
YLR452C	--	--	--	--	--	6250,42	5709,66	5279,29	6538,66	4433,46	8956,36
YLR453C	--	--	--	--	--	4079,27	3317,44	4501,99	3794,92	4143,33	5889,43
YLR454W	--	--	--	--	--	3156,55	3198,94	3589,46	3636,31	3164,70	3173,99
YLR455W	--	--	--	--	--	6720,84	6416,50	7290,16	7121,71	6954,88	8294,64
YLR456W	--	--	--	--	--	3219,16	3422,93	3977,65	3614,18	4173,03	3935,37
YLR457C	--	--	--	--	--	4359,62	3664,20	4557,66	4384,86	4304,28	4975,68
YLR458W	--	--	+1,7	+3,1	+1,7	4658,31	5037,51	6334,95	7855,56	14313,08	7858,52
YLR459W	--	--	--	--	--	4402,74	4243,49	4277,59	4356,18	5816,42	5998,59
YLR460C	--	--	--	--	--	4218,49	3317,09	4362,39	4020,35	3810,06	5730,93
YLR461W	--	--	--	--	--	13775,64	15736,29	13389,23	13990,89	9262,57	11104,24
YLR462W	--	--	--	--	+1,8	5829,27	4964,71	5045,04	4782,28	7726,86	10636,83
YLR463C	-1,6	--	--	--	--	7841,77	5046,95	5983,85	5595,04	6918,32	11196,20
YLR464W	--	--	--	--	+5,5	8566,68	7115,60	8574,38	7578,13	5796,69	46851,33
YLR465C	--	--	+1,7	--	--	4708,43	5139,05	6018,25	8047,88	5612,11	5851,91
YLR466W	--	--	--	--	--	4273,99	4207,43	5267,82	5045,95	5807,34	5203,45
YLR467W	-1,5	--	--	--	--	70887,12	46912,14	51348,65	51682,65	51582,47	70957,55
YML001W	--	--	--	--	--	3798,89	3350,68	4319,26	3671,91	4331,34	4102,69
YML002W	--	--	--	+1,8	+2,5	5678,85	5406,66	4970,53	4499,58	10183,04	14373,21
YML003W	--	--	--	--	--	3850,55	3404,84	3696,86	3769,82	3766,08	5615,62
YML004C	--	-1,7	--	--	+7,7	10828,20	8845,28	6195,67	7229,03	9635,52	83175,85
YML005W	--	--	--	--	+5,2	5174,11	4380,47	5212,71	4441,61	4624,90	27044,13
YML006C	--	--	--	+1,7	+2	6949,05	6255,41	6039,35	8715,29	12136,83	14192,04
YML007W	--	--	--	--	--	6259,66	4440,27	5089,06	5166,96	4959,41	8183,98
YML008C	--	-1,7	-1,8	-1,9	-4,6	25825,28	21646,68	15438,88	14212,80	13469,19	5630,29
YML010W	--	--	--	-1,6	--	4795,40	3650,62	5076,21	4183,88	3053,99	4101,48
YML011C	--	--	--	+1,5	--	3783,72	3530,55	4682,82	4122,88	5697,47	5109,41
YML012W	--	--	--	--	--	25076,93	28232,15	21978,43	23758,95	27193,68	33735,05
YML013W	--	--	--	--	--	3515,81	3667,09	4332,89	5005,50	3814,29	3627,29
YML014W	--	--	--	--	-1,7	5188,52	6037,02	6088,29	5715,11	4940,40	2986,90
YML015C	--	--	--	--	--	5348,18	4859,96	4995,29	4421,73	4508,60	5730,19
YML016C	-1,5	--	-1,5	-1,6	--	6107,88	4016,76	4274,33	4022,55	3805,09	6162,17
YML018C	--	--	--	--	--	4576,08	4568,39	4725,44	5042,20	5134,35	5281,64
YML019W	--	--	--	--	--	3902,48	3900,81	4170,36	4140,03	3245,60	3481,61
YML020W	--	--	--	--	-1,6	4566,65	5036,80	5673,33	6493,64	3783,83	2803,99
YML021W	--	--	--	--	--	3710,09	3906,17	5298,37	4292,72	3246,09	3844,42
YML022W	--	--	--	--	--	8708,34	10646,78	10024,75	9018,16	12160,31	6211,41
YML023C	--	--	--	--	--	3911,43	3218,13	4531,32	3640,62	4514,59	4885,18
YML027W	--	--	--	--	+1,6	4542,85	4464,29	4165,59	4469,20	4235,38	7192,11
YML028W	--	-1,7	--	--	--	59132,47	52500,08	35711,45	43022,76	68096,95	61484,90
YML029W	--	--	--	--	--	3776,62	3207,04	3673,56	3736,38	3718,06	5128,55
YML030W	--	--	--	--	--	5414,72	4475,25	5035,83	5566,80	5458,42	7506,31
YML031W	--	--	--	--	--	5291,39	4837,73	5129,36	4708,70	4895,93	6358,16
YML032C	--	--	--	--	--	3924,49	3603,15	3809,52	4109,32	4851,75	3463,12
YML033W	--	--	--	--	+1,7	8298,31	7905,97	7565,76	6856,34	8231,66	14241,69
YML034W	--	--	--	--	--	4072,17	3655,35	4270,64	4277,71	4320,03	5437,09
YML035C	--	--	--	--	--	4481,07	3519,69	4014,41	4264,97	5217,90	4823,47
YML037C	--	--	--	--	--	4988,34	5315,37	5367,43	5357,48	3846,87	4165,06
YML038C	--	--	--	--	--	4758,17	4146,41	4342,57	4156,15	3804,94	4326,33
YML040W	-1,7	-2	-1,6	+3,2	+3	39017,28	23536,31	19161,40	23798,05	123032,11	116359,45
YML041C	--	--	--	--	--	3919,37	3399,93	4075,29	3835,16	4988,63	4599,92
YML042W	--	--	+1,6	--	+1,8	2869,42	2961,70	4219,54	4485,52	4249,19	5170,37
YML043C	--	+1,5	--	+1,6	-1,6	3610,84	3634,43	5542,45	4974,65	5747,87	2314,49
YML045W	-1,7	--	--	+4,1	+3,4	37023,47	22415,62	27739,03	31351,65	152038,31	125013,50
YML046W	--	--	--	--	--	3359,61	3293,52	4059,93	3840,56	2847,45	3714,97
YML047C	--	--	--	--	--	6763,71	5806,40	5738,69	5875,11	5470,13	6433,55
YML048W	--	--	--	--	--	6884,48	5617,20	6463,92	5293,70	6424,49	5641,33



ORF	Änderungsfaktor					Normalisierte Signalintensität					
	10 min	20 min	30 min	16 h	5d	0 min	10 min	20 min	30 min	16 h	5d
YML049C	--	--	--	--	--	4757,29	5097,04	5979,39	5090,37	3963,72	4725,14
YML050W	--	--	--	--	--	3647,87	3150,32	3977,57	3446,00	3588,44	4279,07
YML051W	--	--	--	--	--	5168,85	3514,80	4781,15	4376,08	4939,96	4817,08
YML053C	--	+1,5	--	+2,6	--	7807,55	8328,10	11726,97	8360,81	20174,99	10347,09
YML054C	--	--	--	--	+4,2	6589,39	4917,17	5422,61	5718,77	5311,95	27919,77
YML055W	--	--	--	--	--	16315,68	18587,34	18123,35	18085,39	13905,93	22244,68
YML057W	--	--	--	--	+2,1	5882,68	5120,01	5132,33	5036,63	5721,26	12328,87
YML058W	+1,6	--	--	+1,7	+6,2	8167,96	13398,10	12191,42	12186,42	14212,21	50533,82
YML059C	--	--	+1,5	--	+2	3770,08	3513,75	4493,02	5812,09	5555,65	7586,14
YML060W	--	--	--	--	+1,6	14466,11	11365,12	11767,33	11535,41	10926,99	23021,02
YML061C	--	--	--	--	+1,5	4130,96	4269,41	4014,92	5166,47	4627,03	6312,75
YML062C	--	--	--	--	--	4870,72	4473,81	4803,79	4998,83	4548,62	3830,11
YML063W	--	--	--	--	-7,5	107569,22	76598,74	96478,94	112509,46	91873,46	14397,76
YML064C	--	--	--	--	+1,7	6938,99	6798,84	6933,44	6931,12	8500,24	11843,81
YML065W	--	--	--	--	+2,2	6954,10	4805,01	5734,81	6033,00	7214,40	15306,87
YML066C	--	--	--	--	+4,8	5209,44	4194,69	5176,23	5387,93	5533,56	25163,65
YML068W	--	--	--	--	+2,7	4584,62	3439,66	4758,01	3940,83	3779,09	12198,18
YML069W	--	--	--	--	+2,1	8244,74	7219,02	6208,59	5700,42	6215,19	17412,26
YML070W	--	--	--	--	+6,6	9160,12	8289,56	7562,79	7049,05	11410,11	60386,74
YML071C	--	--	--	--	+1,6	4818,30	4590,99	4837,08	4526,44	5692,37	7589,98
YML072C	-1,8	--	--	--	+2,2	6053,01	3401,94	5755,38	4139,64	4279,03	13581,49
YML074C	--	--	--	--	+2,9	23731,12	24204,90	22647,28	24762,86	69659,21	16625,90
YML075C	--	--	--	--	--	5531,72	5802,44	5879,17	7171,65	5309,60	4466,72
YML076C	--	--	--	--	+4	3901,33	3531,75	4794,33	4076,51	5714,19	15797,97
YML077W	--	--	--	--	--	14878,04	12861,57	15636,13	13375,31	11799,79	11642,18
YML078W	--	--	--	--	--	13689,50	11049,28	13318,41	12979,72	12235,10	16415,07
YML079W	--	--	--	--	+1,7	9038,11	6990,09	10263,03	8565,45	9352,90	15593,50
YML080W	--	--	--	--	--	6796,65	6634,06	7606,68	6931,31	6779,71	9772,29
YML081W	--	--	--	--	+2,5	8315,21	8318,62	12085,83	7733,77	11342,88	20751,04
YML082W	--	--	--	--	+5,6	4270,76	3290,47	4132,14	4080,88	5470,66	24111,48
YML083C	--	+2,1	--	--	--	6615,26	6778,66	13858,64	8604,75	6919,36	9791,69
YML084W	-1,7	--	-1,5	--	+2	5852,72	3386,67	5352,57	3804,90	4016,22	11683,00
YML087C	--	--	--	--	+3,1	4102,62	5641,63	5081,67	4588,75	4718,11	12603,32
YML088W	--	-1,8	--	+2,2	--	4010,86	3783,01	2286,40	3689,50	9013,67	5154,14
YML089C	-1,5	--	-1,6	+1,6	+2,5	7737,79	5005,74	5543,96	4806,23	12287,01	19290,88
YML090W	--	--	--	--	--	3014,93	2509,52	4464,53	3322,62	3931,66	2670,42
YML091C	--	--	--	--	+2,1	13203,89	9556,09	10944,63	10833,34	10000,93	28063,92
YML092C	--	--	--	--	--	3263,75	3841,71	4420,10	3265,88	4612,84	3187,59
YML093W	--	--	--	--	--	4395,28	4603,75	5162,01	4451,30	4464,12	5472,42
YML095C	--	--	--	+1,7	--	4551,29	4050,13	4508,00	4666,61	7728,45	5224,53
YML096W	--	--	--	--	--	4244,40	3571,67	4163,44	4043,23	3551,76	4290,44
YML097C	-1,7	--	--	--	--	6640,80	4023,77	5197,59	4641,99	5030,62	7506,73
YML098W	--	--	--	-1,8	--	5314,00	3736,47	5067,40	5132,64	2933,45	5554,27
YML099C	--	--	--	+2,6	+1,6	3428,52	3944,26	2542,28	3901,19	8919,28	5585,79
YML100W	--	--	--	+3,4	+2,7	7529,67	7894,74	8460,01	8319,67	25664,08	20178,60
YML101C	--	--	--	--	--	5087,91	4825,15	5357,63	4908,91	5340,11	5887,15
YML102W	--	--	--	--	+1,5	10811,13	10857,69	9492,10	10259,64	10987,37	16247,24
YML103C	--	--	--	-1,8	--	5727,42	6275,63	6096,93	6077,62	3242,96	4420,56
YML104C	--	--	--	-1,5	-1,9	6259,63	6421,29	4845,47	5530,96	4155,52	3252,54
YML105C	--	--	--	--	-1,8	8164,60	7865,45	7555,51	7266,78	6497,49	4659,34
YML106W	--	--	--	--	-1,5	12412,95	11224,77	9795,52	8593,20	8849,82	8115,73
YML107C	--	--	--	--	--	3688,11	3524,48	4152,99	4199,00	3967,45	4414,86
YML108W	--	+1,8	--	--	--	3990,09	3785,11	7012,96	4234,22	3979,63	4127,37
YML109W	--	--	--	+2,4	--	3632,49	4040,57	2568,22	4427,71	8574,09	5163,20
YML110C	--	--	--	+2,4	+2,2	9717,53	8106,13	9090,61	7571,53	23084,32	21466,06
YML111W	--	--	--	--	--	3748,88	3567,07	4557,01	4050,31	3667,82	4511,02
YML112W	--	--	--	--	--	5377,78	4183,00	4487,92	4236,91	5075,34	5529,87
YML113W	--	--	--	--	--	10092,31	8519,11	9217,32	8300,34	11115,39	14509,12
YML114C	--	--	--	--	--	9700,19	10022,34	8574,73	8469,60	8171,36	11652,69
YML115C	--	--	--	--	--	5926,31	5550,38	6003,85	6460,43	4773,33	6855,42
YML116W	--	-1,7	-1,6	-1,9	-2,2	17545,48	13824,46	10384,75	10748,55	9184,96	8107,99
YML117W	--	--	-1,8	--	+2,5	14936,64	10313,13	10966,04	8264,69	13442,90	38069,49



ORF	Änderungsfaktor					Normalisierte Signalintensität					
	10 min	20 min	30 min	16 h	5d	0 min	10 min	20 min	30 min	16 h	5d
YML118W	--	--	--	--	--	4010,36	3160,44	3976,85	3687,87	4261,14	4937,98
YML119W	--	--	--	--	--	3573,75	3311,94	3917,14	3621,98	3958,84	4103,90
YML120C	-1,6	-3	--	--	-2,1	16918,95	10450,69	5677,14	12693,48	11343,06	8019,83
YML121W	--	--	--	--	+1,5	6308,54	5302,50	5513,16	5244,83	7812,22	9761,40
YML122C	--	--	--	--	-1,5	8496,21	7626,75	6592,15	5916,88	7121,40	5645,71
YML123C	-2,3	-1,8	-1,7	--	-3,7	25004,07	10772,12	13853,22	14952,98	24448,49	6784,78
YML125C	--	-1,6	--	--	--	23281,16	22423,06	14399,55	17531,55	17649,30	25077,11
YML126C	--	--	--	--	-1,8	8857,88	9350,37	7215,42	6732,05	6494,92	4803,68
YML127W	--	--	--	--	--	5034,23	4646,57	4653,74	4974,99	5191,16	6104,47
YML128C	--	--	--	--	+17,8	4647,52	3961,05	4143,97	3542,41	5296,22	82570,38
YML129C	--	--	--	--	+2,1	4399,01	4082,23	5286,27	4294,21	4647,13	9164,70
YML130C	--	--	--	--	--	5819,03	4429,02	5032,33	4444,63	5970,17	7607,80
YML131W	--	--	--	--	+2,2	4912,92	4914,11	5175,69	4760,72	4650,07	10625,36
YML132W	--	-1,7	--	+1,5	+1,7	10954,10	7763,61	6288,68	10415,03	16520,28	18347,92
YMR001C	--	-1,7	-1,6	-2,4	+1,9	14518,34	12639,99	8778,24	9309,36	5996,23	28139,54
YMR002W	--	--	--	-2,3	+1,5	30096,50	30352,74	27835,94	26404,28	12808,42	46045,47
YMR003W	--	--	--	--	--	7290,33	6467,13	7490,07	7008,42	5319,40	9293,62
YMR004W	--	--	--	--	+1,6	9950,52	9340,58	7908,06	7939,04	7435,19	15523,17
YMR005W	--	--	--	--	+2,4	10524,21	11601,68	9444,06	9264,56	9237,69	25744,51
YMR007W	--	--	--	--	+2,3	3363,08	3548,16	4429,24	4148,86	4385,35	7774,29
YMR008C	--	--	--	--	+1,9	5218,10	4450,99	5106,74	4601,25	6447,52	10125,51
YMR009W	--	--	--	--	--	6928,31	5835,80	6302,15	7089,99	5165,67	6640,25
YMR010W	--	--	--	--	+1,5	3669,13	3664,17	4753,50	4075,91	4545,50	5517,50
YMR011W	--	-1,7	+1,8	+3,9	--	5530,03	6795,91	3229,09	9839,21	21651,22	6734,75
YMR012W	--	+1,5	--	--	+3,1	3839,71	3584,06	5775,15	4237,62	4775,73	12038,16
YMR013C	--	--	--	--	+1,9	4872,89	3658,44	4468,54	4295,34	5773,32	9345,68
YMR014W	--	--	--	--	--	7328,27	7693,46	7566,98	6175,03	7191,01	6479,23
YMR015C	--	--	--	--	--	6831,59	5948,74	5345,97	5258,99	6408,67	9436,56
YMR016C	--	--	--	--	+2,1	5423,45	4450,47	5177,45	4988,11	5967,56	11564,02
YMR017W	--	--	--	--	+2	5623,87	5188,59	5134,59	4588,13	4987,55	11010,35
YMR018W	--	--	--	--	--	4089,33	3451,69	4788,59	4278,47	5564,54	5108,48
YMR019W	--	--	--	--	+2,5	3711,08	3392,12	4075,04	3951,42	4796,07	9192,00
YMR020W	--	--	--	--	+1,6	5216,76	4696,76	6150,10	5066,09	5207,58	8571,48
YMR021C	--	--	--	--	--	4928,53	4442,54	5261,36	4596,87	5986,87	6897,71
YMR022W	--	--	--	--	+1,8	4923,90	4194,23	4965,53	4962,03	5078,31	8656,54
YMR023C	--	-2,1	--	--	--	11778,73	8920,81	5621,65	10507,31	11676,72	12192,66
YMR024W	--	--	--	--	--	10460,51	7837,10	8217,57	7556,98	8098,82	11442,26
YMR025W	--	--	--	--	+3	9562,90	8190,25	12148,56	8661,70	12059,64	29073,96
YMR026C	--	--	--	--	+1,8	5529,15	4401,39	6147,35	6394,41	6823,69	9916,13
YMR027W	--	--	--	--	+2,4	11316,09	7796,08	9480,25	9168,50	9457,28	26772,82
YMR028W	-1,6	--	-1,6	--	+1,7	9653,41	5935,64	6819,44	6161,74	7064,24	16655,02
YMR029C	--	--	--	--	+3,9	3872,11	3324,14	4553,44	3895,35	4015,48	15174,24
YMR030W	--	--	--	--	+2,2	4790,22	4449,65	5604,52	4588,08	4952,71	10736,93
YMR031C	--	--	--	--	--	6562,15	4704,87	4941,58	4729,79	5985,99	9184,66
YMR032W	--	--	--	--	--	5788,13	3951,48	4868,58	4104,06	4853,90	4927,29
YMR034C	-1,6	-1,9	--	-1,6	--	14688,74	9270,57	7663,46	10191,65	9256,38	16789,77
YMR035W	--	--	--	--	+1,9	8261,69	7767,34	9846,11	7887,67	6271,60	15458,94
YMR036C	--	--	--	--	+1,7	8776,07	6873,77	10941,55	9682,42	9674,68	14906,09
YMR037C	--	--	--	--	+4,6	5438,60	4553,81	6978,34	6505,04	6432,77	25031,71
YMR038C	--	+1,7	+1,6	+2	--	7999,93	10038,19	13826,00	12649,42	15929,41	11004,05
YMR039C	--	--	--	--	--	17152,73	15251,05	18981,47	15978,36	13791,92	13560,75
YMR040W	-1,5	--	-1,5	-1,6	+2,1	6884,44	4516,06	5055,83	4507,89	4397,19	14446,17
YMR041C	--	--	--	--	+1,7	7986,61	7769,73	9542,71	7894,99	9136,79	13824,93
YMR042W	--	--	--	--	--	7265,39	6396,30	7079,02	6208,72	6998,72	8041,80
YMR043W	-1,6	--	-2,2	--	--	20303,35	12594,62	14018,04	9145,76	23345,32	26530,15
YMR044W	--	+1,8	--	--	+2,8	4319,69	4181,40	7647,59	3944,98	4774,78	12148,97
YMR046C	-1,5	--	-1,6	+4,4	+3,9	31687,80	20848,29	26505,57	20153,79	138288,61	122228,74
YMR047C	--	--	--	+1,9	--	7293,82	7633,45	8457,89	8734,91	14130,29	10447,72
YMR048W	--	--	--	+1,5	--	5264,55	4955,83	4769,96	4849,63	8042,07	7836,85
YMR049C	--	--	--	+1,7	--	5269,38	4711,03	6127,17	4079,05	8695,24	4080,97
YMR051C	--	--	--	+4,4	+3,5	23583,76	17357,71	17509,73	16570,09	103977,47	83570,42
YMR052W	--	--	--	--	--	4880,06	4912,28	4206,79	4596,98	5910,39	6455,54

ORF	Änderungsfaktor					Normalisierte Signalintensität					
	10 min	20 min	30 min	16 h	5d	0 min	10 min	20 min	30 min	16 h	5d
YMR053C	--	--	--	--	--	3944,62	3219,23	4066,57	4051,01	3901,04	3625,53
YMR054W	-1,6	--	--	-2,5	--	5135,84	3308,20	4332,50	3515,67	2036,89	4943,98
YMR055C	--	--	--	--	--	4086,48	4332,78	5417,40	3765,40	5363,58	4488,99
YMR056C	--	--	--	--	+1,8	3859,87	3756,49	4904,37	4107,64	4927,53	7034,32
YMR057C	--	--	--	+3,7	+2,6	12931,21	10623,44	10484,67	12709,65	47819,01	33866,38
YMR058W	--	--	-1,5	--	-1,6	6318,74	4784,71	4426,16	4170,33	4220,18	3933,58
YMR059W	--	--	--	--	--	3605,41	3819,95	4855,56	4344,64	2913,93	4295,80
YMR061W	--	--	--	--	--	4726,74	4589,14	4616,99	4752,41	3797,53	4171,79
YMR063W	--	--	--	+1,6	--	3095,57	2730,86	3649,90	3689,99	4965,03	2435,36
YMR064W	--	--	--	--	--	5692,67	5502,41	5146,43	5264,67	5090,80	8212,32
YMR065W	--	--	--	+1,6	--	3012,67	3453,74	3707,03	3762,82	4857,75	3008,59
YMR066W	--	--	--	--	--	3492,77	3370,20	4441,45	3903,53	3785,56	3957,51
YMR067C	--	--	--	--	--	5209,36	5032,40	5946,20	4864,30	5695,88	5596,56
YMR068W	--	--	--	--	--	4150,83	3482,85	4021,51	3917,10	3542,03	4385,18
YMR069W	--	--	--	--	--	4885,01	4267,72	5662,64	4810,95	5331,72	4176,98
YMR070W	-1,7	-1,6	-1,7	--	+1,5	9099,98	5265,16	5802,69	5466,45	8990,00	13858,28
YMR071C	--	--	--	--	--	5180,40	4772,54	5631,13	5239,08	5199,46	7135,30
YMR072W	--	--	--	--	--	7397,67	8686,22	8138,03	8044,06	6379,90	7315,17
YMR073C	--	-1,7	--	--	--	42069,23	40886,50	24884,56	35707,91	48968,93	46183,83
YMR074C	--	--	--	-1,6	--	11520,44	10734,16	9985,37	11995,56	7349,51	15341,86
YMR075W	--	--	--	--	--	3786,87	3054,52	3952,44	3496,59	3291,64	5453,57
YMR076C	--	--	--	--	--	9440,10	6658,23	10243,28	9544,44	12271,22	8610,87
YMR077C	--	--	--	--	--	3491,05	3486,48	4181,07	4309,58	4658,79	5108,99
YMR078C	--	--	--	--	--	5083,67	3942,02	4982,91	4365,89	5851,08	4372,33
YMR080C	--	--	--	-1,5	--	6128,76	4596,08	4602,42	4738,02	4044,30	4156,05
YMR081C	--	--	--	--	+2,3	4527,15	3521,28	4471,78	4425,48	4192,37	10405,75
YMR082C	--	--	--	--	--	3972,90	3966,60	3869,64	4015,27	3011,35	2738,14
YMR083W	--	-2	-2	--	-1,6	27263,06	23147,92	13684,84	13504,89	18946,83	16839,65
YMR086W	+1,7	+2,8	+2,5	--	+1,9	25431,31	44122,13	70117,92	62660,20	20834,44	47683,97
YMR087W	--	--	--	--	--	3863,88	3591,81	4412,63	3835,35	3406,00	5225,26
YMR088C	--	--	--	--	--	3475,05	3673,82	4235,22	4269,26	5197,32	5141,42
YMR089C	--	+1,6	--	+1,6	--	12791,87	12357,87	20510,40	13806,19	20085,41	17416,33
YMR090W	--	--	--	--	+7,1	6663,41	4807,05	4635,75	4862,01	4643,68	47307,73
YMR091C	--	--	--	-1,9	+1,9	29289,52	31301,91	26005,05	21942,97	15350,29	54980,95
YMR092C	--	--	--	--	--	4421,29	3730,80	4260,56	4352,17	4516,91	3842,29
YMR093W	--	--	--	--	--	4058,85	3327,29	4223,15	3659,88	2943,97	4947,51
YMR094W	--	--	--	--	+1,8	6518,67	6649,93	5478,43	6111,92	5909,45	11765,83
YMR095C	--	--	--	--	+2,8	4254,25	3607,59	4182,16	4544,07	3699,41	11807,46
YMR096W	--	--	--	--	+1,6	3509,45	3542,73	4152,31	4491,94	4599,40	5774,89
YMR097C	--	--	--	--	--	4414,29	3817,56	4970,97	5248,91	3829,70	6313,46
YMR098C	--	--	--	-1,6	--	9282,03	7904,75	7438,22	8022,72	5751,11	10815,50
YMR099C	--	+1,6	--	--	--	3871,06	3705,93	6071,38	4303,81	4699,03	3083,94
YMR100W	--	--	--	--	--	4367,65	3788,33	4598,39	4317,34	5152,78	4479,91
YMR101C	--	--	--	--	--	4211,55	3437,34	5061,34	3630,34	5299,67	3594,40
YMR102C	--	--	--	--	--	4502,28	3529,79	5606,43	4408,05	4964,47	5195,41
YMR103C	--	--	--	--	--	4440,65	3921,56	4362,56	4318,92	4798,61	5965,78
YMR104C	--	--	--	--	+2,6	3724,86	3196,16	4085,28	3720,27	4652,54	9540,46
YMR105C	--	--	--	--	+3,3	3982,82	2971,59	3730,16	3699,17	3437,58	13054,42
YMR106C	--	--	--	--	+3,2	4299,47	4095,61	6002,85	4432,94	5677,25	13711,79
YMR107W	--	--	--	--	+9,7	6415,11	6379,18	6442,09	6526,37	7656,89	61927,05
YMR108W	--	--	--	--	--	8214,79	7023,19	6045,18	6473,46	7203,89	5500,89
YMR109W	--	--	--	--	--	9325,96	8185,29	11045,18	9207,35	12652,29	11902,70
YMR110C	--	--	--	--	--	5782,77	5771,93	6269,07	5790,29	7851,04	7908,10
YMR111C	--	-1,6	--	--	-1,8	24329,84	21735,36	14814,38	20681,54	35047,36	13701,38
YMR112C	--	--	--	--	--	4521,12	3782,35	4271,72	5195,82	4058,11	6157,21
YMR113W	--	--	+4,2	+2,1	+1,9	4624,65	3802,09	4451,45	19505,60	9883,60	8683,64
YMR114C	--	+2,4	--	--	+4,4	6276,57	5559,59	14908,44	5621,32	6749,27	27655,05
YMR115W	--	--	--	--	+3	10032,44	7497,61	9477,86	8094,67	7794,03	30113,96
YMR118C	--	--	--	--	+4,9	4062,25	3245,73	4389,57	3908,62	3569,20	19719,58
YMR119W	--	--	--	--	+3,5	4350,50	4237,01	5035,08	4202,17	4786,26	15272,67
YMR121C	--	-1,8	-1,5	-2	-5,1	75342,72	76448,46	42256,11	49419,76	37729,92	14760,48
YMR122C	--	--	--	--	--	4690,44	3819,37	5050,96	4585,85	5104,39	4870,27

ORF	Änderungsfaktor					Normalisierte Signalintensität					
	10 min	20 min	30 min	16 h	5d	0 min	10 min	20 min	30 min	16 h	5d
YMR123W	+1,5	--	--	--	--	5677,12	8768,38	7808,36	6944,00	6244,39	5232,26
YMR124W	--	--	--	--	--	17922,98	16470,98	17700,79	14753,40	15980,61	22256,79
YMR125W	--	--	--	-1,8	--	21451,53	16582,95	18781,53	14724,45	12129,67	15084,15
YMR126C	--	--	--	--	+2,8	5059,48	5406,92	6072,50	5720,53	5331,17	13981,82
YMR127C	--	--	--	--	+5,6	7897,81	7958,71	10176,53	9629,07	7334,53	43958,74
YMR128W	--	--	--	--	+2,3	5465,67	6293,52	7540,86	6661,27	5583,70	12493,16
YMR129W	--	--	--	--	--	20132,74	16240,98	19160,26	15660,77	15500,32	14577,23
YMR130W	--	--	--	-1,7	+1,7	8655,61	8556,55	9500,25	7196,39	5032,67	14591,11
YMR131C	--	--	--	--	+1,5	6215,67	6552,13	8720,46	6521,58	7049,75	9493,19
YMR132C	-1,5	--	-1,7	--	--	9668,03	6269,78	8840,76	5608,90	6801,06	13782,94
YMR133W	--	--	--	--	+6,3	5377,36	4775,76	6524,25	4124,90	4802,97	34145,65
YMR134W	--	+2	--	--	+1,7	4770,83	4152,16	9449,70	4972,85	6599,46	7885,96
YMR135C	--	+1,5	--	--	+1,7	5113,64	6112,24	7746,58	5236,56	3605,22	8706,12
YMR136W	--	--	--	--	-1,7	4482,73	3669,41	4558,35	3999,93	4440,73	2700,29
YMR137C	--	--	--	+1,6	--	4285,23	4957,85	4614,21	4595,40	6868,48	4925,05
YMR138W	--	--	--	--	--	13363,11	15702,52	11593,02	11721,39	16169,25	15171,33
YMR139W	--	--	--	--	+1,8	4918,35	4515,32	4795,68	4174,97	5625,97	8939,59
YMR140W	--	--	--	--	+1,6	4597,37	4140,76	4757,74	4537,48	5326,16	7409,41
YMR141C	--	--	--	--	+2,4	5119,39	4627,72	4845,09	4434,55	4719,24	12448,44
YMR144W	--	--	--	--	--	5498,60	5515,40	4747,25	4752,32	5219,16	5546,13
YMR145C	--	--	--	--	--	10911,50	7863,95	7475,07	7591,87	8302,91	9879,67
YMR146C	-1,7	--	--	-1,5	-1,6	13054,21	7701,19	10854,98	10192,39	8558,75	8061,89
YMR147W	--	--	--	+2,4	--	3841,12	3873,48	4395,14	4496,58	9406,59	4582,43
YMR148W	--	--	--	--	+2	6225,32	7105,33	6518,09	6031,91	5750,39	12418,43
YMR149W	--	--	--	+1,8	--	13462,46	13680,22	11258,90	11084,12	23813,22	20020,94
YMR150C	--	--	--	--	+1,6	5975,52	5680,13	5905,98	6700,95	7604,72	9315,32
YMR151W	--	-1,6	--	-2	-3,9	72457,98	79806,70	44112,47	60434,46	35918,38	18712,83
YMR152W	--	--	-1,5	--	-2	130281,20	142340,54	140391,42	86174,27	165815,52	64108,71
YMR153W	--	--	--	--	--	8324,73	7200,12	7006,39	6540,43	7571,06	7586,68
YMR154C	--	--	--	--	--	3762,49	3883,54	3753,16	4205,88	4347,76	4509,85
YMR155W	--	--	--	--	--	4256,56	3607,83	4269,34	3354,68	4051,27	5099,29
YMR156C	--	-1,6	-2,1	--	--	18680,45	12541,00	11743,19	9044,59	13886,48	17255,92
YMR157C	--	--	--	--	+1,8	5457,98	3831,95	5188,03	4455,13	3685,59	9627,98
YMR158W	--	--	--	+2,1	--	4360,53	4580,96	5460,02	5153,77	9361,27	5635,19
YMR159C	--	--	--	--	+2	4510,28	4319,18	6673,57	4979,47	5176,43	8833,38
YMR160W	--	--	--	--	--	3452,28	3011,02	4213,59	4161,17	3725,87	4411,02
YMR161W	--	--	--	-2,6	-3,3	35518,56	33695,01	24229,24	25189,73	13643,31	10678,42
YMR162C	--	--	--	--	--	13168,04	14538,28	11628,03	14889,88	16533,13	9538,81
YMR163C	--	--	--	--	--	17266,50	19385,89	13908,31	14952,84	14257,82	22447,32
YMR164C	--	--	--	--	--	4380,14	3471,87	4218,25	4257,41	5067,72	5036,89
YMR165C	--	--	--	--	--	3481,61	3579,87	4085,36	4546,20	4307,37	3018,88
YMR167W	--	--	--	--	--	5663,06	5307,41	5584,62	6090,67	5390,55	4843,56
YMR168C	--	--	--	--	--	4922,94	4090,60	4831,51	5005,81	3635,22	4681,10
YMR170C	--	--	--	--	+13,7	6453,18	5361,88	5710,05	4904,83	6110,15	88513,36
YMR171C	--	--	--	--	+2	14031,18	11970,90	9837,20	10382,82	12377,00	28650,90
YMR172W	--	--	--	--	--	6497,91	6120,70	5888,13	6557,34	5999,17	8655,89
YMR173W	--	--	--	--	+5,8	11752,43	8635,45	8661,78	8991,72	12373,30	67936,12
YMR176W	--	--	--	--	+1,8	5646,03	5368,44	6123,51	6966,89	4950,76	10384,03
YMR177W	--	--	--	--	--	10316,44	7838,39	7739,02	8507,97	7516,77	8287,65
YMR178W	--	-1,6	--	-1,7	--	19324,11	15205,30	12198,63	14645,84	11087,08	24638,18
YMR179W	--	--	--	+2,1	--	3795,18	3511,19	4905,92	4747,36	8127,02	3474,05
YMR180C	--	--	--	--	+1,5	5389,37	3761,29	4985,90	4994,58	4613,27	8148,87
YMR181C	--	-1,7	-2	-2,1	--	20481,01	15509,56	12195,18	10091,37	9640,17	25609,90
YMR182C	--	--	--	--	--	13474,95	10047,62	11040,26	11148,69	11734,20	14916,60
YMR183C	--	--	-1,6	--	-1,8	15296,96	10863,13	11186,22	9470,23	11709,40	8509,24
YMR184W	--	--	-1,8	-2,4	+1,8	24379,23	19078,68	18445,76	13610,27	10370,66	42684,32
YMR185W	--	--	--	--	+1,5	4350,72	3602,14	4323,51	5249,86	4363,25	6720,88
YMR186W	--	-1,9	-2,1	-1,8	--	75845,69	70959,87	40475,70	36122,05	43022,03	64316,34
YMR187C	--	--	--	--	--	3329,27	3591,89	4141,08	3908,23	3445,60	4066,02
YMR188C	--	-1,5	--	-1,6	--	8133,76	5859,37	5370,86	5681,07	5043,41	9079,94
YMR189W	--	--	--	-1,6	--	25158,84	23486,28	18270,31	21167,70	15604,46	19775,96
YMR190C	--	-2	-1,7	-3	-1,6	78010,01	59927,37	38368,84	46444,32	25714,39	49311,72

ORF	Änderungsfaktor					Normalisierte Signalintensität					
	10 min	20 min	30 min	16 h	5d	0 min	10 min	20 min	30 min	16 h	5d
YMR191W	-1,6	--	--	--	+2	8331,65	5122,43	11567,15	6885,91	10244,32	16438,88
YMR192W	--	--	--	--	+4	3690,92	3219,01	4458,73	3529,20	5367,72	14633,45
YMR193W	--	--	--	-1,6	+1,6	9991,01	7766,95	8824,62	7670,92	6084,24	16329,19
YMR195W	--	--	--	-2,6	--	46231,17	35936,21	35459,07	32816,96	17664,56	50993,35
YMR196W	--	--	--	--	+2,8	7437,57	5828,86	6503,66	5316,05	6429,02	20473,10
YMR197C	--	-1,6	-2,8	-1,9	-4,5	64647,90	59490,86	41456,45	22942,35	33785,42	14526,39
YMR198W	--	--	--	--	--	3838,27	3236,95	4263,52	3973,61	4843,90	4998,73
YMR199W	--	--	--	--	--	6618,91	5431,92	5767,27	7007,03	5345,44	8806,83
YMR200W	--	-2	--	--	-2,5	-4,4	43021,84	37760,16	21838,63	36954,90	17121,59
YMR202W	--	--	--	--	+2,2	--	6968,99	7775,90	6950,66	9006,07	15357,19
YMR203W	--	--	--	--	--	6178,78	5862,02	5621,67	5487,26	8221,56	5352,42
YMR204C	-1,7	-2,5	-2,1	-1,7	-3,8	49722,89	30086,11	19621,50	23612,13	29143,72	12979,84
YMR205C	-1,7	-2,2	-2	--	-1,9	20688,43	12079,04	9256,63	10231,75	14850,56	11153,20
YMR206W	-2,4	-2,7	-3,1	-3,2	-2,9	72689,75	30827,23	27388,56	23098,25	22485,78	24659,67
YMR207C	--	--	--	--	--	7758,59	7339,57	7508,37	6691,23	8250,57	11023,61
YMR208W	--	--	--	-1,6	--	14186,06	12061,07	11655,65	9948,18	8772,55	11180,61
YMR209C	--	-1,8	-2	-2,3	-2,5	50024,65	41316,46	28142,03	24902,87	21749,99	19633,36
YMR210W	--	--	-1,8	-2,8	-2,1	20624,10	19915,13	22136,99	11350,23	7449,21	9834,07
YMR211W	--	--	--	--	--	14101,56	12310,11	9557,00	10367,46	10382,31	16018,63
YMR212C	--	--	--	-1,6	-2,8	16678,44	14867,07	14677,38	16956,10	10197,71	5941,41
YMR213W	--	--	--	--	-1,7	10678,25	9885,02	8548,87	8896,78	7391,71	6141,60
YMR214W	--	+1,5	--	+1,5	+2,2	7669,25	7537,75	11695,67	9419,65	11823,49	16563,80
YMR215W	--	--	--	--	+1,9	5681,23	5568,28	5196,56	5572,64	8128,42	10600,58
YMR216C	--	--	--	--	+1,8	10373,76	9323,68	8184,62	7770,78	11805,03	18917,19
YMR217W	-1,8	-2,1	-2	-2,4	--	15165,04	8268,33	7223,87	7548,56	6378,94	14646,84
YMR218C	--	--	--	--	+4,3	5093,18	3522,98	4864,64	4313,86	5788,22	21690,15
YMR219W	-1,5	--	--	-1,5	--	9849,51	6399,41	8389,61	6677,39	6460,73	14092,98
YMR220W	--	--	-1,6	-1,8	--	24314,60	20778,63	21565,11	14909,56	13368,86	25105,77
YMR221C	--	--	-1,6	--	--	14265,65	12117,83	9855,88	8976,37	12849,75	14119,04
YMR222C	--	--	-1,6	-1,7	--	8975,67	6116,96	7393,53	5676,82	5194,27	11108,09
YMR223W	--	--	--	--	+1,9	9209,83	10620,95	7973,59	8787,64	9947,50	17326,06
YMR224C	--	--	--	--	-1,9	11277,24	10126,22	8501,08	10607,65	8705,43	6002,53
YMR226C	--	--	--	--	--	36857,32	28422,62	29079,01	26589,67	31198,89	49468,61
YMR227C	--	--	--	--	--	6681,85	6079,78	5313,48	5207,68	7307,61	8132,27
YMR228W	--	--	--	--	--	4795,04	5205,55	5205,82	5501,18	5742,48	6958,46
YMR229C	--	--	-1,7	--	--	20792,71	17640,56	14134,48	12148,55	22646,19	26757,04
YMR231W	--	--	--	--	--	6343,83	6147,50	5657,49	5836,68	5164,36	8164,87
YMR232W	--	--	--	--	--	5319,90	5066,13	4657,18	4886,32	5399,88	7298,57
YMR233W	--	--	--	--	--	6059,93	4452,09	4924,71	4949,11	5254,18	4112,27
YMR234W	--	--	--	--	--	4153,50	3837,01	4001,41	4492,46	4843,29	4722,73
YMR235C	--	--	--	--	-1,9	8998,63	6884,68	7278,91	7189,44	8390,62	4806,37
YMR236W	--	--	--	-1,7	--	17726,06	14531,59	13642,60	15176,21	10694,71	13085,08
YMR237W	--	--	--	--	--	6891,33	4848,31	5226,01	4997,85	5054,13	5555,50
YMR238W	--	--	--	--	--	15909,80	17852,52	14967,22	15587,47	15240,40	23731,89
YMR239C	--	+1,6	--	--	-1,8	3740,48	3489,38	6134,48	3814,63	3857,35	2068,53
YMR240C	-1,6	--	--	--	--	4894,22	3129,91	3976,20	4129,99	4395,56	5923,15
YMR241W	--	--	--	--	--	5174,68	5972,09	5566,44	5568,13	6697,31	5281,48
YMR242C	--	-1,6	--	-1,6	-4,2	132438,32	149812,62	84230,82	116941,35	81208,99	31442,44
YMR243C	--	--	--	+1,6	--	16719,88	16144,90	15563,21	13351,32	26204,88	14246,23
YMR244W	--	--	--	--	-2,7	5426,94	5011,56	6434,14	5706,45	3706,52	1979,42
YMR245W	--	--	--	--	--	3971,03	3677,23	4278,12	4123,51	4135,21	4089,81
YMR246W	--	--	--	+1,7	--	6176,15	6343,29	6665,65	6413,66	10255,09	6180,10
YMR247C	--	--	--	-1,6	--	10836,97	8297,86	10577,75	10528,45	6592,04	12085,02
YMR250W	--	--	--	--	+3,9	6069,92	5977,77	6216,77	6101,89	4592,56	23405,27
YMR251W	--	--	--	--	+4	4528,75	5093,50	5822,02	4165,18	5887,01	18099,67
YMR252C	--	--	--	--	--	4768,46	4765,16	4948,36	4618,75	6172,44	6802,23
YMR253C	--	--	--	--	--	12246,04	12366,16	11394,73	10212,80	11581,51	18036,03
YMR255W	--	--	--	--	+2,2	9306,85	8822,27	8997,84	8670,94	12808,44	20103,23
YMR257C	--	--	--	--	+1,5	3569,77	3256,69	3930,74	4203,51	5029,05	5484,48
YMR258C	--	--	--	--	--	4248,14	3849,86	4535,28	4352,88	4626,01	5769,51
YMR259C	--	--	--	-1,5	--	30876,03	36698,49	33762,06	35615,25	20391,92	25984,30
YMR260C	--	--	--	--	--	3314,54	3730,30	4766,72	3620,76	3871,56	3798,58

ORF	Änderungsfaktor					Normalisierte Signalintensität					
	10 min	20 min	30 min	16 h	5d	0 min	10 min	20 min	30 min	16 h	5d
YMR261C	--	--	--	--	--	4867,45	5388,59	6993,06	7028,96	3502,26	3446,61
YMR262W	--	--	--	--	+11,1	7704,45	5257,74	7375,54	6301,19	7689,51	85486,29
YMR263W	--	--	--	--	--	6500,01	4878,59	5440,37	5488,59	5266,95	7632,05
YMR264W	--	--	--	--	--	17944,73	18781,31	17214,60	13975,54	26311,32	23850,77
YMR265C	--	--	--	--	+1,7	7463,30	5742,27	6501,28	5733,65	7148,20	12691,43
YMR266W	--	--	--	--	--	3742,84	3498,38	4679,18	4245,72	4466,08	3528,34
YMR267W	--	--	--	--	+1,7	28782,49	31869,39	22593,05	25992,77	22711,12	48132,87
YMR268C	--	--	--	-1,6	--	8066,11	10152,78	9322,28	10427,17	5010,88	5705,16
YMR269W	--	--	--	+1,9	+1,7	4579,29	5106,96	6459,21	6536,04	8908,92	7857,05
YMR270C	--	--	--	--	--	3828,82	3311,37	4032,18	4131,20	4589,92	4032,45
YMR271C	--	--	--	--	+3,3	5503,54	4206,28	4398,46	4636,17	4095,40	18257,93
YMR272C	--	--	--	--	+2,2	4716,27	3700,65	4288,50	4056,18	4504,01	10451,69
YMR274C	--	--	--	--	--	5059,75	4589,53	6221,81	5560,77	5501,24	6573,75
YMR275C	-1,5	-1,6	-1,5	-1,6	--	7905,33	5240,08	5065,42	5100,87	4958,83	10642,69
YMR276W	--	--	--	--	--	69537,11	57233,25	64219,31	46441,39	56501,02	94624,98
YMR277W	-1,5	--	--	--	+2	13499,16	8822,16	10912,08	9544,02	14535,39	27336,34
YMR278W	--	--	--	--	+1,7	5136,51	3780,14	4628,82	3912,79	5456,00	8702,83
YMR279C	--	--	--	--	+2,2	4894,54	4515,65	4807,70	5726,73	6528,25	10549,89
YMR280C	--	--	--	--	+2,6	6411,46	6131,56	7152,84	6917,12	4814,47	16832,42
YMR281W	--	--	-1,5	--	--	18748,14	17482,19	19719,31	12459,84	13081,41	17348,57
YMR282C	--	--	--	--	--	5206,37	4639,53	5612,95	4516,46	4741,44	5717,31
YMR283C	--	--	--	--	--	9594,41	7488,32	6936,59	8327,39	6437,58	9123,20
YMR284W	--	--	--	-1,9	--	8575,16	6847,24	6381,86	5865,08	4482,19	10186,83
YMR285C	--	--	--	-1,5	--	6674,15	5058,45	5387,60	5461,35	4351,32	7500,70
YMR287C	--	--	--	--	+2,4	4761,80	3331,38	4356,53	4169,04	3885,60	11412,31
YMR288W	--	--	-1,5	-2,1	--	22193,96	18552,14	14911,65	14690,62	10360,99	19134,32
YMR289W	--	--	--	--	--	4596,57	4010,47	4406,15	4928,07	4920,38	6554,41
YMR290C	--	--	-2	--	-1,7	22376,77	16720,62	15414,33	11048,54	16483,87	12902,36
YMR291W	--	--	--	+1,7	+1,6	5072,01	4497,95	4741,40	5095,87	8540,70	7916,23
YMR293C	--	--	--	--	--	5581,46	4205,27	5678,89	5689,98	4607,09	4704,46
YMR294W	--	--	--	--	--	4641,04	4078,42	4819,22	5413,03	5558,96	4747,39
YMR295C	-1,6	--	--	-1,5	--	11854,87	7355,06	9248,30	8383,07	7715,39	13514,56
YMR296C	--	--	--	--	--	9815,82	9768,87	8194,02	9506,66	13883,50	10054,78
YMR297W	--	--	--	--	--	12671,88	10832,53	9591,11	10598,34	13363,54	13681,39
YMR298W	--	-1,7	--	-1,5	--	15687,61	12103,95	9205,41	10515,99	10341,96	11538,33
YMR299C	--	--	--	--	--	7580,60	6081,07	6356,72	6699,39	6054,47	7932,52
YMR300C	-3,3	-4,2	-4,5	-3,4	-2,9	34660,08	10507,90	8246,38	7675,70	10234,60	11857,87
YMR301C	--	--	--	--	--	5666,27	5462,03	5612,60	5800,42	6254,38	8248,09
YMR302C	--	--	-1,6	-1,7	+1,9	11387,58	7864,25	9053,88	7249,27	6802,06	21741,30
YMR303C	--	-2,6	-2,7	--	-2,5	51260,16	38914,89	19966,64	18888,10	50838,84	20567,11
YMR304W	--	--	--	--	+1,6	6934,82	8255,93	6045,91	6083,86	5920,68	11001,17
YMR305C	--	--	--	-1,5	-2,4	9728,76	8230,28	6824,72	7902,37	6297,53	4102,54
YMR306W	--	--	--	--	--	6210,13	5326,29	5352,01	5210,77	4327,61	5435,45
YMR307W	--	--	--	--	+1,5	17847,73	14772,70	12207,37	11928,18	27499,65	15053,29
YMR308C	--	-1,7	-1,7	--	--	13684,78	9594,12	8207,91	8103,14	9161,87	10711,91
YMR309C	-1,9	-1,9	-1,9	--	+2,1	8557,58	4436,28	4546,55	4564,17	6493,18	17882,04
YMR310C	--	--	-1,6	-1,5	--	10526,99	7991,32	9546,64	6527,05	6795,07	10419,01
YMR311C	--	--	-1,6	-1,7	--	20742,84	15983,70	17549,03	12769,71	12106,88	30606,39
YMR312W	--	--	--	--	--	8938,48	8018,79	8345,80	7673,88	7471,09	12618,40
YMR313C	--	--	--	--	+1,8	7031,77	7012,31	9165,56	7746,40	7375,00	12628,14
YMR314W	--	-1,8	-1,7	-1,7	--	16746,06	12699,73	9446,33	9610,54	9806,62	24493,67
YMR315W	-1,6	-1,6	-1,7	--	--	7862,29	4958,55	4877,25	4504,69	5825,79	11647,41
YMR316W	--	+1,6	--	--	--	3178,54	2931,46	5182,44	3476,52	4763,86	2997,81
YMR317W	--	--	--	--	--	32492,55	27696,86	21702,84	32279,02	39515,00	26871,55
YMR318C	--	--	--	--	-2	10507,05	9217,80	9091,14	9092,12	8880,95	5309,55
YMR319C	--	--	--	--	--	5506,83	4455,57	5381,96	4941,24	5045,18	4739,44
YMR320W	--	--	--	--	+1,5	6218,64	5309,70	7543,30	5881,53	5183,03	9556,15
YMR321C	--	--	--	--	-2,9	24533,75	25649,56	29667,16	26848,45	32178,15	8331,88
YMR322C	--	--	--	--	+4,2	3743,01	3418,01	4522,39	3927,03	4065,59	15884,27
YMR323W	--	--	--	--	+4,1	4160,74	3338,72	4223,57	4613,34	5930,78	17117,44
YMR325C	--	--	--	--	+2,2	3502,52	3402,76	3905,19	4265,20	3837,12	7878,70
YMR326C	--	--	--	+1,7	--	3099,19	3173,65	3963,14	3683,66	5395,12	2944,11

ORF	Änderungsfaktor					Normalisierte Signalintensität					
	10 min	20 min	30 min	16 h	5d	0 min	10 min	20 min	30 min	16 h	5d
YNL001W	--	--	--	+2,1	--	4006,68	4241,35	3359,03	4324,03	8394,50	5287,14
YNL002C	--	--	--	--	--	9190,38	10268,68	8701,00	7981,57	12356,37	7929,29
YNL003C	--	--	--	--	--	5883,87	5240,03	5608,84	5204,70	5787,98	5430,02
YNL004W	--	--	--	--	--	5013,81	4407,08	4735,69	4066,67	5869,71	6252,56
YNL005C	--	--	--	--	-4,7	220547,44	295913,80	215446,05	182177,63	179012,44	46676,82
YNL006W	--	--	--	--	--	8408,89	10270,46	9922,31	10298,84	8554,69	8728,78
YNL007C	-1,6	-2,7	-4,5	-2,1	--	54332,61	34559,21	19916,83	12198,94	26406,44	63145,47
YNL008C	--	--	--	--	+1,9	8875,82	7897,28	10078,56	9560,07	11366,27	16652,15
YNL009W	--	--	--	--	+2,9	3646,48	3296,92	4140,57	4369,79	5204,40	10525,99
YNL010W	--	--	--	--	-1,6	11448,33	11468,27	9411,56	7946,95	11318,51	7261,48
YNL011C	--	--	--	--	--	5788,54	4581,59	5134,12	4522,13	3864,53	5639,93
YNL012W	--	--	--	-1,9	--	6369,97	4566,26	4928,62	5310,90	3390,51	5258,19
YNL013C	--	--	--	+2,2	+1,9	3556,17	3130,68	4219,57	3424,59	7699,41	6803,76
YNL014W	--	--	--	+1,5	--	3599,37	3299,66	4213,79	3759,97	5432,08	4287,37
YNL015W	--	--	--	--	+2,9	4914,06	4791,24	6232,71	5007,53	5538,61	14100,48
YNL016W	--	--	--	--	--	4101,89	4080,59	5136,10	4025,95	5439,07	3875,05
YNL017C	--	-1,8	--	-2,3	-3,8	68678,20	80011,62	38338,53	56935,11	29688,25	18201,27
YNL018C	--	-1,6	--	+1,5	--	23374,39	25853,74	14302,53	26577,03	35317,16	17174,76
YNL019C	--	--	--	--	--	7049,52	9765,45	6343,39	6968,74	5773,44	4994,35
YNL020C	--	--	--	--	--	5800,14	5017,13	4913,46	6212,95	6249,79	5804,96
YNL021W	--	--	--	--	--	3400,21	3867,80	3856,14	3506,50	4363,36	3427,53
YNL022C	--	--	--	-1,5	--	7226,96	7874,41	6507,06	5947,12	4676,38	8748,80
YNL023C	--	--	--	--	--	9738,40	9774,27	8623,41	9361,36	6922,25	6849,52
YNL024C	--	--	--	--	-1,6	4662,42	4056,52	6206,01	4116,35	3533,02	2914,55
YNL025C	--	--	--	--	+5,7	10337,33	8116,03	8753,74	8933,66	11642,92	58785,77
YNL026W	--	--	--	--	--	3845,35	3181,01	4163,18	3816,64	4705,41	3430,75
YNL027W	--	--	--	+2,6	+2,7	7942,06	6355,00	7639,34	6017,88	20606,71	21129,74
YNL028W	--	--	--	--	--	4534,07	4376,21	4548,09	4435,72	4790,09	6660,05
YNL029C	--	--	--	--	+1,5	4687,30	4214,90	4759,89	4389,66	4759,27	7129,65
YNL030W	--	--	--	+1,6	--	225344,98	232199,21	269809,37	231943,72	353469,93	218894,10
YNL031C	--	--	--	--	--	144612,70	169638,85	149216,92	142519,20	181164,34	113196,65
YNL032W	--	--	--	--	+1,9	12382,16	11676,69	12570,87	11558,44	14732,69	23843,27
YNL033W	--	--	--	--	--	3290,93	3326,30	3765,30	4267,41	3354,02	4376,07
YNL034W	--	--	--	--	--	3662,98	3011,03	3759,65	4024,57	4492,93	5018,07
YNL035C	--	--	--	--	--	4548,97	3574,59	4479,82	4186,15	5790,97	3919,07
YNL036W	--	-1,6	-1,7	--	+2,7	11165,18	7526,92	6808,84	6588,39	7603,94	30303,38
YNL037C	--	-1,8	-1,7	-1,9	+1,8	43721,10	31777,49	24241,22	25551,13	23471,01	78591,06
YNL038W	--	--	--	--	--	6358,94	5512,72	6449,26	6023,89	4642,54	7920,28
YNL039W	--	-1,7	--	--	--	12888,33	10058,06	7397,09	8703,04	9371,03	13576,59
YNL040W	--	-1,8	--	--	--	37834,09	31018,26	20585,24	28961,52	27419,73	54045,56
YNL041C	--	--	--	--	--	6727,25	6276,28	6267,80	6113,53	5880,30	7234,35
YNL042W	--	--	--	--	+1,9	8978,57	8814,30	7300,50	8106,52	8534,01	17429,92
YNL043C	--	--	--	--	--	10833,00	12350,69	11482,61	13606,98	9400,71	9642,04
YNL044W	--	--	-1,7	--	--	9289,83	7600,85	8424,61	5383,06	6485,06	6577,63
YNL045W	--	--	--	--	--	5374,43	4936,33	5064,54	4894,11	7034,51	6132,17
YNL046W	--	--	--	--	+1,5	7405,54	6670,36	7307,45	7498,63	6964,80	11204,75
YNL047C	--	--	--	+1,9	--	4860,93	5083,52	6106,99	5974,29	9058,90	6379,00
YNL048W	-1,5	--	--	--	--	5629,66	3743,27	4369,63	4450,83	5428,47	6819,70
YNL049C	--	-1,9	-2,2	-2,2	+2,5	40827,88	35135,72	20960,26	18663,10	18231,51	102095,53
YNL050C	--	--	--	--	+1,6	9886,09	7088,40	7796,96	8274,72	7266,45	16019,78
YNL051W	--	--	-1,7	--	--	22472,19	17814,34	17794,75	13167,73	16269,85	21216,50
YNL052W	--	--	--	-4,2	--	35654,25	27447,07	26123,91	25514,20	8571,99	40373,56
YNL053W	--	--	--	--	+1,7	10401,80	8652,38	9271,98	8187,75	7257,81	17562,57
YNL054W	--	--	-1,9	-1,9	--	77611,78	64069,79	52623,45	41671,42	40046,96	64249,36
YNL055C	--	-1,8	--	--	--	25377,98	21531,10	13979,19	17436,57	16987,84	24742,25
YNL056W	--	--	--	--	--	8768,43	6789,01	6899,58	7202,79	6116,07	8900,62
YNL057W	--	--	+1,6	+2,1	--	5733,72	7214,41	8235,66	9035,68	11835,54	5170,31
YNL058C	--	--	--	--	--	5645,56	4312,42	5474,68	5304,32	7137,61	4605,60
YNL059C	-1,6	-1,6	-1,5	--	--	8479,40	5144,49	5451,80	5521,29	6135,32	8217,06
YNL060C	--	--	--	--	-2,3	9773,23	10243,03	9594,08	10654,73	7734,76	4194,84
YNL061W	--	--	--	--	-3,2	20525,67	16849,88	14366,75	14675,49	18274,10	6480,86
YNL062C	--	--	--	--	--	11375,41	11487,22	10757,30	10346,18	10648,12	11057,80



ORF	Änderungsfaktor					Normalisierte Signalintensität					
	10 min	20 min	30 min	16 h	5d	0 min	10 min	20 min	30 min	16 h	5d
YNL063W	--	--	--	--	--	9326,10	7929,67	10030,84	8313,53	10049,18	9323,13
YNL064C	--	--	-1,5	--	-6,8	101760,06	110199,50	80790,63	65958,83	76735,90	14948,93
YNL065W	--	--	--	--	--	5670,89	4147,46	5087,19	5076,63	5564,36	5895,02
YNL066W	--	--	--	--	-2,8	20586,54	22862,30	14492,72	17058,74	20157,95	7462,37
YNL067W	--	-1,5	--	-2,2	-8,2	61345,28	61087,41	39598,48	52521,04	28108,48	7436,65
YNL068C	--	--	--	--	--	4743,49	3784,19	4704,95	4108,88	4166,23	3746,51
YNL069C	--	-1,7	--	--	-3,4	31591,52	44035,04	18972,00	35958,69	37705,23	9364,84
YNL070W	--	--	--	--	--	5220,01	3956,91	4724,63	4660,86	7100,93	5073,20
YNL071W	--	--	--	--	-3,2	71392,42	58319,21	98072,07	51260,50	81175,16	22542,25
YNL072W	--	--	--	--	--	6942,31	6344,73	5762,36	5814,01	5120,30	5803,36
YNL073W	-1,6	-1,7	-1,7	--	--	10133,90	6442,44	6102,75	5906,40	7435,79	8360,49
YNL074C	-1,5	--	--	--	--	8305,56	5404,23	5886,53	5743,87	9301,41	11090,57
YNL075W	--	--	--	--	--	8682,48	10970,10	9793,57	8064,36	6748,42	6818,71
YNL076W	--	--	--	--	-1,9	15020,13	13050,25	10674,08	10528,66	10423,39	8079,34
YNL077W	--	--	--	--	--	6039,48	5138,15	6525,41	6062,17	5145,51	5134,57
YNL078W	--	-1,5	--	--	--	11090,70	8308,06	7323,40	7479,81	8062,31	8147,80
YNL079C	--	--	--	--	-1,9	9271,62	8963,95	8741,64	9290,90	9480,45	4863,80
YNL080C	--	+1,6	--	--	--	4018,28	3660,28	6245,92	3999,80	3553,10	3899,00
YNL081C	--	--	--	-1,5	-3,8	48856,35	64721,62	55867,57	72714,45	32142,30	12741,81
YNL082W	--	+2,6	+1,7	--	-3,4	28067,27	25489,03	72421,69	48009,58	19066,10	8304,75
YNL083W	--	--	--	--	-1,5	8456,49	7716,71	6995,24	7208,12	6623,95	5565,96
YNL084C	--	-1,7	-1,7	-1,9	-2	15090,76	10547,05	8979,70	8933,63	7792,07	7733,84
YNL085W	--	--	--	--	--	6615,55	4414,47	4766,65	4750,83	6677,98	6730,97
YNL086W	--	--	--	--	--	6464,31	4722,48	5750,35	5404,28	4624,89	7101,83
YNL087W	--	--	--	--	-1,8	17982,36	16999,13	18454,05	15779,05	21868,86	9742,72
YNL088W	--	+1,9	+2	--	--	59380,77	81881,73	112547,03	119234,69	42191,10	47160,49
YNL089C	--	--	--	--	+1,5	5602,92	4397,74	7354,58	4636,56	4958,28	8571,01
YNL090W	-1,7	-1,5	-1,8	--	--	9775,05	5688,97	6411,16	5536,62	6761,55	10624,33
YNL091W	--	--	--	--	--	14679,95	14429,47	20554,68	14636,82	17542,95	11923,53
YNL092W	--	--	--	-4,1	-6,3	54863,14	63936,02	63399,60	40487,66	13335,46	8659,99
YNL093W	--	--	--	--	+2,5	3544,54	3218,28	4253,50	3451,04	3925,90	8756,36
YNL094W	--	--	--	--	--	4301,11	3948,73	5318,59	3288,38	5596,35	5330,74
YNL095C	--	--	--	--	--	5502,11	4762,27	4458,82	4419,08	4991,67	5082,21
YNL096C	--	-2	-1,7	--	-1,8	56291,89	49103,76	27786,21	33296,80	54902,88	31705,18
YNL097C	--	-1,9	-2,5	-2,1	-3,8	72114,57	74119,44	38044,99	28866,56	34601,63	18732,22
YNL098C	--	-1,9	-1,8	-1,6	--	16245,78	12441,05	8712,45	8827,19	10311,04	13200,71
YNL099C	--	-1,5	-2,4	--	--	20090,77	14927,20	13261,77	8533,81	17182,55	28099,57
YNL100W	--	--	--	--	+1,8	8336,49	5941,48	6702,64	5890,06	6553,80	14892,16
YNL101W	--	--	--	--	--	4207,99	4066,47	4051,38	4349,72	4951,95	3752,78
YNL102W	--	--	--	--	--	3234,90	2937,69	4508,42	3742,42	4309,91	3207,98
YNL103W	--	--	--	--	--	8561,46	7125,95	6990,39	7666,11	6248,50	7423,39
YNL104C	-1,6	--	-1,6	-1,6	--	6053,45	3820,32	4272,55	3898,98	3838,21	6390,34
YNL105W	--	--	--	--	+1,8	3737,50	3643,55	4801,47	4035,32	4668,39	6641,95
YNL106C	--	--	--	--	--	3218,81	3241,23	4393,19	3406,28	3769,93	3530,17
YNL107W	--	--	--	--	+1,8	5503,65	5730,31	5940,09	5247,70	7255,80	9804,75
YNL108C	--	--	--	--	--	9693,59	10427,83	9375,40	8848,77	7797,02	11161,39
YNL109W	--	--	--	-1,6	--	6911,67	6896,55	6397,43	6317,49	4329,59	6668,66
YNL110C	--	--	--	--	--	8631,51	11407,90	9125,72	9320,69	9914,48	7879,34
YNL111C	--	--	--	-2,8	-2,6	11416,81	10189,67	7872,61	9055,18	4136,60	4416,97
YNL112W	--	--	--	--	--	3341,42	3282,84	3346,22	3250,63	3080,61	3727,89
YNL113W	--	--	--	--	--	7071,77	7532,41	7771,92	7529,49	7320,08	6511,74
YNL114C	--	--	--	--	--	9192,29	9814,52	7989,51	8355,67	7537,79	9827,12
YNL115C	--	--	--	--	--	4103,21	4237,39	4762,92	4564,45	3927,84	3770,46
YNL116W	--	--	--	-1,8	--	7585,31	7572,38	8222,20	8199,61	4226,63	7599,00
YNL117W	--	--	-1,6	--	+11,5	11541,02	10257,21	8780,01	7188,93	8479,79	133108,52
YNL118C	--	--	--	--	--	3634,77	3427,41	4434,30	3813,19	4827,91	4776,85
YNL119W	--	--	--	+1,6	--	14174,21	16852,43	11745,87	13613,21	23162,91	20146,96
YNL120C	--	--	--	--	--	5636,31	4906,10	5616,79	4577,04	5291,82	7396,75
YNL121C	--	--	--	--	--	4168,70	4389,82	5129,73	4482,97	4180,12	4496,20
YNL122C	--	--	--	--	--	66032,67	86774,50	61149,36	64218,87	63146,43	48641,04
YNL123W	--	--	--	--	--	5160,11	4967,08	4275,17	6068,54	5092,35	4812,12
YNL124W	--	--	--	--	--	4160,64	4092,30	4777,01	5069,73	4719,06	4243,01



ORF	Änderungsfaktor					Normalisierte Signalintensität					
	10 min	20 min	30 min	16 h	5d	0 min	10 min	20 min	30 min	16 h	5d
YNL125C	--	--	--	--	--	3390,09	2947,27	3689,84	3947,10	4408,69	4416,95
YNL126W	--	--	--	+1,6	--	3189,92	3238,36	3825,78	3940,18	5129,64	4017,29
YNL127W	--	--	--	--	--	9605,79	8320,37	8106,27	8885,62	6516,48	6590,87
YNL128W	--	--	--	-1,6	--	12242,65	13192,55	11589,89	14432,26	7549,14	9303,58
YNL129W	--	--	-1,5	--	+3,2	10158,35	6861,99	6972,58	6600,05	6869,03	32768,42
YNL130C	-1,5	-1,8	-1,5	--	--	11620,64	7641,23	6629,69	7562,13	7942,22	16727,23
YNL131W	--	--	-1,7	-1,5	--	53083,09	45690,81	46090,74	31133,19	35226,49	70442,89
YNL132W	--	--	--	--	--	5945,63	5620,51	6693,71	6316,25	5181,36	8358,66
YNL133C	--	--	--	--	--	5286,18	4567,84	4386,15	4321,64	5074,52	6647,08
YNL134C	--	-1,7	-1,8	--	+1,5	17917,81	14220,04	10751,26	10073,80	12714,86	27738,49
YNL135C	--	--	+1,7	+1,7	+1,7	19860,34	24498,91	28404,24	33595,44	33328,92	33652,84
YNL136W	--	--	--	--	--	7642,81	7393,62	7051,38	7893,26	5951,66	8277,82
YNL137C	--	--	--	--	--	4673,56	4808,12	4695,23	4559,18	3920,18	4677,01
YNL138W	--	--	--	-1,6	--	16177,23	12241,21	10922,10	11151,13	9941,97	11546,43
YNL139C	--	--	--	--	--	9067,15	6925,54	6454,83	6705,83	6445,76	10899,05
YNL140C	--	--	--	--	+1,9	6140,02	5550,13	6833,62	6134,15	5260,90	11806,75
YNL141W	--	+1,7	--	--	--	6576,91	6076,59	10985,99	6598,96	6918,24	4870,00
YNL142W	--	--	--	--	+2,2	4955,02	4107,51	4111,22	3983,38	4353,42	10835,36
YNL143C	--	--	--	--	+2,3	14618,04	12829,00	14015,55	16107,51	10879,47	33441,88
YNL144C	--	--	--	--	--	5030,26	4300,37	4870,60	4942,28	5737,66	6057,11
YNL145W	--	--	--	--	--	4652,07	4533,80	5604,34	5131,62	3896,36	5198,26
YNL146W	--	--	--	-2	--	8634,34	8175,95	6956,38	6981,94	4361,63	11766,13
YNL147W	--	--	--	--	+1,7	8339,99	7964,37	8354,17	9806,52	7133,48	14493,81
YNL148C	--	--	--	-1,6	--	12494,49	11099,99	11347,28	11256,95	8017,26	14535,29
YNL149C	--	--	--	--	--	7425,03	8341,39	9959,65	9558,77	4978,53	8985,47
YNL150W	--	--	--	-1,5	--	16374,59	21079,56	21202,67	21278,01	10642,68	22922,65
YNL151C	--	--	--	--	--	6641,81	6269,33	7154,83	7716,37	7578,93	5528,70
YNL152W	--	--	--	-1,5	--	26826,30	23400,54	25632,16	25156,02	17437,41	26955,10
YNL153C	--	--	--	--	--	7459,72	7157,01	9477,05	7605,49	9156,17	5331,42
YNL154C	--	-1,5	--	--	+2	11415,64	9542,25	7582,43	8131,06	9106,89	22901,89
YNL155W	--	--	--	-1,5	-1,9	15546,08	12771,32	10520,14	10590,98	10299,78	8226,97
YNL156C	--	--	--	--	--	15139,26	10969,26	10128,59	10098,17	11344,80	18694,62
YNL157W	--	--	--	--	+1,6	11748,28	8832,54	10688,53	9263,21	9291,17	18911,96
YNL158W	--	--	--	--	--	9626,37	9300,45	8168,99	8183,57	8976,00	11565,87
YNL159C	--	--	--	--	+2,4	7430,53	6521,18	5378,12	6624,03	7064,66	17999,57
YNL160W	--	--	--	--	+2,1	10920,90	8860,81	7791,23	7971,55	8557,14	22801,93
YNL161W	--	--	--	--	--	4931,77	4047,91	4799,24	4492,49	4826,56	5611,91
YNL162W	--	-1,6	--	-1,9	-3,5	58485,66	62643,44	36830,71	48507,45	30319,72	16613,35
YNL163C	--	--	--	--	-1,7	7956,66	7880,85	5629,75	7014,70	5572,28	4592,09
YNL164C	--	--	--	-1,7	-2,6	14286,43	12293,59	9951,58	10968,94	8484,55	5500,92
YNL165W	--	-1,7	--	--	-2,1	16552,95	16332,51	9702,64	11585,21	12182,23	7699,72
YNL166C	--	+1,5	-1,7	--	-1,5	16837,43	12284,98	25990,16	9720,69	13231,87	11074,39
YNL167C	--	--	--	--	--	7797,47	5844,85	5340,64	5451,71	6047,80	5985,37
YNL168C	--	-1,5	--	--	--	7709,71	5817,58	5002,39	5296,22	6768,84	7417,64
YNL169C	--	--	--	--	--	5582,29	4161,70	4778,25	4508,17	5177,66	7156,36
YNL170W	--	--	--	--	--	12321,19	14425,08	10256,54	12040,89	8741,67	16157,54
YNL171C	--	--	--	--	--	4780,51	4153,76	5120,34	4366,29	5509,98	6357,94
YNL172W	--	--	--	--	+1,5	3347,05	3074,85	4730,87	3810,69	4749,84	5103,32
YNL173C	-1,6	-1,7	-1,8	-1,5	--	8680,30	5318,95	5243,69	4801,59	5726,59	9524,87
YNL174W	--	--	-1,5	--	-1,6	6941,87	4788,87	5332,84	4526,33	7929,89	4339,56
YNL175C	--	--	--	--	-2,2	6562,47	5625,85	6293,60	5416,63	5429,09	3050,78
YNL176C	--	--	--	--	--	4838,37	5829,58	4505,69	4768,91	4484,80	3489,04
YNL177C	--	--	--	--	--	10348,68	8681,95	8288,56	8651,54	8322,98	8895,09
YNL178W	--	--	--	-2,4	-7,5	189233,82	188466,89	130471,16	149361,60	77488,06	25314,17
YNL179C	--	--	--	-2	--	17308,35	16022,49	13217,05	12262,60	8850,52	12427,04
YNL180C	--	--	-1,9	-1,8	--	18246,24	13173,86	13791,94	9593,52	10066,67	20029,53
YNL181W	--	-1,5	-1,6	-2	-1,7	17278,90	12516,70	11209,73	11017,03	8553,83	9908,50
YNL182C	--	--	--	--	--	7193,42	6621,34	6963,73	6316,85	5988,01	8347,61
YNL183C	--	--	--	--	--	7105,61	6123,86	6694,26	5792,48	6319,41	7922,91
YNL184C	--	+1,6	--	--	--	4116,16	3271,46	6605,85	3832,37	5136,31	5507,96
YNL185C	--	--	-1,6	-2,1	--	12347,07	9125,90	8801,90	7850,14	6001,61	10977,66
YNL186W	--	--	--	--	--	3682,42	3700,69	4446,05	3693,13	4283,89	5407,82

ORF	Änderungsfaktor					Normalisierte Signalintensität					
	10 min	20 min	30 min	16 h	5d	0 min	10 min	20 min	30 min	16 h	5d
YNL187W	--	-1,5	--	-2,8	-3,9	36196,89	36805,39	23411,54	27716,02	12772,99	9283,00
YNL188W	--	--	--	-2,4	-2,6	47650,18	70172,55	41178,01	44855,10	19636,74	18007,89
YNL189W	--	-2,5	-1,6	+2,2	+2,2	35666,04	28454,09	14354,02	21989,77	76955,99	77798,88
YNL190W	--	--	-2,2	+2,9	+3,3	69675,08	60023,90	48349,08	32156,66	204922,15	229163,29
YNL191W	--	--	--	--	+1,6	4900,22	5192,47	6087,73	5636,49	7225,20	7723,61
YNL192W	--	--	--	--	-1,6	36265,87	35292,18	26547,72	24971,04	41162,54	23208,53
YNL193W	--	--	--	--	--	3428,67	3447,43	4463,53	3674,44	3679,47	3958,66
YNL194C	--	--	--	--	+1,6	7995,08	6526,40	5957,65	6252,87	6245,97	12935,25
YNL195C	--	--	--	--	+2,9	7471,01	8343,60	7560,61	7091,47	9233,91	21918,41
YNL196C	--	--	--	--	--	6187,40	5257,13	5305,78	5303,73	5674,99	6158,54
YNL197C	--	--	--	--	--	6010,72	4801,07	4223,50	4590,78	7199,60	6497,04
YNL198C	--	--	--	--	--	3659,57	3119,18	3917,87	3647,93	4613,39	3458,29
YNL199C	--	--	--	--	--	7617,03	7705,09	7888,60	7267,80	8020,56	8076,80
YNL200C	-1,6	--	-1,5	-2	+2,4	5752,39	3652,23	4812,64	3712,99	2898,72	13955,38
YNL201C	--	--	--	+1,5	--	3842,06	4003,34	5545,32	4205,26	5809,49	3489,86
YNL202W	--	--	--	--	--	3733,54	3245,56	4378,39	3578,84	3120,86	5209,55
YNL203C	--	--	--	--	--	4891,80	4372,04	5220,02	4986,52	4456,68	5975,77
YNL204C	--	--	--	--	--	4015,01	3622,49	4534,96	4614,28	4283,22	4230,57
YNL205C	--	--	--	--	--	4972,89	4799,81	5126,60	5072,72	4532,45	4897,90
YNL206C	--	--	--	--	--	8225,69	7568,21	7553,70	7271,49	6814,96	8686,46
YNL207W	--	--	--	-1,5	-1,6	8192,77	7681,02	8226,96	7069,48	5454,76	5071,01
YNL208W	--	--	--	--	+3,1	24928,25	23195,59	22687,95	23184,96	22156,22	77819,91
YNL209W	--	-2,1	-2,5	-1,7	-4,9	34724,58	26438,78	16530,99	13764,39	21014,37	7101,89
YNL210W	--	--	--	--	+1,5	4931,99	4978,21	5460,84	5036,08	3460,17	7530,85
YNL211C	--	--	--	--	--	4464,94	3929,18	4851,26	4793,14	3715,70	4861,13
YNL212W	--	--	--	-1,7	--	6742,58	4818,26	9505,58	5624,88	3877,88	9569,53
YNL213C	--	--	-1,6	--	--	13632,21	11613,49	10844,62	8380,27	16143,30	12980,79
YNL214W	--	--	--	--	--	5781,39	5895,60	5596,11	5398,93	7963,25	8669,38
YNL215W	--	--	--	--	+1,7	6506,25	5986,93	9069,61	6576,57	6701,03	10853,77
YNL216W	--	--	--	--	--	5586,84	5000,88	6293,97	5188,22	4430,08	6130,82
YNL217W	--	--	--	--	--	6068,55	4853,71	5875,86	5852,75	4630,79	6125,39
YNL218W	--	--	--	--	--	7801,13	8182,18	6432,45	7156,83	7356,94	9746,94
YNL219C	--	--	--	--	--	7295,52	8068,74	6125,52	6795,00	9190,91	7271,83
YNL220W	-1,9	-2,5	-2,8	-2	-3,1	40466,18	21480,00	16043,29	14511,29	20089,00	13090,33
YNL221C	--	--	--	--	+1,6	3750,08	3449,66	4082,52	4150,33	3849,79	5890,88
YNL222W	--	--	--	--	--	6532,37	5568,16	5375,47	5425,87	4658,00	7761,37
YNL223W	--	--	--	--	+1,6	3040,80	2955,57	3595,75	4016,65	3989,00	4817,81
YNL224C	--	--	--	--	--	4742,20	3903,91	5753,24	4180,10	4646,11	5305,89
YNL225C	-1,6	--	--	--	+1,5	7094,60	4490,58	6265,50	4847,36	5633,35	10846,42
YNL226W	--	--	--	--	+1,6	4318,70	3652,73	4786,79	4137,98	3974,65	7090,00
YNL227C	--	--	--	--	--	44755,74	46760,19	46052,17	41317,06	40657,87	45118,05
YNL228W	--	--	--	--	--	5796,02	6619,23	7734,07	7241,94	7714,12	8560,12
YNL229C	--	--	--	+1,5	--	14509,75	13557,64	13436,33	12747,92	21913,65	18468,49
YNL230C	--	--	--	--	+1,5	4273,30	3609,34	4239,64	4086,94	5651,36	6609,12
YNL231C	--	--	--	-1,6	--	8227,17	6967,89	5643,72	6025,84	5014,03	9972,04
YNL232W	--	--	--	--	--	10234,69	9475,24	12310,99	9065,46	8327,97	13616,81
YNL233W	--	--	--	--	--	4326,29	3917,64	5570,63	4351,22	4594,67	5219,24
YNL234W	--	--	--	--	--	3822,70	3645,30	4122,36	4241,23	4547,10	4949,17
YNL235C	--	--	--	--	--	5803,65	5423,43	7246,01	7676,85	6475,34	7105,28
YNL236W	--	--	--	--	+2,2	4508,94	3868,74	4748,76	4680,37	4727,48	9949,73
YNL237W	--	--	--	--	+3,3	4390,41	3744,02	5315,61	4601,45	6362,71	14441,79
YNL238W	--	--	--	--	+1,9	7061,51	6105,92	6410,05	6698,67	6494,20	13226,46
YNL239W	--	--	--	--	--	10024,74	9371,07	7675,50	6706,84	8290,10	8110,25
YNL240C	--	--	--	--	+2	12998,43	13206,93	14120,92	13649,84	10034,58	26327,70
YNL241C	--	--	--	-1,8	--	12294,40	11361,41	12196,56	9946,71	6991,18	16534,57
YNL242W	--	--	--	--	--	3835,10	3009,55	3809,97	3826,06	4180,03	4821,19
YNL243W	--	--	--	--	+1,6	5618,58	5298,69	4971,52	5234,44	4822,13	8789,28
YNL244C	--	--	--	-1,7	--	46231,73	45351,33	57216,17	50620,52	27400,88	33203,55
YNL245C	--	+2,4	--	--	--	7505,03	7547,81	18357,53	8420,57	8919,85	10809,54
YNL246W	--	--	--	--	+3,6	11887,92	9887,18	11432,06	10546,74	9184,89	43301,40
YNL247W	--	-1,6	-1,7	--	-2	9989,58	7422,82	6294,19	5940,65	7978,76	4905,29
YNL248C	--	--	--	--	+3,3	5881,66	5085,40	5323,26	5698,65	5964,44	19250,44

ORF	Änderungsfaktor					Normalisierte Signalintensität					
	10 min	20 min	30 min	16 h	5d	0 min	10 min	20 min	30 min	16 h	5d
YNL249C	--	+2	--	--	+1,8	7978,70	5964,78	15970,29	7242,54	10216,00	14757,24
YNL250W	--	--	--	--	--	11407,91	7864,70	10454,10	9837,27	10202,97	14446,73
YNL251C	--	--	--	--	--	13605,21	16113,35	14395,74	17471,21	17544,31	18147,86
YNL252C	--	--	--	--	--	8799,37	7606,92	8185,29	7441,06	6274,99	5986,03
YNL253W	--	--	--	--	--	5265,14	4953,29	5237,77	4321,62	5576,54	6099,91
YNL254C	--	--	--	--	+2,3	8867,35	7582,04	7366,26	7305,77	10399,61	20390,75
YNL255C	--	--	--	--	-5	58034,64	59758,41	47774,13	46332,89	50399,84	11546,34
YNL256W	--	--	--	--	--	8018,14	6878,69	6671,33	6792,63	6414,86	7575,05
YNL257C	--	--	--	--	--	8612,26	8319,62	10803,55	8929,72	12893,96	6858,12
YNL258C	--	--	+1,8	+2,4	--	19671,56	23869,81	28285,58	34862,96	47287,38	25070,10
YNL259C	--	--	--	--	+1,5	4870,65	4911,22	6218,02	5882,97	4856,09	7308,46
YNL260C	--	--	--	--	--	5832,32	4016,21	4598,70	4664,78	5435,86	5487,30
YNL261W	--	--	--	+1,9	--	13150,88	18042,07	17559,12	18497,50	25428,35	9875,84
YNL262W	-1,8	--	-1,5	--	--	5995,76	3392,54	4122,08	3917,58	5928,59	6654,62
YNL263C	--	--	--	-1,6	-2,1	15851,55	14005,47	18345,30	13569,51	9658,28	7450,82
YNL264C	--	--	--	--	--	9287,30	9473,77	9017,34	8198,76	11220,30	11407,07
YNL265C	--	--	--	--	--	7994,54	6530,89	6429,39	6510,77	6578,93	10496,05
YNL266W	--	--	--	--	+1,8	4859,07	4682,26	4954,64	4634,43	5468,24	8853,46
YNL267W	--	--	--	--	--	25751,80	24736,31	31277,53	29457,52	30015,92	27574,53
YNL268W	--	--	--	--	--	9169,57	7964,22	7964,13	6794,69	10903,90	10490,41
YNL269W	--	+3	--	-1,7	--	9026,23	8682,52	27514,47	8228,71	5386,51	9182,66
YNL270C	--	--	--	--	+1,5	6253,71	7602,83	7367,04	7678,24	6739,25	9412,97
YNL271C	--	--	+2,2	--	--	28575,00	41268,06	40151,79	62086,10	22758,99	23018,30
YNL272C	+1,9	+2,3	+2,3	--	--	9644,63	17926,42	22061,19	22111,56	8109,70	6494,95
YNL273W	+1,6	+2,6	+2,7	+8,9	+2	91452,21	145147,87	236533,61	242858,17	814389,32	178657,00
YNL274C	--	--	-1,5	-1,5	+1,8	13040,17	9398,14	9643,51	8431,47	8689,53	23044,83
YNL275W	--	--	--	--	--	18000,89	12932,06	14048,14	12402,62	15314,79	18077,88
YNL276C	--	--	--	--	+1,8	7878,00	6902,29	8714,18	8366,21	5599,97	14052,09
YNL277W	--	--	--	--	+2,4	7593,12	7088,09	9405,20	7855,78	6519,47	18421,84
YNL278W	--	--	--	--	+1,6	5796,95	4314,57	5244,25	5066,60	6847,70	9184,96
YNL279W	--	--	--	--	--	6874,64	5703,48	6818,62	6862,45	7188,16	8494,94
YNL280C	--	--	--	--	--	16656,89	20556,35	16194,86	14770,40	14749,19	13833,18
YNL281W	--	--	--	-1,7	--	24474,68	27888,89	20325,77	21019,39	14370,55	23453,91
YNL282W	--	--	--	--	+1,5	9482,15	11622,29	8195,16	9355,69	7587,71	14362,21
YNL283C	--	--	--	--	--	9543,48	7815,39	9129,77	6633,98	10253,45	6589,74
YNL284C	--	--	--	--	-1,6	8306,18	7981,08	12446,07	10284,52	9605,87	5062,94
YNL285W	--	--	--	--	--	6265,29	5625,22	4462,37	4444,83	6429,99	6760,75
YNL286W	--	--	--	--	+1,8	6361,11	6232,45	5712,43	7399,34	7783,10	11158,82
YNL287W	--	--	--	-1,6	--	7907,05	6633,33	6215,54	6392,72	5100,06	7289,30
YNL288W	--	--	--	--	--	6760,25	5086,91	5184,99	5017,91	5521,54	6393,90
YNL289W	--	--	--	--	--	17555,81	13483,85	14274,45	15134,77	19996,13	21852,02
YNL290W	--	--	--	--	-1,7	10266,16	9173,81	9702,47	8895,78	10782,42	6037,96
YNL291C	--	--	--	--	--	4655,56	5538,50	4240,32	4444,06	6728,54	4807,45
YNL292W	--	--	--	--	--	4702,49	4355,42	5961,68	4620,14	5970,07	4357,48
YNL293W	--	--	--	--	--	12843,49	10742,38	11608,60	12148,26	17337,82	17416,00
YNL294C	--	+1,8	--	--	+2,6	23972,58	28441,73	44040,32	33873,25	30655,68	62272,80
YNL295W	--	+1,6	--	--	--	3020,68	2794,03	4735,26	3510,56	4137,55	2468,83
YNL296W	--	--	--	--	-1,5	4106,61	3800,88	5992,29	4510,80	5358,65	2674,63
YNL297C	--	-1,5	-1,8	-1,8	--	26362,29	26675,92	17073,64	14473,65	14251,41	18343,33
YNL298W	--	--	--	--	--	4405,18	3846,78	4379,31	4893,00	4907,62	3932,70
YNL299W	--	--	--	--	--	7857,16	5868,26	6431,35	5795,66	6119,77	6262,39
YNL300W	--	--	--	--	-1,6	10840,75	10267,37	10353,82	10196,02	7818,91	6802,37
YNL301C	+1,6	--	--	--	-3,6	135211,31	219632,32	184257,40	167688,45	102238,60	37104,03
YNL302C	--	--	-2,6	-1,7	-2	96856,36	101703,02	87411,67	37856,45	57298,42	48267,56
YNL303W	--	--	--	--	--	3649,44	3343,37	4107,11	3823,54	3803,77	3607,89
YNL304W	--	--	--	--	+1,6	4913,64	4463,94	5530,01	4978,97	3940,19	7652,19
YNL305C	--	--	--	--	+3,2	4024,17	3876,69	4632,08	4262,21	2788,25	12703,29
YNL306W	--	--	--	--	+1,8	5640,60	6649,33	7610,13	7732,64	5778,50	10200,05
YNL307C	--	--	--	+2,1	--	11742,82	12634,25	12260,04	11530,70	24116,53	10674,06
YNL308C	--	--	--	+2,1	--	17426,37	17735,35	22434,89	18272,28	35866,61	17404,59
YNL309W	--	--	-1,6	--	--	10241,52	8672,62	7864,27	6238,11	8614,14	15215,39
YNL310C	--	--	--	-1,6	--	20664,68	15600,08	20528,46	18266,50	12911,37	23830,62

ORF	Änderungsfaktor					Normalisierte Signalintensität					
	10 min	20 min	30 min	16 h	5d	0 min	10 min	20 min	30 min	16 h	5d
YNL311C	--	--	--	--	--	6623,43	5608,92	6023,26	5652,35	5304,41	6651,06
YNL312W	--	--	--	-1,6	+1,6	12022,57	11419,04	8419,91	8932,21	7524,04	18908,04
YNL313C	--	--	--	--	--	5150,24	5189,58	4819,29	5282,26	4853,28	4910,80
YNL314W	--	--	--	--	+1,9	6445,25	4936,29	5574,03	4901,35	5095,55	12292,84
YNL315C	--	--	--	--	--	6059,66	4733,11	5150,09	4670,25	5928,13	6568,69
YNL316C	--	--	--	--	--	3314,19	3300,75	4225,95	3633,52	3781,42	4298,20
YNL317W	--	--	--	--	--	5503,94	4104,84	5281,07	4414,42	4176,76	6797,10
YNL318C	--	--	--	--	--	3406,95	3192,91	3991,33	4205,11	3513,66	3662,15
YNL319W	--	--	--	--	+1,9	6083,13	5011,73	6420,11	5503,94	6270,06	11650,39
YNL320W	--	--	--	--	--	20691,94	19081,06	15566,54	17372,34	13862,22	20870,89
YNL321W	--	--	--	--	--	28043,95	33392,19	28792,61	23987,68	26439,67	34020,47
YNL322C	--	-1,7	-2,7	-2,3	--	46153,54	37076,89	26645,62	17129,33	20331,10	38473,98
YNL323W	--	--	--	--	--	9234,37	8733,16	7516,97	7932,30	7103,05	6551,67
YNL324W	--	--	--	-1,6	--	4564,11	4951,63	4522,25	4556,07	2897,33	5321,31
YNL325C	--	--	--	--	--	4967,10	5094,64	4637,03	5420,23	3700,09	5467,54
YNL326C	--	--	--	--	--	2924,22	3424,50	3747,96	3700,80	3480,22	3099,15
YNL327W	--	--	--	--	--	4176,85	3722,80	4547,06	3992,70	4935,32	4277,55
YNL328C	--	--	--	--	--	4291,55	4238,18	4407,63	4001,17	4732,98	5844,44
YNL329C	--	--	--	--	--	3404,88	3009,67	3864,80	3464,02	3718,07	4493,57
YNL330C	--	--	--	--	+3,2	4471,20	4016,00	5187,54	4682,46	6142,62	14481,61
YNL331C	--	--	--	--	+5,8	5306,03	4049,92	6655,26	4526,12	5191,07	30672,26
YNL332W	--	--	--	--	--	6670,78	5259,32	5620,18	5171,21	5113,56	9415,73
YNL333W	--	--	--	--	+2,1	7265,64	5599,30	6082,73	5278,87	5260,09	15315,63
YNL334C	--	-1,5	--	-3,3	-3,6	125657,65	119581,17	81152,60	84236,21	38638,39	34891,49
YNL335W	--	--	--	--	+2,2	5977,84	5459,50	5581,68	5806,39	5473,91	13336,67
YNL336W	--	--	--	--	+2,1	4594,29	4045,30	4535,38	4925,60	4121,45	9745,27
YNL337W	--	--	--	--	+2,1	3630,20	4071,90	4570,36	4691,70	3341,15	7736,41
YNL338W	--	+2,6	--	--	--	14596,50	17609,42	37523,80	17477,06	14966,56	14168,81
YNL339C	--	--	--	--	--	3038,78	2878,40	3661,00	3164,64	2817,59	2838,05
YNR001C	-1,6	--	-1,5	-1,6	+6,5	7733,06	4921,45	5315,33	5061,78	4794,00	49944,78
YNR002C	--	--	--	--	+3,1	3546,14	3307,42	4350,39	3869,34	5307,10	11091,28
YNR003C	--	--	--	--	+2	4466,04	3992,88	5334,63	4731,75	5033,94	8975,80
YNR004W	--	--	--	--	--	12804,31	9857,06	10149,25	9325,27	9811,32	15122,61
YNR005C	--	--	--	-1,6	--	18572,31	16196,69	12499,43	14931,99	11677,84	14724,97
YNR006W	--	--	--	--	--	14177,55	13388,88	11815,01	11429,80	12327,84	10227,50
YNR007C	--	--	--	-1,5	--	5812,67	3981,48	4816,50	4517,10	3812,93	5446,77
YNR008W	--	--	--	--	+2,9	8615,22	6310,73	7389,59	6566,60	7996,11	24925,90
YNR009W	--	--	--	-1,5	--	7859,30	7102,57	6963,02	6802,72	5179,04	6910,90
YNR010W	--	--	--	--	--	9044,58	12740,05	9695,07	10188,38	11422,49	8562,91
YNR011C	--	--	--	+1,7	--	4012,37	3437,65	4563,08	4312,33	6675,17	5520,98
YNR012W	--	--	--	--	--	4055,58	3710,83	5357,09	4327,10	4051,18	3779,87
YNR013C	--	--	--	--	--	13077,23	15798,80	12737,00	11589,28	18522,70	9441,41
YNR014W	-1,7	--	--	--	--	7069,39	4154,22	4942,24	5094,29	6246,63	4802,27
YNR015W	--	--	-1,5	-1,6	--	10909,76	9665,39	9549,03	7254,19	6714,13	9380,69
YNR016C	--	--	--	+1,6	-2,6	45650,72	43101,99	35881,25	56877,13	72356,52	17274,91
YNR017W	--	--	--	--	-2,4	43497,36	45166,72	47842,94	38829,71	44074,71	18255,34
YNR018W	--	--	--	--	-1,5	28528,88	22388,46	27743,17	25891,33	29823,03	18878,30
YNR019W	-1,5	-1,6	-1,8	--	+1,6	9590,97	6279,02	6019,63	5216,87	8475,28	15226,72
YNR020C	--	--	--	-1,8	--	8757,63	6052,45	7525,04	7244,05	4748,61	11866,87
YNR021W	--	--	-1,5	--	-1,7	14136,87	12897,30	10514,70	9335,66	14624,11	8268,95
YNR022C	--	--	--	--	--	14138,22	13099,66	14358,52	11865,76	13407,57	13581,79
YNR023W	--	--	--	--	--	4204,39	3652,88	4069,53	3978,98	5074,50	5947,23
YNR024W	-1,5	--	--	--	--	6167,28	4059,18	5228,85	5007,62	4124,00	8953,10
YNR025C	--	--	--	--	--	5016,55	5726,85	7017,20	7064,10	6883,33	5897,75
YNR026C	--	--	--	--	--	4824,46	4998,60	5477,26	4910,62	4802,46	3776,79
YNR027W	--	--	--	--	--	5618,72	5713,87	5650,62	5394,76	5586,89	4980,33
YNR028W	--	--	--	--	--	14476,58	11197,60	10654,80	9707,41	11867,65	13423,88
YNR029C	--	--	--	--	--	22928,93	19807,05	18823,32	17758,91	17486,07	17715,73
YNR030W	--	--	--	--	--	11835,88	7942,16	11190,50	9121,78	11981,75	8961,32
YNR031C	-1,7	--	--	--	--	13754,52	8240,70	14884,63	14718,45	12134,12	14033,25
YNR032W	--	--	--	--	--	8203,56	6595,80	9338,00	6822,63	8587,11	11803,19
YNR033W	--	--	--	--	+1,7	8914,48	7449,14	8654,66	7499,88	7379,87	15449,56

ORF	Änderungsfaktor					Normalisierte Signalintensität					
	10 min	20 min	30 min	16 h	5d	0 min	10 min	20 min	30 min	16 h	5d
YNR034W	--	--	--	--	+2,3	7149,20	6459,78	6543,03	5834,50	7453,86	16216,09
YNR035C	--	--	--	--	--	15389,48	16834,60	19695,88	15101,58	18682,26	13017,32
YNR036C	--	--	--	--	+1,5	12933,30	14031,57	11044,22	11638,20	9420,78	20011,46
YNR037C	--	--	--	-1,7	--	17715,48	18909,43	18115,15	18008,68	10709,70	13133,22
YNR038W	--	--	--	--	--	5462,08	4367,31	5836,41	4251,70	4238,30	4909,80
YNR039C	--	--	--	--	--	17686,88	19901,62	19421,73	14528,00	12843,44	13772,27
YNR040W	--	--	--	--	--	5428,90	6320,60	6187,08	6420,00	6096,17	4595,21
YNR041C	--	--	--	--	--	8520,47	8918,71	11403,69	8645,07	9008,26	9961,00
YNR042W	--	--	--	--	--	11402,00	8997,39	7976,97	7983,11	7958,89	7994,69
YNR043W	--	-1,6	-1,6	-1,6	-2,6	20646,53	17558,46	12945,36	13206,57	13248,92	7799,05
YNR044W	--	--	-1,7	--	--	7108,62	4749,92	5690,77	4083,18	5855,81	4954,91
YNR045W	--	--	--	+3,6	--	7113,16	5192,96	6808,03	9719,46	25939,51	10352,58
YNR046W	--	--	-1,7	--	--	26260,11	26483,97	32226,39	15295,39	22641,06	25448,63
YNR047W	--	--	--	--	--	6308,20	5271,49	5731,92	5561,68	5448,76	8339,79
YNR048W	--	--	--	--	--	6105,50	6086,98	4884,88	5635,57	6951,23	5675,90
YNR049C	--	--	--	--	+2,2	9597,03	10207,75	8211,55	8769,56	7951,09	21063,20
YNR050C	--	--	--	--	--	7359,08	5655,27	5403,69	5439,94	6611,73	6267,97
YNR051C	--	--	--	--	--	21408,80	15428,62	15289,61	14774,57	17224,74	23557,03
YNR052C	--	--	--	+2,3	+2,1	12181,56	13673,80	10508,74	9587,91	28529,22	25310,01
YNR053C	--	--	--	--	--	18866,15	16419,42	14526,27	13087,48	27437,03	23960,07
YNR054C	--	--	--	--	--	15180,52	14678,99	14773,82	13853,26	19512,03	12321,81
YNR055C	--	--	--	--	+1,8	6700,80	5478,11	6044,04	5336,79	8267,00	12274,30
YNR056C	--	--	--	--	--	4465,58	4126,18	4537,56	5211,95	3324,96	5082,65
YNR057C	--	--	--	-1,5	+1,6	8924,21	9302,52	8644,92	8268,81	5907,60	14236,92
YNR058W	--	--	--	-1,9	--	6898,34	7710,67	5414,88	5864,20	3647,14	5219,34
YNR059W	--	--	--	--	--	7354,72	7571,16	6752,13	8028,75	5835,93	10540,13
YNR060W	--	--	--	--	--	3276,03	3061,88	3925,44	3470,70	4320,16	4065,23
YNR061C	--	--	--	--	--	6180,52	5070,42	4921,66	5207,58	5017,40	7665,64
YNR062C	--	--	--	--	--	3444,58	3550,21	4210,42	4306,12	3976,99	3128,48
YNR063W	--	--	--	--	--	4663,97	3611,26	5837,82	3685,32	3176,19	6401,38
YNR064C	--	--	--	+2,1	+2,6	3956,26	4419,81	5311,59	4319,20	8189,61	10278,01
YNR065C	--	--	--	--	--	3128,47	3282,28	4277,29	3870,42	4549,74	2910,12
YNR066C	--	--	--	--	+1,6	4383,31	4160,92	5827,00	4320,17	6494,94	7088,54
YNR067C	--	--	--	--	--	5153,80	4160,64	4656,37	4233,45	5008,58	5412,50
YNR068C	--	--	--	--	--	4831,68	4715,41	5095,57	4516,36	4106,51	4970,31
YNR069C	--	--	--	--	--	10773,77	10427,58	8495,38	10160,08	7345,24	11509,69
YNR070W	-1,5	-1,5	--	-1,5	--	8159,54	5432,82	5312,75	6998,36	5353,87	6705,14
YNR071C	--	--	--	--	+2,2	3654,41	3918,69	4126,54	4358,97	4103,37	8179,99
YNR072W	--	--	--	+1,5	--	3087,88	3075,43	3718,78	3733,45	4723,61	3570,39
YNR073C	--	--	--	--	+2,5	3473,45	3098,92	3821,77	4365,39	4246,86	8732,77
YNR074C	--	--	--	+1,8	--	3152,10	2710,02	4310,47	3850,88	5645,32	3119,36
YNR075W	--	--	--	--	+1,5	3963,55	3416,65	4656,43	4879,08	4983,52	6092,50
YNR076W	--	--	--	--	+4,5	13133,18	9622,78	15360,86	11573,96	13475,40	58715,01
YNR077C	--	--	--	--	+2	5236,14	4773,39	5292,73	5161,42	4636,11	10680,81
YOL001W	--	--	--	--	--	5110,03	4983,22	5177,08	4769,62	4027,14	5090,23
YOL002C	--	--	--	--	--	4497,43	4780,48	5990,74	4860,34	4909,26	3075,61
YOL003C	--	--	--	--	--	6475,86	5619,06	5331,86	4998,87	5811,90	4630,07
YOL004W	--	--	--	--	+2,2	8547,50	8625,24	9074,90	12096,61	10135,68	18901,50
YOL005C	--	--	-2	--	--	29925,37	23151,66	28459,87	15233,81	23149,15	28287,52
YOL006C	--	-1,6	-1,7	--	--	7767,65	5855,32	4863,02	4492,14	6595,50	6964,27
YOL007C	--	-1,5	-2,3	--	--	22765,37	18754,27	14792,66	10088,74	19842,16	21687,92
YOL008W	--	--	--	--	--	5232,76	4319,63	4771,28	4367,14	6031,32	4794,14
YOL009C	--	--	--	--	+2	6765,02	6197,59	6251,85	6104,47	4715,08	13528,23
YOL010W	--	--	--	--	--	6733,74	5383,11	5633,28	5076,08	6169,39	4957,49
YOL011W	-1,7	--	-1,5	--	--	7585,64	4497,72	5466,01	5015,98	6007,59	7195,66
YOL012C	--	--	--	--	--	7085,28	6729,28	9173,37	8946,86	5800,93	7591,69
YOL013C	+1,6	--	-1,6	+1,6	+1,8	9563,46	15353,82	7700,78	5925,19	15298,07	17334,88
YOL014W	--	--	--	--	-1,7	8595,27	6259,70	8274,62	6695,35	9357,88	5181,19
YOL015W	--	--	--	--	--	3828,60	4203,80	5078,60	4199,90	4322,11	5266,79
YOL016C	-2,2	-1,7	-1,8	-1,5	-1,5	8590,31	3938,11	5061,76	4852,51	5690,58	5548,15
YOL017W	--	--	--	--	--	6074,81	5716,53	5149,45	5148,51	5020,13	7041,40
YOL018C	--	--	--	--	+1,8	4777,25	3842,60	3932,47	4134,03	5216,55	8465,48

ORF	Änderungsfaktor					Normalisierte Signalintensität					
	10 min	20 min	30 min	16 h	5d	0 min	10 min	20 min	30 min	16 h	5d
YOL019W	--	-1,7	-1,5	-1,8	-2,4	10503,05	8306,71	6217,66	6857,66	5718,93	4442,62
YOL020W	--	--	--	--	--	7601,65	7637,26	6872,07	7513,09	7560,77	7680,89
YOL021C	--	--	--	--	--	3272,01	3066,89	3613,75	3598,09	3620,57	3536,84
YOL022C	--	--	--	--	--	5815,44	5499,60	5823,06	6257,97	4330,45	5805,63
YOL023W	--	--	--	--	--	3859,26	3516,15	3722,93	3739,59	3476,55	3248,60
YOL024W	--	--	--	--	+1,5	3527,05	3728,36	4178,72	4334,00	3335,17	5386,41
YOL025W	--	--	--	--	+1,9	4710,65	4828,26	4827,89	4368,91	6255,69	8840,31
YOL026C	--	--	--	--	--	22228,36	22706,49	25689,82	22078,97	27023,66	26157,40
YOL027C	--	--	-1,5	--	--	8762,51	7951,05	6659,76	5715,32	11935,17	8312,01
YOL028C	--	-1,5	-1,5	-2,8	-4	42904,94	29819,99	28591,27	28172,45	15351,96	10689,26
YOL029C	--	--	--	--	--	10681,32	9673,11	10110,12	9210,59	10698,33	13146,24
YOL030W	--	-1,5	-1,6	--	--	15702,24	13738,22	10283,03	9984,17	19304,76	14455,64
YOL031C	--	--	--	--	--	6866,92	6441,19	6038,99	5964,06	5343,24	6021,47
YOL032W	--	--	--	--	+2,8	6079,27	5508,77	5965,39	6302,18	5346,19	17077,78
YOL033W	--	--	--	--	--	3958,93	3503,89	3996,65	4079,00	3858,83	4543,61
YOL034W	--	+1,6	+1,7	+1,6	+3,4	8513,42	9459,55	13832,42	14487,16	13623,16	29210,04
YOL035C	--	--	--	--	+2,8	5613,98	4662,24	5715,68	5842,72	4329,27	15555,69
YOL036W	--	--	--	--	+2,1	5289,37	5369,90	7394,39	6689,78	5170,67	11334,89
YOL037C	--	--	--	--	+3,4	5764,24	4878,57	7351,96	5510,33	7410,50	19448,94
YOL038W	--	--	--	-1,6	--	59958,32	57512,95	49607,55	44353,52	37568,61	61783,37
YOL039W	--	--	--	--	-3,4	346058,14	370438,87	396009,47	398191,59	238833,76	101827,25
YOL040C	--	--	--	-2	-3,4	241814,43	215904,82	192290,62	188531,51	120712,83	71449,25
YOL041C	--	--	--	--	--	4151,13	3818,29	3934,84	3850,26	4076,88	3273,67
YOL042W	--	--	--	--	--	5553,31	4569,37	4589,34	4575,78	4214,73	6783,24
YOL043C	--	--	--	--	+1,7	4983,28	4878,41	5152,04	5302,77	5179,98	8704,48
YOL044W	--	--	--	--	--	3723,35	4321,28	4784,21	4629,37	3620,51	3651,38
YOL045W	--	--	--	--	--	3191,09	2999,59	3724,67	3425,27	3552,12	3153,74
YOL046C	--	--	--	--	--	3410,24	3581,48	4504,35	3858,94	4440,81	2688,85
YOL047C	--	--	--	--	--	3071,68	3057,08	4058,83	3507,88	2867,43	3622,52
YOL048C	--	--	--	--	+2,1	4249,07	3808,04	5459,87	5208,02	5450,43	8947,05
YOL049W	--	--	-1,6	--	--	14111,95	10494,66	13283,53	8914,25	10133,87	18541,30
YOL050C	--	--	--	--	--	16969,49	16360,50	12934,46	13406,89	13711,79	22088,86
YOL051W	--	--	--	+2,1	+2	64893,17	62723,32	52870,37	50972,05	135684,86	132079,81
YOL052C	--	--	--	--	--	8927,97	7579,77	7107,01	6550,52	7231,90	7592,88
YOL053C	--	--	--	--	+53,3	4197,00	4328,01	5012,28	5064,08	4200,61	223685,24
YOL053W	--	--	--	--	+1,6	4021,90	4059,13	4880,84	4981,95	3768,12	6462,54
YOL054W	--	--	--	--	--	4604,51	4307,62	4993,83	4441,39	5938,93	5869,11
YOL055C	--	--	--	--	+1,9	4448,81	3939,13	5550,61	4353,29	4834,34	8348,07
YOL056W	--	--	--	--	--	4484,50	3808,83	4827,75	4745,41	3980,75	3943,10
YOL057W	--	--	--	--	--	3881,04	3337,96	5091,07	4093,52	4639,39	3474,06
YOL058W	--	--	-1,8	-2,1	--	12454,04	9822,94	9734,96	7057,27	6070,56	12516,76
YOL059W	--	--	+1,9	--	-2,6	50583,17	72125,35	58745,10	95896,72	62552,96	19688,55
YOL060C	--	--	--	--	--	46843,19	50602,60	43735,59	65735,78	36746,95	43162,59
YOL061W	--	--	--	--	--	5278,27	4959,67	5431,36	5690,11	7195,78	4275,34
YOL062C	--	--	-1,6	--	--	12047,64	8818,25	8159,20	7336,66	10154,39	8385,45
YOL063C	--	+1,5	+1,8	+2,4	+1,7	29668,77	34702,26	45545,18	53020,35	71623,67	50835,05
YOL064C	--	--	--	-1,7	--	7272,06	6571,39	6656,84	5994,02	4216,13	9703,47
YOL065C	--	--	--	--	+2,5	8098,61	7741,99	6779,83	8308,50	8257,36	20603,47
YOL066C	--	--	--	+1,5	--	4267,06	3784,72	4634,59	4539,86	6438,87	5846,26
YOL067C	--	--	--	--	--	4229,36	3826,33	4984,44	5039,58	5499,71	5373,56
YOL068C	--	--	--	+1,7	+2,1	4405,56	4128,09	4377,13	4540,58	7270,24	9127,51
YOL069W	--	--	--	--	-1,6	5753,49	5665,62	5741,16	6214,16	5440,16	3490,54
YOL070C	--	--	--	--	--	4728,71	3949,76	5041,11	4365,70	4919,13	5230,87
YOL071W	--	--	--	--	--	13007,53	8877,68	10167,53	11339,97	11564,86	12638,92
YOL072W	--	+1,8	-1,6	-1,5	--	23032,68	20114,13	41878,62	14284,78	15267,66	17946,44
YOL073C	--	--	--	--	--	4263,32	3466,12	4283,99	4460,16	4325,44	5774,18
YOL074C	--	--	--	--	+1,6	4289,87	3578,55	4360,20	4244,93	4925,85	6651,16
YOL075C	--	--	--	--	--	14113,30	12013,61	18011,43	16032,30	18361,83	16820,31
YOL076W	--	--	--	--	--	7640,52	5678,92	6078,62	5279,08	7963,48	5564,34
YOL077C	--	--	--	--	-2,5	19707,77	24748,89	24367,28	21723,18	27034,30	7889,29
YOL078W	--	--	--	--	--	8884,61	8572,04	8315,13	7809,66	6449,92	8113,59
YOL079W	--	-1,5	--	-1,5	-1,6	8099,93	5314,45	5781,76	5339,52	5212,64	9760,54



ORF	Änderungsfaktor					Normalisierte Signalintensität					
	10 min	20 min	30 min	16 h	5d	0 min	10 min	20 min	30 min	16 h	5d
YOL080C	--	--	--	--	--	6185,39	5836,69	7383,79	6688,32	5447,92	5386,58
YOL081W	--	--	--	--	--	3720,26	2806,59	5009,54	4198,50	4338,65	3301,73
YOL082W	--	--	--	--	--	4610,32	4189,61	4923,84	5020,00	5607,73	4363,58
YOL083W	-1,6	--	--	-1,9	--	10101,92	6468,49	7674,58	6947,98	5332,33	14354,39
YOL084W	-3,4	-3,5	-3,6	-5	-3,1	27886,54	8159,41	8066,99	7724,45	5556,45	9086,15
YOL085C	--	--	--	--	--	5977,50	5003,74	6369,91	6572,90	5076,46	7822,71
YOL086C	--	+1,7	--	+1,6	-4,5	401595,31	545238,23	672410,29	492293,51	643348,34	89674,43
YOL087C	+1,9	+2,7	+4,5	--	--	78525,33	148238,04	213851,57	355038,47	78556,25	78506,08
YOL088C	--	--	-1,6	-1,6	--	9710,01	8830,92	9464,32	6228,51	6008,66	7733,52
YOL089C	--	--	--	--	+1,6	3866,63	3254,90	5179,74	3939,59	4547,52	6284,99
YOL090W	--	--	--	--	-1,6	12235,27	11774,52	14782,16	11654,55	10404,37	7651,61
YOL091W	-1,8	--	-1,5	--	+1,5	7367,52	4186,06	6905,27	4848,57	5538,21	11239,40
YOL092W	--	+1,9	--	+2,1	--	13644,88	18225,05	25937,88	17545,54	28984,27	9705,45
YOL093W	--	+1,9	--	--	-2,9	11919,66	11175,89	22232,44	11993,90	10205,41	4076,98
YOL094C	--	--	--	--	--	14622,36	20282,88	17340,61	12722,52	11252,44	10602,66
YOL095C	-1,6	-1,8	-1,7	--	+1,9	7127,59	4524,55	4018,16	4302,23	8085,40	13625,53
YOL096C	-2,3	-2,3	-2,7	-2,1	+3,5	15777,84	6937,97	6940,60	5894,17	7676,37	55735,83
YOL097C	--	--	--	--	--	46853,05	40748,17	49651,69	57210,19	61313,97	40001,43
YOL098C	--	--	--	--	--	16307,04	14055,37	10890,84	12356,25	14064,11	15928,15
YOL099C	--	--	--	--	+2,5	3998,94	4207,51	4934,98	3941,90	4950,68	10003,31
YOL100W	--	--	--	--	+1,8	21225,30	17407,74	18139,03	17942,93	24425,59	37625,71
YOL101C	--	--	--	--	+1,8	6617,64	5948,16	5951,79	5602,36	5914,42	12229,08
YOL102C	--	--	--	--	+1,7	6166,76	5523,66	6296,16	6652,83	6215,25	10483,69
YOL103W	--	--	--	--	+1,7	9691,97	8412,72	9057,02	8408,71	9175,60	16326,87
YOL104C	--	--	--	-1,5	+1,6	4837,50	3571,78	4634,50	4162,13	3136,63	7667,26
YOL105C	--	--	--	+2	--	4663,38	3703,61	5399,70	4176,07	9470,19	6372,74
YOL106W	--	--	--	+1,8	+2,5	4107,92	3824,94	4935,56	3957,86	7285,57	10449,75
YOL107W	--	--	--	--	--	4510,57	4274,44	5384,52	4997,34	6207,48	5682,96
YOL108C	--	--	--	-2	-2,8	177492,38	237069,54	184029,62	153492,92	89284,98	63815,93
YOL109W	--	--	--	-2,2	-1,8	209364,20	247836,96	228755,14	159778,84	93478,39	116816,33
YOL110W	--	--	--	--	+1,6	27658,93	22314,42	21073,61	19004,84	23156,67	43778,47
YOL111C	--	--	--	--	+2	11199,64	13523,50	11269,75	11403,15	11067,04	22238,26
YOL112W	--	--	--	--	+1,6	5838,48	3929,68	4544,90	4532,45	6298,36	9524,89
YOL113W	--	--	--	--	--	6151,71	4353,39	4859,80	4488,96	4817,34	7081,94
YOL114C	--	--	--	--	+1,5	5467,86	4978,05	5146,19	5408,81	3687,99	8473,89
YOL115W	--	--	--	--	--	4611,54	4145,57	4493,09	4902,19	3943,08	3930,40
YOL116W	--	--	--	-1,8	--	10095,77	9652,72	13529,78	10337,97	5751,14	9544,65
YOL117W	-1,6	--	-1,5	--	--	6161,90	3793,99	4791,36	4023,50	8983,95	5147,40
YOL118C	--	--	--	--	-1,8	5314,51	4154,59	5149,84	4608,92	4621,32	2979,19
YOL119C	--	--	--	--	--	10464,71	10727,78	12656,64	10529,73	15163,11	10869,34
YOL120C	--	--	-1,7	-2,4	-6,8	215137,06	243764,95	232661,22	129535,22	88301,53	31688,02
YOL121C	--	--	--	--	-3,1	183592,55	196132,20	178969,30	158761,11	131946,59	59530,32
YOL122C	--	--	--	--	--	46354,13	40580,13	31788,68	33509,85	31011,54	56000,75
YOL123W	--	-1,5	--	--	--	13358,58	12614,19	8643,41	10457,47	10809,14	8946,49
YOL124C	--	--	--	+1,6	-2,2	10801,68	10403,26	9799,44	8893,17	17756,78	4972,54
YOL125W	--	--	--	--	--	4855,71	4965,02	4981,47	4893,21	5227,53	4759,60
YOL126C	--	--	-1,5	+2,1	+4,7	8133,23	5532,85	5983,71	5292,07	17262,93	38215,87
YOL127W	--	--	--	-3,4	-2,2	41237,55	37879,07	28751,59	37325,57	12174,43	18577,55
YOL128C	--	--	--	-2,3	--	20258,60	19154,58	16491,78	18405,98	8796,72	17198,13
YOL129W	--	--	--	--	+3,6	13867,07	12175,10	15368,92	14498,02	20313,16	50193,52
YOL130W	--	--	--	--	--	4643,02	3768,59	4849,89	4110,81	4872,82	4762,11
YOL131W	--	--	--	--	--	6887,51	4846,92	5293,69	5546,04	4700,51	8780,98
YOL132W	--	--	--	--	--	3711,97	3182,13	4503,77	4129,58	2873,67	5284,05
YOL133W	--	--	--	--	+1,8	7972,61	8356,85	9764,74	8293,76	6666,66	14182,84
YOL134C	--	--	--	--	--	11215,65	13453,17	12172,77	12658,46	9007,97	14973,51
YOL135C	--	--	--	-1,6	--	17350,15	15376,78	12615,05	13425,96	11147,12	20832,59
YOL136C	--	--	--	--	--	6996,51	6439,90	5734,90	4919,40	6464,90	7275,15
YOL137W	--	--	--	--	+1,6	4733,21	4717,91	5104,98	4691,24	6277,25	7343,45
YOL138C	+1,7	+1,8	+2,3	--	+3,2	16112,77	27568,15	29239,34	37734,26	16243,90	52265,59
YOL139C	--	--	--	--	-1,7	19742,15	19433,19	16042,83	17651,84	15211,08	11800,93
YOL140W	--	--	--	--	--	4973,31	4581,39	4962,58	5364,78	4602,42	6723,94
YOL141W	--	--	--	+1,9	+1,6	3818,34	4003,82	5193,74	4912,48	7132,13	6127,07



ORF	Änderungsfaktor					Normalisierte Signalintensität					
	10 min	20 min	30 min	16 h	5d	0 min	10 min	20 min	30 min	16 h	5d
YOL142W	--	--	--	--	--	9743,24	8490,64	9339,97	9746,43	8598,71	12556,17
YOL143C	--	--	-1,6	--	+2,3	38783,36	29308,39	29481,39	24929,43	28892,68	87744,47
YOL144W	--	--	--	--	+1,6	8541,22	7201,45	8121,62	8494,43	10743,44	13728,85
YOL145C	--	--	--	--	--	3363,80	2924,50	3910,81	3293,85	3352,49	3425,38
YOL146W	--	--	--	--	+2,1	5453,30	5878,08	6441,89	5916,93	5759,09	11475,75
YOL147C	--	--	--	--	+1,9	8173,87	9360,00	9445,33	8438,87	7027,39	15561,88
YOL148C	--	--	--	--	--	6393,53	4543,56	5566,68	4654,40	4336,89	5812,70
YOL149W	--	--	--	--	--	4827,65	4576,83	5043,71	5433,46	4932,11	4473,93
YOL150C	--	--	--	--	+9,6	5288,62	5345,91	5601,80	5418,20	6408,20	50642,92
YOL151W	--	--	--	--	+3,2	4997,35	4722,90	5059,59	5676,15	6062,90	15800,96
YOL152W	--	--	--	--	+2,7	5597,12	4103,66	4865,66	4552,25	5399,52	15261,51
YOL153C	--	+1,6	--	--	+1,7	8070,37	6306,19	12874,07	6622,71	9642,71	13361,58
YOL154W	--	--	--	--	--	5384,74	3783,13	5133,63	4965,11	4997,92	4671,45
YOL155C	-1,9	-1,9	-2,5	--	-5,3	38260,69	19637,95	19972,26	15153,62	35546,05	7201,55
YOL156W	--	--	--	--	--	5191,82	4371,08	5529,39	5459,37	7173,57	5643,80
YOL157C	--	--	--	--	--	5388,94	3972,72	5357,24	4851,61	5916,84	5506,37
YOL158C	--	--	--	--	--	8837,21	6249,05	6604,79	6182,76	8935,79	6632,26
YOL159C	--	--	--	--	-2,8	33723,62	36196,66	32758,20	39263,76	25513,18	12153,57
YOL160W	--	--	+2	--	--	3849,58	3900,42	5189,16	7697,16	4485,73	5506,36
YOL161C	--	--	--	+1,9	+2,2	5105,12	5322,29	6918,24	6542,65	9567,16	11168,32
YOL162W	--	--	--	--	-2,2	13971,42	15237,75	13023,43	12117,15	11581,73	6473,07
YOL163W	--	--	--	--	--	3869,15	4042,56	4391,72	5042,36	5006,78	2899,28
YOL164W	--	--	--	--	--	4154,60	3818,09	4026,06	4045,47	5255,48	3686,22
YOL165C	--	--	--	--	--	11562,42	12466,99	11787,05	11797,85	15518,33	13485,92
YOL166C	--	--	--	--	-1,5	9569,77	9609,39	9393,50	8553,28	10844,96	6358,77
YOR001W	--	--	-1,7	--	-2,2	15016,50	10634,57	20272,47	9030,98	13912,70	6940,97
YOR002W	+1,6	--	--	--	--	11096,46	18069,04	11149,01	9384,34	10292,45	9242,63
YOR003W	--	--	--	--	+1,5	5173,21	4169,14	5275,86	5416,18	6948,67	7999,01
YOR004W	--	--	--	--	--	13641,37	14773,47	15080,97	15148,14	18847,92	13446,45
YOR005C	--	+2,2	+2,3	+3,8	+2,4	47277,91	64616,11	102528,53	109704,87	178269,32	114544,97
YOR006C	--	--	--	--	--	10672,99	9879,23	9663,25	9295,33	9499,26	9095,86
YOR007C	--	--	-1,6	-1,7	-2,1	38784,95	35214,06	27384,03	23991,21	22375,07	18240,99
YOR008C	--	--	--	--	-1,5	13072,58	10552,03	10089,26	10032,12	13900,19	8701,55
YOR009W	--	--	--	--	-2,5	10510,39	8886,19	7328,31	8922,43	8247,05	4234,76
YOR010C	--	--	--	--	--	5592,38	5543,02	6353,13	5056,44	4566,41	4087,77
YOR011W	--	--	--	+2,4	+1,9	22994,35	19727,96	17814,05	32387,46	54367,67	44228,24
YOR012W	--	--	--	--	--	10688,62	8107,46	8489,04	8003,11	10007,69	9904,00
YOR013W	--	--	--	--	--	9695,87	7952,45	8022,56	7516,09	10651,06	6607,08
YOR014W	--	--	--	--	--	60173,68	53694,70	72456,98	69116,61	47111,45	49821,56
YOR015W	--	--	--	--	--	10346,12	7425,97	13824,23	12375,52	15153,55	13296,64
YOR016C	--	--	--	--	--	5633,46	4164,84	5542,19	5103,20	5802,40	7206,16
YOR017W	--	--	--	--	--	9355,70	7713,37	7704,28	8707,60	7386,47	10158,31
YOR018W	--	--	--	--	+1,6	14587,93	14324,07	17763,25	19015,76	18928,17	22709,68
YOR019W	+2	+1,9	+2,6	-2,1	--	93774,64	190405,87	180494,00	242067,30	44198,23	112057,44
YOR020C	+2,5	+1,8	+2,6	--	--	29022,46	73833,59	51446,59	76681,99	36444,11	38178,81
YOR021C	--	--	--	-1,6	-4,3	54003,32	51362,65	39625,60	56671,77	34107,89	12423,75
YOR022C	--	--	-1,7	-1,9	-3,4	13554,78	9082,42	9385,74	8158,00	7076,46	3992,98
YOR023C	-3,2	-2,6	-3,2	-2,1	+2,9	23216,80	7194,31	8952,63	7337,89	10963,79	66434,30
YOR024W	--	--	--	--	--	53500,85	59135,71	46085,03	46127,08	47796,51	54649,05
YOR025W	--	-1,5	--	--	+1,8	21208,85	20719,18	13753,04	14780,66	18447,19	38810,47
YOR026W	--	-1,8	-1,5	--	+1,9	11980,11	10224,37	6617,39	7878,02	9766,63	22726,52
YOR027W	--	--	--	--	+1,8	46331,37	37972,14	40992,95	31482,13	54780,71	83452,52
YOR028C	--	--	--	-1,5	+1,8	6491,27	6171,96	6370,18	5539,54	4309,36	11458,01
YOR029W	--	--	--	--	--	4541,97	3333,04	3809,91	4105,65	3602,92	4457,13
YOR030W	--	--	--	--	--	4079,77	3141,45	4199,76	3928,67	5436,37	3481,80
YOR031W	--	--	--	--	+29,2	4721,82	4178,52	4671,99	5453,56	6340,61	138082,48
YOR032C	--	--	--	--	+10	5123,10	3585,26	5968,19	4191,25	4372,95	51283,72
YOR033C	--	--	--	--	+2,1	4107,16	3462,48	4424,66	4174,18	5794,26	8505,75
YOR034C	--	--	--	--	+2	6378,55	5072,38	6925,84	6571,99	4839,49	13045,82
YOR035C	--	--	--	+1,5	--	3440,47	3479,24	4794,11	4205,63	5213,01	4211,55
YOR036W	--	--	--	--	--	42414,00	35621,53	45077,28	37338,14	40605,60	39036,37
YOR037W	+1,5	--	--	-2,1	-2,4	104070,57	156286,62	95140,07	101659,30	49138,67	43825,78

ORF	Änderungsfaktor					Normalisierte Signalintensität					
	10 min	20 min	30 min	16 h	5d	0 min	10 min	20 min	30 min	16 h	5d
YOR038C	--	-1,7	-1,6	--	+1,5	15410,31	13963,81	8818,00	9401,17	12095,86	23858,77
YOR039W	--	--	--	--	-1,5	27589,87	27568,60	19385,93	28792,07	19009,69	18032,16
YOR040W	--	--	--	--	+2,6	9718,06	8625,70	8320,80	9322,16	8440,70	25690,62
YOR041C	-1,6	-1,8	--	-1,8	--	12805,25	7988,10	7107,76	9990,71	7087,37	9546,95
YOR042W	-1,5	-1,9	-2	-1,7	--	15061,77	9789,62	8062,67	7564,14	8940,07	16500,36
YOR043W	--	--	--	--	+1,8	5297,66	4813,62	5499,82	5125,41	5352,78	9279,16
YOR044W	--	--	--	--	+1,8	4704,48	4151,10	4566,17	4587,67	4360,22	8388,66
YOR045W	--	--	--	-1,7	--	8878,67	9938,68	10354,71	13293,32	5361,75	9432,11
YOR046C	--	--	--	-1,6	--	11543,98	11073,87	9544,49	10566,21	7311,82	8619,12
YOR047C	--	--	-1,7	--	--	9009,57	6244,64	7224,63	5209,49	9681,11	7245,13
YOR048C	--	--	--	--	--	6995,88	6663,61	8203,66	8078,60	8984,37	5094,91
YOR049C	--	--	--	--	+1,8	6312,95	4857,46	6277,89	4509,64	7524,27	11299,64
YOR050C	--	--	--	-1,6	--	15155,67	11860,88	13454,91	10944,00	9490,96	17132,23
YOR051C	--	--	--	--	-2	18289,03	12864,07	12810,75	13752,26	13041,36	9050,66
YOR052C	--	--	--	--	+2,1	6791,27	5276,51	5112,58	5963,33	7912,57	14141,81
YOR053W	--	--	--	--	+5	23331,30	17494,73	19621,12	23606,01	28049,62	116913,54
YOR054C	--	--	--	--	+6	14280,26	10967,24	15248,05	13679,01	14617,69	85499,62
YOR055W	--	--	--	--	+2	4127,63	3977,74	4721,15	4482,05	6118,40	8100,59
YOR056C	--	--	--	--	--	14387,22	13783,36	14454,04	12766,56	11221,45	16444,79
YOR057W	--	--	--	--	--	7213,46	6194,37	5908,00	6758,00	5322,06	8989,23
YOR058C	--	--	--	--	--	5380,74	5169,01	5586,57	6733,64	4746,69	6634,56
YOR059C	--	--	--	--	--	17009,21	13691,32	14634,63	12311,01	15841,39	21631,37
YOR060C	--	--	--	--	-2,2	10865,15	9804,45	10269,48	11418,70	16129,74	4895,56
YOR061W	--	--	--	--	--	3915,66	3487,76	4209,33	3568,54	3646,84	4741,72
YOR062C	--	--	--	-1,8	--	8380,15	5828,61	5734,67	5806,77	4744,07	11396,32
YOR063W	--	--	--	+1,9	-6,5	936887,04	974353,91	1203557,79	638350,47	1793254,19	144940,95
YOR064C	--	--	--	--	+1,7	20423,08	29669,47	21373,24	18098,99	14796,77	34627,26
YOR065W	--	--	--	--	+1,8	57694,20	55011,74	50078,99	51151,67	67563,76	102311,01
YOR066W	--	--	--	--	+1,8	4192,41	4162,90	4681,11	4399,60	4737,13	7479,94
YOR067C	--	--	--	--	--	5589,07	5530,57	5450,45	5066,11	5166,42	4339,14
YOR068C	--	--	--	--	--	4797,98	5047,00	5401,44	4924,54	5564,13	4082,86
YOR069W	--	--	--	-1,6	--	8637,24	7550,32	6258,13	6696,34	5349,45	6262,34
YOR070C	--	+1,8	+1,7	--	--	11420,53	15313,62	20890,41	18956,91	7915,51	9333,78
YOR071C	--	--	--	--	+2,3	9382,70	7013,04	11734,07	7373,96	8440,91	22033,27
YOR072W	--	--	-1,7	--	-3,4	49543,52	50358,47	38274,93	29217,21	37020,44	14712,32
YOR073W	--	--	--	--	--	7985,11	5864,47	6727,98	6227,44	9954,16	9603,92
YOR074C	-1,6	--	-1,6	-1,6	--	16206,12	10442,25	12150,27	9874,69	10395,73	11098,58
YOR075W	--	--	--	--	+1,8	10250,64	9139,56	10993,74	8047,16	7070,96	18449,00
YOR076C	--	--	--	--	--	5582,56	6500,78	6334,23	6237,56	5734,88	6748,58
YOR077W	--	--	--	--	--	10020,68	9624,67	9433,23	10591,61	8778,73	12415,67
YOR078W	--	--	--	--	--	16039,76	13790,95	19446,49	13227,28	16428,20	21698,75
YOR079C	--	--	--	--	--	4143,34	4989,72	6022,57	5402,46	3101,47	3918,91
YOR080W	--	--	--	+1,9	+2,3	6210,11	5848,42	7734,57	8095,93	11550,22	14042,09
YOR081C	--	--	--	--	--	3664,75	3402,74	4217,48	3876,16	4872,43	4451,89
YOR082C	--	--	--	--	+1,9	4201,39	3437,92	4503,60	4145,07	4779,05	8109,88
YOR083W	--	--	--	--	--	5432,57	4147,60	6473,32	4542,63	6957,49	5265,15
YOR084W	--	--	--	--	-2,1	27874,52	26887,40	22154,39	25586,31	21384,70	13152,11
YOR085W	--	--	--	+1,8	-2,5	9684,00	7466,89	9273,98	7323,84	17834,58	3898,60
YOR086C	--	--	--	--	--	25476,69	24227,89	26743,62	32763,63	31823,49	21485,17
YOR087W	--	--	-2,1	-1,8	-3,7	31769,55	22289,18	21843,82	15407,46	17362,11	8528,39
YOR088W	--	--	--	--	-1,7	9847,22	9651,49	7827,68	8481,71	7895,99	5632,09
YOR089C	--	--	--	--	--	11918,63	12245,86	10371,32	10114,37	8620,55	10372,58
YOR090C	--	--	--	--	--	7594,30	6609,96	10409,98	7777,97	10452,47	5377,01
YOR091W	--	--	--	+1,5	-2,8	29061,09	37661,00	41430,82	26456,35	44255,44	10409,49
YOR092W	--	--	--	--	--	3531,86	3336,09	3914,16	4632,42	3791,83	4715,40
YOR093C	--	--	--	--	--	5053,61	4799,18	5171,80	5163,86	4566,32	4947,95
YOR094W	--	--	--	--	--	4840,19	4124,39	6486,62	4943,12	4383,30	4822,07
YOR095C	--	--	--	--	-2	13999,07	13003,64	12495,28	15284,44	19328,61	7106,11
YOR096W	--	--	--	--	-8,3	210390,20	183894,32	179822,47	238008,25	271057,50	25302,14
YOR097C	--	--	--	--	--	12669,89	9955,05	11249,17	9154,23	13369,09	13438,68
YOR098C	--	--	--	--	--	9778,39	7798,16	8679,30	8149,39	8329,42	7239,36
YOR099W	--	--	--	--	-2,1	22740,31	16188,55	17421,57	15435,25	20473,36	10789,02

ORF	Änderungsfaktor					Normalisierte Signalintensität					
	10 min	20 min	30 min	16 h	5d	0 min	10 min	20 min	30 min	16 h	5d
YOR100C	--	--	--	--	+1,5	7555,93	10189,97	9902,56	9746,68	9357,24	11647,03
YOR101W	--	--	--	--	-1,7	7728,87	7335,97	8569,00	6152,06	8351,76	4554,39
YOR102W	--	--	--	--	--	4656,30	4977,15	5536,09	5692,19	5688,68	6140,36
YOR103C	--	--	--	--	--	12631,53	10421,07	8887,38	9539,76	10998,07	12358,36
YOR104W	--	--	--	--	--	4121,46	3680,52	5011,24	4225,90	5319,77	4382,38
YOR105W	--	--	--	--	--	3839,76	3706,78	5073,78	4556,77	4975,42	3298,28
YOR106W	--	--	--	--	--	4282,01	3593,54	5409,66	5381,75	4472,76	4880,35
YOR107W	-1,9	--	--	--	--	10026,02	5253,35	6796,42	7192,07	8253,87	10110,05
YOR108W	--	--	--	--	-3,3	21358,94	17613,20	17149,16	16347,69	16917,11	6516,11
YOR109W	--	--	--	--	--	35160,75	31079,03	41436,70	34382,57	38354,53	31196,81
YOR110W	-1,7	--	--	--	--	14831,88	8674,84	12646,34	10820,98	11705,41	11812,65
YOR111W	--	--	--	--	--	9503,13	7958,94	9795,66	7662,55	7506,78	8599,80
YOR112W	--	--	--	--	--	13553,28	10526,49	12580,61	9819,71	9795,35	10695,48
YOR113W	--	--	--	--	--	21702,79	21190,95	25632,06	20352,45	19851,92	18939,43
YOR114W	--	+1,6	--	--	--	6276,20	5490,15	10264,17	7194,20	5546,15	6030,45
YOR115C	--	-1,5	--	-1,7	--	12856,59	9239,20	8438,55	9576,26	7417,36	11452,98
YOR116C	--	--	--	--	--	5277,70	5981,34	7466,42	7423,42	5555,50	4498,36
YOR117W	--	--	-1,9	-2	-3,3	13864,31	9350,79	11698,10	7225,21	6778,57	4228,75
YOR118W	--	--	--	--	-2,3	27106,23	39004,55	35107,06	33269,87	21942,51	11709,95
YOR119C	--	--	--	--	+2,3	5412,59	4844,46	5081,87	5771,44	12347,97	10193,51
YOR120W	-1,6	--	--	--	+4,4	6141,82	3947,88	4829,12	4272,09	4660,78	27038,74
YOR121C	--	--	--	--	+9,5	6232,70	4837,30	5905,44	5517,20	7424,47	59123,99
YOR122C	--	--	--	-1,8	--	108675,45	114406,56	78703,20	91028,03	62004,29	75559,57
YOR123C	--	--	--	--	--	6263,10	6410,90	6922,01	6272,80	6627,13	5881,19
YOR124C	--	--	--	--	+1,5	50366,57	46069,53	52046,42	41601,31	63180,10	76330,05
YOR125C	--	--	-1,8	-1,6	--	8008,93	5813,02	5643,86	4564,30	5119,76	9551,15
YOR126C	--	--	--	--	+2,6	6432,57	5802,18	6239,20	5045,89	8003,45	16806,85
YOR127W	--	--	--	--	--	12966,76	12513,65	15586,05	14893,80	17966,69	14924,90
YOR128C	-2,5	-3,1	-3,2	-2,4	--	21455,57	8512,56	6879,54	6731,39	8994,50	25721,89
YOR129C	--	-1,6	-1,7	-1,5	+2,9	11300,29	7813,97	6851,12	6526,83	7347,38	33048,95
YOR130C	--	--	--	-2,4	--	9855,54	7082,56	7701,94	8079,95	4127,05	9173,99
YOR131C	--	--	--	--	+1,5	10835,07	8166,98	8730,78	8028,57	14088,20	16412,42
YOR132W	--	--	-1,6	-1,6	--	13052,20	8766,18	11170,24	7975,57	8407,52	16913,95
YOR133W	--	--	--	--	-4,1	176706,36	179988,33	143311,56	191571,23	215248,07	43614,06
YOR134W	--	--	-1,6	-2,3	-2	18958,92	25841,62	18267,00	11553,98	8416,11	9583,95
YOR135C	--	-1,5	--	-2,7	-2,3	170743,56	159170,87	110844,23	136061,67	62866,68	74745,07
YOR136W	--	-1,6	-1,7	--	+2,9	23408,82	15855,53	14268,34	13460,68	31806,73	67837,96
YOR137C	--	--	--	-1,5	--	4222,56	4025,50	4087,43	3979,88	2741,88	6331,31
YOR138C	--	--	--	--	+1,7	5096,38	4713,67	4168,78	4862,29	4670,26	8670,62
YOR139C	--	--	--	--	--	3361,21	3251,09	3998,63	3925,80	4974,34	3700,15
YOR140W	--	--	--	-1,7	--	11811,61	11426,15	8349,81	7985,20	6826,41	9253,90
YOR141C	--	--	--	--	--	5356,42	6136,68	5005,70	6471,62	5090,81	3622,46
YOR142W	--	+1,5	--	--	--	5950,40	5393,49	9213,07	5967,65	5407,82	6136,19
YOR143C	--	--	--	--	--	6574,07	6945,97	9638,46	7472,35	6686,84	5042,50
YOR144C	--	--	--	-1,5	-2,3	12295,89	13789,19	12534,39	12126,21	7994,47	5258,99
YOR145C	--	--	--	-2,7	-3	55967,73	54510,90	45873,71	54127,94	20497,39	18595,85
YOR146W	--	--	--	--	+1,5	18203,72	24931,48	19357,21	19299,77	15723,30	27887,89
YOR147W	--	-1,6	--	--	--	15586,95	15743,81	9972,54	13674,64	10781,11	13394,39
YOR148C	--	--	--	--	+2,7	5322,33	6254,27	5975,75	6177,69	5864,20	14373,95
YOR149C	--	--	--	--	--	3220,68	3080,49	3608,66	3796,44	3220,93	4303,69
YOR150W	--	--	--	--	+1,7	8145,28	7410,53	7216,43	6343,64	6100,24	13787,09
YOR151C	--	--	--	--	-1,5	4184,26	3820,68	4262,06	4780,76	6083,14	2761,82
YOR152C	--	--	--	--	--	3928,67	3432,95	4542,96	4135,51	3808,24	5205,39
YOR153W	--	--	--	+1,9	--	33357,83	32732,57	39467,96	49854,22	64068,56	44203,07
YOR154W	--	--	-1,6	--	-3,1	37580,20	31172,98	28403,45	23813,59	38561,01	12283,53
YOR155C	--	--	--	--	+1,6	8922,17	6031,75	6570,20	6172,55	6581,92	14124,36
YOR156C	--	--	--	--	+2,1	8605,98	8559,08	10518,32	10601,42	8166,98	18065,96
YOR157C	--	-1,5	-1,6	-1,8	--	36028,41	33711,30	23436,82	22896,75	20311,22	52253,92
YOR158W	--	--	--	-1,6	--	10166,90	8599,85	6983,42	7931,11	6532,58	11466,74
YOR159C	--	--	--	--	--	13790,59	17276,40	14982,04	14296,14	13002,33	14774,26
YOR160W	--	--	--	--	--	10719,19	8805,62	9493,83	9681,06	9348,51	14298,47
YOR161C	--	--	--	--	+6	4443,58	4207,75	4407,38	4883,85	5461,79	26730,03

ORF	Änderungsfaktor					Normalisierte Signalintensität					
	10 min	20 min	30 min	16 h	5d	0 min	10 min	20 min	30 min	16 h	5d
YOR162C	--	+1,8	+1,7	--	+2,1	10250,54	12908,20	18671,47	17336,41	9029,62	21850,08
YOR163W	--	--	--	--	+1,7	9676,54	7883,81	8786,79	7521,92	8250,30	16711,13
YOR164C	--	--	--	--	--	10532,80	9283,09	9900,62	9540,01	8080,72	13890,40
YOR165W	--	--	--	+1,8	--	11163,78	11800,60	14941,03	14177,35	20499,57	15634,53
YOR166C	--	--	--	--	--	10058,86	6984,90	7686,95	7131,03	7922,53	11844,79
YOR167C	--	--	--	--	-1,7	194695,33	204143,88	234547,42	281388,04	208198,19	113285,06
YOR168W	--	--	--	--	-2	14170,56	14104,28	15355,94	15690,70	20531,94	7250,64
YOR169C	+1,6	--	--	--	--	17966,96	28157,54	23712,75	20475,09	19300,70	14742,39
YOR170W	--	--	--	--	+1,9	7389,88	6833,43	8489,27	7588,85	5715,70	13689,12
YOR171C	--	--	--	--	--	5914,89	5933,17	6661,55	7371,08	7022,16	8308,40
YOR172W	--	--	--	--	--	8634,31	8383,64	7791,29	7056,54	7238,31	11009,79
YOR173W	--	--	--	--	--	3649,32	3043,49	3721,25	4128,37	4086,57	3467,28
YOR174W	--	--	--	--	+1,9	8339,13	6448,02	6485,19	5815,60	7583,09	15580,20
YOR175C	--	--	--	--	--	4276,68	4135,54	5053,13	5355,20	5723,67	4964,66
YOR176W	--	--	--	--	--	5187,24	4653,68	6166,28	4884,37	5313,36	4267,70
YOR177C	--	--	--	--	--	5248,78	4425,60	5443,77	4730,20	7713,64	5295,15
YOR178C	--	--	--	--	--	18842,88	13387,36	12875,65	12621,84	14501,42	14529,64
YOR179C	--	--	--	+2,2	+1,6	9744,49	9141,00	11333,37	11216,30	21685,27	15842,71
YOR180C	--	--	--	--	--	5219,92	4540,96	5675,00	6960,02	6374,32	6699,29
YOR181W	--	--	--	+1,5	--	5855,98	5304,48	6533,94	5896,12	8934,51	6320,98
YOR182C	--	--	--	+2,1	-1,6	75386,51	89630,19	99489,28	102102,07	160880,95	47124,38
YOR183W	--	--	--	--	--	7429,45	7747,44	7295,72	6161,76	5643,15	5235,43
YOR184W	-2,3	-3,3	-3,2	-1,9	-6,7	45155,36	19959,55	13822,73	14223,61	23934,95	6773,61
YOR185C	--	--	--	--	+1,9	9443,83	8189,60	8160,67	7818,71	10374,01	18283,56
YOR186W	--	--	--	--	+2,6	4278,25	4243,27	4583,63	4455,00	4404,20	11324,48
YOR187W	--	--	--	--	-1,9	10203,68	8656,48	8352,25	7007,19	7210,14	5296,20
YOR188W	--	--	--	--	--	16606,74	16498,40	18413,19	21118,03	24116,38	12130,74
YOR189W	--	--	--	--	--	9397,97	8048,13	8900,24	9781,85	11624,00	7492,74
YOR190W	--	--	--	--	--	9982,77	8562,14	7833,58	7776,76	8510,39	8531,54
YOR191W	--	+1,9	+2,2	+9,9	+2,9	60317,28	71091,62	113766,26	130408,58	595805,46	174444,14
YOR192C	--	--	--	--	--	40365,97	34755,12	58884,93	49495,83	30557,25	42252,99
YOR193W	--	--	--	--	+1,7	7228,08	8044,03	9726,55	7358,34	6986,85	12648,32
YOR194C	--	+1,6	+1,6	--	--	31179,15	39627,30	51004,70	51065,21	32172,04	29318,86
YOR195W	--	--	-1,5	-1,6	--	8697,84	6671,65	5899,96	5758,82	5532,21	7256,42
YOR196C	--	-1,8	-1,8	-1,8	--	10560,05	7530,02	5871,09	5771,50	5944,69	9387,65
YOR197W	--	--	--	--	--	6266,48	5659,39	7505,45	6488,00	8850,74	4328,10
YOR198C	--	-1,5	--	--	-6,8	34167,83	26108,30	22718,06	26896,48	23278,48	5012,46
YOR199W	--	+2	--	--	--	7013,89	7308,51	14165,09	9594,09	8658,49	7650,45
YOR200W	--	--	--	-2	--	10004,82	8436,74	11997,50	8648,69	5106,27	10246,07
YOR201C	--	--	--	--	--	9832,66	8547,19	10584,70	9031,72	6995,06	8269,59
YOR202W	--	+1,8	+1,7	--	--	42076,71	54353,41	76574,77	71355,90	29363,42	38970,19
YOR203W	--	--	--	--	--	7984,17	7612,28	10437,22	8512,19	9961,97	6944,32
YOR204W	--	--	--	--	--	12727,70	9846,47	10816,41	9947,97	11794,96	8588,87
YOR205C	--	--	--	-1,6	--	6880,71	5431,00	5502,76	4911,48	4321,09	8436,04
YOR206W	--	--	--	--	--	8116,13	9259,94	9511,09	8317,62	7791,67	7643,71
YOR207C	--	--	--	--	--	7861,97	6973,74	8485,15	9289,64	5389,67	8370,83
YOR208W	-1,7	--	-1,6	-1,7	--	6436,63	3789,01	5939,57	3938,22	3874,30	7160,66
YOR209C	--	--	--	-2	-3,1	30536,32	28333,62	28855,29	28977,82	15288,16	9903,70
YOR210W	--	+2,1	--	--	--	3431,46	3167,96	7051,38	3399,86	3355,01	3486,03
YOR211C	--	--	--	--	-1,5	4545,90	5105,53	6576,61	5752,88	3106,83	2956,13
YOR212W	--	--	--	--	--	8068,10	7928,57	9395,41	7214,28	5493,78	7398,31
YOR213C	--	--	--	--	--	6326,66	6202,30	5882,62	6108,01	8255,17	7973,35
YOR214C	--	--	--	--	--	5100,26	4355,60	4102,23	4493,11	4867,43	5634,30
YOR215C	--	-1,5	-1,5	--	+2,7	10195,70	7189,24	6578,23	6603,80	8016,10	27969,04
YOR216C	--	--	--	--	--	8134,81	7277,20	5778,06	5598,58	6124,32	6716,83
YOR217W	--	--	--	--	--	5289,37	4734,47	4543,04	4424,01	5653,15	5837,43
YOR218C	--	--	--	--	--	7894,54	8021,23	8727,25	7751,20	9319,00	7136,70
YOR219C	--	--	--	--	--	4132,83	3241,47	3921,65	3786,41	3945,12	5031,06
YOR220W	--	--	--	+1,5	+4,2	6365,07	4599,65	7407,62	6246,65	9849,34	26730,77
YOR221C	--	--	--	--	--	5748,98	4745,91	4932,38	5133,88	4462,51	6495,76
YOR222W	--	--	--	-1,8	--	8750,00	8010,76	9776,12	9859,11	4736,80	8825,95
YOR223W	--	--	--	--	+1,5	10640,90	11942,81	9684,69	8159,41	10275,31	16223,22

ORF	Änderungsfaktor					Normalisierte Signalintensität					
	10 min	20 min	30 min	16 h	5d	0 min	10 min	20 min	30 min	16 h	5d
YOR224C	--	--	--	--	-1,6	38523,51	48570,33	47923,31	45037,92	56887,66	24010,53
YOR225W	--	-1,5	-1,7	--	-3	52335,50	48554,73	33890,24	29945,68	34943,55	17457,69
YOR226C	--	--	--	-1,6	--	12297,28	8259,37	10019,57	8513,74	7475,89	9022,44
YOR227W	--	--	--	-1,7	--	44446,81	41746,90	37439,69	44111,86	25973,17	30516,63
YOR228C	--	--	--	--	+2,2	4971,92	5510,09	5128,47	5425,24	5011,08	10973,74
YOR229W	--	--	--	--	+4,6	7308,93	7315,33	6396,91	7058,68	8258,45	33742,73
YOR230W	--	--	-1,6	--	+2,5	19785,77	17009,49	16841,74	12559,96	27325,41	50197,63
YOR231W	--	--	--	--	+2,5	4467,07	3853,83	4983,27	4480,59	5650,85	10968,67
YOR232W	--	-1,5	--	-2	--	20211,15	14544,15	13330,21	13732,65	9913,52	13933,74
YOR233W	--	--	--	--	--	4171,65	2810,21	3828,25	3785,64	4017,86	4521,83
YOR234C	+1,6	+2,6	+2,8	--	--	32338,98	52311,92	85253,08	89879,29	29891,29	31227,91
YOR235W	--	--	--	--	--	5750,19	4754,22	5891,65	5493,68	5431,43	7362,31
YOR236W	--	--	--	--	-1,7	16159,05	15298,33	17527,69	15281,00	15131,56	9377,11
YOR237W	--	--	--	--	--	4239,92	3806,92	4659,31	3918,50	5706,84	6226,04
YOR238W	--	--	--	--	--	8853,40	6653,43	7741,48	7460,30	7853,14	10671,16
YOR239W	--	--	--	+2	--	16628,00	15367,99	17431,40	14901,86	33939,84	12742,67
YOR240W	--	--	--	-1,6	--	6626,78	7761,83	7014,64	7056,60	4054,79	5591,71
YOR241W	--	-1,8	--	-1,6	--	17159,41	14881,13	9751,96	13024,40	10826,31	24686,42
YOR242C	--	--	--	--	--	3705,01	3723,29	4534,59	4918,83	4831,96	5017,51
YOR243C	--	--	-1,6	--	--	7514,31	6437,42	6988,30	4808,84	7536,75	5529,21
YOR244W	--	--	--	--	+2	4979,94	4012,93	4607,37	4337,95	4529,66	10035,54
YOR245C	--	--	--	--	+1,7	4312,83	3321,23	3965,80	3658,36	4637,51	7196,01
YOR246C	--	--	--	--	+1,5	6115,01	6390,65	7125,61	7785,22	5912,06	9305,75
YOR247W	--	--	--	+2,4	-2,1	71095,39	75320,95	90200,84	70839,36	169021,74	34037,03
YOR248W	--	--	--	+1,5	-3,2	92724,19	91408,95	113972,44	88622,39	140283,15	29126,21
YOR249C	-3,5	-3,8	-4,2	-5,6	-2,2	62448,33	17651,52	16533,38	14974,98	11108,92	28385,51
YOR250C	-3,1	-2,8	-3,2	-3,9	-1,9	34068,82	11002,93	12099,39	10487,31	8651,33	17727,16
YOR251C	--	--	-1,6	--	-4,9	126947,72	139634,24	89849,68	79914,97	96239,27	26097,20
YOR252W	--	--	--	--	--	12310,08	16174,96	16849,14	16096,61	17492,29	14137,94
YOR253W	--	--	--	--	--	17309,10	20702,17	18876,23	20539,92	18829,69	20046,13
YOR254C	--	--	--	+1,5	-1,7	10070,99	9907,29	10077,80	10043,41	15451,72	6040,23
YOR255W	--	--	--	--	--	4341,55	4737,00	5144,14	4665,38	3888,77	6288,37
YOR256C	--	--	--	--	--	4237,03	3795,87	4172,75	4213,43	4136,56	4156,60
YOR257W	--	--	--	--	--	4961,97	5048,04	6332,85	5336,64	4321,42	6149,47
YOR258W	--	--	--	--	+1,6	7502,28	6132,93	7826,70	7428,03	5416,34	12062,54
YOR259C	--	--	--	--	--	14234,01	10499,16	16834,15	11072,60	11951,33	20023,06
YOR260W	--	-1,6	--	--	-3,2	107559,67	89378,41	66294,01	104138,15	89119,46	33542,66
YOR261C	--	--	--	-2,3	--	64688,43	70961,40	62168,25	52498,70	28513,31	47625,67
YOR262W	--	--	--	+1,6	+2	14104,90	13573,70	13047,81	15183,97	21905,22	27834,14
YOR263C	--	--	--	--	-2,1	19601,36	17244,97	16876,55	13611,40	13403,96	9362,46
YOR264W	--	--	--	--	+2,6	8060,54	8780,36	9026,09	8217,32	10474,11	21336,27
YOR265W	--	--	--	--	+1,8	12276,19	12823,38	15247,21	13385,44	10498,16	21953,63
YOR266W	--	--	--	--	--	6590,20	6599,94	9116,53	8644,83	9248,42	8388,78
YOR267C	-1,9	-1,6	-2,1	--	+2,8	14585,11	7480,39	8997,72	7009,76	15510,00	41181,42
YOR268C	--	--	--	--	+1,9	4208,17	4237,00	5001,54	5047,39	5991,06	7801,88
YOR269W	--	+1,6	--	--	--	3745,12	3196,75	5931,83	3989,28	4482,55	3705,76
YOR270C	--	--	--	--	-2	25394,90	20765,87	32739,22	17188,87	19859,40	12544,47
YOR271C	--	--	--	--	-2	24981,23	22958,46	18931,33	21160,99	20797,21	12497,37
YOR272W	--	--	--	--	-4	31420,18	33098,60	21492,11	25229,50	28060,59	7911,07
YOR273C	--	--	--	--	--	4477,94	4244,57	4642,94	4709,33	5101,59	4656,30
YOR274W	--	--	--	--	--	7311,10	5903,91	6400,98	5758,66	6522,88	8208,45
YOR275C	--	--	-1,6	--	-1,5	20843,79	16375,30	17217,91	13213,78	14869,88	13457,24
YOR276W	--	--	--	--	-2,8	21845,52	21050,24	22542,96	16886,90	15956,91	7700,95
YOR277C	--	--	--	--	-3,4	27245,22	31226,08	31275,55	24682,14	18926,21	8074,31
YOR278W	--	--	--	--	--	5555,79	4826,88	6001,98	5612,13	7216,11	6859,57
YOR279C	--	--	--	--	--	8279,78	8027,56	8343,93	7020,79	6555,89	8652,23
YOR280C	--	--	--	--	--	4846,01	4947,46	5186,68	4757,89	5601,17	4178,23
YOR281C	--	--	--	--	-1,8	9898,17	9172,53	8541,56	9416,72	8656,28	5644,24
YOR282W	--	--	--	--	--	9553,81	8249,38	8892,20	9084,70	9001,75	6756,02
YOR283W	--	--	--	--	--	17538,38	13436,10	16511,98	20478,19	16903,92	12297,60
YOR284W	--	--	--	-1,6	-8,9	177062,77	160416,01	157244,93	146236,79	112214,76	19936,80
YOR285W	--	+1,6	--	-1,8	--	43355,38	35948,45	68387,89	55860,97	24247,19	62438,12

ORF	Änderungsfaktor					Normalisierte Signalintensität					
	10 min	20 min	30 min	16 h	5d	0 min	10 min	20 min	30 min	16 h	5d
YOR286W	--	--	--	--	--	15139,64	13335,23	20131,54	16621,41	17962,33	10764,29
YOR287C	--	--	--	--	--	12246,94	9579,67	10822,59	9400,84	11870,32	11646,44
YOR288C	--	--	--	--	--	7543,08	8153,08	7987,68	7190,08	7066,75	10105,08
YOR289W	--	--	--	--	--	32043,22	28843,36	32639,15	27229,00	21454,69	22350,19
YOR290C	+1,7	+1,5	+2,6	--	--	31873,50	53618,79	47899,07	82434,33	24973,09	30874,85
YOR291W	--	-1,9	-1,5	--	--	20670,94	16631,13	11070,06	13468,22	21519,15	26927,41
YOR292C	--	--	--	--	--	5085,64	4742,51	5040,19	4648,01	5255,08	4943,51
YOR293W	--	--	--	--	-5,4	57717,69	50580,31	44391,15	60040,65	39312,69	10611,65
YOR294W	--	--	--	--	-1,9	10247,85	11165,93	11044,69	11665,58	11004,18	5291,31
YOR295W	--	--	--	--	-2,3	14476,98	12375,08	11724,58	10668,46	6370,81	9315,79
YOR296W	--	--	--	--	-1,6	17627,46	13986,00	17245,29	14258,61	10951,11	7315,76
YOR297C	--	--	--	--	-1,9	21123,05	16795,92	23597,90	16156,56	11067,58	13063,79
YOR298W	--	--	--	--	-2,5	58454,12	42867,13	39750,08	31486,22	23231,70	22103,46
YOR299W	--	--	--	--	-1,5	6950,43	6901,27	6660,94	7597,76	4490,59	8515,84
YOR300W	--	--	--	--	--	9110,84	8970,03	9903,33	7867,11	7085,57	10069,95
YOR301W	--	--	--	--	--	8285,80	5602,14	7561,78	5842,41	5984,39	6765,10
YOR302W	--	--	--	--	--	10461,22	9506,77	10089,20	9214,46	7493,51	10938,12
YOR303W	-1,8	--	-1,7	-2,1	-1,7	24981,85	13799,87	19703,75	14614,80	11951,57	14968,31
YOR304W	--	--	--	--	-2	11049,81	8039,08	13029,30	8550,08	5475,97	5588,81
YOR305W	--	--	--	--	+1,7	11105,13	11347,01	9361,92	19223,14	15135,83	5987,21
YOR306C	--	--	--	--	--	9662,47	8460,98	7606,49	6519,57	9516,27	13743,46
YOR307C	--	--	--	--	+1,8	9014,46	7603,59	7540,40	8641,58	12273,55	16111,02
YOR308C	--	--	--	--	--	12139,39	12306,58	11075,19	9988,70	15469,18	17979,49
YOR309C	--	--	--	--	+2,8	9321,38	9447,10	8740,21	9916,44	26010,79	8362,76
YOR310C	--	--	--	--	+2,4	17951,75	16012,70	15573,83	14972,57	42796,75	5722,53
YOR311C	--	--	--	--	--	9537,65	10065,01	9952,70	8524,07	13555,41	7088,64
YOR312C	--	--	--	--	-1,8	150436,27	146508,77	107722,73	120729,14	85709,91	38648,93
YOR313C	--	-2	--	--	-2,2	73169,23	58222,40	37462,57	60061,29	33581,40	18884,61
YOR314W	--	--	--	--	--	4643,75	5475,03	5275,10	5855,93	5929,63	4952,25
YOR315W	--	--	--	--	--	9028,66	6753,16	8485,74	8998,90	10915,33	10856,31
YOR316C	--	--	--	--	+1,8	7979,52	6892,29	8933,53	8977,33	9568,05	14718,73
YOR317W	--	--	--	--	+1,9	14498,12	14184,30	11708,54	15162,35	27553,69	35061,11
YOR318C	--	--	--	--	+1,5	6898,15	6017,92	7727,88	6752,03	8308,31	10633,53
YOR319W	--	--	--	--	+2,1	5195,62	5061,15	5957,60	5483,57	6445,97	11143,01
YOR320C	--	--	--	--	--	12112,30	9553,28	9398,01	8449,29	8970,53	14616,32
YOR321W	--	-1,7	-2,1	--	--	27799,29	21509,51	15960,84	13098,57	18575,51	25630,65
YOR322C	--	--	--	--	--	6645,87	5828,85	5690,36	5334,90	6664,06	6059,51
YOR323C	--	--	--	--	--	14148,11	20310,75	13281,90	13704,83	12247,72	11429,49
YOR324C	--	--	--	--	-1,6	3972,40	3437,31	4332,06	4130,74	4166,06	2421,40
YOR325W	--	--	--	--	-1,7	10254,52	14582,80	9994,09	8916,53	7580,79	6148,40
YOR326W	--	--	--	--	--	5140,19	4563,36	4699,86	4703,09	4211,27	4305,39
YOR327C	--	--	--	--	--	12118,10	11243,36	13191,67	9441,58	9102,22	15340,61
YOR328W	--	--	--	--	--	4911,35	4010,39	6004,48	4080,88	3285,68	5655,80
YOR329C	--	--	--	--	+1,7	4542,42	4131,37	5761,57	3953,93	7782,51	7721,07
YOR330C	--	--	--	--	--	4448,43	3309,68	4680,95	3711,73	5504,48	4966,04
YOR331C	--	-1,6	-1,9	--	-1,8	30316,40	26862,46	18879,06	15799,70	26248,65	16654,43
YOR332W	--	--	-2,1	-1,7	-2,1	39277,16	29131,43	30547,64	18719,12	23524,55	19044,06
YOR333C	-1,9	-1,6	-1,7	-2	--	8486,86	4392,60	5218,74	5032,72	4343,64	8181,18
YOR334W	--	-1,6	-1,7	-1,9	-1,5	12749,17	12298,08	8106,69	7520,98	6703,14	8233,17
YOR335C	--	-2,1	-1,7	-2,5	-2,5	52640,49	50086,70	24627,15	30164,32	21134,32	21321,54
YOR336W	--	--	--	--	+1,7	5332,44	4421,77	6188,02	5934,08	8954,84	8984,14
YOR337W	--	--	--	--	--	6841,75	5884,16	5423,25	5702,67	4849,08	5403,51
YOR338W	--	--	--	--	+2,3	3227,54	3258,96	3975,06	3782,53	3948,72	7395,86
YOR339C	--	--	--	--	--	6712,64	5299,72	5651,26	6089,04	4907,56	7850,28
YOR340C	--	--	--	--	--	8265,00	6484,26	7980,49	7297,58	7676,71	7028,36
YOR341W	--	--	--	--	-2,6	46433,51	41064,71	39045,47	36161,83	17628,37	21653,63
YOR342C	--	--	--	--	-2,1	33067,31	29623,01	24972,66	24942,03	34176,60	15729,72
YOR343C	--	--	--	--	--	7145,36	7612,33	7841,57	7907,46	6401,01	7687,88
YOR344C	-3,4	-2,6	-2,9	+1,6	+1,6	22882,73	6636,07	8702,25	8026,57	37431,05	36143,09
YOR345C	--	-1,6	-1,7	-2,3	-2,9	21764,22	23728,64	13284,18	12443,74	9264,77	7448,45
YOR346W	--	--	--	--	--	5131,27	4812,05	5526,35	5721,35	4365,94	7298,20
YOR347C	--	--	--	--	--	5738,91	4752,96	5568,46	5604,87	7435,01	7520,73



ORF	Änderungsfaktor					Normalisierte Signalintensität					
	10 min	20 min	30 min	16 h	5d	0 min	10 min	20 min	30 min	16 h	5d
YOR348C	--	+2,2	--	+2,5	+10,1	8937,57	7831,59	19251,57	12842,29	21997,51	90672,65
YOR349W	--	--	+1,5	--	--	18010,89	19701,34	19422,52	27363,74	16183,04	22784,31
YOR350C	--	+1,6	--	--	+2,7	5714,21	5354,17	9325,97	7512,87	6996,06	15414,42
YOR351C	--	--	--	+1,7	--	3995,15	4297,35	5232,99	5063,11	6725,84	5174,21
YOR352W	--	-1,7	-1,7	--	-1,7	33442,11	27506,12	19791,90	19177,35	25928,40	19564,75
YOR353C	--	-1,5	-1,8	-1,8	--	10620,35	8004,52	6962,21	6050,34	5781,15	12569,97
YOR354C	--	--	--	--	--	8887,04	6497,46	7494,69	8086,43	6895,29	8995,17
YOR355W	--	--	--	--	--	6217,91	5310,17	6486,63	6225,57	6859,77	8276,53
YOR356W	--	--	--	--	--	3643,87	3614,58	4148,41	4266,68	4379,22	4972,67
YOR357C	--	--	--	--	+2,1	7796,41	7616,62	8885,50	7668,33	6059,60	16587,29
YOR358W	--	--	--	--	+2,2	8903,37	7841,37	8815,90	7862,19	7344,69	19954,81
YOR359W	+1,7	+2,4	+3,3	+1,9	+2,7	12187,48	20325,12	29404,26	39799,86	23486,14	32757,24
YOR360C	--	--	--	--	+1,7	5639,54	6249,62	5254,33	5504,35	6356,02	9859,62
YOR361C	--	--	--	--	--	6551,73	5985,62	5473,00	5968,96	7016,30	4559,94
YOR362C	--	--	--	-2,8	-1,6	61870,41	47670,43	44930,98	55344,86	22285,85	38603,21
YOR363C	--	+3,2	--	+1,6	--	4238,53	4088,23	13656,54	4516,11	6680,72	6330,87
YOR364W	--	--	--	--	+1,8	4581,08	4128,28	5710,71	5688,74	5208,47	8255,02
YOR365C	--	--	--	--	+1,6	6783,68	5020,14	5214,53	5147,12	5831,70	10879,20
YOR366W	--	--	--	--	--	5533,35	6091,35	5960,11	6212,94	5099,79	5477,89
YOR367W	--	--	--	--	--	6616,25	6683,32	7184,63	6561,85	7211,80	7712,93
YOR368W	--	--	--	--	--	5429,21	5976,95	5419,88	4878,53	5440,09	7146,48
YOR369C	--	+1,7	+1,5	--	-10,8	412519,66	598452,79	717479,29	633372,09	381506,67	38216,87
YOR370C	--	--	--	--	--	13165,08	11013,47	12516,33	10649,07	16548,45	9546,17
YOR371C	--	--	--	--	--	4134,94	4164,04	5658,33	5281,32	5152,95	5985,39
YOR372C	-1,5	-1,6	--	--	+1,9	7847,33	5117,45	5060,70	5400,05	10023,73	15198,91
YOR373W	--	--	--	--	--	3472,08	3563,06	4638,76	5053,35	4592,67	3888,49
YOR374W	--	--	--	--	+2	6241,80	4255,21	5256,24	4652,82	7298,64	12662,52
YOR375C	--	--	--	--	-2,5	85042,43	81355,59	80316,49	76862,03	60158,59	33507,44
YOR376W	--	--	--	--	--	6297,72	5818,57	5547,02	5681,23	6218,70	8692,40
YOR377W	--	+3,8	--	--	--	5618,93	4339,57	21407,85	5103,13	6657,37	7926,25
YOR378W	--	--	--	--	--	5757,53	6104,38	5419,43	5141,28	5981,22	5859,72
YOR379C	--	--	--	--	+1,6	11261,31	10216,77	10850,69	9508,92	8442,09	18186,81
YOR380W	--	--	--	--	--	5286,45	4772,10	5307,43	5513,98	6905,98	7518,77
YOR381W	--	+1,8	+2,4	--	+2,5	23677,57	35027,69	43372,29	56239,24	24111,62	60215,70
YOR382W	--	--	--	--	--	15502,16	19930,76	15480,25	16097,89	10511,62	16023,30
YOR383C	--	--	--	--	+1,9	10070,25	6776,87	10025,46	7458,83	9120,58	19551,85
YOR384W	--	-1,7	-1,6	-3,3	-5,8	142128,54	110172,62	83235,05	89433,31	43206,73	24606,19
YOR385W	-2,5	-2,5	-2,2	--	-2,6	17681,02	7055,63	6949,87	8038,95	14863,68	6734,98
YOR386W	--	+1,8	--	--	-8	97145,24	109339,68	178205,00	125566,96	71391,69	12080,72
YOR387C	--	--	--	--	+2,6	16357,82	13420,83	21213,27	22164,09	23708,34	43333,28
YOR388C	--	--	--	--	+1,7	7310,23	5999,52	7451,57	6412,49	5514,59	12429,34
YOR389W	--	--	--	--	+2	10907,26	8743,44	11221,90	8654,08	10867,05	21898,97
YOR390W	--	--	+1,6	--	+2,1	14763,26	16795,56	17157,20	24093,01	21741,38	31027,01
YOR391C	--	--	--	--	+6,4	6566,92	4830,75	6588,45	5357,06	6049,87	42347,36
YOR392W	--	--	--	--	+2,3	5558,61	4866,52	7072,25	5629,96	7578,28	12642,89
YOR393W	--	--	--	--	+4,3	7776,84	6086,26	5351,64	5349,52	7220,04	33815,65
YOR394W	--	--	--	-2,2	-4,5	277860,67	386248,12	213795,42	277579,23	124451,80	61254,94
YPL001W	--	--	--	--	--	4906,34	3749,44	5167,97	4501,42	5330,01	4958,88
YPL002C	-1,7	--	--	--	--	8253,85	4829,61	6280,96	5512,66	7647,11	10511,42
YPL003W	--	--	--	--	+1,7	5466,63	5330,72	5456,98	5534,70	7453,99	9536,81
YPL004C	--	-1,8	--	--	+2,7	13448,53	10969,63	7474,37	9458,65	18393,36	36293,46
YPL005W	--	--	--	--	--	5317,95	4501,62	5533,76	5232,82	7524,23	4794,45
YPL006W	--	--	--	--	--	4632,47	4683,87	4584,47	4290,73	5314,78	3694,43
YPL007C	--	--	--	--	-1,8	7092,92	6773,79	6285,98	8252,15	6504,85	3840,88
YPL008W	--	--	--	--	--	47534,20	53503,05	55237,30	69586,66	38026,97	50100,20
YPL009C	--	--	--	+1,9	+2,6	19327,46	19903,37	15592,26	26360,24	36835,85	50314,20
YPL010W	--	--	--	--	--	12631,08	16422,43	18694,93	15217,81	15136,96	12983,93
YPL011C	--	--	--	--	--	15473,91	13368,25	16564,39	16572,47	14753,76	20055,59
YPL012W	--	--	--	--	--	6458,72	6738,73	9044,78	7135,49	6171,26	7806,39
YPL013C	--	+1,5	+1,8	+2,8	+1,7	7472,58	8704,57	11242,78	13458,07	20717,50	12910,71
YPL014W	-3	-2,3	-3,3	-2,4	--	14725,61	4903,42	6479,82	4397,63	6165,72	12333,14
YPL015C	--	--	--	--	+2,6	5556,00	4624,33	5342,63	4755,41	6521,36	14374,34



ORF	Änderungsfaktor					Normalisierte Signalintensität					
	10 min	20 min	30 min	16 h	5d	0 min	10 min	20 min	30 min	16 h	5d
YPL016W	--	--	--	--	--	5929,02	6266,78	5482,34	6564,50	7553,70	8007,28
YPL017C	--	--	--	-1,5	--	4656,52	4047,17	5240,69	4645,32	3057,05	5026,44
YPL018W	--	--	--	--	--	4920,08	3756,69	4313,09	4358,63	5920,33	5292,88
YPL019C	--	--	--	--	-1,7	7200,49	7529,29	6437,96	6004,01	8211,50	4320,15
YPL020C	--	--	--	--	+1,6	4614,99	3535,13	4272,98	4266,19	4887,38	7301,81
YPL021W	--	--	--	-1,7	-2,2	10795,30	13234,15	9361,87	9640,42	6534,56	4811,01
YPL022W	--	--	--	--	--	5230,73	4318,22	5107,73	5078,93	4673,12	5265,87
YPL023C	-1,7	-1,5	-1,6	-2	--	8446,89	4850,77	5605,01	5449,18	4283,11	7804,48
YPL024W	--	--	--	-1,8	+1,5	11461,48	9832,89	9919,21	10073,70	6238,02	17553,31
YPL025C	--	--	--	--	+2,1	4305,48	5755,22	5082,10	4103,00	6319,12	9222,42
YPL026C	--	--	--	--	+2,2	6146,87	4516,69	6310,58	4651,13	7925,79	13713,64
YPL027W	--	-1,6	-1,9	-1,6	--	12821,84	10208,39	8035,99	6878,53	8093,43	12966,41
YPL028W	--	--	--	-1,6	-2	28858,04	27585,93	21596,48	22118,64	18042,90	14381,80
YPL029W	--	--	--	--	--	6142,47	4949,86	5042,03	5071,53	4320,26	6943,76
YPL030W	--	--	--	--	--	6322,67	6416,19	5651,89	6433,97	4900,35	5769,88
YPL031C	--	-1,9	-1,6	-2,1	--	17964,24	13809,50	9636,06	11269,20	8716,58	20956,89
YPL032C	--	--	--	+1,5	--	5728,44	5050,21	5334,11	5384,60	8862,14	6212,01
YPL033C	--	--	--	--	--	3523,05	3302,89	3926,76	4227,68	4480,70	4923,94
YPL034W	--	--	--	--	--	5764,37	5162,82	5253,64	6271,97	5458,10	8290,57
YPL035C	--	--	--	-1,7	--	8499,37	7283,30	7703,26	7663,69	4948,80	9675,70
YPL036W	--	--	--	--	--	9523,52	8483,50	7718,46	8749,76	10460,50	12802,68
YPL037C	--	--	-1,5	--	-3,1	142373,91	147983,17	129845,69	93123,26	114271,79	45775,10
YPL038W	--	--	--	--	--	10885,72	10041,09	10872,64	10312,87	12116,92	9987,98
YPL039W	--	--	--	--	+2	6719,50	6976,91	7864,87	6519,98	6528,15	13597,90
YPL040C	--	--	--	--	--	5290,36	4585,66	5577,24	5594,77	4371,71	4387,89
YPL041C	-4,5	-7,2	-6,6	-8,7	-3,5	94434,94	20908,18	13193,07	14243,79	10901,40	27334,46
YPL042C	--	--	-1,6	--	--	6348,09	4294,35	4323,33	3935,81	5014,30	8334,87
YPL043W	--	-2,2	-1,7	-2,2	-2,6	33357,55	27993,34	15112,90	19295,56	15189,06	12815,92
YPL044C	--	--	--	--	--	4812,07	4109,27	4812,65	4495,47	6491,21	4301,20
YPL045W	--	--	--	--	+1,9	4570,23	3688,64	4234,49	4106,87	4545,40	8510,57
YPL046C	--	+1,8	+1,6	+2,9	+4,5	11581,60	11439,38	20681,61	18616,95	33210,23	52573,87
YPL047W	--	+1,7	--	--	+2	13375,77	12360,17	22362,28	19836,76	17638,58	27352,88
YPL048W	--	+1,9	+4,4	+7,3	+2	20550,47	27316,65	39247,43	90695,79	150858,97	40844,78
YPL049C	--	--	--	--	--	29870,89	28999,34	25447,51	22661,66	33448,05	23234,18
YPL050C	--	-1,7	-2,1	-2,3	-1,6	24866,08	20460,80	14352,76	11911,36	10770,63	15850,22
YPL051W	--	--	--	--	--	13389,56	10853,28	10587,96	9812,81	9534,58	11550,65
YPL052W	--	--	--	--	+1,5	5167,60	3899,82	5388,58	5060,35	4932,41	7955,38
YPL053C	--	--	--	--	+1,7	16647,84	15340,07	11860,27	11683,54	14192,93	28786,86
YPL054W	--	--	--	-1,6	+3,5	6589,32	6929,49	6464,32	6898,00	4114,64	22760,31
YPL055C	--	--	--	--	+3,7	7934,80	7657,71	7645,25	7106,51	11740,83	29653,48
YPL056C	--	--	--	--	--	5093,92	4985,45	6389,04	5375,15	5527,54	7564,04
YPL057C	--	--	-1,8	--	+2,2	9986,09	6966,19	6885,60	5613,15	8490,84	22332,52
YPL058C	--	--	--	--	--	3196,40	3052,04	4371,23	3703,22	3276,94	2779,42
YPL059W	--	--	--	--	--	11977,19	12258,48	12303,57	15706,22	11793,64	16559,13
YPL060W	--	--	--	--	--	8443,68	6776,14	6325,02	5728,05	5730,11	8649,52
YPL061W	--	--	--	--	-4,6	74144,29	96797,81	88667,86	65594,28	61075,38	15990,39
YPL062W	--	--	--	--	--	6285,90	5733,85	6128,19	5651,56	4667,82	5947,49
YPL063W	--	--	-1,5	--	--	16270,95	13581,79	13329,27	10759,97	22013,15	14084,89
YPL064C	--	--	--	-2,1	-4,3	47346,57	62416,22	49392,43	57399,86	22057,87	10946,42
YPL065W	+2,1	--	+1,7	--	-2,3	45032,22	93568,67	66721,26	75781,65	38656,33	19320,38
YPL066W	--	--	--	--	--	7351,41	5423,44	6115,51	5824,70	10140,16	7346,27
YPL067C	-1,5	--	--	--	+2,7	6272,06	4114,48	5419,33	4564,81	5175,70	17032,28
YPL068C	--	--	--	+1,6	--	5422,55	5638,40	6230,09	6320,53	8906,51	6105,70
YPL069C	--	--	--	--	--	6816,67	5713,01	6052,52	6007,35	6457,66	9399,20
YPL070W	--	--	--	--	--	5211,84	4294,97	6077,58	4927,12	4522,09	5846,15
YPL071C	--	--	--	-1,5	-2,4	58833,47	44987,61	44187,62	42119,31	39018,74	24784,10
YPL072W	-2,4	-2	-2,4	-2,6	-2,4	40395,82	16748,02	20320,83	16878,73	15667,62	16598,85
YPL073C	--	--	--	--	+1,8	17585,67	16041,50	22619,87	19286,77	21792,42	32171,49
YPL074W	--	--	--	--	--	13378,89	11856,54	9832,97	11372,46	8970,63	12496,75
YPL075W	-1,9	-1,5	-1,5	--	--	10349,24	5502,19	6846,18	6841,79	8912,49	9370,09
YPL076W	--	--	--	--	+2,3	5879,20	4994,20	5944,75	5546,51	7096,84	13375,70
YPL077C	--	--	--	--	--	6115,24	4739,53	6402,55	4752,29	6080,02	6222,34

ORF	Änderungsfaktor					Normalisierte Signalintensität					
	10 min	20 min	30 min	16 h	5d	0 min	10 min	20 min	30 min	16 h	5d
YPL078C	--	--	--	--	--	23714,92	20782,64	21980,61	24060,57	26629,37	21073,30
YPL079W	--	-1,8	-1,6	-3,3	-5,2	128219,25	120426,72	70907,05	79179,75	38847,05	24713,91
YPL080C	--	--	--	--	--	5145,72	5843,46	6670,89	6482,38	6880,07	4588,37
YPL081W	--	--	--	-1,5	-5,5	52422,57	73268,18	49619,81	56013,56	34691,24	9502,46
YPL082C	--	--	--	-1,6	-2,5	16265,39	15745,88	14899,75	16520,20	10048,07	6617,54
YPL083C	--	--	--	--	+1,5	13202,24	10484,27	13263,19	11619,72	11282,19	20266,93
YPL084W	--	--	--	--	--	9807,04	8093,64	9569,34	8552,32	8998,58	9641,88
YPL085W	--	--	--	--	--	8709,93	6721,70	6879,43	6998,75	7468,81	11559,72
YPL086C	--	--	--	--	--	12584,24	9246,02	11892,57	10152,33	9931,80	10353,53
YPL087W	-1,8	--	-1,7	--	--	12912,62	7267,99	8768,97	7802,97	10648,30	15155,87
YPL088W	--	--	--	+1,5	+2,8	10574,74	7399,90	9496,19	8456,31	16030,86	29437,11
YPL089C	--	--	-1,6	+1,6	+3,1	8422,15	5946,98	7189,43	5290,61	13881,09	25734,57
YPL090C	--	--	--	--	-26,8	498671,15	698149,34	462110,02	545256,94	397690,66	18587,98
YPL091W	--	-1,8	-2	--	--	12683,19	8725,56	6968,31	6468,12	9451,83	10284,15
YPL092W	--	--	-1,6	--	--	7173,21	4841,28	5188,43	4475,36	5707,43	5219,05
YPL093W	-1,9	--	--	--	-1,8	5274,89	2736,83	6822,68	4366,47	4862,92	2862,51
YPL094C	--	--	--	+1,7	--	21339,23	29952,11	31217,68	26100,23	36610,07	24149,99
YPL095C	--	--	--	+1,7	--	4165,36	3681,17	4479,19	4721,77	7072,10	6005,60
YPL096W	--	--	--	--	+1,8	6316,79	5385,07	7057,16	5818,12	7372,41	11514,50
YPL097W	--	--	--	--	+1,6	4146,52	3921,12	3928,91	4043,76	3704,54	6615,04
YPL098C	--	--	--	--	--	12400,30	10621,37	11698,10	11329,07	8654,33	13108,65
YPL099C	--	--	--	--	--	5131,70	4674,31	5200,05	4590,85	5049,86	5063,70
YPL100W	--	--	--	--	--	5712,08	4748,21	6519,89	5824,26	5402,81	7562,27
YPL101W	--	--	-1,8	--	--	9303,60	8289,47	7838,00	5100,94	8405,57	12170,87
YPL102C	--	--	--	--	--	5035,64	5290,58	6588,97	6354,86	4643,06	4786,08
YPL103C	--	--	--	--	--	5510,88	4624,78	5338,31	5436,00	5883,81	7484,33
YPL104W	--	--	--	--	--	8324,27	6744,65	6643,79	6496,48	5948,00	5796,11
YPL105C	--	--	--	--	--	11642,79	10411,96	11112,49	10328,01	7916,31	13819,09
YPL106C	--	-1,5	--	--	--	35987,75	28102,47	23573,07	26270,53	26254,20	29837,72
YPL107W	--	--	--	--	--	4095,83	3396,49	4709,02	3529,29	4549,18	5735,28
YPL108W	--	--	--	--	--	8305,37	7536,68	8769,97	7084,87	8117,74	11016,46
YPL109C	-2,1	-1,9	-1,8	-1,9	--	11392,14	5315,57	5867,31	6202,56	5942,79	8621,02
YPL110C	--	--	--	--	--	4107,97	3943,54	5009,67	3989,72	3498,00	4116,46
YPL111W	--	--	--	-1,5	--	14353,38	13777,28	10995,11	10580,31	9416,17	14662,71
YPL112C	--	-1,8	-1,6	-2,2	-1,7	16019,07	13561,49	8936,84	9880,11	7268,52	9493,71
YPL113C	--	--	--	--	--	5098,04	5215,05	4355,04	4745,95	3840,94	5709,63
YPL114W	--	--	--	--	--	3854,82	3898,14	4398,29	4404,34	4520,70	3615,51
YPL115C	--	--	--	--	--	2973,35	2939,89	3748,98	3481,39	3834,90	3883,62
YPL116W	--	--	--	--	--	5173,36	4100,57	4423,71	5250,00	4027,40	4568,64
YPL117C	--	--	--	--	--	9868,61	10587,46	10721,17	12165,94	9271,96	14704,91
YPL118W	--	--	--	--	--	9945,61	9838,14	12176,56	10220,76	7059,69	11818,22
YPL119C	--	-1,6	-1,8	-1,8	--	42931,15	42296,80	27358,09	24075,31	24483,04	32211,36
YPL120W	--	--	-1,6	--	--	9434,69	6773,30	6455,20	6009,38	6519,45	8062,36
YPL121C	--	--	--	--	--	5654,14	5381,78	6296,58	5392,89	4830,55	5650,21
YPL122C	--	--	--	--	--	7424,74	5005,78	5882,39	5033,24	5696,27	6522,80
YPL123C	--	--	--	-1,9	+1,5	15730,94	12533,89	11451,42	10796,31	8300,14	24302,55
YPL124W	--	--	--	--	--	8118,44	5505,21	5908,81	5530,90	7225,37	11055,38
YPL125W	--	-1,7	-1,9	-2,8	-4,7	145877,96	162841,42	85528,70	78038,72	51959,97	31288,60
YPL126W	--	--	--	--	--	4505,21	3719,79	4198,00	4351,06	4226,18	3644,57
YPL127C	--	--	-1,9	-1,7	-2,1	14271,93	11911,70	12955,50	7584,96	8346,14	6923,70
YPL128C	--	--	--	--	+21,7	5088,60	4742,84	4868,68	4800,17	5415,96	110187,58
YPL129W	--	--	--	--	--	11817,85	11418,25	13035,92	11569,80	11434,86	16928,43
YPL130W	--	--	--	--	+1,6	3660,71	4053,36	4813,23	5093,91	4029,36	5980,53
YPL131W	--	--	--	--	-3,6	472660,77	484718,45	477281,37	499414,66	490967,35	132248,24
YPL132W	--	--	--	-1,6	-2,1	76407,82	69779,30	53238,24	57283,39	48600,12	35799,85
YPL133C	--	--	-2	-2,7	--	36235,01	34829,42	26825,36	18227,56	13586,11	31068,67
YPL134C	--	--	--	--	+5,4	6458,93	4997,69	5556,50	5934,49	5870,20	34954,29
YPL135W	-1,6	-2	-1,8	-1,7	+4,4	15814,39	9692,38	7887,14	8862,02	9095,49	70167,62
YPL136W	--	--	--	--	+3,2	4434,10	4181,70	4211,10	4700,99	4608,73	14382,46
YPL137C	--	--	+2,1	--	+2	30217,38	44871,02	43509,80	63669,13	42160,50	60759,40
YPL138C	--	--	--	--	+2,2	6299,24	5386,54	5416,15	5874,52	5614,49	13956,13
YPL139C	--	--	--	--	--	4343,47	4389,15	4314,87	5523,89	4902,78	4965,58

ORF	Änderungsfaktor					Normalisierte Signalintensität					
	10 min	20 min	30 min	16 h	5d	0 min	10 min	20 min	30 min	16 h	5d
YPL140C	--	--	--	--	--	5316,58	3858,33	4485,57	4024,85	4937,57	6067,52
YPL141C	--	--	--	--	--	5413,58	4584,71	6259,39	5266,39	6339,44	6245,21
YPL142C	--	--	--	-1,8	-1,8	125014,75	113288,87	186849,36	163608,77	69419,74	68907,56
YPL143W	+1,6	+1,6	+2,2	--	-2,5	34430,96	56227,80	54575,91	75884,73	28221,43	13934,54
YPL144W	--	--	--	--	--	7008,62	5454,31	5963,67	6480,89	10211,66	7394,03
YPL145C	--	-1,8	-2,3	-2,6	--	53809,82	37745,72	30514,94	23243,86	20895,36	36587,67
YPL146C	--	--	--	--	--	12376,76	12952,41	11137,95	12193,93	10507,58	10809,71
YPL147W	--	--	--	--	+1,9	6787,56	5535,38	5486,34	5326,75	5095,79	12701,20
YPL148C	--	--	--	--	+3,7	4438,71	4810,33	5174,74	5320,00	4567,96	16428,58
YPL149W	--	--	--	--	+1,7	5672,75	4679,36	5564,95	5699,04	5138,85	9720,59
YPL150W	--	+1,7	+1,5	--	+3,3	10302,90	11345,20	17747,06	15938,18	9740,21	34186,09
YPL151C	--	--	--	--	+2,8	7575,49	7470,80	8630,78	7302,91	8316,64	21561,91
YPL152W	--	--	--	--	+2,3	6422,51	7112,76	6846,33	6702,43	6641,05	14711,31
YPL153C	--	--	--	--	--	11650,82	10017,07	10033,34	11090,69	8494,13	11100,98
YPL154C	--	+2	+2	--	-2	93279,83	127576,73	185876,36	188785,78	75654,79	47520,76
YPL155C	--	--	--	+1,8	--	5959,37	5656,71	5520,09	6450,12	10929,39	5934,91
YPL156C	--	--	--	--	--	7813,46	6273,24	7605,34	7324,64	10417,08	11342,69
YPL157W	--	--	--	--	--	10228,07	8857,58	8726,36	8020,02	6875,19	9237,76
YPL158C	-1,5	--	--	--	--	9076,24	5910,59	7263,55	7069,82	9960,52	6448,98
YPL159C	--	--	--	--	+1,8	6039,37	5156,67	5705,11	5022,24	5768,49	10899,51
YPL160W	--	--	--	--	-1,8	15859,99	14052,12	12412,66	13533,33	12054,86	8636,69
YPL161C	--	--	--	-2	-2,2	40510,07	51656,83	46080,61	42788,40	20087,09	18365,25
YPL162C	-1,6	--	--	--	--	6738,01	4151,99	5212,18	5025,42	6277,47	6731,59
YPL163C	--	--	--	--	--	7587,34	7061,76	8466,62	7367,43	8241,19	8458,47
YPL164C	--	--	--	-1,7	--	9711,41	11182,50	7955,56	9259,26	5717,10	7341,45
YPL165C	--	--	--	--	+1,5	3957,09	3594,67	5264,57	4261,11	5000,29	5949,04
YPL166W	--	--	--	--	--	8078,52	6118,66	5954,93	6368,81	5749,34	9948,70
YPL167C	--	--	--	--	--	10680,56	7762,49	9794,29	7947,31	11620,56	12175,07
YPL168W	--	--	--	--	--	8074,25	7018,91	7366,57	7431,56	9801,22	10494,45
YPL169C	--	--	--	--	--	27503,01	24379,18	26588,37	23975,75	27362,39	21251,99
YPL170W	--	--	--	--	+2,3	3634,97	2923,87	3731,24	4234,44	3979,95	8261,09
YPL171C	--	--	--	--	+3,2	4354,86	3494,82	4755,52	4181,01	4648,51	13943,34
YPL172C	--	--	--	--	+1,6	7074,40	5114,38	6985,36	5906,82	7341,43	11631,58
YPL173W	--	--	--	--	--	10361,17	9791,72	10233,38	8720,95	7422,19	12364,84
YPL174C	--	--	--	-1,6	-1,6	12883,82	11226,60	11303,77	11295,74	8181,35	8136,38
YPL175W	--	--	--	--	--	9753,45	12231,98	8913,69	8448,62	7436,23	8702,37
YPL176C	--	--	--	--	+1,6	5316,12	4159,75	4953,57	4422,64	5792,66	8748,36
YPL177C	--	--	--	-2,1	-1,7	10850,75	9271,12	11460,02	9009,24	5136,88	6403,93
YPL178W	--	--	--	--	-2,4	18361,10	14592,88	16387,06	16127,65	13944,20	7619,67
YPL179W	--	--	--	--	--	23973,30	19504,91	33774,79	26141,87	19210,50	24451,23
YPL180W	--	--	--	-1,9	+2,4	8874,28	8249,38	9965,72	10725,20	4788,58	21712,07
YPL181W	--	--	--	--	--	6212,64	6797,94	7752,20	5943,81	4959,87	5931,83
YPL182C	--	--	+1,8	--	+2	18902,32	25705,26	23812,97	33992,36	21077,05	36914,90
YPL183C	--	--	--	--	--	6017,23	5766,75	6421,27	6454,70	6676,17	7473,61
YPL184C	--	--	--	--	+1,6	22680,93	18527,25	26708,34	18932,90	25498,76	36695,62
YPL185W	--	+1,7	--	--	+4,5	5037,21	5502,08	8550,80	5391,87	5056,66	22863,42
YPL186C	-1,5	--	--	--	+4,7	6148,15	4068,53	8789,29	4560,56	6034,40	29012,86
YPL187W	--	+1,6	--	--	+1,8	9250,25	12009,46	14528,18	12820,67	7507,21	16458,54
YPL188W	+1,5	+2,1	--	+1,5	-2	32259,36	48594,73	68954,61	39023,04	49774,19	16514,03
YPL189W	--	+1,6	--	--	+2,5	7170,12	7309,08	11274,29	8349,04	8706,37	18128,72
YPL190C	--	--	--	+2,6	+2,2	6759,69	6140,59	6653,00	5965,50	17844,87	14622,74
YPL191C	-2,6	-1,7	-2,6	-1,7	--	10110,69	3876,81	5957,42	3848,89	6063,94	9332,45
YPL192C	--	--	--	--	--	3949,48	4026,95	5080,24	4598,99	4725,64	4164,83
YPL193W	--	--	--	--	--	3719,96	3466,22	3631,42	3826,06	3979,46	5166,12
YPL194W	--	--	-1,7	+1,5	--	12271,28	10786,76	9549,33	7171,36	18477,72	9084,33
YPL195W	--	--	-1,8	--	--	14558,00	11786,05	10448,90	8000,40	13149,51	14207,57
YPL196W	--	--	--	--	+2,4	5364,48	4248,95	4707,34	4312,25	4235,06	13028,07
YPL197C	--	+1,6	--	--	--	6322,44	6787,22	10056,43	7423,54	9091,64	9189,18
YPL198W	--	--	--	--	-2,5	46528,69	49114,28	38001,83	39527,84	36515,24	18326,60
YPL199C	--	--	--	--	--	11836,78	10251,24	9599,75	9788,95	8263,13	12701,69
YPL200W	--	--	--	--	--	6747,17	4913,10	5707,97	5817,14	4562,95	5876,59
YPL201C	--	--	--	--	--	6478,50	4872,69	6083,42	5693,85	5585,48	8949,95

ORF	Änderungsfaktor					Normalisierte Signalintensität					
	10 min	20 min	30 min	16 h	5d	0 min	10 min	20 min	30 min	16 h	5d
YPL202C	+1,7	--	--	--	+1,6	4788,30	8085,25	5370,15	3953,37	6775,27	7629,07
YPL203W	-2,2	-1,8	-2,3	-1,6	--	10745,57	4841,32	6029,79	4765,85	6721,26	13735,56
YPL204W	--	--	--	--	+1,7	40464,76	40604,41	43057,65	42960,74	50079,24	68272,54
YPL205C	--	--	--	--	--	7087,26	7419,03	7879,09	6925,19	8959,98	9389,71
YPL206C	--	--	--	--	+2	9603,07	8828,13	9113,25	7040,60	6630,86	18892,99
YPL207W	--	--	--	--	--	4444,09	4563,00	3829,41	4296,14	4379,84	3892,82
YPL208W	--	--	--	--	--	4589,27	4104,41	3767,07	4150,14	4417,40	4591,67
YPL209C	--	--	--	--	--	5393,45	4387,24	4400,83	4497,87	5932,68	5951,60
YPL210C	--	--	--	--	--	6346,10	5477,88	4867,09	4866,59	4784,91	5999,85
YPL211W	--	--	--	--	--	8137,76	6748,42	6622,70	8020,68	5447,00	5787,25
YPL212C	--	--	--	--	--	13425,96	12077,09	17981,29	15892,76	11605,26	16270,86
YPL213W	--	--	--	--	--	7212,02	6980,74	7743,35	8025,69	4994,53	8218,53
YPL214C	--	-1,6	-1,7	-1,9	-2	34924,70	37578,22	22458,16	20317,57	18668,59	17084,36
YPL215W	--	--	--	--	--	7368,75	5811,16	7191,56	6360,80	7470,75	6376,60
YPL216W	--	--	--	--	--	7065,66	6754,12	5650,22	5702,80	5621,49	6080,15
YPL217C	--	--	--	--	--	7198,54	7007,55	6918,20	6583,09	5995,98	6534,26
YPL218W	--	--	--	-1,8	--	19932,40	20324,71	17333,66	14736,04	10938,20	15153,74
YPL219W	--	-1,7	-1,7	-2,6	-4,1	103618,35	109224,40	60865,78	59976,62	39630,56	25225,04
YPL220W	--	-1,8	--	-1,6	-3,8	153936,62	145543,67	87419,95	107488,67	96572,54	40191,81
YPL221W	-1,5	--	--	--	+1,7	6783,76	4518,35	5715,78	5230,72	5365,87	11539,26
YPL222W	--	--	--	--	+14,5	4664,50	4311,40	5546,47	4817,28	6524,65	67497,07
YPL223C	--	--	--	--	+92,7	4565,62	3988,26	5269,52	5390,36	5369,83	423125,01
YPL224C	--	--	--	--	+1,7	5511,67	3955,43	5370,39	4814,12	4488,02	9639,92
YPL225W	--	+1,6	--	--	+4,9	11254,65	13466,80	17646,64	15336,04	12947,23	54925,51
YPL226W	--	--	--	--	-2,3	13040,57	9777,20	9217,72	9898,09	10033,53	5782,62
YPL227C	--	--	--	-1,9	-2,1	19569,50	17256,13	16529,39	13687,64	10234,19	9254,17
YPL228W	--	--	--	--	+2,7	9252,03	9014,84	11708,81	6929,67	8941,65	25205,24
YPL229W	--	--	--	+2	+2,7	17001,69	13127,87	13328,18	11767,26	33657,55	45141,56
YPL230W	--	-1,5	--	--	+5,6	7072,22	5364,57	4619,77	5098,58	4820,73	39468,41
YPL231W	--	--	--	--	+1,6	4016,34	3824,89	3703,31	4575,54	5071,01	6433,34
YPL232W	--	--	--	-2	-1,5	41567,47	46642,68	29847,88	30227,43	21128,98	26948,38
YPL233W	--	--	--	--	--	6415,36	4842,28	5981,33	5283,56	6092,68	6424,97
YPL234C	--	--	--	--	--	21030,47	21954,52	27245,19	19038,67	21942,29	29560,18
YPL235W	--	--	--	--	--	15342,27	14369,36	15499,89	13728,35	16394,08	16075,99
YPL236C	--	--	--	-1,9	--	22470,08	19928,59	18808,00	25307,61	11542,61	26404,85
YPL237W	--	--	+1,9	--	--	38061,35	45584,63	56869,22	71781,25	51658,08	28398,21
YPL238C	--	--	--	+2,7	--	13229,25	13107,70	19307,10	13752,09	35997,08	14002,61
YPL239W	--	--	--	-1,6	--	26010,81	29273,30	24161,93	22389,42	16740,47	17900,98
YPL240C	--	--	-1,9	--	+1,6	124566,09	119745,92	98479,27	67254,80	101813,08	204384,85
YPL241C	--	--	--	--	--	8034,52	7043,04	7713,57	7794,48	6007,37	8432,45
YPL242C	--	--	--	--	--	3934,74	3139,22	3714,92	3342,43	3084,92	4326,96
YPL243W	--	--	--	-1,6	--	25519,14	24745,33	18270,42	17888,48	16149,04	24753,09
YPL244C	--	--	--	--	+1,6	6397,09	6770,43	6803,88	7264,11	6896,79	10374,04
YPL245W	--	--	--	--	--	7009,55	7413,97	8575,13	8105,55	9290,10	7521,65
YPL246C	--	+1,5	--	+1,7	--	7580,78	7800,09	11676,67	8422,12	13220,64	8747,60
YPL247C	--	--	--	--	--	5117,23	6020,84	7032,19	7382,60	5506,29	6919,40
YPL248C	--	--	--	--	--	15669,94	18212,97	19445,41	22089,86	10794,04	11294,16
YPL249C	--	--	--	-2,1	--	28542,77	22683,62	29213,70	35066,12	13782,95	19541,93
YPL250C	--	--	--	--	--	7463,78	6269,53	7932,70	7442,79	6507,05	5023,62
YPL251W	--	--	--	--	-1,7	9641,29	8700,89	9462,89	8529,32	7893,14	5760,29
YPL252C	--	--	--	-1,7	-2	16817,61	18051,51	17642,33	16822,23	9946,64	8380,85
YPL253C	--	--	--	--	--	7461,12	5524,57	6417,76	5534,53	6938,37	7081,82
YPL254W	--	--	--	-2,5	-2,4	32389,67	30793,69	25116,51	22987,66	12870,07	13585,46
YPL255W	--	--	--	--	--	5379,79	4333,70	4886,31	5175,05	4148,63	5538,06
YPL256C	--	--	--	--	-1,5	6137,62	5176,37	5548,90	5256,89	6522,08	3959,93
YPL257W	--	--	--	-1,8	-1,9	12233,98	11736,87	9573,16	10387,74	6882,33	6577,44
YPL258C	--	--	--	--	--	12586,30	16710,28	13841,77	16283,68	9390,18	8489,50
YPL259C	--	--	--	--	--	10014,85	6841,99	7954,85	13540,62	11385,64	9098,65
YPL260W	--	--	-1,5	--	+1,6	24074,38	17423,71	30451,38	15740,47	22193,34	37547,92
YPL261C	--	--	--	--	--	17307,39	14215,43	16783,74	14359,21	13212,84	20501,34
YPL262W	--	--	--	-1,5	+1,6	21421,55	19210,19	18887,31	16667,31	14173,28	35272,05
YPL263C	--	--	--	--	--	10363,98	10096,67	11527,82	9171,00	12742,23	12336,61

ORF	Änderungsfaktor					Normalisierte Signalintensität					
	10 min	20 min	30 min	16 h	5d	0 min	10 min	20 min	30 min	16 h	5d
YPL264C	--	--	--	--	--	6806,26	6436,81	6610,34	6294,13	5527,15	8772,77
YPL265W	--	--	--	--	--	7592,48	6647,92	7124,27	5777,18	8138,28	11014,08
YPL266W	--	--	--	--	-2,6	21250,44	28182,59	27220,22	23172,19	23821,17	8092,40
YPL267W	-1,8	-1,8	-1,7	-2,2	--	10769,54	6068,69	6000,70	6346,47	4998,25	9394,22
YPL268W	--	--	--	--	+1,6	6260,60	5240,28	7453,99	6805,55	8297,49	10148,95
YPL269W	--	--	--	--	--	7124,58	4834,02	6214,13	6063,72	5644,34	5460,30
YPL270W	--	--	--	--	--	7732,31	7117,46	8538,81	7777,32	9417,87	7496,89
YPL271W	--	--	--	--	+2	25692,43	23320,24	33083,02	33656,21	24715,01	50115,69
YPL272C	--	--	--	--	--	12327,72	10709,63	12138,88	11007,16	8299,73	15489,38
YPL273W	--	--	--	--	-2	21554,66	21237,86	23456,41	23039,03	22634,06	10708,45
YPL274W	+1,8	+2,1	+1,7	--	--	31867,80	56932,18	68104,19	55398,23	37147,55	36945,78
YPL275W	--	--	--	--	--	8243,00	7917,52	8570,43	10574,13	7840,67	11007,40
YPL276W	--	--	--	--	+1,6	18273,27	15594,86	17131,53	14501,50	15603,49	29517,59
YPL277C	--	--	--	--	+2,7	7177,59	5983,04	6682,66	6234,29	8083,35	19251,13
YPL278C	--	--	--	--	+3,4	6080,77	5726,54	7322,23	5845,27	5185,52	20411,46
YPL279C	--	--	--	--	+1,8	12364,27	10358,22	12452,97	8334,88	10807,15	22553,27
YPL280W	--	--	--	-1,6	+3	14629,36	16188,40	16199,97	12597,47	9053,17	43981,21
YPL281C	--	+1,7	--	--	--	15802,26	20119,52	27586,65	18244,70	19572,72	13461,15
YPL282C	--	--	--	--	+1,8	15001,81	18987,34	22454,67	15847,96	14589,00	27414,63
YPL283C	--	--	--	--	--	4234,26	3886,51	4470,72	4964,15	5086,55	4644,20
YPR001W	--	--	--	--	--	10201,44	11845,04	11238,58	9981,55	8179,97	10078,88
YPR002W	--	--	--	--	+2,4	4525,10	3784,21	4269,12	4536,97	5517,57	10751,43
YPR003C	--	--	--	+1,5	+5,6	7661,54	7946,10	7646,98	7574,19	11642,40	43102,21
YPR004C	--	--	--	--	--	11274,00	11358,11	9190,71	10646,39	9933,13	12702,28
YPR005C	--	-1,6	--	-1,6	-2,2	121698,57	113622,23	75753,16	82356,80	76634,35	56484,43
YPR006C	--	--	--	--	-1,6	15803,53	17457,30	14116,72	15884,04	11672,35	9935,28
YPR007C	--	-1,6	--	-2	-2,9	36111,65	26810,98	22506,16	29064,04	18052,55	12357,51
YPR008W	--	--	--	--	-2,4	97184,73	95214,79	92242,15	95510,21	69691,37	40517,08
YPR009W	--	--	--	--	--	5675,87	4043,21	5244,59	4811,57	7022,31	4536,66
YPR010C	--	--	--	--	-1,6	4031,26	3517,27	4480,18	4134,14	4603,63	2563,28
YPR011C	-1,5	--	--	--	--	5597,61	3642,22	5258,35	4291,64	4133,23	6641,36
YPR012W	--	--	--	+3,3	+5	17162,57	13645,56	21653,71	15623,38	56079,97	85364,36
YPR013C	--	--	--	--	--	6625,52	4692,75	5952,55	4827,82	4934,19	4550,99
YPR014C	--	--	--	--	--	7329,25	9943,55	7816,08	8613,04	8036,96	5793,30
YPR015C	--	--	--	--	+3,1	5708,36	5766,06	6494,62	6732,76	6387,00	17830,69
YPR016C	--	+1,5	--	--	--	4065,09	4548,73	6153,15	5227,26	3525,69	3282,37
YPR017C	--	--	--	--	--	8680,62	9088,07	9451,55	7401,99	7625,63	9315,50
YPR018W	--	--	--	--	--	7354,74	6266,03	6487,39	5665,26	6212,14	10202,38
YPR019W	--	--	--	--	--	4067,09	3243,32	4171,48	3956,29	4179,45	4193,97
YPR020W	--	--	--	--	+2,2	8268,24	7869,22	7258,61	6917,91	6679,39	18469,78
YPR021C	--	--	--	--	--	3530,40	2977,61	3920,96	3449,22	3349,89	3590,23
YPR022C	--	--	--	--	--	4378,20	3600,47	4686,64	4707,37	4550,64	6515,76
YPR023C	--	--	--	--	+2	6838,46	5399,21	6565,83	5784,19	4654,62	13782,51
YPR024W	--	--	-1,9	--	--	12198,56	9346,84	8805,33	6284,90	14347,56	17247,77
YPR025C	--	--	--	--	+3	5836,45	4937,28	6838,34	5799,06	5919,45	17608,04
YPR026W	--	--	--	--	+2,5	27973,74	31931,02	27010,35	31085,84	40304,60	70329,77
YPR027C	--	--	--	-1,6	--	14036,89	13665,94	13028,15	10539,92	8673,57	9772,35
YPR028W	--	--	--	+1,8	+1,6	19738,57	22960,92	29603,38	24133,36	35084,64	32078,05
YPR029C	--	--	--	--	--	7071,59	5649,29	5081,84	6283,52	5949,96	6643,87
YPR030W	--	-1,5	--	-1,6	+2	17656,89	16376,88	11563,06	14073,52	11068,37	34529,35
YPR031W	--	--	--	--	+2,2	5106,98	4165,75	4860,92	4827,11	5311,04	11036,26
YPR032W	--	--	--	--	+2,2	4420,40	3818,35	4094,27	4499,85	4560,39	9808,55
YPR033C	--	--	--	--	--	12263,26	12443,24	10577,36	11128,12	12110,33	8225,94
YPR034W	--	--	--	--	--	8477,88	5702,39	6046,29	6291,37	6059,94	6477,28
YPR035W	-2,7	-2,8	-3,1	-2,3	-2,8	66201,09	24109,14	23968,60	21703,37	29321,53	23826,15
YPR036W	--	-1,6	--	-1,7	--	105937,94	95335,41	66320,00	71169,28	61517,73	75741,10
YPR037C	--	--	-2,2	-2,6	-2,3	247382,69	198958,29	208660,86	110570,24	93353,54	106788,72
YPR038W	--	--	--	--	--	7019,24	5850,69	6589,84	5952,58	8446,95	8453,95
YPR039W	--	--	--	--	+1,7	4754,75	4210,33	5225,14	4750,93	4879,61	8152,54
YPR040W	--	--	--	--	+2,7	8523,58	7850,09	10057,72	7684,33	8978,14	23247,87
YPR041W	--	--	--	--	-2,1	35572,37	40467,74	31910,60	28486,75	38091,80	17257,60
YPR042C	--	--	--	--	--	6206,66	5942,07	5573,77	5514,55	5206,20	4588,51

ORF	Änderungsfaktor					Normalisierte Signalintensität					
	10 min	20 min	30 min	16 h	5d	0 min	10 min	20 min	30 min	16 h	5d
YPR043W	--	--	--	-1,9	-2,1	291481,74	280793,61	360312,57	282185,86	154987,40	141505,60
YPR044C	--	--	--	-2,1	-1,9	124961,83	170978,26	162254,37	164564,27	60479,34	67189,07
YPR045C	--	--	--	--	+2,2	12481,16	11008,69	12775,37	10486,37	13043,66	27992,97
YPR046W	--	--	--	--	--	4590,71	4476,38	5375,13	5091,34	5412,54	4799,65
YPR047W	--	--	--	--	--	3966,75	3688,38	4442,61	3917,17	4729,72	5552,78
YPR048W	--	--	--	--	--	4283,32	4101,33	4918,56	5535,84	6238,06	4797,69
YPR049C	--	-1,6	--	-2	-1,9	110562,37	120946,70	70861,53	86612,04	56110,45	59354,03
YPR050C	--	--	--	-1,6	--	15436,41	13323,71	12968,02	10785,03	9687,44	13425,15
YPR051W	--	--	--	--	--	11388,33	12676,85	12327,04	13923,33	11366,29	14011,64
YPR052C	--	+2,1	--	+2,6	+3,8	8368,95	9551,39	17424,74	12247,82	21596,82	31685,72
YPR053C	--	--	--	--	--	19368,49	20646,42	23283,83	17380,84	25530,27	17117,79
YPR054W	--	--	--	-1,6	--	12026,89	10371,91	11239,89	8712,99	7452,38	13440,75
YPR055W	--	--	--	--	+1,7	11976,14	9869,39	11011,44	10461,02	10292,41	19981,78
YPR056W	--	--	--	+1,6	--	4525,64	5153,49	5659,61	5896,65	7077,42	5863,17
YPR057W	--	--	--	--	+2,1	4711,17	4050,72	5366,79	4430,30	6104,81	9905,38
YPR058W	--	--	--	--	-1,6	8249,97	7975,13	9216,49	8462,16	6268,69	5201,49
YPR059C	--	--	--	--	--	9499,82	7001,76	10374,68	8525,78	6943,59	8553,00
YPR060C	--	+1,8	--	--	--	9718,80	7927,78	17394,33	9514,89	13776,73	12982,00
YPR061C	--	--	--	--	--	9462,61	8784,30	9822,42	8369,14	9151,98	9427,06
YPR062W	--	--	--	+2	--	39905,29	39303,63	40545,46	44653,15	80660,87	39986,62
YPR063C	--	+1,7	--	+2,1	-1,6	10900,29	12783,42	18116,59	13009,59	23065,44	6775,81
YPR064W	--	--	--	--	--	4093,92	4120,60	5077,64	4927,68	4703,59	3940,65
YPR065W	-1,7	-1,6	-1,8	--	--	12874,98	7364,61	8119,78	7152,56	16091,19	11653,42
YPR066W	-2,5	-2,2	-2,8	-3,7	-3,3	26883,36	10666,55	12458,19	9718,61	7200,02	8123,24
YPR067W	--	--	--	--	--	7447,94	6378,16	8143,27	8717,82	6451,28	5506,48
YPR068C	--	--	--	+1,8	--	3022,94	2981,29	4158,49	3815,95	5495,14	4021,45
YPR069C	--	--	--	--	--	4158,93	3197,23	3741,43	4343,18	3813,80	4608,56
YPR070W	--	--	+1,5	--	--	3063,61	3306,92	4491,06	4634,53	3996,35	2661,18
YPR071W	--	--	--	--	--	3253,39	3526,35	4103,17	3487,57	3719,47	3398,99
YPR072W	--	-1,6	--	--	-1,8	14145,81	10034,24	8874,71	9493,50	12563,52	7755,77
YPR073C	--	--	--	--	-1,6	10045,06	7827,68	8562,14	8397,52	11039,48	6211,86
YPR074C	--	--	--	--	--	4781,67	4352,41	5134,57	4426,25	4490,56	4735,64
YPR075C	--	--	--	--	--	6016,26	4762,65	6266,09	5253,09	5937,54	5726,38
YPR076W	--	--	--	--	--	5036,66	4434,21	5467,31	5227,95	4985,18	6690,51
YPR077C	--	--	--	--	+1,6	4564,54	4532,93	5231,97	4628,67	4425,64	7266,20
YPR078C	--	--	--	--	+1,7	4245,27	3917,04	4743,75	5250,48	4562,92	7204,15
YPR079W	--	--	--	--	+2	5808,75	4961,10	6601,85	5013,11	6198,36	11776,39
YPR080W	--	--	--	--	-6,2	1601090,62	1935825,04	1846545,66	1626213,13	1594722,78	257662,61
YPR081C	-1,5	-1,7	-1,7	-2,1	--	16004,31	10574,22	9658,17	9267,62	7691,53	12250,46
YPR082C	--	--	--	--	--	4438,50	4081,09	5613,58	5272,53	5008,25	4355,98
YPR083W	--	--	--	-1,7	-1,9	5988,92	4027,23	5324,40	4183,21	3595,97	3170,47
YPR084W	--	+1,9	--	+1,5	--	4889,62	4452,28	9529,71	6331,20	7390,85	6820,31
YPR085C	--	--	--	--	--	6040,42	4619,01	6110,33	6076,29	5995,49	7678,26
YPR086W	--	--	-1,7	--	-2,7	45292,86	36543,15	36068,33	26238,01	31050,19	16638,42
YPR087W	--	--	--	--	--	30024,95	23194,89	42520,94	41944,08	32397,03	22096,83
YPR088C	--	--	--	--	-1,6	36941,56	26495,65	41895,69	35731,64	39269,86	23055,52
YPR089W	--	--	--	--	--	5601,04	4187,99	5785,21	5594,81	7292,23	7067,12
YPR090W	--	--	--	--	--	8334,81	7159,08	7893,36	6683,82	9135,58	12063,03
YPR091C	-1,9	-2	-2,2	-1,8	-1,7	26373,53	13798,15	13522,10	11900,89	14387,75	15964,97
YPR092W	--	--	--	--	--	6860,29	5236,77	8469,20	5505,60	6863,45	9812,36
YPR093C	--	--	+1,6	+1,7	--	8851,81	12046,21	12275,71	14549,87	14999,70	11719,66
YPR094W	--	--	--	--	--	4669,60	4203,71	6568,04	4781,93	5480,08	4832,69
YPR095C	--	--	--	--	--	3346,51	3549,24	4417,20	3115,31	3848,40	2414,38
YPR096C	--	--	--	--	--	5769,43	4657,17	5975,60	4575,57	5294,53	5113,47
YPR097W	--	--	--	--	+2	6500,74	5326,43	5210,19	5452,38	7100,44	12780,98
YPR098C	--	--	--	--	+7,4	9133,87	8658,91	10522,41	9629,29	10831,90	67317,55
YPR099C	--	--	--	-2	-1,7	59135,21	72575,06	46052,28	54752,55	29751,20	35832,73
YPR100W	--	--	--	--	+2	8102,01	7017,44	7376,58	8090,26	6030,59	16601,58
YPR101W	--	--	--	--	-2,7	64106,87	83612,36	55991,48	74477,74	57412,53	23968,92
YPR102C	--	--	--	--	-2,8	107519,52	129708,04	121447,36	158897,69	131679,37	37960,04
YPR103W	--	--	--	--	--	30616,63	27477,51	25426,24	21149,98	21138,23	24387,96
YPR104C	--	--	--	--	--	4276,55	3344,83	3951,49	4585,40	4512,47	4749,11



ORF	Änderungsfaktor					Normalisierte Signalintensität					
	10 min	20 min	30 min	16 h	5d	0 min	10 min	20 min	30 min	16 h	5d
YPR105C	--	--	--	--	--	3484,07	2975,86	4515,84	3490,45	4245,39	4904,74
YPR106W	--	--	--	--	--	5560,23	4494,41	5298,64	5177,55	4746,68	7094,74
YPR107C	--	+1,7	--	--	--	9761,42	8700,66	17003,05	11765,53	6990,25	14201,96
YPR108W	--	+1,5	--	+1,8	+2,9	10149,72	9371,14	15579,15	9892,25	18622,44	29911,30
YPR109W	--	--	--	--	--	6504,05	5120,85	8924,13	5568,63	6364,98	9188,49
YPR110C	--	--	--	+1,8	-1,7	17504,13	24995,43	20163,36	16216,76	31105,20	10213,89
YPR111W	--	--	--	--	--	4831,29	4366,14	4336,63	5036,21	4819,29	5745,67
YPR112C	--	--	--	--	--	10713,67	10259,01	10067,88	9775,13	11069,63	7921,98
YPR113W	--	--	--	--	-1,5	20767,01	19442,09	15406,05	17849,61	19137,03	13491,27
YPR114W	--	--	--	--	--	12286,20	13123,30	14328,87	8846,12	12539,00	13572,19
YPR115W	--	--	--	+3	+2	5502,21	5086,72	6086,29	6600,46	16572,50	11167,45
YPR116W	--	--	--	--	--	4366,29	3859,23	4506,05	4239,10	4440,63	4135,61
YPR117W	--	--	--	--	--	3354,88	3278,28	3819,81	3738,94	2805,44	2251,86
YPR118W	--	--	--	-1,8	--	14566,09	10975,88	11780,72	12574,84	8102,93	11348,22
YPR119W	--	--	--	-1,5	--	7698,76	6463,59	7816,11	6633,15	5086,00	9939,13
YPR120C	--	--	--	--	+2	5524,01	7190,52	7073,66	5849,10	6631,44	11192,04
YPR121W	--	--	--	--	--	5905,12	4851,35	7121,96	5206,83	5452,76	8854,66
YPR122W	--	--	--	--	+2,7	3841,85	3637,19	4342,92	3634,58	4892,88	10410,20
YPR123C	--	--	--	--	--	6565,00	4939,82	5286,63	4922,51	6709,44	6869,26
YPR124W	--	--	--	--	-1,6	11527,22	10767,75	10212,25	8908,47	16033,63	7333,30
YPR125W	--	-2,1	-1,8	-2,5	--	50655,12	35910,32	24065,76	27940,52	20551,33	39688,78
YPR126C	--	--	--	-1,9	--	15117,57	13673,21	14884,08	14532,50	7870,66	18281,12
YPR127W	--	--	--	--	+8,3	7300,87	5677,88	6371,19	6036,54	7934,58	60479,99
YPR128C	--	--	--	--	--	15856,34	15511,49	13687,80	12963,72	13028,23	11631,03
YPR129W	--	--	--	--	--	14017,29	14661,75	12779,75	13275,08	9939,87	15866,18
YPR130C	--	--	--	-2,3	--	28901,93	20458,29	19301,86	21344,36	12614,07	21987,07
YPR131C	-2	-2,3	-2,5	-2,8	-2,7	54203,82	26594,26	23736,77	21527,95	19027,44	19935,60
YPR132W	--	--	--	--	-2	332416,65	364850,62	338992,04	299848,46	300159,98	169210,88
YPR133C	--	--	--	--	--	12922,86	9879,73	11357,27	10149,31	10826,56	11450,69
YPR134W	--	--	--	--	+1,6	8665,97	8134,70	8508,55	6537,73	9093,29	13754,85
YPR135W	--	--	--	--	+1,7	4975,07	4375,79	5272,11	5283,56	6127,12	8553,95
YPR136C	-1,5	--	-1,7	-2	-2,5	19830,41	12975,88	15310,14	11675,71	9893,57	8032,94
YPR137W	--	--	--	-1,5	-1,6	13137,86	14195,20	9734,17	8784,06	8666,92	8177,79
YPR138C	--	--	--	--	+3,7	8269,31	9667,99	8001,80	7004,30	12111,95	30253,85
YPR139C	--	--	--	--	+1,7	9142,95	7983,90	8225,53	8461,91	10053,61	15161,39
YPR140W	--	--	--	--	+1,9	4785,37	3532,23	4862,30	4651,54	3342,33	8864,40
YPR141C	--	--	--	--	+1,9	6207,51	4429,93	6954,00	6272,04	6125,49	11891,77
YPR142C	--	--	--	--	--	14278,96	12323,06	13559,83	11768,18	15851,21	10451,59
YPR143W	--	--	-1,7	--	--	14570,72	12471,39	11528,73	8595,17	12371,42	14291,72
YPR144C	--	--	--	--	--	31198,34	31733,26	37317,53	29077,19	36219,68	32061,72
YPR145W	--	--	--	--	-3,2	88057,32	69579,74	68353,74	71496,32	90399,28	27824,36
YPR146C	--	--	--	--	+2,2	7010,83	6015,06	8742,72	6073,38	7905,59	15749,99
YPR147C	--	--	--	-1,5	--	13074,63	13069,85	11576,92	9293,53	8690,65	15569,69
YPR148C	--	--	-1,6	--	--	15412,51	12202,04	12020,27	9477,46	11714,88	22631,02
YPR149W	--	--	--	+2,5	+2,8	34170,86	31601,07	34799,98	31455,59	86676,98	95282,95
YPR150W	--	--	--	--	+5,3	6693,75	6865,11	8004,83	6548,97	5141,19	35524,08
YPR151C	--	--	--	--	+4,2	4074,24	3801,62	5498,11	5147,68	3689,97	17179,25
YPR152C	--	--	--	--	--	6167,05	5719,63	5609,44	5426,68	4876,21	6874,59
YPR153W	--	--	--	--	--	6617,84	5359,55	8295,47	6129,66	5491,91	8901,31
YPR154W	--	--	--	--	--	8677,02	8126,17	9637,81	7455,62	9366,66	8540,30
YPR155C	--	--	--	--	--	15081,20	13714,05	10905,78	12934,45	14636,97	13416,01
YPR156C	--	-1,5	-1,7	--	--	44801,76	33673,08	29863,53	26148,95	57270,07	34135,54
YPR157W	--	--	-1,6	-1,6	-4,3	43876,55	33683,77	29641,91	28073,27	27177,99	10089,79
YPR158W	--	--	--	-1,6	--	12221,33	9635,93	13264,60	9889,04	7853,28	15949,26
YPR159W	--	--	+1,5	--	--	3351,27	3551,37	3886,70	5080,98	3871,35	4145,69
YPR160W	--	+1,5	--	--	--	2962,07	2718,31	4565,33	3584,37	3781,62	2976,69
YPR161C	--	--	--	--	--	3701,01	3251,49	4555,84	3798,29	4584,97	3689,45
YPR162C	--	--	--	--	--	9464,46	6700,07	6404,70	6961,20	9862,81	8266,61
YPR163C	--	--	--	--	-3,5	43123,93	37631,36	43342,52	30946,06	48853,97	12472,36
YPR164W	--	--	--	--	--	4479,21	3502,17	3859,60	3821,20	3564,04	6291,73
YPR165W	--	--	--	--	-3,2	55317,08	52088,45	44823,61	44452,33	51063,17	17158,80
YPR166C	--	--	--	--	--	11192,06	9759,71	14878,75	13426,38	8875,63	13444,13



ORF	Änderungsfaktor					Normalisierte Signalintensität					
	10 min	20 min	30 min	16 h	5d	0 min	10 min	20 min	30 min	16 h	5d
YPR167C	--	--	--	--	--	6232,40	8165,68	8624,89	8764,87	6566,59	8980,88
YPR168W	--	+1,8	--	--	--	4186,61	5415,23	7453,78	5346,26	4493,44	4038,03
YPR169W	--	--	--	--	--	8387,08	5808,40	6266,65	5986,77	6414,18	11213,77
YPR170C	-1,9	-1,5	-1,6	-1,6	--	11292,19	5955,83	7334,14	7093,85	6995,14	11166,12
YPR171W	--	--	--	--	--	4243,06	3747,21	5247,83	3928,69	5175,13	4613,08
YPR172W	--	--	--	--	-1,8	4128,38	3301,09	4750,63	3634,82	4632,55	2348,43
YPR173C	--	--	--	--	-1,8	9886,84	7789,54	8451,31	7621,20	8880,27	5568,65
YPR174C	--	--	--	--	--	6642,35	4836,71	5835,41	7427,76	7813,33	6944,29
YPR175W	--	-1,8	-1,6	-1,6	-2,9	33323,11	29856,03	18924,95	20917,63	20348,58	11442,07
YPR176C	--	--	--	--	-1,7	31901,20	23666,03	44771,36	36357,25	29946,10	18897,88
YPR177C	--	--	--	--	-1,6	18881,53	17137,96	22493,20	20340,76	14465,77	12162,98
YPR178W	--	--	--	--	--	8436,74	6449,70	7423,77	5768,08	6572,81	8219,09
YPR179C	-1,6	--	--	--	+1,5	6667,16	4286,88	6015,66	4998,33	5494,73	10056,02
YPR180W	--	--	--	--	+1,6	6864,97	5981,75	6752,01	6189,17	6442,31	10977,84
YPR181C	--	--	-1,6	--	-3	41679,38	30872,91	30404,25	25949,46	35476,75	13965,33
YPR182W	--	--	--	--	--	15853,66	18325,39	16310,13	15992,34	15826,89	20024,84
YPR183W	--	--	--	+1,7	-1,7	13670,55	17856,27	15429,55	13373,76	23322,99	7848,53
YPR184W	--	--	--	--	--	3701,57	3039,30	5490,71	3869,02	4322,44	2760,32
YPR185W	--	--	--	--	--	4965,10	4903,96	5420,45	5715,58	4653,14	4289,36
YPR186C	--	--	--	--	--	6569,97	5491,40	5744,85	6234,44	9639,41	9596,24
YPR187W	--	--	--	--	--	14977,34	17097,62	18567,09	18777,39	17033,70	11074,43
YPR188C	--	--	--	--	+2,2	9265,59	9756,36	11377,05	13439,01	12743,51	20559,02
YPR189W	--	--	--	--	--	4073,54	3575,97	4726,57	3620,80	3418,91	3292,34
YPR190C	--	--	--	--	--	6430,51	7052,69	7105,40	5199,46	7960,82	5474,37
YPR191W	--	--	-1,8	-1,5	-2,6	299996,21	290848,26	311062,14	166147,47	193708,22	115586,89
YPR192W	--	--	--	--	--	13024,91	17923,36	9852,06	9873,28	9105,05	15680,71
YPR193C	--	--	--	+1,7	+2,8	4817,98	4313,75	5190,96	5028,90	7963,59	13389,19
YPR194C	--	--	--	--	--	4295,33	3020,54	3558,94	3993,98	5286,73	3789,56
YPR195C	--	--	--	--	--	3783,69	3120,75	3540,05	3359,78	3761,85	3634,16
YPR196W	--	--	--	--	--	5068,29	3413,63	4531,73	3918,84	4302,94	5021,45
YPR197C	-1,6	-1,5	-1,6	-2,1	--	6048,14	3673,16	4012,15	3774,36	2944,40	6425,68
YPR198W	--	--	-1,6	--	-1,5	7491,13	5923,86	6294,27	4715,65	8298,92	4966,69
YPR199C	-1,7	-1,7	-2,1	--	--	19125,35	11423,21	11480,60	9022,60	16165,69	13850,54
YPR200C	--	--	--	--	--	4623,34	4665,47	6401,83	5757,68	4875,45	5658,89
YPR201W	--	--	--	--	--	4023,08	4553,79	5317,74	3952,34	3627,25	5149,89
YPR202W	--	--	--	--	+2,5	11876,03	9180,71	10375,83	11824,78	14208,06	29152,71
YPR203W	--	--	--	-1,6	-1,5	43720,17	43946,96	33044,20	39376,87	27300,22	28805,59
YPR204W	--	-1,8	-1,5	--	+2,4	41557,77	30099,47	23555,19	27637,54	33382,52	101049,38

## 6.2. Ergebnisse der PCR

**Tabelle 6.5:** Ergebnisse der PCR-Amplifikationen von drei unabhängigen Durchläufen. Die Auswertung erfolgte nach den Kriterien: „+“ eindeutiges Fragment, Länge stimmt mit dem Datenbankeintrag überein, „-“, kein detektierbares Produkt, „m“ mehrere Fragmente unterschiedlicher Größe, „s“ kein eindeutiges Fragment, Schmier, „n“ abgeschätzte Fragmentlänge n in bp, wenn abweichend von Datenbankeintrag.

ORF	Länge [bp]	1.PCR	2.PCR	3.PCR	ORF	Länge [bp]	1.PCR	2.PCR	3.PCR
YAL001C	3483	+	+	-	YAR002A	660	-	-	-
YAL002W	3531	+	+	+	YAR002W	1620	+	+	+
YAL003W	987	+	+	+	YAR003W	1281	+	+	+
YAL004W	648	+	+	-	YAR007C	1866	+	+	+
YAL005C	1929	+	+	+	YAR008W	828	+	+	-
YAL007C	648	+	+	+	YAR009C	3591	+	+	-
YAL008W	597	+	+	+	YAR010C	1323	-	-	-
YAL009W	780	-	-	-	YAR014C	2109	+	-	+
YAL010C	1482	+	+	+	YAR015W	921	+	+	+
YAL011W	1917	+	+	+	YAR018C	1308	+	+	+
YAL012W	1185	+	+	+	YAR019C	2925	+	+	+
YAL013W	1089	+	+	+	YAR020C	168	+	+	+
YAL014C	618	+	+	+	YAR023C	540	+	+	+
YAL015C	1200	+	+	+	YAR027W	708	+	+	+
YAL016W	1908	+	+	+	YAR028W	705	+	+	+
YAL017W	4071	+	+	+	YAR029W	225	+	+	+
YAL018C	978	+	+	+	YAR030C	342	+	+	+
YAL019W	3396	+	+	+	YAR031W	897	+	+	+
YAL020C	1002	+	+	+	YAR033W	705	+	+	+
YAL021C	2514	+	~3500	-	YAR035W	2064	+	+	+
YAL022C	1554	+	+	+	YAR037W	600	+	+	+
YAL023C	2277	+	+	+	YAR040C	360	+	+	+
YAL024C	4308	+	+	+	YAR042W	771	+	+	+
YAL025C	921	+	+	+	YAR043C	350	+	+	+
YAL026C	4068	+	+	+	YAR044W	2580	+	+	+
YAL027W	786	+	+	+	YAR047C	321	+	+	+
YAL028A	~700	+	+	~550	YAR050W	1537	+	-	-
YAL028W	1587	+	+	~1100	YAR052C	+	~500	-	-
YAL029C	4416	+	+	-	YAR053W	98	+	+	+
YAL030W	354	+	+	+	YAR060C	111	+	+	+
YAL031C	2283	+	+	+	YAR061W	67	+	+	+
YAL032C	1140	+	+	+	YAR062W	198	+	+	+
YAL033W	522	+	+	+	YAR064W	99	+	m	+
YAL034A	354	+	+	+	YAR068W	161	-	-	-
YAL034C	1392	+	+	+	YAR069C	97	+	+	+
YAL035W	3009	+	+	+	YAR070C	99	-	-	-
YAL036C	1110	+	+	+	YAR071W	467	+	+	+
YAL037W	804	+	+	+	YAR073W	403	+	+	+
YAL038W	1503	+	+	+	YAR074C	157	+	+	+
YAL039C	810	+	+	+	YBL001C	315	+	+	+
YAL040C	1743	+	+	+	YBL002W	396	+	+	-
YAL041W	2565	+	+	-	YBL003C	399	+	+	+
YAL042W	1248	+	+	-	YBL004W	7482	-	-	-
YAL043C	2358	+	+	+	YBL005W1	5268	-	-	-
YAL044C	534	+	+	+	YBL005W2	1323	+	+	+
YAL045C	309	+	+	+	YBL005W3	2931	+	+	+
YAL046C	357	+	+	+	YBL006C	438	+	+	+
YAL047C	1869	+	+	+	YBL007C	3735	+	+	-
YAL048C	1989	+	+	+	YBL008W	2523	+	-	-
YAL049C	741	+	+	+	YBL009W	2031	+	+	+
YAL051W	3189	-	-	-	YBL010C	843	+	+	+
YAL053W	2352	+	+	+	YBL011W	2280	+	+	+
YAL054C	2142	+	+	+	YBL012C	402	+	+	+
YAL055W	543	+	+	+	YBL013W	1182	+	+	+
YAL056W	2544	-	-	-	YBL014C	2685	+	+	+
YAL058W	1509	+	+	+	YBL015W	1581	+	+	+
YAL059W	639	+	+	+	YBL016W	1062	+	+	+
YAL060W	1149	+	+	+	YBL017C	4740	+	+	+
YAL061W	1254	+	+	+	YBL018C	402	+	+	+
YAL062W	1374	+	+	+	YBL019W	1563	+	+	-
YAL063C	3969	+	s	+	YBL020W	1725	+	+	+
YAL064W	327	+	+	+	YBL021C	435	+	+	+
YAL065C	387	+	+	+	YBL022C	3402	+	+	+
YAL066W	309	+	+	+	YBL023C	2607	+	+	+
YAL067C	1782	+	+	+	YBL024W	2055	+	+	+

ORF	Länge [bp]	1.PCR	2.PCR	3.PCR
YBL025W	438	+	+	+
YBL026W	288	+	+	+
YBL027W	954	+	+	+
YBL028C	321	+	+	+
YBL029W	1131	+	-	+
YBL030C	957	+	+	+
YBL031W	1017	+	+	+
YBL032W	1146	+	+	+
YBL033C	1038	-	+	+
YBL034C	4542	+	+	+
YBL035C	2118	+	+	+
YBL036C	774	+	+	+
YBL037W	3078	+	+	+
YBL038W	699	+	-	-
YBL039C	1740	+	+	+
YBL040C	660	+	+	+
YBL041W	726	+	+	+
YBL042C	1920	+	+	-
YBL043W	774	+	+	+
YBL044W	369	+	+	+
YBL045C	1374	+	+	-
YBL046W	1326	+	+	+
YBL047C	4146	+	+	-
YBL048W	312	+	+	+
YBL049W	417	+	+	+
YBL050W	879	+	+	+
YBL051C	2007	+	+	+
YBL052C	2496	+	+	+
YBL053W	375	+	+	+
YBL054W	1578	+	+	+
YBL055C	1257	+	+	+
YBL056W	1407	+	+	+
YBL057C	645	+	+	+
YBL058W	1272	+	+	+
YBL059W	582	+	+	+
YBL060W	2064	+	+	+
YBL061C	2091	+	+	+
YBL062W	381	+	+	+
YBL063W	3336	+	+	+
YBL064C	786	+	+	+
YBL065W	345	+	+	-
YBL066C	3174	+	+	+
YBL067C	2067	+	+	+
YBL068W	1068	+	+	+
YBL069W	1290	+	+	+
YBL070C	321	-	-	-
YBL071C	309	-	+	-
YBL072C	603	+	+	+
YBL073W	312	+	+	+
YBL074C	1068	+	+	+
YBL075C	1950	+	+	+
YBL076C	3219	+	+	+
YBL077W	432	+	+	+
YBL078C	354	+	+	+
YBL079W	4509	+	+	+
YBL080C	1626	+	+	+
YBL081W	1107	+	+	+
YBL082C	1377	+	+	+
YBL083C	426	+	+	+
YBL084C	2277	-	-	-
YBL085W	2943	-	-	-
YBL086C	1401	+	+	+
YBL087C	414	+	~1200	+
YBL088C	8364	-	-	-
YBL089W	1530	+	+	+
YBL090W	534	+	+	+
YBL091C	1266	+	+	+
YBL092W	393	+	+	+
YBL093C	663	+	-	+
YBL094C	333	+	+	+
YBL095W	813	+	+	+
YBL096C	309	+	+	+
YBL097W	2187	+	m	m
YBL098W	1383	+	m	+
YBL099W	1638	+	+	+
YBL100C	315	+	+	+

ORF	Länge [bp]	1.PCR	2.PCR	3.PCR
YBL101C	5313	+	+	-
YBL101W	1317	+	+	+
YBL101W	3234	+	~5000	~5000
YBL102W	648	+	+	+
YBL103C	1461	+	+	~1000
YBL104C	2778	+	+	+
YBL105C	3456	+	+	+
YBL106C	3033	+	+	-
YBL107C	591	+	+	+
YBL108W	306	+	+	+
YBL109W	336	+	+	+
YBL110C	800	+	+	+
YBL111C	2004	+	m	+
YBL112C	318	+	+	+
YBL113C	2379	+	+	+
YBR001C	2343	+	+	+
YBR002C	861	+	+	+
YBR003W	1422	+	+	+
YBR004C	1302	+	+	+
YBR005W	642	+	+	+
YBR006W	1308	+	+	+
YBR007C	2211	+	+	+
YBR008C	1647	+	+	+
YBR009C	312	+	+	+
YBR010W	411	+	+	+
YBR011C	864	+	+	+
YBR012C	420	+	+	+
YBR012W	1323	+	+	+
YBR012W	5271	+	+	-
YBR013C	390	+	+	+
YBR014C	612	+	+	+
YBR015C	1794	+	+	+
YBR016W	387	+	+	+
YBR017C	2757	+	+	+
YBR018C	1101	+	+	+
YBR019C	2100	+	+	+
YBR020W	1587	+	+	-
YBR021W	1902	-	-	-
YBR022W	534	+	+	+
YBR023C	3498	+	+	+
YBR024W	906	+	+	+
YBR025C	1185	+	+	+
YBR026C	1143	+	+	+
YBR027C	333	+	+	+
YBR028C	1578	+	+	+
YBR029C	1374	+	+	-
YBR030W	1659	+	+	+
YBR031W	1089	+	+	+
YBR032W	303	+	+	+
YBR033W	2760	+	+	+
YBR034C	1047	+	+	+
YBR035C	687	+	+	+
YBR036C	1233	+	+	+
YBR037C	888	+	+	+
YBR038W	2892	+	-	-
YBR039W	936	+	+	+
YBR040W	897	+	+	+
YBR041W	1872	+	-	-
YBR042C	1194	+	+	+
YBR043C	2070	+	+	+
YBR044C	1722	+	+	+
YBR045C	1722	-	-	-
YBR046C	1005	+	+	-
YBR047W	528	+	+	+
YBR048W	471	-	~750	~750
YBR049C	2433	+	+	+
YBR050C	1017	+	+	+
YBR051W	351	+	+	+
YBR052C	633	+	+	+
YBR053C	1077	+	+	+
YBR054W	1035	+	+	+
YBR055C	2700	+	+	+
YBR056W	1506	+	+	+
YBR057C	1101	+	+	+
YBR058C	2412	+	+	+
YBR059C	3327	+	+	+

ORF	Länge [bp]	1.PCR	2.PCR	3.PCR
YBR060C	1863	+	+	+
YBR061C	933	+	+	+
YBR062C	348	+	+	+
YBR063C	1215	+	+	+
YBR064W	429	+	+	+
YBR065C	1095	+	+	+
YBR066C	663	+	+	-
YBR067C	633	+	+	+
YBR068C	1830	+	-	-
YBR069C	1860	+	+	+
YBR070C	714	+	+	+
YBR071W	636	+	+	+
YBR072W	645	-	-	-
YBR073W	2877	+	+	+
YBR074W	1242	+	+	+
YBR075W	1383	+	+	+
YBR076W	1020	+	+	+
YBR077C	489	+	+	+
YBR078W	1407	+	+	+
YBR079C	2895	+	+	+
YBR080C	2277	+	+	+
YBR081C	3999	+	+	+
YBR082C	447	+	+	+
YBR083W	1461	+	+	+
YBR084C	1076	+	+	+
YBR084W	2928	+	+	+
YBR085W	924	+	+	+
YBR086C	2841	+	+	+
YBR087W	1065	+	+	+
YBR088C	777	+	+	+
YBR089W	600	+	+	+
YBR090C	300	-	+	+
YBR090C	726	+	+	+
YBR091C	330	+	-	-
YBR092C	1404	+	+	-
YBR093C	1404	+	+	+
YBR094W	2262	+	+	+
YBR095C	1362	+	+	+
YBR096W	693	+	+	+
YBR097W	4365	-	+	-
YBR098W	1416	+	+	-
YBR099C	384	+	+	+
YBR100W	339	+	+	+
YBR101C	873	+	+	+
YBR102C	2262	+	+	+
YBR103W	1608	+	+	+
YBR104W	990	+	+	+
YBR105C	1089	+	+	+
YBR106W	567	+	+	+
YBR107C	738	+	+	+
YBR108W	2547	+	+	+
YBR109C	444	+	+	+
YBR110W	1350	+	+	+
YBR111C	696	+	+	+
YBR112C	2901	+	+	-
YBR113W	483	+	+	+
YBR114W	2373	+	+	-
YBR115C	4179	+	+	+
YBR116C	528	+	+	+
YBR117C	2046	+	+	+
YBR118W	1377	+	+	+
YBR119W	897	+	+	+
YBR120C	489	+	+	+
YBR121C	2004	+	+	+
YBR122C	591	+	+	+
YBR123C	1950	+	+	+
YBR124W	360	+	+	+
YBR125C	1182	+	+	+
YBR126C	1488	+	+	+
YBR127C	1554	+	+	+
YBR128C	1035	+	+	+
YBR129C	987	+	+	+
YBR130C	1278	+	+	+
YBR131W	2115	+	+	+
YBR132C	1791	+	+	+
YBR133C	2484	+	+	+

ORF	Länge [bp]	1.PCR	2.PCR	3.PCR
YBR134W	402	+	+	+
YBR135W	453	+	+	+
YBR136W	7107	+	+	-
YBR137W	540	+	+	-
YBR138C	1575	+	+	+
YBR139W	1527	+	+	+
YBR140C	9279	-	-	-
YBR141C	1014	+	+	+
YBR142W	2322	+	+	+
YBR143C	1314	+	+	+
YBR144C	315	+	+	+
YBR145W	1056	+	+	+
YBR146W	837	+	-	-
YBR147W	891	+	+	+
YBR148W	1830	+	+	+
YBR149W	1035	+	+	+
YBR150C	3285	+	+	+
YBR151W	951	+	-	-
YBR152W	876	+	+	+
YBR153W	735	+	+	+
YBR154C	648	+	+	+
YBR155W	1158	+	+	+
YBR156C	2097	+	+	+
YBR157C	321	+	+	+
YBR158W	1650	+	+	+
YBR159W	1044	+	+	+
YBR160W	897	+	+	+
YBR161W	1131	+	+	+
YBR162C	1368	+	+	+
YBR162W	198	+	+	+
YBR163W	1758	+	+	+
YBR164C	552	+	+	+
YBR165W	834	+	+	+
YBR166C	1359	+	+	+
YBR167C	423	+	+	+
YBR168W	1242	+	+	+
YBR169C	2082	+	+	+
YBR170C	1743	+	+	+
YBR171W	621	+	+	+
YBR172C	2373	+	+	-
YBR173C	447	+	+	+
YBR174C	315	+	+	+
YBR175W	948	+	+	+
YBR176W	939	+	+	+
YBR177C	1356	+	+	+
YBR178W	375	+	+	+
YBR179C	2568	+	+	+
YBR180W	1719	+	+	+
YBR181C	711	+	+	+
YBR182C	1359	+	+	+
YBR183W	951	+	+	+
YBR184W	1572	+	+	+
YBR185C	837	+	+	+
YBR186W	1611	+	+	+
YBR187W	843	+	+	+
YBR188C	423	+	+	+
YBR189W	1001	+	+	+
YBR190W	312	+	+	+
YBR191W	871	+	+	+
YBR192W	1134	+	+	-
YBR193C	672	+	+	+
YBR194W	372	+	+	+
YBR195C	1269	+	+	+
YBR196C	1665	+	+	+
YBR197C	654	+	+	+
YBR198C	2397	+	+	+
YBR199W	1395	-	-	-
YBR200W	1656	+	+	+
YBR201W	426	+	+	+
YBR202W	2538	+	+	+
YBR203W	2775	+	+	+
YBR204C	1128	+	+	+
YBR205W	1215	+	+	+
YBR206W	324	+	+	+
YBR207W	1398	+	+	+
YBR208C	5508	+	-	-

ORF	Länge [bp]	1.PCR	2.PCR	3.PCR	ORF	Länge [bp]	1.PCR	2.PCR	3.PCR
YBR209W	318	+	+	-	YBR285W	435	+	+	+
YBR210W	429	+	+	+	YBR286W	1614	+	+	+
YBR211C	975	+	+	+	YBR287W	1284	+	+	+
YBR212W	2019	+	+	+	YBR288C	1452	+	+	+
YBR213W	825	+	+	+	YBR289W	2718	+	+	-
YBR214W	1584	+	+	+	YBR290W	966	+	+	+
YBR215W	1872	+	+	+	YBR291C	900	+	+	+
YBR216C	2025	+	+	+	YBR292C	372	+	+	+
YBR217W	561	+	+	+	YBR293W	1425	+	+	+
YBR218C	3543	+	+	+	YBR294W	2580	+	+	+
YBR219C	~750	+	+	+	YBR295W	3651	+	-	+
YBR220C	1683	+	+	+	YBR296C	1725	+	+	+
YBR221C	1101	+	+	+	YBR297W	1407	+	+	+
YBR222C	1632	+	+	+	YBR298C	1845	+	+	-
YBR223C	1635	+	+	+	YBR299W	1755	+	+	+
YBR224W	516	-	-	-	YBR300C	498	+	+	+
YBR225W	2703	+	+	+	YBR301W	363	+	+	+
YBR226C	411	-	-	-	YBR302C	1140	+	+	+
YBR227C	1563	+	+	+	YCL001w	567	-	-	-
YBR228W	915	+	+	+	YCL002C	381	+	+	+
YBR229C	2865	+	+	+	YCL003w	~750	+	+	~600
YBR230C	405	+	+	+	YCL004w	462	+	+	+
YBR231C	912	+	+	+	YCL005W	765	+	+	+
YBR232C	360	+	+	+	YCL006C	330	+	+	+
YBR233W	1242	+	+	+	YCL007c	393	+	+	+
YBR234C	1155	+	+	-	YCL008C	360	+	+	+
YBR235W	3363	+	+	+	YCL009C	930	+	+	+
YBR236C	1311	+	+	+	YCL010C	780	+	+	+
YBR237W	2550	+	+	+	YCL011c	1284	+	+	+
YBR238C	2196	+	+	+	YCL012W	696	+	+	+
YBR239C	1590	+	+	+	YCL013W	~500	+	+	+
YBR240C	1353	+	+	+	YCL014w	2985	+	+	+
YBR241C	1467	+	+	+	YCL016C	930	+	+	+
YBR242W	717	+	+	+	YCL017c	1494	+	+	+
YBR243C	1347	+	+	+	YCL018w	1095	+	m	m
YBR244W	489	+	+	+	YCL019W	5316	+	+	+
YBR245C	3390	+	+	+	YCL020W	1317	+	+	+
YBR246W	1164	+	+	+	YCL021W	6	+	-	-
YBR247C	1452	+	+	+	YCL022C	516	+	+	+
YBR248C	1659	+	+	+	YCL023C	348	+	+	+
YBR249C	1113	+	+	+	YCL024W	2748	+	+	+
YBR250W	1572	+	+	+	YCL025C	1902	+	+	+
YBR251W	924	+	+	+	YCL026C	360	+	+	+
YBR252W	444	+	+	+	YCL027w	1539	+	+	+
YBR253W	366	+	+	+	YCL028W	1218	+	+	+
YBR254C	528	+	+	+	YCL029c	1323	+	+	m
YBR255W	2085	+	+	+	YCL030c	2400	+	+	+
YBR256C	717	+	+	+	YCL031C	894	+	+	+
YBR257W	840	+	+	+	YCL032w	1041	+	~1500	+
YBR258C	429	+	+	+	YCL033C	507	+	~1000	+
YBR259W	2067	+	+	+	YCL034W	798	+	+	+
YBR260C	2001	+	+	+	YCL035C	333	+	+	+
YBR261C	699	+	+	+	YCL036W	1701	+	+	+
YBR262C	321	+	+	+	YCL037c	1401	+	+	+
YBR263W	1698	+	+	+	YCL038C	1587	+	-	-
YBR264C	657	+	+	+	YCL039W	2238	~6000	-	-
YBR265W	963	+	+	-	YCL040w	1503	+	+	+
YBR266C	564	+	+	+	YCL041C	495	-	+	-
YBR267W	888	+	+	+	YCL042W	357	+	+	+
YBR268W	318	+	+	+	YCL043c	1569	+	+	-
YBR269C	393	+	+	+	YCL044C	1254	+	+	+
YBR270C	1638	+	+	+	YCL045C	2283	+	+	+
YBR271W	1260	+	+	+	YCL046W	324	+	+	+
YBR272C	1443	+	+	+	YCL047C	777	+	+	+
YBR273C	1311	+	+	+	YCL048W	1392	+	+	+
YBR274W	1584	+	+	+	YCL049C	939	+	+	+
YBR275C	5751	+	+	+	YCL050c	966	+	+	+
YBR276C	2424	+	+	+	YCL051W	1761	+	+	+
YBR277C	402	+	+	+	YCL052c	1251	+	+	+
YBR278W	606	+	+	+	YCL053C	~500	+	+	+
YBR279W	1338	+	+	+	YCL054W	2175	+	+	+
YBR280C	1929	+	+	+	YCL055W	1008	+	+	+
YBR281C	2637	+	+	+	YCL056C	435	+	+	+
YBR282W	441	+	+	+	YCL057w	2139	+	+	+
YBR283C	1473	+	+	+	YCL058C	459	+	+	+
YBR284W	2394	+	+	+	YCL059C	951	+	+	+

ORF	Länge [bp]	1.PCR	2.PCR	3.PCR
YCL060C	~1000	+	+	+
YCL061C	990	+	+	+
YCL062W	~700	+	+	~500
YCL063W	387	+	+	+
YCL064c	1083	+	+	+
YCL065W	369	+	+	+
YCL066w	528	+	+	+
YCL067c	633	+	+	+
YCL068C	573	+	+	+
YCL069W	1377	+	+	+
YCL070/	1848	+	+	+
YCL074W	927	+	+	+
YCL075W	441	+	+	+
YCL076W	591	+	+	+
YCLX01W	~450	+	+	+
YCLX02C	~450	+	+	+
YCLX03C	~400	+	+	+
YCLX04W	~400	+	+	+
YCLX05C	~300	+	+	+
YCLX06C	~300	+	+	+
YCLX07W	~300	+	+	+
YCLX08C	~400	+	+	+
YCLX09W	~300	+	+	+
YCLX10C	~200	+	+	+
YCLX11W	~400	+	+	+
YCLX12W	~400	+	+	~200
YCR001W	315	-	-	-
YCR002c	969	+	+	+
YCR003w	552	+	+	-
YCR004C	744	+	+	+
YCR005c	1383	+	+	+
YCR006C	474	+	+	+
YCR007C	720	+	+	+
YCR008W	1812	+	+	+
YCR009c	798	-	s	-
YCR010C	852	+	+	+
YCR011c	3150	+	+	~200
YCR012w	1251	+	+	+
YCR013C	648	+	+	+
YCR014c	1749	+	+	+
YCR015C	954	+	+	+
YCR016W	873	+	+	+
YCR017C	2862	-	-	-
YCR018c	678	+	-	-
YCR019w	1092	+	+	+
YCR020C	267	+	+	+
YCR020c	648	+	+	+
YCR021c	999	-	+	+
YCR022C	345	+	+	+
YCR023C	1836	+	+	+
YCR024C	1479	+	+	+
YCR024c	123	+	+	-
YCR025C	411	+	+	+
YCR026C	2232	+	+	+
YCR027C	630	+	+	+
YCR028C	1539	-	-	-
YCR029C	444	+	+	+
YCR029c	~500	+	+	+
YCR030C	2613	+	+	+
YCR031c	414	+	~750	~750
YCR032W	6504	+	+	+
YCR033W	3681	+	+	+
YCR034w	1044	+	+	+
YCR035C	1185	+	+	+
YCR036w	1002	+	+	+
YCR037c	2772	+	+	+
YCR038c	1617	+	+	+
YCR039c	633	+	+	-
YCR040w	528	+	-	-
YCR041W	333	+	+	+
YCR042c	4224	+	+	+
YCR043C	384	+	+	+
YCR044C	1074	+	+	+
YCR045C	1476	+	+	+
YCR046C	510	+	+	+
YCR047C	828	+	+	+

ORF	Länge [bp]	1.PCR	2.PCR	3.PCR
YCR048w	1833	+	+	+
YCR049C	447	+	+	+
YCR050C	309	+	+	+
YCR051W	669	+	+	+
YCR052w	1452	+	+	+
YCR053w	1545	+	~2500	~2500
YCR054C	1692	+	+	+
YCR055C	~1200	+	+	+
YCR056W	~400	+	+	+
YCR057c	1320	+	+	+
YCR058C	~350	+	+	+
YCR059C	777	+	+	+
YCR060W	336	+	+	+
YCR061W	1752	+	+	+
YCR062W	363	+	+	+
YCR063W	474	+	+	+
YCR064C	411	+	+	+
YCR065w	1599	+	-	+
YCR066w	1464	+	+	+
YCR067c	3198	+	+	+
YCR068W	1290	+	+	+
YCR069w	957	+	~500	~300
YCR070w	~600	+	+	~300
YCR071C	366	+	+	+
YCR072C	1548	+	+	+
YCR073C	3945	+	+	+
YCR074C	948	-	-	-
YCR075c	783	+	+	+
YCR076C	753	+	+	+
YCR077C	2394	+	+	+
YCR079W	1308	+	+	+
YCR080W	~700	+	+	~500
YCR081w	4284	+	+	+
YCR082W	387	+	+	+
YCR083W	384	+	+	+
YCR084c	2142	+	+	+
YCR085W	354	+	+	+
YCR086W	573	+	+	+
YCR087W	516	-	-	m
YCR088w	1779	+	+	+
YCR089W	4830	+	+	+
YCR090C	549	-	-	+
YCR091w	2181	+	~1500	+
YCR092c	3144	+	+	+
YCR093w	6327	+	+	+
YCR094W	1176	+	+	+
YCR095C	1089	+	+	+
YCR096c	360	+	+	+
YCR097w	487	+	-	+
YCR097w	447	+	+	+
YCR098c	1557	+	+	+
YCR099C	468	+	+	+
YCR100C	951	+	+	+
YCR101C	549	+	+	+
YCR102C	1107	+	+	+
YCR103C	336	+	+	+
YCR104w	375	+	+	+
YCR105W	1086	+	+	+
YCR106W	2499	+	+	-
YCR107W	1092	+	+	+
YCRX01W	nd	+	+	+
YCRX02C	nd	+	+	+
YCRX03C	nd	+	+	+
YCRX04W	nd	+	+	+
YCRX05W	nd	+	+	+
YCRX06W	nd	+	+	+
YCRX07W	nd	+	+	+
YCRX08W	nd	+	+	+
YCRX09C	nd	+	+	+
YCRX10W	nd	+	+	+
YCRX11W	nd	+	+	+
YCRX12W	nd	+	+	+
YCRX13w	nd	+	+	+
YCRX14W	nd	+	+	+
YCRX15W	nd	+	+	+
YCRX16C	nd	+	+	+

ORF	Länge [bp]	1.PCR	2.PCR	3.PCR	ORF	Länge [bp]	1.PCR	2.PCR	3.PCR
YCRX17W	nd	+	+	+	YDL072c	612	+	+	+
YCRX18C	nd	+	+	+	YDL073w	2955	+	+	+
YCRX19W	nd	+	+	+	YDL074c	2103	+	+	+
YCRX20C	nd	+	+	+	YDL075W	342	+	-	~750
YCRX21C	nd	+	+	+	YDL076c	885	+	+	+
YDL001W	1293	+	+	+	YDL077c	3150	+	+	-
YDL002C	612	+	+	+	YDL078C	1032	+	+	+
YDL003W	1701	+	+	+	YDL079C	1506	+	+	+
YDL004W	483	+	+	+	YDL080c	1830	+	+	+
YDL005c	1296	+	+	+	YDL081C	321	+	+	+
YDL006W	846	+	+	+	YDL082w	965	+	+	+
YDL007W	1314	+	+	+	YDL083C	864	+	+	+
YDL008w	498	+	+	-	YDL084w	1341	+	+	+
YDL009c	324	+	+	+	YDL085w	1638	+	+	-
YDL010w	696	+	+	-	YDL086w	822	+	+	+
YDL011c	324	+	+	+	YDL087c	786	+	+	+
YDL012c	410	+	+	+	YDL088C	1587	+	+	+
YDL013W	1860	+	+	+	YDL089w	1455	+	+	+
YDL014W	984	+	+	+	YDL090C	1296	+	+	+
YDL015c	933	+	+	+	YDL091c	1368	+	+	+
YDL016c	303	+	+	+	YDL092W	441	+	+	+
YDL017W	1524	+	+	+	YDL093W	2232	+	+	+
YDL018c	678	+	+	+	YDL094c	510	+	+	+
YDL019c	3852	+	+	+	YDL095W	2454	+	+	+
YDL020C	1596	+	+	+	YDL096c	327	+	+	+
YDL021W	936	+	+	+	YDL097c	1305	+	+	+
YDL022w	1176	+	+	+	YDL098c	585	+	+	+
YDL023c	321	+	+	+	YDL099w	1026	+	+	+
YDL024c	1407	+	+	+	YDL100c	1065	+	+	+
YDL025c	1863	+	+	+	YDL101C	1542	+	+	+
YDL026w	312	+	+	+	YDL102W	3294	+	+	+
YDL027c	1263	+	+	+	YDL103C	1434	+	+	-
YDL028C	2295	+	+	+	YDL104C	1224	+	+	+
YDL029W	1176	+	+	+	YDL105W	1209	+	+	+
YDL030W	1593	+	+	+	YDL106C	1680	+	+	+
YDL031w	2988	+	+	+	YDL107W	1056	+	+	+
YDL032w	312	+	+	+	YDL108W	921	+	+	+
YDL033c	1254	+	+	+	YDL109c	1944	+	+	+
YDL034w	345	+	+	+	YDL110c	453	-	+	+
YDL035c	2886	+	+	+	YDL111c	798	+	+	+
YDL036c	1389	+	+	+	YDL112w	4311	+	+	-
YDL037c	987	+	+	-	YDL113c	1923	-	s	+
YDL038c	1752	+	+	+	YDL114w	927	+	+	+
YDL039c	348	+	+	+	YDL115c	723	+	+	+
YDL040C	2565	+	+	+	YDL116W	2181	-	s	+
YDL041w	354	+	+	+	YDL117w	2658	+	+	+
YDL042C	1689	-	-	-	YDL118w	381	+	+	+
YDL043C	801	+	+	+	YDL119c	924	+	+	+
YDL044c	1323	+	+	-	YDL120w	525	+	+	+
YDL045C	921	+	+	+	YDL121c	450	+	-	+
YDL046w	522	+	+	+	YDL122W	2430	+	+	+
YDL047W	936	+	+	+	YDL123w	423	+	+	+
YDL048c	1518	+	+	+	YDL124w	939	+	+	+
YDL049C	807	+	+	+	YDL125c	588	+	+	+
YDL050c	372	+	+	+	YDL126C	2508	+	+	+
YDL051W	828	+	+	+	YDL127w	840	+	+	+
YDL052C	912	+	-	+	YDL128W	1236	+	+	+
YDL053c	558	+	+	+	YDL129w	876	+	+	+
YDL054c	1461	+	+	+	YDL130W	622	+	+	+
YDL055C	1086	+	+	+	YDL131w	1323	+	+	+
YDL056W	2502	+	+	+	YDL132w	2448	+	+	+
YDL057w	987	+	+	+	YDL133w	1314	+	+	+
YDL058W	5373	+	+	+	YDL134C	1110	+	+	+
YDL059C	717	+	+	+	YDL135C	609	+	+	+
YDL060w	2367	+	+	+	YDL136w	768	+	+	+
YDL061C	171	+	+	+	YDL137W	546	+	+	+
YDL062w	426	+	+	+	YDL138w	2292	+	-	+
YDL063c	1863	+	+	+	YDL139c	744	+	+	+
YDL064w	584	+	+	+	YDL140C	5202	+	+	-
YDL065c	1053	+	+	+	YDL141W	2073	+	+	+
YDL066W	1287	+	+	+	YDL142c	852	+	+	+
YDL067C	180	+	+	+	YDL143W	1587	+	+	+
YDL068w	330	+	+	+	YDL144c	1080	+	+	+
YDL069C	702	+	+	+	YDL145C	3606	+	+	+
YDL070w	1917	+	+	+	YDL146w	1476	+	+	+
YDL071c	375	+	+	+	YDL147w	1338	+	+	+



ORF	Länge [bp]	1.PCR	2.PCR	3.PCR	ORF	Länge [bp]	1.PCR	2.PCR	3.PCR
YDL148c	2433	+	+	+	YDL224c	1950	+	+	+
YDL149w	2994	+	+	+	YDL225w	1656	+	+	+
YDL150W	1269	+	+	+	YDL226C	1059	+	+	+
YDL151c	582	+	+	+	YDL227C	1761	-	-	+
YDL152w	366	+	+	+	YDL228c	642	-	-	+
YDL153c	1833	+	+	+	YDL229W	1842	~700	-	+
YDL154W	2706	+	+	+	YDL230W	1008	+	+	+
YDL155W	1284	+	+	+	YDL231c	3378	+	m	+
YDL156w	1569	+	+	+	YDL232W	111	-	-	-
YDL157c	357	+	+	+	YDL233w	1377	+	+	+
YDL158c	309	+	+	-	YDL234C	2241	+	+	+
YDL159W	1548	+	+	+	YDL235c	504	+	+	+
YDL160C	1521	+	+	+	YDL236W	939	+	+	+
YDL161w	1365	+	+	+	YDL237w	1173	+	+	+
YDL162c	357	+	+	+	YDL238c	1470	+	+	+
YDL163w	303	+	+	+	YDL239c	2373	+	+	+
YDL164C	2268	+	+	+	YDL240W	3054	+	+	+
YDL165W	576	+	+	+	YDL241w	372	+	+	+
YDL166c	594	+	+	+	YDL242w	354	+	+	+
YDL167C	2160	+	+	+	YDL243c	990	-	-	+
YDL168W	1161	+	+	+	YDL244w	1023	+	+	+
YDL169C	672	+	+	+	YDL245C	1704	+	+	+
YDL170W	1587	+	+	+	YDL246c	1074	+	+	+
YDL171c	6438	+	+	+	YDL247w	1830	+	+	+
YDL172c	480	+	+	+	YDL248w	1152	+	+	+
YDL173w	888	+	+	+	YDR001C	2256	+	+	+
YDL174C	1764	+	+	+	YDR002W	606	+	+	+
YDL175c	1035	+	+	+	YDR003W	633	+	+	+
YDL176w	2127	+	+	+	YDR004W	1383	+	+	+
YDL177c	513	+	+	+	YDR005C	1188	+	+	+
YDL178W	1593	+	+	+	YDR006C	2706	+	+	+
YDL179w	915	+	+	+	YDR007W	675	+	+	+
YDL180w	1644	+	+	+	YDR008C	351	+	+	+
YDL181W	258	+	+	+	YDR009W	1563	+	+	+
YDL182w	1287	+	+	+	YDR010c	333	+	+	+
YDL183c	963	+	+	+	YDR011W	4506	+	+	+
YDL184C	78	-	+	-	YDR012W	1089	+	+	+
YDL185W	3216	+	+	+	YDR013w	627	+	+	+
YDL186w	834	+	+	+	YDR014w	1944	+	+	+
YDL187c	330	+	+	+	YDR015c	390	+	+	+
YDL188C	1134	+	+	+	YDR016c	285	+	+	+
YDL189w	1467	+	+	+	YDR017C	3153	+	+	+
YDL190C	2886	+	+	+	YDR018c	1191	+	+	+
YDL191W	854	+	+	+	YDR019C	1203	+	+	+
YDL192W	546	+	+	+	YDR020c	699	+	+	+
YDL193w	1128	+	+	+	YDR021w	1200	+	+	+
YDL194W	2655	+	+	+	YDR022c	591	+	+	+
YDL195W	3822	+	+	+	YDR023W	1389	+	+	+
YDL196w	330	+	+	+	YDR024w	486	+	+	+
YDL197C	1578	+	+	+	YDR025W	810	+	+	+
YDL198C	903	+	+	+	YDR026c	1713	+	+	+
YDL199c	2064	+	+	+	YDR027c	2670	+	+	+
YDL200C	621	+	+	+	YDR028C	3045	+	+	+
YDL201w	861	+	+	+	YDR029w	315	+	+	m
YDL202w	750	+	+	+	YDR030c	1521	+	+	+
YDL203c	1872	+	+	+	YDR031w	354	+	+	+
YDL204w	1182	+	+	+	YDR032c	597	+	+	+
YDL205C	984	+	+	+	YDR033w	963	+	+	+
YDL206w	2289	+	+	+	YDR034C	2373	+	+	+
YDL207w	1617	+	+	+	YDR035W	1113	+	+	+
YDL208W	522	+	+	+	YDR036c	1503	+	+	+
YDL209c	1020	+	+	+	YDR037W	1776	+	+	+
YDL210W	1716	+	+	+	YDR038C	3276	+	+	+
YDL211c	1119	+	+	+	YDR039C	3276	+	+	+
YDL212W	633	+	+	+	YDR040C	3276	+	+	+
YDL213c	678	+	+	+	YDR041W	612	+	+	+
YDL214c	2100	+	+	+	YDR042C	603	+	+	+
YDL215C	3279	+	+	+	YDR043C	696	+	+	+
YDL216c	1368	+	+	+	YDR044W	987	+	+	+
YDL217c	624	+	+	+	YDR045C	333	+	+	+
YDL218w	954	+	+	+	YDR046C	1815	+	+	+
YDL219w	453	+	+	+	YDR047W	1089	+	+	+
YDL220C	2775	+	+	+	YDR048C	315	+	+	+
YDL221w	552	+	+	+	YDR049W	1899	+	+	+
YDL222c	930	+	+	+	YDR050C	747	+	+	+
YDL223c	3141	+	+	+	YDR051c	1005	+	+	+

ORF	Länge [bp]	1.PCR	2.PCR	3.PCR	ORF	Länge [bp]	1.PCR	2.PCR	3.PCR
YDR052C	2115	+	+		YDR128W	3447	+	+	+
YDR053w	396	-	+		YDR129C	1929	+	+	+
YDR054c	888	+	+		YDR130C	876	+	+	+
YDR055w	1335	+	+		YDR131C	1671	+	+	+
YDR056c	618	+	+		YDR132C	1488	+	+	+
YDR057w	1629	+	+		YDR133C	336	+	+	+
YDR058c	981	+	+		YDR134C	411	+	+	+
YDR059C	537	+	+		YDR135C	4548	+	-	+
YDR060w	3078	-	+	+	YDR136C	573	+	+	+
YDR061w	1620	+	+		YDR137W	1992	+	+	+
YDR062W	1686	+	+		YDR138W	2259	+	+	+
YDR063w	450	+	+		YDR139C	234	+	+	+
YDR064W	995	+	+		YDR140W	666	+	+	+
YDR065w	1098	+	+		YDR141C	5097	+	+	+
YDR066c	591	+	+		YDR142C	1128	+	+	+
YDR067c	675	+	+		YDR143C	1833	+	+	+
YDR068W	933	+	+		YDR144C	1791	+	+	+
YDR069C	2781	+	+	+	YDR145W	1620	+	+	+
YDR070c	282	-	+		YDR146C	2130	+	+	+
YDR071c	576	+	+		YDR147W	1605	+	+	+
YDR072c	1584	+	+		YDR148C	1392	+	+	+
YDR073W	510	+	+		YDR149C	708	+	+	+
YDR074W	2691	+	+		YDR150W	8247	+	-	-
YDR075W	927	+	+		YDR151C	978	+	+	+
YDR076W	1221	+	+		YDR152W	798	+	+	+
YDR077W	1017	+	+	+	YDR153C	1236	+	+	+
YDR078c	672	+	+		YDR154C	351	+	+	+
YDR079w	336	+	+		YDR155C	489	+	+	-
YDR080w	2979	+	+	+	YDR156W	414	+	+	+
YDR081C	2778	+	+	+	YDR157W	402	+	+	+
YDR082w	1485	+	+	+	YDR158W	1098	+	+	+
YDR083w	1209	+	+	+	YDR159W	3906	+	+	+
YDR084c	600	+	+	+	YDR160W	2559	+	+	+
YDR085C	1863	+	+	+	YDR161W	1164	+	+	+
YDR086C	243	+	+	+	YDR162C	711	+	+	+
YDR087c	837	+	+	+	YDR163W	528	+	+	+
YDR088C	1149	+	+	+	YDR164C	2175	+	+	+
YDR089w	2610	+	+	+	YDR165W	1335	+	+	+
YDR090C	933	+	+	+	YDR166C	2916	+	-	-
YDR091C	1827	+	+	+	YDR167W	621	+	+	+
YDR092W	730	+	+	+	YDR168W	1521	+	+	+
YDR093W	4839	+	+	+	YDR169C	1542	+	+	+
YDR094W	336	+	+	+	YDR170C	6030	+	+	+
YDR095C	411	+	+	+	YDR171W	1128	+	+	+
YDR096W	2685	+	+	+	YDR172W	2058	+	+	+
YDR097C	3729	+	+	+	YDR173C	1068	+	+	+
YDR098C	858	+	+	+	YDR174W	741	+	+	+
YDR099W	822	+	+	+	YDR175C	960	+	+	+
YDR100W	432	+	+	+	YDR176W	2109	+	+	+
YDR101C	1782	+	+	+	YDR177W	648	+	+	+
YDR102C	333	+	+	+	YDR178W	546	+	+	+
YDR103W	2754	+	+	+	YDR179C	489	+	+	+
YDR104C	3738	+	+	+	YDR180W	4482	+	+	+
YDR105C	1422	+	+	+	YDR181C	1446	+	+	+
YDR106W	855	+	+	+	YDR182W	1476	+	+	+
YDR107C	2019	+	+	+	YDR183W	693	+	+	+
YDR108W	2097	+	+	+	YDR184C	885	+	+	+
YDR109C	2148	+	+	+	YDR185C	540	+	+	+
YDR110W	1701	+	+	+	YDR186C	2634	+	+	+
YDR111C	1524	+	+	+	YDR187C	519	+	+	+
YDR112W	309	+	+	+	YDR188W	1641	+	+	+
YDR113C	1122	+	+	+	YDR189W	2001	+	+	+
YDR114C	303	+	+	+	YDR190C	1392	+	+	+
YDR115W	318	+	+	+	YDR191W	1113	+	+	+
YDR116C	858	+	+	+	YDR192C	1293	+	+	+
YDR117C	1698	+	+	+	YDR193W	399	+	+	+
YDR118W	1959	+	+	+	YDR194C	1995	+	+	+
YDR119W	2307	+	+	+	YDR195W	1602	+	+	+
YDR120C	1713	+	+	+	YDR196C	726	+	+	+
YDR121W	591	+	+	+	YDR197W	1170	+	+	+
YDR122W	3195	+	+	+	YDR198C	1440	+	+	+
YDR123C	915	+	+	+	YDR199W	366	+	+	+
YDR124W	975	+	+	+	YDR200C	1815	+	+	+
YDR125C	1362	+	+	+	YDR201W	498	+	+	+
YDR126W	1011	+	+	+	YDR202C	1056	+	+	+
YDR127W	4767	+	+	+	YDR203W	318	+	+	+

ORF	Länge [bp]	1.PCR	2.PCR	3.PCR
YDR204W	1008	+	+	+
YDR205W	2223	+	+	+
YDR206W	2655	+	+	+
YDR207C	2511	+	+	+
YDR208W	2340	+	+	-
YDR209C	414	+	+	-
YDR210W	228	+	+	-
YDR211W	2139	+	+	+
YDR212W	1680	+	+	+
YDR213W	2742	+	+	+
YDR214W	1053	+	+	+
YDR215C	384	+	+	+
YDR216W	3972	+	+	+
YDR217C	3930	+	+	-
YDR218C	1272	+	+	+
YDR219C	1398	+	+	+
YDR220C	294	+	+	+
YDR221W	2109	+	+	+
YDR222W	1248	+	+	+
YDR223W	1404	+	+	+
YDR224C	396	+	+	+
YDR225W	399	+	+	+
YDR226W	669	+	+	+
YDR227W	4077	+	+	+
YDR228C	1881	+	+	+
YDR229W	1362	+	+	+
YDR230W	348	+	+	+
YDR231C	618	+	+	+
YDR232W	1647	+	+	+
YDR233C	888	+	+	+
YDR234W	2082	+	+	+
YDR249C	1122	+	+	+
YDR250C	276	+	+	+
YDR251W	2493	+	+	+
YDR252W	450	+	+	+
YDR253C	576	+	+	+
YDR254W	1377	+	+	+
YDR255C	1266	+	+	+
YDR256C	1548	+	+	+
YDR257C	1485	+	+	+
YDR258C	2436	+	+	+
YDR259C	1152	+	+	+
YDR260C	513	+	+	+
YDR261C	1689	+	+	+
YDR262w	819	+	+	+
YDR263C	1293	+	+	+
YDR264C	2295	+	+	+
YDR265W	1014	+	+	+
YDR266C	1920	+	+	+
YDR267C	993	+	+	+
YDR268W	1140	+	+	+
YDR269C	324	+	+	+
YDR270W	3015	+	+	+
YDR271C	372	+	+	+
YDR272W	825	+	+	+
YDR273W	1098	+	+	+
YDR274C	372	+	+	+
YDR275W	708	+	+	+
YDR276C	168	+	+	+
YDR277C	1302	+	+	+
YDR278C	318	+	+	+
YDR279W	1053	+	+	+
YDR280W	918	+	+	+
YDR281C	315	+	+	+
YDR282C	1245	+	+	+
YDR283C	4980	+	+	+
YDR284C	870	+	+	+
YDR285W	2628	+	+	+
YDR286C	345	+	+	+
YDR287W	879	+	+	+
YDR288W	912	+	+	+
YDR289C	1230	+	+	+
YDR290W	330	+	+	+
YDR291W	3234	+	+	+
YDR292C	1866	+	+	+
YDR293C	3753	+	+	+

ORF	Länge [bp]	1.PCR	2.PCR	3.PCR
YDR294C	1770	+	+	+
YDR295C	2025	-	-	-
YDR296W	681	+	~3000	~3000
YDR297W	1050	+	+	+
YDR298C	639	+	+	+
YDR299W	1605	+	+	+
YDR300C	1287	+	+	+
YDR301W	4074	+	+	+
YDR302W	660	+	+	+
YDR303C	2658	+	+	+
YDR304C	678	+	+	+
YDR305C	743	+	+	-
YDR306C	1437	+	-	+
YDR307W	1989	+	+	+
YDR308C	423	+	+	+
YDR309C	1152	+	+	+
YDR310C	3189	+	+	+
YDR311W	1929	+	+	+
YDR312W	1362	+	+	+
YDR313C	861	+	+	+
YDR314C	2079	+	+	+
YDR315C	846	+	+	+
YDR316W	1416	+	+	+
YDR317W	1245	+	+	+
YDR318W	756	+	+	+
YDR319C	825	+	+	+
YDR320C	2007	+	+	+
YDR321W	1146	+	+	-
YDR322W	1104	+	+	+
YDR323C	1548	+	+	+
YDR324C	2331	+	+	+
YDR325W	3156	+	+	+
YDR326C	4317	+	+	+
YDR327W	327	+	+	+
YDR328C	585	+	+	+
YDR329C	1326	+	+	+
YDR330W	1503	+	+	+
YDR331W	1236	+	+	+
YDR332W	2070	+	+	+
YDR333C	2172	+	+	+
YDR334W	4545	+	+	+
YDR335W	3675	+	+	+
YDR336W	945	+	+	+
YDR337W	861	+	+	+
YDR338C	2088	+	+	+
YDR339C	570	+	+	+
YDR340W	303	+	+	+
YDR341C	1824	+	+	+
YDR342C	1713	+	+	+
YDR343C	1713	+	+	+
YDR344C	444	+	+	+
YDR345C	1704	+	+	+
YDR346C	1446	+	+	+
YDR347W	966	+	+	+
YDR348C	1500	+	+	+
YDR349C	1791	+	+	+
YDR350C	1836	+	+	+
YDR351W	2595	+	+	+
YDR352W	954	+	+	+
YDR353W	960	+	+	+
YDR354W	1143	+	+	+
YDR355C	303	+	+	+
YDR356W	2835	+	+	+
YDR357C	369	+	+	+
YDR358W	1674	+	+	+
YDR359C	2880	+	+	+
YDR360W	387	+	+	+
YDR361C	852	+	+	+
YDR362C	2019	+	+	+
YDR363W	1371	+	+	+
YDR364C	1368	+	+	+
YDR365C	1887	+	+	+
YDR366C	399	+	+	+
YDR367W	767	+	+	+
YDR368W	939	+	+	+
YDR369C	2565	+	+	+

ORF	Länge [bp]	1.PCR	2.PCR	3.PCR	ORF	Länge [bp]	1.PCR	2.PCR	3.PCR
YDR370C	1329	+	+	+	YDR446W	909	+	+	+
YDR371W	1536	+	+	+	YDR447C	725	+	+	+
YDR372C	1038	+	+	+	YDR448W	1305	+	+	+
YDR373W	573	+	+	+	YDR449C	1323	+	+	+
YDR374C	921	+	+	+	YDR450W	876	+	+	+
YDR375C	1371	+	+	+	YDR451C	1062	+	+	+
YDR376W	1482	+	+	+	YDR452W	2025	+	+	+
YDR377W	306	+	+	+	YDR453C	591	+	+	+
YDR378C	372	+	+	+	YDR454C	564	+	+	+
YDR379W	3030	+	+	+	YDR455C	309	+	+	+
YDR380W	1908	+	+	+	YDR456W	1902	+	+	+
YDR381W	321	+	+	+	YDR457W	9807	+	-	-
YDR382W	333	+	+	+	YDR458C	1992	+	+	+
YDR383C	759	+	+	+	YDR459C	1125	+	+	+
YDR384C	828	+	+	+	YDR460W	966	+	+	+
YDR385W	2529	+	+	+	YDR461W	111	+	+	+
YDR386W	1899	+	+	+	YDR462W	444	+	+	+
YDR387C	1668	+	+	+	YDR463W	1734	+	+	+
YDR388W	1449	+	+	+	YDR464W	4308	+	-	-
YDR389W	1965	+	+	+	YDR465C	1239	+	+	+
YDR390C	1911	+	+	+	YDR466W	2697	+	+	+
YDR391C	699	+	+	+	YDR467C	327	+	+	+
YDR392W	1014	+	+	+	YDR468C	675	+	+	+
YDR393W	1371	+	~2000	~2000	YDR469W	528	+	+	+
YDR394W	1287	+	+	+	YDR470C	1509	+	+	+
YDR395W	2835	+	+	+	YDR471W	795	+	+	+
YDR396W	501	+	+	+	YDR472W	852	+	+	+
YDR397C	533	+	+	+	YDR473C	1410	+	+	+
YDR398W	1932	+	+	+	YDR474C	1668	+	+	+
YDR399W	666	+	+	+	YDR475C	468	+	+	+
YDR400W	1137	+	+	+	YDR476C	675	+	+	+
YDR401W	564	+	+	+	YDR477W	1902	+	+	+
YDR402C	1470	+	+	+	YDR478W	597	+	+	+
YDR403W	1611	+	+	+	YDR479C	1665	+	+	+
YDR404C	516	+	+	+	YDR480W	972	+	+	+
YDR405W	792	+	+	+	YDR481C	1701	+	+	+
YDR406W	4590	+	+	+	YDR482C	408	+	+	+
YDR407C	3870	+	+	+	YDR483W	1329	+	+	+
YDR408C	645	+	+	+	YDR484W	1926	+	+	+
YDR409W	2715	+	+	+	YDR485C	2433	+	+	+
YDR410C	720	+	+	+	YDR486C	789	+	+	+
YDR411C	1026	+	+	+	YDR487C	627	+	+	+
YDR412W	708	+	+	+	YDR488C	1602	+	+	+
YDR413C	576	+	+	+	YDR489W	885	+	+	+
YDR414C	1089	+	+	+	YDR490C	2301	+	+	-
YDR415C	1125	+	+	+	YDR491C	492	+	+	+
YDR416W	2580	+	+	+	YDR492W	951	+	+	+
YDR417C	372	+	+	+	YDR493W	372	+	+	+
YDR418W	498	+	+	+	YDR494W	867	+	+	+
YDR419W	1899	+	+	-	YDR495C	3036	+	+	+
YDR420W	5409	+	+	+	YDR496C	1971	+	+	+
YDR421W	2853	+	+	-	YDR497C	1755	+	+	+
YDR422C	2592	+	+	+	YDR498C	1152	+	+	+
YDR423C	1230	+	+	+	YDR499W	2244	+	+	+
YDR424C	455	+	+	+	YDR500C	656	+	+	+
YDR425W	1878	+	+	+	YDR501W	1566	+	+	+
YDR426C	378	+	-	+	YDR502C	1155	+	+	+
YDR427W	1182	+	+	+	YDR503C	825	+	+	+
YDR428C	786	+	+	+	YDR504C	384	+	+	+
YDR429C	825	+	+	+	YDR505C	2526	+	+	+
YDR430C	2970	+	+	+	YDR506C	1827	+	+	+
YDR431W	312	+	+	+	YDR507C	3429	+	+	+
YDR432W	1245	+	+	+	YDR508C	1992	+	+	+
YDR433W	441	-	m	-	YDR509W	348	+	+	+
YDR434W	1605	+	+	+	YDR510W	306	+	+	+
YDR435C	987	+	+	+	YDR511W	402	+	+	+
YDR436W	2133	+	+	+	YDR512C	564	+	+	+
YDR437W	423	+	+	+	YDR513W	432	+	+	+
YDR438W	1113	+	+	+	YDR514C	1452	+	+	+
YDR439W	1044	+	+	+	YDR515W	1344	+	+	+
YDR440W	1749	+	+	+	YDR516C	1503	+	+	+
YDR441C	546	+	+	+	YDR517W	1119	+	+	+
YDR442W	393	+	+	+	YDR518W	1554	+	+	+
YDR443C	4263	+	-	+	YDR519W	408	+	+	+
YDR444W	2064	+	+	+	YDR520C	2319	+	+	+
YDR445C	408	+	+	+	YDR521W	336	+	+	+

ORF	Länge [bp]	1.PCR	2.PCR	3.PCR	ORF	Länge [bp]	1.PCR	2.PCR	3.PCR
YDR522C	1509	+	+	+	YEL052w	1530	+	+	+
YDR523C	1473	+	+	+	YEL053c	2202	+	+	+
YDR524C	1449	+	+	+	YEL054c	498	+	+	+
YDR525W	330	-	+	-	YEL055c	3069	+	+	+
YDR526C	471	+	+	+	YEL056w	1206	+	+	+
YDR527W	1320	+	+	+	YEL057c	702	+	+	+
YDR528W	1272	+	+	+	YEL058w	1674	+	+	+
YDR529C	384	+	+	+	YEL059w	309	+	+	+
YDR530C	978	+	+	+	YEL060c	1908	+	+	+
YDR531W	1104	+	+	+	YEL061c	3117	+	+	+
YDR532C	1158	+	+	+	YEL062w	1875	+	+	+
YDR533C	714	+	+	+	YEL063c	1773	+	+	+
YDR534C	1587	+	+	+	YEL064c	1443	+	+	+
YDR535C	757	+	+	+	YEL065w	1887	+	+	+
YDR536W	1710	+	+	+	YEL066w	540	-	+	+
YDR537C	606	+	+	+	YEL067c	588	+	+	+
YDR538W	729	+	+	+	YEL068c	333	+	+	+
YDR539W	1512	+	+	+	YEL069c	1695	+	+	+
YDR540C	540	+	+	+	YEL070w	1509	+	+	+
YDR541C	1035	+	+	+	YEL071w	1491	+	+	+
YDR542W	363	+	+	+	YEL072w	696	+	+	+
YDR543C	300	+	+	+	YEL073c	324	+	+	+
YDR544C	429	+	+	+	YEL074w	339	+	+	+
YDR545w	5391	m	+	-	YEL075c	369	+	+	+
YEL001c	678	-	+	+	YEL076c	651	~1000	+	+
YEL002c	1293	+	+	+	YEL077c	3834	+	+	+
YEL003w	399	+	+	+	YER001w	2289	~2700	+	+
YEL004w	1029	+	+	+	YER002w	696	+	-	-
YEL005c	849	+	+	+	YER003c	1383	~1500	+	+
YEL006w	1008	+	+	+	YER004w	696	+	+	+
YEL007w	2001	+	-	-	YER005w	1893	+	+	+
YEL008w	381	+	+	+	YER006w	1563	+	+	+
YEL009c	846	+	+	+	YER007w	1557	+	+	+
YEL010w	351	+	+	+	YER008c	4011	+	+	+
YEL011w	2115	+	+	+	YER009w	378	+	+	+
YEL012w	657	+	+	+	YER010c	705	~1000	+	+
YEL013w	1737	+	+	+	YER011w	765	+	+	+
YEL014c	306	+	+	+	YER012w	597	+	+	+
YEL015w	1656	+	+	+	YER013w	3438	+	+	+
YEL016c	1482	+	+	+	YER014w	1620	+	+	+
YEL0171	132	+	+	+	YER015w	2235	+	+	+
YEL017w	1014	+	+	+	YER016w	1035	+	+	+
YEL018w	840	+	+	+	YER017c	2286	+	+	+
YEL019c	804	+	+	+	YER018c	666	+	+	+
YEL020c	1683	+	+	+	YER0191	1434	~1500	+	+
YEL021w	804	~6500	m	~6500	YER019w	267	~300	+	+
YEL022w	4380	+	+	+	YER020w	1350	+	+	+
YEL023c	2049	+	+	+	YER021W	1572	+	+	+
YEL024w	648	+	+	+	YER022w	2064	+	+	+
YEL025c	3567	+	-	m	YER023w	861	+	+	+
YEL026w	381	+	+	+	YER024w	2772	+	+	+
YEL027w	483	+	+	+	YER025w	1584	+	+	+
YEL028w	462	+	+	+	YER026c	831	+	+	+
YEL029c	939	+	+	+	YER027c	1254	+	+	+
YEL030w	1935	+	+	+	YER028c	1185	+	+	+
YEL031w	3648	-	s	-	YER029c	591	+	+	+
YEL032w	2916	+	+	-	YER030w	483	+	+	+
YEL033w	420	+	+	+	YER031c	672	+	+	+
YEL034w	474	+	+	+	YER032w	2778	+	+	+
YEL035c	501	+	+	+	YER033c	3231	+	+	-
YEL036c	1503	+	+	+	YER034w	558	+	+	+
YEL037c	1197	+	+	+	YER035w	438	+	+	+
YEL038w	726	+	+	+	YER036c	1833	+	+	+
YEL039c	342	+	+	+	YER037w	966	+	+	+
YEL040w	1404	+	+	+	YER038c	1395	+	+	+
YEL041w	1488	+	+	+	YER039c	750	+	+	+
YEL042w	1557	+	+	+	YER040w	2193	+	+	+
YEL043w	2871	+	+	-	YER041w	2280	+	+	+
YEL044w	501	+	+	-	YER042w	555	+	+	+
YEL045c	426	+	+	+	YER043c	1350	+	+	+
YEL046c	1164	+	+	+	YER0441	447	~500	+	+
YEL047c	1413	+	+	+	YER044c	1227	~1300	+	+
YEL048c	459	+	+	+	YER045c	1470	~1700	+	+
YEL049w	363	+	+	+	YER046w	432	~600	+	+
YEL050c	1182	+	+	+	YER047c	2694	+	+	+
YEL051w	771	+	+	+	YER048c	1176	+	+	+

ORF	Länge [bp]	1.PCR	2.PCR	3.PCR	ORF	Länge [bp]	1.PCR	2.PCR	3.PCR
YER049w	1935	+	+	+	YER123w	1620	+	+	+
YER050c	609	+	+	+	YER124c	1722	+	+	+
YER051w	1479	+	+	+	YER125w	2430	+	+	+
YER052c	1584	+	+	+	YER126c	786	+	+	+
YER053c	903	+	+	+	YER127w	1074	+	+	+
YER054c	1647	-	-	+	YER128w	612	+	+	+
YER055c	894	+	+	+	YER129w	3429	+	+	+
YER056l	1602	~1100	~750	~750	YER130c	1296	+	+	+
YER056c	366	~1800	~1800	~1400	YER131w	360	+	+	+
YER057c	390	+	+	+	YER132c	5262	+	+	+
YER058w	324	+	+	+	YER133w	1464	+	+	+
YER059w	1263	+	+	+	YER134c	537	-	-	-
YER060w	1587	~3500	~3500	~3500	YER135c	393	+	+	+
YER061c	1329	+	+	+	YER136w	1356	+	+	+
YER062c	753	+	+	+	YER137c	447	-	-	-
YER063w	657	+	+	+	YER138c	~5000	+	+	+
YER064c	1518	+	+	+	YER139c	681	+	+	+
YER065c	1674	+	+	+	YER140w	1671	+	+	+
YER066w	558	+	+	+	YER141w	1461	+	+	+
YER067w	486	+	+	+	YER142c	891	+	+	+
YER068w	1764	+	+	+	YER143w	1287	+	+	+
YER069w	2592	+	+	+	YER144c	2418	+	+	+
YER070w	2667	+	+	+	YER145c	1215	+	+	+
YER071c	381	+	+	+	YER146w	282	+	+	+
YER072w	390	+	+	+	YER147c	1875	+	+	+
YER073w	1563	+	+	+	YER148w	723	+	+	+
YER074w	408	~1100	~900	~1000	YER149c	1263	+	+	+
YER075c	2787	~3100	+	+	YER150w	447	+	+	+
YER076c	909	~1200	+	~1000	YER151c	2739	+	+	+
YER077c	2067	+	+	+	YER152c	1332	+	+	+
YER078c	1536	+	+	+	YER153c	765	+	+	+
YER079w	633	+	+	+	YER154w	1209	+	+	+
YER080w	1884	+	+	+	YER155c	6504	+	+	-
YER081w	1410	+	+	+	YER156c	1017	+	+	+
YER082c	1665	+	+	+	YER157w	2406	+	+	+
YER083c	924	+	+	+	YER158c	1722	+	+	+
YER084w	387	+	+	+	YER159c	429	+	+	+
YER085c	522	+	+	+	YER160c	6	~200	+	-
YER086w	1731	+	+	+	YER161c	1002	+	+	+
YER087l	249	+	+	+	YER162c	2265	+	+	+
YER087w	1731	+	+	+	YER163c	699	+	+	+
YER088c	2013	+	+	+	YER164w	4407	+	+	-
YER089c	1395	+	+	+	YER165w	1734	+	+	+
YER090w	1524	+	+	+	YER166w	4716	+	+	-
YER091c	2304	+	+	+	YER167w	2556	+	+	+
YER092w	378	+	+	+	YER168c	1641	+	+	+
YER093c	4293	+	+	+	YER169w	2391	+	+	+
YER094c	618	+	+	+	YER170w	678	+	+	+
YER095w	1203	+	+	+	YER171w	2337	+	+	+
YER096w	1539	+	+	+	YER172c	6492	+	+	+
YER097w	330	+	+	+	YER173W	1980	+	+	+
YER098w	2265	+	+	+	YER174c	735	+	+	+
YER099c	957	+	+	+	YER175c	900	+	+	+
YER100w	753	+	+	+	YER176w	3366	+	+	+
YER101c	1293	+	+	+	YER177w	804	+	+	+
YER102w	603	+	+	+	YER178w	1332	+	+	+
YER103w	1929	+	+	+	YER179w	1005	+	+	+
YER104w	627	+	+	+	YER180c	804	+	+	+
YER105c	4176	+	+	+	YER181c	324	+	+	+
YER106w	909	+	+	+	YER182w	735	+	+	+
YER107c	1098	+	+	+	YER183c	636	+	+	+
YER108c	1785	+	+	+	YER184c	2385	+	+	+
YER109c	426	+	+	-	YER185w	912	+	+	+
YER110c	3342	+	~3000	+	YER186c	306	+	+	+
YER111c	3282	+	+	+	YER187w	141	+	+	+
YER112w	564	+	+	+	YER188w	239	+	+	+
YER113c	2121	+	+	+	YER189w	122	~4500	~4000	+
YER114c	3123	+	+	+	YER190w	1681	-	-	-
YER115c	576	+	+	+	YFL001W	1329	-	-	-
YER116c	825	+	+	+	YFL002C	1821	+	+	+
YER117w	885	+	+	+	YFL003C	2637	+	+	+
YER118c	1104	+	+	+	YFL004W	2487	+	+	+
YER119c	1347	+	+	+	YFL005W	648	+	+	+
YER120w	735	+	+	+	YFL006W	765	+	+	+
YER121w	345	+	+	+	YFL007W	5415	+	+	+
YER122c	1482	+	+	+	YFL008W	3678	+	+	+

ORF	Länge [bp]	1.PCR	2.PCR	3.PCR
YFL009W	2340	+	+	-
YFL010B	285	+	+	+
YFL010C	636	+	+	+
YFL011W	1641	+	+	+
YFL012W	447	+	+	+
YFL013C	2079	+	+	+
YFL014W	330	+	+	+
YFL015C	495	+	+	+
YFL016C	1536	+	+	+
YFL017C	480	+	+	+
YFL018C	1500	+	+	+
YFL019C	354	-	+	-
YFL020C	369	+	+	+
YFL021W	1533	+	+	+
YFL022C	1512	+	+	-
YFL023W	2391	+	+	+
YFL024C	2499	+	-	-
YFL025C	3090	+	+	+
YFL026W	1296	+	+	+
YFL027C	1494	+	+	+
YFL028C	870	+	+	+
YFL029C	1107	-	+	+
YFL030W	1158	+	+	+
YFL031W	603	+	+	+
YFL032W	321	-	+	+
YFL033C	5313	-	+	+
YFL034W	3222	+	+	+
YFL035C	6	+	~1200	~900
YFL036W	4056	+	+	-
YFL037W	1374	+	+	+
YFL038C	621	+	+	-
YFL039C	1685	+	+	+
YFL040W	1623	+	+	+
YFL041W	1869	+	+	+
YFL042C	1668	+	+	+
YFL043C	438	+	+	+
YFL044C	906	+	+	+
YFL045C	765	+	+	+
YFL046W	624	+	+	+
YFL047W	2145	+	+	+
YFL048C	1338	+	+	+
YFL049W	1872	+	+	+
YFL050C	2577	+	+	+
YFL051C	483	+	+	+
YFL052W	1398	+	+	+
YFL053W	1776	+	+	+
YFL054C	1941	+	+	+
YFL055W	1677	+	+	+
YFL056C	639	+	+	+
YFL057C	459	-	m	-
YFL058W	1023	+	+	+
YFL059W	897	+	+	+
YFL060C	669	+	+	+
YFL061W	678	+	+	+
YFL062W	1140	+	+	+
YFL063W	456	+	+	+
YFL064C	525	+	+	+
YFL065C	309	+	+	+
YFL066C	1179	+	+	+
YFL067W	528	+	s	+
YFL068W	483	+	+	+
YFL-TyA	1317	~8000	-	-
YFL-TyB	5313	~4000	~4000	+
YFR001W	615	+	+	+
YFR002W	2520	+	+	+
YFR003C	468	+	+	+
YFR004W	921	+	+	+
YFR005C	1347	+	+	+
YFR006W	1608	+	+	+
YFR007W	1062	+	+	+
YFR008W	666	+	+	+
YFR009W	2259	+	+	-
YFR010W	1500	+	+	+
YFR011C	513	+	+	+
YFR012W	609	+	+	+
YFR013W	2364	+	+	+

ORF	Länge [bp]	1.PCR	2.PCR	3.PCR
YFR014C	1341	+	+	+
YFR015C	2127	+	+	+
YFR016C	3702	+	+	-
YFR017C	588	+	+	+
YFR018C	1092	+	+	+
YFR019W	6837	-	-	-
YFR020W	699	+	~1100	+
YFR021W	1503	+	~1200	~1200
YFR022W	2202	+	~1200	~1800
YFR023W	1836	+	~1200	+
YFR024C	1356	+	+	+
YFR025C	1008	+	~600	+
YFR026C	510	+	+	+
YFR027W	846	+	+	+
YFR028C	1656	+	+	+
YFR029W	2037	+	+	+
YFR030W	3108	+	+	-
YFR031B	3513	+	+	-
YFR031C	765	+	+	+
YFR032C	870	+	+	+
YFR033C	444	+	+	+
YFR034C	939	+	+	+
YFR035C	345	+	+	+
YFR036W	375	+	+	+
YFR037C	1674	+	+	+
YFR038W	2337	+	+	+
YFR039C	1533	+	+	+
YFR040W	2718	+	+	-
YFR041C	888	+	+	+
YFR042W	603	+	+	m
YFR043C	714	+	+	-
YFR044C	1446	+	+	+
YFR045W	537	+	+	+
YFR046C	1086	+	+	+
YFR047C	888	+	+	+
YFR048W	1989	+	+	+
YFR049W	372	+	+	+
YFR050C	801	+	+	+
YFR051C	1641	+	+	-
YFR052W	825	+	+	+
YFR053C	1458	+	+	+
YFR054C	579	+	+	m
YFR055W	369	+	+	+
YFR056C	1023	+	+	+
YFR057W	456	-	-	+
YGL001C	1050	+	+	+
YGL002W	651	+	+	+
YGL003C	1701	+	+	+
YGL004C	1254	+	+	-
YGL005C	840	+	+	+
YGL006W	3522	+	-	+
YGL007W	378	+	+	+
YGL008C	2757	+	+	+
YGL009C	2340	+	+	+
YGL010W	525	+	+	+
YGL011C	759	+	+	+
YGL012W	1422	+	+	+
YGL013C	3207	+	-	+
YGL014W	2667	+	-	+
YGL015C	393	+	+	+
YGL016W	3246	+	-	+
YGL017W	1512	+	+	+
YGL018C	555	+	+	+
YGL019W	837	+	+	+
YGL020C	708	+	+	+
YGL021W	2283	+	+	-
YGL022W	2157	+	+	+
YGL023C	1908	+	+	+
YGL024W	336	+	+	+
YGL025C	1296	+	+	+
YGL026C	2124	+	+	+
YGL027C	2502	+	+	+
YGL028C	1629	+	+	+
YGL029W	363	+	+	+
YGL030W	318	+	+	+
YGL031C	468	+	+	+



ORF	Länge [bp]	1.PCR	2.PCR	3.PCR
YGL032C	264	+	~750	+
YGL033W	558	+	~1000	~1000
YGL034C	366	-	-	+
YGL035C	1515	+	+	+
YGL036W	2730	+	-	+
YGL037C	651	+	+	+
YGL038C	1443	+	+	+
YGL039W	1047	+	+	+
YGL040C	1029	+	+	+
YGL041C	315	+	+	+
YGL042C	306	+	+	+
YGL043W	930	-	-	-
YGL044C	891	+	+	+
YGL045W	690	+	+	+
YGL046W	789	+	+	+
YGL047W	609	+	+	+
YGL048C	1218	+	+	+
YGL049C	2745	+	+	+
YGL050W	822	+	+	+
YGL051W	705	+	+	+
YGL052W	306	+	+	+
YGL053W	714	+	+	+
YGL054C	417	+	+	+
YGL055W	1533	+	+	+
YGL056C	1584	+	+	+
YGL057C	864	+	+	+
YGL058W	519	+	+	+
YGL059W	1338	+	+	+
YGL060W	1926	+	~1500	+
YGL061C	744	+	+	+
YGL062W	3537	+	-	+
YGL063W	1113	+	+	+
YGL064C	1686	+	+	+
YGL065C	1512	+	+	+
YGL066W	1974	+	-	+
YGL067W	1155	-	-	-
YGL068W	585	+	+	+
YGL069C	465	+	+	+
YGL070C	369	+	+	+
YGL071W	2073	-	-	-
YGL072C	360	+	+	+
YGL073W	2502	+	+	+
YGL074C	327	+	+	+
YGL075C	1164	+	+	+
YGL076C	1662	+	+	+
YGL077C	1692	+	+	+
YGL078C	1572	+	+	+
YGL079W	657	+	+	+
YGL080W	393	+	+	+
YGL081W	963	+	+	+
YGL082W	1146	+	+	+
YGL083W	2415	+	+	+
YGL084C	1683	+	+	+
YGL085W	825	+	+	+
YGL086W	2250	+	-	+
YGL087C	414	+	+	+
YGL088W	366	+	+	+
YGL089C	363	+	+	+
YGL090W	1266	+	+	+
YGL091C	987	+	+	+
YGL092W	3954	+	-	+
YGL093W	2754	+	-	+
YGL094C	3348	+	-	+
YGL095C	1734	+	+	+
YGL096W	831	+	+	+
YGL097W	1449	+	+	+
YGL098W	738	+	+	+
YGL099W	1923	+	+	-
YGL100W	1050	+	+	+
YGL101W	648	+	+	+
YGL102C	429	+	+	+
YGL103W	450	~1000	~1000	~1000
YGL104C	1461	+	+	+
YGL105W	1131	+	+	+
YGL106W	450	+	+	+
YGL107C	1941	+	+	-

ORF	Länge [bp]	1.PCR	2.PCR	3.PCR
YGL108C	423	+	+	+
YGL109W	324	+	+	+
YGL110C	1875	+	+	+
YGL111W	1392	+	+	+
YGL112C	1551	+	+	+
YGL113W	2007	+	-	+
YGL114W	2178	+	+	+
YGL115W	969	+	+	+
YGL116W	1833	+	+	+
YGL117W	798	+	+	+
YGL118C	438	+	+	+
YGL119W	1506	+	+	+
YGL120C	2304	+	+	+
YGL121C	381	+	+	+
YGL122C	1578	+	+	-
YGL123W	765	+	+	+
YGL124C	1935	+	+	+
YGL125W	1800	+	+	+
YGL126W	1143	+	+	-
YGL127C	384	+	+	+
YGL128C	1044	+	-	+
YGL129C	1467	+	+	-
YGL130W	1380	+	+	+
YGL131C	4212	+	-	+
YGL132W	336	+	+	+
YGL133W	3795	+	-	+
YGL134W	1302	+	+	+
YGL135W	654	+	+	+
YGL136C	963	+	+	+
YGL137W	2670	+	+	-
YGL138C	1038	+	+	-
YGL139W	2409	+	+	+
YGL140C	3660	+	-	-
YGL141W	2733	-	-	-
YGL142C	1851	+	+	+
YGL143C	1242	+	+	+
YGL144C	2058	+	+	-
YGL145W	2106	+	-	+
YGL146C	936	+	-	+
YGL147C	576	+	-	+
YGL148W	1131	+	+	+
YGL149W	306	-	+	+
YGL150C	4470	+	-	+
YGL151W	3399	+	-	+
YGL152C	678	+	+	+
YGL153W	1026	+	+	+
YGL154C	819	+	+	+
YGL155W	1131	-	-	-
YGL156W	3252	+	-	+
YGL157W	1044	+	-	+
YGL158W	1539	+	-	+
YGL159W	1113	+	-	+
YGL160W	1713	+	+	+
YGL161C	933	+	-	+
YGL162W	900	+	+	+
YGL163C	2697	+	+	+
YGL164C	1323	+	+	+
YGL165C	579	+	+	+
YGL166W	678	+	+	+
YGL167C	2853	+	+	+
YGL168W	333	+	+	+
YGL169W	1281	+	+	+
YGL170C	1242	+	+	+
YGL171W	1695	+	+	+
YGL172W	1419	+	+	+
YGL173C	4587	+	-	+
YGL174W	801	+	+	+
YGL175C	1038	+	+	+
YGL176C	1665	+	+	+
YGL177W	348	+	+	+
YGL178W	3220	+	-	-
YGL179C	1683	+	+	-
YGL180W	2694	+	+	-
YGL181W	1191	+	+	+
YGL182C	324	+	+	+
YGL183C	525	+	+	+

ORF	Länge [bp]	1.PCR	2.PCR	3.PCR	ORF	Länge [bp]	1.PCR	2.PCR	3.PCR
YGL184C	1398	+	+	-	YGL260W	231	+	+	+
YGL185C	1140	+	+	+	YGL261C	363	+	+	+
YGL186C	1740	+	+	+	YGL262W	528	+	~400	+
YGL187C	468	+	+	+	YGL263W	1143	+	+	+
YGL188C	174	+	-	+	YGR001C	582	+	+	+
YGL189C	360	+	+	+	YGR002C	1431	+	+	+
YGL190C	1581	+	+	+	YGR003W	2235	+	+	+
YGL191W	390	+	+	+	YGR004W	1389	+	+	+
YGL192W	1803	+	+	+	YGR005C	1203	+	+	+
YGL193C	312	+	+	+	YGR006W	660	+	+	+
YGL194C	1359	+	+	+	YGR007W	972	+	+	+
YGL195W	8019	~4000	-	-	YGR008C	255	+	+	+
YGL196W	498	+	+	+	YGR009C	1956	+	+	+
YGL197W	4464	+	-	-	YGR010W	1188	+	+	+
YGL198W	786	+	+	+	YGR011W	327	+	+	+
YGL199C	471	+	~520	+	YGR012W	1182	+	+	-
YGL200C	612	+	+	-	YGR013W	1863	+	+	+
YGL201C	3054	+	-	-	YGR014W	3921	+	-	+
YGL202W	1503	+	+	+	YGR015C	987	+	+	+
YGL203C	2190	+	+	-	YGR016W	573	+	+	+
YGL204C	306	+	+	+	YGR017W	894	+	-	-
YGL205W	2247	+	+	+	YGR018C	330	+	+	+
YGL206C	4962	-	-	-	YGR019W	1416	+	+	+
YGL207W	3108	+	+	+	YGR020C	357	+	+	+
YGL208W	1248	+	+	+	YGR021W	873	+	+	+
YGL209W	1149	+	-	-	YGR022C	330	+	+	+
YGL210W	669	+	+	+	YGR023W	1656	+	+	+
YGL211W	582	+	+	+	YGR024C	714	+	+	+
YGL212W	951	+	+	+	YGR025W	303	+	+	+
YGL213C	1194	+	+	+	YGR026W	837	+	+	+
YGL214W	489	-	-	-	YGR027C	327	+	+	+
YGL215W	1359	+	-	+	YGR028W	1089	+	+	+
YGL216W	2418	+	-	+	YGR029W	354	+	+	+
YGL217C	342	+	+	+	YGR030C	477	+	+	+
YGL218W	651	+	+	+	YGR031W	1029	+	+	+
YGL219C	1380	+	+	+	YGR032W	5688	+	-	+
YGL220W	363	+	+	+	YGR033C	720	+	+	+
YGL221C	867	+	+	+	YGR034W	744	+	+	+
YGL222C	528	+	+	+	YGR035C	351	+	+	s
YGL223C	1254	+	+	+	YGR036C	720	+	+	+
YGL224C	843	+	+	+	YGR037C	264	+	+	+
YGL225W	1014	+	+	+	YGR038W	669	+	+	+
YGL226W	372	+	+	+	YGR039W	312	+	+	+
YGL227W	2877	+	-	+	YGR040W	1107	+	+	+
YGL228W	1734	+	+	+	YGR041W	1644	+	+	+
YGL229C	2457	~3000	+	+	YGR042W	816	+	+	+
YGL230C	444	+	+	+	YGR043C	1002	+	+	+
YGL231C	573	+	+	+	YGR044C	903	+	+	+
YGL232W	870	+	+	+	YGR045C	363	+	+	+
YGL233W	2733	+	+	+	YGR046W	1158	+	+	+
YGL234W	2409	+	+	+	YGR047C	3078	+	+	+
YGL235W	537	+	+	+	YGR048W	1086	+	+	+
YGL236C	2040	+	+	+	YGR049W	564	+	+	+
YGL237C	798	+	+	+	YGR050C	357	+	+	+
YGL238W	2883	+	-	+	YGR051C	324	+	+	+
YGL239C	315	+	+	+	YGR052W	1110	+	+	+
YGL240W	852	+	+	+	YGR053C	852	+	+	+
YGL241W	3015	+	+	+	YGR054W	1929	+	+	+
YGL242C	546	+	+	+	YGR055W	1725	+	+	+
YGL243W	1203	+	+	+	YGR056W	2787	+	+	+
YGL244W	1377	+	+	+	YGR057C	738	+	+	+
YGL245W	2175	+	+	+	YGR058W	1008	+	+	+
YGL246C	1164	+	+	+	YGR059W	1539	+	+	+
YGL247W	594	+	+	+	YGR060W	930	-	-	-
YGL248W	1110	+	+	+	YGR061C	4077	+	+	-
YGL249W	2115	+	+	+	YGR062C	951	+	+	+
YGL250W	738	+	+	+	YGR063C	309	+	+	+
YGL251C	3141	+	-	+	YGR064W	369	+	+	+
YGL252C	1767	+	+	+	YGR065C	1782	+	+	+
YGL253W	1461	+	+	+	YGR066C	879	+	+	+
YGL254W	900	+	+	+	YGR067C	2385	+	+	+
YGL255W	1131	+	+	+	YGR068C	1761	+	+	+
YGL256W	1398	+	+	+	YGR069W	336	+	+	+
YGL257C	1677	+	-	+	YGR070W	3468	+	-	+
YGL258W	621	+	+	+	YGR071C	2583	+	-	+
YGL259W	498	+	+	-	YGR072W	1164	+	+	+

ORF	Länge [bp]	1.PCR	2.PCR	3.PCR	ORF	Länge [bp]	1.PCR	2.PCR	3.PCR
YGR073C	372	+	+	+	YGR149W	1299	+	+	+
YGR074W	441	+	+	+	YGR150C	2595	+	-	+
YGR075C	729	+	+	+	YGR151C	336	+	+	+
YGR076C	474	+	+	+	YGR152C	819	+	+	+
YGR077C	1770	+	+	+	YGR153W	654	+	+	+
YGR078C	600	+	+	+	YGR154C	1071	+	+	+
YGR079W	1113	+	+	+	YGR155W	1524	+	+	+
YGR080W	999	+	+	+	YGR156W	1278	+	+	+
YGR081C	633	+	+	+	YGR157W	2610	+	+	+
YGR082W	552	+	+	+	YGR158C	753	+	+	+
YGR083C	1956	+	+	+	YGR159C	1245	+	+	+
YGR084C	1020	+	+	+	YGR160W	612	+	+	+
YGR085C	525	+	+	+	YGR161C	792	+	+	+
YGR086C	1020	+	+	+	YGR162W	2859	+	+	+
YGR087C	1692	+	+	+	YGR163W	1026	+	+	+
YGR088W	1722	+	+	+	YGR164W	336	+	+	+
YGR089W	2811	+	+	+	YGR165W	1038	+	+	+
YGR090W	3714	+	+	+	YGR166W	1683	+	+	+
YGR091W	1485	+	+	+	YGR167W	702	+	+	+
YGR092W	1719	+	+	+	YGR168C	1131	+	+	+
YGR093W	1524	+	+	+	YGR169C	1215	+	+	+
YGR094W	3315	+	-	+	YGR170W	3417	+	+	+
YGR095C	771	+	+	+	YGR171C	1728	+	+	+
YGR096W	945	+	+	+	YGR172C	747	+	+	+
YGR097W	3441	+	-	+	YGR173W	1107	+	+	+
YGR098C	4893	+	-	-	YGR174C	513	+	+	+
YGR099W	2067	+	+	+	YGR175C	1491	+	+	+
YGR100W	2853	+	+	-	YGR176W	348	+	+	+
YGR101W	1041	+	+	+	YGR177C	1608	+	+	+
YGR102C	552	+	+	+	YGR178C	2169	+	+	+
YGR103W	1818	+	+	+	YGR179C	1221	+	+	+
YGR104C	924	+	+	+	YGR180C	1038	+	+	+
YGR105W	234	+	+	+	YGR181W	318	+	+	+
YGR106C	798	+	+	+	YGR182C	354	+	+	+
YGR107W	450	+	+	+	YGR183C	414	+	+	+
YGR108W	1416	+	+	+	YGR184C	5853	-	-	-
YGR109C	1143	+	+	+	YGR185C	1185	+	+	+
YGR110W	1338	+	+	+	YGR186W	2208	+	-	+
YGR111W	1203	+	+	+	YGR187C	1185	+	+	+
YGR112W	1170	+	+	+	YGR188C	3066	+	-	+
YGR113W	1008	+	+	+	YGR189C	1524	+	+	+
YGR114C	390	+	+	+	YGR190C	366	+	+	+
YGR115C	780	+	+	+	YGR191W	1812	+	+	+
YGR116W	4356	+	-	+	YGR192C	999	+	+	+
YGR117C	1431	+	+	+	YGR193C	1233	+	+	+
YGR118W	758	+	+	+	YGR194C	1803	+	+	+
YGR119C	1626	+	+	+	YGR195W	741	+	+	+
YGR120C	828	-	+	+	YGR196C	2454	+	+	+
YGR121C	1479	+	+	+	YGR197C	1644	+	+	+
YGR122W	1209	+	+	+	YGR198W	2454	+	+	-
YGR123C	1542	+	+	+	YGR199W	2280	+	+	+
YGR124W	1719	+	+	+	YGR200C	2367	+	+	+
YGR125W	3111	+	+	+	YGR201C	825	+	~600	+
YGR126W	693	+	+	+	YGR202C	1275	+	+	+
YGR127W	939	+	+	+	YGR203W	447	+	+	+
YGR128C	2142	+	+	+	YGR204W	2841	+	+	+
YGR129W	648	+	+	+	YGR205W	873	+	+	+
YGR130C	2451	+	+	+	YGR206W	306	+	+	+
YGR131W	525	+	+	+	YGR207C	786	+	+	+
YGR132C	864	+	+	+	YGR208W	930	+	+	+
YGR133W	552	+	+	+	YGR209C	315	+	+	+
YGR134W	3369	+	+	+	YGR210C	1236	+	+	+
YGR135W	777	+	+	+	YGR211W	1461	+	+	+
YGR136W	726	+	+	+	YGR212W	1407	+	+	+
YGR137W	375	+	+	+	YGR213c	954	+	+	+
YGR138C	1845	+	+	+	YGR214W	1214	+	+	+
YGR139W	339	+	+	+	YGR215W	333	+	+	+
YGR140W	2871	+	-	-	YGR216C	1830	+	+	+
YGR141W	1404	+	+	+	YGR217W	6120	+	-	+
YGR142W	1233	+	+	+	YGR218W	3255	+	+	+
YGR143W	2316	+	+	+	YGR219W	342	+	+	+
YGR144W	981	+	+	+	YGR220C	810	+	+	+
YGR145W	2124	+	+	+	YGR221C	1869	+	+	+
YGR146C	636	+	+	+	YGR222W	882	+	+	+
YGR147C	867	+	+	+	YGR223C	1347	+	+	+
YGR148C	468	+	+	+	YGR224W	1842	+	+	+

ORF	Länge [bp]	1.PCR	2.PCR	3.PCR	ORF	Länge [bp]	1.PCR	2.PCR	3.PCR
YGR225W	1230	+	-	-	YHL005C	393	+	+	+
YGR226C	600	+	+	+	YHL006C	480	+	+	+
YGR227W	1578	+	-	-	YHL007C	2820	+	-	+
YGR228W	345	+	+	+	YHL008C	1884	+	+	+
YGR229C	1518	+	+	+	YHL009C	993	+	+	+
YGR230W	414	+	+	+	YHL010C	1758	+	+	+
YGR231C	948	+	+	+	YHL011C	963	+	+	+
YGR232W	687	+	+	+	YHL012W	1482	+	+	+
YGR233C	3537	+	+	+	YHL013C	924	+	+	+
YGR234W	1200	+	+	+	YHL014C	1218	+	+	+
YGR235C	702	+	+	+	YHL015W	366	+	+	+
YGR236C	390	+	+	+	YHL016C	2208	+	+	+
YGR237C	2358	+	+	+	YHL017W	1599	+	+	+
YGR238C	2649	+	+	+	YHL018W	363	+	+	+
YGR239C	867	+	+	-	YHL019C	1818	+	+	+
YGR240C	2964	~3500	+	~3500	YHL020C	1215	+	+	+
YGR241C	1707	+	+	+	YHL021C	1398	+	+	+
YGR242W	309	+	+	+	YHL022C	1197	+	+	+
YGR243W	441	+	+	+	YHL023C	3441	+	-	+
YGR244C	1284	+	+	+	YHL024W	2142	+	+	+
YGR245C	2304	+	+	+	YHL025W	999	+	+	+
YGR246C	1791	+	+	+	YHL026C	807	+	+	+
YGR247W	720	+	+	+	YHL027W	1878	+	+	+
YGR248W	768	+	+	+	YHL028W	1818	+	+	+
YGR249W	1371	+	+	+	YHL029C	2040	+	+	+
YGR250C	2346	+	+	+	YHL030W	5607	+	-	-
YGR251W	591	+	+	+	YHL031C	672	+	+	+
YGR252W	1320	+	-	+	YHL032C	2130	+	+	+
YGR253C	783	+	-	+	YHL033C	771	+	+	+
YGR254W	1314	+	+	+	YHL034C	885	+	+	+
YGR255C	1440	+	+	+	YHL035C	4779	+	-	+
YGR256W	1479	+	+	-	YHL036W	1641	+	+	+
YGR257C	1101	+	+	+	YHL037C	480	+	+	+
YGR258C	3096	+	+	+	YHL038C	1893	+	+	+
YGR259C	441	+	+	+	YHL039W	1758	+	+	+
YGR260W	1605	+	+	+	YHL040C	1884	+	-	+
YGR261C	2430	+	+	+	YHL041W	450	+	+	+
YGR262C	786	+	+	+	YHL042W	453	+	+	+
YGR263C	1275	+	+	+	YHL043W	513	+	+	+
YGR264C	2256	+	+	+	YHL044W	708	+	+	+
YGR265W	411	+	-	+	YHL045W	348	+	+	+
YGR266W	2106	+	+	+	YHL046C	363	+	+	+
YGR267C	732	+	+	+	YHL047C	1914	+	+	+
YGR268C	597	+	+	+	YHL048W	1146	+	+	+
YGR269W	327	+	+	+	YHL049C	816	+	+	+
YGR270W	4140	+	-	+	YHL050C	2094	+	+	+
YGR271W	5904	+	-	+	YHR001W	1314	+	+	+
YGR272C	459	+	+	+	YHR002W	1074	+	+	+
YGR273C	525	+	+	+	YHR003C	1290	+	+	+
YGR274C	3201	+	+	+	YHR004C	1341	+	+	+
YGR275W	561	+	+	+	YHR005C	1419	+	+	+
YGR276C	1662	+	+	+	YHR006W	1626	+	+	+
YGR277C	918	+	+	+	YHR007C	1593	+	+	+
YGR278W	1734	+	+	+	YHR008C	702	+	-	-
YGR279C	1161	+	+	+	YHR009C	1572	+	-	+
YGR280C	816	+	+	+	YHR010W	411	+	m	m
YGR281W	4434	+	-	+	YHR011W	1341	+	+	+
YGR282C	942	+	+	+	YHR012W	849	+	+	+
YGR283C	1026	+	+	+	YHR013C	717	+	+	+
YGR284C	933	+	+	+	YHR014W	876	+	+	+
YGR285C	1302	+	+	+	YHR015W	1980	+	+	+
YGR286C	1128	+	+	+	YHR016C	1407	+	+	+
YGR287C	1770	+	+	+	YHR017W	1158	+	+	+
YGR288W	1422	+	+	+	YHR018C	1392	+	+	+
YGR289C	1851	+	+	+	YHR019C	1665	+	+	+
YGR290W	444	+	+	+	YHR020W	2067	+	+	+
YGR291C	222	+	+	+	YHR021C	249	+	~500	~500
YGR292W	1755	+	-	-	YHR022C	771	+	+	+
YGR293C	462	+	+	+	YHR023W	5787	+	-	+
YGR294W	363	+	+	+	YHR024C	1449	+	+	+
YGR295C	1146	+	+	+	YHR025W	1074	+	-	+
YGR296W	5580			-	YHR026W	642	+	+	+
YHL001W	417	+	+	~800	YHR027C	2982	+	-	+
YHL002W	1359	+	+	+	YHR028C	2457	+	+	+
YHL003C	1236	+	+	+	YHR029C	885	+	+	+
YHL004W	1185	+	+	+	YHR030C	1455	+	+	+

ORF	Länge [bp]	1.PCR	2.PCR	3.PCR
YHR031C	2172	+	+	+
YHR032W	1746	+	+	+
YHR033W	1272	+	-	-
YHR034C	1035	+	+	+
YHR035W	1893	+	+	+
YHR036W	1416	+	+	+
YHR037W	1728	-	-	-
YHR038W	693	+	+	+
YHR039B	1935	+	~500	~500
YHR039C	345	-	-	-
YHR040W	1101	+	+	+
YHR041C	633	+	+	+
YHR042W	2076	+	+	+
YHR043C	741	+	+	+
YHR044C	741	+	+	+
YHR045W	1683	+	+	+
YHR046C	888	+	+	+
YHR047C	2571	+	+	+
YHR048W	1545	+	+	+
YHR049W	732	+	+	+
YHR050W	1650	+	+	+
YHR051W	447	+	-	+
YHR052W	1131	+	+	-
YHR053C	186	+	+	+
YHR054C	1065	+	+	+
YHR055C	186	+	+	+
YHR056C	2499	+	-	+
YHR057C	618	+	+	+
YHR058C	888	+	+	+
YHR059W	393	+	+	+
YHR060W	546	+	+	+
YHR061C	945	+	+	+
YHR062C	882	+	+	+
YHR063C	1140	+	+	+
YHR064C	1719	+	+	+
YHR065C	1632	+	+	+
YHR066W	1362	+	+	+
YHR067W	843	+	+	+
YHR068W	1164	+	+	+
YHR069C	1080	+	+	+
YHR070W	1500	+	+	+
YHR071W	690	+	+	+
YHR072W	2196	+	+	+
YHR073W	2991	+	-	+
YHR074W	2145	+	+	+
YHR075C	1203	+	+	+
YHR076W	1125	+	+	+
YHR077C	3270	+	-	+
YHR078W	1659	+	+	+
YHR079B	3348	+	-	-
YHR079C	153	+	-	~3500
YHR080C	4038	+	-	+
YHR081W	555	+	+	+
YHR082C	3090	+	-	+
YHR083W	990	+	+	+
YHR084W	2067	+	+	+
YHR085W	1005	-	-	-
YHR086W	1572	+	+	+
YHR087W	336	+	+	+
YHR088W	888	+	+	+
YHR089C	618	+	-	+
YHR090C	849	+	+	+
YHR091C	1932	+	-	+
YHR092C	1683	+	-	-
YHR093W	549	+	+	+
YHR094C	1713	+	+	+
YHR095W	435	+	+	+
YHR096C	1779	+	+	+
YHR097C	1101	+	+	+
YHR098C	2790	+	-	+
YHR099W	11235	-	-	-
YHR100C	558	+	+	+
YHR101C	1008	+	+	+
YHR102W	3243	+	-	+
YHR103W	2559	+	-	+
YHR104W	984	+	+	-

ORF	Länge [bp]	1.PCR	2.PCR	3.PCR
YHR105W	645	-	-	+
YHR106W	1029	+	-	+
YHR107C	1224	+	-	+
YHR108W	1758	+	-	+
YHR109W	1758	+	-	+
YHR110W	639	+	-	+
YHR111W	1323	+	-	+
YHR112C	1137	+	-	+
YHR113W	1473	+	-	+
YHR114W	1902	+	-	+
YHR115C	1251	+	-	+
YHR116W	456	+	-	+
YHR117W	1920	+	-	+
YHR118C	1308	+	-	+
YHR119W	3243	+	-	+
YHR120W	2880	+	-	+
YHR121W	564	+	-	+
YHR122W	696	+	-	+
YHR123W	1176	+	-	+
YHR124W	1884	+	-	+
YHR125W	306	+	-	+
YHR126C	480	+	-	+
YHR127W	732	+	-	+
YHR128W	756	+	+	+
YHR129C	1155	+	+	+
YHR130C	336	+	+	+
YHR131C	2523	+	+	+
YHR132C	1293	+	+	+
YHR133C	876	+	+	+
YHR134W	810	+	+	+
YHR135C	1617	+	+	+
YHR136C	447	+	-	+
YHR137W	1542	+	+	+
YHR138C	345	+	+	+
YHR139C	981	+	+	+
YHR140W	720	+	+	+
YHR141C	321	+	~750	~750
YHR142W	951	+	+	+
YHR143B	978	+	~250	~250
YHR143W	213	+	~1000	~1000
YHR144C	939	+	+	+
YHR145C	357	+	+	+
YHR146W	1398	+	+	+
YHR147C	645	+	+	+
YHR148W	552	+	+	+
YHR149C	2205	+	+	+
YHR150W	1740	+	+	+
YHR151C	1581	+	+	+
YHR152W	522	+	+	+
YHR153C	597	+	+	+
YHR154W	3213	+	-	+
YHR155W	3687	+	-	+
YHR156C	1023	+	+	+
YHR157W	549	+	+	+
YHR158C	3495	+	-	+
YHR159W	1515	+	+	+
YHR160C	852	+	+	+
YHR161C	1914	+	+	+
YHR162W	390	+	+	+
YHR163W	843	+	+	+
YHR164C	4569	+	-	+
YHR165C	7242	+	-	-
YHR166C	1881	+	+	+
YHR167W	786	+	+	+
YHR168W	1500	+	+	+
YHR169W	1296	+	+	+
YHR170W	1557	+	+	+
YHR171W	1893	+	+	+
YHR172W	2472	+	-	+
YHR173C	339	+	+	+
YHR174W	1314	+	+	+
YHR175W	570	+	+	+
YHR176W	1122	+	+	+
YHR177W	1362	+	+	+
YHR178W	2232	+	+	+
YHR179W	1203	+	+	+

ORF	Länge [bp]	1.PCR	2.PCR	3.PCR	ORF	Länge [bp]	1.PCR	2.PCR	3.PCR
YHR180W	492	+	+	+	YIL037C	1971	+	+	+
YHR181W	687	+	+	+	YIL038C	2511	+	+	+
YHR182W	2358	+	+	+	YIL039W	1422	+	+	+
YHR183W	1470	+	+	+	YIL040W	417	+	+	+
YHR184W	1716	+	+	+	YIL041W	981	+	+	+
YHR185C	714	+	+	+	YIL042C	1185	+	+	+
YHR186C	4674	+	-	+	YIL043C	969	+	+	+
YHR187W	930	+	-	+	YIL044C	897	+	+	+
YHR188C	1833	+	+	+	YIL045W	1617	+	+	+
YHR189W	573	+	+	+	YIL046W	1923	+	+	+
YHR190W	1335	+	+	+	YIL047C	2709	+	+	+
YHR191C	402	+	+	+	YIL048W	3456	+	-	+
YHR192W	837	+	+	+	YIL049W	762	+	+	+
YHR193C	525	+	+	+	YIL050W	858	+	+	+
YHR194W	1740	+	+	+	YIL051C	438	+	+	+
YHR195W	966	+	+	+	YIL052C	366	+	~1000	~800
YHR196W	1728	+	+	+	YIL053W	816	+	+	+
YHR197W	2292	+	+	+	YIL054W	318	+	+	+
YHR198C	966	+	+	+	YIL055C	1884	+	-	+
YHR199C	933	+	+	+	YIL056W	1923	+	+	+
YHR200W	807	+	+	+	YIL057C	495	+	+	+
YHR201C	1194	+	+	+	YIL058W	285	+	+	+
YHR202W	1809	+	+	+	YIL059C	366	+	+	+
YHR203C	786	+	+	+	YIL060W	435	+	+	+
YHR204W	2391	+	+	+	YIL061C	903	+	+	+
YHR205W	2475	+	+	+	YIL062C	465	+	+	+
YHR206W	1869	+	+	+	YIL063C	984	+	+	+
YHR207C	1581	+	+	+	YIL064W	774	+	+	+
YHR208W	1182	+	+	+	YIL065C	468	+	-	+
YHR209W	891	+	+	+	YIL066C	2658	+	+	+
YHR210C	1026	+	+	+	YIL067C	2037	+	+	+
YHR211W	3228	+	-	+	YIL068C	2418	+	-	+
YHR212C	336	+	+	+	YIL069C	408	+	~800	~800
YHR213W	597	+	+	+	YIL070C	801	+	+	+
YHR214W	612	+	+	+	YIL071W	1335	+	+	+
YHR215W	1404	+	+	+	YIL072W	1818	+	+	+
YHR216W	1572	+	+	+	YIL073C	2661	+	-	+
YHR217C	462	+	-	s	YIL074W	1410	+	+	+
YHR218W	603	+	+	+	YIL075C	2838	+	+	+
YHR219W	624	+	+	+	YIL076W	1080	+	+	+
YIL001W	1542	+	+	+	YIL077C	963	+	+	+
YIL002C	2841	+	+	+	YIL078W	2205	+	+	+
YIL003W	882	+	+	+	YIL079C	1083	+	+	+
YIL004C	429	+	+	+	YIL080W	333	+	+	+
YIL005W	2106	+	+	+	YIL082W	6	+	~1000	~1000
YIL006W	1122	+	+	+	YIL083C	1098	+	+	+
YIL007C	663	+	-	+	YIL084C	984	+	+	-
YIL008W	300	+	+	+	YIL085C	1554	+	+	+
YIL009W	2085	+	+	+	YIL086C	309	+	+	+
YIL010W	648	+	+	+	YIL087C	474	+	+	+
YIL011W	810	+	+	+	YIL088C	1473	+	+	+
YIL012W	393	+	+	+	YIL089W	618	+	+	+
YIL013C	4236	-	-	-	YIL090W	1476	+	+	+
YIL014W	1893	+	+	+	YIL091C	2166	+	+	+
YIL015W	1764	+	+	+	YIL092W	1902	+	+	+
YIL016W	480	+	+	+	YIL093C	795	+	-	+
YIL017W	2766	+	+	+	YIL094C	1116	+	+	+
YIL018W	765	+	~1200	~1200	YIL095W	2433	+	-	+
YIL019W	1041	+	+	+	YIL096C	1011	+	+	+
YIL020C	786	+	+	+	YIL097W	1551	+	+	+
YIL021W	957	+	+	+	YIL098C	468	+	+	+
YIL022W	1296	+	+	+	YIL099W	1650	+	+	+
YIL023C	1041	+	+	+	YIL100W	354	+	+	+
YIL024C	570	+	+	+	YIL101C	1944	+	+	+
YIL025C	375	+	+	+	YIL102C	306	+	+	+
YIL026C	3453	+	-	+	YIL103W	1278	+	+	+
YIL027C	426	+	-	-	YIL104C	1524	+	+	+
YIL028W	399	+	+	+	YIL105C	2061	+	-	+
YIL029C	429	+	+	+	YIL106W	711	+	+	+
YIL030C	3960	+	-	+	YIL107C	2484	+	+	+
YIL031W	3105	+	-	+	YIL108W	2091	+	+	+
YIL032C	357	+	+	+	YIL109C	2781	+	+	+
YIL033C	1251	+	+	+	YIL110W	1134	+	+	+
YIL034C	864	+	+	+	YIL111W	456	+	+	+
YIL035C	1119	+	+	+	YIL112W	3252	+	+	+
YIL036W	1764	+	+	+	YIL113W	630	+	+	+

ORF	Länge [bp]	1.PCR	2.PCR	3.PCR	ORF	Länge [bp]	1.PCR	2.PCR	3.PCR
YIL114C	846	+	+	+	YIR013C	366	+	+	+
YIL115C	4383	+	-	+	YIR014W	831	+	+	+
YIL116W	1158	+	+	+	YIR015W	435	+	+	m
YIL117C	957	+	+	+	YIR016W	798	+	+	+
YIL118W	696	-	-	-	YIR017C	564	+	+	+
YIL119C	1224	+	+	+	YIR018W	738	+	+	+
YIL120W	1692	+	+	+	YIR019C	4104	-	-	-
YIL121W	1629	+	+	+	YIR020C	303	+	+	+
YIL122W	1056	+	+	+	YIR021W	1092	+	+	+
YIL123W	1428	+	+	+	YIR022W	504	+	+	+
YIL124W	894	+	+	+	YIR023W	2913	+	-	-
YIL125W	3045	+	+	+	YIR024C	651	+	+	+
YIL126W	4080	-	-	-	YIR025W	1107	+	+	+
YIL127C	621	+	+	+	YIR026C	1095	+	+	+
YIL128W	3099	+	+	+	YIR027C	1383	+	+	+
YIL129C	7131	+	-	+	YIR028W	1908	+	+	-
YIL130W	2895	+	-	+	YIR029W	1032	+	+	+
YIL131C	1455	+	-	-	YIR030C	735	+	+	+
YIL132C	642	+	+	+	YIR031C	1665	+	+	+
YIL133C	600	+	~1000	~1000	YIR032C	588	+	+	+
YIL134W	936	+	+	+	YIR033W	3342	+	+	-
YIL135C	1311	-	-	-	YIR034C	1122	+	+	+
YIL136W	1182	+	+	+	YIR035C	765	+	+	+
YIL137C	2841	+	+	+	YIR036C	792	+	+	+
YIL138C	486	+	+	+	YIR037W	492	+	+	+
YIL139C	738	+	+	+	YIR038C	705	+	+	+
YIL140W	2472	+	+	+	YIR039C	1614	+	+	m
YIL141W	390	~600	+	+	YIR040C	333	+	+	+
YIL142W	1584	+	+	+	YIR041W	375	+	+	+
YIL143C	2532	+	+	+	YIR042C	711	+	+	+
YIL144W	2076	+	+	+	YIR043C	693	+	+	+
YIL145C	1038	+	+	+	YIR044C	186	+	+	+
YIL146C	1590	+	+	+	YJL001W	648	+	-	~750
YIL147C	3663	+	-	+	YJL002C	1431	+	+	+
YIL148W	387	+	~1000	~1000	YJL003W	357	+	+	+
YIL149C	5040	+	-	+	YJL004C	612	+	+	+
YIL150C	1716	+	+	+	YJL005W	6081	+	s	-
YIL151C	3357	+	-	+	YJL006C	972	+	+	+
YIL152W	708	+	+	+	YJL007C	315	+	+	+
YIL153W	1182	+	+	+	YJL008C	1707	+	+	+
YIL154C	1041	+	+	+	YJL009W	327	+	+	+
YIL155C	1950	+	+	+	YJL010C	2001	+	+	+
YIL156W	3216	+	+	+	YJL011C	486	+	+	+
YIL157C	594	+	+	+	YJL012C	1947	+	+	+
YIL158W	615	+	+	+	YJL013C	1548	+	+	-
YIL159W	4128	+	-	+	YJL014W	1605	+	+	+
YIL160C	1254	+	+	+	YJL015C	375	+	+	+
YIL161W	708	+	+	+	YJL016W	516	+	+	+
YIL162W	1983	+	+	+	YJL017W	978	+	+	+
YIL163C	354	+	+	+	YJL018W	315	+	+	+
YIL164C	600	+	+	+	YJL019W	1863	+	+	+
YIL165C	360	+	+	+	YJL020C	2316	+	+	-
YIL166C	1629	+	+	+	YJL021C	1098	+	+	+
YIL167W	633	+	+	+	YJL022W	309	+	+	+
YIL168W	384	+	+	+	YJL023C	1044	+	+	+
YIL169C	2988	+	-	+	YJL024C	585	+	+	+
YIL170W	1374	+	+	+	YJL025W	1545	+	+	+
YIL171W	330	+	+	+	YJL026W	1200	+	+	+
YIL172C	1770	+	+	+	YJL027C	417	+	+	+
YIL173W	4650	+	-	+	YJL028W	336	+	+	+
YIL174W	228	+	+	+	YJL029C	2469	+	+	+
YIL175W	318	+	+	+	YJL030W	591	+	+	+
YIL176C	363	+	+	+	YJL031C	873	+	+	+
YIL177C	5277	+	-	+	YJL032W	315	+	+	+
YIR001C	753	+	+	+	YJL033W	2313	+	+	+
YIR002C	2982	+	+	+	YJL034W	2049	+	+	+
YIR003W	2040	+	+	+	YJL035C	753	+	+	+
YIR004W	1299	+	+	+	YJL036W	1272	+	+	+
YIR005W	447	+	+	+	YJL037W	675	+	+	+
YIR006C	4443	-	-	-	YJL038C	660	+	+	+
YIR007W	2295	+	+	+	YJL039C	5052	+	+	-
YIR008C	1230	+	+	+	YJL041W	2472	+	+	+
YIR009W	336	+	+	+	YJL042W	4197	+	+	+
YIR010W	1731	+	+	+	YJL043W	774	+	+	+
YIR011C	960	+	+	+	YJL044C	1377	+	+	+
YIR012W	1296	+	+	+	YJL045W	1905	+	+	-



ORF	Länge [bp]	1.PCR	2.PCR	3.PCR
YJL046W	1356	+	+	+
YJL047C	2529	+	+	+
YJL048C	1191	+	+	+
YJL049W	1353	+	+	+
YJL050W	3222	+	+	+
YJL051W	2469	+	+	+
YJL052W	999	+	+	+
YJL053W	1140	+	+	+
YJL054W	1437	-	-	-
YJL055W	738	+	+	+
YJL056C	2643	+	+	+
YJL057C	2004	+	+	+
YJL058C	1632	+	+	+
YJL059W	1227	+	+	+
YJL060W	1335	+	+	+
YJL061W	2142	+	+	-
YJL062W	2493	+	+	+
YJL063C	717	+	+	+
YJL064W	396	+	+	+
YJL065C	504	+	+	+
YJL066C	759	+	+	+
YJL067W	351	+	+	+
YJL068C	900	+	+	+
YJL069C	1785	+	+	-
YJL070C	2667	+	-	-
YJL071W	1725	+	+	+
YJL072C	642	+	+	+
YJL073W	2079	+	+	+
YJL074C	3693	+	+	+
YJL075C	417	+	+	+
YJL076W	3570	+	+	+
YJL077C	396	+	+	+
YJL078C	2646	+	+	-
YJL079C	900	+	+	+
YJL080C	3669	+	+	+
YJL081C	1470	+	+	+
YJL082W	2196	+	+	+
YJL083W	1815	+	+	+
YJL084C	3141	+	+	+
YJL085W	1872	+	+	+
YJL086C	369	+	+	+
YJL087C	2484	+	+	+
YJL088W	1323	+	+	+
YJL089W	2490	+	+	-
YJL090C	2295	+	+	+
YJL091C	1497	+	+	-
YJL092W	3525	+	+	-
YJL093C	2076	+	+	+
YJL094C	2622	+	+	+
YJL095W	4437	+	-	-
YJL096W	675	+	+	+
YJL097W	654	+	+	+
YJL098W	3177	+	+	+
YJL099W	2241	+	+	+
YJL100W	1824	+	+	+
YJL101C	2037	+	+	+
YJL102W	2460	+	+	+
YJL103C	1857	+	+	+
YJL104W	450	+	+	+
YJL105W	1683	+	+	+
YJL106W	1938	+	+	+
YJL107C	1164	+	+	+
YJL108C	1152	+	+	+
YJL109C	5310	+	+	-
YJL110C	1656	+	+	+
YJL111W	1653	+	+	+
YJL112W	2145	+	+	+
YJL113W	5412	-	-	-
YJL114W	1245	+	+	-
YJL115W	840	+	+	+
YJL116C	1014	+	+	+
YJL117W	936	+	+	+
YJL118W	660	-	-	-
YJL119C	324	+	+	+
YJL120W	324	+	+	-
YJL121C	717	+	+	+

ORF	Länge [bp]	1.PCR	2.PCR	3.PCR
YJL122W	528	+	+	+
YJL123C	1437	+	+	+
YJL124C	519	+	+	+
YJL125C	1152	+	+	+
YJL126W	924	+	+	+
YJL127C	1923	+	+	-
YJL128C	2007	+	+	+
YJL129C	3708	+	+	-
YJL130C	6645	+	+	-
YJL131C	1071	+	+	+
YJL132W	2253	+	+	+
YJL133W	945	+	+	+
YJL134W	1230	+	+	+
YJL135W	318	+	+	+
YJL136C	264	+	m	m
YJL137C	1143	+	+	+
YJL138C	1188	+	+	+
YJL139C	1287	+	+	+
YJL140W	666	+	+	+
YJL141C	2424	+	+	+
YJL142C	393	+	+	+
YJL143W	477	+	+	+
YJL144W	315	+	+	+
YJL145W	885	+	+	+
YJL146W	1410	+	+	+
YJL147C	1149	+	+	+
YJL148W	702	+	+	+
YJL149W	1992	+	+	+
YJL150W	303	+	+	+
YJL151C	402	+	+	+
YJL152W	360	+	+	+
YJL153C	1668	+	+	+
YJL154C	2835	+	m	m
YJL155C	1359	+	+	+
YJL156C	2064	+	+	+
YJL157C	2493	+	+	+
YJL158C	684	+	+	-
YJL159W	933	+	+	+
YJL160C	543	+	+	+
YJL161W	543	+	+	+
YJL162C	1449	+	+	+
YJL163C	1668	+	+	+
YJL164C	1194	+	+	+
YJL165C	2568	+	+	+
YJL166W	285	+	+	+
YJL167W	1059	+	+	+
YJL168C	2202	+	+	+
YJL169W	369	+	+	+
YJL170C	552	+	+	+
YJL171C	1191	+	+	-
YJL172W	1731	+	+	+
YJL173C	369	+	+	+
YJL174W	831	+	+	+
YJL175W	513	+	+	+
YJL176C	2478	+	+	+
YJL177W	555	+	~750	+
YJL178C	591	+	+	-
YJL179W	330	+	+	+
YJL180C	978	+	+	+
YJL181W	1836	+	+	+
YJL182C	318	+	+	+
YJL183W	1269	+	+	+
YJL184W	372	+	+	+
YJL185C	882	+	+	-
YJL186W	1761	+	+	-
YJL187C	2460	+	+	+
YJL188C	309	+	+	+
YJL189W	156	+	~500	~500
YJL190C	393	+	+	+
YJL191W	417	+	~750	~750
YJL192C	705	+	+	+
YJL193W	1209	+	+	+
YJL194W	1542	+	+	+
YJL195C	702	+	+	+
YJL196C	933	+	+	+
YJL197W	3765	+	-	+

ORF	Länge [bp]	1.PCR	2.PCR	3.PCR	ORF	Länge [bp]	1.PCR	2.PCR	3.PCR
YJL198W	2646	+	+	+	YJR049C	1593	+	+	+
YJL199C	327	+	+	+	YJR050W	708	+	+	+
YJL200C	2370	+	+	+	YJR051W	1506	+	+	+
YJL201W	1800	+	+	+	YJR052W	1698	+	+	+
YJL202C	348	+	+	+	YJR053W	1725	+	+	+
YJL203W	843	+	+	+	YJR054W	1494	+	+	+
YJL204C	2523	+	+	-	YJR055W	495	+	+	+
YJL206C	162	+	~300	-	YJR056C	711	+	+	+
YJL206C	2277	+	+	+	YJR057W	651	+	+	+
YJL207C	6045	+	+	-	YJR058C	444	+	+	+
YJL208C	990	+	+	+	YJR059W	2457	+	+	+
YJL209W	1965	+	+	+	YJR060W	1056	+	+	+
YJL210W	816	+	-	-	YJR061W	2808	+	+	-
YJL211C	444	-	-	-	YJR062C	1374	+	-	-
YJL212C	2400	+	+	+	YJR063W	378	+	+	+
YJL213W	996	+	+	+	YJR064W	1689	+	+	+
YJL214W	1710	+	+	+	YJR065C	1350	+	+	+
YJL215C	360	+	+	+	YJR066W	7413	+	+	-
YJL216C	1746	+	+	s	YJR067C	426	+	+	+
YJL217W	597	+	+	-	YJR068W	1062	+	+	+
YJL218W	591	+	+	+	YJR069C	594	+	+	+
YJL219W	1704	+	+	+	YJR070C	978	+	+	+
YJL220W	453	-	-	-	YJR071W	369	+	+	+
YJL221C	1770	+	+	+	YJR072C	1158	+	+	+
YJL222W	4650	+	-	-	YJR073C	621	+	+	+
YJL223C	363	+	+	+	YJR074W	657	+	+	+
YJL225C	5277	+	+	+	YJR075W	1191	+	+	+
YJR001W	1809	+	+	+	YJR076C	1248	+	+	+
YJR002W	1782	+	+	-	YJR077C	936	+	+	+
YJR003C	1620	+	+	+	YJR078W	1362	+	+	+
YJR004C	1953	+	+	+	YJR079W	330	+	-	-
YJR005W	2103	+	+	+	YJR080C	1185	+	+	+
YJR006W	1464	+	+	+	YJR082C	342	+	+	+
YJR007W	915	+	+	+	YJR083C	930	+	+	+
YJR008W	1017	+	+	+	YJR084W	1272	+	+	+
YJR009C	999	+	+	+	YJR085C	318	+	+	+
YJR010C	285	+	+	-	YJR086W	333	+	+	+
YJR010W	1536	+	~300	~300	YJR087W	351	+	+	+
YJR011C	786	+	+	+	YJR088C	879	+	+	+
YJR012C	624	+	+	+	YJR089W	2865	+	-	+
YJR013W	918	+	+	+	YJR090C	3456	+	+	+
YJR014W	597	+	+	+	YJR091C	3276	+	+	+
YJR015W	1533	+	+	+	YJR092W	4347	+	-	+
YJR016C	1758	+	+	+	YJR093C	984	+	+	+
YJR017C	573	+	+	+	YJR094C	1083	+	+	-
YJR018W	363	+	+	+	YJR095W	969	+	+	+
YJR019C	1050	+	+	+	YJR096W	849	+	+	+
YJR020W	333	+	+	+	YJR097W	519	+	+	+
YJR021C	945	+	+	+	YJR098C	1968	+	+	+
YJR022W	387	+	+	+	YJR099W	711	+	+	+
YJR023C	402	+	+	+	YJR100C	984	+	+	+
YJR024C	735	+	+	+	YJR101W	801	-	-	-
YJR025C	534	+	+	+	YJR102C	609	+	+	+
YJR026W	1323	+	+	+	YJR103W	1695	+	+	+
YJR027W	5268	+	+	-	YJR104C	465	+	+	+
YJR028W	1323	+	+	+	YJR105W	1023	+	+	+
YJR029W	5268	+	+	-	YJR106W	2178	+	+	+
YJR030C	2238	+	+	+	YJR107W	987	+	+	+
YJR031C	4227	+	+	-	YJR108W	372	+	+	+
YJR032W	1182	+	+	+	YJR109C	3357	+	+	+
YJR033C	4074	+	+	-	YJR110W	2067	+	+	+
YJR034W	327	+	+	+	YJR111C	852	+	+	+
YJR035W	3258	+	+	-	YJR112W	606	+	+	+
YJR036C	2679	+	+	+	YJR113C	744	+	+	+
YJR037W	384	+	+	+	YJR114W	393	+	+	+
YJR038C	363	+	+	+	YJR115W	510	+	+	+
YJR039W	3366	+	+	+	YJR116W	840	+	+	+
YJR040W	2340	+	+	+	YJR117W	1362	+	+	+
YJR041C	3525	+	+	+	YJR118C	612	+	+	+
YJR042W	2235	-	-	-	YJR119C	2187	+	+	+
YJR043C	1053	+	+	+	YJR120W	351	+	+	+
YJR044C	423	+	+	+	YJR121W	1536	+	+	+
YJR045C	1965	+	+	+	YJR122W	1494	+	+	+
YJR046W	1815	+	+	+	YJR123W	678	+	+	+
YJR047C	474	+	+	+	YJR124C	1347	+	+	+
YJR048W	330	+	+	+	YJR125C	1227	+	+	+

ORF	Länge [bp]	1.PCR	2.PCR	3.PCR	ORF	Länge [bp]	1.PCR	2.PCR	3.PCR
YJR126C	2436	+	+	+	YKL039W	1596	+	+	+
YJR127C	4143	+	+	-	YKL040C	771	+	+	+
YJR128W	360	+	+	+	YKL041W	675	+	+	+
YJR129C	1020	+	+	+	YKL042W	1092	-	-	-
YJR130C	1920	+	+	+	YKL043W	1101	+	+	+
YJR131W	1650	+	+	+	YKL044W	321	+	+	+
YJR132W	3147	+	+	-	YKL045W	1587	+	-	+
YJR133W	630	+	+	+	YKL046C	1350	+	+	+
YJR134C	2124	+	+	+	YKL047W	1551	+	+	+
YJR135C	720	+	+	+	YKL048C	1923	+	+	+
YJR136C	1266	+	+	+	YKL049C	414	+	+	+
YJR137C	4329	+	+	+	YKL050C	2769	+	-	+
YJR138W	4755	-	s	-	YKL051W	1062	+	+	+
YJR139C	1080	+	+	+	YKL052C	879	+	+	+
YJR140C	4947	+	+	-	YKL053W	375	+	+	+
YJR141W	1044	+	+	+	YKL054C	2217	+	-	+
YJR142W	1029	+	+	+	YKL055C	837	+	+	+
YJR143C	2289	+	+	+	YKL056C	504	+	+	+
YJR144W	810	+	+	+	YKL057C	3114	+	-	+
YJR145C	786	+	+	~1000	YKL058W	369	+	-	+
YJR146W	354	+	+	+	YKL059C	1326	+	+	+
YJR147W	1077	+	+	+	YKL060C	1080	+	+	+
YJR148W	1131	+	+	+	YKL061W	342	+	+	+
YJR149W	1215	+	+	+	YKL062W	1893	+	-	+
YJR150C	897	+	+	+	YKL063C	504	+	+	+
YJR151C	3486	+	+	+	YKL064W	2910	+	-	+
YJR152W	1632	+	+	+	YKL065C	621	+	+	+
YJR153W	1086	+	+	+	YKL066W	444	-	-	-
YJR154W	1041	+	+	+	YKL067W	462	+	+	+
YJR155W	867	+	+	+	YKL068W	2880	+	+	+
YJR156C	1023	+	+	+	YKL069W	543	+	+	+
YJR157W	363	+	+	+	YKL070W	510	+	+	+
YJR158W	1704	+	+	+	YKL071W	771	+	+	+
YJR159W	1074	+	+	+	YKL072W	2301	+	+	+
YJR160C	602	+	-	-	YKL073W	2646	+	+	+
YJR161C	383	+	+	+	YKL074C	1584	+	+	+
YJR162C	116	+	+	+	YKL075C	1353	+	+	+
YKL001C	609	-	-	-	YKL076C	384	+	+	+
YKL002W	456	+	+	+	YKL077W	1179	+	+	+
YKL003C	396	+	+	+	YKL078W	2208	+	+	+
YKL004W	1206	+	+	+	YKL079W	1971	+	+	+
YKL005C	1785	+	+	+	YKL080W	1179	+	+	+
YKL006B	294	+	+	+	YKL081W	1239	+	+	+
YKL006W	417	+	+	~800	YKL082C	1305	+	+	+
YKL007W	807	+	+	+	YKL083W	615	+	-	-
YKL008C	1257	+	+	+	YKL084W	351	+	+	+
YKL009W	711	+	+	-	YKL085W	1005	+	+	+
YKL010C	4452	+	-	-	YKL086W	384	+	+	+
YKL011C	1062	+	+	+	YKL087C	675	+	+	+
YKL012W	1752	+	+	+	YKL088W	1716	+	+	+
YKL013C	516	+	+	+	YKL089W	1650	+	+	+
YKL014C	5295	+	+	-	YKL090W	1332	+	+	+
YKL015W	2940	+	-	+	YKL091C	933	+	+	+
YKL016C	525	+	+	+	YKL092C	3315	+	-	+
YKL017C	2052	+	+	+	YKL093W	1020	+	~800	+
YKL018W	990	+	+	+	YKL094W	942	+	+	+
YKL019W	951	+	+	+	YKL095W	837	+	+	+
YKL020C	3249	+	-	+	YKL096W	720	+	+	-
YKL021C	1407	+	+	+	YKL097C	411	+	+	+
YKL022C	2523	+	+	+	YKL097W	279	+	+	+
YKL023W	834	+	+	+	YKL098W	1074	+	+	+
YKL024C	615	+	+	+	YKL099C	771	+	+	+
YKL025C	2040	+	-	+	YKL100C	1764	~2100	+	+
YKL026C	504	-	+	-	YKL101W	4557	~6000	-	+
YKL027W	1344	+	+	+	YKL102C	306	+	+	+
YKL028W	1449	+	+	+	YKL103C	1545	~2000	+	+
YKL029C	2010	+	+	+	YKL104C	2154	~3000	+	+
YKL030W	606	+	-	+	YKL105C	3399	~5000	-	+
YKL031W	414	+	+	+	YKL106W	1356	+	+	+
YKL032C	1794	+	+	+	YKL107W	930	+	+	+
YKL033W	3117	+	-	+	YKL108W	1362	+	+	+
YKL034W	2277	+	+	+	YKL109W	1665	+	+	+
YKL035W	1500	+	+	+	YKL110C	942	+	+	+
YKL036C	393	+	+	+	YKL111C	336	+	+	+
YKL037W	357	+	+	+	YKL112W	2196	+	+	+
YKL038W	3513	+	-	+	YKL113C	1149	+	+	+

ORF	Länge [bp]	1.PCR	2.PCR	3.PCR	ORF	Länge [bp]	1.PCR	2.PCR	3.PCR
YKL114C	1104	+	+	+	YKL190W	528	+	+	+
YKL115C	393	+	+	+	YKL191W	1605	+	-	+
YKL116C	1557	+	-	+	YKL192C	378	+	+	+
YKL117W	651	+	+	+	YKL193C	1017	+	+	+
YKL118W	312	+	+	+	YKL194C	1389	-	-	-
YKL119C	648	+	+	+	YKL195W	1284	-	-	-
YKL120W	975	+	+	+	YKL196C	603	+	+	+
YKL121W	2559	+	+	+	YKL197C	3132	+	-	+
YKL122C	504	+	+	+	YKL198C	1683	+	+	+
YKL123W	381	+	+	+	YKL199C	564	+	+	+
YKL124W	1740	+	+	+	YKL200C	1197	+	+	+
YKL125W	1884	+	+	+	YKL201C	1620	-	-	-
YKL126W	2043	+	+	+	YKL202W	582	-	-	-
YKL127W	1713	+	+	+	YKL203C	7422	+	-	-
YKL128C	888	+	+	+	YKL204W	1899	-	-	-
YKL129C	3816	+	-	+	YKL205W	3303	+	-	+
YKL130C	741	+	+	+	YKL206C	804	+	+	+
YKL131W	522	+	+	+	YKL207W	783	+	+	+
YKL132C	1293	+	+	+	YKL208W	816	+	+	+
YKL133C	1392	+	+	+	YKL209C	3873	+	-	-
YKL134C	2313	+	+	+	YKL210W	3075	+	-	+
YKL135C	2181	+	+	+	YKL211C	1455	+	+	+
YKL136W	399	+	+	+	YKL212W	1872	+	+	+
YKL137W	312	+	+	+	YKL213C	2148	+	+	+
YKL138C	396	+	+	+	YKL214C	612	+	+	+
YKL139W	1587	+	-	+	YKL215C	3861	+	-	+
YKL140W	1647	+	+	+	YKL216W	945	+	+	+
YKL141W	597	+	+	+	YKL217W	1851	+	-	+
YKL142W	660	+	+	+	YKL218C	981	+	+	+
YKL143W	1392	+	+	+	YKL219W	1224	+	-	+
YKL144C	639	+	+	+	YKL220C	2136	+	-	+
YKL145W	1404	+	+	+	YKL221W	1422	+	+	+
YKL146W	2079	+	+	+	YKL222C	2118	+	-	+
YKL147C	618	+	+	+	YKL223W	333	+	+	+
YKL148C	1923	+	+	+	YKL224C	372	+	+	+
YKL149C	1218	+	+	+	YKL225W	348	-	-	-
YKL150W	909	+	+	+	YKR001C	2115	+	+	+
YKL151C	1014	+	+	+	YKR002W	1707	+	+	+
YKL152C	744	+	+	+	YKR003W	1347	+	+	+
YKL153W	510	+	-	+	YKR004C	879	+	+	+
YKL154W	735	+	+	+	YKR005C	1344	+	+	+
YKL155C	1887	+	+	+	YKR006C	828	+	+	+
YKL156W	249	+	~600	~600	YKR007W	555	+	+	+
YKL157W	2535	+	+	+	YKR008W	1878	+	-	+
YKL158W	303	+	-	+	YKR009C	2703	+	-	+
YKL159C	636	+	+	+	YKR010C	2316	+	-	+
YKL160W	438	+	+	+	YKR011C	1062	+	+	+
YKL161C	1302	+	+	+	YKR012C	378	+	+	+
YKL162C	1209	+	+	+	YKR013W	990	+	+	+
YKL163W	978	+	+	+	YKR014C	705	+	+	+
YKL164C	1026	+	+	+	YKR015C	1707	+	+	+
YKL165C	2760	+	-	+	YKR016W	1623	+	+	+
YKL166C	1197	+	-	+	YKR017C	1656	+	+	+
YKL167C	414	+	+	+	YKR018C	2178	+	-	+
YKL168C	2205	+	+	+	YKR019C	1848	+	+	+
YKL169C	384	+	+	+	YKR020W	495	+	+	+
YKL170W	417	+	+	+	YKR021W	2748	+	-	+
YKL171W	2787	+	-	+	YKR022C	969	+	+	+
YKL172W	1284	+	+	+	YKR023W	1593	+	~750	+
YKL173W	3027	+	-	+	YKR024C	2229	+	+	+
YKL174C	1857	+	-	+	YKR025W	849	+	+	+
YKL175W	1512	+	+	+	YKR026C	918	+	+	+
YKL176C	2487	+	-	+	YKR027W	2298	+	-	+
YKL177W	339	+	+	+	YKR028W	3297	+	-	+
YKL178C	1413	+	+	+	YKR029C	2256	+	-	+
YKL179C	2040	+	-	+	YKR030W	822	+	+	+
YKL180W	555	+	+	+	YKR031C	5052	+	-	-
YKL181W	1284	+	+	+	YKR032W	315	+	+	+
YKL182W	6156	+	-	-	YKR033C	426	+	+	+
YKL183W	921	+	+	+	YKR034W	810	+	+	+
YKL184W	1401	+	+	+	YKR035C	642	+	+	+
YKL185W	1767	+	+	+	YKR036C	1980	+	+	+
YKL186C	555	+	+	+	YKR037C	888	+	+	+
YKL187C	2253	+	+	+	YKR038C	1266	+	+	+
YKL188C	2562	+	-	+	YKR039W	1809	+	+	+
YKL189W	1200	+	+	+	YKR040C	504	+	+	+

ORF	Länge [bp]	1.PCR	2.PCR	3.PCR	ORF	Länge [bp]	1.PCR	2.PCR	3.PCR
YKR041W	753	+	+	+	YLL011w	1470	+	+	+
YKR042W	1353	+	+	+	YLL012W	1722	+	+	-
YKR043C	816	+	+	-	YLL013C	2640	+	+	+
YKR044W	1332	+	+	+	YLL014W	327	+	+	+
YKR045C	576	+	+	+	YLL015W	4680	+	+	-
YKR046C	852	+	+	+	YLL016w	3147	+	+	-
YKR047W	306	+	-	+	YLL017W	312	+	+	+
YKR048C	1254	+	+	+	YLL018c	1674	+	+	+
YKR049C	402	+	+	+	YLL019c	2214	+	+	+
YKR050W	2670	+	-	+	YLL020C	306	+	+	+
YKR051W	1257	+	+	+	YLL021w	4401	+	+	-
YKR052C	915	+	+	+	YLL022C	1158	+	+	+
YKR053C	1215	+	+	+	YLL023C	840	+	+	+
YKR054C	12279	-	-	-	YLL024c	1920	+	+	+
YKR055W	876	+	+	+	YLL025W	375	+	+	+
YKR056W	1854	+	+	+	YLL026w	2727	+	+	+
YKR057W	264	+	+	m	YLL027W	753	+	+	+
YKR058W	1443	+	+	+	YLL028W	1761	+	+	+
YKR059W	1188	+	+	+	YLL029W	2250	+	+	+
YKR060W	825	+	+	+	YLL030C	342	+	+	+
YKR061W	1278	+	+	+	YLL031C	3054	+	+	+
YKR062W	987	+	+	+	YLL032C	2478	+	-	+
YKR063C	1509	+	+	+	YLL033W	693	+	+	+
YKR064W	2592	+	+	-	YLL034C	2514	+	+	+
YKR065C	594	+	+	+	YLL035W	1899	+	+	+
YKR066C	1086	+	+	+	YLL036c	1512	+	+	+
YKR067W	2232	+	+	+	YLL037W	381	+	+	+
YKR068C	582	+	+	+	YLL038C	744	+	+	+
YKR069W	1782	+	+	+	YLL039c	1146	+	+	+
YKR070W	1059	+	+	+	YLL040C	9435	+	-	-
YKR071C	1047	+	~500	+	YLL041c	801	+	+	+
YKR072C	1689	+	+	+	YLL042C	504	+	+	+
YKR073C	321	+	+	+	YLL043w	2010	+	+	-
YKR074W	468	+	+	+	YLL044W	447	+	+	+
YKR075C	924	+	+	+	YLL045c	771	+	+	+
YKR076W	1113	+	+	+	YLL046c	750	+	+	+
YKR077W	1092	+	+	+	YLL047W	384	+	+	+
YKR078W	1758	+	+	+	YLL048C	4986	+	+	-
YKR079C	2517	+	+	-	YLL049W	540	+	+	-
YKR080W	963	+	+	+	YLL050c	432	+	~600	-
YKR081C	1035	+	+	+	YLL051C	2139	+	+	-
YKR082W	3474	+	-	+	YLL052C	450	+	+	-
YKR083C	402	+	+	+	YLL053C	459	+	+	-
YKR084C	1836	+	+	+	YLL054C	2310	+	+	-
YKR085C	588	+	+	+	YLL055W	1596	+	+	-
YKR086W	3216	+	+	-	YLL056C	897	+	+	-
YKR087C	945	+	+	+	YLL057C	1239	+	+	-
YKR088C	1014	+	+	+	YLL058W	1728	+	+	-
YKR089C	2733	+	+	-	YLL059C	507	+	+	-
YKR090W	2121	+	+	+	YLL060C	702	+	+	-
YKR091W	459	+	+	+	YLL061W	1752	+	+	-
YKR092C	1221	+	+	+	YLL062C	975	+	+	-
YKR093W	1806	+	~1500	~1500	YLL063C	1425	+	+	-
YKR094C	387	+	~500	~500	YLL064C	363	+	+	-
YKR095W	5628	+	-	-	YLL065W	351	+	+	-
YKR096W	3588	+	+	-	YLL066C	3618	+	+	-
YKR097W	1650	+	+	+	YLL067C	3618	+	+	-
YKR098C	2154	+	+	+	YLR001C	2589	+	+	-
YKR099W	2436	+	+	+	YLR002C	1992	+	+	-
YKR100C	726	+	+	+	YLR003C	876	+	+	-
YKR101W	2037	+	+	-	YLR004C	1572	+	+	-
YKR102W	3510	+	+	-	YLR005w	1386	+	-	+
YKR103W	3657	+	-	-	YLR006c	2139	+	+	+
YKR104W	921	+	~750	+	YLR007W	1011	+	+	+
YKR105C	1749	+	+	+	YLR008C	507	-	-	-
YKR106W	1848	+	+	+	YLR009W	600	+	+	+
YLL001w	2274	+	+	+	YLR010C	483	+	+	+
YLL002W	1311	+	+	+	YLR011W	576	+	+	+
YLL003w	2841	+	+	+	YLR012C	369	+	+	+
YLL004w	1851	+	+	+	YLR013W	426	+	+	+
YLL005C	2607	+	+	+	YLR014c	2715	+	+	+
YLL006w	1281	+	+	+	YLR015W	1518	+	+	+
YLL007C	1998	+	+	+	YLR016C	615	+	+	+
YLL008w	2259	+	+	+	YLR017W	1014	+	+	+
YLL009c	210	+	+	+	YLR018C	900	+	+	+
YLL010C	1284	+	+	+	YLR019W	1194	+	+	+

ORF	Länge [bp]	1.PCR	2.PCR	3.PCR
YLR020C	1617	+	+	-
YLR021W	540	+	+	+
YLR022C	753	+	+	+
YLR023C	1632	+	+	+
YLR024C	5619	+	-	+
YLR025w	723	+	+	+
YLR026c	1023	+	+	+
YLR027c	1299	+	+	+
YLR028C	1665	+	+	+
YLR029c	615	+	+	+
YLR030W	792	+	+	+
YLR031W	561	+	+	+
YLR032w	3510	+	-	-
YLR033W	1509	+	+	+
YLR034C	1422	+	+	+
YLR035C	2088	+	+	-
YLR036C	612	+	+	+
YLR037C	375	+	+	+
YLR038c	252	+	+	+
YLR039c	3171	+	+	+
YLR040C	675	+	+	+
YLR041W	321	+	+	+
YLR042C	486	+	+	+
YLR043c	312	+	+	+
YLR044c	1692	+	+	+
YLR045c	2667	+	+	+
YLR046C	813	+	+	-
YLR047C	2061	+	+	+
YLR048w	759	+	~1000	~1000
YLR049C	1287	+	+	+
YLR050C	486	+	+	+
YLR051C	654	+	+	+
YLR052W	753	+	+	+
YLR053C	327	+	+	+
YLR054C	1539	+	+	+
YLR055c	1809	+	+	+
YLR056w	1098	+	+	+
YLR057W	2550	+	+	+
YLR058c	1410	+	+	+
YLR059c	810	+	+	+
YLR060w	1788	+	+	+
YLR061W	366	+	~750	~750
YLR062C	378	+	-	+
YLR063W	1098	+	+	+
YLR064W	822	+	+	+
YLR065C	546	+	+	+
YLR066W	555	+	+	+
YLR067c	2898	+	+	+
YLR068W	456	+	+	+
YLR069c	2286	+	+	+
YLR070C	1071	+	+	+
YLR071c	3249	+	+	+
YLR072W	2082	+	-	+
YLR073C	603	+	+	+
YLR074C	501	+	+	+
YLR075w	666	+	+	+
YLR076C	423	+	+	+
YLR077W	1752	+	+	+
YLR078c	735	+	+	+
YLR079w	855	+	+	+
YLR080W	1335	+	+	+
YLR081w	1725	+	+	+
YLR082C	1179	+	+	+
YLR083c	2004	+	+	+
YLR084C	3663	+	-	+
YLR085C	1317	+	+	+
YLR086W	4257	+	-	+
YLR087C	8877	+	-	-
YLR088w	1845	+	+	+
YLR089C	1779	+	+	+
YLR090w	1380	+	+	+
YLR091W	882	+	+	+
YLR092W	2682	+	+	+
YLR093C	756	+	+	+
YLR094C	1509	+	+	+
YLR095C	2439	+	+	+

ORF	Länge [bp]	1.PCR	2.PCR	3.PCR
YLR096w	3444	+	+	-
YLR097C	1035	+	+	+
YLR098c	1947	+	+	-
YLR099C	1185	+	+	+
YLR100W	1044	+	+	+
YLR101C	396	+	+	+
YLR102C	798	+	+	+
YLR103C	1953	+	+	+
YLR104W	396	+	+	+
YLR105c	1134	+	+	+
YLR106C	14733	-	-	-
YLR107W	1215	+	+	+
YLR108C	1458	+	+	+
YLR109W	531	+	+	+
YLR110C	402	+	+	+
YLR111W	333	+	+	+
YLR112W	420	+	+	+
YLR113w	1308	+	+	+
YLR114C	2295	+	+	+
YLR115W	2580	+	+	+
YLR116W	1431	+	+	+
YLR117C	2064	+	+	+
YLR118C	684	+	+	+
YLR119w	642	+	+	-
YLR120c	1710	+	+	+
YLR121C	1527	+	+	+
YLR122C	378	+	+	+
YLR123C	330	+	+	+
YLR124W	345	+	+	+
YLR125W	411	+	+	+
YLR126C	756	+	+	+
YLR127C	2562	+	+	+
YLR128W	810	+	+	+
YLR129w	2832	+	+	+
YLR130C	1269	+	+	+
YLR131c	2313	+	-	-
YLR132C	873	+	+	+
YLR133w	1749	+	+	+
YLR134w	1692	+	+	+
YLR135W	2247	+	+	+
YLR136c	858	+	+	+
YLR137W	1104	+	+	+
YLR138W	2958	+	+	+
YLR139c	1932	+	+	+
YLR140W	327	+	+	+
YLR141w	1092	+	+	+
YLR142w	1431	+	+	+
YLR143W	2058	+	+	+
YLR144C	2340	+	+	+
YLR145W	606	+	+	+
YLR146C	903	+	+	+
YLR147c	306	+	+	+
YLR148w	2757	+	+	+
YLR149C	2193	+	+	+
YLR150w	822	+	+	+
YLR151C	1023	+	+	+
YLR152C	1731	+	+	+
YLR153c	2052	+	+	+
YLR154C	333	+	+	+
YLR155C	1089	+	+	+
YLR156W	345	+	+	+
YLR157C	1089	+	+	+
YLR158C	1089	+	+	+
YLR159W	345	+	+	+
YLR160C	1089	+	+	+
YLR161W	345	+	+	+
YLR162W	357	+	+	+
YLR163C	1389	+	+	+
YLR164W	507	+	+	+
YLR165C	765	+	+	+
YLR166C	2616	+	+	+
YLR167W	459	+	+	+
YLR168C	693	+	+	+
YLR169W	354	+	-	-
YLR170C	471	+	+	+
YLR171W	390	+	+	+

ORF	Länge [bp]	1.PCR	2.PCR	3.PCR
YLR172C	903	+	+	+
YLR173W	1827	+	+	+
YLR174W	1239	+	+	+
YLR175W	1452	+	+	+
YLR176C	2436	+	+	+
YLR177W	1887	+	+	+
YLR178C	660	+	+	+
YLR179C	606	+	+	+
YLR180W	1149	+	+	+
YLR181C	993	+	+	+
YLR182W	2412	+	+	+
YLR183C	1470	+	+	+
YLR184W	348	+	+	+
YLR185W	267	+	~600	~600
YLR186W	759	+	+	+
YLR187W	3081	+	+	+
YLR188W	2088	+	+	+
YLR189C	3597	+	+	+
YLR190W	1476	+	+	+
YLR191W	1161	+	+	+
YLR192C	798	+	+	+
YLR193C	528	+	+	+
YLR194C	765	+	+	+
YLR195C	1368	+	+	+
YLR196W	1731	+	+	+
YLR197W	1515	+	+	+
YLR198C	360	+	+	+
YLR199C	663	+	+	+
YLR200W	345	+	+	+
YLR201C	783	+	+	+
YLR202C	327	+	+	+
YLR203C	1311	+	+	+
YLR204W	336	+	+	+
YLR205C	822	+	+	+
YLR206W	1842	~8000	-	-
YLR207W	2502	+	+	+
YLR208W	894	+	+	+
YLR209C	936	+	+	+
YLR210W	1383	+	+	+
YLR211C	423	+	+	+
YLR212C	1422	+	+	+
YLR213C	1269	+	+	+
YLR214W	2061	+	+	+
YLR215C	1083	+	+	+
YLR216C	1116	+	+	+
YLR217W	324	+	+	+
YLR218C	453	+	+	+
YLR219W	2187	+	+	+
YLR220W	969	+	+	+
YLR221C	663	+	+	+
YLR222C	2454	+	+	+
YLR223C	3258	+	-	+
YLR224W	1110	+	+	+
YLR225C	1224	+	+	+
YLR226W	1188	+	+	+
YLR227C	1482	+	-	+
YLR228C	2445	+	+	+
YLR229C	576	+	+	+
YLR230W	306	+	+	+
YLR231C	1362	+	+	+
YLR232W	348	+	+	+
YLR233C	2100	+	+	+
YLR234W	1971	+	+	+
YLR235C	399	+	+	+
YLR236C	324	+	+	+
YLR237W	1797	+	+	+
YLR238W	1437	+	+	+
YLR239C	987	+	-	+
YLR240W	2628	+	+	+
YLR241W	2349	+	+	+
YLR242C	966	+	+	+
YLR243W	819	+	-	+
YLR244C	1164	+	+	+
YLR245C	429	+	+	+
YLR246W	1080	+	+	+
YLR247C	4671	+	-	+

ORF	Länge [bp]	1.PCR	2.PCR	3.PCR
YLR248W	1833	+	+	+
YLR249W	3135	+	-	-
YLR250W	705	+	+	+
YLR251W	594	+	+	+
YLR252W	306	+	+	+
YLR253W	1710	+	+	+
YLR254C	570	+	+	+
YLR255C	354	+	+	+
YLR256W	4509	+	-	+
YLR257W	966	+	+	+
YLR258W	2118	+	+	+
YLR259C	1719	+	+	+
YLR260W	2064	+	+	-
YLR261C	327	+	+	+
YLR262C	648	+	+	+
YLR263W	2484	+	+	+
YLR264W	204	+	+	+
YLR265C	1029	+	+	+
YLR266C	2106	+	+	+
YLR267W	1713	+	+	+
YLR268W	645	+	+	+
YLR269C	351	+	+	+
YLR270W	1053	+	+	+
YLR271W	825	+	+	+
YLR272C	3531	+	+	+
YLR273C	1947	+	+	-
YLR274W	2328	+	+	+
YLR275W	333	+	+	+
YLR276C	1785	+	+	+
YLR277C	2340	+	+	+
YLR278C	4026	+	-	-
YLR279W	390	+	+	+
YLR280C	351	+	+	+
YLR281C	468	+	+	+
YLR282C	342	+	-	-
YLR283W	945	+	+	+
YLR284C	843	+	+	+
YLR285W	786	+	+	+
YLR286C	1689	+	+	+
YLR287C	1068	+	+	+
YLR288C	1425	+	+	+
YLR289W	1938	+	-	-
YLR290C	834	+	+	+
YLR291C	1146	+	+	+
YLR292C	582	+	+	+
YLR293C	660	+	+	+
YLR294C	330	+	+	+
YLR295C	375	+	-	-
YLR296W	327	+	+	+
YLR297W	390	+	+	+
YLR298C	696	+	+	+
YLR299W	1983	+	+	+
YLR300W	1347	+	+	+
YLR301W	735	+	+	+
YLR302C	363	+	-	+
YLR303W	1335	+	-	+
YLR304C	2337	+	+	+
YLR305C	5703	+	-	+
YLR306W	567	+	+	+
YLR307W	906	+	+	-
YLR308W	939	+	-	+
YLR309C	2736	+	+	+
YLR310C	4770	+	-	+
YLR311C	348	+	+	+
YLR312C	1197	+	+	+
YLR313C	1593	+	+	-
YLR314C	1563	+	+	+
YLR315W	462	+	+	+
YLR316C	492	+	+	+
YLR317W	435	+	+	+
YLR318W	2655	+	-	+
YLR319C	2367	+	+	+
YLR320W	4365	+	+	+
YLR321C	1281	+	+	+
YLR322W	315	+	+	+
YLR323C	780	+	+	+



ORF	Länge [bp]	1.PCR	2.PCR	3.PCR	ORF	Länge [bp]	1.PCR	2.PCR	3.PCR
YLR324W	1572	+	+	+	YLR400W	474	+	+	+
YLR325C	234	+	+	+	YLR401C	1830	+	+	+
YLR326W	723	+	+	+	YLR402W	516	+	+	+
YLR327C	258	+	+	+	YLR403W	2052	+	+	-
YLR328W	1206	+	+	+	YLR404W	858	+	+	+
YLR329W	603	+	+	+	YLR405W	1104	+	+	+
YLR330W	2016	+	+	+	YLR406C	342	-	-	-
YLR331C	378	+	+	+	YLR407W	690	+	+	+
YLR332W	1131	+	+	+	YLR408C	369	+	+	+
YLR333C	327	+	+	+	YLR409C	2820	+	+	-
YLR334C	381	+	+	+	YLR410W	3441	+	+	+
YLR335W	2163	+	+	+	YLR411W	726	+	+	-
YLR336C	2700	+	+	+	YLR412W	825	+	+	+
YLR337W	2454	+	-	+	YLR413W	2028	+	+	+
YLR338W	858	+	+	+	YLR414C	792	+	+	+
YLR339C	552	+	+	+	YLR415C	339	+	+	+
YLR340W	939	+	+	+	YLR416C	399	+	+	+
YLR341W	1434	+	+	+	YLR417W	1701	+	+	+
YLR342W	5631	+	-	+	YLR418C	1182	+	+	+
YLR343W	1668	+	m	+	YLR419W	4308	+	-	+
YLR344W	384	+	~800	~800	YLR420W	1095	+	+	+
YLR345W	1530	+	+	+	YLR421C	471	+	+	-
YLR346C	306	+	+	+	YLR422W	5799	+	-	+
YLR347C	2586	+	+	+	YLR423C	1254	+	+	+
YLR348C	897	+	+	+	YLR424W	2127	+	+	+
YLR349W	507	+	+	+	YLR425W	3924	+	+	-
YLR350W	651	+	+	+	YLR426W	981	+	+	+
YLR351C	876	+	+	+	YLR427W	2013	+	+	+
YLR352W	2424	+	+	+	YLR428C	345	+	+	+
YLR353W	1812	+	+	+	YLR429W	1956	+	+	+
YLR354C	1008	+	~800	+	YLR430W	6696	+	-	+
YLR355C	1188	+	+	+	YLR431C	1362	+	+	+
YLR356W	594	+	+	+	YLR432W	1572	+	+	+
YLR357W	2670	+	+	+	YLR433C	1662	+	+	+
YLR358C	564	+	+	+	YLR434C	384	+	+	+
YLR359W	1449	+	+	+	YLR435W	750	+	+	+
YLR360W	1320	+	+	+	YLR436C	3825	+	-	+
YLR361C	1737	+	+	+	YLR437C	402	+	+	+
YLR362W	2217	+	+	+	YLR438W	1275	+	+	+
YLR363C	657	+	+	+	YLR439W	960	+	+	+
YLR364W	330	+	+	+	YLR440C	2130	+	+	+
YLR365W	333	+	+	-	YLR441C	768	+	+	+
YLR366W	306	+	+	+	YLR442C	2937	+	-	+
YLR367W	393	+	~750	~750	YLR443W	1347	+	+	+
YLR368W	1797	+	-	+	YLR444C	303	+	+	+
YLR369W	1974	+	+	+	YLR445W	405	+	+	+
YLR370C	537	+	+	+	YLR446W	1302	+	+	-
YLR371W	4071	+	-	+	YLR447C	1038	+	+	+
YLR372W	1038	+	+	+	YLR448W	531	+	~1000	~1000
YLR373C	2706	+	+	+	YLR449W	1179	+	+	+
YLR374C	390	+	+	+	YLR450W	3138	+	-	+
YLR375W	1032	+	+	+	YLR451W	2661	+	+	-
YLR376C	729	+	+	+	YLR452C	2097	+	+	-
YLR377C	1047	+	-	+	YLR453C	1188	+	+	+
YLR378C	1443	+	+	+	YLR454W	7887	+	-	+
YLR379W	375	+	+	+	YLR455W	915	+	+	+
YLR380W	1227	+	+	+	YLR456W	615	+	+	+
YLR381W	2202	-	-	+	YLR457C	960	+	+	+
YLR382C	2685	+	+	+	YLR458W	381	+	+	+
YLR383W	3345	+	+	+	YLR459W	1185	+	+	-
YLR384C	4050	+	-	+	YLR460C	1131	+	+	+
YLR385C	399	+	+	+	YLR461W	363	+	+	+
YLR386W	2643	+	+	+	YLR462W	609	+	+	+
YLR387C	1299	+	+	+	YLR463C	552	+	+	+
YLR388W	171	+	+	+	YLR464W	651	+	~400	~400
YLR389C	2967	+	-	+	YLR465C	309	+	+	+
YLR390W	339	+	+	+	YLR466W	4149	+	-	+
YLR391W	459	+	-	+	YLR467W	5391	+	-	+
YLR392C	1557	+	+	+	YML001W	627	+	-	-
YLR393W	840	+	+	+	YML002W	2214	+	+	+
YLR394W	1449	+	+	+	YML003W	873	-	-	-
YLR395C	237	+	+	+	YML004C	981	+	+	+
YLR396C	2076	+	+	-	YML005W	1389	+	+	+
YLR397C	2343	+	+	+	YML006C	2325	+	+	+
YLR398C	3864	+	-	+	YML007W	1953	+	+	-
YLR399C	2061	+	+	+	YML008C	1152	+	+	+

ORF	Länge [bp]	1.PCR	2.PCR	3.PCR
YML010W	3192	+	+	+
YML011C	534	+	+	+
YML012W	636	+	+	+
YML013W	1755	+	+	+
YML014W	840	+	+	+
YML015C	1041	+	+	+
YML016C	2079	+	+	+
YML018C	1182	+	+	-
YML019W	999	+	+	-
YML020W	1995	-	-	+
YML021W	1080	+	+	+
YML022W	564	+	+	+
YML023C	1671	+	+	+
YML027W	1158	+	+	+
YML028W	591	+	+	+
YML029W	2517	+	+	+
YML030W	480	+	~560	+
YML031W	1968	+	+	+
YML032C	1515	+	+	+
YML033W	441	+	+	+
YML034W	1971	+	+	+
YML035C	2433	+	+	+
YML037C	1023	+	+	+
YML038C	1329	+	+	+
YML040W	6	+	~1500	~1500
YML041C	843	+	+	+
YML042W	2013	-	+	-
YML043C	1524	+	+	+
YML045W	6	+	~1500	~1500
YML046W	1890	+	+	+
YML047C	1059	+	+	+
YML048W	1212	+	+	+
YML049C	4086	+	-	+
YML050W	936	+	+	+
YML051W	1308	+	+	+
YML053C	639	+	+	+
YML054C	1776	+	+	+
YML055W	537	+	+	+
YML057W	1815	+	+	+
YML058W	315	+	+	+
YML059C	5040	+	-	+
YML060W	1131	+	+	+
YML061C	2580	+	+	+
YML062C	1179	+	+	+
YML063W	768	+	+	+
YML064C	738	+	+	+
YML065W	2745	+	+	+
YML066C	1110	+	-	+
YML068W	1395	+	+	+
YML069W	1659	+	+	+
YML070W	1755	+	+	+
YML071C	1824	+	+	+
YML072C	4638	+	-	+
YML074C	1236	+	+	-
YML075C	3165	+	+	-
YML076C	2835	+	+	+
YML077W	480	+	+	+
YML078W	549	+	+	+
YML079W	606	+	+	-
YML080W	1272	+	+	+
YML081W	3756	+	-	+
YML082W	1950	+	+	+
YML083C	1257	+	+	+
YML084W	309	+	+	-
YML087C	939	+	+	+
YML088W	2007	+	+	+
YML089C	369	+	+	+
YML090W	387	-	-	-
YML091C	3609	+	-	+
YML092C	753	-	-	+
YML093W	2700	+	+	+
YML095C	633	+	+	+
YML096W	1578	+	+	+
YML097C	1356	+	+	+
YML098W	504	+	+	+
YML099C	2643	+	+	-

ORF	Länge [bp]	1.PCR	2.PCR	3.PCR
YML100W	3297	+	+	-
YML101C	354	+	+	+
YML102W	1407	+	+	+
YML103C	4968	-	-	+
YML104C	3384	+	+	+
YML105C	822	+	+	+
YML106W	681	+	+	+
YML107C	1161	+	+	+
YML108W	318	+	+	+
YML109W	2829	~3400	+	-
YML110C	924	+	+	+
YML111W	2763	~3300	+	-
YML112W	891	+	+	+
YML113W	747	+	+	+
YML114C	1533	+	+	+
YML115C	1608	+	+	+
YML116W	1629	+	+	+
YML117W	3405	+	-	+
YML118W	1518	+	+	+
YML119W	1074	+	+	+
YML120C	1542	+	+	+
YML121W	933	+	+	+
YML122C	381	+	+	+
YML123C	1764	+	+	+
YML125C	939	+	+	+
YML126C	1476	+	+	+
YML127W	1746	+	+	+
YML128C	1542	+	+	+
YML129C	213	+	+	+
YML130C	1692	+	+	+
YML131W	1098	+	+	+
YML132W	1140	+	+	+
YMR001C	2118	+	+	+
YMR002W	471	+	+	+
YMR003W	597	+	+	+
YMR004W	1536	+	+	+
YMR005W	1167	+	+	+
YMR007W	381	+	+	-
YMR008C	1995	+	+	+
YMR009W	540	+	+	-
YMR010W	1218	+	+	+
YMR011W	1626	+	+	+
YMR012W	3834	-	-	+
YMR013C	1560	+	+	+
YMR014W	1560	+	+	+
YMR015C	1617	+	+	+
YMR016C	2358	+	+	+
YMR017W	1194	+	+	+
YMR018W	1545	+	+	-
YMR019W	2850	-	-	-
YMR020W	1527	+	+	+
YMR021C	1254	+	+	+
YMR022W	498	+	+	+
YMR023C	1581	+	+	+
YMR024W	1173	+	+	+
YMR025W	888	+	+	+
YMR026C	1200	+	+	+
YMR027W	1413	+	+	-
YMR028W	1101	+	-	+
YMR029C	1572	+	+	-
YMR030W	1131	+	+	+
YMR031C	2532	+	+	+
YMR032W	2010	+	+	+
YMR034C	1305	+	+	+
YMR035W	534	+	+	+
YMR036C	1665	+	-	+
YMR037C	2115	+	+	+
YMR038C	750	+	+	+
YMR039C	879	+	+	+
YMR040W	483	+	+	+
YMR041C	1008	+	+	+
YMR042W	534	+	+	+
YMR043W	861	+	+	+
YMR044W	1428	+	+	+
YMR046C	6	+	~1200	~1200
YMR047C	3342	+	-	+

ORF	Länge [bp]	1.PCR	2.PCR	3.PCR	ORF	Länge [bp]	1.PCR	2.PCR	3.PCR
YMR048W	954	+	+	+	YMR133W	1308	+	+	+
YMR049C	2424	+	+	+	YMR134W	714	+	+	+
YMR051C	6	+	~1200	~1200	YMR135C	1368	+	+	+
YMR052W	615	+	+	+	YMR136W	1683	+	+	+
YMR053C	2553	+	+	+	YMR137C	1986	+	+	+
YMR054W	2673	+	+	+	YMR138W	576	+	+	+
YMR055C	921	+	+	+	YMR139W	1113	+	+	+
YMR056C	930	+	+	+	YMR140W	1470	+	+	+
YMR057C	372	+	+	+	YMR141C	309	+	+	+
YMR058W	1911	+	+	+	YMR144W	1029	+	+	+
YMR059W	447	+	+	+	YMR145C	1683	+	+	+
YMR061W	2034	+	+	+	YMR146C	1044	+	+	+
YMR063W	720	+	+	+	YMR147W	672	+	+	+
YMR064W	1557	+	+	+	YMR148W	447	+	+	+
YMR065W	1515	+	+	+	YMR149W	861	+	+	+
YMR066W	2697	+	+	+	YMR150C	573	+	+	+
YMR067C	1251	+	+	+	YMR151W	438	+	+	+
YMR068W	1281	+	+	+	YMR152W	1098	+	+	+
YMR069W	858	+	+	+	YMR153W	1428	+	+	+
YMR070W	1473	+	+	+	YMR154C	2184	+	+	+
YMR071C	504	+	+	+	YMR155W	1644	+	+	+
YMR072W	552	+	+	+	YMR156C	717	+	+	+
YMR073C	606	+	+	+	YMR157C	768	+	+	+
YMR074C	438	+	+	+	YMR158W	468	+	+	+
YMR075W	2055	+	+	+	YMR159C	453	+	+	+
YMR076C	3834	+	-	+	YMR160W	2451	-	-	-
YMR077C	666	+	~750	+	YMR161W	675	-	-	-
YMR078C	2226	+	+	+	YMR162C	4971	-	-	-
YMR080C	2916	+	+	+	YMR163C	2118	+	+	+
YMR081C	1017	+	+	+	YMR164C	2277	+	-	+
YMR082C	357	+	+	+	YMR165C	2589	+	-	-
YMR083W	1128	+	-	+	YMR167W	2310	+	+	+
YMR086W	2883	+	-	+	YMR168C	1827	+	+	-
YMR087W	855	+	+	+	YMR170C	1521	+	+	+
YMR088C	1689	+	+	+	YMR171C	1653	+	+	+
YMR089C	2478	+	-	+	YMR172W	2160	+	+	+
YMR090W	684	+	+	+	YMR173W	1293	+	+	+
YMR091C	1308	+	+	+	YMR176W	4236	+	-	+
YMR092C	1848	+	+	+	YMR177W	1533	+	+	+
YMR093W	1542	+	+	+	YMR178W	825	+	+	+
YMR094W	1437	+	+	+	YMR179W	2277	+	+	+
YMR095C	675	+	+	+	YMR180C	963	+	+	+
YMR096W	894	+	+	+	YMR181C	465	+	+	+
YMR097C	1104	+	+	+	YMR182C	636	+	+	+
YMR098C	1839	+	+	+	YMR183C	888	+	+	+
YMR099C	894	+	+	+	YMR184W	597	+	+	+
YMR100W	1863	+	+	+	YMR185W	2946	+	+	+
YMR101C	1032	-	-	-	YMR186W	2118	+	+	+
YMR102C	2505	-	-	-	YMR187C	1296	+	+	+
YMR103C	363	-	-	-	YMR188C	714	+	+	+
YMR104C	2034	+	+	-	YMR189W	3105		-	-
YMR105C	1710	+	+	+	YMR190C	4344		-	-
YMR106C	1890	+	+	+	YMR191W	1377	+	+	+
YMR107W	348	+	+	+	YMR192W	2163	+	+	+
YMR108W	2064	+	+	+	YMR193W	777	+	+	+
YMR109W	3660	+	-	+	YMR195W	384	+	+	+
YMR110C	1599	+	+	+	YMR196W	3267		-	+
YMR111C	1389	+	+	+	YMR197C	654	+	+	+
YMR112C	396	+	~500	+	YMR198W	1785	+	+	+
YMR113W	1284	+	+	+	YMR199W	1641		+	+
YMR114C	1107	+	+	+	YMR200W	771	+	+	+
YMR115W	1506	+	+	+	YMR202W	669	+	+	-
YMR118C	591	+	+	+	YMR203W	1164	+	+	+
YMR119W	1875	+	+	+	YMR204C	1263	+	+	+
YMR121C	615	+	+	+	YMR205C	2880	+	+	+
YMR122C	375	+	+	+	YMR206W	942	+	+	+
YMR123W	369	+	+	+	YMR207C	6372	+	-	+
YMR124W	2832	+	-	+	YMR208W	1332	+	+	+
YMR125W	2577	+	-	+	YMR209C	1374	+	+	+
YMR126C	1029	+	+	+	YMR210W	1350	+	+	+
YMR127C	1017	+	+	+	YMR211W	1428	+	+	+
YMR128W	3804	+	-	+	YMR212C	2349	+	+	+
YMR129W	4014	+	-	+	YMR213W	1773	+	+	+
YMR130W	909	+	+	+	YMR214W	1215	+	+	+
YMR131C	1536	+	+	+	YMR215W	1575	+	+	+
YMR132C	627	+	+	+	YMR216C	2229	+	+	+

ORF	Länge [bp]	1.PCR	2.PCR	3.PCR
YMR217W	1578	+	+	+
YMR218C	3309	+	+	+
YMR219W	4977	+	-	+
YMR220W	1356	+	+	+
YMR221C	1515	+	+	+
YMR222C	672	+	+	+
YMR223W	1416	+	+	+
YMR224C	297	+	~2000	+
YMR226C	804	+	+	+
YMR227C	1773	+	+	+
YMR228W	1026	+	+	+
YMR229C	5190	+	-	+
YMR231W	3090	+	+	-
YMR232W	2034	+	+	+
YMR233W	681	+	+	+
YMR234W	1047	+	+	+
YMR235C	1224	+	+	+
YMR236W	474	+	+	+
YMR237W	2175	+	+	+
YMR238W	1377	+	+	+
YMR239C	1416	+	+	+
YMR240C	1311	+	-	+
YMR241W	945	+	+	+
YMR242C	543	+	+	+
YMR243C	1329	+	+	+
YMR244W	1068	-	+	+
YMR245W	621	+	+	+
YMR246W	2085	+	+	+
YMR247C	4689	+	-	+
YMR250W	1758	+	+	+
YMR251W	1101	+	+	+
YMR252C	405	+	+	+
YMR253C	1245	+	+	-
YMR255W	567	+	+	+
YMR257C	2403	+	+	+
YMR258C	1662	+	+	+
YMR259C	4263	+	-	+
YMR260C	462	+	+	+
YMR261C	3165	+	-	+
YMR262W	942	+	+	+
YMR263W	606	+	+	+
YMR264W	612	+	+	+
YMR265C	1386	+	+	+
YMR266W	2862	+	-	-
YMR267W	933	+	+	-
YMR268C	1335	+	-	+
YMR269W	429	+	+	+
YMR270C	1098	+	+	+
YMR271C	684	+	+	+
YMR272C	1155	+	+	+
YMR274C	948	+	+	+
YMR275C	2931	+	+	+
YMR276W	1122	+	+	+
YMR277W	2199	+	+	+
YMR278W	1869	+	+	+
YMR279C	1623	+	+	+
YMR280C	4302	+	-	+
YMR281W	915	+	+	+
YMR282C	1743	+	+	+
YMR283C	1542	+	+	+
YMR284W	1809	+	-	+
YMR285C	1548	+	+	+
YMR287C	2910	+	+	+
YMR288W	2916	-	-	-
YMR289W	1125	+	+	+
YMR290C	1518	+	+	+
YMR291W	1761	+	+	+
YMR293C	1395	+	+	+
YMR294W	1122	+	+	+
YMR295C	594	+	+	+
YMR296C	1677	+	+	+
YMR297W	1599	+	+	+
YMR298W	453	+	+	+
YMR299C	939	+	+	+
YMR300C	1533	+	+	+
YMR301C	2073	+	+	+

ORF	Länge [bp]	1.PCR	2.PCR	3.PCR
YMR302C	2553	+	+	+
YMR303C	1047	+	+	+
YMR304W	3693	+	-	+
YMR305C	1170	+	+	+
YMR306W	5358	+	-	+
YMR307W	1680	+	+	+
YMR308C	3270	+	+	+
YMR309C	2439	+	+	+
YMR310C	954	+	+	+
YMR311C	690	+	+	+
YMR312W	822	+	+	+
YMR313C	1929	+	-	+
YMR314W	705	+	+	+
YMR315W	1050	+	+	+
YMR316W	1011	+	+	+
YMR317W	3423	+	+	+
YMR317W	1140	~5000	-	-
YMR318C	1083	+	+	+
YMR318C	360	+	+	+
YMR319C	1659	+	+	-
YMR319C	552	+	+	-
YMR320W	306	+	+	+
YMR320W	101	+	+	+
YMR321C	318	+	+	+
YMR321C	105	+	+	+
YMR322C	714	+	+	+
YMR322C	237	+	+	+
YMR323W	1314	+	+	+
YMR323W	437	+	+	+
YMR325C	375	+	+	+
YMR325C	124	+	+	+
YMR326C	309	+	+	+
YMR326C	102	+	+	+
YNL001W	1161	+	+	+
YNL002C	969	+	+	+
YNL003C	855	+	+	+
YNL004W	1290	+	+	+
YNL005C	1116	+	+	+
YNL006W	912	+	+	+
YNL007C	1059	+	+	+
YNL008C	2010	+	-	+
YNL009W	1263	+	+	+
YNL010W	726	+	+	+
YNL011C	1335	+	+	+
YNL012W	1611	+	+	+
YNL013C	378	+	+	+
YNL014W	3135	+	+	+
YNL015W	228	+	+	+
YNL016W	1362	-	-	+
YNL017C	339	+	+	+
YNL018C	1839	+	+	+
YNL019C	855	+	+	+
YNL020C	1917	+	+	+
YNL021W	2121	+	+	+
YNL022C	1473	+	+	+
YNL023C	2898	+	+	+
YNL024C	741	+	+	+
YNL025C	972	+	-	+
YNL026W	1455	+	+	-
YNL027W	2037	+	+	+
YNL028W	318	+	+	+
YNL029C	1569	+	+	+
YNL030W	312	+	+	+
YNL031C	411	+	+	+
YNL032W	846	+	+	+
YNL033W	855	+	+	+
YNL034W	1839	+	+	+
YNL035C	1170	+	+	+
YNL036W	666	+	+	+
YNL037C	1083	+	+	+
YNL038W	639	+	+	+
YNL039W	1785	+	+	+
YNL040W	1371	-	-	+
YNL041C	2520	+	+	+
YNL042W	1191	+	+	+
YNL043C	321	+	+	+

ORF	Länge [bp]	1.PCR	2.PCR	3.PCR	ORF	Länge [bp]	1.PCR	2.PCR	3.PCR
YNL044W	531	+	+	-	YNL120C	486	+	+	+
YNL045W	2016	+	+	+	YNL121C	1854	+	-	+
YNL046W	519	+	+	+	YNL122C	348	+	+	+
YNL047C	1971	+	+	+	YNL123W	2994	+	+	+
YNL048W	1647	+	+	+	YNL124W	1479	+	-	+
YNL049C	2631	+	+	+	YNL125C	2022	+	+	+
YNL050C	813	+	+	+	YNL126W	2541	+	s	+
YNL051W	1212	+	+	-	YNL127W	2862	+	+	+
YNL052W	462	+	+	+	YNL128W	1305	+	+	+
YNL053W	1470	+	+	+	YNL129W	723	-	+	+
YNL054W	3498	~600	-	-	YNL130C	1161	+	+	+
YNL055C	852	+	+	+	YNL131W	459	+	+	+
YNL056W	594	+	+	+	YNL132W	3171	+	+	+
YNL057W	333	+	+	+	YNL133C	522	+	+	+
YNL058C	951	+	+	+	YNL134C	1131	+	+	+
YNL059C	2268	+	+	+	YNL135C	345	+	+	+
YNL060C	6	+	~450	~450	YNL136W	1278	+	+	+
YNL061W	1857	+	+	+	YNL137C	1461	+	+	+
YNL062C	1437	+	+	+	YNL138W	1581	+	+	+
YNL063W	945	+	+	+	YNL139C	4794	+	-	+
YNL064C	1230	+	+	+	YNL140C	570	+	+	+
YNL065W	1761	+	+	+	YNL141W	1044	+	+	+
YNL066W	1263	+	+	+	YNL142W	1500	+	+	+
YNL067W	576	+	+	+	YNL143C	393	+	+	+
YNL068C	2589	+	+	+	YNL144C	2223	+	+	+
YNL069C	597	+	~1000	+	YNL145W	117	+	+	+
YNL070W	183	+	+	+	YNL146W	303	+	+	+
YNL071W	1449	+	-	+	YNL147W	324	+	+	+
YNL072W	924	+	+	+	YNL148C	765	+	-	+
YNL073W	1731	+	+	+	YNL149C	390	+	+	+
YNL074C	1359	+	+	+	YNL150W	408	+	+	+
YNL075W	873	+	+	+	YNL151C	756	+	+	+
YNL076W	1755	+	+	+	YNL152W	1230	+	-	+
YNL077W	1587	-	-	+	YNL153C	390	+	+	+
YNL078W	1224	+	+	+	YNL154C	1641	+	+	+
YNL079C	600	+	+	+	YNL155W	825	+	+	+
YNL080C	1101	+	+	+	YNL156C	900	+	+	+
YNL081C	432	+	+	+	YNL157W	507	+	+	+
YNL082W	2715	+	+	-	YNL158W	597	+	+	+
YNL083W	1485	+	+	+	YNL159C	870	+	+	+
YNL084C	1050	+	+	-	YNL160W	1065	+	+	+
YNL085W	2493	+	+	+	YNL161W	2271	-	+	+
YNL086W	309	+	+	+	YNL162W	351	+	+	+
YNL087W	3537	+	-	+	YNL163C	3333	+	-	+
YNL088W	4287	+	-	+	YNL164C	1056	+	+	+
YNL089C	477	+	+	-	YNL165W	1221	+	+	+
YNL090W	579	+	+	+	YNL166C	1347	+	+	+
YNL091W	3723	+	-	+	YNL167C	1944	+	-	+
YNL092W	1203	+	+	+	YNL168C	780	+	+	+
YNL093W	663	+	+	+	YNL169C	1503	+	+	-
YNL094W	1764	+	+	+	YNL170W	396	+	+	+
YNL095C	1929	+	+	+	YNL171C	369	+	+	+
YNL096C	573	+	~800	~800	YNL172W	5247	+	-	-
YNL097C	993	+	+	+	YNL173C	1101	+	+	+
YNL098C	969	+	+	+	YNL174W	573	+	+	+
YNL099C	717	+	+	+	YNL175C	1212	+	+	+
YNL100W	705	+	+	+	YNL176C	1911	+	-	+
YNL101W	2142	+	+	+	YNL177C	930	+	+	+
YNL102W	4407	+	-	+	YNL178W	723	+	+	+
YNL103W	2019	+	+	+	YNL179C	438	+	+	+
YNL104C	1860	+	+	+	YNL180C	996	+	+	+
YNL105W	429	+	+	-	YNL181W	1224	+	+	+
YNL106C	3552	+	-	+	YNL182C	1668	+	+	+
YNL107W	681	-	-	+	YNL183C	2373	+	-	+
YNL108C	813	+	+	+	YNL184C	327	+	+	+
YNL109W	546	+	+	+	YNL185C	477	+	+	+
YNL110C	663	+	+	+	YNL186W	2379	+	-	+
YNL111C	363	+	+	+	YNL187W	1074	+	+	+
YNL112W	1641	+	-	+	YNL188W	1302	+	+	+
YNL113W	429	+	+	+	YNL189W	1629	+	+	+
YNL114C	372	+	+	+	YNL190W	615	+	+	+
YNL115C	1935	+	+	+	YNL191W	1074	+	+	+
YNL116W	1569	+	-	+	YNL192W	3396	+	-	-
YNL117W	1665	+	+	+	YNL193W	1677	+	+	+
YNL118C	2913	+	+	+	YNL194C	906	+	+	+
YNL119W	1482	+	+	+	YNL195C	732	+	+	+

ORF	Länge [bp]	1.PCR	2.PCR	3.PCR	ORF	Länge [bp]	1.PCR	2.PCR	3.PCR
YNL196C	897	+	+	+	YNL272C	2280	+	-	-
YNL197C	1986	+	+	+	YNL273W	3717	+	-	+
YNL198C	303	+	+	+	YNL274C	1053	+	+	+
YNL199C	1605	+	+	+	YNL275W	1731	+	+	+
YNL200C	741	+	+	+	YNL276C	396	+	+	+
YNL201C	2577	+	+	-	YNL277W	1461	+	+	+
YNL202W	888	+	+	+	YNL278W	3183	+	+	-
YNL203C	612	+	+	+	YNL279W	1986	+	+	+
YNL204C	903	+	+	+	YNL280C	1317	+	+	-
YNL205C	423	+	+	+	YNL281W	462	+	+	+
YNL206C	1368	+	+	+	YNL282W	588	+	+	+
YNL207W	1278	+	-	-	YNL283C	1512	+	+	+
YNL208W	615	+	+	+	YNL284C	969	+	+	+
YNL209W	1842	+	+	+	YNL285W	372	+	+	+
YNL210W	813	+	+	+	YNL286W	858	+	+	+
YNL211C	261	+	+	+	YNL287W	2808	+	+	-
YNL212W	2349	+	+	-	YNL288W	1122	+	+	+
YNL213C	645	+	+	+	YNL289W	840	-	-	-
YNL214W	600	+	+	+	YNL290W	1023	+	+	+
YNL215W	963	+	+	+	YNL291C	1647	+	+	-
YNL216W	2484	+	+	-	YNL292W	1212	+	+	+
YNL217W	981	+	+	+	YNL293W	1902	+	+	+
YNL218W	1764	+	+	+	YNL294C	1602	+	+	+
YNL219C	1668	+	+	+	YNL295W	1575	+	+	+
YNL220W	1302	+	+	+	YNL296W	315	+	+	+
YNL221C	2628	+	+	-	YNL297C	4911	+	-	-
YNL222W	621	-	-	-	YNL298W	2529	+	+	-
YNL223W	1521	+	+	+	YNL299W	1878	+	+	+
YNL224C	2304	+	+	-	YNL300W	309	+	+	+
YNL225C	1746	+	+	+	YNL301C	561	+	~1000	+
YNL226W	411	+	+	+	YNL302C	435	+	m	m
YNL227C	1773	+	+	+	YNL303W	348	+	+	+
YNL228W	777	+	+	+	YNL304W	1068	+	+	+
YNL229C	1065	+	-	+	YNL305C	894	+	+	+
YNL230C	1140	+	+	+	YNL306W	654	+	+	+
YNL231C	1056	+	+	-	YNL307C	1128	+	+	+
YNL232W	879	+	+	+	YNL308C	1776	+	+	+
YNL233W	2679	+	+	-	YNL309W	1380	+	+	+
YNL234W	1281	+	+	+	YNL310C	618	+	+	+
YNL235C	432	+	+	+	YNL311C	2292	+	+	-
YNL236W	2925	+	+	-	YNL312W	822	+	+	+
YNL237W	1380	+	+	+	YNL313C	2715	+	+	-
YNL238W	2445	+	+	-	YNL314W	768	+	+	+
YNL239W	1452	+	+	+	YNL315C	957	+	+	+
YNL240C	1476	+	+	+	YNL316C	1107	+	+	-
YNL241C	1518	+	+	+	YNL317W	1398	+	+	+
YNL242W	4779	+	-	-	YNL318C	1623	+	+	+
YNL243W	2907	+	+	-	YNL319W	441	+	+	+
YNL244C	327	+	+	+	YNL320W	855	+	+	+
YNL245C	540	+	~800	+	YNL321W	2727	+	+	+
YNL246W	795	+	+	+	YNL322C	942	+	+	+
YNL247W	2304	+	+	-	YNL323W	1245	+	+	+
YNL248C	1248	-	-	-	YNL324W	396	+	+	+
YNL249C	1629	+	+	+	YNL325C	2640	+	+	-
YNL250W	3939	+	-	-	YNL326C	1011	+	+	+
YNL251C	1728	+	-	-	YNL327W	3126	+	+	-
YNL252C	846	+	+	+	YNL328C	441	+	+	+
YNL253W	1269	+	+	+	YNL329C	3093	+	+	-
YNL254C	1206	+	+	+	YNL330C	1302	+	+	+
YNL255C	462	+	+	+	YNL331C	1131	+	+	+
YNL256W	2595	+	+	-	YNL332W	1023	+	+	+
YNL257C	3690	+	-	-	YNL333W	897	+	+	+
YNL258C	2265	+	-	-	YNL334C	669	+	+	+
YNL259C	222	+	+	+	YNL335W	678	+	+	+
YNL260C	597	+	+	+	YNL336W	1146	+	+	-
YNL261W	1440	+	+	+	YNL337W	255	+	+	+
YNL262W	6669	+	-	-	YNL338W	159	+	-	+
YNL263C	945	+	+	+	YNL339C	5580	+	-	-
YNL264C	1053	+	+	+	YNR001C	1440	+	+	+
YNL265C	897	+	+	+	YNR002C	849	+	+	+
YNL266W	420	+	+	+	YNR003C	954	+	+	+
YNL267W	3201	+	-	-	YNR004W	441	+	+	+
YNL268W	1836	+	+	+	YNR005C	405	+	+	+
YNL269W	396	-	-	-	YNR006W	1869	+	+	+
YNL270C	1722	+	+	+	YNR007C	933	+	+	+
YNL271C	5862	+	-	-	YNR008W	1986	+	+	+

ORF	Länge [bp]	1.PCR	2.PCR	3.PCR	ORF	Länge [bp]	1.PCR	2.PCR	3.PCR
YNR009W	750	+	+	+	YOL008W	624	+	+	+
YNR010W	450	+	+	+	YOL009C	816	+	+	+
YNR011C	2631	+	+	-	YOL010W	1104	+	+	+
YNR012W	1506	+	+	+	YOL011W	2061	+	+	+
YNR013C	2685	+	+	-	YOL012C	405	+	+	+
YNR014W	639	+	+	+	YOL013C	1656	+	+	+
YNR015W	1155	+	+	+	YOL014W	375	+	+	+
YNR016C	6702	+	-	-	YOL015W	1761	+	+	+
YNR017W	669	+	+	+	YOL016C	1344	+	+	+
YNR018W	675	+	+	+	YOL017W	2145	+	+	+
YNR019W	1929	+	+	+	YOL018C	1194	+	+	+
YNR020C	813	+	~750	+	YOL019W	1656	+	+	+
YNR021W	1215	+	+	+	YOL020W	1779	+	+	+
YNR022C	420	+	+	+	YOL021C	3006	+	+	-
YNR023W	1701	+	+	+	YOL022C	1227	+	+	-
YNR024W	561	+	+	-	YOL023W	2031	+	+	+
YNR025C	360	+	+	+	YOL024W	519	+	+	+
YNR026C	1416	+	+	+	YOL025W	1983	+	+	+
YNR027W	954	+	+	+	YOL026C	342	-	-	+
YNR028W	927	+	+	+	YOL027C	1722	+	+	+
YNR029C	1290	+	+	+	YOL028C	738	+	+	+
YNR030W	1656	+	+	+	YOL029C	606	+	+	+
YNR031C	4740	+	-	+	YOL030W	1455	+	+	+
YNR032W	1107	+	+	+	YOL031C	1266	+	+	+
YNR033W	2364	+	+	-	YOL032W	741	+	+	+
YNR034W	966	+	+	+	YOL033W	1611	+	+	+
YNR035C	1029	+	+	+	YOL034W	3282	+	-	+
YNR036C	462	+	+	+	YOL035C	303	+	+	+
YNR037C	276	+	+	+	YOL036W	2286	+	+	+
YNR038W	1890	+	+	+	YOL037C	354	+	+	+
YNR039C	1818	+	+	+	YOL038W	765	+	+	+
YNR040W	771	-	-	-	YOL039W	321	+	+	+
YNR041C	1119	+	+	+	YOL040C	429	+	+	+
YNR042W	429	+	+	+	YOL041C	1380	-	-	-
YNR043W	1191	+	+	+	YOL042W	1092	+	+	+
YNR044W	2178	+	+	+	YOL043C	1143	+	+	+
YNR045W	1470	+	+	+	YOL044W	1152	+	+	+
YNR046W	408	+	+	+	YOL045W	3306	+	+	-
YNR047W	2682	+	+	-	YOL046C	675	+	+	+
YNR048W	1182	+	+	+	YOL047C	705	+	~800	+
YNR049C	633	+	+	+	YOL048C	321	+	~500	~500
YNR050C	1341	+	+	+	YOL049W	1476	+	+	+
YNR051C	1548	+	+	+	YOL050C	321	+	+	+
YNR052C	1302	+	+	+	YOL051W	3246	+	-	+
YNR053C	1461	+	~2000	+	YOL052C	1191	+	+	+
YNR054C	951	+	+	+	YOL053C	6	+	+	+
YNR055C	1761	+	+	+	YOL053W	1188	+	+	+
YNR056C	1686	+	+	m	YOL054W	1221	+	+	+
YNR057C	714	+	+	+	YOL055C	1656	+	+	+
YNR058W	1443	+	+	+	YOL056W	912	+	+	+
YNR059W	1743	+	-	-	YOL057W	2136	+	+	+
YNR060W	2160	+	+	+	YOL058W	1263	+	+	+
YNR061C	660	+	+	+	YOL059W	1323	+	+	+
YNR062C	984	+	+	+	YOL060C	2121	+	+	+
YNR063W	1824	+	+	+	YOL061W	1491	+	+	+
YNR064C	873	+	+	+	YOL062C	1476	+	+	+
YNR065C	3351	+	+	~350	YOL063C	2874	+	-	-
YNR066C	1311	+	+	+	YOL064C	1074	+	+	+
YNR067C	3354	+	+	+	YOL065C	1155	+	+	+
YNR068C	819	-	-	-	YOL066C	1776	+	+	+
YNR069C	1470	-	-	-	YOL067C	534	+	+	+
YNR070W	4002	-	-	-	YOL068C	1512	+	+	+
YNR071C	1029	+	+	+	YOL069W	1356	+	+	+
YNR072W	1695	+	+	+	YOL070C	1506	+	+	+
YNR073C	1509	+	+	+	YOL071W	489	+	+	+
YNR074C	1137	+	+	+	YOL072W	1368	+	+	+
YNR075W	1125	+	+	+	YOL073C	969	+	-	+
YNR076W	363	+	+	+	YOL074C	6	+	~600	~600
YNR077C	255	+	+	+	YOL075C	3885	+	-	+
YOL001W	882	+	+	+	YOL076W	2391	+	+	+
YOL002C	984	+	+	+	YOL077C	876	+	+	+
YOL003C	1137	+	+	+	YOL078W	3531	-	-	-
YOL004W	4611	+	-	+	YOL079W	399	+	+	+
YOL005C	363	+	+	+	YOL080C	870	+	+	+
YOL006C	2310	+	+	+	YOL081W	9240	+	-	-
YOL007C	1026	+	+	+	YOL082W	1248	+	+	+



ORF	Länge [bp]	1.PCR	2.PCR	3.PCR
YOL083W	1239	+	+	+
YOL084W	2976	+	+	-
YOL085C	342	+	+	+
YOL086C	1047	+	+	+
YOL087C	3351	+	-	+
YOL088C	834	+	+	+
YOL089C	3093	+	+	-
YOL090W	2895	+	-	+
YOL091W	1830	+	+	+
YOL092W	927	+	~750	~800
YOL093W	882	+	~730	~700
YOL094C	972	+	+	+
YOL095C	2121	+	+	+
YOL096C	951	+	+	+
YOL097C	1299	+	+	+
YOL098C	3114	+	+	-
YOL099C	492	+	+	+
YOL100W	3246	+	-	+
YOL101C	939	+	+	+
YOL102C	693	+	+	+
YOL103W	1839	+	+	+
YOL104C	1059	+	+	+
YOL105C	1671	+	+	+
YOL106W	354	+	+	-
YOL107W	1029	+	+	+
YOL108C	456	+	+	+
YOL109W	342	+	+	+
YOL110W	714	+	-	+
YOL111C	639	+	+	+
YOL112W	1479	+	+	+
YOL113W	1968	+	+	+
YOL114C	609	+	+	+
YOL115W	1755	+	+	+
YOL116W	1149	+	+	+
YOL117W	1938	+	+	+
YOL118C	309	+	+	+
YOL119C	1506	+	+	+
YOL120C	561	+	~1000	~1000
YOL121C	435	+	m	m
YOL122C	1728	+	+	+
YOL123W	1605	+	+	+
YOL124C	1302	+	+	+
YOL125W	1431	+	+	+
YOL126C	1272	+	+	+
YOL127W	429	+	~800	~800
YOL128C	1128	+	+	+
YOL129W	555	+	+	+
YOL130W	2580	+	+	+
YOL131W	327	+	+	+
YOL132W	1416	+	+	+
YOL133W	366	+	+	+
YOL134C	390	+	+	+
YOL135C	669	+	+	+
YOL136C	1194	+	+	+
YOL137W	1494	+	+	+
YOL138C	4026	+	-	+
YOL139C	642	+	+	+
YOL140W	1272	+	+	+
YOL141W	2088	+	+	-
YOL142W	723	+	+	+
YOL143C	510	+	+	+
YOL144W	1455	+	+	+
YOL145C	3234	+	+	-
YOL146W	711	+	+	+
YOL147C	711	+	+	+
YOL148C	1815	+	+	-
YOL149W	696	+	+	+
YOL150C	312	+	+	+
YOL151W	1029	+	+	+
YOL152W	1890	+	+	+
YOL153C	393	+	~1600	~1500
YOL154W	750	+	+	+
YOL155C	2904	+	+	+
YOL156W	1704	+	+	+
YOL157C	1770	+	+	+
YOL158C	1821	+	+	+

ORF	Länge [bp]	1.PCR	2.PCR	3.PCR
YOL159C	516	+	+	+
YOL160W	342	+	+	+
YOL161C	363	+	+	+
YOL162W	648	+	+	+
YOL163W	510	+	+	+
YOL164W	1941	+	+	+
YOL165C	432	+	+	+
YOL166C	339	+	+	-
YOR001W	2202	+	+	+
YOR002W	1635	+	+	+
YOR003W	1437	+	+	+
YOR004W	765	+	+	+
YOR005C	2835	+	-	+
YOR006C	942	+	+	+
YOR007C	1041	+	+	+
YOR008C	1137	+	-	-
YOR009W	1464	+	+	+
YOR010C	756	+	~600	+
YOR011W	4185	+	-	+
YOR012W	414	-	-	-
YOR013W	471	+	+	+
YOR014W	2274	+	-	+
YOR015W	360	+	+	+
YOR016C	624	-	-	+
YOR017W	2403	+	-	-
YOR018W	2514	+	-	+
YOR019W	2193	+	-	+
YOR020C	321	+	+	+
YOR021C	642	+	+	+
YOR022C	2148	+	+	+
YOR023C	1701	+	+	+
YOR024W	324	+	+	+
YOR025W	1344	+	+	+
YOR026W	1026	+	+	+
YOR027W	1770	+	+	+
YOR028C	888	+	-	+
YOR029W	336	+	+	+
YOR030W	1860	+	+	-
YOR031W	27	+	+	+
YOR032C	1305	+	+	+
YOR033C	2109	+	+	+
YOR034C	2250	+	+	+
YOR035C	2370	+	+	+
YOR036W	867	+	+	+
YOR037W	1215	+	+	+
YOR038C	2628	+	+	-
YOR039W	777	+	+	+
YOR040W	858	+	+	+
YOR041C	432	+	+	+
YOR042W	1236	+	+	+
YOR043W	1461	+	+	+
YOR044W	474	+	+	+
YOR045W	186	+	+	+
YOR046C	1449	+	+	+
YOR047C	1335	+	+	+
YOR048C	3021	+	+	-
YOR049C	1065	+	+	+
YOR050C	348	+	+	+
YOR051C	1239	+	+	+
YOR052C	453	+	+	+
YOR053W	342	+	+	+
YOR054C	2025	+	+	+
YOR055W	435	+	+	+
YOR056C	1380	+	-	+
YOR057W	1188	+	+	+
YOR058C	2658	+	+	-
YOR059C	1353	+	+	+
YOR060C	774	+	-	-
YOR061W	1020	-	-	-
YOR062C	807	-	-	-
YOR063W	1164	+	+	+
YOR064C	660	+	+	+
YOR065W	930	+	+	+
YOR066W	1890	+	+	+
YOR067C	1734	+	+	+
YOR068C	345	+	+	+

ORF	Länge [bp]	1.PCR	2.PCR	3.PCR	ORF	Länge [bp]	1.PCR	2.PCR	3.PCR
YOR069W	939	+	+	+	YOR145C	825	+	+	+
YOR070C	1914	+	+	-	YOR146W	306	+	+	+
YOR071C	1797	+	+	+	YOR147W	1962	+	+	+
YOR072W	315	+	+	+	YOR148C	558	+	+	+
YOR073W	1773	+	+	+	YOR149C	1551	+	+	+
YOR074C	780	+	+	+	YOR150W	492	+	+	+
YOR075W	1041	+	+	+	YOR151C	3675	+	+	-
YOR076C	2244	+	+	-	YOR152C	771	+	+	+
YOR077W	699	+	+	+	YOR153W	4536	+	-	+
YOR078W	645	+	+	+	YOR154W	1764	+	+	+
YOR079C	942	+	+	+	YOR155C	1353	+	+	+
YOR080W	2241	+	-	+	YOR156C	2181	+	-	+
YOR081C	2250	+	+	+	YOR157C	786	+	+	+
YOR082C	342	+	+	-	YOR158W	957	+	+	+
YOR083W	888	+	+	+	YOR159C	285	+	+	+
YOR084W	1164	+	+	+	YOR160W	2919	+	-	+
YOR085W	1053	+	+	+	YOR161C	1620	+	+	+
YOR086C	3561	+	-	+	YOR162C	2433	+	-	+
YOR087W	744	+	+	+	YOR163W	567	+	+	+
YOR088W	1449	+	+	+	YOR164C	939	+	+	+
YOR089C	633	+	+	+	YOR165W	2331	+	+	+
YOR090C	1719	+	+	+	YOR166C	1377	+	+	+
YOR091W	1206	+	+	+	YOR167C	204	+	+	+
YOR092W	1842	+	+	-	YOR168W	2430	+	+	+
YOR093C	4947	+	-	+	YOR169C	465	+	+	+
YOR094W	552	+	+	+	YOR170W	306	+	+	+
YOR095C	777	+	+	+	YOR171C	1875	+	+	-
YOR096W	573	+	~1000	~1000	YOR172W	2361	-	-	-
YOR097C	528	+	+	+	YOR173W	1194	-	-	-
YOR098C	3231	+	+	-	YOR174W	855	~2000	-	-
YOR099W	1182	+	+	+	YOR175C	1860	+	+	-
YOR100C	984	+	+	+	YOR176W	1182	+	+	+
YOR101W	930	+	+	+	YOR177C	1395	+	+	+
YOR102W	351	+	+	+	YOR178C	2382	+	+	+
YOR103C	402	+	+	+	YOR179C	567	+	+	+
YOR104W	849	+	+	+	YOR180C	816	+	+	+
YOR105W	327	+	+	+	YOR181W	1902	+	+	+
YOR106W	852	+	+	+	YOR182C	192	+	~550	~500
YOR107W	930	+	+	+	YOR183W	390	+	~600	+
YOR108W	1815	+	+	+	YOR184W	1188	+	+	+
YOR109W	3324	+	-	+	YOR185C	663	+	+	+
YOR110W	1308	+	-	+	YOR186W	435	+	+	+
YOR111W	699	+	+	+	YOR187W	1314	+	+	+
YOR112W	2286	+	+	+	YOR188W	3414	+	-	+
YOR113W	2745	+	-	-	YOR189W	351	+	+	+
YOR114W	885	+	+	+	YOR190W	1338	+	+	+
YOR115C	807	+	+	+	YOR191W	4860	+	-	+
YOR116C	4383	+	-	+	YOR192C	1800	+	+	+
YOR117W	1305	+	+	+	YOR193W	1131	+	+	+
YOR118W	1704	+	+	+	YOR194C	861	+	+	+
YOR119C	1455	+	+	+	YOR195W	2466	+	+	-
YOR120W	939	+	+	+	YOR196C	1245	+	+	+
YOR121C	306	+	+	+	YOR197W	1362	+	+	+
YOR122C	381	+	~600	~600	YOR198C	1413	+	+	+
YOR123C	1395	+	~1500	+	YOR199W	330	+	+	+
YOR124C	3819	+	-	+	YOR200W	399	+	+	+
YOR125C	819	+	+	+	YOR201C	1239	+	+	+
YOR126C	717	+	+	+	YOR202W	663	+	+	+
YOR127W	3024	+	-	+	YOR203W	354	+	+	+
YOR128C	1716	+	+	+	YOR204W	1815	+	-	+
YOR129C	2682	+	+	-	YOR205C	1671	+	+	+
YOR130C	879	+	+	+	YOR206W	2133	+	+	+
YOR131C	657	+	+	+	YOR207C	3450	-	-	-
YOR132W	1656	+	+	+	YOR208W	2253	+	+	+
YOR133W	2529	+	+	+	YOR209C	1290	+	+	+
YOR134W	1230	+	+	+	YOR210W	213	+	+	+
YOR135C	342	+	+	+	YOR211C	2709	-	-	-
YOR136W	1110	+	+	+	YOR212W	1272	+	-	+
YOR137C	1869	+	+	+	YOR213C	747	+	+	+
YOR138C	2016	+	+	+	YOR214C	711	+	+	+
YOR139C	393	+	+	+	YOR215C	558	+	+	+
YOR140W	2301	+	+	+	YOR216C	1455	+	+	+
YOR141C	2646	+	+	+	YOR217W	2586	+	+	-
YOR142W	990	+	+	+	YOR218C	420	+	+	+
YOR143C	960	+	+	+	YOR219C	2796	+	+	-
YOR144C	2376	+	+	+	YOR220W	798	+	+	+

ORF	Länge [bp]	1.PCR	2.PCR	3.PCR	ORF	Länge [bp]	1.PCR	2.PCR	3.PCR
YOR221C	1155	+	+	+	YOR297C	579	+	+	+
YOR222W	924	+	+	+	YOR298W	1440	+	+	+
YOR223W	879	+	+	+	YOR299W	2241	+	+	-
YOR224C	441	+	+	+	YOR300W	309	+	+	+
YOR225W	330	+	+	+	YOR301W	1308	+	+	+
YOR226C	471	+	+	+	YOR302W	78	+	+	-
YOR227W	3741	+	-	+	YOR303W	1236	+	+	+
YOR228C	909	+	+	+	YOR304W	3363	+	+	-
YOR229W	1404	+	+	+	YOR305W	729	+	+	+
YOR230W	1314	+	+	+	YOR306C	1566	+	+	+
YOR231W	1527	+	+	+	YOR307C	1362	+	+	+
YOR232W	687	+	+	+	YOR308C	1764	+	+	+
YOR233W	2403	+	-	+	YOR309C	381	+	+	+
YOR234C	324	+	~800	~800	YOR310C	1536	+	+	+
YOR235W	315	+	+	+	YOR311C	873	+	+	+
YOR236W	636	+	+	+	YOR312C	525	+	~800	~900
YOR237W	1305	+	+	+	YOR313C	1017	+	+	+
YOR238W	921	+	+	+	YOR314W	330	+	+	+
YOR239W	840	+	+	+	YOR315W	1041	+	+	+
YOR240W	1089	+	+	+	YOR316C	1320	+	+	+
YOR241W	1647	+	+	+	YOR317W	2103	+	+	+
YOR242C	1116	+	+	+	YOR318C	306	+	~640	~640
YOR243C	2031	+	+	+	YOR319W	642	+	+	+
YOR244W	1338	+	+	+	YOR320C	1476	+	+	+
YOR245C	1257	+	+	+	YOR321W	2262	+	+	+
YOR246C	993	+	+	+	YOR322C	2457	+	+	+
YOR247W	633	+	+	+	YOR323C	1371	+	+	+
YOR248W	303	+	+	+	YOR324C	1809	+	-	-
YOR249C	2058	+	+	+	YOR325W	474	+	+	+
YOR250C	1338	+	+	+	YOR326W	4725	+	-	-
YOR251C	915	+	+	+	YOR327C	348	+	+	+
YOR252W	426	+	+	+	YOR328W	4695	+	-	+
YOR253W	531	+	+	+	YOR329C	2619	+	+	+
YOR254C	1992	+	-	-	YOR330C	3843	+	+	-
YOR255W	837	+	+	+	YOR331C	558	+	+	+
YOR256C	2430	+	+	+	YOR332W	702	+	+	+
YOR257W	486	+	+	+	YOR333C	417	+	+	+
YOR258W	654	+	+	+	YOR334W	1413	+	+	+
YOR259C	1314	+	+	+	YOR335C	2877	+	+	+
YOR260W	1737	+	+	+	YOR336W	4098	+	-	+
YOR261C	1017	+	+	+	YOR337W	2280	+	+	+
YOR262W	1044	+	+	+	YOR338W	1092	+	+	+
YOR263C	408	+	+	+	YOR339C	471	+	+	+
YOR264W	1293	+	+	+	YOR340C	981	+	+	+
YOR265W	321	+	+	+	YOR341W	4995	+	-	+
YOR266W	1272	+	-	+	YOR342C	960	+	+	+
YOR267C	2280	+	+	-	YOR343C	327	+	+	+
YOR268C	399	+	+	+	YOR344C	876	+	+	+
YOR269W	1485	+	+	+	YOR345C	351	+	+	+
YOR270C	2523	+	+	-	YOR346W	2958	+	-	-
YOR271C	984	+	+	+	YOR347C	1521	+	+	+
YOR272W	1383	+	+	+	YOR348C	1884	+	+	+
YOR273C	1980	+	+	+	YOR349W	3045	+	+	-
YOR274W	1287	+	+	+	YOR350C	1992	+	+	+
YOR275C	1986	+	+	+	YOR351C	1494	+	~1000	~1000
YOR276W	486	+	+	+	YOR352W	1032	+	~750	~750
YOR277C	309	+	+	+	YOR353C	2376	+	~1600	~1700
YOR278W	828	+	+	+	YOR354C	2079	+	~1500	~1600
YOR279C	933	+	+	+	YOR355W	1569	+	+	+
YOR280C	801	+	+	+	YOR356W	1896	+	-	-
YOR281C	861	+	+	+	YOR357C	489	+	+	+
YOR282W	321	+	+	+	YOR358W	729	+	+	+
YOR283W	693	+	+	+	YOR359W	1572	+	-	-
YOR284W	732	+	+	+	YOR360C	1581	+	+	+
YOR285W	420	+	+	+	YOR361C	2292	+	+	+
YOR286W	450	+	+	+	YOR362C	867	+	+	+
YOR287C	903	+	+	+	YOR363C	2991	+	+	+
YOR288C	957	+	+	+	YOR364W	369	+	+	+
YOR289W	756	+	+	+	YOR365C	2112	+	+	+
YOR290C	5112	+	-	+	YOR366W	354	+	+	+
YOR291W	4419	+	-	+	YOR367W	603	+	+	+
YOR292C	930	+	+	+	YOR368W	1206	+	+	+
YOR293W	318	+	~750	~700	YOR369C	432	+	+	+
YOR294W	612	+	+	+	YOR370C	1812	+	+	+
YOR295W	687	+	+	+	YOR371C	2694	+	+	+
YOR296W	3870	+	-	-	YOR372C	1665	+	+	+

ORF	Länge [bp]	1.PCR	2.PCR	3.PCR
YOR373W	2556	+	-	-
YOR374W	1560	+	+	+
YOR375C	1365	+	+	+
YOR376W	369	+	+	+
YOR377W	1578	+	+	+
YOR378W	1548	+	+	+
YOR379C	339	+	+	+
YOR380W	1641	+	+	+
YOR381W	2136	+	-	-
YOR382W	462	+	+	+
YOR383C	615	+	+	+
YOR384W	2085	+	+	+
YOR385W	873	+	+	+
YOR386W	1698	+	+	+
YOR387C	621	+	+	+
YOR388C	1131	+	+	+
YOR389W	1875	+	+	+
YOR390W	1128	+	+	+
YOR391C	714	+	+	+
YOR392W	444	+	+	+
YOR393W	1314	+	+	+
YOR394W	495	+	+	+
YPL001W	1125	+	+	+
YPL002C	702	+	+	+
YPL003W	1389	+	+	+
YPL004C	1026	+	+	+
YPL005W	1821	+	+	+
YPL006W	3513	-	-	-
YPL007C	1767	+	+	+
YPL008W	2586	+	-	+
YPL009C	3117	+	-	-
YPL010W	570	+	+	+
YPL011C	1062	+	+	+
YPL012W	3687	+	+	-
YPL013C	366	+	+	+
YPL014W	1146	+	+	+
YPL015C	1074	+	+	+
YPL016W	3945	+	-	-
YPL017C	1500	+	+	+
YPL018W	1110	+	+	+
YPL019C	2508	+	+	+
YPL020C	1866	+	+	+
YPL021W	564	+	+	+
YPL022W	3303	+	+	-
YPL023C	1974	+	+	+
YPL024W	726	+	+	+
YPL025C	558	+	+	+
YPL026C	1509	+	+	+
YPL027W	738	+	+	+
YPL028W	1197	+	+	+
YPL029W	2214	+	+	+
YPL030W	1704	+	+	+
YPL031C	918	+	+	+
YPL032C	2478	+	+	-
YPL033C	846	+	+	+
YPL034W	498	+	+	+
YPL035C	348	+	+	+
YPL036W	2844	+	-	-
YPL037C	474	+	+	+
YPL038W	534	+	+	+
YPL039W	951	+	-	+
YPL040C	3009	+	+	-
YPL041C	624	+	+	+
YPL042C	1668	+	+	+
YPL043W	2058	+	+	+
YPL044C	549	+	+	+
YPL045W	2397	+	+	-
YPL046C	300	-	-	-
YPL047W	300	-	-	-
YPL048W	1248	+	+	+
YPL049C	1359	+	+	+
YPL050C	1188	+	+	+
YPL051W	597	+	+	+
YPL052W	606	+	+	+
YPL053C	1341	+	+	+
YPL054W	906	+	+	+

ORF	Länge [bp]	1.PCR	2.PCR	3.PCR
YPL055C	999	+	+	+
YPL056C	306	+	+	+
YPL057C	1149	+	+	+
YPL058C	4536	+	-	-
YPL059W	453	+	+	+
YPL060W	1242	+	+	+
YPL061W	1503	+	+	+
YPL062W	405	+	+	+
YPL063W	1431	+	+	+
YPL064C	906	+	+	+
YPL065W	729	+	~800	+
YPL066W	1440	+	+	+
YPL067C	597	+	+	+
YPL068C	882	+	+	+
YPL069C	1008	+	+	+
YPL070W	1839	+	+	+
YPL071C	471	+	+	+
YPL072W	1500	+	+	+
YPL073C	486	-	-	-
YPL074W	2265	-	-	-
YPL075W	2535	+	+	+
YPL076W	843	+	+	+
YPL077C	723	+	+	+
YPL078C	735	+	+	+
YPL079W	483	+	~800	+
YPL080C	327	+	+	+
YPL081W	594	+	~800	~900
YPL082C	5604	+	-	-
YPL083C	1404	+	+	+
YPL084W	2535	+	+	-
YPL085W	6588	+	-	-
YPL086C	1674	+	+	+
YPL087W	954	+	+	+
YPL088W	1029	+	+	+
YPL089C	2031	+	+	-
YPL090C	711	+	+	+
YPL091W	1452	+	+	+
YPL092W	1377	+	+	+
YPL093W	1944	+	-	+
YPL094C	852	+	+	+
YPL095C	1371	+	+	+
YPL096W	1092	+	+	+
YPL097W	1479	+	+	+
YPL098C	342	+	+	+
YPL099C	549	+	+	+
YPL100W	1491	+	+	+
YPL101W	1371	+	+	+
YPL102C	303	+	+	+
YPL103C	1407	+	+	+
YPL104W	1977	+	+	+
YPL105C	2550	+	+	-
YPL106C	2082	+	+	+
YPL107W	747	+	+	+
YPL108W	507	+	+	+
YPL109C	1632	+	+	+
YPL110C	3672	+	+	-
YPL111W	1002	+	+	+
YPL112C	1185	+	+	+
YPL113C	1191	+	+	+
YPL114W	420	+	+	+
YPL115C	3387	+	+	-
YPL116W	2094	+	+	+
YPL117C	867	+	+	+
YPL118W	1035	+	+	+
YPL119C	1854	+	+	+
YPL120W	1674	+	+	+
YPL121C	669	+	+	+
YPL122C	1542	+	+	+
YPL123C	1305	+	+	+
YPL124W	762	+	+	+
YPL125W	3099	+	-	-
YPL126W	2691	+	+	-
YPL127C	777	+	+	+
YPL128C	1689	+	+	+
YPL129W	735	+	+	+
YPL130W	672	+	+	+

ORF	Länge [bp]	1.PCR	2.PCR	3.PCR	ORF	Länge [bp]	1.PCR	2.PCR	3.PCR
YPL131W	894	+	+	+	YPL207W	2433	+	+	+
YPL132W	903	+	+	+	YPL208W	1752	+	+	+
YPL133C	1341	+	+	+	YPL209C	1104	+	+	+
YPL134C	933	+	+	+	YPL210C	1941	+	+	+
YPL135W	498	+	+	+	YPL211W	546	+	+	+
YPL136W	369	+	+	+	YPL212C	1635	+	-	+
YPL137C	3831	+	-	-	YPL213W	717	+	+	-
YPL138C	1062	+	+	+	YPL214C	1623	+	+	+
YPL139C	1383	+	+	+	YPL215W	1008	+	+	+
YPL140C	1521	+	+	+	YPL216W	3309	+	+	-
YPL141C	2598	+	+	-	YPL217C	3552	+	+	+
YPL142C	318	+	+	+	YPL218W	573	+	~750	-
YPL143W	324	+	~800	-	YPL219W	1479	+	+	+
YPL144W	447	-	-	-	YPL220W	654	+	+	+
YPL145C	1305	+	+	+	YPL221W	2382	+	+	+
YPL146C	1368	+	+	+	YPL222W	2067	+	-	-
YPL147W	2613	+	+	-	YPL223C	507	+	+	+
YPL148C	534	+	+	+	YPL224C	1350	+	+	+
YPL149W	885	+	+	+	YPL225W	441	+	+	+
YPL150W	2706	+	-	-	YPL226W	3591	+	+	-
YPL151C	1356	+	+	+	YPL227C	1005	+	+	+
YPL152W	1077	+	+	+	YPL228W	1650	+	+	+
YPL153C	2466	+	-	-	YPL229W	621	+	+	+
YPL154C	1218	+	+	+	YPL230W	1176	+	+	-
YPL155C	2121	+	+	+	YPL231W	5664	+	-	-
YPL156C	855	+	+	+	YPL232W	873	+	+	+
YPL157W	948	+	+	+	YPL233W	651	+	+	+
YPL158C	2277	+	+	+	YPL234C	495	+	+	+
YPL159C	762	+	+	+	YPL235W	1416	+	m	+
YPL160W	3273	+	-	-	YPL236C	1095	+	-	-
YPL161C	1902	-	-	-	YPL237W	858	+	+	+
YPL162C	822	+	+	+	YPL238C	390	+	+	+
YPL163C	783	+	+	+	YPL239W	603	+	+	+
YPL164C	2148	+	+	-	YPL240C	2130	+	+	+
YPL165C	1122	+	+	+	YPL241C	807	+	+	+
YPL166W	642	+	+	+	YPL242C	4488	+	-	-
YPL167C	4515	+	-	-	YPL243W	1800	+	+	+
YPL168W	1293	+	+	+	YPL244C	1020	+	+	m
YPL169C	1800	+	-	+	YPL245W	1365	+	+	+
YPL170W	459	+	-	-	YPL246C	789	+	+	+
YPL171C	1203	-	-	-	YPL247C	1572	+	+	m
YPL172C	1389	+	+	+	YPL248C	2646	-	-	-
YPL173W	894	+	+	+	YPL249C	2685	-	-	-
YPL174C	2607	+	+	-	YPL250C	411	+	+	+
YPL175W	1386	+	+	+	YPL251W	303	+	+	+
YPL176C	2352	+	+	+	YPL252C	519	+	+	+
YPL177C	921	+	+	+	YPL253C	1944	+	+	+
YPL178W	627	+	+	+	YPL254W	1467	+	+	+
YPL179W	1650	+	+	+	YPL255W	1158	+	+	+
YPL180W	2400	-	-	-	YPL256C	1638	+	+	+
YPL181W	1521	-	-	-	YPL257W	582	+	+	+
YPL182C	384	+	+	+	YPL258C	1656	+	+	+
YPL183C	3042	+	+	-	YPL259C	1428	+	+	+
YPL184C	1839	+	-	-	YPL260W	1656	+	+	+
YPL185W	396	+	+	+	YPL261C	309	+	+	+
YPL186C	915	+	+	+	YPL262W	1467	+	+	+
YPL187W	498	+	m	m	YPL263C	1956	+	+	+
YPL188W	1245	+	+	+	YPL264C	1062	+	+	+
YPL189W	1830	+	+	+	YPL265W	1827	+	+	+
YPL190C	2409	+	+	+	YPL266W	957	+	+	+
YPL191C	1083	+	+	+	YPL267W	630	+	+	+
YPL192C	402	+	+	+	YPL268W	2610	+	-	-
YPL193W	1146	+	+	+	YPL269W	1935	+	+	+
YPL194W	1839	+	+	+	YPL270W	2463	+	+	+
YPL195W	2799	+	-	-	YPL271W	189	+	+	+
YPL196W	822	+	+	+	YPL272C	1554	+	+	+
YPL197C	414	-	-	+	YPL273W	978	+	+	+
YPL198W	735	+	~1500	~1500	YPL274W	1764	+	-	-
YPL199C	723	+	+	+	YPL275W	711	+	+	+
YPL200W	471	+	+	+	YPL276W	438	+	+	+
YPL201C	1386	+	+	+	YPL277C	1464	+	+	+
YPL202C	1251	+	+	+	YPL278C	303	+	+	+
YPL203W	1143	+	+	+	YPL279C	1128	+	+	+
YPL204W	1485	+	-	+	YPL280W	714	+	+	+
YPL205C	345	+	+	+	YPL281C	1314	+	+	+
YPL206C	966	+	+	+	YPL282C	495	+	+	+

ORF	Länge [bp]	1.PCR	2.PCR	3.PCR	ORF	Länge [bp]	1.PCR	2.PCR	3.PCR
YPL283C	5580	+	-	-	YPR076W	375	+	+	+
YPR001W	1461	+	+	+	YPR077C	372	+	+	+
YPR002W	1551	+	+	+	YPR078C	1119	+	+	+
YPR003C	2265	+	+	+	YPR079W	1146	+	+	+
YPR004C	1035	+	+	+	YPR080W	1377	+	+	+
YPR005C	885	+	+	+	YPR081C	1857	+	+	+
YPR006C	1728	+	+	+	YPR082C	432	+	+	+
YPR007C	2043	+	+	+	YPR083W	1740	+	+	+
YPR008W	2085	+	+	+	YPR084W	1371	+	+	+
YPR009W	807	+	+	+	YPR085C	1347	+	+	+
YPR010C	3612	+	+	-	YPR086W	1038	+	+	+
YPR011C	981	+	+	+	YPR087W	321	+	-	+
YPR012W	255	-	-	-	YPR088C	1626	+	+	+
YPR013C	954	+	+	+	YPR089W	468	+	+	+
YPR014C	330	+	+	+	YPR090W	2211	+	+	+
YPR015C	744	+	+	+	YPR091C	2313	+	-	-
YPR016C	738	-	-	-	YPR092W	306	+	+	+
YPR017C	432	+	+	+	YPR093C	933	+	+	+
YPR018W	1821	+	-	-	YPR094W	324	+	+	+
YPR019W	2802	+	+	-	YPR095C	3681	+	-	-
YPR020W	348	+	+	+	YPR096C	303	+	+	+
YPR021C	2709	+	+	-	YPR097W	3222	+	+	-
YPR022C	3402	+	+	-	YPR098C	327	+	+	+
YPR023C	1206	+	+	+	YPR099C	357	+	+	+
YPR024W	2244	+	+	+	YPR100W	423	+	+	+
YPR025C	1182	+	+	+	YPR101W	528	+	+	+
YPR026W	3636	+	-	-	YPR102C	525	+	+	+
YPR027C	834	+	+	+	YPR103W	864	+	+	+
YPR028W	543	+	+	+	YPR104C	2811	+	+	-
YPR029C	2499	+	+	-	YPR105C	2586	+	+	-
YPR030W	3366	+	-	-	YPR106W	1332	+	+	+
YPR031W	2247	+	+	-	YPR107C	627	+	+	+
YPR032W	3102	+	+	-	YPR108W	1290	+	+	+
YPR033C	1641	+	+	+	YPR109W	885	+	+	+
YPR034W	1434	+	+	+	YPR110C	1008	+	+	+
YPR035W	1113	+	+	+	YPR111W	1275	+	+	+
YPR036W	1437	+	+	+	YPR112C	2664	+	+	-
YPR037C	591	+	+	+	YPR113W	663	+	+	+
YPR038W	360	+	+	+	YPR114W	948	+	+	+
YPR039W	336	+	+	+	YPR115W	3252	+	-	-
YPR040W	1071	+	+	+	YPR116W	834	+	+	+
YPR041W	1218	+	+	+	YPR117W	7470	+	-	-
YPR042C	3228	-	-	-	YPR118W	1236	+	+	+
YPR043W	279	+	~700	~700	YPR119W	1476	+	+	+
YPR044C	354	+	+	-	YPR120C	1308	+	+	+
YPR045C	1413	+	+	+	YPR121W	1719	+	+	+
YPR046W	546	+	+	+	YPR122W	3627	+	-	-
YPR047W	1425	+	+	+	YPR123C	435	-	-	-
YPR048W	1872	+	+	+	YPR124W	1221	+	+	+
YPR049C	3537	+	+	-	YPR125W	1365	+	+	-
YPR050C	414	+	+	+	YPR126C	309	+	+	+
YPR051W	531	+	+	+	YPR127W	1038	+	+	+
YPR052C	282	+	-	-	YPR128C	987	+	+	+
YPR053C	456	+	+	+	YPR129W	1050	+	+	+
YPR054W	1167	+	+	+	YPR130C	408	+	+	+
YPR055W	3198	+	-	-	YPR131C	756	+	+	+
YPR056W	1017	+	+	+	YPR132W	438	+	+	+
YPR057W	1026	+	+	+	YPR133C	1233	+	+	+
YPR058W	924	+	+	+	YPR134W	807	+	+	+
YPR059C	387	+	+	+	YPR135W	2784	-	-	-
YPR060C	771	+	+	+	YPR136C	513	+	-	+
YPR061C	906	+	+	+	YPR137W	1722	+	+	+
YPR062W	477	+	+	+	YPR138C	1470	+	+	+
YPR063C	423	+	+	+	YPR139C	903	+	+	+
YPR064W	420	+	+	+	YPR140W	1146	+	+	+
YPR065W	1107	+	-	-	YPR141C	2190	+	+	-
YPR066W	900	+	+	+	YPR142C	564	+	+	+
YPR067W	558	+	+	+	YPR143W	753	+	+	+
YPR068C	1413	-	-	-	YPR144C	1659	+	+	+
YPR069C	882	-	-	-	YPR145W	1719	+	+	+
YPR070W	1701	-	-	-	YPR146C	330	+	+	+
YPR071W	636	-	-	-	YPR147C	915	+	-	-
YPR072W	1683	+	+	+	YPR148C	1308	+	+	+
YPR073C	486	+	+	+	YPR149W	522	+	+	+
YPR074C	2043	-	-	-	YPR150W	522	+	+	+
YPR075C	1083	+	+	+	YPR151C	621	+	+	+

ORF	Länge [bp]	1.PCR	2.PCR	3.PCR
YPR152C	1398	+	+	+
YPR153W	435	+	+	+
YPR154W	648	~3000	-	-
YPR155C	1851	+	+	+
YPR156C	1869	+	+	+
YPR157W	1404	+	+	+
YPR158W	759	+	+	+
YPR159W	2163		+	-
YPR160W	2709		-	-
YPR161C	1974		+	-
YPR162C	1590	+	+	+
YPR163C	1311	+	+	+
YPR164W	4224	+	-	-
YPR165W	630	+	+	+
YPR166C	348	+	+	+
YPR167C	786	+	+	+
YPR168W	474		-	+
YPR169W	1545		+	-
YPR170C	336		+	+
YPR171W	1731		+	+
YPR172W	603		-	-
YPR173C	1314		+	+
YPR174C	666	+	+	+
YPR175W	2079	+	+	+
YPR176C	978	+	+	+
YPR177C	372	+	+	+
YPR178W	1398	+	+	+
YPR179C	1968	+	+	+

ORF	Länge [bp]	1.PCR	2.PCR	3.PCR
YPR180W	1044	+	+	+
YPR181C	2307	+	+	+
YPR182W	261		+	+
YPR183W	804	+	+	+
YPR184W	4611	+	-	-
YPR185W	2217	+	+	-
YPR186C	1290	+	+	+
YPR187W	468	+	~500	+
YPR188C	492	+	+	+
YPR189W	4299	+	-	-
YPR190C	1965	+	+	+
YPR191W	1107	+	-	+
YPR192W	918	+	+	+
YPR193C	471	+	+	+
YPR194C	2634	+	+	-
YPR195C	330	-	-	-
YPR196W	1413	+	+	+
YPR197C	564	+	+	m
YPR198W	1632	+	+	+
YPR199C	885	+	+	+
YPR200C	393	+	+	+
YPR201W	1215	+	+	+
YPR202W	717	+	+	+
YPR203W	309	+	+	+
YPR204W	3099	+	+	+



## Lebenslauf

**Name:** Nicole Hauser

**Geburtsdatum:** 13. September 1967

**Geburtsort:** Horb/Neckar

### Schule:

1974-1978 Grundschule Vöhringen

1978-1979 Albeck-Gymnasium Sulz/Neckar

1979-1987 Schillergymnasium Offenburg

Abschluß: allg. Hochschulreife

### Studium:

1988-1995 Studium der Technischen Biologie, Universität Stuttgart

1992-1993 Studienarbeit bei Prof. Dr. A.B. Hope, Flinders University, Adelaide, Australien:

Oxidation artifizieller Chinole in einem rekonstituierten  
Photosynthesesystem

1994-1995 Diplomarbeit bei Prof. Dr. D.H. Wolf, Institut für Biochemie,  
Universität Stuttgart:

Einfluß der N-Glykosylierung und ihrer Modifizierung auf den  
Abbau eines Glykoproteins im Endoplasmatischen Reticulum  
der Hefe *Saccharomyces cerevisiae*

1995-2000 Promotion am Deutschen Krebsforschungszentrum Heidelberg,  
Abteilung Funktionelle Genomanalyse, Dr. J.D. Hoheisel

## Veröffentlichungen

Teile dieser Arbeit sind bereits veröffentlicht bzw. zur Veröffentlichung eingereicht:

- Weiler, J., Gausepohl, H., **Hauser, N.**, Jensen, O.N. und Hoheisel, J.D. (1997): Hybridisation based DNA screening on peptide nucleic acid (PNA) oligonucleotide arrays. *Nucleic Acids Res.* 25, 2792-2799.
- Weiler, J., **Hauser, N.** und Hoheisel, J.D. (1997): New developments in oligomer array technologies. *Nucleosides & Nucleotides* 16, 777-780.
- Hauser, N.**, Scheideler, M. und Hoheisel, J.D. (1998): DNS-Chip Technologie zur Untersuchung von Genaktivität. Krebsforschung heute 98 (Stamatiadis-Smidt, M.A., Ed.). Steinkopff Verlag, 190-193.
- Hauser, N. C.**, Vingron, M., Scheideler, M., Krems, B., Hellmuth, K., Entian, K. D., und Hoheisel, J. D. (1998): Transcriptional profiling on all open reading frames of *Saccharomyces cerevisiae*. *Yeast* 14, 1209-21.
- Hauser, N. C.**, Scheideler, M., Matysiak, S., Vingron, M. und Hoheisel, J. D. (1999): DNA Arrays for Transcriptional Profiling. *Methods in Microbiology* 28, 193-204.
- Matysiak, S., Würtz, S., **Hauser, N.**, Gausepohl, H. und Hoheisel, J. D. (1999): PNA-arrays for nucleic acid detection. In Peptide Nucleic Acids: Protocols and Applications, P. E. Nielsen, M., ed. (Wyomondham: Horizon Scientific Press), 119-128.
- Matysiak, S., **Hauser, N.C.**, Würtz, S. und Hoheisel, J.D. (1999): Improved solid supports and spacer/linker systems for the synthesis of spatially addressable PNA-libraries. *Nucleosides & Nucleotides* 18, 1289-1291.
- Beier, M., Matysiak, S., **Hauser, N.**, Scheideler, M., Würtz, S., Fellenberg, K., Vingron, M. und Hoheisel, J.D. (2000): DNA Microchips; Transcriptional Profiling and Beyond. *Chimia* 54, 29-30.
- Beißbarth, T., Fellenberg, K., Brors, B., Arribas-Prat, R., Boer, J., **Hauser, N.C.**, Scheideler, M., Hoheisel, J.D., Schütz, G., Poustka, A. und Vingron, M.(2000): Comparison and quality measures of DNA array hybridization data. *Bioinformatics Journal* 16, 1014-1022
- Frohme, M., **Hauser N.C.**, Scheideler, M., Diehl, F., Beier, M., Würtz, S. und Hoheisel, J.D. (2000): Arrays and other hybridisation based techniques for genome and transcriptome characterisation. In Molecular Pathogenesis of Pancreatic Cancer (Editor: T.M. Gress), IOS, Amsterdam, NetherlandsChips.
- Hauser, N.C.**, Fellenberg, K., Gil, R., Bastuck, S., Hoheisel, J.D. und Pérez-Ortín, J.E. (2001): Whole genome analysis of a wine yeast strain. *Comp. Funct. Gen.*, im Druck.
- Fellenberg, K., **Hauser, N.C.**, Brors, B., Neutzner, A., Hoheisel, J.D. und Vingron, M.: Correspondence analysis applied to microarray data. *Proc. Natl. Accad. Sci. USA*, eingereicht zur Veröffentlichung.
- Fellenberg, K., **Hauser, N.C.**, Brors, B., Hoheisel, J.D. und Vingron, M.: Microarray Data Warehouse Allowing for the Statistical Analysis of Experiment Annotation. Eingereicht zur Veröffentlichung.

## Danksagung

Diese Arbeit wurde in der Zeit von November 1995 bis August 2000 am Deutschen Krebsforschungszentrum Heidelberg in der Abteilung „Funktionelle Genomanalyse“ unter der Leitung von Dr. Jörg Hoheisel angefertigt.

Ihm gilt auch mein besonderer Dank für seine stete Diskussionsbereitschaft und Unterstützung, für viele Anregungen und Motivation; nicht zuletzt ein Dank für die mir überlassene Freiheit, die mir ermöglichte, viele meiner Ideen umzusetzen.

Herrn Prof. Dr. Dieter Wolf danke ich für sein Interesse an meiner Arbeit, die Übernahme der Betreuung und der Vertretung meiner Dissertation vor der biologischen Fakultät der Universität Stuttgart.

In gleicher Weise möchte ich mich bei meinem Zweitgutachter Herrn Prof. Dr. Wolfgang Seufert bedanken.

Ein herzliches Dankeschön an die gesamte Arbeitsgruppe, für das prima Arbeitsklima und die gute Zusammenarbeit.

Ein besonderer Dank geht an Melanie Bier und Sonja Bastuk: „es hat wirklich Spaß gemacht mit euch zu arbeiten!“. Melanie danke ich vor allem für die tatkräftige Hilfe bei der Herstellung und Qualitätskontrolle der DNA-Arrays für das EUROFAN-Projekt. Bei Sonja möchte ich mich vor allem für die technische Unterstützung bei der Durchführung der Experimente zur ‚Quantitativen Hybridisierung‘ und zu den ‚externen Kontroll-Klonen‘ bedanken.

Herrn Dr. Martin Vingron und der gesamten ‚Theoretischen Bioinformatik‘ danke ich für eine gute Zusammenarbeit, viel praktische Unterstützung und Anregungen bei allen Fragen zur Bioinformatik.

Ein besonderer Dank hierbei an Kurt Fellenberg, der durch viel Ausdauer und Beharrlichkeit die Datenbank und das Programm-Paket M-Chips realisiert hat. Obwohl ich nie wieder Alpha-Tester eines Computer-Programmes sein möchte, hat die Zusammenarbeit großen Spaß gemacht und war extrem fruchtbar. Vielen Dank auch für die Einführung in die ‚hohe Mathematik der Korrespondenzanalyse‘.

---

Benedikt Brors danke ich für die Hilfe bei der Auswertung zur „Quantitativen Hybridisierung“.

Kerstin Hartlieb danke ich für die engagierte Mithilfe beim Aufdrehen der 12.000 Schraubdeckelröhrchen, Umpipettieren der Primer und dem allerersten PCR-Lauf während ihres Fachhochschul-Praxissemesters in unserer Arbeitsgruppe; ebenso Carina Treiber für die technische Unterstützung bei zahlreichen Hybridisierungen.

Ein weiterer Dank geht an Klaus Hellmuth für die moralische Unterstützung vor allem in der Anfangsphase meiner Dr.-Arbeit, viele kritische und heftige Diskussionen. Ein Dankeschön auch für die sorgfältige und kritische Durchsicht des Manuskriptes.

Diese Arbeiten wurden in Drittmittelprojekten des BMBF und der Europäischen Kommission finanziell gefördert.